Veröffentlichungen
der
Bayerischen Landeswetterwarte

JAHRGANG XLVIII.

36 / 84

Deutsches
Meteorologisches Jahrbuch

für

1926

Bayern

München 1927
In Kommission bei A. Buchholz

Veröffentlichungen
der
Bayerischen Landeswetterwarte

JAHRGANG XLVIII.

36184

Deutsches
Meteorologisches Jahrbuch

für

1926

Bayern

München 1927
In Kommission bei A. Buchholz

Inhalts-Verzeichnis zum Band XLVIII, Jahrgang 1926.

	Seite
Erklärung der in den Tabellen benützten Zeichen und Abkürzungen (vergl. frühere Jahrgänge)	—
Bericht über die Tätigkeit der Landeswetterwarte und der ihr angeschlossenen Wetterwarten im Jahre 1926 und Geschichte	III—VII
Beschreibung der Aufstellung der Instrumente in Bergzabern, Rhodt, Hüll, Pfaffenhofen a. Ilm, Nandlstadt und Mittenwald	VII—VIII
Tägliche Beobachtungen von 5 Wetterwarten II. Ordnung	1—36
Monats- und Jahresresultate der Wetterwarten I. und II. Ordnung und Ergänzungswetterwarten (III. Ordnung)	37—71
Abweichungen der Temperatur und des Niederschlages vom langjährigen Mittel für eine Anzahl ausgewählter Beobachtungsorte	72 u. 73
Die Sonnenscheindauer im Jahre 1926	73
Wintertage, Frosttage, Sommertage; Winter- und Frosttage an der Hochstation Zugspitze	74 u. 75
Datumsgrenzen von Wintertagen, Frosttagen, Sommertagen, sowie von Schneefällen	75
Täglicher Gang der meteorologischen Elemente auf der Zugspitze im Jahre 1926	76

Anhang:

Die Münchener Registrierballonfahrten im Jahre 1926 von P. Zistler und H. Zierl	A 1—40
Das Stationsnetz zur Untersuchung der bodennahen Luftschichten, vierter Jahresbericht, von R. Geiger und H. Amann	B 1—8
Temperatur-Anstiege und -Maxima bei Nacht als regelmässige Erscheinungen des Temperaturverlaufes von A. Huber	C 1—46
Luftelektrische Studien auf der Zugspitze (I. Bericht) von P. Lautner	D 1—8
Föhn in Partenkirchen von A. Schmauss	E 1—8
Luftlawinen in Alpentälern von A. Schmauss	F 1—2
Flugzeugaufstiege der Flugwetterwarte Fürth 1925/26 von W. Stöbe	G 1—3
Pilotballonmessungen der Flugwetterwarte Fürth 1926 von W. Stöbe	H 1—5

Berichtigungen zu Band XLIV, Jahrgang 1922.

Seite 58 Trostberg, Mittl. Minimum im Jahr lies 2.9 statt 1.9.

Berichtigungen zu Band XLVIII, Jahrgang 1926.

Seite 12 Zugspitze, Niederschlag, Monatssumme April lies 97.1 statt 117.1.

Seite 21 Zugspitze, Niederschlag, Monatssumme Juli lies 361.5 statt 344.5.

Bericht über die Tätigkeit der Bayerischen Landeswetterwarte im Jahre 1926.

1. Sammlung und Veröffentlichung der Beobachtungen.

Mit Rücksicht auf die knappen Etatsverhältnisse werden nur von je einer Wetterwarte der Pfalz, von Nord- und Südbayern die Beobachtungen in extenso veröffentlicht. Hieran reihen sich als Vertreter der höheren Luftschichten von 1000 m der Hohenpeissenberg, von 3000 m die Zugspitze. Ein teilweiser Ersatz weiterer Extenso-Publikationen ist in den Tabellen der täglichen Wetterkarte gegeben. Die der Wetterkarte allmonatlich beigegebene Übersicht über die Witterungsverhältnisse während des abgelaufenen Monats vermittelt auch solchen Kreisen eine weitgehende Kenntnis der Monatsresultate, welche das Jahrbuch nicht erhalten können.

2. Bericht über die Wetterwarten.

Die Veränderungen, welche das Beobachtungsnetz erfahren hat, wollen durch Vergleich des Stationsverzeichnisses 1926 mit dem von 1925 festgestellt werden. Hier darüber zu berichten, verbietet der Etat.

Ich danke allen Beobachtern für ihre Mitarbeit, desgleichen den Mitgliedern der Landeswetterwarte, welche in gewohntem Eifer halfen, dass das Jahrbuch alsbald nach Ablauf des Jahres erscheinen kann. Die verantwortungsvolle Aufgabe der Durchsicht der Korrekturbogen war wieder dem Verwaltungsinspektor C. Brunner anvertraut.

Der Personalstand an den Wetterwarten am Jahresschlusse ergibt sich aus folgender Zusammenstellung:

A. Wetterwarten I. und II. Ordnung.

Wetterwarte	Registrierungen	See-höhe	Geograph. Breite		Länge östlich von Greenwich				Beobachter	Lokal
		m	°	′	°	′	m	s		
Hof		476.1	50	19	11	55	47	40	P. Bayer, Oberassistent	Städt. Gasanstalt.
Coburg	*	326.5	50	15	10	57	43	48	Dr. H. Strecker, Studienrat.	Oberrealschule.
Bad Kissingen		209.2	50	12	10	5	40	20	H. Meyer, Offiziant.	Realschule.
Selb	*	543.2	50	10	12	7	48	28	A. Mader, Oberforstverwalter a. D.	Wohnhaus des Fabrikbesitzers F. Heinrich.
Luitpoldheim	*	250	50	1	9	34	38	16	Dr. O. Pischinger, Sanitätsrat, Direktor.	Heilstätte.
Bayreuth		363.3	49	57	11	34	46	16	L. Wirth.	Oberfränkische Heil- u. Plegeanstalt.
Bamberg	*	287.7	49	53	10	53	43	32	Dr. E. Zinner, Professor, Direktor.	Remeis-Sternwarte.
Veitshöchheim	*	ca178	49	50	9	53	39	32	Dr. R. Gerneck, Landwirtschaftsrat.	Biologische Station der Lehranstalt.
Würzburg		179.3	49	48	9	56	39	44	J. Stadtmüller, Laborant.	Physik. Institut der Universität.
Erlangen		284.8	49	36	11	1	44	4	J. Sommer, Oberpräparator.	Physik. Institut der Universität.
Fürth i. B.	*	302.2	49	30	10	59	43	56	Dr. W. Stöbe (W. Strauch, Studienassessor).	Flugwetterwarte.
Ludwigshafen a. Rh.	*	100.3	49	29	8	26	33	44	A. Walther, Hausverwalter.	Kreisoberrealschule.
Bad Dürkheim		146.6	49	28	8	12	32	48	V. Dirion, Waisenhausverwalter.	Waisenhaus.
Kaiserslautern	*	238.1	49	27	7	46	31	4	K. Hensler, Oberstudiendirektor (Assessor A. Strom, O. Gering, Offiziant).	Kreisackerbauschule.
Nürnberg	*	310.8	49	27	11	3	44	12	H. Wunder, Hausvater.	Altersheim i. d. Johannisstrasse.
Amberg (M.-H.-B.)		519	49	27	11	52	47	28	P. A. Obermaier (O. F. M.), K. Huber. Kandidat.	Franziskanerkloster.
Mutterstadt	*	97.2	49	25	8	24	33	36	J. G. Farbenindustrie A.-G. (Dr. O. Flieg, L. Diehl).	Versuchgelände Limburgerhof.
Neustadt a. Haardt	*	145.6	49	21	8	8	32	31	F. Marx, Hausmeister.	Staatl. Lehr- u. Vers.-Anstalt für Obst- u. Weinbau.
Ansbach-Strüth		433.0	49	18	10	33	42	12	Dr. K. Lunz, Oberarzt (G. Zink, C. Oberts-häuser).	Genesungsheim der Mittelf. Vers.-Anst.
Bergzabern		ca 181	49	17	8	8	32	32	L. Judt, Weinbauinspektor.	Staatl. Rebveredlungs-Anstalt.
Rhodt		ca 215	49	16	8	6	32	24	A. Candidus, Hauptlehrer.	Privathaus des Beobachters.
Landau i. Pf.		149.9	49	12	8	7	32	28	Dr. J. Günther, Landwirtschaftsrat (G. Weich).	Landwirtschaftsschule.
Triesdorf		443	49	12	10	40	42	40	F. Voit, Assessor.	Kreisackerbauschule.
Höllenstein	*	403.1	49	8	12	52	51	28	Kraftwerk a. Höllenstein, A.-G. (J. Reiser, Betriebsleiter, J. Lermer, J. Primbs, K. Erdl).	Gelände des Kraftwerkes.
Weissenburg i. B.		422.2	49	2	10	58	43	52	K. Fleischmann, Offiziant.	Realschule.
Buchenau	*	749	49	2	13	20	53	20	J. Membarth, Direktor.	Landgut des Herrn v. Poschinger.
Pfelling		318	48	53	12	45	51	0	S. Strasser, Pfarrer.	Pfarrhof.
Hausstein	*	648	48	52	13	4	52	16	Schwester M. Centolla Langwieser, Barmh. Schw. v. Hl. Vinzenz v. Paul.	Sanatorium.
Metten		327.8	48	51	12	55	51	40	P. R. Hauth (O. S. B.), Oberstudienrat.	Benediktinerabtei.
Nördlingen	*	435.6	48	51	10	30	42	0	Dr. E. Frickhinger, Apotheker.	Einhornapotheke.
Büchling		ca335	48	47	12	42	50	48	F. Wallmüller, Saatzuchtinspektor.	Landgut des Herrn C. Engelen.
Neuhof	*	ca523	48	46	10	49	43	16	Verwaltung d. Staatsgutes (J. Frey, Assistent).	Gelände des Staatsgutes.

Fortsetzung siehe nächste Seite.

Wetterwarte	Registrierungen	Seehöhe	Geograph. Breite		Länge östlich von Greenwich				Beobachter	Lokal
		m	°	′	°	′	m	s		
Ingolstadt	*	371	48	45	11	26	45	44	C. Roller, Inspektor.	Stadtgärtnerei.
Hüll	*	ca 438	48	36	11	41	46	44	H. Schwab, Assessor (A. Stippich).	Hopfenversuchsgut.
Landshut Schönbrunn	*	387.0	48	33	12	12	48	12	C. Ambros, Oberstudiendirektor (M. Schormayer, Studienrat).	Kreisackerbauschule.
Pfaffenhofen a. Ilm	*	428	48	32	11	31	46	4	G. Fesenmair, Oberlehrer a. D.	Privathaus des Beobachters.
Augsburg		495.9	48	22	10	54	43	36	P. Narzissus König (O. S. B.).	Benediktinerabtei St. Stephan.
Finsing	*	500.5	48	13	11	49	47	16	Mittlere Isar. A.-G. (J. A. Mirbeth, Werkmeister u. mehrere Elektromonteure).	Gelände des Kraftwerkes.
München	*	526.4	48	9	11	34	46	16	O. Götz.	B. Landeswetterwarte.
München (Bot. Gart.)	*	ca 515	48	9	11	34	46	16	J. Ramsauer, Obermaschinist (G. Kaiser und andere).	Botanischer Garten.
St. Ottilien	*	ca 580	48	6	11	1	44	4	Fr. Candidus Hartl u. Fr. Reginald Egner (O. S. B.).	Missionsbenediktinerkloster.
Landsberg a. Lech		636.8	48	3	10	52	43	28	J. Klebl, Landwirtschafts-Assessor.	Kreisackerbauschule.
Trostberg		491.2	48	1	12	34	50	16	B. Stickstoffwerke, A.-G. (O. Vohburger, A. Huber, J. Schlögl).	Fabrikgelände.
Ottobeuren		668.7	47	56	10	18	41	12	P. Stefan Lutz, Br. Anselm Weiss, Br. Pius Geiger (O. S. B.).	Benediktinerabtei.
Traunstein	*	597	47	52	12	39	50	36	E. Oberhuber, Offiziant.	Realschule.
Wielenbach	*	547.4	47	52	11	9	44	36	Dr. E. Walther, Betriebsleiter.	B. Teichwirtsch. Versuchsstation (Hofer Institut).
Bad Tölz	*	ca 690	47	46	11	34	46	17	Dr. H. Scholl.	Privat-Sternwarte.
Tegernsee		727.2	47	43	11	45	47	0	J. Steinbacher jun., Optiker.	Privathaus des Beobachters.
Bad Reichenhall	*	465.2	47	43	12	53	51	32	J. Dereser, Obersekretär.	Kurlazarett.
Lechbruck		730.9	47	42	10	48	43	12	Dr. Alexander Wacker-Werke (G. Hirzel u. mehrere Maschinisten).	Fabrikgelände.
Kochel	*	603.6	47	39	11	22	45	28	Walchenseewerk A.-G. (P. Wagner, Kunstmaler).	Wohnhaus des Beobachters.
Berchtesgaden	*	ca 600	47	38	13	0	52	0	Schwester Justitia.	Krankenhaus.
Röthenbach	*	668.7	47	38	9	58	39	52	F. X. Hagg, Pfarrer.	Pfarrhof.
Urfeld		855.4	47	37	11	21	45	24	Walchenseewerk A.-G. (Strassenoberaufseher M. Oettel).	Dienstwohngebäude.
Ettal	*	877.7	47	34	11	5	44	20	P. W. Wehrle u. Fr. Walther Kalff (O. S. B.).	Benediktinerabtei.
Einsiedel		804.9	47	34	11	18	45	12	Walchenseewerk A.-G. (Tiefbau-Techniker M. Frauenreuther).	Dienstwohngebäude.
Lindau i. B. (Reutin)	*	401.7	47	33	9	41	38	44	J. Westermayr, Zollamtmann.	Zollneubauten (Wohngebäude).
Partenkirchen	*	716.8	47	30	11	6	44	24	A. Beckert, Photograph (A. Wiedemann, Oberbaurat a. D.).	Privathaus des Beobachters.
Krünn	*	875.2	47	30	11	17	45	8	Walchenseewerk A.-G. (K. Lohr, Schleusenwärter).	Dienstwohngebäude.
Mittenwald	*	917.7	47	27	11	16	45	4	G. Rieger, Bauführer.	Privathaus des Beobachters.
Oberstdorf	*	812.3	47	24	10	17	41	8	Lendrada Müller, Schwester (O. S. F.)	Schulkloster.
Riezlern	*	ca 1150	47	22	10	11	40	44	A. Kröss, Werkmeister.	Klinik von Dr. Backer.
Hohenpeissenberg	*	994.1	47	48	11	1	44	4	L. Obholzer, Pfarrer.	Pfarrhof.
Blender	*	1044.7	47	44	10	14	40	56	R. Kopke, Verwalter.	Blenderhaus (Kinder-Ferienheim).
Hirschberg		1512	47	40	11	42	46	48	R. Spindler, Hüttenpächter.	Unterkunftshaus.
Zugspitze	*	2962.2	47	25	10	59	43	56	Hermann Lipp, Studienassessor.	Hochobservatorium.

B. Ergänzungs-Wetterwarten (III. Ordnung).

Dettingen a. Main	*	ca 115	50	2	9	3	36	12	Braunkohlenzeche Gustav (R. Weiss, techn. Kaufmann, A. Herrmann, Pförtner).	Betriebsgebäude.
Gössweinstein		494	49	46	11	20	45	20	J. Michel, Stationskommandant.	Stationskommando.
Waldkirchen		567.7	48	44	13	36	54	24	M. Kraus, Landwirtschaftsrat.	Wohnhaus des Beobachters.
Eggenfelden		417	48	24	12	46	51	4	P. Antonin Reithmaier (O. F. M.)	Franziskanerkloster.
Mauerberg		ca 457	48	10	12	34	50	16	J. Mundel, Lehrer.	Wohnhaus des Beobachters.
Bad Aibling		ca 500	47	52	12	1	48	4	Schwester M. Thiem.	Englisches Institut.
Obersalzberg		ca 970	47	38	13	2	52	8	Dr. med. R. Seitz, Facharzt.	Kinder-Sanatorium.
Mittelberg		ca 1000	47	38	10	26	41	44	A. Wagner, Pfarrer, (Schwester Magdalena) [O. S. F.].	St. Aloysius-Kinderheim.

C. Wetterwarten nur mit Registrierapparaten ausgerüstet.

Würzburg	*	ca 179	49	48	9	56	39	44	G. Wiegand, Diplomoptiker.	Wohnhaus.
Regensburg	*	396.4	49	1	12	5	48	20	Dr. C. Stöckl, Hochschulprofessor.	Philosophisch-theologische Hochschule.
Landshut	*	ca 397	48	32	12	10	48	40	Städt. Werke Landshut (F. Wüchner, Elektromonteur).	Wetterhaus.
Rechbergreuthen	*	ca 479	48	28	10	31	42	4	E. Weckerle, Pfarrer.	Pfarrhof.
Augsburg	*	ca 495	48	22	10	54	43	36	Stadtbauamt, Bureau für Bauunterhaltung.	Wetterhaus.
München-F.-V.-A.	*	ca 520	48	9	11	34	46	16	Dr. Junk, Diplomingenieur	Wetterhaus.
München-Sternw.	*	528.7	48	9	11	36	46	26	G. Kraus, Oberwerkführer.	Sternwarte.
Engelsberg	*	ca 517	48	4	12	32	50	8	A. Wolfgruber, Postschaffner.	Wohnhaus.
Wiessee	*	ca 730	47	43	11	43	46	52	Frau Dr. Böninger	Wohnhaus.
Kochel-Jochwiese	*	ca 610	47	38	11	21	45	24	Walchensee-Kraftwerk A. G.	Auf dem Gelände der Baulcitung.
Füssen	*	ca 797	47	34	10	42	42	48	Städt. Verkehrsamt (F. Feigel, Uhrmacher).	Wetterhaus.
Lindau i. B. (Umgebung)	*	ca 450	47	33	9	41	38	44	R. Holtzhey, Major a. D.	Privathaus des Beobachters.
Oberstdorf	*	ca 812	47	24	10	17	41	8	Verkehrs- und Kurverein.	Rathaus.

3. Zur Geschichte der Bayerischen Landeswetterwarte.

Aus der Abteilung Wetterdienst ist zu berichten, dass die im Jahresbericht 1925 erwähnte drahtlose Übermittlung einer einfachen Wetterkarte nach dem System des Professors Dieckmann-Gräfelfing über das Versuchsstadium hinausgekommen ist. Seit 19. März wird täglich um die Mittagsstunde auf dem Sender des Münchener Rundfunks, direkt gesteuert von der Landeswetterwarte aus, die Karte verbreitet. Leider sind die Kosten eines Empfangsgerätes vorläufig noch so hoch, dass nur wenige Abnehmer davon Gebrauch machen können.

Aus dem Flugwetterdienst heben wir hervor die Bereisung der am Meldedienst beteiligten Postämter vor der Aufnahme des Sommerverkehrs durch die Leiter der Flugwetterwarten, sowie vor allem die Verlegung der Flugwetterwarte München von Schleissheim nach München-Oberwiesenfeld, da sich die „Fernberatung" der in Oberwiesenfeld startenden Flugzeuge von Schleissheim aus nicht bewährt hat. Es hätte zum mindesten ein Assistent dauernd in Oberwiesenfeld als Verbindungsmann sitzen müssen, so dass wir lieber die ganze Warte verlegten (ab 1. Juni). Die Leitung übernahm Dr. Egersdörfer. Die Beratung des süddeutschen Rundfluges (5. bis 7. Juni), soweit unser Gebiet in Frage kam, erfolgte dagegen von Schleissheim aus, da die Flugzeuge nur dort landeten und starteten.

Am 1. Oktober wurde die bisherige, so dankenswerte Verbindung des Flugwetterdienstes mit der Landespolizei gelöst, worauf das Reichsverkehrsministerium aus aussenpolitischen Gründen dringen musste. Es bleibt das dauernde Verdienst unserer Landespolizei, sofort dem Flugwetterdienst in Schleissheim und Fürth Obdach und Hilfe gewährt zu haben, zu einem Zeitpunkte, wo die jetzt so wohl ausgebaute Flugberatung noch unbekannt war.

Vom 25. Oktober bis 5. November fand wieder ein Ausbildungskurs für Flugdienstfunker, veranstaltet durch die Landespolizei, statt, dessen meteorologischen Teil die Herren Dr. Zistler, Dr. Egersdörfer, Schmid und Hiepp bestritten.

Vom 10. bis 19. Dezember hielt Dr. Zistler einen meteorologischen Kursus an der Pionierschule München.

Die Abteilung Aerologie hat sich in diesem Jahre, dank der Unterstützung der Notgemeinschaft der deutschen Wissenschaft, nicht bloss an den kleinen Serienaufstiegen, sondern auch an dem über ein ganzes Monat sich erstreckenden grossen Serienaufstieg beteiligen können. Die Verluste waren erfreulich gering.

Die Abteilung Klimatologie erledigte neben den laufenden Arbeiten vor allem die Errichtung von Spezialwetterwarten für den Weinbau in der Pfalz und für den Hopfenbau in Südbayern, für welche die Interessenten die Mittel aufbrachten. Die Landeswetterwarte selbst kann angesichts ihrer beschränkten Mittel, die noch durch eine nachträgliche 10 %ige Kürzung aller Staatsetats eine Abminderung erfuhren, an einen weiteren Ausbau nicht denken. Zu- und Abgänge wollen durch Vergleich der Stationsverzeichnisse 1925 und 1926 ermittelt werden. Die Arbeiten an den Klimatabellen wurden fortgeführt sowie zahlreiche Gutachten erstellt.

Mit besonderer Freude berichte ich von der Habilitation des Vorstandes der Abteilung Klimatologie, Dr. A. Huber, an der Technischen Hochschule am 16. November, die uns Gelegenheit gibt, nun auch mit den Studierenden dieser Hochschule in Fühlung zu kommen.

Die Abteilung Forstmeteorologie hat das Studium des Klimas der untersten Luftschichten fortgesetzt. Als grosse Aufgabe dieses Jahres wurde eine über mehrere Monate sich hinziehende Expositionsuntersuchung auf einem Rundberge in Württemberg, auf dem Hohenkarpfen bei Spaichingen, durchgeführt. Es war eine interessante Feldarbeit, die nur leider sehr zu leiden hatte unter dem schlechten Wetter des Sommers 1926, das erst um den 12. August sein Ende fand.

Die Abteilung Bibliothek vollzog mit einem grossen Teil ihrer Bestände den Umzug vom sog. Theresianum der Technischen Hochschule in die ihr in dankenswerter Weise im Bibliotheksbau der Hochschule überlassenen Räume.

Die Neubaufrage hat keinen Fortschritt gemacht. Anlässlich der Jahrhundertfeier der Universität München wurde auf Anregung des Rektorates und Senates die Notlage der am meisten bedrängten Universitätsinstitute in den Münchener Tageszeitungen geschildert. Auch die Not der Landeswetterwarte wurde im Rahmen dieses Buketts von Desiderata dargelegt in folgenden Ausführungen.

Die Bayerische Landeswetterwarte wurde Ende 1878 gegründet. Zur Unterbringung wurde ihr bis zur Erstellung eines eigenen Dienstgebäudes als „Provisorium" eine Wohnung im 3. Stock an der Gabelsbergerstrasse zugewiesen, die eine verhältnismässig freie Lage hatte, da damals im Norden der grosse Ostermayer-Garten sich anschloss, im Westen ein nur einstöckiges Gebäude stand. Der Neubau unterblieb. Da das Institut sich vergrösserte, wurde der zweite, später der 1. Stock des Hauses hinzugemietet. Inzwischen verschlechterten sich die Beobachtungsbedingungen immer mehr. Dem einstöckigen Hause im Westen wurde ein Aufbau aufgesetzt, der Ostermayersche Garten durch die Technische Hochschule verbaut. Damit war dem Institut, das eine Wetterwarte sein sollte, der freie Blick genommen. Es wurde ferner genötigt, auf experimentelle Meteorologie überhaupt zu verzichten.

So blieb die Lage bis zum Jahre 1917, in dem sich der damalige Kultusminister Dr. von Knilling entschloss, der Landeswetterwarte aus dem Provisorium herauszuhelfen. Im Staatshaushalte 1918/19 wurden 400000 ℳ als erste Rate eingesetzt; mit dem Bau sollte gleich nach dem Kriege begonnen werden, der auch die militärische Verwendbarkeit des Wetterdienstes dargetan hatte. Die Revolution brachte einen neuen Aufschub. Erst im Etat 1923 wurde vom Kultusminister Dr. Matt das Projekt wieder vorgenommen. In der Etatsbegründung heisst es: „Das derzeitige Gebäude an der Gabelsbergerstrasse entspricht schon seit langen Jahren nicht mehr den an die Anstalt gestellten hohen Bedürfnissen, und ein Neubau ist dem Direktor Dr. Schmauss für die Ablehnung seiner Berufung nach Berlin vom Kultus- und Finanzministerium ausdrücklich zugesagt worden. Mit der Errichtung des Gebäudes soll so bald als möglich, voraussichtlich noch in diesem Jahre, begonnen werden."

Hart an dem Ziele kam ein zweiter Rückschlag: Die katastrophale Inflation, die dem Staate die Möglichkeit nahm, seine auch anderen Instituten gegebenen Zusagen aufrechtzuerhalten. Da die Aufgabenerweiterung der Landeswetterwarte

ihren Fortgang nahm, macht sich jetzt neben der Unmöglichkeit, experimentell zu arbeiten, auch Raumnot geltend: die wertvolle Bibliothek, das Rüstzeug für das ganz auf theoretische Arbeit verwiesene Institut, musste Zuflucht in der Technischen Hochschule suchen. Die Pilotballonmessungen, das tägliche Brot einer Wetterdienststelle, müssen ausserhalb Münchens erfolgen; die Registrierinstrumente sind im Botanischen Garten untergebracht, die Station zur Untersuchung der bodennahen Luftschichten im Garten der Abtei St. Bonifaz. Die Raumnot macht es ganz unmöglich, den Studierenden ein meteorologisches Praktikum zu bieten. Die Annahme von Doktoranden scheitert an dem Mangel eines Arbeitsplatzes an der Landeswetterwarte.

Wird das Institut im Jahre 1929 sein 50jähriges Jubiläum noch in dem „Provisorium" feiern müssen?

Von der Hochstation Zugspitze ist vor allem die Fertigstellung der österreichischen Seilschwebebahn zu berichten, welche für uns von grösster Bedeutung zu werden verspricht. Zunächst erhielten wir die Erlaubnis des Transportes der Kohlen und anderer Güter, welche demnach nur mehr von der Endstation der Bahn aus als Traglasten befördert werden müssen. Ferner beabsichtigen wir, die Schwebebahn als aerologisches Hilfsmittel ein Jahr hindurch zur Erforschung der Bergatmosphäre zu benützen, wofür wir die Hilfe der Notgemeinschaft der deutschen Wissenschaft erhoffen. Vom 18. bis 22. Oktober haben Dr. Zistler und ich die nötigen Vorversuche durchgeführt, zu welchen auch Professor Dr. A. Defant von Innsbruck herübergekommen war. Es hat sich gezeigt, dass man bei geeigneter Anbringung der Dracheninstrumente über der Personenkabine gute Registrierungen erhalten kann.

Am 1. August vollzog sich der Beobachterwechsel: Assessor Lautner, welcher 2 Jahre ausgeharrt hatte, wurde von Assessor Hermann Lipp abgelöst; damit wurden die luftelektrischen Untersuchungen Lautners unterbrochen, welche im Beobachterjahre 1927/28 ihre Fortsetzung finden sollen. H. Lipp arbeitet auf dem Gebiete der Strahlung; dank der Hilfe der Notgemeinschaft ist er gut mit Instrumenten ausgerüstet, so dass ich wertvolle Untersuchungen erhoffe. Ein Moment feierlichen Ernstes war die Ablösung am 31. Juli, die sich erstmalig mit der Bahn vollzog.

An Personalveränderungen ist noch weiter zu erwähnen:

a) An der Landeswetterwarte: Vom 1. Februar an legte der Versorgungsanwärter Hugo Bobinger eine Probedienstzeit ab zum Zwecke einer eventuellen Übertragung der Offiziantenstelle; denn leider verschlimmerte sich der Zustand unseres Hausverwalters Georg Götz immer mehr, so dass seinem Abschiedsgesuch zum 1. April vom Staatsministerium für Unterricht unter Anerkennung seiner treuen Dienstleistungen entsprochen werden musste. Die Ernennung seines Nachfolgers Bobinger erfolgte zum 1. Mai.

Sehr besorgniserregend war die Erkrankung der Kanzleiassistentin E. Hecker, welche einen längeren Kuraufenthalt notwendig machte (15. Januar bis 1. Oktober). Als Aushilfe fungierte vom 8. März bis 22. Mai Frieda Wurst, von da an Johann Wolf, den wir auch nach der Rückkehr von E. Hecker weiterverwendeten.

Im Etat 1926 wurde die Position Kalmitobservatorium wieder eingesetzt. Wir hoffen, dass die baulichen und sonstigen Vorbedingungen auf diesem Aussichtspunkte des Pfälzer Waldvereins bis Frühjahr 1927 so weit vorangegangen sein werden, dass wir den dafür bestimmten Beobachter, Assessor Erich Eisfeld, dorthin abstellen können, welcher seit 25. Mai an der Landeswetterwarte praktiziert und nebenher sein Seminarjahr am Alten Realgymnasium abdiente.

Einem Wunsche der Studentenhilfe nachkommend, haben wir den cand. math. Hirth während der akademischen Ferien beschäftigt.

Ab 1. September wurde unser Assistent Hans Lipp an die Realschule Aschaffenburg versetzt. An seine Stelle trat Assessor Gottlieb Schmid von der Flugwetterwarte Fürth.

b) An der Flugwetterwarte Oberwiesenfeld: Als Hilfen waren dort beschäftigt vom 1. bis 31. Januar Ernst Limmer, ab 1. Februar Franz Schonger. Assessor Schlötzer wurde ab 1. April an der Landeswetterwarte verwendet, stand aber in Urlaubsfällen jederzeit der Flugwetterwarte zur Verfügung.

c) An der Flugwetterwarte Fürth: Wie schon erwähnt, wurde Assessor Schmid am 1. September zur Landeswetterwarte versetzt. An seiner Stelle wurden in Fürth zwei Hilfskräfte eingestellt: ab 1. September Walter Spöker, ab 15. September Diplomingenieur Hans Hofmann.

Am 31. Dezember war demnach der Personalstand der Landeswetterwarte einschliesslich des Höhenwetterdienstes:

Direktor: unbesetzt. Mit der Führung beauftragt Dr. A. Schmauss, o. Professor an der Universität.
Hauptobservator: Dr. A. Huber, Privatdozent an der Technischen Hochschule.
Observatoren: Dr. P. Zistler, Dr. H. Zierl, N. N.
Meteorologe auf Dienstvertrag: Dr. R. Geiger.
Verwaltungsinspektoren: C. Brunner, L. Gsell.
Rechner auf Dienstvertrag: L. Grubhofer.
Obersekretär: G. Bader.
Kanzleisekretär: J. Speckner.
Kanzleiassistentin: E. Hecker.
Nichtetatsmässige Kanzleiassistentinnen: H. Jehle, R. Schmid.
Offiziant: H. Bobinger.
Wissenschaftliche Assistenten: F. Hiepp, P. Lautner, H. Schlötzer, G. Schmid.
Auf dem Hochobservatorium Zugspitze: Hermann Lipp.
An der Flugwetterwarte Oberwiesenfeld: Dr. L. Egersdörfer, H. Holzer, F. Schonger.

An der Flugwetterwarte Fürth: Dr. W. Stöbe, W. Strauch, H. Hofmann, W. Spöker.
Für das Observatorium auf der Kalmit (in Vorbereitung) E. Eisfeld.
An der Meteorologischen Abteilung der Forstlichen Versuchsanstalt: Forstamtmann H. Amann.

Von besonderen Arbeiten dieses Jahres seien erwähnt:

Die Fertigstellung des Teiles II der „Türkenarbeit" durch Dr. P. Zistler; die Arbeiten anlässlich der Eröffnung der meteorologischen Abteilung des Deutschen Museums am 7. Mai, für welche der Goldene Ring als Anerkennung verliehen wurde; die Beteiligung an den Vorarbeiten für ein deutsches Höhensanatorium, für welches Hochserfaus im oberen Inntal in die engere Wahl kommt. Auf eine Vorbesprechung im Mai im Staatsministerium des Äussern folgte am 12. und 13. Juni eine gemeinsame Begehung.

Für dieses Jahr gehörte ich dem Wissenschaftlichen Unterausschuss des D. u. Oe. Alpenvereins an; neben einigen Gutachten ist der Teilnahme an der Sitzung in Würzburg am 16. Juli sowie einer Sitzung des Sonnblickkuratoriums im September auf Schloss Blühnbach (Salzburg) zu gedenken.

Viel Arbeit machte die Tätigkeit als Referent für Geophysik bei der Notgemeinschaft der deutschen Wissenschaft: neben der Begutachtung der einleitenden Anträge Teilnahme an mehreren Sitzungen in Berlin der einschlägigen Kommissionen der Notgemeinschaft (für das Studium der Schallausbreitung, der Windforschung, der Strahlung).

An der Feier des 50jährigen Bestehens der Zentralanstalt in Wien am 29. September habe ich teilgenommen, vorher überbrachte ich die Glückwünsche der Deutschen Meteorologischen Gesellschaft für W. Köppen in Graz, welcher am 25. seinen 80. Geburtstag feiern konnte.

In ein näheres Zusammenarbeiten mit Herrn Köppen kam unser Dr. Geiger, welcher ihm bei der Herausgabe einer auf Köppens Klassifikation der Klimate beruhenden Karte behilflich sein konnte. Zu diesem Zwecke verweilte Geiger im November eine Woche in Graz.

Am 2. und 3. Oktober habe ich an der Direktorenkonferenz in Karlsruhe teilgenommen, welche der Tagung der Deutschen Meteorologischen Gesellschaft vom 4. bis 7. Oktober dort vorausging. An dieser beteiligten sich aus unserem Bereiche die Herren Egersdörfer, Geiger, Gsell, Huber, Lautner, Schmauss, Stöbe und Zierl. München wurde wieder für 3 Jahre zum Vorort der Gesellschaft gewählt, womit auch manche Arbeit verbunden ist.

Am 8. Oktober nahm ich an der anschliessenden Sitzung des Kuratoriums der Drachenstation Friedrichshafen teil.

Auch an der Tagung der Internationalen Studiengesellschaft zur Erforschung der Arktis in Berlin (9. bis 13. November) war unser Institut vertreten.

Von auswärtigen jüngeren Meteorologen, welche unsere Hochschule zum physikalischen und meteorologischen Studium aufsuchten, seien erwähnt die Herren Christosskow (Sofia), Pernice (Berlin), v. Schubert (Lübeck). Leider lassen uns gerade solche Besuche die Unzulänglichkeit unserer Räume, die Unmöglichkeit experimenteller Arbeit, kurz die ganze Not der Landeswetterwarte besonders empfinden.

München, im Januar 1927. A. Schmauss.

Beschreibung der Aufstellung der Instrumente

in

Bergzabern, Rhodt, Hüll, Pfaffenhofen a. Ilm, Nandlstadt und Mittenwald.

Bergzabern.

Meereshöhe = ca. 181 m. Polhöhe = 49° 17′ N. Östl. Länge von Greenwich = 8° 8′.

Die Wetterwarte, die wie Rhodt speziell dem Interesse des Weinbaues dienen soll, ist mit einer, mit dem üblichen Instrumentarium ausgestatteten Hütte ausgerüstet.

Die Hütte steht in dem an einem gegen Norden aufsteigenden Hang gelegenen Hausgarten.

Ht beträgt 1.9 m, Hr = 1.5 m.

Die Beobachtungen macht Herr Weinbauinspektor Ludwig Judt, im Vertretungsfalle Herr Otto Bauer.

Rhodt.

Meereshöhe = ca. 215 m. Polhöhe = 49° 16′ N. Östl. Länge von Greenwich 8° 6′.

Die Wetterwarte ist mit der normalen Hütte und dem gewöhnlichen Instrumentarium ausgerüstet.

Die Hütte steht völlig frei in dem Garten des Privathauses des Beobachters.

Ht beträgt 2.1 m, Hr = 1.1 m.

Die allgemeine Lage des Ortes ist charakteristisch für das südlich von Neustadt a. Haardt gegen Landau i. Pf. zu gelegene Weinbaugebiet. Im Osten senkt sich die Mittellage zur Rheinebene ab, im Westen liegen die Berge der Haardt.

Die Beobachtungen macht Herr Hauptlehrer August Candidus, im Vertretungsfalle seine Tochter Fräulein Emma Candidus.

Hüll.

Meereshöhe = ca. 438 m. Polhöhe = 48° 36′ N. Östl. Länge von Greenwich = 11° 41′.

Die Wetterwarte befindet sich auf dem Gelände des Hopfenversuchsgutes in Hüll, das in einer nach SW hin geöffneten Talmulde liegt, welche von bewaldeten Höhen umgeben ist. Die Thermometerhütte steht in freier Lage im Gemüsegarten, 24 m N-lich des rechten Flügels des Gutshofes. Die Quecksilberkugel des trockenen Stationsthermometers befindet sich 2.0 m über dem Erdboden. Der Regenmesser steht E-lich der Hütte; seine Auffangfläche liegt 1.3 m über dem Erdboden.

Zwischen Thermometerhütte und Regenmesser ist auf einem Mast ein Windwimpel angebracht.

Auf einem Tonrohr montiert, ca. 2.5 m S-lich der Hütte, steht ein Sonnenscheinautograph.

In der Thermometerhütte ist auch noch ein Thermo- und ein Hygrograph aufgestellt. Im ersten Stock des Wohngebäudes an der N-Seite im Gang ist der Barograph aufgestellt. An der E-Seite der Thermometerhütte und des Sonnenscheinautographen befinden sich die Bodenthermometer, womit die Temperaturen in 0.02, 0.05, 0.10, 0.20, 0.50, 1.00 und 1.50 m Tiefe gemessen werden.

Die Beobachtungen werden von Landwirtschaftsassessor H. Schwab, in dessen Abwesenheit von dem Schweizer A. Stippich ausgeführt.

Pfaffenhofen a. Ilm.

Meereshöhe = ca. 428 m. Polhöhe = 48° 32′ N. Östl. Länge von Greenwich = 11° 31′.

An der Südseite eines die Stadt Pfaffenhofen a. Ilm umgebenden Höhenzuges, der in WE licher Richtung streicht, befindet sich das Privathaus des Beobachters. Im Grasgarten beim Hause hat die Thermometerhütte mit der Ausrüstung einer Wetterwarte II. O. Aufstellung gefunden.

Die Quecksilberkugel des trockenen Stationsthermometers liegt 1.9 m über dem Grasboden.

Der Regenmesser steht ca 2 m E-lich der Hütte. Seine Auffangfläche liegt 1.6 m über dem Grasboden.

Die Windrichtung und Stärke wird mit einem Windwimpel bestimmt. Zufolge der Lage des Hauses ist die Fernsicht nur eine beschränkte. In der Hütte hat auch ein Thermograph Aufstellung gefunden.

Die Beobachtungen werden von Herrn Oberlehrer a. D. G. Fesenmair, in Vertretung von seiner Ehefrau ausgeführt.

Nandlstadt.

Meere-höhe = ca. 464 m. Polhöhe = 48° 32′ N. Östl. Länge von Greenwich = 11° 48′.

Die Wetterwarte Nandlstadt liegt am Ostrande des Hopfenbaugebietes der Hallertau. Die englische Hütte, die die Thermometer, den Thermographen und das Haarhygrometer enthält, steht am Südhang eines ost-westlich laufenden Höhenrückens (ungefähr auf halber Höhe) in der Westecke eines geräumigen Vorgartens. Der Blick ist frei nach W, S und E, nach N durch Bäume und Häuser etwas behindert. Die Besonnung der Hütte ist bei tiefem Stande der Sonne, am Morgen und Abend, infolge des hügeligen Geländes unterbunden. Die Höhe der Quecksilberkugel des Thermometers über dem Boden beträgt 2.1 m.

Ca. 5 m von der Hütte entfernt, steht der Hellmannsche Regenmesser; seine Auffangfläche liegt 1.2 m über dem Gartenboden.

In der östlichen Ecke des Gartens ist ein Wimpel in 11 m Höhe angebracht. Die Wetterwarte ist Eigentum der Gemeinde Nandlstadt.

Die Beobachtungen werden besorgt durch Herrn Steuerverwalter a. D. Ludwig Gruber; im Behinderungsfalle hilft Frl. Centa Becht aus.

Mittenwald.

Meereshöhe = ca. 917.7 m. Polhöhe = 47° 27′ N. Östl. Länge von Greenwich = 11° 16′.

Am 21. September 1926 wurde die Wetterwarte vom Garten der Benefiziaten-Stiftung in die „Villa Edelweiss", welche dem neuen Beobachter gehört, verlegt. Diese Villa liegt in dem freien Gelände, das sich zwischen dem nach S streichenden Teile des Ortes und dem Schienenstrang der elektrischen Bahn ausbreitet.

Das Stationsbarometer befindet sich über einer kleinen Plattform der Haustreppe. Neben dem Stationsbarometer steht ein Barograph.

Die Thermometerhütte steht in freier Lage im Vorgarten. Lediglich durch einige Obstbäume wird zeitweise die Sonne etwas abgehalten.

Die Thermometerhütte enthält ausser den Instrumenten einer Wetterwarte II. O. noch einen Thermo- und einen Hygrographen. Die Quecksilberkugel des trockenen Stationsthermometers liegt 1.9 m über dem Erdboden. Der Regenmesser ist in 2.8 m Entfernung von der SE-Ecke der Villa aufgestellt. Seine Auffangfläche liegt 1.2 m über dem Erdboden.

Auf einem 6 m hohen Mast, der ca. 8 m S-lich der Villa Aufstellung fand, ist ein Windwimpel angebracht.

Die Beobachtungen werden von Herrn Bauführer Georg Rieger, in Vertretung von seiner Ehefrau ausgeführt.

Bamberg.

Januar. $\varphi = 49^0\ 53'$ N. $\lambda = 10^0\ 53'$ E $= 43^m\ 32^s$. H $= 287.7$ m. Cg $= +0.3$ mm. 1926.

Datum	Luftdruck auf 0° u. Normalschwere reduziert 700 mm + 7a	2p	9p	Lufttemperatur C° 7a	2p	9p	Max.	Min.	Absolute Feuchtigkeit mm 7a	2p	9p	Relative Feuchtigkeit Proz. 7a	2p	9p	Richtung und Stärke des Windes 0 bis 12 7a	2p	9p	Bewölkung 0 bis 10 7a	2p	9p	Niederschlag mm 7a	Schneedecke cm 7a	Bemerkungen
1.	37.3	42.3	43.5	4.6	4.3	0.4	6.8	0.0	5.8	4.1	3.7	92	66	78	S 2	NW 3	S 1	10^1●	4^1⊙	9^1	8.9	–	900–ca 945 p ◍0.1. 640–734 a ztw. ◍0.
2.	34.7	28 9	28.3	3.6	5.4	5.9	6.6	– 1.2	5.0	5.4	6.2	85	80	90	S 3	SW 3	SW 3	10^1●	10^1●	7^1	0.7	–	639–954 a ◍0.1, dann ztw. ◍Tr. 216 p ◍1. 714 p kurze
3.	30.0	30.9	29.5	7.4	7.1	3.4	**8.1**	2.8	**7.2**	6.3	5.3	94	84	92	SW 2	SW 2	S 2	10^2●	9^1⊙	10^1	3.5	–	11^{00} p–704 a ◍0.1. [Zeit ◍Tr.
4.	30.0	33.6	35.6	4.2	6.1	4.0	6.4	2.5	5.7	5.4	5.4	92	76	88	S 2	W 3	SW 3	10^1	9^1	10^2●	1.6	–	n, 854–900 p ◍1.
5.	35.6	37.0	39.1	3.7	4.7	3.2	5.2	1.9	5.7	6.0	5.5	95	94	95	C	W 1	E 1	10^1●	10^1	10^2	0.6	–	900–44 p ◍1. ca 548 p–713 a ◍0.1. 440–534 p ◍1.
6.	40.6	41.1	40.5	2.2	4.3	3.2	4.7	1.0	5.2	5.3	5.6	96	85	97	SE 2	S 2	SW 2	10^1	9^1	10^1	3.1	–	ca 11^{45} p–645 a ◍0.1. 7 a Talnebel. 649–ca 848 p ◍1.
7.	38.6	40.6	38.0	5.2	7.1	1.9	**8.1**	1.7	6.5	5.5	5.0	98	73	95	SW 2	W 2	S 2	10^2●	3^1⊙	10^1	3.0	–	ca 045–743 a ◍0.1.
8.	39.4	40.4	42.0	1.5	3.8	2.2	4.4	0.1	4.6	4.5	5.1	91	75	94	S 1	W 2	NW 2	9^1	10^1	8^1	5.8	–	10^{14} p–ca 045 a ◍0.1, dann–ca 345 a ✳0.1 u. ◍0.1.
9.	43.1	43.7	45.3	1.1	3.3	– 0.7	4.2	– 1.5	4.6	5.2	4.2	92	90	98	W 1	S 2	W 1	10^1	10^1	0	0.7	–	ca 745 p–n ⌊0.1, Talnebel. [745–829 a ◍1.
10.	45.2	45.3	45.6	– 3.2	– 1.6	– 2.8	– 0.3	– 4.2	3.6	4.0	3.7	99	99	100	N 2	C	C	10^2=	3^1=	10^1=	–	–	10^{34} p ≡1.2, a ⌊1, t ≡1.2.
11.	45.7	46.1	**46.8**	– 3.7	0.1	– 3.3	0.4	– 5.0	3.5	4.5	2.8	99	98	79	C	C	NW 2	10^2=	10^1	7^0	0.1	–	n, a–829 a ≡1.2, ⌊1.
12.	46.6	45.5	46.1	– 8.6	– 5.5	– 9.8	– 3.0	–10.2	1.4	1.6	1.4	60	53	66	NE 2	E 3	NE 3	0	8^1	0	0.2	–	n, a ⌊1.
13.	42.9	38.3	36.7	–11.9	– 6.1	– 6.9	– 6.0	**–12.7**	**1.3**	1.6	1.8	71	53	64	NE 3	NE 4	S 6	4^1	1^1⊙	10^2	–	–	
14.	32.5	29.9	30.4	– 6.1	– 0.3	– 1.6	0.8	– 8.7	1.9	2.9	3.0	66	65	74	NE 2	E 2	NE 2	10^1	9^1⊙	1^1	–	–	[ca 645–900 p ✳ u. ◍0. 900 p ✳1.
15.	28.9	28.8	30.7	– 3.1	– 2.3	– 6.1	– 1.6	– 6.8	3.3	3.7	2.8	91	96	95	NE 1	NW 2	NE 4	10^1	10^2●	10^2*	–	–	mrgs. ∞, Talnebel. 11^{14} a–ca 440 p ◍0 mit ᔓ.
16.	31.5	30.2	29.9	– 7.8	– 4.9	– 7.1	– 4.9	– 8.9	2.5	2.6	2.5	96	81	94	SE 1	S 1	C	10^1	10^1	9^1	**10.0**	10	900–1014 p ✳0.1, 10^{14} p–ca 345 a ✳, ◍0.1, ᔓ1.
17.	30.4	29.2	28.4	– 8.9	– 3.7	– 5.5	– 3.7	– 9.6	2.2	3.0	2.6	95	85	85	SW 3	SW 1	C	10^2*	10^2*	10^2	1.5	12	ca 448 a–434 p ztw. ✳0.1. [709.32 a ✳1.
18.	29.8	32.5	34.1	– 6.0	– 3.2	– 2.7	– 2.7	– 7.0	2.8	3.0	3.5	95	84	93	C	S 2	C	10^2*	10^2	10^2*	1.4	11	700 a, 749–ca 10^{46} a ✳0.1, 254–900 p ✳1.
19.	34.4	32.4	32.4	– 7.7	– 3.7	– 6.0	– 2.2	– 8.6	2.5	2.7	2.5	96	76	87	C	S 2	W 3	10^2	9^1⊙	10^2	2.5	12	900.24 p ✳0.1.
20.	33.1	33.5	33.5	– 5.6	– 2.5	– 2.3	– 2.0	– 7.0	2.6	3.2	3.7	85	85	96	C	S 1	C	10^2*	10^2	10^2	1.8	15	ca 445–1130 a ✳0.1, m ztw. ✳Fl. 430–806 p ✳1.
21.	32.5	31.6	32.2	– 0.8	1.1	– 0.8	4.0	– 3.0	4.2	3.9	3.7	97	79	85	C	W 1	SW 1	10^1	7^1⊙	9^1	4.8	**18**	ca 845 a ✳Fl.
22.	37.6	40.4	42.0	– 6.2	– 1.7	– 5.5	– 0.8	– 7.0	2.7	3.2	2.8	92	80	93	SE 1	SE 1	NE 1	10^1	1^1⊙	7^0	0.1	13	
23.	39.2	36.7	35.5	– 4.9	0.2	– 0.4	0.4	– 8.9	2.9	4.0	3.8	91	87	86	SE 2	SE 2	S 4	10^1	10^1●	1^{-1}	–	12	912 a–213 p ztw. ✳3 u. △0. 200 p ◍0.1.
24.	34.8	37.5	42.2	– 0.7	3.2	1.3	4.0	– 2.3	3.3	5.1	4.7	76	88	92	S 2	S 2	SW 2	10^1	10^1	3^0	1.3	11	m kurz ◍Tr.
25.	44.2	43.7	42.9	2.0	5.6	2.7	6.2	– 0.3	4.9	5.0	4.3	93	74	77	S 2	S 3	S 3	10^1	7^1⊙	8^1	0.1	9	ca 148 p ztw. ◍0.1.
26.	42.9	44.1	46.1	3.8	6.3	2.7	7.2	1.6	5.9	6.4	5.6	98	90	100	S 1	W 1	S 3	10^1	7^1⊙	10^1=	1.6	6	n ◍1, rasche Schneeschmelze, m ◍Tr. 734–900 p ≡1.2.
27.	43.9	41.8	39.8	1.1	3.5	1.9	4.2	0.1	4.9	5.4	4.7	98	92	90	S 1	SE 1	SW 3	10^2=	7^1⊙	6^0	0.3	–	900 p–1034 a ≡1.2.
28.	41.8	41.1	39.5	1.7	6.8	2.8	7.2	– 0.2	4.7	6.3	5.4	91	86	96	SW 1	SW 1	C	10^1	10^1	10^1	0.1	–	n ◍0.
29.	33.2	32.4	33.3	0.9	4.2	3.9	4.9	– 0.9	4.7	5.2	5.7	96	84	95	NW 1	SW 2	SW 5	10^1	10^1	10^1	0.1	–	n ≡1.2 u. ◍Tr. 904 a ◍Tr. ca 245–814 p ◍.
30.	36.0	35.6	34.3	2.9	7.5	1.4	**8.1**	0.9	5.0	5.3	4.6	88	69	91	SW 2	SE 1	S 1	10^1	3^1⊙	4^1	0.5	–	
31.	32.2	31.2	31.7	– 0.4	5.2	3.0	5.5	– 2.1	4.2	5.0	5 0	94	75	88	C	S 2	SW 4	10^1	10^1	10^1	–	–	mrgs. ⌊1.
Mittel	37.1	37.0	37.3	– 1.3	1.8	– 0.6	2.6	– 3.3	4.0	4.4	4.1	90	81	89				9.5	7.9	8.0	54.3		

Kaiserslautern.

Januar. $\varphi = 49^0\ 27'$ N. $\lambda = 7^0\ 46'$ E $= 31^m\ 4^s$. H $= 238.1$ m. Cg $= +0.3$ mm. 1926.

1.	44.4	49.1	46.4	6.8	7.2	6.6	9.3	5.0	6.0	4.7	5.9	81	62	81	SW 6	W 6	E 3	10^1●	5^0	10^1	7.1	–	n ⊠◍0. a ◍0. ca 920 a–abds. Aufklaren.
2.	35.6	31.4	33.1	6.8	9.3	8.7	**10.0**	6.0	6.2	6.4	7.3	84	74	87	SW 3	SW 6	W 5	10^1●	10^1●	10^0●	1.5	–	ca 530 a–2 p ◍0. ca 2 p vorüberg. Aufkl. abds.–n ◍.
3.	36.0	36.4	31.6	8.6	7.4	5.2	9.3	5.0	7.1	5.4	5.9	86	70	89	E 4	SW 5	SE 1	9^0●	9^0●	10^0●	2.6	–	t meist ◍0.
4.	35.9	38.4	39.4	5.6	6.0	5.8	6.0	4.0	5.9	5.6	5.9	86	81	87	W 2	W 2	W 4	9^0●	8^0	9^0	5.0	–	a ◍0. t wechs. bewölkt.
5.	41.2	43.0	45.0	5.9	6.4	5.6	8.3	4.0	6.3	5.8	5.6	91	81	83	SW 2	NW 4	SW 2	10^1	9^1⊙	8^0	2.5	–	a–ca 7 a ◍0, t wechs. bewölkt.
6.	45.0	44.5	44.4	3.0	6.8	7.9	8.3	3.0	5.3	6.8	**7.4**	93	93	93	SE 1	SW 2	SW 3	8^0	10^0●	10^0●	–	–	a ≡0. m ≡:. 1^{01}–900 p ◍0.
7.	44.7	44.8	42.4	5.9	7.1	3.9	8.3	3.2	6.2	6.0	5.3	90	80	87	SW 2	S 3	W 6	0	10^0●	10^1●	2.9	–	900–1016 p ◍0. mrgs.–vorm. Aufheiterung. 200 p ◍.1)
8.	45.8	47.8	49.8	4.2	4.8	2.6	6.1	2.0	5.0	4.1	4.8	80	64	85	SW 5	W 4	W 4	10^0	7^0⊙	10^0	2.5	–	t wechs. bewölkt. ca 4 p Abendröte.
9.	49.1	48.4	48.3	1.8	4.0	0.4	6.3	0.0	4.5	4.6	4.0	88	75	85	E 1	NE 3	E 1	4^0	3^0	0	–	–	a ⌊0. 851 a ≡.
10.	48.7	49.3	50.2	– 2.1	5.0	– 0.6	5.8	– 2.5	3.4	3.8	3.7	85	58	84	NW 1	E 3	NW 1	1^0⊙	3^0⊙	0	–	–	a ⌊. a–901 a ≡.
11.	50.5	49.8	**51.4**	– 3.4	3.7	0.6	4.3	– 4.0	3.1	3.7	3.9	86	62	82	NW 1	N 3	NE 1	0	o⊙	0	–	–	a ⌊ u. ≡.
12.	49.7	48.8	48.2	– 4.0	– 2.6	– 6.4	0.6	– 6.6	2.3	1.8	1.7	66	48	60	E 3	NE 5	E 7	0	o⊙	0	–	–	a ⌊2.
13.	46.4	42.3	39.6	– 9.7	– 6.8	– 8.1	– 5.7	**– 9.7**	**1.5**	1.6	1.7	66	59	70	NE 3	E 3	E 5	0	o⊙	10^0	–	–	
14.	36.1	34.5	35.6	– 8.6	– 4.3	– 6.5	– 3.0	– 8.7	1.9	2.2	2.1	77	66	76	E 5	NE 4	NE 3	1^0	3⊙	0	–	–	ca 930–11 p ✳.
15.	35.8	36.6	37.8	– 5.6	– 6.0	– 5.6	– 4.2	– 6.5	2.7	2.6	2.6	90	90	85	W 4	W 5	W 3	10^0*	10^0*	10^0*	1.6	5	10^{16} p–n ✳. a ≡. t–n ✳0.
16.	35.6	34.1	34.2	– 4.3	– 2.5	– 4.8	– 1.7	– 6.5	2.9	2.9	2.7	87	76	84	W 3	SW 1	E 1	10^0	10^0	0	**8.2**	9	956–1131 a vorübergehend Aufklaren.
17.	35.4	32.7	31.2	– 6.2	– 1.7	– 5.0	– 1.5	– 8.9	2.4	3.2	2.6	84	80	81	SW 1	NW 1	E 2	10^0	10^0	0	–	9	
18.	35.6	38.5	40.0	– 7.4	– 1.8	0.1	0.3	– 7.4	2.2	3.5	4.1	82	88	90	NW 2	SW 4	SW 4	10^0*	10^0*	10^0	–	7	t–abds. ✳0.
19.	38.3	34.4	35.6	– 4.0	– 2.0	– 2.4	0.1	– 4.0	2.9	3.4	3.4	85	86	90	NE 4	NE 5	W 1	10^0*	10^0*	10^0*	1.4	**10**	t ✳0.
20.	39.0	38.3	38.7	1.8	2.4	1.8	3.3	– 2.4	4.8	4.8	4.9	91	87	93	W 4	SW 5	SW 4	10^0	10^0	10^0	2.7	4	t Tauwetter.
21.	37.7	35.8	36.6	0.6	2.3	– 1.5	2.6	– 2.0	4.4	4.0	3.5	92	74	86	SW 1	E 5	E 3	10^0	9^0⊙	10^0	–	4	a ᔓ.
22.	43.2	45.5	45.5	– 1.6	– 0.4	– 1.4	– 0.2	– 2.5	3.5	3.7	3.5	86	84	84	NW 2	NW 4	NW 3	9^0⊙	9^0⊙	10^0	–	3	t stark wechs. Bewölkung.
23.	42.4	39.6	37.9	0.8	5.0	5.0	5.8	– 1.4	4.5	5.2	5.3	92	80	81	W 4	SW 4	NW 4	10^0	8^0⊙	10^0	–	–	t ztw. Aufklaren. p ∈.
24.	39.0	42.4	48.1	4.6	5.8	4.4	6.3	4.0	5.5	5.4	5.6	87	79	90	NW 4	W 3	SW 2	10^0	10^0	9^0	0.7	–	n ◍. t ztw. Aufheiterung.
25.	49.2	48.8	48.2	3.9	8.1	6.2	8.6	3.0	5.2	5.4	5.7	85	67	81	SW 3	SW 5	SW 5	8^0	5^0⊙	10^0	–	–	Morgenröte. t wechs. Bewölkung. 748–816 p ⌊⌊⌊.
26.	48.5	50.3	50.8	6.3	8.0	6.6	8.5	5.2	6.5	7.2	6.6	91	90	91	SW 3	SW 2	SW 1	10^0	8^0⊙	10^0	0.0	–	700–811 a ≡:. 811 a–901 p ◍0. p–abds. wechs. bew.
27.	47.0	43.7	44.0	3.8	9.1	6.6	9.8	3.8	5.8	6.3	5.3	**97**	73	73	E 2	E 2	NW 3	10	5^0⊙	0	0.0	–	a ≡. 441 p Abendröte.
28	46.2	45.6	42.6	6.4	7.8	5.6	8.3	5.0	6.1	6.0	6.0	86	76	88	SW 2	SW 1	SE 1	10^0	10^0	8^0	–	–	t wechs. Bewölkung. abds. ∈.
29.	36.1	34.7	37.8	4.5	7.7	6.6	8.3	3.8	5.7	6.7	6.0	90	86	83	SW 1	SW 2	W 5	10^0	10^0●	5^0	–	–	mrgs. ≡. 731 a–216 p ◍0, dann ztw. Aufkl. 621–31 p ◍0.
30.	39.9	39.0	36.6	4.7	8.0	2.9	8.3	2.0	5.3	5.3	4.8	82	65	85	SW 3	S 1	SE 2	9^0	5^0⊙	4^0	2.9	–	531 a, 900 p ⊖.
31.	35.1	34.4	36.1	5.2	8.6	7.2	9.1	2.9	6.1	6.4	6.5	92	77	86	W 1	SW 4	SW 1	10^0	10^0●	9^0	–	–	200 p kurz ◍0.
Mittel	41.7	41.4	41.5	1.1	3.6	1.9	4.7	– 0.4	4.6	4.7	4.7	86	75	84				7.7	7.3	6.8	41.6		

1) abds. kurz ◍1 mit ▲ (846 p wolkenbruchartig). 900 p ◍.

Alle Angaben nach Ortszeit.

München.

Januar. $\varphi = 48^0\ 9'$ N. $\lambda = 11^0\ 34'$ E $= 46^m\ 16^s$. H $= 526.4$ m. Cg $= +0.1$ mm. 1926.

Datum	Luftdruck auf 0° u. Normalschwere reduziert 700 mm + 7a	2p	9p	Lufttemperatur C° 7a	2p	9p	Max.	Min.	Absolute Feuchtigkeit mm 7a	2p	9p	Relative Feuchtigkeit Proz. 7a	2p	9p	Richtung und Stärke des Windes 0 bis 12 7a	2p	9p	Bewölkung 0 bis 10 7a	2p	9p	Niederschlag mm 7a	Schneedecke cm 7a	Bemerkungen
1.	18.8	22.0	23.2	6.4	4.9	4.1	8.3	2.6	4.7	5.3	4.9	65	81	80	SW 5	W 4	SW 2	9^1	7^1	10^1	3.4	–	011 p ◎0. 136 p △-Böe u. ◎2.
2	15.2	09.9	09.1	3.3	7.1	7.0	**9.1**	2.1	3.9	4.8	5.8	66	65	77	S 1	SE 1	S 1	9^1	10^1	10^1	0.1	–	10^6 p ◎0. 30^6 p ◎0.1.
3.	11.2	11.9	09.2	5.9	6.1	3.6	7.9	3.1	5.7	5.9	4.5	83	84	77	SW 3	SW 3	SE 1	10^1	10^1	10^1	1.7	–	ca 8^{45}–9 a ◎0.1.
4.	10.5	14.2	16.1	4.1	5.3	3.1	5.9	2.1	5.1	4.7	4.2	84	70	72	SW 2	SW 2	S 2	10^1●	9^1	o	4.6	–	n ◎. 6^{54}–7^{06} a ◎0. 21^1 p ◎Tr.
5.	15.7	16.9	19 3	3.0	4.9	2.1	5.1	0.1	4.7	5.1	4.9	83	78	91	W 2	W 2	SW 1	10^1●	10^1●	10^1	0.7	–	7^{00} a ◎0. 8^{51} a kurz ✳0 u. ◎0. 2 p ◎. 216.46 p △ u. [1]
6.	20.0	20.5	20.4	2.4	5.4	3.2	6.0	1.2	4.8	4.0	4.4	87	60	76	SW 1	W 1	SW 1	7^1	6^1	10^1●	4.6	–	8^{44}–9^{00} p ◎0. [sichtbar.
7.	19.4	21.0	18.6	5.5	6.9	2.3	7.3	1.6	**5.9**	5.2	4.7	88	70	85	SW 2	W 2	S 5	10^1●	3^1○	o	2.9	–	9^{00} p–n ◎0. 7^{00} a ◎0. 8^{36}–ca 9^{45} a ◎1. p Geb. schw.
8.	20.5	21.1	22.6	1.7	3.7	1.4	3.7	– 0.6	3.9	4.1	4.1	75	68	82	SW 2	NW 3	SW 2	3^0	8^1	9^1	4.6	–	n ◎ u. ✳0. 9^{26} a kurz ✳0. 316.31 p ✳1.
9.	22.5	22.4	23.2	0.1	2.9	– 0.3	3.0	– 0.7	3.5	3.4	3.5	76	61	78	W 2	SW 2	SE 1	$1C^1$	8^1	o	0.4	–	
10.	22.8	22.9	23.8	– 3.4	1.5	– 2.0	1.8	– 4.4	2.3	2.7	3.1	68	53	81	SE 1	SE 2	SE 1	1^0	2^0○	o	–	–	a ⌊⌋1.
11.	23.1	23.2	23.2	– 2.1	0.4	– 1.7	0.7	– 3.0	3.4	3.5	3.2	90	75	81	C	E 1	NE 1	10^1	8^1	10^1	–	–	a ⌊⌋. 10^{00} a-p ≡0.
12.	22.5	21.3	21.3	– 8.7	– 8.8	–12.8	– 1.7	–12.8	1.1	1.1	1.0	54	48	63	E 2	NE 2	E 5	o	6^1○	1^0	–	–	a ⌊⌋. 10^{31}–11^{36} a ✳0. 4^{05} p ✳0.
13.	17.6	13.5	11.8	–14.4	– 9.2	–10.2	– 9.1	–15.0	0.9	1.3	1.4	70	58	68	E 5	E 3	E 3	10^1	4^1○	1^0	0.0	–	a ⌊⌋.
14.	08.8	07.4	08.1	– 9.7	– 4.1	– 5.4	– 3.9	–10.8	1.6	2.0	2.3	78	63	80	C	E 1	W 1	9^1	9^1	o	0.0	–	n ✳0.
15.	06.7	08.0	10.6	– 4.7	– 5.3	– 6.1	– 4.4	– 7.0	2.5	2.5	2.2	81	85	80	SW 1	W 3	W 3	10^1	10^1✳	10^1✳	–	–	a ≡0. 10^{48} a △0. 03^6–9^{00} p meist ✳0.1.
16.	11.0	08.4	08.0	– 7.5	– 2.5	– 5.1	– 2.2	– 8.0	2.0	1.9	2.5	81	50	85	C	SW 1	SW 1	10^1	10^1	10^1	1.6	2	9^{00} p–n ✳. 5^{08}–ca 7^{45} p ✳0.1.
17.	09.4	07.5	05.3	– 5.3	– 2.9	– 4.8	– 2.3	– 6.5	2.5	2.8	2.5	85	77	82	W 1	NE 1	E 1	10^1	10^1	10^1	0.1	1	10^{00} a ≡1. 10^{16} a ✳0.
18.	07.5	12.2	13.5	– 2.6	– 1.8	– 1.5	– 1.2	– 5.0	3.3	3.6	3.6	90	89	90	W 1	W 2	W 3	10^1	10^1✳	10^1✳	0.6	2	n ✳. 9^{26} a–20^6 p ✳0.1. 9^{00} p ✳0.
19.	12.5	09.7	10.0	– 1.2	– 0.1	– 1.4	0.6	– 1.8	3.3	3.2	3.8	80	69	93	W 1	SW 1	C	10^1	10^1	10^1✳	3.4	7	n ✳. 4^{16}–9^{00} p ✳1.
20.	11.4	12.4	12.7	0.8	2.3	0.4	2.5	– 1.6	4.5	4.0	4.1	92	73	88	SW 3	W 2	SW 1	10^1✳	9^1	10^1	4.4	**8**	9^{00} p–n ✳. a–ca 7^{45} a ✳0.
21.	11.8	09.4	09.6	– 0.3	1.3	– 3.4	2.0	– 4.5	3.7	3.2	3.4	85	63	**98**	S 1	E 1	E 1	10^1	7^1○	10^1≡	0.4	6	n ✳0. p ⌊⌋. 9^{00} p ≡1.
22.	15.8	19.2	21.2	– 3.1	– 1.3	– 4.7	– 0.5	– 4.8	3.2	2.9	2.5	93	70	80	W 1	SW 2	S 3	10^1	6^1	o	–	6	9^{00} p–n ≡1.
23.	19.0	16.6	14.8	– 7.1	3.9	– 1.0	4.0	– 8.4	1.9	3.5	3.3	74	57	77	S 1	C	C	2^0	8^1	3^0	–	6	a ⌊⌋2.
24.	15.1	16.9	22.3	0 1	5.4	2.4	5.8	– 4.0	2.7	4.5	4.8	58	67	87	S 1	W 2	SW 2	8^0	10^1	8^1	–	5	10^{00} a ≡0. ca 10^{45} a, ca 5^{45}–6^{45} p ◎0.
25.	24.1	24.9	24.1	– 0.1	6.3	2.4	6.6	– 0.2	3.9	3.7	3.5	86	52	65	S 1	SW 2	S 2	1^0	3^0○	8^1	0.0	3	a ⌊⌋0. p Geb. gut sichtbar. ca 5^{45} p ∈.
26.	23.5	24.5	**25.9**	4.7	6.5	4.6	6.7	1.3	3.7	5.6	5.8	57	78	92	SW 2	SW 2	S 1	10^1	10^1	9^1	–	–	7^{16} a ≡. ca 8^{45}–10^{18} a ◎0.
27.	22.0	20.0	18.6	1.2	4.5	0.4	5.0	0.3	4.9	5.5	4.6	**98**	87	96	SE 1	E 1	C	10^1≡	8^1○–	10^1≡	0.7	–	mn ≡2. a ≡2. m, p ≡1. 4^{00} p ≡. abds. ≡1.
28.	21.6	20.3	18.0	5.7	7.5	2.8	8.6	– 1.2	4.8	5.3	4.9	70	69	88	SW 1	SE 1	C	10^1	10^1○	7^1	0.0	–	9^{00} p–n ≡1.
29.	11.2	11.5	14.1	0.6	5.3	4.2	6.1	0.0	4.2	4.8	5.2	89	72	85	E 1	C	SW 3	10^1	10^1≡	10^1●	–	–	a ⌊⌋. ca 7^{45}–24^5 p ≡1. 33^6–9^{00} p ◎0.1.
30.	15.9	14.3	12.0	3.0	7.9	1.5	8.0	1.5	4.6	4.4	4.3	82	56	83	W 1	SE 1	E 1	10^1	1^0○	7^1	**5.6**	–	9^{00} p–n ◎. a ≡0.
31.	10.3	10.3	11.1	– 0.4	5.7	3.9	5.9	– 0.6	4.1	4.9	5.3	92	71	88	C	S 1	S 1	5^0	10^1	10^1	–	–	09^1 a ⊖. a ⌊⌋ u. ≡0. 3^{16}–ca 8^{45} p ◎0.1.
Mittel	16.0	15.9	16.2	– 0.7	2.2	– 0.4	3.1	– 2.7	3.6	3.9	3.8	79	68	82				8.2	7.8	6.9	39.8		[1] ◎1.2. 6^{06}–ca 6^{45} p △-Böe u. ✳1.

Hohenpeissenberg.

Januar. $\varphi = 47^0\ 48'$ N. $\lambda = 11^0\ 1'$ E $= 44^m\ 4^s$. H $= 994.1$ m. Cg $= \pm 0.0$ mm. 1926.

	600 mm + 7a	2p	9p	7a	2p	9p	Max.	Min.	7a	2p	9p	7a	2p	9p	7a	2p	9p	7a	2p	9p	7a	7a	
1	79.2	81.4	82.3	2.7	3.3	1.8	4.0	0.7	4.1	3.4	3.7	74	58	71	W 7	W 8	E 3	10^2	2^2○	2	–	–	ca 2 p ⌊⌋ (W 8).
2.	76.6	72.5	71.2	6.7	9.2	4.7	**10.8**	0.2	3.6	4.1	4.6	49	47	71	W 2	W 5	W 3	9^2	10^2	8^2	–	–	
3.	72.7	72.0	70.0	2.2	2.2	1.5	6.1	0.1	5.4	3.6	4.5	100	66	87	W 5	W 4	W 2	10^2	8^2○	10	1.3	–	n ◎.
4.	71.4	74.6	76.3	0.8	0.5	– 0.8	2.3	– 1.2	4.7	4.1	3.2	98	85	73	W 4	W 5	W 6	10^2	8^2○	3^1	1.2	–	n ◎ u. ✳. ca 7^{45} a ✳.
5.	76.4	77.3	79.3	– 1.1	0.3	– 1.0	0.6	– 1.6	3.7	4.6	4.3	88	98	100	W 6	W 4	W 5	3^1	10^2✳	10^1✳	0.5	–	10^{14} a, 2 p, 9 p ⊹.
6.	79.7	80.2	80.4	– 1.1	2.4	0.3	2.7	– 2.1	4.0	3.6	4.6	94	66	98	W 3	W 2	E 2	10^2	3^1○	10	0.6	2	
7.	79.4	80.9	78.9	2.7	1.2	0.6	2.7	– 0.3	5.4	4.6	3.3	96	93	70	W 5	W 5	W 4	10^2●	6^2○	10	2.4	–	n, 7 a ◎.
8.	80.2	80.6	81.9	– 2.3	– 1.5	– 3.3	3.1	– 3.9	2.7	3.9	3.0	71	94	85	W 6	W 6	W 6	3^1	5^2○	10	0.8	–	11^{34} a ✳.
9.	82.1	81.9	82.0	– 4.2	– 1.7	– 3.9	– 1.5	– 4.9	2.4	2.5	2.2	73	60	66	W 3	W 2	E 3	3^1	2^1○	6^2	2.3	2	
10.	82.1	81.8	82.2	– 2.4	– 1.3	– 0.5	1.2	– 4.4	1.5	2.0	2.0	40	50	46	S 1	S 2	SE 2	o	oo	o	–	–	
11.	81.0	81.7	81.7	– 0.3	– 3.2	– 4.5	2.2	– 4.5	1.8	3.0	3.3	42	89	100	N 2	NW 4	E 4	10^2	8^2○	10^2≡	–	–	9 p ≡2.
12.	80.2	78.9	77.3	–13.3	–13.0	–18.0	– 4.5	–18.0	0.9	1.2	0.9	56	76	84	NE 5	E 6	E 8	o	6^2○	10	–	–	9 p ⌊⌋ (E 8).
13.	74.3	72.0	70.0	–18.9	–15.7	–14.7	–14.5	–19.5	0.9	1.2	1.3	88	90	91	E 7	SE 4	E 3	10^2≡	3^4○	10^2≡	–	–	7 a ≡1. 9 p ≡2.
14.	66.5	66.5	67.3	–12.3	– 4.0	– 8.1	– 3.5	–14.7	1.5	2.0	1.9	89	65	80	E 2	SE 2	E 2	3^2	5^2○	10≡	–	–	9 p ≡2.
15.	66.4	68.0	69.3	–10.4	– 9.3	–10.7	– 6.5	–10.7	1.8	2.0	1.8	90	91	90	W 5	W 5	W 7	10≡	10	10≡✳	–	–	7 a ≡. 3^{24} p ✳. 9 p ≡2 ⊹.
16.	69.8	68.1	67.5	–10.2	– 5.9	– 7.1	– 5.1	–10.9	1.8	2.5	2.3	90	85	90	W 5	C	W 2	6^2	10^2✳	10	0.6	4	2 p ✳.
17.	68.2	66.7	65.2	– 9.7	– 5.0	– 5.9	– 4.7	– 9.8	2.0	2.6	2.4	94	84	82	W 2	E 2	E 3	6^2	6^2○	10	0.6	8	
18.	67.3	71.7	73.2	– 4.3	– 5.0	– 5.1	– 3.5	– 6.9	3.1	3.0	2.9	95	95	96	E 4	NW 6	NW 7	10^2≡✳	10^2✳	10^2≡	1.8	9	n ✳. 7 a ≡2 ⊹. 2 p ⊹. 9 p ≡2.
19.	72.9	69.9	70.1	– 5.4	– 4.3	– 1.9	– 1.9	– 5.9	3.0	3.1	4.0	100	95	100	W 3	E 2	W 6	10^2	10^2✳	10≡✳	2.8	12	2 p ✳. 9 p ≡2 ⊹.
20.	72.2	72.5	72.9	– 3.2	– 2.5	– 2.9	– 1.6	– 3.5	3.6	3.8	3.7	100	100	100	W 6	W 4	W 5	10^2	10^2≡✳	10≡	**5.0**	15	2 p ≡2 ⊹. 9 p ≡2.
21.	72.3	69.4	69.0	– 4.9	– 4.5	– 5.7	– 2.9	– 5.7	3.0	3.0	3.0	95	95	100	C	SE 3	N 4	10^2	3^1○	10≡	4.5	**22**	9 p ≡2.
22.	74.9	78.9	80.0	– 6.7	– 7.1	– 5.7	– 5.7	– 7.9	2.7	2.7	2.0	100	100	70	W 2	E 2	C	10^2≡	10^2≡	o	–	**22**	7 a, 2 p ≡2.
23.	78.8	77.4	75.7	0.5	4.5	1.5	5.2	– 6.2	1.4	1.4	1.3	30	22	25	SE 3	W 3	C	1^1	9^2	3	–	20	
24.	75.8	77.1	82.0	2.1	2.7	– 0.7	4.2	– 1.2	2.3	5.1	4.4	43	91	100	W 5	W 5	W 2	8^2	10^2	10^2≡✳	–	18	ca 24^5 p ✳. 9 p ≡2 ✳.
25.	83.8	83.9	83.8	– 1.7	2.1	3.6	4.0	– 3.0	3.4	2.8	2.0	84	53	34	W 2	SW 2	SW 4	1^1	1^1○	o	1.1	18	
26.	83.2	83.7	**84.7**	3.0	4.8	2.8	5.5	1.9	2.0	4.4	**5.6**	35	68	100	W 4	W 6	W 1	10^2	10^2	8^2	–	15	ca 4^{45} p ◎.
27.	81.7	80.5	79.6	3.6	7.8	8.5	8.5	1.2	4.1	4.1	4.0	69	53	49	SE 2	C	SE 2	8^2	7^1○	6^1	1.0	6	a ≡.
28.	81.6	80.0	78.7	5.1	5.7	3.9	9.6	2.1	3.8	4.9	4.8	58	71	78	W 5	NE 3	SE 1	7^2	10^2	3^1	–	3	
29.	72.6	72.3	74.9	6.1	4.8	1.6	8.2	– 0.8	3.4	3.5	4.6	49	55	89	SW 3	W 4	W 7	9^2	10^2	8^2	–	2	
30.	75.9	75.3	72.6	0.8	2.8	2.3	3.6	– 0.9	4.3	4.1	3.4	89	72	63	W 5	W 3	W 4	10^2	1^1○	3^1	0.2	–	n ✳0.
31.	71.6	71.4	72.0	2.2	3.2	2.1	4.1	0.6	3.5	4.1	4.8	65	71	89	W 2	W 2	W 5	o	10^2	10^2	–	–	
Mittel	75.8	75.8	75.9	– 2.4	– 0.9	– 2.1	1.1	– 4.6	3.0	3.3	3.2	76	75	80				7.0	6.9	7.4	26.7		

Alle Angaben nach Ortszeit.

Zugspitze.

Januar. $\varphi = 47^0\ 25'$ N. $\lambda = 10^0\ 59'$ E $= 43^m\ 56^s$. H $= 2962{,}2$ m. Cg $= -0{,}2$ mm. **1926.**

Datum	Luftdruck auf 0^0 u. Normalschwere reduziert 500 mm +			Lufttemperatur C^0					Absolute Feuchtigkeit mm			Relative Feuchtigkeit Proz.			Richtung und Stärke des Windes o bis 12			Bewölkung o bis 10			Niederschlag mm	Schneedecke
	7^a	2^p	9^p	7^a	2^p	9^p	Max.	Min.	7^a	2^p	9^p	7^a	2^p	9^p	7^a	2^p	9^p	7^a	2^p	9^p	7^a	7^a
1.	28.3	31.1	32.4	−12.0	−12.0	−12.4	−10.5	−13.4	1.6	1.6	1.3	100	100	80	NW 10	W 7	NW 3	10^{2}≡	10^{1}≡	10^{1} ·	2.4	✳
2.	29.6	25.9	23.9	− 6.2	− 4.6	− 7.3	− 3.8	−12.4	2.7	**3.0**	2.5	100	98	100	W 4	**8** 4	NW 3	10^{2}	10^{1}≡	10^{2}	–	✳
3.	24.6	24.2	21.8	− 8.6	− 8.4	− 8.4	− 7.3	− 9.5	2.2	2.3	2.3	100	100	100	NW 3	NW 2	SE 6	10^{2}≡	10^{1}≡	10^{2}≡	3.2	✳
4.	21.9	24.0	25.5	−10.5	−11.9	−12.8	− 7.2	−13.5	1.9	1.7	1.5	100	100	100	NW 3	NW 3	NW 4	10^{2}≡	10^{2}≡	10^{0}≡	2.5	✳
5.	25.1	26.2	27.5	−12.7	−12.3	−12.8	−12.2	−13.3	1.5	1.6	1.5	100	100	100	N 4	NW 3	**NW** 2	10^{2}≡	10^{2}≡*	10^{2}≡*	**8.4**	✳
6.	28.0	28.9	30.1	−13.5	−12.0	−10.7	−10.7	−13.7	1.4	1.6	1.8	100	100	100	NW 3	NW 2	N 4	10^{2}≡	10^{1}≡	10^{2}≡	6.4	✳
7.	30.4	30.6	28.9	− 8.2	− 8.2	− 9.3	− 7.7	−10.7	2.3	2.3	2.1	100	100	100	NW 2	N 3	NW 4	10^{2}≡	10^{1}≡	2^{1}	6.2	✳
8.	27.6	28.1	28.6	−13.0	−14.1	−15.2	− 9.3	−15.2	1.5	1.4	1.2	100	100	100	NW 4	NW 3	NW 2	10^{1}≡	10^{2}≡	10^{1}≡	4.1	✳
9.	28.1	28.8	30.4	−16.8	−15.7	−14.2	−14.2	−17.0	1.1	1.2	1.1	100	100	81	N 4	N 2	N 3	**0**	⊖⊖	0	2.9	✳
10.	31.3	31.8	32.4	−12.0	−11.4	−10.0	− 9.5	−14.2	1.2	1.2	1.9	68	69	97	NW 2	N 3	NW 3	0	⊖⊖	0	–	✳
11.	30.9	29.6	27.7	−10.7	−12.1	−16.5	−10.0	−16.5	1.8	1.6	0.7	100	100	58	N 3	NW 3	**N** 4	10^{2}≡	7^{2}	0	–	✳
12.	22.3	19.1	17.9	−24.7	−25.5	−24.3	−16.5	**−27.1**	0.4	0.5	0.5	75	**100**	100	N 3	E 3	E 7	0	⊖⊖	0	–	✳
13.	16.3	15.6	17.1	−24.4	−19.5	−17.0	−17.0	−25.8	0.4	0.7	1.0	85	90	95	E 6	SE 5	SE 4	0	⊖⊖	0	–	✳
14.	17.2	18.5	19.9	−13.8	−10.8	− 9.9	− 9.9	−17.0	1.4	1.8	2.0	100	100	100	SE 7	SE 5	SE 6	8^{1}	8^{1}	0	–	✳
15.	17.9	15.7	15.7	− 9.3	− 9.0	−19.8	− 8.1	−19.8	2.1	2.1	0.8	100	100	100	S 3	SE 4	W 3	10^{2}≡	10^{2}≡*	10^{2}≡	–	✳
16.	15.4	15.3	**15.2**	−22.5	−18.4	−18.7	−18.4	−23.0	0.6	0.9	0.9	100	100	100	NW 4	W 5	SW 4	0	10^{2}≡	10^{1}≡	5.2	✳
17.	16.1	15.3	15.3	−18.9	−17.7	−13.6	−13.6	−18.9	0.9	1.0	1.4	100	100	100	NW 3	W 3	**NW** 5	10^{2}≡	⊖⊖	10^{2}≡	1.6	✳
18.	17.4	19.6	20.7	−13.7	−15.5	−17.8	−12.7	−17.8	1.4	1.2	1.0	100	100	100	NW 7	NW 6	NW 6	10^{2}≡	10^{2}≡	10^{2}≡	–	✳
19.	19.4	19.1	19.5	−17.6	−12.9	−13.7	−11.1	−18.2	1.0	1.5	1.4	100	100	100	NW 5	NW 5	**NW** 9	10^{2}	10^{2}≡*	10^{2}≡	3.3	✳
20.	20.1	20.9	21.1	−16.6	−16.0	−15.7	−13.7	−16.7	1.1	1.1	1.2	100	100	100	NW 9	**NW** 4	NW 3	10^{2}≡	10^{2}≡	10^{2}≡	1.1	✳
21.	19.7	18.6	18.7	−17.3	−16.2	−14.9	−14.9	−17.7	1.0	1.1	1.2	100	100	97	NW 3	W 3	C	0	10^{1}	10^{1}	3.3	✳
22.	22.1	25.3	28.0	−17.5	−17.5	−15.4	−14.6	−17.7	0.9	0.9	1.1	93	89	87	NW 5	N 5	N 3	7^{0}	⊖⊖	0	–	✳
23.	28.7	28.9	28.3	−12.7	− 6.1	− 5.4	− 5.2	−15.4	1.2	2.8	2.8	77	100	96	NW 3	W 3	S 4	0	10^{1}	1^{1}	–	✳
24.	27.2	27.8	30.6	− 8.7	− 8.7	−11.5	− 5.4	−11.5	1.9	2.2	1.7	88	100	100	C	NW 2	N 3	9^{1}	10^{2}≡	10^{1}*	–	✳
25.	33.1	35.1	36.5	−12.6	− 6.7	− 5.8	− 4.8	−13.7	1.3	2.2	2.4	81	85	86	NW 3	NW 4	N 3	0	⊖⊖	0	3.5	✳
26.	35.7	35.4	**35.8**	− 6.0	− 5.1	− 7.8	− 4.5	− 7.8	2.7	**3.0**	2.4	98	100	100	NW 3	NW 3	NW 2	10^{1}	10^{2}≡	10^{1}	–	✳
27.	34.4	33.7	33.8	− 5.0	− 3.5	− 3.6	− 3.4	− 7.8	2.5	2.6	2.4	83	77	69	NW 2	NW 3	NW 3	10^{2}	9^{1}	10^{0}	–	✳
28.	33.8	32.4	31.4	− 6.9	− 3.3	− 4.4	**− 3.0**	− 7.6	2.5	2.3	2.4	99	67	75	W 3	SW 3	W 3	8^{1}	10^{2}	8^{1}	–	✳
29.	27.3	25.3	25.8	− 3.6	− 5.7	− 9.7	− 3.5	− 9.7	2.3	2.7	2.0	68	93	100	SW 5	S **3**	**NW** 3	10^{2}	10^{2}	10^{2}≡*	–	✳
30.	26.1	25.6	24.8	−12.4	− 9.5	− 8.2	− 8.0	−12.5	1.6	1.8	1.7	100	88	76	SW 3	S '5	SW 3	10^{2}	⊖⊖	10^{1}	4.7	✳
31.	23.5	22.9	23.5	− 9.3	− 7.3	−10.1	− 7.0	−10.1	2.0	2.5	1.9	97	100	100	SW 4	W 2	NW 3	10^{1}	10^{2}≡	10^{2}≡	–	✳
Mittel	25.1	25.1	25.4	−12.8	−11.5	−12.2	− 9.6	−15.0	1.6	1.8	1.6	94	95	93				7.2	7.2	6.8	58.8	

Bemerkungen.

1. n ✳^{0}, a 10 cm ⋁, t vorwiegend ≡^{2}, ✳treiben, 4 p Aufklaren erst im Zenit, dann fortschreitend, abends ringsum str-decke.
2. a über Vorland ∞^{2}, ringsum str-decke, t Bewölkungsschwankungen, ni ztw. bis Vorberghöhe herabhängend, ztw. ≡$^{0.1}$, p wiederholt kurz ✳$^{0.1}$.
3. n ✳^{0}, a 5 cm ⋁, t vorwiegend ≡^{2}, ⋁-Bildung (9 p 10 cm), ztw. ✳treiben.
4. n ztw. ≡, ✳^{0}, a 20 cm ⋁, t meist ≡^{2}, ✳treiben, ✳$^{0.1}$.
5. n ✳, a 5 cm Neuschnee, 40 cm ⋁, t ≡^{2}, ⋁-Bildung, meist ✳$^{0.1}$.
6. n ✳, a 15 cm Neuschnee, 60 cm ⋁, t vorwiegend ≡^{2}.
7. n ✳, ztw. ≡, a 5 cm Neuschnee, 20 cm ⋁, a ztw. ✳$^{0.1}$, t ≡^{2}, 4 p Aufklaren im Zenit, abends Sicht nach N sehr rein.
8. t vorwiegend ≡^{2}, 3 p-n ztw. ✳$^{0.1}$, 9 p 30 cm ⋁.
9. n Aufklaren, über Vorland u. im E teilw. Nebeldecke u. ∞^{2}.
10. a über Vorland ∞$^{1.2}$, t ringsum am Horizont a-str.
11. a ⋁-Anflug, ≡^{0}, über Vorland ∞^{2} u. Nebeldecke, t Bewölkungsschwankungen (str-cu, ni N m), 2^{40}-6 p ≡$^{1.2}$, abends Aufklaren, ringsum str-Decke in Gipfelhöhe.
12. a über Vorland ∞^{2}, Zentralkette in Wolken. 9 a-2 p meist ≡$^{0.1}$, dann ringsum str-Decke in Gipfelhöhe (9 p in 2200 m), t böig, ✳treiben.
13. 7 a über Vorland ∞^{2} u. str-Decke in 1000 m (10 a in 1300 m), t Bewölkungsschwankungen, ringsum ∞^{2}.
14. t Bewölkungsschwankungen, ringsum ∞^{2}, über Vorbergen meist Nebel bis in Gipfelhöhe, ca 7^{30} a-1^{30} p vorwiegend ≡$^{1.2}$ (⋁-Ausatz).
15. a ⋁-Ansatz, t ≡^{2}, 2-6 p ✳$^{0.1}$, p Kälteeinbruch (5 p: −10.9°, 6 p: −16.8°, 12 mn: −22.8°).
16. a Plattrand u. Vorberge in Nebel, 11^{30} a-n meist ≡^{2}, ✳treiben.
17. n ✳^{0}. ⋁-Ansatz; n-9^{30} a u. 3^{30} p-n vorwiegend ≡^{2}.
18. t ≡^{2}, ⋁, ✳treiben, 5 p-n ztw. ✳^{0}.
19. a ringsum ∞^{2}, 9^{30} a-n ≡^{2} ✳^{0}, abends ≡ ✳treiben.
20. n ✳^{0}, NW ≡, a 15 cm ⋁, ≡ (10 a: 23 m/sec.), t ≡^{2}, ✳^{0}.
21. n ✳, Aufklaren, a 3 cm Neuschnee, 10 cm ⋁, über Vorland Nebeldecke in 1100 m, t langsame Bewölkungszunahme (a-str WNW l).
22. a langsame Bewölkungsabnahme, t über Vorland u. teilw. in den Tälern Nebeldecke in 1200-1300 m; m im Inntal ∞^{2}; abends ∈.
23. a ringsum a-str, rasche Bewölkungszunahme (str), 10 a str ringsum bis in Vorberghöhe herabhängend, abends Aufklaren.
24. a im W str bis 1900 m herabhängend, 8^{30} a-n meist ≡$^{1.2}$, 3 p-n ✳$^{0.1}$.
25. n ✳, 5 cm ⋁, Aufklaren, a über Vorland str, abends ∈.
26. t bedeckt, 2-8^{30} p ≡^{2} ⋁-Bildung, abends ∈.
27. t leichte Bewölkungsschwankungen (a-str W m), über Vorland stellenweise Nebel, abends ⊖.
28. a über Vorland str-cu in Vorberghöhe; ztw. zweifacher ⓘ, t Bewölkungsschwankungen (a-str W l).
29. t bedeckt (str W l), 5 p-n ≡^{2} ✳^{1}.
30. n ✳, a 5 cm Neuschnee, 5 cm ⋁, über Vorland ∞^{2} u. teilw. str-Decke in Vorberghöhe; bis m vollständiges Aufklaren, 7 p-n Bewölkungszunahme (a-str W l).
31. a bedeckt, Zentralkette in Wolken, im S lent-Formen, 0^{30} p-n ≡^{2}, 0^{53}-8^{30} p ✳$^{0.1}$, ⋁-Bildung.

Alle Angaben nach Ortszeit.

Bamberg.

Februar. $\varphi = 49^0\ 53'$ N. $\lambda = 10^0\ 53'$ E $= 43^m\ 32^s$. H $= 287.7$ m. Cg $= +0.3$ mm. 1926.

Datum	Luftdruck auf 0° u. Normalschwere reduziert 700 mm +			Lufttemperatur C°					Absolute Feuchtigkeit mm			Relative Feuchtigkeit Proz.			Richtung und Stärke des Windes 0 bis 12			Bewölkung 0 bis 10			Niederschlag mm	Bemerkungen
	7a	2p	9p	7a	2p	9p	Max.	Min.	7a	2p	9p	7a	2p	9p	7a	2p	9p	7a	2p	9p	7a	
1.	32.3	31.5	30.6	2.4	5.6	4.6	6.2	1.1	5.2	5.5	5.1	94	82	81	S 2	SW 2	SW 3	9¹	9¹⊙	9⁰	0.2	n ◯0.1.
2.	28.5	27.1	26.1	5.3	8.4	6.7	9.1	3.0	5.5	6.2	5.1	83	76	70	S 1	SW 2	SW 4	9¹	10¹●	10⁰	0.1	n ◯Tr. 11²⁰-³³a ◯0.1, 0³³-⁴⁹p ◯1. 1⁵³-4¹⁸p ztw. ◯0.1.
3.	24.8	20.6	20.0	3.6	10.6	7.2	11.2	1.1	5.3	6.0	5.3	90	63	70	S 2	SE 1	S 2	9¹	9¹⊙	9¹	1.4	ca 5⁴⁵-6¹⁴ a ◯1.
4.	25.0	28.4	31.7	4.6	8.1	6.1	10.3	2.9	5.5	5.5	5.7	87	68	81	SW 2	SW 1	SW 2	10¹	9¹	9¹	0.0	2¹⁴ a kurze Zeit ◯Tr.
5.	35.0	36.1	36.6	3.5	8.7	6.6	9.2	3.0	5.3	6.5	6.3	90	77	87	C	SW 2	SW 2	9¹	9¹	10²	0.1	n ◯Tr.
6.	35.5	33.1	31.6	4.0	12.2	4.7	**12.2**	3.4	5.7	6.2	4.7	93	59	73	SE 1	E 2	E 3	9¹	7¹⊙	1¹	–	mrgs. ∈.
7.	30.0	31.6	32.7	2.9	5.0	3.2	5.3	1.7	4.9	6.1	5.6	86	94	97	C	SW 1	N 1	10¹	10¹	10²	–	mrgs. ≡0.1. 10²⁹-ca 0⁴⁵ p ◯0 (Staubregen). t ∞.
8.	33.5	32.9	32.3	3.0	4.4	3.2	5.1	2.3	5.6	5.9	5.6	98	96	97	NW 1	NW 1	C	10¹≡	10²●	10²≡	2.4	n ◯0.1, mrgs.-8¹⁴ a ≡0.1, t ≡-Schwaden. 2p ◯1. ca 8⁴⁵-
9.	29.7	28.7	28.8	2.3	5.8	3.1	8.0	1.9	5.2	5.6	5.0	96	82	88	NW 1	E 2	SE 3	10¹≡	9¹	10²	0.1	9⁰⁰ p-7¹⁴ a ≡0.1, n ≡Reissen. [9⁰⁰ p ≡1.
10.	28.7	29.9	31.0	2.3	5.6	4.8	7.0	1.4	4.9	6.0	5.8	89	88	90	S 2	S 2	S 2	10¹●	10¹	10¹	0.1	n ◯Tr. 6¹⁹-10²⁹ a ztw. ◯0 (Staubregen).
11.	31.7	31.9	32.0	2.6	8.8	3.7	9.1	1.2	5.2	6.6	5.6	94	78	93	S 1	S 1	C	10¹	9¹⊙	1¹	2.5	mrgs. ≡0. 7¹⁴ a kurze Zeit ≡0.
12.	31.0	31.4	32.9	1.2	5.0	4.2	5.2	– 0.1	4.9	6.0	5.9	98	92	96	C	SE 1	SW 1	10²≡	10¹	10¹●	0.1	n ◯Tr. ca 0⁴⁵-7⁴⁵ a ≡1.2, t ∞. abds. ◯0.1.
13.	35.2	36.3	38.4	3.6	9.8	5.8	10.0	3.0	5.5	6.6	6.2	93	73	90	S 2	SE 2	C	10¹	6¹⊙	10²	0.7	9⁰⁰ p-0¹⁴ a ◯0.1, 4²⁹ p ◯Tr.
14.	41.3	42.7	44.9	2.9	8.0	2.9	10.1	1.9	5.5	6.2	5.2	98	78	93	C	C	C	10¹	6¹⊙	0	0.1	mrgs. Talnebel.
15.	44.4	43.1	41.3	– 0.1	2.9	2.4	4.1	– **2.2**	4.5	5.4	4.8	100	96	87	C	S 2	SE 3	10¹≡	10¹	10¹	–	7 a ≡1, 7³⁴-10²⁴ a ≡0 ◯0. t ∞.
16.	37.6	37.6	38.5	2.0	4.5	3.4	5.2	1.2	5.0	6.0	5.6	94	96	97	S 2	S 2	SW 3	10¹●	10²	3¹	0.3	5⁴⁹-10²³ a ◯0. t ztw. ◯00 (Staubregen). abds. ≡0.
17.	36.3	33.6	31.7	0.4	6.4	4.6	7.2	– 0.3	4.5	5.8	6.1	94	81	97	SE 2	S 2	SW 4	9¹	9¹⊙	10²●	0.7	0⁴⁶ p ◯Tr. 0⁴⁵-⁴⁸ p, 2⁰⁶-9⁰⁰ p ◯0.1 (ca 5⁴⁵ p ztw. ◯1.2).
18.	24.8	25.9	34.3	6.0	6.3	3.4	8.1	3.0	6.0	7.1	4.4	87	99	75	SW 3	W 2	SE 4	10¹●	10¹●	2¹	8.8	9⁰⁰ p-7⁴⁹ a ◯, dann ztw. noch ◯Tr. 1²⁶-2¹⁵ p ◯1.2, 1)
19.	36.2	33.6	34.0	– 0.3	3.3	7.4	7.6	– 1.1	4.3	5.5	7.2	96	95	94	S 2	SW 2	SW 6	9¹	10¹●	10²●	2.7	mrgs. ⌊1, 10⁴³-11³⁷ a ztw. ◯0.1, 10⁴⁴ a-9⁰⁰ p ◯0.1.
20.	37.5	39.2	40.4	8.9	9.6	8.7	10.3	7.0	**7.9**	7.4	7.1	93	84	86	W 3	W 3	E 1	10¹●	10¹	10²	**11.5**	9⁰⁰ p-7⁴⁶ a ◯0, ca 4⁴⁵ p kurze Zeit ◯0.
21.	41.1	40.6	40.4	3.4	10.9	4.6	11.4	3.0	5.6	6.8	5.9	97	70	94	S 1	SW 3	SW 2	10¹	8¹	4⁰	0.2	mrgs. Talnebel. ca 9⁴³ a ◯Tr. 9 p ⊖.
22.	38.9	38.0	41.5	3.7	7.1	5.4	7.7	2.3	5.7	7.2	6.1	95	96	91	S 2	S 1	NW 1	10¹	10¹●	3¹	0.1	7¹⁴ a-2¹¹ p ◯1. 2⁴⁹-3²⁸ p ztw. ◯0.1.
23.	44.0	43.8	44.4	0.1	9.3	6.1	10.2	– 1.3	4.4	6.6	6.1	96	75	87	C	NW 2	SW 1	9¹	9¹⊙	10¹●	7.5	mrgs. ⌊1, 5²⁴-9¹⁰ p ztw. ◯0.1.
24.	43.7	43.6	44.1	4.6	10.4	7.3	11.1	4.1	6.0	7.3	7.1	96	76	93	SW 1	SW 1	NW 1	10¹●	9¹	10¹	0.8	6²⁴-10⁴⁵ a ◯1.
25.	45.2	46.3	47.5	5.0	9.0	7.5	9.4	4.3	6.5	7.2	7.1	100	84	91	C	C	W 1	10²≡	9¹⊙	10¹	0.2	ca 1⁴⁵ a-11²⁸ a ≡1 ◯0.
26.	48.1	47.8	48.6	2.1	9.7	6.8	10.3	1.7	5.2	6.5	5.6	96	73	76	NW 1	S 1	C	1¹⊙	3¹⊙	9¹	0.1	mrgs. Talnebel.
27.	**49.9**	48.2	46.8	1.2	9.2	4.3	10.0	0.0	4.4	5.2	5.3	89	60	85	C	SE 2	C	10¹	6¹⊙	10¹	0.1	n ◯Tr. a Talnebel.
28.	42.5	42.1	44.0	3.8	6.8	4.6	7.2	2.4	5.2	6.5	6.1	87	88	97	SE 2	S 1	S 1	10¹	10¹	10¹	–	7⁴⁶ a ◯Tr. 5⁵⁶-8¹⁴ p ◯0.1.
																					40.8	
Mittel	36.2	35.9	36.7	3.0	7.6	5.1	8.5	1.9	5.3	6.3	5.8	93	81	88				9.4	8.8	7.9		1) dann ztw. ◯Tr.

Kaiserslautern.

Februar. $\varphi = 49^0\ 27'$ N. $\lambda = 7^0\ 46'$ E $= 31^m\ 4^s$. H $= 238.1$ m. Cg $= +0.3$ mm. 1926.

1.	34.3	32.7	32.4	4.9	8.7	6.9	9.3	3.2	5.9	6.0	6.8	92	72	91	E 1	SE 3	SE 1	10⁰	10⁰	5⁰●	–	n ≡0. Morgenröte. ca 2³⁰-3⁴⁸ p ◯.
2	30.9	28.8	29.0	4.9	11.4	9.1	11.6	4.4	6.0	8.2	7.4	94	82	87	E 1	SW 1	SW 2	9	10⁰●	5⁰	0.0	a-ca 8³⁰ a ≡. ca 10³⁰ a-9⁰⁰ p ztw. ◯.
3.	26.8	23.0	24.0	7.8	9.3	6.2	10.3	5.5	7.1	7.2	6.5	90	83	91	E 1	NE 2	E 3	10⁰	8⁰	0	5.5	Morgenröte. 9 p ≡.
4.	28.2	32.0	34.9	7.5	8.4	7.6	9.3	6.2	6.1	6.1	6.4	79	74	82	SW 5	SW 2	W 2	10⁰	2⊙	10⁰	2.3	n ◯0.
5.	37.8	38.9	39.3	7.5	10.3	9.5	10.8	7.5	7.1	**8.6**	8.0	91	93	91	SW 1	SW 2	SE 1	10⁰	10⁰	0	–	a ≡.
6.	36.4	35.0	31.3	7.3	11.3	7.6	11.3	6.4	6.4	7.1	6.3	85	71	80	SE 1	NE 4	NE 4	1⁰	8⁰⊙	0	–	
7.	32.7	34.0	35.6	5.6	11.7	9.6	**12.1**	4.6	5.8	6.1	6.8	85	60	76	E 1	SE 3	SW 2	10	9⊙	10⁰	–	
8.	37.1	36.4	35.1	8.4	9.3	7.4	10.3	6.9	7.4	7.0	6.8	91	80	89	SW 1	NW 3	NE 2	10⁰	10⁰	0	0.9	n ◯. 14⁹-3⁰¹ p ◯02.
9.	32.8	31.4	30.6	5.0	6.6	5.9	7.8	2.3	6.1	6.0	6.3	**94**	83	91	NE 3	NE 4	SE 4	10⁰	10⁰●	10⁰●	0.0	14¹-9⁰⁰ p ◯.
10.	32.1	33.3	33.9	7.5	10.9	6.8	11.3	5.9	7.1	7.5	6.6	91	76	90	SW 2	SW 3	NE 2	10⁰	9⁰⊙	0	3.6	n ◯. a ≡0. ca 2³⁰-2⁴¹ p ◯. abds. ≡.
11.	35.0	35.3	35.7	3.8	9.3	6.7	9.9	3.8	5.6	7.3	6.8	93	84	93	NW 1	N 1	NW 2	10⁰	8⁰⊙	10⁰≡	0.2	a-8³¹ a ≡2. abds. ≡1.
12.	34.7	35.3	37.5	6.5	8.2	6.9	8.4	5.0	6.8	7.1	6.6	**94**	88	88	NW 1	SW 3	W 1	10⁰●	10⁰●	0	7.0	a-3⁰¹ p ◯. ca 5³⁰-7 p ◯.
13.	39.1	39.2	39.2	6.0	9.8	5.8	10.6	5.0	6.6	6.0	6.4	**94**	66	93	SW 1	W 3	E 1	10⁰≡	5⊙	0	6.8	ca 10 p ◯2 mit ▲. a-ca 8³⁰ a≡1. abds. ≡.
14.	45.9	48.1	48.7	4.3	9.7	4.4	10.3	3.9	5.8	6.5	5.6	93	73	90	SE 1	SE 1	SE 1	10⁰	8⁰⊙	0	–	a-9⁴⁸ a ≡0.
15.	48.0	45.9	44.2	0.2	9.6	8.2	10.4	0.1	**4.2**	4.8	5.4	91	54	66	NW 1	S 2	SW 1	10⁰≡	8⁰⊙	10⁰●	–	a ≡2, ⌊. vorm.-p ≡. 9⁰⁰ p ◯.
16.	41.1	42.6	43.1	7.0	9.5	5.1	10.2	4.5	6.7	5.1	5.6	90	57	86	SW 4	W 1	NW 1	10⁰●	7⁰⊙	1⁰	0.9	n ◯. a-10²¹ a ◯0.
17.	39.4	37.9	33.9	5.8	6.0	7.9	8.3	4.8	5.4	6.1	7.1	79	88	89	SW 5	SW 5	W 8	10⁰	10⁰●	10⁰●	0.4	7¹⁶ a-n ◯1.2, ca 8 p ⌒ (W 8).
18.	29.8	33.1	40.5	7.4	8.5	4.5	10.3	4.0	6.9	5.2	4.7	90	62	74	SW 5	SW 5	W 3	10⁰●	7⁰	0	**26.8**	n-8¹⁶ a ◯. 9 a-3 p ztw. ◯. 3⁵¹ p ⌒.
19.	39.5	38.0	41.5	4.7	9.7	9.6	10.2	4.0	5.5	8.3	7.0	86	92	79	SW 3	SW 5	W 6	10⁰●	10⁰●	10	3.2	t meist ◯0.1.
20.	44.7	45.8	46.2	9.5	10.9	8.7	11.3	8.0	7.6	7.2	7.3	87	74	87	SW 5	SE 4	NW 2	10⁰	7⁰	5⁰	4.5	abds. ∈.
21.	45.7	45.6	45.0	2.0	11.2	7.4	**12.1**	1.6	4.9	5.9	6.8	93	59	89	SE 1	SE 3	E 1	10	1⁰⊙	0	–	a ⌊0. 8⁵¹-11¹⁶ a ≡0.
22.	43.5	44.0	48.5	7.7	10.7	5.0	11.2	4.0	6.9	6.2	5.8	89	64	89	SW 2	W 4	W 2	10●	9⁰	8⁰	0.2	a-10⁵¹ a ◯0.1.
23.	48.8	48.3	49.0	2.2	10.2	7.6	10.8	2.0	4.7	6.1	6.4	87	66	82	NW 1	SW 2	W 1	10⁰≡	9⁰⊙	9⁰	5.1	a ≡2 ⌊2. ca 10 a Aufheiterung. Abendröte.
24.	48.9	48.8	49.3	4.8	11.1	4.8	11.5	4.1	5.9	5.7	5.6	92	58	87	SW 1	NW 3	E 1	7⁰≡	6⁰⊙	0	–	a-ca 9³⁰ a ≡2.
25.	50.4	51.1	51.7	1.7	10.6	6.2	11.3	1.0	4.5	6.8	6.5	88	72	93	SE 1	NE 3	E 1	9⁰≡	5⁰⊙	0	–	n ≡. a-ca 10 a ≡2. ca 10 a ◐.
26.	51.9	51.9	52.9	4.4	10.9	5.4	11.8	4.4	5.7	6.0	5.8	92	62	86	NE 1	SE 2	E 2	10⁰≡	3⁰⊙	3	–	a-ca 9³⁰ a ≡2.
27.	**53.4**	51.6	50.6	1.0	10.6	8.5	**12.1**	0.0	4.6	5.9	6.7	92	62	81	NW 1	SE 2	E 1	10⁰	5⁰	10⁰	–	a-ca 9 a ≡2 ⌊2. 10⁴⁵-11¹⁶ a ≡.
28.	47.5	47.3	49.4	8.0	9.3	7.4	10.3	6.8	6.9	7.8	6.8	86	89	89	SW 3	NW 2	NW 1	10⁰	10⁰●	10⁰●	–	a ≡0. 7⁴⁶ a-n meist ◯.
																					67.4	
Mittel	39.9	39.8	40.5	5.5	9.8	7.0	10.5	4.3	6.1	6.6	6.5	90	73	86				9.5	7.6	4.4		

Alle Angaben nach Ortszeit.

München.

Februar. $\varphi = 48^{0}\ 9'$ N. $\lambda = 11^{0}\ 34'$ E $= 46^{m}\ 16^{s}$. H $= 526.4$ m. Cg $= +0.1$ mm. **1926.**

Datum	Luftdruck auf 0° u. Normalschwere reduziert 700 mm + 7ª	2ᵖ	9ᵖ	Lufttemperatur C° 7ª	2ᵖ	9ᵖ	Max.	Min.	Absolute Feuchtigkeit mm 7ª	2ᵖ	9ᵖ	Relative Feuchtigkeit Proz. 7ª	2ᵖ	9ᵖ	Richtung und Stärke des Windes 0 bis 12 7ª	2ᵖ	9ᵖ	Bewölkung 0 bis 10 7ª	2ᵖ	9ᵖ	Niederschlag mm 7ª	Bemerkungen
1.	11.5	10.0	09.1	1.4	7.1	6.8	7.6	1.2	4.4	4.9	5.0	87	65	68	S 1	S 1	C	7^{0}≡	10^{1}	10^{1}	1.7	a ⌴ u. ≡¹. p ≡:.
2.	08.3	05.7	05.2	4.8	7.9	4.3	9.5	3.4	5.3	6.1	5.3	83	76	86	NE 1	SE 1	C	10^{1}≡	10^{1}	8^{0}	0.5	a ≡¹. m ≡⁰.
3.	04.2	99.5	00.0	5.1	11.6	8.0	12.1	3.5	5.1	5.4	5.3	79	53	65	SE 1	SE 2	W 3	3^{0}	10^{1}	10^{1}	–	a ≡⁰. p Gebirge schw. sichtbar.
4.	06.0	08.1	11.4	5.6	9.2	5.1	9.6	5.1	4.9	4.4	5.2	74	51	72	SW 3	W 3	SW 2	8^{1}	4^{0}⊙	0	0.9	n ◎. t Gebirge sichtbar.
5.	14.2	15.2	15.6	4.7	7.5	6.5	8.6	3.9	5.3	**6.9**	6.7	83	90	93	S 1	C	S 1	10^{1}	10^{1}	3^{0}	0.4	n ◎. 10 a ◎⁰. m im S ≡⁰.
6.	13.7	10.1	08.2	1.2	9.0	3.3	9.5	0.8	4.9	6.7	5.2	98	79	90	S 2	E 2	E 3	10^{1}≡	4^{0}⊙	0	1.6	7 a ≡². 10 a ≡¹.
7.	08.4	10.5	11.6	3.0	8.3	5.2	8.5	1.0	4.9	5.9	5.9	88	72	90	W 1	W 2	SW 1	10^{1}	10^{1}●	10^{1}	–	t ztw. ◎⁰.
8.	12.2	11.7	10.4	5.5	7.1	4.9	7.7	4.9	5.9	6.4	6.0	86	84	94	W 1	W 2	C	10^{1}	10^{2}●	4^{0}	1.3	a ≡⁰. 10 a, 2 p kurze Zeit ◎⁰.
9.	08.0	07.1	07.0	1.3	3.2	2.8	5.1	0.9	4.8	5.2	5.2	96	88	93	E 1	SE 2	SE 1	10^{1}≡	10^{1}	10^{1}	0.6	a ≡² u. ≡:. 10 a u. p ≡⁰.
10.	08 0	08.8	09.7	0.8	9.3	5.8	9.6	0.2	4.7	5.7	5.9	96	64	88	W 1	NE 1	E 1	10^{1}≡	4^{0}⊙	5^{1}≡	0.1	a ≡². 9 p ≡¹.
11.	10.0	10.1	10.3	1.9	3.3	2.4	5.9	0.1	4.9	5.2	5.4	93	91	98	C	SE 1	C	10^{1}≡	7^{1}⊙	10^{1}≡	–	n, a ≡¹. 4 p, 9 p ≡².
12.	09.4	10.1	13.0	2.4	4.0	5.0	5.6	1.0	5.4	5.8	5.9	98	95	91	S 1	W 1	SW 1	10^{1}≡	10^{1}≡	1^{0}	–	n, a ≡². 10 a–ca 4^{45} p ≡¹. 3^{46}–7^{16} p ◎0.1.
13.	14.7	14.8	16.8	1.7	9.0	4.6	9.4	1.7	4.7	5.2	5.5	92	61	88	S 1	E 1	S 1	10^{1}	4^{0}⊙	10^{1}	3.4	a ≡⁰ u. ⌴¹.
14.	19.5	21.2	23.8	– 0.5	3.7	2.2	4.6	– 1.2	4.3	5.4	5.3	**99**	91	98	NE 1	C	C	10^{1}≡	10^{1}≡	10^{1}≡	0.1	a ≡². 2 p ≡¹. 9 p ≡².
15.	23.2	21.7	20.9	1.5	3.9	1.7	4.0	0.9	4.9	5.2	4.7	96	85	91	E 1	NE 1	SW 1	10^{1}≡	10^{1}	10^{1}	0.2	n, a ≡². a ≡:.
16.	17.6	17.2	18.5	0.0	5.9	4.8	6.1	– 1.1	3.7	6.1	5.8	80	88	90	SE 1	S 2	W 2	4^{0}	10 ●	10^{1}	–	a ⌴. 11^{41} a–4^{06} p ◎1.2.
17.	17.0	14.8	13.3	4.0	8.1	7.0	9.2	2.2	4.5	3.6	4.2	73	46	56	SW 1	W 4	SW 3	10^{1}	10^{1}	10^{1}	3.6	a Gebirge gut sichtbar. 2^{16} p ◎Tr.
18.	08.1	08.1	13.9	8.7	8.7	5.1	9.6	3.9	4.5	5.3	5.0	53	62	78	W 6	SW 5	W 3	10^{1}	8^{1}	9^{1}	0.0	7^{31}–ca 8^{45} a ◎0.1. ca 2^{45}–3^{46} p ◎1. ca 4^{45}–6^{45} p ◎1.2 [1]
19.	15.6	13.2	15.7	2.7	2.5	8.3	9.7	1.9	3.9	4.9	5.7	71	89	71	W 1	S 3	W 6	10^{1}	10^{1}●	10^{1}●	3.0	10^{31} a–9^{00} p meist ◎0.1, m ztw. ◎⁰ u. ✕⁰.
20.	18.8	19.8	20.7	7.0	9.9	7.5	10.5	6.9	6.0	6.1	5.8	80	68	75	W 5	W 3	SW 2	10^{1}●	7^{1}⊙	8^{1}	**16.7**	9^{00} p–ca 8^{15} a ◎0.1. a Geb. im S sichtbar.
21.	20.7	19.8	20.1	2.7	12.1	6.6	12.9	2.5	4.9	5.2	5.3	88	50	74	C	SW 1	C	2^{0}	5^{0}⊙	6^{0}	0.6	a ⌴. 11^{06} a ⊕.
22	19.4	17.3	21.7	5.7	12.9	6.2	**13.5**	4.0	4.1	5.4	6.1	59	49	88	W 1	SW 1	W 3	10^{1}	7^{1}⊙	10^{1}●	–	a ≡⁰. 3^{36}–ca 5^{45} p ◎0.1. 9^{00} p ◎1.
23.	23.3	23.0	23.3	3.4	9.9	7.2	10.3	3.3	5.4	4.1	5.3	93	45	70	C	S 1	C	6^{1}≡	4^{0}⊙	8^{1}	4.5	n ◎. a ≡¹.
24.	22.7	22.9	22.8	6.4	10.5	8.4	11.1	6.0	5.8	5.7	6.2	82	60	75	C	C	C	10^{1}	8^{1}	10^{1}●	–	a ≡⁰. 8^{41}–9^{00} p ◎⁰.
25	23.8	24.1	25.5	3.3	9.9	5.9	10.8	2.5	5.2	5.4	6.1	91	59	88	C	N 2	NE 1	7^{1}≡	6^{1}⊙	4^{0}	0.0	$9^{30.06}$ p ◎⁰. a ≡¹.
26.	25.2	25.7	26.4	2.0	7.3	5.2	8.6	1.2	5.2	5.8	5.9	98	77	90	E 1	E 1	C	10^{1}≡	8^{1}	7^{1}	–	a ≡². 10 a ≡:.
27.	**28.1**	26.7	25.5	2.2	8.0	5.3	8.4	1.5	4.8	4.8	5.2	90	60	80	E 1	E 1	SE 2	10^{1}≡	1^{0}⊙	10^{0}	0.0	a ≡¹. 9 p ⊖.
28.	22.9	21.3	22.2	5.0	7.1	6.1	7.9	3.5	4.8	6.4	6.6	75	87	94	S 1	SW 1	W 2	10^{1}	10^{1}●	10^{1}●	–	a ≡⁰. 9^{16} a–9^{00} p meist ◎0.1.
																					39.7	
Mittel	15.5	14.9	15.8	3.3	7.7	5.4	8.8	2.3	4.9	5.5	5.6	85	71	83				8.8	7.8	7.6		[1] (Durchzug einer Böe).

Hohenpeissenberg.

Februar. $\varphi = 47^{0}\ 48'$ N. $\lambda = 11^{0}\ 1'$ E $= 44^{m}\ 4^{s}$. H $= 994.1$ m. Cg $= \pm 0.0$ mm. **1926.**

	600 mm + 7ª	2ᵖ	9ᵖ	7ª	2ᵖ	9ᵖ	Max.	Min.	7ª	2ᵖ	9ᵖ	7ª	2ᵖ	9ᵖ	7ª	2ᵖ	9ᵖ	7ª	2ᵖ	9ᵖ	7ª	
1.	72.4	71.4	70.9	1.6	8.0	8.7	9.0	0.4	3.6	4.0	5.1	69	51	60	W 4	C	SE 1	3^{1}	10^{2}	7^{2}	–	
2.	70.4	67.5	67.6	7.5	11.3	10.3	**12.1**	6.5	4.3	4.6	4.1	57	46	44	S 3	SW 4	C	10^{2}	9^{2}⊙	4^{2}	–	
3.	66.1	62.1	63.0	7.0	11.4	4.0	**12.1**	4.0	4.3	4.4	4.9	57	46	80	SE 5	S 4	W 5	3^{2}	10^{2}	10^{2}	–	
4.	66.2	69.3	72.2	1.7	3.9	3.2	5.3	1.0	4.6	4.2	4.0	90	69	70	W 6	W 4	W 3	4^{2}	6^{1}⊙	10^{2}	–	
5.	74.6	76.0	76.1	2.8	7.4	6.2	7.4	1.4	5.6	5.5	5.6	100	72	79	W 3	W 2	W 3	10^{2}●	10^{2}	10	1.1	n, 7 a ◎.
6.	73.1	71.1	69.3	6.3	6.8	8.8	9.3	2.9	4.3	5.0	4.1	61	68	49	SW 4	NE 4	W 2	3^{1}	4^{1}⊙	10^{2}≡	–	7 a ≡ ⌴. 9 p ≡².
7.	70.2	71.6	72.6	5.1	4.0	3.7	10.3	2.2	4.6	5.3	4.9	71	87	82	W 5	W 2	W 4	7^{1}	10^{2}	10^{2}	–	ca 8^{45} a ◎.
8.	73.2	72.9	72.0	2.6	5.9	2.8	6.0	1.7	5.5	5.5	5.6	100	79	100	W 4	W 2	NE 4	10^{2}	10^{2}	10^{2}≡	0.4	n ◎. 9 p ≡².
9.	68.4	67.6	67.5	1.9	4.1	4.5	7.1	0.2	3.8	4.8	2.8	73	79	43	S 1	C	E 2	0	10^{2}	10^{2}≡	–	7 a ≡ ⌴. 2 p ∞. 9 p ≡².
10.	68.4	69.2	70.6	3.7	6.3	4.1	7.3	2.7	3.4	5.1	5.0	57	72	82	W 3	NW 2	NE 3	8^{2}	4^{1}⊙	10	–	
11.	71.1	70.7	71.2	4.2	7.3	3.8	8.1	3.3	4.4	4.2	5.1	71	56	85	W 2	N 3	C	8^{2}	4^{2}⊙	8	–	
12.	70.7	71.0	73.6	2.8	5.0	1.3	5.4	0.8	5.6	5.7	4.9	100	87	98	W 2	W 2	W 5	10^{2}	10^{2}	3^{1}	–	7 a ≡⁰. 5^{18} p ◎.
13.	74.9	75.2	77.0	2.5	5.2	2.3	5.5	0.2	4.5	4.2	5.1	80	63	94	W 1	E 2	W 4	4^{1}	3^{1}⊙	10	0.3	
14.	79.3	80.5	82.2	0.7	2.0	1.0	3.1	– 0.4	4.8	4.6	4.8	100	87	98	NE 3	E 2	C	3^{1}	4^{1}⊙	0	–	7 a ≡.
15.	81.2	81.1	80.7	– 1.5	3.1	0.9	3.3	– 2.1	4.1	4.9	4.4	100	87	90	E 1	C	C	0	0⊙	10≡	–	7 a ≡ ⌴. 2 p ≡. 9 p ≡².
16.	78.3	78.0	79.2	3.2	2.8	1.9	4.9	0.5	2.0	5.4	5.3	35	96	100	W 2	W 5	W 4	3^{1}	10^{2}●	10^{2}	–	7 a ⌴. 2 p ◎⁰.
17.	77.5	75.7	74.4	0.6	3.0	4.0	5.1	– 0.4	4.5	3.3	3.9	94	57	64	W 4	W 6	W 9	8^{2}	10^{2}	10	1.0	7 a ⌴. abds. ⌒ (W 9).
18.	69.6	69.3	74.4	4.5	5.0	1.1	5.3	– 1.2	4.2	4.9	4.8	66	75	96	W 8	W 8	NW 8	10	4^{2}⊙	10●	–	7 a ⌴. 9 p ◎. t ⌒ (W 8 u. NW 8).
19.	75.7	73.5	76.5	0.4	3.2	4 5	5.8	– 1.8	4.6	5.8	**6.0**	96	100	96	W 4	W 5	W 9	10^{2}	10^{2}≡●	10	0.6	8^{04} a ✢. 2 p ≡¹ ◎ ✢. 9 p ⌒ (W 9).
20.	79.3	80.6	81.3	3.1	6.5	4.5	6.8	2.3	5.3	5.1	5.3	93	71	84	W 8	W 6	W 2	10^{2}●	8^{2}⊙	9^{2}	**14.8**	7 a ◎, ⌒ (W 8).
21.	81.2	80.8	81.2	2.3	9.1	9.6	10.8	1.5	4.6	4.3	2.0	84	50	21	E 1	SW 2	SW 5	3^{1}	2^{1}⊙	2	0.3	7 a ⌴.
22.	80.7	79.0	81.7	8.0	9.7	2.4	11.7	2.4	2.5	3.8	5.5	31	42	100	W 5	SW 3	W 5	10	9^{2}⊙	10^{2}	–	7 a ⌴. ca 3^{45} p ◎.
23.	82.5	82.3	82.6	1.7	6.2	4.2	6.7	1.0	4.8	4.8	5.2	93	67	84	W. 1	W 2	C	10^{2}	4^{2}⊙	9^{2}	4.4	
24.	82.6	82.6	82.7	5.2	8.2	5.3	8.6	3.3	4.9	4.8	4.9	74	60	74	E 1	C	W 1	10^{2}	8^{2}⊙	6^{2}	–	3^{04} p ◎.
25.	82.8	83.5	84.2	3.6	6.3	4.0	6.7	2.2	5.7	5.5	5.1	97	78	84	W 2	W 2	NE 4	2^{1}	3^{2}⊙	10	0.1	7 a ⌴.
26	83.6	83.9	85.2	1.7	1.9	2.1	4.0	– 1.2	4.8	5.2	5.2	93	98	96	E 1	NE 1	E 2	0	10^{2}≡	0	–	7 a ≡ ⌴, 2 p ≡². 9 p ≡.
27.	**85.5**	85.3	84.6	– 1.5	2.2	3.4	3.8	– 2.2	4.1	4.9	4.7	98	91	80	W 1	W 2	W 3	10^{2}≡	3^{1}⊙	6	–	7 a ≡². 2 p ∞.
28.	82.7	82.0	82.3	4.3	5.4	2.4	6.2	2.4	4.6	4.6	5.5	74	69	100	W 5	W 4	W 4	10^{2}	10^{2}	10^{2}≡●	–	7 a ∞. 9^{14} a ◎. 2 p ∞. 9 p ≡² ◎.
																					23.0	
Mittel	75.8	75.5	76.3	3.1	5.8	4.1	7.1	1.2	4.4	4.8	4.8	79	72	80				6.4	7.3	8.0		

Alle Angaben nach Ortszeit.

Zugspitze.

Februar. $\varphi = 47^{\circ}\ 25'$ N. $\lambda = 10^{\circ}\ 59'$ E $= 43^{m}\ 56^{s}$. H $= 2962.2$ m. Cg $= -0.2$ mm. 1926.

Datum	Luftdruck auf 0° u. Normalschwere reduziert 500 mm +			Lufttemperatur C°					Absolute Feuchtigkeit mm			Relative Feuchtigkeit Proz.			Richtung und Stärke des Windes o bis 12			Bewölkung o bis 10			Niederschlag mm	Schneedecke
	7^{a}	2^{p}	9^{p}	7^{a}	2^{p}	9^{p}	Max.	Min.	7^{a}	2^{p}	9^{p}	7^{a}	2^{p}	9^{p}	7^{a}	2^{p}	9^{p}	7^{a}	2^{p}	9^{p}	7^{a}	7^{a}
1.	24.1	25.2	25.9	− 9.5	− 3.9	− 4.3	− 3.6	−11.8	2.1	3.3	3.2	100	100	100	W 4	NW 3	SW 5	8^{1}	$10^{2}\equiv *$	$10^{2}\equiv$	5.5	✳
2.	25.6	24.2	23.6	− 3.4	− 2.9	− 3.5	− 2.5	− 4.6	3.5	3.4	3.2	100	93	92	S 7	S 8	S 9	10^{2}	8^{1}	10^{2}	0.7	✳
3.	21.9	18.3	18.3	− 4.9	− 4.9	− 6.2	− 3.4	− 6.3	2.7	2.9	2.7	88	96	100	S 8	S 4	C	10^{1}	10^{1}	10^{2}	–	✳
4.	19.5	21.8	24.2	−10.2	−10.7	−10.5	− 6.2	−11.0	1.9	1.8	1.7	100	100	90	W 3	W 3	W 5	$10^{1}\equiv$	$2^{1}\odot$	10^{0}	2.5	✳
5.	26.2	29 0	30.2	− 6.4	− 5.1	− 4.6	− 4.2	−10.7	2.7	3.0	3.1	100	100	100	NW 8	NW 4	N 3	$10^{2}\equiv$	$10^{2}\equiv$	o	–	✳
6.	29.6	28.0	25.5	− 4.8	− 3.2	− 3.1	− 2.4	− 5.4	2.6	1.9	2.3	84	53	66	W 2	C	S 8	2^{1}	$2^{1}\odot$	o	4.6	✳
7.	23.8	24.0	24.8	− 6.7	− 5.5	− 8.8	− 2.9	− 9.2	2.6	2.9	2.2	100	100	100	S 3	S 2	NW 3	$10^{2}\equiv$	$10^{2}\equiv$	$10^{2}\equiv$	–	✳
8.	25.0	24.4	23.3	− 8.9	− 7.0	− 6.3	− 6.1	− 8.9	2.2	2.5	2.6	100	100	95	NW 3	W 2	SW 4	$10^{2}\equiv$	oo	o	8.3	✳
9.	21.2	20.8	21.6	− 8.4	− 7.9	− 6.7	− 6.3	− 9.5	1.7	2.4	2.5	76	100	97	SW 3	SW 5	S 5	4^{1}	10^{1}	3^{1}	–	✳
10.	22.5	23.5	24.3	− 6.6	− 7.0	− 6.9	− 5.3	− 7.6	2.6	2.5	2.4	100	98	97	S 8	S 5	SE 3	$10^{2}\equiv$	$2^{1}\odot$	o	–	✳
11.	24.1	24.2	24.6	− 7.5	− 5.9	− 6.9	− 5.8	− 7.5	2.4	2.8	2.6	98	99	100	SE 3	SE 3	SE 3	10^{1}	10^{2}	10^{0}	–	✳
12.	23.5	23.6	25.4	− 7.5	− 6.6	− 7.5	− 6.4	− 7.7	2.4	2.6	2.4	97	100	100	SE 3	SE 3	SE 3	10^{1}	10^{2}	$10^{0}\equiv$	–	✳
13.	25.9	26.3	27.4	−11.6	− 7.3	−10.4	− 6.6	−11.6	1.7	2.3	1.5	100	93	78	N 2	C	N 2	10^{1}	10^{1}	10^{0}	1.7	✳
14.	28.8	30.2	31.6	−12.0	−11.6	−12.9	−10.1	−13.3	1.6	1.7	1.5	100	100	100	NW 3	N 2	NW 2	$10^{2}\equiv$	$10^{1}\equiv$	6^{1}	–	✳
15.	31.6	31.9	31.5	− 7.0	− 6.5	− 8.6	− 6.1	−12.9	1.8	1.9	0.9	70	72	40	NE 2	C	NW 2	5^{0}	$2^{0}\odot$	o	–	✳
16.	29.5	29.2	29.2	− 9.6	− 8.4	− 9.6	− 6.5	−10.3	1.0	2.3	2.0	50	100	100	W 3	NW 3	N 3	2^{1}	$10^{2}\equiv *$	$10^{2}\equiv *$	–	✳
17.	27.0	26.4	25.8	−13.6	−11.5	− 8.9	− 8.9	−13.7	1.4	1.7	2.2	100	100	100	NW 3	NW 3	W 5	o	$10^{2}\equiv$	$10^{2}\equiv$	5.1	✳
18.	22.1	21.9	24.3	− 8.7	− 8.2	−10.9	− 8.1	−10.9	2.2	2.3	1.8	100	100	100	NW 5	NW 4	NW 8	$10^{2}\equiv$	$10^{2}\equiv$	$10^{2}\equiv$	–	✳
19.	24.7	24.9	27.0	−13.1	− 6.3	− 8.0	− 5.8	−13.3	1.5	2.7	2.3	100	100	100	NW 9	NW 10	NW 10	$10^{2}\equiv$	$10^{2}\equiv$	$10^{2}\equiv$	–	✳
20.	30.4	32.1	32.3	− 6.4	− 7.1	− 9.9	− 6.1	− 9.9	2.7	2.5	1.6	100	100	78	NW 10	NW 3	NW 4	$10^{2}\equiv$	oo	o	7.4	✳
21.	32.9	34.0	34.6	− 6.7	− 5.4	− 5.7	− 5.4	−10.0	1.5	1.8	1.9	55	59	68	NW 6	W 4	W 4	$1^{1}\odot$	8^{1}	1^{1}	–	✳
22.	33.7	31.7	31.5	− 5.7	− 5.8	− 9.2	− 4.9	− 9.5	2.0	2.2	2.2	71	78	100	NW 3	NW 3	NW 5	10^{2}	10^{2}	$10^{2}\equiv *$	–	✳
23.	31.9	33.2	34.3	−10.8	−10.2	− 5.3	− 5.3	−12.8	1.8	1.2	3.0	100	60	100	N 2	W 3	NW 3	$10^{1}\equiv$	$7^{1}\odot$	$10^{2}\equiv$	8.5	✳
24.	34.7	34.8	34.6	− 3.5	− 1.4	− 3.6	− 1.3	− 5.3	3.4	4.1	3.4	100	100	100	N 2	C	C	$10^{2}\equiv$	$10^{2}\equiv$	$10^{1}\equiv$	2.0	✳
25.	33.9	34.4	34.9	− 8.6	− 8.5	− 8.7	− 3.6	− 9.4	2.2	1.5	1.1	100	65	51	NW 3	N 2	W 2	oo	oo	o	2.5	✳
26.	34.9	35.4	36.0	− 6.9	− 5.9	− 8.2	− 5.9	− 8.7	1.8	1.8	1.0	68	65	47	C	C	N 2	oo	oo	o	–	✳
27.	36.0	36.1	35.8	− 9.8	− 8.9	−10.4	− 8.2	−10.4	0.6	0.6	0.7	28	25	33	N 3	N 2	NW 3	oo	oo	10^{1}	–	✳
28.	32.9	31.6	32.0	−10.0	− 8.4	− 8.9	− 8.3	−10.7	2.0	2.3	2.2	100	100	100	N 4	NW 3	N 3	10^{2}	$10^{2}\equiv *$	$10^{2}\equiv$	–	✳
																					48.8	
Mittel	27.8	27.9	28.4	− 8.2	− 6.9	− 7.7	− 5.6	− 9.7	2.1	2.3	2.2	89	88	87				7.2	6.8	6.4		

Bemerkungen.

1. n ✳, a 3 cm V, vereinzelt cu lent, Bewölkungszunahme, ab m meist $\equiv^{1.2}$, ✳treiben, ztw. $✳^{0}$.
2. n ⎓, t Föhnsturm, ✳treiben, Bewölkungsschwankungen (str, ni, cu lent, a-str, a-cu SW m).
3. n, t Föhnsturm, a in Richtung Zentralkette str-cu, 6 p Abflauen des Föhns, Bewölkungszunahme.
4. n $✳^{0}$, n–9 a $\equiv^{0.2}$, t ringsum str-cu in Gipfelhöhe, p im W a-str-Bank, ab 8 p Bewölkungszunahme (str).
5. n, a ⎓. 5 cm V, t $\equiv^{2}$, p ztw. $✳^{0.1}$, 8^{30} p vollständiges Aufklaren.
6. a über Vorland stellenweise Nebel, ringsum a-str, t meist C, 6 p Einsatz von SW, später S.
7. t $\equiv^{1.2}$, ztw. $✳^{0.1}$, abds. 5 cm V.
8. n ✳, a 5 cm Neuschnee, 15 cm V, n–10^{45} a $\equiv^{1.2}$, dann ringsum str-cu in Gipfelhöhe; abds. ringsum Nebeldecke in 2300–2500 m.
9. a über Vorland Nebeldecke, Zentralkette teilw. in Wolken; t Bewölkungsschwankungen (ni, str ztw. bis Vorberghöhe herab), ✳treiben, föhnig.
10. n Föhn, n–8^{45} a $\equiv^{2}$, ✳treiben, t Bewölkungsschwankungen, föhnig, ringsum lent-Formen.
11. a ringsum lent-Formen, über Vorland stellenweise Nebel, t Bewölkungsschwankungen (a-str, str, ni).
12. a über Vorland ∞^{2}, Nebeldecke, m ringsum str-cu in Vorberghöhe, 5^{45-30} p ◹ $\triangle^{1}$ $\equiv^{2}$, dann bis n meist $\equiv^{1}$.
13. a 2 cm V, t ztw. ⊕, meist C, Bewölkungsschwankungen, abds. ringsum Nebeldecke in 2500 m.
14. a über Vorland u. teilw. in den Tälern Nebeldecke in ca 800–1000 m; a meist $\equiv^{1.2}$ V-Ansatz, p str-cu in Gipfelhöhe (ztw. $\equiv^{0.1}$), t ztw. C.
15. t ztw. C, Bewölkungsschwankungen (a-str N l), ringsum $\infty^{1.2}$, über Vorland Nebeldecke.
16. a ringsum a-cu, im S–SW lent-Formen; 10^{30} a–n $\equiv^{2}$ $✳^{0.1}$, 9 p 5 cm V.
17. n ✳, a 10 cm V, ringsum str-cu-Decke in 2700 m; in den Tälern teilw. Nebel, 2 p–n meist $\equiv^{2}$, t ✳treiben.
18. n, t ⎓, ✳treiben, $\equiv^{2}$, V-Ansatz.
19. n ⎓, a 15 cm V, t NW ⎓, ✳treiben, $\equiv^{2}$, V-Bildung, abds. negatives Elmsfeuer.
20. n ✳, NW ⎓, a 40 cm V, 9 a Abflauen des Sturmes, n–1^{35} p $\equiv^{2}$, dann ringsum a-str u. Nebeldecke (abds. in 2200–2400 m).
21. a über Vorland stellenweise Nebel, später ∞^{2}; t Bewölkungsschwankungen (a-str, a-cu NW l), ringsum lent-Formen, ✳treiben.
22. t bedeckt (str, ni NW m). 3^{30} p–n $\equiv^{2}$ $✳^{0.1}$, V-Bildung.
23. n ✳, a 15 cm V, n–7^{30} a $\equiv^{2}$, dann ringsum str-cu Decke in Vorberghöhe; 6^{45} p–n meist $\equiv^{2}$.
24. n $✳^{0}$, t $\equiv^{2}$, V-Bildung, meist C, p ztw. $✳^{0.1}$.
25. a über Vorbergen ∞^{2}, in Richtung Zentralkette Nebeldecke in 2700 m, in Gipfelhöhe ztw. fr-cu.
26. t meist C, ringsum $\infty^{1.2}$, über Vorland u. teilw. in den Tälern Nebeldecke in 900–1200 m, m über Inntal ∞^{2}.
27. a über Vorland u. teilw. in den Tälern Nebeldecke in 1000 m, darüber $\infty^{1.2}$, ringsum etwas a-str; abds. Bewölkungszunahme (ci-str), ⊖.
28. a ringsum Nebel in Vorbergen bis Gipfelhöhe; 7^{10} a–n meist $\equiv^{2}$, 7^{30} a–ca 6 p $✳^{0.1}$, 9 p 5 cm V.

Alle Angaben nach Ortszeit.

Bamberg.

März. $\varphi = 49^0\ 53'$ N. $\lambda = 10^0\ 53'$ E = 43 m 32 s. H = 287.7 m. Cg = +0.3 mm. 1926.

Datum	Luftdruck auf 0° u. Normalschwere reduziert 700 mm + 7a	2p	9p	Lufttemperatur C° 7a	2p	9p	Max.	Min.	Absolute Feuchtigkeit mm 7a	2p	9p	Relative Feuchtigkeit Proz. 7a	2p	9p	Richtung und Stärke des Windes 0 bis 12 7a	2p	9p	Bewölkung 0 bis 10 7a	2p	9p	Niederschlag mm 7a	Bemerkungen
1.	45.9	47.4	**47.9**	4.0	5.3	4.8	6.2	3.2	5.9	6.1	6.2	97	92	97	S 2	S 2	S 1	10^1●	10^2	10^1●	0.9	5^{28}–9^{13} a ◯1. 8^{48}–9^{00} p ◯0.1.
2.	46.4	44.8	44.5	2.4	5.2	5.0	5.5	1.7	5.2	6.2	6.1	94	94	94	S 2	S 1	S 2	10^1	10^2●	10^2●	0.7	$9^{00.39}$ p, 9^{04} a–9^{00} p ◯0.1.
3.	41.9	39.4	38.1	5.2	8.1	4.7	9.0	4.0	6.2	7.3	6.6	94	91	94	S 2	SW 2	SW 2	10^1	9^1	9^1	2.4	$9^{00.24}$ p ◯0.1, 7^{29} a ◯Tr.
4.	34.9	30.9	26.9	5.2	8.4	1.9	10.1	– 0.4	5.0	4.3	5.1	75	52	96	NW 1	SW 5	SW 2	3^1⊙	9^1●	10^1●	0.1	p ztw. ◯Tr. 3^{14}–4^{32} p ◯1, 4^{32}–5^{12} p ✳0.1, 5^{12}–8^{06} p 1)
5.	26.3	31.6	37.9	– 0.2	1.5	0.5	4.2	– 0.9	4.2	4.5	3.2	92	87	67	NW 1	W 2	W 2	8^1⊙	10^2*	3^1	7.7	n meist ◯0.1 ✳0.1, 10^{49} a–2^{08} p ✳0.1, ztw. △0. 2)
6.	37.1	31.7	30.7	– 0.2	0.7	3.0	3.3	– 2.6	3.6	4.0	5.4	80	84	95	S 2	SW 1	NW 3	9^1	10^1	4^1	0.4	7^{38} a–1^{49} p ✳0.1, 3^{34}–4^{28} p ztw. ✳0.1.
7.	32.8	36.0	39.4	3.9	7.8	2.9	8.1	2.5	5.5	4.4	4.4	90	57	78	NW 2	NW 3	C	10^1	7^1⊙	9^1	3.5	mn ≡ (NW 6). 8^{44}–9^{29} a ◯0.1.
8.	39.7	42.5	44.1	4.8	9.2	8.7	10.0	0.8	6.1	7.6	7.7	96	89	92	C	W 1	W 1	10^1	10^1	10^1●	3.6	a Talnebel. p–n öfters ◯Tr.
9.	43.7	40.0	36.6	6.6	8.3	6.7	9.1	6.1	6.4	5.8	6.2	88	71	84	SW 1	SW 2	W 2	10^1●	10^1	10^1●	0.4	6^{49}–7^{15} a ◯0. 7^{34}–8^{00} p ◯0.1. [ztw. ✳0.1.
10.	37.6	36.2	36.9	0.7	1.4	0.8	7.2	– 0.2	3.6	5.0	4.6	75	98	94	NW 2	W 4	SW 6	1^1⊙	10^2*	10^1	2.1	9^{00}–10^{04} p ztw. ◯0.1. $11^{38.56}$ p △1. ≡ (W 7-8). 1^{20}–8^{24} p
11.	46.4	47.8	44.9	0.1	3.6	1.1	5.4	– 1.3	3.9	4.6	4.8	85	78	96	NW 2	NW 2	NW 1	9^1⊙	9^1⊙	10^1●*	2.5	9^{22}–10^{04} p ✳0.1, ca 1^{45} p kurz ✳0. 4^{34}–9^{00} p ◯1 u. ✳0.1.
12.	42.1	42.8	42.7	5.9	7.2	7.4	7.9	0.2	6.2	6.5	6.8	90	86	89	W 2	W 2	C	10^1	10^1	10^1	4.1	9^{09}–10^{04} p ◯0.1, 9^{09}–10^{04} a ztw. ◯Tr.
13.	43.1	42.4	43.5	7.4	8.0	7.1	8.3	6.6	6.4	5.7	5.3	83	71	70	W 2	NW 2	SW 2	10^1	10^1	10^2	0.1	
14.	42.7	43.5	42.6	5.6	5.0	4.9	7.8	3.5	5.8	6.1	6.1	85	94	96	W 2	W 1	C	10^1	10^1●	10^1●	0.1	8^{53} p–2^{14} p ztw. ◯0. 5^{48}–9^{09} p ◯0.
15.	38.2	37.8	39.3	3.8	8.4	3.8	9.1	3.0	5.6	6.4	5.8	93	78	97	W 2	NW 3	C	10^0●	10^0⊙	10^1	4.8	9^{00} p–8^{26} a ◯0.1, 2^{03}–3^{48} p ◯0.1, ztw. △0.1.
16.	39.4	39.7	41.4	2.8	4.3	– 0.5	5.2	– 1.3	5.4	4.2	3.2	96	68	72	NW 2	NW 2	NW 1	10^1=	9^1	0	**10.4**	n, 7^{16}–10^{35} a ◯0.1, mrgs. ≡0.1, später ∞0.1.
17.	40.4	37.8	36.5	– 4.1	5.3	0.2	6.1	– 4.7	3.3	3.1	3.1	96	47	66	NE 1	NW 2	SW 1	oo	5^1⊙	8^0	0.9	mrgs. ⌴1, Talnebel.
18.	35.0	34.7	35.9	– 0.1	5.1	1.9	7.2	– 1.3	3.9	4.7	4.9	86	72	93	N 1	NW 2	N 3	9^1⊙	3^1⊙	10^1	0.1	n ◯Tr. $6^{44.44}$ p ◯Tr., einzelne ✳Fl.
19.	37.3	37.0	37.5	– 1.1	5.3	2.7	7.4	– 2.2	4.1	3.8	4.0	97	57	72	N 1	E 2	C	oo	9^1	10^1	0.0	mrgs. Aufhellung, Talnebel.
20.	38.4	39.0	39.4	0.9	3.4	– 0.1	4.3	– 1.4	3.9	3.2	3.3	81	55	73	NW 2	NW 2	NE 4	9^1	9^1	10^1	–	
21.	38.7	36.4	36.8	– 4.2	0.9	– 2.1	2.1	– 5.3	2.1	2.3	2.0	61	48	50	N 3	N 2	N 4	1^1⊙	7^1⊙	9^0	–	
22	37.3	37.4	38.5	– 2.3	2.3	– 0.5	3.6	– 2.9	2.4	2.7	2.5	62	51	57	NW 2	E 3	E 2	7^1	4^1⊙	10^1	–	
23.	38.1	37.5	38.0	– 2.5	6.0	– 0.5	6.3	– 4.0	2.3	2.3	2.4	61	32	55	E 2	E 3	NE 3	oo	1^1⊙	0^1	–	
24.	36.9	34.5	34.5	– 3.2	8.8	2.0	9.3	– 4.0	2.8	3.3	3.6	77	40	68	NW 1	E 2	SE 2	oo	oo	o	–	
25.	34.1	33.4	33.9	– 2.1	11.4	5.1	12.1	– 3.6	3.5	6.0	5.2	90	59	80	NW 2	NW 1	NE 1	1^1⊙	2^1⊙	4^0	–	mrgs. ⌴1, ∞0.1.
26.	34.5	32.8	32.4	– 0.3	12.7	7.0	14.1	– 1.6	4.0	5.0	5.0	90	45	67	NW 2	NW 2	NE 1	7^1⊙	7^1⊙	9^0	–	mrgs ⌴1.
27.	30.8	27.4	27.5	0.5	14.5	7.0	15.3	– 1.0	4.4	6.3	6.8	92	52	91	C	SW 1	C	1^1⊙	7^1⊙	10^1●	–	mrgs. ⌴1. 8^{14} p ◯Tr. 8^{48}–9^{00} p ◯0.1.
28.	26.3	**24.5**	24.9	3.2	11.9	7.8	12.8	1.4	5.6	6.8	6.7	97	66	85	SE 2	SW 2	W 1	8^1⊙	5^1	9^1	3.5	9^{00}–10^{35} p ◯1.
29.	27.5	26.4	26.5	1.9	16.2	11.5	17.0	0.7	5.3	8.0	**9.4**	100	59	93	C	SW 2	SW 2	10^2=	7^1⊙	10^1●	0.0	a–8^{14} a ≡2. $7^{01.12}$ p, 8^{06}–9^{00} p ◯0.1.
30.	26.7	28.0	31.3	10.4	17.7	10.3	**18.8**	9.3	8.9	8.4	8.7	95	56	94	SW 1	S 3	W 1	9^1⊙	8^1⊙	7^1	4.2	9^{00}–10^{08} p ◯0.1, 2^{14} a kurz ◯0.1, $6^{38.52}$ p ◯1.2.
31.	36.7	37.6	39.4	6.4	13.4	7.4	14.0	5.9	6.0	5.8	6.0	84	51	79	NW 2	SW 1	C	10^1	oo	1^1	1.6	
Mittel	37.3	36.7	37.2	2.0	7.3	4.0	8.6	0.3	4.8	5.2	5.2	87	67	82				6.8	7.3	7.8	54.1	1) ✳0.1 ◯0.1. 8^{38}–9^{00} p ◯1. 2) 4^{05}–5^{26} p meist ✳0.1, ztw. △0.

Kaiserslautern.

März. $\varphi = 49^0\ 27'$ N. $\lambda = 7^0\ 46'$ E = 31 m 4 s. H = 238.1 m. Cg = +0.3 mm. 1926.

1.	51.8	53.3	53.3	5.0	7.0	1.8	7.4	1.2	5.2	4.9	4.4	80	66	84	NW 2	N 1	NW 1	10^0	5^0	o	0.1	t ztw. ◯0.
2.	51.6	50.4	49.5	2.7	5.8	7.0	7.3	0.8	4.9	6.1	6.6	87	88	88	SW 2	W 3	SW 3	10^0●	10^0	10^0	0.0	mrgs. ≡0 u. ⌴0. 7 a ◯. 7^{16}–8^{31} a ◯0.
3.	47.0	45.3	43.4	6.9	7.3	7.6	8.3	6.1	6.1	6.1	6.5	83	80	83	SW 4	SW 3	W 4	10^0	10^0	o	1.1	Abendröte.
4.	47.0	45.3	44.4	6.2	6.6	3.4	8.6	1.3	6.1	6.0	5.1	87	83	87	SW 5	SW 6	NW 4	5^0	10^0	10^0	–	10^{01}–2^{31} p ◯. 2^{31}–3^{16} p ⟦ mit △ ✳ ◯. $3^{16.46}$ p ✳ ◯.1)
5.	40.5	35.7	32.1	0.8	2.5	0.8	4.7	0.0	4.1	4.5	3.7	85	80	77	SW 5	NW 4	N 4	9^0	8^0	o	**13.6**	n ztw. ✳ ◯. a–ca 7^{30} a ✳0 ◯0. 10 a–7 p öfters ✳ ◯.
6.	33.5	39.4	45.0	1.1	2.3	4.9	5.3	– 0.5	4.0	4.9	6.2	81	89	**97**	SW 4	SW 4	SW 3	10^0●●	10^0	10^0●	0.0	a–0 p ✳0 ◯. 9 p ◯.
7.	41.8	37.9	39.2	6.6	9.7	5.7	10.5	4.9	6.1	6.2	6.0	84	69	88	SW 3	NW 4	NW 2	10^0	9^0	10^0	4.5	10^{39} a–0 p ◯0. Abendröte.
8.	40.0	42.6	45.2	9.5	10.2	9.6	11.2	5.7	7.4	7.7	7.4	86	83	84	SW 4	SW 4	W 4	10^0	10^0	10^0	0.0	n ≡0.
9.	47.0	49.2	50.5	8.1	9.5	7.5	10.3	6.5	6.1	5.8	6.1	75	65	79	SW 2	SW 5	SW 7	10^0	9^0	10^0	–	
10.	49.1	45.8	44.1	2.4	5.0	3.5	7.5	1.5	3.6	3.6	4.0	66	55	69	SW 5	NW 7	NW 8	oo	10	1	1.3	ca 11 p ◯. p ztw. kurz ✳0 ◯0.
11.	44.9	44.9	47.0	1.5	5.0	5.5	6.2	0.3	4.5	4.4	5.7	87	68	85	SW 2	W 3	W 6	9^0	10^0●	10^0	0.0	a ⌴0. $2^{-7.30}$ p ztw. ◯0.
12.	53.9	**54.3**	51.8	1.5	5.0	5.5	6.2	0.3	4.5	4.4	5.7	87	68	85	SW 2	W 3	W 6	9^0	10^0●	10^0	0.0	a ⌴0. $2^{-7.30}$ p ztw. ◯0.
13.	50.0	50.9	51.6	6.5	7.7	8.4	8.8	5.0	6.3	6.7	7.3	87	86	89	SW 4	SW 3	SW 3	10	10^0●	10^0	0.1	t ztw. ◯0.
14.	51.0	50.0	50.3	7.7	9.5	8.3	9.8	6.5	6.6	5.9	6.2	85	66	75	W 4	W 3	W 4	10^0	10^0	10^0	0.7	
15.	50.4	49.5	48.0	6.0	9.8	8.0	10.3	5.0	5.6	5.2	5.6	81	57	69	NW 3	W 4	NW 3	10^0	10^0	10^0	–	
16.	45.5	44.3	44.9	6.0	8.0	5.4	8.3	4.9	5.6	6.4	6.1	81	81	91	W 4	W 5	NW 2	10	10^0●	o	–	$1-3^{30}$ p ◯. $6^{01.16}$ p ◯ u. △.
17.	45.2	46.0	46.4	2.6	6.6	2.0	7.3	1.5	5.0	4.6	4.2	91	64	78	NE 2	NE 4	NE 2	10^1=	7	o	2.7	a ≡1.
18.	44.6	41.4	39.9	– 1.8	6.5	1.6	7.3	– 2.9	3.4	3.4	4.0	86	47	78	E 2	NE 3	NW 2	1^0⊙=	o⊙	o	–	a ≡1 u. ⌴. Abendröte. 9 p ∈.
19.	41.7	40.9	41.9	– 1.2	6.2	1.8	6.7	– 1.2	3.5	3.5	4.2	85	49	80	NW 1	NE 2	NE 1	10^0=	8^0⊙	o	–	a ≡1, ⌴.
20.	43.2	42.4	43.1	– 1.8	5.8	1.3	6.3	– 3.0	3.4	3.0	3.4	86	44	69	NE 1	E 5	NE 4	8=	5	1	–	a ≡1.
21.	41.6	40.0	39.4	– 2.8	2.9	– 1.0	3.7	– 3.5	2.7	2.3	2.2	73	41	51	NE 5	E 5	E 5	oo	oo	o	–	
22.	39.5	40.6	41.5	– 1.6	2.0	1.0	2.8	– 1.8	2.7	2.9	4.3	66	55	87	NE 5	NE 5	NE 5	10^0	10^0	5	–	vorm. ✳0 ◯0.
23.	41.1	39.4	39.6	– 1.1	6.0	2.9	7.1	– 2.0	2.8	2.6	3.0	67	38	53	NE 4	E 4	E 4	9^0	oo	o	0.0	
24.	39.3	37.3	37.1	– 1.6	7.6	3.2	9.3	– 2.5	2.8	3.5	4.4	68	44	76	NE 3	E 5	E 3	oo	oo	o	–	
25.	37.6	36.4	37.1	– 1.3	11.8	5.7	13.3	– 2.5	3.6	4.7	5.4	87	46	79	NE 1	N 1	NW 2	1o=	1^0⊙	o	–	a ≡1, ⌴0.
26.	37.6	36.1	35.3	1.5	14.5	7.5	15.1	0.2	4.5	3.4	4.8	87	29	62	SW 2	NE 3	NE 1	5o	5o	2^0	–	a ≡, ⌴. abds. ⊖.
27.	34.2	32.1	30.9	2.0	8.9	5.9	12.2	0.5	4.5	6.5	6.1	85	76	88	NW 1	SW 2	W 2	9^0=	10●	1	–	a ≡1, ⌴. 0–2 p ◯.
28.	29.7	28.2	29.4	5.3	12.6	8.5	13.3	2.8	6.1	5.2	6.7	92	48	81	W 3	SW 4	W 2	10●	7^0	7^0	1.9	a–7^{31} a ◯.
29.	30.4	29.8	29.7	2.8	14.7	11.9	15.8	1.3	5.2	8.2	**9.2**	93	66	90	E 3	SW 2	W 3	10=	9	10	1.7	a ≡2. m Aufheiterung. 4^{16}–ca 4^{30} p ◯.
30.	31.0	32.6	37.4	11.0	16.1	9.2	**16.9**	8.5	8.9	7.3	6.9	92	55	80	SW 3	W 4	NE 1	8o	7o	10	2.7	ca 1^{30}–2^{30} a ◯0. abds. ⊖.
31.	41.7	41.8	44.1	4.6	13.3	7.8	14.3	3.5	5.6	5.3	5.6	89	46	71	NW 2	NE 2	NE 2	10=	oo	o	–	a ≡1.
Mittel	42.4	41.9	42.2	3.0	8.0	5.1	9.1	1.5	4.9	5.0	5.3	83	62	79				7.5	7.1	4.4	30.4	1) abds. ztw. ✳ ◯.

Alle Angaben nach Ortszeit.

München.

März. $\varphi = 48^0\ 9'$ N. $\lambda = 11^0\ 34'$ E $= 46^m\ 16^s$. H $= 526.4$ m. Cg $= +0.1$ mm. 1926.

Datum	Luftdruck auf 0^0 u Normalschwere reduziert 700 mm +			Lufttemperatur C^0					Absolute Feuchtigkeit mm			Relative Feuchtigkeit Proz.			Richtung und Stärke des Windes 0 bis 12			Bewölkung 0 bis 10			Niederschlag mm	Schneedecke cm	Bemerkungen
	7^a	2^p	9^p	7^a	2^p	9^p	Max.	Min.	7^a	2^p	9^p	7^a	2^p	9^p	7^a	2^p	9^p	7^a	2^p	9^p	7^a	7^a	
1.	23.9	25.6	26.5	2.5	4.9	4.2	6.1	1.9	5.2	5.1	5.4	94	79	88	C	E 1	SW 1	10^1●	9^1	10^1	10.5	–	n, a–ca 9^{45} a ◎$^{0.1}$, 8^{11} a ◎ u. ✳. a ≡^{0}.
2.	25.7	24.8	24.7	3.1	8.1	5.7	8.5	2.9	5.3	3.9	5.2	93	50	77	W 1	W 2	W 2	10^1=	10^1	10^1●✳	1.8	–	a ≡^{1}. 5^{01} p, ca 5^{45} p kurz ◎^{0}. 9^{00} p ◎ u. ✳^{0}.
3.	22.3	19.5	18.0	4.9	10.6	7.6	12.6	4.9	5.3	5.6	5.4	82	59	70	SW 1	SW 2	S 2	6^1	1^0⊙	o	0.1	–	a ≡^{0}.
4.	16.0	12.7	07.8	7.1	9.6	6.3	10.1	6.2	5.6	4.1	4.4	75	45	63	W 3	W 5	SW 6	6^1	4^0⊙	10^3●	–	–	9^{00} p ◎$^{0.1}$.
5.	05.4	11.1	16.3	1.3	0.9	0.1	6.3	– 0.3	4.0	3.4	3.7	81	69	81	SW 4	W 4	W 3	10^1	8^1⊙	9^1	2.0	–	9^{00} p–n ◎^{1}. ca 0^{45} a ◎^{0}, dann ✳^{0}. $7^{21.36}$ a ✳^{1} u. [1]
6.	18.5	12.9	11.6	– 1.7	1.3	2.2	3.0	– 2.0	3.0	3.0	4.7	76	62	88	SW 3	SW 5	SW 5	7^1	10^1⊙	10^1●	0.6	–	a Geb. im S sichtbar. 8^{36} a ⊕. 9^{00} p ◎^{1}.
7.	12.9	15.1	19.0	3.9	2.0	4.6	7.0	1.9	5.5	4.9	5.2	90	93	83	SW 3	W 2	W 1	10^1●	10^1●▲	10^3●	1.0	–	9^{00} p ab kurz ◎^{1}. n, a ◎. 1^{36}–2^{26} p ▲ u. ◎^{0}.
8.	20.3	22.4	24.7	4.8	8.7	7.8	9.1	3.9	6.1	7.6	7.1	96	92	90	W 2	SW 3	S 2	10^1●	10^1●	10^1	4.6	–	n u. a ◎^{1}. m–ca 4^{16} p meist ◎$^{0.1}$. [8^{36} p–n ◎^{0}.
9.	24.5	20.9	17.3	6.7	10.8	7.7	12.2	6.7	6.1	5.5	6.2	84	57	80	SW 3	W 3	W 2	8^1	6^1⊙	o	3.7	–	t Geb. schw. sichtbar. ca 4^{45} p ⊕.
10.	18.0	17.1	18.3	0.9	3.1	0.6	8.1	– 0.8	4.4	3.3	3.6	90	59	76	W 2	W 3	SW 4	10✳	7^1⊙	10^1✳	2.5	–	n, a ✳^{0}. ca 0^{45} p ✢$^{0.1}$. $3^{06.16}$ p ✢^{1}. 4^{06}–ca 4^{45} p ✢. [2]
11.	25.3	**27.2**	26.9	– 0.8	1.8	0.7	3.3	– 1.2	3.0	3.8	4.4	71	74	91	W 2	W 3	W 3	9^1	10^1✳	10^1✳	3.5	**4**	n ✳. t–n meist ✳$^{0.1}$, ztw. ✢.
12.	22.9	24.2	25.0	2.6	5.6	5.2	5.9	0.3	4.7	5.2	5.3	85	78	81	SW 4	W 3	NW 3	10^3●	10^1	10^1	3.0	–	n u. a ◎$^{0.1}$, 6^{18} p kurz ◎^{0}.
13.	24.3	23.1	23.3	5.5	8.1	6.6	8.6	4.9	5.3	5.3	5.5	80	67	77	W 3	SW 3	SW 2	10^1	10^1	10^1	0.0	–	10 a kurz ◎^{0}.
14.	22.9	22.9	22.4	5.0	6.4	5.3	7.0	4.5	5.1	4.7	5.4	79	66	83	W 2	SW 2	S 1	10^1	10^1	10^1●	0.0	–	8^{36} a, ca 11^{45} a ◎^{0}. ca 5^{45}, 9^{00} p ◎^{0}.
15.	18.2	18.0	18.5	4.3	6.3	4.2	6.6	4.0	4.4	4.7	5.5	72	66	89	SW 2	SW 2	W 2	10^1	10^1	8^1	0.1	–	a ≡^{0}. 3^{46}–8^{36} p meist ◎$^{0.1}$.
16.	17.9	16.9	19.1	2.3	4.4	1.9	7.3	1.7	5.1	4.9	4.5	94	79	86	C	NW 2	N 1	5^1	10^1	8^1	0.8	–	a ≡^{0}. 2^{06}–ca 5^{45} p meist ◎$^{0.1}$, ztw. ✳^{1}.
17.	17.8	15.3	14.3	– 1.7	5.5	1.5	5.8	– 2.3	3.8	3.5	3.8	**96**	51	75	C	E 1	NE 1	10^1=	4^0⊙	o	0.0	–	a ⌙^{1} u. ≡^{2}.
18.	12.2	11.8	13.4	– 0.8	4.9	1.8	5.0	– 1.1	3.7	3.8	3.7	85	57	72	NE 1	NE 1	NE 1	10^1✳	10^0⊙	8^1	0.0	–	6^{36} a kurz ✳^{0} u. △^{0}. 7^{21} a kurz ✳^{0}.
19.	14.3	14.1	14.6	– 1.8	6.7	2.2	7.0	– 2.0	3.4	3.7	3.9	86	50	71	C	E 2	NW 2	o	4^0⊙	10^1	0.0	–	a ⌙^{2}.
20.	15.0	14.9	15.1	0.4	4.7	– 0.3	5.6	– 0.3	3.8	3.5	4.3	82	54	94	NE 1	NE 3	SE 2	9^1	9^1	10^1✳	–	–	a ≡^{0}. 5^{31} p ✳Fl. 9^{00} p ✳^{1}.
21.	13.8	12.6	12.4	– 2.9	– 1.2	– 2.0	– 0.2	– **3.1**	3.4	2.9	**2.6**	94	70	68	NE 3	NE 2	E 4	10^1✳	10^1	10^1	1.3	2	n, a–ca 9^{15} a ✳^{1}.
22.	12.5	13.1	14.7	– 2.1	– 0.4	– 1.5	0.2	– 2.2	2.9	3.2	3.4	74	72	83	NE 3	E 3	NE 3	10^1	10^1✳	10^1	0.0	–	7^{01} a–0^{46} p meist ✳$^{0.1}$, ztw. ✢. 2^{00} p ✳^{0}.
23.	13.9	13.9	14.1	– 2.2	2.4	– 0.5	3.3	– 2.3	3.1	3.2	3.3	79	58	74	NE 3	E 2	NE 2	10^1	7^1⊙	o	0.0	–	
24.	13.2	11.9	11.3	– 1.8	6.2	3.1	8.2	– 2.2	3.6	4.4	4.5	89	61	80	SE 1	SE 2	NE 1	10^1	o⊙	o	–	–	
25.	11.5	11.7	12.3	– 0.7	9.8	5.6	10.5	– 1.6	3.9	4.9	5.6	92	54	84	S 1	NW 1	C	10^1=	8^1⊙	8^0	–	–	a ≡^{1}, ⌙^{2}.
26.	11.7	10.5	09.7	1.2	12.6	8.7	13.3	0.9	4.6	5.1	5.4	92	49	65	C	NE 2	SW 1	10^0⊙	7^1⊙	10^1	–	–	a ⌙^{1}, ≡^{0}. 4^{00} p ⊕ (R. = $22^1/_2$°). 7^{38} p kurz ◎^{0}.
27.	09.9	06.7	07.0	4.3	14.9	6.9	15.1	3.8	5.1	4.2	6.0	83	34	82	S 1	NE 1	SW 1	2^0	3^1⊙	4^1	0.0	–	a ≡^{0}, △^{2}.
28.	05.6	05.3	04 8	7.1	11.3	7.8	12.1	4.9	5.4	5.7	7.5	72	57	94	C	SW 1	C	10^1	10^1●	10^1	–	–	a Geb. schw. sichtb. $1^{06.24}$ p ◎. 5^{46}–ca 7^{45} p ◎$^{0.1}$.
29.	06.7	06.2	05.8	8.1	17.2	12.6	**17.8**	7.3	7.1	7.4	7.8	89	51	72	S 1	SE 1	C	10^1	7^1⊙	8^1	5.9	–	n ◎. a ≡^{0}. t Geb. schw. sichtbar.
30.	07.0	08.2	10.8	10.9	15.3	11.9	16.0	9.5	6.5	7.5	**8.1**	68	59	78	SW 1	SW 1	SW 2	9^1	10^1●	10^1	–	–	a Geb. schw. sichtbar. 11^{36} a–ca 2^{15} p ◎^{0}.
31.	14.3	15.7	17.6	9.2	12.3	10.8	15.3	8.0	7.5	8.0	7.6	89	76	80	NW 1	NW 2	W 1	10^1	10^1	5^1	0.1	* –	a ≡^{0}.
Mittel	16.1	15.7	16.0	2.6	6.9	4.5	8.3	1.8	4.7	4.7	5.1	84	63	80				8.5	7.9	7.7	41.5	–	[1] △^{0} (Böe). $8^{36.31}$ a ✳^{1}, 2^{44} p △Böe. [2] 8^{36} p–n ✳^{1}.

Hohenpeissenberg.

März. $\varphi = 47^0\ 48'$ N. $\lambda = 11^0\ 1'$ E $= 44^m\ 4^s$. H $= 994.1$ m. Cg $= \pm 0.0$ mm. 1926.

	600 mm +																						
1.	82.3	84.2	85.3	2.6	1.4	0.8	2.9	– 0.5	5.5	5.0	4.7	100	98	98	N 2	NW 2	N 2	10^2=●	10^2=	10^2=	6.9	–	7 a ≡^{2} ◎. ca 9^{45} a ✢. 2 p, 9 p ≡^{2}.
2.	84.3	84.1	83.4	0.9	4.2	2.7	5.1	– 0.4	4.9	5.1	4.9	100	82	87	W 1	W 2	E 3	10^2=	9^2⊙	10	**8.1**	–	7 a ≡^{2}.
3.	82.3	80.8	79.1	2.9	8.7	6.5	10.2	1.3	4.3	5.7	4.8	76	68	67	E 1	E 2	W 4	8^2	o⊙	o	–	–	
4.	77.2	74.1	69.2	3.9	5.1	3.8	7.4	1.8	5.2	4.5	3.3	85	69	55	W 6	W 7	W 8	10^2	8^2⊙	10	–	–	abds. ≡ (W 8).
5.	67.8	71.3	76.0	– 3.6	– 3.6	– 4.5	3.8	– 5.0	3.5	3.5	3.3	100	100	100	W 5	W 5	W 3	10^2	10^2✳	10^2=✳	6.4	6	n ✳. 2 p ✢. 9 p ≡^{1} ✢.
6.	78.0	72.6	72.5	– 7.5	– 2.2	– 0.8	– 0.7	– **7.7**	2.3	3.1	4.2	89	79	98	W 5	W 7	W 8	2^1	10^2	10^2●	1.6	**15**	ca 10^{45} a ✢. 9 p ◎ u. ≡ (W 8).
7.	74.0	75.0	79.6	0.2	2.1	1.5	2.2	– 1.3	4.7	5.2	4.8	100	98	94	W 7	W 7	W 5	10^2	10●	10	0.6	6	7 a ≡^{0}. 2 p ◎.
8.	80.5	82.8	84.4	1.5	4.3	3.8	4.5	0.4	5.1	6.2	6.0	100	100	100	W 5	W 5	W 4	10^2=●	10^2=●	10	2.9	–	7 a, 2 p ≡^{2} ◎.
9.	84.0	81.5	78.8	3.2	8.2	4.9	9.5	2.3	5.6	5.9	5.7	97	73	89	W 4	W 3	W 7	9^2	2^1⊙	o	0.3	–	
10.	78.4	77.8	78.7	– 3.2	– 1.9	– 3.3	4.9	– 4.3	3.6	3.5	3.3	100	88	91	W 5	W 6	W 7	10^2=✳	8^2⊙	10	2.9	5	n ✢. 7 a ≡^{2}, ✢. ca 3^{45} p ✢.
11.	83.6	**85.5**	85.0	– 5.3	– 2.1	– 3.3	– 1.5	– 6.1	3.0	3.6	3.4	100	92	96	W 4	W 6	W 7	10^2	10^2✳	10	4.7	10	2 p ✢.
12.	82.7	83.6	84.0	– 0.8	1.7	1.7	1.8	– 3.3	4.3	4.5	4.5	100	88	88	W 7	W 5	W 6	10^2=✳	10^2	10	1.3	15	7 a ≡^{2} ✢.
13.	83.6	82.9	83.2	1.8	4.0	2.6	4.3	0.9	4.8	4.7	4.4	91	77	79	W 6	W 4	W 5	10^2	9^2⊙	10	0.3	10	
14.	82.8	82.5	81.5	1.5	2.5	1.9	4.1	0.6	4.5	4.9	4.3	89	89	82	W 4	W 3	W 2	10	3^1⊙	o	–	–	7 a ∞.
15	78.6	78.8	79.1	0.2	3.0	0.5	3.3	– 0.8	4.1	3.7	4.8	90	66	100	W 4	W 5	W 3	10^2	10^2	10^2=	–	–	7 a, 2 p ∞. 9 p ≡^{2}.
16.	78.4	77.3	78.5	– 0.5	– 0.4	– 2.0	2.6	– 2.2	4.3	4.8	4.0	96	100	100	C	W 6	NE 3	3^1⊙	10^2✳	10^2=✳	–	–	7 a ≡^{0}. 2 p ✢. 9 p ≡^{2} ✳.
17.	77.5	75.9	74.0	– 4.4	– 0.6	– 1.6	1.5	– 5.2	3.3	3.6	3.2	100	83	78	W 1	W 1	NE 2	10^2=	9^2⊙	o	0.9	1	7 a ≡^{2}.
18.	72.7	72.3	73.5	0.4	– 1.3	– 1.9	2.3	– 2.7	3.9	4.5	4.0	83	98	100	W 1	NE 3	NE 3	10^2	10^2=	10^2=	–	–	7 a ∞. 7^{14} a ✳. 2 p, 9 p ≡^{2}.
19.	73.9	74.4	74.7	– 3.6	1.6	– 1.3	2.8	– 4.6	3.5	3.8	3.3	100	75	80	E 3	NE 3	N 4	o⊙	3^2⊙	10	0.6	1	7 a ≡.
20.	74.6	74.7	74.7	– 1.8	1.0	– 3.1	1.3	– 3.3	3.4	3.2	3.6	86	65	100	NE 2	N 4	NE 4	3^1⊙	10^2	10^2=✳	–	–	7 a ≡. 2 p ∞. ca 3^{45} p ✳. 9 p ≡^{2} ✳.
21.	73.5	71.9	71.8	– 5.7	– 5.4	– 6.8	– 3.1	– 7.2	3.0	3.0	2.7	100	100	100	E 5	E 6	E 7	10^2=	10^2	10	1.3	3	7 a ≡^{2}.
22.	71.5	72.1	73.1	– 6.1	– 4.6	– 5.0	– 4.4	– 7.0	2.9	3.2	3.1	100	100	100	E 5	E 4	E 6	10^2=✳	10^2	10^2=	0.8	3	n ✳. 7 a ≡, V, ✳. 9 p ≡^{2}.
23.	73.0	72.8	73.3	– 5.2	– 2.7	– 3.8	– 2.5	– 5.9	3.1	3.6	3.4	100	96	100	E 4	E 2	E 5	10^2=	10	10	0.4	4	7 a ≡^{2}. V.
24.	72.7	72.3	72.0	– 4.5	– 1.3	1.1	1.1	– 5.1	3.3	4.0	4.5	100	96	91	E 2	E 2	W 3	10^2=	10^2=	10	–	4	7 a, 2 p ≡^{2}.
25.	72.2	72.0	73.0	2.4	7.2	4.0	8.0	– 1.0	3.4	4.8	4.9	63	64	80	W 2	E 2	SE 2	6^1⊙	3^2⊙	7	–	–	7 a, 2 p ∞.
26	72.5	72.0	71.6	3.2	8.8	4.0	9.6	2.1	4.1	4.7	5.3	71	55	87	E 2	E 3	E 4	1^1⊙	6^1⊙	10	–	–	7 a ≡. 2 p ∞. 4^{23} p Fern-[Z.
27.	71.3	68.6	68.3	3.6	9.8	3.2	11.1	1.2	4.5	3.2	5.0	77	36	87	E 2	E 3	E 2	1^1⊙	2^1⊙	10	–	–	
28.	67.5	67.0	66.8	5.5	8.8	4.7	9.4	1.9	4.4	5.4	6.4	65	61	100	E 2	E 2	C	10^2	10^2⊙	10^2=	–	–	4^{34} p ◎. 9 p ≡^{2}.
29	67.7	67.8	68.1	6.2	13.5	10.2	**14.0**	4.0	5.9	6.3	5.5	84	55	59	W 4	W 3	W 1	6^2⊙	8^2⊙	3^1	0.0	–	
30.	68.4	70.5	72.3	8.8	12.0	8.6	12.8	6.3	5.4	6.6	6.0	64	64	71	W 3	W 1	C	10^2	10^2	10	–	–	11^{31} a, 6^{34} p ◎^{0}.
31.	75.1	76.9	78.1	5.1	8.2	7.4	9.1	5.1	6.6	**7.9**	7.7	100	98	100	N 2	N 3	N 5	10^2=	10^2=	10^2=	0.3	–	7 a, 2 p, 9 p ≡^{2}. 3^{31} p ztw. ⊙.
Mittel	76.2	76.0	76.2	0.1	2.9	1.2	4.4	– 1.5	4.2	4.6	4.5	91	81	89				8.0	8.1	8.4	40.3		

Alle Angaben nach Ortszeit.

Zugspitze.

März. $\varphi = 47^0\ 25'$ N. $\lambda = 10^0\ 59'$ E $= 43^m\ 56^s$. H $= 2962.2$ m. Cg $= -0.2$ mm. 1926.

Datum	Luftdruck auf 0° u. Normalschwere reduziert 500 m + 7a	2p	9p	Lufttemperatur C° 7a	2p	9p	Max.	Min.	Absolute Feuchtigkeit mm 7a	2p	9p	Relative Feuchtigkeit Proz. 7a	2p	9p	Richtung und Stärke des Windes 0 bis 12 7a	2p	9p	Bewölkung 0 bis 10 7a	2p	9p	Niederschlag mm 7a	Schneedecke 7a
1.	32.3	33.2	34.2	− 9.1	− 8.6	−10.3	− 8.5	−10.3	2.1	2.2	1.9	100	100	100	N 3	N 3	N 3	10^2 ≡✳	10^2 ≡✳	10^2 ≡	**14.6**	✳
2.	33.2	33.2	34.3	−10.6	−11.7	− 6.8	− 6.8	−11.7	1.9	1.7	2.6	100	100	100	NW 3	N 4	NW 3	10^2 ≡	10^1	10^2 ≡	8.1	✳
3.	33.8	33.5	32.5	− 4.6	− 4.6	− 7.0	− 3.1	− 7.0	3.1	3.0	2.0	100	97	80	N 3	W 3	NW 3	10^2 ≡	⊙⊙	⊙	–	✳
4.	29.0	25.7	20.8	− 8.6	− 7.4	−11.2	− 7.0	−11.2	2.1	2.5	1.8	93	100	100	NW 4	NW 3	NW 5	8^1	10^2 ≡	10^2 ≡	–	✳
5.	**16.0**	18.3	22.3	−16.1	−19.0	−18.7	−11.2	−19.6	1.1	0.9	0.9	100	100	100	NW 5	N 7	NW 7	10^2 ≡	10^2 ≡	10^2 ≡	–	✳
6.	23.4	21.8	22.9	−21.6	−11.6	−10.5	−10.2	-21.6	0.7	1.7	1.9	100	100	100	NW 7	NW 10	NW 11	⊙	10^2 ≡	10^2 ≡	5.6	✳
7.	23.7	24.7	28.2	−10.5	−10.4	−11.7	−10.1	−11.8	1.9	1.9	1.7	100	100	100	NW 10	NW 11	N 8	10^2 ≡	10^2 ≡	10^2 ≡	4.1	✳
8.	30.9	33.3	34.7	− 7.9	− 7.0	− 7.8	− 7.0	−11.7	2.4	2.5	2.4	100	100	100	NW 9	NW 6	NW 4	10^2 ≡	10^2 ≡	10^2 ≡	13.4	✳
9.	**34.8**	33.6	31.7	− 8.2	− 7.3	− 7.9	− 7.1	− 8.5	2.3	2.5	2.1	100	98	92	NW 4	NW 4	W 5	⊙⊙	⊙⊙	⊙	5.6	✳
10.	26.1	23.9	24.4	−13.4	−15.3	−17.6	− 7.9	−17.9	1.5	1.2	1.0	100	100	100	NW 4	NW 7	NW 8	10^2 ≡✳	10^2 ≡	10^2 ≡	–	✳
11.	28.9	30.7	32.1	−18.9	−18.1	−15.1	−15.1	−19.9	0.9	0.9	1.2	100	100	100	NW 3	NW 4	NW 5	10^2 ≡	10^2 ≡	10^2 ≡	2.8	✳
12.	32.5	33.4	33.9	− 8.7	− 7.6	−10.1	− 7.0	−15.1	2.2	2.4	1.9	100	100	100	NW 5	NW 4	N 4	10^2 ≡	10^2 ≡	10^2 ≡	1.6	✳
13.	33.8	33.6	32.7	− 7.2	− 8.3	−10.4	− 6.9	−10.4	2.5	2.3	1.7	100	100	91	NW 3	W 3	NW 4	10^2 ≡	⊙⊙	⊙	3.2	✳
14.	31.4	31.8	32.0	−11.7	− 8.4	− 9.3	− 7.3	−11.9	1.7	2.3	2.1	100	100	98	NW 3	N 3	N 3	⊙⊙≡	⊙⊙	⊙	–	✳
15.	28.8	27.8	27.9	−10.3	−10.7	−11.3	− 9.0	−11.4	1.4	1.8	1.8	77	100	100	NW 5	NW 5	NW 3	4^0	10^1	10^2 ≡	–	✳
16.	26.8	25.6	26.5	−11.7	−10.0	−12.4	− 9.8	−12.4	1.7	2.0	1.6	100	100	100	NW 3	NW 2	NW 1	⊙⊙	10^2 ≡✳	10^2 ≡	–	✳
17.	26.2	25.8	24.8	−11.5	−10.5	−11.5	−10.4	−13.9	1.4	1.5	1.7	79	80	100	N 2	NW 3	NW 3	⊙⊙	⊙⊙	⊙	6.2	✳
18.	22.8	22.2	22.3	−10.4	−10.5	−13.5	− 9.9	−13.5	1.9	1.9	1.4	100	100	100	NW 3	NW 3	NW 3	10^2 ≡✳	10^2 ≡	10^2 ≡	3.5	✳
19.	22.9	23.9	24.4	−12.9	− 9.7	−10.7	− 9.6	−14.3	1.5	2.0	1.8	100	100	100	NW 2	NW 2	W 3	10^1 ≡	10^2 ≡	10^2 ≡✳	4.5	✳
20.	23.5	23.5	22.7	−12.8	−10.3	−11.5	− 9.6	−12.8	1.5	1.9	1.7	100	100	100	NW 3	NW 2	W 2	10^2 ≡	10^2 ≡	10^2 ≡	2.9	✳
21.	20.5	19.6	19.7	−13.3	− 9.9	− 8.7	− 8.7	−13.5	1.5	2.0	2.2	100	100	100	NW 2	W 3	W 3	10^2 ≡	10^1 ≡	10^1 ≡	2.1	✳
22.	20.0	22.0	22.8	−11.3	− 7.8	− 9.0	− 7.3	−11.3	1.7	2.4	2.1	100	100	100	W 3	S 4	SW 3	10^1 ≡	5^0⊙	7^1	–	✳
23.	22.3	23.1	23.8	−10.7	− 6.6	− 8.9	− 6.5	−12.4	1.8	2.6	2.2	100	100	100	NW 2	W 3	S 3	10^2 ≡✳	2^1⊙	4^1	1.6	✳
24.	23.4	23.8	24.1	−10.0	− 6.2	− 7.5	− 4.8	−10.3	1.8	2.6	2.1	89	93	86	W 2	S 3	S 2	⊙⊙	⊙⊙	⊙	–	✳
25.	24.2	24.9	25.5	− 9.3	− 5.4	− 7.3	− 5.3	−10.2	2.0	2.9	2.5	94	100	100	S 3	W 2	W 3	10^1	10^1≡	6^1	–	✳
26.	24.8	24.8	24.4	− 8.3	− 5.7	− 7.4	− 5.1	− 8.8	2.3	2.8	2.5	100	98	100	W 2	SW 2	SW 3	9^1	10^1	3^1	–	✳
27.	23.2	21.9	21.8	− 9.0	− 7.4	− 8.0	− 6.9	− 9.5	1.8	2.2	2.2	87	90	96	SW 4	SW 3	S 6	7^1⊙	8^1	10^1	–	✳
28.	20.0	21.0	21.0	− 6.9	− 4.7	− 4.9	− 4.5	− 8.8	2.3	3.0	3.0	89	96	100	SW 7	S 7	S 8	10^2	10^1	10^2	–	✳
29.	23.1	24.0	24.1	− 5.6	− 2.9	− 2.8	− 2.4	− 6.2	2.9	3.2	3.1	100	89	85	W 5	S 4	S 8	4^1⊙	10^1	10^1	–	✳
30.	24.8	25.6	26.8	− 3.4	− 1.5	− 4.1	− 1.2	− 4.5	3.3	4.1	3.3	93	100	100	S 3	S 2	NW 2	10^2	10^1≡✳	10^2 ≡✳	–	✳
31.	28.6	30.0	31.6	− 4.7	− 0.7	− 2.5	**0.7**	− 4.9	3.1	**4.3**	3.6	100	98	96	E 3	SE 1	E 4	10^2	4^1⊙	⊙	3.8	✳
Mittel	26.3	26.5	26.8	− 10.3	− 8.6	− 9.6	− 7.3	−11.8	1.9	2.3	2.1	97	98	98				7.5	7.4	7.1	83.6	

Bemerkungen.

1. n ✳, a 15 cm Neuschnee, 20 cm ⋁, n–6 p $✳^1$ (30 cm), t ≡², ⋁-Bildung.
2. n ✳, a 5 cm Neuschnee, 10 cm ⋁, n–12 m ≡², dann Vorberge u. Plattrand in Wolken, ⊕, 7^{30} p–n ≡².
3. n–10^{10} a ≡² (5 cm ⋁), dann 0 ⊙, ringsum ∞¹·².
4. a Vorberge in Wolken, ringsum ∞¹·², Bewölkungszunahme (a-cu, a-str SW m: str-cu in Gipfelhöhe); p vorwiegend ≡², ✳treiben.
5. t ≡², ⋁-Bildung (9 p 15 cm), böig, ✳treiben, ztw. $✳^1$.
6. n ⁻, 8 a–n ≡², ⋁-Bildung, NW ⁻, (ztw. 20–28 m/sec.), ✳treiben; [Wärmeeinbruch: 8 a –20.7°, 9 a –19.6°, 10 a –11.8°].
7. n ✳, NW ⁻, a 30 cm ⋁, t NW ⁻, ✳treiben, ztw. $✳^1$, ≡², ⋁-Bildung.
8. n ✳, NW ⁻, a 30 cm ⋁, t ⁻, ✳treiben, ztw. $✳^1$, ≡².
9. n $✳^0$, Aufklaren; a ringsum Nebeldecke in 2000–2200 m, nach Auflösung derselben ringsum ∞¹·².
10. a 3 cm ⋁, $7–9^{30}$ a $✳^1$, t ⁻, ✳treiben, ≡², ⋁-Bildung.
11. n ✳ ⁻, a 5 cm Neuschnee, 7 cm ⋁, t ✳treiben, ≡², ⋁-Bildung.
12. n $✳^0$, t ✳treiben, ztw. $✳^1$; ≡², ⋁-Bildung.
13. n–9^{45} a ≡², 20 cm ⋁; t ringsum Nebeldecke in 2300 m.
14. t ringsum Nebeldecke in Gipfelhöhe (abds. in ca 2300 m), ztw ≡⁰·¹, ◐, Bewölkungsschwankungen (a-str N m).
15. a ringsum a-str, über Inntal ∞², über Vorland Nebeldecke in 1800 m, Bewölkungszunahme, m ringsum Nebeldecke in Gipfelhöhe, 3^{30} p–n ≡².
16. a 15 cm ⋁, ringsum Nebeldecke in 2500 m, 7^{30} a–n ≡², 1^{30} p–n $✳^{0.1}$ mit kurzen Unterbrechungen, 9 p 5 cm Neuschnee.
17. n $✳^0$, Aufklaren, a ringsum Nebeldecke in 1300–1500 m, t 0 ⊙, p ringsum ∞¹·².
18. n ✳, a 5 cm Neuschnee, t ≡², n–6 p meist $✳^{0.1}$.
19. n $✳^0$, t ≡², 2^{20} p kurz $✳^1$, 8^{30} p–n $✳^1$.
20. n ✳, a 3 cm Neuschnee, 5 cm ⋁, t ≡², ⋁-Anflug.
21. n $✳^0$, a 2 cm Neuschnee, ⋁, 10 a kurz $✳^0$, t ≡¹·², p ⊙ ztw. durchdringend.
22. n–9 a ≡¹, ⋁, dann ringsum Nebeldecke in 1900 m, Zentralkette in Wolken; t Bewölkungsschwankungen (str-cu, fr-cu SW m), 6 p–n meist ≡¹·².
23. n ✳, a 2 cm Neuschnee, n–1 p ≡¹·², dann ringsum Nebeldecke in 1900 m, darüber str-cu (SW m) in Gipfelhöhe.
24. a ringsum Nebeldecke: über Vorland u. teilw. in den Tälern in 1000 m, gegen S in 2500 m; p ringsum ∞².
25. a ringsum ∞¹·², 10 a ⊕, 11 a ◐, ringsum str-Bildung in Gipfelhöhe; 2–8 p meist ≡¹.
26. a Zentralkette in Wolken, t ringsum ∞², m str-Bildung in Gipfelhöhe, 3–7 p ztw. ≡¹ (abds. ztw. ◐.
27. a über Zentralkette Föhnmauer, ringsum lenticularis-Formen, t Bewölkungszunahme, 5 p–n meist ≡¹·².
28. n ⁻, t ⁻ bedeckt (str, ztw. bis in Vorberghöhe herabhängend).
29. a über Zentralkette Föhnmauer, über Inntal ∞², m ringsum str-cu in Gipfelhöhe, abds. Sicht nach N sehr rein.
30. n Föhnsturm, 11 a–n ≡¹·². 1–6 p ztw. $✳^1$.
31. n ✳, a 2 cm Neuschnee, ⋁, Vorberge u. Plattrand in Wolken, t ringsum Nebeldecke in 2200–2900 m.

Alle Angaben nach Ortszeit.

Bamberg.

April. $\varphi = 49^0\ 53'$ N. $\lambda = 10^0\ 53'$ E $= 43^m\ 32^s$. H $= 287.7$ m. Cg $= +0.3$ mm. 1926.

Datum	Luftdruck auf 0^0 u. Normalschwere reduziert 700 mm + 7a	2p	9p	Lufttemperatur C° 7a	2p	9p	Max.	Min.	Absolute Feuchtigkeit mm 7a	2p	9p	Relative Feuchtigkeit Proz. 7a	2p	9p	Richtung und Stärke des Windes 0 bis 12 7a	2p	9p	Bewölkung 0 bis 10 7a	2p	9p	Niederschlag mm 7a	Bemerkungen
1.	41.2	40.9	41.9	1.5	17.5	10.0	17.8	0.7	4.7	4.6	6.0	93	31	66	NW 1	NW 1	NW 1	3^1⊙	4^1⊙	0	–	a ⏢, ∞.
2.	43.7	43.5	43.8	3.6	19.7	13.1	20.4	1.8	5.1	6.8	7.0	87	40	63	NW 2	C	NW 2	2^1⊙	8^1⊙	8^0	–	a ⏢, ∞.
3.	**45.3**	44.3	44.8	7.3	18.4	9.6	19.9	5.3	6.2	6.8	3.8	82	44	42	NW 1	SE 3	SE 5	4^1⊙	4^1⊙	1	–	a ⏢^{1}, Talnebel.
4	45.2	43.1	43.3	4.1	17.5	10.6	17.7	1.1	3.8	3.8	4.0	61	26	42	E 2	E 2	SE 2	○○	1^1⊙	1^1	–	
5.	44.1	43.1	43.1	7.7	19.2	11.5	20.6	5.0	5.9	7.7	7.8	75	47	77	C	C	C	○○	5^1⊙	0	–	a ∞.
6.	42.7	40.2	39.3	5.6	20.4	12.2	21.2	3.2	6.2	7.3	7.8	91	41	74	C	W 1	C	○○	3^1⊙	0	–	a ⏢^{1}, ∞$^{0.1}$.
7.	38.0	35.4	35.4	6.4	22.2	15.5	22.8	3.5	6.7	7.6	8.5	93	38	64	C	C	S 1	○○	8^1⊙	10^2	–	a ∞$^{0.1}$, 8^{09} p kurz ◍$^{0.1}$.
8.	35.9	34.6	34.3	10.8	14.3	7.3	16.0	7.3	8.2	7.1	7.2	85	58	94	SW 1	SW 2	SW 2	9^1●	8^1⊙	3^1	0.3	9^{34}–10^{08} p ◍$^{0.1}$, 6^{34}–7^{16} a ztw. ◍Tr.
9	32.2	32.8	33.8	6.0	6.2	5.2	12.4	3.7	6.1	6.9	5.7	88	**97**	86	NW 2	W 2	NW 1	9^1	7^1⊙	10^1	0.1	$0^{35.42}$ p ◍^{0}, $1^{00.54}$ p, 3^{46}–4^{30} p ◍$^{0.1}$, $6^{19.39}$ p ◍^{1}.
10.	33.6	31.7	33.7	3.8	6.6	6.5	10.6	1.6	5.6	6.6	5.7	93	91	80	SW 1	W 2	NW 2	10^1●	9^1⊙	10^1	3.0	6^{34}–8^{34} a ◍$^{0.1}$, p ztw. kurze ◍-Schauer.
11	36.8	38.0	38.6	4.3	8.9	5.1	11.5	3.5	5.3	4.8	4.8	85	57	74	NW 2	N 2	N 2	9^1	9^1	1^1	2.8	ca 3^{45} p ab Aufhellung.
12.	38.5	37.5	37.7	3.6	13.9	7.2	14.2	– 0.4	4.6	**3.7**	4.4	78	31	58	C	E 2	SE 2	○○	1^1⊙	1^1	–	n ⏤^{1}.
13	39.6	39.3	40.3	2.3	16.1	8.1	16.4	– 0.5	4.3	4.3	5.4	79	32	67	NW 1	C	NW 1	1^1⊙	○○	0	–	n ∞. a ⏤^{1}.
14	42.2	41.6	41.2	2.2	19.0	11.1	19.0	– **1.0**	4.7	5.7	5.1	87	35	52	NW 1	S 1	S 1	○○	○○	0	–	a ⏤^{1}, ∞.
15.	40.7	37.8	36.0	3.8	21.3	13.4	21.7	– 0.1	5.0	5.1	4.2	83	27	37	C	S 2	SE 2	○○	○○	⁰○	–	a ⏤.
16.	34.8	33.0	31.4	8.2	18.3	8.9	19.3	5.3	5.7	7.0	7.5	70	45	88	S 1	W 1	SW 1	4^1⊙	6^1◎	10^1	–	6^{39} 7^{02} p, 7^{35}–8^{18} p ◍^{1}.
17.	30.4	31.3	31.2	7.4	10.4	6.5	12.1	6.5	7.0	4.8	4.7	91	51	65	S 1	W 1	SW 1	10^1	9^1	10^0	**4.2**	ca 1^{45} a ◍$^{0.1}$.
18.	29.5	28.2	28.3	4.4	11.4	6.2	13.3	0.6	4.9	6.0	5.1	79	59	72	S 2	S 2	S 1	7^1⊙	8^1	3^1	–	mrgs. ◍Tr. t öfters kurze Zeit ◍Tr. bezw. ◍-Schauer.
19	24.1	23.0	26.4	7.2	15.2	6.9	16.5	3.0	7.0	7.0	5.8	93	54	79	SW 3	S 2	S 3	10^1●	8^1⊙	10^0	1.7	n ◍^{1}, 6^{50} a–6^{59} p öfters kurze ◍-Schauer.
20.	28.1	27.4	26.3	6.0	13.3	4.9	13.4	4.4	6.1	5.1	5.1	88	44	79	S 2	S 2	S 2	10^1	7^1⊙	10^0	0.2	$6^{44.59}$ a ◍$^{0.1}$, $0^{59.32}$ p △$^{0.1}$, t öft. kurze ◍-Schauer. abds. ∈.
21.	**21.7**	21.9	24.1	6.0	11.2	5.6	12.0	3.9	5.9	6.4	5.9	85	65	86	S 2	SW 2	S 3	9^1	9^1	4^1	1.8	n ⏤^{1110} (S 4-5). 8^{44}–9^{34} a ◍$^{0.1}$, $3^{07.16}$ p ⟦. 2^{34}–3^{19} p ◍$^{0.1}$.
22.	26.7	27.3	29.5	6.2	11.3	5.0	14.0	1.6	5.7	6.6	5.5	81	66	84	SE 2	SE 2	SE 1	4^1	7^1⊙	3^0	3.5	$3^{45.55}$ p ◍^{1}, 8^{34} p ab ∈ sich bildend. [$3^{14.19}$ p ▲^{1}.
23	32.9	34.8	36.3	2.1	13.4	6.9	14.2	– 0.1	5.2	4.6	5.8	96	40	79	C	C	C	2^1⊙	8^1⊙	7^0	0.4	9^{04}–11^{04} p ∈. abds. ∈.
24	36.6	33.8	31.1	5.2	14.9	12.3	15.5	2.9	6.0	7.6	9.0	90	60	86	W 2	NE 2	W 4	10^1●	9^1⊙	10^1	0.1	n ◍$^{0.1}$, 6^{51}–8^{24} a ztw. ◍Tr.
25.	23.6	22.0	24.0	17.3	25.3	17.4	**25.7**	11.7	**9.6**	5.5	5.8	65	23	39	C	S 5	S 5	9^1⊙	3^1⊙	1^1	0.1	ca 9^{45}–4^{45} p ⏤^{1111} (S-SE 5-6). ca 10^{45}–11^{14} a ⏤^{1112} (SE 7-8).
26.	28.7	31.8	33.9	11.9	11.5	9.0	17.4	8.5	8.0	7.6	7.0	77	75	81	S 2	C	W 1	9^1	10^1●	10^1	–	1^{34}–3^{24} p ztw. ◍Tr. ca 7^{46}–8^{39} p ◍$^{0.1}$.
27.	36.5	37.1	37.1	7.4	13.3	7.3	14.2	6.0	6.5	6.0	5.9	85	52	77	SW 1	W 1	SW 1	10^1	7^1⊙	5^0	0.7	
28.	37.6	35.9	35.5	5.8	16.6	10.7	17.8	1.9	5.9	6.4	6.2	87	46	64	NW 1	N 1	N 1	9^1⊙	8^1	3^1	–	a Talnebel.
29	35.4	34.7	34.7	10.6	20.6	14.7	21.8	6.2	7.4	8.0	7.4	77	45	59	SE 1	S 1	S 3	1^1⊙	8^1⊙	9^1	–	
30.	35.4	33.8	33.5	11.0	24.9	18.0	25.1	7.4	7.6	8.7	8.4	77	37	55	SW 1	SE 2	S 1	8^1⊙	9^2⊙	10^1	–	
																					18.9	
Mittel	35.4	34.7	35.0	6.3	15.8	9.6	17.2	3.5	6.0	6.2	6.1	83	49	69				5.3	6.1	5.0		

Kaiserslautern.

April. $\varphi = 49^0\ 27'$ N. $\lambda = 7^0\ 46'$ E $= 31^m\ 4^s$. H $= 238.1$ m. Cg $= +0.3$ mm. 1926

1.	45.7	45.2	46.8	2.4	17.6	9.3	18.6	0.4	4.3	4.1	5.7	79	27	65	E 2	NE 1	W 1	3^0⊙	○○	0	–	⏤^{0}.
2.	48.3	47.7	48.0	2.9	20.4	11.7	21.3	1.5	4.4	3.7	7.2	78	**21**	70	E 1	E 3	W 1	8^0	5^0	0	–	⏤^{0}.
3.	48.8	47.7	47.0	7.4	21.2	16.4	22.0	5.5	6.0	4.7	6.2	79	25	44	NW 1	E 4	E 3	8^0=	5^0⊙	0	–	a ≡^{1}.
4.	46.7	46.6	48.3	9.7	18.0	12.9	18.9	8.8	4.5	8.5	7.9	49	56	72	E 4	SW 3	NW 3	7^0	9^0	0	–	
5.	**49.1**	48.2	47.6	8.0	17.4	12.9	18.8	7.0	6.8	7.0	8.0	85	48	73	SW 1	SW 3	W 1	2○	5^1	0	–	
6.	47.2	44.5	44.0	6.6	19.7	12.9	20.8	4.9	6.1	6.4	7.8	84	38	70	W 1	SW 3	W 1	○○	1^0⊙	0	–	a ≡^{0}.
7.	42.5	39.9	41.1	7.6	19.6	12.8	20.3	5.6	6.1	7.3	9.1	79	43	83	SW 2	SW 4	SW 3	5○	8^0	10	–	4^{46} p, 5^{21} p, ◍^{0}.
8.	41.0	39.8	38.3	10.7	11.7	8.3	13.3	7.8	8.4	5.0	6.4	89	48	78	W 4	SW 4	W 3	5^0	8^0	10●	0.9	9^{16} p ◍^{0}, 9^{00} p ab ◍^{0}.
9	37.9	38.7	39.9	6.4	7.6	7.2	10.3	5.5	5.8	5.9	5.5	81	76	73	SW 3	NW 2	W 2	10^0	9^0●	5^0	0.0	$9^{00.16}$ p ◍^{0}, 1^{31}–2^{01} p, 7^{46}–8^{41} p ◍.
10.	39.2	38.6	40.9	6.6	11.0	7.7	11.4	3.1	6.3	5.2	5.6	87	53	71	SW 4	W 5	NW 2	10	10	10	1.2	n ztw. ◍.
11	42.0	41.4	41.6	2.2	11.0	7.5	11.8	1.0	4.4	4.1	5.5	82	42	70	NW 1	E 4	SW 1	0	5^1	0	–	a ⏤^{0}.
12	41.4	40.1	40.9	4.1	14.3	8.6	15.8	2.1	4.8	3.4	5.0	79	29	60	E 3	NE 4	SE 2	○○	○○	0	–	a ⏤^{0}.
13	42.3	43.3	44.6	2.7	16.6	9.0	17.3	– 0.3	4.0	3.6	5.0	72	26	58	E 2	NE 2	E 1	○○	○○	0	–	a ⏤^{0}.
14.	46.0	46.0	46.1	3.0	18.2	10.7	19.7	0.3	4.2	**3.3**	5.9	74	**21**	62	E 1	SW 2	E 2	○○	○○	0	–	a ⏤^{0}.
15.	45.0	41.7	38.8	4.2	20.2	12.8	21.3	2.0	4.5	3.9	7.1	73	22	65	E 2	SW 1	E 1	○○	c○	0	–	a ⏤, ≡^{1}.
16.	39.5	38.2	35.3	11.1	11.4	9.7	12.8	7.0	7.0	6.0	6.3	70	59	70	SW 3	SW 4	NW 1	10^2	10	0	–	$3^{01.45}$ p ◍^{0}.
17.	36.2	35.7	35.2	6.6	10.4	7.2	11.3	5.4	5.3	5.0	6.0	73	53	79	SW 3	W 5	W 2	9^1	9^0	9^0●	0.0	8^{01} p–n ◍^{0}.
18.	33.0	32.1	30.7	6.0	10.9	8.5	12.4	4.9	5.9	5.4	6.0	85	55	73	W 2	W 3	E 3	10^2	8^0	2	3.3	n ztw. ◍^{0}.
19.	25.6	28.4	30.7	10.6	9.1	8.4	12.6	7.5	7.3	5.7	6.2	75	66	76	SW 5	SW 5	W 3	10^1	9^0	8^0	3.1	n ◍. $9^{36.36}$ a ◍^{0}. abds. ∈.
20.	32.5	31.3	27.6	7.0	10.6	8.4	11.3	5.5	6.0	5.7	6.1	79	60	74	SW 4	SW 4	SW 2	10^2	7^1●	10^1	0.4	t öfters ◍ von kurzer Dauer. abds. ∈.
21.	24.7	25.6	27.6	6.2	7.6	5.4	8.8	4.5	6.0	6.3	5.6	86	80	83	SW 4	SW 6	NW 3	10^2●	10^0●	5^0	7.5	n ◍. a–ca 3^{30} p ◍^{0}. 4^{16}–5^{31} p ◍. 5^{56} p ◠.
22	29.6	31.7	34.3	6.6	8.0	6.6	10.4	4.8	6.2	6.2	6.3	86	87	87	SW 3	W 4	W 2	10^1,	10^2●	0	**12.8**	t-3^{31} p ◍^{0}.
23.	37.4	38.9	39.9	1.1	11.1	8.4	13.3	– **0.5**	4.6	5.8	6.3	**92**	59	77	W 2	SE 3	E 3	10^2=	9^1	7^1	0.3	a–7^{21} a ≡.
24	40.2	38.1	34.8	5.8	12.0	11.9	13.7	3.9	5.9	6.2	6.7	87	59	65	E 2	E 5	E 6	10^1=	10^{11}	10^0	–	a–10^{31} a ≡^{1}. $10^{31.41}$ a ◍^{0}.
25.	24.6	24.5	28.4	13.5	23.7	15.9	**24.5**	10.5	8.4	5.5	8.6	73	25	69	E 5	SE 2	W 7	10^2	4	10^2	0.1	4^{16} p Fern-⟦. 6^{18} p ◠.
26.	34.0	37.4	40.2	8.3	9.7	9.0	15.9	7.2	5.9	5.8	6.3	73	64	73	SW 4	SW 5	SW 3	9^0	10^2	9^0	3.5	9^{06} a ⟦ mit △. 9^{46}–10^{06} a ◍^{0}.
27.	41.1	41.1	41.5	8.0	11.7	9.6	12.8	5.9	6.0	5.6	7.0	75	54	79	SW 3	SW 3	SE 3	10^2	10^2	10^2	0.3	t ztw. ◍Tr.
28.	41.6	39.7	38.2	6.8	14.8	11.9	16.3	3.1	6.2	5.3	6.8	84	43	66	E 2	SW 3	E 2	7^0⊙	5^0⊙	10^2	0.2	
29.	38.0	38.2	38.0	11.8	18.4	14.9	19.2	8.0	6.7	6.2	8.6	65	40	68	SW 2	SW 3	S 2	9^1	10^2	10^2	0.0	6^{46} a kurze Zeit ◍Tr.
30.	38.2	36.6	35.3	9.7	22.8	17.0	**24.5**	8.1	7.1	5.9	**10.6**	79	28	74	E 1	SW 2	SE 1	○○	10^2	5	–	
																					33.6	
Mittel	39.3	38.9	39.1	6.8	14.6	10.5	16.0	4.7	5.8	5.4	6.7	78	47	71				6.4	6.5	4.7		

Alle Angaben nach Ortszeit.

München.

April. $\varphi = 48^0\ 9'$ N. $\lambda = 11^0\ 34'$ E $= 46^m\ 16^s$. H $= 526.4$ m. Cg $= +\ 0.1$ mm. **1926.**

Datum	Luftdruck auf 0° u. Normalschwere reduziert 700 mm + 7a	2p	9p	Lufttemperatur C° 7a	2p	9p	Max.	Min.	Absolute Feuchtigkeit mm 7a	2p	9p	Relative Feuchtigkeit Proz. 7a	2p	9p	Richtung und Stärke des Windes 0 bis 12 7a	2p	9p	Bewölkung 0 bis 10 7a	2p	9p	Niederschlag mm 7a	Schneedecke cm 7a	Bemerkungen
1.	19.2	19.2	20.8	5.8	16.7	12.4	17.4	5.0	6.4	7.7	7.0	**93**	55	66	NW 1	NE 2	E 1	8^1	2^0⊙	0	–	–	a ≡0, △1.
2	21.7	22.0	22.9	7.5	19.0	12.8	19.8	6.9	6.6	6.6	6.5	87	42	60	C	NE 2	E 1	1^0⊙	3^0⊙	0	–	–	a ≡0, △1.
3.	**23.7**	22.4	22.9	7.3	18.0	9.9	18.3	6.8	5.9	5.6	6.1	78	37	68	C	E 3	E 3	4^0⊙	2^0⊙	0	–	–	a ≡0, △1.
4.	22.9	22.0	22.8	1.2	16.2	12.1	17.7	0.6	3.3	5.9	5.5	66	44	54	E 2	SE 1	SE 1	⊙⊙	⊙⊙	2^0	–	–	
5.	23.3	22.7	22.4	11.0	17.4	12.8	18.5	8.8	7.8	7.3	8.1	81	50	75	SW 1	NW 2	C	8^1	$,2^0$⊙	0	–	–	
6.	21.4	19.3	19.0	9.7	18.4	14.0	20.0	8.3	7.9	7.2	8.2	88	46	69	SW 1	NE 1	C	0	4^1	0	–	–	a ≡1, △1.
7.	18.1	15.9	15.8	10.7	20.9	15.7	21.6	9.8	6.9	5.2	6.3	73	28	48	SW 1	W 2	W 3	3^0⊙	3^0⊙	10^1	–	–	a △1. p Gebirge schw. sichtbar.
8.	16.4	14.3	13.8	11.1	14.3	8.2	15.7	7.6	6.8	5.2	5.9	69	45	74	W 3	W 3	SW 3	8^1	7^1⊙	10^1●	–	–	10^{21} p, 11^{56} p kurz ◯0.1, 9^{00} p ◯0. [ztw. ◯0.1.
9.	12.3	12.2	13.8	6.3	8.1	3.3	9.1	3.1	5.1	4.8	5.1	73	60	88	SW 3	W 4	SW 3	8^1	9^1	10^1	0.0	–	11^{46} p kurz ◯0. 11^{41} a △0, 0^{28} p △1.2, 11^{31} a–ca 8 p
10.	14.5	13.3	13.8	3.8	6.7	4.9	8.1	2.9	5.0	5.2	5.6	83	72	86	SW 3	SW 4	SW 3	3^0⊙	10^1	10^1●	2.0	–	ca 11^{16} p ◯1. 10 a kurz ◯0, 10^{46}–11^{31} a ◯0.1.
11.	14.8	15.8	16.4	4.2	9.0	5.1	10.1	3.8	5.2	4.5	5.0	85	53	77	NW 1	NE 1	E 1	10^1●	8^1	0	1.8	–	[8^{06} p-9^{00} p ◯0. 9^{00} p–n ◯0, a ◯0.
12.	15.3	15.0	15.5	1.3	12.7	6.2	13.0	0.2	4.6	4.9	4.7	91	45	67	E 2	E 3	E 2	7^1	1^0⊙	0	0.1	–	n ⌴2. p Geb. im SE sichtbar.
13.	16.9	17.6	19.1	3.0	15.1	10.3	15.7	1.2	4.3	4.2	4.6	77	33	50	C	N 2	E 1	⊙⊙	1^0⊙	0	–	–	a ⌴2. p Geb. im S schw. sichtbar.
14.	20.4	20.8	21.0	5.7	16.8	11.0	17.6	3.7	4.5	3.5	5.0	67	24	52	SW 1	N 1	C	⊙⊙	⊙⊙	0	–	–	a ⌴2, ≡0.
15.	20.4	18.0	15.3	8.5	18.8	13.3	19.5	5.8	4.5	3.8	5.9	56	24	51	S 2	E 1	E 1	⊙⊙	1^0⊙	0	–	–	a ⌴1. p Geb. schw. sichtbar.
16.	14.1	12.1	09.0	11.1	16.9	13.3	17.4	9.1	4.4	4.8	5.4	45	34	47	SW 1	NW 2	C	3^0⊙	5^1⊙	4^1	–	–	
17	09.7	10.6	11.2	7.6	7.7	5.7	13.3	3.9	6.3	5.5	5.3	81	70	77	W 2	SW 3	SW 2	10^1●	10^1●	10^1●	1.6	–	9^{51} p ◹ mit ◯1.2, t-9^{00} p meist ◯0.1.
18.	08.8	07.2	07.8	4.7	11.5	7.4	12.5	3.8	4.4	4.0	5.3	69	40	69	SW 1	NW 1	SW 2	2^0⊙	10^1●	5^1	4.0	–	9^{00} p–n ◯0, 10 a Geb. gut sichtbar. 1^{51} p kurz ◯0.
19	05.4	03.8	07.7	7.5	16.1	5.1	16.4	4.2	5.6	5.8	5.6	73	43	87	SW 2	S 1	SW 3	8^1	8^1⊙	10^1●	1.6	–	n ◯0. m Geb. schw. sichtb. 5^{46} p–9^{00} p ◯1.2, 7^{16} p ◹
20.	08.2	07.8	06.5	5.2	10.2	6.5	11.4	4.2	5.2	4.6	4.6	79	50	65	SW 2	SW 3	SW 1	10^1	8^1⊙	5^1	**11.2**	–	9^{00} p–n ◯1. 10^{00} a kurz ◯0. p Geb. gut sichtbar.
21	02.7	03.5	04.7	6.3	8.3	5.7	9.0	4.0	4.9	5.4	5.8	70	67	86	S 1	SW 3	S 1	10^1	10^1	8^1	0.5	–	10^{44} a kurz △2, dann ◯. 2^{56} p–ca 4^{45} p meist ◯1.2, 1)
22	06.3	08.3	09.0	5.3	7.5	6.8	10.3	2.6	4.6	5.1	5.6	70	68	77	SW 2	SW 3	SW 2	5^1⊙	10^1●	10^1	2.2	–	0^{51} p–3^{08} p ◯0.1. 4 p Geb. teilw. sichtbar.
23.	11.2	13.7	14.9	6.1	8.1	7.3	9.0	4.9	5.9	5.7	6.2	85	72	83	C	NE 1	SE 1	10^1●	10^1	10^1	0.1	–	a–11^{36} a ◯1.
24.	13.5	10.3	07.1	6.1	16.2	11.7	18.3	4.8	6.5	8.8	**9.2**	91	64	92	C	NE 1	NE 1	10^1	7^1⊙	4^0	4.5	–	a ≡0.
25.	**01.2**	01.3	04.8	14.8	22.8	16.1	22.9	11.0	7.6	4.5	4.2	61	**22**	31	SE 1	SE 4	SE 4	5^0⊙	4^0⊙	10^1	–	–	9^{46} p ∈. t Geb. gut sichtbar.
26	07.7	09.8	13.9	11.2	15.1	8.6	16.1	8.5	4.9	6.5	6.7	50	51	80	S 1	NW 2	SW 2	8^1⊙	7^1	10^1	–	–	2^{08} p ◹ aus NW. 2^{24}–5^{26} p meist ◯1.
27.	16.2	15.7	15.7	7.6	11.9	10.2	12.1	6.8	5.6	5.5	6.3	71	54	68	C	NE 1	NW 1	10^1	7^1⊙	10^1	3.9	–	n ◯.
28.	15.7	14.6	14.4	7.9	14.2	12.4	15.2	7.5	6.8	6.6	7.7	87	55	72	W 1	NE 1	C	10^1	6^1⊙	5^1	–	–	5^{46} p–7^{01} ◯0.
29	14.4	14.3	14.3	10.3	20.6	14.2	20.7	6.5	6.5	4.5	6.5	70	25	53	C	S 2	E 2	4^1⊙	5^1⊙	1^0	–	–	a △1, ⊂⊃1, t Geb. sichtbar.
30.	14.0	12.9	12.1	11.7	25.4	18.0	**25.8**	8.6	5.9	5.2	8.3	57	34	54	SE 1	E 2	SE 1	1^0⊙	2^0⊙	4^1	–	–	t ⊂⊃1.
																					33.5		
Mittel	14.3	13.9	14.3	7.4	14.7	10.0	15.8	5.5	5.7	5.5	6.1	74	47	68				5.5	5.4	4.9			1) 4^{00} p Geb. schw. sichtbar.

Hohenpeissenberg.

April. $\varphi = 47^0\ 48'$ N. $\lambda = 11^0\ 1'$ E $= 44^m\ 4^s$. H $= 994.1$ m. Cg $= \pm\ 0.0$ mm. **1926.**

	600 mm + 7a	2p	9p	7a	2p	9p	Max.	Min.	7a	2p	9p	7a	2p	9p	7a	2p	9p	7a	2p	9p	7a	7a	
1.	79.0	80.1	81.4	6.9	11.4	10.3	13.3	5.0	7.4	8.0	8.3	100	79	89	E 1	E 4	E 4	⊙⊙	1^1⊙	0	–	–	7 a ≡, 2 p ⊂⊃.
2.	81.7	82.3	82.8	8.6	14.9	11.3	15.5	6.8	7.0	6.8	5.8	84	54	58	SE 3	SE 5	NE 6	1^1⊙	2^1⊙	0	–	–	7 a, 2 p ⊂⊃.
3.	83.1	82.3	82.4	9.1	13.8	7.1	14.3	7.1	5.6	5.5	5.5	65	47	73	W 4	W 5	W 7	1^1⊙	2^1⊙	0	–	–	7 a ⊂⊃.
4.	81.9	82.7	**83.2**	6.9	15.2	11.3	15.5	2.7	5.2	6.9	7.7	70	53	77	W 2	W 2	W 3	⊙⊙	⊙⊙	10	–	–	7 a △.
5.	**83.2**	83.0	82.8	7.8	13.2	8.6	13.4	7.2	7.8	7.7	7.0	98	68	84	N 3	NW 3	E 3	10^2	6^2⊙	8^2	–	–	7 a △, ⊂⊃. 5^{14} p ◹ u. ◯.
6.	81.8	81.6	81.1	8.2	14.4	12.3	15.7	6.6	7.8	6.9	6.9	96	56	65	E 2	NE 3	N 3	3^1⊙	2^1⊙	3	3.6	–	7 a △.
7.	80.2	78.7	78.7	9.8	15.5	10.8	16.1	9.5	6.1	5.6	7.5	68	43	77	C	NW 4	W 7	1^1⊙	2^1⊙	10	–	–	7 a △.
8.	78.3	76.7	75.7	6.9	8.4	4.5	10.8	4.5	5.8	5.6	5.1	79	67	81	W 4	W 5	W 4	9^2	10^2	9^2	–	–	
9.	73.8	73.0	74.4	0.3	3.0	– 0.4	4.5	– 1.2	4.8	4.2	4.5	100	69	100	W 3	W 6	W 4	10^2*	4^2⊙	10^2=*	0.2	–	7 a, 5 p ⊹, 9 p ≡2 ⊹.
10.	75.0	74.2	75.0	– 0.5	2.9	0.9	3.3	– 1.3	4.4	4.8	4.7	100	85	96	W 4	W 6	W 5	10^2=	10^2	10^2=	3.4	1	7 a ≡2, 10 a, 6 p ⊹, 9 p ≡2.
11.	75.2	75.8	76.3	1.0	4.5	1.3	5.5	– 0.4	4.8	4.6	4.3	98	73	85	W 3	E 2	W 4	10^2=	4^2⊙	0	2.0	–	7 a ≡2.
12.	75.2	75.2	75.7	1.8	8.7	4.3	9.6	– 0.1	3.4	4.2	4.7	64	50	76	W 4	E 5	NE 5	1^1⊙	⊙⊙	0	–	–	7 a ⌴.
13.	76.7	78.3	80.1	5.2	10.9	7.5	11.8	2.7	4.7	3.9	4.0	71	41	52	W 2	E 3	E 4	⊙⊙	⊙⊙	0	–	–	7 a ⌴.
14.	81.0	81.6	82.1	7.2	12.7	10.4	13.8	4.2	4.5	4.6	**3.0**	60	42	32	C	E 1	E 2	⊙⊙	⊙⊙	0	–	–	7 a ⌴.
15.	81.5	79.9	77.9	9.6	14.6	11.2	15.1	6.3	4.7	4.0	4.7	52	33	48	C	NE 3	SE 1	⊙⊙	⊙⊙	0	–	–	7 a △.
16.	76.9	74.8	71.9	8.6	11.6	10.0	13.7	8.0	3.2	5.1	5.5	39	49	60	SE 2	NE 3	N 3	3^1⊙	5^1⊙	5^2≈	–	–	ca 8^{45} p im N ◹ u. ◯.
17.	71.3	71.5	72.1	2.2	2.2	2.0	10.0	– 1.1	5.4	4.7	3.7	100	87	69	W 3	W 4	W 4	10^2●=	10^2●	10	5.2	–	7 a ≡1 ◯. 7^{14} a ✳, 2 p ◯.
18.	70.0	69.0	69.1	3.0	7.4	3.6	8.6	0.2	3.4	3.3	4.5	59	43	77	W 1	W 4	W 3	2^1⊙	10^2	8^2	3.9	–	7 a △. 2^{34} p ◯.
19.	07.5	66.0	68.4	6.0	11.1	0.5	12.7	– 0.9	4.5	5.5	4.8	65	55	100	W 3	W 4	W 7	8^2	6^1⊙	10●	0.2	–	5^{14} p ◹ im N, ◯ △, 9 p ◯.
20.	69.0	68.8	68.0	0.5	5.3	2.4	7.2	– 0.5	4.6	4.5	3.7	96	68	68	W 4	W 5	E 2	10=●*	4^2⊙	2	**12.8**	–	7 a ⊹ ≡1 u. ◯.
21.	64.3	65.3	66.2	3.6	5.2	3.8	6.6	0.6	4.3	5.0	3.7	73	75	62	SW 3	W 4	W 5	8^2	10^2	8^2	0.1	–	
22.	67.7	69.1	70.2	3.1	3.2	4.4	6.5	0.9	3.9	5.2	4.3	68	90	68	W 1	W 2	C	7^1⊙	10^2●	10	–	–	2 p ◯.
23	71.2	74.0	75.1	2.8	3.5	3.4	5.6	1.5	5.0	5.2	5.7	89	89	98	E 1	N 2	W 2	10^2●	10^2	10	4.1	–	7 a ◯.
24.	74.5	72.1	69.2	2.5	8.1	10.1	12.7	1.1	5.5	7.3	**9.2**	100	91	99	E 3	SW 4	SW 6	10^2=	6^1⊙	5^1	4.0	–	7 a ≡1.
25	63.4	**63.1**	66.8	12.7	16.8	10.5	17.0	9.5	6.4	3.8	4.5	58	**27**	47	SW 7	S 8	S 4	6^1⊙	7^1⊙	5^1	–	–	2 p ⌒2 (S 8).
26	70.1	72.7	75.4	7.0	10.9	4.1	12.0	3.4	4.9	5.9	6.1	66	60	100	W 2	W 2	C	8^1	10^1	10^2=	–	–	3^{14} p ◹ u. ◯, 9 p ≡2.
27.	77.0	76.9	77.0	3.3	5.8	5.0	7.2	2.2	5.6	5.6	6.1	97	82	94	W 1	C	C	10^2	10^2	10^2●	4.0	–	9 p ◯.
28.	76.4	76.0	76.0	3.3	9.1	7.0	11.1	2.1	5.6	6.5	6.0	97	75	79	W 1	E 1	E 3	10^2	3^1⊙	3^1	2.0	–	
29.	75.9	75.9	76.1	10.4	15.4	12.3	16.3	6.1	4.7	4.8	4.8	50	37	44	E 2	E 2	E 4	4^1⊙	8^2⊙	10	–	–	7 a △.
30.	76.0	75.6	74.9	14.1	21.2	16.2	**21.4**	10.1	4.5	6.0	6.6	37	32	48	SE 4	SE 5	W 5	3^1⊙	4^1⊙	10	–	–	
																					45.5		
Mittel	75.3	75.2	75.5	5.7	10.1	6.9	11.6	3.4	5.2	5.4	5.4	77	61	74				5.5	5.2	5.9			

Alle Angaben nach Ortszeit.

Zugspitze.

April. $\varphi = 47^0\ 25'$ N. $\lambda = 10^0\ 59'$ E $= 43^m\ 56^s$. H $= 2962.2$ m. Cg $= -0.2$ mm. 1926.

Datum	Luftdruck auf 0^0 u. Normalschwere reduziert 500 mm +			Lufttemperatur C⁰					Absolute Feuchtigkeit mm			Relative Feuchtigkeit Proz.			Richtung und Stärke des Windes 0 bis 12			Bewölkung 0 bis 10			Niederschlag mm	Schneedecke
	7^a	2^p	9^p	7^a	2^p	9^p	Max.	Min.	7^a	2^p	9^p	7^a	2^p	9^p	7^a	2^p	9^p	7^a	2^p	9^p	7^a	7^a
1.	32.8	34.3	35.5	− 2.9	− 1.0	− 2.5	− 0.6	− 3.2	3.4	4.0	3.5	94	93	93	E 3	E 3	E 3	○○	4^{1}○	○	–	
2.	36.4	37.3	37.6	− 1.4	− 1.4	− 3.6	− 0.2	− 3.6	2.9	3.5	2.0	71	87	60	NE 2	C	N 2	○○	○○	○	–	
3.	37.0	**37.9**	36.5	− 3.6	− 2.3	− 2.8	− 1.9	− 4.1	1.7	1.2	1.3	52	32	37	N 2	N 2	N 3	○○	○○	○	–	
4.	36.2	36.9	37.4	− 3.9	− 2.6	− 1.8	− 1.6	− 4.1	2.8	3.6	4.0	85	98	100	NW 4	NW 4	NW 2	○○	○○	10^{2}●	–	
5.	36.5	36.6	36.2	− 3.1	− 1.6	− 2.2	− 0.5	− 4.6	3.5	3.8	3.8	100	93	100	E 2	C	SE 2	10^{1}=	9^{1}	10^{2}=	–	
6.	35.0	35.2	34.7	− 3.9	− 0.9	− 2.4	0.2	− 4.3	2.5	4.0	3.5	77	93	93	E 2	C	SW 3	○○	○○	○	0.8	
7.	33.4	33.3	32.5	− 4.0	− 2.1	− 2.5	− 0.1	− 5.3	1.8	2.7	3.7	56	70	100	W 3	NW 2	W 2	○○	○○	10^{2}=*	–	
8.	30.1	28.3	26.4	− 5.3	− 5.0	− 8.9	− 2.5	− 8.9	3.0	3.0	2.2	100	100	100	NW 2	C	NW 4	10^{2}=	10^{2}=*	10^{2}=*	1.6	
9.	22.9	23.2	24.2	−11.8	−11.0	−12.1	− 8.9	−12.2	1.7	1.8	1.6	100	100	100	NW 6	NW 3	NW 3	10^{2}=	10^{2}=	10^{2}=*	**15.4**	
10.	24.4	24.7	25.1	−14.7	−10.6	−11.2	−10.3	**−14.7**	1.3	1.9	1.8	100	100	100	NW 5	NW 3	NW 7	10^{2}=	10^{2}=*	10^{2}=	11.8	
11.	24.6	26.3	27.1	−12.0	− 5.9	− 6.0	− 4.1	−12.2	1.6	2.8	2.8	100	100	100	NW 2	SW 2	SW 4	10^{2}=	10^{1}=	○	3.9	
12.	26.8	28.0	28.8	− 7.8	− 4.0	− 8.3	− 3.8	− 8.3	1.9	3.1	1.4	81	94	62	SW 2	S 3	E 2	○○	○○	○	0.3	
13.	29.5	31.4	32.6	− 6.8	− 4.5	− 5.6	− 1.3	− 9.3	0.9	2.5	1.7	33	82	60	E 2	SE 3	NW 2	○○	○○	○	–	
14.	33.6	34.9	35.2	− 5.8	− 3.3	− 4.5	− 2.2	− 6.0	1.1	3.0	2.4	41	85	76	N 2	C	W 2	○○	○○	○	–	
15.	34.1	33.5	31.6	− 4.6	− 1.9	− 3.0	− 0.7	− 6.9	0.7	2.0	2.5	23	51	70	N 2	SE 2	SE 4	○○	○○	○	–	
16.	29.9	28.0	25.6	− 5.3	− 3.2	− 4.9	− 2.5	− 5.8	2.2	3.4	2.6	75	96	83	N 1	SE 3	SE 3	○○	8^{1}	4^{0}	–	
17.	22.6	22.1	22.7	− 9.0	−10.9	−13.0	− 4.9	−13.0	2.1	1.8	1.5	100	100	100	N 2	N 3	NW 3	10^{2}=*	10^{2}=	10^{0}=	11.2	
18.	21.5	21.0	21.8	−13.4	− 8.2	− 8.8	− 7.7	−14.1	1.5	2.3	2.2	100	100	100	W 3	NW 2	SW 7	○○	10^{2}=*	10^{1}	8.3	
19.	21.4	21.5	21.2	− 6.6	− 3.7	− 8.7	− 3.0	− 8.8	2.5	2.7	2.2	95	82	100	SW 7	SE 5	NW 2	10^{2}	10^{2}	10^{2}=*	2.0	
20.	20.3	20.7	20.0	−11.7	− 8.4	−10.3	− 7.9	−12.6	1.7	2.3	1.9	100	100	100	N 2	W 3	S 6	10^{2}=	10^{2}=	3^{1}	14.9	
21.	17.1	17.6	18.9	− 8.7	−10.1	−11.9	− 7.7	−12.2	2.1	1.9	1.7	97	100	100	SW 7	NW 3	W 4	9^{1}	10^{2}=*	6^{1}	3.2	
22.	19.3	21.0	22.5	− 9.9	− 8.5	− 9.5	− 6.7	−12.4	1.9	2.2	1.9	95	100	93	S 2	W 2	W 3	10^{2}=	10^{2}=	10^{2}	5.7	
23.	23.2	25.8	27.2	− 7.7	− 2.5	− 5.6	− 2.2	− 9.5	2.4	3.7	2.9	100	100	100	E 2	S 3	SE 4	10^{2}=	10^{1}=*	10^{2}=*	1.0	
24.	27.5	27.5	25.8	− 3.6	− 1.1	− 1.0	− 0.5	− 6.0	3.4	4.0	**4.2**	100	94	98	SE 5	SE 6	S 8	6^{1}	9^{1}	2^{1}	5.8	
25.	20.6	21.2	23.0	− 2.5	− 2.2	− 5.6	− 0.3	− 5.6	3.7	3.3	2.8	100	85	97	S 7	S 6	SE 5	10^{2}	9^{1}	10^{2}	–	
26.	24.4	25.7	27.3	− 6.4	− 4.2	− 6.0	− 2.4	− 7.3	2.3	3.2	2.8	85	100	100	SE 4	SE 2	SE 1	10^{2}=	10^{2}	10^{2}=*	–	
27.	27.6	28.0	28.4	− 6.4	− 2.7	− 5.1	− 2.0	− 7.3	2.7	3.7	3.0	100	100	100	SE 2	SE 1	SE 3	10^{1}=	10^{2}=	10^{2}=	5.1	
28.	28.2	28.6	29.1	− 5.1	− 1.9	− 5.9	− 1.2	− 6.0	3.0	3.9	2.8	100	100	100	SE 3	SE 3	NW 2	10^{1}=	6^{1}	9^{1}	5.7	
29.	29.5	31.1	31.8	− 5.9	− 0.3	− 2.4	− 0.1	− 6.6	2.3	3.4	3.0	83	75	80	NW 2	SW 3	NW 3	○○	8^{0}	3^{1}	0.4	
30.	32.8	33.4	32.5	0.5	2.8	1.4	**4.0**	− 2.6	3.1	3.5	3.1	64	63	62	NW 1	SE 3	SE 4	○○	10^{0}	4^{1}	–	
																					117.1	
Mittel	28.0	28.5	28.6	− 6.4	− 4.1	− 5.8	− 2.8	− 7.9	2.3	2.9	2.6	84	89	89				5.2	6.4	5.7		

Bemerkungen.

1. a ⌴², ringsum ○○², Nebeldecke in 900–1200 m, m str-cu-Bildung, abds. ringsum ○○².
2. a ⌴¹, ringsum ○○², p ztw. str-cu in Gipfelhöhe, abds. ringsum ○○².
3. t ringsum ○○¹·³.
4. a ringsum ○○¹·³, m str-cu-Bildung, 5^{30} p–n meist ≡². V.
5. t str-cu in Gipfelhöhe, meist ≡², V, ztw. C.

6. n △⁸, t ringsum ○○², Nebeldecke in Vorberghöhe, p Lawinengang.
7. a ringsum ○○¹·³, p Bewölkungszunahme, 8^{45} p–n ≡² ⊁⁰·¹.
8. n ⊁⁰, a 1 cm Neuschnee, 5 cm V, t ≡², V-Bildung, meist ⊁⁰·¹.
9. n ⊁, a 10 cm Neuschnee, 20 cm V, t ≡² ✳treiben, V-Bildung, meist ⊁⁰·¹.
10. n ⊁, a 15 cm Neuschnee, 20 cm V, t ≡², V-Bildung, 10^{30} a–n meist ⊁⁰·¹, abds. ✳treiben.

11. n ⊁, a 20 cm V, n–7^{30} p meist ≡¹·², 10 a–m ztw. ✳⁰, p ⊙ öfters durchdringend.
12. t ringsum ○○¹·², abds. Tierkreislicht sichtbar.
13. a über Vorland stellenweise Nebel, t ringsum ○○¹·², abds. Tierkreislicht sichtbar.
14. t ringsum ○○¹·², ztw. C. p str-cu in Gipfelhöhe.
15. t ringsum ○○¹·², abds. SE auffrischend.

16. a ⌴¹, ringsum ○○²; t Bewölkungszunahme, p ztw. ≡¹, abds. im N ≤³, ⊖.
17. n ⊁, a 7 cm Neuschnee, V, n–1 p meist ⊁¹, 3–6 p ⊁⁰·¹ (10 cm Neuschnee), t ≡², V-Bildung (9 p 10 cm), abds. ⊖.
18. n ⊁, a 2 cm Neuschnee, Zentralkette teilw. in Wolken, 10 a ⊕, 0^{45}–8^{30} p ≡², 1^{15} p–4 p ⊁¹.
19. n Föhnsturm, a Zentralkette in Wolken, 10 a ⊕, m ringsum ni (bis fn Gipfelhöhe herabhängend), 6^{30} p–n ≡², 8^{30} p–n ⊁¹.
20. n ⊁, a 15 cm Neuschnee, 5 cm V, t ≡¹·², ztw. ⊁⁰·¹, 7^{30} p Aufklaren.

21. a ringsum lenticularis-Formen, 9^{45} a–6 p meist ≡¹·³, 9^{45} a–3 p vorwiegend ⊁¹.
22. t vorwiegend ≡⁰·¹.
23. n ⊁⁰, a 1 cm Neuschnee, t meist ≡¹, ztw. ⊁⁰, 8^{45} p–n ⊁⁰·¹ ≡².
24. n ⊁, ⩸, n–9^{30} a ≡², 5 cm V, dann über Vorland u. teilw. in den Tälern Nebeldecke in 1100 m, Zentralkette in Wolken, p Bewölkungsabnahme, ringsum ○○².
25. n S ⩸, a Plattrand u. Vorberge in Wolken, ringsum lenticularis-Formen, t Bewölkungsschwankungen (str S m).

26. a Zentralkette in Wolken, über Vorland teilw. Nebel, m Vorberge u. Plattrand in Wolken, 2^{30} p–n ≡², 8^{45} p–n ⊁¹.
27. n ⊁, a 8 cm Neuschnee, 2 cm V; t ≡², ztw. ⊁⁰·¹ (9 p 10 cm Neuschnee).
28. n ⊁, a 3 cm Neuschnee, 3 cm V; t meist ≡², ⊙ öfters durchdringend, 3–7 p ztw. ⊁⁰, 8^{30} p Aufklaren.
29. t ringsum ○○¹, Bewölkungsschwankungen, m ringsum str-cu-Bildung.
30. t ringsum ○○², Bewölkungsschwankungen, m vereinzelte str-cu in Gipfelhöhe.

Alle Angaben nach Ortszeit.

Bamberg.

Mai. $\varphi = 49^0\ 53'$ N. $\lambda = 10^0\ 53'$ E $= 43^m\ 32^s$. H = 287.7 m. Cg = + 0.3 mm. 1926.

Datum	Luftdruck auf 0° u. Normalschwere reduziert 700 mm + 7a	2p	9p	Lufttemperatur C° 7a	2p	9p	Max.	Min.	Absolute Feuchtigkeit mm 7a	2p	9p	Relative Feuchtigkeit Proz. 7a	2p	9p	Richtung und Stärke des Windes 0 bis 12 7a	2p	9p	Bewölkung 0 bis 10 7a	2p	9p	Niederschlag mm 7a	Bemerkungen
1.	31.5	29.4	28.2	13.3	25.0	17.7	**25.6**	10.9	8.5	9.4	9.2	75	40	61	C	E 2	N 1	$9^1\odot$	$9^1\odot$	10^1	–	
2.	27.1	29.1	30.8	14.9	12.9	7.2	17.7	7.2	9.6	8.1	7.6	76	74	100	NE 2	N 3	N 2	$8^1\odot$	10^1	$10^1\bullet$	–	6^{34}–8^{49} p ⌇ (a. SW-S-E). 8^{05-13} p ◍1. 8^{13-18} p ▲1. 9^{00} p ◍1.
3.	32.3	33.2	32.9	5.8	7.4	7.8	9.1	5.5	6.7	6.2	6.1	97	80	78	N 2	N 2	NW 1	$10^2\bullet$	10^1	10^1	**16.7**	9^{00} p–9^{30} a ◍1.
4.	32.0	31.7	31.7	7.6	12.4	9.0	13.2	4.3	6.0	6.3	6.0	77	59	70	NW 2	E 1	N 2	9^1	9^1	10^1	0.4	
5.	31.0	31.4	31.4	7.1	11.0	5.9	11.8	5.5	6.1	6.8	6.0	81	69	87	NW 1	N 1	SW 3	10^2	9^1	7^0	–	a ∞0-1.
6.	29.5	29.0	30.1	5.4	12.3	7.4	13.1	3.0	6.6	8.3	7.0	99	78	91	SW 1	SW 1	NW 2	10^2	$9^1\odot$	10^1	2.0	3^{19}–6^{34} a, 11^{28-49} a ◍0-1. 1^{56}–2^{54} p ⌇. 2^{01}–3^{39} p ◍0-1.
7.	34.2	34.1	34.3	4.6	8.8	3.2	10.9	1.9	4.7	4.7	4.7	74	55	81	NW 3	NW 2	C	$5^1\odot$	$7^1\odot$	3^0	2.7	
8.	33.0	31.8	31.9	2.8	7.6	4.5	11.1	– 1.8	5.1	5.6	5.8	91	72	92	C	C	SW 2	$2^1\odot$	$9^1\bullet$	10^1	–	n ⌴1. 10^{50}–11^{09} a ◍0-1 u. △1, m kurz ◍. 2^{00} p ◍0-1.
9	30.3	32.9	34.3	3.6	8.9	2.7	9.7	1.3	5 6	**3.7**	5.1	95	45	91	SW 2	W 3	C	$10^1\bullet$	$6^1\odot$	5^0	1.2	ca 6^{45}–9^{02} a ◍0. 9^{02-16} a ✕0-1. 9^{14-22} a ◍0-1. 11^{26-36} a △1-2.
10.	34.2	32.6	32.1	4.1	11.5	6.1	13.1	– **2.1**	5.2	5.1	4.9	85	50	71	SW 1	NW 1	S 1	$2^1\odot$	$7^1\odot$	10^1	2.1	n ⌴1. [5^{21} p ab ztw. ◍.
11	32.4	32.2	33.6	4.9	14.7	10.0	15.5	0.8	5.1	6.2	5.9	79	51	64	NW 2	W 2	C	$7^0\odot$	$9^1\odot$	7^0	–	
12	34.6	33.8	34.2	11.5	19.9	12.8	20.9	5.2	6.8	7.2	7.2	68	42	66	S 2	S 1	S 2	$2^1\odot$	$6^1\odot$	5^0	–	4^{04-22} p ◍Tr.
13.	35.8	35.8	35.7	12.9	15.9	10.2	16.2	8.8	8.8	9.4	8.6	80	70	93	S 2	S 4	S 2	$7^1\odot$	7^1	9^1	0.1	10^{29-49} a ◍0-1. t ztw. kurz ◍.
14.	35.5	34.0	33.6	10.2	15.7	9.9	16.4	7.8	8.6	8.6	8.9	93	64	98	SW 2	SW 2	S 1	$9^1\odot$	$9^1\odot$	$10^1\bullet$	3.1	1^{14}–ca 3^{45} a ◍1. 10^{44} a ◍. 3^{03}–5^{13} p, 5^{54}–9^{00} p ◍0-1.
15.	29.2	25.7	25.4	10.3	18.5	13.6	19.2	8.5	8.9	9.4	10.3	95	60	89	NW 1	C	NW 2	10^1	$9^1\odot$	$10^1\bullet$	4.2	9^{00}–ca 11^{48} p ztw. ◍Tr. m kurz ◍Tr. 8^{49}–9^{00} p ◍Tr.
16.	22.4	20.5	20.1	15.1	17.2	17.5	19.5	11.2	9.8	10.2	4.4	76	70	30	NW 1	NW 3	SW 6	$9^1\odot$	$6^1\odot$	4^1	0.1	9^{00-02} p ◍Tr.
17.	26.1	29.4	31.4	10.4	15.9	8.3	17.5	7.9	8.1	8.6	7.4	87	64	91	SW 1	SW 2	NW 2	10^2	$6^1\odot$	9^1	0.1	n ztw. ◍Tr.
18.	33.2	33.9	35.1	8.2	9.5	7.2	11.9	6.9	7.2	7.8	7.4	89	88	98	NW 1	C	C	$10^1\bullet$	$10^2\bullet$	10^1	0.1	n ztw. ◍Tr. 6^{34}–8^{06} a ◍0-1. 1^{34}–7^{29} p ◍1.
19.	36.0	36.0	37.1	8,0	13.3	9.5	14.9	5.4	7.6	7.7	8.0	94	67	91	NW 1	W 2	C	9^1	9^1	10^1	5.2	
20.	37.8	36.6	36.8	9.4	17.9	11.1	18.9	5.9	7.9	7.8	8.6	89	51	87	NW 1	SW 1	E 1	$4^1\odot$	$7^1\odot$	3^0	–	3^{09} p ⌇ u. ≺ i. W.
21.	37.4	36.8	36.9	11.1	17.6	13.0	19.3	7.1	8.0	6.7	7.1	81	45	64	NW 1	NW 2	NW 2	$1^0\odot$	9^1	5^0	0.0	n kurz ◍Tr.
22.	36.4	35.0	34.8	9.8	17.2	12.3	18.0	7.2	8.1	10.1	9.0	89	69	86	NW 1	NW 1	N 1	10^1	9^1	9^1	–	9^{09} a ◍Tr. m ≡0 u. ∞0.
23.	34.4	35.2	37.1	11.0	16.5	10.4	16.9	10.2	9.7	10.8	8.9	99	77	95	W 1	NW 1	C	$10^2\bullet$	$7^1\odot$	9^1	2.8	4^{14} a–0^{39} p ◍0-1.
24.	37.9	38.4	39.3	10.0	13.3	7.2	15.9	6.9	8.3	7.0	6.5	91	62	86	C	NW 2	S 1	10^1	9^1	6^1	2.7	
25.	39 8	39.6	40.5	10.4	17.1	9.5	18.1	6.9	7.6	8.1	7.9	81	56	89	NW 1	NW 1	NW 2	$9^1\odot$	$8^1\odot$	1^1	0.1	n ◍Tr.
26.	**40.7**	38.4	37.9	6.4	19.1	12.6	19.7	4.2	7.0	7.9	8.0	98	48	74	NW 1	C	C	$9^1\odot$	$5^1\odot$	3^1	0.1	m ≡1.
27	37.3	36.2	36.3	11.9	20.9	15.2	22.1	7.9	8.8	9.0	8.8	85	49	68	NW 1	C	NW 2	9^1	$6^1\odot$	1^1	–	
28.	36.7	36.3	36.4	11.0	18.5	14.5	20.0	6.9	8.8	11.8	9.1	90	75	74	E 1	E 1	S 2	$9^1\odot$	9^1	10^1	–	0^{59}–1^{14} p ◍1-2. 1^{09-18} p ⌇ i. W.
29.	31.7	32.7	34.0	14.0	16.0	12.8	18.1	11.7	11.5	11.7	9 8	97	86	90	S 1	SW 2	S 2	9^1	10^1	10^1	9.7	3^{50}–6^{34} a, 8^{54} 10^{44} a ◍0-1. 1^{14} p ◍0. 4^{39-49} p ◍1. 5^{58} 6^{30} p ⌇.
30.	35.5	34.7	33.7	12.9	18.9	15.7	19.6	8.0	10.6	**12.4**	11.8	96	76	89	S 1	S 2	SE 2	10^1	10^2	8^1	1.3	5^{14-59} p ◍0-1. [6^{12-51} p ◍1.
31.	32.4	31.6	32.0	14.3	19.3	13.1	21.0	13.0	11.6	10.2	9.0	96	61	81	S 2	SW 2	S 2	9^1	9^1	10^2	1.9	ca 6^{45-54} a ◍0. 7^{24}–8^{15} a ◍. ca 8^{45} a ◍ (Schauer).
Mittel	33.5	33.2	33.5	9.4	15.2	10.3	16.6	6.3	7.8	8.2	7.6	87	63	81				8.0	8.2	7.5	56.6	

Kaiserslautern.

Mai. $\varphi = 49^0\ 27'$ N. $\lambda = 7^0\ 46'$ E $= 31^m\ 4^s$. H = 238.1 m. Cg = + 0.3 mm. 1926.

1.	33.0	31.6	30.2	12.3	21.8	16.0	22.8	10 5	8.9	9.0	11.2	85	46	83	NE 1	NE 3	NE 1	10^2	10^2	3^1	–	
2.	31.1	32.5	33.6	12.5	14.1	10.2	16.1	9.5	9.5	11.3	8.7	89	**95**	94	E 2	SW 4	E 3	10^2	$10^2\bullet$	10^2	0.0	n ztw. ◍0. ca 11 a–4^{30} p ◍1. 3^{46}–5^{01} p ⌇ (mehrere).
3.	35.1	35.9	35.4	8.0	8.4	8.2	12.4	7.0	7.3	7.4	7.3	92	91	91	NE 3	NE 4	E 4	$10^2\bullet$	$10^2\bullet$	10^2	13.0	t–ca 6 p meist ◍. [ca 8 p ab ⌇.
4.	35.2	35.3	35.2	8.0	11.9	10.6	12.6	6.8	6.8	6.8	8.2	85	66	87	E 4	E 5	E 2	10^2	10^2	10^2	11.8	ca 5–5^{41} p ztw. ⊙.
5.	35.9	35.1	34.7	8.4	13.7	10.9	14.4	6.5	6.3	6.3	8.3	77	54	85	E 1	W 3	W 1	oo	10^2	10^2	–	ca 10 a Bewölkungszunahme. t ztw. kurz ⊙.
6.	34.0	34.7	36.5	8.8	10.6	7.4	11.8	6.5	7.2	6.1	5.6	86	64	73	SW 3	W 5	NW 2	10^2	$10^2\bullet$	4^1	0.4	ca 10 a kurz ◍0. ca 10^{30} a kurz △0. 2 p ztw. ◍0. 3^{01-16} p ◍1
7.	40.4	39.3	38.6	4.2	6.2	6.2	9.3	1.9	4.7	5.3	5 4	76	75	76	W 4	NW 3	NW 1	8^1	$10^2\bullet$	0	0.9	10^{31}–11^{11} a, 2–2^{11} p ◍. 3–3^{16} p ◍ mit △, dann Aufklaren.
8.	36.9	35.8	35.7	5.4	9.5	7.8	10.6	2.8	5.3	4.9	5 9	78	55	75	SW 3	W 5	SW 4	10^2	10^2	10^2	0.3	t ztw. kurz ⊙.
9.	37.7	38.3	39.4	4.6	9 7	5.6	10.8	3.0	4.6	**3.3**	5 6	73	37	83	NW 4	W 6	W 3	8^1	6^1	2^1	2.8	10^{41-54} a △. t wechselnd bewölkt, ztw. ⊙.
10.	38.2	36.1	35.6	2.7	10.9	8.1	11.9	– 0.5	4 5	3.8	6.2	80	40	77	SW 1	NE 3	NE 3	oo	9^1	5^1	–	a ⌴. t ztw. ⊙.
11.	36.3	36.5	37.5	6.1	13.9	11.9	15.3	3.0	5.6	5.6	7.1	79	48	68	SW 1	SW 4	SE 2	10^2	9^1	5^1	–	t wechselnd bewölkt, ztw. ⊙.
12.	38.6	37.7	38.5	9.9	16.7	12.9	17.1	6.2	6.8	6.5	8.0	74	46	73	SW 2	SW 4	SW 2	8^1	$9^1\odot$	3^1	–	t ztw. ⊙.
13	39.3	39.5	39.7	11.7	13.3	11.7	15.3	10.0	7.8	8.6	7.9	76	76	78	SW 3	SW 3	W 2	9^1	10^2	9	–	11^{16} a–0^{01} p ◍. p ztw. ⊙.
14.	39.3	38 0	36.8	9.9	14.1	10.2	14.8	8 7	7.9	6.3	8.1	87	53	87	SW 2	SW 3	E 3	10^2	10^2	10^2	1.6	3^{31}–5^{46} p, 5^{41}–6^{31} p ◍. abds. ztw. ◍0.
15	33.0	31.3	30.2	9.3	11.0	10.5	12.8	8.0	7.5	8.7	8.6	87	89	92	NE 3	NE 4	W 1	$10^2\bullet$	$10^2\bullet$	$10^2\bullet$	8.8	2^{11} a–abds. meist ◍. abds.–n ◍0.
16.	28.3	26.4	26 3	7.4	8.7	8.2	10.7	6 5	6.7	7.3	7.2	88	87	89	NW 3	E 4	E 1	10^2	$10^2\bullet$	10^2	13.6	n ◍. t ztw. ◍. 5^{56}–6^{41} p ⌇ (mehrere, ein schweres aus
17.	30.6	33.9	37.3	8.2	7.6	7.4	9.3	6.5	7.7	6.5	6.7	94	83	88	W 2	NW 3	NW 3	10^2	$10^2\bullet$	10^2	**14.2**	vormitt. ztw. ◍0. 2 p ◍. [NE-SW m. ◍).
18.	38.6	39.0	40.3	6.9	8.8	7.5	9.6	3.0	6.5	6.4	6.9	87	76	89	NW 2	SW 3	W 3	10^2	$10^2\bullet$	10^2	0.6	a–p ztw. ◍0. 3^{06-31} p ◍1, dann kurze Zeit ◐.
19.	40.9	40.0	41.0	6.0	11.9	7.9	12.6	4.6	6.3	5.4	6.7	90	53	85	SE 3	SE 2	E 2	10^2	9^1	1^0	3.4	a ≡0. 11^{21} a kurz ◍0, dann allmähliges Aufklaren.
20.	42.1	40.6	40.4	5.4	16.2	11.0	17.3	2.0	5.7	4 9	7.4	85	36	75	NW 1	SE 2	NE 2	oo	5^1	0	0.0	a ⌴.
21.	41.1	40.5	41.0	8.8	18.3	13.1	19.4	4.9	7.1	7.8	9.3	84	50	83	NE 1	NE 4	E 2	oo	9^1	1^1	–	t wechselnde Bewölkung.
22.	41.1	39.9	40.1	8.3	16.8	13.5	19.4	6.9	6.9	9.4	10.1	86	66	88	E 2	W 3	W 2	$2^0\odot$	$6^1\odot$	10^2	–	1^{16-46} p ◍0. 4^{16-41} p ⌇ aus NE-S, dann ◍.
23.	40.6	41.1	42.4	10.8	16.0	10.9	16.4	8 3	8.8	8.9	8.0	92	65	83	W 2	E 4	W 2	$10^2\bullet$	9^2	0	0.9	a ◍1, ca 2^{30} p ab allmählige Aufheiterung.
24.	43.6	43.6	44.9	7.8	13.8	10.0	15.2	4.8	6.5	6.3	7.8	82	54	86	W 2	NW 3	W 1	$1^0\odot$	10^2	0	1.2	t wechselnde Bewölkung.
25.	**45.6**	44.8	44.4	8.7	18.0	13.2	19.3	5.0	6.8	3.4	8.3	81	22	74	SW 1	NW 3	NW 2	oo	$1^0\odot$	1^0	–	
26.	44.5	42.6	41.2	9.2	19.2	14.9	20.3	6.0	7.5	7.3	9.2	88	44	73	SE 3	NE 4	W 1	10^2	3^1	0	–	ca 9^{30} a ab Aufheiterung.
27.	40.8	40.0	40.2	11.6	22.0	17.1	**23.5**	7.5	7.8	8.0	10.4	77	41	72	E 1	N 3	E 2	oo	$1^0\odot$	2^0	–	
28.	41.8	41.3	39.7	16.0	17.2	14.9	18.2	13.4	9.2	8.6	10.8	67	59	86	SW 4	SW 3	SW 5	9^2	10^2	$10^2\bullet$	–	t stark bewölkt. 9 p ◍0.
29.	37.2	37.7	39.3	13.6	15.8	14.7	19.0	12.8	10.5	11.1	9.5	92	83	76	SW 4	W 4	W 2	$10^2\bullet$	9^2	7^2	0.0	9^{-21} p ◍0. a ◍0. vorm. meist ◍. ca 1 p ab Aufkl.
30.	39.0	38.3	35.8	14.0	16 9	17.7	20.2	13.0	10.7	12.0	**12.9**	91	84	86	S 2	SW 5	SW 1	$10^2\bullet$	$10^2\bullet$	7^2	9.2	a ◍0. t ztw. ◍. ca 3^{30} p ab Aufklaren.
31.	36.0	34.4	37.0	15.3	18.3	12.7	18.8	12.0	9.1	7.8	8.9	70	50	82	SW 5	SW 5	NW 3	$5^1\odot$	9^2	10^2	0.3	t wechs. Bew., ztw. kurz ◍Tr. 6^{31-41} p ⌇, kurz ◍, [dann ⌒.
Mittel	37.9	37.5	37.7	9.0	13.9	11.1	15.4	6.7	7.2	7.1	8,1	83	61	82				7.1	8.5	5.8	83.0	

[1]) abds. Aufklaren.

Alle Angaben nach Ortszeit.

München.

Mai. $\varphi = 48^0\ 9'$ N. $\lambda = 11^0\ 34'$ E $= 46^m\ 16^s$. H $= 526.4$ m. Cg $= +0.1$ mm. 1926.

Datum	Luftdruck auf 0° u. Normalschwere reduziert 700 mm + 7a	2p	9p	Lufttemperatur C° 7a	2p	9p	Max.	Min.	Absolute Feuchtigkeit mm 7a	2p	9p	Relative Feuchtigkeit Proz. 7a	2p	9p	Richtung und Stärke des Windes 0 bis 12 7a	2p	9p	Bewölkung 0 bis 10 7a	2p	9p	Niederschlag mm 7a	Schneedecke cm 7a	Bemerkungen
1.	10.2	08.2	06.8	13.8	24.8	17.6	**24.9**	12.9	7.2	7.4	10.6	61	31	71	SE 1	E 2	SW 1	9^1	10^1	5^0	–	–	a ∞1.
2.	06.9	07.0	08.7	15.8	22.9	14.1	23.3	12.9	6.3	6.1	9.3	48	30	78	SW 2	NW 3	C	3^0⊙	5^0⊙	6^1	–	–	349–ca 545 p ⟀ mit ◍0.
3.	09.9	09.9	10.1	12.4	13.8	11.5	15.6	10.9	8.6	9.0	8.5	80	77	84	SW 2	NW 2	SE 1	6^1⊙	9^1●	10^1●	0.4	–	11^{31} p ◍0. 146–331 p meist ◍1.2, 235–316 p ⟀. 900 p ◍0.
4.	09.5	09.3	10.0	8.2	10.9	8.6	11.9	6.9	7.3	8.6	7.2	92	×9	88	SE 1	NE 2	C	10^1.	10^1●	9^1	3.3	–	816 a–ca 045 p ◍0.1, ca 145–545 p ◍0.1.
5.	09.4	09.5	10.4	8.9	11.4	9.3	13.6	7.8	7.4	8.2	7.1	88	82	83	SW 1	C	SW 1	10^1	10^2●	0	3.2	–	903–ca 945 a ◍0. 112–341 p ◍0.2.
6.	08.8	08.3	09.0	9.1	11.0	6.8	11.6	6.8	7.2	6.7	6.4	85	69	87	SW 1	SW 1	W 1	10^1	10^1	10^1	8.5	–	n ◍. 123–ca 145 p ◍0.1. 346–716 p ◍0.1.
7.	12.2	13.2	13.2	3.5	7.9	5.3	8.9	3.0	4.9	3.4	4.2	84	43	64	W 2	W 4	SW 1	10^1	6^1⊙	0	19.8	–	n ◍.
8.	11.4	10.5	11.2	3.9	8.8	4.5	9.5	2.4	4.4	3.8	5.2	71	47	83	C	SW 1	SW 2	8^1⊙	8^1	5^1	–	–	a ⌴. 138 p kurz ◍0. ca 445–516 p ◍1.
9.	09.8	12.6	13.5	5.4	6.9	4.7	8.0	2.5	5.1	4.2	4.6	76	56	71	S 1	SW 3	SW 1	10^1●	9^1	0	0.5	–	631–808 a ◍0.1, 021–ca 045 p ◍1, ztw. △ u. ✳.
10.	12.6	10.5	10.3	4.0	12.1	8.6	12.4	0.6	4.4	4.0	5.0	71	38	60	NW 1	NE 2	NE 1	3^0⊙	2^0⊙	5^0	0.6	–	a ⌴1. t Geb. schw. sichtbar.
11.	10.6	11.8	13.8	8.2	11.7	9.0	13.3	5.0	5.1	5.0	5.9	63	48	69	S 1	NW 2	SW 2	6^1⊙	10^1	0	–	–	a u. p ztw ma. cu-Bildung.
12.	14.3	13.7	13.9	9.1	21.2	15.0	21.8	5.2	5.0	4.9	7.0	58	26	55	S 1	S 2	C	1^1⊙	4^0⊙	3^0	–	–	a △ u. ∞1. 116 p ⊕. t Geb. schw. sichtbar.
13.	15.4	15.0	15.2	12.4	15.5	10.7	21.7	10.4	7.1	7.1	8.0	66	54	84	SW 1	W 3	SW 1	9^1	10^1	10^1●	–	–	521–900 p ◍0.1.
14.	15.0	13.3	11.2	8.9	12.7	10.6	12.8	8.1	7.4	7.5	7.7	87	69	81	W 1	E 1	NW 1	10^1●	10^1	10^1	4.1	–	900 p–1006 a meist ◍0.1.
15.	06.8	04.2	03.6	9.5	16.1	12.7	17.4	8.5	8.0	9.3	9.9	91	68	91	E 1	NE 1	W 1	10^1	8^1⊙	10^1	0.6	–	
16.	00.8	697.5	01.1	16.0	24.4	14.6	24.7	9.4	7.0	4.8	3.9	52	21	32	S 2	SE 4	S 5	5^0⊙	4^0⊙	1^0	–	–	a △, Geb. s. g. sichtb. ca 345 p ⟀ (1 × T).
17.	04.9	07.1	10.0	10.3	13.3	9.1	15.3	8.8	6.3	5.4	7.2	67	47	84	W 3	N 3	NW 3	○○	10^1●	10^1●	–	–	t Geb. schw. sichtb. 041–ca 545 p ⟀. 058–900 p meist ◍0.1
18.	12.1	13.0	13.9	6.4	8.9	7.9	9.9	5.9	6.1	5.7	6.2	86	67	78	W 3	NW 2	C	10^1	10^1	7^1	5.2	–	900 p–n ◍1.
19.	14.2	14.5	16.2	6.4	10.3	8.0	10.8	5.9	6.2	6.0	6.4	87	64	81	N 1	NW 1	SW 1	10^1●	10^1	10^1	0.2	–	700 a ◍0.
20.	16.3	15.5	15.5	9.1	15.3	10.7	15.6	6.8	6.1	6.6	7.7	71	51	80	W 1	SE 1	SE 1	4^0⊙	10^1	0	–	–	
21.	15.2	14.7	15.0	9.3	17.8	12.8	18.6	6.9	6.8	5.7	8.0	78	37	73	SE 1	E 2	C	○○	4^0⊙	2^0	–	–	a ∞1, △2. [581 p, 706.81 p ⟀.
22.	14.8	13.5	13.8	9.8	17.0	11.0	17.5	7.9	7.2	6.4	8.8	80	45	90	SW 1	NW 2	W 2	6^1⊙	7^1	10^1●	–	–	a ∞1, △1. 336 p ⟀ mit ◍1. 501–900 p meist ◍1.2.
23.	13.7	15.2	16.7	11.5	12.9	10.6	15.1	10.0	8.3	8.1	8.6	82	74	91	W 3	W 3	SW 1	9^1	10^1●	8^1	20.3	–	900 p–n ◍. 1156 a–ca 745 p ztw. ◍1.2. 216 p ⟀ i. NW.
24.	17.3	17.7	18.6	11.2	15.5	13.0	16.6	9.5	8.1	6.7	6.6	81	51	59	W 1	NW 3	W 1	10^1	7^1⊙	10^1	4.7	–	1140 p ⟀ i. NW. 1000 a ◍0. 1016.56 a ◍2.
25.	**19.6**	18.9	19.0	10.5	17.4	13.0	18.1	7.6	5.8	5.9	**8.1**	62	40	73	C	NW 2	C	3^0⊙	5^1⊙	1^0	0.9	–	1136–ca 1145 p ◍0, a △.
26.	18.7	17.1	16.6	10.6	18.7	13.1	18.9	7.9	6.8	7.4	9.4	73	47	86	C	E 1	E 1	○○	4^0⊙	0	–	–	a △ u. ∞2.
27.	15.8	15.3	15.0	12.3	20.5	16.3	21.2	**8.7**	7.9	7.0	8.9	74	40	64	C	NW 2	SW 2	1^0⊙	3^0⊙	5^1	–	–	a △ u. ∞2.
28.	16.4	16.8	16.7	15.4	17.2	14.0	18.9	12.2	9.4	9.5	10.2	72	65	87	W 3	W 2	SW 1	10^1	10^1	10^1	–	–	1046 a ◍0. p ztw. ◍1.2. 391 p ⟀.
29	13.4	13.6	15.2	13.2	13.0	11.9	16.0	11.9	9.7	9.8	9.5	87	90	93	SW 2	W 3	SW 4	10^1	10^1●	10^1	5.7	–	ca 345 a ◍1.2, 1136 a–ca 646 p meist ◍1.2, 336–516 p ⟀.
30.	15.5	15.3	14.1	11.5	16.4	15.3	17.1	10.5	8.7	**11.6**	**12.4**	87	83	**96**	C	S 1	S 1	10^1●	10^1●	10^1	**39.9**	–	u. u. a ◍1. p ztw. ◍1.2. [356 p ▲.
31.	13.1	10.1	13.9	13.8	22.0	9.7	22.0	9.5	10.5	10.4	7.8	91	54	88	W 2	SE 1	SW 3	10^1●	9^1	10^1●	5.8	–	n u. a ◍. m Geb. schw. sichtbar. 311–900 p ◍0.2.
Mittel	12.4	12.0	12.7	10.0	15.1	11.0	16.2	7.8	7.0	6.8	7.6	76	55	78				6.9	7.9	6.0	123.7	–	[354 p ⟀.

Hohenpeissenberg.

Mai. $\varphi = 47^0\ 48'$ N. $\lambda = 11^0\ 1'$ E $= 44^m\ 4^s$. H $= 994.1$ m. Cg $= \pm 0.0$ mm. 1926.

	600 mm + 7a	2p	9p	7a	2p	9p	Max.	Min.	7a	2p	9p	7a	2p	9p	7a	2p	9p	7a	2p	9p	7a	7a	
1.	72.8	71.3	70.3	15.6	21.4	15.8	**21.5**	13.4	4.9	5.0	4.8	38	26	36	W 1	SE 4	SE 5	10^2	10^0⊙	10	–	–	2 p ∞.
2	69.7	69.8	71.0	14.9	16.5	11.2	18.1	11.2	5.4	5.5	7.8	43	40	79	E 3	SW 4	W 3	3^1⊙	8^2⊙	10^2●	–	–	ca 245–345 p ◍. 634–704 p ⟀. 639–9 p ◍. 654–702 p ▲
3.	71.1	71.8	71.4	8.0	8.2	7.4	11.5	6.1	7.0	8.0	7.7	88	99	100	W 3	W 5	W 6	9^2	10^2●	10^2=	6.6	–	n, 2 p ◍. 9 p ≡2.
4.	70.5	70.7	70.8	5.0	7.0	5.3	9.1	3.6	6.5	7.5	6.2	100	100	94	W 2	W 2	W 2	10^2=	10^2=	10^2●	1.9	–	7 a, 2 p ≡2. 9 p ◍2.
5.	70.8	70.9	71.7	6.1	8.2	5.7	10.6	4.0	6.3	7.8	6.9	90	96	100	W 3	W 4	W 2	10^2	10^2●	3	13.8	–	2 p ◍.
6.	70.1	69.3	70.7	5.5	6.8	2.1	7.3	2.1	5.8	5.8	5.3	86	78	100	W 6	W 2	W 3	10^2	10^2	10^2=	8.2	–	818 p ◍. 9 p ≡2.
7.	73.0	73.8	74.0	– 1.2	– 0.3	0.7	2.7	– 1.6	4.2	3.5	3.9	100	83	80	NE 4	NE 4	W 3	10^2=✳	10^2	10	**15.8**	2	7 a ≡2 ✳.
8.	72.0	71.6	71.9	1.8	4.0	0.6	4.7	– 1.1	3.5	4.8	4.8	66	78	100	E 1	N 3	W 3	6^2⊙	9^1	10^2	0.1	–	324 p ┼ u. ◍.
9.	71.1	72.9	73.6	1.3	– 1.2	1.4	2.3	– 2.1	4.2	4.1	**2.8**	83	98	56	W 6	W 6	W 2	9^2	10^2=✳	2	3.6	–	2 p ≡2 u. ┼.
10.	73.1	72.0	71.6	1.9	7.8	4.7	9.6	– 0.4	3.1	4.1	4.1	59	53	64	W 2	NE 3	NE 5	1^1⊙	5^2⊙	7^2	2.8	–	7 a ⌴.
11.	71.5	73.2	74.9	5.0	7.7	5.3	10.1	3.0	4.4	4.4	4.8	68	57	72	W 3	W 4	C	10^2	10^2	0	–	–	
12.	75.4	75.7	76.1	10.3	16.7	12.7	19.2	5.0	5.5	4.9	4.8	59	34	44	C	W 1	S 3	1^1⊙	2^1⊙	5^2	–	–	
13.	76.9	77.0	76.9	10.6	9.2	7.4	12.7	6.0	7.3	7.2	6.6	75	83	86	NE 3	NE 5	C	8^2⊙	10^2	10^2●	–	–	ca 345 p, 9 p ◍.
14.	76.2	74.9	73.2	5.3	7.4	6.4	8.3	4.0	5.9	7.4	7.2	89	99	100	C	W 2	N 3	10^2●	10^2=●	10^1=	6.8	–	7 a ◍. 2 p ≡1 ◍. 9 p ≡2.
15.	68.0	66.7	66.8	6.3	12.6	11.1	13.1	5.2	6.9	8.9	7.1	98	83	72	C	W 3	W 5	10^2=	8^2⊙	10	3.2	–	7 a ≡2. 2 p ∞.
16.	63.3	60.7	63.6	11.9	19.9	9.5	20.2	7.2	6.0	6.3	4.4	58	37	49	SE 5	SE 6	SW 4	10^2	2^1⊙	3^2	–	–	
17.	66.3	68.7	71.7	6.1	11.8	3.6	12.3	3.6	5.8	6.7	5.9	83	65	100	W 2	W 2	W 3	○○	8^2	10	–	–	024 p, 724 p ◍.
18.	72.9	73.8	74.8	1.2	5.7	4.2	7.3	0.1	5.0	5.6	5 8	100	82	93	W 3	N 2	W 1	10^2=●	10^2	10^2●	5.4	–	7 a ≡2 ◍. 9 p ◍.
19.	74.9	75.9	77.0	2.7	3.7	3.5	4.2	1.9	5.4	6.0	5.6	96	100	95	W 1	W 1	W 2	10^2=●	10^2=●	10	10.0	–	7 a, 2 p ≡2 ◍.
20.	77.2	76.7	76.9	6.8	11.1	7.6	12.0	3.5	5.9	5.9	6.6	80	60	85	W 2	E 4	E 4	3^1⊙	5^2⊙	3	5.9	–	7 a △. 2 p ∞.
21.	76.7	76.3	76.7	8.9	12.4	7.9	14.2	6.0	5.8	6.3	6.9	68	59	88	NE 3	NE 5	W 1	2^1⊙	4^1⊙	10	–	–	2 p ∞.
22.	76.6	75.9	75.8	9.8	11.4	8.8	13.1	6.1	6.8	7.1	7.4	75	71	88	W 1	W 1	NE 4	1^1⊙	8^2⊙	10	0.9	–	n ◍. 004 p ◍ u. △. ca 345 p ◍.
23.	75.9	76.7	77.8	6.6	11.0	8.0	13.4	5.4	7.1	7.5	7.6	98	76	94	W 4	W 4	W 3	10^2	9^2	10	9.9	–	804 a, ca 445 p ◍.
24	78.7	79.0	79 9	8.5	11.5	8.6	13.1	6.8	7.0	6.8	5.8	86	68	69	W 2	C	W 4	10^2	10	7^2	2.1	–	7 a ∞.
25.	80.2	80.2	**80.5**	8.2	13.2	10.0	14.9	5.4	6.3	5.6	6.2	77	49	68	W 1	W 2	E 2	6^2⊙	4^1⊙	8^2	–	–	7 a △, ∞.
26.	79.8	79.2	78.3	10.9	14.8	11.0	15.4	6.6	6.5	7.1	6.8	68	57	69	E 1	E 2	NE 4	1^1⊙	1^1⊙	0	–	–	7 a △, ∞. 2 p ∞.
27	77.7	77.5	77.8	12.0	17.4	12.8	18.8	8.0	6.6	8.5	6.5	64	57	59	W 3	W 1	W 4	○○	3^2⊙	5^2	–	–	2 p ∞. 428–828 p ⟀. 531 p ◍.
28.	78.3	78.5	78.6	10.4	14.2	11.4	15.0	9.8	8.3	9.2	8 7	89	77	87	W 4	W 3	W 4	10^2	8^2⊙	10^2●	2.7	–	1134 a, 9 p ◍.
29.	76.0	75.8	77 0	11.2	13.2	8.0	14.1	8.0	8.2	9.1	8.0	83	81	100	W 5	W 6	W 5	10^2●	9^2⊙	10^2●	0.8	–	7 a, ca 645 p, 9 p ◍.
30.	77.3	76.7	75.6	8.8	13.0	12.8	17.1	7.5	7.4	9.5	8.6	88	85	78	W 2	W 3	W 1	10^2●	10^2●	0	6.8	–	7 a, 2 p ◍.
31.	75.7	73.3	75.5	10.1	15.0	4.2	18.0	4.0	9.2	**10.1**	6.1	100	80	98	W 4	E 3	W 8	10^2=●	8^2⊙	10^2=●	10.2	–	7 a ≡1 ◍. 144–234 p ⟀. 149–234 p ◍. 339 p ⟀. 324 p ◍.
Mittel	73.9	73.8	74.3	7.4	10.7	7.4	12.4	4.8	6.1	6.6	6.2	79	71	81				7.1	7.8	7.5	117.5		

Alle Angaben nach Ortszeit.

Zugspitze.

Mai. $\varphi = 47^{0}\ 25'$ N. $\lambda = 10^{0}\ 59'$ E $= 43^{m}\ 56^{s}$. H = 2962.2 m. Cg = — 0.2 mm. 1926.

Datum	Luftdruck auf 0^{0} u. Normalschwere reduziert 500 mm + 7a	2p	9p	Lufttemperatur C° 7a	2p	9p	Max.	Min.	Absolute Feuchtigkeit mm 7a	2p	9p	Relative Feuchtigkeit Proz. 7a	2p	9p	Richtung und Stärke des Windes 0 bis 12 7a	2p	9p	Bewölkung 0 bis 10 7a	2p	9p	Niederschlag mm 7a	Schneedecke 7a
1.	30.3	29.5	27.6	0.8	2.8	− 0.5	**2.8**	− 0.5	2.5	4.2	3.7	53	74	85	SE 4	SE 3	S 4	10^{1}	10^{1}	10^{1}	–	✳
2.	26.4	27.1	26.8	− 0.9	0.6	− 1.4	1.3	− 1.7	3.2	4.6	4.0	76	97	98	SW 5	SE 3	S 4	2^{1}⊙	9^{1}	3^{1}	–	✳
3.	26.3	26.2	25.8	− 3.0	0.5	− 2.7	0.7	− 4.0	3.2	4.8	3.7	89	100	100	S 4	E 2	S 4	⊙⊙	10^{2}=	10^{2}=	0.2	✳
4.	24.7	24.5	24.4	− 3.5	− 2.5	− 5.8	− 0.2	− 5.8	3.4	3.7	2.8	100	100	100	SW 3	N 2	NW 2	2^{1}⊙	10^{2}=△	10^{2}=*	0.9	✳
5.	24.1	24.9	25.3	− 5.9	− 3.5	− 5.5	− 2.3	− 6.7	2.8	3.4	2.9	100	100	100	NW 2	NW 2	NW 2	10^{2}=	10^{2}=△	10^{2}=*	12.8	✳
6.	23.1	22.6	22.1	− 6.9	− 4.0	− 9.2	− 3.4	− 9.7	2.6	3.3	2.1	100	100	100	NW 3	N 2	N 3	10^{2}=*	10^{2}=*	10^{2}=*	22.0	✳
7.	22.6	23.3	23.3	−12.2	−10.9	−12.7	− 9.2	−12.7	1.6	1.8	1.5	100	100	100	NW 2	NW 3	NW 3	10^{2}=*	10^{2}=	10^{2}=	31.6	✳
8.	21.4	21.8	22.1	−12.1	− 9.0	−12.2	− 8.4	−12.8	1.6	2.1	1.6	100	100	100	N 2	N 3	N 4	10^{1}=	10^{2}=	10^{2}=	2.7	✳
9.	21.5	23.0	24.0	−11.1	− 9.3	−11.4	− 8.3	−12.5	1.8	2.1	1.7	100	100	100	NW 4	NW 3	N 3	10^{2}=	10^{2}=	10^{2}=	9.1	✳
10.	23.5	24.1	24.2	− 7.7	− 4.2	− 6.4	− 3.3	−11.8	2.3	3.1	2.7	95	96	100	W 6	S 3	W 3	1	10^{2}=	10^{2}=	11.7	✳
11.	24.0	25.3	27.5	− 8.6	− 7.0	− 8.0	− 6.1	− 9.0	2.2	2.5	2.3	100	100	100	NW 4	NW 4	NW 5	10^{2}=	10^{2}=	0	1.6	✳
12.	29.4	31.2	31.6	− 6.4	− 2.6	− 2.4	− 0.8	− 8.0	2.3	3.2	3.3	87	86	87	NW 3	W 2	S 2	⊙⊙	⊙⊙	0	2.1	✳
13.	30.7	30.9	29.8	− 2.8	− 0.1	− 2.3	− 0.1	− 4.8	3.1	4.5	3.8	86	100	100	S 4	S 2	SE 4	4^{0}⊙	10^{2}=	10^{2}=	–	✳
14.	28.0	27.5	26.4	− 3.8	− 1.3	− 3.1	− 1.0	− 5.2	3.3	4.1	3.5	100	100	100	S 3	SE 3	SE 4	10^{2}=	10^{2}=	10^{2}=	1.6	✳
15.	23.9	23.3	22.9	− 3.5	0.1	− 1.2	0.1	− 4.0	3.4	4.4	4.0	100	96	96	SE 5	SE 11	SE 11	10^{2}	8^{2}	10^{1}	0.2	✳
16.	20.7	19.5	20.1	− 1.2	− 0.5	− 5.2	− 0.3	− 5.2	4.1	3.8	2.8	98	87	94	SE 10	SE 10	S 9	10^{2}	10^{2}	0	–	✳
17.	21.3	23.8	24.6	− 6.5	− 3.1	− 5.0	− 2.4	− 7.6	2.7	3.4	3.0	100	87	100	SE 2	S 3	SE 2	10^{2}=	10^{2}	10^{1}=	0.9	✳
18.	24.3	25.3	25.9	− 7.0	− 2.0	− 7.2	− 1.4	− 7.8	2.5	3.9	2.5	100	100	100	SE 2	C C	C	10^{1}=	10^{2}=	10^{2}=*	0.3	✳
19.	25.8	26.7	28.3	− 7.4	− 2.0	− 6.0	− 0.8	− 8.2	2.5	3.9	2.8	100	100	100	SE 3	SE 2	C	10^{2}=	10^{1}=	10^{2}=	4.5	✳
20.	28.5	29.3	29.9	− 6.2	− 1.7	− 3.2	− 0.7	− 7.8	2.7	3.9	3.5	100	97	100	SE 2	SE 2	W 2	3^{1}⊙	10^{2}=	4^{1}	–	✳
21.	29.6	29.9	30.1	− 4.8	0.0	− 4.3	0.7	− 5.7	2.9	4.5	3.2	93	98	100	N 2	C	NW 2	⊙⊙	10^{2}=△	10^{2}=*	–	✳
22.	29.2	29.3	29.1	− 5.3	− 4.0	− 4.5	− 2.6	− 5.9	3.0	3.3	3.2	100	100	100	N 2	N 2	NW 4	10^{2}=	5^{1}⊙	10^{2}=	7.4	✳
23.	29.2	30.1	31.2	− 4.5	− 3.6	− 3.3	− 2.9	− 5.3	3.2	3.4	3.3	100	100	100	NW 1	N 2	NW 2	10^{2}=*	10^{1}=	10^{1}=	3.5	✳
24.	31.2	32.0	32.7	− 4.1	− 1.9	− 4.7	− 1.8	− 4.7	3.3	3.9	3.1	100	100	100	NW 2	NW 2	NW 3	10^{2}=	10^{2}=	10^{2}=	11.8	✳
25.	32.4	**33.2**	**33.2**	− 5.6	− 3.9	− 4.8	− 3.6	− 5.9	2.9	3.3	3.1	100	100	100	N 2	NW 3	N 2	10^{1}=	10^{2}=	10^{1}=	–	✳
26.	32.5	32.9	32.9	− 5.4	− 0.5	− 1.0	2.0	− 9.1	1.8	4.4	3.2	62	100	76	N 3	SE 2	W 3	⊙⊙	⊙⊙	0	8.2	✳
27.	32.2	32.9	33.1	− 3.7	− 0.5	− 0.7	− 0.2	− 4.2	2.3	4.3	4.3	70	98	100	NW 4	NW 3	NW 4	⊙⊙	9^{1}	10^{2}=	–	✳
28.	32.9	33.1	32.9	− 1.1	− 1.1	− 1.7	− 0.5	− 2.3	4.2	4.2	4.0	100	100	100	NW 4	NW 3	NW 5	10^{2}=	10^{2}=	10^{2}=	3.9	✳
29.	30.5	30.3	30.8	− 1.4	− 0.9	− 2.4	− 0.7	− 2.4	4.1	4.3	3.8	100	100	100	NW 6	NW 4	NW 7	10^{2}=	10^{2}=	10^{2}=	8.8	✳
30.	31.0	32.2	32.9	− 1.0	0.2	0.1	0.8	− 3.0	4.2	4.7	4.2	100	100	91	NW 8	NW 4	NW 5	10^{2}=	10^{2}=●	7^{1}	**40.4**	✳
31.	31.4	29.5	28.4	0.5	1.7	− 5.4	2.7	− 5.4	4.8	**5.2**	2.9	100	100	100	S 3	S 4	NW 5	10^{2}=	10^{2}	10^{2}=*	2.2	✳
Mittel	27.2	27.6	27.7	− 4.9	− 2.4	− 4.6	− 1.6	− 6.4	2.9	3.7	3.1	94	97	98				7.2	9.1	8.2	188.4	

Bemerkungen

1. t ringsum ∞^{2}, Zentralkette teilw. in Wolken, Bewölkungsschwankungen (a-str).
2. a ringsum ∞^{2}, str-cu in Gipfelhöhe; p ztw. $\equiv^{2}$, 1^{45} p ✳bö; t Bewölkungsschwankungen; abds. Vorberge in Wolken, im NW ≤.
3. a ringsum Nebeldecken in 2000–2500 m, Zentralkette in Wolken, a ztw. $\equiv^{2}$; 3^{30} p–n meist $\equiv^{2}$ ⋁, 4 p, 5^{10} p $\triangle^{1}$ ✳0.1.
4. a über Vorland u. teilw. in den Tälern Nebeldecke in 1200 m. 9^{30} a–n $\equiv^{1.2}$ ⋁, 11^{45} a–0^{15} p $\triangle^{1}$ ✳0, 2 p $\triangle^{1}$, 3 p–n meist ✳0.1.
5. n ✳, a 8 cm Neuschnee, 5 cm ⋁; t vorwiegend $\equiv^{2}$ ⋁; 1^{15}–2^{17} p $\triangle^{1.2}$, elektr. Ausstrahlung, 2^{45} p–n meist ✳1 (9 p 5 cm ⋁).
6. n ✳, a 15 cm Neuschnee, 10 cm ⋁; n–9^{45} a ✳1.2, 2^{40} p–n meist ✳2; t $\equiv^{2}$ (9 p 20 cm Neuschnee, 10 cm ⋁).
7. n ✳, a 30 cm Neuschnee, 20 cm ⋁; t $\equiv^{2}$ ⋁, n–10^{30} a ✳0.1, 9 p 25 cm ⋁.
8. t vorwiegend $\equiv^{2}$ ⋁, 2^{10} p–n meist ✳1.
9. n ✳, t $\equiv^{2}$, 7^{30} a–2^{40} p ✳1.2.
10. n 🌨, a ringsum $\infty^{1.2}$, über Zentralkette Föhnmauer, in den Tälern str (2000 m), t Bewölkungszunahme; 2^{40} p–n meist $\equiv^{2}$.
11. n ✳0, a 4 cm ⋁, t $\equiv^{2}$, ✳treiben, ztw. ✳0.1, 8^{40} p Aufklaren: ringsum ∞^{2} u. teilw. str in Gipfelhöhe.
12. t ringsum $\infty^{1.2}$, m vorübergehend str-cu-Bildung.
13. a ringsum ∞^{2}, Bewölkungszunahme, 1 p–n $\equiv^{2}$ ⋁.
14. 9 p–n ✳1, n ✳, a 3 cm Neuschnee, 5 cm ⋁; t $\equiv^{2}$ ⋁, 0^{55}–1^{45} p ✳0.1.
15. n 🌨, a 20 cm ⋁, über Vorland Nebeldecke in 1000 m, 0 p–n SE 🌨 (bis 35 m/sec.), t ztw. $\equiv^{1.2}$.
16. n 4 p SE 🌨, t ztw. $\equiv^{2}$, 3^{15} p, 3^{45} p $\triangle^{1}$; 8 p Aufklaren: ringsum str in 2400 m.
17. t ztw. $\equiv^{2}$, 6^{30} p–n meist $\equiv^{1.2}$ ⋁.
18. n ✳0, a 2 cm ⋁, 10 a $\triangle^{0.1}$, t meist $\equiv^{1}$, p meist C, ztw. ✳0.1.
19. n ✳, a 5 cm Neuschnee, 3 cm ⋁, t $\equiv^{2}$.
20. a str in Vorberghöhe, t ztw. $\equiv^{1.2}$.
21. a ringsum ∞^{2}, Bewölkungszunahme, p meist $\equiv^{1.2}$, ztw. C, 2 p ⚿ $\triangle^{0.1}$, dann bis 5^{40} p ✳1 (7 cm Neuschnee), 8^{30} p–n ✳0.1.
22. n ✳0, t meist $\equiv^{1.2}$, ztw. C.
23. n–10^{30} a ✳0.1, elektrische Ausstrahlung, t meist $\equiv^{2}$, 5^{35} p $\triangle^{1.2}$.
24. t $\equiv^{2}$, ⋁-Bildung.
25. a 10 cm ⋁, t vorwiegend $\equiv^{2}$, 10^{40} a $\triangle^{1}$, 3–6 p meist ✳0.1.
26. t ringsum ∞^{2}, m Vorberge u. Plattrand in Wolken, abds. ringsum Nebeldecke in 2000 m.
27. a ringsum ∞^{2}, p Bewölkungszunahme, 6^{30} p–n meist $\equiv^{2}$.
28. n Durchzug einiger $\triangle$- u. ◍-Böen a 5 cm ⋁, t $\equiv^{2}$.
29. n ✳ 🌨, a 5 cm ⋁, t 🌨 $\equiv^{2}$ Grundlawinengang, 10^{40} a–n meist ◍ ✳1.
30. n NW 🌨 (20 m/sec.) ✳, a 20 cm Neuschnee, 25 cm ⋁ (teilw. ᔓ), Grundlawinengang, n–5^{15} p $\equiv^{2}$, 0^{30}–2^{10} p meist ◍0.1.
31. n–9^{45} a $\equiv^{2}$, 7^{20}–9^{30} a ✳1, t Grundlawinengang, 3 p–n $\equiv^{2}$, $5^{38.40}$ p ⚿ $\triangle^{1}$, dann bis n ✳0.1.

Alle Angaben nach Ortszeit.

Bamberg.

Juni. $\varphi = 49^0\ 53'$ N. $\lambda = 10^0\ 53'$ E $= 43^m\ 32^s$. H $= 287.7$ m. Cg $= +0.3$ mm. 1926.

Datum	Luftdruck auf 0^0 u Normalschwere reduziert 700 mm +			Lufttemperatur C°					Absolute Feuchtigkeit mm			Relative Feuchtigkeit Proz.			Richtung und Stärke des Windes o bis 12			Bewölkung o bis 10			Niederschlag mm	Bemerkungen
	7^a	2^p	9^p	7^a	2^p	9^p	Max.	Min.	7^a	2^p	9^p	7^a	2^p	9^p	7^a	2^p	9^p	7^a	2^p	9^p	7^a	
1.	35.0	36.1	36.5	10.5	16.0	9.1	16.3	8.8	8.4	9.2	8.1	90	67	93	SW 2	SW 2	N 1	9^1	$6^{1}\odot$	1^1	2.6	ca 4^{45} a kurz ◯^{1}. 0^{44}–1^{11} p ◯Tr. 2^{24}–3^{39} p ⌇. 2^{12}–3^{38} p ◯^{1}.
2.	34.4	30.9	29.7	8.4	19.8	14.2	20.7	4.1	7.9	7.6	8.0	96	44	66	NW 1	E 3	S 1	$6^{1}\odot$	$4^{1}\odot$	7^0	0.4	a ⌓, Talnebel. ca 6^{30} p Sonnen-Halo, Nebensonne in 22.5^0
3.	29.7	29.6	30.1	11.5	15.7	12.0	16.5	8.7	9.0	10.7	9.8	89	81	95	S 1	S 1	S 1	10^1	$10^{1}\bullet$	10^1	–	2^{00} p, 3^{44} p kurz ◯Tr. [Entf. n. N, Ringansatz vorh.
4.	29.3	30.9	32.0	12.0	11.7	10.7	13.2	10.4	9.1	10.3	9.2	88	100	97	NE 2	NW 2	S 1	9^1	$10^2\bullet$	10^2	0.1	8^{05}–11^{40} a ◯$^{1.2}$. 0^{59}–4^{44} p ztw. ◯^{1}.
5.	32.2	31.1	31.4	11.2	18.6	14.1	19.9	9.0	9.8	10.5	9.8	99	66	83	S 1	W 1	C	10^1	$9^{1}\odot$	8^1	4.1	a ≡^{0}, dann ∞.
6.	31.6	33.6	34.9	12.7	16.5	12.6	18.9	8.8	10.2	9.4	8.1	94	68	75	C	C	C	9^1	$9^{1}\odot$	10^1	–	
7	35.1	33.7	33.5	13.1	18.8	14.3	20.2	8.2	9.7	10.1	10.2	87	62	85	C	SW 1	SW 1	9^1	9^1	9^1	–	6^{29}–ca 7^{45} p ztw. ◯$^{0.1}$.
8.	32.9	33.6	35.0	13.1	18.7	13.7	20.0	11.9	10.6	11.7	10.2	95	73	88	SW 1	W 2	S 2	$10^{1}\bullet$	$9^{1}\bullet$	10^1	3.8	ca 10^{45} p–2^{14} a ◯$^{1.2}$. 6^{59}–7^{39} a ◯. 1^{45}–2^{05} p ◯^{1}. $3^{02.52}$ p ⌇^{0}.
9.	36.2	35 8	34.2	11.6	17.7	13.6	18.1	10.9	9.4	10.8	10.0	94	71	87	C	SW 1	SE 3	10^2	$9^{1}\bullet$	6^0	1.8	ca 2^{45} a, 7^{28}–9^{44} a ◯$^{0.1}$. m, 2^{00} p kurz ◯^{0}.
10.	31.7	32.8	33.1	14.0	13.0	12.1	18.4	10.9	11.0	9.7	9.6	93	88	93	SW 2	SE 2	S 3	$9^{1}\bullet$	10^1	9^1	0.5	9^{52}–11^{49} a ztw. ◯^{1}.
11.	33.1	32.2	32.0	14 7	15.1	11.3	17.8	7.4	8.9	9.2	8.9	72	72	89	S 1	S 1	S 2	$7^{1}\odot$	9^1	$10^{1}\bullet$	1.3	$6^{28.56}$ p, 8^{44}–9^{00} p ◯^{1}.
12.	32.7	32.0	30.1	12.3	20.1	16.5	20.7	9.3	8.9	10.7	11.6	85	61	83	SW 1	S 1	C	9^1	9^1	10^2	3.2	9^{00} p–ca 0^{45} a ◯$^{0.1}$.
13.	29.5	28.4	30.2	17.0	19.4	13.3	23.2	12.6	12.8	12.5	10.6	89	74	94	S 1	W 2	C	$9^{1}\odot$	10^{2}R	10^1	3.3	$1^{05.4}$ p–ca 3^{45} a ◯^{1}. 1^{44}–4^{49} p ⌇. 2^{26}–4^{00} p ◯, später ◯
14.	31.6	30.9	30.7	11.2	15.6	12.1	18.2	7.6	8.7	10.5	9.3	88	80	89	S 1	C	SW 2	$9^{1}\odot$	$10^{1}\bullet$	10^1	2.1	t ztw. ◯^{0}(Schauer). 6^{58}–7^{44} p ◯^{1}. [(Schauer v. k. Dauer).
15	31.3	31.8	33.7	12.5	16.5	12.1	17.7	8.5	9.5	8.8	9.8	89	63	94	NW 1	W 2	SW 2	10^2	$9^{1}\odot$	$10^{1}\bullet$	0.2	1^{00} a ◯$^{0.1}$. $5^{38.48}$ p ⌇. 5^{39}–6^{22} p ◯$^{0.2}$. 8^{29}–9^{00} p ◯^{1}.
16.	36.0	36.9	37.0	12.1	17.0	12.5	18.9	10.8	9.4	8.5	8.9	90	59	83	NW 2	NW 1	C	10^1	7^1	10^1	3.1	9^{00}–11^{24} p ◯$^{0.1}$.
17.	35.8	33.6	32.5	15.4	15.1	14.4	20.2	9.5	10.9	12.2	11.0	84	96	91	S 1	SW 1	S 3	$7^{1}\odot$	$9^{1}\text{R}\bullet$	10^1	0.0	11^{17} a–0^{01} p, 1^{31}–2^{30} p ⌇. 11^{30} a–0^{18} p, $0^{18.32}$ p, 1^{48}–2^{34} p ◯^{1}.
18.	29.1	27.4	29.0	12.9	14.9	10.8	16.4	10.5	10.6	12.1	9.4	96	96	98	S 1	S 1	S 2	10^2	$9^{1}\odot$	8^1	11.2	9^{45} p–ca 2^{45} a ◯^{1}. $1^{04.44}$ p ztw. ◯ (Schauer). $5^{04.32}$ p ⌇.
19.	32.6	35.6	38.3	12.1	15.6	13.7	18.6	9.9	10.4	10.3	10.3	99	78	89	NW 2	W 2	NW 1	10^1	9^1	7^1	**20.4**	ca 2^{45}–6^{45} a ◯^{1}. ca 9^{45} a ◯$^{0.1}$. [5^{10}–6^{32} p meist ◯^{1}.
20.	40.5	40.8	40.7	12.1	19.3	15.3	19.8	7.9	9.1	10.4	10.8	88	62	84	C	NW 1	C	$4^{1}\odot$	$8^{1}\odot$	10	0.1	$5^{19.24}$ p ◯$^{0.1}$. abds. ∞.
21	40.7	39.0	37.4	16.0	24.3	19.5	25.7	13.9	12.1	13.9	13.5	89	62	80	C	SW 1	S 1	10^1	$8^{1}\odot$	1^1	0.1	
22.	35.5	33.2	34.1	19.2	19.3	15.5	**27.4**	15.1	**14.1**	**14.1**	11.1	86	85	85	SW 2	SW 1	W 3	9^1	8^{1}R	9^1	–	11^{27}–1^{09} p, 1^{35}–2^{12} p, 2^{54}–4^{56} p ⌇. 11^{46} a–0^{49} p, $1^{14.54}$ p,
23.	35.3	34.6	35.1	14.5	20.9	14.0	22.6	11.7	9.9	9.4	8.1	81	51	68	C	W 2	W 1	8^1	5^1	5^1	12.4	[$3^{12.41}$ p ◯^{1}.
24.	34.6	33 8	36.3	13.6	18.5	10.8	19.7	8.8	8.8	11.0	8.0	76	70	83	NW 1	NW 1	NW 2	3^1	9^1	10^1	0.1	n ◯Tr. mrgs. ⌓^{1}.
25.	38.0	38.3	39.7	10.9	16.3	10.8	17.7	5.6	8.0	6.7	7.7	83	49	81	NW 2	NW 2	S 1	$3^{1}\odot$	8^1	10^1	0.1	n ◯Tr.
26.	41.1	41.2	42.3	11.2	15.1	10.8	16.4	8.4	8.2	7.7	7.3	83	60	75	NW 2	C	NW 2	9^1	8^1	9^1	0.0	8^{48}–9^{00} a ◯$^{0.1}$.
27.	42.8	42.6	43.0	11.9	18.0	13.3	19.2	5.9	8.4	7.5	9.0	81	49	80	NW 1	C	C	$4^{1}\odot$	9^1	10^1	0.8	n ◯^{1}.
28.	43.5	43.4	44.4	13.2	17.1	12.3	20.6	8.5	8.7	5.3	8.1	77	57	77	NW 1	NW 2	NW 2	$8^{1}\odot$	9^1	1^1	–	$11^{34.29}$ a ⌇. 10^{46}–11^{31} a Fern-⌇.
29.	**44.7**	43.5	43.8	12.7	19.5	13.4	20.5	7.5	9.0	8.2	8.6	83	49	75	NW 1	NE 1	N 1	$1^{1}\odot$	7^1	4^1	0.2	
30.	43.5	41.5	41.5	13.1	21.2	14.7	21.6	7.5	8.6	7.4	8.1	77	39	64	NW 1	E 2	NW 1	$1^{1}\odot$	8^1	7^1	–	
																					71.9	
Mittel	35 3	35.0	35.4	12.9	17.5	13.1	19.5	9.3	9.7	9.9	9.4	87	68	84				7.7	8.4	8.0		

Kaiserslautern.

Juni. $\varphi = 49^0\ 27'$ N. $\lambda = 7^0\ 46'$ E $= 31^m\ 4^s$. H $= 238.1$ m. Cg $= +0.3$ mm. 1926.

1.	40.5	40.0	39.2	11.1	17.0	12.0	17.6	8.5	7.5	5.9	7.8	76	41	75	SW 4	SW 4	SW 2	$5^{1}\odot$	7^2	5^1	0.4	
2.	36.0	32.0	33.7	13.1	20.4	12.5	21.3	6.0	7.5	7.1	9.3	67	40	87	E 4	S 3	W 4	$6^{2}\odot$	$8^{2}\odot$	$10^{2}\bullet$	–	$2^{16.31}$ p, 7^{31}–9^{00} p ◯^{0}.
3.	34.2	34.9	35.7	11.7	14.8	12.5	15.3	10.5	8.1	7.1	9.3	79	57	87	SW 4	SW 3	W 2	10^2	10^2	10^2	3.4	9^{00}–11^{31} p ◯^{0}. p, abds. ztw. ◯^{0}.
4.	35.2	35.8	36 6	13 7	16.2	14.0	16 8	10.5	9.0	8.5	10.0	78	62	85	NE 4	NE 4	NE 2	$8^{2}\odot$	10^2	10^2	0.2	3^{51}–4^{21} p ◯^{0}.
5	36.1	35.6	36.2	12.9	17.0	14.5	19.1	11.3	10.0	9.4	10.5	91	65	86	NW 1	SW 3	SW 2	10^2	10^2	1^0	0.4	
6.	37.5	37.9	39.0	13.9	16.7	14.7	17.3	8.7	9.4	10.0	10.8	80	70	87	SW 4	SW 5	W 1	10^2	10^2	10^2	–	$0^{16.56}$ p ◯.
7.	39 4	37.5	37.5	13.7	18.2	15.2	18.8	12.5	10.3	8.7	10.1	89	56	79	SW 3	SW 4	NW 2	10^2	10^2	10^2	3.7	$11^{11.28}$ a ◯^{0}.
8.	39.4	39.8	40.1	13.9	18.8	13.7	19.4	12.8	10.9	9.1	10.2	93	57	88	SW 4	W 5	W 3	10^2	7^2	10^2	3.3	ca 0–1 a ◯. 6^{11}–7^{31} p ◯^{0}.
9.	40.1	38.4	35 5	12.9	18.8	16.1	20.1	11.4	9.8	9 1	10.3	89	57	76	SW 4	SW 3	E 4	10^2	9^2	10^2	1.3	ca 1^{30}–2^{40} a ◯^{0}. [ein. Fern-⌇.
10.	35.8	35.8	36.5	13.1	17.4	13.9	17.8	12.1	9.4	7.0	9.2	85	48	78	SW 4	SW 5	W 3	10^2	9^2	6^1	2.9	n ◯^{0}. $6^{11.46}$ a ◯. $7^{31.46}$ p ◯ (Gewitterregen, Begleitersch.
11.	35.6	35.2	34.0	12.1	14.5	12.4	15.1	10.0	8.4	7.4	9.1	80	60	86	SW 4	SW 5	SW 5	8^2	10^2	$10^{2}\bullet$	0.8	$4^{11.51}$ a ◯^{0}, dann ◯. t ztw. ◯^{0}. 5^{01}–9^{01} p ◯.
12.	36.1	33.9	32.6	12.8	17.1	16.5	17.8	9.5	8.4	11.8	12.2	77	82	87	SW 3	SW 1	E 3	10^2	$10^{2}\bullet$	10^2	6.7	2^{00}–5^{11} p meist ◯.
13.	32.2	**31.1**	35.1	14.3	17.4	11.9	18.0	11.5	11.3	11.5	7.8	**94**	78	75	SW 1	S 3	W 4	$10^{2}\bullet$	10^2	0	3.2	n öfters ◯^{0}. a ◯^{0}. $10^{01.46}$ a, $11^{41.56}$ a, $4^{16.26}$ p ◯.
14.	34.9	33.9	34.9	12.3	17.2	14.4	18.0	7.3	8.4	7.2	9.4	79	49	77	SW 3	W 2	W 2	9^2	7^2	9^2	4.6	t wechselnde Bewölkung.
15.	37.2	38.7	41.3	12.1	16.6	13.1	17.3	9.6	8.9	7.7	9.3	85	55	83	W 3	NW 6	W 4	$7^{2}\odot$	10^2	9^2	0.3	ca 10–10^{30} p ◯^{0}. $4^{31.36}$ p ◯^{0}. ca 7^{30} p ◯Tr.
16.	42.0	41.8	41.0	13.1	16.1	13.7	16.6	11.3	9.1	9.2	10.3	82	66	89	SW 3	SW 2	E 2	$9^{2}\odot$	10^2	1^0	0.6	ca 1–1^{30} a ◯^{0}. t wechs. Bewölkung, abds. Aufklaren.
17.	39.9	38.1	36.4	14.1	19.4	14.3	20.0	11.1	8.2	7.5	10.6	68	45	88	SW 3	SW 4	W 2	10^2	9^2	$10^{2}\bullet$	0.1	mrgs. kurz ◯^{0}. $5^{31.46}$ p ◯^{0}. 9^{00} p ◯.
18.	32.1	31.3	34.1	12.7	15.4	13.0	16.1	11.9	10.0	10.0	10.2	92	77	93	SW 2	SW 5	NW 2	$10^{2}\bullet$	10^2	10^2	8.5	9^{00}–10^{46} p ◯^{0}. a ◯^{1}. 11^{31} a ⌇. $0^{01.16}$ p ⌇. 2^{01} p ⌇◯.
19.	38.9	41.9	44.7	13.6	17.4	13.9	18.2	10.0	10.2	8.7	10.0	89	59	85	NE 2	NW 4	NW 1	10^2	$6^{2}\odot$	1^0	**10.9**	vorm. Aufklaren. abds. ∈. [dann–n meist ◯.
20.	46.2	45.5	45.4	11.7	20.2	18.1	20.9	7.3	8.6	10.5	11.8	85	59	76	NW 1	SW 2	W 2	$5^{1}\odot$	10^2	10^2	–	ca 0^{30} p ab Bewölkungszunahme.
21.	45.5	43.1	41.0	16.1	24.0	20.4	**25.2**	11.8	11.5	12.2	**14.8**	84	55	83	SW 1	W 1	W 1	$2^{1}\odot$	$1^{0}\odot$	6^1	–	
22.	39.3	38.7	39 7	18.0	20.9	17.3	22.7	13.1	11.8	10.7	11.3	77	58	77	SW 2	W 4	NE 3	$4^{1}\odot$	$6^{1}\odot$	9^2	–	ca 6^{30} p ab Bewölkungszunahme.
23.	40.1	39.2	38.9	14.6	20.0	16.2	21.3	11.5	9.8	7.9	9.0	80	45	65	E 2	NE 3	E 4	$7^{1}\odot$	$5^{1}\odot$	9^2	–	ca 3^{30} p ab Bewölkungszunahme.
24.	38.9	39.7	41.6	12.6	15.1	11.7	16.3	9.5	8.9	7.9	8.9	83	62	87	NE 3	NE 3	W 2	$10^{2}\bullet$	$7^{1}\odot$	1^1	0.0	a ◯^{0}. ca 8 a ab Aufklaren. t wechs. Bew. 4^{31}–5^{46} p ◯^{0}.
25.	43.5	43 9	45.7	11.3	15.8	11.8	16.7	6.1	7.8	5.3	7.7	78	40	75	NW 2	NW 3	NW 3	$5^{1}\odot$	$8^{2}\odot$	1^1	1.2	t wechselnd bewölkt.
26.	46.9	46.4	47.7	10.5	16.4	12.5	17.0	8.0	7.8	6.2	8.3	82	44	77	NW 2	NW 3	W 2	10^2	5^0	2^1	–	ca 7^{30} a ab Aufklaren.
27.	47.8	47.4	48.1	10.5	16.8	13.7	18.1	6.0	7.3	7 9	9.3	76	56	80	NW 1	NE 2	W 1	0^0	10^2	5^1	–	vorm. Bewölkungszunahme. $10^{1.11}$ p ◯^{0}, dann Aufheiterung.
28.	48 8	48.2	49.0	12.5	18.6	14 3	19.2	10.0	8.5	7.4	8 9	79	46	74	NW 2	NE 3	W 2	9^2	8^2	0	0.1	t wechselnd bewölkt.
29.	**49.5**	48.2	47.0	12.8	19.6	16 8	20.9	8.0	8.4	6.2	8.5	77	37	60	NE 1	NE 2	NE 3	0^0	$3^{1}\odot$	2^1	–	ca 0^{30}–4 p wechselnd bewölkt.
30.	47.3	45.5	44.9	14.2	21.0	15.2	21.9	9.1	8.7	6.9	9.0	73	37	70	NE 3	E 4	E 2	0^0	$5^{1}\odot$	0	–	t wechselnde Bewölkung.
																					52.6	
Mittel	39.9	39.3	39.8	13.1	17.8	14.3	18.7	10.2	9.1	8.4	9.8	82	55	81				7.5	8.0	6.2		

Alle Angaben nach Ortszeit.

München.

Juni. $\varphi = 48^0\ 9'$ N, $\lambda = 11^0\ 34'$ E $= 46^m\ 16^s$, H $= 526.4$ m, Cg $= +0.1$ mm. 1926

Datum	Luftdruck auf 0^0 u Normalschwere reduziert 700 mm +			Lufttemperatur C⁰					Absolute Feuchtigkeit mm			Relative Feuchtigkeit Proz.			Richtung und Stärke des Windes 0 bis 12			Bewölkung 0 bis 10			Niederschlag mm	Bemerkungen
	7^a	2^p	9^p	7^a	2^p	9^p	Max.	Min.	7^a	2^p	9^p	7^a	2^p	9^p	7^a	2^p	9^p	7^a	2^p	9^p	7^a	
1.	15.3	15.7	15.7	10.3	14.8	12.0	16.2	8.2	7.7	5.8	7.4	82	47	71	SW 2	SW 2	NW 1	10^1	$7^1\odot$	3^0	30.2	n ◯. 0.38 p kurz ◯2. 3.52 p ◯1 u. △1. p Geb. im SE sichtbar.
2.	12.9	09.2	08.0	10.6	19.4	14.2	20.0	6.5	6.5	6.1	8.6	69	37	72	SE 1	E 3	C	oo	$2^0\odot$	5^1	1.2	a △2. t Geb. schw. sichtbar. ca 6^{45} p ⊕.
3.	08.7	09.1	09.7	8.7	9.1	7.5	14.4	7.4	7.5	7.9	7.1	89	92	91	SW 2	W 2	SW 3	$10^2\bullet$	$10^1\bullet$	$10^1\bullet$	4.6	n, t meist ◯1.2.
4.	08.3	09.8	11.6	5.7	11.0	9.2	11.4	5.4	6.1	6.1	7.1	90	62	81	W 3	SW 4	W 2	$10^1\bullet$	10^1	10^1	**38.7**	n, a ◯0.1, m, p Geb. sichtbar.
5.	11.5	11.0	11.2	11.0	18.1	15.0	19.2	8.9	8.1	6.9	9.0	83	44	71	SW 2	W 2	C	10^1	$4^0\odot$	9^1	2.2	n ◯.
6.	12.7	12.8	14.5	12.5	16.3	12.4	19.6	11.1	8.8	8.4	9.8	82	60	93	SW 2	NW 3	W 2	10^1	$10^1\bullet$	$10^1\bullet$	1.3	n. a ztw. ◯1. 2^{00} p kurz ◯0. ca 11^{45} a ⟆(1×T), 8^{06}-9^{00} p ◯1.2.
7.	14.6	14.5	14.2	10.7	12.9	12.4	15.1	10.0	8.6	8.8	8.8	91	80	83	SW 2	W 2	SW 2	$10^1\bullet$	$10^2\bullet$	$10^1\bullet$	2.7	n, a-11^{16} a meist ◯0.1, 14^3-9^{00} p ztw. ◯0.1.
8.	13.6	14.7	15.4	12.7	14.3	13.6	15.7	11.2	8.9	9.3	9.0	82	77	78	W 4	SW 3	SW 1	10^1	10^1	10^1	6.5	2^{18} a kurz ◯0.1. 10 a, 4 p ◯0. $4^{21.42}$ p ◯1.
9.	16.2	15.3	13.5	11.9	19.3	15.0	19.8	10.5	9.8	8.1	9.6	**96**	49	75	SW 2	S 3	C	10^1	9^2	5^0	4.8	n ◯ 2^{16} p kurz ◯Tr. 4^{36} p ◯0.
10.	10.7	13.0	14.0	14.5	13.3	10.5	19.3	10.3	9.2	9.7	7.9	73	86	84	W 2	W 2	SW 2	$6^1\odot$	$10^1\bullet$	10^1	0.0	a △. 0.36-4.36 p meist ◯1.
11.	13.4	11.3	12.4	12.0	21.1	12.8	21.1	10.2	7.8	6.5	8.1	75	35	74	W 2	SW 2	. C	9^1	$6^1\odot$	10^1	4.6	a Gebirge schwach, p gut sichtbar.
12.	12.3	11.8	09.1	14.1	17.7	16.1	20.1	11.6	9.4	11.1	10.9	79	73	80	W 1	SW 1	SE 1	$10^1\bullet$	$10^1\bullet$	10^1	3.5	n ◯. 6.36-8.06 a ◯0.1, 9^{16} a, 1^{31} p, 2^{00} p kurz ◯0. 7^{11} p ◯Tr.
13.	09.0	05.4	11.1	16.3	24.1	11.8	24.8	11.8	10.7	12.0	8.8	78	54	86	C	SE 2	SW 2	$4^0\odot$	10^1	$10^1\bullet$	5.6	9^{48} p ⟆. n ◯. 2^{11} p ⟆. 2^{06} p ▲, dann-9^{00} p meist ◯1.
14.	10.9	10.4	10.6	10.9	10.6	8.6	12.4	8.4	7.8	7.8	7.5	81	83	91	SW 2	SW 1	SW 2	10^1	$10^1\bullet$	$10^1\bullet$	26.8	9^{00} p-n ◯. ca 10^{45} a-9^{00} p ◯1.
15.	11.2	12.9	14.9	11.0	12.3	11.3	14.9	8.3	8.1	9.0	7.9	83	86	80	W 2	NW 2	NW 4	10^1	$10^1\bullet$	10^1	4.2	9^{40} p-n ◯. 7^{16} a-3^{21} p meist ◯1. p Geb. gut sichtbar.
16.	16.5	17.2	17.2	10.3	14.2	13.5	16.8	9.9	8.4	8.0	8.3	90	66	73	SW 2	W 1	SW 1	$10^1\bullet$	10^1	8^1	8.2	n, a 9^{16} a ◯0.1, 1^{16} p kurz ◯0. p Geb. schw. sichtbar.
17.	15.6	13.8	12.9	12.6	19.8	13.4	19.8	10.9	9.7	8.8	9.6	90	52	85	SW 1	SW 2	SW 2	$10^1\bullet$	$8^1\odot$	$10^1\bullet$	1.3	6^{16}-9^{36} a ◯1. $3^{21.41}$ p ◯1.2. 3^{22} p ⟆ (2×T). 9^{00} p kurz ◯1.
18.	09.8	08.1	09.7	13.4	13.2	10.6	15.4	10.3	9.5	9.5	7.5	83	85	79	SW 2	SW 2	SW 2	10^1	$10^1\bullet$	10^1	6.7	n ◯. 7^{16} a-ca 4^{15} p ztw. ◯0.1. p Geb. schw. sichtbar.
19.	11.0	13.9	17.2	10.8	12.3	12.1	12.8	9.9	8.4	9.4	9.9	89	89	95	W 2	SW 2	SW 1	$10^1\bullet$	$10^1\bullet$	10^1	4.0	n, a-ca 5^{45} p ◯1.
20.	19.7	20.2	21.3	12.2	18.8	15.5	19.7	10.8	9.4	6.7	8.7	90	42	66	W 1	W 2	W 1	10^1	$7^1\odot$	10^1	10.3	$7^{16.21}$ p ◯0.
21.	21.2	19.3	17.4	14.4	21.6	17.7	22.9	13.9	9.3	10.8	12.0	76	57	80	C	E 1	SE 1	10^1	$5^0\odot$	4^0	0.0	6^{31} a kurz ◯0.
22.	15.0	12.2	13.3	16.4	25.7	18.5	**26.1**	13.0	**12.5**	10.2	11.9	90	42	76	C	NW 2	SW 2	oo	$5^1\odot$	10^1	0.0	a △. 3^{51} p ⟆ (?×T). 4^{36} p ◯0. 5^{01} p kurz ◯1.
23.	13.7	13.5	13.6	15.2	20.3	16.8	20.9	14.4	11.3	10.1	11.2	88	56	78	C	N 1	C	$10^1\odot$	$6^1\odot$	10^1	0.0	$10^{31.46}$ p ≲. 4^{49}-5^{06} p ◯1.2.
24.	13.1	12.2	14.1	14.1	15.4	14.6	20.8	13.3	9.6	11.6	11.4	80	89	92	S 1	S 2	SW 1	$10^1\bullet$	$10^1\bullet$	$10^1\bullet$	2.6	$9^{16.31}$ p ◯0. 6^{04}-ca 8^{45} a ztw. ◯1. $1^{00.34}$ p ⟆. 1^{28}-9^{00} p
25.	16.3	16.7	19.3	9.5	12.1	10.0	14.6	9.2	8.0	8.0	8.4	91	76	93	N 1	N 1	SW 2	$10^1\bullet$	$10^1\bullet$	$10^1\bullet$	38.0	n, t meist ◯1. [meist ◯1.2.
26.	20.1	20.2	21.6	9.6	12.5	10.9	15.5	7.3	7.2	7.7	7.6	80	72	77	W 1	N 2	C	9^1	$9^1\odot$	5^1	8.5	n ◯. 7^{51} a-ca 1^{45} p ztw. ◯1.2.
27.	21.4	21.2	21.7	10.6	18.2	13.1	18.2	7.4	7.3	5.8	8.0	75	38	72	C	E 2	C	oo	$6^1\odot$	2^0	2.4	a △.
28.	21.7	21.5	22.5	12.6	19.6	13.8	20.1	8.7	7.6	6.0	7.8	70	36	67	NE 1	E 2	N 1	$5^0\odot$	$4^1\odot$	7^1	–	a △.
29.	**22.7**	21.6	21.9	12.4	19.9	13.9	20.3	9.3	8.1	6.6	7.9	75	39	67	C	N 3	E 2	$4^0\odot$	$5^1\odot$	3^0	–	a △.
30.	21.4	20.1	20.1	11.8	19.2	13.2	19.8	8.9	8.1	6.3	8.4	79	39	75	E 2	E 2	SE 1	oo	8^1	7^1	–	a △. 2^{02} p ◯Tr.
																					218.9	
Mittel	14.7	14.3	15.0	12.0	16.6	13.0	18.3	9.9	8.6	8.3	8.9	83	61	80				7.9	8.0	8.3		

Hohenpeissenberg.

Juni. $\varphi = 47^0\ 48'$ N. $\lambda = 11^0\ 1'$ E $= 44^m\ 4^s$. H $= 994.1$ m. Cg $= \pm 0.0$ mm. 1926.

	600 mm +																					
1.	76.3	76.7	77.3	5.3	11.2	9.3	13.3	3.2	6.7	6.2	4.9	100	62	56	W 5	W 4	W 1	$10^2\bullet$	$8^2\odot$	3^2	24.3	a ◯.
2.	74.1	71.1	71.0	8.0	15.3	8.3	16.1	5.5	6.0	6.2	8.2	75	48	100	E 3	E 4	W 4	$1^1\odot$	$1^1\odot$	$10^2=\bullet$	2.1	abds. ≡2 ◯.
3.	71.0	71.0	71.3	4.5	5.1	3.5	8.7	3.5	6.3	6.2	5.9	100	95	100	W 3	W 3	W 4	$10^2\bullet$	$10^2\bullet$	$10^2\bullet$	12.3	t ◯.
4.	69.3	70.7	72.9	1.4	4.1	5.3	5.5	0.6	5.0	6.1	6.1	100	100	92	W 7	W 6	W 5	$10^2\bullet$	$10^2\bullet$	10^2	24.3	a, p ◯.
5.	72.9	72.5	73.0	7.0	14.6	13.0	17.4	4.6	6.3	7.4	6.0	84	59	54	W 3	NW 2	S 2	$4^2\odot$	$5^1\odot$	7^2	6.7	
6.	74.1	74.5	76.0	9.0	15.4	8.1	16.2	7.1	7.1	7.0	7.8	83	54	98	SW 5	SW 4	W 5	$9^2\odot$	$8^2\odot$	10^2	–	4^{11} p ⟆ mit ◯.
7.	76.2	75.9	75.3	6.3	12.0	9.5	13.1	5.5	7.2	8.3	7.0	100	80	79	W 4	W 2	W 5	$10^2\bullet$	$8^2\odot$	9^2	9.8	a ◯.
8.	76.0	76.7	77.1	8.6	9.8	10.8	11.2	7.5	8.3	8.6	7.2	100	95	73	W 5	W 6	W 4	10^2	$10^2\bullet$	10	9.2	p ◯.
9.	77.3	77.3	75.7	8.0	14.3	12.5	19.4	6.6	7.8	6.9	7.5	98	57	69	W 5	W 2	S 4	10^2	10^2	5^1	6.4	
10.	73.3	74.7	75.3	13.5	8.5	7.4	18.7	6.1	7.6	8.3	6.4	66	100	83	SW 6	W 4	SE 4	$6^2\odot$	$10^2\bullet$	8^2	–	0^{34} p, 2 p ◯.
11.	75.7	73.1	74.2	8.9	16.3	9.6	18.3	6.7	6.8	6.2	7.1	80	45	80	C	W 2	W 1	9^2	$3^2\odot$	10^2	3.2	
12.	74.2	73.4	71.9	11.6	17.2	14.7	18.0	8.5	8.4	10.1	9.7	84	69	78	W 1	E 1	NW 7	10^2	$7^1\odot$	$10\bullet$	2.3	n ◯. 8^{34}-9^{00} p Fern-⟆. 8^{34} p ab ◯.
13.	70.8	69.4	73.2	15.7	14.3	7.7	20.0	7.7	8.9	11.3	6.8	66	94	88	E 2	W 5	W 6	$2^1\odot$	$10^2\bullet$	$10^2\bullet$	1.3	$9^{00.24}$ p Fern-⟆. $1^{34.49}$ p ⟆. 1^{39} p ▲. $1^{36.44}$ p ◯. 2 p ◯.
14.	**72.7**	72.4	72.3	7.8	7.2	6.0	9.5	5.2	5.1	6.9	6.9	64	91	99	W 1	W 2	W 1	10^2	$10^2\bullet$	$10^2\bullet$	12.4	p-n ◯.
15.	73.0	74.6	77.0	6.3	8.5	6.9	11.4	5.2	7.2	7.3	7.3	100	88	99	W 4	W 6	W 7	$10^2=\bullet$	$8^2\odot$	$10^2\bullet$	8.3	a ≡2 ◯. abds. ◯.
16.	78.0	78.1	78.8	6.9	12.8	9.8	15.2	6.2	6.9	5.9	7.5	93	54	83	W 3	W 3	W 2	$10^2\bullet$	$8^2\odot$	10^2	4.6	a ◯.
17.	77.8	76.7	75.8	8.5	12.8	10.3	14.5	7.9	8.3	8.4	8.6	100	77	93	W 2	W 5	W 5	$10^2=\bullet$	$9^2\odot$	10^2	4.6	a ≡2 ◯. 7^{14} p ◯.
18.	72.0	70.5	71.7	9.7	9.6	7.4	12.9	6.2	7.7	8.8	6.5	86	99	85	W 4	W 5	W 6	10^2	$10^2\bullet$	10^2	12.4	2 p ◯.
19.	72.3	75.8	78.7	6.3	8.0	8.2	10.5	5.4	7.2	8.0	8.1	100	100	100	W 5	W 2	W 3	$10^2=$	$10^2=\bullet$	$10^2=\bullet$	6.4	a ≡2. 2 p, 9 p ≡2 ◯2.
20.	80.6	81.2	82.1	8.8	14.3	11.6	15.8	6.9	8.5	6.7	7.1	100	55	70	NE 2	SE 4	N 3	$10^2=$	$4^2\odot$	8^2	**34.7**	n ◯, a ≡2.
21.	82.2	80.8	79.9	11.9	17.6	15.3	19.2	10.4	7.7	10.1	10.3	74	68	80	C	SW 4	NE 5	10^2	$1^1\odot$	3^1	–	
22.	77.5	75.0	76.1	16.3	21.4	14.7	**22.3**	13.4	9.7	9.9	10.3	70	53	83	SW 4	NE 4	N 5	$1^1\odot$	$6^2\odot$	10^2R	–	$2^{23.54}$ p, 8^{39}-9^{00} p Fern-⟆. $2^{44.54}$ p, 8^{54} p ◯.
23.	76.0	76.2	76.0	13.3	17.4	11.3	20.0	9.9	10.2	10.7	9.5	90	72	96	W 2	E 1	E 2	9^2	$8^2\odot$	$8^2\bullet$	9.3	$9^{00.14}$ p, 7^{04} p Fern-⟆. 8^{54} a, 9 p ◯.
24.	75.5	75.0	76.2	13.1	15.9	10.8	17.5	10.2	9.9	**11.6**	9.6	89	86	100	C	W 1	C	$9^2=$	$9^2\odot$	$10^2=\bullet$	9.6	a ≡1. 0^{04} p ◯. 9 p ≡2 ◯.
25.	76.9	77.6	80.5	6.6	7.1	4.4	10.8	4.4	7.3	7.5	6.2	100	100	100	W 4	NE 3	NE 2	$10^2=\bullet$	$10=\bullet$	$10=\bullet$	20.8	t ≡2 ◯.
26.	80.7	80.8	81.9	4.8	10.0	6.5	12.2	2.6	6.2	7.1	6.2	97	79	86	W 4	W 4	W 5	$7^2\odot$	$6^2\odot$	5^2	17.0	0^{04} p, 3^{04} p ◯.
27.	81.7	81.5	82.2	8.8	13.1	9.4	13.7	5.4	6.8	6.0	6.0	81	53	69	W 4	NE 6	NE 4	$1^1\odot$	$4^2\odot$	7	2.4	
28.	82.1	82.0	**82.5**	11.2	14.7	10.0	15.3	7.6	8.0	5.6	7.0	80	46	76	E 1	E 2	E 4	$7^2\odot$	$6^2\odot$	8^2	–	a ∞.
29.	82.1	82.0	82.3	10.7	14.7	9.7	16.3	8.1	7.8	6.7	6.8	82	53	75	E 1	E 4	C	$2^1\odot$	$6^2\odot$	3^1	–	a ≡. 2^{54}-6^{34} p Fern-⟆. ca 3^{35}-7^{04} p ◯.
30.	81.7	81.1	81.0	9.6	13.3	8.8	15.3	7.2	7.1	6.7	6.8	80	59	80	E 4	NE 6	NE 5	$1^1\odot$	$3^2\odot$	4^1	5.0	a ≡.
																					219.4	
Mittel	76.1	75.9	76.6	8.9	12.6	9.4	14.9	6.5	7.5	7.8	7.4	87	73	84				7.6	7.3	8.3		

Alle Angaben nach Ortszeit.

Zugspitze.

Juni. $\varphi = 47^0\ 25'$ N. $\lambda = 10^0\ 59'$ E $= 43^m\ 56^s$. H $= 2962{,}2$ m. Cg $= -0.2$ mm. 1926.

Datum	Luftdruck auf 0^0 u. Normalschwere reduziert 500 mm +			Lufttemperatur C^0					Absolute Feuchtigkeit mm			Relative Feuchtigkeit Proz.			Richtung und Stärke des Windes 0 bis 12			Bewölkung 0 bis 10			Niederschlag mm	Schneedecke
	7^a	2^p	9^p	7^a	2^p	9^p	Max.	Min.	7^a	2^p	9^p	7^a	2^p	9^p	7^a	2^p	9^p	7^a	2^p	9^p	7^a	7^a
1.	28.4	29.7	29.9	− 6.6	− 4.1	− 5.9	− 3.4	− 7.4	2.6	3.3	2.8	100	100	100	NW 8	NW 2	NW 3	10^2	10^2	3^1	15.8	✳
2.	27.7	27.1	26.3	− 4.2	− 1.1	− 2.0	0.2	− 7.8	3.2	4.0	3.9	81	95	100	W 4	SE 2	E 2	0^0	5^2	10^2	~	✳
3.	23.9	23.7	23.8	− 4.4	− 6.2	− 7.0	− 2.0	− 7.1	3.2	2.7	2.5	100	100	100	E 2	N 1	NW 6	10^2	10^2	10^2	8.2	✳
4.	22.5	24.7	26.6	− 7.0	− 4.5	− 4.5	− 4.4	− 7.4	2.5	3.2	3.2	100	100	100	NW 5	W 4	NW 5	10^2	10^2	10^2	25.3	✳
5.	26.9	28.2	29.2	− 4.6	− 2.2	− 2.9	− 0.4	− 5.0	3.1	3.8	3.4	100	100	93	N 2	W 2	W 3	10^2	10^2	3^1	20.7	✳
6.	29.4	29.8	30.0	− 1.9	− 0.3	− 2.6	0.9	− 3.0	3.9	4.5	3.7	100	100	100	S 2	C	N 2	10^2	10^2	10^2	~	✳
7.	29.2	29.8	29.9	− 4.3	− 3.7	− 3.5	− 2.6	− 4.4	3.2	3.4	3.4	100	100	100	N 3	NW 4	NW 5	10^2	10^2	10^2	31.6	✳
8.	29.6	31.1	31.9	− 3.1	− 1.7	− 1.9	− 0.6	− 3.6	3.5	4.0	3.9	100	100	100	NW 5	NW 4	NW 3	10^2	10^2	10^2	31.0	✳
9.	31.5	32.1	32.1	− 1.6	− 0.1	0.0	0.3	− 1.9	4.0	4.5	4.6	100	100	100	NW 2	W 3	W 4	10^2	10^2	3^1	10.8	✳
10.	30.6	29.7	29.0	1.2	2.0	− 4.6	2.2	− 4.7	4.8	5.3	3.1	96	100	100	S 3	SE 3	NW 5	8^1	10^2	10^2	~	✳
11.	28.8	29.3	29.6	− 3.5	− 1.1	− 0.4	0.2	− 4.6	3.4	3.9	4.1	100	93	92	W 3	W 3	S 6	4^1	2^1	10^2	9.9	✳
12.	30.0	31.0	30.2	− 1.0	2.7	3.4	4.1	− 1.1	4.2	5.3	5.2	100	95	88	NW 4	S 4	S 8	10^2	7^1	10^1	~	✳
13.	28.7	28.2	27.6	2.5	3.9	− 1.5	4.1	− 2.4	5.1	5.5	4.1	92	90	100	SW 7	S 3	SW 3	5^1	7^1	10^2	5.1	✳
14.	25.8	25.0	25.5	− 4.2	− 4.7	− 5.0	− 1.5	− 5.0	3.2	3.1	3.0	100	100	100	C	NW 3	NW 4	10^2	10^2	10^2	14.2	✳
15.	26.1	28.5	29.4	− 5.6	− 3.8	− 4.7	− 3.8	− 5.6	2.9	3.3	3.1	100	100	100	NW 8	NW 5	NW 9	10^2	10^2	10^2	12.2	✳
16.	30.2	31.9	32.5	− 5.6	− 3.3	− 2.3	− 2.3	− 5.6	2.9	3.5	3.8	100	100	100	NW 6	NW 3	N 3	10^2	10^2	10^2	10.1	✳
17.	31.1	31.2	30.2	− 2.0	− 0.8	− 0.8	0.2	− 3.2	3.9	4.3	4.3	100	100	100	NW 3	N 3	NW 3	10^2	10^2	10^2	14.7	✳
18.	27.0	24.7	25.8	− 1.3	− 1.8	− 5.2	0.5	− 5.4	4.1	4.0	3.0	100	100	100	SW 5	NW 7	NW 4	10^2	10^2	10^2	22.6	✳
19.	26.0	29.1	32.1	− 4.7	− 3.0	− 2.7	− 2.7	− 5.6	3.1	3.6	3.7	100	100	100	NW 3	N 2	NW 7	10^2	10^2	10^2	19.0	✳
20.	33.6	35.3	36.3	− 2.8	− 2.3	− 5.1	− 1.9	− 5.3	3.6	3.8	3.0	100	100	100	N 4	N 2	N 4	10^2	10^2	10^2	**35.5**	✳
21.	36.8	**37.1**	36.6	0.9	3.1	3.9	**7.2**	− 5.6	4.9	5.7	4.9	100	100	80	W 2	SE 3	C	10^2	10^1	0	2.2	✳
22.	34.2	33.4	32.6	2.5	3.3	1.4	3.9	0.7	4.9	5.8	5.0	88	100	100	NE 3	SE 2	NW 2	0^0	10^2	10^2	~	✳
23.	31.8	32.0	32.1	1.3	1.9	1.1	3.0	0.5	5.0	5.3	5.0	100	100	100	NW 2	W 2	W 2	10^1	10^2	10^2	14.6	✳
24.	31.1	31.2	31.2	1.7	3.5	− 0.1	3.8	− 0.9	5.2	**5.9**	4.5	100	100	100	SW 3	SW 4	NW 2	10^2	10^2	10^2	4.3	✳
25.	30.3	29.9	31.3	− 2.9	− 2.7	− 6.4	− 0.1	− 6.6	3.6	2.7	3.7	100	100	100	NW 2	NW 3	NW 4	10^2	10^2	10^2	15.7	✳
26.	31.7	32.7	33.9	− 5.6	− 2.0	− 5.1	− 1.2	− 6.8	2.9	3.9	3.0	100	100	100	C	NW 2	NW 2	10^2	10^2	10^1	26.2	✳
27.	33.3	34.7	35.4	− 6.5	− 0.4	− 2.9	− 0.1	− 7.6	2.7	4.2	3.6	100	96	100	NW 3	SW 2	W 3	0^0	8^1	10^1	5.9	✳
28.	34.9	35.6	36.1	− 2.7	− 1.0	− 3.1	0.0	− 4.3	3.7	4.2	3.5	100	100	100	SW 3	N 1	N 3	10^1	10^2	10^2	~	✳
29.	35.4	35.7	35.7	− 3.5	− 3.7	− 3.5	− 0.5	− 4.8	3.4	3.4	3.4	100	100	100	E 2	N 3	C	0^0	10^2	10^2	4.8	✳
30.	34.4	34.4	33.6	− 2.5	− 3.6	− 4.3	− 1.0	− 4.7	3.2	3.4	3.2	85	100	100	NE 2	N 3	NW 2	0^0	10^1	10^1	2.1	✳
																					362.5	
Mittel	30.0	30.6	30.9	− 2.7	− 1.3	− 2.6	0.1	− 4.5	3.7	4.1	3.7	98	99	98				7.9	9.3	9.0		

Bemerkungen.

1. n ≡, ✳, a 15 cm ⋁, t meist $\equiv^2$, ab 5^{15} p ztw. Aufklaren.
2. a ringsum $\infty^{1.2}$, über Zentralkette Föhnmauer, p Bewölkungszunahme, 8^{45} p–n $\equiv^{1.2}$.
3. n ✳, a 5 cm Neuschnee, 5 cm ⋁, t $\equiv^2$, meist $✳^{-1}$, ⋁-Bildung (9 p 20 cm Neuschnee, 10 cm ⋁).
4. n ✳, ≡, a 10 cm ⋁, n–6^{30} p meist $✳^{0.1}$ (20 cm Neuschnee), t $\equiv^2$.
5. n ✳, a 20 cm ⋁, t ringsum str in 2000–2400 m, ztw. $\equiv^2$.
6. a ztw. $\equiv^2$, p meist $\equiv^2$, 1^{15} p–n meist $✳^{1.2}$, $1^{46.55}$ p ⌈.
7. n ✳, a 30 cm Neuschnee, 10 cm ⋁, n–6 p $✳^{0.1}$, t $\equiv^2$ ⋁.
8. n ✳, a 35 cm ⋁, t $\equiv^2$.
9. n ✳, a 40 cm ⋁, n–6^{30} p $\equiv^{1.2}$, dann Bewölkungsabnahme, abds. über Vorland ∞^2.
10. a ringsum ∞^1, Zentralkette in Wolken, Bewölkungszunahme (str, str-cu S m), 9^{30} a–n $\equiv^2$, 3^{35}–4 p ⌈ ◍^{1} $\triangle^1$, dann bis n $✳^{0.1}$.
11. n ✳, 9 a–m ⊕ (ci-str W m), t ztw. $\equiv^{1.2}$, abds. ringsum Nebeldecke in 2000–2500 m.
12. a ztw. $\equiv^{0.1}$, m ringsum $\infty^{1.2}$, Zentralkette in Wolken, abds. im NW ≼, über Vorland heftige Gewitter.
13. n Durchzug einiger $\triangle$- u. ◍-Böen, a ringsum $\infty^{1.2}$, m Vorberge in Wolken, 6^{20} p–n meist $\equiv^2$, $7^{22.55}$ p ⌈ $\triangle^{1.2}$, dann bis n $✳^0$.
14. n ✳, a 8 cm Neuschnee, 2 cm ⋁, t $\equiv^2$, 11 a–6^{30} p $✳^0$.
15. n ✳ ≡, a 25 cm ⋁, t $\equiv^2$ ≡ ⋁-Bildung (9 p 45 cm ⋁), ✳treibeu, $✳^{0.1}$.
16. n ✳ ≡, a 25 cm ⋁, t $\equiv^2$, ztw. ≡, ⋁-Bildung.
17. n–9^{30} a $✳^1$, a 5 cm ⋁, t $\equiv^2$ ⋁-Bildung, 8^{45} p–n $✳^{0.1}$.
18. n–8^{30} a $\equiv^2$, 10^{10} a–n $\equiv^2$, 1 p ⌈, dann bis 5 p $✳^{0.1}$.
19. n ✳ ≡, a 15 cm ⋁, 12 m–n meist $✳^1$ ≡, t $\equiv^2$.
20. n–8 a $✳^{0.1}$, a 25 cm ⋁, t meist $\equiv^2$ ⋁, p starker Lawinengang.
21. n ◍^{3}, n–6 p meist $\equiv^2$, dann rasches Aufklaren, abds. über Vorland ∞^2, am Horizont a-str.
22. a Vorberge u. Zentralkette in Wolken; 9 a–n meist $\equiv^{1.2}$, ab 10^{30} a ringsum Gewitter, $11^{15.30}$ a $\triangle^{1.2}$, $11^{25.30}$ a ⌈, $12^{2.55}$ p ⌈ $\triangle^{1.2}$.
23. n ◍, t meist $\equiv^2$, 1^{55}–6 p ztw. ◍^{1}, elektrische Ausstrahlung.
24. a ztw. kurz Sicht auf Platt, 10^{40} a $✳^{0.1}$, p ztw. ◍^{1}, t $\equiv^{1.2}$.
25. n ✳, a 5 cm Neuschnee, 2 cm ⋁, t $\equiv^2$, meist $✳^{0.1}$.
26. n ✳, ca 30 cm Neuschnee, 10 cm ⋁, n–8^{30} a $✳^{0.1}$, p ztw. $\triangle^{0.1}$, t meist $\equiv^2$.
27. n Aufklaren, a ringsum $\infty^{1.2}$, str in Vorberghöhe, 9 a–n ztw. $\equiv^{1.2}$, Vorberge u. Plattrand in Wolken.
28. a ⋁-Anflug, t meist $\equiv^2$, 1^{45}–3^{45} p $✳^{0.1}$ (3 cm Neuschnee).
29. a ringsum $\infty^{1.2}$, 9 a–n vorwiegend $\equiv^{1.2}$, $1^{00.30}$ p $✳^{0.1}$.
30. n Aufklaren, a ringsum ∞^2, 8^{30} a–n meist $\equiv^{1.2}$, $13^{8.45}$ p $\triangle^1$, elektrische Ausstrahlung, $2^{16.55}$ p $\triangle^1$, 2^{35}–3^{05} p $✳^1$.

Alle Angaben nach Ortszeit

Bamberg.

Juli. $\varphi = 49^0\ 53'$ N. $\lambda = 10^0\ 53'$ E $= 43^m\ 32^s$. H $= 287.7$ m. Cg $= +0.3$ mm. 1926.

Datum	Luftdruck auf 0° u. Normalschwere reduziert 700 mm + 7a	2p	9p	Lufttemperatur C° 7a	2p	9p	Max.	Min.	Absolute Feuchtigkeit mm 7a	2p	9p	Relative Feuchtigkeit Proz. 7a	2p	9p	Richtung und Stärke des Windes 0 bis 12 7a	2p	9p	Bewölkung 0 bis 10 7a	2p	9p	Niederschlag mm 7a	Bemerkungen
1.	39.5	38.5	39.0	13.0	15.5	13.5	16.0	11.1	9.3	9.9	10.5	85	76	91	NW 1	N 2	N 2	9^1	10^1	10^1	0.2	6^{54} a ◍^{0}. 5^{49}–6^{54} p ◍$^{0.1}$.
2.	38.1	37.6	38.1	15.7	23.0	17.9	23.8	13.1	11.2	12.3	12.4	84	59	81	NW 1	NE 3	NW 2	9^1	$7^1\odot$	10^1	0.2	
3.	37.7	37.4	36.7	16.1	20.4	18.1	22.5	14.2	12.5	13.7	13.3	91	77	86	NW 2	NW 1	N 1	9^1	9^1	8^0	0.1	n kurz ◍$^{0.1}$. [meist ◍$^{1.2}$.
4.	35.2	33.6	32.8	18.3	24.5	17.3	25.0	15.1	14.2	15.5	14.4	91	68	98	C	NW 1	C	10^1	$9^1\odot$ ☒	$10^1\bullet$	0.2	ca 4^{45}–5^{45} a ◍^{0}. 11^{44} a ◍^{0}. 1^{56}–ca 6^{45} p ☇. 2^{28}–9^{00} p
5.	32.5	31.9	32.7	16.9	23.9	16.2	24.3	15.9	14.0	14.5	13.1	98	66	96	SW 1	SW 2	SW 2	10^1	$7^1\odot$	7^1	15.1	9^{00} p–ca 11^{45} a ◍^{1}. 2^{34}–8^{04} p ☇ (i. mehr. Zügen). [1]
6	33.2	32.6	33.6	17.7	21.5	16.3	22.9	14.0	13.8	14.3	13.5	92	75	98	SW 1	S 2	C	$4^1\odot$	9^1 ☒	4^0	5.1	10^{44}–11^{48} a ◍^{1}. 11^{10} a Fern-☇ i. W. 1^{59}–3^{59} p ☇. 20^{4}–3^{59} p ◍[2]
7.	33.6	32.2	32.6	14.5	25.2	17.0	25.8	13.2	12.3	14.0	14.0	100	59	97	NW 1	C	NW 3	$10^1=$	7^1 ☒ $\odot$	$10^1\bullet$	**38.0**	10^{14} p–7^{59} a ≡$^{0.1}$. 14^4–6^{11} p ☇. 23^7–9^{00} p meist ◍$^{1.2}$.
8.	32.9	33.3	34.6	17.3	21.5	17.0	25.4	16.1	14.4	15.8	14.1	98	83	98	NW 1	W 2	C	10^1	9^1 ☒	10^1	18.8	$9^{08.09}$ p ◍^{1}. $2^{12.44}$ a, 10^{14} a–ca 4^{45} p ☇. 2^{24}–3^{09} a ◍^{2}. [2]
9	35.1	35.2	35.5	17.3	19.7	17.6	24.3	15.6	14.2	**16.1**	14.7	97	94	98	NW 1	C	C	10^1	10^1 ☒ $\bullet$	10^1	3.9	0^{44}–8^{14} p Fern-☇ i. NE-N-E. 12^1–5^{29} p meist ◍$^{0.2}$.
10.	36.2	36.6	38.0	15.4	19.2	12.4	21.5	12.2	12.0	10.3	9.3	92	62	88	W 1	W 2	N 1	$10^1\bullet$	9^1 ☒	7^1	5.7	ca 4^{45}–5^{45} a, ca 6^{45}–7^{09} a ◍$^{0.1}$. 13^3–4^{43} p ☇. 3^{16}–4^{43} p ◍$^{1.2}$. [2]
11.	39.1	38.6	39.9	13.2	18.3	13.3	19.2	10.0	10.2	10.3	10.6	91	65	94	SW 1	W 4	C	$9^1\odot$	9^1	10^1	0.5	3^{19}–5^{29} p ztw. ◍$^{0.1}$. 6^{44}–7^{20} p ◍^{1}
12.	41.4	**42.0**	41.8	13.2	21.3	18.7	21.9	11.2	10.4	11.6	12.3	93	62	77	S 2	S 1	S 1	$9^1\odot$	$6^1\odot$	9^1	0.3	
13.	41.9	40.5	39.8	17.3	25.5	21.1	26.0	12.9	12.0	12.5	13.0	82	52	70	NW 1	E 2	E 2	$0\odot$	$5^1\odot$	0	–	9^{16} p ab Beginn des Aufklarens. ca 9^{45} p ab wolklos. a ⏢.
14.	38.7	36.9	36.5	22.5	27.9	22.0	29.1	17.1	13.4	13.1	14.3	66	**47**	73	SE 2	SE 2	C	$0\odot$	$6^1\odot$	8^0	–	5^{28} p Fern-☇ i. SE (1 × T). 7^{14}–8^{14} p ☇.
15.	35.3	34.3	34.8	21.0	17.1	16.9	**30.2**	16.2	14.6	13.9	14.0	79	96	98	C	E 5	C	$2^1\odot$	$10^2\bullet$	10^1	–	0^{54}–6^{14} p ☇. 1^{49}–3^{14} p ◍$^{1.2}$. 4^{14}–5^{14} p ztw. ◍$^{0.1}$.
16.	35.8	35.8	37.7	16.3	23.7	16.8	25.9	14.4	13.8	15.0	10.9	100	69	76	C	NW 1	NW 2	10^2	$7^1\odot$	1^1	13.9	ca 4^{45}–5^{14} a ☇. 4^{49}–6^{34} a ◍$^{1.2}$. $14^{4.54}$ p ◍^{00}.
17.	39.0	38.7	38.6	15.3	25.3	19.2	26.1	11.0	11.0	12.5	12.8	85	52	77	NW 1	C	C	$1^1\odot$	$5^1\odot$	0	0.2	
18.	39.4	38.7	37.7	18.1	26.3	20.7	28.0	13.2	12.2	14.0	13.9	79	56	77	C	C	SE 2	$2^1\odot$	$5^1\odot$	3^1	–	n ⏢.
19.	39.4	38.7	37.7	21.5	29.3	17.7	30.0	14.5	14.2	15.7	14.6	75	52	97	SW 1	C	SW 1	7^1	$4^1\odot$	7^1	–	7^{35}–ca 8^{45} p ☇. $8^{14.49}$ p ◍$^{0.2}$.
20.	33.9	33.0	33.5	16.2	19.7	16.1	22.9	15.5	13.3	12.9	11.6	97	76	88	SW 1	W 3	SW 3	$10^1\bullet$	$7^1\odot$	10^1	18.6	11^{29} p–0^{29} a, 4^{34}–5^{39} a ☇. ca $0^{15.30}$ a ◍^{1}. 4^{29}–8^{54} a ◍$^{1.2}$. [4]
21.	34.7	35.4	35.2	14.5	17.9	14.6	19.2	13.9	10.9	10.1	10.6	90	66	86	W 2	W 3	SW 1	10^1	$9^1\odot$	9^1	20.1	ca 10^{45} p–0^{55} a ◍$^{1.2}$. 7^{29}–ca 9^{45} a ◍^{1}.
22.	32.7	35.2	38.2	13.1	15.2	14.7	18.3	12.2	9.1	11.9	9.5	82	92	76	SW 1	NW 1	SW 1	$10\bullet$	9^1	10^1	5.5	ca 4^{45}–7^{14} a, $7^{29.39}$ a ◍$^{0.1}$, dann ztw. weitere Schauer.
23.	39.2	40.1	40.1	14.3	17.5	16.1	18.9	12.7	10.0	11.2	11.9	83	75	87	C	C	SW 1	10^1	10^1	6^0	4.0	[$2^{14.34}$ p ◍^{2} (Schauer).
24.	39.3	35.9	33.2	15.7	26.5	21.3	26.8	11.1	11.3	14.4	12.9	85	57	68	C	SE 2	S 1	$1^1\odot$	$1^1\odot$	8^0	–	n ⏢.
25.	**30.7**	31.3	33.4	16.7	20.7	15.3	21.9	14.9	13.7	11.7	12.1	97	65	93	C	SW 2	C	$10^1\bullet$	$7^1\odot$	8^1	5.0	5^{14}–6^{29} a ☇. 5^{34}–8^{39} a ztw. ◍$^{1.2}$. 3^{09}–4^{34} p ◍$^{1.2}$. $7^{22.34}$ p ◍$^{0.1}$.
26.	35.3	36.1	36.3	14.9	18.1	13.3	19.9	11.5	10.0	11.1	11.0	80	72	97	NW 1	W 2	C	9^1	$8^1\odot$	10^1	4.1	7^{29}–8^{32} p ◍$^{0.1}$.
27.	35.8	37.5	38.8	12.2	13.0	11.7	15.9	11.2	10.2	9.5	8.4	97	86	83	C	NW 1	SE 2	$10^1\bullet$	10^1	9^1	3.6	4^{14}–7^{09} a ztw. ◍$^{0.1}$. 7^{19}–11^{03} a ◍$^{1.2}$.
28.	38.6	37.6	37.7	11.7	15.5	11.0	18.1	**7.7**	8.6	8.5	9.2	85	64	94	NW 1	NW 2	C	$8^1\odot$	$8^1\odot$	10^1	7.0	6^{39}–8^{14} p ◍$^{0.1}$.
29.	36.4	36.0	36.2	11.3	15.2	12.6	15.7	10.4	9.0	10.1	9.7	91	79	90	NW 2	NW 2	S 1	10^1	9^1	$10^0\bullet$	1.8	9^{29} p–a öfters ◍^{0} (Staubregen). ca 7^{15}–9^{00} p ◍$^{0.1}$.
30.	36.0	36.7	37.9	11.5	16.0	12.5	16.8	11.2	9.7	11.2	10.3	97	83	96	NW 2	W 1	W 2	$10^1\bullet$	$9^1\bullet$	$10\bullet$	2.0	9^{00} p–7^{04} a ztw. ◍$^{0.1}$. 2^{00}–ca 2^{15} p ◍^{1}. ca 4^{45}–9 p ◍$^{0.1}$.
31.	39.0	39.4	41.0	12.1	18.3	15.7	19.9	11.3	10.0	11.8	11.3	96	76	85	SW 1	NW 1	NW 2	10^1	9^1	9^1	4.8	
Mittel	36.5	36.2	36.7	15.6	20.7	16.3	22.7	13.1	11.8	12.6	12.1	89	70	88				7.7	7.7	7.8	178.7	[1] 3^{44}–7^{59} p meist ◍$^{0.1}$. [2] 10^{44} a–6^{44} p meist ◍$^{0.2}$. [3] $4^{38.43}$ p ▲^{1}. [4] t öfters ◍ (Schauer).

Kaiserslautern.

Juli. $\varphi = 49^0\ 27'$ N. $\lambda = 7^0\ 46'$ E $= 31^m\ 4^s$. H $= 238.1$ m. Cg $= +0.3$ mm. 1926.

1.	44.3	42.7	43.9	13.7	18.9	15.6	19.3	9.5	8.2	8.2	9.7	70	51	74	NE 2	NE 5	E 4	$9^2\odot$	10^2	10^2	–	
2.	42.5	42.3	42.2	15.2	22.6	19.6	22.8	13.2	10.6	11.8	12.7	83	58	75	NE 2	NE 2	NE 2	10^2	10^2	4^1	–	ca 4^{30} p ab Aufklaren.
3.	42.3	41.6	40.4	19.4	25.2	20.8	25.7	15.5	10.7	10.2	14.0	64	43	77	E 3	E 3	E 1	9^2	$8^2\odot$	5^1	–	
4.	39.5	38.8	37.2	18.3	20.0	19.0	22.5	15.5	13.2	12.4	13.8	84	72	85	E 1	W 3	SW 3	9^2	$10^0\odot$	9^2	–	0^{36}–1^{16} p ☇ (mehrere). $3^{01.16}$ p Fern-☇, ◍^{0}.
5.	36.6	36.6	36.7	18.4	22.7	19.8	23.3	16.5	13.3	12.3	13.3	84	60	78	SW 3	SW 4	W 2	10^2	$8^2\odot$	6^1	0.5	
6.	36.7	36.8	37.1	17.6	22.2	19.2	23.0	14.0	12.1	10.0	12.8	81	51	77	SW 3	SW 3	SW 1	$9\odot$	$8\odot$	9	0.6	$3^{01.11}$ a ◍^{0}. 7 a ab Aufklaren. t meist heiter, ztw. ⊙.
7.	37.4	37.7	37.7	16.6	18.9	17.1	19.3	15.0	12.6	13.4	13.2	90	83	91	W 1	NW 1	SW 1	$10^2\odot$	10^2	10^2	1.3	ca 5 a ☇. ◍^{0}. ca 5 a–0^{46} p ztw. ◍. p–abds. ◍^{0}.
8.	37.7	38.6	39.7	17.0	19.8	18.8	21.5	15.8	13.2	14.1	13.9	92	82	87	NW 1	NE 1	W 3	10^1	10^1	10^1	3.6	n ◍. $3^{31.51}$ p ◍^{0}.
9.	39.8	40.2	41.3	17.4	21.6	17.9	22.1	16.0	13.3	13.8	14.3	90	72	**94**	SW 4	NW 3	W 3	10^2	8^2	10^2	0.1	3^{41}–5^{06} p ☇ a. NW, ◍^{2}. ca 5^{30} p vorübergehend Aufklaren.
10.	42.6	41.6	44.1	16.0	19.0	15.3	19.8	14.0	10.0	9.4	10.6	74	58	82	W 5	W 4	NW 3	$5^1\odot$	8^2	10^2	**22.3**	ca $2^{30.51}$ p ◍^{0}. ca $3^{30.41}$ p ◍^{00}.
11.	44.5	44.0	44.3	14.0	18.8	16.8	19.1	12.5	10.3	10.5	12.6	87	65	89	W 2	W 3	E 1	10^2	10^2	10^2	0.4	vorm. ztw. Aufklaren. 3^{56}–4^{01} p ◍^{0}.
12.	45.3	45.5	45.6	15.6	21.6	17.5	22.6	12.3	11.6	11.2	11.2	88	59	75	NE 1	E 3	E 2	$7^1\odot$	$8^1\odot$	0	0.4	a ≡, dann Aufklaren t ztw. ⊙.
13.	45.2	43.5	43.0	16.0	25.0	20.9	26.0	11.0	11.1	11.7	13.3	82	50	73	NE 2	E 3	E 2	$\odot\odot$	$\odot\odot$	0	–	
14.	42.2	40.3	39.6	20.2	28.4	22.8	29.0	15.0	13.7	11.4	**15.8**	78	40	77	E 2	SE 2	E 1	$0\odot$	$1^0\odot$	3^1	–	p wechs. Bewölkung. [$0^{11.16}$ p ◍^{0}. abds. ∈
15.	38.9	38.6	39.1	20.0	22.4	20.2	26.5	16.0	13.8	14.9	14.2	79	74	81	SW 1	SW 1	E 1	$1^0\odot$	10^2	3^1	–	ca 8^{30} a Bewölkung nimmt zu. 10^{51} a–0^{11} p Fern-☇ i. NE
16.	40.7	41.2	42.5	18.8	23.8	19.1	25.0	16.1	14.4	13.4	12.8	89	61	78	NE 1	NE 3	W 1	10^1	$5^1\odot$	0	0.1	vorm. Aufklaren.
17.	43.6	43.1	42.4	16.8	25.0	20.7	25.9	12.0	10.6	11.5	13.4	75	49	74	NE 1	NE 2	E 1	$0\odot$	$7\odot$	0	–	
18.	42.5	41.7	40.5	17.9	28.0	23.0	**29.5**	14.0	11.7	9.6	14.7	76	34	70	SE 1	SW 3	SW 1	$0\odot$	$4\odot$	3	–	ca 9^{30}–2^{30} p schw. Bewölkung.
19.	39.0	38.3	37.1	19.4	28.2	20.7	28.5	18.3	14.0	12.2	**15.8**	84	43	87	W 3	SW 4	SW 1	10	$6\odot$	8	–	$7^{31.36}$ a ◍ Tr., dann Aufkl., 3^{36} p Bew.-Zun. $4^{31.46}$ p ☇ m. ◍.
20.	37.3	37.6	39.1	18.8	19.2	16.0	20.7	15.1	12.0	12.6	11.4	74	76	84	SW 3	SW 5	W 5	9	$10\bullet$	10	3.0	0^{11} a kurz ◍^{2}. t öfters ◍^{0}, ztw. ⊙.
21.	41.1	40.6	39.2	15.8	19.0	17.4	20.0	14.5	10.5	9.7	10.5	79	59	71	SW 6	SW 5	NW 3	10	10	9	2.1	t wechs. bewölkt, ztw. ⊙.
22.	38.5	42.3	43.8	14.9	19.0	16.5	20.1	13.3	11.2	9.1	9.0	89	56	65	W 5	NW 5	W 2	9	8	8	2.4	4^{34}–5^{46} a ◍^{0}. t wechs. bewölkt, p ztw. ⊙.
23.	44.1	44.8	42.8	15.6	19.2	16.8	20.2	14.0	9.2	12.6	12.2	69	76	85	SW 4	SW 3	SE 3	10	10	0	–	p Aufheiterung.
24.	42.3	38.2	36.0	14.3	27.4	24.0	28.5	11.0	10.4	12.2	12.2	86	44	55	NW 1	SW 3	W 2	10	$3\odot$	9	–	1^{46} p ab zunehmende Bewölkung. [abds. ◍
25.	34.8	36.1	38.8	19.4	19.4	16.3	24.0	16.3	11.2	10.9	11.2	66	64	81	W 5	W 6	W 3	10	6	10	–	ca $7^{30.51}$ a ◍^{0}, dann Aufheiterung. $0^{11.36}$ p ◍, dann ztw. ⊙.
26.	40.4	40.3	40.6	13.8	19.0	15.6	19.1	12.1	9.5	9.0	10.5	81	55	80	SW 4	SW 4	W 2	9	10	$10\bullet$	2.3	
27.	40.8	43.6	44.4	12.9	15.7	12.9	16.4	11.2	9.8	7.8	9.0	89	59	82	NE 2	NE 1	NW 2	$10\bullet$	10	10	9.8	9 p–7 a ◍. t ztw. ◍^{0}. ca 4^{30}–5^{15} p ⊙.
28.	44.8	43.7	43.3	10.9	15.1	13.3	16.4	**7.3**	7.9	**7.6**	10.1	82	59	89	W 2	NE 4	W 3	10	10	$10\bullet$	1.0	t ztw. kurz ◍. 9 p ◍.
29.	43.0	41.9	41.8	13.0	14.5	13.4	14.9	10.5	9.3	9.9	10.7	85	81	**94**	SW 3	SW 3	SW 2	10	10	8	2.4	t öfters ◍^{0}. 6^{11}–ca 6^{30} p ⊙.
30.	43.2	44.2	44.4	12.6	15.8	14.4	15.9	11.5	8.7	9.3	10.2	81	69	84	W 2	W 3	W 3	10	10	10	2.7	
31.	45.2	46.5	**47.2**	13.5	15.8	14.7	16.3	12.3	9.3	10.1	10.9	81	76	88	SW 2	NW 3	NW 2	10	10	8	–	
Mittel	41.2	41.1	41.2	16.3	21.0	17.9	22.1	13.6	11.2	11.1	12.3	81	61	80				7.4	8.0	6.8	55.9	

Alle Angaben nach Ortszeit.

München.

Juli. $\varphi = 48^0\ 9'$ N. $\lambda = 11^0\ 34'$ E $= 46^m\ 16^s$. H $= 526.4$ m. Cg $= +0.1$ mm 1926.

Datum	Luftdruck auf 0° u Normalschwere reduziert 700 mm +			Lufttemperatur C°					Absolute Feuchtigkeit mm			Relative Feuchtigkeit Proz.			Richtung und Stärke des Windes 0 bis 12			Bewölkung 0 bis 10			Niederschlag mm	Bemerkungen
	7^a	2^p	9^p	7^a	2^p	9^p	Max.	Min.	7^a	2^p	9^p	7^a	2^p	9^p	7^a	2^p	9^p	7^a	2^p	9^p	7^a	
1.	18.0	16.7	16.8	11.7	16.3	13.9	17 6	10.2	7.9	8.3	10.4	77	60	88	N 1	N 2	C	7^1⊙	10^1	10^1	–	a ∞¹, ⌓. 5²¹–ca 7⁴⁵ p ◯⁰.
2.	16.1	16.1	16.6	14.7	21.0	17.0	21.7	13.2	11.3	11.3	12.5	91	62	87	NW 1	E 2	N 1	10^1	8^1⊙	10^1	1.4	n ◯. 0¹⁶ p ab kurz ◯², dann ◯¹, 0³⁶.³⁶ p ◯⁰. 5⁵⁶–7¹¹ p ◯¹.
3.	16.4	16.3	15.8	16.5	20.6	17.0	21.3	15.0	11.9	12.3	13.1	85	69	91	NW 1	W 1	C	10^1	8^1⊙	5^1	5.5	n ◯. 10^{21} a ◯⁰. $11^{11.21}$ a ◯⁰. [Geb. schw. sichtb.
4.	14.5	13.0	13.5	16.1	22.1	16.0	23.1	14.1	12.2	12.6	12.4	89	65	91	C	W 3	SW 3	10^1	7^1⊙	10^1●	0.1	1⁵⁶ p böiger Wind. 2²¹ p, 4⁰⁶ p ⟋. 2⁵⁶ p ◯Tr. 3³¹ p ◯⁰.
5.	13.5	12.8	13.3	16.4	22.4	17.8	23.0	15.4	11.5	11.0	12.8	83	55	85	SW 1	SW 2	C	10^1	8^1⊙	7^1	0.0	2¹⁶.²⁶ p ◯⁰.¹. 4⁰¹ p ⟋. 4¹⁶ p ◯⁰. 4³¹ p ⟋⁰.
6.	12.7	12.7	13.3	17.2	19.2	16.9	23.2	13.8	11.3	11.6	12.3	78	70	86	C	W 1	C	2^0⊙	10^1●	5^1	3.1	a ∞², ⌓. 6¹³–1³⁸ p ◯⁰.¹. [8³¹–9¹⁴ p ≺.
7.	12.4	10.9	**10.7**	17.0	24.2	18.5	25.1	13.5	12.9	11.9	13.3	90	53	84	NE 1	N 1	SW 2	4^0⊙	6^1⊙	10^1	1.9	a ∞¹, ⌓. 2³⁴.⁴⁶ p ◯⁰. 5²⁶ p ⟋. 7¹¹–8³⁶ p ztw. ◯Tr.
8.	12.1	12.9	14.4	16.1	21.2	15.8	21.7	15.4	11.6	11.7	12.4	85	63	92	W 2	W 2	W 2	10^1	10^1	10^1●	0.0	9¹⁴–10³¹ p ≺. 4¹⁶ p ⟋. 4²¹–5¹¹ p ◯⁰.². 5²⁶ p ◯⁰. 5⁵¹ p ⟋⁰.
9.	14.5	15.3	15.8	15.5	16.1	16.2	17.0	14.9	**15.5**	12.6	12.7	**96**	92	93	W 1	SW 2	SW 1	10^2●	10^1●	10^1	**59.6**	n, a, t–ca 5⁴⁵ p ◯. [6¹⁶ p–n ◯².
10.	16.1	17.4	18.5	15.9	17.3	13.7	18.0	13.2	12.4	11.4	10 3	92	78	89	W 2	SW 2	SW 2	10^1	10^1	10^1	36.8	ca 10⁴⁶ p–6³⁶ a ◯. a–ca 9⁴⁵ a ◯.
11.	19.5	19.4	19.8	13.1	12.6	11.8	17.1	11.2	9.1	9.1	8.9	82	85	87	SW 2	SW 2	SW 2	8^1⊙	10^1●	10^1	10.1	ca 5¹⁵.³⁰ a, 9²³ a ◯⁰.¹. ca 9³⁵ a, 11⁵⁷ a–0³² p, 10⁰⁸ p ⟋ u. ◯.
12.	20.1	20.7	20.5	13.5	19.2	15.7	19.5	11.4	9.1	9.1	9.5	80	55	71	C	E 1	E 1	9^1	8^1⊙	0	6.7	
13.	19.8	18.7	18.3	16.6	22.4	19.5	23.9	13.9	10.8	11.9	13.0	77	59	78	E 1	E 3	E 2	1^0⊙	6^1⊙	2^0	–	10 a böiger Wind.
14.	17.2	15.8	15.7	17.7	27.6	20.6	27.8	14.5	11.7	10.4	12 5	78	38	70	E 2	E 2	SW 1	2^0⊙	4^1⊙	5^1	–	a ⌓. 10 a, 4 p Geb. schw. sichtb. 4⁴⁶ p kurz ◯¹.
15.	14.9	13.2	14.1	18.5	26.0	17.0	26.8	15 9	11.8	11.1	12.5	75	45	87	C	W 2	SW 2	7^1⊙	6^1⊙	10^1	0.0	a ⌓, Dunstkranz. 2⁴⁶ p, 3³⁹–ca 6⁴⁵ p ⟋. 3³¹–7¹⁰ p ◯⁰.².
16.	15.1	15.6	16.9	16.2	24.1	18.7	24.7	15.2	12.4	11.7	13.8	90	52	87	SW 2	NW 2	SW 1	10^1	8^1⊙	7^1	31.3	n ◯. 2²¹.²⁶ p, 5⁰⁶.¹⁶ p ◯⁰. 4¹⁹ p ⟋. 4⁵⁶ p ⟋⁰.
17.	18.1	18.3	18.3	17.5	24.7	19.5	25.2	15.4	11.4	9.7	11.1	77	42	66	C	N 2	C	4^0⊙	3^0⊙	0	0.0	a ∞¹, ⌓.
18.	19.1	18.6	18.0	18.3	27.2	22.2	27.9	14.9	11.6	11.3	12.6	75	42	64	C	SE 1	E 1	oo	1^0⊙	0	–	a ∞², ⌓, sehr gute Sicht. [6⁴⁶ p–n ⟋.
19.	16.1	15.1	14.1	19.8	30.0	19.5	**30.5**	17.1	12.4	12 3	14.2	72	39	84	C	SW 1	SE 2	4^1⊙	4^0⊙	10^1ß	–	a ∞², ⌓. 5⁵³ p ⟋. 7²⁶ p ⎯¹¹¹³ (SW 8). 7⁵¹–8³⁶ p ◯.
20.	14.5	14.7	16.2	16.9	22 2	17.3	23.6	15.9	13.0	10.4	10.1	91	52	69	SW 2	SW 4	SW 2	10^1●	7^1⊙	4^0	22.3	9¹⁶.⁴⁶ p ⟋ u. ◯. ca 3³⁶ a ≺. a ◯¹. 7⁰⁶ a ◯⁰.¹.
21.	16.3	16.2	15.4	14.5	18.6	16.2	20.5	13 5	10.5	9.5	9.5	86	60	69	SW 3	SW 3	SW 2	10^1	9^1	6^1	21.6	n–6⁰⁶ a ●. 7⁰⁶ a ab ztw. ◯¹. 6³¹ p ⊕.
22.	13.8	15.5	19.4	15.9	18.8	14.2	19.8	13.3	9.3	8.4	8.6	68	53	72	SW 3	W 5	SW 2	9^1⊙	7^1⊙	10^1	3.3	7²¹ a, 8⁴⁸ a ◯⁰. 9²¹.³⁹ a ◯¹. 2⁰¹ p ◯⁰.¹.
23.	20.0	19.9	19.8	15.0	20.9	18.1	21.7	12.3	8.7	8.9	11.0	69	48	72	SW 2	W 3	N 1	10^1	7^1⊙	2^0	1.2	9²⁶.⁴⁶ p ◯⁰.¹ (Schauer). 10 a, 4 p böiger Wind.
24.	18.9	16.3	14.1	15.7	27.5	22.5	28.4	12.6	11.1	10.5	12.8	84	38	64	SE 1	E 2	S 1	1^0⊙	2^0⊙	4^1	–	a ∞¹, ⌓.
25.	10.8	13.3	14.8	20.9	17.2	16.0	25.5	15.5	10.6	11.2	11.5	57	77	85	SW 1	W 3	S 3	9^1⊙	10^1●	8^1	–	ca 3⁴⁵ a bedeckt, schw. Morgenröte. 0⁴¹–6⁴⁶ p ◯¹, ⌒.
26.	15.4	15.2	15.8	16.2	21.2	16.8	21.9	14.0	10.4	7.7	9.9	76	41	70	SW 1	NW 3	C	8^1⊙	6^1⊙	10^1	2.2	$11^{11.16}$ a ◯¹, dann ◯⁰.
27.	14.6	15.3	17.9	14.8	14.2	10.6	17.3	9.8	10.0	10.3	8.2	81	86	87	C	SW 2	W 1	8^1⊙	10^1●	10^1●	0.5	5⁴⁹ a ◯. 9³¹–ca 10 a ◯¹. m–n ◯¹.². [5⁵⁶.⁴¹ p ◯⁰.¹.
28.	17.6	17.7	18.5	9.6	12.4	10.2	14 6	8.9	8.0	8.2	7.6	89	77	82	NW 1	S 2	W 2	10^1●	8^1	10^1	9.8	n, a ◯. $10^{22.41}$ a, $11^{16.31}$ a, 1¹⁶ p, 1³¹ p ◯⁰. 3⁴⁶.⁵⁶ p ◯¹.².
29.	17.0	16.3	16.4	10.3	16.2	11.0	16.8	9 0	8.4	6.2	8.2	90	46	84	SW 2	W 4	W 4	10^1	7^1⊙	10^1	3.0	n, a–6⁴¹ a ●. 9⁴¹.⁵¹ a ◯⁰.¹. 4 p böiger Wind.
30.	16.0	17.2	18.1	11.6	13.5	11.7	13.8	10.9	9.2	8 6	9.4	91	75	93	W 2	W 3	SW 2	10^1●	10^1	10^1●	1.9	n, a ◯. 7⁵⁹ a ◯⁰.
31.	18.7	20.2	**20.9**	11.7	14.3	12.4	14.9	11.0	9.6	9.0	9.6	95	75	90	W 2	W 2	W 1	10^1	10^1	8^1	11.2	ca 7⁴⁵ a ◯⁰.
Mittel	16.1	16.0	16.5	15.5	20.4	16.3	21.7	13.4	10.9	10.3	11.2	82	60	81				7.5	7.4	7.2	233.5	

Hohenpeissenberg.

Juli. $\varphi = 47^0\ 48'$ N. $\lambda = 11^0\ 1'$ E $= 44^m\ 4^s$. H $= 994.1$ m. Cg $= \pm 0.0$ mm. 1926.

	600 mm +																					
1.	79.2	78.0	78.6	9.4	13.4	9.8	13.6	5.8	6.9	8.5	9.0	79	75	100	E 3	E 4	E 4	4^1⊙	10^2	10^2⊙	–	9 p ≡².
2.	77.9	78.4	78.7	9.8	15.3	14.1	17.1	9.0	9.0	10.8	10.5	100	84	88	W 1	E 2	E 4	10^2▬●	7^2⊙	10^2	3.4	7 a ≡². ◯. 6³⁴ p ◯.
3.	78.5	78.7	77.5	13.0	14.9	14.7	18.4	12.1	10.9	11.2	11.2	98	89	90	C	C	NE 2	10^2▬	10^2●	3^1	5.5	7 a ≡². 2 p ◯.
4.	77.0	76.6	76.4	14.3	13.7	13.5	19.4	12.3	10.8	11.6	9.8	90	100	86	W 1	SW 5	W 4	10^2	10^2▬●	10^2	1.6	11^{04} a–1⁵⁴ p ⟋. 1⁰¹ p ab ◯. 2 p ≡² ◯.
5.	76.4	75.8	75.8	13.3	20.2	15.2	20.4	12.1	7.9	8.3	10.1	70	47	79	NW 4	W 3	E 1	9^2	6^1⊙	4^1	3.6	
6.	75.7	75 5	75.6	15.8	13.0	13.9	19.4	12.1	9.6	9.3	9.8	72	85	84	W 1	SW 3	W 1	4^1⊙	10^2	3^1	–	7 a ⌓.
7.	74.9	74.1	**73 8**	13.4	19.4	13.9	20.1	11.9	10.4	11.5	11.8	91	68	100	N 2	E 2	W 2	10^2	8^2⊙	10^2▬	–	7 a ═. 5³⁴ p Fern-⟋ i. SW mit ◯. 9 p ≡².
8.	74.5	75.2	76.8	11.0	14.7	11.9	16.1	10.8	9.8	11.1	10.2	100	89	98	W 2	NE 3	W 5	10^2▬	10^2	10^2●	10.0	9¹⁴ p ⟋². 9²⁴ p ◯. 7 a ≡¹. 9 p ◯.
9.	76.9	77.7	78 4	11.4	12.4	12.4	13.0	10.7	10.1	10.7	10.7	100	100	100	W 2	W 3	W 5	10^2●▬	10^2▬●	10^2▬	19.4	7 a, 2 p ≡² ◯. 9 p ≡².
10.	78 4	79 3	79 8	12.5	12.6	9.6	14.5	8.9	10.8	8.7	8.8	100	81	99	W 3	W 5	W 4	10▬●	10^2	10^2●	7.0	7 a ≡² ◯. 9 p ◯.
11.	80.6	80.5	80.9	9.3	9.2	8.4	12.8	7.8	8.4	7.4	7.8	96	86	94	W 3	W 2	W 1	5^2⊙	10^2●	10^2	11.1	10^{04} a ab mehrere Fern-⟋. 11^{04} a ab ◯. 2 p ◯.
12.	80.9	81 3	81.7	9.2	14.9	11.3	15.2	7.2	7.5	8.1	8.4	88	64	84	W 1	NE 4	NE 5	10^2	8^2⊙	1^1	6.3	
13.	80.8	80.3	80.2	12.5	18.1	16.9	19.4	10.4	9.4	10.7	11.5	88	69	81	E 5	E 6	E 6	1^1⊙	4^2⊙	1^1	–	7 a ⌓.
14.	79.4	79.0	78.7	17.9	22.4	15.6	22.6	13.1	10.4	10.2	10.4	68	51	79	SE 4	SE 3	W 4	3^1⊙	4^2⊙	6^2	–	
15	77.7	77.1	77.7	15.8	17.1	12.8	20.7	12.0	9.9	12.3	10.8	74	85	98	W 2	SW 4	W 3	6^2⊙	9^2ß	10^2	–	2 p Fern-⟋ i. S. 5⁵⁹ p ⟋ ◯ ⎯¹¹¹³.
16.	77.6	77.9	79.1	14.2	19.3	15.7	21.2	12.1	10.6	11.5	11.2	88	69	84	W 3	SW 2	W 1	10^2	6^2⊙	10^2	10.3	
17.	80.0	80.0	80.4	15.3	19.9	16.6	20.8	13.0	12.3	10.4	9.7	94	60	69	C	NE 5	NE 3	8^1▬○	2^1⊙	0	23.1	n ◯. 7 a ≡¹.
18.	80.3	80.4	80.4	19.1	22.7	19.9	**27.5**	14.5	10.9	10.8	10.9	66	53	62	E 1	E 2	W 2	oo	2^1⊙	1^1	–	7 a ⌓.
19.	79.3	78.5	76.9	20.9	25.1	17.3	26.3	15.0	9.5	11.3	**12.7**	52	48	87	E 1	SE 2	W 1	2^1⊙	1^1⊙	8^2	–	5¹⁴–8²⁴ p ⟋. 6³⁴–7¹⁴ p ◯.
20.	76.9	77.3	77.6	14.3	17.3	13.1	19.1	11.9	12.1	9 6	9.4	100	64	85	W 3	W 4	W 5	10^2●	5^2⊙	6^2	24.0	1⁵⁹–3²⁴ a ⟋². 2⁴² a ab ◯. 7 a ◯.
21.	78.1	78.8	78.1	10.3	15 0	12.5	16 5	9.2	9.2	8.1	8.9	99	64	83	W 5	W 7	W 5	10^2●	8^1⊙	3	11.2	7 a ◯.
22.	76.3	78.0	80.7	11.6	10.6	10.2	13.1	6.5	7.9	9 0	8.1	78	95	87	W 5	W 6	W 4	8^2⊙	9^2⊙	5	2.3	7 a ∞. 7¹⁴ a ◯.
23.	80.9	81.0	81.3	10.4	17.3	15.4	20.1	9.0	8.0	8.0	8.5	85	55	65	W 5	W 4	W 1	10^2	4^2⊙	1^1	13.4	
24.	80.5	79.8	77.0	17.3	23.5	19.5	25.0	13.2	9 1	7.7	9.3	62	35	55	SE 3	SE 2	C	1^1⊙	1^1⊙	2^1	–	7 a ⌓.
25.	74.0	75.5	77.1	20.6	13.7	11.8	22.1	11.8	7.5	10 2	10.1	42	88	98	W 5	W 3	W 6	10^2	10^2	10	–	3²⁴ p ◯.
26	77.3	77.4	78.0	12.8	16.7	12.6	18.1	10.5	9.1	7.1	9.6	83	50	89	W 4	W 5	NE 3	8^2⊙	10^2	10	3.4	7 a ⌓. ca 5⁴⁵ p ◯⁰.
27.	77.2	77.1	79.3	12.7	9.2	7.0	13.7	5.6	8.6	8.6	7.5	80	99	100	W 3	W 5	C	10^2	10^2●	10^2▬	0.1	2 p ◯. 9 p ≡².
28.	79.3	79.2	79.6	5.0	7.5	5.4	9.4	4 0	6.8	7.3	6.0	100	94	89	W 4	W 4	W 2	W 6	10^2▬●	10^2	7^2	**24.2**
29.	78.3	78.5	78.1	5.9	10.7	5.9	11.5	4 4	7.0	6.9	6.6	100	72	96	W 5	W 5	W 5	10^2▬●	10^2	10	13.8	7 a ≡². ◯.
30.	78.0	78.7	80.2	7.7	10.0	8.6	10.4	5.9	7.9	7.7	8.3	100	84	100	W 5	W 4	W 4	10^2▬	10^2	10	2.3	7 a ≡². 7¹⁴ a ◯. ca 4⁴⁵ p ◯.
31.	80.4	81.1	**82.1**	8.2	9.1	9.4	11.3	7.3	8.1	8.5	8.2	100	99	93	W 3	W 1	N 2	10^2▬	10^2▬	7^2	4.8	7 a, 2 p ≡². ca 9⁴⁵ a ◯. 4⁰⁴ p ◯.
Mittel	78.2	78.3	78.6	12.8	15.4	12.7	17.7	10.0	9.2	9.5	9.5	85	74	87				7.7	7.5	6.7	200.8	

Alle Angaben nach Ortszeit.

Zugspitze.

Juli. $\varphi = 47^0\ 25'$ N. $\lambda = 10^0\ 59'$ E $= 43^m\ 56^s$. H $= 2962{,}2$ m. Cg $= -0{,}3$ mm. **1926.**

Datum	Luftdruck auf 0^0 u. Normalschwere reduziert 500 mm + 7a	2p	9p	Lufttemperatur C° 7a	2p	9p	Max.	Min.	Absolute Feuchtigkeit mm 7a	2p	9p	Relative Feuchtigkeit Proz. 7a	2p	9p	Richtung und Stärke des Windes 0 bis 12 7a	2p	9p	Bewölkung 0 bis 10 7a	2p	9p	Niederschlag mm 7a	Schneedecke 7a
1.	31.4	32.0	32.6	− 3.5	2.1	− 0.3	2.3	− 5.1	3.3	5.3	4.5	96	100	100	N 2	E 2	SE 3	1^1⊙	10^1≈	10^2=	3.9	✳
2.	32.7	33.8	34.3	0.3	2.7	1.5	3.2	− 0.3	4.7	5.6	5.1	100	100	100	NE 2	NE 1	SE 2	10^2=	10^2≈	10^2=	3.8	✳
3.	34.1	35.1	34.7	1.8	5.8	3.1	6.7	0.3	5.2	6.9	5.7	100	100	100	N 2	C	W 2	10^2=●	10^2=	8^1	2.7	✳
4.	33.5	32.9	32.4	2.6	1.7	1.1	6.1	0.8	5.3	5.2	5.0	96	100	100	W 3	NW 4	NW 5	9^1	10^2= ≋●	10^2=	–	✳
5.	32.0	32.4	32.7	0.0	3.1	0.8	3.6	− 0.6	4.6	5.7	4.8	100	100	100	S 2	N 2	W 4	10^2	10^2=	10^2	9.9	✳
6.	31.9	31.8	32.3	3.4	4.0	2.0	5.7	0.1	5.5	6.1	5.3	95	100	100	S 1	SE 3	W 3	10^2	10^2=	10^2	–	✳
7.	31.2	31.1	30.9	3.7	4.1	3.2	6.9	1.6	5.3	6.1	5.8	88	100	100	S 3	C	S 3	8^1	10^2= ⟦△	10^2=	1.7	✳
8.	30.8	32.2	33.0	2.7	5.7	2.2	6.1	1.6	5.6	6.9	5.4	100	100	100	NE 3	NE 1	N 3	10^1≈	10^2=	10^2=	0.8	✳
9.	32.8	33.7	34.1	1.8	2.4	1.9	2.6	1.0	5.2	5.5	5.3	100	100	100	N 3	N 3	N 4	10^2=●	10^2=●	10^2=●	29.0	✳
10.	34.2	34.3	34.2	1.7	0.6	− 1.2	2.0	− 1.2	5.2	4.8	4.2	100	100	100	N 4	NW 3	NW 3	10^2=●	10^2=	10^2=≋	27.3	✳
11.	33.5	33.8	34.2	− 3.7	− 2.1	− 2.9	− 1.2	− 4.3	3.4	3.9	3.5	100	100	100	N 7	N 4	N 4	10^2=	10^2=	10^2=	27.1	✳
12.	33.8	35.4	35.5	− 2.9	− 0.6	− 0.2	− 0.2	− 3.6	3.5	4.4	4.5	100	100	100	SE 2	NE 2	SE 3	10^2=	10^2=	10^2=	13.8	✳
13.	35.5	36.6	37.1	1.3	5.2	3.9	5.6	− 0.2	5.0	6.6	6.1	100	100	100	E 7	SE 3	SE 3	10^1=	10^1≈	10^1=	–	✳
14.	36.3	36.5	36.0	4.0	7.2	3.6	8.0	2.3	4.8	6.6	5.9	78	87	100	SE 3	SE 2	N 3	2^1⊙	6^1⊙	10^1=	–	✳
15.	34.2	34.1	34.1	2.7	2.9	1.6	4.2	1.5	5.6	5.6	5.2	100	100	100	NW 3	N 3	N 3	10^2=	10^2=●	10^2=●	55.5	✳
16.	34.3	35.4	36.1	2.9	3.1	2.7	4.2	1.6	5.6	5.7	5.6	100	100	100	NE 3	N 2	N 2	10^2=	10^1=	10^1=	18.7	✳
17.	36.4	37.6	37.8	3.1	5.7	4.2	7.9	2.2	5.7	5.9	6.2	100	86	100	C	W 1	W 3	⊙⊙	5^1	⊙	1.5	✳
18.	38.2	**39.2**	39.1	4.1	7.4	6.1	9.0	2.7	4.8	7.0	4.8	80	91	69	W 3	C	W 4	⊙⊙	7^1	4^1	–	✳
19.	38.5	38.5	36.9	7.7	11.0	9.0	**12.2**	6.1	5.3	6.8	6.8	67	69	78	W 4	SE 3	S 7	4^1⊙	2^1⊙	10^2	–	✳
20.	33.7	33.6	33.3	2.7	2.5	0.6	9.0	0.3	5.6	5.5	4.8	100	100	100	NW 7	N 4	NW 5	10^2= △●	10^2=	10^2=	1.6	✳
21.	33.0	33.6	33.1	− 0.9	0.0	0.0	1.1	− 0.9	4.3	4.6	4.5	100	100	98	NW 5	SW 3	W 3	10^2=	10^2=	8^0	19.3	✳
22.	30.7	32.4	34.0	− 1.7	− 2.0	− 3.4	0.0	− 3.4	4.0	3.9	3.5	100	100	100	NW 6	NW 3	NW 5	10^2=	10^2=≋	10^2=	–	✳
23.	35.1	37.7	38.4	− 1.6	1.1	2.6	2.7	− 3.4	4.0	5.0	3.6	100	100	64	N 5	W 3	NW 3	10^2=	2^1⊙	⊙	9.4	✳
24.	38.1	38.0	37.2	5.4	8.4	7.2	10.4	2.3	1.6	4.3	5.0	38	52	66	S 2	SW 2	W 4	⊙⊙	3^1⊙	5^1	–	✳
25.	34.5	33.1	33.1	6.2	6.2	1.1	8.2	1.1	4.9	**7.1**	5.0	68	100	100	SW 7	SW 5	W 6	9^1	10^2	10^2=	–	✳
26.	32.6	33.5	33.3	− 1.0	4.3	1.6	5.2	− 1.1	4.2	6.2	5.2	100	100	100	NW 3	S 2	NW 3	10^2=	10^2=	10^2=●	14.4	✳
27.	31.9	31.0	31.3	0.7	− 2.7	− 4.6	1.6	− 4.6	4.8	3.7	3.1	100	100	100	NW 2	NW 4	NW 2	10^2=	10^2=≋	10^2=≋	1.8	✳
28.	**29.8**	31.0	31.5	− 6.5	− 5.5	− 6.3	− 4.6	**− 7.0**	2.7	2.9	2.7	100	100	100	NW 4	N 3	NW 5	10^2=	10^2=	10^2=	**59.8**	✳
29.	30.1	30.5	30.3	− 5.3	− 4.5	− 3.6	− 3.5	− 6.6	3.0	3.2	3.4	100	100	100	NW 6	N 6	NW 8	10^2=	10^1=	10^2=	10.6	✳
30.	30.3	32.0	32.6	− 3.5	− 2.7	− 1.7	− 1.6	− 3.7	3.4	3.7	4.0	100	100	100	NW 8	N 4	NW 5	10^2=	10^2=	10^2=	15.4	✳
31.	33.1	34.7	35.5	− 2.9	− 2.2	− 2.2	− 1.7	− 3.0	3.6	3.8	3.8	100	100	100	N 4	NW 4	NE 3	10^2=	10^2=≋	4^1=	33.5	✳
Mittel	33.5	34.1	34.2	0.8	2.4	1.1	3.9	− 0.8	4.5	5.3	4.8	94	96	96				8.2	8.9	8.7	344.5	

Bemerkungen.

1. a ringsum str in 2000–2500 m, ⊕, 0 p–n meist ≡1.2.
2. n ✳ ◍, t ≡2.
3. n ◍, n–5 p meist ≡2, dann langsames Aufklaren, abds. ringsum ∞2 u. str in Vorberghöhe.
4. a ringsum ∞2, teilw. Nebeldecke in 2500 m, 9 a–n meist ≡2, 1^{45} p–n meist ◍0.1.
5. n ◍, a ringsum ∞2, bedeckt (str, ni W m); 10 a–n meist ≡1.2.
6. a ringsum ∞2, t bedeckt, ztw. ≡2, 9^{05} p–n ◍1.
7. n ◍, a ringsum ∞1.2, fr-cu in Vorberghöhe, Zentralkette in Wolken; a ztw., p meist ≡1.2; 1^{45}–2 p △1.2, 1^{50}–2 p ⟦.
8. t vorwiegend ≡2, 6 p–n meist ◍1.
9. n ◍, t ≡2 ◍1.
10. n–1 p ◍0.1, t ≡2, 8 p–n ✳1.
11. n ztw. ⎓III, ✳, a 5 cm Neuschnee, 15 cm ⋁, ztw. Blick aufs Platt frei; t ztw. ⎓III, meist ≡2, 5–6^{30} p ✳1.
12. n ✳, a 30 cm ⋁, t ≡2 ⋁-Bildung.
13. n ≡2, t ztw. ≡1.2.
14. a ringsum ∞1.2, Zentralkette in Wolken, über Vorland teilw. str-Decke; 2^{10}–4^{35} p ⟦ ▲ △ ◍, dann bis 5^{10} p ◍2, bis n meist ≡1.2.
15. n ◍ △, t meist ≡2, p ztw. ◍1, 7^{45}–8 p △1, dann bis n ◍0.1.
16. n ◍, t meist ≡1.2, ab 4 p ztw. ◍1.
17. a ztw. ⊕, t ztw. C, ringsum ∞2, str in 2500 m, p ztw. ≡1.2.
18. t ringsum ∞2, str in Gipfelhöhe, ztw. C; 5 p n meist ≡1.2.
19. t ringsum ∞2, Bewölkungsschwankungen, $4^{25.30}$ p ⟦ △1 ◍1; abds. Auffrischen des SW.
20. n ⎓III, ◍0, 7^{45} a u. 8^{07} a ⟦ △1 ◍1, t meist ≡2, 7^{45} p–n meist ◍0.1.
21. n ⎓III ✳, a 3 cm Neuschnee, 5 cm ⋁ ∿; n–4 p ≡2, dann str in Gipfelhöhe.
22. t ≡2, ⋁-Bildung, ztw. ✳0.1 (9 p 25 cm ⋁).
23. n–11^{30} a ≡2, 30 cm ⋁, dann Aufklaren im Zenit, 1^{30} p vollständiges Aufklaren.
24. a ringsum ∞1, m cu am Horizont, p langsame Bewölkungszunahme ci-str, a-str W h.
25. a ringsum ∞1.2, m Plattrand in Wolken, 3 p–n ≡2, 4^{30} p–n meist ◍1.
26. n ◍ ✳0, a 5 cm ⋁, t meist ≡2, 8^{35} p–n ◍1.
27. n ◍, t ≡2, 10 a Eisregen, dann bis n ✳1.2
28. n ✳2, a 30 cm Neuschnee, 20 cm ⋁, t ≡2, ✳treiben, ztw. ⎓III u. ✳1 } vom 27. 10 a–28. 7 a 59.8 mm Niederschlag!
29. n ⎓III, ✳, a 35 cm ⋁, t ⎓III ✳treiben ≡2.
30. n ⎓III, ✳, a 60 cm ⋁, t ⎓III, ✳treiben, ztw. ✳0.1, ≡2.
31. n ✳, a 60 cm ⋁, n–8^{15} p ≡1.2, 0^{30}–4^{30} p meist ✳0.

Alle Angaben nach Ortszeit.

Bamberg.

August. $\varphi = 49^0\ 53'$ N. $\lambda = 10^0\ 53'$ E $= 43^m\ 32^s$. H $= 287.7$ m. Cg $= +0.3$ mm. 1926.

Datum	Luftdruck auf 0° u. Normalschwere reduziert 700 mm +			Lufttemperatur C°					Absolute Feuchtigkeit mm			Relative Feuchtigkeit Proz.			Richtung und Stärke des Windes 0 bis 12			Bewölkung 0 bis 10			Niederschlag mm	Bemerkungen
	7a	2p	9p	7a	2p	9p	Max.	Min.	7a	2p	9p	7a	2p	9p	7a	2p	9p	7a	2p	9p	7a	
1.	41.3	40.9	41.0	13.2	18.3	14.5	19.4	9.5	9.7	10.7	9.9	87	68	81	NW 2	C	NW 1	10^1	7^1⊖	10^1	0.1	n ztw. ◍Tr.
2.	40.4	40.5	41.1	13.4	18.7	13.4	19.4	12.5	10.1	10.3	9.2	89	64	81	W 2	W 1	W 1	10^1	5^1⊖	1^1	–	
3.	40.8	39.4	39.0	9.8	21.7	14.6	22.4	7.8	8.9	10.4	10.3	99	54	84	C	C	NW 2	9^1=	5^1⊖	1^1	–	mrgs. ⌓1. a–8^{14} a ≡1.
4.	39.5	39.1	40.0	13.2	20.7	15.3	24.3	9.5	9.2	10.1	10.7	82	55	83	NW 1	NW 2	C	4^1⊖	7^1⊖	7^1	–	mrgs. ⌓1.
5.	40.9	40.1	41.5	15.2	22.3	15.4	22.8	11.2	10.8	10.1	10.8	84	51	83	NW 2	NW 2	C	1^1⊖	5^1⊖	9^1	–	
6.	41.2	40.0	40.0	14.3	22.6	14.4	23.9	11.5	10.5	12.4	11.2	87	61	93	NW 1	S 2	S 2	2^1⊖	9^1⊖ ⧖	7^1	–	mrgs. ⌓1. 0^{38}–1^{03} p, 1^{27}–2^{44} p, 2^{59}–5^{38} p ◹. $2^{14.28}$ p ◍1. 1)
7.	37.8	36.7	35.4	13.7	14.0	12.4	18.4	9.2	10.9	11.4	10.3	94	96	97	SE 2	SW 1	C	○○	10^2⧖ ●	10^1●	1.3	mrgs. ≡0, ∞0. 10^{48} a–5^{09} p ◹. 10^{08}–2^{44} p ◍0.1. 2)
8.	36.4	37.7	39.0	10.9	12.7	13.5	15.0	9.9	9.3	10.4	11.1	97	96	97	C	NW 1	NW 2	10^1	10^1●	10^1	6.9	9^{00} p–1^{59} a ◍0.1. 10^{34} a–5^{10} p ◍1. $2^{33.36}$ p ▲1 (i. N d. Stadt 3)
9.	41.0	40.5	41.1	13.6	22.2	12.8	24.2	9.5	11.4	12.8	10.8	99	64	98	C	SW 1	C	6^0	7^1⧖	1^1	3.5	n–6^{14} a ≡1. 7^{00} a ≡0, ∞0. 1^{34}–2^{26}, $5^{02.14}$ p, 5^{48}–6^{32} p ◹.
10.	40.5	38.6	37.2	10.4	22.8	16.0	23.0	8.5	9.4	10.3	9.5	100	50	70	C	SE 2	S 2	10^0=	2^1⊖	1^1	7.3	a–8^{14} a ≡1.2. [$5^{38.42}$ p ◍. 5^{54}–6^{18} p ◍1.2. $6^{18.39}$ p ◍0.
11.	34.8	34.4	34.7	16.7	18.3	14.9	23.2	13.7	10.7	13.5	11.5	75	86	91	S 2	S 2	SW 1	7^1⊖	10^1●	9^1	–	10^{19} a–ca 5^{45} p ztw. ◍0.1.
12.	35.3	35.2	37.7	13.9	12.1	10.6	17.4	10.5	10.7	10.4	9.2	92	99	97	SW 1	W 1	SW 3	2^1⊖	8^1⊖ ⧖	4^1	2.9	$6^{06.14}$ a, $10^{26.32}$ a ◍0.1. 0^{27}–2^{02} p, 3^{36}–5^{27} p ◹. 0^{38}–1^{32} p ◍1.2.
13.	39.5	38.8	38.3	10.6	20.0	14.7	20.5	7.0	9.3	10.1	9.9	98	57	80	S 1	C	N 2	1^1⊖	7^1⊖	7^1	9.9	n wolkig. [4^{15}–5^{18} p ◍1.
14.	37.8	36.6	36.7	16.1	24.7	18.6	25.8	12.0	10.2	12.4	13.1	75	54	83	S 1	S 1	C	7^1⊖	7^1⊖	5^1	–	
15.	38.2	38.1	38.3	16.4	23.9	17.6	25.3	13.6	12.9	12.1	11.0	93	55	73	S 1	SW 1	C	3^1⊖	3^1⊖	2^1	–	
16.	37.8	37.1	37.1	15.9	25.9	18.3	27.0	11.9	11.4	14.1	11.7	85	57	74	S 1	S 1	C	1^1⊖	7^1⊖	1^1	–	
17.	36.7	35.4	35.4	16.3	25.8	18.7	**29.1**	13.4	12.6	14.3	14.5	92	59	90	W 1	W 1	W 1	7^1⊖	6^1⊖	9^1	–	7^{39}–8^{58} p ◹. $8^{29.54}$ p ◍0.1.
18.	37.1	37.0	37.3	16.5	22.5	17.6	23.7	15.5	13.1	12.9	13.2	94	64	88	C	SW 1	S 1	10^1	8^1⊖	7^1	2.5	10^{34} a–0^{06} p ◍0.1.
19.	37.1	38.1	38.3	16.5	21.8	15.3	22.9	14.2	13.5	10.0	8.7	97	51	67	SW 2	SW 2	SW 1	10^1●	7^1	9^1	3.3	$3^{44.54}$ a ◐0. 6^{19}–7^{19} a ◍0.1.
20.	40.5	39.8	39.3	12.7	20.7	16.2	22.0	9.9	10.2	10.8	11.1	94	60	81	S 1	W 1	SW 1	8^1	7^1⊖	9^1	–	
21.	37.0	36.6	35.5	15.4	19.2	17.6	20.2	13.4	11.2	12.8	14.4	86	77	96	SW 1	SW 1	S 2	10^1	9^1	10^1●	0.1	$6^{14.24}$ a ◍0. 9^{16} a–0^{54} p, 4^{39}–9^{00} p ◍0.1.
22.	35.6	37.1	40.2	14.7	17.5	14.9	18.8	14.6	12.3	11.3	9.6	99	76	76	SW 1	SW 1	SW 1	9^1	8^1	10^1	**13.0**	9^{00} p–5^{04} a ztw. ◍0.1.
23.	41.6	42.4	43.4	13.4	18.1	13.8	19.6	11.8	9.5	9.3	9.5	83	60	81	W 2	W 3	C	7^1	7^1⊖	3^1	1.0	n ◍0.
24.	43.3	41.9	42.0	11.2	22.2	18.3	23.0	8.0	9.2	10.4	13.0	93	53	83	S 2	SW 2	C	1^1⊖	9^1⊖	10^1	–	
25.	42.2	40.6	39.2	16.5	24.9	18.1	25.1	14.0	12.8	14.1	13.7	92	60	89	S 1	SW 1	S 1	10^1	6^1⊖	2^1	–	
26.	37.7	37.7	38.9	17.2	17.7	14.4	23.9	13.9	13.2	**14.8**	10.4	91	98	86	S 2	SW 2	NW 2	9^1⊖	10^1●	2^1	–	0^{38}–1^{07} p ◹. 0^{46}–2^{01} p ◍2. $2^{18.22}$ p ◍0.
27.	42.9	44.4	44.1	11.7	16.3	10.3	16.5	7.9	8.5	9.0	8.3	84	65	89	NW 1	NW 1	C	7^1⊖	9^1	0	7.5	
28.	**45.1**	44.6	44.7	7.8	18.2	11.6	18.5	6.3	**7.9**	8.4	8.3	100	54	82	C	NW 1	C	10^1=	3^1⊖	1^1	–	a–7^{59} a ≡1.
29.	44.7	42.9	43.1	9.8	19.5	13.2	20.1	6.5	8.0	9.5	9.3	88	56	83	NW 1	SE 2	C	4^1⊖	3^1⊖	0	–	
30.	43.0	41.8	41.0	13.8	22.9	15.7	23.0	10.2	8.7	10.3	8.6	74	49	64	SE 1	E 2	S 2	1^1⊖	1^1⊖	1^1	–	
31.	40.9	40.0	39.6	13.7	24.0	17.3	24.3	10.2	8.4	12.2	10.7	72	55	73	E 1	SE 1	S 2	○○	○○	0	–	
Mittel	39.6	39.2	39.4	13.7	20.4	15.2	22.0	10.9	10.5	11.3	10.8	90	65	84				6.0	6.5	5.1	59.3	1) 4^{09}–5^{46} p, 5^{51}–6^{11} p ◍0.1. 8^{44} p ◹ l. SW. 2) ca 5^{45}–9^{00} p ◍1. 3) ▲2, v. Walnussgrösse).

Kaiserslautern.

August. $\varphi = 49^0\ 27'$ N. $\lambda = 7^0\ 46'$ E $= 31^m\ 4^s$. H $= 238.1$ m. Cg $= +0.3$ mm. 1926.

1.	47.1	47.3	46.8	11.4	15.9	14.5	16.7	8.8	9.3	9.8	10.4	**93**	73	85	NW 1	NW 3	W 2	9^2=	10^2	8^2	–	a ≡1.
2.	46.6	45.9	45.7	11.6	19.3	16.0	20.8	9.0	8.6	9.1	10.8	85	55	80	NW 1	NE 3	E 2	9^2	5^1⊖	5^1	–	a ≡0.
3.	45.0	43.4	43.2	12.3	21.2	16.5	22.0	9.9	9.4	8.9	11.1	89	48	79	E 1	NE 3	E 2	○○	7^1	0	–	ca 8^{30} a ab, t Bewölkung.
4.	43.8	43.6	44.8	13.4	23.2	17.6	23.5	11.0	9.6	7.6	11.3	85	35	75	NE 1	NE 3	NE 3	8^2	8^2⊖	8^2	–	t wechselnd bewölkt.
5.	46.0	45.5	46.4	14.8	21.2	15.2	21.4	12.8	10.2	10.5	10.2	82	56	80	NE 2	NE 3	NW 1	5^1⊖	8^1	0	–	
6.	46.3	44.5	44.0	10.9	21.4	17.4	22.3	9.1	8.1	9.7	11.0	84	51	74	N 1	NW 2	SW 2	10^2=	3^1⊖	3^1	–	a ≡1.
7.	41.9	39.8	40.3	13.4	14.6	12.7	17.4	11.1	10.1	10.9	9.6	89	88	89	SW 1	W 3	W 3	10^2	10^2	1^1	**4.5**	1^{46}–4^{01} p ztw. ◍, dann Aufheiterung.
8.	41.2	42.8	44.8	11.7	16.0	15.4	17.4	10.0	8.9	8.7	10.3	87	64	79	W 2	E 2	W 2	8^2	9^2⊖	10^2	–	t wechselnd bewölkt.
9.	46.1	45.2	44.9	11.7	20.8	16.7	21.6	10.0	8.7	10.9	12.1	86	60	85	NW 1	NE 2	E 1	○○	7^1⊖	0	–	ca 8^{30}–4^{30} p wechselnd bewölkt.
10.	43.8	41.0	39.3	12.8	24.0	18.1	24.5	9.7	9.8	10.0	11.7	90	45	75	NE 2	SE 3	W 2	○○	7	3	–	ca 10^{30} a–abds. Bewölkung.
11.	37.2	38.0	38.9	18.0	17.9	15.2	18.9	13.1	9.8	11.8	10.5	63	77	82	SW 3	SW 4	W 4	10^2	10^2	2	–	0^{48}–4^{01} p ztw. ◍. ca 4^{30}–5^{30} p ⊙.
12.	39.1	40.3	43.2	14.1	18.0	13.5	18.5	13.2	10.6	8.4	10.3	90	55	90	SW 4	W 5	W 3	10^2	7	0	1.4	$6^{31.41}$ a ◍. p öfters ◍0. $4^{01.14}$ p ◍2.
13.	43.9	42.7	42.8	10.4	21.2	18.2	22.1	8.0	8.3	8.9	11.7	89	48	75	SW 2	SW 5	SW 2	9^2⊖	5^1⊖	9^2	4.0	t wechselnd bewölkt.
14.	41.4	40.7	41.2	15.2	24.7	19.6	25.3	11.5	10.2	11.4	13.9	80	50	82	SW 2	SW 4	SW 2	3^1⊖	8^1⊖	0	–	t wechselnd bewölkt.
15.	43.4	43.4	42.3	14.9	24.1	18.8	25.2	13.0	11.4	9.9	12.1	90	45	75	W 1	SW 3	W 1	○○	○○	0	–	
16.	42.5	41.5	41.1	13.9	26.3	21.1	27.0	11.2	9.8	11.7	**14.6**	84	46	78	W 1	SW 3	W 2	1^0⊖	4^1⊖	0	–	[4^{16}–5^{18} p ◹ mit ◍. ca 8^{30} a Bew.-Zun. 0^{18} p mehrere ◹. 0^{46}–2^{11} p ◹ mit ◍0.
17.	40.4	40.3	42.1	16.4	20.7	17.6	26.0	13.4	11.7	13.7	13.2	84	76	88	NE 1	SW 1	W 1	○○	10^2⧖ ●	5^1	–	
18.	42.0	41.4	41.6	16.2	22.2	18.0	22.4	14.1	12.5	12.0	12.9	91	61	84	W 1	W 3	NE 3	10^2=	9^1⊖	9^1	4.4	a ≡1. t wechs. bewölkt. ca 4^{30} p vorübergeh. Aufkl., ⊙.
19.	42.4	43.1	43.9	17.6	21.7	17.1	22.1	16.2	13.2	7.9	10.7	88	41	74	SW 4	W 5	W 3	9^1	2^1⊖	10^2	1.9	mrgs. ◍0, dann Aufklaren. ca 5^{30} p ◐.
20.	45.4	43.9	42.7	12.9	22.2	19.1	23.0	11.0	9.1	9.3	11.8	83	47	72	E 2	SW 3	W 2	○○	5^1⊖	10^2	–	ca 8^{30} a Bewölkungszunahme.
21.	40.8	40.5	39.2	18.8	20.6	22.4	22.5	17.0	10.7	12.8	13.3	66	71	66	SW 4	SW 3	SW 5	10^2	10^2	10^2	0.0	mrgs. kurz ◍0. t wechselnde Bewölkung. $3^{21.41}$ p ◍0.
22.	42.1	43.2	45.4	16.0	19.7	17.0	22.5	15.0	8.9	8.7	9.5	65	51	66	SW 4	SW 6	W 4	10^2	9^2	10^2	0.2	3^{21} a kurz ◍0. ca 8^{30} a Aufklaren, ⊙.
23.	48.1	48.4	48.5	13.8	20.0	15.3	21.2	11.1	9.5	7.3	10.0	81	42	78	SW 2	NW 4	NW 2	1^0⊖	5^1⊖	0	–	ca 8^{15} a–abds. Bewölkung.
24.	48.2	47.4	47.4	10.8	21.0	18.1	22.1	9.4	8.0	11.0	13.3	83	60	86	SW 1	SW 4	E 2	○○	10^2	10^2	–	a ≡. ca 9^{30} a ab zunehmende Bewölkung.
25.	46.5	45.0	43.8	14.1	24.2	19.5	25.0	12.1	10.4	12.4	14.0	87	55	83	W 1	W 2	SW 1	9^1	4^1⊖	1^0	–	t wechselnd bewölkt.
26.	42.6	42.5	44.6	15.7	23.2	16.6	25.0	13.8	11.4	13.0	10.6	86	61	75	NW 3	N 3	NE 2	9	10^2	0	0.0	6^{48} a kurz ◍Tr. p wechselnde Bewölkung.
27.	48.8	48.7	49.2	10.3	17.8	12.8	18.2	8.1	7.6	7.3	8.6	81	49	78	NE 1	NE 3	NW 2	○○	5^1⊖	0	–	ca 8 a–p Bewölkung.
28.	**49.9**	48.9	48.2	8.8	19.2	14.9	19.5	**6.5**	6.5	7.3	8.4	77	44	67	NE 2	NE 3	E 3	○○	3^1⊖	0	–	t vorübergehend bewölkt.
29.	47.8	46.4	45.8	10.1	21.7	16.4	22.3	7.3	7.6	6.7	9.5	82	35	69	NE 2	E 4	E 3	○○	10	0	–	
30.	44.9	43.6	42.9	10.7	24.4	20.4	25.2	8.1	8.1	10.4	10.7	85	46	60	NE 1	E 3	E 3	○○	○○	0	–	
31.	43.4	42.9	43.1	15.1	27.4	19.8	**28.0**	13.2	9.7	10.9	13.0	75	40	76	NE 1	NE 1	W 1	○○	○○	0	–	
Mittel	44.1	43.6	43.8	13.5	21.2	17.1	22.2	11.2	9.6	10.0	11.3	83	54	78				4.8	6.2	3.7	16.4	

Alle Angaben nach Ortszeit.

München.

August. $\varphi = 48^{\circ}\ 9'$ N. $\lambda = 11^{\circ}\ 34'$ E $= 46^{m}\ 16^{s}$. H $= 526.4$ m. Cg $= +0.1$ mm. 1926.

Datum	Luftdruck auf 0° u. Normalschwere reduziert 700 mm + 7a	2p	9p	Lufttemperatur C° 7a	2p	9p	Max.	Min.	Absolute Feuchtigkeit mm 7a	2p	9p	Relative Feuchtigkeit Proz. 7a	2p	9p	Richtung und Stärke des Windes 0 bis 12 7a		2p		9p		Bewölkung 0 bis 10 7a	2p	9p	Niederschlag mm 7a	Bemerkungen
1.	21.0	20.4	20.8	12.9	18.5	14.8	19.5	11.9	10.2	9.4	9.8	93	60	78	SW	1	NW	2	C		10^{1}	$6^{1}\ominus$	10^{1}	0.2	mrgs. kurz ◯0. ca 545 p ⊕.
2.	20.2	20.3	20.7	11.8	15.4	13.6	17.2	11.5	8.8	9.0	9.9	86	69	86	W	2	NW	2	C		10^{1}	10^{1}	8^{1}	–	044-49 p, 246-53 p ◯0.
3.	19.9	18.6	18.0	11.8	20.4	15.3	20.9	10.0	9.4	7.4	8.9	93	42	69	C		E	2	C		$10^{1}=\ominus$	$4^{1}\ominus$	o	0.0	n ≡2. 700 a ≡1.
4.	17.6	17.5	17.9	12.4	21.6	18.0	22.3	9.9	10.6	6.9	8.1	**99**	35	52	E	1	NE	3	C		$2^{0}\ominus$	$4^{0}\ominus$	9^{1}	–	a ⊿, ∞1.
5.	18.7	18.6	19.6	14.5	21.6	14.7	21.9	12.4	8.4	9.3	10.5	69	48	85	NE	1	E	1	SW	1	$4^{0}\ominus$	$6^{1}\ominus$	10^{1}	–	241 p ◯0. 251-336 p ◯1.0. 601-ca 748 p ◯1.
6.	19.8	20.0	19.8	14.4	15.9	14.0	19.3	13.0	10.6	10.8	10.8	87	81	92	SW	1	NE	1	C		$10^{1}=$	10^{1}	5^{1}	3.8	700 a ≡1. 019 p ◯Tr. 031-33 p ztw. ◯ mit ▲1, dann ◯0.1. 1)
7.	17.9	15.3	15.2	12.3	18.9	13.0	19.2	9.5	8.7	9.8	9.6	83	60	87	SE	1	SW	1	SW	2	$4^{0}\ominus$	10^{1}	$10^{1}\bullet$	6.5	a ⊿2, ∞1. 10 a ⊕. 116 p ◯Tr. 242 p ⟋. 116 p–n ◯2.
8.	15.6	16.5	18.3	10.4	11.6	10.4	13.0	9.9	7.8	8.4	8.8	83	84	94	W	2	SW	2	W	3	10^{1}	$10^{1}\bullet$	$10^{1}\bullet$	**11.3**	n ◯. 1136 a–n ◯.
9.	20.1	20.5	20.3	10.7	16.4	14.2	18.4	10.0	8.9	9.7	10.7	93	70	90	SW	2	NW	1	C		10^{1}	$7^{1}\ominus$	1^{0}	10 3	n ◯.
10.	19.5	17.8	16.6	11.8	22.2	16.7	22.7	10.0	8.6	8.0	10.8	84	40	76	E	1	E	3	SE	1	$0\ominus$	$0\ominus$	1^{0}	0.0	a ⊿2, ∞1.
11.	15.2	16.0	15.2	16.5	18.2	15.3	23.7	13.4	9.5	11.7	11.7	69	76	90	SE	1	NW	2	C		$5^{0}\ominus$	10^{1}	10^{1}	–	a ⊿1, ∞1. 10 a Geb. schw. sichtbar. 1131-36 a ◯0. 2)
12.	16.0	16.2	18.7	13.7	13.9	12.4	19.0	12.0	10.3	8.1	8.8	89	69	83	SW	2	S	3	W	2	9^{1}	$10^{1}\bullet$	$10^{1}\bullet$	8.2	n, a–641 a ◯. 156–511 p ztw. ◯0. 439 p, 446 p ⟋.
13.	19.6	18.9	18.5	12.2	19.6	15.1	20.8	9.6	8.4	6.6	9.9	80	39	77	SW	1	NW	2	C		$4^{0}\ominus$	$5^{0}\ominus$	1^{0}	4.7	a ⊿1, ∞1. 2 p Geb. schw. sichtb. 4 p ganze Geb.-Kette 3)
14.	17.9	16.9	16.9	14.8	24.7	19.9	25.3	11.6	8.7	8.7	12.0	70	37	70	S	1	W	1	C		$2^{0}\ominus$	$5^{0}\ominus$	3^{0}	–	a ⊿1, ∞1. 10 a Geb. i. SE schw. sichtbar.
15.	18.6	18.2	18.4	17.3	26.0	19.9	27.1	15.0	10.7	10.5	**13.4**	73	42	78	SW	1	NW	2	C		$4^{0}\ominus$	$3^{0}\ominus$	o	–	a ⊿1, ∞1.
16.	18.0	17.1	17.1	17.8	26.9	20.3	27.2	15.1	11.8	10.5	13.0	78	40	74	C		W	2	C		$1^{0}\ominus$	$4^{0}\ominus$	o	–	a ⊿2, ∞2.
17.	16.2	**14.9**	16.7	18.3	27.6	17.4	**27.8**	15.9	12.0	11.7	12.5	78	42	85	S	1	W	1	SW	2	$0\ominus$	$3^{0}\ominus$	10^{1}	–	a ⊿1, ∞1. 616-46 p ◯Tr. 631 p ⟋, ≡1.0 u. ◯2.
18.	17.3	17.0	17.9	16.8	22.6	19.1	23.2	15.8	12.0	12.6	13.2	84	62	81	SW	2	W	2	SW	2	9^{1}	$6^{1}\ominus$	$10^{1}\bullet$	1.2	025-232 a ◯. 841 a kurz ◯0. 019-48 p ztw. ◯0.2, 301-26 p ◯0.1. 4)
19.	17.7	18.2	19.0	17.8	22.5	18.8	23.8	15.5	12.2	12.2	10.9	81	61	68	SW	1	W	2	NW	1	$5^{0}\ominus$	$8^{0}\ominus$	9^{1}	2.6	a ∞1. 106-26 p ◯0.
20.	19.9	19.1	19.2	16.7	23.4	18.3	23.6	15.3	10.2	9.8	11.1	72	46	71	SW	1	W	1	S	1	$7^{1}\ominus$	$5^{1}\ominus$	7^{1}	0.0	a ∞1. 816 p ∈.
21.	18.4	17.6	17.0	17.9	25.2	21.5	26.5	16.0	11.6	10.0	11.6	77	42	61	SW	1	SW	2	SW	1	10^{1}	$5^{1}\ominus$	10^{1}	–	a ∞2. 706 a kurz ◯0. 838 a ◯0.1. 1051 a kurz ◯0.
22.	16.9	17.4	20.3	21.3	25.6	15.0	26.0	14.2	11.7	11.5	10.9	63	48	86	S	5	SW	5	SW	1	$8^{1}\ominus$	$6^{1}\ominus$	10^{1}	0.0	344-718 p ztw. ◯0.1.
23.	22.2	22.5	23.6	14.4	18.0	15.2	19.8	12.5	8.3	7.1	8.6	68	47	67	SW	2	NW	3	SW	1	$1^{0}\ominus$	$7^{1}\ominus$	5^{1}	5.5	
24.	**24.0**	22.4	22.6	12.3	21.9	17.1	22.8	10.7	8.1	6.5	9.6	76	34	66	SW	2	NW	1	SW	1	$0\ominus$	$1^{0}\ominus$	o	–	a ⊿2, ∞2. 10 a Dunstkreis. 4 p Geb. schw. sichtbar.
25.	22.2	20.6	19.8	14.8	24.4	19.5	25.0	12.4	9.2	10.1	11.8	74	45	71	S	1	NE	1	NE	1	$0\ominus$	$0\ominus$	o	–	a ⊿2, ∞2.
26.	18.2	17.1	18.4	17.4	27.4	19.3	27.7	14.9	9.5	10.4	13.3	65	38	80	SW	1	SW	2	NW	2	$1^{0}\ominus$	$4^{1}\ominus$	5^{1}	–	a ⊿2, ∞2. 10 a, 4 p Geb. schw. sichtb. 546-604 p ⟋, ◯0.1.
27.	21.9	22.6	23.1	12.8	17.9	12.7	18.8	12.2	8.5	6.7	7.3	78	43	67	N	1	SW	1	N	2	9^{1}	$1^{0}\ominus$	o	1.0	[603 p kurz ▲.
28.	23.2	22.8	22.9	10.4	18.8	13.9	19.2	9.4	6.9	6.7	7.7	74	44	66	C		NE	2	C		$0\ominus$	$2^{0}\ominus$	o	–	a ⊿2, ∞1.
29.	22.4	21.7	21.9	9.7	20.4	14.6	20.8	8.1	7.2	7.3	7.2	82	41	58	N	1	NE	3	E	2	$1^{0}\ominus$	$2^{0}\ominus$	o	–	a ⊿2, ∞2.
30.	21.2	20.6	19.9	10.7	22.8	15.3	23.4	9.1	7.6	9.9	7.8	79	48	60	E	2	E	2	E	2	$0\ominus$	$0\ominus$	o	–	a ⊿2, ∞1.
31.	19.5	19.1	19.2	12.2	25.4	19.2	25.9	10.9	8.3	10.0	12.4	79	42	75	SE	1	NE	1	SE	1	$0\ominus$	$0\ominus$	o	–	a ⊿2, ∞2. 2 p ∞1 i. S.
Mittel	19.3	18.8	19.2	14.2	21.2	16.3	22.3	12.2	9.5	9.3	10.4	79	51	76							4.7	5.0	5.0	55.3	

1) 031-ca 116 p ⟋. 046-121 p ◯1.0. 900 p ≡0.
2) 001-141 p ◯0.1. 251-ca 815 p ◯0.1.
3) gut sichtbar. 649 p dopp. ⌒.
4) 322 p ⟋ (1×T). 346 p-n meist ◯0.1. ca 815 p ≲ i. SW.

Hohenpeissenberg.

August. $\varphi = 47^{0}\ 48'$ N. $\lambda = 11^{0}\ 1'$ E $= 44^{m}\ 4^{s}$. H $= 994.1$ m. Cg $= \pm 0.0$ mm. 1926.

	600 mm + 7a	2p	9p	7a	2p	9p	Max.	Min.	7a	2p	9p	7a	2p	9p	7a		2p		9p		7a	2p	9p	7a	
1	81.8	81.4	81.6	9.0	14.9	9.6	15.6	7.5	8.6	9.4	8.9	100	74	100	W	2	E	2	NE	2	$10^{2}=$	$2^{1}\ominus$	$10^{2}=$	1 3	7 a ≡1. 9 p ≡2.
2.	81.5	81.4	82.0	8.2	14.5	11.0	15 5	7.8	8.1	8.3	8.7	100	68	89	NW	1	W	4	C		$10^{2}=$	$4^{2}\ominus$	3^{1}	–	7 a ≡2.
3.	80.7	80.5	80.0	12.6	15.9	12.4	17.0	8.4	9.4	7.2	6.4	88	54	60	E	1	SE	3	N	4	$7^{2}\ominus$	$3^{1}\ominus$	3^{1}	–	7 a ≡.
4.	79.1	79 3	79.6	11.4	15.9	13.9	16.3	9.3	8.4	7.6	7.5	84	56	64	E	4	SE	6	E	3	$3^{1}\ominus$	$4^{2}\ominus$	10	–	7 a ∞.
5.	80.0	80.4	81.4	11.3	15.3	11.2	15.6	9.9	9.2	9.9	9.9	92	77	100	NE	3	E	4	W	2	8^{2}	10^{2}	$10^{2}=\bullet$	–	7 a, 2 p ∞. 9 p ≡2 ◯.
6.	80.9	81.0	81.2	11.0	15.7	10.0	16.2	9.9	8.9	9.3	8.3	91	69	89	W	2	W	2	E	1	10^{1}	$9^{2}\ominus$	4	• 9.2	ca 3 p ⟋, ◯, ▲.
7.	79.7	78.0	**77.5**	11.9	9.8	8.4	16.6	7.8	7.2	8.8	8.1	69	98	99	W	1	W	6	W	5	8^{2}	$10^{2}\overline{\wedge}\bullet$	$10^{2}\bullet$	**14.9**	200 p ⟋ i. S, ◯. 9 p ◯.
8.	**77.5**	78 2	79.9	6.3	7.2	6.7	8.4	5.2	7.2	6.9	7.3	100	91	100	NW	3	W	1	W	2	10^{2}	$10^{2}\bullet$	$10^{2}\bullet$	8.9	2 p ◯. 9 p ≡2 ◯.
9.	81.0	80.8	81.1	6.7	14.0	11.4	15.2	5.8	7.1	9.5	9.4	98	80	95	W	2	E	3	N	4	$10^{2}=$	$7^{1}\ominus$	7^{2}	10.2	7 a ≡1.
10.	80.8	80.0	79.3	10.0	17.5	13.9	19.1	9 3	8.1	7.4	8.7	88	50	73	E	4	NE	2	W	4	$0\ominus$	$0\ominus$	3^{1}	–	7 a ≡.
11.	78.5	78.3	77.7	16.7	14.1	13.1	19.8	11.9	8 0	10.0	8.4	56	84	75	SW	2	W	3	W	5	$4^{1}\ominus$	$10^{2}\bullet$	6^{1}	–	7 a ⊿. 2 p ◯.
12.	78.0	77.6	80.4	9.4	12.8	8.8	15.0	8.5	8.7	7.0	8 3	99	64	99	W	4	W	7	W	5	10^{1}	$3^{2}\ominus$	$10^{2}=\bullet$	13.1	7 a ≡0. 9 p ≡1 ◯.
13.	80.6	80.4	80.4	10.0	16.1	12.0	18.1	7.1	6.6	6.3	7.4	72	47	74	W	2	W	3	W	1	$2^{1}\ominus$	$2^{1}\ominus$	o	1.8	7 a ⊿.
14.	80.3	79.6	79.7	14.1	22.1	18.1	23.1	11.1	8.2	6.4	6.5	69	33	42	W	1	SW	2	E	2	$4^{1}\ominus$	$3^{1}\ominus$	1^{1}	–	7 a ⊿.
15.	80.5	80.6	80.7	16.2	21.9	18.3	22.2	15.3	7.9	10.1	11.3	58	52	72	W	2	SW	2	NE	2	$5^{1}\ominus$	$3^{2}\ominus$	o	–	7 a ⊿.
16.	80.5	80.2	80.0	17.4	23.0	18.6	23.3	13.9	11.1	8.1	11.1	75	39	70	NW	2	W	3	W	1	$1^{1}\ominus$	$2^{1}\ominus$	o	–	7 a ⊿.
17.	79.2	78.6	78.6	18.7	23.4	14.7	**24.4**	13 2	10.2	10.0	9.9	63	48	80	W	1	W	1	W	2	$0\ominus$	$3^{2}\ominus$	3^{1}	–	ca 445 p ⟋ aus SW, ◯.
18.	79.8	79.5	80.0	13.9	20.6	14.2	21.2	13.9	10.1	9.8	**11.8**	86	54	98	W	2	W	3	NW	5	8^{1}	$8^{1}\ominus$	10^{2}	0.5	814 p ◯.
19.	80.2	80 3	80.7	16.2	20.2	14.6	20.7	14.0	9.4	10.0	9.7	68	56	78	W	4	W	6	NW	3	$7^{1}\ominus$	$7^{\circ}\ominus$	9^{1}	2.3	
20.	80.9	80.7	80.9	14.7	19.4	16.4	20.9	12.5	9.9	9.5	9.9	80	56	71	C		N	5	C		$8^{1}\ominus$	$3^{1}\ominus$	5^{1}	–	
21.	80.8	80.4	80.1	15.6	21.2	20.6	22.4	14.2	9.3	6.4	8.2	70	34	45	SW	7	W	7	W	8	9^{1}	$3^{1}\ominus$	8^{1}	–	
22.	80.0	80.4	81.3	16.5	21.6	10.8	22.2	10.2	10.1	10.9	9.4	72	58	98	W	8	SW	8	W	2	$4^{1}\ominus$	$3^{1}\ominus$	10^{1}	–	ca 545–845 p ◯.
23.	82.7	83.4	**84.4**	10.3	15.3	11.5	16.6	9.8	8.3	5.9	6.6	89	46	65	NW	4	NW	4	N	5	$1^{1}\ominus$	$6^{1}\ominus$	3^{1}	6.5	
24.	**84.4**	83.6	84.1	12.2	18.2	15.3	20.4	9.4	7.1	5.3	7.4	67	34	58	SW	1	NW	2	C		$0\ominus$	$0\ominus$	o	–	
25.	83.4	82.6	82.1	14.2	20.7	18.2	21.7	12.0	7.5	7.5	9.1	62	42	58	S	1	NE	1	C		$0\ominus$	$0\ominus$	o	–	
26.	81.1	80 7	80.4	18.4	22.8	17.1	23 5	15.5	5.8	7.0	11.3	37	34	78	S	1	W	6	NE	6	$0\ominus$	4^{1}	o	–	
27.	82.0	83.0	83.2	9.4	13.7	10.0	17.1	8.5	8.2	7.5	6.7	93	64	73	NE	4	NE	3	N	5	$10^{2}\bullet$	$5^{2}\ominus$	3^{1}	1 7	n, 7 a ◯.
28.	83.3	82.8	83.3	7.4	14.3	10.8	14.6	5.6	6.8	8.2	6.5	89	67	68	E	5	E	5	NE	6	$1^{1}\ominus$	$3^{1}\ominus$	o	–	7 a ∞.
29.	82.4	82.2	82.3	9.3	15.4	11.3	16.4	7.0	7.0	8.5	7.1	80	65	71	E	4	E	5	E	6	$2^{1}\ominus$	$1^{1}\ominus$	o	–	7 a ⊿.
30.	81.6	81.4	81.2	14.7	19.1	15.1	19.4	10.3	8.2	10.6	8.1	66	64	63	E	4	E	5	E	6	$0\ominus$	$0\ominus$	o	–	7 a ⊿.
31.	81.2	81.0	81.3	18.1	22.0	18.8	22 5	13.5	9.8	10.3	10.1	63	52	62	C		E	4	W	4	$0\ominus$	$0\ominus$	o	–	7 a ⊿.
Mittel	80.8	80.6	80.9	12.6	17.4	13.4	18.7	10.3	8.4	8.4	8.6	78	58	76							4.9	4.1	4.5	70.2	

Alle Angaben nach Ortszeit.

Zugspitze.

August. $\varphi = 47^0\ 25'$ N. $\lambda = 10^0\ 59'$ E = 43 m 56 s. H = 2962.2 m. Cg = — 0.2 mm. 1926.

Datum	Luftdruck auf 0° u. Normalschwere reduziert 500 mm +			Lufttemperatur C°					Absolute Feuchtigkeit mm			Relative Feuchtigkeit Proz.			Richtung und Stärke des Windes o bis 12			Bewölkung o bis 10			Niederschlag mm	Schneedecke
	7a	2p	9p	7a	2p	9p	Max.	Min.	7a	2p	9p	7a	2p	9p	7a	2p	9p	7a	2p	9p	7a	7a
1.	35.7	36.3	36.5	— 1.9	— 0.6	— 0.8	— 0.2	— 2.8	3.9	4.3	4.3	100	98	100	W 1	NE 1	N 4	10^2≡	3^1⊙	7^1≡	6.4	✳
2.	35.1	35.7	35.9	— 2.0	— 0.6	— 1.7	— 0.2	— 3.3	3.9	4.4	4.0	100	100	100	NW 4	NW 5	N 4	10^1≡	10^2≡	10^2≡	–	✳
3.	34.5	35.0	34.7	— 2.8	— 0.2	0.0	0.1	— 4.5	3.6	4.5	4.6	100	100	100	NW 3	W 2	N 2	8^1≡⊙	10^2≡	10^2≡	–	✳
4.	33.7	33.9	34.5	— 0.1	0.6	0.5	1.0	— 0.3	4.5	4.8	4.8	98	100	100	SW 1	E 1	E 3	10^1⊙	10^2≡△	10^2≡	0.0	✳
5.	34.4	35.2	35.8	— 0.1	1.3	0.0	2.6	— 0.7	4.5	5.0	4.6	100	100	100	E 2	SE 2	N 1	10^2≡*	10^2≡*	10^2≡	5.3	✳
6.	35.5	35.6	35.7	— 0.7	0.2	— 1.2	0.8	— 1.3	4.3	4.7	4.2	100	100	100	N 2	N 2	C	10^2≡	10^2≡	3^1≡	2.2	✳
7.	34.0	32.7	30.9	— 1.2	1.1	— 2.2	1.1	— 2.4	4.2	5.0	3.8	100	100	100	NW 2	S 2	N 5	5^0⊙	10^1≡*	10^2≡*	2.2	✳
8.	29.2	30.0	32.2	— 5.6	— 5.0	— 4.8	— 2.2	— 6.1	2.9	3.0	3.1	100	100	100	W 2	N 3	N 3	10^2*≡	10^2≡*	10^2≡	17.9	✳
9.	34.3	35.7	36.3	— 1.2	— 0.1	— 0.8	1.3	— 4.8	4.2	4.5	4.3	100	100	98	NE 2	SE 3	N 2	10^2≡	10^2≡	0	17.7	✳
10.	35.4	35.9	35.8	0.2	2.0	1.6	3.1	— 1.7	3.2	4.5	4.1	69	86	80	E 1	W 3	W 3	○○	3^1⊙	1^0	0.0	✳
11.	35.4	34.9	33.8	2.6	3.6	1.3	5.2	0.9	4.2	5.5	4.9	76	95	98	W 3	S 3	W 10	7^0⊙	10^1●	10^1	–	✳
12.	32.4	32.3	33.5	— 0.7	— 0.6	— 2.7	1.3	— 2.9	4.3	4.4	3.7	100	100	100	W 3	NW 4	NW 8	10^2≡*	10^2≡	10^2≡	8.5	✳
13.	33.9	35.3	36.1	— 4.3	— 1.7	— 1.1	0.4	— 5.2	3.2	3.7	3.1	100	93	72	NW 2	NW 3	NW 3	5^1≡⊙	○○	0	11.3	✳
14.	36.1	37.1	37.1	0.9	3.3	3.2	4.7	— 3.0	2.5	4.8	3.7	50	81	63	NW 2	N 2	NW 3	1^1⊙	5^1⊙	9^1	–	✳
15.	37.5	38.4	38.4	3.2	6.0	4.0	7.0	1.6	4.7	6.5	6.1	81	93	100	C	W 2	C	2^1⊙	9^1	5^1≡	–	✳
16.	37.5	37.8	37.5	3.4	5.7	3.8	6.9	2.7	5.8	6.9	5.9	100	100	98	W 1	N 2	NW 1	7^1≡⊙	10^2≡	1^1	–	–
17.	36.4	36.3	36.2	3.6	8.3	2.7	8.5	2.3	3.4	6.6	5.4	56	80	96	W 2	SW 2	NW 5	1^0⊙	7^1⊙	10^1●	–	–
18.	35.6	36.4	36.5	1.9	3.9	3.1	4.3	1.4	5.3	6.1	5.7	100	100	100	NW 5	N 3	NW 5	10^2≡	10^2≡	10^2≡	7.0	–
19.	36.6	37.5	37.6	2.4	6.1	4.2	7.0	1.7	5.5	7.0	6.2	100	100	100	NW 3	W 3	W 2	8^1≡	7^1≡⊙	10^2≡	4.4	–
20.	37.2	37.4	38.0	2.4	5.2	2.5	5.5	2.3	5.5	6.6	4.9	100	100	87	NW 3	NW 1	NW 2	10^2≡	10^2≡	9^0	3.1	–
21.	37.7	38.2	38.8	3.6	6.2	6.6	7.9	2.4	3.8	5.1	5.8	64	71	79	SW 5	NW 4	NW 5	10^1	6^0⊙	10^1	–	–
22.	37.8	38.6	37.5	6.4	6.9	3.8	7.3	3.8	4.7	6.5	6.0	65	87	100	W 5	NW 3	N 4	4^1⊙	9^1	10^1●	0.0	–
23.	36.2	37.3	38.1	— 2.5	— 0.7	— 2.9	3.8	— 3.2	3.8	4.4	3.6	100	100	100	NW 4	N 4	NW 3	8^1≡	10^2≡	10^2≡	**19.0**	–
24.	38.6	40.0	**40.8**	— 1.2	4.4	5.0	6.6	— 2.9	1.9	1.1	1.9	46	17	55	N 3	NW 2	N 2	○○	1^0⊙	1^0	–	–
25.	39.9	40.3	40.0	4.7	8.6	5.6	**9.1**	3.3	2.7	4.5	5.4	41	55	79	NW 2	SW 2	W 2	○○	○○	0	–	–
26.	38.9	38.7	38.4	5.5	8.7	4.3	9.0	3.5	2.6	5.8	4.1	38	68	66	NW 2	W 1	NW 2	○○	1^1⊙	1^1	–	–
27.	37.2	38.1	38.0	3.1	3.5	1.0	4.3	1.0	5.7	5.9	2.7	100	100	52	NW 4	NW 2	NW 3	10^2≡●	10^1⊙≡	0	1.4	–
28.	37.3	38.2	38.5	0.7	4.6	2.4	6.3	— 0.5	0.6	3.4	4.4	13	52	81	N 2	SW 1	NW 2	1^0⊙	2^1⊙	0	0.3	–
29.	37.7	38.8	39.3	2.4	5.8	3.8	6.9	1.4	3.7	4.9	5.0	68	71	83	W 2	S 1	W 1	1^0⊙	2^1⊙	0	–	–
30.	38.7	39.2	39.1	3.1	7.0	5.6	8.5	2.3	3.8	5.3	5.3	66	71	78	W 1	SE 2	C	○○	1^1⊙	0	–	–
31.	38.7	39.4	39.6	4.2	7.6	5.7	8.1	3.7	4.8	5.9	6.1	77	75	89	NW 1	S 1	SE 1	1^1⊙	7^1	0	–	–
Mittel	36.1	36.7	36.8	1.0	3.3	1.7	4.4	— 0.4	3.9	5.0	4.6	81	87	89				5.8	6.9	5.7	106.7	

Bemerkungen.

1. n ≡2 u. schwache V-Bildung. a ci-st-Bewölkung vorherrschend, ztw. ≡1.2, 11^{40} a ⊕ mit 22½° Halbm. 4^{15} p-n ≡2.
2. n, t meist ≡1.2, a ztw. ⊙ durchdringend. p ᔓ-Bildung, ⎓.
3. n Aufklaren, ⌙1, 6 a im W zyklonale Bewölkung, ab 6^{35} a-n meist ≡2, 7^{10} a Glorie, 2^{40} p kurz △0.
4. n Aufklaren, a über Flachland ∞2, 8^{30} a-n ≡2, ⊙ ztw. durchdringend. 10^{55} a-0^{10} p ✳0, 1^{40} 2^{10} p △-Böe. 3^{50}–7^{30} p ✳0.1, vermischt mit ◎0.
5. n, t ≡2. n schwache V-Bildung, a–8^{35} a ✳0.1, 0^{45}–2^{35} p ztw. ✳0, 1^{30} p △-Böe, 2 p elektr. Ausstrahlung. 3^{35}–5^{10} p ⟀ im NE, 8 p ≡ u. ᔓ-Bildung.
6. n, t–8^{30} p ≡2. n ✳0, a 1 cm Neuschnee; m ⊙ kurz durchdringend. 10^{55} a–7^{10} p ztw. △0 u. ✳0.1, 5^{03}–ca 7 p ⟀ im NW. 8^{30} p über Flachland str-Decke in ca 2500 m.
7. n ⌙0, a ∞1, 7^{35} a-n ≡1.2, 11^{40} a–n meist ✳0.1, 2^{35}–3^{30} p ⟀ im NW. 2^{55} p kurz △0. p ztw. ⫩, V-Bildung. 9 p 10 cm Neuschnee.
8. n, t ≡2. n ⎓ u. ⫩ (Windstösse bis 30 m/sec.). a 15 cm Neuschnee, 10 cm V. t–ca 8 p meist ⫩, ztw. △0. 9 p 25 cm V.
9. n u. a–9^{15} a ≡2. n ✳0, a 15 cm Neuschnee, 35 cm V. 8 a ≡; m cu-Bildung über Zentralalpen, sonst alt-Gewölk. 2 p kurz ≡2. 9 p ⌙0.
10. n ⌙0, a über Flachland u. Täler str-Reste. m cu-Bildung, p ztw. ≡1.2, 3 p aus W zunehmende cist-Bewölkung, abds. Bewölkungsabnahme.
11. n ⎓, a aus W vordringende cist-Bewölkung, 9 a in a-st übergehend. 1^{10}–7^{30} p ◎8.1, 3^{50}–ca 8 p ≡1.2, p ⎓, Windstösse bis 25 m/sec.
12. n, t ≡2, 6^{40}–7^{30} a ✳0, 10^{33} a–0^{50} p meist ✳0 vermischt mit ◎0. 4^{10}–5^{35} p ✳0.1, p V-Bildung, 6 p-n ⎓. 9 p 10 cm V, ✳treiben.
13. n, a–7^{40} a ≡2, n ✳0, a 1 cm Neuschnee, 15 cm V. 8 a a-cu rasch aus NW vordringend. p vorwiegend heiter, über Flachland st-cu in 2500 m, im W cist-Schirm.
14. n wolkios, a über Flachland ∞0. 10^{30} a Bewölkungszunahme aus NW (ci u. a-cu). 2 p ⊕ teilw. sichtbar, p a-cu lent u. a-st-lent vorherrschend.
15. n Aufklaren, a über Flachland ∞1, 7^{10} a aus W rasch vordringende str-Bewölkung. Ab 10^{33} a cu-Bildung, 2^{35} p-n ≡1.2. 9 p △1, zweifacher ∈.
16. n wolkios, △1, 6^{10}–7^{35} a, 11^{30} a–7 p meist ≡1.2. Ab 9 a cu-Bildung. 9 p △1.
17. 9^{15} p ≺ im SE, n ⌙0. 9 a ci-st langsam aus W vordringend, 9^{30} a cu-Bildung. 2^{05} p ⟀ im NW u. N. 2^{35}–ca 8 p ≡2. 4^{43} p kurz △0, dann-n ◎0.1, 5^{18}–7^{30} p ⟀, ⎓.
18. n, t meist ≡2. n ◎0, ztw. ⎓. m vorübergehend Absinken des Nebels. 0^{30} p ◎Tr., 2^{10}–3^{15} p ◎1.2. 9 p ≡1.
19. n ≡2, ◎0. t vorwiegend ≡1.2, m u. p ⊙ ztw. durchdringend.
20. n ≡2; n u. a–6^{05} a ◎0.1, ztw. △0. t–7^{10} p meist ≡2. 1^{15} p, 5^{55} p Glorie. p rasch zunehmende ci-Bewölkung aus WSW.
21. a Böenfront im W, ztw. ⎓. 8^{35}–9^{05} a ◎0. t Durchzug von 2 Tiefdruckausläufern, dazwischen von 1^{30}–3^{40} p Aufklaren. Ab 7^{15} p ma-cu-Bildung.
22. a Aufklaren, über Flachland ∞1. Ab 10 a Bewölkungszunahme aus W (st-cu, fr-str). 3^{45} p-n ≡2. p ⎓, 7^{35} p-n ◎1.2.
23. n ≡2, ◎. t meist ≡1.2, a ᔓ, 5 cm V, ztw. Durchdringen der ⊙. p böig.
24. n Aufklaren, t vorwiegend heiter. a über Täler str-Reste, über Flachland ∞0. Ab 1 p alt-Gewölk aus W, abds. Bewölkungsabnahme.
25. n, t fast wolkios. a Hochgebirge sehr rein. 5^{20} p im W ci-st-Streifen, p über Täler u. Flachland ∞1, 8^{15} p ≺ im N u. NE.
26. n, a wolkios. a am N-Horizont starke Trübung, darunter Flachland sehr rein. Ab 1 p cu-Bildung. 2^{40} p Bewölkungszunahme aus W (a-cu, st-cu, fr-str).
27. n, t–3^{20} p ≡2. n ⎓, a–7^{20} a ◎1. Ab 4 p wolkios, ringsum Wolkenmeer in ca 2500 m. 9 p ≺ im SE.
28. n, t fast wolkios. a über Flachland Nebeldecke in ca 1500 m. m lebhafte cu-Bildung über Vorberge, ab 3 p ringsum Nebelmeer in ca 2200 m. 9 p △0.
29. n, t fast wolkios. a über Alpenvorland stellenweise Nebeldecke in ca 1500 m, ab 9^{30} a sich auflösend u. in ∞ übergehend. m leichte cu-Bildung. 9 p △1.
30. n ⌙0, t fast wolkios. a über Loisachtal Nebeldecke in ca 1000 m, sonst ∞0.1. 9 a Wind dreht auf SE. m leichte cu-Bildung, p auffallend schlechte Sicht. 9 p △0.
31. n ⌙1. 5 a alt-Gewölk u. st-cu. 7 a str-Reste im S, ringsum ∞0.1. Ab 8^{30} a cu-Bildung. m stark zunehmend. 6 p Bewölkungsabnahme, 9 p △1.

Alle Angaben nach Ortszeit.

Bamberg.

September. $\varphi = 49^0\ 53'$ N. $\lambda = 10^0\ 53'$ E $= 43^m\ 32^s$. H $= 287.7$ m. Cg $= +0.3$ mm. 1926.

Datum	Luftdruck auf 0^0 u. Normalschwere reduziert 700 mm + 7a	2p	9p	Lufttemperatur C⁰ 7a	2p	9p	Max.	Min.	Absolute Feuchtigkeit mm 7a	2p	9p	Relative Feuchtigkeit Proz. 7a	2p	9p	Richtung und Stärke des Windes 0 bis 12 7a	2p	9p	Bewölkung 0 bis 10 7a	2p	9p	Niederschlag mm 7a	Bemerkungen
1.	40.3	38.6	38.2	13.0	26.5	18.9	26.8	10.4	9.6	14.1	12.8	87	55	79	N 1	E 1	S 1	00	00	0	–	7^{00} a, 9^{00} p ∞⁰.
2.	38.4	37.6	38.0	14.0	26.6	19.2	27.0	11.7	10.7	13.2	14.8	91	51	89	NW 1	C	C	00	00	4^1	–	7^{00} a ∞⁰. mrgs. schw. Talnebel. 9^{00} p ∞⁰.
3.	38.0	37.8	38.0	17.0	24.3	17.9	26.3	14.5	13.4	14.3	14.0	93	63	92	SW 1	W 1	C	3^0	9^1	2^1	–	9^{00} p ↘ i. SW.
4.	39.3	39.2	40.2	15.7	21.6	17.7	27.2	14.3	12.8	**15.7**	13.7	97	82	91	C	C	S 1	8^1	9^1	1^1	0.2	$4^{45.59}$ a ●⁰. $1^{30.59}$ p ●¹. 9^{00} p ∞⁰·¹.
5.	41.7	41.5	42.1	14.9	26.1	19.5	27.1	13.2	12.1	15.0	14.1	96	60	84	C	C	NW 1	00	5^1	0	0.6	mrgs. schw. Talnebel.
6.	42.7	41.1	41.3	14.9	24.0	18.1	25.3	12.7	12.3	14.1	12.8	98	63	83	C	S 1	W 1	10^{2}	5^1	9^1	–	a ≡¹.
7.	40.7	40.1	40.2	16.7	19.8	19.2	21.6	15.7	12.4	13.8	13.1	88	80	79	SW 1	W 2	SW 2	9^1	10^1	10^1	–	1^{08} p kurz ●¹.
8.	40.1	42.4	44.1	17.1	16.7	12.5	19.8	12.2	11.8	12.8	10.8	82	91	100	SW 2	W 2	C	10^1	10^{1}●	8^{1}≡	0.2	7^{54} a kurz ●⁰·¹. 8^{48}–9^{01} a ●¹·². $9^{02.12}$ a ●⁰·¹. 1^{35}–ca 4^{15} p ●¹.
9.	43.9	42.9	42.5	13.3	20.7	14.0	21.4	11.7	10.6	11.1	10.8	94	62	92	S 1	S 1	S 2	10^{1}≡	8^1⊙	3^1	**4.0**	n ≡¹·². a ≡⁰·¹. [9^{00} p ab ≡¹.
10.	41.1	39.4	38.7	9.5	25.1	17.5	25.2	8.8	8.6	12.4	11.2	98	53	75	C	8 1	C	7^1⊙	1^1⊙	2^1	–	mrgs. Talnebel.
11.	39.1	37.6	36.6	15.4	27.5	20.6	**27.8**	12.4	11.5	12.8	11.0	88	47	61	SW 2	SW 1	S 2	6^1⊙	00	0	–	
12	34.8	34.4	34.2	17.1	23.6	15.3	25.5	14.5	11.6	12.4	12.7	80	57	98	SE 1	W 2	C	1^1⊙	7^1⊙	8^1	–	
13	36.6	38.3	41.7	15.4	18.1	14.0	19.4	13.6	10.5	8.3	8.1	81	54	68	SE 1	W 1	N 2	9^1⊙	7^1⊙	10^1	0.3	n ●.
14.	42.6	43.5	44.7	10.8	18.8	12.7	18.9	8.7	8 7	8.4	8.8	90	52	81	S 2	W 2	SW 1	10^1	5^1⊙	7^1	–	
15.	44.0	41.6	40.0	10.8	21.2	15.4	21.4	9 9	9.2	10.4	10.5	95	55	81	SE 2	NW 1	S 1	4^1⊙	7^1⊙	10^2	0.3	n ●.
16.	40.9	41.5	43.5	14.1	18 3	11.4	18.9	11 4	10.8	9.4	9.7	91	60	97	NW 1	W 2	SW 1	10^1●	5^1⊙	7^0	0.1	ca 5^{43}–7^{28} a, $7^{34.39}$ a ●⁰.
17.	44.9	44.1	44.7	6.6	20.5	12.6	20.6	4.8	7.1	8.9	8.9	98	50	83	C	SW 1	C	1^1⊙	00	0	0.1	mrgs. Talnebel. 9^{00} p ∞⁰·¹.
18.	44.8	44.0	43.7	8.8	23.5	14.7	23.9	7.1	7.8	9.4	10.0	92	44	81	NW 1	SE 1	C	00	00	0	–	mrgs. ∞ u Talnebel.
19.	44.0	42.7	42.4	9.2	25.1	15.4	25.2	8.1	7.5	13.1	12.3	88	56	94	C	W 1	N 1	00	00	0	–	mrgs., abds ∞ u. Talnebel. [gehend sichtbar.
20.	41.5	40.2	40.5	11.5	24.3	15.9	25.0	10 6	9.5	11.0	11.6	95	49	86	C	NW 1	NW 1	00	00	0	–	mrgs., abds. ∞ u. Talnebel. ca 10^{35} a schw. cu vorüber-
21.	40.5	39.9	41.0	11.0	21.0	13.7	21.8	9.8	9.0	10.2	8.5	93	55	73	NW 1	NW 1	NW 1	1^1⊙	8^1⊙	5^1	–	mrgs. schw. Talnebel. 5^{49} p kurz ●Tr.
22	41.7	40.9	42.0	7.8	19.7	13.3	20.1	6 4	7.2	9.4	9.0	92	55	80	NW 2	NW 2	NW 2	2^1⊙	7^1⊙	9^1	0.0	
23.	42.1	41.7	40.9	8.2	14.7	11.7	16.3	7 1	7.7	6.8	7.3	94	54	72	SW 1	NW 1	NW 2	9^1⊙	9^1	9^1	–	
24.	39 0	37.2	36.5	9.3	15.7	10.1	15.9	8.1	8.1	7.2	7.6	93	55	82	NW 1	SW 1	S 2	10^2	6^1⊙	9^1	0.5	ca 0^{45}–2^{09} a ●⁰·¹. [8^{45}–9^{00} p ●¹.
25.	33.6	**31.9**	**31.9**	6.3	15.1	12.9	16.4	5.0	6.8	9.4	10.3	96	73	94	SE 1	SW 2	SW 2	9^1⊙	7^1⊙	10^{1}●	–	n ⌓. $10^{28.59}$ a ●¹. 5^{14}–6^{26} p ●¹. 5^{46}, 5^{59} Fern-↯ i. W.
26.	33.7	34.1	33.7	9.8	14.9	10.2	15.8	9.4	8.3	7.7	7.5	92	61	81	SW 1	S 2	C	4^1⊙	7^1	10^{1}●	3.7	$9^{00.48}$ p ●⁰·¹. n ztw. kurz ●⁰. 8^{48}–9^{00} p ●¹.
27.	32.7	35.3	37.3	12.0	14.3	7.5	15.3	7.5	10.1	6.2	6.9	97	51	89	C	SW 3	S 2	10^1	7^1⊙	1^1	0.1	$9^{00.01}$ p ●Tr.
28.	32.7	38.7	40.3	5.9	12.5	7.3	15.0	3.3	6.0	6.9	7.0	87	64	91	S 2	SW 1	SW 2	7^1⊙	10^1	0	0.1	n ztw. ●Tr.
29.	41.8	42.1	44.0	3.3	12.9	7.5	15.8	1.9	5.7	7.4	6.9	98	67	89	C	SW 2	C	10^1≡	8^1	0	–	0^{04} a–8^{14} a ≡¹·².
30.	46.0	45.3	**46.2**	3.4	13.6	8.0	14.1	2.1	5.8	7.5	7.8	100	64	98	C	C	C	10^{2}≡	7^1⊙	10^2	–	11^{16} p–10^{24} a ≡¹. 4^{39}–5^{22} p ↯. 4^{59}–6^{21} p ●¹.
																					10.2	
Mittel	40.3	39.9	40.3	11.4	20.2	14.2	21.4	9.6	9.4	10.6	10.4	92	59	85				5.7	5.5	4.8		

Kaiserslautern.

September. $\varphi = 49^0\ 27'$ N. $\lambda = 7^0\ 46'$ E $= 31^m\ 4^s$. H $= 238.1$ m. Cg $= +0.3$ mm. 1926.

1.	43.6	41.9	41.8	15.1	28.4	20.4	**29.0**	13 0	10.3	11.9	13.0	81	41	73	NE 1	NE 1	SW 1	00≡	10	0	–	a ≡¹.
2.	42.4	42.2	42.9	16.9	23.9	19.7	24.5	14.0	12.1	**14.5**	14.2	85	66	83	SW 3	SW 3	W 2	00	10^1	0	–	3^{16} p kurz ●Tr.
3.	42.3	41.5	42.5	15.8	26.2	19.8	26.8	14.0	11.9	12.3	14.4	89	49	84	SW 1	SW 3	W 2	10	3⊙	2	0.0	ca 6^{30} p ↯ mit ●⁰ von kurzer Dauer.
4.	43.4	43.1	44.7	15.6	26.1	20.2	27.1	13.5	12.0	12.6	14.2	91	51	81	W 1	W 2	E 3	00	6⊙	0	0.2	
5.	46.2	46.2	46.8	15.4	26.0	19.8	26.7	14.1	11.5	13.0	14.3	88	52	83	E 1	E 3	SW 2	00≡	5⊙	0	–	a ≡¹. ca 9^{10} a–4^{30} p bewölkt.
6.	47.9	47.1	47.0	15.2	24.0	18.7	24.3	14.0	11.6	10.9	11.7	90	50	73	SW 2	SW 4	SW 3	9⊙≡	7⊙	6	–	a ≡², ◐. t wechselnd bewölkt.
7	45.9	46.0	45.9	18.2	20.4	19.4	21.9	10.4	13.1	13.3	12.3	84	74	74	SW 4	SW 5	W 6	10	10	5	–	7^{31}–8^{16} a ●⁰. ca 4^{30}–5^{30} p ztw. ⊙.
8.	46.5	47.3	48.3	17.7	20.2	16.7	20.5	15.9	11.9	12.5	12.5	79	71	89	W 5	SW 4	W 3	10●	10	8	0.0	a ●⁰. 10^{36}–m ztw. ●⁰·¹ (Strichregen).
9	48.0	47.1	46.3	14.6	21.7	16.5	22.5	13.2	11.3	10.7	11.9	91	56	85	SE 1	SW 3	SW 2	10≡	5	0	3.8	a ≡¹.
10.	44.6	42.8	42.8	10.6	25.2	18.4	25.5	8.7	8.3	12.4	13.1	89	52	83	W 1	SW 3	W 2	3⊙	3⊙	0	–	
11.	42.5	40.6	39.3	14.2	28.4	19.5	28.9	12.8	10.2	8.4	12.4	85	29	74	E 2	SW 2	E 3	3⊙≡	10	0	–	a ≡¹.
12.	38.6	38.7	38.2	19.3	17.9	18.1	20.0	16.0	12.1	13.7	12.1	73	90	78	SW 3	SW 2	W 5	10	10	8	–	ca 8^{30}–9^{41} a mehrere ↯. 11^{31} a–1^{21} p ↯ mit ●¹. 2^{15} p ◐.
13.	41.9	44.4	47.0	14.3	17.4	14.4	19.0	13.3	9 8	8.0	8.9	82	58	73	SW 3	SW 4	W 3	8⊙	5⊙	0	**9.8**	t wechselnd bewölkt.
14.	48.3	49.0	49.3	10.6	18.3	14.7	18.5	9 1	8.4	8.2	9.9	90	53	80	W 1	NW 4	W 1	2^0⊙	6^2⊙	10^1	–	t wechselnd bewölkt, ztw. kurz ●.
15.	48.7	46.4	45.3	12.8	19.4	15.3	19.8	12.0	9.3	9.7	10.0	86	58	78	SW 1	W 3	W 3	00	9^1	10^0	0.0	ca 9^{30} a ab zunehmende Bewölkung.
16.	46.6	47.1	48.1	15.4	20.5	14.1	21.2	13.5	11.2	10.6	9.6	86	59	80	SW 3	SW 3	SW 1	10^1	8^1	0	–	ca 6 p Abendrot.
17.	49.3	48.0	48.2	8.4	22.2	14.3	23.0	7.0	6.6	7.2	9.3	81	36	77	E 1	E 2	W 1	1^0⊙	8⊙	0	–	a ⌴⁰.
18.	47.9	47.3	47.4	8.9	25.7	16.3	26.0	7.3	7.1	8.4	10.9	84	34	79	E 2	SE 3	W 1	00	00	0	–	
19.	47.3	46.0	46.0	11.0	26.6	17.4	27.2	9.4	8.2	12.0	12 0	84	47	81	SE 1	E 3	W 1	00	00	0	–	
20.	45.4	43.7	43.6	10.9	25.8	17.3	26.5	9.6	8.1	9.7	11.6	87	40	79	E 1	NE 2	SW 1	00	00	0	–	7^{31}–8^{16} a ≡⁰.
21.	44.6	44.2	46.2	11.9	23.5	17.7	23.9	10.5	8.9	12.8	12.4	86	59	82	W 2	N 2	SE 2	2^0⊙	00	8	–	a ≡⁰.
22.	46.5	46.7	48.5	16.6	20.3	14.1	20 4	13.0	12.2	9.9	9.4	86	55	79	NW 1	NW 3	NW 3	10^1	10^1	10^1	–	
23.	48.7	47.7	46.5	8.5	15 8	12.2	16.4	7.5	7.2	6.3	7.5	87	47	71	W 1	NW 2	E 3	10^0	5	8	–	a ≡⁰.
24.	43.1	40.6	39.2	7.9	15 9	9.8	16.1	6.0	6.4	7.5	7.6	81	56	84	NE 2	E 3	E 2	10^1	9^1	5^1	–	
25.	35.2	**34.6**	35.9	9.9	15.6	12.7	17.1	6.8	8.0	11.1	9.9	88	84	91	SW 1	W 3	W 2	9^1	10^1	9^1	–	a ≡⁰. 0^{16}–1^{11} p, 3^{31}–4^{16} p ●⁰.
26.	37.6	37.5	36.9	6.3	15.2	10.9	15.6	5.2	6.1	5.5	7.5	86	43	76	E 2	W 3	E 3	9^0	5^1	0	1.3	a ≡⁰. [ztw. ⊙
27.	37.2	39.6	41.1	10.3	14.1	8.0	15.1	7.0	7.0	5 0	6.4	75	42	81	SW 3	SW 5	W 2	10^2	7^1⊙	0	–	ca 8^{30}–11^{15} a ztw. ⊙. m kurz ●Tr. p wechs. bewölkt,
28.	41.9	43.1	45.0	7.6	12.8	8.6	13.5	5.0	6.0	6.6	7.8	77	60	**93**	SW 2	W 3	W 2	00	10^1	1^0	0.0	ca 7^{30} a ab zunehm. Bewölkung. 4^{11}–6^{31} p meist ●.
29.	46.2	47.4	48.9	5.0	11.8	6.6	12.6	3.2	5.9	8 0	6.4	90	78	88	W 2	W 3	E 2	10^1	9^0	0	4.1	a ≡⁰. t meist bewölkt, ztw. ●⁰.
30.	**50.7**	50.1	**50.7**	3.1	13.3	9.4	14.0	**2.0**	5.1	7.3	8.1	90	61	92	NW 1	N 3	NW 1	10^{1}≡	8^1	0	0.6	a ≡¹. 6^{31} p ● von kurzer Dauer.
																					19.8	
Mittel	44.6	44.3	44.7	12.3	20.8	15.4	21.5	10.4	9.3	10.0	10.7	85	55	81				5.2	6.0	3.0		

Alle Angaben nach Ortszeit.

München.

September. $\varphi = 48^{0}\ 9'$ N. $\lambda = 11^{0}\ 34'$ E = 46 m 16 s. H = 526.4 m. Cg = + 0.1 mm. 1926.

Datum	Luftdruck auf 0° u. Normalschwere reduziert 700 mm +			Lufttemperatur C°					Absolute Feuchtigkeit mm			Relative Feuchtigkeit Proz.			Richtung und Stärke des Windes o bis 12			Bewölkung o bis 10			Niederschlag mm	Bemerkungen
	7a	2p	9p	7a	2p	9p	Max	Min.	7a	2p	9p	7a	2p	9p	7a	2p	9p	7a	2p	9p	7a	
1.	19.7	18.1	17.6	15.8	26.8	19.2	27.0	13.7	10.4	8.1	12.2	78	31	74	C	SE 2	C	00	00	0	–	a ⊿2, ∞2.
2.	17.8	17.7	18.0	16.1	26.0	21.4	26.6	14.1	10.3	11.6	10.7	76	47	57	SW 1	W 2	NW 2	00	4⊙	8¹	–	a ⊿2, i. S ∞2.
3.	17.8	18.5	18.5	17.7	17.4	17.1	21.4	16.9	11.9	13.6	13.2	79	92	91	S 1	S 1	S 1	10²≡	10¹●	10¹	–	a ≡1. 7¹⁴ a ◍ Tr. 7³¹ a ab ◍0. 0⁵⁵–1¹¹ p ◍1.2, dann-abds. ◍0
4.	18.6	18.8	19.4	17.0	24.8	19.6	25.1	15.3	12.8	11.4	10.4	89	49	62	C	E 2	C	7¹	4⊙	0	18.8	a ∞1.
5.	21.2	21.1	21.6	16.0	25.8	20.0	25.8	14.8	11.5	11.7	12.3	85	48	71	C	E 1	E 1	00	2⊙	0	–	a ⊿2, ∞2.
6.	21.8	21.1	21.8	16.0	25.6	19.3	26.1	14.9	11.5	11.2	12.7	85	47	76	SW 1	NW 1	SW 1	00	6¹⊙	8¹	–	a ⊿2, ∞2.
7.	22.3	21.8	21.9	17.1	22.2	19.3	23.2	16.4	11.4	10.8	11.3	79	54	68	SW 1	SW 3	SW 3	8¹⊙	9¹	4¹	–	
8.	22.1	22.7	23.2	17.1	21.4	17.5	22.3	16.2	10 8	9.7	10.3	75	52	69	SW 2	W 3	SW 1	7¹	8¹	7¹	–	
9.	23.0	22.3	22.7	15.8	21.5	17.0	22.4	15.1	11.1	10.1	10.9	83	53	76	SW 1	NW 2	C	5¹⊙	5¹⊙	0	–	a ∞2 i. S.
10.	20.8	19.0	19.0	13.5	25.6	19.1	25.7	12.9	9.3	9.5	11.5	85	39	68	SE 1	SE 2	SW 1	00	3¹⊙	2⁰	–	a ⊿1, ∞1. ca 7⁴⁵ p ◹ i. S u. SE.
11.	19.4	18.2	16.6	16.5	26.8	20.1	26.8	15.3	10.6	8.5	10.2	76	32	58	S 1	SE 2	SE 1	2⁰⊙	1⁰⊙	0	–	a ⊿1, i. S ∞1.
12.	15.7	14.3	14.6	17.5	27.1	17.4	27.3	16.9	10.0	8.6	11.1	68	32	75	SW 1	SW 3	SE 4	2⁰⊙	3⁰⊙	4¹	–	a ⊿1, ∞1. 3²⁶ p einige ◍Tr. 8⁵⁸ p ◹ i. W.
13.	17.4	18.4	22.3	15.6	16.1	14.2	19.8	13.2	10.9	10.8	8.8	83	79	74	SW 2	NW 2	SW 2	10¹●	10¹●	10¹	8.4	n ◍. 7⁰⁰ a ◍0. 1⁰¹ ²⁶ p ◍1.2, dann ◍0. 3⁰¹ p kurz ◍2.
14.	23.2	23.6	24.7	12.6	19.0	14.0	19.1	11.5	8.6	7.2	8.5	80	45	71	SW 1	W 2	NW 1	8¹≡	4¹⊙	3⁰	5.7	a ≡1. [dann ◍1.
15.	24.1	21.8	20.9	11.6	19.5	15.2	20.4	10.3	8.4	8.7	8.9	84	52	69	C	N 1	SW 2	6¹⊙	00	2⁰	–	a ≡1.
16.	21.6	22.3	23.4	14.2	16.7	14.4	17.7	13.2	8.6	10.2	10.3	72	72	85	SW 2	W 3	W 1	10¹	10¹	5¹	–	7¹⁶ a kurz ◍Tr. 10⁴³ a, 0¹⁶ p, 1²⁸ p kurze Zeit ◍0.
17.	23.9	23.5	24.0	12.3	20.9	14.7	21.0	11.3	9.4	8.7	9 2	89	48	74	C	E 1	E 1	3⁰≡⊙	1⁰⊙	0	0.0	a i. S ≡1.
18.	23.7	23.3	23.1	11.9	23.6	16.6	23.8	10.0	8.5	10.3	10.4	82	48	74	C	E 1	C	00	00	0	–	a ⊿2, ∞2.
19.	22 9	22.1	21.5	12.0	24.2	16.9	24.6	11.1	9.2	10.9	11.1	89	49	78	C	NE 1	C	00	00	0	–	a ⊿, ∞2.
20.	20.8	19.7	19.4	11.7	22.8	16.8	23.1	11.0	9.2	9.7	10.7	91	48	76	C	E 1	C	00≡	2⁰⊙	0	–	a ⊿, ≡1.
21.	19.4	18.9	20.0	10.7	21.2	16.6	21.5	10.3	9.0	9.5	8.9	94	51	64	C	N 1	SE 1	10⁰▬	3⁰⊙	10¹●	–	a ⊿, ≡2. 5⁴¹ p kurz ◍1. 8¹⁶ p kurz ◍Tr.
22	20.2	20.0	21.3	13.1	20.4	15.8	20.6	12.2	9.4	9.9	9.8	85	55	74	C	W 2	W 2	7¹	8¹⊙	10¹	0.0	a ⊿, ∞2. 7³⁴ a kurz ◍0.
23.	21.2	21.0	21.1	11.9	15.8	11.9	16.2	11.0	7.8	5.7	6.5	75	44	63	NW 1	NW 2	NW 2	10¹	6¹⊙	10¹	0.0	
24.	18.4	16.4	15.5	10.1	15.4	12.4	15.7	9.8	6.3	5.7	7.2	68	44	67	NW 1	SW 1	SW 1	8¹	6¹⊙	10¹	–	a ∞0.1.
25.	13.2	11.9	11.9	11.7	18.3	13.6	18.8	9.5	7.8	8.3	9.6	76	53	83	SW 1	SW 1	C	8¹⊙	5¹⊙	3⁰	–	a ∞1. 8¹⁶ a ◍0. 2⁴⁶·³⁶ p ◍1. 2⁵¹ p ◹. ca 5⁴⁵ p ◹ i. NW u. N.
26.	12 5	13.4	13.1	13.0	14.0	13.0	14.3	11.2	10.0	9.9	10.5	90	84	95	NW 2	C	SE 1	10¹	10¹●	10¹●	4.0	n ◍. 8⁰⁰ a ◍0. 8³¹ a ◍1.2. 1⁵⁶ p–n meist ◍1.
27.	13.1	15.9	17.5	12.9	11.7	9.5	13.7	9.5	10.0	7.3	7.3	91	71	85	SW 1	SW 2	SW 1	10¹●	9¹	1⁰	10.3	n, a ◍.
28.	17.6	18.0	19.7	8 7	13.1	9.6	15.8	6.9	7.4	5.8	7.1	89	52	80	S 1	W 2	SW 1	4¹⊙	9¹	7¹	3.7	a ⊿1, ∞1. ca 0⁴⁵ p kurz ◍Tr.
29.	20.9	21.5	22.7	6.1	10 9	9.4	11.2	5.3	6.0	6.4	7.2	87	65	81	C	C	C	4¹	10¹	10¹	0.0	a ⊿1, ∞1.
30.	23.9	24.2	24.8	7.3	8.8	7.2	9.4	7.0	6.5	7.1	6.8	87	85	91	C	C	C	10¹≡	10¹●	10¹●	0.1	a ≡1. 7¹⁶ a ◍Tr. 8²⁶ a ≡1. 2⁰⁰ p, 9⁰⁰ p ◍0.
																					51.0	
Mittel	19.9	19.7	20.1	13.5	20.1	15.6	20.9	12.2	9.5	9.2	9.9	82	54	74				5.3	5.3	4.8		

Hohenpeissenberg.

September. $\varphi = 47^{0}\ 48'$ N. $\lambda = 11^{0}\ 1'$ E = 44 m 4 s. H = 994.1 m. Cg = ± 0.0 mm. 1926.

	600 mm +																					
1.	81.0	80.4	80.1	17.1	22.1	18.5	22.9	15.9	9.5	8.8	9.6	65	45	60	C	E 4	E 4	00	00	0	–	
2.	80.4	80.7	80.8	16.9	21.7	17.2	22.4	15.2	9.3	9.2	11.6	65	47	80	E 2	SW 4	SW 5	00	4¹⊙	7¹	–	
3.	80.5	80.4	80.9	13.9	15.2	15.7	17.2	13.3	11.5	11.6	11.3	98	90	85	W 1	W 3	W 2	10²●	10²●	10	1.6	a ∞. 7 a, 2 p ◍1.
4.	80.4	80.7	81.3	15.5	19.9	17.7	20.6	14.1	9.8	11.3	11.5	75	65	76	E 3	E 5	E 4	2¹⊙	2¹⊙	0	9.0	
5.	81.7	82.3	82.7	15.9	20.2	17.9	21.0	14.9	11.7	10.4	11.1	84	58	73	E 3	E 4	N 4	00	2¹⊙	4²	–	a ⊿.
6.	82.5	82.6	83.4	14.6	20.6	16.3	21.4	14.1	11.2	11.5	12.3	92	64	89	N 3	E 2	E 2	00	4²⊙	10²	–	a ⊿, ∞. 6¹⁴–ca 6⁴⁵ p ◍0. 7⁰⁴ p Fern-◹ i. N.
7.	83.4	82.4	83 0	14.0	18.4	15.1	19.1	12.8	11.1	9.2	10.8	94	59	85	E 4	E 5	W 4	7²⊙	6⊙	3¹	0.1	a ∞.
8.	83.4	84 0	84.1	13.3	17.3	14.3	18.3	12.9	10.3	9.1	9.3	90	62	77	W 4	W 5	W 2	8²⊙	4²⊙	0	–	
9.	84.1	83.6	83.9	12.8	17.8	14.7	19.3	11.5	10.1	9.3	9.7	93	61	78	C	E 1	E 2	8²	2²⊙	0	–	
10.	81.6	81.0	81.3	12.1	22.1	17.9	22.6	11.6	8.8	8.9	8.9	84	45	58	SE 5	SE 3	W 5	1¹⊙	1¹⊙	0	–	7 a ⊿.
11.	81.2	80.7	79.9	17.1	21.6	18.3	22.0	15.9	9.1	9.2	9.8	63	48	63	W 1	E 2	E 3	00	1¹⊙	0	–	
12.	79.0	78.2	77.7	17.0	21.7	16.4	22.7	14.3	8.9	9.0	9.6	62	47	69	W 4	W 3	E 2	3¹⊙	2¹⊙	4²	–	
13.	79.0	80.1	82.9	11.9	14.1	10.1	17.3	9.6	10.3	9.1	8.9	99	76	96	W 4	W 4	W 3	10²●	8²⊙	10²●	3.6	n ◹ u. ◍. 7 a, 6 p, 9 p ◍.
14.	83.5	84.1	85.4	9.5	14.1	11.6	15.2	8.5	8.0	6.9	6.8	91	58	67	W 2	W 3	NE 2	10²	3²⊙	10	3.1	
15.	84.4	83.0	82.3	10.4	16.7	14.0	17.5	9.1	7.3	8.3	6.5	76	58	55	W 1	W 1	W 5	3¹⊙	1¹⊙	0	–	7 a ⊿.
16.	82.7	82.7	83.8	11.3	14.1	12.0	15.5	10.1	7.1	9.3	9.7	71	78	94	W 4	W 4	W 1	4²⊙	8²●	10	–	1⁵⁴–2⁰⁴ p ◍0.
17.	84.2	84.0	84.2	10.4	17.0	12.8	17.6	9.8	8.7	6.8	8.0	93	47	73	E 2	E 4	E 5	2¹⊙	1¹⊙	0	0.1	7 a ⊿, ≡.
18.	84.2	83.9	84.5	14.0	19.3	17.7	20.1	11.9	8.0	10.9	9.8	67	65	65	W 2	E 3	E 1	00	00	0	–	7 a ⊿.
19.	83.9	83.6	82.9	15.9	19.5	16.3	20.6	14.1	9.5	10.1	9.6	71	60	69	E 1	E 2	E 4	00	00	0	–	7 a ⊿, ≡.
20.	81.6	81.2	82.1	13.9	19.1	15.7	19.5	12.9	9.8	9.1	9.4	84	55	70	W 2	W 3	E 2	00	1¹⊙	0	–	7 a ⊿, ≡.
21.	81.1	80.9	81.4	14.0	18.2	15.3	19.0	12.6	9.0	10.7	10.4	76	69	81	W 2	W 1	W 1	5²⊙	7²⊙	10²	–	7 a ⊿. ≡. ca 5⁴⁵ p ◍0.
22.	81.6	81.5	82 6	12.2	14.9	12.0	17.1	12.0	10.1	10.8	9.6	96	86	93	W 2	W 4	W 3	8²⊙	7¹⊙	10²	0.2	7 a, 2 p ∞.
23.	81.8	81.7	81 8	8.8	10.5	7.7	12.5	6.8	8.5	6.6	6.2	100	70	79	NW 6	W 3	N 5	10²≡	10²	10	–	a ≡2. 2 p ∞.
24.	79.6	78.4	77.7	7.0	10.3	9.1	12.5	5.5	5.4	5.6	6.7	72	60	77	N 3	W 1	W 5	10²	10²●	10²	–	2 p ◍.
25	75.4	75.0	74.7	9.4	14.1	12.4	15.9	8.0	6.8	8.0	7.4	78	67	69	W 4	SW 3	W 4	10²●	4¹⊙	4	0.6	7 a ◍.
26	74.5	74.9	74.9	11.4	10.3	10.6	14.1	9.4	8.7	9.3	9.4	87	100	99	N 2	W 2	E 1	10²	10²▬●	10²●	2.8	2 p ≡2. ◍. 9 p ◍.
27.	75.3	77.4	78.6	10.0	8.2	7.2	12.6	6.4	9.2	6.2	6.7	100	77	89	W 3	W 5	W 3	10²●	9²	0	22.4	7 a ◍.
28.	78.9	79.2	80.7	7.4	9.6	6.9	11.6	5.5	5 2	5.2	6.3	68	58	84	W 2	W 2	C	3²⊙	8²⊙	10²	2.7	
29.	80.9	81.7	82.9	5.2	6.9	6 6	8.5	4 2	6.0	5.9	5.3	90	80	73	C	W 2	C	5²	7²	10	–	a ⊿. 1 p ◍0.
30	83.2	83.7	83.9	4.0	5.5	3.6	7.5	3 0	6.1	6.8	5.9	100	100	100	N 2	N 3	NE 4	10²▬	10²▬	10²▬	0.1	a-n ≡2. 7 p ◍.
																					46.3	
Mittel	81.2	81.1	81.5	12.2	16.0	13.4	17.5	10.8	8.8	8.8	8.9	83	65	78				5.0	4.7	5.1		

Alle Angaben nach Ortszeit.

Zugspitze.

September. $\varphi = 47^0\ 25'$ N. / $\lambda = 10^0\ 59'$ E $= 43^m\ 56^s$. H $= 2962.2$ m. Cg $= -0.2$ mm. 1926.

Datum	Luftdruck auf 0° u. Normalschwere reduziert 500 mm +			Lufttemperatur C°					Absolute Feuchtigkeit mm			Relative Feuchtigkeit Proz.			Richtung und Stärke des Windes 0 bis 12			Bewölkung 0 bis 10			Niederschlag mm	Schneedecke
	7a	2p	9p	7a	2p	9p	Max.	Min.	7a	2p	9p	7a	2p	9p	7a	2p	9p	7a	2p	9p	7a	7a
1.	39.1	38.8	38.7	5.1	9.3	6.8	**10.1**	4.4	4.6	4.8	4.7	70	54	64	SE 2	SE 3	S 3	00	1^0⊙	0	–	–
2.	37.8	38.0	38.1	5.4	8.4	5.3	8.9	4.7	2.9	6.3	6.7	42	76	100	S 1	SE 1	SE 2	7^0⊙	9^1	10^2≡	–	–
3.	36.4	36.7	37.1	3.5	5.8	2.6	6.1	2.6	5.6	**6.9**	5.4	95	100	98	E 1	S 1	NW 2	10^1●	10^2≡	4^1≡	3.3	–
4.	37.1	38.1	38.6	4.0	7.1	3.8	8.1	2.2	4.8	6.1	5.4	78	81	90	C	C	N 2	2^0⊙	5^1⊙	3^1	0.2	–
5.	39.0	39.8	40.2	3.3	7.3	4.3	7.3	2.9	4.2	6.2	5.7	71	81	92	NE 2	E 2	E 1	7^0⊙	9^1	10^1	9.2	–
6.	39.6	39.9	40.2	3.2	5.4	3.2	6.4	3.1	5.8	6.0	5.8	100	89	100	E 1	C	NW 1	9^1⊙≡	9^1	10^2≡	7.1	–
7.	39.4	39.9	39.8	2.9	4.6	3.4	4.7	2.1	5.6	6.3	5.8	100	100	100	NW 3	NW 3	W 4	10^2≡	10^1⊙≡	10^2≡	8.4	–
8.	38.8	39.8	39.9	1.2	4.4	1.1	5.2	0.6	5.0	5.8	4.8	100	93	96	NW 3	NW 2	NW 2	10^1≡	5^1⊙≡	0	0.2	–
9.	38.9	39.7	39.8	1.6	4.3	2.1	5.5	0.6	2.8	5.2	3.1	52	83	55	W 3	W 4	W 3	4^0⊙	4^0⊙	2^0	–	–
10.	38.7	38.9	38.8	3.1	7.0	3.3	7.3	2.1	5.0	6.4	5.7	88	84	98	NW 3	S 1	NW 4	2^1⊙	10^1	3^1≡	–	–
11.	38.3	38.3	37.6	3.0	6.2	5.4	7.4	1.6	4.0	5.0	4.6	69	70	69	N 1	S 2	SW 2	1^0⊙	2^1⊙	3^0	0.2	–
12.	36.3	35.7	34.9	4.6	7.2	3.9	7.6	3.5	4.9	5.7	5.6	77	75	91	SW 3	S 2	S 5	3^1⊙	7^1⊙	6^1	–	–
13.	34.7	35.5	37.0	0.9	1.0	– 0.9	3.9	– 1.0	4.9	4.9	4.3	100	100	100	NW 2	NW 5	NW 3	10^2●≡	10^2≡	10^1≡	13.8	–
14.	37.1	38.8	39.6	– 2.0	2.1	– 0.2	2.3	– 3.8	2.5	3.8	2.6	64	71	57	W 3	W 1	W 2	1^0⊙	1^0⊙	1^0	6.6	–
15.	39.1	39.1	38.5	2.7	4.6	1.5	5.1	– 0.2	1.8	3.6	3.8	33	56	73	W 2	W 5	W 5	4^0⊙	3^0⊙	1^0	–	–
16.	37.4	38.3	38.8	– 0.4	1.3	0.2	1.9	– 1.3	1.7	5.0	4.7	38	100	100	NW 4	NW 3	N 3	5^1⊙	10^2≡	10^2≡	–	–
17.	39.2	40.7	41.5	1.3	5.7	5.0	6.8	– 1.8	3.9	4.5	4.0	76	65	61	NW 2	SE 1	W 1	4^0⊙	1^0⊙	0	0.3	–
18.	41.4	42.1	**42.2**	4.0	8.6	5.5	8.9	3.4	4.1	4.7	4.1	67	57	60	W 2	W 2	W 1	00	00	0	–	–
19.	40.9	41.1	40.5	5.1	8.4	6.1	9.7	4.6	2.0	4.8	1.9	31	59	27	N 2	S 1	NW 1	00	1^1⊙	0	–	–
20.	38.6	38.2	37.6	4.6	5.4	1.5	6.4	1.4	1.5	3.9	3.2	23	58	60	N 2	S 1	N 1	00	2^1⊙	0	–	–
21.	36.5	37.1	37.2	0.9	2.0	0.1	2.9	– 0.6	3.9	4.9	3.9	79	93	83	N 3	N 1	NW 2	9^1	10^1≡	6^1	–	–
22.	36.7	37.1	37.0	– 0.3	1.2	– 0.2	1.5	– 0.9	4.4	5.0	4.5	100	100	100	N 4	N 3	NW 7	10^2≡	10^2[≡	10^2≡	0.5	–
23.	35.3	34.8	34.5	– 1.4	– 2.5	– 3.5	– 0.2	– 4.0	4.1	3.8	3.5	100	100	100	N 7	N 4	NW 4	10^2≡	10^2≡	10^2≡	6.2	⊠
24.	31.6	31.2	30.7	– 7.6	– 4.6	– 4.0	– 3.5	– 7.7	1.6	3.1	3.3	63	100	100	NW 4	W 4	W 1	9^1⊙	10^1	10^2≡	–	–
25.	29.3	29.9	30.3	– 2.6	– 1.2	– 1.0	– 0.6	– 4.0	3.7	4.2	4.2	100	100	100	NW 3	W 1	W 3	10^2≡	10^2≡	10^2≡	5.7	⊠
26.	29.8	30.6	30.9	– 0.8	0.6	0.7	0.7	– 1.4	4.3	4.8	4.8	100	100	100	S 7	S 5	S 9	10^1	10^2≡	10^1	1.7	⊠
27.	30.6	30.5	31.8	0.2	– 4.5	– 5.5	0.8	– 6.0	4.7	3.2	2.9	100	100	100	S 4	W 6	W 1	10^1≡	10^1≡	1^1	0.5	–
28.	31.1	31.3	31.7	– 5.2	– 5.5	– 7.1	– 4.1	– 7.1	3.0	2.9	2.5	100	100	100	W 1	N 1	N 2	10^2≡	10^1⊙≡	10^2≡	3.2	⊠
29.	31.6	32.6	33.5	– 7.7	– 5.3	– 7.7	– 5.1	– 7.8	2.4	3.0	2.4	100	100	100	NW 1	C	NW 2	10^2≡	10^2≡	10^2≡	**18.6**	⊠
30.	33.8	34.3	34.5	– 7.2	– 3.5	– 6.5	– 2.0	– 8.1	2.5	3.5	2.7	100	100	100	NE 2	SE 1	C	10^2≡	10^2≡	10^2≡	1.4	⊠
																					87.1	
Mittel	36.5	36.9	37.1	0.8	3.0	1.0	4.0	– 0.5	3.7	4.8	4.2	77	85	86				6.2	7.0	5.7		

Bemerkungen.

1. n ⌊⌋^{0}, t fast wolklos. a über Flachland ∞^{1}, über Hochgebirge ∞^{0}. Ab 9 a cist-Schirm im SW, m schwache Föhnmauer über Zentralkette.
2. a über Täler u. Flachland ∞$^{0.1}$, zunehmende ci-Bewölkung aus SW, ztw. ⊕. 11 a lebhafte cu-Bildung. p cu-ni im NW, 8^{30} p-n ≡^{2}. 8^{25} p kurz ◍^{0}.
3. n ≡^{2}, n u. a–7^{10} a ztw. ◍^{0}. Früh über Täler fr-st in ca 2200 m, 7^{20} a–n meist ≡$^{1.2}$, ztw. ≡:. 6 p vorübergehend Absinken des Nebels, cist im W wie a-st lent.
4. a ⌊⌋^{0}, über Inntal Nebelmeer in ca 2200 m. Ab 9 a lebhafte cu-Bildung, p ztw. ≡^{2}. 3^{12} p kurz △^{0}, anschliessend bis 4^{28} p ◍$^{0.1}$, 3^{15}–4^{25} p ⟆, 3^{40}–4^{05} p ▲^{1}. 6^{50} p ⟆ im SW, 8^{30} p-n ≤ im S u. W.
5. n ⌊⌋^{0}. a ci-Bewölkung aus W, über Flachland st-Reste, t ztw. ≡$^{1.2}$. Ab 8 a cu-Bildung über Hochgebirge. 3^{30}–6^{30} p ◍$^{0.1}$, ztw. ▲^{1}. 4^{30}–6^{05} p ⟆; 7 p ◍Tr., ≤ im SW.
6. n ≡^{2}; t meist ≡$^{1.2}$, ⊙ ztw. durchdringend. m ◍Tr., 0^{40}–1^{50} p ◍^{0}. 2^{20} p Wind dreht auf NW, 7^{20}–8^{40} p ◍$^{1.2}$.
7. n, a–9^{20} a ≡^{2}. 9^{20} a cu über Hochgebirge wie über Vorberge, sonst ganz bedeckt mit cist (WNW l.). 10 a ⊕; 11 a–n ≡^{2}, ⊙ ztw. durchdringend. 7 p ≡:.
8. n, a–8^{15} a ≡^{2}. a gegen Flachland Nebelmeer in ca 2000 m. m cu-Bildung, fr-st in Gipfelhöhe, Glorie. 1^{30}–7^{30} p vorwiegend ≡$^{1.2}$, ⊙ meist durchdringend. 9 p ⩍^{1}.
9. n ⌊⌋^{0}, a Hochgebirge sehr rein. t gegen Flachland Nebelmeer in ca 2200 m, ab 9 a über Täler in Auflösung. 3 p zunehmende ci-Bewolkung aus W; 4 p ⊕. Abds. Bewölkungsabnahme.
10. a über Flachland st-Reste, Hochgebirge in ∞^{1}. 8 a st-cu über Vorberge, m aus W rasche Bewölkungszunahme (cu, st-cu). 2^{20} p kurz ◍^{0}, 3^{30} p-n ≡$^{1.2}$. 7 p ≡:, 8 p ≤ im W u. SW.
11. n ⌊⌋^{1}, t vorwiegend heiter. 9 a schwache cu-Bildung. 10^{30} a Wind dreht auf SSE; ab 11 a Föhnmauer über Zentralkette. 3 p cist-Schirm im SW; 8^{30} p-n ≤ im S u. SW.
12. a ∞kranz, cist-Bewölkung aus SW 10^{30} a rasch aus SW aufziehende cu. 3^{10}–6^{10} p ◍$^{0.2}$, 3^{15} p kurz ≡^{2}, 3^{20}–3^{35} p ▲^{1}, 3^{23}–5^{35} p ⟆. 6^{02} p Glorie, ⌒. 9 p ≤ im N.
13. 9^{45} p–n ◍^{1}, ztw. ⩍. n, t ≡^{2}. a–9^{15} a ✳^{0} vermischt mit ◍^{0} 11^{15} a–0^{10} p ◍$^{0.1}$, 2^{44}–3^{13} p ◍^{1}, 3^{57}–4^{23} p ✳^{0} vermengt mit ◍^{0}. p ztw. ≡:, abds. schwache V-Bildung.
14. t fast wolklos, nur vereinzelnt cist am Horizont. a 3 cm V, ringsum Nebelmeer in ca 2300 m, ab 9 a über Täler in Auflösung. p ztw. fr-st in Gipfelhöhe, böig.
15. t leichte ci-Bewölkung (WNW m.). a über Inntal Nebelmeer in ca 2300 m, 10^{30} a Bildung einer Föhnmauer im SE. p ztw. fr-st in Gipfelhöhe.
16. n ⩍; a gegen Flachland ∞^{1}, Hochgebirge sehr rein. 7^{20} a Aufkommen von st-Bewölkung aus NW, 9^{40} a ni im W u. NW, 11^{10} a kurz ◍^{0}. 0^{50} p-n ≡^{2}, 6^{30} p ◍Tr., 8 p ≡:.
17. a ci-Bewölkung (NW l.), über Flachland ∞^{0}, über Inntal Nebelmeer in ca 2300 m, ab 9 a in Auflösung. p fast wolklos, vereinzelnt cist im S u. SE.
18. t wolklos. a über Flachland st-Reste, über Inntal ∞^{0}. p schwacher ∞kranz.
19. a wolklos, über Flachland st-Reste, über Inntal ∞^{1}. p ztw. fr-cu über Hochgebirge.
20. a über Flachland stellenweise st-Decke, über Täler ∞$^{0.1}$. 9 a ringsum cu-Bildung, 2^{30} p rasch zunehmend. 3^{10}–4^{30} p meist ≡$^{1.2}$, ab 5^{10} p Bewölkungsabnahme.
21. früh a-st-lent im SE. 6^{40} a rasches Aufziehen von a-cu aus N mit nachfolgendem st-Gewölk. 10^{15} a cu-Bildung. 1^{55}–8^{30} p ≡$^{1.2}$, 4^{05} p kurz ◍^{0}, 7^{05} p kurz ◍^{1}. 7^{20} p ≤ im SE.
22. n ≡^{2}, ✳^{0}, ztw. △^{0}. t ≡^{2}, 11^{30} a ⊙ kurz durchdringend. 11^{45} a ✳^{0}, anschliessend bis 0^{25} p △^{1}. 1^{43}–5^{03} p ⟆, 1^{46}–6^{02} p ztw. △^{1}; p ⩍.
23. n ≡^{2}, ⩍, ✳^{0}. a 1 cm Neuschnee, 5 cm V. t meist ≡^{2}, V-Bildung. 5^{10}–6^{15} p vorübergehend Absinken des Nebels auf ca 2700 m, a-cu (Wogenform) NW r, ztw. Glorie. 9 p 15 cm V.
24. früh über Inntal Nebelmeer in ca 2300 m, ab 10 a in Auflösung. 10^{55} a–1^{50} p ≡^{2}, 11^{10} a–0^{35} p ✳^{0}, p starkes ✳treiben. 2 p Flachland sehr rein, Föhnstimmung, ⩍. 6^{35} p-n ≡^{2}, 8^{30} p-n ✳^{0}.
25. n, t meist ≡^{2}. n ✳^{0}, 7 a 3 cm Neuschnee, 5 cm V. a ztw. ✳^{0}, V-Bildung. 4^{20}–8^{30} p Gipfel nebelfrei, alt-Gewölk W m. 8^{30}–9 p erneut ≡^{2}, ztw. ✳^{0}.
26. 9–9^{25} p ≡^{3}, n, t ⩍, Windstösse bis 30 m/sec. a st-Bewölkung vorherrschend, 11^{45} a–7^{55} p ≡$^{1.2}$. 10^{5}–2^{23} p, 3^{50}–4^{30} p ✳^{0}.
27. n ⩍, ztw. ✳^{0}, ≡^{1}. a–2^{30} p ≡$^{1.2}$, 9^{20} a ≡:. 11^{43} a kurz △^{0}, anschliessend bis 2^{20} p ✳$^{0.1}$. m ᔓ-Bildung, ⨦. Ab 2^{30} p Föhnstimmung, Flachland sehr rein, abds. von W her Aufklaren.
28. n, t ≡^{2}; a 3 cm V. 2 p ⊙ kurz durchdringend, 3^{40}–5^{35} p ✳^{0}. Abds. V-Bildung.
29. n ≡^{2}, ✳^{1}, ztw. △; a 12 cm Neuschnee, 3 cm V, t meist ≡$^{1.2}$. 7^{55}–8^{10} a ✳^{0}, 8^{30} a Gipfel vorübergehend nebelfrei. 3^{40} p-n ✳^{0}, p schwache V-Bildung.
30. n, t ≡^{2}. n ✳^{0}, a 2 cm Neuschnee, V-Ansatz. p meist Windstille, ca 3–6^{10} p meist ✳^{0}, anschliessend ≡: u. ᔓ-Bildung.

Alle Angaben nach Ortszeit.

Bamberg.

Oktober. $\varphi = 49^0\ 53'$ N. $\lambda = 10^0\ 53'$ E $= 43^m\ 32^s$. H $= 287.7$ m. Cg $= +0.3$ mm. 1926.

Datum	Luftdruck auf 0^0 u. Normalschwere reduziert 700 mm + 7^a	2^p	9^p	Lufttemperatur C° 7^a	2^p	9^p	Max.	Min.	Absolute Feuchtigkeit mm 7^a	2^p	9^p	Relative Feuchtigkeit Proz. 7^a	2^p	9^p	Richtung und Stärke des Windes o bis 12 7^a	2^p	9^p	Bewölkung o bis 10 7^a	2^p	9^p	Niederschlag mm 7^a	Bemerkungen
1.	44.6	43.9	44.8	7.1	8.7	8.3	10.2	6.1	7.4	8.1	8.0	99	96	98	SW 1	C	NW 1	10^1●	10^1	10^1	5.0	n ◯1. 716 a ◯.
2.	44.4	43.8	44.8	9.4	16.0	12.8	16.2	7.9	8.6	9.9	9.8	98	73	90	NW 1	NW 1	NW 1	10^1≡	10^1	10^1	2.1	ca 0⁴⁵–4¹⁸ a ◯1. mrgs. ≡0.1 u. ∞1. t ztw. ◯Tr.
3.	45.5	46.0	47.1	11.6	14.7	9.2	15.0	8.9	9.4	8.9	8.1	94	72	93	N 1	N 2	C	10^1	9^1	0	0.2	n ◯0.
4.	47.5	47.9	**48.4**	5.5	14.6	13.0	16.9	5.0	6.8	9.3	10.5	100	75	95	NW 1	NW 1	S 2	9^1⊙	10^1	10^1	–	mrgs. Talnebel u. ⏢1.
5.	48.2	47.1	46.5	10.7	17.5	9.7	18.7	9.2	8.5	8.7	8.3	90	59	92	NW 1	E 2	N 2	10^1	2^1⊙	0	–	
6.	45.0	42.7	41.6	4.9	18.3	10.4	18.4	4.4	6.3	9.7	8.9	98	62	95	C	SW 2	C	10^2≡	1^1⊙	0	–	ca 0⁴⁵–8⁵⁵ a ≡1.
7.	39.7	38.4	38.4	4.5	19.2	13.2	19.8	4.0	6.3	10.4	10.5	100	63	94	C	S 2	S 1	10^2▬	9^1	9^1	–	ca 0¹⁵ a aus Talnebel bildet sich ≡1.2, der bis ca 9¹⁵ a dauert.
8.	38.1	36.6	35.9	11.0	18.3	13.1	18.7	9.4	9.5	10.8	9.7	98	69	87	SW 2	S 1	SW 2	5^1⊙	1^1⊙	0	0.6	n ◯1. [4²⁷–³⁵ p ◯1. 8⁰⁶ p kurz ◯0.1.
9.	32.6	28.9	25.6	11.9	19.0	16.9	**20.6**	9.3	9.9	11.1	10.0	96	68	70	S 2	SW 1	S 2	9^1	7^1⊙	10^1	0.1	n ◯Tr. 6¹⁵–³⁴ a ◯0. 4⁴⁹–5³⁵ p ◯1. 6⁴⁴–7⁰⁶ p ◯0.1.
10.	28.4	32.2	33.9	8.2	12.0	6.3	17.6	5.7	6.9	6.3	6.2	85	61	87	SW 2	W 2	S 2	3^1⊙	8^1⊙	9^1	0.8	ca 10^{45}–0 p ◯0.1, ⟋¹¹¹⁰ (SW 5). t ztw. ◯0 (Schauer).
11.	36.3	36.8	35.8	6.2	11.5	8.0	13.0	4.8	6.5	6.6	6.3	93	65	79	SW 1	W 2	S 2	9^1⊙	9^1⊙	10^1	0.2	
12.	30.8	33.7	35.0	12.3	12.1	9.6	14.1	6.7	8.0	8.1	8.1	75	78	91	SW 3	SW 2	SW 2	10^2	10^1	10^1	–	$10^{04.25}$ a ◯0.1. 10^{39}–11^{11} a ◯1.
13.	31.7	29.8	34.0	14.9	16.0	10.9	16.8	9.1	10.4	**11.7**	8.9	83	86	92	SW 2	SW 2	S 1	10^1	10^1	8^1	0.6	11^{49} p–0^{14} a ztw. ◯1. 7^{59}–9^{24} a, ca 3⁴⁵–4¹⁵ p ◯0.1.
14.	35.1	33.5	34.1	8.8	17.2	12.5	17.2	8.0	8.0	9.8	8.1	95	67	76	S 2	S 2	S 2	4^1⊙	6^1⊙	9^1	0.8	
15.	33.9	35.2	35.8	13.9	17.3	14.9	17.9	11.5	9.3	10.7	10.1	79	73	81	SW 2	W 3	W 3	9^1	9^1	7^1	0.1	n ◯Tr.
16.	35.4	38.1	39.6	15.5	8.4	6.6	18.8	6.2	10.2	8.1	7.1	78	99	98	SW 2	NW 2	NW 1	9^1	10^2●	10^2●	0.1	n ◯Tr. 11^{54} a–9^{00} p ◯0.1.
17.	37.1	37.1	38.1	6.0	7.2	6.4	7.5	5.1	6.7	7.5	6.8	96	99	94	C	C	C	10^2●	10^2●	9^1	10.0	9^{00} p–ca 5^{45} p ◯1.
18.	40.4	40.5	42.3	3.8	7.6	1.4	9.2	0.6	5.9	5.2	4.7	98	67	93	NW 1	NW 1	C	9^1⊙	8^1⊙	0	5.6	t kurz ◯0 (Schauer). 9 p Talnebel.
19.	43.6	42.6	41.9	– 0.7	7.3	1.8	8.9	– 2.3	4.2	4.8	4.4	98	64	**84**	E 1	W 2	S 2	7^1⊙	6^1⊙	5^1	0.2	n, a ⌴1.
20.	39.4	37.1	35.1	– 1.6	6.4	2.8	6.9	– 2.5	3.8	5.4	5.1	95	75	91	C	SW 1	NW 1	9^1⊙	9^1	9^1	–	n ⌴1. ca 8^{45} p ⊖.
21.	30.5	27.1	20.9	1.3	3.7	3.7	4.8	0.3	4.8	5.4	5.7	96	90	95	NW 1	E 1	NW 1	10^1≡	10^1●	10^1●	–	a ≡0. a–11^{24} ◯0 (Staubregen). ca 0⁴⁵–9⁰⁰ p ◯.
22.	19.1	21.6	23.0	3.6	3.8	2.4	4.4	1.7	5.8	5.7	4.8	98	95	87	NW 2	W 2	W 1	10=●	10^1	10^1	**12.3**	9^{00} p–7^{12} a ◯1.
23.	23.5	25.2	24.9	1.5	4.1	2.5	4.6	0.0	5.0	4.3	5.3	98	71	96	NW 1	NW 2	NW 2	10^1	10^1	10^2●	1.5	5⁴⁵–9⁰⁰ p ztw. ◯1.
24.	22.2	25.3	31.7	2.9	2.5	0.4	3.9	0.0	4.9	5.3	4.6	86	96	98	NW 2	NW 1	NW 1	10^1	10^2●	10^2*	3.0	9^{00} p–2^{14} a ◯0.1. 9^{04} a–9^{00} p ◯0.1 u. ✳0.
25.	33.9	28.6	23.7	0.3	5.5	5.1	7.2	– 0.7	4.5	5.0	4.5	96	74	69	SW 2	SW 3	SW 6	3^1⊙	10^2●	10^2	11.0	9^{00} p–1^{22} a ✳0.1 u. ◯0.
26.	26.1	27.3	30.8	3.6	5.1	3.6	8.4	1.9	4.9	5.6	5.4	83	86	92	S 2	W 2	NW 3	10^1	9^1●	10^1	0.2	$11^{20.49}$ a ◯1 u. ✳0. 6⁰⁵–8⁴² p ◯1. 8⁴²–9⁰⁰ p ◯0.
27.	38.3	39.5	39.2	2.9	6.6	0.1	8.0	– 0.9	4.9	4.5	4.4	86	62	96	W 2	NW 2	SW 1	10^1	9^1⊙	1^1	2.1	$9^{00.14}$ p ◯0. ca 6⁴⁵ a ◯Tr. 9 p Talnebel.
28	35.0	29.6	25.4	– 2.1	5.5	3.8	7.2	– **3.6**	**3.8**	4.4	5.2	96	65	87	C	SW 2	S 4	9^1⊙	10^1	10^1●	–	mrgs. ⌴1.2. 6²⁴–9⁰⁰ p ◯0.1.
29	21.4	20.8	22.9	6.7	11.0	8.6	11.1	3.0	7.1	9.0	8.1	98	93	98	S 2	S 1	S 3	10^2●	10^1	10^1	8.5	9^{00} p–9^{04} a ◯1. p kurz ◯1.
30.	26.0	27.4	28.1	7.6	11.4	10.7	11.9	5.2	7.3	9.6	8.7	94	96	92	S 2	S 1	SW 2	9^1●	10^1●	9^1	1.8	6^{34} a–2^{14} p ◯0.1.
31.	26.6	26.5	25.2	8.5	11.7	8.4	12.9	8.1	8.2	9.4	7.5	99	93	97	NW 1	C	W 2	10^1	9^1	9^1	7.9	0^{04}–ca 2^{45} a ◯0.1.
Mittel	34.8	34.5	34.7	6.5	11.0	7.6	12.5	4.3	6.9	7.7	7.2	93	77	90				8.8	8.4	7.5	74.7	

Kaiserslautern.

Oktober. $\varphi = 49^0\ 27'$ N. $\lambda = 7^0\ 46'$ E $= 31^m\ 4^s$. H $= 238.1$ m. Cg $= +0.3$ mm. 1926.

1.	49.8	48.7	49.1	4.9	8.9	8.2	10.1	4.0	6.1	7.1	7.4	**96**	84	92	NE 1	NE 2	E 1	10^2▬	10^2	10^1	0.9	a ≡2. vormitt. meist ◯0.
2.	48.9	48.4	48.8	8.0	12.5	13.3	13.6	6.0	7.6	8.9	9.8	94	83	87	E 1	N 3	E 2	10^1	10^1	10^1	2.9	a ≡0.
3.	50.0	50.1	51.0	12.5	15.6	13.3	16.2	11.5	9.9	8.9	10.2	93	67	90	NE 2	NE 3	W 1	10^1	10^2	5^0	–	
4.	**51.8**	51.5	51.6	7.0	16.6	12.8	16.6	6.1	6.7	8.3	8.4	90	59	77	SE 1	E 3	E 3	5^1	7^1	0	–	a ≡0.
5	51.5	50.2	49.5	8.9	17.2	10.4	17.3	6.9	7.9	8.3	8.4	93	57	91	E 2	E 3	E 1	10^1	5^1	0	–	a ≡1.
6.	48.0	46.7	45.0	7.9	13.8	9.8	15.3	5.0	7.5	9.4	8.3	94	80	92	E 2	NE 1	NW 1	10^1	00	0	–	a–0 p ≡0.1.
7.	42.6	41.5	42.7	8.4	16.2	14.1	16.4	6.1	7.3	11.8	11.0	89	86	93	NE 1	S 3	W 1	9^1	10^1	10^1	–	a ≡0. ca $10^{30.41}$ a, 11^{16} a–11^{35} p ◯0.
8.	41.3	38.7	37.9	8.9	19.6	12.9	**20.1**	8.1	8.2	10.2	9.8	**96**	60	89	E 2	SW 2	NE 2	10^2▬	10	0	1.2	a ≡2.
9.	35.2	31.8	28.9	15.5	19.2	16.1	19.6	10.3	10.9	8.1	9.9	83	49	73	SW 3	SW 5	W 6	10^1	10^1	10^2	–	ca 4³⁰ p ztw. ◯Tr.
10.	33.9	37.1	38.4	9.8	12.8	9.5	16.4	8.5	6.8	6.1	7.2	75	55	82	W 4	SW 3	E 1	10^2	7^2⊙	0	6.9	p kurz ◯0.
11.	41.4	40.5	38.5	8.4	12.6	11.2	12.9	7.4	6.8	5.8	6.4	82	53	65	SW 3	W 3	W 4	10^1	9^2	5^0	0.2	
12.	36.7	38.8	38.6	13.9	15.3	14.8	16.1	10.4	9.3	7.7	9.8	79	59	78	SW 6	W 6	W 5	10^1	7^1⊙	10^1	–	
13.	36.0	35.5	39.0	14.7	16.2	11.9	16.6	11.0	10.9	**12.0**	9.1	88	87	89	NW 4	SW 4	W 2	10^2	10^1	3	0.4	a ◯0. $3^{01.46}$ p ◯.
14.	39.3	38.5	38.3	11.1	15.8	14.9	16.1	10.0	8.9	7.9	8.7	90	59	69	SW 3	SW 5	SW 4	10^2	9^2	10^1	4.1	
15.	38.7	40.1	40.4	14.2	17.0	16.2	17.1	12.1	9.8	11.5	11.0	82	80	80	SW 3	SW 4	SW 4	10^2	10^2	6^1	–	
16.	39.4	42.7	43.3	15.9	10.6	8.8	17.3	7.9	10.6	8.4	7.6	79	90	91	SW 3	NE 2	NE 4	9^1	10^2●	10^2●	–	p–n öfters ◯.
17.	41.0	41.6	43.7	8.9	9.9	8.4	10.0	7.1	7.9	7.8	7.4	93	86	91	E 2	W 1	W 1	10^2●	10^2●	9^1	11.9	t ztw. ◯.
18.	45.5	46.0	48.0	3.0	9.0	4.8	9.2	2.0	5.3	4.7	5.7	93	54	89	NW 1	NE 3	NW 1	10^1	6⊙	5^1	6.6	a ≡2.
19	48.5	47.8	46.8	0.1	8.5	2.0	9.0	– 0.8	3.9	4.4	4.6	85	54	87	W 1	N 1	NE 1	0	5^1⊙	2	–	a ≡1 ⌴2.
20.	43.1	40.3	38.4	– 0.2	7.8	4.1	8.1	– **1.0**	**3.7**	3.8	5.3	82	**49**	87	E 2	NE 3	NE 2	10^1	9^1	10^1	–	a ⌴, ≡0. abds. ∈.
21.	33.3	28.8	24.7	2.5	5.0	2.2	6.7	1.0	4.9	5.0	5.0	89	76	93	SE 2	NE 3	NE 2	10^1	10^2	10^2	–	a ≡0. ca 3^{30} p ◯. ca 5^{30} p ✳.
22.	25.2	26.6	26.6	3.0	4.8	3.0	5.0	1.0	5.2	4.9	4.7	91	76	85	NW 1	NE 2	NE 4	10^1	10^2	10	8.8	
23.	27.7	28.3	27.6	2.9	4.4	3.4	4.7	1.5	5.0	5.2	5.3	88	84	92	NE 2	E 3	NE 3	10^2	10^2●	10^2	0.1	ca 3^{30} a kurz ◯0. p ztw. ◯0.
24.	25.6	30.4	36.7	2.0	3.2	2.8	4.2	1.0	5.0	5.3	5.0	94	92	89	E 2	W 2	W 3	10^1	10^1●	10^2	4.9	a ◯ mit ✳. t meist ◯0.
25.	33.6	28.4	26.3	4.6	7.4	5.1	9.3	2.0	3.9	6.3	4.9	62	82	75	SW 2	SW 2	W 8	10^2	10^2	9^2	4.2	Morgenröte. t öfters ◯0.
26.	28.2	34.0	39.2	2.5	4.8	5.4	6.2	1.0	5.0	5.3	5.4	91	82	80	W 2	SW 4	W 2	10^2	10^2●	9^1	8.5	a ◯ mit ✳. t öfters ◯0.
27	45.2	44.0	42.1	2.0	7.2	1.3	7.6	0.8	4.9	4.6	4.4	93	61	87	SE 2	W 2	NE 2	0	8⊙	0	0.8	a ≡0.
28	35.7	30.6	26.4	2.2	6.0	7.3	7.5	0.0	3.8	4.4	7.3	70	63	**96**	E 3	E 3	E 2	10^2	10^2	10●	–	a ⌴. Morgenröte. 2^{51} p ◯. abds.–n ◯.
29.	22.9	23.1	26.0	9.8	10.9	9.4	11.5	6.7	8.7	8.6	7.4	**96**	89	80	SW 2	S 3	W 2	10^2	10^2	0	**19.8**	n–ca 4^{30} a ◯. t ztw. ◯0.
30.	28.4	29.3	31.4	10.9	14.7	11.4	15.0	6.9	9.1	10.3	9.4	94	83	95	SW 2	S 2	E 2	10^2●	7^1⊙	10^1	2.0	a–ca 8^{30} a ◯.
31.	29.3	29.5	30.3	7.3	9.5	8.4	11.5	6.4	7.3	8.1	7.5	**96**	92	92	E 2	E 2	E 2	10^2●	10^2	10^2	4.6	a ◯. t ztw. ◯0. abds. ◯.
Mittel	38.6	38.4	38.5	7.5	11.4	8.9	12.4	5.4	7.1	7.4	7.5	88	72	86				9.1	8.4	6.5	88.8	

Alle Angaben nach Ortszeit.

München.

Oktober. $\varphi = 48^0\ 9'$ N. $\lambda = 11^0\ 34'$ E $= 46^m\ 16^s$. H $= 526.4$ m. Cg $= +0.1$ mm. 1926.

Datum	Luftdruck auf 0° u. Normalschwere reduziert 700 mm + 7a	2p	9p	Lufttemperatur C° 7a	2p	9p	Max	Min.	Absolute Feuchtigkeit mm 7a	2p	9p	Relative Feuchtigkeit Proz. 7a	2p	9p	Richtung und Stärke des Windes 0 bis 12 7a	2p	9p	Bewölkung 0 bis 10 7a	2p	9p	Niederschlag mm 7a	Schneedecke cm 7a	Bemerkungen
1.	23.1	23.2	23.5	5.4	6.6	5.6	7.2	5.2	5.9	6.0	6.3	88	84	91	S 1	SE 1	E 1	10^1●	10^1●	10^1	4.4	–	n, a ◯. a ≡0.
2.	22.4	22.2	22.5	5.7	9.4	10.0	10.4	5.3	6.3	7.4	8.7	94	87	95	E 1	NE 2	C	10^1=	10^1	10^1=	3.1	–	a, 8^{34} p–n ≡1.
3.	23.3	24.0	24.8	9.6	13.8	11.9	14.3	9.6	8.1	8.2	9.0	91	70	87	C	NE 1	C	9^1=	10	9^1	–	–	n, a ≡1.
4.	25.6	25.7	**26.0**	6.2	15.3	8.8	15.3	5.8	6.2	7.7	7.2	89	60	87	N 1	NE 2	E 1	7^1	4^1⊙	0	–	–	a △, ⊂⊃1. 2⁰⁰ p ⊂⊃.
5.	25.9	25.8	24.9	6.5	15.1	9.7	15.5	5.0	6.6	8.2	8.1	91	64	91	C	E 2	C	⊙=	6^1⊙	0	–	–	a ≡1. 9⁰⁰ p ≡0.
6.	24.1	22.5	21.6	6.5	15.6	10.0	16.2	5.9	7.0	8.9	8.7	**98**	67	95	S 1	SE 1	C	10^2=	⊙⊙	⊙=	–	–	a ≡2, 9⁰⁰ p ≡1.
7.	19.3	18.3	19.1	7.3	19.2	12.8	19.7	6.8	6 8	8.1	9.6	90	49	88	C	NW 1	SW 1	1^0⊙	4^1⊙	3^0	–	–	a △2, ⊂⊃2. 3²⁰ p ◯Tr. ca 4²³–6²⁸ p ◯0.1.
8.	18.2	16.2	15.7	10.6	18.9	14.5	19.3	9.8	8.6	9.8	**10.1**	91	60	83	C	E 1	S 1	3^0⊙	5^0⊙	0	1.0	–	a △, ⊂⊃1. [p ztw. ◯00.
9.	13.8	11.4	09.4	14.3	18.9	15.0	19 8	12.3	8.1	8.7	9.4	67	53	74	S 1	SW 2	S 2	10^1	10^1●	4^0	–	–	a ⊂⊃1. 6³⁹ a ◯Tr. 6⁴⁴ a, 0²¹ p ◯00. 1³⁴ p Geb. g. sichtb.
10.	09.2	13.1	14.7	10.5	8.3	8.1	17.1	7.2	8.0	6.6	6.5	85	82	82	W 3	W 3	SW 2	10^1	10^1●	10^1	0.0	–	6³⁴ a Geb. g. sichtb. 7⁰³ a ◯0. 7⁰⁹ a ab ◯1. 7²⁹ a ab ◯0 [2⁰⁰ p ◯0.
11.	17.4	16.4	16.3	8.6	13.9	10.5	14.1	8.1	6.4	5.1	6.3	77	44	66	SW 2	W 2	SW 2	7^1	3^0⊙	10^1	8.6	–	a ⊂⊃1.
12	13.4	14.4	16.0	14.0	16.9	14.7	17.3	9.3	5 6	8.4	9.4	47	59	76	S 3	SW 5	SW 3	8^1	6^1⊙	10^1	–	–	a Gebirge gut sichtbar. 6^{01} p ◯0.
13.	14.0	12.8	14.3	15.3	19.6	15.7	19.9	14.5	8.9	8.4	5.0	69	50	67	SW 3	SW 5	W 5	10^1	4^1⊙	6^1	0.0	–	a, p Gebirge gut sichtbar.
14.	15.8	14.4	15.4	12.3	19.8	14.7	20.1	11.7	9.5	8.9	9.0	90	52	73	C	SW 3	W 3	4^1⊙	5^1⊙	2^0	3.0	–	n ztw. ◯0.1.2, a ⊂⊃1. ca 6⁴⁵ p ab ztw. ◯0.
15.	15.7	16.5	17.4	14.3	20.8	15.3	**20.9**	12.6	9.1	7.2	8.8	75	41	68	SW 3	SW 3	SW 2	8^1	1^0⊙	0	0.0	–	a Gebirge sichtbar.
16	17.1	16.8	18.0	11.7	20.6	12.4	**20 9**	11.0	8.5	7.8	9.1	84	43	86	S 1	W 3	NE 1	2^0⊙	4^0⊙	10^1	–	–	a △, ⊂⊃1. $6^{01.06}$ p ◯0.
17.	15.9	14.5	17.4	13.8	19.6	8.2	19.9	7.9	9.6	8.4	7.4	82	50	93	W 2	S 4	N 2	9^1	6^1⊙	10^1●	0.0	–	ca 5 p kurz ◯. 7^{26} p–n ◯.
18.	18.9	19.2	21.6	5.2	7.1	3.9	8 4	3.9	5.7	4.9	4.4	87	65	71	SW 1	NW 1	NW 1	10^1	8^1	1^0	16.2	–	n ◯. a ≡0.
19.	22.4	22.1	21.4	1.5	5.9	2 6	6.8	1.0	4.3	3.7	4.4	84	53	80	SW 1	NW 2	SE 1	5^1	4^1⊙	3^0	–	–	a ⌊⌋, ≡0.
20.	18.1	14.9	12.9	0.2	7.7	3.2	7.8	– 0.2	4.1	4.2	**4.1**	88	55	71	C	E 2	SE 1	3^0⊙	4^0⊙	8^1	–	–	a ⌊⌋2, ⊂⊃1.
21.	08.1	05.2	699.5	2.3	5.3	5.2	5.5	2.1	4.6	5.8	6.2	85	88	94	NE 1	NE 1	E 1	10^1●	10^1	10^1●	–	–	ca 7 a ◯Tr. 7^{21}–10^{16} a ◯0.1.
22.	699.7	699.8	00.3	8.7	8.5	5.5	11.8	4.8	7.8	7.0	6.1	94	87	92	S 1	NW 1	W 1	9^1	10^1	10^1	9.9	–	n ◯. a, 1^{56} p ≡0.
23.	01.3	03.0	02.5	3.3	5.0	5.0	5.5	2.6	5.2	4.5	6.2	91	69	95	C	N 1	E 1	10^1●	10^1	10^1●	2.7	–	n, a ◯. a ≡0. ca 3^{45} p ◯00.
24.	699.8	02.7	11.0	5.2	3.5	3.3	6.4	2.3	6.4	5.3	4.8	97	91	84	NW 1	W 2	W 4	10^1●	10^1●	10^1●	**18.5**	–	n, a ◯, ≡0. $11^{36.46}$ a ◯ u. ✳. ca 11^{46} a kurz ✳0.1.
25.	14.1	09.0	04.7	0.6	8.0	5.0	8.2	0.4	3.6	3 2	3.2	75	39	50	S 1	SE 3	SE 2	8^1⊙	5^0⊙	9^1	12.2	–	ca 9–9^{25} p ✳0. 10^{01} p ◯00. [dann bis n ◯.
26	07.0	07.7	11.7	4.6	2.6	3.5	8.0	1.9	4.0	4.8	4.4	63	86	74	S 3	W 4	SW 4	10^1	10^1●✳	10^1	–	–	11^{16} a ◯1. $11^{41.56}$ a ◯ u. ✳. 0^{36} p △1, $0^{31.48}$ p △1.2, 1)
27.	18.3	19.0	18.2	2.3	5.3	1.6	6.0	0.5	4.6	3.7	3.9	85	56	77	SW 2	W 2	SE 1	10^1	6^1⊙	0	4.0	–	n ◯. a ≡0 i. S. 7^{16} a ◯ u. ✳, dann ✳1. 9^{06} a ✳1, 2)
28	12.5	08.8	04.8	– 1.7	7.2	4.4	7.4	– 2.2	3.4	4.3	5.1	84	56	83	E 1	SE 1	NE 1	5^1⊙	8^1⊙	10^1●	1.6	–	a ⌊⌋2. 5^{36} p, 8^{16} p, 8^{36} p ◯0.
29.	02.0	01.8	04.5	4.3	10.9	9.1	12.2	3.5	5.4	8.4	7.7	88	87	92	C	W 1	S 2	10^1	10^1	10^1	0.8	–	a ≡0. 0^{56} p ◯1. 3^{31} p ◯0.
30.	06.5	07.0	08.3	7.8	11.9	8.9	13.2	7.0	6.4	8.6	7.7	82	84	92	S 1	SE 1	SE 1	8^1	10^1	0	3.3	–	a ⊂⊃1.
31.	06.7	07.1	05.1	7.9	17.4	13.3	18.3	6.2	7.3	9.4	7.9	93	64	69	SE 1	S 1	SE 1	10^1	10^1	0	0.1	–	a ≡0, Gebirge schw. sichtbar.
Mittel	14.5	14.0	14.3	7.3	12.2	8.8	13.3	5.9	6.5	6.8	7.1	84	64	82				7.6	6.9	6.0	89.4		1) 1^{25} p ◯ u. ✳. 2^{21} p ✳1. 2^{46} p ◯ u. ✳. 2) 10^{36} a ✳1. $0^{31.36}$ p △1, ✳1.

Hohenpeissenberg.

Oktober. $\varphi = 47^0\ 48'$ N. $\lambda = 11^0\ 1'$ E $= 44^m\ 4^s$. H $= 994.1$ m. Cg $= \pm 0.0$ mm. 1926.

	600 mm + 7a	2p	9p	7a	2p	9p	Max	Min.	7a	2p	9p	7a	2p	9p	7a	2p	9p	7a	2p	9p	7a	7a	
1.	82.9	82.4	82.7	2.4	3.7	3.0	4.2	1.7	5.5	6 0	5.7	100	100	100	NE 2	E 2	E 1	10^2=	10^2=	10^2=	3.6	–	ca 7 a, 9 p ≡2. 7^{34} a ◯. ca 2 p ≡1.
2.	82.0	81.9	82.8	1.8	4.7	5.8	5.8	1.0	5.2	6.4	6.9	100	100	100	W 3	E 3	E 4	10^2=	10^2=	10^2=	1.4	–	t ≡2.
3.	82.9	83.8	84.9	6.5	8.4	8.3	9.5	5.8	7.2	7.2	8.2	100	88	100	W 1	E 2	E 2	10^2=	10^2	10	1.4	–	n ◯. ca 7 a ≡2.
4.	84.7	85.4	85.0	6.3	10.5	6.7	11.2	5.8	7.2	7.6	7.0	100	80	96	E 4	E 5	E 6	10^2=	8^2⊙	4^2	–	–	ca 7 a ≡2.
5.	84.9	**85 8**	84.9	4.4	6.1	8.4	8.4	3.7	6.2	7.0	8.1	100	100	99	W 1	E 2	E 1	10^2=	10^1=	0	–	–	ca 7 a ≡2, △. ca 2 p ≡1.
6.	83.9	83.2	82.8	9.7	15.0	11.8	15.5	6.9	4.8	6.5	6.2	53	52	60	C	E 1	E 1	⊙⊙	⊙⊙	0	–	–	a △.
7.	80.1	80.7	81.1	14.4	16.2	12.2	17.1	10.6	5.8	8.4	8.6	48	51	82	E 1	SE 3	W 4	1^1⊙	8^1⊙	10	–	–	a im Tal Reif. 3^{44} p ◯.
8.	80.3	79.2	78.6	11.4	15.6	11.8	17.1	9.8	7.2	8.8	8.1	72	66	78	NE 3	SE 2	C	3^1⊙	3^1⊙	0	0.7	–	a △.
9.	76.7	74.5	72.7	13.1	14.3	12.4	18.0	11.0	6.9	8.3	8.5	62	68	79	W 4	W 3	W 5	8^2	10^2	7^2	–	–	
10.	71.1	74.8	75.7	11.4	4.7	4.5	15.1	3.1	8.3	6.4	5.9	83	100	94	W 7	W 6	W 7	9^2	10^2=●	10	–	–	7^{34} a ◯. ca 2 p ≡2 ◯.
11.	78.3	78.2	78.5	5.1	9.6	7.0	10.2	3.7	5.5	5.4	5.8	85	60	77	W 5	W 2	W 3	8^2	1^1⊙	10	9.4	–	
12.	75.8	76.7	77.8	10.9	10.8	11.6	13.4	5.5	4.9	8 2	8.3	51	86	82	W 7	W 8	W 8	8^2⊙	10^2	10	–	–	
13.	76.2	75.7	76.6	11.9	15.2	12.0	15.6	11.1	8.4	8.3	8.6	81	64	83	SW 8	SW 7	W 8	9^2	3^1⊙	3^1	–	–	
14.	77.6	77.3	77.6	9.7	15.2	12.0	16.3	9.3	9.0	9.2	8.1	100	71	78	W 1	W 4	W 6	4^2	7^2⊙	3	0.3	–	n ◯.
15	77.8	78.9	79.5	10.7	16.0	13.1	16.7	9.8	8.3	7.1	7.4	87	53	66	W 6	W 7	W 7	6^1⊙	2^1⊙	0	–	–	
16.	79.4	79.4	80.0	11.4	16.9	12.8	17.2	9.2	7.2	7.3	9.1	72	52	83	W 6	W 4	W 7	3^1⊙	3^1⊙	8^2	–	–	
17.	78.5	77.4	78.1	10.7	14 5	5.4	15.4	5.4	**9.5**	8.0	6.7	99	65	100	W 6	W 8	N 4	8^2	4^1⊙	10^2=●	–	–	ca 9 p ≡2 ◯.
18.	79.1	79.9	81.6	0.8	2.9	0 6	5.6	– 0.4	4.8	4.8	4.0	100	85	83	NE 4	C	NE 2	10^2=	10^2	0	13.2	–	ca 7 a ≡2.
19.	81.8	81 7	81.2	– 1.9	2.5	– 0.4	2.8	– 2.3	3.7	3.6	3.2	92	65	72	C	NE 2	E 2	⊙⊙	3^1⊙	0	–	–	a ⌊⌋.
20.	78.0	75.9	74.1	– 2.0	3.4	3.2	4.0	– 2.2	3.7	4.1	4.3	94	70	75	E 2	E 2	E 1	3^1⊙	1^1⊙	5^1	–	–	a ⌊⌋.
21.	69.2	66.8	61.0	4.9	6.3	8.8	8.8	2.5	6.3	6.9	5.8	98	98	68	W 1	W 4	W 6	10^2●	9^2	5	1.6	–	n, ca 7 a ◯.
22.	61.2	61.3	61.0	9.7	5.5	3.3	10.0	2.7	6.4	6.8	5.8	71	100	100	W 2	W 3	W 4	8^2	10^2=	10^2=●	11.2	–	ca 2 p ≡2. ca 5^{46} p ◯. ca 9 p ≡2 ◯.
23.	62.2	63.6	63.9	0.7	2.9	4.0	4.0	– 0.4	4.8	5.6	6.1	100	100	100	E 2	W 1	E 2	10^2=●	10^2●	10●	4.8	–	ca 7 a ≡2 ◯. p–n ◯.
24	61.3	63.3	71.3	1.1	3.0	– 1.8	4 0	– 1.8	5.0	5.5	4.0	100	96	100	W 3	W 4	W 6	10^2=●	10^2	10^2=	**19 6**	–	ca 7 a ≡2 ◯. ca 8^{45} a, 5^{34} p ✣. ca 9 p ≡2.
25.	73.5	69 8	66.6	– 2.2	6 1	4.9	6.6	– 3.0	3.3	3.4	2.6	85	49	40	W 1	W 2	W 2	3^1	3^1⊙	10	3.4	2	
26.	67.7	67.9	72.4	0.9	– 2.0	– 1.9	5.3	– 2.3	3.2	4.0	4.6	65	100	100	W 5	W 7	W 8	10^1	10^2=✳	10	–	–	ca 2 p ≡2 ✣.
27.	78.5	79.3	78.5	– 1 9	0.3	– 1.5	1.5	– 2.3	4.0	4.1	3.5	100	87	86	W 6	W 3	E 4	10^1✳	3^2⊙	0	1.8	**4**	ca 7 a ✣.
28.	72.5	70 5	66.9	1.8	7.1	8.8	10 0	– 3 3	2.1	3.2	4.5	40	43	53	W 2	W 1	C	4^1	10^2	10^2●	–	1	ca 9 p ◯.
29.	64.2	64.2	66.3	8.7	9.2	6.1	13.1	5.6	4.4	7.8	7.0	52	91	100	NW 3	W 3	W 1	10^2	10^2	8	0.6	–	11^{16} a–ca 6^{45} p, 6^{54} p ◯.
30.	68.2	68.6	70.0	8.7	11.0	10.0	14.1	5.2	6.0	6.0	6.5	72	61	70	E 4	W 2	W 5	5^1	10^2	0	4.4	–	
31.	70.6	69.4	68.1	13.4	15.7	14.7	**18 5**	9.3	6.6	7.6	6.7	58	58	53	SE 3	SE 2	SE 2	7^2	10	3	–	–	
Mittel	75.5	75.4	75.6	6.3	8.8	7.0	10.8	3.9	5.9	6.4	6.3	81	76	82				7.0	7.0	6.0	77.4		

Alle Angaben nach Ortszeit.

Zugspitze.

Oktober. $\varphi = 47^0\ 25'$ N. $\lambda = 10^0\ 59'$ E $= 43^m\ 56^s$. H $= 2962.2$ m. Cg $= -0.2$ mm 1926.

Datum	Luftdruck auf c^0 u. Normalschwere reduziert 500 mm +			Lufttemperatur C°					Absolute Feuchtigkeit mm			Relative Feuchtigkeit Proz.			Richtung und Stärke des Windes o bis 12			Bewölkung o bis 10			Niederschlag mm	Schneedecke
	7^a	2^p	9^p	7^a	2^p	9^p	Max.	Min.	7^a	2^p	9^p	7^a	2^p	9^p	7^a	2^p	9^p	7^a	2^p	9^p	7^a	7^a
1.	32.6	32.8	33.6	− 8.1	− 4.8	− 4.9	− 4.6	− 8.8	2.3	3.1	3.1	100	100	100	C	SE 1	SE 3	9^1	10^2=	10^2=*	1.5	✱
2.	34.6	36.3	37.3	− 2.0	− 0.3	− 0.3	0.2	− 4.9	3.9	4.2	3.7	100	93	82	SE 3	SE 3	SE 1	9^1	1^1⊙	o	1.9	✱
3.	37.1	37.7	37.5	− 0.6	0.2	− 1.6	1.0	− 1.7	3.5	2.3	0.9	79	51	22	N 1	N 1	N 3	1^0⊙	⊙⊙	o	–	✱
4.	37.6	38.9	40.0	0.7	2.2	3.0	3.5	− 1.6	0.9	1.6	1.3	18	30	24	E 2	E 5	E 5	⊙⊙	2^0⊙	o	–	✱
5.	40.4	**40.5**	40.4	4.2	5.0	3.9	**6.1**	2.7	0.9	1.4	1.2	14	22	19	E 2	SE 1	C	⊙⊙	⊙⊙	o	–	
6.	39.2	38.9	38.4	2.5	4.3	1.9	5.0	1.8	1.5	3.4	4.1	28	53	76	E 1	S 2	W 2	1^0⊙	2^0⊙	o	–	
7.	36.7	36.2	35.9	0.9	3.6	− 0.3	3.9	− 0.3	4.3	**5.2**	4.1	91	88	91	NW 3	SE 1	S 3	1^1⊙	9^1⊙=	o	–	
8.	34.6	34.3	33.9	− 0.3	2.2	0.2	2.7	− 0.7	3.4	4.1	4.0	75	79	85	S 5	S 5	W 7	8^1⊙	8^1	2^1	0.0	–
9.	31.9	30.6	29.0	0.0	1.6	1.4	2.5	− 0.3	4.1	4.9	4.5	90	95	89	SW 8	S 7	SW 8	9^1	10^1	8^1	0.2	–
10.	27.7	27.6	28.5	− 0.4	− 3.1	− 5.6	1.5	− 5.6	4.3	3.5	2.9	97	100	100	SW 8	W 4	W 5	10^1	10^2=*	4^1=	0.1	–
11.	29.9	30.6	30.9	− 8.1	− 6.6	− 3.3	− 3.3	− 8.4	2.3	2.3	2.0	100	86	55	W 3	W 6	W 9	10^1=	3^0⊙	o	15.9	✱
12.	30.1	32.0	33.1	− 3.2	− 1.4	− 1.0	− 1.0	− 4.7	3.2	4.1	4.1	91	100	100	W 10	W 5	W 6	10^1	10^2=*	10^2=	–	✱
13.	32.2	32.3	32.8	− 1.0	0.3	− 0.2	0.3	− 1.4	4.2	4.5	4.5	100	97	100	W 5	W 5	W 4	10^1	10^0⊙	10^2=*●	3.8	✱
14.	32.9	33.4	33.6	− 2.1	1.3	1.2	2.4	− 2.1	3.9	3.3	3.2	100	67	65	W 4	W 6	W 8	8^0	4^0⊙	4^0	3.0	✱
15.	33.5	34.8	35.5	− 0.5	1.4	− 0.1	1.6	− 0.8	3.5	3.5	3.7	79	69	80	NW 5	W 4	NW 3	9^0⊙	1^0⊙	o	–	
16.	34.7	35.2	34.8	− 0.6	0.8	− 1.1	1.5	− 1.1	3.7	4.1	4.2	84	84	100	NW 3	NW 3	NW 3	1^0⊙	5^1⊙	9^1	–	
17.	33.4	33.0	31.8	− 1.1	− 0.3	− 0.9	− 0.2	− 1.4	4.2	4.1	4.3	100	91	100	NW 4	NW 4	NW 5	9^1	9^1	10^2=	–	
18.	30.2	29.6	30.2	− 4.9	− 5.4	− 9.9	− 0.9	− 9.9	3.1	2.9	2.0	100	100	100	NW 3	W 4	N 2	10^2=*	10^1=	10^2=	7.9	✱
19.	29.7	30.1	30.1	−12.7	−10.6	−11.4	− 9.9	−12.7	1.5	1.9	1.2	100	100	69	W 3	W 3	NW 3	⊙⊙=	1^0⊙	3^0	3.1	✱
20.	28.5	27.4	26.6	− 9.0	− 7.1	− 6.1	− 6.1	−11.4	1.0	1.5	2.8	43	58	100	N 2	W 4	NW 3	5^0⊙	8^0⊙	10^2=	–	✱
21.	22.8	21.8	18.7	− 3.5	− 2.6	− 2.2	− 1.7	− 6.4	3.5	3.7	3.8	100	100	98	SW 9	S 8	S 7	10^1	10^1	10^1	–	✱
22.	18.6	18.2	17.7	− 2.7	− 1.2	− 2.4	− 1.1	− 2.8	3.7	4.2	3.8	100	100	100	SW 7	S 7	S 7	10^1	8^0⊙	9^0	0.2	✱
23.	17.8	19.1	18.0	− 3.5	− 1.8	− 6.0	− 1.6	− 6.2	3.5	4.0	2.8	100	100	100	W 4	S 6	NW 3	10^2=	10^1=	10^2=*	3.9	✱
24.	15.1	17.1	21.5	− 7.8	− 9.4	−13.4	− 6.0	−13.5	2.4	2.1	1.4	100	100	100	NW 3	NW 4	N 5	10^2=*	10^2=*	10^2=*	**27.7**	✱
25.	24.5	22.8	20.2	−14.8	− 8.0	−10.1	− 7.9	−15.4	1.3	1.6	1.4	100	70	69	W 2	S 8	S 10	9^1	10^0⊙	10^1	1.8	✱
26.	18.7	19.3	21.1	−13.5	−14.3	−14.0	− 9.2	−15.6	1.4	1.3	1.4	100	100	100	NW 3	NW 5	N 8	10^1=	10^2=*	10^2=	3.4	✱
27.	26.2	27.3	28.5	−15.7	−14.0	−12.0	−12.0	−15.7	1.2	1.4	0.8	100	100	47	N 5	NW 3	NW 3	10^2=	7^1⊙=	2^1	3.8	✱
28.	27.5	25.9	23.1	− 5.3	− 2.4	− 2.3	− 1.8	−12.0	1.5	2.6	3.6	48	71	95	SW 4	W 6	S 10	10^0⊙	10^1	10^1	1.6	✱
29.	22.1	21.2	22.8	− 1.5	− 0.5	− 1.9	− 0.3	− 2.3	4.1	4.5	4.0	100	100	100	S 10	S 9	S 9	10^1	10^1	4^1	–	✱
30.	24.9	26.1	28.0	− 2.9	− 0.5	0.1	0.1	− 2.9	2.9	3.9	4.2	78	87	88	S 9	SW 6	S 10	10^1	10^1	1^1	0.0	✱
31.	26.5	27.9	26.0	− 0.3	1.3	0.5	1.6	− 0.3	4.5	4.6	4.5	100	91	94	S 10	S 9	S 10	10^1*	10^1	10^1	0.1	✱
Mittel	29.4	29.6	29.7	− 3.8	− 2.3	− 3.2	− 1.1	− 5.4	2.9	3.2	3.0	84	83	82				7.4	7.0	5.7	79.9	

Bemerkungen.

1. n ≡², ✳⁰. Früh Nebelmeer in ca 2700 m, gegen W u. SW Horizont klar. 7^{30} a–n ≡², 3^{45} p–n ✳⁰.¹, p ztw. ⁂.
2. n ≡², ✳¹; früh 11 cm Neuschnee, 3 cm ⋁. Ab 8 a Bewölkungszunahme. t über Flachland Nebelmeer in ca 1600 m, p langsam ansteigend u. in die Täler vordringend.
3. n ⌙⁰. t fast wolklos, nur vereinzelt ci-st-Streifen am Horizont. a über Täler u. Flachland Nebelmeer in ca 1700 m, p bis ca 2200 m ansteigend.
4. t vorwiegend heiter, böig. a über Flachland u. Täler Nebelmeer in ca 2300 m; ab 9 a in langsamer Auflösung. p Aufkommen von ci u. ci-st aus NE, über Täler ∞².
5. t wolklos. a über Flachland u. Loisachtal Nebelmeer in ca 1500 m, über Inntal ∞². p Hochnebeldecke über Flachland aufgelockert, ztw. Windstille.
6. a über Flachland Hochnebeldecke, Alpenvorland frei. 11 a Aufkommen von ci-st-Bewölkung aus SW, 12 m Wind frischt auf u. dreht auf SSW. p Bewölkungsabnahme.
7. n ⌙¹, a über Flachland st-Reste. 11^{30} a Aufkommen von ci-st, st-cu u. cu aus SW. 1^{30}–4^{40} p ≡¹.², ≡, ztw. ✳flocken. 5^{34} p ⟆ im S, 7 p ≲ im SE. 9 p ⌙⁰.
8. n ⌙¹. a alt-Gewölk vorherrschend, über Inntal Nebelmeer in ca 2000 m. 1 p Bewölkungszunahme aus SW. 5^{10}–ca 7 p ≡¹.², 5^{10}–5^{50} ✳⁰. 7^{15} p–n Föhnsturm, 9 p ≲ im W.
9. n, t Föhnsturm. t Flachland sehr rein, Bewölkungsgrad wenig schwankend. 9 p ≲ im SE, Zunahme der Windgeschwindigkeit.
10. n ✳⁰; n, a–8^{30} a Föhnsturm. 8^{40} a–n ≡², 3^{40} p ⊙ kurz durchdringend. 8^{40} a–ca 8 p meist ✳⁰.¹, ztw. ⁜. m ᔓ-Bildung, p leichter ⋁-Ansatz.
11. n, a–8^{30} a ≡². n ✳⁰, früh 4 cm Neuschnee, 10 cm ⋁. a ci-st-Bewölkung aus W. p Föhnsturm, Bewölkungsabnahme. 3 p Bildung einer Hochnebeldecke über Alpenvorland u. Täler.
12. n, a–ca 9^{30} a Föhnsturm, Windstösse ztw. > 30 m/sec. 10^{48} a–n meist ≡². 1^{30}–ca 4^{30} p ✳⁰.¹, anschliessend ✳treiben, ⋁-Bildung. ca 6^{30}–8^{25} p erneut ✳¹.
13. n, a ztw. ⁂. t alt-Gewölk vorherrschend. 7^{50}–8^{45} a ≡¹, dann föhniges Aufklaren. 6^{28} p–n ≡², ca 8^{30} p–n ✳⁰ u. Eisregen.
14. n ≡², ✳⁰ u. Eisregen. Früh Sicht sehr rein. t vorwiegend ci- u. ci-st-Bewölkung (W m.). p über Flachland Nebelmeer, langsam bis ca 2200 m ansteigend.
15. n ztw. ⁂; früh über Flachland ∞⁰, über Inntal ∞². a ci-st-Bewölkung aus W; p fast wolklos, nur vereinzelt ci-st-Streifen am E-Horizont.
16. n ⌙⁰. a fast wolklos, über Flachland u. Inntal ∞⁰. 0^{30} p Aufkommen von cu u. st-cu aus NW, 3 p vorübergehende Bewölkungsabnahme. 7 p–n ⌙⁰.
17. n ⌙⁰, früh Hochgebirge sehr rein. t st- u. st-cu-Bewölkung vorherrschend. 11^{30}–0^{30} p ≡¹. ca 6 p–n ≡², 6^{10} p kurz △⁰.
18. n, t meist ≡². n, a–ca 8^{30} a ✳⁰; früh 8 cm Neuschnee, 10 cm ⋁. 10^{30} a–ca 0^{30} p Gipfel nebelfrei. p ztw. ✳⁰ u. ✳treiben, ab 6 p ⋁-Bildung.
19. n ≡², ✳⁰. Früh 4 cm Neuschnee, 35 cm ⋁; ringsum Nebelmeer in Gipfelhöhe, t langsam bis ca 2000 m absinkend u. sich auflösend. 2 p ci-st aus W, 7 p ⊖.
20. Früh über Flachland stellenweise Nebeldecke, über Inntal ∞². a ci-, p alt-Gewölk vorherrschend. 5^{25} p fr-st in Gipfelhöhe, 6^{15} p–n meist ≡¹.².
21. n ≡²; n, t ⁂. 7^{30} a–1^{45} p ≡¹.², 7^{30}–10^{45} a ⁜, anschliessend starkes ✳treiben. p Föhnstimmung; über Flachland u. Alpenvorland Nebeldecke in ca 1000 m.
22. n, t meist ⁂. 7^{25}–8^{05} a ≡¹.², ztw. ⁜, anschliessend ✳treiben. 11^{30} a föhniges Aufklaren, in 3facher Glorie. 3^{45}–7^{30} p erneut ≡²; 9 p ⌙⁰, Nebelmeer in ca 2200 m.
23. n ztw. ⁂, ✳¹. n, t meist ≡¹.², m ⊙ kurz durchdringend. Früh 4 cm Neuschnee, ⋁-Ansatz. 7^{40}–8^{10} a ✳⁰, 10^{30} wie 10^{10} a kurz △¹. 3^{25} p–n ✳¹; 6 p Wind dreht auf NW.
24. n, t ≡², t andauernd starkes ⁜. Früh 25 cm Neuschnee. p ⋁-Bildung, Zunahme der Windgeschwindigkeit, böig.
25. n ≡², ⁜. a a-st-, p ci-st-Bewölkung vorherrschend. 10^{30} a–n Föhnsturm, heftiges ✳treiben. 2 p Föhnmauer im SE.
26. n–ca mn Föhnsturm, hierauf ≡² u. ✳¹; früh 5 cm Neuschnee. t ≡¹.², m ⊙ kurz durchdringend. 9^{30}–11^{10} a ✳¹. 11^{35} a–ca 7^{30} p starkes ⁜, dann ✳treiben.
27. n, t–2^{30} p ≡². n ⁂, heftiges ✳treiben, ztw. ⁜. Früh 15 cm ⋁, ✳treiben; 11^{40} a–0^{25} p ✳¹. p ci-st-Schirm im SW, Flachland u. Berge rein.
28. t Sicht sehr rein. a alt-Bewölkung, Zunahme der Windgeschwindigkeit. Ab 2^{30} p ⁂, ✳treiben, ztw. Windstösse bis 30 m/sec.
29. n, t Föhnsturm, Föhnmauer über Zentralkette, ztw. starkes ✳treiben. 11^{40} a, 0^{05} p kurz ✳⁰. 1^{10}–1^{25} p, 6^{30}–ca 8 p ≡¹. Abds. leichte ⋁-Bildung, 9 p ≲ im SE.
30. n, t meist Föhnsturm. Früh Sicht gegen Flachland sehr rein (bis Böhmerwald). m–ca 3 p vorübergehend Sturmpause. 8 p Windstösse bis 40 m/sec.
31. n, t Föhnsturm, böig. ca 6^{30}–8^{10} a ✳⁰ u. Eisregen; 7^{40}..8^{00} a ≡¹. m Aufkommen von cu aus S, 3^{10}–ca 7^{30} p föhniges Aufklaren.

Alle Angaben nach Ortszeit.

Bamberg.

November. $\varphi = 49^0\ 53'$ N. $\lambda = 10^0\ 53'$ E $= 43^m\ 32^s$. H $= 287.7$ m. Cg $= +0.3$ mm. 1926.

Datum	Luftdruck auf 0^0 u. Normalschwere reduziert 700 mm + 7a	2p	9p	Lufttemperatur C° 7a	2p	9p	Max.	Min.	Absolute Feuchtigkeit mm 7a	2p	9p	Relative Feuchtigkeit Proz. 7a	2p	9p	Richtung und Stärke des Windes 0 bis 12 7a	2p	9p	Bewölkung 0 bis 10 7a	2p	9p	Niederschlag mm 7a	Bemerkungen
1.	27.8	36.1	41.7	6.2	4.4	3.0	10.6	2.3	6.9	5.0	4.9	97	80	87	S 2	NW 2	W 2	10^1	9^1	10^2	0.7	9^{45} p–ca 0^{45} a ●$^{0.1}$.
2.	38.9	34.9	34.2	2.4	5.4	4.6	7.2	1.7	4.2	4.7	5.8	77	71	92	E 1	SE 2	NE 1	4^1⊙	9^1⊙	10^1	–	
3.	33.3	32.3	33.4	3.5	9.8	6.4	10.1	2.7	5.8	7.1	6.9	98	79	96	NW 1	NW 2	NW 1	10^1≡	9^1⊙	5^1	0.8	10^{04}–11^{29} p ●$^{0.1}$, ca 3^{45}–9^{15} a ≡^{1}, $5^{29.33}$ p ●$^{0.1}$, ca 8^{45} p ab ≡^{0}.
3.	33.3	32.3	33.4	3.5	9.8	6.4	10.1	2.7	5.8	7.1	6.9	98	79	96	NW 1	NW 2	NW 1	10^1≡	9^1⊙	5^1	0.8	10^{04}–11^{29} p ●$^{0.1}$, ca 3^{45}–9^{15} a ≡^{1}, $5^{29.33}$ p ●$^{0.1}$, ca 8^{45} p ab ≡^{0}.
4	35.0	35.1	35.1	6.2	10.2	9.1	10.7	5.3	7.0	8.1	8.1	99	87	95	C	C	W 1	10^2≡	10^1	10^2	0.1	9^{15} p ab ≡^{1}. mrgs.–ca 10^{15} a ≡.
5.	35.0	34.2	34.3	7.0	7.2	6.6	9.1	6.4	7.2	6.6	6.4	96	87	88	S 1	S 2	S 2	10^2	10^2	10^1	0.1	n ●Tr. 7^{34}–ca 9^{45} a ztw. ●Tr.
6.	34.6	32.7	29.0	6.2	8.4	5.5	9.3	5.1	6.6	7.1	6.1	93	87	91	S 2	S 2	SE 2	10^2	9^1	6^1	0.0	
7.	26.2	26.4	24.1	7.9	10.8	9.4	11.1	4.7	7.4	8.7	8.0	93	90	91	S 2	S 2	S 3	10^1●	10^1●	3^1	0.9	ca 5^{45} a–3^{45} p ztw. ●Tr. $8^{23.25}$ p ●$^{0.1}$.
8.	30.7	28.4	26.0	4.7	9.5	6.5	10.1	3.8	5.1	5.0	5.7	79	56	80	W 1	SE 3	SE 1	4^1	7^1⊙	1^1	0.4	ca 0^{45} a ●Tr.
9	26.0	30.5	34.1	7.2	10.6	5.7	11.6	5.0	7.3	7.4	6.6	96	77	97	S 1	S 2	C	10^1	5^1⊖	5^1	4.3	ca 0^{45}–3^{45} a, ca $5^{15.20}$ a ●^{1}.
10.	36.9	37.3	38.1	5.8	12.1	4.8	12.3	4.7	6.1	6.7	6.1	88	64	96	S 1	SW 1	C	9^1	1^1⊙	0	0.2	n ●Tr. abds. ≡^{0}.
11.	39.0	37 6	37.3	– 0.7	12.1	6.1	12.5	– 1.6	4.3	7.4	6.0	100	71	86	C	SW 1	SW 1	10^2≡	7^1⊙	1^1	–	ca 0^{15}–10^{15} a ≡^{1}, dann in rascher Auflösung. mrgs. ⌴^{1}.
12.	36.2	34.8	35.5	– 0.1	7.4	2.7	7.7	– 0.6	4.5	6.8	5.6	98	89	100	C	NW 1	C	10^2≡	9^1⊙	10^2≡	–	ca 11^{45} p–8^{45} a ≡$^{1.2}$, ca 7^{15}–9^{00} p ≡^{1}.
13	36.4	35.9	35.3	1.3	8.6	8.0	9.6	– 1.1	4.9	7.2	7.0	98	87	88	C	S 2	S 2	10^2≡	10^1	8^1	0.1	9^{00} p–ca 10^{45} a ≡$^{2.0}$, ca 7^{45} a ≡.
14.	33.6	34.6	38.3	12.3	12.7	10.3	13.4	7.6	7.0	**9.9**	8.3	66	91	89	SW 2	S 4	S 1	10^1	10^2●	9^1	0.1	9^{14}–11^{34} a ●$^{1.2}$, 1^{19}–2^{34} p ●$^{0.1}$.
15.	43.8	**45.9**	45.3	8.6	12.8	6.9	13.3	6.5	7.4	6.1	6.3	89	55	84	W 1	SW 3	SW 3	3^1	7^1⊙	7^1	**6.3**	n ●Tr.
16.	45.0	45.1	44.9	3.9	14.4	8.6	14.8	3.0	5.9	8.5	8.0	97	70	96	S 3	SW 1	S 1	7^1	8^1	8^1	0.0	n ●Tr. a ⌓.
17.	41.0	37.1	34.9	3.0	10.5	10.6	12.3	2.2	5.7	8.0	8.0	100	85	84	C	S 2	S 2	10^2≡	10^1	10^1	–	ca 0^{45}–8^{45} a ≡^{2}. ca 7^{45} a ≡.
17.	41.0	29.0	25.6	8.2	16.5	9.7	**16.6**	7.4	7.6	8.8	7.2	93	63	80	SE 2	S 1	SW 2	8^1	2^1⊙	2^1	0.0	
18.	31.9	**11.6**	15.5	8.2	14.8	10.1	15.6	7.4	6.5	7.2	6.2	81	58	67	W 2	S 3	SW 1	1^1	9^1	10^1●	–	a Talnebel. 5^{34}–6^{14} p ⌴ (SW 4). 9^{00} p ●^{1}.
19	17.2	21.3	21.0	6.4	9.8	9.5	10.8	4.4	5.7	5.8	6.0	79	64	67	S 3	SE 3	S 4	9^1	6^1⊙	10^1●	0.6	9^{00}–10^{04} p ●^{1}. 0^{32} p kurz ●. 8^{58}–9^{00} p ●^{1}.
20.	20.5																					
21.	15.2	21.4	27.1	13.8	8.0	5.6	14.1	5.1	4.9	7.3	5.8	42	92	85	S 4	S 2	S 4	9^1	10^1	10^1	0.2	$9^{00.04}$ ●^{1}, 1^{44} a–1^{58} p ●$^{0.1}$ (kurze Schauer).
22.	29.7	28.7	26.7	2.8	8.0	5.3	8.9	1.9	5.1	6.1	6.1	91	76	92	S 2	S 2	S 2	2^1	10^1	10^1●	1.6	6^{52}–9^{00} p ●$^{0.1}$.
23.	22.3	34.7	36.9	5.3	7.5	3.3	8.1	2.9	6.3	6.1	5.5	96	79	95	S 2	SW 2	S 3	10^2	9^1	1^1	5.6	$9^{00.59}$ p ●$^{0.1}$. 10^{28} p–ca 1^{45} a ●^{0}. $7^{14.59}$ a ●^{0}.
24	38.9	40.0	41.6	1.1	6.5	1.8	6.8	– 0.6	4.7	6.0	5.1	94	83	98	SE 1	SW 1	S 2	1^1	9^1	1^1≡	0.2	a ⌴^{1} u. Talnebel. 7^{49}–8^{14} a ≡$^{0.1}$. abds. ≡$^{0.1}$.
25.	41.9	41.5	41.2	– 0.1	0.8	2.0	2.2	– 1.8	4.5	4.7	5.2	100	98	98	C	C	C	10^2≡	10^1≡	10^2≡	–	ca 10^{45} p–7^{34} p ≡$^{1.2}$, dann Hochnebel.
26.	40.1	39.8	39.3	2.2	4.1	2.6	4.3	0.5	5.3	5.6	4.8	98	92	87	C	C	C	10^2●	10^1	10^1	0.9	ca 4^{15}–7^{29} a ●^{0}. 0^{58}–1^{54} p ●$^{0.1}$.
27.	38.6	38.1	37.8	1.4	3.0	0.2	3.4	– 0.9	4.5	4.4	3.7	89	78	79	SW 1	SW 1	S 1	10^2	9^1	10^1	0.3	
28.	36.7	35.5	35.4	– 0.4	0.8	– 1.3	1.1	– 1.3	3.5	3.4	3.4	78	71	82	S 2	S 2	S 1	10^1	10^1	5^1	–	5^{49}–6^{08} p ✳^{0}.
29	35.2	34.8	34.9	– 2.7	4.3	– 0.9	4.8	– 3.8	3.2	3.8	**3.1**	85	62	73	SE 1	S 1	C	3^1	1^1⊙	1^1	0.1	a ⌴^{1}.
30.	33.1	32.1	33.2	– 2.0	3.3	2.0	4.4	– 3.9	3.4	4.5	4.4	86	78	84	C	SE 2	S 2	5^1	9^1	10^2	–	a ⌴^{1} u. Talnebel.
																					23.5	
Mittel	33.7	33.6	33.9	4.3	8.5	5.5	9.6	2.5	5.6	6.5	6.0	89	77	88				7.8	8.1	6.8		

Kaiserslautern.

November. $\varphi = 49^0\ 27'$ N. $\lambda = 7^0\ 46'$ E $= 31^m\ 4^s$. H $= 238.1$ m. Cg $= +0.3$ mm. 1926.

1.	33.8	42.6	45.4	6.3	4.2	3.8	8.4	2.0	5.7	4.4	4.6	79	71	77	SW 5	N 2	NE 3	10^2	10^2	10^2	6.8	ca 7^{30}–8^{30} a ● mit ✳.
2.	40.8	38.2	37.5	3.6	5.8	5.4	6.2	2.0	4.4	5.5	6.0	75	81	89	E 3	SE 2	NE 1	10^2	10	10	0.9	6^{16} p kurz ●^{0}.
3.	36.6	36.1	37.1	5.5	9.8	7.4	10.2	4.1	6.0	6.9	6.8	89	76	89	E 2	NE 3	E 1	10^2	·0⊖	10^1	0.3	a ≡^{1}.
4.	38.3	38.3	39.1	3.0	7.5	6.8	7.8	2.0	5.3	6.7	6.7	93	88	91	NE 2	NE 2	NE 1	10^1	10^1	10^1	–	a ≡^{1}.
5.	38.1	37.1	36.8	6.9	8.2	7.9	8.5	5.5	7.0	7.1	7.1	94	88	89	SW 1	SW 2	W 3	10^1	10^1	10^1	–	a ≡^{1}.
6.	37.3	33.9	29.1	8.8	10.4	11.7	11.9	6.9	8.0	8.2	8.1	95	88	79	S 1	NW 2	W 1	10^2	10	10●	1.3	a–6^{34} a ●^{0}. ca 2^{30} p ztw. ●^{0}. 9^{00} p ●.
7.	29.4	28.9	26.7	9.5	10.9	9.7	12.1	9.0	7.6	8.1	7.9	87	84	88	W 1	SE 1	W 3	10^1	10^1	10^2●	5.4	ca 10^{30}–11^{15} a ⊙. ca 4^{30} p–n ●.
8.	32.8	28.0	26.1	5.2	10.3	8.4	11.1	4.1	5.9	6.2	7.4	89	66	91	E 2	SE 2	E 1	7^1	10^2	10^2●	20.0	n ●. a ≡^{0}, Morgenrot. ca 7^{30}–11^{30} a ⊙. ca 2^{30}–3^{11} p ●^{0}.
9.	28.7	34.0	36.8	9.3	10.9	6.9	11.3	6.1	6.4	6.2	6.1	74	63	83	SW 3	SW 3	E 2	9^1	7^1●	0	6.5	t wechselnde Bewölkung, ztw. ⊙. [ca 6^{30} p–n ztw. ●^{0}.
10.	40.1	40.2	40.2	6.4	11.7	5.6	12.0	5.0	6.2	6.1	6.0	87	60	88	SW 1	S 1	W 1	2^1	○⊖	0	–	a ≡^{1}.
11	40.2	39.4	39.1	2.1	11.8	3.8	12.0	0.8	4.9	6.9	5.5	91	67	92	NW 1	E 2	NW 2	$5^{\text{≡}}$	$5^{\ominus}$	3^0	–	a ≡^{1} ⌴.
12.	38.3	38.4	39.3	2.4	7.1	6.6	7.3	– 1.1	5.1	6.7	6.6	93	88	91	NW 1	NE 1	NW 1	10^1	10^2	10^2	–	a ≡^{1}.
13.	39.4	38.2	37.2	2.5	10.4	12.1	12.3	0.7	5.0	8.0	8.8	91	85	84	NE 1	E 1	SW 3	10^2	10^2	6^1	–	a ≡^{1}.
14.	36.5	39.2	42.6	14.9	12.6	11.8	16.2	11.2	9.7	7.7	8.3	77	71	81	SW 5	SW 5	SW 4	10●	10^2	2^1	0.6	a–ca 2 p meist ●, dann Aufheiterung.
15.	49.0	**50.0**	49.0	9.9	12.1	6.9	12.3	6.2	7.0	7.1	6.7	78	67	90	SW 3	SW 2	E 1	9^2	6^1	1^0	6.2	ca 7^{30} a Aufklaren.
16.	49.3	49.4	48.5	6.2	13.7	9.1	14.1	5.1	6.5	8.3	7.9	93	71	92	W 1	SW 2	E 1	10^2≡	10^2	5^1	–	a ≡^{1}. t wechselnde Bewölkung.
17.	44.1	39.1	37.2	6.3	15.3	13.7	15.4	4.2	6.5	9.1	9.3	91	70	80	E 1	W 2	SW 1	10^2≡	9^2	10^1	–	a ≡^{1}. 8^{01} a ●Tr., um m ztw. ⊙. p ≡^{0}.
18.	34.1	29.9	25.3	12.8	16.6	13.3	**16.9**	12.0	**9 8**	9.0	8.3	90	64	73	SW 2	SW 2	E 2	10^2	6⊖	5	1.0	a–ca 9^{30} a ●^{0}.
19.	18.6	**15 0**	19.7	7.7	10.7	7.3	13.3	6.5	6.9	7.6	5.9	89	79	77	SE 1	SW 1	W 4	9^2≡	10^2	10^2	0.4	a Morgenrot, dann ≡^{1}. t wechs. Bewölkung. 3^{01} p kurz ●^{0}.
20.	22.7	21.5	22.7	7.0	10.8	9.6	11.1	6.0	6.3	5.7	7.7	84	58	87	SW 3	SW 2	W 2	10^2	10^2●	10●	1.1	ca 7^{30} a–0^{30} p Aufklaren, ⊙. ca 2 p–abds. ●^{0}. abds. ●.
21.	19 8	24.4	29.8	8.8	8.5	8.0	10.1	7.2	7.5	6.9	6.6	89	84	82	W 3	W 3	NE 2	10●	10^2	0	**32.5**	n–10^{46} a ●.
22.	31.8	30.7	30.9	6.2	9.5	6.7	9.6	4.8	5.9	6.0	6.3	84	67	86	SW 2	SW 1	E 1	1^1	10^1	10^2●	5.0	a ≡^{0}, später–ca 11^{15} a ⊙, dann Bew.-Zunahme. abds. ●.
23.	35.2	37.2	39.1	6.0	9.0	8.2	9.2	5.3	5.9	6.0	6.3	85	70	78	SW 3	SW 3	E 1	7^1	8^2	10^2	1.1	t wechselnde Bewölkung, ztw. ⊙.
24.	41.5	43.5	45.5	7.0	7.8	4.2	8.6	3.2	6.3	6.1	5.9	84	78	**96**	SW 2	SW 2	W 1	10^0●	9^1	1^0	1.9	n, a–ca 8 a ●^{0}. t wechselnde Bewölkung, ztw. ●.
25.	46.3	46.2	46.6	3.1	5.1	3.6	5.3	1.2	5.3	5.8	5.6	93	89	95	E 1	N 1	NE 1	10^2≡	10^1	10^1	1.8	a ≡^{2}. t ztw. ≡^{0}. abds. ≡^{0}.
26.	46.2	45.2	44.5	2.6	4.0	0.8	5.0	– 1.0	5.1	5.2	4.6	93	85	94	N 1	NW 1	W 2	10^1≡	10^1	10^1≡	–	a ≡^{1}. t meist ≡. abds. ≡^{2}.
27.	43.6	42.5	41.4	2.3	2.7	2.2	3.2	– 1.0	4.4	4.9	4.5	80	87	84	W 1	W 1	E 3	10^2	10^2	10^2	–	
28	38.8	36.6	36.5	0.5	2.6	2.2	2.9	– 1.1	4.3	4.8	4.7	89	85	87	E 3	SE 1	E 2	10^1	10^2	10^1	0.7	a ⌴^{2}. 9^{46} a ● mit ✳.
29.	36.2	36.3	36.1	2.1	5.4	1.3	5.6	0.2	4.4	4.1	4.1	82	62	82	NE 2	NE 3	NE 3	10^2	9^2	9^1	0.3	
30.	34.1	35.1	36.9	0.4	2.0	1.0	2.4	– 1.1	3.9	4.1	4.4	84	77	89	NE 3	E 2	E 2	10^1	10^2	10^1	–	ca 10^{30} a kurz ⊙.
																					93.8	
Mittel	36.7	36.5	36.8	5.8	8.9	6.9	9.7	3.9	6.1	6.5	6.5	87	76	86				9.0	8.6	7.4		

Alle Angaben nach Ortszeit.

München.

November. $\varphi = 48^0\ 9'$ N. $\lambda = 11^0\ 34'$ E = 46 m 16 s. H = 526.4 m. Cg = + 0.1 mm. 1926.

Datum	Luftdruck auf 0° u. Normalschwere reduziert 700 mm +			Lufttemperatur C°					Absolute Feuchtigkeit mm			Relative Feuchtigkeit Proz.			Richtung und Stärke des Windes 0 bis 12			Bewölkung 0 bis 10			Niederschlag mm	Schneedecke cm	Bemerkungen
	7a	2p	9p	7a	2p	9p	Max.	Min.	7a	2p	9p	7a	2p	9p	7a	2p	9p	7a	2p	9p	7a	7a	
1.	06.5	14.1	19.6	11.7	10.1	2.9	16.2	2.7	8.5	7.0	4.6	84	76	80	S 1	W 3	NW 2	8^1	10^1	10^1	–	–	a Gebirge schw. sichtbar.
2.	15.1	12.7	12.6	4.1	7.3	5.6	7.5	2.6	5.7	6.0	6.4	93	78	94	E 3	E 1	SW 2	10^1	10^1	10^1	–	–	a i. S ≡0.
3.	11.8	10.5	12.1	5.4	7.9	6.9	8.0	5.0	6.6	6.8	6.8	99	86	91	SE 1	NE 1	NW 1	10^2≡	10^1	10^1	–	–	a ≡2. 8^{28} a ◍0. 10 a–4 p ∞2.
4.	13.0	12.6	13.6	5.9	7.6	7.0	7.9	5.6	6.5	7.0	7.0	94	90	94	E 1	E 1	C	10^1≡	10^1	10^1≡	–	–	a ≡2. 11 a ≡0. 4 p ≡0.1.
5.	14.3	13.1	13.1	4.5	6.5	5.3	7.0	4.0	5.9	6.2	6.2	94	85	94	W 1	SW 1	C	10^1≡	10^1≡	10^1	–	–	a ≡1.2 u. ≡Reissen. 10 a ≡0. 4 p ≡1.
6.	14.2	11.7	08.3	3.9	10.9	4.8	11.3	3.0	5.7	7.4	6.3	95	76	98	C	E 1	SE 2	10^2≡	5^1⊙	10^1≡	–	–	a ≡2. 10 a ∞2. 4^{46} p ≡1.
7.	07 3	06.5	05.2	5.3	12.3	7.8	12.6	2.0	6 0	7.1	6.7	90	67	84	C	C	E 1	10^1	9^1⊙	0	–	–	a ≡0. [Kette schw. sichtb.
8.	10.0	06.7	05.0	4.4	12.3	9.1	12.3	4.0	5.3	5.9	5.3	85	55	62	SE 1	E 3	SE 2	5^0	3^0⊙	0	–	–	a ≡0. 10 a ∞0. 1^{56} p Geb. sichtbar. 4 p ganze Geb.-
9.	08.3	11.1	14.1	7.7	10.3	8.7	14.3	7.0	6.6	6.2	6.5	84	66	77	W 3	S 2	SE 1	10^1●	10^1	10^1●	1.5	–	$10^{41.52}$p ◍0. 10^{46}p Durchzug ein. Böe. a ◍1. 10 a ◍0. 1)
10.	16.2	16.2	17.2	4.7	11.4	6.5	11.4	4.4	5.8	5.7	6.3	90	57	87	W 1	E 2	SE 1	10^1	5^0⊙	2^0	1.1	–	n ◍. a ≡0. 4 p Geb. i. SE ganz schw. sichtbar.
11.	17.5	15.6	15.1	2.6	12.1	6.1	12.2	2.4	5.1	6.0	6.6	93	57	94	C	E 2	SE 1	5^0	3^0⊙	2^0	–	–	a ≡0, ⌴1. 4 p Geb. i. SE schw. sichtb. 9 p ringsum
12.	14.1	12.4	14.5	2.3	8.9	6.5	9.4	1.3	5.1	5.8	6.2	94	68	87	E 1	E 1	C	10^1≡	8^1	4^0	–	–	n, a ≡1.2. [Dunstkranz.
13.	15.2	14.9	15.8	4.1	12.5	8.4	12.7	4.0	5.4	7.4	7.1	89	69	80	C	NW 1	SE 1	7^0≡	6^0⊙	4^0	–	–	a ≡1.
14.	15.2	16.4	19.0	8.6	15.4	15.4	16.1	5.5	6.4	7.5	7.9	77	59	61	S 1	S 1	W 2	7^1	9^1	10^1	–	–	a ganze Gebirgskette sichtbar, ∞2.
15.	24.2	**25.8**	25.1	11.2	13.3	9.3	15.4	9.2	8.2	7.3	7.3	83	64	85	SW 2	SW 1	S 1	10^1	4^0⊙	2^0	1.0	–	11^{31} p ◍0. ca 0^{45} a ◍. a ≡0.
16.	25.2	25.2	24.5	6.9	14.3	10.3	14.5	6.3	6.6	8.7	8.0	89	72	86	C	W 1	SW 1	8^1≡	3^0⊙	8^1	–	–	a ≡1.
17.	21.0	16.8	14.7	8.5	15.7	11.0	15.8	7.2	6.9	7.8	8.7	85	59	89	C	C	C	7^1	5^0⊙	10^1≡	–	–	a ≡0. 9^{41} a ◍Tr. 9^{45} a ◍0. 9^{00} p ≡1.
18.	11.2	07.8	04.9	10.2	14.5	13.7	14.6	8.3	7.0	**9.0**	5.4	75	74	45	W 1	NE 1	SW 2	10^1	5^0⊙	10^1	–	–	Morgenrot. a ∞2. 4 p Geb. i. S schw. sichtbar.
19.	697.2	692.6	696.5	12.2	17.6	10.2	**18.7**	10.2	5.2	5.4	6.4	50	36	69	SE 2	SE 3	W 3	7^1	8^1	10	–	–	a ∞1. 10 a Geb. i. Dunst. 1^{56} p Geb. gut sichtbar. 2)
20.	02.2	01.8	01.9	6.0	11.3	9.6	13.2	5.8	5.5	5.5	4.2	79	54	48	SE 2	SE 3	SE 2	9^1	4^0⊙	10^1	1.2	–	9^{46}–10^{46} p ◍0.1. 1^{56} p Gebirge sichtbar.
21	697.0	03.8	08.0	12.0	6.1	5.6	17.5	3.5	5.4	5.9	5.6	52	85	84	SE 1	W 2	SW 3	6^1	10^1●	10^1●	–	–	a Morgenrot. ca 0^{46} p–n ◍1.
22	09.4	05.9	05.1	4.7	6.5	4.3	7.4	4.1	5.4	5.7	6.0	85	79	97	S 1	SE 2	C	10^1	10^1	10^2≡	**17.5**	–	n ◍. a i. S ∞. 1^{56} p Geb. sichtb. 2^{38} p ◍0. 4 p Geb.
23.	12.3	14.4	16.4	3.7	5.9	4.6	7.4	3.0	5.1	5.4	5.1	86	78	82	SW 1	W 2	W 3	5^1	10^1●	4^0	0.0	–	a ≡0. ca 1^{30} p ab ◍0.1. [schw. sichtb.
24.	17.3	19.0	20.7	1.7	7.4	2.6	7.5	1.1	4.8	5.0	4 9	93	65	90	C	SW 2	C	5^1≡	3^0⊙	0≡	3.0	–	a ≡1, ⌴1. 9 p ≡1.
25.	20.0	19.5	19.8	1.1	4.1	2.8	4.5	0.5	4.4	5.1	5.1	90	85	92	C	W 2	SW 2	10^1≡	10^1	10^1●	–	–	a ≡2, ⌴1. 10^{56} a ◍00. 11^{56} a ≡. 1^{16} p ◍00. p ≡. 3)
26.	19.9	19.3	18.6	2.0	4.2	0.7	4.9	0.7	4.3	4.3	4.2	83	69	88	W 2	SW 2	C	10^1	5^1⊙	0≡	0.0	–	a ≡0, V. 10 a Hochnebel, V. 1^{56} p i. S ∞1. 4 p ∞1.
27.	17.8	17.0	16.3	– 2.3	0.9	0.2	1.1	– 2.5	3.7	3.9	3.8	98	80	81	S 1	W 1	W 1	4^0≡	10^1	10^1	–	–	a ≡1, ⌴2.
28.	14.8	13 3	13.5	– 1.1	2.6	– 1.2	2.6	– 2.3	3.9	3.6	3.7	80	64	90	SW 1	E 1	E 1	10^1	2^0⊙	0	–	–	a ≡0. 1^{56} p ∞1. 8^{56} p ⌴1.
29.	12.3	11.6	12.0	– 3.8	2.1	– 1.8	2.4	– 4.5	3.1	4.5	4.0	94	83	100	SE 1	E 2	E 2	0	3^0⊙	10^1≡	–	–	a ≡0, ⌴. 8^{56} p–n ≡1.
30	10.2	09.4	11.6	– 2 5	1.4	0.2	1.6	– 2.9	3.8	4.1	4.1	100	82	88	E 2	E 2	W 1	10^1	10^1	10^1≡	–	–	a ≡0 i. S. 9^{00} p ≡1.
																					25.3		
Mittel	13.0	12.6	13.2	4.9	9.1	6.1	10.3	3.4	5.6	6.1	5.9	86	71	84				8.1	7.0	6.9			1) 4 p ◍1 u. ∞1, Geb. i. SE schw. sichtb. 8^{56} p ◍0. 2) 4 p Gebirge nur i. SE sichtbar. 3) 8^{56} p–n ◍0, ≡0.

Hohenpeissenberg.

November. $\varphi = 47^0\ 48'$ N. $\lambda = 11^0\ 1'$ E = 44 m 4 s. H = 994.1 m. Cg = ± 0.0 mm. 1926.

	600 mm +																						
1.	69.7	75.6	78.9	12.3	5.5	– 1.2	16.4	– 1.4	6.4	6.1	4.2	60	91	100	W 3	W 4	NE 5	6^1	10^2	10^2≡	–	–	9 p ≡2.
2.	75.2	74.1	73.6	0.5	4.4	4.3	8.3	– 1.6	4.8	6.2	6.2	100	100	100	W 3	W 1	W 4	10^2≡	10^2≡	0	–	–	7 a, 2 p ≡2.
3.	72.6	72.0	73.6	7.4	6.7	3.9	7.8	2.7	5.6	6.4	6.1	73	87	100	W 5	W 4	W 4	10^2	3^1⊙	10^2≡	–	–	7 a ≡. 2 p ∞. 9 p ≡2.
4.	73.6	73.2	74.4	2.8	10.8	7.8	11.2	2.0	5.6	6.4	5.8	100	67	73	W 2	C	N 1	10^2≡	1^1⊙	0	0.3	–	n ◍. 7 a ≡2. 2 p, 9 p ≡.
5.	74.5	74.2	74.3	1.3	9.0	7.8	9.5	0.3	5.0	4.5	5.6	100	52	71	NE 2	C	W 2	10^2≡	1^1⊙	0	–	–	7 a ≡2. 2 p, 9 p ≡.
6.	75.0	72.6	69.9	7.9	9.2	9.2	10.0	5.8	5.2	5.8	4.6	65	67	53	W 3	W 3	W 5	1^1	3^1⊙	0	–	–	
7.	69.3	68.9	67.0	6.7	9.5	5.9	12.1	5.5	6.7	6.8	6.6	91	76	96	W 4	W 1	W 3	9^1	10^2	0	–	–	
8.	70.5	68.3	67.5	2.8	8.8	10.0	10.4	1.2	5.0	5.8	4.7	89	69	51	W 4	W 5	SW 6	0	1^1⊙	0	–	–	7 a ⌴.
9.	69.0	72.2	75.5	3.4	6.9	6.1	12.1	2.2	5.8	5.1	5.3	100	69	75	W 5	W 2	E 2	10^2≡●	10^2●	10	3.4	–	ca 2^{29} a Kälteeinbruch. 7 a ≡2 ◍. 2 p ◍.
10.	77.0	77.1	78.0	6.3	6.4	4.2	7.4	3.6	4.1	5.3	5.5	58	73	89	E 3	E 4	E 1	8^1	2^1⊙	0	1.1	–	
11.	77.9	77.2	76.4	6.2	8.8	7.8	9.5	3.9	4.0	4.8	3.7	56	57	47	C	E 2	E 3	0	2^1⊙	0	–	–	7 a ⌴.
12.	75.1	74.1	76.0	8.6	12.5	10.6	13.4	7.8	2.5	4.6	4.9	30	43	51	S 3	S 2	SE 3	3^1	5^1⊙	0	–	–	7 a im Tal ≡ u. ⌴.
13.	76.5	77.3	77.8	9.5	13.0	12.5	**17.1**	8.6	5.5	6.6	5.4	62	59	49	SW 5	SW 3	W 1	8^2	2^1⊙	0	–	–	
14.	77.8	78.2	80.7	13.5	14.9	13.7	15.5	10.6	4.9	5.7	7.3	43	46	62	SW 4	W 2	W 5	8^2	8^2	7^2	–	–	7 a im Tal ⌴.
15.	83.8	**85.6**	**85.6**	8.4	10.4	8.6	14.4	7.6	7.4	**7.6**	7.5	91	81	91	W 6	W 2	C	10^2	6^2⊙	0	0.8	–	n ◍.
16.	85.2	84.9	84.8	11.4	13.4	11.8	14.3	7.9	5.2	6.3	5.8	51	55	55	W 4	SW 2	W 1	5^1	2^1⊙	4^1	–	–	
17.	81.7	78.6	77.4	14.0	15.9	14.6	**17.1**	10.1	5 4	7.3	5.9	46	55	48	SE 2	C	W 2	8^2	5^1⊙	5	–	–	
18.	73.4	71.0	67.5	13.1	15.3	12.0	16 4	10.9	4.3	5.2	3.8	38	40	37	SW 6	W 5	S 5	8^2	4^1⊙	4^1	–	–	
19.	60.0	55.4	58.8	13.2	15.7	5.3	16.9	5.3	4.1	4.9	5.8	36	37	87	SW 4	SW 4	W 6	5^1	4^1⊙	10	–	–	ca 5^{15} p Kälteeinbruch.
20.	63.3	63.3	63.4	2.6	9.8	10.1	10.1	1.1	4.5	3.9	3.0	80	42	32	NW 2	S 4	SW 6	5^1	6^1⊙	5^1	5.6	–	n ◍.
21.	59.7	64.7	68.9	12.5	0.7	2.2	15.1	– 0.9	3.3	4.6	4.7	30	94	87	S 5	W 5	SE 7	8^2	10^2≡*	10●	–	–	ca 9^{45} a Kälteeinbruch. 2 p ≡2 ⊹. 9 p ◍.
22.	70.5	66.7	66.8	3.9	4.5	4.3	6.1	2.0	3.4	4.3	4.3	56	68	70	W 2	W 4	E 1	10^2	10^2	2^1	**17.0**	–	
23	72.5	74.8	76.5	1.5	0.7	1.8	5.1	0.2	4.6	4.6	4.7	91	94	90	W 4	W 3	E 4	4^1	10^2●	2	–	–	2 p, 5^{04} p ◍.
24.	78.0	79.5	80.5	4.0	3.7	2.2	4.6	1.1	2.7	4.3	4.2	45	72	79	E 2	E 2	E 2	7^1	8^2⊙	10	1.8	–	7 a ⌴.
25	80.2	79.6	80.0	1.3	0.7	– 0.9	3.2	– 1.7	4.6	4.8	4.0	91	100	94	W 2	W 3	W 3	10^2	10^2*	2^1	–	–	2 p *.
26	80.3	79.6	78.3	– 1.5	2.1	– 2.3	2.5	– 2.5	4.1	3.8	3.1	100	71	81	W 2	W 2	E 1	10^2≡	9^2⊙	0	3.2	2	7 a ≡2.
27.	78.0	76.9	76.5	– 3.5	– 2.4	– 3.4	– 0.4	– 4.4	2.7	3.3	3.5	76	85	100	W 3	W 2	C	1^1	00	10^2≡	–	–	2 p ∞. 9 p ≡2.
28.	75.1	74.2	73.7	– 2.6	– 1.5	– 2.5	0.7	– 6.2	**1.7**	3.0	3.0	46	74	79	W 1	W 1	E 1	2^1	1^1⊙	0	–	–	7 a ≡2. 2 p ∞.
29.	72.6	71.9	71.6	1.4	3.8	2.6	5.7	– 3.3	1.8	2.7	2.5	35	45	44	W 2	SE 4	E 3	1^1	2^1⊙	0	–	–	7 a ⌴.
30.	70.0	69.5	72.0	3.3	7.0	2.5	8.1	– 2.7	2.8	2.8	4.1	49	37	74	W 3	W 3	W 4	2^1	10^2	10	–	–	7 a ≡. 2 p ∞. ca 3^{16} p Kälteeinbruch.
																					33.2		
Mittel	73.9	73.7	74.2	5.7	7.6	5.7	10.0	2.5	4.5	5.1	4.9	66	67	72				6.3	5.5	3.7			

Alle Angaben nach Ortszeit.

Zugspitze.

November. $\varphi = 47^{0}\ 25'$ N. $\lambda = 10^{0}\ 59'$ E $= 43^{m}\ 56^{s}$. H $= 2962.2$ m. Cg $= -0.2$ mm. 1926.

Datum	Luftdruck auf 0^{0} u. Normalschwere reduziert 500 mm +			Lufttemperatur C°					Absolute Feuchtigkeit mm			Relative Feuchtigkeit Proz.			Richtung und Stärke des Windes o bis 12			Bewölkung o bis 10			Niederschlag mm	Schneedecke
	7^{a}	2^{p}	9^{p}	7^{a}	2^{p}	9^{p}	Max.	Min.	7^{a}	2^{p}	9^{p}	7^{a}	2^{p}	9^{p}	7^{a}	2^{p}	9^{p}	7^{a}	2^{p}	9^{p}	7^{a}	7^{a}
1.	26.6	29.3	30.4	− 1.9	− 0.5	− 2.6	0.5	− 2.8	3.5	**4.4**	3.7	92	100	100	S 9	S 5	SE 6	6^{1}	9^{1}≡	2^{1}	0.0	⊠
2.	29.9	29.3	28.9	− 1.5	− 0.5	− 1.7	− 0.2	− 2.6	3.9	**4.4**	4.0	96	100	98	S 7	S 6	S 7	10^{0}⊙	9^{1}	1^{1}	–	⊠
3.	27.8	27.3	28.3	− 2.4	− 0.5	− 2.4	− 0.4	− 2.7	3.8	4.1	2.5	100	93	67	S 4	SE 4	SW 5	10^{0}⊙	10^{0}⊙	1^{1}	–	⊠
4.	28.6	29.1	30.5	− 2.6	− 3.1	− 1.0	− 1.0	− 3.1	3.2	3.6	2.0	87	100	47	SE 7	SE 4	S 7	8^{0}⊙	9^{0}⊙	10^{1}	–	⊠
5.	30.0	29.5	29.7	− 2.0	− 0.4	− 2.0	0.5	− 2.2	2.5	2.5	2.9	64	56	75	S 3	S 4	S 6	2^{1}	1^{0}⊙	1^{1}	–	⊠
6.	29.5	28.1	25.4	− 3.2	− 2.7	− 2.8	− 2.0	− 4.0	3.5	3.2	2.9	100	86	79	S 5	S 5	S 10	2^{1}⊙	9^{0}⊙	2^{1}	–	⊠
7.	24.3	23.6	23.1	− 4.0	− 3.2	− 3.9	− 2.6	− 4.1	3.3	3.5	2.9	100	100	86	SE 7	SE 5	S 8	10^{1}	10^{1}≡✱	1^{1}	–	⊠
8.	24.3	23.8	23.7	− 5.6	− 4.0	− 2.8	− 2.2	− 7.7	1.2	2.0	3.2	43	61	87	SW 4	SE 7	S 8	1^{1}⊙	5^{0}⊙	5^{1}	0.7	⊠
9.	23.1	25.5	27.9	− 4.8	− 5.2	− 5.1	− 2.4	− 6.7	3.1	3.0	3.0	100	100	100	W 2	S 2	S 2	10^{1}≡✱	10^{1}≡✱	6^{1}≡	0.6	⊠
10.	29.0	29.5	30.7	− 6.3	− 4.5	− 6.5	− 4.4	− 6.5	2.7	2.7	1.9	100	87	71	S 3	S 3	W 2	10^{1}	8^{1}	2^{1}	1.1	⊠
11.	31.2	31.5	31.2	− 5.9	− 0.3	− 1.3	− 0.2	− 7.4	**0.7**	0.9	0.8	25	20	18	W 3	SW 4	S 2	1^{0}	3^{0}⊙	2^{0}	–	⊠
12.	30.1	30.3	31.9	− 1.5	− 0.7	− 0.4	− 0.4	− 2.6	2.3	3.5	3.3	57	81	76	S 7	S 7	S 8	8^{0}	8^{0}⊙	4^{1}	–	⊠
13.	32.4	32.7	33.7	− 0.3	0.2	1.0	1.0	− 0.9	3.6	4.2	3.4	82	90	70	S 7	S 8	S 9	10^{1}	8^{0}⊙	8^{0}	–	⊠
14.	33.5	34.0	36.0	− 0.5	0.4	− 0.5	1.0	− 0.5	3.3	3.5	3.1	74	75	69	S 8	SE 9	W 7	9^{0}	10^{0}⊙	3^{0}	–	⊠
15.	38.1	39.4	**40.5**	− 2.0	− 0.8	− 0.2	− 0.1	− 2.0	3.9	4.1	3.4	100	94	75	NW 5	W 6	W 5	8^{1}≡	5^{0}⊙	4^{0}	–	⊠
16.	40.3	40.3	40.1	− 0.3	0.0	0.1	0.1	− 0.5	2.2	3.3	4.6	50	72	100	W 5	NW 4	NW 3	7^{0}	5^{0}⊙	4^{0}	–	⊠
17.	38.2	35.7	33.7	2.3	3.5	1.8	**4.0**	0.1	3.7	3.9	3.0	68	64	54	W 4	S 5	S 6	10^{1}	9^{0}⊙	10^{1}	–	⊠
18.	29.5	26.8	23.7	− 1.3	− 0.5	− 2.7	1.8	− 2.9	2.6	3.5	3.5	63	81	95	E 2	S 5	S 8	8^{0}	10^{0}⊙	10^{0}	0.0	⊠
19.	17.3	**14.2**	14.9	− 3.0	− 0.8	− 4.2	− 0.7	− 4.2	3.4	3.1	3.2	94	72	100	SE 10	S 10	SW 3	8^{0}	4^{1}⊙	10 ≡✱	–	⊠
20.	17.5	18.7	19.8	− 9.2	− 6.5	− 4.3	− 4.2	− 9.8	2.1	1.7	2.2	100	67	69	S 4	S 9	SE 11	2^{1}	8^{0}⊙	4^{0}	2.5	⊠
21.	16.8	19.1	22.3	− 3.3	− 4.6	− 8.4	− 2.7	− 8.5	2.5	3.1	2.3	70	100	100	SE 11	SE 4	NW 3	2^{1}	10^{1}≡✱	3^{1}≡	–	⊠
22.	23.2	20.9	21.5	− 7.5	− 5.9	− 6.8	− 5.5	− 8.4	2.5	2.8	2.6	100	100	100	SE 5	SE 8	S 6	10^{1}	10^{1}	9^{1}	**21.6**	⊠
23.	23.8	25.9	27.8	− 9.2	− 7.0	− 9.0	− 6.8	− 9.3	1.7	2.5	2.1	80	100	100	S 5	SE 4	SE 5	10^{1}	10^{1}≡	0	–	⊠
24.	28.9	29.6	30.0	− 9.0	− 8.9	− 10.6	− 8.5	− 10.6	1.4	1.5	1.1	65	68	62	SE 7	SE 2	SE 2	4^{0}	2^{0}⊙	0	0.2	⊠
25.	28.1	27.8	27.8	− 12.1	− 11.4	− 13.7	− 10.4	− 13.8	1.6	1.7	1.4	100	100	100	SE 2	NW 2	N 1	10^{2}≡	10^{2}≡✱	10^{2}≡✱	–	⊠
26.	27.2	27.3	27.4	− 14.8	− 12.0	− 14.3	− 12.0	**− 14.9**	1.3	1.6	0.9	100	95	69	N 3	NW 1	NW 2	10^{2}≡	1^{0}⊙	0	7.3	⊠
27.	26.7	26.2	25.5	− 13.3	− 12.0	− 10.8	− 10.8	− 14.4	**0.7**	0.8	0.9	47	48	50	NW 2	W 3	S 2	1^{1}	⊙⊙	2^{0}	0.0	⊠
28.	23.4	22.8	23.1	− 12.5	− 11.8	− 12.0	− 10.3	− 13.2	1.1	1.5	1.2	70	94	69	S 4	S 3	SW 6	1^{1}	9^{1}⊙	0	–	⊠
29.	24.4	25.2	25.6	− 9.2	− 7.6	− 5.9	− 5.9	− 12.1	1.2	1.5	1.7	55	61	61	S 4	S 5	S 6	6^{0}	8^{0}⊙	2^{1}	0.0	⊠
30.	24.4	24.6	25.2	− 5.9	− 4.5	− 6.5	− 4.5	− 6.5	1.8	2.2	2.1	65	71	79	SE 6	S 8	SE 3	9^{0}	10^{1}	4^{1}	–	⊠
																					34.0	⊠
Mittel	27.6	27.6	28.0	− 5.1	− 3.9	− 4.7	− 3.0	− 6.2	2.5	2.8	2.5	78	81	78				6.8	7.3	4.0		

Bemerkungen.

1. n ✱⁰; n, a–ca 11 a Föhnsturm. a alt-Gewölk vorherrschend; 9 a Bildung einer Hochnebeldecke über Flachland. 1^{40}–ca 8 p ≡¹·², V-Bildung. 9 p Nebelmeer in ca 2700 m.
2. n ⌊¹. n, t ztw. ⫼, böig. t im SE Föhnmauer, über Flachland u. Alpenvorland Nebelmeer in ca 1500 m, ab 6 p in Täler vordringend. 8^{55}–9^{40} a ≡², m 3fache Glorie.
3. n ⌊¹, ztw. ⫼. t vorwiegend alt-Gewölk, im SE Föhnmauer. a über Flachland stellenweise Hochnebeldecke in ca 800 m, p bis ca 1500 m ansteigend u. in Täler vordringend.
4. n ztw. ⫼. t meist alt-Gewölk, im SE schwache Föhnmauer. a über Flachland u. Loisachtal Nebelmeer in ca 1000 m, p bis ca 1200 m ansteigend. 11^{40} a kurz ≡².
5. n ⫼. a aus S vordringende ci- u. ci-st-Bewölkung, über Flachland u. Loisachtal Nebelmeer in ca 1300 m. p Föhnmauer im SE, Bewölkungsabnahme.
6. n ⌊¹, t Föhnmauer von E–SW. Früh über Flachland st-Reste. a vorwiegend heiter, 9^{30} a fr-st in Gipfelhöhe. 0^{30} p zunehmende ci- u. ci-st-Bewölkung aus W. 3 p–n Föhnsturm.
7. n ⫼, t im SE schwache Föhnmauer. 10^{30} a kurz ≡². 1^{30}–2^{55} p erneut ≡¹·², 1^{40}–2^{25} p ✱⁰. 4 p föhniges Aufklaren, ⫼, Nebelmeer über Flachland in ca 1600 m. 9 p ≤ im NW.
8. n ⫼, ✱⁰ u. △⁰. Früh 1 cm Neuschnee, über Inntal Nebelmeer in ca 2300 m. a fast wolklos. Ab 11^{30} a zunehmende ci- u. ci-st-Bewölkung aus W. p ⫼, böig.
9. n ⫼, ≡ u. ✱⁰; t ≡¹. Früh 3 cm Neuschnee, bis 10^{30} a ✱⁰, anschliessend ✱treiben. 1^{30}–2^{10} p ✱⁰. p ≡ ztw. aufgelockert, abds. im Zenit klar.
10. n ≡, t Föhnmauer über Zentralkette. Früh 8 cm Neuschnee, 3 cm V, über Inntal Nebelmeer in ca 1600 m. 11 a föhniges Aufklaren, Polarbanden (SW-NE). 2^{10}–2^{25} p ≡², Glorie.
11. Früh über Flachland stellenweise Hochnebeldecke, über Inntal ∞⁰. t leichte ci- u. ci-st-Bewölkung aus W, Fernsicht sehr rein (bis Schwarzwald).
12. n, t meist ⫼. Früh sehr reine Fernsicht, 9 a Bildung einer Föhnmauer über Zentralkette. t meist st-Bewölkung, 0^{30} p im SW föhniges Aufklaren.
13. n, t ⫼. t vorwiegend alt-Gewölk, über Zentralkette Föhnmauer. 3^{40} bis ca 7 p von SW her föhn. Aufklaren. p ztw. Windstösse > 25 m/sec.
14. n, t meist ⫼. t ci- u. ci-st-Bewölkung aus W, im SE Föhnmauer. Früh über Flachland ∞⁰, m ∞ zunehmend. 2^{10} p ⊕ mit Halbm. von $22^{1}/_{2}{}^{0}$. 6 p Wind dreht auf W.
15. n ≡, ztw. ⫼. Früh bis 10^{55} a ≡¹, Talblick nach W meist frei. 2 p Wolkenmeer über Flachland u. Täler in ca 1800 m, Glorie. 3 p Polarbanden (S–N), 9 p ⊖.
16. Früh über Flachland stellenweise Hochnebeldecke. t meist alt-Gewölk, Bewölkungsgrad wenig schwankend. m ∞kranz-Bildung, 9 p ∈.
17. Früh prächtiges Morgenrot. a alt-Gewölk vorherrschend. 9 a Durchzug eines schwachen Ausläufers, kurz ✱⁰. 11^{30} a ⊕ (Halbm. $22^{1}/_{2}{}^{0}$). 3 p Aufkommen von st aus W.
18. Früh über Inntal ∞⁰, Föhnmauer im SE, m auf ganze Zentralkette übergreifend. 3 p aus W vordringende st-Bewölkung. 7 p ∈, abds. ⫼, böig.
19. n ⌊¹⁰. n, t–ca 7 p ⫼, Windstösse > 30 m/sec. t Föhnmauer über Zentralkette. m ztw. ✱Flocken, anschliessend föhniges Aufklaren. 4^{40} p–n ≡¹·², 5^{55} p–n ✱⁰.
20. n ≡ u. ✱⁰, t Föhnmauer im SE. Früh 4 cm Neuschnee, schwacher V-Ansatz. 10^{30} a–n ⫼, ztw. heftiges ✱treiben. Ab 1^{10} p Bewölkungszunahme aus W, abds. langs. Aufklaren.
21. n, a–ca 11 a ⫼; früh Windstösse > 40 m/sec. a Föhnmauer über Zentralkette, ab 8 a Bewölkungszunahme aus S. 10^{50} a–n ≡², 11^{25} a–7^{35} p ✱⁰·¹, ztw. ✢. p V-Bildung, 9 p ∈,[1])
22. n ≡, ztw. ✢; t Föhnmauer über Zentralkette. Früh 5 cm Neuschnee. p ⫼, starkes ✱treiben. 4^{30}–5^{10} p ≡¹. 6 p vorübergehend Bewölkungsabnahme, 9 p ⌊¹.
23. n ztw. ⫼. Früh im SE Föhnmauer, über Loisach- u. Isartal Nebelmeer in ca 1500 m. 9^{30} a–ca 8 p meist ≡¹·², 9^{35}–10^{05} a ✱⁰, 11^{34} a–4^{10} p ztw. ✱⁰·¹. p leichte V-Bildung; 9 p ⌊¹·²)
24. Früh über Flachland stellenweise Nebeldecke, im SE schwache Föhnmauer. a ci- u. ci-st-Bewölkung, Polarbanden (SW–NE). p Bewölkungsabnahme, leichte cu-Bildung üb. Hochgeb.[3])
25. n ⌊¹. ca 5 a–n ≡¹·², 8^{35} a–n ✱⁰·¹ mit geringen Unterbrechungen. a ztw. Windstille, 9 a Wind dreht auf NNW. 9 p 20 cm Neuschnee, V-Bildung.
26. n ≡², ✱⁰. Früh ≡², 10 cm Neuschnee, 5 cm V. 7^{15} a kurz ✱⁰. 10^{25} a Absinken des ≡ auf ca 2500 m, ab 3 p über Täler u. Flachland sich auflösend. m Glorie, p fast wolklos, [4])
27. t vorwiegend heiter. Früh gegen Flachland ∞⁰, Hochgebirge sehr rein. 11 a Bildung einer Hochnebeldecke über Flachland. Ab 3 p ci-st am SW-Horizont, 4 p Wind dreht auf S.
28. Früh über Flachland Wolkenmeer in ca 800 m, im SE schw. Föhnmauer. 8 a Böenfront im W, rasches Aufziehen von a-cu u. st, 9^{30} a Untersonne. 10^{5} p kurz ✱⁰, 3 p Aufklaren,[5])
29. t vorwiegend ci- u. ci-st-Bewölkung (W l.). Früh im SE schwache Föhnmauer, m ztw. böig. Ab 9^{50} a ci-Schirm im W. Abds. Bewölkungsabnahme.
30. n ztw. ⫼, t meist st-Bewölkung, über Flachland stellenweise Nebeldecke in ca 800 m, im SE Föhnmauer, m auf ganze Zentralkette übergreifend. 10^{30} a–ca 5 p ⫼, ztw. ✱treiben.

[1]) 15 cm Neuschnee. [2]) über Täler fr-st. [3]) 9 p Wolkenmeer in ca 2200 m. [4]) vereinzelt ci u. ci-st im SW. [5]) ztw. ✱treiben.

Alle Angaben nach Ortszeit.

Bamberg.

Dezember. $\varphi = 49^0\ 53'$ N. $\lambda = 10^0\ 53'$ E $= 43^m\ 32^s$. H $= 287.7$ m. Cg $= +0.3$ mm. 1926.

Datum	Luftdruck auf 0^0 u. Normalschwere reduziert 700 mm +			Lufttemperatur C°					Absolute Feuchtigkeit mm			Relative Feuchtigkeit Proz.			Richtung und Stärke des Windes 0 bis 12			Bewölkung 0 bis 10			Niederschlag mm	Schneedecke cm	Bemerkungen
	7^a	2^p	9^p	7^a	2^p	9^p	Max.	Min.	7^a	2^p	9^p	7^a	2^p	9^p	7^a	2^p	9^p	7^a	2^p	9^p	7^a	7^a	
1.	33.1	33.1	34.8	1.6	3.0	0.1	3.2	− 0.3	4.3	4.4	4.2	84	78	90	E 1	NE 1	C	10^2	10^1	8^1	−	−	
2.	35.9	35.8	35.8	1.8	2.1	0.7	2.2	− 0.5	4.4	4.6	4.4	84	85	90	N 1	N 2	W 1	10^2	10^2	10^2	0.0	−	n ◯Tr. ca 0^{15}–1^{54} p ◯^{0} u. ×^{0}.
3.	34.7	32.7	30.2	0.6	1.1	0.0	1.3	− 0.3	4.4	4.6	4.4	92	92	96	SW 1	SW 1	S 2	10^1	10^1●	10^1*	0.2	−	7^{45} a–ca 5^{48} p ◯ (Staubregen). ca 5^{45} p–9^{00} p ×$^{0.1}$.
4.	26.4	25.2	26.9	0.8	1.2	1.1	2.0	− 0.5	4.5	4.7	4.9	92	94	**98**	S 2	S 1	C	9^1	10^1●*	10^1●*	2.4	**2**	9^{00}–ca 0^{45}a ×$^{0.1}$, 10^{53}a–4^{24}p ◯^{0} u. ×^{0}. 6^{39}–9^{00}p ×^{0}u. ◯^{0}.
5.	31.8	35.3	39.2	− 0.9	1.8	− 0.1	2.1	− 2.0	4.1	4.2	4.0	95	80	88	NW 1	NW 2	NW 1	3	3^1⊙	10^2*	2.0	**2**	9^{00}–ca 10^{46} p ◯^{0} u. ×$^{0.1}$. ca 1^{45}–2^{15} a ×^{1}. 7^{00} a ∽^{1}. [$^{9^{00}}$ p ×Flocken.
6.	41.9	43.3	45.2	0.4	0.8	0.9	1.1	− 0.7	3.8	4.1	4.0	81	84	82	NW 2	NW 2	NW 2	10^2	10^2	10^2	−	−	
7.	46.4	46.2	46.5	0.0	1.9	− 1.5	2.2	− 2.2	3.7	3.7	3.7	81	69	90	NW 1	N 1	N 1	10^2	3^1⊙	2^1	−	−	
8.	46.1	45.7	48.1	− 1.7	0.1	1.0	1.2	− 3.6	3.7	4.2	4.7	92	90	96	S 2	N 1	NW 1	10^2	10^2	10^2	−	−	a ⌊⌋$^{0.1}$. 10^{19} a–0^{04} p ×$^{0.1}$.
9.	49.2	49.4	50.4	2.1	2.9	2.4	3.1	0.6	5.0	5.1	5.3	93	90	96	NW 2	NW 2	NW 1	10^2	10^2	10^2●	0.7	−	a Talnebel. ca 11^{15} a–1^{30} p ◯^{0}. ca 4^{45}–9^{00} p ◯$^{0.1}$.
10.	49.7	50.2	51.0	2.8	3.9	4.2	4.5	1.7	5.5	**5.9**	**5.9**	**98**	97	96	C	SW 1	NW 2	10^2	10^2	10^2	**4.2**	−	9^{00}p-ca 1^{45}a ◯$^{0.1}$, 7^{00}a Talnebel. 7^{36}–9^{30}a ◯^{0}. 11^{24}a◯Tr.
11.	50.9	50.8	**51.4**	4.2	5.3	3.7	**5.6**	3.3	5.8	5.9	5.7	93	89	95	W 1	C	C	10^2	10^2	10^2	0.2	−	
12.	50.8	49.9	48.5	3.0	4.1	3.1	5.0	2.3	5.5	5.6	5.7	96	92	**98**	SW 1	SW 1	S 1	10^2	10^2	10^2●	−	−	ca 8^{45} p–9^{00} p ◯Tr.
13.	45.3	43.2	41.9	0.3	0.6	0.8	3.3	− 0.8	4.5	4.5	4.7	96	91	96	S 2	SW 2	SW 1	10^2	10^2	10^2	0.2	−	a ≡^{0}. 9^{00}–ca 11^{15} p ◯^{0}.
14.	39.1	38.3	37.8	1.3	2.5	2.4	3.0	0.0	4.8	4.9	5.1	96	89	93	W 1	SW 2	S 2	10^2	10^2	10^2	0.2	−	n ◯Tr.
15.	37.4	40.4	43.0	2.4	0.7	− 3.4	3.0	− 4.6	5.3	3.7	3.1	96	77	86	W 1	NW 2	C	10^2●	9^1	1^1	2.1	−	ca 0^{45}–10^{24} a ◯$^{0.1}$.
16.	42.0	41.3	40.6	− 1.7	0.1	0.3	0.5	− 6.7	3.2	3.5	3.5	80	75	76	NW 2	NW 2	NW 2	10^1	10^2*	10^2	1.8	−	a ⌊⌋^{1}. 11^{04} a–2^{24} p ztw. ×$^{0.1}$.
17.	38.3	37.4	35.4	0.3	1.3	1.8	2.1	− 0.7	3.8	4.5	5.0	81	89	95	SW 2	SW 2	S 2	10^1	10^2	10^2	0.9	**2**	
18.	27.3	26.2	27.9	1.3	1.9	1.6	2.9	0.2	4.8	4.8	4.8	94	91	93	S 2	SW 2	SW 1	10^2*	10^1*	10^2	2.1	−	n böig (W 4-5). 11^{04} p–2^{39} p ztw. ×$^{0.1}$. $8^{18.34}$ p ◯^{1}.
19.	33.1	37.2	37.8	1.4	2.4	0.8	2.7	0.4	4.2	3.8	3.9	83	70	80	NW 2	NW 1	W 1	10^1	8^1⊙	10^2*	3.0	−	n böig (W 4-5). t ztw. × (Schauer). 6^{49}–9^{00} p ×^{1}.
20.	36.0	32.1	30.8	1.7	3.1	0.9	3.4	0.3	4.9	5.1	4.5	94	90	90	NW 2	W 1	SW 1	10^2	10^2	10^2*	1.6	−	9^{00}–ca 10^{45} p ×^{1}. t ztw. × (Schauer). 9^{00} p ×Fl.
21.	30.1	31.5	34.9	0.3	0.3	0.2	2.1	− 0.2	4.5	4.6	4.0	96	**98**	87	W 2	NW 2	NW 2	10^2	8^1*	10^2	2.6	−	n ×^{1}. ca 6^{45} a böig (W 5). ca 9^{45} a–2^{09} p ×$^{0.2}$.
22.	37.2	40.0	44.1	− 1.1	− 1.1	− 0.4	0.3	− 1.9	3.6	3.6	3.8	85	85	86	NW 2	NW 2	NW 2	10^2*	8^1⊙	10^2	0.2	−	t ztw. ×Flocken. ca 5^{30}–7^{54} p ×Flocken.
23.	48.3	48.3	48.0	− 5.8	− 6.0	− 5.5	− 0.3	− 7.0	2.5	2.0	2.6	84	69	85	NW 2	NW 3	NW 3	10^1	9^1⊙	10^2	0.1	−	t böig (W 4-5).
24.	46.3	45.9	46.8	− 5.5	− 3.5	− 5.1	− 3.4	− 6.4	2.6	2.8	2.7	85	79	86	NW 2	NW 2	N 3	10^2	3^1⊙	10^2	−	−	n böig (W 4-5). t ztw. böig.
25.	45.6	45.4	47.2	− 7.5	− 3.5	− 8.5	− 3.4	− 9.0	2.2	2.3	2.1	85	65	86	NW 2	NW 2	NW 2	2^1	⊙⊙	6^1	−	−	
26.	49.2	50.0	48.6	− 7.1	− 4.5	− 3.5	− 3.4	**-10.2**	2.3	2.6	3.0	86	79	85	N 2	SE 2	SE 2	7^1	10^1	10^1	−	−	
27.	44.3	40.6	40.8	− 4.5	− 0.3	− 5.3	0.1	− 6.0	2.8	3.1	2.8	84	69	90	NE 1	NW 2	NW 2	10^1	7^1⊙	⊙	−	−	abds. ≡^{0}.
28.	38.6	35.6	35.0	− 6.5	− 2.2	− 1.5	− 1.5	− 8.6	2.6	3.5	3.9	92	90	95	S 2	SW 2	S 2	10^1	10^1	10^2	−	−	a ⌊⌋^{1}. ca 10^{45}–11^{15} a ◯^{0}. ca 3–6^{30} p ◯^{00}. [1]
29.	29.6	29.5	35.6	0.3	2.3	2.7	3.2	− 2.0	4.4	5.0	4.9	94	93	87	W 2	SW 3	SW 1	10^2*	10^2●	10^2●	4.0	1	n ∽^{2}. ca 2^{45}–4^{15} a ×$^{0.1}$. t ∽ u. ◯^{0}.
30.	38.6	38.0	39.5	2.5	2.7	2.8	3.2	1.7	4.7	5.0	4.9	85	89	88	W 2	SW 2	NW 3	10^1	10^2	10^2●	0.8	−	n ◯^{0}u. ∽. 2^{24}–3^{45} p ztw. ◯Tr. 6^{54} p böig (NW-W).[2]
31.	39.4	39.5	41.2	2.8	3.0	2.5	3.4	2.0	4.9	5.1	5.1	88	90	93	NW 1	W 2	NW 2	10^1	10^1	10^1	0.1	−	n ◯^{0}.
Mittel	40.1	39.9	40.8	− 0.3	0.9	− 0.0	1.8	− 2.0	4.1	4.2	4.2	89	85	90				9.4	8.6	8.9	29.4	−	[1] ca 5^{15} p ab–n ∽. [2] 9^{00} p ◯^{0}.

Kaiserslautern.

Dezember. $\varphi = 49^0\ 27'$ N. $\lambda = 7^0\ 46'$ E $= 31^m\ 4^s$. H $= 238.1$ m. Cg $= +0.3$ mm. 1926.

1.	36.8	37.1	38.5	0.8	1.9	2.2	2.5	− 2.8	4.3	4.3	4.6	89	82	85	E 2	NE 3	E 3	10	10^1	10^1	−	−	
2.	39.6	39.5	40.7	1.9	2.0	2.0	2.5	0.4	4.5	4.8	4.9	86	91	93	E 3	NE 2	NE 2	10^2	10^1	10	0.6	−	t ≡^{0}.
3.	39.2	36.5	33.6	1.9	3.5	2.2	3.6	0.6	4.7	4.0	4.8	90	69	89	W 2	SW 3	N 2	10^1	10^2	10^2	0.1	−	m ztw. kurz ⊙. 2^{31} p ztw. ✳ u. ◯.
4.	30.4	30.2	33.5	2.2	3.6	2.0	3.8	0.7	4.7	4.8	4.7	87	82	89	SW 4	W 3	W 2	10^2	10^1	10^1	2.5	−	
5.	37.4	40.8	45.5	1.6	2.1	0.0	2.3	− 1.2	4.3	4.2	4.1	84	78	90	W 2	NE 1	SW 1	10^2	9^2	0	4.7	−	n ✳.
6.	47.5	48.9	50.5	− 3.3	0.9	− 0.9	1.4	− 5.2	3.2	3.7	3.6	88	77	85	E 2	N 2	NE 2	10^2	5^1⊙	1^1	−	−	a ⌊⌋, ≡^{0}. vorm. ≡^{0}. ca m–2^{45} p ztw. kurz ⊙.
7.	51.3	51.3	52.1	− 1.8	1.3	− 2.5	1.6	− 4.3	3.4	3.9	3.3	86	78	87	NE 2	NE 2	NE 2	3^1	5^1⊙	0	−	−	
8.	52.0	52.1	54.6	− 2.7	0.7	1.2	1.5	− 6.1	3.3	4.3	4.6	89	89	92	W 1	SW 2	W 1	10^1	10^2●	10^2	−	−	10^{41} a–2^{21} p ztw. ◯^{0}. abds. ≡^{0}.
9.	56.2	56.3	55.9	1.2	2.5	2.5	2.8	− 0.7	4.7	4.9	5.1	94	89	93	SW 2	SW 2	NE 1	10^1	10^1	10^2	1.1	−	t meist ≡^{0}.
10.	56.2	56.3	**57.1**	2.4	4.1	3.7	4.3	1.2	5.2	5.7	5.6	94	93	93	W 1	W 1	W 1	10^1=	10^2=	10^2	0.4	−	t meist ≡^{1}. gegen abds. Aufklaren, bedeckt.
11.	56.5	56.3	56.2	3.1	4.4	3.6	4.6	2.1	5.3	5.6	5.6	93	90	95	W 1	W 1	W 1	10^1	10^1	10^1	0.1	−	a ≡^{0}.
12.	55.5	54.2	52.7	0.4	3.8	2.3	4.0	− 1.2	4.5	5.3	5.2	94	88	**96**	W 1	SE 2	NW 1	10^1=	10^1	10^1	−	−	a ≡^{1}.
13.	50.1	47.7	46.6	1.7	3.0	2.0	3.3	0.2	4.9	4.8	5.0	94	85	94	SW 1	SW 2	W 2	10^1	9^1	10^1	−	−	ca 11 a Aufklaren. ca 1–1^{15} p ztw. kurz ⊙.
14.	44.0	42.3	42.1	2.8	4.3	3.0	**5.2**	1.2	5.0	5.4	5.1	89	87	90	SW 2	SW 2	W 3	10^1	10^1	10^1	−	−	
15	42.7	46.3	48.6	4.3	2.1	− 0.8	4.7	− 2.3	**5.8**	3.8	3.7	93	71	85	W 3	NE 2	NW 1	10^1●*	9^2	0	0.4	−	a ◯ u. ✳. vorm. ztw. ◯^{0} u. ✳^{0}.
16.	49.0	48.4	46.6	− 4.6	1.0	1.4	1.7	− 5.6	2.7	4.1	4.3	84	83	85	W 2	SW 2	NW 2	0	10^2	10^2	1.7	−	a ≡^{0}. 10^{21} a kurz ⊙.
17.	44.3	43.5	40.7	1.4	2.0	2.8	3.1	0.2	4.5	4.9	5.2	89	93	93	SW 3	SW 2	W 4	10^2	10^2	10	0.5	−	a ✳^{0}. vorm. ◯ u. ✳.
18.	33.4	32.2	35.1	1.4	3.2	3.1	3.7	0.2	4.6	4.9	4.8	91	85	85	SW 4	W 3	W 4	10^2●*	9	10^2	2.8	−	n ◯ u. ✳. vorm. meist ◯ u. ✳. ca 1 p kurz ⊙.
19.	40.3	42.4	43.4	3.4	4.5	3.2	4.7	1.8	3.7	3.9	4.8	63	62	83	W 3	SW 2	W 3	10^1	9^2	10^2	**5.4**	−	ca 11^{30} a–1^{45} p ztw. kurz ⊙.
20.	41.3	38.2	38.5	4.0	4.5	2.1	5.1	0.7	5.5	4.9	4.3	90	78	80	W 3	SW 4	W 4	10^2	10^2	1^0	0.7	−	n ◯^{0}. vorm. ≡^{0}. 1^{11}–4^{21} p ztw. ◯.
21.	38.0	39.1	40.1	1.9	2.8	0.6	3.7	− 1.7	4.0	4.2	4.1	77	74	85	W 4	W 3	W 2	6^1	7^2	10^2	3.1	−	11^{21} a–ca 1^{45} p ztw. ◯ u. ✳.
22.	42.2	44.4	47.7	0.7	0.4	− 0.2	1.1	− 2.0	4.6	3.5	4.1	94	74	90	NW 2	N 2	E 2	10^2	5^1⊙	10*	0.2	−	ca 9 a–abds. Aufklaren, ca 11 a–2^{30} p ztw. ⊙.
23.	51.2	51.5	51.0	− 4.6	− 2.8	− 4.8	0.7	− 6.5	2.6	2.7	2.1	79	71	64	NE 3	NE 3	NE 4	2^0	7^2	3^1	1.4	−	a ⊖. t wechs. Bewölkung. [abds. ◯ u. ✳.
24.	49.7	49.6	49.5	− 3.8	− 3.3	− 4.7	− 2.9	− 6.8	2.3	2.7	2.5	67	75	77	NE 3	E 2	NE 4	10^1	10^1	10^1	−	−	t wechselnde Bewölkung.
25.	49.8	49.8	51.3	− 7.4	− 4.2	− 6.9	− 3.9	− 9.4	2.1	2.4	2.1	80	70	78	NE 3	NE 3	E 1	7^1	⊙⊙	1^1	−	−	
26.	53.7	53.8	52.6	− 9.2	− 4.6	− 4.2	− 4.0	**-11.5**	1.8	2.5	2.6	80	77	77	E 1	NE 3	NE 3	0	10^1	10^1	−	−	
27.	47.7	45.2	46.1	− 5.0	− 3.9	− 4.0	− 3.1	− 6.9	2.6	2.9	3.2	83	85	94	NE 3	N 2	NW 1	10^1	10^1	10^1	−	−	
28.	43.9	40.9	40.6	− 3.6	− 1.2	− 0.8	− 0.8	− 5.6	3.2	3.5	3.7	90	85	85	W 2	SW 2	W 3	10^1	10^1	10	−	−	p ≡^{0}. ca 4^{30} p ab ∽. abds. schw. Nebelreissen.
29.	37.7	37.9	43.5	0.9	3.3	2.8	3.7	− 2.2	4.5	5.1	5.1	92	88	91	W 3	SW 3	W 2	10^2	10	10	1.5	−	a ∽. t ztw. Nebelreissen.
30.	45.4	45.4	45.9	3.1	2.7	2.8	3.3	1.3	4.6	5.0	5.2	81	89	93	W 4	SW 3	W 3	10^2	10	10	0.8	−	t ztw. schw. Nebelreissen.
31.	45.6	45.8	46.7	2.6	2.9	2.9	3.3	1.4	5.1	5.3	5.3	93	94	94	W 3	SW 2	NE 1	10^2	10^2	10^2	0.1	−	t ≡:.
Mittel	45.4	45.3	46.0	− 0.1	1.5	0.6	2.2	− 2.3	4.1	4.3	4.3	87	82	87				8.6	8.8	7.9	28.1		

Alle Angaben nach Ortszeit.

München.

Dezember. $\varphi = 48^{\circ}\ 9'$ N. $\lambda = 11^{\circ}\ 34'$ E $= 46^{m}\ 16^{s}$. H $= 526.4$ m. Cg $= +0.1$ mm. 1926.

Datum	Luftdruck auf 0° u. Normalschwere reduziert 700 mm + 7a	2p	9p	Lufttemperatur C° 7a	2p	9p	Max.	Min.	Absolute Feuchtigkeit mm 7a	2p	9p	Relative Feuchtigkeit Proz. 7a	2p	9p	Richtung und Stärke des Windes 0 bis 12 7a	2p	9p	Bewölkung 0 bis 10 7a	2p	9p	Niederschlag mm 7a	Schneedecke cm 7a	Bemerkungen
1.	10.6	10.2	11.9	− 2.8	− 0.7	− 0.5	1.2	− 3.0	3.6	4.2	4.2	99	98	94	N 1	NE 1	NE 1	10^{2}	10^{2}	10^{1}	–	–	a $\equiv^{2}$ $\llcorner^{2}$. 2^{00} p $\equiv^{2}$. 4^{00} p $\equiv^{1.2}$. 9^{00} p $\equiv^{0}$ ◍^{0}. ∽
2.	12.6	12.8	13.3	0.2	0.9	0.7	1.0	− 0.8	4.2	4.5	4.7	91	92	96	E 1	N 1	SW 1	10^{1}●	10^{1}	10^{1}≡●	1.1	–	n ≡, ztw. ≡:. a ∽^{2}, Eisregen. 7^{00} a ◍^{0}. 10^{0} p ✳^{00}. 1)
3.	13.0	11.9	10.4	0.8	1.3	0.1	1.9	0.1	4.5	4.0	3.5	92	81	76	SW 1	SW 1	SW 3	10^{1}≡	10^{1}	8^{1}	1.6	–	n ◍ u. ✳. 7^{00} a ≡^{1}. 3^{26} p ab ✳^{00}.
4.	06.3	05.5	06.1	0.7	2.0	0.6	2.1	0.0	4.4	4.0	4.1	91	74	85	SW 3	W 3	SW 2	10^{1}*	7^{1}⊙	10^{1}	1.4	–	n, a ✳. t ztw. ✳^{0}. 1^{51} p △^{0}.
5.	08.8	11.5	15.6	− 0.6	0.2	− 1.2	0.7	− 1.2	3.9	3.9	3.5	90	83	86	W 1	N 2	NW 1	10^{1}	10^{1}	10^{1}*	1.8	–	n ✳. 10^{01} a–ca 0^{15} p ✳^{0}. 10^{00} a ✳^{1} △^{1}.
6.	18.4	20.1	22.5	− 1.4	− 0.3	− 0.3	1.6	− 1.9	3.7	3.9	4.0	90	86	91	NW 1	NW 2	N 1	10^{1}	10^{1}	10^{1}*	3.1	6	n ✳. a, p ≡^{0}. 9^{00} p ✳^{00}.
7.	23.4	24.0	24.6	− 0.6	0.5	0.4	0.8	− 0.9	3.9	4.1	4.0	90	86	85	NW 1	E 1	NW 1	10^{1}	10^{1}	10^{1}	0.5	2	t ≡^{0}.
8.	24.9	24.9	27.2	− 0.8	0.5	1.2	1.2	− 1.0	4.0	3.9	4.4	92	82	88	S 2	W 3	W 3	10^{1}	10^{1}*	10^{1}	0.2	–	ca 10^{48} p kurz ✳^{0}. a ≡^{0}. 4^{46} p–ca 7^{42} p ✳^{0}. ca 5^{42} p ✢.
9.	28.7	28.9	29.8	1.3	2.1	1.0	2.3	0.9	4.6	4.7	4.7	91	88	94	W 2	S 2	SW 2	10^{1}	10^{2}	10^{1}*●	0.5	–	a, p ≡^{0}. 8^{56} p–n ◍^{0} u. ✳^{1}.
10.	29.2	29.6	**30.7**	1.9	5.0	3.7	**5.0**	0.9	5.1	**5.8**	5.6	96	90	93	SW 2	W 2	W 1	10^{1}≡	10^{2}	10^{1}●	3.9	–	a ≡^{1}. 8^{56} p–n ≡^{0} ◍^{0}.
11.	29.8	29.8	30.0	2.6	3.8	2.7	4.0	2.0	4.9	4.8	5.1	90	81	92	W 1	NW 1	C	10^{2}≡	9^{1}	10^{1}≡	0.7	–	n ◍. a ≡^{1}. 2^{00} p ≡^{0}. 9^{00} p ≡^{1}.
12.	29.4	28.5	27.6	2.6	2.4	1.0	3.0	0.9	4.5	4.6	4.6	81	85	92	SE 1	E 1	C	10^{1}	10^{1}	10^{2}≡	–	–	2^{00} p ≡^{0}. 9^{00} p ≡^{2}.
13.	24.5	22.1	21.0	− 1.6	4.6	1.0	4.7	− 2.0	3.6	5.0	4.3	90	80	88	S 1	C	C	10^{2}≡	5^{1}⊙≡	0	–	–	a ≡^{2}. 2^{00} p ≡^{1}. 8^{56} p–n ≡^{0} $\llcorner^{2}$.
14.	17.9	17.2	17.6	− 0.7	0.4	0.7	1.0	− 0.9	3.2	4.4	4.7	79	94	96	C	NW 1	C	10^{1}≡	10^{1}≡	7^{1}	–	–	a ≡^{1} $\llcorner^{2}$. 2^{00} p ≡^{1}. 9^{00} p ≡^{0}.
15.	17.3	18.1	20.3	1.0	4.2	1.9	4.8	0.0	4.4	5.0	4.8	89	80	92	SW 1	W 2	W 1	10^{1}	10^{1}≡	10^{1}●	–	–	a ≡^{0} $\llcorner^{1}$. 2^{00} p ≡^{1}. p u. abds. ◍.
16.	21.9	21.8	20.8	− 1.8	0.8	− 0.9	1.9	− 2.1	3.1	2.9	3.2	78	60	76	C	W 3	SW 2	10^{1}	6^{1}⊙	8^{1}	1.9	–	4 p ganze Gebirgskette sichtbar.
17.	19.1	18.0	16.2	− 0.1	2.0	3.1	3.2	− 0.9	3.4	3.9	4.4	73	73	75	SW 3	SW 3	S 3	10^{1}	10^{1}*	10^{1}	–	–	6^{56} a kurz ✳^{0}. t ztw. ✳^{0}.
18.	09.7	07.0	09.0	1.7	1.2	1.4	3.4	0.8	4.2	4.4	4.0	81	88	81	W 3	W 5	W 4	10^{1}	10^{1}●*	10^{1}*	0.6	–	7^{00} a ≡^{0}. t ztw. ◍ u. ✳. 8^{56} p–n ✳^{1}.
19.	11.9	16.0	18.0	0.8	− 0.4	− 0.3	1.4	− 0.4	4.1	4.4	3.8	86	99	84	W 2	W 3	SW 2	10^{1}*	10^{1}*	9^{1}	4.8	9	n, a, 2^{00} p ✳.
20.	16.1	12.9	11.9	1.2	3.2	− 0.4	3.3	− 0.8	4.2	4.3	4.4	84	74	100	SW 2	SW 3	W 2	10^{1}	10^{1}	10^{1}*	2.5	10	7^{44} a, 9^{46} a ✳^{1}. 10^{51} a Schnee in ◍ übergehend. 2)
21.	10.6	10.9	13.1	− 0.4	− 0.9	− 1.4	0.2	− 1.5	3.8	4.0	3.7	86	93	89	W 3	SW 3	W 2	10^{1}*	10^{1}*	10^{1}	6.9	7	ca 10^{15} p ⊠ 4–5 cm. n, a, 2^{00} p ✳.
22.	15.1	17.5	20.6	− 2.0	− 1.3	− 4.0	− 1.0	− 4.2	3.5	3.3	2.9	91	81	89	W 2	NW 1	NW 1	10^{1}	9	5^{0}	**7.0**	**20**	ca 10 p–a ✳^{1}. 5^{40} p ✳^{1}.
23.	23.2	22.9	23.0	− 5.3	− 4.8	− 9.9	− 3.9	− 9.9	2.6	2.1	1.5	87	68	73	N 2	E 2	E 1	10^{1}	7^{1}⊙	0	0.7	15	
24.	23.2	21.7	21.4	− 9.0	− 8.8	−10.2	− 7.9	-10.4	1.6	1.5	1.5	76	68	78	E 3	E 3	E 3	10^{1}*	3^{0}⊙	10^{1}	–	10	
25.	21.1	21.9	24.1	− 9.4	− 8.0	− 8.3	− 7.6	-10.4	1.7	1.7	1.8	80	72	78	C	C	W 1	9^{1}	10^{1}	10^{1}	0.1	10	7^{00} a ≡^{0}.
26.	25.7	26.5	26.2	− 9.3	− 6.9	− 7.2	− 6.9	− 9.9	1.8	2.2	2.3	85	87	92	E 1	SE 2	E 3	10^{1}	10^{1}	10^{1}*	–	10	9^{01} a ✳^{00}. 9^{41} a ✳^{0}. 9^{00} p ✳^{1}.
27.	20.0	17.5	18.9	− 5.9	− 4.3	− 4.8	− 4.1	− 7.3	2.7	2.9	2.9	96	90	90	E 2	C	SW 3	10^{1}	10^{1}	10^{1}	1.4	12	n ✳. 2^{00} p ≡^{0}.
28.	17.4	14.5	14.3	− 5.2	− 2.7	− 0.4	− 0.3	− 5.6	2.7	2.9	3.6	90	78	81	S 2	SW 1	SW 2	10^{1}	10^{1}	10^{1}	–	10	a, p ≡^{0}.
29.	10.1	11.3	15.4	2.8	1.9	1.5	3.0	− 0.4	4.8	4.7	4.4	84	89	86	SW 4	SW 3	W 3	10^{1}	10^{1}●	10^{1}	0.6	8	7^{16} a kurz ◍^{00}. ca 7^{31} a △. ca 7^{48} a ◍, dann t–ca 7^{45} p [✳ u. ◍
30.	18.9	19.1	20.3	1.8	2.7	2.7	2.9	1.2	4.4	4.1	4.2	83	73	75	W 3	SW 3	SW 2	10^{2}	10^{1}	10^{1}	3.5	5	
31.	20.1	20.1	21.0	0.4	3.1	2.0	3.7	0.1	3.9	4.5	4.3	83	79	83	SW 2	SW 2	SW 1	0	9^{1}	10^{1}	–	–	7^{00} a ≡^{0}. 2^{00} p ∞^{1}.
Mittel	18.6	18.5	19.4	− 1.2	0.1	− 0.8	0.9	− 2.2	3.7	3.9	3.8	87	82	86				9.3	9.2	8.9	44.8		1) 1^{56} p ≡^{0}. 9^{00} p ≡^{1} ◍^{0}. 2) ca 4^{56} p ✳ u. ◍. 8^{01} p–n ✳^{1}.

Hohenpeissenberg.

Dezember. $\varphi = 47^{\circ}\ 48'$ N. $\lambda = 11^{\circ}\ 1'$ E $= 44^{m}\ 4^{s}$. H $= 994.1$ m. Cg $= \pm 0.0$ mm. 1926.

	600 mm + 7a	2p	9p	7a	2p	9p	Max.	Min.	7a	2p	9p	7a	2p	9p	7a	2p	9p	7a	2p	9p	7a	7a	Bemerkungen
1	71.0	70.3	71.9	− 0.4	− 3.0	− 3.6	3.1	− 4.1	3.9	3.5	3.4	87	94	98	W 3	NE 4	C	10^{2}	10^{2}≡	10^{2}	–	–	2 p ≡.
2.	73.2	73.2	73.5	− 3.6	− 2.6	− 2.6	− 2.0	− 4.3	3.4	3.8	3.2	95	100	85	C	C	W 2	10^{2}≡	10^{2}≡	10^{2}≡	–	–	t meist ≡.
3.	73.7	72.5	71.1	− 2.9	− 2.9	− 4.0	− 1.8	− 4.1	3.1	3.1	2.9	85	85	87	W 3	W 2	W 5	10^{2}	10^{2}	10^{2}	–	–	a ⌊⌋. 5^{04} p ✳.
4.	67.2	65.7	66.4	− 2.8	− 2.7	− 3.8	− 2.3	− 4.6	3.2	2.9	2.6	85	79	78	W 4	W 3	N 3	10^{2}*	9^{2}⊙	10^{2}≡	1.9	1	n ✳. 7 a ✢. 9 p ≡^{2}.
5.	68.7	71.0	75.8	− 4.3	− 3.9	− 4.9	− 3.4	− 5.2	2.6	2.7	2.8	79	80	78	NE 3	NE 7	E 4	10^{2}≡*	10^{2}≡*	10^{2}≡*	3.0	4	7 a, 9 p ≡^{2} ✳. 2 p ≡^{1} ✢.
6.	78.3	79.4	81.4	− 4.9	− 4.2	− 4.1	− 3.2	− 5.5	2.8	2.6	2.4	78	79	73	N 3	N 2	E 3	10^{2}≡	10^{2}≡	10^{2}≡	3.6	8	7^{14} a ✳. t ≡^{2}.
7.	82.0	83.2	83.2	− 4.1	− 2.8	− 3.9	− 2.3	− 4.2	2.4	3.0	2.6	73	74	75	E 2	E 1	E 2	10^{2}≡	10^{2}≡	10^{2}≡	1.9	12	a ⋁. t ≡^{2}.
8.	83.7	83.7	85.9	− 5.4	− 3.3	− 1.4	− 1.4	− 6.2	2.2	2.6	3.3	73	74	80	W 2	W 1	E 3	0^{0}≡	10^{2}≡	10	–	12	7 a ≡^{2} ⋁. 2 p ≡^{1}. 3^{54} p ✳.
9.	87.3	87.1	88.2	− 2.4	− 1.9	− 2.0	− 1.0	− 2.7	2.9	3.0	3.1	75	76	80	NE 3	W 2	W 2	10^{2}≠	10	10^{2}≡*	0.9	12	7 a ≡^{2}. 2 p ∞. 9 p ≡^{2} ✳.
10.	88.2	88.2	**89.1**	− 0.5	3.3	1.0	3.4	− 2.4	3.5	4.2	3.5	79	73	70	W 3	W 3	N 2	10^{2}≡●	8^{2}⊙	10	1.0	13	7 a ≡^{2} ◍^{0}.
11.	88.2	87.8	88.0	− 0.5	0.4	− 0.9	1.4	− 1.2	3.1	3.4	3.1	70	71	71	W 1	W 2	E 1	10^{2}≡	10^{2}≡	10^{2}≡	0.2	4	t ≡^{2}.
12.	88.0	86.7	85.9	− 2.6	4.6	4.1	5.8	− 3.0	2.6	1.3	1.6	70	21	26	W 2	C	C	10^{2}≡	2^{1}⊙	0	–	3	7 a ≡^{2}. 2 p ≡ ⊙.
13.	83.6	82.8	81.5	4.8	8.1	5.3	**9.3**	4.1	3.2	3.0	2.4	50	38	36	C	W 3	W 4	1^{1}	00	0	–	3	
14.	78.8	78.0	78.0	2.3	2.3	1.0	5.3	0.6	2.1	3.0	4.1	38	57	83	C	W 4	W 5	0	10^{1}	7^{1}	–	2	2 p ∞.
15.	77.7	78.5	80.1	0.9	1.1	− 1.1	2.6	− 1.4	**4.5**	4.4	4.1	90	89	96	W 5	W 6	W 2	10^{2}	10^{2}*	10^{2}≡	–	–	2 p ✳. 9 p ≡^{2}.
16.	81.6	81.4	81.0	− 3.1	− 2.6	− 4.0	− 1.1	− 5.0	3.5	3.5	3.2	96	94	95	W 2	W 2	E 4	10^{2}≡	7^{2}⊙	8^{1}	3.1	2	7 a ≡^{2}.
17.	79.1	78.7	77.6	− 3.8	− 1.7	− 0.9	0.3	− 5.0	3.1	2.6	3.5	91	64	80	W 5	W 7	W 8	10^{2}	10^{2}*	8^{2}	–	2	2 p ✢. abds. ⌊⌋⌋ (W 8).
18.	71.6	67.8	69.6	1.2	− 2.4	− 2.9	2.3	− 3.2	2.4	3.3	3.2	47	85	87	W 8	SW 9	W 8	10	10^{2}≡*	7^{2}	0.4	2	2 p ≡^{2} ✢. t meist ⌊⌋⌋. (2 p SW 9).
19.	72.0	76.2	78.2	− 3.3	− 3.3	− 4.1	− 2.4	− 4.3	3.1	3.1	3.0	87	87	91	NE 5	W 4	W 4	6^{1}	10^{2}*	7^{1}	3.1	4	2 p ✳.
20.	77.3	73.3	72.6	− 2.8	− 0.9	− 1.9	− 0.5	− 5.0	3.7	4.3	4.0	100	100	100	W 7	W 8	W 8	10	10*	10*	0.6	7	2 p, 9 p ✢.
21.	71.9	71.7	73.0	− 4.6	− 4.3	− 5.0	− 1.9	− 5.9	3.2	3.1	3.0	100	95	95	W 7	W 8	W 7	10^{2}	10^{2}	10^{2}*	3.7	10	2^{14} p ✳. 9 p ✢.
22.	75.0	76.8	78.7	− 6.0	− 5.0	− 6.8	− 4.5	− 6.8	2.7	3.1	2.7	95	100	100	W 2	W 2	E 3	10^{2}*	10^{2}≡*	10≡	3.1	30	7 a ✳. 2 p ≡^{2} ✳. 9 p ≡^{2}.
23.	80.9	80.2	80.0	− 7.7	-10.1	-12.3	− 6.8	-12.3	2.5	2.0	1.6	100	100	100	E 5	E 8	E 8	10^{2}≡	10^{2}≡	10^{2}≡	2.0	35	t meist ≡^{2}. p ⌊⌋⌋ (E 8).
24.	79.2	79.0	78.3	-13.7	-13.3	-15.1	-12.3	-15.3	1.4	1.4	1.4	100	100	100	E 8	E 7	E 6	10^{2}≡	10^{2}	10^{2}≡	–	35	a ≡^{2} ⌊⌋⌋ (E 8). 9^{04} a ✳. 9 p ≡^{1}.
25.	78.8	79.5	81.2	-14.2	-11.6	-15.0	-11.5	-15.1	1.4	1.7	1.4	100	100	100	E 2	SE 1	N 1	10^{2}≡	10^{2}≠	10	1.2	**37**	a ≡^{2}. 2 p ≡^{1} ⊙.
26.	82.5	83.3	83.3	-15.5	-13.2	-12.6	-10.0	-15.5	1.3	1.6	1.7	100	100	100	NE 4	E 3	E 5	10^{2}≡	10^{2}≠	10^{2}≡	–	36	t ≡^{2}.
27.	78.6	77.2	78.3	-12.6	− 3.3	-10.2	− 1.5	-12.8	1.7	2.8	2.0	100	80	100	E 3	SW 3	E 2	10^{2}≡	00	10≡	–	36	a ≡^{2}. 2 p ≡ ⊙. 9 p ≡^{2}.
28.	76.1	74.9	75.1	− 4.5	− 1.4	− 1.9	− 0.7	-10.3	3.0	3.4	3.4	95	82	86	W 5	N 4	W 5	3^{2}	10^{2}	10	–	30	
29.	72.0	71.6	75.7	0.3	− 1.6	− 2.1	0.5	− 2.3	4.1	4.1	3.9	87	100	100	W 8	W 8	W 8	10	10^{2}*	10*	–	18	ca 7^{45} a ◍ u. ✢. t meist ⌊⌋⌋ (W 8). 2 p, 9 p ✢.
30.	79.3	79.2	80.1	− 2.4	− 1.1	− 0.7	− 0.4	− 2.8	3.8	3.9	3.9	100	92	90	W 7	W 4	W 7	10	10^{2}	10	**4.8**	25	
31.	80.1	80.2	81.3	− 1.3	2.3	− 1.8	3.7	− 3.9	3.8	4.0	4.0	90	74	100	W 4	SW 5	E 2	0	7^{1}	7^{1}	–	20	
Mittel	78.2	78.0	78.8	− 3.9	− 2.6	− 3.8	− 1.1	− 5.5	2.9	3.0	2.9	84	82	85				8.4	8.8	8.8	34.5		

Alle Angaben nach Ortszeit.

Zugspitze.

Dezember. $\varphi = 47^0\ 25'$ N. $\lambda = 10^0\ 59'$ E $= 43^m\ 56^s$. H $= 2962.2$ m. Cg $= -0.2$ mm. 1926.

Datum	Luftdruck auf 0^0 u. Normalschwere reduziert 500 mm +			Lufttemperatur C^0					Absolute Feuchtigkeit mm			Relative Feuchtigkeit Proz.			Richtung und Stärke des Windes o bis 12			Bewölkung o bis 10			Niederschlag mm	Schneedecke
	7^a	2^p	9^p	7^a	2^p	9^p	Max.	Min.	7^a	2^p	9^p	7^a	2^p	9^p	7^a	2^p	9^p	7^a	2^p	9^p	7^a	7^a
1.	23.9	23.7	24.3	− 6.6	− 5.7	− 6.6	− 5.1	− 7.0	2.5	2.4	2.1	94	83	81	SE 5	SE 5	N 2	10^1	10^1	2^1	–	⊠
2.	23.3	22.9	23.4	− 8.2	− 6.6	− 8.0	− 6.5	− 8.4	1.8	2.5	2.2	80	96	94	NE 4	E 2	SE 2	10^0	$2^0\odot$	4^1	–	⊠
3.	22.4	21.3	20.3	−10.0	−11.3	−13.6	− 8.0	−15.0	1.7	1.8	1.4	86	100	95	NW 2	N 2	NW 5	2^0	$4^1\odot\equiv$	10^1	–	⊠
4.	16.6	15.5	15.6	−14.6	−16.0	−16.9	−13.4	−17.7	1.3	1.1	1.0	100	100	100	N 3	NW 2	N 4	$10^2\equiv$	$10^2\equiv *$	$10^2\equiv *$	5.4	⊠
5.	17.1	18.5	21.2	−18.1	−17.0	−18.6	−16.9	−18.6	0.9	1.0	0.9	100	100	100	N 3	N 4	NE 3	$10^2\equiv$	$10^2\equiv *$	$10^2\equiv *$	11.3	⊠
6.	23.9	26.4	28.4	−16.7	− 9.4	− 9.6	− 9.2	−18.6	1.1	2.1	2.1	100	100	100	N 6	SE 4	SE 3	$6^1\equiv$	$10^2\equiv$	$10^2\equiv$	**17.4**	⊠
7.	30.0	31.5	32.6	− 8.6	− 7.8	− 8.6	− 7.5	− 9.6	2.2	2.4	2.2	100	100	100	SE 2	SE 2	N 2	$10^2\equiv$	$10^1\equiv$	$2^1\equiv$	6.2	⊠
8.	33.3	32.6	33.8	−12.6	−10.6	−11.6	− 8.6	−12.8	0.9	1.6	1.7	62	85	100	NW 4	NW 7	NW 5	2^1	10^1	$10^2\equiv$	–	⊠
9.	34.3	34.9	36.6	−14.2	−12.0	− 7.0	− 7.0	−14.2	1.4	1.6	2.5	100	100	100	W 3	N 7	NW 5	$10^2\equiv$	$10^1\equiv$	$10^2\equiv$	5.5	⊠
10.	38.3	39.4	**39.9**	− 4.4	− 7.1	− 7.2	− 4.2	− 8.2	**3.2**	2.5	2.2	100	100	85	NW 5	N 3	NW 5	$10^2\equiv$	$1^1\odot$	o	4.5	⊠
11.	38.4	38.3	39.2	− 8.6	− 8.7	− 5.7	− 5.7	− 9.2	1.6	1.3	2.8	73	59	96	N 7	N 6	N 3	4^1	$5^1\odot$	1^0	–	⊠
12.	39.2	39.4	39.5	− 3.9	− 2.1	− 1.9	− **1.2**	− 5.7	1.4	2.6	1.2	43	68	29	N 4	N 3	SE 3	4^0	$8^0\odot$	1^0	–	⊠
13.	37.3	35.8	34.4	− 2.6	− 3.7	− 2.9	− 1.3	− 5.1	1.7	1.5	1.9	46	46	52	NW 1	NW 2	W 3	2^0	oo	o	–	⊠
14.	30.8	29.0	28.1	− 4.9	− 6.3	− 8.2	− 1.9	− 8.3	1.3	1.4	1.5	44	49	63	W 2	NW 2	W 5	o	$9^0\odot$	5^1	–	⊠
15.	27.5	28.1	28.9	−10.4	− 9.7	−10.7	− 8.2	−11.0	1.9	2.0	1.9	100	100	100	NW 3	NW 3	N 3	$10^2\equiv$	$10^2\equiv *$	$10^2\equiv *$	–	⊠
16.	28.6	28.3	28.0	−12.6	−13.0	−15.4	−10.7	−15.4	1.6	1.5	1.2	100	100	100	W 3	NW 3	NW 4	$10^2\equiv$	$8^0\odot$	6^0	13.3	⊠
17.	26.8	26.4	27.0	−16.0	−11.4	− 9.9	− 9.6	−16.0	1.0	1.7	2.0	94	100	100	NW 6	N 7	NW 4	10^1	$10^1\equiv$	$10^1\equiv$	–	⊠
18.	21.2	17.5	18.5	−11.6	−12.6	−16.2	− 9.9	−16.2	1.7	1.6	1.1	100	100	100	NW 6	NW 5	N 6	$10^1\equiv$	$10^1\equiv *$	$10^2\equiv *$	4.7	⊠
19.	20.7	23.1	24.9	−15.6	−16.8	−16.6	−15.4	−16.9	1.2	1.0	1.1	100	100	100	NW 7	N 7	NW 5	$10^2\equiv *$	$10^2\equiv *$	$10^2\equiv *$	1.9	⊠
20.	25.1	23.7	20.7	−14.2	−12.2	−14.7	−12.2	−17.0	1.4	1.6	1.3	100	100	100	N 7	W 5	N 8	$10^2\equiv$	$10^2\equiv$	$10^2\equiv *$	5.4	⊠
21.	19.2	19.2	20.0	−18.0	−18.2	−19.0	−14.7	−19.0	0.9	0.9	0.9	100	100	100	NW 7	NW 7	N 5	$10^2\equiv$	$10^2\equiv *$	$10^2\equiv$	2.6	⊠
22.	21.0	22.3	23.5	−19.7	−18.5	−18.8	−18.4	−19.8	0.8	0.9	0.9	100	100	100	N 2	N 2	E 3	$10^2\equiv$	$3^1\odot\equiv$	$4^1\equiv$	2.7	⊠
23.	24.5	23.0	24.1	−20.6	−19.5	−15.9	−15.9	−20.9	**0.7**	0.8	1.0	100	100	86	E 5	SE 6	SE 8	$3^1\equiv$	$2^1\odot\equiv$	4^1	4.6	⊠
24.	24.4	24.0	23.8	−13.6	−13.9	−14.6	−12.5	−15.9	1.4	1.4	1.3	100	100	100	SE 7	SE 5	SE 8	10^1	$7^0\odot$	3^1	–	⊠
25.	26.0	27.6	29.6	−14.1	−12.2	−12.8	−12.0	−14.6	1.4	1.5	1.5	100	87	85	SE 6	SE 3	W 1	8^0	9^1	1^1	–	⊠
26.	30.7	31.4	31.4	−13.5	−11.4	−10.6	−10.6	−13.5	1.0	1.0	1.4	67	58	74	N 3	C	SE 2	1^0	$8^0\odot$	q	0.0	⊠
27.	29.4	30.1	30.6	− 7.0	− 5.2	− 5.8	− 4.7	−10.6	2.4	2.5	2.3	96	84	82	SE 7	SE 6	N 4	6^1	$1^0\odot$	o	–	⊠
28.	28.1	26.3	25.9	− 7.8	− 7.6	− 6.5	− 5.8	− 9.4	2.1	1.9	2.7	89	79	100	N 3	N 2	W 7	1^1	$9^0\odot$	$10^2\equiv *$	–	⊠
29.	23.7	22.3	23.8	− 5.5	−10.4	−13.0	− 5.4	−13.4	2.9	1.9	1.5	100	100	100	N 8	N 8	N 7	$10^2\equiv *$	$10^2\equiv *$	$10^2\equiv *$	2.8	⊠
30.	27.2	28.5	31.1	−14.6	−10.6	−10.0	− 9.5	−14.6	1.3	1.8	1.1	100	97	54	N 6	NW 7	N 8	$8^1\equiv$	10^1	2^1	3.0	⊠
31.	31.6	31.4	31.8	− 9.5	− 8.4	− 7.8	− 7.3	−10.0	1.3	1.9	2.3	63	87	96	NW 8	NW 6	NW 6	1^0	8^0	$10^1\equiv$	–	⊠
Mittel	27.2	27.2	27.8	−11.6	−10.8	−11.1	− 9.0	−13.3	1.5	1.7	1.7	88	90	89				7.0	7.5	6.0	91.3	

Bemerkungen.

1. n $__^0$. t über Zentralkette Föhnmauer, über Flachland Nebelmeer. p Nebelmeer bis ca 1600 m ansteigend u. in die Täler vordringend. 10^{30}–10^{55} a $\equiv^2$. p vorwiegend alt-Gewölk.
2. n $__^0$. a über Flachland u. Täler Nebelmeer in ca 1700 m, p bis ca 2400 m ansteigend. m u. 3 p fr-st in Gipfelhöhe, Glorie. 3^{30}–4^{55} p $\equiv^2$. ca 7 p–n $__^1$.
3. n $__^1$, a ringsum Nebelmeer in ca 2800 m, zwei- u. dreifache Glorie. m st-Schirm im SE, ci-st im W u. NW. 0^{10}–ca 8 p meist $\equiv^{1.2}$, 3^{30}–4^{30} p–$\times^0$. Abds. $\times$treiben.
4. n, t meist $\equiv^2$. n $\times^1$, früh 10 cm Neuschnee, leichter V-Ansatz. 7^{25}–9^{10} a $\times^1$. 0^{30}–2^{10} p $\times^{0.1}$, ca 5 p–n $\times^0$, ztw. $\dot{+}$. p V-Bildung.
5. n, t $\equiv^2$. n $\times^1$, früh 20 cm Neuschnee, 15 cm V. 7^{40}–9^{05} a, 9^{35}–9^{55} a $\times^{0.1}$. 10^{30} a–n $\times^{1.2}$. p Verstärkung des Schneefalls, ztw. $\dot{+}$. 9 p 45 cm Neuschnee.
6. n, t meist $\equiv^2$. n $\times^1$, früh 15 cm Neuschnee, $\times$treiben. p böig, V-Bildung. 3^{30}–4^{30} p leichtes $\dot{+}$, anschliessend $\times$treiben. 3^{50} p N-Horizont kurz nebelfrei.
7. n, t meist $\equiv^2$. n $\times^0$, früh 5 cm Neuschnee, 10 cm V. t $\times$treiben. 6 p Gipfel vorübergehend nebelfrei. 7 p Wind dreht auf NE, 9 p $__^1$.
8. n $\equiv^2$. Früh über Flachland u. Loisachtal Nebelmeer in ca 900 m. 7^{35} a rasch aus NW aufziehende a-cu u. st. p starkes $\times$treiben, 4^{55} p–n $\equiv^2$. 6 p–ca 8 p $\dot{+}$, V-Bildung.
9. n, früh–7^{35} a $\equiv^2$. n $\times^0$, früh 3 cm Neuschnee, 20 cm V. 11^{35} a–n $\equiv^{1.2}$. 11^{45} a–0^{30} p $\times^0$, anschliessend starkes $\times$treiben. p V-Bildung.
10. n, t–1^{10} p $\equiv^2$. n $\times^0$, früh 1 cm Neuschnee, 40 cm V. p über Flachland u. Täler Nebelmeer in ca 2300 m, Glorie. 3^{15}–5^{05} p erneut $\equiv^2$. 9 p Nebelmeer in ca 1300 m.
11. Früh über Flachland u. Täler Nebelmeer in ca 1600 m, t langsam bis ca 1700 m ansteigend. a leichte alt-Bewölkung. 1^{10} p rasch aus N aufziehende a-cu u. st; 2 p Glorie.
12. Früh über Flachland Nebelmeer in ca 1100 m, t bis ca 900 m absinkend. t ci-st-Bewölkung, p langsam abnehmend. 3^{40} p Wind dreht auf E.
13. t fast wolklos, Hochgebirge sehr rein. Früh über Flachland st-Reste, a ci-st-Streifen am E-Horizont.
14. t Hochgebirge sehr rein. Früh über Flachland ∞^0. 8^{40} a rasches Aufkommen von ci-cu aus SW, p in a-cu übergehend. p Föhnstimmung; 9 p $\in$, über Täler fr-st.
15. n, t $\equiv^2$, V-Bildung. Früh 3 cm V. 8^{35} a kurz $\times^0$. 1^{35} p–n $\times^0$.
16. n, t–1^{55} p $\equiv^2$. n $\times^0$, früh 10 cm Neuschnee, 25 cm V. 2^{10} p fr-st in Gipfelhöhe, Glorie. 3^{30}–5^{10} p um den Gipfel ztw. $\equiv^{1.2}$. 7 p wolklos, 8 p Aufkommen von ci-st aus W.
17. n ztw. $__^{III}$. 7^{40} a kurz $\times^0$, 8^{30} a–n $\equiv^{1.2}$. 8^{35} a–ca 11 a $\dot{+}$, anschliessend starkes $\times$treiben. p $__^{III}$, V-Bildung. 9 p 10 cm V.
18. n, t $\equiv^{1.2}$. Früh ztw. Talblick nach W frei. a $__^{III}$, $\times$treiben. 0^{40} p–n $\dot{+}$, ab 2^{50} p stark zunehmend. p V-Bildung.
19. n $\equiv^2$, $\dot{+}$. t $\equiv^2$, andauernd starkes $\dot{+}$. Früh 5 cm Neuschnee, 15 cm V. 8 a Wind dreht vorübergehend auf NE. p V-Bildung, 9 p 20 cm V.
20. n $\equiv^2$, $\dot{+}$. t $\equiv^2$, V-Bildung, meist $\times$treiben. Früh 5 cm Neuschnee, 30 cm V. 6^{30} p–n $__^{III}$, heftiges $\dot{+}$, Windstösse > 30 m/sec.
21. n $\equiv^2$, $\dot{+}$; t $\equiv^2$. Früh 10 cm Neuschnee, 25 cm V. 8 a $\times$treiben, 10^{30} a–ca 8 p starkes $\dot{+}$, wechselnd mit $\times$treiben. p V-Bildung.
22. n $\equiv^2$, $\times^0$; t meist $\equiv^{1.2}$. Früh 3 cm Neuschnee, 30 cm V. 8^{10}–8^{35} a $\times^0$. 2^{30}–7^{30} p Windstille. 2^{55}–4^{10} p Gipfel nebelfrei; 6^{25} p kurz $\times^0$, 9 p $\in$.
23. n $\equiv^1$, $\times^0$; t–4^{30} p $\equiv^1$, $\odot$ stets durchdringend. Früh 2 cm Neuschnee, böig. 8^{15} a–n $\times$treiben. 7^{30} p–n $__^{III}$, 9 p Nebelmeer in ca 2300 m.
24. n $__^{III}$, t andauernd $\times$treiben. Früh über Flachland u. Täler Nebelmeer in ca 1900 m. a st-, p ci-Bewölkung vorherrschend. Abds. $__^{III}$.
25. n ztw. $__^{III}$; t vorwiegend alt-Gewölk. Früh über Flachland u. Täler Nebelmeer in ca 1600 m, p auf ca 1000 m absinkend. 2^{30} p kurz $\times$Flocken, ab 5 p Bewölkungsabnahme.
26. t über Flachland u. Loisachtal Nebelmeer in ca 1000 m, p bis ca 1300 m ansteigend. 10^{15} a rasche Zunahme der ci-Bewölkung aus SW. 3 p Wind dreht auf SE.
27. n ztw. $__^{III}$. t vorwiegend heiter, über Flachland u. Täler Nebelmeer in ca 1200 m. 8 a Bildung einer Föhnmauer über Zentralkette. 8^{30} a–4 p $__^{III}$, starkes $\times$treiben.
28. n $__^0$. Früh über Flachland u. Inntal Nebelmeer in ca 1200 m, ab 9 a in Auflösung. 9^{30} a Aufkommen von ci aus NE. 2 p $\oplus$, 3^{25} p kurz $\times^0$. 8^{25} p–n $__^{III}$, $\dot{+}$ u. $\equiv^2$.
29. n, t $__^{III}$, $\equiv^2$, starkes $\dot{+}$. Früh 3 cm Neuschnee, 10 cm V. p V-Bildung.
30. n ztw. $__^{III}$, $\dot{+}$, $\equiv^{1.2}$. Früh 2 cm Neuschnee, 25 cm V, Talblick nach N u. W frei. 7^{40} a Absinken d. Nebels, 11^{10} a Zunahme d. Windgeschwindigk., $\times$treiben. 1^{25} p ztw. um Gipfel $\equiv^{1.2}$.
31. n, früh $__^{III}$, t andauernd $\times$treiben, Hochgebirge sehr rein. 10^{40} a Aufkommen von ci aus NW, ab 2^{50} p Übergang in st-Bewölkung. ca 8 p–n $\equiv^1$.

Alle Angaben nach Ortszeit.

Monatliche und Jahres-Resultate.

Bemerkungen.

Neu errichtete Wetterwarten:

Hüll 12. VI.
Pfaffenhofen a. Ilm 12. VI.
*) Nandlstadt 24. VI.
Rhodt 23. X.
Bergzabern 1. XI.

Eingegangene Wetterwarten:

Karlshuld 31. XII. 25.
Diedesfeld 31. III.
Schleissheim 31. V.
Donaustauf 30. IX.
Rohr 30. XI.

Eine Verlegung wurde notwendig in:

Mittenwald 22. IX.

*) Nandlstadt beobachtete während der Monate Juni mit September nur lückenhaft; seit dem Umzuge des Beobachters im Oktober ist die Wetterwarte ganz ausser Tätigkeit.

Wetterwarten I. und II. Ordnung.

1926

Hof.

$\varphi = 50^0\ 19'$ N $\lambda = 11^0\ 55'$ E — H = 476.1 m Cg = +0.3 mm

Monat	Luftdruck auf 0° und Normalschwere reduziert: Mittel mm	Maximum mm	Minimum mm	Lufttemperatur: 7a C°	2p C°	9p C°	Tagesmittel C°	Mittl. Maximum C°	Mittl. Minimum C°	Absol. Maximum C°	Datum	Absol. Minimum C°	Datum	Absolute Feuchtigkeit: 7a mm	2p mm	9p mm	Mittel mm	Relative Feuchtigkeit: 7a Proz.	2p Proz.	9p Proz.	Mittel Proz.	Minimum Proz.
Januar	719.4	728.8	710.8	− 2.1	0.0	− 1.9	− 1.5	1.2	− 4.2	7.2	3.	−14.4	13.	3.9	4.2	3.9	4.0	94	88	**94**	92	73
Februar	718.9	731.4	704.2	1.8	5.8	2.7	3.3	6.7	0.7	9.8	3.	− 3.9	9.	5.0	5.6	5.2	5.2	**95**	81	92	89	57
März	719.5	729.1	707.3	0.3	5.1	2.2	2.5	6.3	− 1.0	17.6	31.	− 7.9	23.	4.4	4.7	4.9	4.6	93	71	89	84	40
April	718.1	728.7	705.0	3.6	14.3	6.8	7.8	15.3	1.0	24.1	25.	− 3.9	13.	5.2	5.9	6.0	5.7	87	51	81	73	23
Mai	716.6	723.7	705.3	7.6	13.2	8.5	9.5	14.3	4.6	23.1	1.	− 3.5	8.	7.0	7.2	7.5	7.2	88	64	88	80	38
Juni	718.1	727.4	711.4	11.5	15.7	11.6	12.6	17.7	8.3	26.1	22.	2.0	2.	9.1	9.1	9.2	9.1	89	69	90	83	47
Juli	719.6	725.5	713.3	**14.8**	**19.5**	**14.9**	**16.0**	**21.1**	**11.4**	**29.1**	19.	6.9	28.	**11.3**	**11.6**	**11.6**	**11.5**	90	70	92	84	48
August	722.5	727.0	717.4	12.4	18.9	12.5	14.1	20.6	9.1	25.5	17.	2.5	30.	9.8	10.0	10.0	10.0	91	63	93	82	39
September	**723.1**	728.2	715.4	9.2	18.9	11.3	12.7	19.9	6.8	27.1	2.	− 1.2	29.	8.6	9.7	9.4	9.2	**95**	60	92	82	34
Oktober	717.4	731.0	701.6	5.1	9.5	5.9	6.6	10.9	3.2	19.9	6./7.	− 6.0	28.	6.4	7.3	6.7	6.8	**95**	81	93	89	54
November	716.6	727.6	697.3	3.4	7.2	4.0	4.6	8.8	1.7	14.2	21.	− 3.8	29.	5.5	6.3	5.5	5.8	92	81	90	88	56
Dezember	722.1	**734.1**	708.8	− 1.9	− 1.2	− 2.1	− 1.8	− 0.2	− 3.8	4.1	12.	−15.0	27.	4.0	4.0	3.9	3.9	**95**	**92**	**94**	**94**	76
Jahr	719.3	734.1	697.3	5.5	10.6	6.4	7.2	11.9	3.2	29.1	19. VII.	−15.0	27. XII.	6.7	7.1	7.0	6.9	92	73	91	85	23

1926

Hof.

$h_t = 1.6$ m — $h_r = 1.5$ m

Monat	Bewölkung: 7a	2p	9p	Mittel	Niederschlag: Summe mm	Tagesmaximum: Betrag mm	Gemessen am	Zahl der Tage: ≧0.1 mm Niederschlag	≧1.0 mm	≧0.1 mm ✳	⊛	△	▲	⊠	≡	heitere	trübe	Windverteilung: N	NE	E	SE	S	SW	W	NW	C
Januar	8.8	8.1	6.3	7.7	49.2	13.5	1.	15	12	7	12	–	–	–	5	2	19	5	12	1	5	14	46	8	2	–
Februar	8.5	8.5	7.1	8.0	64.3	20.6	18.	14	8	3	2	–	–	–	6	1	15	–	9	1	**9**	**24**	37	1	3	–
März	7.6	8.1	6.7	7.5	55.6	8.0	12.	19	16	10	5	–	–	1	2	3	18	6	24	3	5	8	37	7	3	–
April	5.7	5.9	2.9	4.9	43.4	14.0	11.	11	9	–	–	2	–	2	7	6	4	4	20	1	6	17	33	5	3	1
Mai	7.7	8.4	6.5	7.5	76.5	26.3	23.	17	11	1	–	–	–	1	5	–	14	8	**33**	–	6	2	32	1	11	–
Juni	8.3	8.9	7.8	8.3	112.9	18.6	16.	**22**	**18**	–	–	–	–	4	5	–	18	2	21	–	4	4	38	8	13	–
Juli	7.6	7.4	6.7	7.2	**140.2**	**27.5**	20.	21	**18**	–	–	–	–	**7**	2	3	15	7	21	**4**	2	7	36	7	9	–
August	6.8	6.1	5.0	6.0	59.5	15.9	7.	11	8	–	–	–	–	2	6	5	7	8	14	–	5	6	49	5	5	1
September	6.4	5.2	3.0	4.9	28.7	5.4	27.	10	7	–	–	–	–	2	**10**	**8**	4	3	8	–	3	9	49	1	17	–
Oktober	8.6	8.3	7.9	8.3	78.7	12.5	22.	18	11	3	1	–	–	–	**10**	–	20	3	28	–	1	–	49	3	9	–
November	8.4	7.6	6.5	7.5	32.3	13.0	15.	9	**7**	–	–	–	–	–	9	–	13	1	–	1	5	9	**65**	4	5	–
Dezember	**10.0**	**9.3**	**9.0**	**9.5**	41.9	6.7	18.	17	13	**14**	**19**	–	–	–	5	–	**28**	**9**	16	–	3	1	36	**10**	**18**	–
Jahr	7.9	7.7	6.3	7.3	783.2	27.5	20. VII.	184	138	38	39	2	⌐	19	72	28	175	56	206	11	54	101	507	60	98	2

Alle Angaben nach Ortszeit.

1926

Coburg.

$\varphi = 50^0\ 15'$ N $\lambda = 10^0\ 57'$ E — H = 326.5 m Cg = + 0.3 mm

Monat	Luftdruck auf 0° und Normalschwere reduziert: Mittel mm	Maximum mm	Minimum mm	Lufttemperatur: 7a C°	2p C°	9p C°	Tagesmittel C°	Mittl. Maximum C°	Mittl. Minimum C°	Absol. Maximum C°	Datum	Absol. Minimum C°	Datum	Absolute Feuchtigkeit: 7a mm	2p mm	9p mm	Mittel mm	Relative Feuchtigkeit: 7a Proz.	2p Proz.	9p Proz.	Mittel Proz.	Minimum Proz.
Januar	732.9	743.1	723.6	- 1.1	0.9	- 0.8	- 0.4	1.8	- 3.0	7.3	3.	-12.4	13.	4.1	4.3	4.1	4.2	93	85	91	90	60
Februar	732.1	745.6	716.2	2.4	6.4	4.4	4.4	7.0	1.4	11.0	6.	- 2.3	15.	5.3	6.2	5.8	5.7	**95**	85	**92**	90	65
März	732.7	744.3	720.9	1.7	6.5	3.7	3.9	7.4	0.2	17.2	30.	- 5.5	21.	4.7	5.0	5.0	4.9	87	68	82	79	43
April	730.7	741.5	717.4	5.8	15.4	9.0	9.8	16.6	3.2	25.6	25.	- 1.6	12.	5.9	6.4	6.4	6.2	86	51	75	**70**	24
Mai	728.9	736.6	716.3	8.6	14.4	9.8	10.6	15.8	6.0	24.2	1.	- 1.8	10.	7.5	7.8	7.8	7.7	88	63	84	78	44
Juni	730.6	740.6	723.1	12.2	17.0	13.1	13.9	18.4	9.2	25.2	22.	5.1	2.	9.4	9.6	9.7	9.6	88	67	86	80	40
Juli	732.0	737.7	726.0	**15.3**	20.4	**16.3**	**17.1**	**21.9**	**12.9**	**30.4**	19.	6.1	28.	**11.7**	**12.7**	**12.1**	**12.2**	89	72	87	83	46
August	735.1	741.4	729.6	12.7	**20.5**	14.6	15.6	**21.9**	10.3	28.1	17.	5.0	28.	10.1	10.8	10.9	10.6	91	61	88	80	44
September	735.8	742.0	727.1	10.9	20.4	13.1	14.4	21.2	9.0	28.3	2.	1.8	29.	9.4	10.7	10.4	10.2	**95**	59	90	81	44
Oktober	730.1	744.9	716.4	6.3	10.2	7.3	7.8	11.3	4.0	19.7	6.	- 3.3	28.	6.9	7.6	7.2	7.2	93	79	90	87	60
November	729.3	741.4	710.2	4.1	7.8	4.8	5.4	8.6	2.3	13.8	18.	- 3.1	30.	5.7	6.6	5.9	6.1	92	82	91	88	63
Dezember	**735.9**	**747.3**	720.8	- 0.8	0.3	- 0.5	- 0.4	1.2	- 2.7	5.5	11.	-10.6	26.	4.1	4.3	4.2	4.2	92	**89**	**92**	**91**	73
Jahr	732.2	747.3	710.2	6.5	11.7	7.9	8.5	12.8	4.4	30.4	19. VII.	-12.4	13. I.	7.1	7.7	7.5	7.4	91	72	87	83	24

Bad Kissingen.

$\varphi = 50^0\ 12'$ N $\lambda = 10^0\ 5'$ E — H = 209.2 m Cg = + 0.3 mm

Monat	Luftdruck auf 0° und Normalschwere reduziert: Mittel mm	Maximum mm	Minimum mm	Lufttemperatur: 7a C°	2p C°	9p C°	Tagesmittel C°	Mittl. Maximum C°	Mittl. Minimum C°	Absol. Maximum C°	Datum	Absol. Minimum C°	Datum	Absolute Feuchtigkeit: 7a mm	2p mm	9p mm	Mittel mm	Relative Feuchtigkeit: 7a Proz.	2p Proz.	9p Proz.	Mittel Proz.	Minimum Proz.
Januar	743.6	754.3	733.2	- 0.6	2.4	- 0.3	0.3	2.9	- 1.4	8.0	3./7./26.	-11.8	13.	4.0	4.2	4.0	4.1	86	74	85	81	48
Februar	742.8	758.1	726.5	3.2	7.8	5.1	5.3	8.4	2.3	12.1	20.	- 2.0	17.	5.3	5.9	5.7	5.6	**90**	76	**86**	**84**	61
März	743.8	755.3	731.0	2.5	8.0	4.4	4.8	8.9	0.8	17.7	30.	- 4.6	21.	4.7	5.0	5.0	4.9	83	61	77	74	39
April	741.6	752.5	727.7	5.7	15.6	8.8	9.7	16.8	2.9	25.1	30.	- 1.8	18.	5.9	5.9	6.4	6.0	84	46	75	68	22
Mai	740.0	747.6	726.0	9.5	16.5	10.6	11.8	17.4	7.0	26.0	1.	- 1.2	8.	7.4	7.4	7.9	7.6	82	53	82	72	33
Juni	741.9	752.3	733.5	12.6	19.0	13.7	14.7	20.8	9.8	26.6	22.	4.8	25.	9.0	9.0	9.1	9.0	82	56	79	72	30
Juli	743.5	749.7	736.7	**15.8**	**21.7**	**17.0**	**17.9**	**23.4**	**13.8**	**30.4**	14.	7.8	28.	**11.7**	**12.1**	**12.1**	**12.0**	87	63	83	78	40
August	746.4	752.9	741.1	13.2	20.8	15.4	16.2	22.3	10.5	27.7	17.	5.4	28.	10.1	10.0	11.1	10.4	89	55	85	76	43
September	747.3	753.9	738.3	10.7	20.2	13.9	14.7	22.2	9.1	28.4	4.	0.1	28.	8.8	10.1	10.2	9.7	**90**	58	85	77	41
Oktober	741.8	755.7	726.7	6.9	11.6	7.6	8.4	12.5	4.8	22.3	8.	- 2.1	28.	6.6	7.1	6.6	6.7	86	68	83	79	48
November	740.3	752.7	717.9	4.0	8.1	4.8	5.4	8.7	2.2	13.8	14.	- 2.8	30.	5.5	5.6	5.5	5.5	86	70	85	80	48
Dezember	**747.4**	**758.8**	732.6	0.1	1.9	0.5	0.8	2.4	- 1.4	7.3	11.	- 9.8	26.	4.0	4.2	4.2	4.1	84	**78**	**86**	82	68
Jahr	743.4	758.8	717.9	7.0	12.8	8.5	9.2	13.9	5.0	30.4	14. VII.	-11.8	13. I.	6.9	7.2	7.3	7.1	86	63	83	77	22

Selb.

$\varphi = 50^0\ 10'$ N $\lambda = 12^0\ 7'$ E — H = 543.2 m

Monat	Luftdruck auf 0° und Normalschwere reduziert: Mittel mm	Maximum mm	Minimum mm	Lufttemperatur: 7a C°	2p C°	9p C°	Tagesmittel C°	Mittl. Maximum C°	Mittl. Minimum C°	Absol. Maximum C°	Datum	Absol. Minimum C°	Datum	Absolute Feuchtigkeit: 7a mm	2p mm	9p mm	Mittel mm	Relative Feuchtigkeit: 7a Proz.	2p Proz.	9p Proz.	Mittel Proz.	Minimum Proz.
Januar				- 2.7	- 0.5	- 2.7	- 2.2	0.3	- 5.5	6.1	3.	-15.9	13.	3.6	4.0	3.5	3.7	90	86	88	88	66
Februar				1.0	4.8	2.1	2.5	5.4	- 0.5	8.7	21.	- 4.2	27.	4.9	5.6	5.2	5.2	**98**	87	**97**	**94**	67
März				- 0.2	4.2	1.8	1.9	5.3	- 1.8	16.1	30.	- 8.0	21.	4.3	4.7	4.7	4.6	92	74	88	85	53
April				2.8	13.3	6.2	7.1	14.4	- 0.2	23.2	25.	- 5.2	12.	5.3	5.8	6.1	5.7	93	53	85	**77**	24
Mai				7.4	12.7	8.5	9.3	14.0	4.1	22.1	1.	- 4.0	8.	7.1	7.2	7.6	7.3	91	66	90	82	39
Juni				10.7	15.0	11.2	12.0	16.7	7.2	25.1	22.	0.0	2.	8.9	8.8	9.1	8.9	92	70	92	85	47
Juli				**14.0**	**19.1**	**14.6**	**15.6**	**20.5**	**10.8**	**29.1**	19.	6.8	24.	**11.2**	**11.4**	**11.5**	**11.4**	94	70	93	86	48
August				11.5	18.4	12.4	13.6	19.9	8.2	24.6	17.	3.0	3./24.	9.7	9.9	10.1	9.9	96	64	94	84	44
September				7.8	18.2	10.7	11.9	19.3	5.3	26.1	2./11.	- 3.1	25.	8.0	9.4	9.2	8.9	**98**	60	94	84	32
Oktober				5.0	8.9	5.7	6.3	10.4	2.4	20.6	6.	- 5.7	28.	6.5	7.2	6.6	6.7	96	81	94	90	59
November				2.9	6.8	3.6	4.2	7.7	0.9	13.1	21.	- 5.2	25.	5.4	6.4	5.7	5.8	95	85	94	91	62
Dezember				- 2.1	- 1.2	- 2.1	- 1.9	- 0.1	- 4.1	4.1	11.	-13.3	16.	3.9	3.9	3.8	3.9	94	**91**	93	93	67
Jahr				4.9	10.0	6.0	6.7	11.2	2.2	29.1	19. VII.	-15.9	13. I.	6.6	7.0	6.9	6.8	94	74	92	87	24

Luitpoldheim.

$\varphi = 50^0\ 1'$ N $\lambda = 9^0\ 34'$ E — H = 250 m

Monat	Luftdruck auf 0° und Normalschwere reduziert: Mittel mm	Maximum mm	Minimum mm	Lufttemperatur: 7a C°	2p C°	9p C°	Tagesmittel C°	Mittl. Maximum C°	Mittl. Minimum C°	Absol. Maximum C°	Datum	Absol. Minimum C°	Datum	Absolute Feuchtigkeit: 7a mm	2p mm	9p mm	Mittel mm	Relative Feuchtigkeit: 7a Proz.	2p Proz.	9p Proz.	Mittel Proz.	Minimum Proz.
Januar				- 0.4	2.7	0.4	0.8	4.0	- 2.1	10.1	25.	-11.8	13.	4.3	4.5	4.5	4.4	91	80	**92**	87	48
Februar				3.5	7.8	5.3	5.5	8.9	2.3	13.6	26.	- 2.3	23.	5.7	6.3	6.1	6.0	**96**	**81**	91	**89**	54
März				2.7	8.9	4.7	5.2	10.0	1.3	18.3	30.	- 4.6	21.	4.8	4.9	5.1	4.9	84	58	77	73	28
April				5.6	15.8	10.0	10.3	17.1	4.2	26.7	25.	0.1	13.	6.1	5.8	6.3	6.1	88	46	70	68	18
Mai				8.6	15.0	10.7	11.3	16.3	6.7	24.2	1.	- 1.4	10.	7.5	7.5	7.7	7.6	88	59	79	75	37
Juni				11.9	17.4	13.3	14.0	18.8	9.6	26.0	22.	5.2	2.	9.3	9.2	9.5	9.3	89	64	83	79	35
Juli				**15.1**	21.0	**16.6**	**17.3**	22.5	**13.4**	**31.2**	14.	7.9	28.	**11.5**	**12.1**	**11.9**	**11.8**	89	66	84	80	46
August				12.6	**21.6**	15.6	16.3	**23.1**	11.1	30.2	17.	6.2	28.	9.9	11.3	11.2	10.8	91	61	85	79	40
September				11.1	21.1	14.4	15.2	22.5	10.0	**31.2**	2.	2.1	28.	9.2	10.8	10.4	10.1	94	58	84	78	35
Oktober				6.6	10.9	8.0	8.4	12.4	4.8	22.6	6.	- 3.3	28.	6.9	7.4	7.3	7.2	92	75	88	85	50
November				4.4	8.3	5.3	5.9	9.3	2.7	17.0	16.	- 2.8	30.	5.7	6.2	6.0	6.0	90	75	88	84	42
Dezember				- 0.3	1.9	0.4	0.6	2.7	- 1.7	8.4	7.	-10.4	26.	4.0	4.1	4.2	4.1	86	77	85	83	43
Jahr				6.8	12.7	8.7	9.2	14.0	5.2	31.2	14. VII. 2. IX.	-11.8	13. I.	7.1	7.5	7.5	7.4	90	67	84	80	18

Alle Angaben nach Ortszeit.

1926

Coburg.

h_t = 1.9 m — h_r = 1.1 m

Monat	Bewölkung 7a	2p	9p	Mittel	Niederschlag Summe mm	Tagesmaximum Betrag mm	Gemessen am	Zahl der Tage ≧0.1 mm Niederschlag	≧1.0 mm	≧0.1 mm ✳	⊠	△	▲	⊼	≡	heitere	trübe	Windverteilung N	NE	E	SE	S	SW	W	NW	C
Januar	8.0	8.0	6.8	7.6	64.6	9.7	16.	20	17	10	12	2	–	–	10	3	18	2	8	9	10	14	31	9	5	**5**
Februar	7.9	**8.8**	6.6	7.8	64.0	23.0	20.	**24**	12	2	–	–	–	–	**16**	–	11	–	5	**24**	7	19	19	6	–	4
März	6.1	6.7	6.0	6.3	46.0	9.0	7.	21	12	7	3	1	–	1	12	4	12	2	19	12	–	5	18	28	9	–
April	5.0	5.7	3.2	4.6	33.3	9.5	20.	13	9	–	–	3	–	2	5	8	4	4	5	6	12	17	19	23	4	–
Mai	7.7	8.3	6.5	7.5	60.6	9.5	24.	18	10	2	–	**4**	–	1	3	1	14	2	**33**	3	3	7	16	17	9	3
Juni	7.3	7.8	6.8	7.3	73.7	13.0	18.	19	15	–	–	–	–	7	–	2	16	**14**	7	4	3	12	18	15	17	–
Juli	7.4	6.8	7.4	7.2	**250.6**	**73.6**	5.	21	**21**	–	–	1	–	**14**	–	3	16	7	22	4	3	14	**14**	19	10	–
August	6.1	5.8	3.1	5.0	66.3	23.7	22.	10	7	–	–	2	–	4	4	6	4	4	11	7	3	7	24	**29**	5	3
September	**4.9**	**4.7**	**2.8**	**4.1**	**22.1**	8.5	4.	9	7	–	–	–	–	3	8	**9**	3	1	6	2	3	12	24	17	**20**	**5**
Oktober	7.8	7.8	6.9	7.5	90.4	15.2	29.	21	15	4	–	2	–	–	5	1	15	8	22	3	1	12	29	9	5	4
November	7.9	7.0	6.2	7.1	26.7	6.8	15.	21	9	1	–	–	–	–	13	1	11	–	7	12	**18**	**21**	24	4	2	2
Dezember	**9.2**	8.7	**8.6**	**8.8**	57.9	7.0	18.	22	13	**14**	**14**	–	–	–	10	–	**24**	3	21	8	5	2	**34**	11	5	4
Jahr	7.1	7.2	5.9	6.7	856.2	73.6	5. VII.	219	147	40	29	15	–	32	86	38	148	47	166	94	68	142	270	187	91	30

Bad Kissingen.

h_t = 4.9 m — h_r = 1.1 m

Monat	Bewölkung 7a	2p	9p	Mittel	Niederschlag Summe mm	Tagesmaximum Betrag mm	Gemessen am	Zahl der Tage ≧0.1 mm Niederschlag	≧1.0 mm	≧0.1 mm ✳	⊠	△	▲	⊼	≡	heitere	trübe	Windverteilung N	NE	E	SE	S	SW	W	NW	C
Januar	8.7	7.9	7.5	8.1	79.4	12.3	3.	16	15	7	**9**	–	–	–	2	2	21	17	1	6	–	7	5	26	3	28
Februar	**9.3**	**8.4**	6.7	8.1	81.4	24.3	18.	14	12	–	–	–	–	–	7	–	16	13	2	8	–	5	6	16	4	30
März	6.2	6.4	5.8	6.1	49.9	10.2	11.	13	11	4	1	–	–	1	2	4	12	12	1	19	–	5	4	30	3	19
April	5.8	5.9	3.4	5.0	24.9	6.2	10./22.	8	6	–	–	–	–	–	1	**6**	6	7	1	14	–	**13**	8	20	1	26
Mai	7.6	7.3	5.6	6.8	82.0	18.8	29.	15	12	1	–	1	1	3	1	–	10	14	3	**22**	–	7	6	14	**7**	20
Juni	7.0	7.5	5.4	6.6	77.8	12.3	11.	14	14	–	–	–	–	4	–	4	8	15	–	10	1	3	5	32	2	22
Juli	7.8	7.4	5.9	7.0	**149.5**	28.2	9.	17	**17**	–	–	–	1	**9**	2	1	10	13	1	16	–	5	3	31	**7**	17
August	**5.3**	5.7	3.4	4.8	66.9	**35.7**	22.	7	6	–	–	–	–	4	3	4	3	6	–	15	–	1	2	28	5	36
September	5.4	**4.9**	**2.9**	**4.4**	**9.9**	3.4	29.	5	5	–	–	–	–	2	7	**6**	2	**1**	–	5	–	3	**1**	**40**	**1**	**39**
Oktober	7.6	7.9	6.0	7.2	121.9	23.7	29.	**19**	**17**	1	–	–	–	–	4	1	15	**20**	3	11	–	8	6	19	6	20
November	8.0	7.4	5.1	6.8	36.7	6.1	1.	12	12	–	–	–	–	–	**9**	2	12	17	–	9	1	6	10	19	4	24
Dezember	8.3	8.2	**8.0**	**8.2**	42.4	9.8	18.	16	11	**13**	3	–	–	–	3	3	**22**	12	**17**	11	–	**1**	**13**	16	**7**	**16**
Jahr	7.3	7.1	5.5	6.6	822.7	35.7	22. VIII.	156	138	26	13	1	2	23	41	33	137	147	29	146	2	64	69	291	50	297

Selb.

h_t = 2.2 m — h_r = 1.2 m

Monat	Bewölkung 7a	2p	9p	Mittel	Niederschlag Summe mm	Tagesmaximum Betrag mm	Gemessen am	Zahl der Tage ≧0.1 mm Niederschlag	≧1.0 mm	≧0.1 mm ✳	⊠	△	▲	⊼	≡	heitere	trübe	Windverteilung N	NE	E	SE	S	SW	W	NW	C
Januar	**9.1**	8.0	7.6	8.2	65.8	14.6	1.	20	15	8	21	–	1	–	4	–	16	6	5	19	–	5	**9**	37	2	10
Februar	8.5	7.7	6.9	7.7	71.8	21.0	18.	10	7	3	2	–	–	–	6	1	12	4	–	**26**	**6**	8	2	28	1	9
März	7.5	6.8	7.7	7.3	53.9	9.4	5.	21	15	13	8	1	–	1	2	2	16	6	8	25	–	2	7	37	4	4
April	5.4	5.3	3.5	4.7	55.8	15.2	17.	11	10	1	–	–	–	4	2	**8**	6	13	5	15	1	7	1	32	2	14
Mai	6.8	6.9	6.7	6.8	66.0	11.0	10.	17	11	2	–	–	–	–	4	–	11	23	2	22	–	4	5	21	**6**	10
Juni	8.1	7.2	6.4	7.3	109.4	24.5	16.	**22**	18	–	–	–	–	4	3	–	11	**24**	1	10	1	1	2	42	1	8
Juli	6.8	7.1	6.2	6.7	**176.1**	**27.0**	30.	**22**	**19**	–	–	–	–	**9**	6	3	8	17	–	15	1	4	1	36	2	17
August	6.0	5.5	3.6	5.0	80.6	24.2	18.	13	10	–	–	–	–	3	11	2	5	14	11	10	2	1	–	41	2	12
September	5.8	**4.7**	**3.3**	**4.6**	**30.1**	7.5	9.	12	8	–	–	–	–	–	**13**	6	**1**	6	1	**1**	1	4	4	37	5	**31**
Oktober	7.8	7.8	6.2	7.2	110.5	19.6	14.	**22**	15	6	3	1	–	–	8	1	15	6	8	13	5	6	4	28	5	18
November	8.7	7.2	6.3	7.4	63.5	23.8	15.	9	8	2	–	–	–	–	11	–	12	4	1	23	5	**9**	1	21	**1**	25
Dezember	**9.1**	**8.9**	**8.5**	**8.8**	38.5	6.5	18.	20	14	**17**	**23**	–	–	–	6	1	**26**	12	**16**	6	–	2	1	**47**	4	5
Jahr	7.5	6.9	6.1	6.8	922.0	27.0	30. VII.	199	150	52	57	2	1	21	76	24	139	135	58	185	22	53	37	407	35	163

Luitpoldheim.

h_t = 8.4 m — h_r = 1.4 m

Monat	Bewölkung 7a	2p	9p	Mittel	Niederschlag Summe mm	Tagesmaximum Betrag mm	Gemessen am	Zahl der Tage ≧0.1 mm Niederschlag	≧1.0 mm	≧0.1 mm ✳	⊠	△	▲	⊼	≡	heitere	trübe	Windverteilung N	NE	E	SE	S	SW	W	NW	C
Januar	9.7	8.6	8.4	**9.0**	84.1	17.0	3.	19	13	**8**	**10**	–	–	–	13	–	25	1	6	3	12	–	21	6	3	41
Februar	**9.8**	**9.0**	7.0	8.6	96.6	28.3	18.	16	13	–	–	–	–	–	**19**	–	17	–	1	–	9	–	16	4	–	**54**
März	8.8	7.1	7.7	7.9	47.6	10.5	5.	16	14	5	1	–	1	2	1	1	17	1	10	5	**15**	–	20	4	**14**	24
April	**7.2**	5.4	**3.5**	**5.4**	31.2	8.0	8.	9	8	–	–	–	1	2	4	**6**	8	–	–	3	12	2	15	16	8	34
Mai *)	9.0	7.8	8.0	8.3	91.1	19.0	30.	*13*	*13*	–	–	?	?	?	?	–	18	–	2	4	12	2	23	10	2	38
Juni	8.7	7.6	7.3	7.9	54.1	9.2	18.	16	14	–	–	–	–	4	8	1	17	–	1	10	13	–	11	17	1	37
Juli	7.8	6.8	7.3	7.3	**117.3**	**42.0**	8.	**22**	**15**	–	–	–	1	–	**6**	4	4	15	–	2	20	7	–	**7**	**24**	6	27
August *)	8.2	6.2	5.0	6.5	44.7	23.0	22.	*8*	*5*	–	–	?	?	2	6	2	11	–	–	19	12	–	14	18	–	30
September	8.1	**5.0**	4.9	6.0	**14.5**	5.3	29.	7	5	–	–	–	–	–	13	3	**7**	–	2	21	5	**3**	11	**24**	3	21
Oktober *)	9.0	8.8	**9.0**	8.9	99.4	**21.8**	29.	*16*	*15*	–	–	?	?	–	18	–	25	–	1	4	8	–	**46**	8	–	26
November	9.0	7.7	7.6	8.1	39.5	11.0	15.	14	10	–	–	–	–	–	17	–	19	–	10	11	13	–	12	11	3	30
Dezember *)	9.6	8.9	8.6	**9.0**	*60.0*	?	?	*13*	*10*	**8**	1	–	–	–	8	1	**27**	–	**17**	**23**	9	–	14	16	5	**9**
Jahr	8.7	7.4	7.0	7.7	780.1	42.0	8. VII.	169	135	21	12	?1	?2	?16	?11	18	206	2	52	123	127	7	210	158	45	371

*) Die Niederschlagsverhältnisse nach Angaben der B. Landesstelle für Gewässerkunde ergänzt.

Alle Angaben nach Ortszeit.

1926

Bayreuth.

$\varphi = 49^0\ 57'$ N $\lambda = 11^0\ 34'$ E — H = 363.3 m Cg = + 0.3 mm

Monat	Luftdruck auf 0° und Normalschwere reduziert: Mittel mm	Maximum mm	Minimum mm	Lufttemperatur: 7a C°	2p C°	9p C°	Tagesmittel C°	Mittl. Maximum C°	Mittl. Minimum C°	Absol. Maximum C°	Datum	Absol. Minimum C°	Datum	Absolute Feuchtigkeit: 7a mm	2p mm	9p mm	Mittel mm	Relative Feuchtigkeit: 7a Proz.	2p Proz.	9p Proz.	Mittel Proz.	Minimum Proz.
Januar . .	730.3	740.2	721.1	- 1.2	1.3	- 0.8	- 0.4	1.9	- 3.1	7.8	3.	-12.7	13.	4.1	4.3	4.0	4.1	91	83	90	88	57
Februar . .	729.6	743.9	713.6	2.6	6.8	4.4	4.6	7.4	1.7	11.3	3.	- 2.6	15.	5.2	6.1	5.7	5.7	**93**	83	91	89	61
März . . .	730.1	741.3	718.3	1.8	6.2	3.5	3.7	7.6	0.2	18.5	30.	- 5.7	21.	4.7	5.1	5.3	5.0	89	70	87	82	48
April . . .	728.5	739.5	715.5	6.1	14.8	8.8	9.6	17.0	3.4	25.8	25.	- 2.2	12.	5.9	6.6	6.8	6.5	84	54	80	73	28
Mai	726.7	734.2	713.7	9.1	14.3	10.0	10.9	16.2	6.1	25.4	1.	- 1.5	10.	7.4	7.3	7.8	7.5	84	60	84	76	34
Juni	728.6	738.7	721.0	12.0	16.7	12.7	13.5	19.0	9.1	27.1	21.	3.2	2.	9.1	9.1	9.5	9.2	87	64	87	79	36
Juli	729.9	735.9	724.6	**15.3**	**20.1**	**16.2**	**16.9**	**22.7**	**12.9**	**33.5**	19.	8.3	28.	**11.5**	**11.7**	**11.8**	**11.7**	88	68	86	81	43
August . .	733.0	738.8	727.6	12.8	19.7	14.6	15.4	22.5	10.5	29.4	17.	5.0	29.	9.8	10.0	10.8	10.2	89	60	87	79	43
September .	**733.8**	739.9	725.3	11.1	19.6	13.3	14.3	22.2	9.0	31.4	1.	0.8	29.	9.0	9.5	9.9	9.5	89	55	85	77	39
Oktober .	728.0	742.2	712.0	6.5	10.5	7.4	8.0	11.9	4.4	21.4	6.	- 2.7	28.	6.7	7.3	6.9	7.0	90	75	88	84	53
November .	727.2	739.5	706.3	4.2	8.3	4.8	5.5	9.0	2.6	14.2	19.	- 5.8	30.	5.7	6.5	5.8	6.0	91	79	90	87	61
Dezember .	733.2	**744.4**	718.6	- 0.8	0.4	- 0.4	- 0.3	1.1	- 2.2	4.9	11.	-10.2	26.	4.2	4.3	4.3	4.3	**93**	**89**	**93**	**92**	70
Jahr	729.9	744.4	706.3	6.6	11.6	7.9	8.5	13.2	4.6	33.5	19. VII.	-12.7	13. I.	6.9	7.3	7.4	7.2	89	70	87	82	28

Bamberg.

$\varphi = 49^0\ 53'$ N $\lambda = 10^0\ 53'$ E — H = 287.7 m Cg = + 0.3 mm

Monat	Luftdruck auf 0° und Normalschwere reduziert: Mittel mm	Maximum mm	Minimum mm	Lufttemperatur: 7a C°	2p C°	9p C°	Tagesmittel C°	Mittl. Maximum C°	Mittl. Minimum C°	Absol. Maximum C°	Datum	Absol. Minimum C°	Datum	Absolute Feuchtigkeit: 7a mm	2p mm	9p mm	Mittel mm	Relative Feuchtigkeit: 7a Proz.	2p Proz.	9p Proz.	Mittel Proz.	Minimum Proz.
Januar . . .	737.1	746.8	728.3	- 1.3	1.8	- 0.6	- 0.2	2.6	- 3.3	8.1	3./7./30.	-12.7	13.	4.0	4.4	4.1	4.2	90	81	89	87	53
Februar . .	736.3	749.9	720.0	3.0	7.6	5.1	5.2	8.5	1.9	12.2	6.	- 2.2	15.	5.3	6.3	5.8	5.8	**93**	81	88	87	59
März . . .	737.1	747.9	724.5	2.0	7.3	4.0	4.3	8.6	0.3	18.8	30.	- 5.3	21.	4.8	5.2	5.2	5.0	87	67	82	78	32
April . . .	735.0	745.3	721.7	6.3	15.8	9.6	10.3	17.2	3.5	25.7	25.	- 1.0	14.	6.0	6.2	6.1	6.1	83	49	69	67	23
Mai	733.4	740.7	720.1	9.4	15.2	10.3	11.3	16.6	6.3	25.6	1.	- 2.1	10.	7.8	8.2	7.6	7.9	87	63	81	77	30
Juni	735.2	744.7	727.4	12.9	17.5	13.1	14.2	19.5	9.3	27.4	22.	4.1	2.	9.7	9.9	9.4	9.7	87	68	84	80	39
Juli	736.5	742.0	730.7	**15.6**	**20.7**	**16.3**	**17.2**	**22.7**	**13.1**	**30.2**	15.	7.7	28.	**11.8**	**12.6**	**12.1**	**12.1**	89	70	88	82	47
August . .	739.4	745.1	734.4	13.7	20.4	15.2	16.1	22.0	10.9	29.1	17.	6.3	28.	10.5	11.3	10.8	10.9	90	65	84	79	49
September .	740.1	746.2	731.9	11.4	20.2	14.2	15.0	21.4	9.6	27.8	11.	1.9	29.	9.4	10.6	10.4	10.1	92	59	85	79	44
Oktober . .	734.7	748.4	719.1	6.5	11.0	7.6	8.2	12.5	4.3	20.6	9.	- 3.6	28.	6.9	7.7	7.2	7.3	**93**	77	**90**	87	59
November .	733.7	745.9	711.6	4.3	8.5	5.5	5.9	9.6	2.5	16.6	18.	- 3.9	30.	5.6	6.5	6.0	6.0	89	77	88	85	42
Dezember .	**740.3**	**751.4**	725.2	- 0.3	0.9	0.0	0.1	1.8	- 2.0	5.6	11.	-10.2	26.	4.1	4.2	4.2	4.2	89	**85**	**90**	**88**	65
Jahr	736.6	751.4	711.6	7.0	12.2	8.4	9.0	13.6	4.7	30.2	15. VII.	-12.7	13. I.	7.2	7.8	7.5	7.4	89	70	85	81	23

Veitshöchheim.

$\varphi = 49^0\ 50'$ N $\lambda = 9^0\ 53'$ E — H = ca 178 m Cg = + 0.3 mm

Monat	Luftdruck auf 0° und Normalschwere reduziert: Mittel mm	Maximum mm	Minimum mm	Lufttemperatur: 7a C°	2p C°	9p C°	Tagesmittel C°	Mittl. Maximum C°	Mittl. Minimum C°	Absol. Maximum C°	Datum	Absol. Minimum C°	Datum	Absolute Feuchtigkeit: 7a mm	2p mm	9p mm	Mittel mm	Relative Feuchtigkeit: 7a Proz.	2p Proz.	9p Proz.	Mittel Proz.	Minimum Proz.
Januar . . .	746.5	756.6	736.2	- 0.7	3.0	0.3	0.7	4.1	- 2.5	10.2	30.	-11.1	13.	4.2	4.7	4.4	4.4	92	79	90	87	53
Februar . .	745.3	759.7	728.5	3.6	8.7	5.6	5.9	10.0	2.6	14.2	21.	- 1.1	27.	5.7	6.9	6.3	6.3	**96**	**82**	93	**90**	63
März . . .	746.5	758.0	733.7	2.8	9.2	4.7	5.3	10.6	1.2	20.4	29./30.	- 5.0	24.	5.0	5.5	5.5	5.3	86	63	84	77	36
April . . .	743.9	754.5	729.7	6.1	17.2	9.3	10.5	19.1	3.7	28.7	25.	- 1.3	13.	6.1	7.1	7.2	6.8	86	51	83	73	23
Mai	742.3	750.1	728.3	9.4	16.2	11.0	11.9	18.2	6.7	26.2	1.	- 1.3	10.	7.8	8.5	8.7	8.3	87	62	87	79	43
Juni	744.2	754.3	735.6	12.5	18.5	13.8	14.7	20.9	9.6	28.8	21.	5.4	27.	9.7	10.5	10.5	10.2	89	67	90	82	41
Juli	745.5	751.5	738.4	**15.6**	**22.5**	**16.9**	**18.0**	**25.0**	**13.4**	**33.6**	19.	6.4	28.	**12.0**	**13.1**	**13.1**	**12.7**	90	65	91	82	47
August . .	748.5	754.9	742.6	12.9	**22.5**	15.2	16.5	24.5	10.6	30.2	17.	5.9	29.	10.4	12.3	11.9	11.5	93	61	92	82	47
September .	749.3	755.8	740.1	10.9	22.0	13.6	15.0	23.9	9.2	33.1	11.	1.9	30.	9.5	12.2	11.1	10.9	95	62	**94**	84	43
Oktober . .	743.8	757.6	728.8	6.5	11.8	8.1	8.6	13.5	4.5	23.5	8.	- 3.4	28.	7.0	8.2	7.5	7.6	93	77	91	87	52
November .	742.5	755.1	719.2	4.1	8.8	5.2	5.8	9.9	2.2	16.5	16.	- 2.8	30.	5.8	6.9	6.2	6.3	94	81	93	89	57
Dezember .	**750.1**	**761.4**	734.2	0.1	2.2	0.7	0.9	2.7	- 1.4	6.2	11.	-10.0	26.	4.2	4.4	4.4	4.4	89	81	89	86	63
Jahr	745.7	761.4	719.2	7.0	13.6	8.7	9.5	15.2	3.3	33.6	19. VII.	-11.1	13. I.	7.3	8.4	8.1	7.9	91	69	90	83	23

Würzburg.

$\varphi = 49^0\ 48'$ N $\lambda = 9^0\ 56'$ E — H = 179.3 m Cg = + 0.3 mm

Monat	Luftdruck auf 0° und Normalschwere reduziert: Mittel mm	Maximum mm	Minimum mm	Lufttemperatur: 7a C°	2p C°	9p C°	Tagesmittel C°	Mittl. Maximum C°	Mittl. Minimum C°	Absol. Maximum C°	Datum	Absol. Minimum C°	Datum	Absolute Feuchtigkeit: 7a mm	2p mm	9p mm	Mittel mm	Relative Feuchtigkeit: 7a Proz.	2p Proz.	9p Proz.	Mittel Proz.	Minimum Proz.
Januar . . .	746.7	756.7	736.4	0.0	2.8	0.9	1.2	4.5	- 1.8	11.7	1.	-10.5	13.	4.3	4.5	4.4	4.4	88	77	85	84	52
Februar . .	745.5	759.5	728.9	4.3	8.5	6.1	6.2	9.4	3.3	12.7	24.	0.0	15./27.	5.7	6.5	6.2	6.1	**91**	**79**	**89**	**86**	58
März . . .	746.7	758.1	733.8	3.3	8.5	5.2	5.6	9.7	2.1	18.5	30.	- 3.5	21.	4.8	4.9	5.2	5.0	80	58	77	72	33
April . . .	744.1	754.7	730.0	6.8	15.9	10.4	10.9	18.5	5.1	28.0	25.	0.9	13./14.	6.1	5.9	6.6	6.2	81	46	70	66	19
Mai	742.5	750.1	728.3	10.0	16.0	11.8	12.4	17.8	7.8	26.2	27.	0.1	10.	7.6	7.5	8.2	7.8	83	56	79	73	38
Juni	744.4	754.4	736.1	13.2	18.1	14.5	15.1	20.7	10.9	27.3	22.	6.9	2.	9.5	9.5	10.0	9.7	84	63	82	76	33
Juli	745.6	751.6	738.7	**16.2**	**21.8**	**17.7**	**18.3**	**23.7**	**14.2**	**31.0**	14./19.	8.1	28.	**12.0**	**12.0**	**12.5**	**12.2**	87	62	83	77	41
August . . .	748.7	755.0	742.8	13.6	21.1	16.4	16.9	22.7	12.2	28.0	14.	7.5	28.	10.4	10.6	11.6	10.9	89	58	83	77	41
September .	749.5	756.5	740.6	11.9	20.5	15.0	15.6	21.5	10.9	29.0	1./11.	3.8	30.	9.6	10.4	11.0	10.3	**91**	58	86	78	38
Oktober . .	743.9	757.8	728.7	7.1	11.5	8.8	9.1	12.8	5.7	21.0	9.	- 2.1	28.	7.0	7.6	7.5	7.4	**91**	73	87	84	46
November .	742.7	755.3	719.4	4.9	8.6	5.8	6.3	9.7	3.3	15.8	14.	- 1.7	30.	5.9	6.4	6.3	6.2	90	76	**89**	85	54
Dezember .	**750.4**	**761.6**	734.3	0.7	2.3	1.2	1.3	3.3	- 0.5	6.7	11.	- 7.9	26.	4.3	4.4	4.5	4.4	86	**79**	87	84	58
Jahr	745.9	761.6	719.4	7.7	13.0	9.5	9.9	14.5	6.1	31.0	11., 19. VII.	-10.5	13. I.	7.3	7.5	7.8	7.6	87	65	83	79	19

Alle Angaben nach Ortszeit.

1926

Bayreuth.

h_t = 9.7 m — h_r = 1.9 m

Monat	Bewölkung 7a	2p	9p	Mittel	Niederschlag Summe mm	Tagesmaximum Betrag mm	Gemessen am	Zahl der Tage ≧0.1 mm Niederschlag	≧1.0 mm	≧0.1 mm ✳	⊠	△	▲	⊼	≡	heitere	trübe	Windverteilung N	NE	E	SE	S	SW	W	NW	C
Januar	8.5	8.1	7.4	8.0	47.6	10.2	1.	**23**	13	11	**11**	–	–	–	3	–	20	–	7	11	25	3	**18**	13	4	12
Februar	**8.9**	8.6	7.6	8.4	50.9	16.7	20.	18	6	4	–	–	–	–	**6**	–	16	–	**1**	**15**	29	6	12	9	–	12
März	6.9	7.5	7.3	7.2	38.4	6.8	16./28.	17	10	6	2	1	–	1	1	2	14	1	8	11	11	2	17	28	3	12
April	4.8	5.8	3.7	4.8	30.6	7.9	20.	13	6	–	–	**3**	1	4	–	7	6	–	3	**15**	16	–	**18**	22	2	14
Mai	7.7	8.1	6.5	7.4	62.5	22.2	23.	15	9	1	–	–	–	2	2	–	15	7	8	11	7	2	11	25	7	15
Juni	7.8	8.6	6.8	7.8	85.6	15.5	19.	20	15	–	–	–	1	8	–	1	15	6	5	7	8	–	10	29	9	16
Juli	7.0	7.1	7.1	7.1	**184.3**	**32.9**	20.	**23**	**18**	–	–	–	–	**15**	3	1	14	5	7	5	7	2	6	32	**14**	15
August	6.3	5.8	4.0	5.4	85.8	26.9	7.	12	9	–	–	–	1	7	3	4	6	–	6	13	7	3	9	19	13	**23**
September	5.4	5.0	3.7	4.7	10.3	4.3	26.	6	3	–	–	–	–	2	2	**9**	5	1	2	**15**	10	3	12	20	4	**23**
Oktober	7.6	8.4	7.1	7.7	90.9	12.2	22.	21	16	4	–	2	–	1	3	–	16	6	8	4	23	1	15	13	3	20
November	7.3	7.6	5.8	6.9	42.1	18.0	15.	18	7	1	–	–	–	–	4	2	9	–	2	9	**34**	**12**	9	12	–	12
Dezember	8.8	**8.8**	**8.6**	**8.8**	42.5	6.4	18.	21	11	**15**	6	1	–	–	1	1	**24**	**8**	**9**	4	3	3	15	**38**	4	9
Jahr	7.3	7.5	6.3	7.0	771.5	32.9	20. VII.	207	123	42	19	7	3	40	28	27	160	34	66	120	180	37	152	260	63	183

Bamberg.

h_t = 1.8 m — h_r = 1.4 m

Monat	Bewölkung 7a	2p	9p	Mittel	Niederschlag Summe mm	Tagesmaximum Betrag mm	Gemessen am	Zahl der Tage ≧0.1 mm Niederschlag	≧1.0 mm	≧0.1 mm ✳	⊠	△	▲	⊼	≡	heitere	trübe	Windverteilung N	NE	E	SE	S	SW	W	NW	C
Januar	**9.5**	7.9	8.0	8.5	54.3	10.0	16.	**25**	14	9	**11**	1	–	–	5	–	20	1	**9**	3	8	25	18	9	5	15
Februar	9.4	8.8	7.9	8.7	40.8	11.5	20.	23	7	–	–	–	–	–	6	–	20	1	–	4	**10**	21	**21**	4	7	16
März	6.8	7.3	7.8	7.3	54.1	10.4	16.	21	12	5	–	**3**	–	–	2	2	13	6	5	**6**	2	9	16	**14**	25	10
April	5.3	6.1	5.0	5.5	18.9	4.2	17.	13	6	–	–	1	1	1	–	**7**	8	4	1	3	**10**	22	11	9	14	16
Mai	8.0	8.2	7.5	7.9	56.6	16.7	3.	20	13	1	–	2	1	5	1	–	18	**8**	1	5	1	16	14	4	29	15
Juni	7.7	8.4	8.0	8.1	71.9	20.4	19.	22	12	–	–	–	–	8	–	–	19	2	2	2	2	21	14	8	22	17
Juli	7.7	7.7	7.8	7.8	**178.7**	**38.0**	7.	**25**	**18**	–	–	–	1	**13**	1	1	20	4	1	3	5	6	15	10	24	**25**
August	6.0	6.5	5.1	5.9	59.3	13.0	22.	13	11	–	–	–	1	6	4	2	**7**	1	–	2	5	20	19	10	15	21
September	5.7	5.5	4.8	5.3	10.2	4.0	9.	**12**	2	–	–	–	–	2	5	**7**	7	3	–	1	5	14	18	9	16	24
Oktober	8.8	8.4	7.5	8.3	74.7	12.3	22.	23	12	2	–	–	–	–	5	–	21	3	–	3	–	20	**21**	10	24	12
November	7.8	8.1	6.8	7.6	23.5	6.3	15.	19	4	1	–	–	–	–	**8**	1	14	–	1	1	9	**39**	13	5	**5**	17
Dezember	9.4	**8.6**	**8.9**	**9.0**	29.4	4.2	10.	20	10	**13**	4	–	–	–	–	–	**25**	7	2	1	2	11	17	10	**37**	6
Jahr	7.7	7.6	7.1	7.5	672.4	38.0	7. VII.	236	121	30	15	7	4	35	37	20	192	40	22	34	59	224	197	102	223	194

Veitshöchheim.

h_t = 2.0 m — h_r = 1.5 m

Monat	Bewölkung 7a	2p	9p	Mittel	Niederschlag Summe mm	Tagesmaximum Betrag mm	Gemessen am	Zahl der Tage ≧0.1 mm Niederschlag	≧1.0 mm	≧0.1 mm ✳	⊠	△	▲	⊼	≡	heitere	trübe	Windverteilung N	NE	E	SE	S	SW	W	NW	C
Januar	8.6	7.5	8.1	8.1	42.8	9.2	1.	17	14	5	**10**	2	–	–	5	1	19	4	10	13	16	11	**16**	10	5	8
Februar	**9.5**	8.1	6.4	8.0	42.4	11.3	18.	18	10	–	–	–	–	–	8	–	16	**1**	7	**18**	14	9	9	12	3	11
März	7.2	6.6	6.7	6.8	33.4	7.7	5.	16	10	4	–	1	–	–	1	3	12	9	**17**	12	2	3	14	22	12	2
April	6.4	5.7	5.0	5.7	22.8	7.7	22.	9	7	–	–	**3**	–	1	2	**8**	9	5	10	14	11	4	15	17	5	9
Mai	8.0	7.7	7.2	7.6	41.7	12.2	3.	16	10	1	–	1	–	4	2	1	14	**13**	16	6	4	7	12	15	**15**	5
Juni	7.2	8.0	6.4	7.2	45.8	9.2	18.	14	13	–	–	–	–	10	1	–	11	**13**	4	9	4	8	14	22	11	5
Juli	7.3	7.0	7.2	7.2	**171.6**	**55.2**	9.	**20**	**16**	–	–	–	–	**12**	2	3	16	9	10	8	6	1	10	**29**	**15**	5
August	6.5	5.8	5.1	5.8	43.3	21.7	22.	8	4	–	–	–	–	6	8	2	8	9	11	14	4	6	11	14	10	14
September	7.0	5.2	3.9	5.4	11.6	3.7	9.	8	5	–	–	–	–	1	**14**	4	2	4	6	3	6	**12**	11	16	8	**24**
Oktober	8.0	8.3	6.2	7.5	86.0	15.9	29.	19	14	1	–	–	–	–	7	–	15	5	14	9	10	10	15	14	5	11
November	8.0	7.9	6.7	7.6	20.3	6.7	15.	14	6	–	–	–	–	–	8	1	17	8	4	16	**25**	10	**7**	7	2	11
Dezember	**9.5**	**8.8**	**8.3**	**8.9**	29.4	6.7	18.	15	7	**10**	1	1	–	–	–	1	**26**	9	15	3	3	7	15	25	9	7
Jahr	7.7	7.2	6.4	7.1	591.1	55.2	9. VII.	174	116	21	11	8	–	34	58	24	165	89	124	125	105	88	149	203	100	112

Würzburg.

h_t = 4.6 m — h_r = 1.4 m

Monat	Bewölkung 7a	2p	9p	Mittel	Niederschlag Summe mm	Tagesmaximum Betrag mm	Gemessen am	Zahl der Tage ≧0.1 mm Niederschlag	≧1.0 mm	≧0.1 mm ✳	⊠	△	▲	⊼	≡	heitere	trübe	Windverteilung N	NE	E	SE	S	SW	W	NW	C
Januar	7.8	6.9	6.5	7.1	47.8	9.9	1.	18	13	**5**	9	–	–	–	1	2	13	–	2	5	–	–	–	8	4	74
Februar	**9.6**	7.4	5.4	7.5	42.2	8.5	18.	16	10	–	–	–	–	–	3	–	13	–	–	13	–	–	2	1	13	55
März	6.9	6.0	5.8	6.2	29.6	6.2	5.	15	10	2	–	–	–	1	–	4	11	–	–	10	–	–	3	13	**15**	52
April	5.7	4.2	3.0	4.3	22.1	6.5	22.	11	8	–	–	–	1	1	–	8	3	–	–	7	1	–	–	**27**	2	53
Mai	7.5	7.1	6.8	7.2	48.3	11.2	3.	14	11	–	–	–	–	3	–	4	13	**2**	1	15	2	1	5	12	11	**44**
Juni	6.4	6.9	6.7	6.6	62.5	14.1	18.	19	**15**	–	–	–	–	6	–	2	11	–	1	3	**4**	–	6	22	4	50
Juli	6.5	5.9	5.6	6.0	**164.5**	**39.7**	8.	**21**	**15**	–	–	–	–	**7**	–	6	12	1	1	**17**	–	–	2	21	7	**44**
August	5.1	3.6	2.5	3.7	42.6	21.8	22.	7	5	–	–	–	–	4	3	13	5	1	–	2	1	–	3	10	3	73
September	**4.0**	2.5	1.4	2.6	9.8	3.5	9.	6	**3**	–	–	–	–	–	**6**	**15**	3	–	–	2	2	1	7	24	1	53
Oktober	7.6	7.9	5.1	6.9	89.0	15.0	29.	17	14	–	–	–	–	–	4	4	13	–	–	**17**	–	–	3	22	–	51
November	9.1	6.9	5.1	7.0	19.0	5.1	15.	11	6	–	–	–	–	–	5	–	10	–	–	6	2	–	1	4	1	**76**
Dezember	8.6	**9.0**	**7.7**	**8.4**	27.7	6.6	19.	15	6	–	–	–	–	–	–	–	**21**	–	**3**	9	–	–	**9**	8	3	61
Jahr	7.1	6.2	5.1	6.1	605.1	39.7	8. VII.	170	116	11	9	–	1	22	22	58	128	4	8	106	12	2	41	172	64	686

Alle Angaben nach Ortszeit.

1926

Erlangen.

$\varphi = 49^0\ 36'$ N $\lambda = 11^0\ 1'$ E — H = 284.8 m Cg = + 0.3 mm

Monat	Luftdruck auf 0° und Normalschwere reduziert: Mittel mm	Maximum mm	Minimum mm	Lufttemperatur: 7a C°	2p C°	9p C°	Tagesmittel C°	Mittl. Maximum C°	Mittl. Minimum C°	Absol. Maximum C°	Datum	Absol. Minimum C°	Datum	Absolute Feuchtigkeit: 7a mm	2p mm	9p mm	Mittel mm	Relative Feuchtigkeit: 7a Proz.	2p Proz.	9p Proz.	Mittel Proz.	Minimum Proz.
Januar	737.4	746.4	728.4	- 1.2	1.8	- 0.5	- 0.1	2.9	- 2.8	8.1	3.	-11.8	13.	4.1	4.4	4.1	4.2	91	82	89	**87**	53
Februar	736.4	750.0	720.4	3.2	7.4	5.1	5.2	8.5	2.3	10.9	26.	- 0.3	23.	5.4	6.1	5.8	5.7	93	80	88	**87**	60
März	737.3	748.1	725.2	2.1	7.0	4.2	4.4	8.3	1.0	18.8	30.	- 4.4	**17.**	4.8	5.0	5.2	5.0	86	66	81	78	38
April	735.1	745.2	721.7	5.9	15.1	9.3	9.9	17.1	3.7	25.7	30.	- 1.3	14.	5.8	5.9	6.4	6.1	83	49	**74**	69	**18**
Mai	**733.3**	740.7	719.2	9.1	15.3	11.1	11.7	17.0	6.8	27.2	1.	- 1.3	10.	7.6	7.6	7.8	7.7	87	59	81	75	31
Juni	735.2	744.3	728.0	12.2	17.0	13.6	14.1	19.1	9.9	26.4	22.	4.4	2.	9.4	9.4	9.8	9.5	88	67	86	80	33
Juli	736.5	742.0	730.7	**15.2**	**20.4**	**16.8**	**17.3**	**22.8**	**13.3**	**32.7**	19.	8.7	28.	**11.6**	**12.2**	**12.4**	**12.1**	90	69	87	82	**41**
August	739.6	745.1	735.1	12.9	20.3	15.6	16.1	22.3	11.0	26.9	16.	5.3	28.	10.1	10.3	11.3	10.6	90	59	86	78	42
September	**740.5**	746.3	732.9	11.1	20.1	14.3	14.9	21.2	9.7	28.2	1.	2.0	30.	9.0	9.9	10.6	9.8	90	56	86	77	40
Oktober	735.0	748.1	719.3	6.5	11.2	8.0	8.4	12.5	4.6	21.0	9.	- 2.1	19./20.	7.0	7.7	7.4	7.3	**94**	75	**90**	86	56
November	733.9	746.2	712.3	4.6	8.3	5.3	5.9	9.5	2.8	16.1	19.	- 3.9	30.	5.8	6.7	6.0	6.2	91	80	89	**87**	51
Dezember	740.4	**751.5**	726.3	- 0.1	1.1	0.2	0.3	1.9	- 1.5	5.2	11.	- 8.3	26.	4.2	4.3	4.2	4.2	90	**84**	89	**87**	60
Jahr	736.7	751.5	712.3	6.8	12.1	8.6	9.0	13.6	5.1	32.7	19. VII.	-11.8	13. I.	7.1	7.5	7.6	7.4	89	69	86	81	18

Fürth i. B.

$\varphi = 49^0\ 30'$ N $\lambda = 10^0\ 59'$ E — H = 302.2 m Cg = + 0.3 mm

Monat	Luftdruck auf 0° und Normalschwere reduziert: Mittel mm	Maximum mm	Minimum mm	Lufttemperatur: 7a C°	2p C°	9p C°	Tagesmittel C°	Mittl. Maximum C°	Mittl. Minimum C°	Absol. Maximum C°	Datum	Absol. Minimum C°	Datum	Absolute Feuchtigkeit: 7a mm	2p mm	9p mm	Mittel mm	Relative Feuchtigkeit: 7a Proz.	2p Proz.	9p Proz.	Mittel Proz.	Minimum Proz.
Januar	735.9	745.1	726.3	- 1.7	1.7	- 1.1	- 0.5	2.5	- 4.1	8.4	30.	-13.0	13.	4.0	4.6	4.1	4.2	93	**85**	92	90	53
Februar	734.9	748.7	718.8	2.6	7.6	4.7	4.9	8.3	1.3	11.6	21.	- 2.2	15.	5.4	6.4	6.0	5.9	**97**	82	**93**	**91**	58
März	735.7	746.9	723.5	1.8	7.4	3.7	4.1	8.5	- 0.1	18.4	30.	- 6.1	17.	4.9	5.4	5.4	5.2	91	69	87	83	43
April	733.6	744.0	720.0	5.4	15.7	8.7	9.6	17.1	2.3	26.9	25.	- 3.1	13.	6.1	6.7	6.6	6.5	90	52	79	**74**	**26**
Mai	**731.9**	729.5	717.5	8.9	15.5	10.5	11.3	16.6	5.6	26.2	1./16.	- 2.6	10.	7.8	7.7	8.0	7.9	91	59	84	78	34
Juni	733.8	743.4	725.9	12.3	16.7	13.1	13.8	18.5	8.9	26.3	22.	1.4	2.	9.6	9.7	9.8	9.7	90	69	87	82	36
Juli	735.2	740.8	729.2	**15.1**	20.4	**16.3**	**17.0**	**22.1**	**12.3**	**30.5**	19.	8.0	28.	**11.8**	**12.2**	**12.1**	**12.0**	92	69	88	83	44
August	738.2	743.9	733.4	12.7	20.9	15.1	15.9	**22.1**	9.8	27.3	17.	2.9	28.	10.4	10.6	11.0	10.7	94	59	86	80	38
September	739.0	745.2	730.6	10.1	**21.3**	13.7	14.7	21.9	8.1	29.3	11.	- 1.5	30.	9.0	9.9	10.2	9.7	95	52	86	78	32
Oktober	733.4	746.9	717.5	5.8	11.5	7.7	8.2	12.7	3.4	21.8	9.	- 5.1	28.	6.8	7.6	7.2	7.2	95	74	90	86	49
November	732.4	745.1	710.4	3.6	8.6	4.7	5.4	9.3	1.6	16.8	18.	- 6.0	29.	5.7	6.7	6.0	6.1	93	79	**93**	88	54
Dezember	**739.1**	**750.4**	724.0	- 0.5	1.1	- 0.4	0.0	1.7	- 2.3	4.8	11.	-10.2	26.	4.2	4.3	4.2	4.3	92	**85**	92	90	58
Jahr	735.3	750.4	710.4	6.3	12.4	8.1	8.7	13.4	3.9	30.5	19. VII.	-13.0	13. I.	7.1	7.7	7.6	7.5	93	70	88	84	26

Ludwigshafen a. Rh.

$\varphi = 49^0\ 29'$ N $\lambda = 8^0\ 26'$ E — H = 100.3 m Cg = + 0.3 mm

Monat	Luftdruck auf 0° und Normalschwere reduziert: Mittel mm	Maximum mm	Minimum mm	Lufttemperatur: 7a C°	2p C°	9p C°	Tagesmittel C°	Mittl. Maximum C°	Mittl. Minimum C°	Absol. Maximum C°	Datum	Absol. Minimum C°	Datum	Absolute Feuchtigkeit: 7a mm	2p mm	9p mm	Mittel mm	Relative Feuchtigkeit: 7a Proz.	2p Proz.	9p Proz.	Mittel Proz.	Minimum Proz.
Januar	754.2	763.4	744.0	1.2	4.0	2.2	2.4	5.1	0.1	10.9	2.	- 9.9	13.	4.4	4.7	4.7	4.6	86	**75**	**85**	82	47
Februar	752.8	765.9	735.5	5.8	10.4	8.2	8.1	12.0	4.8	15.8	13.	0.1	15.	6.1	6.7	6.5	6.4	**89**	71	80	80	55
März	754.6	766.8	741.7	4.2	9.6	6.5	6.7	11.5	3.2	20.7	30.	- 1.9	21.	5.1	5.0	5.3	5.1	79	56	71	69	31
April	751.5	760.6	736.4	8.1	16.7	12.8	12.6	19.1	7.5	26.5	25./30.	3.1	12.	6.2	5.6	6.4	6.0	**77**	41	59	59	**20**
Mai	750.1	757.4	737.2	9.8	16.5	13.2	13.2	19.0	8.6	27.5	1.	2.3	10.	7.8	6.9	7.7	7.4	84	50	68	67	22
Juni	752.0	761.8	744.1	13.3	19.9	15.9	16.2	22.4	12.1	28.9	21.	9.0	14./26.	9.5	8.5	9.7	9.2	83	50	73	69	32
Juli	753.2	759.4	746.8	**17.5**	**23.5**	19.7	**20.1**	**26.4**	**15.1**	**36.3**	19.	9.0	28.	**11.7**	**11.1**	**11.8**	**11.5**	79	52	69	67	35
August	756.0	762.1	749.8	14.9	23.1	**19.8**	19.4	24.8	13.3	29.9	16.	9.2	29.	10.6	10.0	10.5	10.3	84	48	62	64	28
September	756.8	763.5	748.1	13.6	22.1	17.6	17.7	23.5	12.8	31.7	1.	6.0	28./29.	10.0	10.2	11.0	10.4	85	51	72	70	33
Oktober	751.5	764.5	736.7	8.2	12.7	10.2	10.3	14.1	6.9	23.3	9.	1.1	20./28.	7.2	7.4	7.6	7.4	86	66	80	78	42
November	749.9	762.2	726.4	6.7	9.8	7.9	8.1	10.8	5.6	18.3	14./18.	1.1	28./30.	6.3	6.5	6.6	6.5	85	72	83	80	52
Dezember	**758.7**	**770.2**	743.4	0.8	2.5	1.6	1.6	3.2	- 0.2	5.7	20.	- 8.9	26.	4.4	4.5	4.5	4.5	**89**	81	**85**	**85**	59
Jahr	753.4	770.2	726.4	8.7	14.2	11.3	11.4	16.0	7.5	36.3	19. VII.	- 9.9	13. I.	7.4	7.3	7.7	7.4	84	59	74	73	20

Bad Dürkheim.

$\varphi = 49^0\ 28'$ N, $\lambda = 8^0\ 12'$ E — H = 146.6 m

Monat	Luftdruck auf 0° und Normalschwere reduziert: Mittel mm	Maximum mm	Minimum mm	Lufttemperatur: 7a C°	2p C°	9p C°	Tagesmittel C°	Mittl. Maximum C°	Mittl. Minimum C°	Absol. Maximum C°	Datum	Absol. Minimum C°	Datum	Absolute Feuchtigkeit: 7a mm	2p mm	9p mm	Mittel mm	Relative Feuchtigkeit: 7a Proz.	2p Proz.	9p Proz.	Mittel Proz.	Minimum Proz.
Januar				1.2	3.4	1.4	1.8	4.6	- 1.1	11.5	2.	- 9.9	13.	4.5	4.8	4.6	4.7	87	79	87	84	49
Februar				5.2	9.3	6.6	6.9	10.3	3.3	12.6	20.	- 0.2	15.	6.0	6.9	6.4	6.4	**90**	**80**	**88**	**86**	58
März				3.5	8.5	5.2	5.6	10.2	1.8	18.7	30.	- 3.4	22.	4.9	5.3	5.3	5.2	81	64	78	74	39
April				7.7	15.3	10.2	10.9	17.2	5.2	26.3	25.	0.1	13.	6.1	6.0	6.4	6.2	**77**	48	68	64	**22**
Mai				10.2	15.2	11.4	12.1	16.9	7.2	25.2	27.	0.0	10.	7.4	7.4	7.9	7.6	78	58	78	71	25
Juni				13.9	18.6	14.8	15.5	20.5	10.8	26.8	21.	5.9	2.	9.3	8.9	9.6	9.2	78	56	76	70	36
Juli				**17.3**	**22.3**	**18.4**	**19.1**	**24.1**	**14.6**	**31.9**	14.	9.4	28.	**11.4**	**11.5**	**11.9**	**11.6**	**77**	58	76	70	39
August				14.9	22.1	17.1	17.8	23.7	12.2	28.8	16.	7.3	29.	10.1	10.4	10.9	10.5	80	53	75	70	37
September				13.1	20.9	15.3	16.2	22.5	10.9	29.0	1.	3.6	30.	9.6	10.6	10.3	10.2	83	57	79	73	34
Oktober				7.8	11.7	9.1	9.4	13.1	5.6	21.2	9.	- 0.8	20.	7.1	7.6	7.3	7.3	87	73	84	81	42
November				5.9	8.6	6.4	6.8	10.2	3.6	17.9	14.	- 0.4	27.	6.2	6.8	6.3	6.5	88	**80**	87	85	60
Dezember				0.6	2.1	1.2	1.3	3.1	- 1.1	5.9	20.	- 9.6	26.	4.2	4.3	4.3	4.3	85	79	84	83	53
Jahr				8.4	13.2	9.8	10.3	14.7	6.1	31.9	14. VII.	- 9.9	13. I.	7.2	7.5	7.6	7.5	83	65	80	76	22

Alle Angaben nach Ortszeit.

1926

Erlangen.

h_t = 1.8 m, h_r = 1.6 m

Monat	Bewölkung 7ª	2ᵖ	9ᵖ	Mittel	Niederschlag Summe mm	Tagesmaximum Betrag mm	Tagesmaximum Datum	Zahl der Tage ≧0.1 mm Niederschlag	≧1.0 mm	≧0.1 mm ✳	⊞	△	▲	⊠	≡	heitere	trübe	Windverteilung N	NE	E	SE	S	SW	W	NW	C
Januar	8.2	7.9	6.6	7.6	49.2	10.3	16.	20	16	7	**12**	–	–	–	4	3	17	1	1	15	24	**10**	10	13	3	16
Februar	8.9	8.4	6.7	8.0	133.0	**11.6**	20.	16	8	–	–	–	–	–	**10**	–	15	1	–	10	31	6	10	8	3	15
März	6.6	7.5	6.4	6.8	41.7	5.6	5.	18	11	5	–	–	–	–	6	3	13	4	–	**24**	1	2	10	30	5	17
April	5.1	5.6	3.9	4.9	15.0	5.3	11.	10	4	–	–	–	**3**	4	1	8	6	2	4	21	16	6	8	13	10	10
Mai	8.1	7.9	5.6	7.2	45.6	8.4	29.	17	10	1	–	–	–	–	1	1	13	**12**	**7**	6	11	5	8	11	**22**	11
Juni	7.2	8.1	6.8	7.4	**138.0**	**40.0**	23.	23	15	–	–	–	1	7	1	2	16	5	4	8	9	5	9	21	19	10
Juli	7.4	7.2	6.5	7.0	132.5	36.0	20.	**25**	**18**	–	–	–	–	**14**	2	3	16	5	1	7	5	5	9	27	**22**	12
August	5.5	5.6	3.7	4.9	89.8	34.1	18.	12	9	–	–	–	–	5	4	5	6	5	–	10	12	3	10	18	15	20
September	5.0	**4.7**	**3.5**	4.4	23.9	15.5	26.	**6**	**4**	–	–	–	–	2	5	**9**	6	1	–	8	4	**1**	**4**	25	8	**39**
Oktober	7.7	8.2	6.5	7.4	106.8	14.2	22.	16	15	3	–	–	–	–	4	1	16	–	**7**	**4**	16	**10**	**16**	9	13	18
November	6.6	7.9	5.2	6.5	24.6	7.1	22.	11	5	–	–	–	–	–	4	2	7	–	–	17	**38**	5	4	9	–	17
Dezember	**9.5**	**8.7**	**7.5**	**8.6**	40.8	8.3	29.	18	12	**11**	2	2	–	–	6	1	**24**	11	5	8	5	2	10	**34**	13	5
Jahr	7.2	7.3	5.7	6.7	740.9	40.0	23. VI.	192	127	27	14	2	4	32	48	38	155	47	29	138	172	60	108	218	133	190

Fürth i. B.

h_t = 1.8 m, h_r = 1.4 m

Monat	Bewölkung 7ª	2ᵖ	9ᵖ	Mittel	Niederschlag Summe mm	Tagesmaximum Betrag mm	Tagesmaximum Datum	Zahl der Tage ≧0.1 mm Niederschlag	≧1.0 mm	≧0.1 mm ✳	⊞	△	▲	⊠	≡	heitere	trübe	Windverteilung N	NE	E	SE	S	SW	W	NW	C
Januar	8.5	8.2	7.8	8.2	36.9	4.6	16.	18	13	7	**13**	–	–	–	5	1	23	2	1	8	9	**18**	11	13	3	28
Februar	9.3	8.5	7.1	8.3	35.7	9.2	20.	19	9	1	–	1	–	–	**10**	–	18	3	–	9	**18**	12	8	**8**	**1**	25
März	6.8	7.5	6.7	7.0	39.3	6.7	5.	18	13	9	–	1	–	1	3	2	14	4	**9**	8	4	3	11	**31**	8	15
April	5.8	6.2	4.5	5.5	19.5	7.0	11.	12	6	–	–	4	–	4	–	6	8	4	3	11	9	11	6	14	8	24
Mai	8.1	8.0	6.5	7.5	37.9	8.0	29.	18	11	–	–	–	**2**	–	1	–	16	13	7	2	6	5	9	14	16	21
Juni	6.7	**8.6**	7.3	7.5	100.5	22.5	23.	22	17	–	–	1	1	7	1	–	12	11	3	4	5	7	3	23	**18**	16
Juli	7.5	7.5	7.2	7.4	**118.6**	**28.2**	20.	**24**	**18**	–	–	–	1	**14**	1	2	18	5	3	2	5	5	7	25	16	25
August	5.6	5.7	5.0	5.5	40.4	9.8	1.	13	10	–	–	–	–	7	4	6	8	5	3	3	6	4	12	**16**	13	31
September	**4.7**	**4.8**	**3.5**	**4.4**	15.0	6.6	9.	5	3	–	–	–	1	2	3	**10**	4	6	1	3	7	6	4	25	4	**34**
Oktober	7.7	8.1	6.5	7.5	103.6	18.1	1.	18	14	3	1	1	–	–	5	2	14	7	3	2	9	14	8	17	4	29
November	7.3	7.9	6.5	7.2	19.6	4.5	9.	10	7	–	–	–	–	–	**10**	1	12	**1**	–	**13**	14	17	**1**	11	2	31
Dezember	**9.7**	8.5	**8.1**	**8.8**	27.9	6.1	29.	15	11	**10**	1	**5**	–	–	6	1	**24**	**14**	**9**	2	–	9	**14**	29	3	13
Jahr	7.3	7.5	6.4	7.1	594.9	28.2	20.VII.	192	132	30	15	13	5	35	49	31	171	75	42	67	92	111	94	226	96	292

Ludwigshafen a. Rh.

h_t = 6.5 m, h_r = 1.3 m

Monat	Bewölkung 7ª	2ᵖ	9ᵖ	Mittel	Niederschlag Summe mm	Tagesmaximum Betrag mm	Tagesmaximum Datum	Zahl der Tage ≧0.1 mm Niederschlag	≧1.0 mm	≧0.1 mm ✳	⊞	△	▲	⊠	≡	heitere	trübe	Windverteilung N	NE	E	SE	S	SW	W	NW	C
Januar	6.8	6.3	6.3	6.5	33.1	10.2	16.	14	8	4	10	–	–	1	3	5	14	11	9	3	**15**	9	29	8	9	–
Februar	**8.3**	7.8	6.5	7.5	43.7	8.6	20.	13	8	–	–	–	–	–	4	1	13	1	18	1	12	7	31	11	3	–
März	6.7	6.2	4.6	5.8	24.4	4.0	3.	12	8	–	–	–	–	1	–	5	12	16	14	**10**	6	1	22	19	4	1
April	5.6	4.7	4.3	4.9	11.4	3.4	22.	**7**	**4**	–	–	–	–	–	–	**8**	6	6	17	8	4	–	**38**	10	4	3
Mai	6.2	6.5	6.5	6.4	**79.1**	12.8	3.	18	12	–	–	–	–	**5**	–	4	14	18	27	5	3	7	16	10	3	**4**
Juni	6.3	6.1	6.3	6.2	74.7	17.7	18.	**19**	**13**	–	–	–	–	3	–	3	11	10	22	3	3	15	17	18	2	–
Juli	6.5	6.9	6.1	6.5	47.1	10.5	27.	17	9	–	–	–	–	1	–	2	9	3	19	7	2	4	16	**30**	**12**	–
August	4.1	4.5	4.7	4.5	36.3	15.4	8.	7	5	–	–	–	–	4	–	**8**	5	16	16	7	4	6	29	8	4	3
September	4.7	4.4	3.9	4.3	21.5	7.7	4.	7	5	–	–	–	–	2	1	**8**	3	12	10	8	5	6	28	15	6	–
Oktober	8.2	7.3	7.3	7.6	75.2	**18.6**	29.	18	12	–	–	–	–	2	2	16	10	**30**	2	4	–	35	11	**1**	–	
November	8.1	7.5	6.9	7.5	21.7	4.6	23.	13	7	1	–	–	–	–	**5**	2	17	12	10	6	9	**16**	26	6	2	3
Dezember	8.0	**7.9**	**8.0**	**8.0**	19.8	5.6	29.	15	7	**5**	–	–	–	–	2	3	**20**	**25**	17	–	6	12	**15**	13	1	**4**
Jahr	6.6	6.3	6.0	6.3	488.0	18.6	29. X.	160	98	10	10	–	–	17	17	51	140	140	209	60	73	83	302	159	51	18

Bad Dürkheim.

h_t = 4.7 m, h_r = 1.6 m

Monat	Bewölkung 7ª	2ᵖ	9ᵖ	Mittel	Niederschlag Summe mm	Tagesmaximum Betrag mm	Tagesmaximum Datum	Zahl der Tage ≧0.1 mm Niederschlag	≧1.0 mm	≧0.1 mm ✳	⊞	△	▲	⊠	≡	heitere	trübe	Windverteilung N	NE	E	SE	S	SW	W	NW	C
Januar	6.7	5.8	5.2	5.9	29.9	8.2	1.	15	7	**3**	**9**	–	–	1	4	5	9	2	18	–	2	11	54	–	2	4
Februar	**8.1**	6.6	5.3	6.6	45.8	15.9	18.	15	8	–	–	–	–	–	5	2	11	–	15	1	3	**15**	40	3	**1**	6
März	6.0	5.6	4.6	5.4	32.9	12.9	5.	14	10	**3**	1	–	–	–	–	6	9	4	**24**	–	3	2	48	7	4	**1**
April	5.2	5.5	3.3	4.7	16.5	6.3	21.	9	3	–	–	–	1	1	–	7	5	1	16	1	**5**	13	45	5	2	2
Mai	6.4	7.0	5.3	6.2	**84.4**	**17.3**	3.	14	9	–	–	–	**2**	**4**	–	4	11	7	20	–	4	2	36	8	10	6
Juni	6.4	6.9	5.7	6.3	58.0	13.0	18.	**18**	10	–	–	–	–	–	–	3	9	4	13	**5**	2	7	33	7	**11**	8
Juli	6.2	6.4	5.4	6.0	59.6	17.2	10.	13	9	–	–	–	1	**4**	–	4	5	1	12	1	–	3	44	**14**	4	14
August	**3.7**	4.6	**2.1**	**3.5**	27.5	15.2	7.	7	5	–	–	–	–	**4**	–	**12**	2	6	15	1	4	–	40	1	8	18
September	3.8	**4.3**	2.5	3.5	12.9	6.8	13.	5	4	–	–	–	–	1	3	9	2	2	2	–	4	4	**58**	6	4	10
Oktober	7.4	6.5	6.7	6.9	75.1	13.7	17./29.	17	**13**	–	–	–	–	–	6	3	12	6	14	2	–	7	38	3	8	15
November	7.7	7.3	5.1	6.7	40.6	9.9	8.	15	8	1	–	–	–	–	**7**	2	10	2	10	2	4	11	32	5	4	**20**
Dezember	7.9	**8.6**	**7.4**	**7.8**	27.2	4.9	5.	16	9	2	3	–	–	–	3	2	**18**	**12**	21	–	3	2	43	8	2	2
Jahr	6.3	6.2	4.9	5.8	510.4	17.3	3. V.	158	95	9	13	–	4	15	28	59	103	47	180	13	34	77	511	67	60	106

Alle Angaben nach Ortszeit.

1926

Kaiserslautern.

$\varphi = 49^0\ 27'$ N $\lambda = 7^0\ 46'$ E — H = 238.1 m Cg = + 0.3 mm

Monat	Luftdruck auf 0° und Normalschwere reduziert: Mittel mm	Maximum mm	Minimum mm	Lufttemperatur: 7ª C°	2ᵖ C°	9ᵖ C°	Tagesmittel C°	Mittl. Maximum C°	Mittl. Minimum C°	Absol. Maximum C°	Datum	Absol. Minimum C°	Datum	Absolute Feuchtigkeit: 7ª mm	2ᵖ mm	9ᵖ mm	Mittel mm	Relative Feuchtigkeit: 7ª Proz.	2ᵖ Proz.	9ᵖ Proz.	Mittel Proz.	Minimum Proz.
Januar	741.5	751.4	731.2	1.1	3.6	1.9	2.1	4.7	− 0.4	10.0	2.	− 9.7	13.	4.6	4.7	4.7	4.6	86	75	84	82	48
Februar	740.1	753.4	723.0	5.5	9.8	7.0	7.3	10.5	4.3	12.1	7./21./27.	0.0	27.	6.1	6.6	6.5	6.4	**90**	73	86	83	54
März	742.2	754.3	728.2	3.0	8.0	5.1	5.3	9.1	1.5	16.9	30.	− 3.5	21.	4.9	5.0	5.3	5.1	83	62	79	75	29
April	739.1	749.1	724.5	6.8	14.6	10.5	10.6	16.0	4.7	24.5	25./30.	− 0.5	23.	5.8	5.4	6.7	6.0	78	47	71	65	21
Mai	737.7	745.6	726.3	9.0	13.9	11.1	11.3	15.4	6.7	23.5	27.	− 0.5	10.	7.2	7.1	8.1	7.5	83	61	82	75	22
Juni	739.7	749.5	731.1	13.1	17.8	14.3	14.9	18.7	10.2	25.2	21.	6.0	2./27.	9.1	8.4	9.8	9.1	82	55	81	73	37
Juli	741.1	747.2	734.8	**16.3**	21.0	**17.9**	**18.3**	22.1	**13.6**	**29.5**	18.	7.3	28.	**11.2**	**11.1**	**12.3**	**11.5**	81	61	80	74	34
August	743.9	749.9	737.2	13.5	**21.2**	17.1	17.2	**22.2**	11.2	28.0	31.	6.5	28.	9.6	10.0	11.3	10.3	83	54	78	72	35
September	744.5	750.7	734.6	12.3	20.8	15.4	15.9	21.5	10.4	29.0	1.	2.0	30.	9.3	10.0	10.7	10.0	85	55	81	74	29
Oktober	738.5	751.8	722.9	7.5	11.4	8.9	9.2	12.4	5.4	20.1	8.	− 1.0	20.	7.1	7.4	7.5	7.3	88	72	86	82	49
November	736.7	750.0	715.0	5.8	8.9	6.9	7.1	9.7	3.9	16.9	18.	− 1.1	12.,28.,30.	6.1	6.5	6.5	6.4	87	76	86	83	58
Dezember	**745.6**	**757.1**	730.2	− 0.1	1.5	0.6	0.7	2.2	− 2.3	5.2	14.	−11.5	26.	4.1	4.3	4.3	4.2	87	**83**	**87**	**85**	62
Jahr	740.9	757.1	715.0	7.8	12.7	9.7	10.0	13.7	5.8	29.5	18. VII.	−11.5	26. XII.	7.1	7.2	7.8	7.4	84	64	82	77	21

Nürnberg.

$\varphi = 49^0\ 27'$ N $\lambda = 11^0\ 3'$ E — H = 310.8 m. Cg = + 0.2 mm, über 735.0 mm = + 0.3 mm

Monat	Luftdruck auf 0° und Normalschwere reduziert: Mittel mm	Maximum mm	Minimum mm	Lufttemperatur: 7ª C°	2ᵖ C°	9ᵖ C°	Tagesmittel C°	Mittl. Maximum C°	Mittl. Minimum C°	Absol. Maximum C°	Datum	Absol. Minimum C°	Datum	Absolute Feuchtigkeit: 7ª mm	2ᵖ mm	9ᵖ mm	Mittel mm	Relative Feuchtigkeit: 7ª Proz.	2ᵖ Proz.	9ᵖ Proz.	Mittel Proz.	Minimum Proz.
Januar	734.6	744.1	724.8	− 0.9	2.2	− 0.2	0.2	3.1	− 3.4	9.9	30.	−13.6	13.	4.1	4.5	4.2	4.3	**92**	**83**	**91**	**89**	60
Februar	733.7	747.2	717.2	3.4	7.8	5.8	5.7	8.9	1.7	12.6	21.	− 1.7	15.	5.3	5.8	5.7	5.6	90	75	82	83	51
März	734.5	745.8	722.2	2.4	7.5	4.8	4.9	8.8	0.3	19.1	30.	− 6.3	21.	4.9	4.9	5.2	5.0	87	63	79	77	32
April	732.4	742.8	719.2	6.2	16.4	11.2	11.2	17.6	3.7	27.0	30.	− 0.9	1.	5.7	5.6	6.2	5.9	80	43	63	62	**13**
Mai	730.5	738.2	716.0	9.5	15.8	11.9	12.3	17.2	7.2	26.7	16.	− 0.9	10.	7.6	7.5	7.9	7.7	85	57	76	72	31
Juni	732.6	742.3	725.1	12.6	17.3	14.4	14.7	19.0	10.3	26.5	22.	5.6	27.	9.4	10.0	10.0	9.8	87	68	82	79	41
Juli	733.9	739.7	727.7	**15.5**	21.1	**17.6**	**17.9**	22.8	**13.7**	**31.7**	19.	9.3	28.	**11.7**	**12.4**	**12.6**	**12.2**	89	68	84	80	40
August	737.1	742.7	732.1	13.2	21.3	16.8	17.0	**22.9**	11.4	29.0	17.	5.5	28.	9.8	10.1	11.0	10.3	86	55	77	73	33
September	737.8	743.8	729.4	11.8	**21.8**	15.8	16.3	**22.9**	10.6	30.3	11.	2.3	30.	9.3	10.3	10.5	10.0	89	52	77	73	38
Oktober	732.3	745.6	716.6	6.7	12.1	8.8	9.1	13.2	4.9	22.5	9.	− 2.4	20./28.	6.8	7.5	7.2	7.1	90	70	84	81	50
November	731.2	744.5	709.7	5.1	9.1	6.0	6.5	10.1	3.1	17.7	18.	− 3.6	29.	5.8	6.5	6.2	6.2	88	75	87	83	51
Dezember	**737.9**	**749.1**	723.0	− 0.3	1.1	0.1	0.2	2.0	− 1.9	5.2	11.	− 8.7	26.	4.2	4.2	4.2	4.2	90	**83**	89	87	48
Jahr	734.0	749.1	709.7	7.1	12.8	9.4	9.7	14.0	5.1	31.7	19. VII.	−13.6	13. I.	7.1	7.4	7.6	7.4	88	66	81	78	13

Amberg (M.-H.-B.).

$\varphi = 49^0\ 27'$ N $\lambda = 11^0\ 52'$ E — H = 519 m

Monat	Lufttemperatur: 7ª C°	2ᵖ C°	9ᵖ C°	Tagesmittel C°	Mittl. Maximum C°	Mittl. Minimum C°	Absol. Maximum C°	Datum	Absol. Minimum C°	Datum
Januar	− 2.8	− 0.6	− 2.3	− 2.0	0.9	− 4.7	6.4	3.	−15.0	13.
Februar	1.4	5.2	2.9	3.1	6.1	0.4	10.0	21./26.	− 1.8	27.
März	0.8	4.9	2.5	2.7	6.0	− 0.7	17.0	30.	− 7.3	21.
April	6.3	14.0	8.7	9.5	15.4	3.8	23.2	25.	− 1.8	12.
Mai	8.7	13.7	9.5	10.4	15.5	6.1	24.2	1.	− 1.8	10.
Juni	11.3	15.7	11.9	12.7	17.7	8.6	25.7	22.	4.9	2.
Juli	**14.4**	**19.3**	**15.4**	**16.1**	**21.0**	**12.2**	**28.3**	19.	7.3	28.
August	13.1	19.0	14.6	15.3	20.1	10.3	25.8	17.	6.7	13.
September	11.5	18.2	13.9	14.4	19.3	9.4	26.0	4.	3.3	29.
Oktober	5.2	9.8	6.7	7.1	11.0	3.6	19.8	15.	− 3.6	28.
November	3.3	6.6	4.3	4.6	8.0	1.4	14.4	19.	− 5.8	30.
Dezember	− 2.1	− 1.2	− 1.8	− 1.7	− 0.2	− 3.8	3.1	11.	−11.2	25.
Jahr	5.9	10.4	7.2	7.7	11.7	3.9	28.3	19. VII.	−15.0	13. I.

Mutterstadt.

$\varphi = 49^0\ 25'$ N $\lambda = 8^0\ 24'$ E — H = 97.2 m Cg = + 0.3 mm

Monat	Luftdruck auf 0° und Normalschwere reduziert: Mittel mm	Maximum mm	Minimum mm	Lufttemperatur: 7ª C°	2ᵖ C°	9ᵖ C°	Tagesmittel C°	Mittl. Maximum C°	Mittl. Minimum C°	Absol. Maximum C°	Datum	Absol. Minimum C°	Datum	Absolute Feuchtigkeit: 7ª mm	2ᵖ mm	9ᵖ mm	Mittel mm	Relative Feuchtigkeit: 7ª Proz.	2ᵖ Proz.	9ᵖ Proz.	Mittel Proz.	Minimum Proz.
Januar	754.4	763.8	744.1	0.1	3.7	0.8	1.4	4.6	− 1.8	11.2	2.	−10.5	17.	4.3	4.8	4.6	4.6	88	77	90	85	48
Februar	752.9	766.5	734.7	4.6	10.1	6.8	7.1	10.7	3.4	13.4	14.	− 0.9	15.	6.0	7.1	6.6	6.6	**94**	78	89	**87**	62
März	754.8	766.8	740.7	3.4	9.5	5.1	5.8	10.7	1.6	20.8	30.	− 3.0	17.	5.1	5.4	5.5	5.3	83	61	81	76	32
April	751.4	761.3	735.7	7.3	16.5	10.0	10.9	17.7	4.2	27.4	25.	− 1.2	13.	6.5	6.3	6.7	6.5	84	47	74	68	25
Mai	750.2	758.2	736.8	10.2	15.2	11.1	11.9	16.5	7.3	24.5	27.	− 1.2	10.	8.1	7.7	8.2	8.0	86	61	83	77	**21**
Juni	752.0	761.8	743.4	13.4	18.9	13.8	15.0	20.0	10.3	27.8	21.	6.2	27.	10.0	9.5	10.1	9.9	88	59	86	78	41
Juli	753.3	759.4	747.5	**17.1**	22.4	**17.4**	**18.6**	23.7	**14.0**	**31.7**	19.	7.8	28.	**12.2**	**11.9**	**12.5**	**12.2**	84	60	84	76	29
August	756.1	761.9	749.3	14.2	**22.5**	16.5	17.4	**23.8**	11.0	29.9	16.	4.5	28.	10.8	11.0	11.2	11.0	89	55	80	75	40
September	756.9	763.4	747.5	12.3	22.3	14.4	15.9	23.3	9.8	30.4	11.	1.4	29.	9.9	10.7	10.8	10.5	92	51	87	77	37
Oktober	751.5	764.9	736.1	7.2	12.6	9.2	9.6	13.7	5.3	23.0	9.	− 1.9	19.	7.2	7.7	7.5	7.5	92	70	85	82	43
November	749.8	763.1	725.9	5.4	9.3	6.1	6.7	10.2	3.7	18.9	14.	− 0.5	29./30.	6.2	6.9	6.4	6.5	91	78	**91**	**87**	53
Dezember	**758.9**	**770.1**	742.9	0.0	2.2	0.8	1.0	3.0	− 1.5	6.0	20.	−10.1	26.	4.3	4.4	4.4	4.4	91	**81**	89	**87**	60
Jahr	753.5	770.1	725.9	7.9	13.6	9.3	10.1	14.8	5.6	31.7	19. VII.	−10.5	17. I.	7.6	7.8	7.9	7.8	89	65	85	80	21

Alle Angaben nach Ortszeit.

1926

Kaiserslautern.

h_t = 6,2 m — h_r = 0,8 m

Monat	Bewölkung 7a	2p	9p	Mittel	Niederschlag Summe mm	Tagesmaximum Betrag mm	Gemessen am	Zahl der Tage ≧0,1 mm Niederschlag	≧1,0 mm	≧0,1 mm ✳	⊠	△	▲	⊼	≡	heitere	trübe	Windverteilung N	NE	E	SE	S	SW	W	NW	C
Januar	7.7	7.3	6.8	7.3	41.6	8.2	16.	13	12	4	8	–	1	1	–	4	18	1	8	16	4	2	32	18	12	–
Februar	**9.5**	7.6	4.4	7.2	67.4	26.8	18.	14	9	–	–	–	1	–	8	–	11	1	9	11	**15**	1	25	**10**	12	–
März	7.5	7.1	4.4	6.3	30.4	13.6	5.	11	8	2	–	2	–	1	8	4	13	3	**22**	9	–	–	27	16	**16**	–
April	6.4	6.5	4.7	5.9	33.6	12.8	22.	12	6	–	–	1	–	2	3	**7**	10	–	3	**23**	5	1	**33**	18	7	–
Mai	7.1	8.5	5.8	7.1	83.0	14.2	17.	16	10	–	–	**3**	–	4	–	3	13	1	13	16	5	1	24	20	13	–
Juni	7.5	8.0	6.2	7.2	52.6	10.9	19.	**19**	11	–	–	–	–	1	–	2	14	–	14	8	–	2	32	20	14	–
Juli	7.4	8.0	6.8	7.4	55.0	22.3	10.	17	11	–	–	–	–	**5**	–	2	16	–	15	14	3	–	27	24	10	–
August	4.8	6.2	3.7	4.9	16.4	4.5	8.	6	5	–	–	–	–	1	3	**7**	5	2	20	12	1	–	25	23	10	–
September	5.2	6.0	3.0	4.7	19.8	9.8	13.	6	4	–	–	–	–	2	6	6	5	2	4	16	4	–	29	28	7	–
Oktober	9.1	8.4	6.5	8.0	88.8	19.8	29.	18	**13**	3	–	–	–	–	6	–	20	2	20	22	3	**3**	20	19	4	–
November	9.0	8.6	7.4	8.3	**93.8**	**32.5**	21.	**19**	**13**	2	–	–	–	–	**13**	1	20	2	14	20	5	**3**	25	15	6	–
Dezember	8.6	**8.8**	**7.9**	**8.5**	28.1	5.4	19.	**19**	9	**8**	–	–	–	–	2	–	**21**	**4**	21	8	1	–	20	**34**	5	–
Jahr	7.5	7.6	5.6	6.9	610.5	32.5	21. XI.	170	111	19	8	6	2	17	49	36	166	18	163	175	46	13	319	245	116	–

Nürnberg.

h_t = 1.9 m — h_r = 1.0 m

Monat	Bewölkung 7a	2p	9p	Mittel	Niederschlag Summe mm	Tagesmaximum Betrag mm	Gemessen am	Zahl der Tage ≧0,1 mm Niederschlag	≧1,0 mm	≧0,1 mm ✳	⊠	△	▲	⊼	≡	heitere	trübe	Windverteilung N	NE	E	SE	S	SW	W	NW	C
Januar	8.0	8.0	7.3	7.8	35.3	5.8	16.	19	12	10	**11**	1	–	–	13	1	18	–	**12**	6	13	19	**24**	19	–	–
Februar	8.9	7.9	6.3	7.7	38.7	9.3	20.	15	9	–	–	–	–	–	14	–	14	–	1	13	**14**	23	11	22	–	–
März	6.3	6.8	6.3	6.5	44.8	6.2	5.	15	15	5	–	**4**	–	1	6	5	12	8	11	15	2	9	8	35	5	–
April	4.2	**4.5**	**3.0**	3.9	28.1	8.8	17.	9	6	–	–	3	1	4	6	**12**	6	8	4	12	7	15	8	30	6	–
Mai	7.3	7.2	6.0	6.8	38.9	6.8	14.	17	12	–	–	1	–	1	5	2	15	13	8	**4**	4	18	8	25	13	–
Juni	6.2	8.0	6.7	7.0	81.4	12.5	16.	19	16	–	–	–	1	7	**1**	1	10	8	6	7	3	9	10	29	**18**	–
Juli	6.7	7.6	6.4	6.9	**164.3**	**39.8**	21.	**20**	**17**	–	–	–	–	**13**	5	4	14	8	9	11	3	8	8	32	14	–
August	4.5	5.1	4.3	4.6	68.7	26.4	1.	10	9	–	–	–	–	6	4	7	6	10	6	**19**	1	8	13	24	12	–
September	3.3	4.7	3.2	3.7	12.5	5.3	26.	5	2	–	–	–	–	1	7	11	4	12	4	14	2	16	5	25	12	–
Oktober	7.5	7.8	6.1	7.1	100.2	16.3	22.	16	16	4	–	1	–	–	8	2	12	13	6	14	6	19	9	20	6	–
November	7.0	7.6	5.1	6.6	27.9	7.9	23.	9	7	–	–	–	–	–	**16**	3	8	4	1	18	10	**28**	7	18	4	–
Dezember	**9.0**	**8.7**	**7.7**	**8.5**	34.5	8.0	29.	17	9	**13**	2	**4**	–	–	13	1	**22**	**14**	7	11	1	4	7	**43**	6	–
Jahr	6.6	7.0	5.7	6.4	675.3	39.8	21. VII.	171	130	32	13	14	2	33	98	49	141	98	75	144	66	176	118	322	96	–

Amberg (M.-H.-B.).

h_t = 5.9 m — h_r = 1.5 m

Monat	Bewölkung 7a	2p	9p	Mittel	Niederschlag Summe mm	Tagesmaximum Betrag mm	Gemessen am	Zahl der Tage ≧0,1 mm Niederschlag	≧1,0 mm	≧0,1 mm ✳	⊠	△	▲	⊼	≡	heitere	trübe	Windverteilung N	NE	E	SE	S	SW	W	NW	C
Januar	9.3	8.4	7.6	8.4	43.0	10.5	16.	23	12	10	16	–	–	–	8	1	21	–	8	–	7	1	7	24	3	**43**
Februar	**9.6**	8.5	7.7	8.6	38.9	10.0	20.	19	9	2	–	–	–	–	**17**	–	19	3	8	8	18	7	4	16	4	16
März	7.5	7.6	7.5	7.6	47.2	8.3	7.	20	14	10	3	–	–	–	4	2	16	10	15	5	5	–	3	36	6	13
April	5.1	5.5	5.3	5.3	44.8	11.7	27.	11	9	–	–	**6**	–	3	1	6	5	4	5	11	13	7	**9**	21	4	16
Mai	7.3	7.5	7.6	7.5	63.6	18.3	23.	20	12	1	–	–	–	3	2	–	15	11	12	10	7	8	6	22	12	5
Juni	6.6	8.4	7.6	7.5	113.4	15.8	8.	**24**	**17**	–	–	1	–	8	4	–	13	**16**	11	2	9	5	3	28	**14**	2
Juli	7.7	7.0	7.6	7.4	**196.7**	**32.2**	21.	23	**17**	–	–	–	–	**12**	5	1	17	13	11	5	4	3	**9**	39	8	**1**
August	4.4	5.5	4.9	4.9	43.1	8.8	9.	14	9	–	–	–	–	4	2	7	7	11	5	11	5	1	5	**42**	7	6
September	4.7	5.1	3.0	4.2	36.3	19.0	26.	6	4	–	–	1	–	1	4	**10**	4	8	2	15	13	2	3	30	6	11
Oktober	6.9	7.8	7.1	7.3	88.3	16.0	22.	17	15	5	4	–	–	–	7	2	13	5	**16**	4	19	5	**9**	29	4	2
November	7.6	7.3	7.3	7.4	18.3	6.5	9.	11	**4**	–	–	–	–	–	11	2	14	–	5	**19**	**23**	**14**	7	13	3	6
Dezember	9.5	**9.1**	**9.2**	**9.2**	35.4	6.3	29.	23	12	**17**	**20**	–	–	–	7	–	**27**	10	15	5	–	6	2	**42**	3	10
Jahr	7.2	7.3	6.9	7.1	769.0	32.2	21. VII.	211	134	45	43	8	–	31	72	31	171	91	113	95	123	59	67	342	74	131

Mutterstadt.

h_t = 2.3 m — h_r = 1.4 m

Monat	Bewölkung 7a	2p	9p	Mittel	Niederschlag Summe mm	Tagesmaximum Betrag mm	Gemessen am	Zahl der Tage ≧0,1 mm Niederschlag	≧1,0 mm	≧0,1 mm ✳	⊠	△	▲	⊼	≡	heitere	trübe	Windverteilung N	NE	E	SE	S	SW	W	NW	C
Januar	7.4	7.3	5.9	6.9	24.7	5.6	16.	13	9	**3**	8	1	–	–	5	2	11	11	5	**5**	11	**23**	22	6	5	5
Februar	**8.5**	7.8	5.9	7.4	45.4	8.5	3./12.	12	8	–	–	–	–	–	6	–	12	9	**3**	3	10	19	20	8	**3**	9
März	7.1	6.8	4.4	6.1	24.3	5.0	5.	13	8	1	–	–	–	1	2	2	10	10	**15**	2	4	3	25	**15**	12	7
April	6.9	5.9	3.9	5.6	14.4	4.5	21.	6	5	–	–	1	–	1	–	**5**	5	5	5	2	7	16	22	7	8	**18**
Mai	7.1	7.9	6.5	7.1	**93.4**	13.4	17.	**16**	**15**	–	–	–	–	**5**	–	–	13	18	4	1	**1**	10	23	**8**	**22**	6
Juni	7.0	7.1	6.5	6.9	85.1	**17.6**	18.	**16**	13	–	–	–	1	2	–	–	10	14	4	–	10	6	21	9	14	12
Juli	7.3	7.3	**7.1**	7.2	55.5	**17.6**	10.	15	11	–	–	–	–	**5**	–	1	12	12	7	–	2	6	24	13	13	16
August	5.6	5.8	3.8	5.1	29.1	8.0	18.	9	5	–	–	–	–	4	–	4	4	11	9	2	6	14	20	4	12	15
September	6.2	5.6	3.1	5.0	23.0	16.0	13.	5	4	–	–	–	–	2	5	4	2	3	3	2	11	14	19	9	14	15
Oktober	7.9	8.0	6.9	7.6	71.5	15.0	29.	14	12	–	–	–	–	3	–	–	17	16	7	1	7	13	23	4	16	6
November	8.4	8.0	6.9	7.8	29.7	6.3	1.	15	7	1	–	–	–	–	**13**	–	16	11	5	2	**21**	20	**18**	1	6	6
Dezember	**8.5**	**8.3**	**7.1**	**8.0**	20.2	3.5	29.	14	7	2	–	–	–	–	7	1	**18**	**26**	7	–	4	13	**29**	5	8	**1**
Jahr	7.3	7.2	5.7	6.7	516.3	17.6	18. VI. / 10. VII.	148	104	7	8	2	1	23	38	19	130	146	74	20	94	157	266	89	133	116

Alle Angaben nach Ortszeit

1926

Neustadt a. H.

$\varphi = 49^0\ 21'$ N $\lambda = 8^0\ 8'$ E — H = 145.6 m Cg = + 0.3 mm

Monat	Luftdruck auf 0° und Normalschwere reduziert: Mittel mm	Maximum mm	Minimum mm	Lufttemperatur: 7a C°	2p C°	9p C°	Tagesmittel C°	Mittl. Maximum C°	Mittl. Minimum C°	Absol. Maximum C°	Datum	Absol. Minimum C°	Datum	Absolute Feuchtigkeit: 7a mm	2p mm	9p mm	Mittel mm	Relative Feuchtigkeit: 7a Proz.	2p Proz.	9p Proz.	Mittel Proz.	Minimum Proz.
Januar	749.2	758.6	739.3	1.1	4.2	1.3	2.0	5.3	− 1.5	12.0	2.	−10.2	13.	4.5	4.8	4.7	4.6	85	74	88	82	48
Februar	747.8	761.2	730.0	5.3	10.3	7.0	7.4	10.9	3.3	13.5	10.	− 0.5	15.	6.2	7.0	6.6	6.6	**92**	75	88	85	56
März	749.7	761.5	736.1	3.9	9.5	5.6	6.2	10.5	2.0	20.3	30.	− 3.2	21.	5.1	5.3	5.5	5.3	81	59	77	72	31
April	746.6	756.4	731.6	8.4	16.6	10.7	11.6	17.8	5.1	27.5	25.	1.0	12.|13.|23.	6.3	6.2	6.6	6.4	75	46	69	64	16
Mai	745.4	753.0	733.0	10.9	15.8	11.2	12.3	17.1	7.3	25.0	27.	0.2	10.	7.6	7.7	8.0	7.8	77	59	79	72	28
Juni	747.3	756.6	739.2	14.7	19.5	14.4	15.8	20.6	10.6	28.1	21.	6.0	2.	9.5	9.2	9.7	9.5	76	55	79	70	33
Juli	748.6	754.4	742.6	**17.9**	22.7	**18.1**	**19.2**	**24.4**	**14.5**	**32.5**	19.	9.5	28.	**11.6**	**11.7**	**11.8**	**11.7**	75	58	77	70	40
August	751.3	757.4	745.0	16.0	**23.1**	17.1	18.3	24.2	12.0	29.0	16.	7.5	29.	10.5	10.9	11.2	10.9	77	53	77	69	35
September	752.1	758.4	743.1	14.0	22.5	15.7	17.0	23.5	10.8	30.5	11.	3.6	28.	9.9	11.0	10.6	10.5	82	54	79	72	34
Oktober	746.6	759.9	731.0	8.2	12.4	9.1	9.7	13.7	5.5	23.4	9.	− 0.5	28.	7.4	8.0	7.7	7.7	88	73	86	83	43
November	744.9	757.7	722.0	5.7	9.4	6.4	7.0	10.5	3.6	18.8	14.	− 0.7	28.	6.4	6.9	6.5	6.6	91	77	**89**	**86**	53
Dezember	**753.6**	**764.9**	738.1	0.6	2.4	1.3	1.4	3.2	− 0.9	6.3	19.	−10.4	26.	4.3	4.4	4.4	4.4	86	**78**	85	83	56
Jahr	748.6	764.9	722.0	8.9	14.0	9.8	10.7	15.1	6.0	32.5	19. VII.	−10.4	26. XII.	7.4	7.8	7.8	7.7	82	63	81	76	16

Ansbach-Strüth.

$\varphi = 49^0\ 18'$ N $\lambda = 10^0\ 33'$ E — H = 433.0 m Cg = + 0.2 mm

Januar	723.9	733.4	713.8	− 1.8	1.3	− 1.2	− 0.7	1.9	− 4.0	7.2	2.	−15.0	22.	3.8	4.1	4.0	4.0	89	79	89	86	51
Februar	723.2	736.6	707.2	2.5	7.3	4.1	4.5	7.9	0.8	11.1	24.	− 1.8	14./15.	5.2	6.1	5.5	5.6	94	80	90	88	62
März	724.0	734.9	711.9	1.5	6.3	2.8	3.4	7.3	− 0.4	16.6	30.	− 5.8	17./21.	4.6	4.8	4.9	4.8	87	66	85	79	43
April	722.1	732.4	708.8	5.7	14.7	8.1	9.1	15.8	2.4	25.3	30.	− 3.0	13.	5.6	5.4	5.9	5.6	82	45	**74**	**67**	**16**
Mai	720.5	727.7	708.2	9.2	14.7	9.3	10.6	15.7	5.8	24.6	1.	− 2.6	10.	7.3	7.1	7.5	7.3	83	57	85	75	26
Juni	722.7	731.7	715.4	12.4	16.3	12.3	13.3	18.2	8.9	25.1	22.	3.0	2.	8.7	9.0	9.1	9.0	82	66	86	78	39
Juli	724.2	729.3	718.3	**15.1**	19.8	**15.2**	**16.3**	**21.3**	**12.2**	**29.3**	15.	7.9	28.	**11.0**	**11.5**	**11.5**	**11.4**	86	68	89	81	47
August	727.0	732.8	721.4	12.9	**20.1**	14.1	15.3	21.0	10.0	27.1	17.	4.3	28.	9.4	10.0	10.4	9.9	84	58	87	76	39
September	**727.8**	732.9	719.2	11.7	20.0	13.3	14.6	20.6	8.8	27.5	11.	− 0.2	30.	8.9	9.6	9.7	9.4	86	55	84	75	39
Oktober	721.9	735.1	706.7	6.2	10.5	7.4	7.9	11.9	4.3	21.1	9.	− 3.5	20.	6.7	7.1	6.8	6.9	92	74	87	84	50
November	720.6	733.7	698.8	3.9	7.9	4.8	5.4	8.9	2.3	15.4	18.	− 5.0	25.	5.7	6.4	5.9	6.0	92	79	91	87	50
Dezember	727.1	**739.1**	712.2	− 1.3	− 0.1	− 1.2	− 0.9	0.5	− 3.4	5.2	11.	−12.5	26.	4.1	4.1	4.1	4.1	**95**	**88**	**95**	**93**	52
Jahr	723.8	739.1	698.8	6.5	11.6	7.4	8.2	12.6	4.0	29.3	15. VII.	−15.0	22. I.	6.8	7.1	7.1	7.0	88	68	87	81	16

Landau i. Pf.

$\varphi = 49^0\ 12'$ N $\lambda = 8^0\ 7'$ E — H = 149.9 m Cg = + 0.3 mm

Januar	749.2	757.9	739.1	1.2	3.8	1.6	2.0	4.6	− 0.7	11.2	2.	−10.1	13.	4.5	4.7	4.7	4.7	87	76	87	83	40
Februar	747.8	761.5	729.8	5.1	10.3	6.6	7.2	10.7	3.5	14.3	24.	− 1.0	15.	6.1	7.0	6.5	6.5	**92**	76	**89**	**86**	60
März	749.8	762.2	736.7	4.1	9.1	5.6	6.1	10.1	2.4	19.3	30.	− 3.1	22.	5.1	5.4	5.4	5.3	81	63	78	74	39
April	746.7	756.4	730.9	7.9	16.3	10.4	11.3	17.3	5.6	26.4	25.	0.1	23.	6.3	6.4	6.6	6.4	79	48	70	66	26
Mai	745.3	752.9	731.9	10.1	15.4	11.3	12.0	16.4	7.4	24.0	27.	− 0.2	10.	7.5	8.0	7.9	7.8	82	62	79	74	35
Juni	747.3	756.9	738.8	13.4	18.8	14.3	15.2	19.9	10.8	27.0	21.	6.5	2.	9.6	9.3	9.9	9.6	83	59	82	75	38
Juli	748.7	754.1	742.6	**17.1**	22.1	**17.7**	**18.6**	23.2	**14.5**	**31.0**	19.	10.3	28.	**11.9**	**11.9**	**12.2**	**12.0**	81	62	81	74	36
August	751.5	757.3	745.6	14.7	**22.5**	16.8	17.7	**23.7**	12.1	29.3	17.	7.5	28.	10.5	11.0	11.2	10.9	85	55	79	73	34
September	752.3	758.6	742.3	13.2	21.8	15.3	16.4	22.5	10.9	30.3	11.	2.6	13.	10.0	11.3	10.8	10.7	87	57	82	76	40
Oktober	746.5	759.8	731.5	7.8	12.2	9.1	9.5	13.1	5.7	22.4	8.	− 0.8	20.	7.3	7.9	7.7	7.6	90	74	87	83	46
November	744.7	758.0	721.4	5.8	9.3	6.4	7.0	10.1	4.1	19.2	14.	− 0.3	28.	6.3	6.8	6.5	6.6	90	77	**89**	**86**	51
Dezember	**753.6**	**764.9**	738.5	0.6	2.3	1.3	1.4	2.9	− 0.8	6.2	13.	− 9.2	26.	4.3	4.4	4.4	4.4	88	**80**	85	84	61
Jahr	748.6	764.9	721.4	8.4	13.7	9.7	10.4	14.5	6.3	31.0	19. VII.	−10.1	13. I.	7.5	7.8	7.8	7.7	85	66	82	78	26

Triesdorf.

$\varphi = 49^0\ 12'$ N $\lambda = 10^0\ 40'$ E — H = 443 m

Januar				− 1.7	1.1	− 1.5	− 0.9	2.5	− 3.8	8.5	7.	−13.6	13.									
Februar				2.7	7.1	4.2	4.5	8.5	1.3	11.3	25.	− 1.8	14.									
März				1.8	6.2	2.7	3.4	7.3	0.2	16.2	30.	− 5.3	21.									
April				6.4	14.4	8.1	9.3	15.5	3.5	24.4	30.	− 0.2	14.									
Mai				8.8	14.6	9.6	10.7	15.5	6.1	23.6	16.	− 2.0	10.									
Juni				12.0	15.8	12.1	13.0	17.3	9.1	23.6	22.	4.1	27.									
Juli				**14.9**	19.1	**15.1**	**16.1**	20.6	**12.6**	**28.1**	18.	8.2	28.									
August				13.0	19.4	14.2	15.2	**20.7**	10.2	26.1	17.	5.3	28.									
September				11.3	**19.5**	13.9	14.6	20.3	9.1	26.2	1.	− 0.1	30.									
Oktober				5.6	10.1	7.3	7.6	11.9	4.0	20.4	9.	− 2.9	28.									
November				3.9	7.8	4.7	5.3	9.1	2.1	15.7	18.	− 4.7	29.									
Dezember				− 1.4	− 0.1	− 1.4	− 1.1	1.1	− 3.3	6.2	11.	−12.7	26.									
Jahr				6.4	11.3	7.4	8.1	12.5	4.3	28.1	18. VII.	−13.6	13. I.									

Alle Angaben nach Ortszeit.

1926

Neustadt a. H.

h_t = 1.8 m — h_r = 1.4 m

Monat	Bewölkung 7a	2p	9p	Mittel	Niederschlag Summe mm	Tagesmaximum Betrag mm	Gemessen am	Zahl der Tage ≥0.1 mm Niederschlag	≥1.0 mm	≥0.1 mm ✳	⊠	△	▲	⊿	≡	heitere	trübe	Windverteilung N	NE	E	SE	S	SW	W	NW	C
Januar	6.8	6.2	4.5	5.8	36.2	9.4	1.	14	11	**3**	**8**	–	–	1	10	5	6	3	7	–	–	4	20	22	6	31
Februar	7.8	7.0	3.9	6.2	65.8	27.8	18.	13	9	–	–	–	–	–	**15**	–	6	1	2	1	**2**	**7**	25	14	5	27
März	6.3	6.2	3.6	5.4	36.9	12.0	5.	13	9	–	–	–	1	1	6	4	5	8	9	–	–	–	25	17	**12**	22
April	5.1	5.5	3.0	4.5	28.5	9.6	21.	8	5	–	–	1	–	–	–	6	2	4	3	2	1	2	**29**	17	5	27
Mai	6.1	7.4	4.1	5.9	**89.5**	17.9	17.	15	**13**	–	–	1	–	**6**	1	2	8	**14**	6	1	–	3	20	9	11	29
Juni	6.4	7.2	**5.7**	6.4	56.8	10.9	18.	**17**	12	–	–	–	–	1	2	–	6	**14**	4	–	1	–	21	14	10	26
Juli	6.3	6.9	5.4	6.2	80.4	**47.5**	10.	14	11	–	–	–	–	5	–	4	7	4	**11**	1	1	1	16	24	10	25
August	3.8	5.2	2.9	4.0	68.1	35.7	7.	11	6	–	–	–	–	3	2	8	1	6	8	–	–	–	**11**	25	4	39
September	3.9	4.6	1.9	3.5	**12.7**	7.3	13.	4	3	–	–	–	–	2	1	**9**	1	1	4	–	–	2	22	17	6	38
Oktober	7.5	7.5	4.3	6.4	74.0	15.8	17.	15	12	–	–	1	–	–	11	1	9	8	7	**3**	–	1	**29**	10	2	33
November	8.0	6.9	3.6	6.2	46.0	8.4	8.	13	11	1	–	–	–	–	11	2	5	–	4	2	1	2	21	6	2	**52**
Dezember	**8.4**	**7.6**	5.5	**7.2**	25.9	7.5	5.	14	7	2	3	–	–	–	9	1	**13**	**14**	10	–	–	–	17	**31**	2	19
Jahr	6.4	6.5	4.0	5.6	620.8	47.5	10. VII.	151	109	6	11	3	1	19	68	42	69	77	75	10	6.	22	256	206	75	368

Ansbach-Strüth.

h_t = 4.3 m — h_r = 1.5 m

Monat	Bewölkung 7a	2p	9p	Mittel	Niederschlag Summe mm	Tagesmaximum Betrag mm	Gemessen am	Zahl der Tage ≥0.1 mm Niederschlag	≥1.0 mm	≥0.1 mm ✳	⊠	△	▲	⊿	≡	heitere	trübe	Windverteilung N	NE	E	SE	S	SW	W	NW	C
Januar	7.0	7.3	7.0	7.1	41.7	9.0	26.	15	11	4	11	**2**	–	–	**7**	1	14	4	3	12	5	1	6	46	9	7
Februar	7.5	7.7	6.4	7.2	35.2	11.0	20.	12	9	–	–	–	–	–	**7**	1	8	1	4	8	–	2	8	47	**1**	13
März	6.0	6.9	5.7	6.2	36.9	8.3	8.	17	9	7	3	**2**	–	1	2	3	11	1	9	11	1	2	2	46	16	5
April	5.2	5.2	3.6	4.7	16.0	5.4	11.	8	5	–	–	1	1	2	2	6	2	–	5	12	4	**5**	7	38	2	17
Mai	6.6	7.4	6.2	6.7	63.1	10.3	29.	17	13	1	–	**2**	–	2	2	2	12	8	4	2	1	–	3	46	12	17
Juni	6.0	8.0	6.8	6.9	77.8	11.4	23.	22	**19**	–	–	–	1	3	**1**	1	10	3	1	–	3	–	5	48	20	10
Juli	6.9	7.0	6.0	6.6	**131.1**	**27.7**	8.	**23**	15	–	–	–	–	**9**	4	5	11	4	3	6	4	1	1	38	**25**	11
August	4.0	5.0	3.9	4.3	70.0	18.6	27.	11	10	–	–	–	**2**	5	**7**	11	6	1	2	9	4	1	–	50	9	17
September	3.6	4.3	3.6	3.8	13.7	5.2	9.	6	3	–	–	–	–	1	3	**11**	2	1	–	2	1	3	3	**52**	10	**18**
Oktober	8.6	7.7	6.1	7.5	97.6	15.3	22.	20	17	5	1	–	–	–	6	–	12	2	7	10	5	2	9	35	11	12
November	6.6	7.4	5.3	6.4	17.9	3.8	23.	12	6	–	–	–	–	–	**7**	1	8	1	1	**18**	**6**	**5**	**21**	26	2	10
Dezember	**9.7**	**8.8**	**7.6**	**8.7**	21.5	3.2	10.	20	8	**13**	**19**	–	–	–	3	1	**24**	**9**	**10**	6	–	–	4	48	11	5
Jahr	6.5	6.9	5.7	6.3	622.5	27.7	8. VII.	183	125	30	34	7	4	23	51	43	120	35	49	96	34	22	69	520	128	142

Landau i. Pf.

h_t = 1.9 m — h_r = 1.2 m

Monat	Bewölkung 7a	2p	9p	Mittel	Niederschlag Summe mm	Tagesmaximum Betrag mm	Gemessen am	Zahl der Tage ≥0.1 mm Niederschlag	≥1.0 mm	≥0.1 mm ✳	⊠	△	▲	⊿	≡	heitere	trübe	Windverteilung N	NE	E	SE	S	SW	W	NW	C
Januar	7.3	7.6	6.0	7.0	40.8	7.1	16.	18	11	5	**8**	–	–	–	1	6	16	1	16	–	2	1	23	25	9	16
Februar	8.1	7.7	5.9	7.3	74.0	**23.5**	18.	17	12	–	–	–	–	–	**4**	2	13	–	**11**	2	2	4	26	12	6	**21**
März	6.8	7.3	5.7	6.6	44.3	15.8	5.	17	9	3	–	1	–	–	–	4	11	1	31	–	–	3	23	24	10	1
April	6.2	6.4	4.4	5.7	27.4	7.1	21.	9	8	–	–	–	1	–	–	5	9	1	25	**3**	**4**	2	28	17	7	3
Mai	7.0	7.9	6.5	7.1	**99.4**	15.4	16.	18	14	–	–	–	–	**5**	–	3	16	2	24	2	–	–	21	11	**27**	6
Juni	6.7	8.3	5.9	7.0	67.5	14.2	15.	19	14	–	–	–	–	2	–	2	12	**3**	23	1	1	**5**	35	11	7	4
Juli	6.9	7.5	6.5	7.0	63.2	12.4	27.	**20**	**15**	–	–	–	–	4	–	4	13	2	30	1	–	2	**31**	17	4	6
August	4.1	4.6	3.3	4.0	28.5	21.2	18.	11	4	–	–	–	–	2	–	**14**	6	–	32	–	1	–	14	**36**	5	5
September	4.4	4.0	3.2	3.9	10.2	7.4	13.	6	2	–	–	–	–	1	–	11	7	–	19	1	2	–	16	22	26	4
Oktober	7.5	7.7	7.2	7.5	79.1	16.2	29.	18	13	–	–	–	–	–	2	4	19	2	20	1	–	1	32	14	18	5
November	7.8	7.9	7.7	7.8	38.6	8.2	21.	**20**	9	2	1	–	–	–	2	1	19	1	20	2	2	4	**44**	6	7	4
Dezember	**9.1**	**8.4**	**8.6**	**8.7**	23.8	5.2	19.	17	6	**6**	–	–	–	–	1	**1**	**22**	1	**33**	–	–	–	26	22	8	3
Jahr	6.8	7.1	5.9	6.6	596.8	23.5	18. II.	190	117	16	9	1	1	14	10	57	163	14	284	13	14	22	319	217	134	78

Triesdorf.

h_t = 5.5 m — h_r = 1.7 m

Monat	Bewölkung 7a	2p	9p	Mittel	Niederschlag Summe mm	Tagesmaximum Betrag mm	Gemessen am	Zahl der Tage ≥0.1 mm Niederschlag	≥1.0 mm	≥0.1 mm ✳	⊠	△	▲	⊿	≡	heitere	trübe	Windverteilung N	NE	E	SE	S	SW	W	NW	C
Januar	8.9	7.8	7.2	8.0	45.3	7.7	16.	17	12	6	15	–	–	–	5	–	20	1	4	6	9	4	**12**	30	16	11
Februar	8.7	7.9	7.0	7.8	33.1	10.2	20.	14	7	–	–	–	–	–	**7**	2	18	1	–	4	8	9	10	20	12	20
März	6.5	7.7	6.1	6.8	51.1	10.9	8.	19	13	5	4	1	–	1	–	3	12	1	5	**16**	2	2	2	21	**29**	15
April	5.6	6.0	3.6	5.1	18.0	5.6	11.	11	6	–	–	1	–	3	1	7	5	4	1	9	7	19	4	28	10	8
Mai	7.0	8.1	6.1	7.1	40.2	7.9	29.	14	11	–	–	–	–	1	3	1	16	4	**16**	8	3	4	3	23	13	19
Juni	6.4	8.7	7.1	7.4	93.3	10.6	23.	21	19	–	–	–	–	5	–	–	14	**10**	6	5	5	6	5	25	15	13
Juli	7.3	7.7	6.5	7.2	**154.1**	**29.6**	5.	**23**	**20**	–	–	–	–	**7**	3	3	15	8	8	6	3	3	4	31	14	16
August	4.7	5.3	3.9	4.6	44.9	12.2	7.	10	8	–	–	–	–	2	6	**10**	6	7	–	9	5	3	10	19	10	**30**
September	3.9	4.5	4.5	4.3	18.2	6.7	26.	4	4	–	–	–	–	1	**7**	8	4	6	4	3	3	4	5	**33**	6	26
Oktober	7.5	7.9	5.7	7.1	90.8	13.5	18.	18	13	4	1	1	–	–	3	2	15	1	8	8	7	5	6	25	12	21
November	7.1	7.5	6.1	6.9	16.2	4.0	9.	11	5	–	–	–	–	–	5	1	10	–	–	12	**10**	**20**	10	11	3	24
Dezember	**9.7**	**8.8**	**7.5**	**8.7**	36.6	5.5	19.	20	10	**15**	**20**	–	–	–	4	1	**23**	4	10	13	–	–	6	32	16	12
Jahr	6.9	7.3	5.9	6.8	641.8	29.6	5. VII.	182	128	30	40	3	–	20	44	38	158	47	62	99	62	79	77	298	156	215

Alle Angaben nach Ortszeit.

1926

Höllenstein.

$\varphi = 49^0\ 8'$ N $\lambda = 12^0\ 52'$ E — H = 403.1 m

Monat	Luftdruck auf 0° und Normalschwere reduziert: Mittel mm	Maximum mm	Minimum mm	Lufttemperatur: 7a C°	2p C°	9p C°	Tagesmittel C°	Mittl. Maximum C°	Mittl. Minimum C°	Absol. Maximum C°	Datum	Absol. Minimum C°	Datum	Absolute Feuchtigkeit: 7a mm	2p mm	9p mm	Mittel mm	Relative Feuchtigkeit: 7a Proz.	2p Proz.	9p Proz.	Mittel Proz.	Minimum Proz.
Januar				− 2.6	0.9	− 1.8	− 1.3	1.8	− 5.0	8.7	2.	−15.9	13.	3.7	4.1	3.8	3.8	91	79	89	86	53
Februar				1.7	7.1	2.5	3.4	7.6	− 0.1	15.1	3.	− 4.0	7.	5.0	5.6	5.2	5.3	**96**	75	93	**88**	43
März				0.6	6.0	2.1	2.7	7.2	− 0.9	17.6	30.	− 8.1	24.	4.5	4.8	4.9	4.7	90	67	88	82	45
April				4.2	15.1	6.4	8.0	16.2	1.2	25.2	30.	− 4.0	12./13.	5.4	5.9	6.3	5.9	88	49	87	75	16
Mai				8.2	15.7	9.6	10.8	16.9	5.3	27.6	1.	− 3.5	10.	7.3	7.3	7.9	7.5	87	57	86	77	29
Juni				10.7	16.3	11.7	12.6	17.9	8.4	26.9	22.	4.0	2./27.	9.1	9.5	9.6	9.4	93	70	93	85	43
Juli				**14.2**	19.4	**15.0**	**15.9**	**21.4**	**12.4**	**30.1**	19.	8.5	29.	**11.4**	**11.9**	**12.0**	**11.8**	94	72	**94**	87	42
August				11.2	**20.0**	13.3	14.5	**21.4**	9.2	26.6	16.	4.0	29./31.	9.4	10.3	10.7	10.1	93	61	92	82	38
September				9.8	19.7	12.0	13.4	20.8	8.2	27.1	1.	2.6	25./29.	8.7	10.0	9.8	9.5	94	59	92	82	39
Oktober				5.5	11.7	7.1	7.8	12.7	3.1	21.2	7.	− 4.3	28.	6.5	7.6	7.1	7.0	93	72	91	85	54
November				3.4	8.9	4.3	5.2	10.3	1.0	21.1	21.	− 6.8	30.	5.5	6.6	5.8	6.0	91	76	91	86	45
Dezember				− 2.1	− 0.1	− 1.6	− 1.4	0.7	− 3.8	4.1	11.	−15.6	27.	3.8	4.0	3.9	3.9	90	**84**	91	**88**	55
Jahr				5.4	11.7	6.7	7.6	12.9	3.3	30.1	19. VII.	−15.9	13. I.	6.7	7.3	7.3	7.1	92	68	91	84	16

Weissenburg i. B.

$\varphi = 49^0\ 2'$ N $\lambda = 10^0\ 58'$ E — H = 422.2 m Cg = + 0.2 mm

Monat	Luftdruck auf 0° und Normalschwere reduziert: Mittel mm	Maximum mm	Minimum mm	Lufttemperatur: 7a C°	2p C°	9p C°	Tagesmittel C°	Mittl. Maximum C°	Mittl. Minimum C°	Absol. Maximum C°	Datum	Absol. Minimum C°	Datum	Absolute Feuchtigkeit: 7a mm	2p mm	9p mm	Mittel mm	Relative Feuchtigkeit: 7a Proz.	2p Proz.	9p Proz.	Mittel Proz.	Minimum Proz.
Januar	725.1	733.9	715.3	− 0.9	1.8	− 0.6	− 0.1	2.5	− 2.7	7.3	2.	−13.2	13.	3.8	4.0	3.8	3.8	83	74	82	80	52
Februar	724.3	736.7	708.1	3.3	7.7	5.1	5.3	8.3	2.4	11.6	24.	− 0.6	1.	5.1	5.9	5.6	5.5	**88**	75	86	83	58
März	725.1	735.8	713.9	2.3	7.0	3.5	4.1	7.6	0.9	17.0	30.	− 4.1	17./21.	4.7	5.0	5.0	4.9	85	65	82	78	42
April	723.1	732.5	710.0	8.0	15.0	8.9	10.2	15.6	4.9	25.0	30.	− 0.4	14.	5.9	6.1	6.2	6.1	75	49	74	66	24
Mai	721.4	728.1	706.5	9.7	15.4	10.3	11.4	16.2	6.8	25.2	1.	− 2.2	10.	7.5	7.5	7.6	7.5	82	59	82	74	34
Juni	723.6	732.1	716.3	12.9	16.8	12.8	13.8	18.5	10.0	26.2	22.	3.7	27.	9.2	9.4	9.3	9.3	83	67	84	78	38
Juli	724.9	729.6	720.4	**16.0**	**20.5**	**16.0**	**17.1**	**21.5**	**13.2**	**29.0**	19.	9.6	28.	**11.3**	**11.7**	**11.8**	**11.6**	83	66	87	79	43
August	727.6	732.7	723.8	14.6	**20.5**	14.7	16.1	21.3	11.3	27.6	17.	5.2	28.	10.0	10.1	10.5	10.2	80	58	84	74	40
September	**728.4**	733.5	720.8	12.2	20.3	14.2	15.3	20.8	10.3	27.0	1./5.	1.7	29.	9.2	9.8	10.1	9.7	85	56	82	74	31
Oktober	723.0	735.4	707.4	6.7	11.4	7.8	8.4	12.1	5.1	20.4	9.	− 2.2	20.	6.6	7.2	7.0	7.0	**88**	71	86	82	49
November	721.9	734.2	701.2	5.2	8.6	5.7	6.3	9.5	3.3	16.8	18.	− 3.3	29.	5.8	6.4	6.0	6.0	86	76	86	82	52
Dezember	728.0	**739.0**	714.0	− 1.2	0.3	− 0.9	− 0.7	0.8	− 2.4	4.0	11.	−11.9	26.	3.8	4.0	3.9	3.9	**88**	**84**	**88**	**87**	63
Jahr	724.7	739.0	701.2	7.4	12.1	8.1	8.9	12.9	5.3	29.0	19. VII.	−13.2	13. I.	6.9	7.3	7.2	7.1	84	67	84	78	24

Buchenau.

$\varphi = 49^0$ N $\lambda = 13^0\ 20'$ E — H = 749 m Cg = + 0.1 mm, über 692.8 mm = + 0.2 mm

Monat	Luftdruck auf 0° und Normalschwere reduziert: Mittel mm	Maximum mm	Minimum mm	Lufttemperatur: 7a C°	2p C°	9p C°	Tagesmittel C°	Mittl. Maximum C°	Mittl. Minimum C°	Absol. Maximum C°	Datum	Absol. Minimum C°	Datum	Absolute Feuchtigkeit: 7a mm	2p mm	9p mm	Mittel mm	Relative Feuchtigkeit: 7a Proz.	2p Proz.	9p Proz.	Mittel Proz.	Minimum Proz.
Januar	695.3	704.8	685.5	− 3.7	− 0.5	− 3.4	− 2.8	0.4	− 6.0	7.3	29.	−20.2	13.	3.4	3.7	3.4	3.5	89	80	88	86	59
Februar	695.2	707.4	680.6	1.2	6.1	2.0	2.8	7.1	− 0.2	13.6	3.	− 3.6	27.	4.5	5.3	4.5	4.8	90	77	86	84	39
März	695.0	705.3	683.8	− 0.8	4.1	0.5	1.1	5.4	− 2.0	17.6	30.	− 7.9	17.	4.0	4.3	4.1	4.1	88	70	85	81	40
April	694.3	704.3	683.1	4.2	13.4	5.9	7.4	15.1	2.2	23.8	30.	− 2.6	13.	4.9	5.8	5.2	5.3	79	53	74	69	21
Mai	692.3	698.9	681.7	8.1	14.2	8.2	9.7	16.6	5.0	25.3	1.	− 2.9	10.	6.7	7.1	6.7	6.8	84	61	83	76	26
Juni	694.4	703.2	687.9	10.0	15.2	9.7	11.2	18.2	7.1	26.9	13.	2.2	2./27.	8.4	9.0	8.2	8.5	91	72	92	85	42
Juli	696.2	701.6	691.9	**13.3**	17.8	**13.4**	**14.5**	**20.6**	**10.8**	**29.5**	19.	6.4	28.	**10.5**	**11.2**	**10.5**	**10.7**	92	76	91	87	37
August	699.3	703.3	694.8	11.6	**18.7**	11.6	13.4	20.3	8.3	26.2	17.	4.7	28.	9.4	10.2	8.9	9.5	91	65	87	81	46
September	**699.9**	704.7	692.5	9.5	17.6	10.9	12.2	19.1	8.0	26.3	5.	1.7	28.	8.4	9.7	8.7	9.0	93	66	89	82	34
Oktober	694.1	706.7	679.0	4.5	10.2	5.7	6.5	11.4	2.6	19.9	31.	− 6.9	28.	6.0	7.1	6.2	6.4	91	75	89	85	45
November	693.0	705.7	675.4	3.2	9.0	4.2	5.1	10.7	1.2	18.2	19.	− 9.2	29.	5.0	6.2	5.2	5.5	87	72	84	81	33
Dezember	697.3	**708.5**	684.7	− 3.6	− 1.3	− 3.0	− 2.7	− 0.4	− 5.1	4.3	14.	−12.9	24.	3.5	3.8	3.5	3.6	**94**	**88**	**93**	**92**	59
Jahr	695.5	708.5	675.4	4.8	10.4	5.5	6.5	12.0	2.7	29.5	19. VII.	−20.2	13. I.	6.2	7.0	6.3	6.5	89	71	87	82	21

Donaustauf.

$\varphi = 49^0\ 2'$ N $\lambda = 12^0\ 13'$ E — H = 431.8 m Cg = + 0.2 mm

Monat	Luftdruck auf 0° und Normalschwere reduziert: Mittel mm	Maximum mm	Minimum mm	Lufttemperatur: 7a C°	2p C°	9p C°	Tagesmittel C°	Mittl. Maximum C°	Mittl. Minimum C°	Absol. Maximum C°	Datum	Absol. Minimum C°	Datum	Absolute Feuchtigkeit: 7a mm	2p mm	9p mm	Mittel mm	Relative Feuchtigkeit: 7a Proz.	2p Proz.	9p Proz.	Mittel Proz.	Minimum Proz.
Januar	724.6	734.3	714.9	− 2.5	− 0.4	− 1.8	− 1.6	0.8	− 3.8	7.0	7.	−15.5	13.	3.7	4.1	3.8	3.9	92	88	90	90	53
Februar	723.9	737.5	707.9	2.0	5.5	3.5	3.6	6.8	0.4	12.1	25.	− 3.3	10./11.	5.2	5.7	5.3	5.4	97	84	90	91	57
März	724.0	734.8	712.9	1.9	6.1	3.3	3.7	7.5	0.7	17.5	30.	− 4.5	17.	4.9	5.0	4.9	5.0	90	69	84	81	43
April	722.5	732.8	709.8	7.2	14.4	9.4	10.1	15.8	5.6	23.4	25.	0.3	17.	6.2	6.2	6.1	6.2	80	51	70	67	20
Mai	720.6	727.5	707.6	9.7	15.2	10.7	11.5	16.4	8.1	25.2	1.	2.6	8./10.	7.7	7.5	7.5	7.6	85	58	78	74	33
Juni	722.7	731.5	715.2	11.7	16.4	12.7	13.4	17.9	9.9	25.6	22.	4.0	2.	9.1	9.4	9.3	9.3	89	69	85	81	38
Juli	723.7	729.2	718.7	**14.9**	**19.6**	**16.2**	**16.7**	21.3	**12.9**	**31.0**	19.	8.2	26.	**11.5**	**11.9**	**11.6**	**11.7**	91	70	85	82	44
August	726.9	732.4	721.4	12.9	**19.6**	15.5	15.9	**21.7**	11.0	28.2	16./17.	5.3	28.	9.8	10.3	10.1	10.1	89	62	77	76	39
September	**727.8**	733.1	719.4	12.0	19.3	14.6	15.1	21.2	10.3	27.3	2./5.	4.0	29.	9.6	10.5	9.5	9.9	91	63	77	77	48
Oktober																						
November																						
Dezember																						
Jahr										31.0	19. VII.	−15.5	13. I.									20

Alle Angaben nach Ortszeit

1926

Höllenstein.

h_t = 2.4 m h_r = 1.6 m

Monat	Bewölkung 7a	2p	9p	Mittel	Niederschlag Summe mm	Tagesmaximum Betrag mm	Gemessen am	Zahl der Tage ≧0.1 mm Niederschlag	≧1.0 mm	≧0.1 mm ✳	⊠	△	▲	⊼	≡	heitere	trübe	Windverteilung N	NE	E	SE	S	SW	W	NW	C
Januar	8.1	8.0	7.2	7.8	61.1	15.5	16.	20	13	8	12	–	–	–	2	2	16	1	–	7	–	10	–	7	–	**68**
Februar	8.5	7.8	7.5	7.9	46.8	16.4	20.	16	9	1	–	–	–	–	7	–	16	–	–	6	2	10	3	8	–	55
März	7.7	7.8	6.9	7.5	71.3	16.5	12.	19	13	6	2	1	–	–	1	3	20	–	2	8	3	11	3	**21**	–	45
April	5.0	4.9	3.5	4.4	36.7	15.8	20.	12	9	–	–	–	**2**	1	2	**10**	6	–	2	**14**	**13**	**12**	**5**	7	–	37
Mai	7.6	7.5	6.7	7.3	92.5	37.0	23.	15	12	–	–	1	–	3	2	–	16	–	1	10	4	11	3	17	1	46
Juni	7.3	8.6	6.5	7.5	182.2	26.0	9.	22	20	–	–	–	–	5	–	–	13	–	2	6	10	9	3	8	–	52
Juli	8.0	8.3	7.4	7.9	**214.5**	**46.3**	10.	**25**	**21**	–	–	–	1	**10**	3	–	18	–	2	7	7	9	1	6	**3**	58
August	6.1	6.1	3.8	5.3	79.0	13.8	8.	14	12	–	–	–	–	1	3	4	8	3	1	7	6	11	3	5	2	55
September	6.0	**4.9**	**3.3**	4.7	56.5	23.9	13.	13	8	–	–	–	–	–	5	8	**4**	2	3	10	9	10	3	2	2	49
Oktober	7.9	7.6	5.9	7.1	84.6	17.3	18.	19	13	4	1	2	–	–	5	–	10	–	1	13	10	5	4	5	**3**	52
November	7.8	7.0	5.9	7.0	**27.5**	9.4	22.	**11**	**7**	2	–	–	–	–	**8**	1	13	–	2	9	8	6	2	7	–	56
Dezember	**8.8**	**8.9**	**8.3**	**8.7**	65.9	9.5	29.	22	17	**20**	**21**	**3**	–	–	6	2	**23**	**4**	**5**	10	2	2	3	6	2	59
Jahr	7.4	7.3	6.1	6.9	1018.6	46.0	10. VII.	208	154	41	36	7	3	20	44	30	163	10	21	107	74	106	33	99	13	632

Weissenburg i. B.

h_t = 8.6 m h_r = 1.6 m

Januar	8.5	8.1	8.0	8.2	42.5	7.0	16.	14	12	4	10	1	–	–	4	1	19	–	11	10	15	**11**	29	9	–	8
Februar	8.9	8.2	7.9	8.3	32.5	11.3	20.	11	7	–	–	1	–	–	**12**	–	15	1	4	**11**	19	4	28	4	1	**12**
März	8.0	7.6	7.8	7.8	49.8	6.9	5.	18	14	6	3	**2**	–	1	4	1	17	5	18	4	6	5	34	9	8	4
April	5.4	5.9	5.4	5.6	40.2	12.7	27.	11	8	–	–	**2**	–	4	–	5	7	2	10	9	10	8	27	11	6	7
Mai	7.9	7.7	7.5	7.7	40.3	7.4	30.	16	14	1	–	1	–	2	2	–	16	2	17	2	5	4	**11**	21	**19**	**12**
Juni	7.7	8.6	8.2	8.2	126.5	15.0	4.	**24**	**22**	–	–	**2**	1	7	3	–	18	5	4	5	4	**2**	25	23	14	8
Juli	7.5	7.4	7.6	7.5	**189.9**	**57.3**	5.	22	17	–	–	–	1	**10**	3	2	15	–	17	3	6	**2**	28	19	11	7
August	5.4	5.9	5.2	5.5	39.8	11.5	13.	12	9	–	–	–	–	4	4	5	9	3	12	5	11	6	17	**28**	7	4
September	4.2	5.3	4.2	4.6	23.3	12.2	13.	5	3	–	–	–	–	1	1	**7**	5	1	7	–	13	10	19	18	13	9
Oktober	8.7	7.7	7.4	7.9	79.8	11.0	29.	17	13	5	1	–	–	–	9	–	16	3	13	2	17	5	25	12	10	6
November	8.3	8.0	7.1	7.8	**18.7**	6.9	8.	10	3	–	–	–	–	–	6	–	14	4	9	10	**26**	9	23	4	1	4
Dezember	**9.7**	**8.9**	**8.7**	**9.1**	30.6	8.4	29.	18	9	**15**	**16**	–	–	–	9	–	**27**	**11**	**20**	2	2	**2**	**45**	10	–	**1**
Jahr	7.5	7.4	7.1	7.4	713.9	57.3	5. VII.	178	131	31	30	9	2	29	57	21	178	37	142	63	134	68	311	168	90	82

Buchenau.

h_t = 1.7 m h_r = 1.8 m

Januar	7.9	**8.8**	7.0	7.9	105.7	14.7	5.	22	17	18	29	2	–	–	–	–	16	2	3	27	4	–	2	24	3	**28**
Februar	8.2	7.7	7.5	7.8	89.8	28.1	20.	16	11	5	11	–	–	–	1	3	18	–	1	38	–	2	6	21	–	16
März	7.3	7.9	7.2	7.4	191.1	47.2	12.	20	18	14	22	–	–	–	2	2	18	–	2	38	1	–	10	27	**5**	**10**
April	4.4	5.1	2.8	4.1	38.9	15.5	11.	12	8	3	–	**3**	–	2	–	9	5	–	–	44	4	2	9	15	1	15
Mai	7.5	7.8	7.0	7.5	115.5	38.8	23.	15	13	1	–	1	–	**6**	1	1	17	1	2	41	1	–	**12**	14	–	22
Juni	8.0	8.6	7.7	8.1	270.3	35.5	16.	**26**	20	–	–	–	–	5	3	–	17	1	–	31	1	2	7	27	**2**	19
Juli	7.2	7.8	7.9	7.6	**353.9**	**56.5**	10.	25	**22**	–	–	–	1	**6**	3	3	18	1	3	32	1	1	11	28	1	15
August	5.5	5.9	4.3	5.2	100.8	21.5	23.	17	13	–	–	–	–	3	1	6	7	**6**	2	34	**7**	**7**	–	24	1	12
September	4.5	5.9	4.2	4.9	97.5	26.3	13.	14	12	–	–	–	–	4	–	**10**	7	–	**4**	34	–	–	3	24	1	24
Oktober	7.7	8.0	6.2	7.3	125.6	21.2	18.	20	15	6	6	–	–	–	–	2	13	–	1	33	3	–	8	30	2	16
November	6.2	6.9	5.4	6.2	36.3	12.7	26.	**10**	**6**	2	5	–	–	–	4	4	11	–	–	**49**	4	–	1	**14**	2	20
Dezember	**8.4**	7.9	**8.5**	**8.3**	154.7	34.8	19.	21	17	**20**	**31**	**3**	–	–	**8**	1	**22**	1	1	23	–	2	6	**33**	**5**	22
Jahr	6.9	7.4	6.3	6.9	1680.1	56.5	10. VII.	218	172	69	104	9	1	26	23	41	169	12	19	424	26	16	75	281	23	219

Donaustauf.

h_t = 2.0 m h_r = 1.1 m

Januar*)	8.4	8.4	6.2	7.7	?	?	?	?	?	?	?	?	?	?	?	2	16	1	8	1	17	–	8	2	7	49
Februar	8.8	8.1	6.0	7.7	30.1	8.8	20.	14	7	1	–	–	–	–	15	1	15	1	**2**	2	15	1	1	9	5	48
März	7.2	8.1	5.4	6.9	38.9	4.8	1.	18	14	5	2	–	–	–	6	1	13	6	12	–	8	1	3	18	9	36
April	5.7	5.3	3.0	4.7	28.2	7.1	11.	12	9	–	–	–	–	3	–	8	8	2	9	2	14	2	4	12	10	35
Mai	7.4	8.0	5.4	6.9	75.1	15.5	23.	14	10	–	–	1	–	3	–	1	12	1	7	–	13	1	10	–	20	41
Juni	7.8	8.4	6.1	7.5	136.2	21.8	1.	20	17	–	–	–	–	5	4	1	11	1	9	2	12	6	5	9	10	36
Juli	7.9	7.2	7.5	7.5	170.8	20.4	21.	20	17	–	–	?	?	?	4	2	17	3	6	2	7	4	13	11	1	46
August*)	5.1	5.1	4.0	4.8	?	12.0?	13.	10	8	–	–	–	–	?	4	7	7	–	6	–	11	–	4	10	2	60
September	4.5	5.9	3.6	4.7	43.0	22.5	13.	8	4	–	–	–	–	1	7	10	6	–	2	–	5	1	3	6	7	66
Oktober																										
November																										
Dezember																										
Jahr																										

*) Niederschlagsbeobachtungen im Januar und August lückenhaft.

Alle Angaben nach Ortszeit.

1926

Hausstein.

$\varphi = 48^0\ 52'$ N $\lambda = 13^0\ 4'$ E — H = 648 m

Monat	Luftdruck auf 0° und Normalschwere reduziert: Mittel mm	Maximum mm	Minimum mm	Lufttemperatur: 7ª C°	2ᵖ C°	9ᵖ C°	Tagesmittel C°	Mittl. Maximum C°	Mittl. Minimum C°	Absol. Maximum C°	Datum	Absol. Minimum C°	Datum	Absolute Feuchtigkeit: 7ª mm	2ᵖ mm	9ᵖ mm	Mittel mm	Relative Feuchtigkeit: 7ª Proz.	2ᵖ Proz.	9ᵖ Proz.	Mittel Proz.	Minimum Proz.
Januar				− 2.4	− 0.7	− 2.1	− 1.8	0.8	− 4.3	7.9	29.	−15.8	13.	3.5	3.7	3.5	3.6	87	82	85	85	48
Februar				2.9	5.1	3.7	3.8	6.8	0.8	13.3	3.	− 2.0	10.	5.0	5.4	5.0	5.1	88	82	85	85	45
März				1.0	4.2	2.5	2.5	5.8	− 0.2	15.9	30.	− 5.5	6./21.	4.3	4.5	4.5	4.5	85	72	80	79	44
April				7.5	13.1	9.2	9.8	15.1	5.2	23.9	30.	0.3	12.	5.4	5.8	5.6	5.6	71	54	66	64	23
Mai				9.5	13.8	10.2	10.9	15.6	7.1	24.2	1.	− 0.9	10.	6.9	7.1	7.0	7.0	79	61	76	72	27
Juni				11.1	14.7	11.6	12.2	17.0	8.9	25.3	22.	5.4	4.	8.6	9.1	8.9	8.9	88	74	87	83	50
Juli				**14.6**	17.7	**15.0**	**15.6**	**20.4**	**12.3**	**29.7**	19.	7.6	28.	**11.0**	**11.2**	**11.1**	**11.1**	89	75	87	84	45
August				13.1	**18.0**	14.5	15.0	20.1	11.3	26.1	17.	7.0	13./24.	9.7	9.9	9.7	9.7	85	66	79	76	42
September				12.3	17.5	14.1	14.5	18.8	10.8	25.1	1.	5.6	28.	9.2	9.7	9.3	9.4	85	66	78	76	48
Oktober				6.4	10.0	7.8	8.0	11.5	4.6	18.8	31.	− 2.9	19.	6.4	7.3	6.8	6.8	87	78	84	83	52
November				5.7	8.1	6.5	6.7	10.8	3.5	18.2	1.	− 4.0	29.	5.8	6.4	6.1	6.1	84	79	83	82	50
Dezember				− 2.5	− 1.4	− 1.8	− 1.9	0.3	− 3.8	3.8	27.	−11.9	24.	3.7	3.9	3.8	3.8	**94**	**92**	**94**	**93**	67
Jahr				6.6	10.0	7.6	7.9	11.9	4.7	29.7	19. VII.	−15.8	13. I.	6.6	7.0	6.8	6.8	85	73	82	80	23

Metten.

$\varphi = 48^0\ 51'$ N $\lambda = 12^0\ 55'$ E — H = 327.8 m Cg = + 0.2 mm

Monat	Luftdruck auf 0° und Normalschwere reduziert: Mittel mm	Maximum mm	Minimum mm	Lufttemperatur: 7ª C°	2ᵖ C°	9ᵖ C°	Tagesmittel C°	Mittl. Maximum C°	Mittl. Minimum C°	Absol. Maximum C°	Datum	Absol. Minimum C°	Datum	Absolute Feuchtigkeit: 7ª mm	2ᵖ mm	9ᵖ mm	Mittel mm	Relative Feuchtigkeit: 7ª Proz.	2ᵖ Proz.	9ᵖ Proz.	Mittel Proz.	Minimum Proz.
Januar	733.9	742.7	723.9	− 2.9	0.4	− 2.3	− 1.8	1.3	− 4.9	6.7	3.	−13.5	13.	**3.7**	4.2	3.8	3.9	95	85	94	91	50
Februar	733.0	746.3	716.0	1.5	5.8	2.3	3.0	6.6	0.0	11.5	26.	− 2.7	7.	5.0	5.9	5.3	5.4	**97**	86	**97**	**94**	55
März	733.1	744.0	722.1	1.7	6.9	3.1	3.7	7.9	0.0	17.9	30.	− 4.8	17.	4.9	5.2	5.0	5.0	92	68	85	82	38
April	731.4	742.1	719.6	6.6	15.5	8.7	9.9	16.5	3.0	24.7	25.	− 2.5	4.	6.0	6.4	6.2	6.2	83	50	76	70	19
Mai	729.3	736.8	716.1	9.9	16.9	10.7	12.1	18.0	6.6	26.3	1.	− 3.7	10.	8.0	8.1	7.9	8.0	87	57	82	75	23
Juni	731.3	740.0	723.3	12.3	17.6	12.9	13.9	19.4	9.3	26.0	13.	3.7	2.	10.0	10.2	9.7	9.9	93	70	88	84	44
Juli	732.6	737.8	727.5	**16.0**	**20.5**	**15.9**	**17.1**	**22.8**	**13.0**	**30.3**	19.	8.8	29.	**12.3**	**12.0**	**12.3**	**12.2**	90	69	91	83	46
August	735.9	740.8	731.9	13.1	**20.5**	14.2	15.5	21.8	10.0	26.7	17.	5.7	13./28.	10.4	10.8	10.7	10.7	92	61	89	81	35
September	**736.7**	741.5	728.9	11.0	19.8	12.8	14.1	20.6	8.8	26.7	6.	3.6	29.	9.4	10.7	10.2	10.1	94	62	92	83	47
Oktober	731.4	744.5	716.2	5.3	12.0	7.6	8.1	13.0	3.5	20.8	15.	− 3.6	28.	6.6	7.9	7.1	7.2	96	74	90	87	56
November	730.5	743.3	710.4	3.9	8.5	4.9	5.5	9.7	1.9	19.5	19.	− 5.7	29.	5.6	6.7	6.0	6.1	92	81	92	88	34
Dezember	736.2	**747.3**	722.6	− 1.6	0.0	− 1.0	− 0.9	0.8	− 3.2	4.4	11.	**−13.7**	24.	4.0	**4.2**	4.1	4.1	95	**89**	94	93	56
Jahr	732.9	747.3	710.4	6.4	12.0	7.5	8.4	13.2	4.0	30.3	19. VII.	−13.7	24. XII.	7.2	7.7	7.4	7.4	92	71	89	84	19

Nördlingen.

$\varphi = 48^0\ 51'$ N $\lambda = 10^0\ 30'$ E — H = 435.6 m Cg = + 0.2 mm

Monat	Luftdruck auf 0° und Normalschwere reduziert: Mittel mm	Maximum mm	Minimum mm	Lufttemperatur: 7ª C°	2ᵖ C°	9ᵖ C°	Tagesmittel C°	Mittl. Maximum C°	Mittl. Minimum C°	Absol. Maximum C°	Datum	Absol. Minimum C°	Datum	Absolute Feuchtigkeit: 7ª mm	2ᵖ mm	9ᵖ mm	Mittel mm	Relative Feuchtigkeit: 7ª Proz.	2ᵖ Proz.	9ᵖ Proz.	Mittel Proz.	Minimum Proz.
Januar	723.8	732.5	714.1	− 1.2	1.3	− 0.8	− 0.4	2.2	− 3.2	7.6	2.	−12.7	13.	**3.7**	4.3	3.9	3.9	86	81	86	84	47
Februar	723.0	735.7	706.9	2.9	7.3	5.0	5.1	8.3	1.9	11.2	24.	− 0.7	14.	5.2	6.0	5.6	5.6	**91**	79	87	86	54
März	723.8	734.7	712.5	2.5	7.1	3.7	4.3	8.0	0.9	17.2	30.	− 4.3	24.	4.8	4.9	5.0	4.9	84	64	81	77	31
April	721.9	731.2	709.0	7.3	15.2	9.4	10.4	16.3	4.4	24.8	30.	− 0.7	13.	5.7	5.7	6.2	5.9	75	46	70	64	22
Mai	720.3	726.8	705.2	9.6	15.5	10.9	11.7	16.4	6.8	24.4	16.	− 1.6	10.	7.3	7.4	7.6	7.4	80	57	77	72	31
Juni	722.4	730.5	715.1	12.7	16.5	12.8	13.7	18.4	9.7	27.4	22.	4.2	2.	9.0	8.8	9.2	9.0	82	64	83	76	36
Juli	723.7	728.2	718.6	**15.3**	20.4	**16.1**	**17.0**	21.6	**13.1**	**30.2**	19.	9.3	28.	**10.9**	**10.9**	**11.4**	**11.0**	84	62	83	76	37
August	726.4	731.1	722.5	14.0	**21.3**	15.2	16.4	**22.1**	10.9	28.5	17.	5.8	28.	9.7	9.4	10.1	9.7	81	51	79	70	31
September	**727.2**	732.0	719.5	12.4	20.8	14.6	15.6	21.3	9.9	27.4	1./2./11.	1.0	29.	8.9	9.3	9.7	9.3	82	51	78	70	35
Oktober	721.9	734.2	706.8	7.0	11.2	7.8	8.4	12.1	4.4	21.9	9.	− 3.3	28.	6.7	7.0	6.9	6.9	88	69	85	81	46
November	720.6	732.4	699.1	4.7	7.8	5.0	5.6	8.9	2.3	16.2	18.	− 3.9	29.	5.7	6.3	5.9	6.0	88	79	**88**	85	52
Dezember	726.8	**738.2**	712.9	− 1.2	0.2	− 0.8	− 0.7	1.0	− 2.8	4.1	10.	**−13.2**	26.	3.8	4.1	3.9	3.9	89	**86**	**88**	**87**	76
Jahr	723.5	738.2	699.1	7.2	12.1	8.2	8.9	13.1	4.9	30.2	19. VII.	−13.2	26. XII.	6.8	7.0	7.1	7.0	84	66	82	77	22

Büchling.

$\varphi = 48^0\ 47'$ N $\lambda = 12^0\ 42'$ E — II = ca 335 m

Monat	Luftdruck auf 0° und Normalschwere reduziert: Mittel mm	Maximum mm	Minimum mm	Lufttemperatur: 7ª C°	2ᵖ C°	9ᵖ C°	Tagesmittel C°	Mittl. Maximum C°	Mittl. Minimum C°	Absol. Maximum C°	Datum	Absol. Minimum C°	Datum	Absolute Feuchtigkeit: 7ª mm	2ᵖ mm	9ᵖ mm	Mittel mm	Relative Feuchtigkeit: 7ª Proz.	2ᵖ Proz.	9ᵖ Proz.	Mittel Proz.	Minimum Proz.
Januar				− 2.0	0.8	− 1.6	− 1.1	1.6	− 4.3	9.3	1.	−16.1	24.									
Februar				2.1	5.9	2.7	3.3	6.6	0.7	11.1	26.	− 1.2	14.									
März				3.0	7.5	3.6	4.4	8.3	1.1	17.3	30.	− 3.5	21.									
April				7.3	16.0	8.7	10.1	17.0	3.8	25.5	30.	− 2.0	4.									
Mai				11.0	17.2	10.1	12.1	17.9	6.9	26.4	2.	− 3.2	10.									
Juni				13.3	17.9	12.3	14.0	19.4	9.6	28.8	22.	4.0	2.									
Juli				**16.2**	**21.3**	**16.0**	**17.4**	**22.7**	**13.1**	**30.4**	19.	9.2	30.									
August				13.9	**21.3**	14.4	16.0	**22.7**	10.0	28.7	17.	5.0	28.									
September				12.5	20.1	14.4	15.4	20.9	9.0	27.4	12.	3.0	28.									
Oktober				5.5	11.6	7.2	7.9	12.5	3.6	20.5	15.	− 3.3	20./28.									
November				4.3	8.6	4.9	5.7	9.1	2.8	16.1	23.	− 5.0	30.									
Dezember				− 1.1	0.3	− 0.9	− 0.6	0.9	− 2.2	4.8	12.	−11.5	25.									
Jahr				7.2	12.4	7.7	8.7	13.3	4.5	30.4	19. VII.	−16.1	24. I.									

Alle Angaben nach Ortszeit.

1926

Hausstein.

h_t = 7.6 m — h_r = 0.9 m

Monat	Bewölkung 7a	2p	9p	Mittel	Niederschlag Summe mm	Tagesmaximum Betrag mm	Gemessen am	Zahl der Tage ≧0.1 mm Niederschlag	≧1.0 mm	≧0.1 mm ✳	⊠	△	▲	⊿	≡	heitere	trübe	Windverteilung N	NE	E	SE	S	SW	W	NW	C
Januar	7.5	8.2	5.4	7.0	99.0	24.0	4.	21	15	16	**28**	1	–	–	–	1	11	**10**	1	8	6	**3**	–	57	**8**	–
Februar	7.5	7.8	6.7	7.3	96.3	61.2	20.	15	12	3	4	3	–	–	3	2	14	5	1	17	3	2	1	**44**	**8**	3
März	7.5	7.4	6.4	7.1	188.1	45.7	13.	21	16	16	11	1	–	–	4	2	15	7	–	18	7	–	–	54	7	–
April	4.2	4.3	3.3	4.0	73.9	18.8	11.	13	9	2	–	**4**	–	3	–	**11**	4	2	–	18	8	2	**4**	50	5	1
Mai	6.5	6.6	6.3	6.5	147.0	34.8	30.	18	12	1	–	1	–	6	2	2	9	2	1	18	**11**	**3**	**4**	50	2	2
Juni	7.3	7.9	5.9	7.0	344.6	75.8	16.	23	18	–	–	1	–	7	2	1	10	1	1	17	6	–	–	56	5	4
Juli	7.2	7.0	6.8	7.0	**430.4**	**93.1**	10.	**25**	**21**	–	–	1	–	**11**	3	4	14	1	–	**26**	2	–	–	60	–	4
August	4.5	4.7	3.4	4.2	109.3	26.3	9.	15	13	–	–	–	–	4	1	**11**	3	2	–	19	4	–	–	**61**	3	4
September	3.9	4.9	3.2	4.0	100.2	64.3	13.	**12**	**7**	–	–	1	–	4	–	9	3	1	–	23	–	–	–	60	2	4
Oktober	6.2	6.8	4.7	5.9	122.7	30.2	1.	18	14	5	4	1	–	–	4	3	9	3	–	22	–	–	1	58	2	**7**
November	6.6	6.3	5.2	6.0	32.6	14.4	22.	**12**	8	2	2	–	–	–	4	3	8	4	8	24	–	–	1	47	3	3
Dezember	**8.3**	**8.7**	**7.7**	**8.2**	182.6	37.0	19.	23	18	**21**	25	–	–	–	**8**	2	**19**	2	**9**	20	–	–	–	57	3	2
Jahr	6.4	6.7	5.4	6.2	1926.7	93.1	10. VII.	216	163	66	74	14	–	35	31	51	119	40	21	230	47	10	11	654	48	34

Metten.

h_t = 13.0 m — h_r = 1.5 m

Monat	Bewölkung 7a	2p	9p	Mittel	Niederschlag Summe mm	Tagesmaximum Betrag mm	Gemessen am	Zahl der Tage ≧0.1 mm Niederschlag	≧1.0 mm	≧0.1 mm ✳	⊠	△	▲	⊿	≡	heitere	trübe	Windverteilung N	NE	E	SE	S	SW	W	NW	C
Januar	8.5	8.4	5.9	7.6	78.3	13.9	4.	20	13	7	16	–	–	–	7	–	14	**9**	2	14	3	11	2	15	8	29
Februar	8.2	7.8	7.6	7.8	62.1	29.3	20.	12	8	1	3	1	–	–	5	2	18	5	**1**	14	5	**14**	6	13	5	21
März	7.9	8.1	4.9	7.0	115.4	30.0	12.	17	13	5	2	–	–	–	1	3	14	5	**9**	6	3	7	**1**	18	19	25
April	5.0	5.1	3.9	4.6	36.3	11.3	11.	11	8	–	–	1	1	4	–	**12**	8	1	3	21	7	7	6	15	5	25
Mai	7.5	7.3	6.6	7.1	94.2	29.1	23.	15	11	–	–	–	–	3	3	2	13	3	5	15	7	7	**11**	7	5	33
Juni	8.1	8.6	7.0	7.9	**260.6**	51.5	15.	23	21	–	–	–	–	9	1	2	17	2	1	11	7	7	7	**30**	10	**15**
Juli	7.6	8.3	7.6	7.8	253.1	**65.6**	5.	**24**	**22**	–	–	–	–	**10**	1	3	21	4	3	12	6	4	2	17	12	33
August	6.2	5.5	4.2	5.3	104.6	22.6	8.	14	13	–	–	–	**2**	5	5	4	8	5	5	13	7	5	9	5	12	32
September	5.2	5.2	3.7	4.7	65.6	46.2	13.	6	4	–	–	–	–	2	3	7	5	4	2	5	3	9	5	15	6	41
Oktober	6.4	8.2	4.5	6.4	120.2	31.8	1.	14	11	2	1	**2**	–	–	4	3	9	–	1	15	**10**	9	4	18	3	33
November	6.9	6.7	6.7	6.8	11.7	3.9	10.	10	4	1	–	–	–	–	**9**	4	12	1	2	**23**	9	13	9	10	6	17
Dezember	**8.7**	**9.1**	**7.9**	**8.6**	93.1	17.2	29.	20	16	**15**	**21**	–	–	–	6	3	**23**	8	3	4	–	–	2	11	**21**	**44**
Jahr	7.2	7.4	5.9	6.8	1295.2	65.6	5. VII.	186	144	31	43	4	3	33	45	45	162	47	37	153	67	93	64	174	112	348

Nördlingen.

h_t = 3.5 m — h_r = 1.5 m

Monat	Bewölkung 7a	2p	9p	Mittel	Niederschlag Summe mm	Tagesmaximum Betrag mm	Gemessen am	Zahl der Tage ≧0.1 mm Niederschlag	≧1.0 mm	≧0.1 mm ✳	⊠	△	▲	⊿	≡	heitere	trübe	Windverteilung N	NE	E	SE	S	SW	W	NW	C
Januar	8.3	7.9	8.0	8.1	48.5	9.7	28.	15	11	5	12	–	–	–	4	–	19	**1**	6	5	20	10	**28**	19	–	4
Februar	8.9	8.3	7.8	8.3	30.4	9.5	20.	13	7	–	–	–	–	–	**8**	–	17	1	4	5	18	14	17	17	1	7
März	7.8	7.6	7.1	7.5	41.1	13.8	5.	18	11	6	3	1	–	–	1	1	15	8	11	8	3	4	15	33	1	**10**
April	5.8	5.5	5.0	5.4	21.6	6.6	17.	10	7	–	–	–	1	4	–	6	6	5	4	**15**	16	8	14	14	8	6
Mai	8.4	7.6	6.7	7.6	103.2	61.0	30.	18	14	1	–	1	–	–	–	1	17	6	**15**	5	4	7	10	31	10	5
Juni	7.2	8.7	7.9	7.9	123.8	24.2	4.	**22**	**18**	–	–	–	–	5	–	–	16	**12**	3	6	5	11	9	33	9	2
Juli	7.5	7.6	7.4	7.5	**177.3**	**61.2**	20.	20	12	–	–	–	–	**11**	–	2	16	6	9	9	7	3	12	31	12	4
August	4.9	5.3	4.5	4.9	28.4	7.3	18.	6	5	–	–	–	–	4	–	**8**	7	8	3	7	9	4	12	26	**14**	**10**
September	3.9	4.4	4.1	4.1	27.5	11.5	13.	4	3	–	–	–	–	1	–	**8**	4	6	3	5	7	8	16	27	8	**10**
Oktober	8.2	7.3	6.8	7.4	90.9	19.5	29.	14	13	5	–	1	–	1	3	1	17	3	12	8	13	12	13	23	7	2
November	8.0	7.9	7.0	7.6	18.6	7.1	8.	6	5	–	–	–	–	1	3	–	13	2	2	13	**29**	**17**	11	**13**	1	2
Dezember	**9.5**	**8.8**	**8.3**	**8.9**	29.1	6.4	19.	18	10	**13**	**16**	1	–	–	4	–	**24**	**12**	13	4	2	5	10	**39**	5	3
Jahr	7.4	7.2	6.7	7.1	740.4	61.2	20. VII.	164	116	30	31	4	1	27	23	27	171	70	85	90	133	103	167	306	76	65

Büchling.

h_t = 1.5 m — h_r = 1.5 m

Monat	Bewölkung 7a	2p	9p	Mittel	Niederschlag Summe mm	Tagesmaximum Betrag mm	Gemessen am	Zahl der Tage ≧0.1 mm Niederschlag	≧1.0 mm	≧0.1 mm ✳	⊠	△	▲	⊿	≡	heitere	trübe	Windverteilung N	NE	E	SE	S	SW	W	NW	C
Januar	8.1	7.6	5.7	7.1	45.0	8.0	16.	18	14	6	**16**	–	–	–	5	1	11	–	–	23	2	1	8	51	1	7
Februar	7.9	6.7	7.3	7.3	42.3	22.2	20.	12	8	1	3	–	–	–	8	1	13	–	3	**34**	10	1	14	13	2	7
März	7.3	7.2	7.3	7.3	67.1	11.5	12.	16	12	8	1	–	–	–	–	3	17	–	9	14	10	2	12	45	–	1
April	4.6	4.6	4.5	**4.6**	21.4	6.7	20.	8	7	–	–	–	–	2	–	**9**	6	–	3	29	6	1	11	33	2	5
Mai	7.3	6.8	6.4	6.8	73.9	20.5	23.	15	12	1	–	–	–	3	1	1	14	–	–	11	3	2	9	**59**	–	9
Juni	7.5	7.5	7.0	7.3	**203.4**	**37.0**	7.	20	18	–	–	–	–	7	1	1	11	–	3	13	5	1	11	50	2	5
Juli	7.9	6.9	6.7	7.2	145.7	16.6	9.	**24**	**20**	–	–	–	–	**10**	5	1	13	**5**	4	12	6	1	10	47	7	1
August	4.7	5.4	3.7	4.6	68.0	17.5	7.	12	10	–	–	–	–	3	5	**9**	8	–	**10**	13	–	–	3	52	7	8
September	5.3	5.0	4.1	4.8	36.4	20.0	13.	5	4	–	–	–	–	1	5	8	6	4	–	14	9	2	12	31	4	14
Oktober	7.4	7.4	5.8	6.8	84.6	15.6	18.	16	9	2	–	–	–	–	6	2	12	3	6	2	2	**7**	20	34	3	**16**
November	8.6	6.9	7.2	7.6	16.8	11.2	22.	9	3	1	–	–	–	–	**13**	–	14	–	3	14	**23**	**7**	**27**	12	1	3
Dezember	**9.0**	**8.6**	**8.2**	**8.6**	44.5	15.1	30.	17	11	**14**	14	–	–	–	2	2	**23**	–	7	7	5	–	3	54	**17**	–
Jahr	7.1	6.7	6.2	6.7	849.1	37.0	7. VI.	172	128	33	34	–	–	26	51	38	148	12	48	186	81	25	140	481	46	76

Alle Angaben nach Ortszeit.

1926

Rohr.

$\varphi = 48^0\ 46'$ N $\lambda = 11^0\ 58'$ E — H = 426 m

Monat	Luftdruck auf 0° und Normalschwere reduziert: Mittel mm	Maximum mm	Minimum mm	Lufttemperatur: 7a C°	2p C°	9p C°	Tagesmittel C°	Mittl. Maximum C°	Mittl. Minimum C°	Absol. Maximum C°	Datum	Absol. Minimum C°	Datum	Absolute Feuchtigkeit: 7a mm	2p mm	9p mm	Mittel mm	Relative Feuchtigkeit: 7a Proz.	2p Proz.	9p Proz.	Mittel Proz.	Minimum Proz.
Januar				− 2.7	0.8	− 1.9	− 1.4	1.8	− 4.7	7.9	3.	−15.0	23.									
Februar				2.0	6.6	3.3	3.8	7.4	0.4	11.1	24.	− 2.3	1.									
März				2.1	6.6	3.2	3.8	7.5	0.1	17.0	30.	− 5.3	21.									
April				7.9	14.5	8.3	9.7	15.7	2.9	24.1	30.	− 2.0	14.									
Mai				10.5	15.6	10.2	11.6	17.1	5.9	24.1	16.	− 2.9	10.									
Juni				13.2	17.1	12.4	13.8	18.7	8.6	26.0	22.	3.5	2.									
Juli				**15.7**	20.3	**15.8**	**16.9**	22.0	**12.5**	**29.7**	19.	8.4	28.									
August				14.7	**20.4**	14.3	15.9	**22.1**	9.7	28.3	17.	4.9	**29.**									
September				13.3	19.7	13.6	15.1	21.0	9.1	27.0	2./5.	3.3	29.									
Oktober				6.4	11.5	7.3	8.1	12.8	3.7	20.5	15.	− 3.8	20.									
November				3.5	7.5	4.4	5.0	9.0	1.6	15.2	21.	− 5.1	29.									
Dezember																						
Jahr										29.7	19. VII.											

Neuhof.

$\varphi = 48^0\ 46'$ N $\lambda = 10^0\ 49'$ E — H = ca 523 m Cg = + 0.2 mm

Monat	Luftdruck: Mittel	Maximum	Minimum	Lufttemperatur: 7a	2p	9p	Tagesmittel	Mittl. Maximum	Mittl. Minimum	Absol. Maximum	Datum	Absol. Minimum	Datum	Absolute Feuchtigkeit: 7a	2p	9p	Mittel	Relative Feuchtigkeit: 7a	2p	9p	Mittel	Minimum
Januar	715.6	725.0	705.3	− 2.3	0.2	− 1.8	− 1.4	0.9	− 4.0	6.4	2.	−14.2	13.	3.9	4.2	3.9	4.0	95	88	93	92	58
Februar	715.0	727.6	699.0	2.0	6.0	4.1	4.1	6.8	1.2	9.9	24.	− 1.2	1.	5.1	6.0	5.6	5.6	**96**	87	91	91	64
März	715.7	726.5	704.5	1.6	5.9	3.1	3.4	6.7	0.2	15.9	30.	− 5.0	22.	4.9	5.1	5.1	5.1	93	73	87	84	43
April	713.8	723.7	700.8	7.1	13.6	9.1	9.7	14.7	4.2	23.3	30.	0.0	18.	6.1	6.3	6.2	6.2	81	55	73	69	30
Mai	712.1	719.0	697.7	9.1	13.7	9.4	10.4	14.9	6.1	23.1	16.	− 1.9	10.	7.6	7.8	7.6	7.7	87	67	86	80	41
Juni	714.4	723.0	707.0	11.9	15.2	11.8	12.7	16.9	8.9	23.6	22.	5.8	2./27.	9.2	9.4	9.1	9.3	89	74	89	84	49
Juli	716.0	720.9	710.8	**14.8**	18.7	**15.1**	**15.9**	19.9	**12.5**	**27.3**	19.	8.3	28.	**11.5**	**11.6**	**11.5**	**11.5**	91	73	90	85	51
August	718.8	723.5	714.6	13.5	**19.1**	14.4	15.3	**20.0**	10.3	25.8	17.	5.7	29.	10.1	10.3	10.2	10.2	88	63	84	78	46
September	**719.6**	724.7	711.3	12.2	18.7	13.8	14.6	19.2	9.9	25.6	11.	2.3	29.	9.6	9.8	10.0	9.8	89	61	84	78	42
Oktober	713.9	726.1	698.2	5.9	10.1	7.3	7.6	11.1	4.2	19.5	15.	− 2.0	20.	6.6	7.1	7.1	6.9	93	76	90	86	45
November	712.5	725.3	691.2	3.7	6.6	4.5	4.9	7.7	2.2	14.7	18.	− 4.4	29.	5.8	6.4	6.1	6.1	95	86	**94**	91	57
Dezember	718.6	**730.2**	704.6	− 2.1	− 0.7	− 1.7	− 1.6	0.4	− 3.6	3.4	20.	−12.2	25.	3.9	4.1	3.9	4.0	95	**91**	**94**	**93**	70
Jahr	715.5	730.2	691.2	6.5	10.6	7.4	8.0	11.6	4.3	27.3	19. VII.	−14.2	13. I.	7.0	7.3	7.2	7.2	91	75	88	84	30

Ingolstadt.

$\varphi = 48^0\ 45'$ N $\lambda = 11^0\ 26'$ E — H = 371 m

Monat	Luftdruck: Mittel	Maximum	Minimum	Lufttemperatur: 7a	2p	9p	Tagesmittel	Mittl. Maximum	Mittl. Minimum	Absol. Maximum	Datum	Absol. Minimum	Datum	Absolute Feuchtigkeit: 7a	2p	9p	Mittel	Relative Feuchtigkeit: 7a	2p	9p	Mittel	Minimum
Januar				− 2.8	0.9	− 1.6	− 1.3	2.0	− 4.3	9.0	1.	−17.7	23.	3.6	4.1	3.8	3.8	92	81	90	88	58
Februar				1.7	7.0	4.0	4.2	7.9	0.8	12.8	25.	− 2.1	3.	4.9	5.8	5.5	5.4	**95**	79	90	88	57
März				2.0	7.5	3.7	4.2	8.5	0.8	17.4	29.	− 4.1	19.	4.9	5.2	5.3	5.1	90	67	86	**81**	39
April				5.4	15.7	8.9	9.7	17.1	3.2	25.9	30.	− 1.9	14.	5.8	6.1	6.5	6.1	86	48	**76**	**70**	23
Mai				9.0	15.9	10.4	11.4	17.3	6.2	26.1	16.	− 2.5	10.	7.6	7.8	7.9	7.8	87	59	83	76	36
Juni				11.8	17.4	12.5	13.5	18.7	9.3	26.1	22.	4.4	27.	9.3	9.6	9.4	9.4	90	65	87	81	43
Juli				**14.9**	20.8	**16.0**	**17.0**	22.5	**12.5**	**31.1**	19.	9.2	28.	**11.6**	**12.5**	**12.2**	**12.1**	92	69	89	83	41
August				12.5	**21.1**	14.6	15.7	**23.0**	10.0	28.9	17.	4.1	28./29.	9.9	11.1	10.7	10.6	92	61	86	80	37
September				10.1	20.8	13.4	14.4	21.7	8.6	29.2	11.	0.5	29.	8.9	10.8	10.4	10.0	**95**	60	90	82	36
Oktober				5.3	11.6	7.3	7.9	12.7	3.7	21.3	15.	− 3.4	28.	6.4	7.5	6.9	6.9	93	74	89	85	50
November				3.7	7.8	4.4	5.1	8.9	2.1	16.1	19.	− 4.3	29.	5.6	6.5	6.0	6.0	92	81	**94**	89	52
Dezember				− 1.2	0.6	− 0.7	− 0.5	1.1	− 2.3	4.2	11.	−12.4	26.	4.0	4.2	4.1	4.1	93	**86**	91	**90**	60
Jahr				6.0	12.3	7.7	8.4	13.5	4.2	31.1	19. VII.	−17.7	23. I.	6.9	7.6	7.4	7.3	91	69	88	83	23

Hüll.

$\varphi = 48^0\ 36'$ N $\lambda = 11^0\ 41'$ E — H = ca 438 m

Monat	Luftdruck: Mittel	Maximum	Minimum	Lufttemperatur: 7a	2p	9p	Tagesmittel	Mittl. Maximum	Mittl. Minimum	Absol. Maximum	Datum	Absol. Minimum	Datum	Absolute Feuchtigkeit: 7a	2p	9p	Mittel	Relative Feuchtigkeit: 7a	2p	9p	Mittel	Minimum
Januar																						
Februar																						
März																						
April																						
Mai																						
Juni																						
Juli				**15.1**	19.8	**15.0**	**16.2**	**21.7**	**12.0**	**29.5**	19.	7.8	18.	**11.5**	**11.4**	**11.8**	**11.6**	90	67	91	82	43
August				13.5	**20.0**	12.5	14.6	21.2	7.9	28.1	17.	1.5	28.	10.4	10.1	10.0	10.2	89	60	91	80	40
September				9.9	19.7	11.8	13.3	21.0	7.1	29.0	11.	− 0.8	29.	8.9	9.9	9.5	9.4	95	59	90	81	29
Oktober				5.6	10.9	6.8	7.6	12.7	2.6	21.0	9.	− 4.9	20.	6.6	7.4	6.9	7.0	**92**	72	88	84	42
November				3.5	8.0	4.3	5.0	9.4	1.1	16.9	1.	− 5.2	29.	5.5	6.5	5.8	5.9	90	78	89	86	48
Dezember				− 1.5	− 0.1	− 1.5	− 1.1	0.6	− 3.3	4.1	11.	−15.8	25.	3.7	3.9	3.7	3.8	87	82	86	85	63
Jahr										29.5	19. VII.											

Alle Angaben nach Ortszeit.

1926

Rohr.

h_t = 4.7 m — h_r = 1.1 m

Monat	Bewölkung 7a	2p	9p	Mittel	Niederschlag Summe mm	Tagesmaximum Betrag mm	Tagesmaximum Gemessen am	Zahl der Tage ≧0.1 mm Niederschlag	≧1.0 mm Niederschlag	≧0.1 mm ✳	⊠	△	▲	⊿	≡	heitere	trübe	Windverteilung N	NE	E	SE	S	SW	W	NW	C
Januar	9.0	8.5	8.5	8.7	49.3	8.8	20.	17	14	6	16	–	–	–	4	–	21	–	9	9	8	3	44	15	5	–
Februar	9.3	8.3	9.0	8.8	50.1	25.5	20.	13	8	1	1	–	–	–	10	–	21	1	7	8	25	–	28	11	3	1
März	8.3	8.3	7.8	8.1	94.5	16.5	29.	20	18	7	5	–	–	3	3	1	19	2	19	11	11	1	12	23	9	5
April	6.3	6.1	5.8	6.1	44.1	14.0	20.	13	8	–	–	1	1	3	–	5	11	–	17	18	12	3	8	17	12	3
Mai	8.0	7.8	7.3	7.7	67.5	17.2	7.	15	8	–	–	1	–	2	–	–	15	6	18	9	9	4	9	24	14	–
Juni	8.0	8.5	8.4	8.3	153.8	24.0	14.	25	17	–	–	–	–	8	–	–	18	2	8	10	8	–	19	23	17	3
Juli	8.2	7.7	8.1	8.0	**204.4**	**38.5**	7.	24	17	–	–	–	–	9	2	1	20	4	14	10	7	1	14	29	12	2
August	4.9	5.7	5.1	5.2	36.2	11.6	9.	12	9	–	–	–	–	2	3	6	10	4	2	16	9	1	8	34	13	6
September	5.7	5.5	5.5	5.6	39.4	22.4	13.	8	5	–	–	–	–	2	1	4	9	4	5	14	7	3	17	19	16	5
Oktober	8.6	8.2	7.3	8.0	94.9	18.7	18.	15	13	4	1	–	–	–	4	–	15	2	17	12	13	2	28	9	9	1
November	9.2	8.1	8.1	8.5	18.0	7.4	22.	16	4	–	–	–	–	–	12	–	20	2	2	24	21	3	19	5	7	7
Dezember					*38*																					
Jahr					890	38.5	7. VII.																			

Neuhof.

h_t = 1.8 m — h_r = 1.0 m

Monat	Bewölkung 7a	2p	9p	Mittel	Niederschlag Summe mm	Tagesmaximum Betrag mm	Tagesmaximum Gemessen am	Zahl der Tage ≧0.1 mm Niederschlag	≧1.0 mm Niederschlag	≧0.1 mm ✳	⊠	△	▲	⊿	≡	heitere	trübe	Windverteilung N	NE	E	SE	S	SW	W	NW	C
Januar	8.3	8.0	7.0	7.8	49.1	10.8	20.	14	10	5	15	–	–	–	5	1	17	–	3	12	27	**15**	**25**	10	1	–
Februar	9.3	8.5	6.0	7.9	40.0	11.8	20.	12	9	–	–	–	–	–	**10**	–	13	5	6	25	20	9	12	4	3	–
März	8.5	8.1	6.3	7.6	45.3	8.4	5.	18	13	8	2	–	–	–	2	1	12	8	13	16	10	5	23	15	3	–
April	5.2	6.1	4.5	5.3	28.7	6.7	10.	10	8	–	–	**3**	–	2	1	6	6	3	**15**	14	19	10	16	5	8	–
Mai	7.8	7.5	6.4	7.2	80.3	12.0	30.	17	12	–	–	1	–	3	–	–	13	5	14	12	11	5	13	15	18	–
Juni	7.0	**8.6**	7.3	7.6	**151.1**	**54.0**	4.	**19**	**15**	–	–	–	–	3	–	–	15	**16**	5	5	12	9	16	16	11	–
Juli	7.6	7.4	**7.7**	7.6	141.5	23.4	16.	**19**	**15**	–	–	–	–	**5**	2	–	18	7	**15**	16	6	–	21	12	16	–
August	4.8	5.6	4.6	5.0	37.2	16.2	8.	7	6	–	–	–	–	3	1	**8**	8	1	14	**48**	13	–	5	6	6	–
September	4.3	5.8	3.5	4.5	45.2	22.0	13.	5	5	–	–	–	–	1	1	**8**	7	–	4	23	**38**	2	11	7	5	–
Oktober	8.0	8.0	6.5	7.5	76.9	13.9	29.	16	12	4	–	–	–	–	3	1	17	15	–	4	14	3	14	18	**25**	–
November	8.8	8.4	6.5	7.9	**22.9**	9.0	22.	9	4	–	–	–	–	–	9	–	15	10	12	12	24	4	10	9	9	–
Dezember	**9.8**	**8.6**	7.6	**8.7**	33.5	8.9	19.	16	9	**12**	**21**	–	–	–	6	–	**23**	7	10	6	5	2	19	**23**	21	–
Jahr	7.5	7.6	6.2	7.1	751.7	54.0	4. VI.	162	118	29	38	4	–	17	40	25	164	77	111	193	199	64	185	140	126	–

Ingolstadt.

h_t = 2.0 m — h_r = 1.0 m

Monat	Bewölkung 7a	2p	9p	Mittel	Niederschlag Summe mm	Tagesmaximum Betrag mm	Tagesmaximum Gemessen am	Zahl der Tage ≧0.1 mm Niederschlag	≧1.0 mm Niederschlag	≧0.1 mm ✳	⊠	△	▲	⊿	≡	heitere	trübe	Windverteilung N	NE	E	SE	S	SW	W	NW	C
Januar	7.6	7.5	6.4	7.2	43.0	9.0	20.	14	12	5	**11**	–	–	–	2	2	13	1	**15**	14	**7**	–	5	47	–	4
Februar	**9.0**	8.1	**7.8**	8.3	30.2	13.4	20.	8	6	1	–	–	–	–	5	–	20	1	12	**28**	–	1	4	37	–	**1**
März	7.3	6.5	6.0	6.6	55.0	8.4	29.	16	15	6	4	**2**	–	2	2	3	10	–	7	16	–	3	2	48	**13**	4
April	3.9	4.5	3.8	4.1	35.3	12.0	17.	10	6	1	–	**2**	–	3	1	9	3	–	7	25	–	2	1	36	7	12
Mai	7.0	6.7	5.8	6.5	71.2	15.0	5.	14	12	–	–	–	1	4	–	4	12	–	7	4	3	1	–	69	2	7
Juni	6.9	8.4	6.7	7.3	**185.0**	**35.8**	14.	19	**17**	–	–	1	1	7	1	2	14	–	–	8	–	1	3	**71**	1	6
Juli	6.9	6.4	6.5	6.6	82.2	20.0	20.	**20**	14	–	–	1	–	**12**	3	4	12	–	3	18	–	1	1	54	–	16
August	3.5	3.9	2.9	3.5	35.2	10.0	8.	8	7	–	–	–	–	3	11	**15**	3	2	–	14	–	**5**	3	37	–	32
September	3.5	3.9	3.0	3.5	25.6	13.2	13.	5	4	–	–	–	1	3	**22**	14	3	–	–	5	–	1	2	46	–	**36**
Oktober	6.2	7.4	5.9	6.5	75.1	15.9	18.	14	13	2	–	–	–	–	10	4	10	1	6	10	1	–	**6**	50	1	18
November	8.4	7.4	7.0	7.6	19.1	6.4	15./22.	9	6	–	–	–	–	–	14	1	14	**5**	4	19	1	–	1	50	–	10
Dezember	8.7	**9.0**	7.4	**8.4**	26.6	6.1	19.	11	9	**9**	3	–	–	–	5	2	**21**	**5**	8	15	–	1	–	63	–	**1**
Jahr	6.6	6.6	5.8	6.3	683.5	35.8	14. VI.	148	121	24	18	6	3	34	76	60	135	15	69	176	12	16	28	608	24	147

Hüll.

h_t = 2.0 m — h_r = 1.3 m

Monat	Bewölkung 7a	2p	9p	Mittel	Niederschlag Summe mm	Tagesmaximum Betrag mm	Tagesmaximum Gemessen am	Zahl der Tage ≧0.1 mm Niederschlag	≧1.0 mm Niederschlag	≧0.1 mm ✳	⊠	△	▲	⊿	≡	heitere	trübe	Windverteilung N	NE	E	SE	S	SW	W	NW	C
Januar																										
Februar																										
März																										
April																										
Mai																										
Juni																										
Juli	6.7	6.3	6.4	6.4	140.0	26.6	20.	19	16	–	–	–	–	10	8	2	9	4	1	2	1	1	5	31	17	31
August	3.7	4.7	3.5	3.9	42.6	9.6	9.	12	8	–	–	–	–	2	3	10	2	–	3	13	4	3	10	16	8	36
September	3.4	4.6	3.7	3.9	53.2	31.0	13.	10	7	–	–	–	–	1	2	9	2	4	–	11	1	–	4	19	3	48
Oktober	6.1	6.7	6.2	6.3	88.9	14.3	22.	15	13	2	–	–	–	–	5	3	13	7	8	10	7	1	9	20	5	26
November	7.3	7.3	6.4	7.0	19.3	7.8	22.	6	5	–	–	–	–	–	4	1	14	3	1	20	11	3	3	17	6	26
Dezember	9.4	8.5	7.9	8.6	19.2	6.5	10.	15	7	13	13	–	–	–	7	–	23	10	–	12	–	1	1	52	–	17
Jahr																										

Alle Angaben nach Ortszeit.

1926

Landshut-Schönbrunn.

$\varphi = 48^{0}\ 33'$ N $\lambda = 12^{0}\ 12'$ E. H = 387.0 m Cg = + 0.2 mm

Monat	Luftdruck auf 0° und Normalschwere reduziert: Mittel mm	Maximum mm	Minimum mm	Lufttemperatur: 7a C°	2p C°	9p C°	Tagesmittel C°	Mittl. Maximum C°	Mittl. Minimum C°	Absol. Maximum C°	Datum	Absol. Minimum C°	Datum	Absolute Feuchtigkeit: 7a mm	2p mm	9p mm	Mittel mm	Relative Feuchtigkeit: 7a Proz.	2p Proz.	9p Proz.	Mittel Proz	Minimum Proz.
Januar	728.7	738.0	718.5	- 2.8	0.9	- 2.2	- 1.6	2.2	- 5.8	8.5	7.	-20.0	23.	3.8	4.2	3.7	3.9	92	82	90	88	56
Februar	727.9	741.2	711.6	1.4	6.7	3.0	3.5	7.6	- 0.2	12.2	25.	- 3.4	1.	4.9	5.7	5.3	5.3	93	77	**91**	87	54
März	728.1	739.3	717.0	1.6	7.2	3.3	3.8	8.2	- 0.3	17.0	29./30./31.	- 5.6	24.	4.8	5.0	5.1	5.0	89	64	85	79	42
April	726.3	736.4	714.6	5.4	15.0	7.4	8.8	16.5	1.6	25.3	30.	- 3.9	13./14.	5.8	6.3	6.1	6.1	86	51	79	72	25
Mai	724.2	731.8	710.3	8.9	16.0	9.8	11.1	17.1	5.3	26.0	16.	- 3.4	10.	7.7	7.6	7.9	7.7	88	56	85	76	25
Juni	726.4	735.2	717.8	11.7	17.1	12.4	13.4	18.7	8.1	27.2	22.	2.6	27.	9.3	9.4	9.5	9.4	89	66	87	81	38
Juli	727.9	732.8	721.9	**14.8**	20.2	**15.6**	**16.6**	22.1	**11.6**	**31.3**	19.	7.4	18.	**11.6**	**11.9**	**11.8**	**11.8**	91	68	88	82	35
August	730.9	735.9	726.8	12.2	**20.9**	14.0	15.3	**22.8**	8.7	29.1	17.	2.6	28.	9.9	10.5	10.4	10.2	92	58	86	79	37
September	**732.1**	737.4	725.3	10.0	20.5	12.6	13.9	21.7	7.5	29.1	11.	1.0	28./29.	9.0	10.2	9.7	9.6	**95**	58	88	80	33
Oktober	726.3	738.4	714.2	5.2	11.9	7.2	7.8	13.5	2.6	21.4	9.	- 5.4	28.	6.4	7.6	7.0	7.0	93	71	90	85	45
November	725.2	738.2	705.0	3.3	8.3	4.2	5.0	9.6	0.5	19.0	21.	- 6.3	29.	5.4	6.5	5.7	5.9	90	78	90	86	55
Dezember	731.2	**742.8**	717.5	- 1.2	0.2	- 1.0	- 0.7	0.9	- 2.9	5.0	11.	-14.6	25.	4.1	4.2	4.1	4.1	92	**86**	**91**	**89**	64
Jahr	727.9	742.8	705.0	5.9	12.1	7.2	8.1	13.4	3.1	31.3	19./VII.	-20.0	23. I.	6.9	7.4	7.3	7.2	91	68	88	82	25

Pfaffenhofen a. Ilm.

$\varphi = 48^{0}\ 32'$ N $\lambda = 11^{0}\ 31'$ E H = 428 m

Januar																						
Februar																						
März																						
April																						
Mai																						
Juni																						
Juli				14.9	19.7	15.5	16.4	21.7	12.0	29.9	19.	8.3	28.	11.4	11.7	11.9	11.7	89	70	89	83	44
August				12.7	20.6	14.6	15.6	22.1	9.7	28.1	17.	4.0	28.	9.9	10.1	10.6	10.2	89	58	85	77	39
September				10.7	20.2	14.1	14.7	21.3	8.7	28.7	11.	0.9	29.	9.1	9.9	10.1	9.7	93	58	84	78	32
Oktober				5.9	11.6	7.7	8.2	13.2	3.8	21.0	15.	- 3.0	20.	6.6	7.4	7.1	7.1	92	72	88	84	49
November				3.8	8.4	4.9	5.5	9.7	1.7	17.0	14.	- 5.4	29.	5.6	6.6	6.1	6.1	92	79	92	88	49
Dezember				- 1.6	- 0.1	- 1.4	- 1.1	0.6	- 3.5	4.9	13.	-14.8	23.	3.9	4.0	3.9	3.9	92	84	89	88	63
Jahr																						

Augsburg.

$\varphi = 48^{0}\ 22'$ N $\lambda = 10^{0}\ 54'$ E H = 495.9 m Cg = + 0.1 mm, über 728.8 mm = + 0.2 mm

Januar	718.9	728.3	708.0	- 1.0	1.9	- 0.5	0.0	2.6	- 2.5	8.0	2.	-13.5	13.	4.0	4.2	4.1	4.1	87	77	89	84	61
Februar	718.2	730.9	701.8	3.0	7.3	4.9	5.0	8.3	1.7	11.8	22.	- 1.1	16.	5.2	6.0	5.9	5.7	**92**	79	**91**	87	59
März	719.0	730.3	707.1	2.1	6.8	4.0	4.2	7.8	0.9	17.0	30.	- 4.2	22.	4.9	5.0	5.3	5.1	90	68	85	81	47
April	717.1	726.7	704.4	6.2	14.3	9.6	9.9	15.9	4.2	25.8	30.	- 0.9	10.	6.0	6.1	6.6	6.2	85	52	74	70	27
Mai	715.2	722.7	699.7	9.0	15.4	11.0	11.6	16.6	7.1	24.3	1.	- 0.2	10.	7.2	7.2	7.6	7.4	83	57	78	73	29
Juni	717.5	726.1	708.7	11.3	16.4	12.9	13.4	19.4	9.1	26.0	22.	6.0	2.	8.6	8.8	9.0	8.8	86	65	82	78	42
Juli	719.1	723.8	713.7	**14.9**	20.2	16.3	**16.9**	22.3	**12.8**	**30.2**	19./24.	8.9	28.	**10.8**	**11.0**	**11.5**	**11.1**	86	64	84	78	41
August	722.1	726.8	717.7	13.0	**20.4**	**16.4**	16.6	**22.4**	11.1	28.5	17.	7.4	28.	9.5	9.8	10.5	9.9	85	57	76	72	35
September	**722.8**	727.5	714.4	12.2	19.7	15.4	15.7	20.8	10.9	27.1	11.	3.4	29.	9.2	9.9	10.3	9.8	86	59	78	75	34
Oktober	717.2	729.2	700.7	6.6	11.6	8.4	8.8	13.1	5.1	20.4	16.	- 1.3	28.	6.7	7.1	7.2	7.0	89	69	85	81	46
November	715.7	728.2	693.7	4.4	8.1	5.3	5.8	9.5	2.9	18.9	14.	- 4.0	27.	5.7	6.4	6.1	6.1	90	79	90	86	45
Dezember	722.1	**733.9**	708.4	- 1.3	0.1	- 0.8	- 0.7	0.9	- 2.7	6.1	13.	-11.0	25.	3.9	4.1	4.0	4.0	91	**86**	89	**89**	63
Jahr	718.7	733.9	693.7	6.7	11.9	8.6	8.9	13.3	5.1	30.2	{19. VII. 24. VII.	-13.5	13. I.	6.8	7.1	7.3	7.1	88	68	83	80	27

Schleissheim.

$\varphi = 48^{0}\ 15'$ N $\lambda = 11^{0}\ 33'$ E H = 495.4 m Cg = + 0.1 mm

Januar	718.9	728.7	708.2	- 2.4	1.4	- 1.8	- 1.2	2.3	- 4.8	8.9	30.	-17.0	23.	3.7	4.2	3.8	3.9	90	80	91	87	55
Februar	718.2	730.9	702.2	1.2	7.2	3.7	4.0	8.2	- 0.4	13.2	21.	- 3.2	9.	4.7	5.8	5.5	5.4	94	78	92	88	49
März	718.8	729.5	707.7	1.5	6.8	3.6	3.9	8.2	- 0.1	17.8	29.	- 5.9	25.	4.8	5.0	5.3	5.0	92	67	87	82	43
April	716.9	726.5	703.7	5.8	14.6	7.9	9.1	15.9	2.0	24.9	30.	- 4.9	14.	5.9	6.2	6.2	6.1	85	52	78	72	23
Mai	715.1	722.6	699.8	9.1	15.0	9.5	10.7	16.4	5.1	24.4	16.	- 4.6	10.	7.5	7.8	7.7	7.7	87	62	85	78	27
Juni																						
Juli																						
August																						
September																						
Oktober																						
November																						
Dezember																						
Jahr																						

Alle Angaben nach Ortszeit.

1926

Landshut-Schönbrunn.

h_t = 2.0 m h_r = 1.2 m

Monat	Bewölkung 7ª	2ᵖ	9ᵖ	Mittel	Niederschlag Summe mm	Tagesmaximum Betrag mm	Gemessen am	Zahl der Tage ≧ 0,1 mm Niederschlag	≧ 1,0 mm	≧ 0,1 mm ✳	⊠	△	▲	⊼	≡	heitere	trübe	Windverteilung N	NE	E	SE	S	SW	W	NW	C
Januar	7.8	7.6	5.9	7.1	45.0	13.0	20.	15	11	5	16	–	–	–	3	2	12	**4**	9	11	3	3	28	17	–	**18**
Februar	8.8	7.6	6.5	7.6	40.1	21.8	20.	11	8	1	4	–	–	–	**7**	1	14	1	9	9	12	3	27	11	3	9
März	7.2	7.5	7.1	7.3	51.6	9.4	1.	16	13	6	2	–	–	–	1	2	16	–	17	8	4	1	28	20	4	11
April	5.2	5.0	3.6	4.6	24.9	5.9	20.	9	7	–	–	–	1	–	–	9	5	**4**	16	**12**	5	**9**	**14**	17	6	7
Mai	6.9	7.0	5.3	6.4	70.5	17.6	30.	15	11	1	–	–	–	2	–	1	10	**4**	16	3	4	4	17	20	15	10
Juni	8.0	7.9	7.1	7.7	**145.5**	**36.6**	4.	18	**16**	–	–	–	1	6	1	–	11	1	8	6	5	3	**36**	22	4	5
Juli	8.0	7.1	7.1	7.4	112.8	13.4	11.	**19**	**16**	–	–	–	–	**10**	–	3	16	–	9	10	5	2	30	17	13	7
August	4.8	5.1	4.0	4.7	41.0	10.4	9.	7	6	–	–	–	–	1	–	**10**	6	–	12	9	4	1	**23**	15	**22**	7
September	5.5	5.2	3.8	4.8	37.4	12.0	13.	8	5	–	–	–	–	1	5	9	5	–	**20**	2	**2**	3	33	6	10	14
Oktober	7.5	7.3	5.5	6.8	94.2	16.5	1.	**19**	13	2	–	2	–	–	2	–	14	3	15	7	**13**	–	27	**9**	3	16
November	**9.1**	7.2	6.6	7.6	**17.3**	10.3	22.	7	3	–	–	–	–	–	**7**	–	16	–	13	11	11	4	22	6	8	15
Dezember	9.0	**9.0**	**8.6**	**8.9**	29.8	7.0	29.	18	7	**15**	**19**	–	–	–	4	1	**25**	3	19	3	–	2	30	**24**	4	8
Jahr	7.3	7.0	5.9	6.7	710.1	36.6	4. VI.	162	116	30	41	2	2	20	30	38	150	20	163	91	68	35	315	184	92	127

Pfaffenhofen a. Ilm.

h_t = 1.9 m h_r = 1.6 m

Monat	Bewölkung 7ª	2ᵖ	9ᵖ	Mittel	Niederschlag Summe mm	Tagesmaximum Betrag mm	Gemessen am	Zahl der Tage ≧ 0,1 mm Niederschlag	≧ 1,0 mm	≧ 0,1 mm ✳	⊠	△	▲	⊼	≡	heitere	trübe	Windverteilung N	NE	E	SE	S	SW	W	NW	C
Januar																										
Februar																										
März																										
April																										
Mai																										
Juni																										
Juli	7.2	7.9	7.3	7.5	137.2	28.7	20.	17	16	–	–	–	–	3	3	1	17	2	4	10	1	2	17	33	4	20
August	3.5	4.4	4.1	3.9	46.6	12.7	7.	8	8	–	–	–	–	4	3	11	3	4	1	8	–	5	10	24	2	39
September	3.8	4.8	3.9	4.2	48.6	29.1	13.	5	5	–	–	–	–	2	5	7	2	1	4	5	–	7	12	12	3	46
Oktober	6.6	6.5	5.6	6.2	85.4	14.6	18.	14	13	2	–	–	–	–	3	3	12	2	7	2	1	12	23	14	6	26
November	7.2	6.7	7.0	6.9	22.8	9.0	22.	6	6	–	–	–	–	–	4	1	11	–	13	6	4	9	12	17	–	29
Dezember	9.5	8.2	9.1	8.9	22.7	5.2	19.	15	7	12	13	–	–	–	2	–	24	3	13	–	–	3	16	36	3	19
Jahr																										

Augsburg.

h_t = 5.9 m h_r = 1.4 m

Monat	Bewölkung 7ª	2ᵖ	9ᵖ	Mittel	Niederschlag Summe mm	Tagesmaximum Betrag mm	Gemessen am	Zahl der Tage ≧ 0,1 mm Niederschlag	≧ 1,0 mm	≧ 0,1 mm ✳	⊠	△	▲	⊼	≡	heitere	trübe	Windverteilung N	NE	E	SE	S	SW	W	NW	C
Januar	7.9	7.8	7.2	7.6	46.1	7.8	20.	15	12	5	13	–	–	–	3	–	14	4	3	9	6	**5**	**25**	21	18	2
Februar	**9.4**	8.3	7.4	8.3	46.1	22.6	20.	9	8	1	–	–	–	–	**10**	1	18	6	9	7	3	1	14	18	**10**	16
März	8.7	8.1	7.5	8.1	62.2	14.7	29.	16	14	4	5	–	–	1	3	1	19	4	**16**	12	3	1	19	14	16	8
April	4.4	5.3	4.1	4.6	28.2	5.7	17.	13	8	–	–	**4**	–	4	–	8	8	2	9	15	7	2	18	5	15	17
Mai	7.6	7.4	7.1	7.4	128.6	37.5	30.	16	13	2	–	1	1	4	–	2	15	9	15	7	3	–	15	10	20	14
Juni	7.6	8.2	8.0	7.9	218.3	**65.5**	4.	**21**	**20**	–	–	1	–	5	1	1	20	5	5	6	**1**	–	16	**24**	23	10
Juli	7.5	7.2	6.6	7.1	**247.4**	54.4	9.	17	16	–	–	–	–	**9**	1	5	17	7	10	6	4	1	10	16	24	15
August	4.7	5.0	3.8	4.5	41.0	13.4	23.	7	7	–	–	–	–	3	3	10	8	4	10	8	**1**	–	15	7	16	32
September	3.3	**4.4**	**3.7**	**3.8**	60.5	28.4	13.	6	5	–	–	–	–	1	1	**12**	**4**	6	8	2	3	1	**7**	11	16	**36**
Oktober	7.1	6.8	6.6	6.8	79.3	15.0	18.	14	13	2	–	1	–	–	4	2	13	7	10	13	4	2	15	15	15	12
November	7.8	7.8	6.9	7.5	22.9	13.7	22.	6	5	–	–	–	–	–	7	–	15	**13**	7	5	**13**	3	14	6	14	15
Dezember	8.9	**9.2**	**8.9**	**9.0**	41.9	8.4	19.	16	12	**15**	**23**	1	–	1	3	–	**23**	5	11	**17**	**1**	–	8	22	**27**	**2**
Jahr	7.1	7.1	6.5	6.9	1022.5	65.5	4. VI.	156	133	29	41	8	1	27	36	42	174	72	113	107	49	16	176	169	214	179

Schleissheim.

h_t = 2.0 m h_r = 1.1 m

Monat	Bewölkung 7ª	2ᵖ	9ᵖ	Mittel	Niederschlag Summe mm	Tagesmaximum Betrag mm	Gemessen am	Zahl der Tage ≧ 0,1 mm Niederschlag	≧ 1,0 mm	≧ 0,1 mm ✳	⊠	△	▲	⊼	≡	heitere	trübe	Windverteilung N	NE	E	SE	S	SW	W	NW	C
Januar	7.9	7.6	7.1	7.5	39.3	6.3	30.	17	14	7	11	1	–	–	3	–	13	–	7	16	6	8	14	26	6	10
Februar	8.5	8.0	7.1	7.8	32.3	13.2	20.	16	7	1	–	1	–	–	10	–	13	1	4	18	5	4	7	23	1	21
März	8.4	8.0	7.1	7.8	38.7	8.0	1.	20	9	12	6	5	–	2	3	–	18	7	11	13	1	–	13	29	8	11
April	5.8	4.8	4.6	5.1	33.7	10.8	20.	12	10	–	–	1	–	4	3	8	8	3	10	14	5	4	9	12	8	25
Mai	7.0	7.4	5.6	6.7	107.7	30.7	30.	16	13	1	–	1	–	7	5	3	12	8	4	4	7	3	17	15	13	22
Juni																										
Juli																										
August																										
September																										
Oktober																										
November																										
Dezember																										
Jahr																										

Alle Angaben nach Ortszeit.

1926

Finsing.

$\varphi = 48^0\ 13'$ N $\lambda = 11^0\ 49'$ E — H = 500.5 m

Monat	Luftdruck auf 0° und Normalschwere reduziert: Mittel mm	Maximum mm	Minimum mm	Lufttemperatur: 7a C°	2p C°	9p C°	Tagesmittel C°	Mittl. Maximum C°	Mittl. Minimum C°	Absol. Maximum C°	Datum	Absol. Minimum C°	Datum	Absolute Feuchtigkeit: 7a mm	2p mm	9p mm	Mittel mm	Relative Feuchtigkeit: 7a Proz.	2p Proz.	9p Proz.	Mittel Proz.	Minimum Proz.
Januar				− 2.2	1.0	− 1.6	− 1.1	2.1	− 4.6	8.1	30.	−15.7	13.	3.8	4.1	3.9	3.9	91	81	**92**	88	62
Februar				1.8	7.0	3.9	4.2	7.8	0.3	11.9	21./22.	− 1.8	öfters	4.9	5.8	5.4	5.4	**94**	79	91	88	52
März				1.7	6.3	3.7	3.8	7.7	0.3	16.9	29.	− 4.8	17.	5.0	4.9	5.3	5.1	93	69	88	83	40
April				6.2	13.9	8.4	9.2	15.1	2.8	23.9	30.	− 2.6	13.	6.1	5.7	6.2	6.0	85	51	76	**71**	18
Mai				9.0	14.3	9.5	10.6	15.4	5.3	24.2	16.	− 3.1	10.	7.4	7.0	7.6	7.3	85	58	84	76	28
Juni				11.4	15.5	11.9	12.7	17.2	8.1	26.0	22.	3.1	27.	8.8	8.6	9.0	8.8	87	67	86	80	36
Juli				**14.7**	19.0	**15.0**	**15.9**	20.7	**11.5**	**29.9**	19.	7.8	29.	**11.0**	**10.8**	**11.5**	**11.1**	88	67	89	81	42
August				13.0	**19.9**	14.5	15.5	**21.4**	9.7	27.9	17.	4.3	29.	9.7	9.9	10.1	9.9	86	58	82	75	41
September				11.4	19.2	13.7	14.5	20.3	9.0	27.3	11.	2.0	29.	9.2	9.6	9.8	9.5	90	59	83	77	35
Oktober				6.1	11.7	8.0	8.5	12.9	4.5	20.4	15./16.	− 2.4	28.	6.4	7.0	7.0	6.8	89	68	85	80	42
November				3.6	8.5	4.8	5.4	9.8	1.3	18.9	21.	− 5.7	29.	5.4	6.2	5.7	5.8	90	75	88	85	34
Dezember				− 1.8	− 0.6	− 1.7	− 1.4	0.4	− 3.5	4.4	13.	−14.1	25.	3.9	4.0	3.8	3.9	93	**88**	90	**90**	67
Jahr				6.2	11.3	7.5	8.2	12.6	3.7	29.9	19 VII	15.7	13. I.	6.8	7.0	7.4	7.0	89	68	86	81	18

München.

$\varphi = 48^0\ 9'$ N $\lambda = 11^0\ 34'$ E — H = 526.4 m Cg = + 0.1 mm

Januar	716.1	725.9	705.3	− 0.7	2.2	− 0.4	0.2	3.1	− 2.7	9.1	2.	−15.0	13.	3.6	3.9	3.8	3.8	79	68	82	77	48
Februar	715.4	728.1	699.5	3.3	7.7	5.4	5.5	8.8	2.3	13.5	22.	− 1.2	14.	4.9	5.5	5.6	5.3	85	71	83	80	45
März	715.9	727.2	704.8	2.6	6.9	4.5	4.6	8.3	1.8	17.8	29.	− 3.1	21.	4.7	4.7	5.1	4.8	84	63	80	76	34
April	714.2	723.7	701.2	7.4	14.7	10.0	10.5	15.8	5.5	25.8	30.	0.2	12.	5.7	5.5	6.1	5.7	**74**	47	68	**63**	22
Mai	712.4	719.6	697.5	10.0	15.1	11.0	11.8	16.2	7.8	24.9	1.	0.6	10.	7.0	6.8	7.6	7.2	76	55	78	69	**21**
Juni	714.7	722.7	705.4	12.0	16.6	13.0	13.6	18.3	9.9	26.1	22.	5.4	4.	8.6	8.3	8.9	8.6	83	61	80	75	35
Juli	716.2	720.9	710.7	**15.5**	20.4	**16.3**	**17.1**	21.7	**13.4**	**30.5**	19.	8.9	28.	**10.9**	**10.3**	**11.2**	**10.8**	82	60	81	74	38
August	719.1	724.0	714.9	14.2	**21.2**	**16.3**	17.0	**22.3**	12.2	27.8	17.	8.1	29.	9.5	9.3	10.4	9.7	79	51	76	69	34
September	**719.9**	724.8	711.9	13.5	20.1	15.6	16.2	20.9	12.2	27.3	12.	5.3	29.	9.5	9.2	9.9	9.5	82	54	74	70	31
Oktober	714.3	726.0	699.5	7.3	12.2	8.8	9.3	13.3	5.9	20.9	15./16.	− 2.2	28.	6.5	6.8	7.1	6.8	84	64	82	77	39
November	712.9	725.8	692.6	4.9	9.1	6.1	6.5	10.3	3.4	18.7	19.	− 4.5	29.	5.6	6.1	5.9	5.9	86	71	84	80	36
Dezember	718.9	**730.7**	705.5	− 1.2	0.1	− 0.8	− 0.7	0.9	− 2.2	5.0	10.	−10.4	24./25.	3.7	3.9	3.8	3.8	**87**	**82**	**86**	**85**	60
Jahr	715.8	730.7	692.6	7.4	12.2	8.8	9.3	13.3	5.8	30.5	19. VII.	−15.0	13. I.	6.7	6.7	7.1	6.8	82	62	80	75	21

München (Botanischer Garten).

$\varphi = 48^0\ 9'$ N $\lambda = 11^0\ 34'$ E — H = ca 515 m

Januar				− 2.0	1.7	− 1.8	− 1.0	3.1	− 4.5	10.1	30.	−14.5	13.	3.8	4.1	3.9	3.9	90	76	**92**	86	53
Februar				1.7	7.7	3.7	4.2	8.6	0.2	14.1	22.	− 1.7	16.	4.9	5.8	5.5	5.4	**94**	75	**92**	87	42
März				1.8	7.0	3.7	4.0	8.8	0.6	19.7	29.	− 4.6	19.	4.9	5.1	5.3	5.1	92	67	87	82	32
April				6.5	14.8	8.3	9.5	16.2	3.0	26.0	30.	− 2.7	13.	6.0	6.0	6.4	6.1	84	50	80	**71**	23
Mai				9.7	15.0	9.3	10.8	16.7	5.6	26.0	16.	− 2.9	10.	7.4	7.5	8.0	7.6	82	61	90	78	**22**
Juni				11.8	16.6	11.8	13.0	18.6	8.7	26.4	22.	3.4	2./27.	9.0	9.1	9.4	9.1	87	67	91	81	37
Juli				**15.3**	20.2	**14.9**	**16.3**	22.0	**12.2**	**31.9**	19.	8 6	28./29.	**11.1**	**10.9**	**11.6**	**11.2**	85	64	91	80	37
August				13.5	**21.6**	14.1	15.8	**22.8**	9.8	29.3	17.	4.7	28.	10.0	10.0	10.8	10.3	86	54	90	77	39
September				11.7	20.6	13.0	14.6	21.5	9.2	29.0	11.	2.2	29.	9.5	9.7	10.2	9.8	92	56	01	79	30
Oktober				6.1	12.4	7.3	8.3	13.6	4.1	21.1	15./16.	− 4.1	20.	6.5	7.2	7.1	6.9	90	67	89	82	41
November				2.9	8.9	4.5	5.2	10.3	1.0	19.0	1.	− 6.9	29.	5.3	6.3	5.7	5.8	93	74	90	86	34
Dezember				− 1.9	0.2	− 1.7	1.4	0.5	− 3.8	6.1	13.	−13.7	25.	3.8	4.1	3.9	3.9	**94**	**88**	**92**	**91**	66
Jahr				6.7	12.2	7.5	8.5	13.6	3.8	31.9	19. VII.	−14.5	13. I.	6.9	7.2	7.3	7.1	89	67	90	82	22

St. Ottilien.

$\varphi = 48^0\ 6'$ N $\lambda = 11^0\ 1'$ E — H = ca 580 m

Januar				− 2.1	1.4	− 1.7	− 1.0	3.1	− 4.6	9.4	30.	−15.7	13.	3.6	4.2	3.8	3.9	84	75	85	81	56
Februar				2.0	7.3	4.3	4.5	8.9	0.2	14.2	22.	− 2.7	14.	4.9	6.2	5.7	5.6	90	81	89	87	50
März				1.6	5.9	3 7	3.7	7.7	0.1	17.9	29.	− 4.7	25.	4.9	5.2	5.3	5.1	91	72	84	82	40
April				5.3	13.9	9.2	9.4	15.0	2.5	25.5	30.	− 2.5	13.	5.8	7.1	6.6	6.5	86	62	75	74	26
Mai				7.9	14.0	10 5	10.7	15.6	5.2	23.9	1.	− 4.0	10.	7.2	7.9	7.7	7.6	89	66	82	79	30
Juni				10.2	15.4	12.0	12.4	17.4	8.0	25.8	22.	2.2	2.	8.8	10.4	9.9	9.7	**93**	80	92	88	58
Juli				**13.7**	19.1	**15.2**	**15.8**	20.9	**11.6**	30.3	19.	8.1	1./29.	**10.6**	11.7	**11.6**	**11.3**	91	72	89	84	46
August				12.3	**20.6**	14.9	15.7	**22.0**	9.6	**30.5**	17.	5.6	24.	9.7	11.0	10.8	10.5	89	61	84	78	41
September				11.3	19.7	14.2	14.8	20.9	8.8	28.0	11.	1.0	29.	9.5	**12.0**	11.0	10.8	**93**	70	90	84	52
Oktober				6.1	11.7	7.6	8.2	13.4	3.8	24.0	8.	− 3.5	28.	6.4	7.7	7.1	7.1	88	73	88	83	45
November				3.0	8.8	4.6	5.2	10.6	0.7	19.3	17.	− 6.7	29.	5.3	6.1	5.8	5.7	91	73	90	84	41
Dezember				− 2.2	− 0.6	− 1.7	− 1.6	0.4	− 3.8	10.0	13.	−12.3	24.	3.7	3.9	3.8	3.8	92	**88**	**93**	**91**	56
Jahr				5.8	11.4	7.7	8.2	13.0	3.5	30.5	17.VIII.	−15.7	13. I.	6.7	7.8	7.4	7.3	90	73	87	83	26

Alle Angaben nach Ortszeit.

1926

Finsing.

h_t = 1.8 m, h_r = 1.1 m

Monat	Bewölkung 7a	2p	9p	Mittel	Niederschlag Summe mm	Tagesmaximum Betrag mm	Gemessen am	≧0.1 mm Niederschlag	≧1.0 mm Niederschlag	≧0.1 mm ✳	⊞	△	▲	⊼	≡	heitere	trübe	Windverteilung N	NE	E	SE	S	SW	W	NW	C
Januar	7.4	7.4	6.3	7.0	45.9	7.0	20.	15	14	5	14	–	–	–	2	–	9	1	3	22	4	10	9	38	3	3
Februar	8.0	8.1	7.4	7.8	38.2	20.0	20.	11	7	–	–	–	–	–	8	–	15	–	–	25	7	12	7	25	1	7
März	8.4	7.6	7.5	7.8	42.0	13.2	1.	17	9	9	2	–	–	?	3	–	18	1	3	17	5	11	7	39	2	8
April	5.1	5.4	4.7	5.0	41.1	14.6	20.	11	9	–	–	–	–	4	2	7	7	1	4	20	12	14	8	21	1	9
Mai	6.9	7.0	5.8	6.6	90.3	25.5	30.	16	12	–	–	–	–	5	2	3	14	3	1	12	11	13	4	32	5	12
Juni	7.5	7.4	7.6	7.5	179.3	38.5	4.	19	17	–	–	–	–	4	3	1	16	1	2	14	3	6	12	41	6	5
Juli	7.8	7.0	7.2	7.3	228.3	71.2	9.	21	20	–	–	–	–	4	2	2	14	1	2	16	4	5	10	42	6	7
August	4.1	4.4	4.1	4.2	60.6	14.3	18.	11	9	–	–	–	–	3	2	12	2	–	1	24	3	9	7	34	5	10
September	4.8	5.1	2.8	4.2	32.9	9.3	27.	6	6	–	–	–	–	2	10	9	4	5	–	12	13	15	4	29	4	8
Oktober	7.3	6.4	4.9	6.2	72.8	16.3	18.	16	14	3	–	–	–	–	4	–	9	3	1	19	8	19	5	29	4	5
November	7.2	6.6	5.6	6.5	16.7	11.5	22.	7	4	–	–	–	–	–	5	2	10	3	2	26	11	16	3	17	2	10
Dezember	8.7	8.6	9.0	8.8	41.1	11.0	22.	18	11	15	18	1	–	–	11	–	24	3	1	15	6	8	4	51	2	3
Jahr	6.9	6.8	6.1	6.6	889.2	71.2	9. VII.	168	132	32	34	1	–	22	54	36	142	22	20	222	87	138	80	398	41	87

München.

h_t = 8.4 m, h_r = 1.4 m

Monat	Bewölkung 7a	2p	9p	Mittel	Niederschlag Summe mm	Tagesmaximum Betrag mm	Gemessen am	≧0.1 mm Niederschlag	≧1.0 mm Niederschlag	≧0.1 mm ✳	⊞	△	▲	⊼	≡	heitere	trübe	Windverteilung N	NE	E	SE	S	SW	W	NW	C
Januar	8.2	7.8	6.9	7.6	39.8	5.6	30.	17	10	8	10	3	–	–	6	1	18	–	3	13	9	13	26	18	1	10
Februar	8.8	7.8	7.6	8.1	39.2	16.7	20.	16	8	1	–	–	–	–	13	–	15	1	5	10	8	12	12	19	–	17
März	8.5	7.9	7.7	8.0	41.5	10.5	1.	16	11	8	2	2	1	–	3	–	21	1	15	6	4	6	24	22	6	9
April	5.5	5.4	4.9	5.3	33.5	11.2	20.	12	9	–	–	2	–	3	1	6	9	2	9	14	8	6	25	7	7	12
Mai	6.9	7.9	6.0	6.9	123.7	39.9	30.	17	11	1	–	1	1	10	–	1	14	2	4	6	8	8	23	18	12	12
Juni	7.9	8.0	8.3	8.1	218.9	38.7	4.	23	23	–	–	1	1	5	–	–	18	6	1	7	5	3	32	18	5	13
Juli	7.5	7.4	7.2	7.4	233.5	59.6	9.	20	18	–	–	–	–	9	–	1	17	6	1	10	3	3	30	21	5	14
August	4.7	5.0	5.0	4.9	55.3	11.3	8.	11	10	–	–	–	2	6	2	8	8	3	8	9	5	6	27	10	10	15
September	5.3	5.3	4.8	5.1	51.0	18.8	4.	6	6	–	–	–	–	1	7	8	7	2	1	7	8	5	26	8	9	24
Oktober	7.6	6.9	6.0	6.8	89.4	18.5	24.	15	13	3	–	2	–	–	4	–	11	3	7	9	12	14	17	13	6	12
November	8.1	7.0	6.9	7.3	25.3	17.5	22.	6	6	–	–	–	–	–	13	–	14	–	2	17	16	7	12	16	3	17
Dezember	9.3	9.2	8.9	9.1	44.8	7.0	22.	21	13	17	14	3	–	–	9	–	24	5	2	11	2	5	26	23	9	10
Jahr	7.4	7.1	6.7	7.1	995.9	59.6	9. VII.	180	138	38	26	14	5	34	58	25	176	31	58	119	88	88	280	193	73	165

München (Botanischer Garten).

h_t = 1.4 m, h_r = 1.5 m

Monat	Bewölkung 7a	2p	9p	Mittel	Niederschlag Summe mm	Tagesmaximum Betrag mm	Gemessen am	≧0.1 mm Niederschlag	≧1.0 mm Niederschlag	≧0.1 mm ✳	⊞	△	▲	⊼	≡	heitere	trübe	Windverteilung N	NE	E	SE	S	SW	W	NW	C
Januar	7.4	7.5	6.4	7.1	42.5	6.1	30.	18	12	9	12	1	–	–	4	2	14	3	7	13	1	2	9	34	3	21
Februar	8.4	7.9	7.4	7.9	37.5	16.2	20.	12	8	1	–	2	–	–	10	–	17	1	6	10	5	5	4	30	–	23
März	8.9	7.8	7.5	8.1	47.6	8.9	1.	20	12	13	2	1	–	–	5	–	20	8	9	11	1	5	4	39	2	14
April	5.2	5.3	4.2	4.9	50.5	14.5	27.	12	10	–	–	3	1	4	1	9	7	7	8	10	1	9	13	20	2	20
Mai	6.8	7.7	5.9	6.8	129.7	37.1	30.	18	13	1	–	3	–	7	–	2	15	9	8	5	1	2	11	34	2	21
Juni	7.7	7.5	7.9	7.7	209.4	43.1	4.	24	20	–	–	1	–	6	1	1	17	6	6	5	2	6	16	32	3	14
Juli	7.6	7.1	7.0	7.2	270.2	53.4	9.	22	20	–	–	–	–	10	1	3	15	7	5	6	3	3	9	40	5	15
August	4.5	4.3	4.0	4.2	50.6	13.5	9.	11	8	–	–	–	–	5	2	9	3	2	5	14	–	5	12	35	3	17
September	5.0	5.2	4.0	4.8	37.1	10.7	27.	7	6	–	–	–	–	1	3	9	6	2	7	7	3	2	14	17	7	31
Oktober	7.3	6.6	6.1	6.6	96.8	19.8	24.	15	14	3	–	2	1	–	2	1	11	6	11	7	7	4	15	23	3	17
November	7.4	6.9	6.6	7.0	25.9	17.8	22.	11	5	–	–	–	–	–	5	1	12	5	12	12	9	4	9	17	2	20
Dezember	9.1	9.0	8.6	8.9	39.8	7.7	21.	20	11	16	20	–	–	–	2	–	24	4	4	9	5	–	3	52	4	12
Jahr	7.1	6.9	6.3	6.8	1037.6	58.4	9. VII.	190	139	43	34	13	2	33	36	37	161	60	88	109	38	47	119	373	36	225

St. Ottilien.

h_t = 2.2 m, h_r = 1.5 m

Monat	Bewölkung 7a	2p	9p	Mittel	Niederschlag Summe mm	Tagesmaximum Betrag mm	Gemessen am	≧0.1 mm Niederschlag	≧1.0 mm Niederschlag	≧0.1 mm ✳	⊞	△	▲	⊼	≡	heitere	trübe	Windverteilung N	NE	E	SE	S	SW	W	NW	C
Januar	6.7	7.2	5.8	6.6	32.3	7.1	30.	15	7	8	14	2	–	–	10	2	12	1	13	11	1	5	21	30	4	7
Februar	8.3	7.1	6.7	7.4	28.8	10.6	20.	12	8	–	–	–	–	–	12	1	12	1	11	8	5	9	17	20	–	13
März	8.6	7.5	6.8	7.6	43.7	8.2	29.	13	11	8	7	–	–	–	6	1	16	2	24	14	2	2	5	38	4	2
April	4.4	4.7	4.3	4.5	46.5	10.5	27.	11	10	–	–	–	–	3	1	9	4	4	15	19	5	5	15	14	4	9
Mai	6.1	6.7	6.3	6.4	129.7	64.8	30.	16	14	–	–	–	1	6	1	4	12	6	6	17	7	6	10	31	5	5
Juni	7.6	7.1	6.8	7.1	216.3	42.2	4.	21	20	–	–	–	–	4	1	–	12	9	8	2	–	–	–	46	20	5
Juli	7.5	6.4	6.1	6.7	159.5	42.0	20.	21	19	–	–	–	–	4	2	3	12	5	14	5	1	1	7	35	10	15
August	4.7	4.0	3.8	4.2	50.2	11.3	9.	10	8	–	–	–	–	5	4	11	5	2	12	15	4	–	8	22	14	16
September	5.5	5.1	3.4	4.7	37.4	17.2	27.	8	6	–	–	–	–	?	12	7	5	11	6	10	1	1	1	25	12	23
Oktober	7.5	6.5	5.6	6.5	88.8	20.3	24.	15	10	1	–	–	–	–	5	2	13	9	10	1	1	1	8	31	11	21
November	6.8	5.9	5.1	5.9	36.4	21.2	22.	12	6	–	–	–	–	–	8	2	7	5	19	3	1	–	3	22	15	22
Dezember	8.8	8.9	8.0	8.6	36.5	8.0	30.	20	14	15	23	–	–	–	5	1	23	6	5	13	–	2	3	55	4	5
Jahr	6.9	6.4	5.7	6.3	906.1	64.8	30. V.	174	133	33	44	2	1	22	67	43	133	61	143	118	28	32	98	369	103	143

Alle Angaben nach Ortszeit.

1926

Landsberg a. Lech.

$\varphi = 48^0\ 3'$ N $\lambda = 10^0\ 52'$ E — H = 636.8 m

Monat	Luftdruck auf 0° und Normalschwere reduziert: Mittel mm	Maximum mm	Minimum mm	Lufttemperatur: 7a C°	2p C°	9p C°	Tagesmittel C°	Mittl. Maximum C°	Mittl. Minimum C°	Absol. Maximum C°	Datum	Absol. Minimum C°	Datum	Absolute Feuchtigkeit: 7a mm	2p mm	9p mm	Mittel mm	Relative Feuchtigkeit: 7a Proz.	2p Proz.	9p Proz.	Mittel Proz.	Minimum Proz.
Januar				− 1.7	1.2	− 1.5	− 0.9	2.7	− 4.4	11.1	29.	−15.7	13.	3.9	4.3	3.9	4.0	89	79	88	85	38
Februar				2.8	7.2	4.3	4.7	8.6	1.4	13.6	22.	− 2.0	15.	5.1	6.1	5.6	5.6	91	80	91	87	55
März				1.6	5.8	3.2	3.5	7.2	− 0.4	17.2	29.	− 6.8	21.	4.8	5.0	5.2	5.0	92	73	87	84	47
April				5.5	13.3	8.2	8.8	14.8	3.7	25.1	30.	− 3.1	13.	5.8	6.7	6.3	6.3	85	59	78	74	32
Mai				8.1	14.1	9.2	10.2	15.8	5.6	23.5	1.	0.0	8./10.	7.1	7.2	7.5	7.2	86	61	86	78	28
Juni				10.5	15.8	11.3	12.2	18.3	8.3	24.6	21./22.	3.1	4.	8.6	9.3	8.9	8.9	90	71	89	84	47
Juli				**13.8**	19.2	**14.6**	**15.6**	21.5	**11.9**	**31.7**	24.	7.0	1.	**10.6**	**11.8**	**11.4**	**11.3**	90	72	92	85	44
August				12.0	**20.0**	14.1	15.1	**22.1**	10.1	28.2	17.	6.0	2./29.	9.8	10.2	10.8	10.3	93	58	90	80	35
September				11.7	18.9	13.5	14.4	20.5	9.5	26.2	4.	3.1	24.	9.5	9.5	10.2	9.7	91	59	87	79	40
Oktober				6.2	11.0	7.5	8.1	12.9	3.7	18.9	7.	− 3.8	28.	6.7	7.6	7.1	7.1	92	75	89	86	53
November				3.8	8.3	4.9	5.5	9.9	1.7	17.4	19.	− 6.3	29.	5.4	6.4	5.8	5.8	89	78	89	85	35
Dezember				− 2.3	− 0.7	− 1.6	− 1.6	0.4	− 3.2	5.5	13.	−12.1	25.	3.8	4.0	3.9	3.9	**95**	**90**	**94**	**93**	60
Jahr				6.0	11.2	7.3	8.0	12.9	4.0	31.7	24. VII.	−15.7	13. I.	6.8	7.3	7.2	7.1	90	71	88	83	28

Trostberg.

$\varphi = 48^0\ 1'$ N $\lambda = 12^0\ 34'$ E — H = 491.2 m Cg = + 0.2 mm

Monat	Luftdruck: Mittel mm	Maximum mm	Minimum mm	Lufttemperatur: 7a C°	2p C°	9p C°	Tagesmittel C°	Mittl. Maximum C°	Mittl. Minimum C°	Absol. Maximum C°	Datum	Absol. Minimum C°	Datum	Absolute Feuchtigkeit: 7a mm	2p mm	9p mm	Mittel mm	Relative Feuchtigkeit: 7a Proz.	2p Proz.	9p Proz.	Mittel Proz.	Minimum Proz.
Januar	719.3	729.2	708.4	− 1.7	1.5	− 1.4	− 0.7	2.5	− 4.6	8.2	3.	−16.1	23.	3.8	4.3	3.9	4.0	90	83	92	**89**	61
Februar	718.6	731.2	702.4	1.7	7.1	3.3	3.8	7.9	0.2	12.6	22.	− 1.6	8./9./27.	5.0	5.7	5.3	5.3	**95**	76	92	88	51
März	718.9	730.0	707.7	2.0	6.9	4.0	4.2	8.1	0.7	17.6	29.	− 4.2	19./25.	4.8	5.0	5.3	5.0	90	67	85	81	38
April	717.3	727.1	704.7	6.3	14.3	7.8	9.0	15.8	2.9	24.9	30.	− 2.1	14.	5.9	5.9	6.2	6.0	83	51	79	71	24
Mai	715.4	722.9	701.3	9.8	15.3	10.2	11.4	16.6	5.6	25.5	1.	− 2.3	10.	7.4	7.5	7.9	7.6	82	59	84	75	26
Juni	717.6	725.9	708.5	12.4	16.8	12.5	13.5	18.2	8.6	26.5	13.	4.0	27./28.	9.1	8.9	9.1	9.0	85	64	84	78	34
Juli	719.2	723.8	713.1	**15.2**	19.9	**15.9**	**16.7**	21.4	**11.5**	**30.9**	19.	6.4	1.	**11.1**	**11.1**	**11.4**	**11.2**	86	65	84	79	40
August	722.1	726.9	718.0	13.8	**21.0**	15.0	16.2	**22.2**	10.0	28.1	17./26.	4.8	29.	10.0	9.9	10.9	10.3	85	55	85	75	34
September	**723.0**	728.1	715.2	11.6	19.5	13.8	14.7	20.6	9.5	27.5	12.	4.2	28.	9.3	9.7	10.2	9.7	91	59	86	79	33
Oktober	717.4	729.1	702.4	6.3	12.1	8.1	8.7	13.1	4.4	21.1	15./16.	− 3.6	20.	6.5	7.5	7.3	7.1	90	70	88	83	42
November	716.2	729.3	696.1	3.5	8.7	4.4	5.3	10.0	1.4	19.8	14.	− 6.0	29.	5.5	6.6	5.9	6.0	92	77	**93**	87	51
Dezember	721.9	**733.9**	708.4	− 1.3	0.3	− 0.9	− 0.7	1.1	− 2.9	4.6	10.	−14.0	25.	3.9	4.1	4.0	4.0	90	**86**	91	**89**	61
Jahr	718.9	733.9	696.1	6.6	12.0	7.7	8.5	13.1	4.2	30.9	19. VII.	−16.1	23. I.	6.9	7.2	7.3	7.1	88	68	87	81	24

Ottobeuren.

$\varphi = 47^0\ 56'$ N $\lambda = 10^0\ 18'$ E — H = 668.7 m Cg = + 0.1 mm

Monat	Luftdruck: Mittel mm	Maximum mm	Minimum mm	Lufttemperatur: 7a C°	2p C°	9p C°	Tagesmittel C°	Mittl. Maximum C°	Mittl. Minimum C°	Absol. Maximum C°	Datum	Absol. Minimum C°	Datum	Absolute Feuchtigkeit: 7a mm	2p mm	9p mm	Mittel mm	Relative Feuchtigkeit: 7a Proz.	2p Proz.	9p Proz.	Mittel Proz.	Minimum Proz.
Januar	704.0	712.8	692.1	− 1.8	0.9	− 1.5	− 0.9	2.2	− 4.0	12.0	2.	−15.9	13.	3.7	4.1	3.8	3.9	87	81	88	85	50
Februar	703.5	714.5	687.7	2.8	7.0	4.3	4.6	7.8	1.1	12.2	22.	− 3.0	16.	4.9	5.7	5.4	5.3	87	77	86	83	44
März	704.3	715.7	693.6	1.4	5.5	3.0	3.2	6.8	0.1	16.1	29.	− 4.9	21.	4.8	5.1	5.0	5.0	**93**	75	87	85	39
April	702.5	711.1	688.8	6.1	12.9	8.0	8.7	13.9	3.0	23.9	30.	− 2.7	13.	5.8	6.7	6.6	6.4	83	62	83	76	29
Mai	**701.0**	707.7	685.8	9.0	13.3	9.4	10.2	14.5	5.1	23.1	1.	− 3.2	10.	7.3	7.6	7.5	7.5	85	68	86	80	41
Juni	703.5	710.8	697.8	10.9	15.1	11.5	12.2	17.0	7.9	23.6	22.	3.0	27.	8.5	8.8	9.0	8.8	88	70	89	82	39
Juli	704.7	708.8	700.4	**14.6**	18.4	14.9	15.7	20.1	**11.6**	**27.4**	19.	7.7	29.	**10.9**	**11.5**	**11.3**	**11.3**	88	74	89	84	50
August	707.5	712.4	704.2	14.0	**19.4**	**15.0**	**15.8**	**21.1**	10.1	26.6	17.	5.7	30.	9.9	10.5	10.6	10.3	83	64	83	77	46
September	**708.5**	713.3	701.5	12.6	18.9	13.8	14.8	19.5	9.5	25.6	1.	2.2	29.	9.5	10.6	10.5	10.2	87	65	88	80	44
Oktober	702.9	713.7	687.7	6.6	10.9	7.9	8.3	12.2	4.0	18.3	8.	− 4.9	28.	6.7	7.5	7.1	7.1	88	76	88	84	48
November	701.4	713.5	680.3	4.0	8.4	4.7	5.4	9.7	1.3	19.1	19.	− 6.8	29.	5.5	6.3	5.7	5.9	89	76	89	85	44
Dezember	707.1	**718.0**	694.3	− 2.2	− 1.2	− 2.2	− 1.9	0.0	− 4.2	6.7	13.	−12.0	25./26.	3.7	3.8	3.7	3.7	92	**88**	**91**	**90**	49
Jahr	704.2	718.0	680.3	6.5	10.8	7.4	8.0	12.1	3.8	27.4	19. VII.	−15.9	13. I.	6.8	7.4	7.2	7.1	88	73	87	83	29

Traunstein.

$\varphi = 47^0\ 52'$ N $\lambda = 12^0\ 39'$ E — H = 597 m Cg = + 0.1 mm

Monat	Luftdruck: Mittel mm	Maximum mm	Minimum mm	Lufttemperatur: 7a C°	2p C°	9p C°	Tagesmittel C°	Mittl. Maximum C°	Mittl. Minimum C°	Absol. Maximum C°	Datum	Absol. Minimum C°	Datum	Absolute Feuchtigkeit: 7a mm	2p mm	9p mm	Mittel mm	Relative Feuchtigkeit: 7a Proz.	2p Proz.	9p Proz.	Mittel Proz.	Minimum Proz.
Januar	710.2	720.4	699.1	− 1.7	1.8	− 1.5	− 0.8	2.7	− 3.9	10.0	28.	−16.4	13.	3.5	3.6	3.6	3.6	82	67	85	78	51
Februar	709 8	722.1	693.3	2.2	7.8	3.8	4.4	8.5	1.0	15.2	3.	− 1.4	16.	4.7	5.2	5.3	5.1	88	68	88	81	33
März	710.0	721.4	699.1	1.9	6.2	3.2	3.6	7.5	0.3	17.4	29.	− 3.8	19.	4.5	4.7	4.9	4.7	85	66	83	78	37
April	708.7	718.2	696.2	6.9	13.7	7.9	9.1	16.0	3.9	25.0	30.	− 0.8	12.	5.6	5.6	6.2	5.8	76	50	78	68	19
Mai	706.8	714.5	693.9	9.6	14.5	9.5	10.8	16.5	6.3	25.8	1.	− 0.6	10.	7.0	7.1	7.5	7.2	78	60	84	74	24
Juni	709.2	717.5	700.2	11.4	16.1	11.4	12.6	18.6	8.4	27.0	13.	5.0	28.	8.7	8.8	8.8	8.7	86	66	87	80	39
Juli	710.9	716.0	705.4	**15.1**	19.0	**15.0**	**16.0**	20.9	**12.2**	**31.0**	19.	7.9	28.	**11.0**	**11.3**	**11.6**	**11.3**	86	71	91	83	38
August	713.8	718.5	709.8	14.1	**20.1**	14.2	15.6	**22.0**	10.7	28.4	26.	5.9	29.	10.1	10.1	11.0	10.4	85	59	91	78	37
September	**714.6**	719.8	707.1	12.2	18.7	13.4	14.4	20.7	10.2	28.0	12.	4.8	28.	9.9	10.9	10.6	10.5	**93**	68	**92**	84	47
Oktober	708.9	720.6	693.1	6.4	11.9	7.9	8.5	13.1	4.4	20.1	15./16.	− 4.0	28.	6.4	7.2	7.2	6.9	87	68	88	81	45
November	707.6	720.8	688.0	4.3	9.3	4.6	5.7	10.7	1.9	21.0	14.	− 5.5	29.	5.4	6.3	5.6	5.8	88	72	89	83	24
Dezember	713.1	**725.1**	699.9	− 2.0	− 0.3	− 1.3	− 1.2	0.9	− 3.4	5.4	13.	−15.1	25.	3.7	3.9	3.8	3.8	90	**84**	88	**87**	52
Jahr	710.3	725.1	688.0	6.7	11.6	7.3	8.2	13.2	4.3	31.0	19. VII.	−16.4	13. I.	6.7	7.1	7.2	7.0	85	67	87	80	19

Alle Angaben nach Ortszeit.

1926

Landsberg a. Lech.

h_t = 4.5 m — h_r = 1.0 m

Monat	Bewölkung 7a	2p	9p	Mittel	Niederschlag Summe mm	Tagesmaximum Betrag mm	Gemessen am	Zahl der Tage ≧0,1 mm Niederschlag	≧1,0 mm	≧0,1 mm ✳	⊠	△	▲	⊿	≡	heitere	trübe	Windverteilung N	NE	E	SE	S	SW	W	NW	C
Januar	7.3	6.7	5.4	6.5	37.3	? 14.5	? 20.	18	13	11	18	–	–	–	3	2	8	–	–	27	3	2	14	46	–	1
Februar	**8.9**	7.1	6.7	7.5	25.1	8.7	20.	14	8	1	–	–	–	–	–	–	13	–	–	24	5	9	8	37	–	1
März	8.4	8.0	7.1	7.8	48.4	6.8	29.	15	12	7	5	–	1	–	2	1	18	–	–	34	2	3	4	**50**	–	–
April	4.8	4.9	4.3	4.7	49.7	10.4	10.	14	10	2	–	2	–	4	1	**10**	5	–	4	34	8	**1**	12	31	–	–
Mai	6.8	7.8	6.0	6.9	118.8	**56.3**	30.	19	16	2	–	**3**	–	**7**	–	2	13	–	1	16	11	4	21	36	1	**3**
Juni	8.5	7.5	7.8	7.9	**209.3**	44.5	4.	**24**	**24**	–	–	–	–	6	1	–	18	–	1	26	4	4	15	39	–	1
Juli	7.5	7.0	**7.9**	7.5	196.3	46.7	8.	19	16	–	–	–	–	4	**4**	2	15	–	–	31	4	7	10	41	–	–
August	4.8	3.8	4.2	4.3	60.4	17.6	19.	10	9	–	–	–	**2**	4	1	**10**	7	–	–	**41**	5	13	9	24	–	1
September	5.4	4.5	3.2	4.4	21.4	8.7	27.	7	5	–	–	–	–	–	–	**10**	6	1	5	37	**1**	**16**	**1**	29	–	–
Oktober	7.1	7.0	5.7	6.6	90.0	21.9	24.	14	10	1	–	–	–	–	2	1	12	–	2	28	18	6	26	13	–	–
November	6.9	6.9	5.2	6.3	39.0	24.1	22.	**7**	5	–	–	–	–	–	**4**	3	7	–	–	15	**32**	7	**31**	5	–	–
Dezember	8.6	**8.9**	7.8	**8.5**	42.8	9.3	22.	14	13	**13**	**19**	–	–	–	3	2	**23**	1	**14**	16	11	**1**	19	31	–	–
Jahr	7.1	6.7	5.9	6.6	938.5	56.3	30. V.	175	141	37	42	5	3	25	21	43	145	2	27	329	104	73	170	382	1	7

Trostberg.

h_t = 2.0 m — h_r = 1.6 m

Monat	Bewölkung 7a	2p	9p	Mittel	Niederschlag Summe mm	Tagesmaximum Betrag mm	Gemessen am	Zahl der Tage ≧0,1 mm Niederschlag	≧1,0 mm	≧0,1 mm ✳	⊠	△	▲	⊿	≡	heitere	trübe	Windverteilung N	NE	E	SE	S	SW	W	NW	C
Januar	8.4	8.4	7.0	7.9	50.1	11.0	6.	17	12	12	10	–	–	–	7	–	18	1	4	4	–	3	15	28	3	35
Februar	8.5	7.6	7.1	7.8	61.7	29.0	20.	13	8	–	–	–	–	–	**10**	1	16	–	4	2	–	2	15	16	4	41
März	8.4	7.8	6.8	7.7	88.4	20.0	9.	16	12	10	2	2	1	1	–	–	18	1	**17**	3	2	1	13	30	**1**	25
April	5.4	5.3	4.0	4.9	27.8	7.2	11.	10	7	–	–	–	–	1	–	**11**	9	**5**	11	**6**	**6**	–	11	16	6	29
Mai	6.6	7.9	6.3	6.9	145.3	**41.2**	7.	14	13	–	–	–	–	2	–	2	14	4	5	–	3	**7**	14	23	5	32
Juni	7.7	7.5	7.2	7.4	160.0	26.2	26.	**22**	**21**	–	–	–	–	1	–	3	17	4	4	1	2	2	16	25	6	30
Juli	8.1	7.9	7.6	7.8	**191.5**	25.0	28.	21	19	–	–	–	–	**7**	–	2	18	2	8	2	4	4	13	**36**	5	19
August	4.4	5.5	4.0	4.6	92.3	26.5	1.	11	11	–	–	–	–	1	1	**11**	**7**	3	4	3	2	1	11	18	**16**	35
September	6.0	5.1	3.3	4.8	40.2	9.5	27.	8	7	–	–	–	–	1	3	9	8	–	7	3	2	1	9	18	9	41
Oktober	6.9	6.6	5.5	6.3	90.1	22.6	1.	14	12	3	–	–	–	–	3	2	12	2	7	2	3	–	15	9	7	48
November	6.5	6.0	6.2	6.2	**27.5**	16.6	22.	5	4	1	–	–	–	–	9	3	11	1	6	5	–	2	**7**	17	1	**51**
Dezember	**9.4**	**8.5**	**9.0**	**9.0**	60.6	13.0	10.	20	9	**16**	**16**	–	–	–	7	–	**25**	**5**	3	**6**	1	1	**20**	27	2	28
Jahr	7.2	7.0	6.2	6.8	1035.5	41.2	7. V.	171	135	42	28	2	1	14	40	44	173	28	80	37	25	24	159	263	65	414

Ottobeuren.

h_t = 8.7 m — h_r = 2.0 m

Monat	Bewölkung 7a	2p	9p	Mittel	Niederschlag Summe mm	Tagesmaximum Betrag mm	Gemessen am	Zahl der Tage ≧0,1 mm Niederschlag	≧1,0 mm	≧0,1 mm ✳	⊠	△	▲	⊿	≡	heitere	trübe	Windverteilung N	NE	E	SE	S	SW	W	NW	C
Januar	7.7	7.8	6.7	7.4	65.0	7.6	18.	**24**	16	**15**	14	1	–	–	3	2	16	8	8	5	8	14	33	10	5	2
Februar	7.6	8.3	6.3	7.4	27.3	9.4	20.	1	7	1	–	1	–	–	7	1	13	5	6	7	12	15	23	12	4	–
März	**8.6**	8.6	6.8	8.0	53.1	10.3	29.	15	12	11	5	–	–	–	9	2	19	**9**	11	5	2	**19**	24	9	10	**4**
April	5.2	6.2	4.0	5.1	59.5	17.4	27.	13	11	4	–	**3**	1	3	–	9	8	1	15	6	12	12	32	4	6	2
Mai	7.8	8.2	7.0	7.7	139.0	22.6	18.	20	16	6	–	–	1	6	4	2	18	3	13	2	10	9	38	5	**12**	1
Juni	7.7	7.8	7.5	7.7	**297.1**	**46.1**	4.	23	**21**	–	–	–	1	5	3	–	16	1	13	2	11	1	**43**	8	10	1
Juli	7.5	7.1	6.2	6.9	171.9	40.8	20.	21	19	–	–	1	–	**7**	4	4	13	–	14	**1**	**14**	3	39	**18**	4	–
August	4.5	4.1	4.5	4.3	57.4	18.1	8.	9	8	–	–	–	–	3	2	**11**	7	2	15	6	9	12	26	10	9	**4**
September	4.8	5.6	4.1	4.8	44.5	14.5	4.	8	6	–	–	–	–	–	2	8	5	–	17	3	11	9	32	10	6	2
Oktober	8.0	7.0	6.2	7.1	83.7	18.7	24.	12	11	2	–	–	–	–	8	2	14	7	17	4	13	8	32	9	2	1
November	5.9	6.8	4.8	5.8	44.2	34.0	22.	6	5	1	–	–	–	–	8	–	9	1	**19**	**11**	9	13	26	1	9	1
Dezember	**8.6**	**8.7**	**8.9**	**8.8**	38.8	5.5	19.	14	13	14	**23**	–	–	–	**13**	2	**25**	3	**19**	8	4	5	42	5	7	–
Jahr	7.0	7.2	6.1	6.8	1081.5	46.1	4. VI.	166	145	54	42	6	3	24	63	43	163	40	167	60	115	120	390	101	84	18

Traunstein.

h = 6.4 m — h_r = 1.4 m

Monat	Bewölkung 7a	2p	9p	Mittel	Niederschlag Summe mm	Tagesmaximum Betrag mm	Gemessen am	Zahl der Tage ≧0,1 mm Niederschlag	≧1,0 mm	≧0,1 mm ✳	⊠	△	▲	⊿	≡	heitere	trübe	Windverteilung N	NE	E	SE	S	SW	W	NW	C
Januar	7.4	7.7	6.3	7.1	69.6	14.3	6./19.	17	16	10	14	–	–	–	1	2	12	1	1	22	4	9	9	**43**	4	–
Februar	7.9	7.4	6.4	7.2	77.2	35.2	20.	12	9	–	–	–	–	–	**7**	2	11	–	4	23	6	14	11	21	5	–
März	7.6	7.7	7.5	7.6	144.1	32.3	1.	20	15	13	5	–	–	1	–	–	15	–	**7**	26	4	5	10	31	10	–
April	4.9	5.1	3.7	4.6	47.3	9.8	27.	10	7	1	–	–	–	2	2	10	7	–	3	33	9	12	6	26	1	–
Mai	6.3	7.4	6.1	6.6	157.6	**50.5**	7.	18	13	2	–	1	–	4	–	3	13	–	–	21	5	**16**	14	29	8	–
Juni	7.3	7.2	6.8	7.1	277.9	41.2	23.	22	21	–	–	–	–	2	–	2	12	1	5	13	5	13	12	34	7	–
Juli	7.7	7.4	6.5	7.2	**401.1**	45.2	28.	**25**	**22**	–	–	1	–	**9**	–	2	11	1	3	19	5	9	**16**	39	1	–
August	4.6	4.5	3.9	4.3	127.8	25.8	6.	14	13	–	–	–	–	2	–	10	3	1	4	26	4	8	11	24	10	5
September	5.3	4.8	4.6	4.9	49.9	10.8	28.	11	9	–	–	–	–	1	–	**11**	9	2	2	18	5	14	11	29	3	6
Oktober	6.9	6.4	5.8	6.4	121.7	27.5	24.	16	12	3	–	–	–	–	3	3	12	**5**	4	23	6	9	10	22	6	**8**
November	6.3	5.7	5.1	5.7	48.5	25.9	22.	6	4	1	–	–	–	–	**7**	3	7	3	–	**38**	**13**	9	4	20	3	–
Dezember	**9.2**	**8.7**	**8.6**	**8.8**	118.0	18.4	22.	23	16	**16**	**28**	–	–	–	6	–	**25**	4	4	17	2	3	15	37	**11**	–
Jahr	6.8	6.7	5.9	6.5	1640.7	50.5	7. V.	194	157	46	47	2	–	21	26	48	137	18	37	279	68	121	129	355	69	19

Alle Angaben nach Ortszeit.

1926

Wielenbach.

$\varphi = 47^0\ 52'$ N $\lambda = 11^0\ 9'$ E — H = 547.4 m Cg = + 0.1 mm

Monat	Luftdruck auf 0° und Normalschwere reduziert: Mittel mm	Maximum mm	Minimum mm	Lufttemperatur: 7a C°	2p C°	9p C°	Tagesmittel C°	Mittl. Maximum C°	Mittl. Minimum C°	Absol. Maximum C°	Datum	Absol. Minimum C°	Datum	Absolute Feuchtigkeit: 7a mm	2p mm	9p mm	Mittel mm	Relative Feuchtigkeit: 7a Proz	2p Proz.	9p Proz.	Mittel Proz.	Minimum Proz.
Januar	714.4	724.4	703.2	- 2.7	1.6	- 2.4	- 1.5	2.4	- 6.1	9.9	2.	-18.9	23.	3.4	3.9	3.6	3.6	87	75	**91**	84	59
Februar	713.6	725.7	697.3	1.2	7.5	3.7	4.0	8.4	- 0.3	14.5	22.	- 2.9	16.	4.5	5.7	5.3	5.2	91	75	89	85	43
März	714.1	726.9	702.3	1.6	7.1	3.5	3.9	8.3	0.4	18.2	29.	- 5.7	19.	4.8	5.2	5.1	5.0	93	69	85	82	39
April	712.1	721.9	698.4	4.5	14.4	8.0	8.7	16.0	2.1	26.8	30.	- 3.1	13.	5.7	6.2	6.4	6.1	91	54	80	75	24
Mai	**709.6**	717.8	694.6	7.7	14.8	9.3	10.3	16.1	4.7	25.2	1.	- 4.0	10.	7.2	7.8	7.5	7.5	90	64	86	80	31
Juni	712.1	719.8	703.4	10.6	16.7	11.7	12.7	18.3	8.2	25.5	22.	1.1	2.	8.8	9.3	8.9	9.0	91	67	87	82	44
Juli	714.1	718.9	708.0	**14.1**	19.6	**14.9**	**15.9**	21.6	**11.5**	**30.5**	24.	7.0	29.	**10.8**	**11.6**	**11.1**	**11.2**	90	69	88	82	44
August	716.4	721.5	711.6	11.5	**21.4**	14.2	15.3	**22.7**	9.2	28.4	17.	4.0	29.	9.4	10.7	10.6	10.2	93	57	87	79	41
September	716.8	721.3	709.6	10.6	20.1	13.1	14.2	21.0	8.6	28.1	1.	2.0	28.	9.1	10.6	10.1	9.9	**94**	61	89	81	40
Oktober	712.5	724.7	697.5	6.0	12.2	7.7	8.4	13.5	3.8	20.9	7.	- 6.5	20.	6.4	7.5	7.0	7.0	88	70	87	82	40
November	710.9	724.4	690.6	2.1	9.1	3.8	4.7	10.2	0.0	20.6	19.	- 8.9	29.	5.0	6.5	5.5	5.7	93	75	**91**	**86**	34
Dezember	**717.2**	**729.0**	703.7	- 1.8	0.2	- 1.1	- 1.0	1.0	- 3.7	6.4	13.	-15.1	26.	3.5	3.8	3.7	3.7	88	**82**	87	**86**	60
Jahr	713.7	729.0	690.6	5.5	12.1	7.2	8.0	13.3	3.2	30.5	24. VII.	-18.9	23. I.	6.6	7.4	7.1	7.0	91	68	87	82	24

Blender.

$\varphi = 47^0\ 44'$ N $\lambda = 10^0\ 14'$ E — H = 1044.7 m Cg = ± 0.0 mm

Monat	Luftdruck auf 0° und Normalschwere reduziert: Mittel mm	Maximum mm	Minimum mm	Lufttemperatur: 7a C°	2p C°	9p C°	Tagesmittel C°	Mittl. Maximum C°	Mittl. Minimum C°	Absol. Maximum C°	Datum	Absol. Minimum C°	Datum	Absolute Feuchtigkeit: 7a mm	2p mm	9p mm	Mittel mm	Relative Feuchtigkeit: 7a Proz	2p Proz.	9p Proz.	Mittel Proz.	Minimum Proz.
Januar	671.0	680.7	660.0	- 2.1	- 0.9	- 1.6	- 1.6	1.5	- 4.8	11.3	27.	-19.3	13.	3.1	3.3	3.2	3.2	77	76	78	77	26
Februar	671.1	681.6	655.8	3.4	6.0	3.8	4.3	7.5	1.1	12.6	6.	- 2.2	27.	4.1	4.9	4.6	4.5	74	72	78	74	22
März	671.5	682.4	661.3	0.1	2.6	1.1	1.2	4.2	- 1.6	14.2	29.	- 7.4	22.	4.2	4.4	4.4	4.3	90	80	88	86	24
April	670.6	679.6	658.2	5.8	9.8	6.5	7.2	11.0	3.2	21.5	30.	- 1.9	12.	5.0	5.5	5.1	5.2	75	64	72	70	23
Mai	669.2	675.9	655.4	7.0	9.9	7.2	7.8	11.4	4.7	20.8	1.	- 2.6	7.	6.1	6.5	6.1	6.3	83	74	81	79	23
Juni	671.9	679.6	665.4	8.6	11.8	8.7	9.5	13.6	6.3	21.5	22.	- 0.1	4.	7.3	7.5	7.4	7.4	88	74	88	83	45
Juli	674.1	678.3	669.1	12.6	15.2	12.8	13.4	16.9	10.2	**25.8**	24.	3.6	28.	**9.4**	**9.8**	**9.2**	**9.5**	87	78	84	83	38
August	676.7	680.9	672.2	**13.2**	**17.3**	**13.6**	**14.4**	**18.3**	10.5	23.3	17.	5.2	8.	8.7	9.1	8.8	8.8	78	63	76	73	27
September	**677.3**	681.3	669 7	12.8	16.2	13.1	13.8	17.3	**10.9**	23.3	1.	3.0	30.	8.8	9.2	8.8	8.9	80	68	77	75	39
Oktober	670.7	682.1	656.1	6.5	8.7	7.1	7.3	10.6	4.0	17.9	31.	- 3.6	28.	5.7	6.3	6.2	6.1	79	76	82	79	18
November	668.7	681.5	649.4	5.6	7.9	5.6	6.2	10.6	2.6	18.0	17.	- 4.4	27.	4.4	5.2	4.6	4.8	68	66	70	68	23
Dezember	673.4	**684.9**	661.1	- 3.4	- 2.5	- 3.4	- 3.2	- 0.1	- 5.4	11.2	13.	-16.2	25.	3.3	3.3	3.3	3.3	**91**	**88**	**92**	**90**	21
Jahr	672.2	684.9	649.4	5.8	8.5	6.2	6.7	10.2	3.5	25.8	24. VII.	-19.3	13. I.	5.8	6.3	6.0	6.0	81	73	81	78	18

Bad Tölz.

$\varphi = 47^0\ 46'$ N $\lambda = 11^0\ 34'$ E — H = ca 690 m Cg = + 0.1 mm

Monat	Luftdruck auf 0° und Normalschwere reduziert: Mittel mm	Maximum mm	Minimum mm	Lufttemperatur: 7a C°	2p C°	9p C°	Tagesmittel C°	Mittl. Maximum C°	Mittl. Minimum C°	Absol. Maximum C°	Datum	Absol. Minimum C°	Datum	Absolute Feuchtigkeit: 7a mm	2p mm	9p mm	Mittel mm	Relative Feuchtigkeit: 7a Proz	2p Proz.	9p Proz.	Mittel Proz.	Minimum Proz.
Januar	702.0	711.7	691.0	- 2.1	1.7	- 1.7	- 1.0	3.0	- 4.4	9.5	2.	-16.7	13.	3.3	3.7	3.6	3.5	81	70	86	79	44
Februar	701.6	713.3	686.5	2.1	8.1	3.8	4.5	9.5	0.4	14.8	3.	- 3.5	14.	4.5	5.2	5.0	4.9	84	66	84	78	33
März	702.0	713.1	691.0	1.2	6.0	2.9	3.2	7.9	- 0.3	18.5	30.	- 6.0	6.	4.5	4.9	4.9	4.8	**90**	72	87	83	28
April	700.4	709.7	685.7	5.5	13.4	7.5	8.5	14.9	3.1	24.3	30.	- 3.4	12.	5.5	6.2	6.0	5.9	81	56	78	72	23
Mai	698.8	705.9	684.3	8.2	13.2	8.6	9.6	14.9	5.1	23.5	1.	- 2.2	10.	6.7	7.3	7.1	7.0	83	67	85	78	20
Juni	701.2	708.8	692.0	10.3	15.4	10.7	11.7	17.1	7.6	26.3	22.	3.2	2.	8.2	8.1	8.4	8.2	88	64	87	80	33
Juli	702.9	707.5	697.3	**13.7**	18.4	**14.1**	**15.1**	20.5	**11.1**	**30.0**	19.	6.3	28.	**10.2**	**10.5**	**10.7**	**10.5**	87	69	**89**	81	40
August	705.6	710.4	701.7	12.5	**20.6**	13.6	**15.1**	**21.9**	9.6	28.0	17.	4.6	28./29.	9.2	10.1	9.9	9.7	86	57	86	76	33
September	**706.4**	711.3	698.6	11.7	19.6	13.2	14.4	20.8	9.9	27.2	10./12./18.	5.0	30.	9.2	9.8	9.8	9.6	89	59	86	78	38
Oktober	700.4	711.7	683.6	6.0	12.4	8.4	8.8	14.3	4.1	23.2	31.	- 4.5	20./28.	6.2	7.0	6.6	6.6	86	66	80	77	32
November	698.9	711.8	678.3	4.3	10.6	4.1	5.8	12.9	1.2	22.3	14.	- 6.7	28.	5.0	5.9	5.3	5.4	82	63	87	77	23
Dezember	704.7	**716.5**	691.8	- 2.9	- 0.4	- 2.3	- 2.0	0.8	- 4.8	8.0	14.	-20.9	25.	3.5	3.8	3.6	3.6	89	**85**	**89**	**88**	42
Jahr	702.1	716.5	678.3	5.9	11.6	6.9	7.8	13.2	3.6	30.0	19. VII.	-20.9	25. XII.	6.3	6.9	6.7	6.6	86	66	85	79	20

Tegernsee.

$\varphi = 47^0\ 43'$ N $\lambda = 11^0\ 45'$ E — H = 727.2 m Cg = + 0.1 mm

Monat	Luftdruck auf 0° und Normalschwere reduziert: Mittel mm	Maximum mm	Minimum mm	Lufttemperatur: 7a C°	2p C°	9p C°	Tagesmittel C°	Mittl. Maximum C°	Mittl. Minimum C°	Absol. Maximum C°	Datum	Absol. Minimum C°	Datum	Absolute Feuchtigkeit: 7a mm	2p mm	9p mm	Mittel mm	Relative Feuchtigkeit: 7a Proz	2p Proz.	9p Proz.	Mittel Proz.	Minimum Proz.
Januar	698.7	708 2	687 3	- 1.3	1.6	- 1.2	- 0.5	3.1	- 3.4	9.6	29.	-15 8	13.	3.5	3.9	3.7	3.7	82	74	84	80	52
Februar	698.5	710.4	683.3	2.5	7.0	3.5	4 1	8.5	1.1	13.7	3.	- 2.8	15.	4.6	5.5	5.0	5.1	85	74	85	82	41
März	698.7	710.0	688.2	1.6	5.2	2.6	3.0	7.1	0.4	16.8	29.	- 5.0	6.	4.5	5.0	4.7	4.7	85	76	85	82	41
April	697.4	707.3	685.8	6.1	12.5	6.9	8.1	14.8	3.8	25.4	30.	- 1.0	12.	5.6	6.4	6.0	6.0	79	62	81	74	33
Mai	695.8	703.9	681.2	8.7	13.3	8.1	9.6	15.1	5.8	24.5	1.	- 1.1	10.	7.0	7.9	7.1	7.3	84	71	87	81	31
Juni	698.3	706.0	689.4	10.7	14.9	10.1	11.5	16.8	8.1	24.9	13.	4.5	2.	8.3	9.0	8.4	8.6	87	72	**91**	83	42
Juli	700.0	704.7	694.0	**14.2**	18.5	**13.9**	**15.1**	20.5	**11.8**	**30.5**	19.	6.2	29.	**10.6**	**11.5**	**10.7**	**10.9**	88	73	90	84	39
August	702.7	707.8	698.6	13.1	**20.3**	13.2	14.9	**21.6**	10.8	27.5	31.	6.3	2.	8.9	11 4	10.2	10.2	85	65	89	80	43
September	**703.5**	708.8	695.6	13.0	19.1	13.5	14.8	20.5	11.2	28 1	1.	5.6	29.	9.7	11.1	10.0	10.3	86	68	86	80	50
Oktober	697.6	708.9	682.5	6.6	11.9	8.5	8.8	13.6	4.9	21.8	31.	- 2.5	28.	6.3	7.5	6.9	6.9	84	72	82	80	49
November	695.9	708.9	675.8	5.5	9.8	6.3	7.0	12.1	3 2	20.1	19.	- 5.3	28.	5.3	6.2	5.4	5.6	**79**	69	76	75	29
Dezember	701.4	**713.0**	688.5	- 1.8	0.1	- 1.5	- 1.2	1.4	- 3.3	8.8	13.	-14.8	25.	3.6	4.0	3 7	3.8	**89**	**86**	88	**87**	61
Jahr	699.0	713.0	675.8	6.6	11.2	7.0	7.9	12.9	4.5	30.5	19. VII.	-15.8	13. I.	6.5	7.5	6.8	6.9	84	72	85	81	29

Alle Angaben nach Ortszeit.

1926

Wielenbach.

h_t = 2.0 m — h_r = 1.3 m

Monat	Bewölkung 7a	2p	9p	Mittel	Niederschlag Summe mm	Tagesmaximum Betrag mm	Tagesmaximum Gemessen am	Zahl der Tage ≧0.1 mm Niederschlag	≧1.0 mm	≧0.1 mm ✳	⊠	△	▲	⊿	≡	heitere	trübe	Windverteilung N	NE	E	SE	S	SW	W	NW	C
Januar*)	7.8	7.2	5.9	7.0	*38*	?	?	*15*	*8*	7	***16***	–	–	–	–	2	13	–	2	27	14	**10**	6	27	4	**3**
Februar	8.4	8.0	6.3	7.6	41.6	26.2	20.	6	3	–	–	–	–	–	6	1	15	1	2	30	12	6	2	22	7	2
März	7.9	7.6	7.5	7.7	56.7	9.3	8.	14	12	5	7	–	–	1	4	–	16	8	7	19	10	6	–	**36**	7	–
April	5.2	5.4	4.5	5.0	50.2	12.3	20.	13	10	–	–	–	–	4	3	**9**	10	5	4	**40**	4	9	5	18	5	–
Mai	7.1	7.6	6.6	7.1	82.9	24.8	30.	19	13	2	–	2	**2**	**10**	1	2	12	6	2	8	20	4	**23**	20	9	1
Juni	7.9	7.5	8.0	7.8	**241.4**	37.1	25.	**23**	**22**	–	–	–	1	5	4	–	17	**9**	**12**	10	14	4	9	18	11	**3**
Juli	7.7	7.1	6.7	7.2	238.3	**65.8**	16.	19	18	–	–	–	–	8	1	3	15	7	**12**	14	12	8	8	17	14	1
August	**4.4**	**4.1**	**4.1**	**4.2**	48.0	16.0	12.	8	7	–	–	–	1	4	6	**9**	8	5	4	8	11	4	15	20	**23**	**3**
September	5.3	5.4	5.0	5.2	54.6	19.5	27.	9	6	–	–	–	–	1	2	7	10	8	10	16	5	6	11	16	18	–
Oktober	8.1	7.0	8.1	7.7	83.7	25.2	24.	12	9	1	–	–	–	–	7	–	19	5	7	14	13	9	13	17	15	–
November*)	8.2	6.8	7.1	7.4	*40*	?	?	*8*	*5*	–	–	–	–	–	**20**	–	10	2	5	26	**21**	3	10	**14**	9	–
Dezember*)	**9.7**	**9.4**	**9.5**	**9.5**	***30***	?	?	*15*	*10*	**14**	**16**	–	–	–	4	–	**29**	5	8	19	11	6	6	17	20	1
Jahr	7.3	6.9	6.6	6.9	1005	65.8	16.VII.	161	123	29	39	2	4	33	58	33	174	61	75	231	147	75	108	242	142	14

*) Niederschlagsverhältnisse im Januar, November und Dezember nach Angaben der B. Landesstelle für Gewässerkunde ergänzt.

Blender.

h_t = 1.9 m — h_r = 1.4 m

Januar	7.3	7.3	6.9	7.1	51.6	16.8	3.	18	13	**15**	**25**	5	–	–	8	3	15	–	–	11	–	–	1	**69**	–	12
Februar	7.5	7.5	6.9	7.3	50.1	21.0	20.	13	7	5	1	1	–	–	5	–	12	–	–	**10**	6	5	4	47	1	11
März	**8.7**	8.1	7.7	**8.2**	67.2	12.7	8.	18	15	13	13	4	–	2	8	1	20	–	–	**32**	1	–	–	52	–	8
April	5.7	6.2	5.2	5.7	69.5	14.4	5.	18	15	8	4	2	–	3	3	8	10	–	–	29	7	–	–	45	–	9
Mai	7.3	7.8	5.9	7.0	142.7	31.1	30.	19	15	7	3	–	1	6	3	2	12	–	1	21	3	–	4	53	**2**	9
Juni	7.3	7.8	7.2	7.4	**317.7**	**40.6**	4.	**22**	**22**	2	1	–	–	7	6	–	16	1	–	23	2	–	1	54	–	9
Juli	7.7	7.4	5.7	6.9	269.7	35.1	12.	20	18	–	–	–	–	**8**	9	4	13	–	–	20	2	–	1	59	–	11
August	4.7	4.7	3.5	4.3	70.7	22.3	12.	9	7	–	–	–	–	3	1	11	5	–	1	28	1	3	**12**	38	–	10
September	4.2	5.0	3.6	4.3	75.2	17.2	13.	10	7	–	–	–	1	2	3	**12**	5	–	2	12	**9**	2	3	42	–	**20**
Oktober	7.1	7.4	6.4	7.0	97.6	27.5	24.	11	9	3	3	1	–	–	7	2	17	–	–	24	2	4	11	43	–	9
November	5.8	5.8	4.0	5.2	66.1	28.9	22.	9	9	3	5	1	1	1	7	5	4	–	–	14	3	**6**	11	42	–	14
Dezember	8.0	**8.5**	**7.9**	8.1	24.9	5.7	5.	13	9	13	24	**8**	–	–	**13**	2	**21**	–	**3**	25	–	–	4	52	–	9
Jahr	6.8	7.0	5.9	6.5	1303.0	40.6	4. VI.	180	146	69	79	22	3	32	73	50	150	1	7	249	36	20	52	596	3	131

Bad Tölz.

h_t = 2.5 m — h_r = 2.5 m

Januar	6.7	7.3	6.6	6.9	84.1	10.9	21.	17	15	9	18	–	–	–	–	2	11	1	4	14	**18**	15	14	15	2	10
Februar	7.2	7.0	7.1	7.1	61.2	26.5	20.	12	9	–	1	–	–	–	**3**	2	13	1	**5**	4	14	30	4	12	4	10
März	8.2	8.0	8.3	8.2	139.4	18.7	8.	22	17	10	12	–	–	1	–	–	19	1	1	**18**	2	23	8	**27**	1	12
April	5.3	6.3	5.1	5.6	72.8	17.6	10.	17	12	1	–	–	–	3	1	8	12	2	2	10	10	39	6	11	3	**7**
Mai	7.7	8.5	6.7	7.6	191.9	37.4	7.	21	21	2	–	1	–	**7**	–	2	16	1	1	6	2	**59**	5	12	–	**7**
Juni	7.8	8.2	8.1	8.0	**371.0**	**58.8**	7.	**25**	**23**	–	–	–	–	2	–	–	18	2	2	3	5	41	10	13	1	13
Juli	7.9	8.4	8.0	8.1	327.2	41.0	9.	21	20	–	–	–	–	5	–	2	**22**	1	2	12	8	34	17	10	2	**7**
August	5.4	5.2	**4.5**	5.0	152.9	27.5	23.	12	11	–	–	–	–	3	1	**10**	9	**3**	**5**	7	10	30	7	10	**8**	13
September	6.0	5.5	4.6	5.4	62.3	15.7	13.	13	7	–	–	–	–	4	2	**10**	12	–	**5**	3	17	28	8	9	4	16
Oktober	8.4	7.5	6.2	7.4	106.4	30.9	25.	18	8	2	–	–	–	–	**3**	1	14	–	2	–	6	33	16	12	1	23
November	**8.7**	7.6	5.1	7.1	36.5	25.4	22.	12	6	–	–	–	–	2	3	15	2	2	1	13	5	36	2	6	–	25
Dezember	**8.7**	**8.9**	**8.5**	**8.7**	101.2	17.7	30.	20	14	**16**	**24**	–	–	–	1	1	**22**	–	2	5	2	19	**20**	9	1	**35**
Jahr	7.3	7.4	6.6	7.1	1706.9	58.8	7. VI.	210	163	40	55	1	–	25	13	41	183	14	32	95	99	387	117	146	27	178

Tegernsee.

h_t = 1.8 m — h_r = 1.8 m

Januar	6.9	6.2	4.2	5.7	75.5	10.8	4.	17	17	10	19	–	–	–	–	4	10	10	3	5	5	35	2	3	11	19
Februar	6.5	6.5	4.7	5.9	71.9	36.8	20.	12	9	1	3	–	–	–	5	4	6	9	4	2	1	35	1	3	6	23
März	6.7	7.3	6.9	7.0	129.6	21.8	9.	20	17	12	8	–	–	1	–	3	15	6	3	**11**	1	26	–	**15**	17	**14**
April	**4.3**	4.8	3.7	4.3	61.3	13.6	10.	12	8	1	–	–	–	1	–	10	6	2	6	9	2	**42**	–	3	10	16
Mai	6.3	7.5	6.1	6.6	148.2	**54.0**	30.	15	15	2	–	–	–	1	–	4	12	8	2	7	–	34	1	7	7	27
Juni	7.1	7.3	7.3	7.2	310.5	47.8	7.	**24**	**23**	–	–	–	–	**3**	–	–	13	8	3	5	–	27	–	7	9	**31**
Juli	6.9	6.9	6.9	6.9	**343.6**	47.8	3.	19	18	–	–	–	–	**3**	–	3	14	7	5	5	1	27	–	4	17	27
August	4.7	4.7	4.0	4.5	120.7	20.5	9.	12	12	–	–	1	–	2	–	**12**	4	**16**	**9**	3	1	39	1	3	5	16
September	5.1	5.0	5.2	5.1	32.9	7.4	28.	10	9	–	–	–	–	–	–	9	6	11	3	8	–	34	2	2	11	19
Oktober	**5.6**	6.1	5.4	5.7	100.9	24.0	25.	13	12	3	–	–	–	1	–	6	9	7	4	3	–	40	–	4	19	16
November	4.5	4.3	3.2	4.0	27.3	15.8	22.	6	6	–	–	–	–	–	–	7	2	7	6	2	**6**	38	**3**	2	5	21
Dezember	**8.0**	**8.1**	**8.1**	**8.1**	124.1	35.0	22.	16	15	**14**	**28**	–	–	–	5	1	**20**	9	6	2	–	29	–	2	**28**	17
Jahr	6.1	6.2	5.5	5.9	1546.5	54.0	30. V.	176	161	43	58	1	–	12	10	63	117	100	54	62	17	406	10	55	145	246

Alle Angaben nach Ortszeit.

1926

Bad Reichenhall.

$\varphi = 47^0\ 43'$ N $\lambda = 12^0\ 53'$ E — H = 465.2 m Cg = + 0.1 mm

Monat	Luftdruck auf 0° und Normalschwere reduziert: Mittel mm	Maximum mm	Minimum mm	Lufttemperatur: 7a C°	2p C°	9p C°	Tagesmittel C°	Mittl. Maximum C°	Mittl. Minimum C°	Absol. Maximum C°	Datum	Absol. Minimum C°	Datum	Absolute Feuchtigkeit: 7a mm	2p mm	9p mm	Mittel mm	Relative Feuchtigkeit: 7a Proz.	2p Proz.	9p Proz.	Mittel Proz.	Minimum Proz.
Januar	722.0	732.2	711.2	- 1.4	2.2	- 1.2	- 0.4	3.0	- 3.9	10.2	1.	-17.1	13.	3.4	3.7	3.7	3.6	80	67	85	77	36
Februar	721.2	734.1	705.6	2.5	8.5	4.1	4.8	9.2	0.7	16.5	3.	- 2.9	16.	4.9	5.6	5.3	5.3	89	70	88	82	32
März	721.4	732.6	710.0	2.2	7.1	3.5	4.1	8.4	0.4	19.1	29./30.	- 4.6	24.	4.7	4.8	5.0	4.8	85	64	83	77	19
April	719.8	729.8	707.1	7.5	14.6	7.5	9.3	16.0	3.7	25.9	30.	- 2.5	12.	5.7	6.2	6.4	6.1	77	52	83	71	17
Mai	717.8	725.4	704.6	10.2	15.0	9.5	11.1	16.5	6.2	26.9	1.	- 2.0	10.	7.3	7.3	7.7	7.4	81	60	86	76	18
Juni	719.9	728.1	710.4	12.1	16.5	11.3	12.8	18.1	8.4	27.1	13.	3.2	2.	8.9	9.3	9.1	9.1	85	68	91	82	36
Juli	721.2	726.8	715.2	14.8	19.3	14.5	15.8	21.0	11.8	30.8	19.	7.5	28.	11.1	11.4	11.5	11.3	89	69	93	84	43
August	724.1	729.4	719.5	14.2	21.2	13.5	15.6	22.1	9.8	28.9	26.	5.2	29.	10.0	10.6	10.8	10.5	83	58	93	78	36
September	724.9	730.0	717.4	12.4	19.7	12.7	14.4	20.6	9.5	27.7	2.	3.8	28.	10.0	10.6	10.3	10.3	93	63	93	83	43
Oktober	719.6	731.0	704.3	6.5	12.9	7.7	8.7	14.1	4.3	25.3	31.	- 3.6	20.	6.6	7.2	7.3	7.0	89	65	90	81	27
November	718.2	731.2	698.7	4.0	10.1	4.1	5.6	11.5	1.4	22.0	21.	- 6.6	28.	5.3	6.4	5.7	5.8	88	69	92	83	28
Dezember	724.3	735.8	711.3	- 2.4	0.0	- 1.4	- 1.3	0.8	- 4.1	7.5	13.	-15.4	25.	3.8	4.0	3.9	3.9	94	84	92	90	53
Jahr	721.2	735.8	698.7	6.9	12.3	7.2	8.4	13.4	4.0	30.8	19. VII.	-17.1	13. I.	6.8	7.3	7.2	7.1	86	66	89	80	17

Lechbruck.

$\varphi = 47^0\ 42'$ N $\lambda = 10^0\ 48'$ E — H = 730.9 m

Monat	Luftdruck			Lufttemperatur: 7a C°	2p C°	9p C°	Tagesmittel C°	Mittl. Maximum C°	Mittl. Minimum C°	Absol. Maximum C°	Datum	Absol. Minimum C°	Datum	Absolute Feuchtigkeit: 7a mm	2p mm	9p mm	Mittel mm	Relative Feuchtigkeit: 7a Proz.	2p Proz.	9p Proz.	Mittel Proz.	Minimum Proz.
Januar				- 4.1	1.4	- 3.3	- 2.3	3.2	- 7.0	10.8	2.	-19.3	23.	3.0	3.7	3.3	3.3	84	72	85	80	42
Februar				0.4	8.1	2.9	3.6	9.1	- 1.3	15.4	21.	- 5.9	15.	4.2	5.1	4.9	4.8	89	65	87	81	31
März				0.5	5.6	2.7	2.8	7.2	- 0.9	18.8	29.	- 8.6	6.	4.3	4.7	4.8	4.6	90	70	85	82	22
April				4.9	13.0	6.7	7.8	14.7	1.7	26.2	30.	- 3.8	12.	5.5	5.5	5.9	5.7	86	53	81	73	19
Mai				7.7	12.8	8.0	9.2	14.7	3.5	23.6	1.	- 4.7	10.	6.9	6.8	6.7	6.8	86	63	83	78	31
Juni				10.0	14.7	10.3	11.3	16.8	6.8	25.1	22.	- 0.1	2.	8.0	7.9	8.1	8.0	86	65	86	79	37
Juli				13.4	18.1	13.7	14.7	20.0	10.1	29.2	19.	5.8	28.	10.1	10.1	10.3	10.2	88	67	88	81	34
August				11.8	20.5	13.0	14.6	21.8	7.8	27.1	26.	2.1	29.	9.2	9.2	9.5	9.3	89	53	86	76	29
September				11.3	19.5	12.4	13.9	20.6	7.9	26.6	1.	2.0	28.	8.9	9.1	9.5	9.2	89	55	87	77	37
Oktober				4.9	11.8	7.3	7.8	13.8	2.8	21.5	6./7.	- 8.0	28.	5.8	6.9	6.5	6.4	88	67	83	79	31
November				1.4	9.7	2.8	4.2	11.3	- 1.0	21.7	19.	- 9.6	28.	4.7	5.7	5.0	5.1	91	65	89	82	20
Dezember				- 3.4	- 0.8	- 2.8	- 2.4	1.1	- 5.4	11.4	13.	-18.5	26.	3.4	3.8	3.5	3.6	91	85	91	89	37
Jahr				4.9	11.2	6.1	7.1	12.9	2.1	29.2	19. VII.	-19.3	23. I.	6.2	6.5	6.5	6.4	88	65	86	80	19

Kochel.

$\varphi = 47^0\ 39'$ N $\lambda = 11^0\ 22'$ E — H = 603.6 m Cg = + 0.1 mm

Monat	Luftdruck			Lufttemperatur: 7a C°	2p C°	9p C°	Tagesmittel C°	Mittl. Maximum C°	Mittl. Minimum C°	Absol. Maximum C°	Datum	Absol. Minimum C°	Datum	Absolute Feuchtigkeit: 7a mm	2p mm	9p mm	Mittel mm	Relative Feuchtigkeit: 7a Proz.	2p Proz.	9p Proz.	Mittel Proz.	Minimum Proz.
Januar	708.3	717.8	697.1	- 1.1	1.1	- 0.9	- 0.5	2.7	- 3.9	12.3	2.	-14.7	13.	3.5	3.8	3.7	3.7	82	76	82	80	30
Februar	707.8	719.4	691.3	2.8	6.9	4.7	4.8	9.1	0.9	15.8	3.	- 3.8	16.	4.7	5.5	5.3	5.2	86	76	85	82	29
März	708.4	720.1	697.1	2.0	5.6	3.5	3.6	7.6	0.5	18.3	29.	- 4.2	6.	4.9	5.1	5.1	5.0	91	75	85	84	33
April	706.6	716.0	692.8	6.3	13.0	8.7	9.2	15.2	4.2	26.3	30.	- 1.8	12.	5.5	6.2	6.1	5.9	80	58	74	71	24
Mai	705.1	712.3	692.9	8.2	13.0	9.1	9.9	14.6	6.2	25.3	1.	- 1.8	10.	7.0	7.6	7.4	7.3	87	70	87	81	26
Juni	707.5	715.1	698.3	10.4	14.5	11.3	11.8	16.4	8.3	24.0	13.	4.2	2.	8.5	8.5	8.9	8.7	91	71	89	84	37
Juli	709.1	714.1	703.4	13.7	17.3	14.4	14.9	19.5	11.3	28.5	19.	6.2	28.	10.4	11.2	11.1	10.9	91	77	91	85	39
August	711.7	716.5	707.3	12.5	18.8	14.0	14.8	20.3	10.5	25.8	26.	6.2	29.	9.6	10.9	10.6	10.4	91	68	89	82	41
September	712.5	717.5	704.9	12.1	18.0	13.9	14.5	19.5	10.7	25.8	1.	6.2	28.	9.6	10.8	10.2	10.2	92	70	86	83	52
Oktober	706.7	718.2	691.1	7.3	12.0	9.3	9.5	13.6	5.3	22.8	31.	- 2.6	28.	6.4	7.3	6.9	6.9	83	69	79	77	21
November	705.2	718.5	684.0	6.0	10.1	6.6	7.3	12.4	2.9	22.8	1.	- 4.8	28./29.	5.0	5.8	5.5	5.4	76	66	78	73	19
Dezember	711.0	722.5	698.4	- 2.0	- 0.5	- 1.5	- 1.4	0.5	- 3.5	6.2	18.	-13.7	25.	3.6	3.8	3.7	3.7	89	85	87	87	59
Jahr	708.3	722.5	684.0	6.5	10.8	7.8	8.1	12.6	4.5	28.5	19. VII.	-14.7	13. I.	6.6	7.2	7.0	6.9	87	72	84	81	19

Röthenbach.

$\varphi = 47^0\ 38'$ N $\lambda = 9^0\ 58'$ E — H = 668.7 m

Monat	Luftdruck			Lufttemperatur: 7a C°	2p C°	9p C°	Tagesmittel C°	Mittl. Maximum C°	Mittl. Minimum C°	Absol. Maximum C°	Datum	Absol. Minimum C°	Datum	Absolute Feuchtigkeit: 7a mm	2p mm	9p mm	Mittel mm	Relative Feuchtigkeit: 7a Proz.	2p Proz.	9p Proz.	Mittel Proz.	Minimum Proz.
Januar				- 2.7	1.0	- 1.8	- 1.3	2.5	- 5.8	8.9	2.	-15.9	13.									
Februar				1.7	6.9	2.7	3.5	8.0	- 0.9	14.1	22.	- 4.4	15.									
März				1.3	6.7	2.8	3.4	7.8	0.5	18.1	29.	- 5.9	6.									
April				5.4	13.7	7.2	8.4	14.7	2.1	25.7	30.	- 2.6	18.									
Mai				8.0	14.3	8.1	9.6	15.7	3.9	25.1	1.	- 2.8	10.									
Juni				11.4	16.0	10.9	12.3	17.6	7.2	25.9	22.	0.6	4.									
Juli				14.4	19.0	13.8	15.3	20.5	10.9	27.1	19.	6.0	28.									
August				12.6	20.1	13.3	14.8	21.0	8.8	25.5	17./31.	5.0	1./24.									
September				11.5	18.4	12.7	13.8	19.5	8.3	26.1	1.	2.2	29.									
Oktober				6.2	11.0	7.7	8.3	12.4	3.4	17.3	17.	- 6.9	28.									
November				2.7	8.0	3.5	4.4	9.2	- 0.2	17.9	13.	- 8.1	29.									
Dezember				- 3.1	- 0.6	- 2.4	- 2.1	0.5	- 5.5	4.9	8	-18.5	26.									
Jahr				5.8	11.2	6.5	7.5	12.5	2.7	27.1	19. VII.	-18.5	26. XII									

Alle Angaben nach Ortszeit.

1926

Bad Reichenhall.

h_t = 1.9 m h_r = 1.5 m

Monat	Bewölkung 7a	2p	9p	Mittel	Niederschlag Summe mm	Tagesmaximum Betrag mm	Tagesmaximum Gemessen am	Zahl der Tage ≧0.1 mm Niederschlag	≧1.0 mm Niederschlag	≧0.1 mm ✳	⊠	△	▲	⊠	≡	heitere	trübe	Windverteilung N	NE	E	SE	S	SW	W	NW	C
Januar	8.2	8.3	5.0	7.2	66.7	13.2	6.	17	12	8	17	–	–	–	1	2	12	3	2	21	4	3	6	38	–	16
Februar	7.8	7.8	6.0	7.2	111.9	**59.5**	20.	16	10	–	–	–	–	–	**7**	2	11	–	3	16	4	1	6	36	1	17
März	8.0	8.0	7.7	7.9	183.6	45.0	9.	19	14	12	4	**2**	1	1	2	2	20	–	7	**24**	**1**	1	7	37	–	16
April	4.7	4.9	4.0	4.5	56.6	16.4	11.	12	9	–	–	–	–	1	–	**11**	7	–	9	16	**8**	4	7	31	–	15
Mai	6.9	8.1	6.9	7.3	131.7	44.5	30.	17	13	–	–	–	–	3	–	2	17	–	6	11	6	2	12	33	**3**	20
Juni	7.4	7.7	7.2	7.4	250.8	31.3	16.	**26**	21	–	–	–	–	4	–	2	16	1	**13**	10	4	1	6	36	1	18
Juli	7.6	8.4	7.5	7.8	**390.5**	53.3	31.	24	**24**	–	–	–	–	**9**	–	2	18	–	7	8	5	3	13	**39**	–	18
August	4.8	4.9	4.3	4.7	112.5	22.4	9.	12	12	–	–	–	–	4	–	9	5	–	8	17	**8**	2	7	25	1	25
September	5.9	5.5	4.3	5.2	63.1	16.0	13.	10	8	–	–	–	–	2	–	9	9	–	5	5	**8**	**9**	8	23	–	**32**
Oktober	7.4	7.0	5.9	6.7	126.2	29.5	1.	14	14	2	–	1	–	–	3	**1**	13	2	9	11	7	5	**14**	22	–	23
November	6.4	5.9	4.8	5.7	30.9	17.4	22.	8	3	–	–	–	–	–	6	5	8	**4**	5	11	4	3	11	32	–	20
Dezember	**8.5**	**8.6**	**7.9**	**8.4**	160.0	42.0	22.	22	15	**16**	**28**	–	–	–	4	2	**22**	1	3	22	**1**	–	**1**	32	2	31
Jahr	7.0	7.1	6.0	6.7	1684.5	59.5	20. II.	197	155	38	49	3	1	24	23	49	158	11	77	172	60	34	98	384	8	251

Lechbruck.

h_t = 1.8 m h_r = 1.3 m

Monat	Bewölkung 7a	2p	9p	Mittel	Niederschlag Summe mm	Tagesmaximum Betrag mm	Tagesmaximum Gemessen am	Zahl der Tage ≧0.1 mm Niederschlag	≧1.0 mm Niederschlag	≧0.1 mm ✳	⊠	△	▲	⊠	≡	heitere	trübe	Windverteilung N	NE	E	SE	S	SW	W	NW	C
Januar	6.8	7.4	6.9	7.0	42.5	8.0	20.	18	12	10	21	–	–	–	6	3	16	7	14	2	–	7	26	**27**	4	6
Februar	8.1	7.7	6.2	7.3	**37.3**	16.1	20.	10	6	1	2	–	–	–	**9**	–	10	5	11	2	2	7	26	9	**13**	9
März	**8.8**	8.3	7.8	**8.3**	92.9	14.0	5.	20	15	11	10	1	–	–	7	–	19	11	12	4	5	5	27	19	7	3
April	5.5	7.4	5.2	6.0	60.2	13.3	10.	14	10	2	–	1	1	5	5	2	12	13	12	2	4	5	25	6	7	16
Mai	6.9	7.5	6.2	6.9	133.4	27.9	30.	20	17	4	–	1	–	2	**2**	1	11	10	11	1	3	**11**	25	10	12	10
Juni	8.1	8.0	**8.0**	8.0	**275.1**	**40.0**	4.	**25**	**23**	–	–	–	1	5	3	–	16	8	10	3	4	9	33	6	9	8
Juli	7.6	7.6	6.5	7.2	215.4	26.1	28.	22	19	–	–	–	–	**8**	**2**	1	15	6	12	1	4	8	**38**	2	9	13
August	5.0	5.8	4.3	5.0	84.4	17.9	6.	10	10	–	–	–	–	4	3	**8**	**7**	**15**	12	2	**9**	4	19	6	10	16
September	5.3	5.6	4.7	5.2	43.3	15.5	27.	11	8	–	–	–	–	1	**2**	**8**	9	5	**20**	**1**	5	7	14	3	**13**	**22**
Oktober	7.8	7.5	5.7	7.0	90.4	24.1	24.	13	11	3	–	–	–	–	5	2	12	11	12	**6**	2	4	30	12	7	9
November	6.8	6.3	5.2	6.1	51.6	28.5	22.	9	7	3	2	–	–	–	7	3	8	10	10	2	3	8	24	6	10	17
Dezember	8.6	**8.8**	6.7	8.0	48.6	10.5	6.	16	9	**15**	**23**	–	–	–	3	1	**20**	3	19	2	2	3	37	11	8	8
Jahr	7.1	7.3	6.1	6.8	1175.1	40.0	4. VI.	188	147	49	58	3	2	25	54	29	155	104	155	28	43	78	321	117	109	137

Kochel.

h_t = 1.9 m h_r = 1.0 m

Monat	Bewölkung 7a	2p	9p	Mittel	Niederschlag Summe mm	Tagesmaximum Betrag mm	Tagesmaximum Gemessen am	Zahl der Tage ≧0.1 mm Niederschlag	≧1.0 mm Niederschlag	≧0.1 mm ✳	⊠	△	▲	⊠	≡	heitere	trübe	Windverteilung N	NE	E	SE	S	SW	W	NW	C
Januar	7.7	6.8	5.8	6.7	59.1	11.1	8.	16	12	10	16	1	–	–	3	3	13	3	–	–	–	9	2	13	1	**65**
Februar	7.9	7.8	7.4	7.7	54.6	25.6	20.	12	9	–	2	–	–	1	7	2	15	–	–	–	–	13	2	7	–	62
März	8.0	8.4	7.7	8.0	136.9	23.6	1.	19	15	8	9	–	–	1	4	–	20	1	1	–	1	7	4	17	3	59
April	5.2	6.2	5.4	5.6	59.8	9.2	10./17.	19	14	3	–	–	–	2	3	6	11	–	–	1	–	12	11	13	10	43
Mai	6.9	8.1	7.4	7.5	143.4	28.1	30.	19	19	1	–	–	–	4	4	2	17	2	–	–	–	9	12	16	7	47
Juni	8.3	7.5	7.9	7.9	**359.1**	40.1	26.	**26**	**26**	–	–	–	–	3	3	–	17	–	–	–	–	6	7	15	**16**	46
Juli	7.9	7.5	7.9	7.8	327.0	**42.3**	31.	22	20	–	–	–	–	**9**	**2**	2	18	2	–	–	–	3	7	**19**	5	57
August	6.5	5.0	5.2	5.6	111.9	24.8	23.	12	12	–	–	–	–	5	7	7	8	**4**	1	–	–	7	2	18	5	56
September	5.5	5.2	5.4	5.3	69.7	15.1	13.	13	7	–	–	–	–	3	3	**9**	11	1	–	–	–	6	8	13	6	56
Oktober	7.1	6.5	6.3	6.6	93.6	23.4	25.	15	12	3	–	–	–	–	4	1	12	–	–	–	–	12	**14**	10	15	42
November	6.4	6.0	4.9	5.8	32.3	22.9	22.	7	5	1	–	–	–	–	4	4	**7**	2	–	–	–	**18**	11	8	5	46
Dezember	**9.1**	**8.5**	**8.7**	**8.8**	80.8	15.7	16.	22	13	**17**	**29**	–	–	–	**12**	–	**25**	3	–	–	–	5	2	18	2	63
Jahr	7.2	7.0	6.7	6.9	1528 a	42.3	31. VII.	202	164	43	56	1	–	28	56	36	174	18	2	1	1	107	82	167	75	642

*) Niederschlag von der B. Landesstelle für Gewässerkunde mitgeteilt.

Röthenbach.

h_t = 4.8 m h_r = 1.5 m

Monat	Bewölkung 7a	2p	9p	Mittel	Niederschlag Summe mm	Tagesmaximum Betrag mm	Tagesmaximum Gemessen am	Zahl der Tage ≧0.1 mm Niederschlag	≧1.0 mm Niederschlag	≧0.1 mm ✳	⊠	△	▲	⊠	≡	heitere	trübe	Windverteilung N	NE	E	SE	S	SW	W	NW	C
Januar	7.3	7.0	5.7	6.7	119.0	20.5	19.	17	15	9	25	1	–	–	2	4	11	–	3	12	12	1	**38**	23	4	–
Februar	6.3	6.9	5.3	6.2	58.0	16.4	19.	14	10	–	18	–	–	1	2	3	9	–	5	**1**	8	**8**	22	29	9	2
März	7.8	8.0	7.6	7.8	136.2	23.5	5.	17	14	8	9	–	–	–	–	2	18	1	6	**15**	9	–	27	25	6	4
April	5.7	5.7	5.3	5.5	69.9	14.3	10.	14	13	1	–	–	–	1	–	9	11	–	6	12	10	–	20	23	12	7
Mai	7.4	7.4	5.9	6.9	194.0	44.7	30.	19	18	4	2	–	–	2	–	2	15	–	2	8	4	1	27	**34**	7	10
Juni	7.4	7.3	7.2	7.3	**348.2**	46.4	5.	**23**	**22**	1	–	–	–	3	2	2	15	–	**7**	7	9	1	32	24	5	5
Juli	7.5	6.3	5.6	6.5	237.9	35.9	20.	19	18	–	–	–	–	**6**	–	2	9	1	5	4	5	1	32	29	10	6
August	4.6	3.8	3.6	4.0	91.2	27.6	8.	11	11	–	–	–	–	3	1	**11**	4	1	4	8	9	4	**11**	30	10	**16**
September	4.0	4.3	3.8	4.0	57.9	15.5	27.	11	9	–	–	–	–	–	1	**11**	4	–	2	11	**19**	3	15	27	5	8
Oktober	7.1	6.6	6.6	6.8	124.1	31.6	24.	16	13	2	1	–	–	–	2	3	15	**2**	4	12	11	2	22	28	8	4
November	6.7	5.3	4.5	5.5	105.4	**49.6**	22.	9	**7**	2	6	–	–	1	**5**	4	7	–	1	6	11	4	26	**22**	**13**	7
Dezember	**7.9**	**8.3**	**7.7**	**8.0**	104.6	21.2	30.	12	12	**12**	**31**	1	–	–	4	3	**22**	1	1	**15**	13	1	19	31	4	8
Jahr	6.6	6.4	5.7	6.3	1646.4	49.6	22. XI.	182	162	39	92	2	–	17	19	56	140	6	46	111	120	26	291	325	93	77

Alle Angaben nach Ortszeit.

1926

Berchtesgaden.

$\varphi = 47^0\ 38'$ N $\lambda = 13^0\ 0'$ E — H = ca 600 m

Monat	Luftdruck auf 0° und Normalschwere reduziert: Mittel mm	Maximum mm	Minimum mm	Lufttemperatur: 7a C°	2p C°	9p C°	Tagesmittel C°	Mittl. Maximum C°	Mittl. Minimum C°	Absol. Maximum C°	Datum	Absol. Minimum C°	Datum	Absolute Feuchtigkeit: 7a mm	2p mm	9p mm	Mittel mm	Relative Feuchtigkeit: 7a Proz.	2p Proz.	9p Proz.	Mittel Proz.	Minimum Proz.
Januar				- 3.1	1.2	- 1.8	- 1.4	1 8	- 4.7	8.2	1./28.	-19.0	13.	3 3	3.7	3.6	3.5	84	73	82	80	48
Februar				1.6	7.4	3.7	4.1	7.8	0.6	13.8	3.	- 3.5	16.	4.7	5.5	5.3	5.2	91	72	89	84	45
März				1.5	6.6	3.2	3 6	7 2	0 4	18.7	30.	- 4.2	6.	4.5	4.4	5.0	4.6	87	62	85	78	26
April				6.3	14.3	8.2	9.2	15.1	3.3	24.3	30.	- 2.5	12.	5.9	5.5	6.3	5.9	83	47	78	69	24
Mai				9.2	14.4	9.8	10.8	15.4	6,0	23.9	1./2.	- 1.8	10.	7.2	7.1	7.4	7.2	83	60	82	75	29
Juni				11.4	16.1	11.6	12 7	17.2	8.4	26.7	13.	2.9	2.	8.7	8.5	8 8	8.6	86	64	87	79	37
Juli				**14.1**	18 6	**14.6**	**15 4**	19.8	**11.7**	**30.6**	19.	7.5	28.	**10.9**	**10.8**	**11.3**	**11 0**	90	69	**91**	83	35
August				12.4	**19 9**	13.9	15.0	**20 5**	10.1	26.3	26.	6,0	29.	9.7	10.0	10 4	10.0	90	59	88	79	31
September				11.4	18.6	13.3	14 2	19.1	9.7	26.9	2.	3.2	28.	9.3	9.7	10.1	9.7	**92**	62	88	81	42
Oktober				5.1	12.0	7.4	8.0	12.7	3.8	23.0	31.	- 5.5	28.	6.2	6.7	7.1	6.7	91	65	90	82	36
November				3.8	10.1	4.5	5 7	10.6	1.8	19.1	19.	- 6,0	29.	5.2	6.1	5.6	5.6	87	67	88	81	26
Dezember				- 2.7	- 0.2	- 2.0	- 1.7	0.2	- 4.2	3.6	30.	-15.6	25.	3.6	3.9	3.7	3.7	90	**83**	89	**87**	64
Jahr				5.9	11.5	7.2	8.0	12.3	3.9	30 6	19 VII.	-19.0	13. I.	6.6	6.8	7.1	6.8	88	65	86	80	24

Urfeld.

$\varphi = 47^0\ 37'$ N $\lambda = 11^0\ 21'$ E — H = 855.4 m

Monat	Luftdruck auf 0° und Normalschwere reduziert: Mittel mm	Maximum mm	Minimum mm	Lufttemperatur: 7a C°	2p C°	9p C°	Tagesmittel C°	Mittl. Maximum C°	Mittl. Minimum C°	Absol. Maximum C°	Datum	Absol. Minimum C°	Datum	Absolute Feuchtigkeit: 7a mm	2p mm	9p mm	Mittel mm	Relative Feuchtigkeit: 7a Proz.	2p Proz.	9p Proz.	Mittel Proz.	Minimum Proz.
Januar				- 1.8	0.4	- 0.9	- 0 8	2.3	- 4.2	9.5	2.	-17.8	13.	3.2	3 5	3.6	3.4	77	71	81	77	34
Februar				2.8	6.7	4.5	4.6	7.9	0.6	13.2	3.	- 2.8	15.	4.7	5 0	5 2	5 0	84	70	84	79	39
März				0.6	4.0	1.9	2.1	5.5	- 1.4	15.9	29.	- 6.7	6.	4.4	4.8	4.9	4.7	91	80	91	87	35
April				4 7	11.7	7.2	7.7	13.1	2.6	25.0	30.	- 0.9	18.	5.1	5.5	5.9	5.5	82	57	77	72	24
Mai				6.6	11.2	8.0	8.5	12.6	4.7	22.5	1.	- 1.8	10.	6.2	6.7	6.9	6.6	86	71	86	81	24
Juni				8.7	13.3	9.8	10.4	15.1	6 6	23.0	13./22.	3.0	2.	7.7	7.9	8.1	7.9	91	71	89	84	42
Juli				**12.6**	16.8	13.3	14 0	18.0	10.2	**28.1**	19.	4.2	28.	**9.5**	**10.2**	**10.3**	**10.0**	88	73	90	84	34
August				11.8	**18.3**	13.4	**14.2**	**19 8**	10.1	26.8	26.	6,5	8./9./28.	8.8	9.7	9.8	9.4	86	63	86	78	38
September				12.1	17.4	**13.5**	14.1	18.3	**10.6**	25.1	1.	4.6	30.	9.1	9.7	9.9	9.6	87	67	85	80	46
Oktober				6.4	10 7	8.4	8.5	12.4	4.3	20.9	31.	- 1.7	28.	6.1	6.8	6.6	6.5	83	71	79	78	26
November				6.1	9.3	6.8	7.3	11.7	2.5	20.1	1.	- 5.5	28.	4.8	5.0	5.0	4.9	70	61	71	67	20
Dezember				- 2.9	- 1.6	- 2.4	- 2.3	0 3	- 4.7	8.5	13.	-14.8	25.	3 6	3.8	3.6	3.7	**95**	**91**	**92**	**93**	51
Jahr				5.6	9.9	7.0	7.4	11.4	3.5	28.1	19. VII.	-17.8	13. I.	6.1	6.6	6.7	6.4	85	71	84	80	20

Ettal.

$\varphi = 47^0.\ 34'$ N $\lambda = 11^0\ 5'$ E — H = 877.7 m Cg = ± 0,0 mm

Monat	Luftdruck auf 0° und Normalschwere reduziert: Mittel mm	Maximum mm	Minimum mm	Lufttemperatur: 7a C°	2p C°	9p C°	Tagesmittel C°	Mittl. Maximum C°	Mittl. Minimum C°	Absol. Maximum C°	Datum	Absol. Minimum C°	Datum	Absolute Feuchtigkeit: 7a mm	2p mm	9p mm	Mittel mm	Relative Feuchtigkeit: 7a Proz.	2p Proz.	9p Proz.	Mittel Proz.	Minimum Proz.
Januar	685.2	694.5	674 6	- 3.5	0.3	- 3.1	- 2.3	1.7	- 6.0	9.0	2./29.	-18.5	13.	3.0	3.3	3.3	3.2	79	67	84	77	49
Februar	685.2	696.4	670.4	1.6	7.1	3.4	3.9	8.5	- 0.3	14.1	2.	- 4.3	27.	4.2	4.9	4.8	4.7	83	67	84	78	38
März	685.5	696.4	675.2	0.2	4 9	1.6	2.1	6.3	- 1.8	16.8	29.	- 8.8	6.	4.2	4.6	4.4	4.4	87	70	83	80	20
April	684.3	693.1	671.9	4.8	12.1	6.7	7.6	13.7	2.0	24.5	30.	- 4.1	13.	5.3	5.3	5.7	5.4	82	52	78	71	17
Mai	682.9	690.5	669.2	8.2	12.4	7.9	9.1	14.7	4.2	24.1	1.	- 2.1	8.	6.3	6.5	6.5	6.4	**77**	62	81	74	16
Juni	685.3	692.1	678.2	10.1	14.2	10.0	11.1	16.8	6.5	24.8	13.	0.9	27.	7.7	7.5	7.8	7.7	82	63	84	76	37
Juli	687.2	691.3	682.2	**13.0**	17.1	13 1	14.1	19.5	**9.8**	**28.8**	19.	4.0	1./28.	**9.7**	**10.2**	**10 1**	**10 0**	86	71	**89**	82	43
August	689.6	694.0	685.8	11.0	**19.0**	**13.3**	**14.2**	**20.7**	8.9	27.0	26.	5.4	29.	8.8	9.7	9.6	9.4	89	62	83	78	33
September	**690.4**	695.0	683.2	10.4	17.9	12.5	13.3	19.4	8.8	26.5	1.	2.3	28.	8.8	9.7	9.3	9.3	**92**	62	88	81	39
Oktober	684.5	694.8	669.9	4.9	11.1	7.6	7.8	13.2	2.8	20.4	7.	- 4.9	28.	6.0	6.7	6.3	6.3	89	67	80	79	16
November	682.9	695.4	662.7	4 3	8.8	5 1	5.8	11.9	1.0	20.5	14.	- 7.9	28.	4.9	5.4	5.0	5.1	78	65	76	73	28
Dezember	687.7	**699.2**	675.6	- 4.0	- 1.5	- 3.5	- 3 1	- 0.1	- 6.3	5.2	31.	-21.5	26.	3.2	3.6	3.3	3.4	89	**83**	**89**	**87**	49
Jahr	685.9	699.2	662.7	5.1	10.3	6.2	7.0	12.2	2.5	28.8	9. VII.	-21.5	26. XII.	6.0	6.5	6.3	6.3	84	66	83	78	16

Einsiedel.

$\varphi = 47^0\ 34'$ N $\lambda = 11^0\ 18'$ E — H = 804.9 m

Monat	Luftdruck auf 0° und Normalschwere reduziert: Mittel mm	Maximum mm	Minimum mm	Lufttemperatur: 7a C°	2p C°	9p C°	Tagesmittel C°	Mittl. Maximum C°	Mittl. Minimum C°	Absol. Maximum C°	Datum	Absol. Minimum C°	Datum	Absolute Feuchtigkeit: 7a mm	2p mm	9p mm	Mittel mm	Relative Feuchtigkeit: 7a Proz.	2p Proz.	9p Proz.	Mittel Proz.	Minimum Proz.
Januar				- 4 0	0.4	- 3.3	- 2.5	1.9	- 6.4	8.5	29.	-19.1	13.	3.0	3.8	3.3	3.4	86	79	89	85	42
Februar				0.7	6 8	1.9	2 8	8.3	- 1.8	14.0	21.	- 4.1	15./16.	4.4	5.4	4.6	4.8	91	74	88	84	44
März				0.1	4.8	0.6	1.5	6.3	- 2.0	15.1	30	- 8.5	6.	4.2	4.9	4.5	4.5	91	77	92	86	35
April				5.0	12.5	4.8	6.8	14.2	1.0	25.5	30.	- 4.1	12.	5.6	6.1	5.7	5.8	85	58	88	77	21
Mai				8.2	12.4	6.8	8.6	14.3	3 2	25.1	1.	- 2.4	8.	6.6	7.0	6.4	6.7	81	67	88	78	23
Juni				10.4	13.8	8.7	10.4	16.2	6.1	25.7	13.	0.8	2.	8.0	8.4	7.8	8 0	85	73	92	83	30
Juli				**13 0**	17.3	**11.9**	**13.6**	19.3	**9.3**	28.2	19.	4.1	1.	**9.9**	10.8	**9.8**	**10.2**	88	75	94	86	52
August				12.7	**19.4**	11.2	**13 6**	**21.5**	7.2	**28.7**	27.	4.1	24.	9.0	**11.5**	9.1	9.9	83	68	92	81	44
September				11.6	17.9	11.0	12.9	19.4	7.7	26.2	1.	3.3	28.	8.9	**11.5**	9.2	9.9	88	75	94	86	45
Oktober				5.3	11 3	6.3	7.3	13.4	2.2	21.8	7.	- 5.1	28.	6.1	7.1	6.3	6.5	90	71	88	83	31
November				4 1	0.4	3.1	4.9	12.0	- 0.3	21.8	21.	- 8 4	27.	5.0	5.5	4.8	5.1	83	65	86	78	27
Dezember				- 3.7	- 0 2	- 3 3	- 2.6	1.0	- 5.5	7.0	13.	-15.9	25.	3 3	4.2	3.5	3.7	**93**	**89**	**95**	**93**	53
Jahr				5.3	10.5	5.0	6.4	12.3	1.7	28.7	27. VIII.	-19 1	13. I.	6.2	7.2	6.3	6.5	87	73	91	83	21

Alle Angaben nach Ortszeit.

1926

Monat	Bewölkung 7a	2p	9p	Mittel	Niederschlag Summe mm	Tagesmaximum Betrag mm	Tagesmaximum Gemessen am	Zahl der Tage ≧0.1 mm Niederschlag	≧1.0 mm	≧0.1 mm ✳	⊠	△	▲	⊼	≡	heitere	trübe	Windverteilung N	NE	E	SE	S	SW	W	NW	C
Berchtesgaden. h_t = 3.6 m, h_r = 1.5 m																										
Januar	8.1	7.4	5.2	6.9	66.0	12.7	6.	16	15	9	26	–	–	–	2	1	14	–	–	–	–	–	–	5	–	88
Februar	7.6	6.9	6.5	7.0	86.1	**45.0**	20.	12	11	1	2	–	–	–	5	1	12	–	–	12	–	–	–	4	–	68
März	7.5	7.5	7.4	7.5	158.1	26.0	8./9.	20	16	14	7	1	–	1	–	3	17	–	–	25	–	–	–	6	–	62
April	4.9	5.2	3.8	4.6	61.4	16.2	11.	13	9	1	–	**2**	–	1	–	**11**	9	–	–	**34**	–	–	–	7	–	49
Mai	6.9	7.4	6.5	6.9	150.8	28.5	7.	19	17	2	–	–	–	2	–	1	15	–	1	23	1	–	–	**12**	–	56
Juni	7.0	7.5	7.3	7.3	268.2	40.0	25.	22	21	–	–	–	–	5	–	1	12	–	–	24	–	–	–	3	–	63
Juli	7.9	**8.4**	7.1	7.8	**295.9**	29.0	31.	**24**	**24**	–	–	–	–	5	–	2	20	–	–	23	–	–	–	4	1	65
August	4.8	5.5	4.7	5.0	144.6	19.6	12.	15	15	–	–	–	–	**8**	–	9	4	–	**10**	23	–	–	–	3	–	57
September	5.1	4.9	4.7	4.9	73.4	17.5	4.	11	10	–	–	–	–	3	–	10	10	–	5	18	–	–	–	4	–	63
Oktober	6.1	6.2	5.9	6.1	132.5	36.0	1.	15	14	5	–	–	–	1	1	2	11	–	1	20	–	–	–	5	–	67
November	5.8	5.0	3.6	4.8	40.3	20.0	22.	9	5	1	1	–	–	–	4	5	4	–	–	14	–	–	–	2	–	74
Dezember	**8.6**	8.2	**8.2**	**8.3**	156.2	35.8	22.	20	14	**17**	**28**	–	–	–	**7**	2	**21**	–	–	9	–	–	–	5	–	79
Jahr	6.7	6.7	5.9	6.4	1633.5	45.0	20. II.	196	171	50	64	3	–	26	19	48	149	–	17	225	1	–	–	60	1	791
Urfeld. h_t = 1.9 m, h_r = 1.0 m																										
Januar	6.4	6.7	6.0	6.4	75.6	12.1	19.	18	17	11	22	1	–	–	5	4	10	8	1	–	**2**	34	**10**	24	**14**	–
Februar	6.2	6.8	5.8	6.3	74.8	35.4	20.	15	10	2	2	–	–	1	4	2	11	13	1	–	–	39	4	15	10	**2**
März	7.4	**8.0**	7.0	7.5	188.3	20.3	12.	23	18	**19**	21	**2**	–	1	**10**	1	17	14	–	–	1	27	9	34	8	–
April	5.2	5.3	4.6	5.0	71.2	19.2	10.	18	14	4	1	–	–	1	3	8	6	18	**2**	1	1	41	4	16	7	–
Mai	6.8	7.8	6.5	7.1	201.5	35.5	30.	22	20	4	1	–	–	5	2	3	15	11	–	–	–	43	4	26	9	–
Juni	7.3	7.0	7.4	7.2	**408.2**	**50.2**	20.	**27**	**25**	–	–	–	–	2	4	–	15	9	–	**2**	–	33	2	**37**	7	–
Juli	7.5	6.7	7.1	7.1	343.6	44.5	31.	24	21	–	–	–	–	**10**	1	3	15	17	1	**2**	–	31	6	36	–	–
August	4.8	4.4	4.2	4.5	145.6	33.7	23.	14	13	–	–	–	–	5	1	**12**	5	25	–	1	–	44	1	17	5	–
September	5.7	4.8	4.3	4.9	70.0	12.0	4.	15	14	–	–	–	–	1	3	7	7	21	–	1	1	43	6	12	6	–
Oktober	6.5	5.9	6.4	6.2	96.6	18.0	18.	17	13	4	1	–	–	–	3	4	11	17	–	–	1	45	3	18	9	–
November	5.8	5.0	4.8	5.2	37.8	23.1	22.	10	6	3	3	–	–	–	2	5	5	18	–	–	–	**59**	1	**7**	5	–
Dezember	**8.3**	7.4	**7.8**	**7.8**	122.5	23.0	6.	19	14	18	**28**	1	–	–	**10**	2	**20**	**38**	1	–	**2**	23	–	21	7	1
Jahr	6.5	6.3	6.0	6.3	1835.7	50.2	20. VI.	222	185	55	79	4	–	26	48	51	137	209	6	7	8	462	50	263	87	3
Ettal. h_t = 8.0 m, h_r = 1.8 m																										
Januar	6.2	6.5	5.8	6.2	96.6	19.0	16.	17	16	11	**28**	–	–	–	–	4	12									
Februar	6.5	7.4	7.8	7.2	61.8	27.0	20.	12	11	2	7	–	–	1	2	2	12									
März	7.5	8.3	7.8	7.9	183.5	21.6	11.	19	18	**16**	23	–	–	–	1	1	18									
April	4.8	6.4	5.4	5.5	67.9	17.1	10.	14	9	3	2	–	–	1	1	8	11									
Mai	7.0	**8.6**	7.4	7.7	153.6	33.1	30.	22	16	4	1	–	–	1	–	1	18									
Juni	**8.0**	8.5	**8.1**	**8.2**	**331.7**	**55.0**	20.	**26**	**26**	–	–	–	–	2	2	–	19									
Juli	7.6	8.2	7.2	7.7	312.8	47.5	28.	25	20	–	–	–	–	**7**	–	2	**21**					*)				
August	5.2	5.2	4.6	5.0	133.7	24.7	18.	15	13	–	–	–	–	2	–	**10**	8									
September	5.3	5.7	4.8	5.3	100.2	28.0	7.	16	11	–	–	–	–	4	–	7	8									
Oktober	6.8	6.7	5.8	6.5	95.4	18.7	24.	16	15	2	3	–	–	–	**6**	4	14									
November	5.5	6.1	4.4	5.3	50.4	27.8	22.	11	7	4	6	–	–	–	3	6	6									
Dezember	6.6	8.1	7.8	7.5	107.7	25.0	30.	16	13	15	**28**	1	–	–	4	2	17									
Jahr	6.4	7.1	6.4	6.7	1695.3	55.0	20. VI.	209	175	57	98	1	–	18	19	47	164									

*) Windbeobachtungen unmöglich.

Einsiedel. h_t = 1.9 m

Januar	5.4	6.4	5.3	6.4														4	11	12	–	6	2	4	9	36	**24**	–
Februar	6.5	6.8	6.2	6.5														4	9	9	2	10	–	10	10	36	7	–
März	7.5	7.5	7.4	7.5														2	17	8	3	11	–	11	**18**	30	12	–
April	5.2	6.1	6.8	6.0														8	16	3	4	21	**5**	**21**	7	23	6	–
Mai	7.1	7.8	**7.8**	7.6														2	16	1	3	26	3	8	6	37	9	–
Juni	7.8	7.8	**7.8**	7.8														–	19	4	**9**	21	1	8	6	36	5	–
Juli	7.5	7.2	7.2	7.3														3	19	4	3	19	3	8	**18**	28	10	–
August	4.9	4.5	4.2	4.5														**10**	**4**	2	3	**37**	1	9	3	34	**4**	–
September	5.1	6.0	6.2	5.7														7	11	4	1	18	4	3	9	44	7	–
Oktober	6.1	5.7	5.8	5.9														4	10	7	1	11	1	7	15	42	9	–
November	5.1	4.8	3.6	4.5														7	4	12	2	12	1	3	17	34	9	–
Dezember	**8.0**	**8.2**	7.6	**7.9**														4	**23**	**15**	1	**1**	1	–	–	**51**	**24**	–
Jahr	6.4	6.6	6.5	6.5														55	159	81	32	193	22	92	118	431	126	–

Alle Angaben nach Ortszeit.

1926

Lindau i. B. (Reutin).

$\varphi = 47^0\ 33'$ N $\lambda = 9^0\ 41'$ E — H = 401.7 m Cg = + 0.1 mm

Monat	Luftdruck auf 0° und Normalschwere reduziert: Mittel mm	Maximum mm	Minimum mm	Lufttemperatur: 7a C°	2p C°	9p C°	Tagesmittel C°	Mittl. Maximum C°	Mittl. Minimum C°	Absol. Maximum C°	Datum	Absol. Minimum C°	Datum	Absolute Feuchtigkeit: 7a mm	2p mm	9p mm	Mittel mm	Relative Feuchtigkeit: 7a Proz.	2p Proz.	9p Proz.	Mittel Proz.	Minimum Proz.
Januar	727.2	736.9	715.8	- 0.6	1.9	- 0.9	- 0.1	2.8	- 3.2	10.1	1.	-13.3	13.	3.9	4.2	3.9	4.0	84	77	88	83	47
Februar	726.3	738.6	707.8	2.5	7.0	4.4	4.6	8.6	1.1	13.3	3.	- 2.4	15.	5.1	5.9	5.6	5.5	93	**80**	**89**	**87**	59
März	727.2	740.4	714.5	2.6	7.2	4.7	4.8	8.7	1.6	18.5	29.	- 2.0	25.	5.1	5.7	5.5	5.4	91	74	84	83	56
April	724.7	734.7	709.9	6.8	14.0	10.0	10.2	15.7	4.8	26.3	30.	- 0.1	12.	6.4	7.0	6.7	6.7	87	60	74	74	40
Mai	723.3	730.4	707.8	9.0	14.3	10.7	11.2	15.7	6.9	26.0	1.	- 0.9	10.	7.9	8.4	7.9	8.1	91	70	83	81	35
Juni	725.6	732.9	717.6	11.5	16.6	12.7	13.4	17.9	9.5	24.8	21.	4.9	4.	9.2	9.4	9.5	9.4	91	69	87	82	37
Juli	727.1	731.9	721.8	**14.9**	19.8	**16.5**	**16.9**	21.1	**12.8**	**28.1**	19.	8.0	28.	**11.5**	12.2	**11.8**	**11.9**	91	72	85	82	47
August	729.5	734.7	725.6	13.7	**20.4**	15.9	16.5	**21.8**	11.6	26.9	26.	7.7	1.	10.7	**12.4**	11.6	11.6	92	70	86	83	56
September	**730.5**	735.4	722.8	12.4	19.6	14.9	15.5	20.8	11.1	26.3	12.	5.0	29.	10.2	11.8	11.3	11.1	**94**	70	**89**	84	51
Oktober	724.9	736.3	709.5	7.9	12.6	9.4	9.8	14.0	6.1	21.5	31.	- 2.7	28.	7.2	7.9	7.6	7.6	88	72	85	82	36
November	723.2	736.6	700.2	4.7	8.5	5.7	6.1	11.0	2.7	21.6	19.	- 4.8	29.	5.9	6.5	5.9	6.1	91	79	87	86	39
Dezember	**730.5**	**741.9**	717.0	- 1.1	1.1	- 0.4	- 0.2	1.7	- 2.3	6.9	10.	-11.2	26./27.	3.9	4.1	4.0	4.0	89	**80**	88	85	61
Jahr	726.7	741.9	700.2	7.0	11.9	8.6	9.1	13.3	5.2	28.1	19. VII.	-13.3	13. I.	7.3	8.0	7.6	7.6	90	73	85	83	35

Partenkirchen.

$\varphi = 47^0\ 30'$ N $\lambda = 11^0\ 6'$ E — H = 716.8 m Cg = + 0.1 mm

Monat	Luftdruck auf 0° und Normalschwere reduziert: Mittel mm	Maximum mm	Minimum mm	Lufttemperatur: 7a C°	2p C°	9p C°	Tagesmittel C°	Mittl. Maximum C°	Mittl. Minimum C°	Absol. Maximum C°	Datum	Absol. Minimum C°	Datum	Absolute Feuchtigkeit: 7a mm	2p mm	9p mm	Mittel mm	Relative Feuchtigkeit: 7a Proz.	2p Proz.	9p Proz.	Mittel Proz.	Minimum Proz.
Januar	699.9	709.2	690.0	- 3.5	1.5	- 2.5	- 1.7	2.8	- 5.4	9.0	29.	-17.7	13.	3.2	3.4	3.5	3.4	84	65	87	79	43
Februar	699.5	711.3	684.6	1.6	9.1	3.3	4.3	10.3	0.3	15.2	3.	- 3.9	27.	4.4	5.1	5.0	4.8	85	60	87	77	36
März	699.8	711.4	689.4	1.0	6.6	2.5	3.1	8.3	- 0.6	19.1	29.	- 9.1	6.	4.5	4.9	4.8	4.8	91	69	87	82	27
April	698.2	707.1	685.3	6.6	14.2	6.9	8.6	15.6	3.5	26.9	30.	- 1.0	18.	5.7	5.8	6.2	5.9	80	51	85	72	24
Mai	696.7	703.4	682.4	8.7	13.7	8.1	9.6	15.2	4.9	24.6	1.	- 2.0	10.	7.1	7.7	7.2	7.4	85	68	89	81	27
Juni	699.2	706.1	691.4	10.3	15.0	10.5	11.6	16.8	7.5	25.1	13.	3.3	2.	8.6	9.0	8.8	8.8	92	73	93	86	32
Juli	700.8	705.1	695.2	**13.3**	18.1	**13.8**	14.7	19.7	**10.9**	**29.2**	19.	5.0	1.	**10.7**	**11.2**	**11.2**	**11.0**	**93**	74	**94**	87	39
August	703.2	708.0	699.1	12.5	**20.4**	13.4	**14.9**	**21.8**	9.7	28.1	26.	6.0	29.	9.7	10.9	10.7	10.5	90	63	93	82	41
September	**704.1**	709.0	697.0	11.4	19.2	12.6	14.0	20.3	9.7	27.4	1.	4.1	28.	9.3	10.6	10.3	10.1	**93**	65	**94**	84	44
Oktober	698.6	709.3	684.2	6.1	12.6	7.5	8.4	13.9	4.1	21.5	31.	- 2.8	25.	6.4	7.0	6.8	6.7	89	64	87	80	30
November	697.1	709.9	676.6	4.4	10.5	4.5	5.9	12.3	1.7	21.0	14.	- 7.0	28.	5.1	5.8	5.4	5.4	82	63	84	76	21
Dezember	702.4	**714.0**	690.6	- 3.9	- 0.6	- 3.0	- 2.6	0.2	- 5.3	7.1	13.	-19.3	26.	3.3	3.7	3.5	3.5	91	**83**	93	**89**	60
Jahr	700.0	714.0	676.6	5.7	11.7	6.5	7.6	13.1	3.4	29.2	19. VII.	-19.3	26. XII.	6.5	7.1	7.0	6.9	88	67	89	81	21

Krünn.

$\varphi = 47^0\ 30'$ N $\lambda = 11^0\ 17'$ E — H = 875.2 m

Monat	Luftdruck auf 0° und Normalschwere reduziert: Mittel mm	Maximum mm	Minimum mm	Lufttemperatur: 7a C°	2p C°	9p C°	Tagesmittel C°	Mittl. Maximum C°	Mittl. Minimum C°	Absol. Maximum C°	Datum	Absol. Minimum C°	Datum	Absolute Feuchtigkeit: 7a mm	2p mm	9p mm	Mittel mm	Relative Feuchtigkeit: 7a Proz.	2p Proz.	9p Proz.	Mittel Proz.	Minimum Proz.
Januar				- 5.5	0.6	- 4.4	- 3.4	1.5	- 7.9	9.6	2.	-21.5	13.	2.8	3.4	3.2	3.2	90	70	93	84	47
Februar				0.3	8.4	2.7	3.5	9.6	- 1.8	15.3	6.	- 5.9	16.	4.2	4.8	4.7	4.6	91	60	86	79	28
März				- 0.7	5.6	1.1	1.8	7.3	- 2.2	16.3	26./29./30.	- 8.8	6.	4.2	4.6	4.6	4.4	95	69	92	85	29
April				2.5	12.9	5.0	6.4	14.4	0.7	25.0	30.	- 4.5	13.	5.2	6.0	5.8	5.7	94	56	89	80	24
Mai				6.7	12.4	7.4	8.5	14.1	3.2	23.3	1./2.	- 4.0	8./10.	6.5	6.8	6.8	6.7	90	66	88	81	22
Juni				9.0	14.0	9.4	10.4	16.2	5.9	24.0	22.	- 0.3	2.	7.9	8.0	8.1	8.0	91	69	92	84	34
Juli				**11.8**	17.2	**12.6**	**13.5**	19.1	**9.1**	**29.8**	19.	3.1	1.	**9.6**	**10.4**	**10.3**	**10.1**	93	73	**94**	**87**	35
August				9.5	**20.0**	11.8	13.2	**21.4**	7.1	26.8	31.	2.8	24.	8.3	9.9	9.5	9.2	94	59	92	81	28
September				8.4	18.4	11.3	12.3	19.4	7.0	27.3	1.	3.3	27.	8.0	9.4	9.4	9.0	**96**	62	93	84	36
Oktober				3.7	12.5	6.8	7.5	13.8	2.0	21.3	7.	- 6.4	28.	5.4	6.1	6.1	5.9	90	58	82	76	24
November				2.2	10.4	4.6	5.4	12.5	- 0.4	18.4	14.	-10.2	28.	4.2	5.0	4.7	4.6	81	55	**76**	**71**	24
Dezember				- 5.5	- 1.1	- 4.1	- 3.7	0.0	- 7.3	5.2	1.	-19.6	26.	**2.7**	**3.3**	**3.0**	**3.0**	86	**76**	84	82	65
Jahr				3.5	10.9	5.4	6.3	12.4	1.3	29.8	19. VII.	-21.5	13. I.	5.8	6.5	6.4	6.2	91	64	88	81	22

Mittenwald.*)

$\varphi = 47^0\ 27'$ N $\lambda = 11^0\ 16'$ E — H = 915.7 m, ab 22. IX. H = 917.7 m Cg = ± 0.0 m

Monat	Luftdruck auf 0° und Normalschwere reduziert: Mittel mm	Maximum mm	Minimum mm	Lufttemperatur: 7a C°	2p C°	9p C°	Tagesmittel C°	Mittl. Maximum C°	Mittl. Minimum C°	Absol. Maximum C°	Datum	Absol. Minimum C°	Datum	Absolute Feuchtigkeit: 7a mm	2p mm	9p mm	Mittel mm	Relative Feuchtigkeit: 7a Proz.	2p Proz.	9p Proz.	Mittel Proz.	Minimum Proz.
Januar	682.6	692.7	671.7	- 2.9	1.3	- 1.5	- 1.2	2.1	- 4.9	11.1	27.	-18.9	13.	3.0	3.3	3.4	3.2	78	65	80	74	30
Februar	682.6	693.8	667.1	2.6	8.5	4.2	4.9	10.1	1.0	15.2	21.	- 4.0	27.	4.2	4.6	4.6	4.5	78	57	75	70	33
März	682.6	694.1	672.5	0.5	6.4	2.3	2.8	8.4	- 0.6	17.6	3.	-11.1	6.	4.1	4.9	4.5	4.5	87	69	83	80	35
April	681.6	690.9	670.1	5.2	14.0	8.2	8.9	15.8	3.7	27.7	30.	- 1.0	12,	4.8	5.4	5.5	5.2	74	49	69	64	16
Mai	680.2	687.9	667.6	7.0	12.9	8.8	9.4	15.3	5.1	25.0	1.	- 3.5	10.	6.1	6.7	6.5	6.4	81	63	77	74	23
Juni	682.7	690.6	675.7	8.4	14.7	10.7	11.1	17.4	6.8	25.8	21.	2.5	27.	7.3	8.2	7.9	7.8	88	67	83	79	37
Juli	684.7	689.0	679.0	**12.0**	17.9	13.9	14.4	20.6	**10.5**	**32.1**	19.	4.2	1.	**9.2**	**10.1**	**10.0**	**9.8**	**89**	69	84	80	27
August	687.2	691.8	682.9	11.6	**20.3**	**14.0**	**15.0**	**22.4**	9.7	29.4	26.	5.0	29.	8.4	9.4	9.8	9.2	83	56	82	74	29
September	**688.0**	692.5	680.5	10.8	18.8	12.6	13.7	20.4	9.4	28.6	1.	3.0	28.	8.3	9.3	9.5	9.0	86	60	86	78	33
Oktober	681.7	692.2	665.6	6.2	12.2	7.4	8.3	13.6	3.8	22.4	7.	- 4.5	20.	5.6	6.3	6.2	6.0	78	60	80	73	34
November	680.2	692.9	659.7	5.6	10.7	6.7	7.4	12.6	2.3	20.7	17.	- 6.7	28.	4.3	4.7	4.4	4.5	67	51	63	60	23
Dezember	685.1	**696.8**	672.0	- 4.1	- 0.5	- 3.1	- 2.7	1.1	6.1	7.8	13.	-18.1	26.	3.1	3.5	3.3	3.3	88	**79**	**88**	**85**	56
Jahr	683.3	696.8	659.7	5.2	11.4	7.0	7.7	13.3	3.4	32.1	19. VII.	-18.9	13. I.	5.7	6.4	6.3	6.1	81	62	79	74	16

Alle Angaben nach Ortszeit.

*) Ab 22. IX. 7a Höhenänderung; Barometerstände bis Ende des Jahres auf alte Höhe reduziert.

1926

Lindau i. B. (Reutin).

h_t = 2.1 m, h_r = 1.4 m

Monat	Bewölkung 7a	2p	9p	Mittel	Niederschlag Summe mm	Tagesmaximum Betrag mm	Gemessen am	Zahl der Tage ≧0.1 mm Niederschlag	≧1.0 mm	≧0.1 mm ✳	⊠	△	▲	⊠	≡	heitere	trübe	Windverteilung N	NE	E	SE	S	SW	W	NW	C
Januar	7.0	6.5	6.6	6.7	85.4	20.9	18.	15	13	8	**16**	1	–	–	2	5	12	3	9	–	–	24	–	10	1	46
Februar	7.7	7.9	7.1	7.6	57.7	15.8	20.	11	9	–	4	1	–	–	**7**	**1**	15	5	10	–	–	**11**	2	4	**2**	**50**
März	7.7	7.7	7.4	7.6	104.1	20.3	8.	14	13	6	4	**2**	–	1	–	2	16	–	14	–	–	16	**3**	16	–	44
April	5.5	4.8	5.8	5.4	61.5	18.4	5.	15	9	–	–	1	–	1	–	6	10	4	17	–	–	12	1	**32**	–	24
Mai	7.1	6.6	6.9	6.9	190.6	33.2	7.	19	18	–	–	–	–	2	–	3	13	3	10	–	–	20	1	28	1	30
Juni	6.6	6.9	**7.9**	7.1	**342.7**	51.3	4.	**24**	**22**	–	–	1	–	**5**	–	4	16	**6**	8	–	–	**26**	1	25	1	23
Juli	6.8	6.3	5.8	6.3	238.1	41.9	30.	19	17	–	–	–	–	4	–	5	14	1	10	–	–	23	–	21	–	38
August	4.8	3.9	3.6	4.1	76.3	22.7	8.	10	7	–	–	–	–	3	–	**13**	7	5	15	–	–	12	1	14	–	46
September	3.9	4.1	3.4	3.8	57.4	19.3	13.	9	7	–	–	–	–	3	–	**13**	**6**	2	18	–	–	**11**	1	18	–	40
Oktober	7.2	6.3	7.4	7.0	69.7	19.6	24.	14	10	–	–	–	–	–	–	2	16	3	17	–	–	21	2	12	–	38
November	8.4	6.3	6.3	7.0	96.6	**53.7**	22.	10	7	–	–	–	–	1	2	**1**	13	1	**23**	–	–	13	**3**	7	1	42
Dezember	**8.5**	**8.2**	**7.9**	**8.2**	41.9	14.4	30.	13	8	**9**	7	–	–	–	2	2	**22**	5	19	–	–	13	1	19	–	36
Jahr	6.8	6.3	6.3	6.5	1492.0	53.7	22. XI.	173	140	23	31	6	–	20	13	57	160	38	170	–	–	202	16	206	6	457

Partenkirchen.

h_t = 2.1 m, h_r = 1.2 m

Monat	Bewölkung 7a	2p	9p	Mittel	Niederschlag Summe mm	Tagesmaximum Betrag mm	Gemessen am	Zahl der Tage ≧0.1 mm Niederschlag	≧1.0 mm	≧0.1 mm ✳	⊠	△	▲	⊠	≡	heitere	trübe	Windverteilung N	NE	E	SE	S	SW	W	NW	C
Januar	6.2	6.6	5.9	6.3	57.3	16.0	21.	15	15	12	16	–	–	–	–	4	9	**1**	–	–	9	14	2	–	4	63
Februar	6.9	7.1	7.0	7.0	53.5	29.2	20.	10	6	2	4	–	–	1	1	2	11	**1**	–	–	8	12	1	–	10	52
März	**7.5**	**7.9**	7.9	7.8	117.7	18.5	8.	20	15	12	14	–	–	–	–	3	**20**	11	–	–	4	**4**	1	1	**13**	59
April	5.1	6.2	5.0	5.4	69.6	15.0	20.	15	12	1	1	2	–	–	–	7	9	14	1	–	**1**	16	–	–	4	54
Mai	7.0	7.8	6.8	7.2	111.9	24.6	30.	21	15	3	–	–	–	3	1	2	12	5	–	–	**1**	12	1	–	10	64
Juni	7.2	**7.9**	**8.5**	**7.9**	**293.5**	**40.2**	20.	**25**	**23**	–	–	–	–	4	–	–	14	3	–	–	3	5	3	**3**	5	68
Juli	**7.5**	**7.9**	7.0	7.5	246.0	37.5	28.	24	**23**	–	–	–	–	**8**	–	1	19	12	1	–	2	9	1	1	3	64
August	4.9	5.0	4.6	4.8	103.4	20.7	5.	14	12	–	–	–	–	2	–	**9**	9	**21**	–	–	**1**	11	3	2	2	53
September	5.2	5.5	4.9	5.2	56.6	12.2	7.	16	12	–	–	–	–	5	–	**9**	9	17	1	–	**1**	9	4	–	3	55
Oktober	6.8	6.3	5.4	6.2	67.6	23.6	24.	16	11	3	1	–	–	–	–	2	11	4	–	–	**1**	22	**5**	2	11	48
November	6.2	5.5	5.1	5.6	42.4	25.4	22.	9	5	2	4	–	–	–	1	5	3	3	–	–	**16**	**26**	1	–	4	40
Dezember	**7.5**	**7.9**	7.4	7.6	76.9	18.5	6.	16	11	**15**	**28**	–	–	–	–	**1**	16	2	–	–	3	10	–	–	**1**	**77**
Jahr	6.5	6.8	6.3	6.5	1196.4	40.2	20.VI.	201	160	50	68	2	–	23	3	45	142	94	3	–	50	150	22	9	70	697

Krünn.

h_t = 1.9 m, h_r = 1.0 m

Monat	Bewölkung 7a	2p	9p	Mittel	Niederschlag Summe mm	Tagesmaximum Betrag mm	Gemessen am	Zahl der Tage ≧0.1 mm Niederschlag	≧1.0 mm	≧0.1 mm ✳	⊠	△	▲	⊠	≡	heitere	trübe	Windverteilung N	NE	E	SE	S	SW	W	NW	C
Januar	5.9	6.7	4.5	5.7	**30.7**	5.6	8.	15	12	11	14	–	–	–	4	7	11	23	–	–	–	29	–	–	–	41
Februar	**8.9**	6.9	5.8	7.2	44.0	21.2	20.	11	8	2	1	–	–	1	3	–	13	18	–	–	–	29	–	–	–	37
März	8.2	7.5	7.4	7.7	117.1	18.8	8.	18	16	**13**	17	1	–	1	6	4	**23**	29	–	–	–	22	–	–	–	42
April	6.2	6.5	5.3	6.0	53.6	10.1	20.	12	9	8	2	–	–	–	1	7	14	**34**	–	–	–	17	–	–	–	39
Mai	7.4	**8.6**	6.4	7.5	99.9	29.3	30.	16	15	3	1	–	–	3	1	2	14	23	–	–	–	19	–	–	–	51
Juni	7.9	8.3	7.7	8.0	**312.8**	**40.7**	20.	**22**	**22**	–	–	–	–	4	–	–	17	21	–	–	–	17	1	1	–	50
Juli	8.1	8.2	**8.2**	**8.1**	298.8	38.0	28.	**22**	**22**	–	–	–	–	**9**	2	1	22	19	–	–	–	20	–	–	–	54
August	6.0	5.3	4.3	5.2	119.1	25.0	12.	12	12	–	–	–	–	2	–	**8**	10	24	–	–	–	11	–	–	–	**58**
September	6.5	5.5	4.8	5.6	66.9	21.8	23.	11	11	–	–	1	–	5	2	6	10	30	–	–	–	4	1	1	–	54
Oktober	8.6	6.1	5.0	6.6	69.1	20.3	24.	10	10	2	1	–	–	–	**8**	1	13	29	–	–	–	**34**	1	**4**	1	**24**
November	6.6	5.9	3.2	5.2	38.8	27.4	22.	7	6	2	1	1	–	–	–	5	3	30	–	–	–	31	–	–	–	29
Dezember	7.9	7.9	5.6	7.1	63.9	15.4	30.	13	11	12	**29**	**2**	–	–	4	3	15	16	–	–	–	19	–	–	–	**58**
Jahr	7.4	7.0	5.7	6.7	1314.7	40.7	20. VI.	169	154	53	66	5	–	25	31	44	165	296	–	–	–	252	3	6	1	537

Mittenwald.

h_t = 2.5 m, ab 22. IX. h_t = 1.9 m; h_r = 1.8 m, ab 22. IX. h_r = 1.2 m

Monat	Bewölkung 7a	2p	9p	Mittel	Niederschlag Summe mm	Tagesmaximum Betrag mm	Gemessen am	Zahl der Tage ≧0.1 mm Niederschlag	≧1.0 mm	≧0.1 mm ✳	⊠	△	▲	⊠	≡	heitere	trübe	Windverteilung N	NE	E	SE	S	SW	W	NW	C
Januar	5.5	7.2	4.0	5.6	48.4	9.6	20.	13	11	13	19	–	–	–	–	6	8	–	7	1	13	2	**35**	2	11	22
Februar	6.5	6.8	5.0	6.1	59.7	23.8	20.	9	8	2	2	–	–	–	–	6	10	–	5	1	8	–	28	4	9	29
März	7.7	8.0	7.2	7.6	186.9	27.8	11.	17	17	14	17	2	–	–	–	3	18	–	3	–	5	2	13	3	**32**	35
April	5.1	6.1	5.3	5.5	65.6	14.7	20.	13	11	6	2	–	–	–	–	9	13	–	5	–	7	7	25	2	9	35
Mai	7.1	**8.5**	7.5	7.7	111.4	28.4	30.	19	18	4	–	–	1	4	–	2	18	–	7	–	8	3	24	–	20	31
Juni	7.5	8.4	**8.4**	**8.1**	**350.0**	**61.6**	20.	**22**	**21**	–	–	–	–	2	–	–	17	–	8	1	9	2	18	1	21	30
Juli	**8.3**	8.2	7.5	8.0	307.6	47.4	28.	21	**21**	–	–	–	–	**8**	–	2	**21**	–	8	–	15	2	7	–	20	**41**
August	5.5	5.4	5.2	5.4	129.5	25.6	23.	12	12	–	–	–	–	1	–	**10**	10	1	7	–	**18**	4	12	–	17	34
September	5.3	5.5	5.0	5.3	97.2	32.6	6.	14	11	–	–	–	1	5	1	8	9	–	6	–	11	6	8	3	17	39
Oktober	6.6	5.9	5.0	5.8	61.4	19.0	24.	13	10	3	2	–	–	1	–	3	9	17	**14**	8	1	29	10	**10**	–	4
November	5.4	6.3	3.4	5.0	35.3	24.0	22.	7	7	3	2	–	–	–	–	3	2	11	2	3	–	**33**	31	9	1	–
Dezember	7.6	8.0	6.0	7.2	61.8	16.2	30.	16	10	**16**	**28**	–	–	1	**2**	3	15	**23**	10	**29**	2	20	3	3	3	–
Jahr	6.5	7.0	5.8	6.4	1514.8	61.6	20. VI.	176	157	61	72	2	2	22	3	55	150	52	82	43	97	110	214	37	160	300

Alle Angaben nach Ortszeit.

1926

Oberstdorf.

$\varphi = 47^0$ 24' N $\lambda = 10^0$ 17' E — H = 812.3 m Cg = + 0.1 mm

Monat	Luftdruck auf 0° und Normalschwere reduziert			Lufttemperatur										Absolute Feuchtigkeit				Relative Feuchtigkeit				
	Mittel	Maximum	Minimum	7a	2p	9p	Tagesmittel	Mittl. Maximum	Mittl. Minimum	Absol. Maximum	Datum	Absol. Minimum	Datum	7a	2p	9p	Mittel	7a	2p	9p	Mittel	Minimum
	mm	mm	mm	C°	C°	C°	C°	C°	C°	C°		C°		mm	mm	mm	mm	Proz.	Proz.	Proz.	Proz.	Proz
Januar	691.2	700.4	679.8	- 3.7	1.1	- 3.1	- 2.2	3.0	- 6.5	12.8	2.	-20.0	13.	3.1	3.2	3.2	3.2	84	62	84	77	42
Februar	690.9	702.5	674.5	0.8	8.0	3.1	3.7	10.3	- 1.1	20.0	2.	- 4.8	9.	4.3	4.7	4.9	4.6	88	61	85	78	28
März	691.5	703.9	680.3	0.5	6.4	2.1	2.8	8.3	- 1.1	16.7	29.	- 9.4	6.	4.3	4.5	4.6	4.5	87	63	86	79	28
April	689.8	698.9	676.9	4.1	12.8	6.5	7.5	14.5	1.2	24.6	30.	- 4.2	12.	5.1	5.5	5.5	5.3	81	53	76	70	15
Mai	688.4	695.1	674.7	7.7	13.1	7.8	9.1	15.0	3.4	26.2	1.	- 3.0	10.	6.8	6.7	6.8	6.8	85	61	85	77	20
Juni	690.7	698.2	683.4	9.8	14.6	9.9	11.0	17.2	6.0	24.4	21.	0.5	28.	8.0	7.8	8.2	8.0	88	65	89	81	35
Juli	692.7	697.0	687.5	**13.1**	17.9	**13.0**	**14.3**	19.9	**9.4**	**28.3**	18.	4.4	1.	**9.6**	**10.3**	**10.3**	**10.1**	86	69	**92**	82	37
August	695.3	701.0	691.4	10.5	**19.7**	12.5	13.8	**21.1**	8.4	26.2	17.	3.8	24.	8.9	9.8	10.0	9.6	93	60	**92**	82	29
September	**696.3**	700 8	689.0	10.4	18.8	11.8	13.2	19.6	8.0	25.8	1.	3.0	28.	9.0	9.7	9.6	9.4	**95**	62	**92**	83	43
Oktober	690.3	701.2	675.5	4.9	10.9	6.8	7.4	13.1	2.7	19.8	31.	- 9.2	28.	6.4	7.9	6.7	7.0	94	**78**	89	**87**	32
November	688.4	702.2	667.8	2 7	8.8	2.9	4.3	10.7	- 0.3	20.0	14.	-10.3	29.	4.8	5.5	5.3	5.2	86	66	90	81	20
Dezember	693.7	**705.5**	681.0	- 4.6	- 0.8	- 3.6	- 3.2	0.5	- 6.6	6.2	10.	-21.2	26.	3.2	3.5	3.4	3.4	91	**78**	91	**87**	53
Jahr	691.6	705.5	667.8	4.7	10.9	5.8	6.8	12.8	2.0	28.3	18. VII.	-21.2	26. XII.	6.1	6.6	6.6	6.4	86	65	88	80	15

Riezlern.

$\psi = 47^0$ 22' N $\lambda = 10^0$ 11' E — H = ca 1150 m

Januar										9.4	27.	-23.9	13.									
Februar				0.8	7.7	2.2	3.2	9.3	- 1.4	16.2	21.	- 5.1	15.	3.8	4.6	4.5	4.3	79	61	84	74	16
März				- 1.3	4.1	0.5	1.0	5.7	- 2.8	15.5	29.	-10.5	6.	3.8	3.9	4.0	3.9	88	86	85	80	29
April				3.4	10.9	4.4	5.8	12.6	0.6	23.5	30.	- 4.3	18.	5.0	5.6	5.3	5.3	85	61	85	77	19
Mai				6.2	10.6	5.7	7.1	12.4	2.3	23.3	1.	- 4.6	10.	6.3	6.6	6.1	6.3	87	70	88	82	24
Juni				8.3	12.2	7.8	9.0	14.5	4.5	21.9	21.	- 0.5	4.	7.1	6.6	7.1	6.9	85	65	89	80	29
Juli				**11.8**	15.9	11.3	12.6	17.9	**7.9**	**27.4**	19.	0.9	28.	8.4	8.8	8.9	8.7	81	67	88	79	34
August				10.6	**18.1**	**11.5**	**12.9**	**19.8**	7.4	25.2	öfters	2.8	1.	**8.7**	9.8	**9.2**	**9.2**	91	65	91	82	35
September				9.5	17.3	10.7	12.0	18.5	7.5	24.7	1.	2.0	28.	8.2	**10.0**	8.9	9.1	92	69	93	84	44
Oktober				4.3	10.2	6.1	6.7	12.5	1.9	19.7	7.	- 9.3	28.	5.8	7.1	6.6	6.5	92	75	90	86	35
November																						
Dezember																						
Jahr										27.4	19. VII.											

Alle Angaben nach Ortszeit.

1926

Oberstdorf.

h_t = 3.0 m h_r = 1.6 m

Monat	Bewölkung 7a	2p	9p	Mittel	Niederschlag Summe mm	Tagesmaximum Betrag mm	Tagesmaximum Gemessen am	Zahl der Tage ≧0.1 mm Niederschlag	≧1.0 mm	≧0.1 mm ✳	⊠	△	▲	⊿	≡	heitere	trübe	Windverteilung N	NE	E	SE	S	SW	W	NW	C
Januar	7.0	6.9	6.9	6.9	106.3	15.0	20.	17	16	10	28	–	–	–	–	3	14	–	1	–	–	3	4	2	2	81
Februar	6.9	6.8	6.2	6.6	91.5	37.8	20.	13	10	2	12	–	–	2	3	1	10	1	1	–	2	3	4	7	5	61
März	8.3	**8.2**	**8.2**	**8.2**	201.7	28.5	5.	18	18	**13**	15	–	–	2	7	1	**22**	**6**	2	–	–	3	4	7	9	62
April	5.9	6.4	6.0	6.1	82.0	16.0	20.	16	14	2	1	–	–	3	1	5	14	2	**3**	–	–	3	5	9	11	57
Mai	7.3	7.9	7.1	7.4	164.7	32.9	30.	19	19	4	1	–	1	1	3	2	16	1	–	–	4	2	5	6	10	65
Juni	7.5	7.7	8.1	7.8	**468.3**	**72.2**	5.	**25**	**22**	–	–	–	–	2	1	1	15	1	**3**	1	4	**23**	9	5	2	**42**
Juli	**8.0**	7.7	6.8	7.5	305.3	46.4	28.	21	18	–	–	–	–	6	2	–	18	–	2	**2**	**5**	18	4	9	6	47
August	5.7	4.8	6.0	5.5	157.5	24.3	23.	10	9	–	–	–	–	4	3	**7**	10	–	1	1	–	7	**13**	**10**	10	51
September	5.3	6.2	5.0	5.5	60.0	14.4	27.	15	10	–	–	–	–	**7**	6	6	10	1	–	–	1	1	3	5	**20**	59
Oktober	7.5	6.8	5.8	6.7	147.9	42.0	24.	17	13	3	4	–	–	–	10	1	12	1	1	–	1	8	9	5	12	56
November	6.3	6.8	5.4	6.2	100.5	42.2	22.	9	8	2	5	–	–	–	5	1	**7**	3	–	–	4	5	4	5	2	67
Dezember	7.4	7.6	7.4	7.5	129.1	29.3	30.	11	11	10	**31**	–	–	–	**20**	4	17	–	–	–	–	–	2	–	–	**91**
Jahr	6.9	7.0	6.6	6.8	2014.8	72.2	5. VI.	191	168	46	97	–	1	27	61	32	165	16	14	4	21	76	66	70	89	739

Riezlern.

h_t = 1.9 m h_r = 1.6 m

Monat	Bewölkung 7a	2p	9p	Mittel	Niederschlag Summe mm	Tagesmaximum Betrag mm	Tagesmaximum Gemessen am	Zahl der Tage ≧0.1 mm Niederschlag	≧1.0 mm	≧0.1 mm ✳	⊠	△	▲	⊿	≡	heitere	trübe	Windverteilung N	NE	E	SE	S	SW	W	NW	C
Januar *)					124.0	15.6	20.	11	11	11	**31**	1	–	–	–	3	10	–	3	2	3	1	2	2	3	47
Februar	7.0	7.3	5.3	6.5	105.8	58.5	20.	11	9	7	9	2	–	1	–	1	10	–	1	7	4	2	5	7	–	58
März	8.6	8.1	8.2	8.3	182.5	33.2	7.	20	17	17	19	2	2	1	7	1	**22**	–	2	6	11	1	5	6	5	57
April	6.1	6.6	5.5	6.0	88.2	24.6	10.	17	14	10	4	1	2	1	6	6	12	–	–	7	10	–	5	4	3	61
Mai	7.8	8.3	7.4	7.8	194.3	55.3	29.	19	16	6	3	–	1	–	6	2	18	–	1	9	11	2	3	4	1	62
Juni	7.6	8.3	8.4	8.1	**359.5**	36.8	1.	**23**	**22**	2	–	–.	2	2	11	–	19	–	1	5	7	–	6	5	1	65
Juli	7.8	8.0	7.1	7.7	359.3	46.6	28.	22	19	–	–	–	–	6	2	2	19	–	1	11	6	4	4	3	2	62
August	5.4	6.2	4.5	5.4	215.9	57.6	18.	13	12	–	–	–	1	5	1	7	10	–	2	23	1	1	1	6	4	55
September	4.8	5.9	5.1	5.3	63.0	15.5	7.	13	10	–	–	–	–	3	3	7	11	–	2	13	5	–	1	3	5	61
Oktober	7.5	7.1	5.9	6.8	159.3	38.0	24.	16	16	5	5	–	–	–	7	3	12	–	8	10	6	–	4	5	4	56
November *)					*105*	?	?																			
Dezember *)					*150*	?	?																			
Jahr					2107																					

*) Niederschlagsverhältnisse nach Angaben der B. Landesstelle für Gewässerkunde ergänzt.

Alle Angaben nach Ortszeit.

Hoch-Wetterwarten.

1926

Hohenpeissenberg.

$\varphi = 47^0\ 48'$ N $\lambda = 11^0\ 1'$ E — H = 994.1 m Cg = ± 0.0 mm

Monat	Luftdruck auf 0° und Normalschwere reduziert: Mittel mm	Maximum mm	Minimum mm	Lufttemperatur: 7a C°	2p C°	9p C°	Tagesmittel C°	Mittl. Maximum C°	Mittl. Minimum C°	Absol. Maximum C°	Datum	Absol. Minimum C°	Datum	Absolute Feuchtigkeit: 7a mm	2p mm	9p mm	Mittel mm	Relative Feuchtigkeit: 7a Proz.	2p Proz.	9p Proz.	Mittel Proz.	Minimum Proz.
Januar	675.8	684.7	665.2	- 2.4	- 0.9	- 2.1	- 1.9	1.1	- 4.6	10.8	2.	-19.5	13.	3.0	3.3	3.2	3.2	76	75	80	77	22
Februar	675.9	685 5	662.1	3.1	5.8	4.1	4.3	7.1	1.2	12.1	2./3.	- 2.2	27.	4.4	4.8	4.8	4.7	79	72	80	77	21
März	676.2	685.5	666.8	0.1	2.9	1.2	1.3	4.4	- 1.5	14.0	29.	- 7.7	6.	4.2	4.6	4.5	4.4	**91**	81	**89**	**87**	36
April	675.3	683.2	663.1	5.7	10.1	6.9	7.4	11.6	3.4	21.4	30.	- 1.3	10.	5.2	5.4	5.4	5.3	77	61	74	70	27
Mai	674.0	680.5	660.7	7.4	10.7	7.4	8.2	12.4	4.8	21.5	1.	- 2.1	9.	6.1	6.6	6.2	6.3	79	71	81	77	26
Juni	676.2	682.5	669.3	8.9	12.6	9.4	10.1	14.9	6.5	22.3	22.	0.6	4.	7.5	7.8	7.4	7.5	87	73	84	82	45
Juli	678.3	682.1	673.8	**12.8**	15.4	12.7	13.4	17.7	10.0	**27.5**	18.	4.0	28.	**9.2**	**9.5**	**9.5**	**9.4**	85	74	87	82	35
August	680.7	684.4	677.5	12.6	**17.4**	**13.4**	**14.2**	**18.7**	10.3	24.4	17.	5.2	8.	8.4	8.4	8.6	8.5	78	58	76	71	33
September	**681.3**	685.4	674.5	12.2	16.0	**13.4**	13.8	17.5	**10.8**	22.9	1.	3.0	30.	8.8	8.8	8.9	8.8	83	65	78	75	45
Oktober	675.5	685.8	661.0	6.3	8.8	7.0	7.3	10.8	3.9	18.5	31.	- 3.3	28.	5.9	6.4	6.3	6.2	81	76	82	80	40
November	673.9	685.6	655.4	5.7	7.6	5.7	6.2	10.0	2.5	17.1	13./17.	- 6.2	28.	4.5	5.1	4.9	4.8	66	67	72	68	30
Dezember	678.4	**689.1**	665.7	- 3.9	- 2.6	- 3.8	- 3.5	- 1.1	- 5.5	9.3	13.	-15.5	26.	2.9	3.0	2.9	3.0	84	**82**	85	84	21
Jahr	676.8	689.1	665.7	5.7	8.7	6.3	6.7	10.4	3.5	27.5	18. VII.	-19 5	13. I.	5.8	6.1	6.1	6.0	81	71	81	78	21

Zugspitze.

$\varphi = 47^0\ 25'$ N $\lambda = 10^0\ 59'$ E — H = 2962.2 m Cg = — 0.2 mm

Monat	Luftdruck auf 0° und Normalschwere reduziert: Mittel mm	Maximum mm	Minimum mm	Lufttemperatur: 7a C°	2p C°	9p C°	Tagesmittel C°	Mittl. Maximum C°	Mittl. Minimum C°	Absol. Maximum C°	Datum	Absol. Minimum C°	Datum	Absolute Feuchtigkeit: 7a mm	2p mm	9p mm	Mittel mm	Relative Feuchtigkeit: 7a Proz.	2p Proz.	9p Proz.	Mittel Proz.	Minimum Proz.
Januar	525.2	535.8	515.2	-12.8	-11 5	-12.2	-12.2	- 9.6	-15.0	- 3.0	28.	-27.1	12.	1.6	1.8	1.6	1.6	94	95	93	94	58
Februar	528.0	536.1	518.3	- 8.2	- 6.9	- 7.7	- 7.6	- 5.6	- 9.7	- 1.3	24.	-13.7	17.	2.1	2.3	2.2	2.2	89	88	87	88	25
März	526.5	534.8	516.0	-10.3	- 8.6	- 9.6	- 9.5	- 7.3	-11.8	0.7	31.	-21.6	6.	1.9	2.3	2.1	2.1	97	98	**98**	97	77
April	528.4	537.9	517.1	- 6.4	- 4.1	- 5.8	- 5.5	- 2.8	- 7.9	4.0	30.	-14.7	10.	2.3	2.9	2,6	2.6	84	89	89	87	23
Mai	527.5	533.2	519.5	- 4.9	- 2.4	- 4.6	- 4 2	- 1.6	- 6.4	2.8	1.	-12.8	8.	2.9	3.7	3.1	3.3	94	97	**98**	96	53
Juni	530.5	537.1	522.5	- 2.7	- 1.3	- 2.6	- 2.3	0.1	- 4.5	7.2	21.	- 7.8	2.	3.7	4.1	3.7	3.8	**98**	**99**	**98**	**98**	80
Juli	534.0	539.2	529.8	0.8	2.4	1.1	1.4	3.9	- 0.8	**12.2**	19.	- 7.0	28.	**4.5**	**5.3**	**4.8**	**4.9**	94	96	96	95	38
August	536.5	540.8	529.2	**1 0**	**3.3**	**1.7**	**1.9**	**4.4**	**- 0.4**	9.1	25.	- 6.1	8.	3.9	5.0	4.6	4.5	81	87	89	86	13
September	**536.8**	**542.2**	529.3	0.8	3.0	1.0	1.5	4.0	- 0.5	10.1	1.	- 8.1	30.	3.7	4.8	4.2	4.3	**77**	85	86	83	23
Oktober	529.6	540.5	515.1	- 3.8	- 2.3	- 3.2	- 3.1	- 1.1	- 5.4	6.1	5.	-15.7	27.	2.9	3.2	3.0	3.0	84	83	82	83	14
November	527.7	540 5	**514.2**	- 5.1	- 3.9	- 4.7	- 4.6	- 3.0	- 6.2	4.0	17.	-14.9	26.	2.5	2.8	2.5	2.6	78	81	78	**79**	18
Dezember	527.4	539.9	515.5	-11.6	-10.8	-11.1	-11.2	- 9.0	-13.3	- 1.2	12.	-20.9	23.	1.5	1.7	1.7	1.6	88	90	89	89	29
Jahr	529.8	542.2	514.2	- 5.3	- 3.6	- 4.8	- 4.6	- 2.3	- 6.8	12.2	19. VII.	-27.1	12. I.	2.8	3.3	3.0	3.0	88	91	90	90	13

Alle Angaben nach Ortszeit.

Ergänzungs-Wetterwarten.

1926

Dettingen a. Main

$\varphi = 50^0\ 2'$ N, $\lambda = 9^0\ 3'$ E, H = 108.7 m, h_t = 9.9 m

Monat	Lufttemperatur: 7a C°	2p C°	9p C°	Tagesmittel C°
Januar	0.4	3.7	1.1	1 6
Februar	5.5	10.1	6.4	7.1
März	3.6	9.0	5.1	5.7
April	7 9	16.8	9.1	10.7
Mai	10.7	16.4	11.4	12.5
Juni	14.6	19 6	13.9	15.5
Juli	**17.0**	**22.6**	**17 5**	**18.7**
August	14.5	22.1	15.7	17.0
September	13.0	21.7	14.4	15.9
Oktober	7.0	12.3	8 1	8.9
November	5.2	9 5	6.3	6.8
Dezember	0 6	2 6	1.1	1 3
Jahr	8.3	13 9	9 2	10.1

Gössweinstein

$\varphi = 49^0\ 46'$ N, $\lambda = 11^0\ 20'$ E, H = 494 m, h_t = 6.3 m

Lufttemperatur: 7a C°	2p C°	9p C°	Tagesmittel C°
- 1.3	1.0	- 1.2	- 0.7
2.3	6.3	3.5	3.9
1.5	5.2	2.8	3.1
6.8	13.9	7.5	9.0
9.1	14.0	8.9	10.2
12.2	16.2	11.6	12.9
15.9	**19.2**	**14.8**	**16.2**
13 3	18.7	13.6	14.8
11.7	17.8	12.5	13.7
5.9	9.7	6.6	7.2
3 9	7.1	4.6	5.1
- 1.3	- 0.4	- 1.1	- 1.0
6.7	10.7	7.0	7.9

Pfelling

$\varphi = 48^0\ 53'$ N, $\lambda = 12^0\ 45'$ E, H = 318 m, h_t = 4.0 m

Lufttemperatur: 7a C°	2p C°	9p C°	Tagesmittel C°
- 2.5	0.5	- 2.2	- 1.6
1.7	5.6	2.7	3.2
2.0	7.2	3.7	4.1
6.7	15.6	10.4	10.8
10.1	17.1	11.7	12.7
11.9	18.0	13.5	14.2
16.2	**20.5**	**16.9**	**17.6**
13.9	20.4	15.3	16.2
11.7	19.5	14.0	14.8
5.6	12.0	7.3	8.0
4.0	8.0	4.3	5.2
- 1.1	0.6	- 1.0	- 0.6
6.7	12.1	8.1	8.7

Waldkirchen*)

$\varphi = 48^0\ 44'$ N, $\lambda = 13^0\ 36'$ E, H = 567.7 m, h_t = 7.2 m

Lufttemperatur: 7a C°	2p C°	9p C°	Tagesmittel C°
- 2.2	- 0.4	- 2.4	- 1.8
2.6	6.1	3.1	3.7
1.7	5.6	2.0	2.8
8.0	13.1	7.7	9.1
11.4	15.0	9.6	11.4
12.6	16.2	11.8	13.1
15.5	**20.0**	**15.6**	**16.7**
13.3	19.1	13.9	15.0
13.4	17.6	12.8	14.2

Eggenfelden

$\varphi = 48^0\ 24'$ N, $\lambda = 12^0\ 46'$ E, H = 417 m, h_t = 4.8 m

Lufttemperatur: 7a C°	2p C°	9p C°	Tagesmittel C°
- 3.1	0.4	- 2.3	- 1.8
1.2	5.8	2.8	3.1
1.8	7.0	3.8	4.1
7.0	14.9	8.4	9.7
10.9	16.2	10.4	11.9
13.0	17.5	12.3	13.7
16.1	20.7	**15.9**	**17.1**
14.9	**20.9**	14.8	16.4
11.7	19.8	13.6	14.7
5.4	11.5	7.5	7.9
3.3	7.8	4.4	5.0
- 1.0	0.3	- 1.0	- 0.7
6.8	11.9	7.6	8.4

*) Oktober mit Dezember lückenhafte Beobachtungen.

Alle Angaben nach Ortszeit.

Hoch-Wetterwarten.

1926

Hohenpeissenberg.

h_t = 9.0 m h_r = 1.6 m

Monat	Bewölkung 7a	2p	9p	Mittel	Niederschlag Summe mm	Tagesmaximum Betrag mm	Gemessen am	Zahl der Tage ≧0.1 mm Niederschlag	≧1.0 mm	≧0.1 mm ✳	⊠	△	▲	⊠	≡	heitere	trübe	Windverteilung N	NE	E	SE	S	SW	W	NW	C
Januar	7.0	6.9	7.4	7.1	26.7	5.0	20.	16	10	12	16	–	–	–	10	2	12	2	2	15	**8**	2	3	53	3	5
Februar	6.4	7.3	8.0	7.2	23.0	14.8	20.	9	4	1	–	–	–	–	8	–	10	1	6	8	2	3	5	48	2	**9**
März	8.0	8.1	8.4	8.2	40.3	8.1	2.	17	9	13	13	–	–	1	16	–	19	**7**	7	24	1	–	–	50	1	3
April	5.5	5.2	5.9	5.5	45.5	12.8	20.	13	10	6	1	1	1	4	7	7	8	4	5	19	6	2	4	41	2	7
Mai	7.1	7.8	7.5	7.5	11.5	15.8	7.	20	17	4	1	1	1	3	10	1	16	3	**10**	8	4	1	2	**59**	–	6
Juni	7.6	7.3	8.3	7.7	**249.4**	**34.7**	20.	**24**	**24**	–	–	–	1	6	7	–	16	2	9	12	2	2	5	51	2	5
Juli	7.7	7.5	6.7	7.3	200.8	24.2	28.	21	20	–	–	–	–	**7**	14	2	16	2	7	13	5	–	4	56	1	5
August	4.9	4.1	4.5	4.5	70.2	14.9	7.	11	10	–	–	–	1	3	8	**10**	4	5	9	18	2	2	6	37	**8**	6
September	5.0	4.7	5.1	4.9	46.3	22.4	27.	12	7	–	–	–	–	2	**3**	9	7	**7**	2	**27**	2	–	3	43	1	5
Oktober	7.0	7.0	6.0	6.7	77.4	19.6	24.	15	12	2	3	–	–	–	12	2	11	1	5	22	5	–	2	52	1	5
November	6.3	5.5	3.7	5.2	33.2	17.0	22.	8	6	2	1	–	–	–	9	5	4	1	2	14	4	**5**	**9**	48	1	6
Dezember	**8.4**	**8.8**	**8.8**	**8.7**	34.5	4.8	30.	16	12	**15**	**27**	–	–	–	**20**	1	**23**	6	6	21	1	–	3	49	–	7
Jahr	6.7	6.7	6.7	6.7	964.8	34.7	20. VI.	182	141	55	62	2	4	26	124	39	146	41	70	201	42	17	46	587	22	69

Zugspitze.

h_t = 7.3 m h_r = 10.0 m

Monat	Bewölkung 7a	2p	9p	Mittel	Niederschlag Summe mm	Tagesmaximum Betrag mm	Gemessen am	Zahl der Tage ≧0.1 mm Niederschlag	≧1.0 mm	≧0.1 mm ✳	⊠	△	▲	⊠	≡	heitere	trübe	Windverteilung N	NE	E	SE	S	SW	W	NW	C
Januar	7.2	7.2	6.8	7.1	58.8	8.4	5.	15	15	15	**31**	–	–	–	21	5	17	14	–	3	7	5	6	10	**46**	2
Februar	7.2	6.8	6.4	6.8	48.8	8.5	23.	11	10	10	**28**	1	–	1	17	3	14	13	1	–	7	11	4	12	28	**8**
März	7.5	7.4	7.1	7.3	83.6	14.6	1.	16	16	16	**31**	–	–	–	25	4	17	11	–	2	1	12	6	15	**46**	–
April	5.2	6.4	5.7	5.8	97.1	15.4	9.	17	14	16	**30**	1	–	–	19	**8**	13	10	1	**8**	21	7	**8**	8	22	5
Mai	7.2	9.1	8.2	8.1	188.4	40.4	30.	23	18	20	**31**	**9**	–	2	28	2	19	14	–	1	19	13	1	6	35	4
Juni	7.9	**9.3**	**9.0**	**8.7**	**362.5**	35.5	20.	**24**	**24**	**21**	**30**	5	–	**5**	**30**	–	19	14	2	3	4	6	7	12	37	5
Juli	**8.2**	8.9	8.7	8.6	361.5	**59.8**	28.	22	21	12	**31**	5	1	4	29	1	**23**	22	**7**	2	10	7	4	13	24	4
August	5.8	6.9	5.7	6.1	106.7	19.0	23.	14	13	8	13	8	–	4	23	**8**	13	18	2	4	4	4	5	19	33	4
September	6.2	7.0	5.7	6.3	87.1	18.6	29.	18	12	10	6	4	**3**	4	24	6	15	14	2	4	6	13	2	20	24	5
Oktober	7.4	7.0	5.7	6.7	79.9	27.7	24.	17	13	17	22	2	–	1	22	5	14	8	–	5	7	21	7	**24**	19	2
November	6.8	7.3	4.0	6.0	34.0	21.6	22.	7	4	7	**30**	1	–	–	14	2	7	2	–	1	**22**	**43**	5	9	8	–
Dezember	7.0	7.5	6.0	6.8	91.3	17.4	6.	15	15	15	**31**	–	–	–	23	1	11	**33**	2	3	18	–	–	8	28	1
Jahr	7.0	7.6	6.6	7.0	1599.7	59.8	28.VII.	199	175	167	314	36	4	21	275	45	182	173	17	36	126	142	55	156	350	40

Alle Angaben nach Ortszeit.

Ergänzungs-Wetterwarten.

1926

Mauerberg**)

φ = 48° 10′ N, λ = 12° 34′ E, H = ca 457 m; h_t = 1.9 m

Monat	Lufttemperatur 7a C°	2p C°	9p C°	Tagesmittel C°
Januar				
Februar				
März	2.0	7.1	3.4	4.0
April	6.7	14.1	7.7	9.0
Mai	10.6	15.7	9.5	11.3
Juni	13.0	17.1	11.6	13.3
Juli	**16.3**	19.6	**15.7**	**16.9**
August	14.3	**20.5**	15.2	16.3
September	12.0	19.2	13.7	14.6
Oktober	6.1	11.7	7.8	8.3
November	3.0	8.0	4.3	4.9
Dezember	– 1.6	– 0.1	– 1.5	– 1.2
Jahr				

.) Beobachtungen beginnen am 1. März.

Bad Aibling

φ = 47° 52′ N, λ = 12° 1′ E, H = ca 500 m; h_t = 10.6 m

Monat	Lufttemperatur 7a C°	2p C°	9p C°	Tagesmittel C°
Januar	– 1.7	2.6	– 1.4	– 0.5
Februar	1.9	8.2	4.2	4.6
März	2.0	7.5	4.0	4.4
April	5.8	15.2	8.3	9.4
Mai	9.1	15.3	10.5	11.4
Juni	12.0	18.0	12.7	13.8
Juli	**15.3**	21.0	**16.0**	**17.1**
August	13.1	**21.5**	14.8	16.1
September	12.2	20.9	14.0	15.3
Oktober	6.1	12.9	8.5	9.0
November	3.3	9.7	4.4	5.4
Dezember	– 1.6	– 1.0	– 1.2	– 0.7
Jahr	6.5	12.7	8.1	8.8

Seeshaupt†)

φ = 47° 49′ N, λ = 11° 18′ E, H = 602.3 m; h_t = 1.6 m

Monat	Lufttemperatur 7a C°	2p C°	9p C°	Tagesmittel C°
Januar	– 3.0	1.8	– 2.3	– 1.4
Februar	1.2	7.4	3.0	3.7
März	2.0	6.6	3.0	3.6
April	6.3	13.5	7.5	8.7
Mai	8.2	14.0	8.7	9.9
Juni	10.8	15.7	11.0	12.2
Juli	**15.0**	18.4	**14.3**	**15.5**
August	13.7	**19.9**	14.1	15.4
September	12.7	19.4	13.4	14.7
Oktober				
November				
Dezember				
Jahr				

Mittelberg

φ = 47° 38′ N, λ = 10° 26′ E, H = ca 1000 m; h_t = 3.5 m

Monat	Lufttemperatur 7a C°	2p C°	9p C°	Tagesmittel C°
Januar	– 2.9	0.5	– 2.9	– 2.0
Februar	3.2	6.6	3.1	4.0
März	0.5	3.6	0.7	1.3
April	6.1	11.2	5.7	7.2
Mai	7.2	11.5	7.0	8.2
Juni	8.9	13.4	9.2	10.2
Juli	13.0	16.9	12.8	13.9
August	**13.1**	**18.6**	**13.3**	**14.6**
September	12.6	17.2	12.7	13.8
Oktober	6.5	9.9	6.6	7.4
November	4.6	7.9	4.9	5.6
Dezember	– 3.7	– 2.0	– 3.5	– 3.2
Jahr	5.8	9.6	5.8	6.8

Obersalzberg

φ = 47° 38′ N, λ = 13° 2′ E, H = ca 970 m; h_t = 1.5 m

Monat	Lufttemperatur 7a C°	2p C°	9p C°	Tagesmittel C°
Januar	– 2.5	0.8	– 2.0	– 1.5
Februar	2.3	6.1	3.0	3.6
März	0.1	4.0	1.1	1.6
April	5.5	11.4	6.6	7.5
Mai	7.3	12.0	6.8	8.2
Juni	9.3	14.4	8.9	10.4
Juli	**12.6**	17.2	**12.3**	**13.6**
August	11.9	**17.3**	12.3	13.5
September	10.9	16.7	12.0	12.9
Oktober	5.3	9.6	5.7	6.5
November	4.0	8.6	4.4	5.3
Dezember	– 2.8	– 1.2	– 3.0	– 2.5
Jahr	5.3	9.7	5.7	6.6

Alle Angaben nach Ortszeit.

†) Die Beobachtungen wurden ab 30. September eingestellt.

Abweichungen der Temperatur und der Niederschlagsmenge vom langjährigen Mittel für eine Anzahl ausgewählter Beobachtungsorte.

(Über die Bedeutung der Zahlen und die Grundlagen der Berechnung siehe Jahrbuch 1912 Seite 134.)

a) Temperaturdifferenzen gegen das langjährige Mittel.

Wetterwarte	Januar	Februar	März	April	Mai	Juni	Juli	August	September	Oktober	November	Dezember	Jahr
Ludwigshafen a. Rh.	1.8	5.5	1.1	2.4	− 1.5	− 1.8	0.4	0.5	2.3	0.2	3.1	0.0	1.2
Bad Dürkheim	1.8	5.0	0.8	1.4	− 1.6	− 1.7	0.1	− 0.4	1.5	0.1	2.2	0.3	0.8
Landau i. Pf.	1.9	5.1	1.1	1.5	− 2.0	− 2.5	− 0.8	− 0.8	1.2	0.1	2.4	0.5	0.6
Würzburg	1.6	4.8	1.5	2.0	− 1.0	− 1.9	0.0	− 0.2	1.9	0.6	2.2	0.8	1.0
Bad Kissingen	1.6	4.8	1.5	1.7	− 0.8	− 1.3	0.5	− 0.1	1.7	0.6	2.0	1.1	1.1
Kaiserslautern	2.4	5.8	1.3	2.2	− 1.6	− 1.5	0.3	0.0	2.4	0.5	3.0	0.0	1.2
Luitpoldheim	1.8	5.0	2.1	2.6	− 0.9	− 1.1	0.5	0.3	2.3	? 0.5	2.7	0.9	1.4
Erlangen	1.4	4.5	1.1	1.1	− 1.5	− 2.4	− 0.8	− 0.9	1.7	0.5	2.6	0.7	0.7
Bamberg	1.2	4.9	1.0	2.3	− 1.4	− 1.9	− 0.2	− 0.5	1.6	0.2	2.8	0.6	0.9
Fürth	1.2	4.9	1.0	2.0	− 1.3	− 2.4	− 0.6	− 0.7	1.9	0.5	3.0	0.5	0.8
Nürnberg	1.3	5.1	1.3	2.9	− 0.9	− 2.1	− 0.3	− 0.3	2.7	0.7	3.0	0.2	1.1
Coburg	1.8	4.9	1.6	2.6	− 1.3	− 1.2	0.6	0.3	2.1	0.7	2.8	0.6	1.3
Pfelling	1.1	4.0	1.4	2.6	− 0.1	− 2.3	− 0.2	− 0.8	2.1	0.5	2.6	0.9	1.0
Metten	0.7	3.7	0.8	1.3	− 0.7	− 2.4	− 0.5	− 1.0	1.1	0.5	3.2	0.7	0.6
Bayreuth	1.3	4.6	0.9	2.1	− 1.7	− 2.3	− 0.4	− 0.9	1.4	0.3	2.7	0.4	0.7
Ingolstadt[1]	1.1	4.7	1.3	2.0	− 1.0	− 2.2	− 0.4	− 0.8	1.7	0.6	2.8	1.4	0.9
Landshut-Schönbrunn[2]	0.8	4.0	0.9	1.1	− 1.3	− 2.5	− 0.9	− 1.3	1.2	0.4	1.8	0.7	0.4
Lindau i. B. (Reutin)	0.6	3.8	0.7	1.9	− 1.4	− 2.6	− 0.9	− 0.6	1.6	1.0	2.3	− 0.6	0.5
Eggenfelden	1.1	3.9	1.5	2.0	− 0.5	− 2.3	− 0.6	− 0.5	1.7	0.7	3.0	1.1	0.9
Weissenburg i. B.	1.4	5.2	0.9	2.2	− 1.3	− 2.3	− 0.7	− 0.8	2.2	0.4	3.2	− 0.2	0.9
Rohr	1.5	4.8	1.3	2.3	− 0.3	− 1.6	− 0.2	− 0.6	2.3	1.1	3.0	? 0.9	1.2
Nördlingen[3]	1.7	5.7	1.5	3.0	− 0.5	− 2.0	− 0.4	− 0.1	2.7	1.0	3.2	0.5	1.4
Ansbach-Strüth	1.5	5.1	1.1	1.9	− 1.3	− 2.3	− 0.8	− 0.8	2.2	0.7	3.1	0.2	0.9
Hof	1.4	4.9	1.3	2.2	− 1.2	− 1.6	0.4	− 0.3	1.5	0.3	3.0	− 0.1	1.0
Bad Reichenhall	2.0	5.1	1.0	1.6	− 1.3	− 2.9	− 1.7	− 0.9	1.2	0.8	3.0	0.1	0.7
Trostberg	2.0	4.8	2.4	2.5	0.0	− 1.7	− 0.4	− 0.1	2.1	1.4	3.2	1.0	1.4
Augsburg	1.6	4.9	0.8	1.9	− 1.3	− 3.1	− 1.3	− 0.9	2.2	0.6	2.8	0.0	0.7
Gössweinstein	2.1	4.8	1.3	3.3	− 1.3	− 2.2	− 0.4	− 0.7	1.6	0.4	2.8	0.5	1.0
Bad Aibling	2.5	5.6	1.9	2.1	− 0.7	− 2.1	− 0.7	− 0.6	2.5	1.6	3.0	1.1	1.4
Amberg (M.H.B.)	1.4	4.5	0.5	2.6	− 1.3	− 2.8	− 0.5	− 1.2	1.5	− 0.4	2.7	0.1	0.6
Neuhof[4]	1.3	5.1	1.2	2.6	− 1.2	− 2.5	− 0.9	− 0.6	2.2	0.7	2.7	0.0	0.9
München	2.0	5.6	1.4	2.6	− 0.9	− 2.5	− 0.9	− 0.3	2.8	1.2	3.6	0.1	1.2
Wielenbach	1.0	4.7	2.0	2.0	− 0.7	− 2.3	− 0.4	− 0.6	2.1	1.6	2.1	− 0.2	0.9
Traunstein	2.4	5.8	1.9	2.6	− 0.6	− 2.3	− 0.6	0.0	2.2	1.7	3.9	0.7	1.5
Berchtesgaden	1.6	5.4	1.8	2.5	− 0.6	− 2.2	− 0.8	− 0.6	1.7	0.7	3.6	0.4	1.1
Ottobeuren	1.7	5.2	1.1	2.5	− 1.0	− 2.6	− 0.8	− 0.1	2.7	1.6	3.1	− 0.8	1.1
Partenkirchen	1.3	5.2	0.9	2.0	− 1.4	− 2.5	− 0.9	− 0.4	1.6	1.0	3.7	− 0.9	0.8
Tegernsee	0.4	3.9	0.5	1.8	− 1.3	− 2.9	− 0.9	− 0.8	2.0	0.7	3.6	− 1.6	0.5
Lechbruck	0.8	4.6	1.2	2.0	− 0.4	− 2.5	− 0.8	− 0.6	2.3	1.5	2.3	− 0.6	0.8
Buchenau	0.6	4.4	0.5	2.9	− 0.4	− 2.2	0.1	− 0.1	1.3	0.3	4.1	− 0.4	0.9
Oberstdorf	1.4	5.5	1.8	1.8	− 1.1	− 2.7	− 1.0	− 1.0	1.3	0.9	2.7	− 0.8	0.7
Ettal	1.1	5.5	1.1	2.5	− 0.9	− 2.3	− 0.9	− 0.4	1.9	1.4	4.3	− 1.0	1.0
Mittenwald	0.9	5.5	1.1	3.3	− 0.4	− 2.0	− 0.2	0.9	2.3	1.3	5.1	− 2.0	1.3
Hohenpeissenberg	0.1	5.1	− 0.2	2.3	− 1.3	− 3.0	− 1.5	− 0.4	2.5	0.6	4.4	− 2.7	0.5
Zugspitze	− 1.0	5.0	1.1	2.2	− 1.0	− 2.2	− 0.2	0.1	1.9	0.1	3.3	− 1.4	0.7

b) Niederschlagsverhältnisse.

Mutterstadt[5]	0.8	1.6	0.6	0.2	2.4	2.1	1.2	0.3	0.3	1.1	0.6	0.5	1.0
Ludwigshafen a. Rh.	1.0	1.6	0.7	0.3	1.6	1.1	0.6	0.6	0.4	1.7	0.6	0.5	0.9
Neustadt a. H.	2.0	1.9	0.8	0.4	2.0	1.8	1.5	1.2	0.2	1.6	0.9	0.5	1.2
Bad Dürkheim	0.7	2.0	0.8	0.3	2.0	1.2	0.9	0.4	0.2	1.5	1.0	0.6	1.0
Landau i. Pf.	0.8	1.7	0.9	0.6	2.0	1.2	0.9	0.4	0.2	1.3	0.7	0.3	0.9
Veitshöchheim	0.9	1.6	1.1	0.5	0.9	1.1	3.2	0.6	0.2	2.0	0.5	0.5	1.1
Würzburg	1.2	1.4	0.8	0.6	0.9	1.1	2.5	0.8	0.2	1.9	0.5	0.6	1.0
Bad Kissingen	1.4	1.8	1.0	0.6	1.9	1.2	2.0	0.9	0.2	1.9	0.6	0.6	1.3
Kaiserslautern	0.9	1.5	0.6	0.7	1.4	0.7	0.7	0.2	0.3	1.4	1.6	0.4	0.9
Luitpoldheim	1.2	1.9	0.7	0.6	? 1.0	0.9	2.0	0.6	0.3	? 1.9	0.6	? 0.5	? 1.0
Erlangen	1.2	0.9	1.0	0.3	0.7	2.0	1.7	1.3	0.5	2.1	0.5	0.7	1.1
Bamberg	1.2	1.2	1.3	0.5	1.0	1.1	2.4	0.9	0.2	1.5	0.5	0.5	1.0
Fürth i. B.	0.9	1.2	1.0	0.6	0.6	1.4	1.3	0.6	0.3	2.1	0.4	0.6	0.9
Nürnberg	1.0	1.3	1.2	0.7	0.7	1.3	2.1	1.1	0.2	2.2	0.7	0.7	1.1

[1]) Zum Vergleich wurde das langjährige Mittel der alten, innerhalb der Stadt befindlichen Aufstellung verwendet.
[2]) Zum Vergleich wurde das Monatsmittel von Landshut-Stadt verwendet.
[3]) Zum Vergleich wurde das Monatsmittel von Wallerstein verwendet.
[4]) Zum Vergleich wurde das Monatsmittel von Kaisheim verwendet.
[5]) Zur Berechnung sind vorerst nur ganz kurze Reihen vorhanden.

Wetterwarte	Januar	Februar	März	April	Mai	Juni	Juli	August	September	Oktober	November	Dezember	Jahr
Coburg	1.2	1.5	1.0	0.8	1.0	1.1	3.5	0.9	0.4	1.6	0.5	0.9	1.2
Pfelling	1.0	1.2	1.3	0.2	1.3	2.8	2.4	0.9	0.8	1.6	0.4	0.8	1.2
Metten	1.0	1.2	2.0	0.6	1.3	2.8	2.3	1.1	0.9	1.9	0.2	1.1	1.4
Büchling [1])	0.9	1.1	2.2	0.3	1.3	3.1	1.6	0.6	0.5	1.3	0.3	0.8	1.3
Bayreuth	1.1	1.6	1.0	0.8	1.2	1.4	2.6	1.2	0.2	1.9	1.0	0 8	1.2
Ingolstadt	1.2	1.1	1.5	0.7	1.2	2.1	0.9	0.5	0.4	1.6	0.5	0.5	1.0
Landshut-Schönbrunn	1.0	1.3	1.3	0.3	1.1	1.6	1.2	0.5	0.6	2.2	0.4	0.7	1.0
Lindau i. B. (Reutin)	1.4	1.0	1.5	0.7	1.8	2.2	1.4	0.5	0.4	0.7	1.4	0.6	1.1
Eggenfelden	1.1	1.1	1.1	0.6	1.4	1.4	1.3	0.7	0.4	1.7	0.4	0.6	1.0
Weissenburg i. B.	1.0	1.0	1.2	0.9	0.6	1.6	2.1	0.5	0.4	1.6	0.4	0.6	1.0
Rohr	0.9	1.2	2.3	0.6	1.1	2.2	1.9	0.4	0.7	1.9	0.4	? 0.6	? 1.2
Ansbach-Strüth	0.8	1.0	0.8	0.4	1.0	1.1	1.6	1.0	0.2	1.8	0.4	0.4	0.9
Nördlingen	1.2	1.1	1.0	0.5	1.4	1.7	2.0	0.3	0.4	2.7	0.4	0.5	1.1
Triesdorf	1.0	0.9	1.3	0.4	0.7	1.4	1.9	0.6	0.3	2.4	0.3	0.8	1.0
Hof	1.0	1.7	1.1	0.9	1.3	1.6	1.7	0.8	0 5	1.5	0.7	0.7	1.1
Bad Reichenhall	0.8	1.5	2.2	0.6	1.1	1.5	2.0	0.6	0.5	1.5	0.3	1.7	1.2
Trostberg	0.9	1.2	1.9	0.3	1.6	1.2	1.3	0.8	0.4	1.5	0.5	0.7	1.0
Augsburg	1.0	1.3	1.3	0.4	1.6	2.9	2.2	0.4	0.7	1.5	0.5	0.7	1.2
Gössweinstein	1.3	1.2	1.0	0.6	1.6	1.9	2.5	1.2	0.3	2.0	0.6	0.6	1.2
Amberg (M.H.B.)	0.9	1.1	1.1	1.0	1.1	1.6	2.4	0.6	0.7	1.8	0.4	0.6	1.1
Neuhof [2])	1.0	1.3	1.1	0.4	0.9	2.1	1.2	0.3	0.6	1.9	0.4	0.7	0.9
München	0.9	1.1	0.8	0.4	1.3	1.9	1.8	0.5	0.6	1.4	0.5	0.8	1.0
München Bot. Gart. [3])	1.0	0.9	1.1	0.4	1.7	1.8	1.8	0.5	0.6	1.5	0.5	0.7	1.0
Wielenbach	? 0.5	1.5	2.0	0.5	0.7	1.9	1.9	0.5	0.6	1.6	? 0.5	? 0.3	? 1.0
Selb [4])	1.3	1.9	1.2	1.0	1.6	1.6	2.3	0.7	0.7	1.6	1.2	0.5	1.3
St. Ottilien	0.7	0.8	0.9	0.6	1.5	1.9	1.4	0.5	0.5	1.7	0.7	0.6	0.9
Traunstein	0.8	1.1	1.6	0.4	1.1	1.5	2.1	0.7	0.3	1.2	0.6	1.2	1.1
Berchtesgaden	0.6	1.0	2.0	0.5	1.1	1.4	1.4	0.8	0.5	1.6	0.4	1.4	1.1
Kochel	0.7	1.1	1.7	0.5	1.0	1.7	1.5	0.6	0.4	0.9	0.4	1.0	1.0
Hausstein	0.6	0.9	2.9	0.6	1.6	2.9	2.8	0.7	1.0	1.0	0.3	1.0	1.4
Ottobeuren	1.2	0.7	0.9	0.6	1.4	2.4	1.3	0.5	0.5	1.3	0.8	0.7	1.0
Röthenbach	1.0	0.7	1.5	0.5	1.4	1.9	1.3	0.6	0.8	1.3	0.8	0.7	1.0
Bad Tölz	1.0	1.0	1.8	0.6	1.4	1.9	1.6	0.9	0.4	1.2	0.4	1.2	1.
Partenkirchen	0.7	1.0	1.6	0.7	0.9	1.7	1.4	0.7	0.5	0.9	0.7	0.9	1.0
Tegernsee	0.8	1.0	1.3	0.5	1.1	1.7	1.7	0.7	0.1	1.1	0.4	1.3	1.0
Lechbruck	0.6	1.0	1.6	0.6	1.1	1.5	1.4	0.6	0.4	1.2	0.8	0.7	1.0
Buchenau	0.8	0.9	2.0	0.5	1.1	2.2	2.4	0.7	0.9	1.3	0.4	1.1	1.2
Oberstdorf	0.9	0.9	1.7	0.6	1.2	2.3	1.5	0.8	0.4	1.4	1.0	1.0	1.1
Urfeld	0.7	0.9	1.7	0.4	1.2	1.7	1.5	0.7	0.4	0.9	0.4	1.1	1.0
Ettal	1.0	0.9	2.5	0.6	1.0	1.4	1.5	0.7	0.6	0.9	0.6	1.1	1.1
Mittenwald	0.6	1.0	2.5	0.6	0.9	1.9	1.5	0.7	0.8	0.8	0.6	0.8	1.1
Hohenpeissenberg	0.5	0.6	0.7	0.5	1.1	1.7	1.3	0.5	0.4	1.1	0.6	0.7	0.8
Zugspitze	0.9	0.8	1.2	0.9	1.6	1.5	2.0	0.6	0.7	0.9	0.5	1.2	1.1

[1]) mit [4]). Zur Berechnung sind vorerst nur ganz kurze Reihen vorhanden.
Bad Aibling beobachtet keinen Niederschlag.

Sonnenscheindauer im Jahre 1926. (Vergleiche Jahrbuch 1912, Seite 138.)

Monat	Ludwigshafen a. Rh.	Mutterstadt	Luitpoldheim	Bamberg	Hausstein	München	Oberstdorf	Partenkirchen	Zugspitze
Januar	50	78	32	33¾	30	59¾	59¼	60¼	71½
Februar	47	74½	35	39¼	55¼	71¼	79½	77¼	102½
März	112½	137½	122¼	120½	95¾	106½	71½	84¼	104½
April	176¾	213¾	176¼	203¼	216½	216¼	183¼	163½	183
Mai	129	168¼	119¼	121¾	148½	172½	119¼	120¾	107½
Juni	158¾	210¾	139½	115	102¾	162¾	125½	109¼	83
Juli	147¼	201¼	156	143¾	131¼	184¼	127¾	103¾	97¾
August	**217¼**	**269**	**219**	**232½**	**230**	**274¼**	**226**	**199**	**203¼**
September	182¾	215½	178¾	197¼	197	211	164½	168¾	171¾
Oktober	68½	97¾	57¾?	67½	94¾	133¾	90	114	155¾
November	43	70¼	59¾?	55¾	88¾	91½	107	87¼	132
Dezember	12	25	22½	22	25	27½	38	26¼	84
Summe	1344¾	1761½	1318	1352¼	1415½	1708¼	1391½	1314¼	1496½

1926.

Wintertage (W), Frosttage (F), Sommertage (S).

Wetterwarte	Januar		Februar		März		April		Mai		Juni	Juli	August	September		Okt.	November		Dezember		Jahr		
	W	F	W	F	W	F	F	S	F	S	S	S	S	S	F	F	F	W	F.	W	W	F	S
Mutterstadt . . .	7	16	–	2	–	12	4	2	1	–	2	12	10	11	–	3	3	–	18	4	11	59	37
Ludwigshafen a.Rh.	7	14	–	–	–	4	–	4	–	4	5	18	16	11	–	–	–	–	11	4	11	29	58
Neustadt a. H.	6	16	–	1	–	10	–	2	–	1	2	12	13	12	–	2	1	–	14	4	10	44	42
Bad Dürkheim . .	6	15	–	1	–	10	–	1	–	1	2	13	10	12	–	2	4	–	16	4	10	48	39
Landau i. Pf. . .	6	14	–	1	–	10	–	1	1	–	2	9	9	10	–	2	2	–	15	5	11	45	31
Veitshöchheim . .	6	18	–	3	–	14	4	4	1	2	3	16	16	14	–	5	6	–	14	5	11	65	55
Würzburg	5	14	–	–	–	8	–	2	–	1	2	13	6	9	–	2	2	–	14	3	8	40	33
Bad Kissingen . .	8	16	–	4	–	12	4	1	2	1	2	13	5	12	–	3	5	–	14	5	13	60	34
Kaiserslautern . .	6	14	–	–	–	10	2	–	1	–	1	9	8	9	–	2	5	–	18	5	11	52	27
Luitpoldheim . .	8	16	–	2	–	13	–	1	2	–	2	9	11	12	–	3	4	–	16	3	11	56	35
Erlangen	9	19	–	1	–	12	3	2	2	1	2	10	6	10	–	5	8	–	16	5	14	66	31
Bamberg	10	21	–	5	–	17	5	2	2	1	2	11	5	11	–	5	9	–	21	5	15	85	32
Fürth i.B. . . .	9	22	–	6	–	16	8	2	2	2	1	9	6	11	1	8	10	–	20	5	14	93	31
Nürnberg	10	20	–	3	–	17	2	2	1	2	2	9	8	13	–	6	6	–	19	5	15	74	36
Coburg	10	19	–	3	–	15	4	1	2	–	1	9	7	11	–	7	5	–	25	7	17	80	29
Metten	12	27	–	17	–	16	7	–	3	3	2	12	4	7	–	5	7	–	22	7	19	104	28
Büchling	11	25	–	9	–	12	3	1	1	3	2	11	8	8	–	4	6	–	22	7	18	82	33
Bayreuth	11	19	–	4	–	14	3	2	3	1	2	10	8	11	–	5	6	–	18	8	19	72	34
Ingolstadt	10	23	–	8	–	15	5	1	2	2	2	9	9	11	–	6	8	1	18	7	18	85	34
Landshut-Schönbrunn	9	26	–	17	–	15	7	1	3	1	1	8	8	10	–	8	12	1	24	7	17	112	29
Lindau i.B. (Reutin)	7	21	–	10	–	11	1	1	1	1	–	4	6	2	–	3	8	–	19	6	13	74	14
Höllenstein . . .	9	26	–	14	–	20	10	1	4	3	2	7	4	9	–	8	12	–	26	7	16	120	26
Weissenburg i. B. .	9	18	–	2	–	15	1	1	2	2	1	8	5	7	–	5	6	–	20	7	16	69	24
Rohr	10	24	–	12	–	13	5	–	2	–	1	8	7	9	–	7	8	1	?23	?7	?18	?94	25
Pfaffenhofen a. Ilm												8	8	9	–	6	10	1	25	7			
Ansbach-Strüth . .	10	20	–	11	–	16	8	1	2	–	1	9	3	6	2	7	6	–	28	8	18	100	20
Nördlingen . . .	9	18	–	2	–	14	1	–	2	–	1	6	7	8	–	6	8	1	23	7	17	74	22
Hüll												7	8	8	1	8	10	2	23	7			
Triesdorf	9	21	–	5	–	17	1	–	2	–	–	5	3	5	1	6	7	–	25	7	16	85	13
Bad Reichenhall .	7	25	–	11	–	16	3	1	2	2	2	6	9	6	–	5	9	–	27	9	16	98	26
Hof	10	21	–	8	1	18	14	–	4	–	2	5	1	8	2	5	8	–	24	11	22	104	16
Trostberg	9	25	–	18	–	14	3	–	1	3	2	6	10	7	–	5	8	–	23	7	16	97	28
Augsburg . . .	8	20	–	3	–	14	1	1	1	–	1	9	7	8	–	2	7	1	26	6	15	74	26
Finsing	10	23	–	12	1	16	5	–	3	–	1	5	6	7	–	6	11	–	28	7	18	104	19
Amberg (M.H.B.).	11	27	–	14	2	19	2	–	2	–	1	5	1	3	–	8	9	–	27	11	24	108	10
Neuhof	11	24	–	8	1	15	–	–	2	–	–	5	1	2	–	6	8	2	27	7	21	90	8
München	8	20	–	2	1	13	–	1	–	–	1	8	9	8	–	2	4	–	21	7	16	62	27
München (Bot.Gart.)	8	23	–	12	2	16	3	1	2	2	1	8	9	10	–	7	11	–	26	7	17	100	31
Selb	13	27	–	22	2	22	17	–	6	–	1	5	–	6	3	9	11	1	27	12	28	144	12
Wielenbach . . .	9	25	–	19	–	14	8	1	3	1	1	8	9	10	–	5	13	1	27	8	18	114	30
St. Ottilien . . .	9	23	–	16	1	17	5	1	2	–	1	5	8	9	–	5	13	–	29	9	19	110	24
Traunstein . . .	8	23	–	8	–	16	1	1	1	1	2	6	9	9	–	6	7	–	24	6	14	86	28
Berchtesgaden . .	8	24	–	9	–	16	4	–	1	–	1	4	2	2	–	7	7	–	28	8	16	96	9
Kochel	10	22	–	11	–	15	3	1	2	1	–	4	3	2	–	3	5	–	26	7	17	87	11
Landsberg a. L. .	9	24	–	6	2	14	3	1	–	–	–	6	8	6	–	5	9	–	26	10	21	87	21
Hausstein	10	26	–	8	2	19	–	–	1	–	1	6	1	1	–	6	6	–	29	9	21	95	9
Ottobeuren . . .	9	22	–	10	1	15	4	–	3	–	–	3	3	1	–	5	11	–	30	10	20	100	7
Röthenbach . . .	7	25	–	18	–	19	6	1	4	–	1	4	2	1	–	5	11	–	31	7	14	119	9
Bad Tölz	9	24	–	11	1	16	4	–	2	–	1	5	9	8	–	5	9	–	30	9	19	101	23
Partenkirchen . .	10	28	–	14	–	16	3	1	2	–	1	4	10	7	–	5	8	–	31	9	19	107	23
Tegernsee	8	19	–	7	1	14	1	1	3	–	–	5	8	9	–	4	6	–	25	7	16	79	23
Lechbruck . . .	9	27	–	21	1	19	8	1	4	–	1	3	8	6	–	5	13	–	31	8	18	128	19
Buchenau	12	29	–	11	3	22	6	–	4	1	4	5	2	3	–	9	8	2	30	17	34	169	15
Einsiedel	9	31	–	23	1	26	11	1	5	1	1	4	8	4	–	7	16	–	31	8	18	150	19
Oberstdorf . . .	8	28	–	18	–	19	6	–	3	1	–	4	7	1	–	6	13	1	30	8	17	123	13
Urfeld	8	26	–	13	3	19	4	1	4	–	–	3	1	1	–	6	5	–	31	12	23	108	6
Krünn	10	30	–	21	–	25	11	1	5	–	–	3	7	4	–	8	17	–	31	11	21	148	15
Ettal	11	30	–	18	2	20	7	–	3	–	–	3	5	2	–	5	8	–	31	12	25	122	10
Mittenwald . . .	10	25	–	8	1	16	2	1	2	1	2	6	10	8	–	6	9	–	31	10	21	99	28
Blender	13	27	–	7	5	19	9	–	4	–	–	2	–	–	–	9	10	–	30	18	36	115	2
Riezlern	8	21	–	18	2	26	13	–	7	–	1	3	4	–	–	7	?	?	?	?	?	?	8
Hohenpeissenberg .	12	24	–	7	5	19	7	–	4	–	–	3	–	–	–	9	9	1	29	20	38	99	3

Ausserdem Frosttage im Juni: in Trostberg 1, Krünn 1 und Blender 1.
Sommertage im Oktober: in Bad Reichenhall 1.

Büchlein — 157
Hohenpeissenberg — 102

1926. Winter- (W) und Frosttage (F) an der Hochwetterwarte Zugspitze.

Januar		Februar		März		April		Mai		Juni		Juli		August		Septbr.		Oktober		Novbr.		Dezbr.		Jahr	
W	F	W	F	W	F	W	F	W	F	W	F	W	F	W	F	W	F	W	F	W	F	W	F	W	F
31	31	28	28	30	31	28	30	22	31	16	28	6	16	3	16	6	15	16	29	23	29	31	31	240	315

1926. Datumsgrenzen von Wintertagen, Frosttagen, Sommertagen sowie Schneefällen.

Wetterwarte	Letzter Wintertag		Letzter Frosttag		Erster Sommertag		Letzter Sommertag		Erster Frosttag		Erster Wintertag		Letzter Schneefall		Erster Schneefall		Wetterwarte
	Tag	Monat	Tag	Monat	Tag	Monat	Tag	Monat	Tag	Monat	Tag	Monat	Tag	Monat	Tag	Monat	
Mutterstadt	22.	I.	10.	V.	25.	IV.	20.	IX.	19.	X.	6.	XII.	10.	III.	28.	XI.	Mutterstadt
Ludwigshafen a. Rh.	22.	I.	24.	III.	3.	IV.	20.	IX.	6.	XII.	24.	XII.	20.	I.	28.	XI.	Ludwigshafen a. Rh.
Neustadt a. H.	19.	I.	25.	III.	25.	IV.	21.	IX.	20.	X.	24.	XII.	19.	I.	28.	XI.	Neustadt a. H.
Bad Dürkheim	19.	I.	26.	III.	25.	IV.	21.	IX.	20.	X.	24.	XII.	10.	III.	28.	XI.	Bad Dürkheim
Landau i. Pf.	22.	I.	10.	V.	25.	IV.	20.	IX.	19.	X.	23.	XII.	20.	III.	28.	XI.	Landau i. Pf.
Veitshöchheim	19.	I.	10.	V.	6.	IV.	21.	IX.	19.	X.	23.	XII.	9.	V.	24.	X.	Veitshöchheim
Würzburg	22.	I.	18.	III.	25.	IV.	19.	IX.	20.	X.	24.	XII.	6.	III.	4.	XII.	Würzburg
Bad Kissingen	20.	I.	10.	V.	30.	IV.	20.	IX.	20.	X.	24.	XII.	11.	III.	24.	X.	Bad Kissingen
Kaiserslautern	22.	I.	10.	V.	21.	VI.	20.	IX.	19.	X.	24.	XII.	6.	III.	21.	X.	Kaiserslautern
Luitpoldheim	20.	I.	10.	V.	25.	IV.	20.	IX.	20.	X.	24.	XII.	10.	III.	3.	XII.	Luitpoldheim
Erlangen	22.	I.	10.	V.	25.	IV.	19.	IX.	19.	X.	23.	XII.	9.	V.	23.	X.	Erlangen
Bamberg	22.	I.	10.	V.	25.	IV.	20.	IX.	19.	X.	23.	XII.	9.	V.	24.	X.	Bamberg
Fürth i. B.	22.	I.	10.	V.	25.	IV.	20.	IX.	19.	X.	23.	XII.	16.	III.	23.	X.	Fürth i. B.
Nürnberg	22.	I.	10.	V.	25.	IV.	20.	IX.	19.	X.	23.	XII.	11.	III.	21.	X.	Nürnberg
Coburg	22.	I.	10.	V.	25.	IV.	20.	IX.	19.	X.	22.	XII.	9.	V.	23.	X.	Coburg
Metten	24.	I.	11.	V.	1.	V.	12.	IX.	19.	X.	22.	XII.	12.	III.	24.	X.	Metten
Büchling	24.	I.	10.	V.	30.	IV.	12.	IX.	19.	X.	29.	XI.	9.	V.	26.	X.	Büchling
Bayreuth	23.	I.	11.	V.	25.	IV.	20.	IX.	19.	X.	16.	XII.	9.	V.	23.	X.	Bayreuth
Ingolstadt	23.	I.	10.	V.	30.	IV.	20.	IX.	19.	X.	29.	XI.	9.	IV.	23.	X.	Ingolstadt
Landshut-Schönbrunn	23.	I.	12.	V.	30.	IV.	20.	IX.	18.	X.	29.	XI.	9.	V.	26.	X.	Landshut-Schönbrunn
Lindau i. B. (Reutin)	23.	I.	10.	V.	30.	IV.	12.	IX.	19.	X.	23.	XII.	12.	III.	3.	XII.	Lindau i. B. (Reutin)
Höllenstein	22.	I.	11.	V.	30.	IV.	19.	IX.	18.	X.	22.	XII.	16.	III.	21.	X.	Höllenstein
Weissenburg i. B.	22.	I	10.	V.	30.	IV.	19.	IX.	19.	X.	22.	XII.	8.	V.	21.	X.	Weissenburg i. B.
Rohr	23.	I.	10.	V.	22.	VI.	12.	IX.	19.	X.	29.	XI.	20.	III.	23.	X.	Rohr
Pfaffenhofen a. Ilm							19.	IX.	19.	X.	29.	XI.			24.	X.	Pfaffenhofen a. Ilm
Donaustauf	24.	I.	24.	III.	1.	V.	19.	IX.					11.	III.			Donaustauf
Ansbach-Strüth	22.	I.	10.	V.	30.	IV.	11.	IX.	29.	IX.	16.	XII.	9.	V.	21.	X.	Ansbach-Strüth
Nördlingen	22	I.	10.	V.	22.	VI.	12.	IX.	19.	X.	29.	XI.	9.	V.	21.	X.	Nördlingen
Hüll							12.	IX.	29.	IX.	27.	XI.			24.	X.	Hüll
Triesdorf	22.	I.	10.	V.	14.	VII.	11.	IX.	30.	IX.	22.	XII.	20.	III.	21.	X.	Triesdorf
Bad Reichenhall	22.	I.	10.	V.	30.	IV.	31.	X.	19.	X.	1.	XII.	21.	III.	24.	X.	Bad Reichenhall
Hof	21.	III.	10.	V.	21.	VI.	19.	IX.	25.	IX.	2.	XII.	9.	V.	23.	X.	Hof
Trostberg	23.	I.	10.	V.	1.	V.	12.	IX.	19.	X.	22.	XII.	22.	III.	24.	X.	Trostberg
Augsburg	22.	III.	10.	V.	30.	IV.	12.	IX.	20.	X.	27.	XI.	21.	III.	26.	X.	Augsburg
Finsing	22.	III.	10.	V.	22.	VI.	12.	IX.	19.	X.	22.	XII.	22.	III.	24.	X.	Finsing
Amberg (M.H.B.)	22.	III.	10.	V.	22.	VI.	5.	IX.	19.	X.	6.	XII.	9.	V.	21.	X.	Amberg (M.H.B.)
Neuhof	22.	III.	10.	V.	14.	VII.	11.	IX.	19.	X.	27.	XI.	20.	III.	23.	X.	Neuhof
München	21.	III.	25.	III.	30.	IV.	12.	IX.	20.	X.	22.	XII.	9.	V.	24.	X.	München
München (Bot. Gart.)	22.	III.	10.	V.	30.	IV.	19.	IX.	19.	X.	22.	XII.	9.	V.	24.	X.	München (Bot. Gart.)
Selb	22.	III.	12.	V.	22.	VI.	19.	IX.	25.	IX.	29.	XI.	9.	V.	18.	X.	Selb
Wielenbach	22.	I.	12.	V.	30.	IV.	19.	IX.	19.	X.	30.	XI.	9.	V.	26.	X.	Wielenbach
St. Ottilien	22.	III.	10.	V.	30.	IV.	19.	IX.	19.	X.	1.	XII.	9.	V.	26.	X.	St. Ottilien
Traunstein	22.	I.	10.	V.	30.	IV.	19.	IX.	19.	X.	22.	XII.	7.	V.	24.	X.	Traunstein
Berchtesgaden	22.	I.	10.	V.	13.	VI.	2.	IX.	19.	X.	6.	XII.	7.	V.	1.	X.	Berchtesgaden
Kochel	22.	I.	10.	V.	30.	IV.	11.	IX.	20.	X.	6.	XII.	9.	V.	24.	X.	Kochel
Landsberg a. L.	22.	III.	13.	IV.	30.	IV.	12.	IX.	19.	X.	1.	XII.	9.	V.	26.	X.	Landsberg a. L.
Hausstein	21.	III.	10.	V.	22.	VI.	1.	IX.	19.	X.	17.	XII.	9.	V.	18.	X.	Hausstein
Ottobeuren	22.	III.	12.	V.	18.	VII.	1.	IX.	19.	X.	2.	XII.	18.	V.	26.	X.	Ottobeuren
Röthenbach	17.	I.	12.	V.	30.	IV.	1.	IX.	19.	X.	22.	XII.	4.	VI.	26.	X.	Röthenbach
Bad Tölz	22.	III.	10.	V.	22.	VI.	20.	IX.	19.	X.	3.	XII.	7.	V.	26.	X.	Bad Tölz
Partenkirchen	22.	I.	10.	V.	30.	IV.	18.	IX.	19.	X.	5.	XII.	9.	V.	24.	X.	Partenkirchen
Tegernsee	21.	III.	10.	V.	30.	IV.	20.	IX.	20.	X.	6.	XII.	7.	V.	24.	X.	Tegernsee
Lechbruck	22.	III.	2.	VI.	30.	IV.	18.	IX.	19.	X.	5.	XII	9.	V.	24.	X.	Lechbruck
Buchenau	22.	III.	11.	V.	1.	V.	5.	IX.	18.	X.	27.	XI.	9.	V.	18.	X.	Buchenau
Einsiedel	5.	III.	12.	V.	30.	IV.	19.	IX.	19.	X.	2.	XII.					Einsiedel
Oberstdorf	22.	I.	12.	V.	1.	V.	1.	IX.	19.	X.	27.	XI.	9.	V.	24.	X.	Oberstdorf
Urfeld	22.	III.	10.	V.	30.	IV.	1.	IX.	19.	X.	2	XII.	9.	V.	24.	X.	Urfeld
Krünn	23.	I.	2.	VI.	30.	IV.	18.	IX.	6.	X.	2.	XII.	9.	V.	24.	X.	Krünn
Ettal	22.	III.	9.	V.	18.	VII.	11.	IX.	19.	X.	2.	XII.	9.	V.	24.	X.	Ettal
Mittenwald	6.	III.	10.	V.	30.	IV.	19.	IX.	19.	X.	2.	XII.	9.	V.	24.	X.	Mittenwald
Blender	25.	III.	4.	VI.	19.	VII.	24.	VII.	18.	X.	2.	XII.	4.	VI.	24.	X.	Blender
Hohenpeissenberg	23.	III.	10.	V.	18.	VII.	24.	VII.	18.	IX.	27.	XI.	9.	V.	24.	X.	Hohenpeissenberg

Täglicher Gang der meteorologischen Elemente auf der Zugspitze im Jahre 1926.

Luftdruck.

Schwere-Correktion (Cg = — 0.20 mm) ist angebracht. 500 mm +

Monat	1ª	2ª	3ª	4ª	5ª	6ª	7ª	8ª	9ª	10ª	11ª	12m	1P	2P	3P	4P	5P	6P	7P	8P	9P	10P	11P	12mn	Mittel
Jan.	25.48	25.42	25.36	25.24	25.23	25.15	25.15	25.21	25.31	25.48	25.52	25.45	25.32	25.14	25.15	25.25	25.28	25.28	25.41	25.43	25.45	25.47	25.48	25.40	25.34
Febr.	27.98	27.93	27.85	27.76	27.75	27.73	27.78	27.95	28.03	28.05	28.20	28.11	28.01	27.90	27.91	27.94	27.98	28.12	28.27	28.31	28.38	28.44	28.39	28.34	28.05
März	26.64	26.55	26.41	26-30	26.30	26.24	26.33	26.41	26.47	26.61	26.65	26.64	26.51	26.46	26.50	26.52	26.59	26.63	26.73	26.78	26.80	26.77	26.73	26.67	26.55
April	28.33	28.21	28.07	27.93	27.85	27.88	27.97	28.00	28.11	28.23	28.30	28.37	28.41	28.50	28.56	28.61	28.59	28.57	28.60	28.67	28.64	28.65	28 58	28.47	28.34
Mai	27.58	27.45	27.31	27.18	27.14	27.16	27.17	27.22	27.30	27.43	27.47	27.49	27.52	27.59	27.63	27.59	27.53	27.52	27.91	27.64	27.74	27.74	27.71	27.59	27.48
Juni	30.48	30.37	30.21	30.12	30.03	30.01	30.03	30.04	30.12	30.33	30.30	30.49	30.53	30.56	30.60	30.77	30.66	30.66	30.72	30.75	30.88	30.91	30.86	30.75	30.47
Juli	33.95	33.79	33.65	33.57	33.56	33.53	33.49	33.58	33.71	33.91	33.99	34.04	34.02	34.11	34.14	34.11	34.11	34.12	34.13	34.19	34.25	34.25	34.22	34.17	33.94
Aug.	36.46	36.35	36.22	36.09	36.05	36.05	36.10	36.18	36.26	36.49	36 56	36.62	36.62	36.65	36 66	36.67	36.66	36.67	36.38	36.76	36.82	36.80	36.75	36.67	36.49
Sept.	36.92	36.79	36.66	36.54	36.46	36.42	36.47	36.53	36.68	36.89	36.90	36.91	36.86	36.89	36.86	36.83	36.84	36.85	36.94	37.01	37.05	37.03	36.98	36.84	36.80
Okt.	29.81	29.66	29.51	29.46	29.44	29.39	29.43	29.55	29.63	29.77	29.80	29.75	29.70	29.64	29.58	29.55	29.53	29.58	29.64	29.61	29.66	29.65	29.66	29.62	29.61
Nov.	27.92	27.86	27.76	27.63	27.62	27.59	27.60	27.72	27.86	27.98	27.96	27.77	27.64	27.60	27.60	27.70	27.78	27.84	27.89	27.92	28.01	27.98	27.99	27.93	27.80
Dez.	27.49	27.44	27.39	27.33	27.25	27.21	27.24	27.35	27.47	27.62	27.58	27.44	27.30	27.17	27.18	27.30	27.40	27.49	27.60	27.69	27.77	27.77	27.83	27.80	27.46
Mittel	29.92	29.82	29.70	29.60	29.56	29.53	29.56	29.65	29.75	29.84	29.93	29.92	29.87	29.85	29.86	29.90	29.91	29.94	30.02	30.06	30.12	30.12	30.10	30.02	29.86

Temperatur.

Monat	1ª	2ª	3ª	4ª	5ª	6ª	7ª	8ª	9ª	10ª	11ª	12m	1P	2P	3P	4P	5P	6P	7P	8P	9P	10P	11P	12mn	Mittel
Jan.	-12.53	-12.44	-12.48	-12.54	-12.62	-12.76	-12.83	-12.65	-12.64	-12.43	-12.15	-11.95	-11.70	-11.54	-11.53	-11.63	-11.69	-12.07	-12.16	-12.16	-12.16	-12.19	-12.44	-12.52	-12.24
Febr.	- 8.11	- 8.23	- 8.25	- 8.26	- 8.20	- 8.23	- 8.17	- 7.86	- 7.86	- 7.54	- 7.31	- 7.13	- 6.89	- 6.86	- 6.89	- 7.01	- 7.12	- 7.43	- 7.54	- 7.74	- 7.68	- 7.87	- 7.88	- 7.89	- 7.66
März	-10.25	-10.21	-10.24	-10.32	-10.31	-10.34	-10.30	- 9.98	- 9.86	- 9.26	- 8.95	- 8.86	- 8.75	- 8.58	- 8.52	- 8.72	- 8.94	- 9.25	- 9.40	- 9.55	- 9.56	- 9.64	- 9.74	- 9.88	- 9.56
April	- 6.42	- 6.44	- 6.62	- 6.77	- 6.80	- 6.77	- 6.44	- 6.13	- 5.94	- 5.50	- 5.06	- 4.79	- 4.36	- 4.11	- 3.81	- 3.92	- 4.17	- 4.62	- 5.06	- 5.42	- 5.82	- 6.02	- 6.23	- 6.30	- 5.56
Mai	- 5.35	- 5.37	- 5.35	- 5.41	- 5.40	- 5.25	- 4.91	- 4.43	- 4.09	- 3.54	- 3.14	- 2.88	- 2.55	- 2.39	- 2.48	- 2.57	- 3.05	- 3.54	- 3.98	- 4.41	- 4.65	- 4.92	- 5.18	- 5.53	- 4.18
Juni	- 3.06	- 3.12	- 3.25	- 3.30	- 3.25	- 3.05	- 2.73	- 2.34	- 2.09	- 1.82	- 1.64	- 1.25	- 1.12	- 1.26	- 1.18	- 1.36	- 1.58	- 1.84	- 1.99	- 2.39	- 2.61	- 2.95	- 2.90	- 2.90	- 2.29
Juli	0.51	0.44	0.35	0.31	0.42	0.66	0.82	1.15	1.38	1.64	2.02	2.23	2.48	2.42	2.52	2.42	2.19	1.94	1.55	1.35	1.08	0.94	0.82	0.75	1.35
Aug.	0.87	0.69	0.63	0.55	0.49	0.70	0.97	1.44	1.74	1.90	2.34	2.76	3.10	3.26	3.47	3.30	3.12	2.68	2.17	1.88	1.69	1.38	1.30	1.15	1.82
Sept.	0.90	0.85	0.70	0.56	0.53	0.57	0.85	1.16	1.54	1.94	2.19	2.52	2.84	3.03	2.94	2.66	2.38	1.87	1.51	1.11	0.97	0.86	0.79	0.67	1.50
Okt.	- 3.51	- 3.75	- 3.87	- 3.86	- 3.92	- 3.94	- 3.80	- 3.42	- 3.19	- 2.88	- 2.56	- 2.37	- 2.19	- 2.26	- 2.36	- 2.35	- 2.63	- 2.90	- 3.02	- 3.15	- 3.20	- 3.16	- 3.20	- 3.23	- 3.11
Nov.	- 4.75	- 4.90	- 4.88	- 4.95	- 5.09	- 5.10	- 5.09	- 5.05	- 4.80	- 4.52	- 4.24	- 4.05	- 3.94	- 3.86	- 4.05	- 4.32	- 4.58	- 4.62	- 4.63	- 4.71	- 4.65	- 4.72	- 4.75	- 4.83	- 4.63
Dez.	-11.32	-11.46	-11.47	-11.46	-11.52	-11.59	-11.56	-11.37	-11.37	-11.16	-11.01	-10.74	-10.70	-10.84	-11.00	-11.00	-11.12	-11.33	-11.23	-11.28	-11.12	-11.18	-11.19	-11.30	-11.22
Mittel	- 5.25	- 5.33	- 5.39	- 5.45	- 5.47	- 5.43	- 5.27	- 4.96	- 4.77	- 4.43	- 4.13	- 3.88	- 3.65	- 3.58	- 3.57	- 3.71	- 3.93	- 4.26	- 4.48	- 4.71	- 4.81	- 4.96	- 5.05	- 5.15	- 4.65

Relative Feuchtigkeit.

Monat	1ª	2ª	3ª	4ª	5ª	6ª	7ª	8ª	9ª	10ª	11ª	12m	1P	2P	3P	4P	5P	6P	7P	8P	9P	10P	11P	12mn	Mittel
Jan.	92.8	92.4	92.6	93.4	93.6	94.2	93.9	94.8	95.2	94.7	93.8	93.9	94.5	95.4	95.2	95.0	94.6	94.5	93.9	93.7	93.5	92.5	91.7	92.5	93.8
Febr.	89.5	90.5	89.8	88.5	88.6	88.5	88.8	88.6	87.9	88.4	86.9	87.7	88.1	87.7	86.7	88.8	89.3	88.6	88.3	88.3	86.9	86.7	86.8	87.5	88.2
März	96.8	96.4	96.3	97.2	96.8	96.8	96.8	96.8	97.2	97.4	97.4	96.8	96.8	98.0	98.2	98.1	98.1	98.0	97.7	98.0	97.5	97.5	97.4	97.2	97.3
April	87.5	85.8	83.6	83.5	83.7	83.1	83.6	82.9	82.3	81.6	82.6	84.0	86.7	89.1	90.6	90.5	90.6	91.0	91.0	90.3	88.8	87.4	87.3	87.1	86.4
Mai	95.5	95.1	95.3	95.2	94.6	93.8	93.8	93.3	94.9	95.8	95.6	95.9	96.5	97.1	97.3	97.4	97.1	97.4	98.0	98.0	97.6	96.9	97.1	97.2	96.1
Juni	98.9	98.9	99.4	99.2	98.8	98.6	98.1	97.8	98.1	99.0	99.1	99.4	99.4	99.0	98.8	98.9	98.8	98.7	99.0	98.8	98.3	98.8	98.9	99.1	98.8
Juli	94.7	95.0	95.8	95.5	95.0	94.8	93.5	92.5	92.8	93.1	93.7	94.2	95.2	96.0	96.2	96.5	97.1	97.0	95.9	96.1	95.7	96.0	96.2	94.7	95.1
Aug.	85.0	85.5	85.6	84.8	83.2	82.1	80.8	79.4	80.7	80.5	81.9	82.5	84.6	86.6	88.4	88.8	88.9	87.9	88.3	87.6	88.6	87.4	86.1	84.6	85.0
Sept.	81.3	81.1	79.9	80.6	77.7	77.6	77.2	77.8	76.5	76.0	77.1	80.3	83.2	84.8	86.8	87.9	88.6	86.5	85.3	85.5	85.8	86.3	84.3	82.6	82.1
Okt.	82.7	83.4	83.2	83.9	84.4	84.5	84.4	81.3	79.7	80.7	80.5	81.0	81.5	83.3	84.5	84.5	84.0	83.8	83.6	83.1	82.2	82.3	81.8	81.8	82.8
Nov.	78.0	78.2	78.4	78.7	78.4	78.7	78.2	76.5	77.2	78.1	78.4	78.9	80.3	81.2	81.6	82.3	82.4	81.7	80.0	79.4	77.5	78.4	78.4	77.5	79.1
Dez.	88.7	88.9	88.8	88.8	88.8	88.5	88.3	88.0	88.5	87.5	88.5	88.0	88.4	89.6	88.7	88.4	89.9	88.9	89.7	89.1	89.4	89.4	88.5	89.1	88.8
Mittel	89.3	89.3	89.1	89.1	88.6	88.4	88.1	87.5	87.6	87.7	89.0	88.6	89.6	90.7	91.1	91.4	91.6	91.2	90.9	90.7	90.2	90.0	89.5	89.2	89.5

Stündliche Windgeschwindigkeiten

in m pro Sekunde.

Monat	0–1ª	1–2ª	2–3ª	3–4ª	4–5ª	5–6ª	6–7ª	7–8ª	8–9ª	9–10ª	10–11ª	11ª–m	0–1P	1–2P	2–3P	3–4P	4–5P	5–6P	6–7P	7–8P	8–9P	9–10P	10–11P	11P–mn	Mittel
Jan.	5.68	5.50	5.92	5.89	5.79	5.81	5.79	5.85	6.02	6.24	5.95	5.89	5.42	5.60	5.55	5.24	5.39	5.94	6.17	6.36	5.75	6.12	5.77	5.85	5.81
Febr.	6.24	6.23	6.04	6.20	6.55	6.67	7.18	6.67	5.45	5.16	4.67	4.45	4.75	4.85	5.08	5.11	5.26	5.47	5.94	6.06	5.96	5.91	6.04	6.32	5.76
März	8.03	7.76	7.80	7.53	7.22	7.01	7.45	7.56	7.56	7.74	8.03	8.12	8.07	8.17	7.73	7.28	7.29	7.55	8.05	7.65	8.36	8.31	7.76	8.17	7.76
April	7.12	6.94	6.24	6.11	6.27	5.91	5.85	5.35	4.84	4.96	5.02	5.24	4.96	4.79	4.55	4.63	4.86	5.07	5.36	5.53	6.10	6.79	6.61	6.83	5.66
Mai	5.53	5.50	5.55	5.72	5.45	5.43	5.78	5.87	5.60	5.46	4.71	4.72	5.19	5.22	5.11	5.25	5.49	5.52	5.56	5.48	5.74	5.78	5.37	5.65	5.45
Juni	5.50	5.32	5.84	6.04	5.98	6.10	6.09	5.97	5.38	5.16	5.03	4.95	4.96	5.15	5.39	5.03	5.16	5.07	5.14	5.51	5.67	5.31	5.19	5.04	5.42
Juli	6.11	6.20	6.25	6.49	6.18	6.30	6.35	5.91	5.75	5.47	4.91	5.01	5.23	5.23	5.40	5.47	5.21	5.38	5.97	5.88	6.42	6.64	6.31	6.03	5.84
Aug.	4.34	4.18	4.04	4.16	4.04	4.08	3.84	3.67	3.56	3.79	3.60	3.50	3.36	3.66	3.38	3.49	3.39	3.79	4.21	4.53	4.58	4.29	4.09	4.28	3.91
Sept.	3.82	4.16	4.23	4.29	4.18	4.31	3.97	3.86	3.57	3.60	3.27	3.44	3.54	3.47	3.48	3.68	3.54	3.85	3.76	3.43	3.79	4.11	3.98	4.33	3.82
Okt.	6.91	7.15	7.56	7.75	7.50	7.28	7.44	7.57	7.51	7.72	7.69	8.35	7.04	7.26	6.90	7.61	7.55	7.63	8.14	8.10	8.31	8.53	8.00	7.78	7.64
Nov.	9.38	9.52	9.25	9.77	9.40	9.25	9.31	9.01	8.79	8.59	8.58	8.52	8.38	8.60	8.87	9.06	8.86	8.97	9.22	9.34	8.99	9.59	9.63	9.41	9.10
Dez.	5.18	5.41	5.12	5.62	5.22	5.74	6.19	6.48	5.97	5.78	5.75	6.02	6.19	5.76	5.71	6.10	5.94	5.32	5.53	5.28	5.74	5.78	5.19	5.05	5.67
Mittel	6.15	6.16	6.15	6.30	6.15	6.16	6.27	6.15	5.83	5.81	5.60	5.68	5.59	5.65	5.60	5.66	5.66	5.80	6.09	6.10	6.28	6.43	6.16	6.23	5.99

Die
Münchener Registrierballonfahrten
im Jahre 1926.

Von

Peregrin Zistler und Hermann Zierl.

Einleitung.

Durch Beschluss der Internationalen Kommission zur Erforschung der freien Atmosphäre wurde im Jahre 1926 zum ersten Male ein ganzer Monat als sogenannter „Internationaler Monat" festgelegt, während dessen womöglich täglich Registrierballonaufstiege veranstaltet werden sollten; für das Jahr 1926 wurde der Monat Mai bestimmt. Durch Unterstützung der Notgemeinschaft der deutschen Wissenschaft wurde die Bayerische Landeswetterwarte in die Lage versetzt, ausserhalb der normalen Serienaufstiege sich auch an dieser neuen Aufgabe zu beteiligen. Gegenüber 20 Fahrten im Jahre 1925 konnten 42 Aufstiege veranstaltet werden; in die hiedurch entstandene Mehrarbeit teilten sich die beiden Unterfertigten; die Vorbereitung der Fahrten lag in den bewährten Händen von Herrn Verwaltungsinspektor Brunner; ausser ihm leisteten bei den Aufstiegen selbst die Herren der Flugwetterwarte wertvolle Untersützung.

Die Aufstiege im Januar und Mai fanden seit 3. Mai 1923 auf dem Flugplatz Schleissheim statt; mit der Verlegung der Flugwetterwarte nach Oberwiesenfeld im Juni musste auch der Aufstiegsort für unsere Registrierballonaufstiege dorthin verlegt werden.

Soweit nicht stärkere Bodenwinde die Aufstiegstechnik erschwerten, wurden bei den meisten Fahrten Sandtüten verwendet; das Sandgewicht, sowie die Zeit des Auslaufs ist bei den einzelnen Fahrten angegeben.

Über sonstige Einzelheiten orientiert die nachfolgende Zusammenstellung.

Peregrin Zistler. Hermann Zierl.

Registrierballonaufstiege 1926.

Zahl der Aufstiege	Instrumente		Ballon		Stratosphäre		Mittlere Höhe
	gefunden	verloren	geplatzt	nicht geplatzt	erreicht	nicht erreicht	
42	39	3	23	16	29	10	12 100 m

Serienaufstieg vom 11.—16. Januar 1926.

Aufstieg vom 11. I. fiel aus wegen starkem gebirgswärts wehendem Wind.
Instrument vom 13. I. wurde nicht gefunden.

Die Aufstiege im Januar umschliessen eine sehr interessante Witterungsepoche: Vom nordrussischen Kältegebiet (Kältepol −35 Grad) ausgehend dringen in der Zeit vom 11.—13. kontinentale Polarluftmassen nach Mitteleuropa vor; die Wanderung der Kältewelle ist in der Monatsübersicht Januar*) durch das Vorrücken der Isothermen von 0, 5 und 10 Grad in drei Kärtchen veranschaulicht. Bis in grosse Höhen hinauf war kräftige östliche Luftzufuhr vorherrschend; am 13. wurden in Bayern fast überall die tiefsten Frostgrade während des ganzen Januar erreicht. Die Kaltluftmassen, welche durch die bekannte Einfallpforte, das Rhonetal, ins Mittelmeer eindrangen, hatten dort die Neubildung einer Zyklone zur Folge, die im Laufe des 13. ihren Einfluss auch auf die Nordseite der Alpen ausdehnte. Derselbe äussert sich zunächst in der Höhe durch den Einbruch warmer südlicher Winde; trotz noch fallender Temperatur am Boden beginnt der Druck bereits zu fallen. Am 14. morgens reichte die kalte Oststrômung nur mehr bis zur Höhe von 1000 m, darüber wehten Südwinde. Der Temperatursprung an der Schichtfläche war ungewöhnlich gross, ebenso die Temperaturzunahme vom 13. zum 14.; zur Ergänzung des Isoplethendiagramms wurden für den 13. die Beobachtungen des hohen Peissenbergs (994 m), des

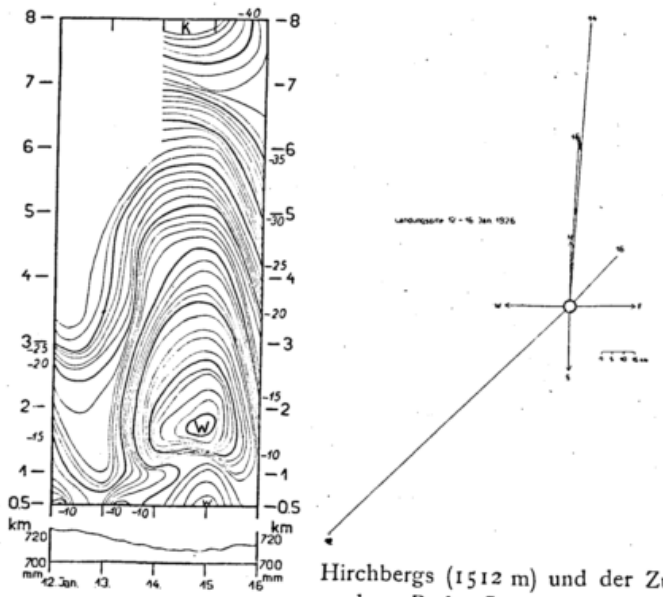

Hirchbergs (1512 m) und der Zugspitze (2962 m) herangezogen. Am 14. abends herrschte auch am Boden Südwest; gleichwohl blieben, wie der Aufstieg vom 15. zeigt, die Temperaturen in der bodennahen Schicht noch verhältnismässig tief, da der Abtransport der Kaltluft aus den Gebirgstälern noch andauerte. Die ungewöhnlich rasche Änderung der Wetterlage kommt auch in der Lage der Landungsorte zum Ausdruck: am 12. im Südostquadranten, am 14. und 15. dagegen im Norden (siehe Figur).

Auf der Rückseite der ostwärts abziehenden Druckstörung dringen im Laufe des 15. polare Luftmassen von Nordwesten (maritime Polarluft) her gegen den Kontinent vor; der Kälteeinbruch erfolgt in Höhe der Zugspitze um 5 Uhr p mit einer Drehung des Windes von Südost auf Nordwest.

12. Januar 1926 8a.

Instrument Bosch No. 2593.
Temperaturkorrektion des Aneroids:
$$d\,p = -\Delta T\ (0.124 - 0.000457\ p).$$
Zeit des Aufstiegs: 8 Uhr 28 Min. 32 Sek. a. M. E. Z.
Witterung beim Aufstieg:
a) Wind, Bewölkung, Form, Richtung und Geschwindigkeit der Wolken: E 1, 2^1 a-cu, a-st.
b) Temperatur beim Aufstieg: −10.2°; relative Feuchtigkeit: 78 %.
Temperatur 2 Stunden vor dem Aufstieg: −9.6°; nach dem Aufstieg: −7.6°.
Maximum des Vortages: + 0.4° um 2 p.
Maximum des Aufstiegtages: — 5.3 um 0^{15} p.
Minimum des Aufstiegtages: — 13.4° um 12 mn.
Flugrichtungen bis zum Verschwinden des Ballons: Siehe Visierung.
Name, Seehöhe, Entfernung und Richtung des Landungsortes: St. Jakob am Arlberg, 2820 m, 154 km, N 224°.
Dauer des Aufstiegs: (9 Min. ausgewertet.)
Dauer der Fahrt: ?
Grösste Höhe: 3410 m.
Tiefste Temperatur: — 26.6°.
Ventilation genügt.
Besondere Bemerkungen: Instrument wurde am 10. August gefunden und war durch eine Lawine zu Tal gefördert worden. — Das Diagramm war stark verwischt und nur wenige Punkte auswertbar.

*) Beilage zur Wetterkarte der Bayerischen Landeswetterwarte.

Ergebnis der Registrierung.

Zeit h m s	Luftdruck mm	mbar	Seehöhe m	dyn. m	Temperatur C°	Pot. Temperatur C°	Gradient △t/100 m	Relative Feuchtigkeit %	Vertikalgeschwindigkeit m	Bemerkungen			
8 28 32	725.5	967.3	487	477	- 10.2	- 7				Sandgewicht 400 g	487— 790 m	N 84° E	5.6 m. p. s.
	725	967	500	490	- 10.2	- 7	0.63		5.1	Sand nach 3 Minuten ausgelaufen	790—1150 m	N 78° E	12.0 m p. s.
30 05	682	909	960	940	- 13.2	- 6							
	680	907	1 000	980	- 13.2	- 6							
		900		**1 020**			- 0.04		7.1				
30 37	662	883	1 190	1 160	- 13.1	- 3					1150—1450 m		13.5 m. p. s.
	635	847	1 500	1 470	- 14.8	- 2					1450—2010 m	N 74° E	15.7 m. p. s.
		800		**1 890**									
	594	792	2 000	1 960	- 17.4	+1	0.51		4.7		2010—2290 m		18.5 m. p. s.
	556	741	2 500	2 450	- 19.9	3					2290—2570 m	N 64° E	25.5 m. p. s.
36 01	540	720	2 710	2 660	- 20.9	4					2570—2980 m	N 60° E	34.5 m. p. s.
		700		**2 860**							2980—3310 m	N 48° E	19.5 m. p. s.
	519	692	3 000	2 940	- 23.4	5	0.82		5.1	Ballon in Dunst.			
38 18	491	655	3 410	3 340	- 26.6	5							

14. Januar 1926 8 a.

Instrument Bosch No. 2529.
Temperaturkorrektion des Aneroids:
$$d\,p = -\Delta T\ (0.048 - 0.000457\ p).$$
Zeit des Aufstiegs: 8 Uhr 7 Min. 20 Sek. a. M. E. Z.
Witterung beim Aufstieg:
a) Wind, Bewölkung, Form, Richtung und Geschwindigkeit der Wolken: C, 6 1 a-cu S m, a-st, st.
b) Temperatur beim Aufstieg: — 9.7°; relat. Feuchtigkeit: 90 %.
Temperatur 2 Stunden vor dem Aufstieg: —9.8°, nach dem Aufstieg: — 6.5°.
Maximum des Vortages: — 9.4° um 2 p.
Maximum des Aufstiegtages: — 3.6° um 3 p.
Minimum des Aufstiegtages: — 10.8° um 0 a.
Flugrichtungen bis zum Verschwinden des Ballons: Siehe Visierung.
Name, Seehöhe, Entfernung und Richtung des Landungsortes: Kastl bei Amberg, 520 m, 129 km, N 3°.
Dauer des Aufstiegs: 58 Minuten (48 Min. ausgewertet).
Dauer der Fahrt: 1 Stunde 50 Minuten ca (1 Stunde 42 Min. ausgewertet).
Grösste Höhe: 12 040 m.
Tiefste Temperatur: — 55.5°.
Ventilation genügt bis: 10 140 m.
Besondere Bemerkungen: Ballon nicht geplatzt.

Ergebnis der Registrierung.

Zeit h m s	Luftdruck mm	mbar	Seehöhe m	dyn. m	Temperatur C°	Pot. Temperatur C°	Gradient △t/100 m	Relative Feuchtigkeit %	Vertikalgeschwindigkeit m	Bemerkungen			
8 07 20	711.7	948.8	487	477	- 9.7	- 6		90		Sandgewicht 400 g	487— 680 m	N 38° E	1.0 m. p. s.
	711	948	500	490	- 9.9	- 6				Sand nach 1 Minute 30 Sek. ausgelaufen	680— 920 m	N 84° E	6.0 m. p. s.
		900		**880**			0.33		3.6		920—1160 m	S 82° E	8.5 m. p. s.
	666	888	1 000	980	- 11.4	- 2							
09 45	665	887	1 010	990	- 11.4	- 2		93			1160—1410 m	S 63° E	11.2 m. p. s.
11 20	631	841	1 410	1 380	- 3.7	9	- 1.93	88	4.2	Inversion	1410—1670 m	S 56° E	10.0 m. p. s.
	625	833	1 500	1 470	- 3.3	10							
12 15	613	817	1 650	1 610	- 2.6	13	- 0.46	81			1670—1930 m	S 43° E	8.5 m. p. s.
		800		**1 780**							1930—2180 m	S 10° E	9.2 m. p. s.
	586	781	2 000	1 960	- 4.3	15			4.3		2180—2440 m	S 21° E	16.0 m. p. s.
	551	735	2 500	2 450	- 6.4	18					2440—2700 m	S 26° W	22.0 m. p. s.
		700		**2 800**			0.45				2700—2970 m	S 50° E	18.0 m. p. s.
17 13	520	693	2 940	2 880	- 8.4	21		75			2970—3240 m	S 4° E	24.0 m. p. s.
	516	688	3 000	2 940	- 8.6	21			4.1	Ballon in Wolken.			
21 24	455	607	3 960	3 880	- 13.0	27		75					
	452	603	4 000	3 920	- 13.3	27							
		600		**3 960**									
	396	528	5 000	4 900	- 20.6	30	0.70		4.4				
		500		**5 290**									
	346	461	6 000	5 880	- 27.2	33							
29 27	342	456	6 070	5 950	- 27.7	34		73					
	300	400	7 000	6 860	- 36.0	35			4.1				
34 44	285	380	7 350	7 200	- 39.0	36	0.88	67					
	259	345	8 000	7 840	- 44.8	37			3.6				
38 01	257	343	8 050	7 890	- 45.2	37							
38 37	246	328	8 340	8 170	- 45.6	40	0.14						
		300		**8 750**									
	224	299	9 000	8 820	- 48.6	44	0.47		4.0				
	191	255	10 000	9 800	- 53.4	52							
46 33	187	249	10 140	9 930	- 54.1	54				Ende der Troposphäre.			
49 36	174	232	10 610	10 390	[- 50.8]	[64]	- 0.71		2.6	Ventilation ungenügend. Ballon schwimmt. Temperatur und			
51 25	166	221	10 910	10 690	[- 50.1]	[71]	- 0.23		2.8	Höhenangaben ungenau.			
	164	219	11 000	10 770	[- 50.3]	[71]	0.39		2.6				
55 20	151	201	11 530	11 290	[- 52.5]	[76]							
		200		**11 330**					0.9	Ungefähre Höhenangabe.			
9 05 01	140	187	12 040	11 790					1.0				
13 05	150	200	11 570	11 330	[- 52.3]								

Zeit h m s	Luftdruck mm	mbar	Seehöhe m	dyn. m	Temperatur C°	Pot. Temperatur C°	Gradient △t/100 m	Relative Feuchtigkeit %	Vertikalgeschwindigkeit m	Bemerkungen
9 16 55	168	224	10 840	10 610	[-51.1]		0.16		3.2	
21 08	194	259	9 910	9 710	- 55.5		- 0.47		3.7	Wiedereintritt in die Troposphäre.
30 01	276	368	7 580	7 430	- 41.3		0.61		4.4	
36 25	354	472	5 840	5 720	- 26.1		0.87		4.6	
42 31	437	583	4 280	4 200	- 15.3		0.69		4.3	
48 55	533	711	2 760	2 700	- 6.5		0.58		4.0	
57 (ca)										Landung.

15. Januar 1926 8 a.

Instrument Bosch No. 428.
Temperaturkorrektion des Aneroids:
$$dp = -\mathcal{A}T\,(0.074 - 0.000457\,p).$$
Zeit des Aufstiegs: 8 Uhr 14 Min. 43 Sek. a. M. E. Z.
Witterung beim Aufstieg:
a) Wind, Bewölkung, Form, Richtung und Geschwindigkeit der Wolken: WSW 2, 10^1 st.
b) Temperatur beim Aufstieg: —4.9°; relative Feuchtigkeit: 93 %.
Temperatur 2 Stunden vor dem Aufstieg: — 5.3°, nach dem Aufstieg: — 5.0°.
Maximum des Vortages: — 3.6° um 3 p.
Maximum des Aufstiegtages: — 5.0° um 7 a
Minimum des Aufstiegtages: — 7.7° um 10 p.
Flugrichtungen bis zum Verschwinden des Ballons: Ballon zog ab nach Ost, nach 50 Sekunden in Wolken verschwunden.
Name, Seehöhe, Entfernung und Richtung des Landungsortes: Thannhausen bei Sandersdorf (Oberpfalz), 500 m, 75 km, N 2°.
Dauer des Aufstiegs: (30 Minuten ausgewertet.)
Dauer der Fahrt: ?
Grösste Höhe: 8520 m.
Tiefste Temperatur: — 48.0°.
Ventilation genügt.
Besondere Bemerkungen: Nach 30 Minuten Uhr stehen geblieben. Bei der Landung noch Gas im Ballon.

Ergebnis der Registrierung.

Zeit h m s	Luftdruck mm	mbar	Seehöhe m	dyn. m	Temperatur C°	Pot. Temperatur C°	Gradient △t/100 m	Relative Feuchtigkeit %	Vertikalgeschwindigkeit m	Bemerkungen
8 14 43	709.6	946.0	487	477	- 4.9	- 1		93		Sandgewicht 400 g.
	709	945	500	490	- 5.0	- 1				Sand nach 2 Min. 40 Sek. ausgelaufen.
		900		**860**						
	664	885	1 000	980	- 7.9	1	0.57		3.5	
18 15	645	860	1 230	1 210	- 9.1	2		99		
19 18	623	831	1 500	1 470	- 0.4	14	- 3.21	88	4.3	Starke Inversion.
		800		**1 770**						
20 32	595	793	1 870	1 830	0.3	18	- 0.19	62	5.0	
	585	780	2 000	1 960	- 0.4	19				
	549	732	2 500	2 450	- 2.8	22	0.49		4.5	
23 07	545	727	2 560	2 520	- 3.1	23		51		
		700		**2 800**						
	515	687	3 000	2 940	- 6.4	24	0.73		5.0	
25 42	494	659	3 340	3 270	- 8.7	24		59		
26 35	480	640	3 560	3 490	- 9.4	26	0.32	57	4.2	
	455	607	4 000	3 920	- 12.3	28				
		600		**3 970**						
	397	529	5 000	4 900	- 19.3	32	0.68		5.0	
31 59	388	517	5 160	5 060	- 20.4	33		56		
		500		**5 310**						
	346	461	6 000	5 880	- 27.0	34	0.78		4.9	
36 23	324	432	6 460	6 330	- 30.5	35		59		
	301	401	7 000	6 860	- 35.3	36				
		400		**6 870**						
	260	347	8 000	7 840	- 43.9	37	0.88		4.2	
43 48	246	328	8 330	8 170	- 46.9	38				
44 31	238	317	8 520	8 350	- 48.0	39	0.50		5.1	
				Uhr stehen geblieben						
	279	372	7 480	7 330	- 37.4					
	388	517	5 160	5 060	- 20.7		0.72		5.2	
	483	644	3 510	3 440	- 7.9		0.77	61	3.4	
	555	740	2 410	2 370	- 1.3		0.60	49	4.3	
	598	797	1 820	1 780	0.4		0.29	47	3.6	
	626	835	1 460	1 430	- 6.4		- 1.88	70	3.4	Starke Inversion.
	633	844	1 370	1 340	- 6.6		- 0.23	80	1.9	
	689	919	700	690	- 3.9		0.40	92	2.6	

16. Januar 1926 8 a.

Instrument Bosch No. 131.
Temperaturkorrektion des Aneroids:
$$d\,p = -\mathcal{A}T\ (0.116 - 0.000457\ p).$$
Zeit des Aufstiegs: 8 Uhr 2 Min. 16 Sek. a. M. E. Z.
Witterung beim Aufstieg:
a) Wind, Bewölkung, Form, Richtung und Geschwindigkeit der Wolken: C, 10^1 st, st-cu SW l.
b) Temperatur beim Aufstieg: — 10.7°; relative Feuchtigkeit: 98 %.
Temperatur 2 Stunden vor dem Aufstieg: — 10.2°, nach dem Aufstieg — 7.3°.
Maximum des Vortages: — 5.0° um 7 a.
Maximum des Aufstiegtages: — 2.2° um 1 p.
Minimum des Aufstiegtages: — 11.7° um 7 a.
Flugrichtungen bis zum Verschwinden des Ballons: S. Visierung.
Name, Seehöhe, Entfernung und Richtung des Landungsortes: Inkofen bei Freising, 442 m, 32 km, N 41°.
Dauer des Aufstiegs: 44 Minuten.
Dauer der Fahrt: (1 Stunde ausgewertet).
Grösste Höhe: 6580 m.
Tiefste Temperatur: — 39.7°.
Ventilation genügt.
Besondere Bemerkungen: Thermograph schreibt in Stufen, Registrierung nur bis 6000 m brauchbar.

Ergebnis der Registrierung.

Zeit h m s	Luftdruck mm	mbar	Seehöhe m	dyn. m	Temperatur C°	Pot. Temperatur C°	Gradient △ t/100 m	Relative Feuchtigkeit %	Vertikalgeschwindigkeit m	Bemerkungen			
8 02 16	713.9	951.8	487	477	- 10.7	- 8		98		Sandgewicht 400 g	487— 750 m	S 68° W	4.5 m. p. s.
	713	951	500	490	- 10.6	- 8	- 0.77		4.5	Nach 2 Min. 21 Sek.			
03 09	692	923	720	710	- 9.0	- 3		98		Sand ausgelaufen	750—1000 m	S 88° W	6.3 m. p. s.
		900		**900**									
	668	891	1 000	980	- 9.1	0	0.03		4.1		1000—1260 m	W	7.3 m. p. s.
04 19	667	889	1 010	990	- 9.1	0		99			1260—1520 m		8.3 m. p. s.
	626	835	1 500	1 470	- 11.8	2					1520—2090 m	S 75° W	11.2 m. p. s.
		800		**1 780**			0.49		4.4	Ballon in Wolken.			
07 26	599	799	1 830	1 800	- 13.1	4		99					
	586	781	2 000	1 960	- 14.4	4	0.71		5.2				
09 30	550	733	2 480	2 430	- 17.7	6		100					
	548	731	2 500	2 450	- 17.7	6							
		700		**2 770**			0.02		4.5				
	512	683	3 000	2 940	- 17.8	11							
11 32	511	681	3 030	2 970	- 17.8	11		99					
		600		**3 890**									
	446	595	4 000	3 920	- 24.8	15							
	390	520	5 000	4 900	- 31.0	20	0.63		4.4				
		500		**5 170**									
	338	451	6 000	5 880	- 36.5	24							
23 02	335	447	6 060	5 940	- 36.9	24		93					
51 52	314	419	6 580	6 450	- 39.7								
53 52	351	468	5 820	5 700	- 39.6		0.01		6.4				
55 30	383	511	5 130	5 030	- 34.5		0.75		7.0				
58 35	481	641	3 590	3 520	- 24.0		0.03		8.4				
9 00 54	548	731	2 590	2 540	- 18.4		0.56		7.2				
01 22	571	761	2 340	2 300	- 18.5		- 0.04		8.4				
02 32	627	836	1 640	1 610	- 13.6		0.70		10.1				

Internationaler Monat Mai 1926.

Während des Internationalen Monats Mai fanden 30 Aufstiege statt; nur ein Instrument vom 10. wurde nicht gefunden. Während des 6. und 7. wurden 6 Aufstiege in Abständen von 6 Stunden veranstaltet.

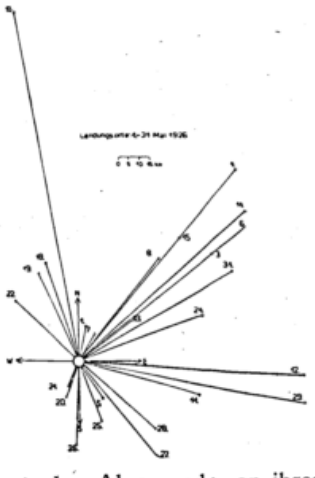

Auf der Vorderseite einer über der Biskayasee gelegenen Druckstörung hatten kräftige Einstrahlung und südliche Luftzufuhr am 31. April den ersten Sommertag gebracht; dieselbe Situation hielt auch noch den 1. Mai über an; in ganz Bayern wurden Temperaturmaxima von über 25 Grad gemessen; dem Isoplethendiagramm nach erstreckte sich die Erwärmung auf die ganze Troposphäre; in der Schicht bis zu 3 km herrschten am 1. die höchsten Temperaturen des ganzen Monats. Der starken Erwärmung der Troposphäre entspricht eine aussergewöhnlich kräftige Abkühlung der Stratosphäre; sie erreichte mit — 72 Grad weitaus die tiefsten Werte des Monats. Der weitere Witterungsablauf war

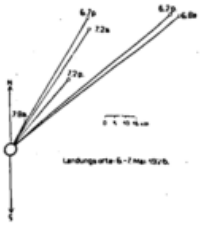

abhängig von der Verlagerung einer scharf ausgeprägten Diskontinuitätslinie, welche am 2. längs der Linie Tours–Karlsruhe–Prag–Wilna zu verfolgen war: nördlich derselben wehten Ostwinde, südlich derselben südliche Winde. Im Laufe des 2. nachmittag löste sich von der Polarfront ein Schwall kalter Luft ab und hatte über unserem Gebiete Gewitter zur Folge; die Front selbst blieb im wesentlichen erhalten, hatte sich aber von den Mittelgebirgen südwärts bis an die Donau herangeschoben. In München herrschte am 3. morgens noch durchweg südliche Luftzufuhr; erst im Laufe des Nachmittag erreichte die Polarfront den Alpenrand; an ihrer Stirnseite traten neuerdings Gewitter auf. Die vertikale Mächtigkeit der kalten Luftmassen war noch am 4. morgens sehr

gering; die Ostwinde reichten nur bis zu einer Höhe von 1000 m; die Zugspitze wird erst mittags von dem Kälteeinbruch erfasst; sie meldet 11^{45}a -0^{10}p $\triangle^1$ und Drehung des Windes auf Nord, Partenkirchen beobachtet gleichzeitig Gewitter. Am 5. herrschte Rückseitenwetter.

Diesem Kälteeinbruch aus Nordost (alte Polarluft) folgte im Laufe des 6. und 7. ein Kälteeinbruch aus Nordwest (frische Polarluft); die Visierungen ebenso wie die Beobachtungen der Zugspitze ergeben dauernd Nordwest; gleichwohl liegen die Landungsorte der sämtlichen 6 Ballone vom 6. und 7. im NE-Quadranten. Wir müssen demnach über

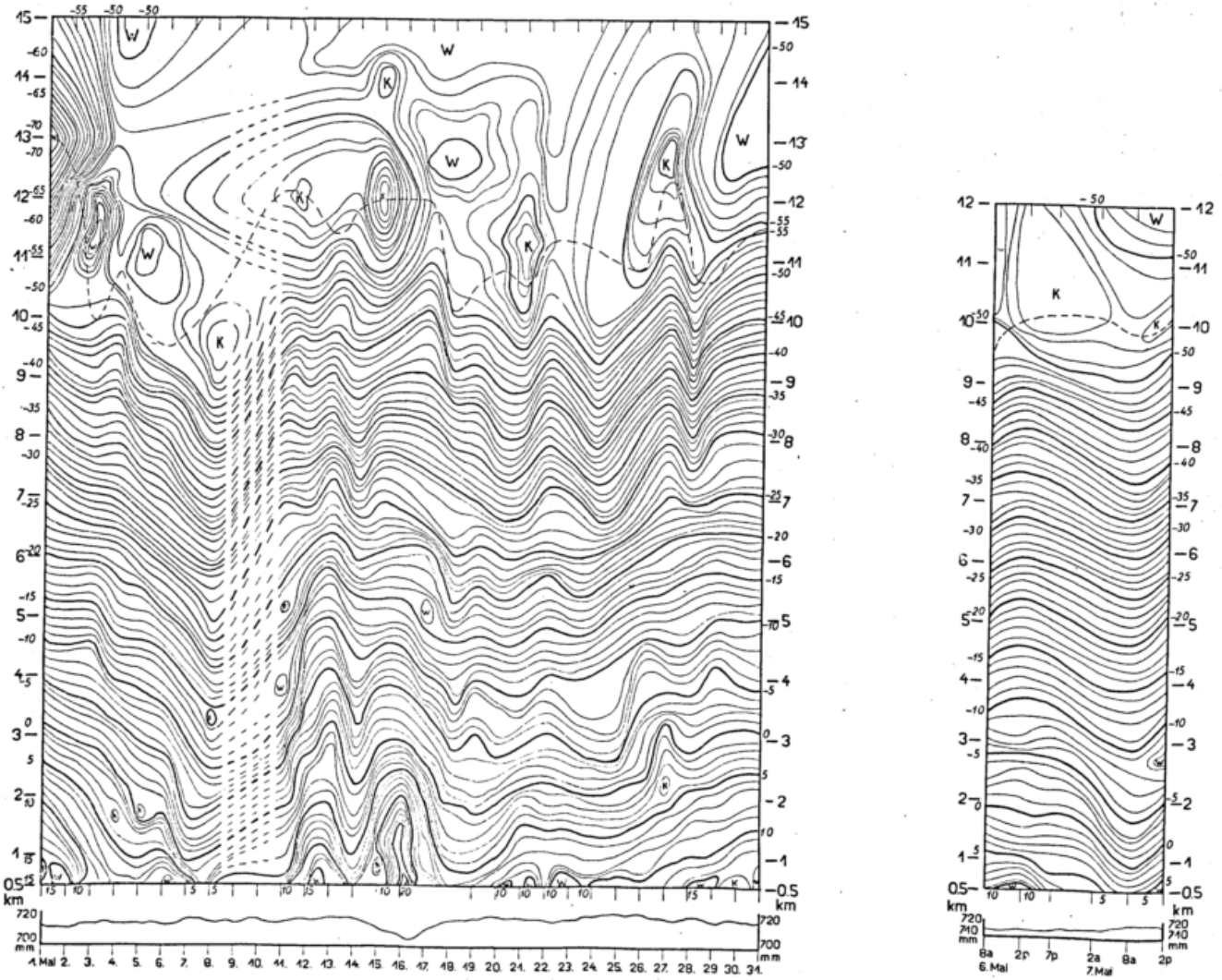

der Nordwestströmung noch mit einer kräftigen Südkomponente rechnen. Der Hauptvorstoss der Kaltluft erfolgte in der Nacht vom 7. 2—8a, das gegen den Alpenkamm gerichtete Druckgefälle hatte im Alpengebiet erhebliche Niederschläge im Gefolge: München 20 mm, Bad Tölz sogar 37 mm. Da der Zustrom polarer Luftmassen auch noch den 8. und 9. über anhielt, ergibt sich für die Zeit vom 2.—9. Mai ein fast kontinuierlicher Temperaturrückgang in der ganzen Troposphäre von fast 14 Grad; der 8. Mai ergibt durchweg die tiefsten Temperaturen des ganzen Monats. Die Vorgänge in der Stratosphäre sind davon grundverschieden: während am 1. eine Temperatur von – 72 Grad gemessen wurde, finden wir am 3. nur mehr – 54 Grad; mit dieser Erwärmung der Stratosphäre um 18 Grad rückt die Grenze der Troposphäre um rund 3 km tiefer von 13 km auf 10 km. Während nun die Troposphäre, wie oben geschildert, sich weiterhin abkühlte, blieb die Temperatur und ebenso die untere Grenze der Stratosphäre die ganze Zeit vom 3.—8. fast unverändert. Dem kontinuierlichen Vorgang in der Troposphäre steht also ein quantenhafter Vorgang in der Stratosphäre gegenüber. Über den genetischen Zusammenhang dieser Erscheinung könnten vielleicht Untersuchungen nach dem Vorgang von Defant über die Koppelung der unteren und oberen Druckwellen Aufschluss geben. (Vgl. primäre und sekundäre — freie und erzwungene Druckwellen in der Atmosphäre. Festschrift d. Zentralanstalt für Met. u. Geodyn. Akad. d. Wiss. Wien 1926.)

Mit der Annäherung einer von Island aus vorrückenden Depression wurde der Polarstrom in der Nacht vom 9. zum 10. unterbrochen; die Zugspitze meldet am 10. morgens Föhnsturm; unser Gebiet blieb bis zum 13. auf der Vorderseite der Depression, bei südlicher Luftzufuhr setzte eine stetig zunehmende Erwärmung der Troposphäre ein. Die Grenze der Troposphäre liegt am 11. bereits wieder 2 km höher, die Temperatur dementsprechend tiefer bei – 59 Grad; auf der

Rückseite der Depression erfolgte am 13. nachmittags neuerdings ein Kälteeinbruch, und zwar wieder von Gewittern begleitet. Der nun folgende Witterungsablauf war ganz ähnlich dem im Januar geschilderten und ist gleichfalls im Rahmen einer Monatsübersicht eingehender behandelt worden: die polaren Luftmassen drangen wieder ins westliche Mittelmeerbecken ein; die grossen Temperaturgegensätze zu den dort vorhandenen warmen Luftmassen lieferten die Energie zur Ausbildung einer äusserst kräftigen Zyklone; über dem Golf von Genua fiel vom 14. zum 16. der Druck um rund 20 mm. In Italien trat äusserst heftiger Schirokko auf; die Stosskraft der schirokkalen Wärmewelle war gross genug, um über die Alpen hinweg in Süddeutschland einzufallen und hier die Kaltfront nicht nur in ihrem Vormarsch nach Osten aufzuhalten, sondern sogar westwärts zurückzudrängen. Auf der Zugspitze wurden vom 15. mittags bis 16. nachmittags Windgeschwindigkeiten bis zu 35 m. p. s. gemessen; die Trennungslinie zwischen dem kalten Polarstrom aus Nordwest und der heissen Schirokkoluft aus Süd verlief am 16. morgens quer durch Bayern: in der Pfalz herrschte vorwiegend trübes Wetter, das Temperaturmaximum betrug hier nur 12 Grad; in Südbayern dagegen, wo die Wärmewirkung noch durch Föhn verstärkt wurde, wurden Maxima bis zu 25 Grad erreicht. Die Fortpflanzung der Wirbelstörung selbst geschah in der Richtung der mittleren Warmluftströmung; das Zentrum der Zyklone lag am 17. morgens über der deutschen Ostseeküste; der Temperaturgegensatz zwischen Rügenwaldermünde und dem kaum 200 km entfernten Hammershus betrug 13 Grad. Die erste Kaltluftstaffel, welche Südbayern in der Nacht zum 17. erreichte, war zunächst nur ganz seicht; schon 300 m über dem Boden herrschte in München Südsturm, der Ballon vom 17. 8 a landete um 11 a in Forchheim, so dass sich hieraus eine Stundengeschwindigkeit von ca 80 km errechnet. Auf der Leeseite der Alpen, in Oberitalien hatten die aufsteigenden Luftmassen katastrophales Hochwasser im Gefolge. Ein zweiter weitaus mächtigerer Vorstoss polarer Luftmassen erfolgte am 17. nachmittag und war von heftigen elektrischen Entladungen begleitet. Reste dieses Warmluftkörpers finden wir am 18. morgens über den Ostseeländern.

Vom 20.—24. zeigte die Luftdruckverteilung sommerlichen Charakter; keine der zahlreichen flachen Druckstörungen hatte die Führung. Die Schichtung der Atmosphäre war sehr unregelmässig; östliche, westliche und nördliche Strömungen finden sich übereinander gelagert; von einem Tag zum andern ergeben sich bei geringen Geschwindigkeiten grosse Veränderungen. Wir haben hier die typische Situation für Wärmegewitter, solche treten auf am 21., 22. und 23. nachmittag. Der Temperaturverlauf während dieser Tage ist sehr unruhig. Am 25. tritt hoher Druck auf den Kontinent über; am 26. und 27. morgens hatten wir vorwiegend heiteres Wetter. Am 27. abends erfolgte der Durchzug eines Ausläufers einer über den britischen Inseln gelegenen Depression; am 28. und 29. herrschte Rückseitenwetter, am 29. fielen im Alpengebiet wieder ergiebige Niederschläge. Die Landungsorte lagen in der Zeit vom 25. bis zum 29. im Südostquadranten.

Wir geben im Anschluss an die Aufstiegswerte eine Zusammenstellung der Ergebnisse des ganzen Monats Mai; hinsichtlich der Absolutwerte möchten wir nochmals bemerken, dass der Mai 1926 auffallend kühl, der Gesamtwitterungscharakter sehr veränderlich war.

1. Mai 1926 8 a.

Instrument Bosch No. 116.
Temperaturkorrektion des Aneroids:
$$dp = -\Delta T\ (0.024 - 0.000457\ p).$$
Zeit des Aufstiegs: 7 Uhr 43 Min. 56 Sek. a. M. E. Z.
Witterung beim Aufstieg:
a) Wind, Bewölkung, Form, Richtung und Geschwindigkeit der Wolken: SE 1, 10^1 st-cu SE l.
b) Temperatur beim Aufstieg: 9.8°; relative Feuchtigkeit: 79 %.
Temperatur 2 Stunden vor dem Aufstieg: 7.7°, nach dem Aufstieg: 18.1°.
Maximum des Vortages: 24.9° um 2 Uhr 15 Min. p.
Maximum des Aufstiegtages: 24.9° um 3 Uhr 45 Min. p.
Minimum des Aufstiegtages: 6.5° um 5 Uhr 30 Min. a.
Flugrichtungen bis zum Verschwinden des Ballons: Siehe Visierung.
Name, Seehöhe, Entfernung und Richtung des Landungsortes: Kranzberg bei Freising, 447 m, 17 km, N 13°.
Dauer des Aufstieges: 43 Minuten.
Dauer der Fahrt: 1 Stunde 30 Min.
Grösste Höhe 14 390 m.
Tiefste Temperatur: — 72.8°.
Ventilation genügt bis: 13 030 m.
Besondere Bemerkungen: Auffallend tiefe Temperatur in der Stratosphäre.

Ergebnis der Registrierung.

Zeit	Luftdruck		Seehöhe		Temperatur	Pot. Temperatur	Gradient	Relative Feuchtigkeit	Vertikalgeschwindigkeit	Bemerkungen			
h m s	mm	mbar	m	dyn. m	C°	C°	△ t/100 m	%	m				
7 43 56	713.0	950.6	487	477	9.8	14		79			487— 610 m	S 47° E	2.0 m. p. s.
	711	948	500	490	10.2	15					610— 700 m	S 24° E	3.0 m. p. s.
46 02	692	923	730	720	15.1	22	− 2.15	43	2.0	Bodeninversion	700—1020 m	S 30° E	6.0 m. p. s.
		900		**930**						Sandgewicht 400 g,	1020—1400 m	S 17° E	7.5 m. p. s.
	671	895	1 000	980	14.1	23				nach 3 Min. ausgel.	1400—1840 m	S 61° E	9.5 m. p. s.
	633	844	1 500	1 470	12.1	26	0.40		6.4	Ballon in Schleier	1840—2200 m	S 40° E	7.5 m. p. s.
49 11	600	800	1 940	1 890	10.3	29		30			2200—2560 m	S 47° E	6.0 m. p. s.
	595	793	2 000	1 960	9.8	29					2560—2910 m	S 41° E	10.5 m. p. s.
	560	747	2 500	2 450	6.0	30					2910—3260 m	S 34° E	7.5 m. p. s.
	527	703	3 000	2 940	2.3	31	0.74		5.9		3260—3620 m		8.0 m. p. s.
		700		**2 960**							3620—3990 m	S 36° E	5.5 m. p. s.
54 09	482	643	3 700	3 630	− 2.8	33		29			3990—4360 m		4.5 m. p. s.

Zeit h m s	Luftdruck mm	mbar	Seehöhe m	dyn. m	Temperatur C°	Pot. Temperatur C°	Gradient △t/100 m	Relative Feuchtigkeit %	Vertikalgeschwindigkeit m	Bemerkungen
	465	620	4 000	3 920	- 5.2	34			•	
		600		**4 160**						
	407	543	5 000	4 900	- 13.0	37				
		500		**5 520**			0.71		6.2	
	357	476	6 000	5 880	- 19.8	40				
8 02 23	322	429	6 760	6 630	- 24.6	43				
	311	415	7 000	6 860	- 25.6	45		27		
		400		**7 130**						
							0.44		5.1	
04 25	296	395	7 370	7 220	- 27.3	48		26		
	272	363	8 000	7 840	- 32.3	50				
	235	313	9 000	8 820	- 38.3	54	0.67		5.6	
09 20	234	312	9 030	8 840	- 38.4	54		24		
		300		**9 110**						
	202	269	10 000	9 800	- 46.8	56				
	174	232	11 000	10 770	- 54.5	59	0.80		4.8	
16 14	173	231	11 040	10 810	- 54.5	59				
		200		**11 670**						
	148	197	12 000	11 750	- 64.5	59	0.96		5.9	
20 11	138	184	12 440	12 180	- 67.9	59				
	126	168	13 000	12 730	- 72.0	63				
21 22	125	167	13 030	12 760	- 72.2	63	0.73		8.3	
	106	141	14 000	13 700	- 62.7	94				
27 02	100	133	14 390	14 080	[- 60.1]	[115]	- 0.89		4.0	
28 13	127	169	12 910	12 640	- 72.8		- 0.87		20.5	
29 48	160	213	11 530	11 290	- 61.1		0.83		**14.7**	
36 35	233	311	9 070	8 890	- 40.6		0.86		6.0	
42 58	306	408	7 170	7 030	- 25.5		0.75		5.0	
44 59	324	432	6 740	6 600	- 24.1		0.32	27	3.6	
57 54	478	637	3 780	3 710	- 3.0		0.71		3.8	
9 06 16	600	800	1 940	1 910	9.5		0.68	31	3.7	
11 47	685	913	830	820	15.8		0.57	23	3.3	
12 05	692	923	750	740	15.7			23		
13 45	714	952	490	480	11.4		- 1.27	38	3.0	Landung. Höhe des Landungsortes nach der Karte 450 m.

4360— 4730 m	S 1° W	3.5 m. p. s.	
4730— 5100 m	S 33° W	4.5 m. p. s.	
5100— 5480 m	S 32° W	5.5 m. p. s.	
5480— 5850 m	S 25° W	5.0 m. p. s.	
5850— 6220 m	S 27° W	4.5 m. p. s.	
6220— 6590 m	S 7° W	3.0 m p. s.	
6590— 6920 m	S 16° W	6.5 m. p. s.	
6920— 7220 m	S 34° W	7.5 m. p. s.	
7220— 7540 m	S 24° W	8.0 m. p. s.	
7540— 7870 m	S 35° W	7.5 m. p. s.	
7870— 8210 m	S 30° W		
8210— 8550 m		3.5 m. p. s.	
8550— 8890 m	S 84° W	4.5 m. p. s.	
8890— 9190 m	S 74° W		
9190— 9480 m	N 74° W	3.5 m. p. s.	Ballon in Schleier.
9480— 9770 m	N 27° W	6.5 m. p. s.	
9770—10060 m	N 4° W	4.0 m. p. s.	
10060—10630 m	N 63° W	8.0 m. p. s.	

Ende der Troposphäre.

Höchster Punkt, Platzmarke.

Wiedereintritt in die Troposphäre.

3. Mai 1926 8 a. B 2 45. 3 06 p

Instrument Bosch No. 131.

Temperaturkorrektion des Aneroids:

$$dp = -\Delta T\ (0.160 - 0.000457\ p).$$

Zeit des Aufstiegs: 7 Uhr 30 Min. 7 Sek. a. M. E. Z.

Witterung beim Aufstieg:

a) Wind, Bewölkung, Form, Richtung und Geschwindigkeit der Wolken: WSW 1, 9[1] st, st-cu W l.

b) Temperatur beim Aufstieg: 11.4°; relative Feuchtigkeit: 92 %.

Temperatur 2 Stunden vor dem Aufstieg: 10.2°, nach dem Aufstieg: 13.6°.

Maximum des Vortages: 24.4° um 1 Uhr 00 Min. p.

Maximum des Aufstiegtages: 16.3° um 11 Uhr 15 Min. a.

Minimum des Aufstiegtages: 7.7° um 12 Uhr 00 Min. mn.

Flugrichtungen bis zum Verschwinden des Ballons: Siehe Visierung.

Name, Seehöhe, Entfernung und Richtung des Landungsortes: Lengthal bei Dingolfing, 452 m, 82 km, N 53°.

Dauer des Aufstieges: 1 Stunde 18 Min.

Dauer der Fahrt: 2 Stunden 12 Min. (S. Bemerkung unten.)

Grösste Höhe: 12 040 m.

Tiefste Temperatur: — 48.5°.

Ventilation genügt.

Besondere Bemerkungen: Ballon nicht geplatzt. Die Temperaturangaben zeigen ab 4750 m im Auf- und Abstieg grössere Differenzen. Der Auswertung wurde die Abstiegskurve zugrunde gelegt.

Ergebnis der Registrierung.

Zeit h m s	Luftdruck mm	mbar	Seehöhe m	dyn. m	Temperatur C°	Pot. Temperatur C°	Gradient △t/100 m	Relative Feuchtigkeit %	Vertikalgeschwindigkeit m	Bemerkungen
7 30 07	712.7	950.2	487	477	11.4	15		92		Sandgewicht 400 g, nach 2 Min. 5 Sek. ausgelaufen
	712	949	500	490	11.3	15				
33 38	694	925	718	705	9.9	17	0.65	98	1.1	
		900		**930**						
	671	895	1 000	980	8.9	18	0.36		4.0	
34 54	669	892	1 020	1 000	8.8	18		94		
35 45	652	869	1 230	1 210	7.9	20	0.42	99	4.1	
	632	843	1 500	1 470	7.0	21				
37 33	619	825	1 660	1 630	6.3	22	0.38	95	4.0	
38 36	601	801	1 900	1 860	5.0	23	0.58	99	3.9	Wolkenhöhe 1790 m.
		800		**1 880**						
	594	792	2 000	1 960	4.7	24	0.32		3.0	
39 59	583	777	2 150	2 110	4.2	25		94		
40 08	581	775	2 180	2 130	3.9	25		95	3.3	Obere Grenze d. st-Schicht.
	558	744	2 500	2 450	2.0	26	0.62			
43 05	538	717	2 790	2 740	0.2	27		76	3.5	

487— 550 m	S 85° W	1.0 m. p. s.	Ballon entschwunden in st-cu.
550— 620 m	W	1.9 m. p. s.	
620— 680 m	S 84° W	2.3 m. p. s.	
680— 830 m	S 88° W	5.0 m. p. s.	
830—1030 m	N 88° W	6.5 m. p. s.	
1030—1320 m	N 87° W	9.5 m. p. s.	
1320—1550 m	S 89° W	8.5 m. p. s.	
1550—1590 m	S 80° W		

Zeit h m s	Luftdruck mm	mbar	Seehöhe m	dyn. m	Temperatur C°	Pot. Temperatur C°	Gradient △ t/100 m	Relative Feuchtigkeit %	Vertikalgeschwindigkeit m	Bemerkungen
		700		**2 930**						
	524	699	3 000	2 940	- 1.0	28	0.67		3.4	
47 18	482	643	3 660	3 590	- 5.6	31		98		Wahrscheinlich in a-st. Vgl. Zugspitze.
	462	616	4 000	3 920	- 7.4	32	0.57		4.1	
		600		**4 120**						
51 42	419	559	4 750	4 660	-11.8	35		94		Von hier ab Abstiegsdiagramm ausgewertet.
	405	540	5 000	4 900	-13.5	36	0,65			
		500		**5 480**						
	364	485	5 810	5 690	-18.7	39		61		
	355	474	6 000	5 880	-20.4	39	0.83		4.5	
	310	413	7 000	6 860	-28.8	41		42		
		400		**7 070**						
	273	364	7 880	7 720	-35.8	43				
	268	357	8 000	7 840	-36.6	44	0.57		8.0	
	232	309	9 000	8 820	-42.5	49				
		300		**9 010**						Ende der Troposphäre.
	202	269	9 920	9 720	-47.5	54				
	200	267	10 000	9 800	-47.6	55	0:14		2.7	
	181	241	10 650	10 430	-48.5	63				
	164	219	11 310	11 070	-43.5	80	-0.76		2.1	
	147	196	12 040	11 790					1.3	Ungefähre Höhenangabe.
9 42 29										Landung, beobachtet 10 a.

4. Mai 1926 8 a.

Instrument Bosch No. 407.
Temperaturkorrektion des Aneroids:
$$d\,p = -\Delta T\ (0.154 - 0.000457\ p).$$
Zeit des Aufstiegs: 7 Uhr 33 Min. 24 Sek. a. M. E. Z.
Witterung beim Aufstieg:
a) Wind, Bewölkung, Form, Richtung und Geschwindigkeit der Wolken: NE 2, 10^1 st, st-cu, Nebelreissen.
b) Temperatur beim Aufstieg: 8.0°; relative Feuchtigkeit: 95 %.
Temperatur 2 Stunden vor dem Aufstieg: 7.7°, nach dem Aufstieg: 10.6°.
Maximum des Vortages: 16.3° um 11 Uhr 15 Min. a.
Maximum des Aufstiegtages: 11.0° um 11 Uhr 00 Min. a.
Minimum des Aufstiegtages: 6.6° um 3 Uhr 00 Min. a.
Flugrichtungen bis zum Verschwinden des Ballons: Siehe Visierung.
Name, Seehöhe, Entfernung und Richtung des Landungsortes: Saulburg bei Straubing, 351 m, 109 km, N 41°.
Dauer des Aufstiegs: 1 Stunde 26 Min. (1 Stunde ausgew.)
Dauer der Fahrt: (2 Stunden 5 Min. ausgewertet).
Grösste Höhe: 21 920 m.
Tiefste Temperatur: — 53.5°.
Ventilation genügt bis: 12 440 m.
Besondere Bemerkungen: Ballon nicht geplatzt; Instrument bei der Landung schwer beschädigt.

Ergebnis der Registrierung.

Zeit h m s	Luftdruck mm	mbar	Seehöhe m	dyn. m	Temperatur C°	Pot. Temperatur C°	Gradient △ t/100 m	Relative Feuchtigkeit %	Vertikalgeschwindigkeit m	Bemerkungen
7 33 24	712.5	949.9	487	477	8.0	12		95		487— 660 m N 57° E 6.0 m. p. s.
	712	949	500	490	8.0	12	0.67		2.9	
34 25	697	929	670	650	6.8	13		99		660— 890 m S 88° E
35 28	677	903	910	890	6.8	15	0.00	98		Sandgewicht 400 g, nach 2 Min. 10 Sek. ausgelaufen — 890—1050 m S 84° E } 10.0 m. p. s. Ballon entschwunden.
		900		**910**						
	670	893	1 000	980	6.4	16	0.55		4.8	
	630	840	1 500	1 470	3.5	18		100		
37 58	618	824	1 650	1 620	2.8	19				
38 46	602	803	1 860	1 820	3.2	20	-0.19	100	4.4	Kl. Inversion.
		800		**1 850**						
	591	788	2 000	1 960	2.5	22	0.46		4.8	
39 40	583	777	2 120	2 080	2.0	22		96		
	556	741	2 500	2 450	- 0.2	24	0.54		5.2	
		700		**2 900**						
42 28	523	697	2 990	2 930	- 2.7	26		88		
	522	696	3 000	2 940	- 2.8	26	0.78		4.9	
43 43	499	665	3 360	3 290	- 5.6	27		92		
	460	613	4 000	3 920	-10.2	29	0.69			
		600		**4 080**						
47 44	422	563	4 650	4 560	-14.5	31		95		
	403	537	5 000	4 900	-16.4	33	0.50			
		500		**5 420**						
51 52	353	471	5 980	5 860	-21.2	39		83		
	352	469	6 000	5 880	-21.5	39			5.4	
	307	409	7 000	6 869	-29.2	42	0.77			
		400		**7 010**						
56 25	287	383	7 470	7 320	-32.6	42		70		
	266	355	8 000	7 840	-35.7	45				
	230	307	9 000	8 820	-41.1	50				
		300		**8 960**			0.55			
8 01 57	221	295	9 260	9 070	-42.5	52		64		
	198	264	10 000	9 800	-46.8	58			4.6	
07 23	176	235	10 770	10 550	-50.8	62		62		Ende der Troposphäre.

Zeit h m s	Luftdruck mm	mbar	Seehöhe m	dyn m	Temperatur C°	Pot. Temperatur C°	Gradient △ t/100 m	Relative Feuchtigkeit %	Vertikalgeschwindigkeit m	Bemerkungen
	169	225	11 000	10 770	- 51.0	67				
10 13	158	211	11 480	11 240	- 51.4	73	0.08	61	4.1	
		200		**11 560**						
11 41	146	195	11 990	11 740	- 52.8	77	0.25	61	5.8	
	145	193	12 000	11 750	- 52.8	78				
13 24	136	181	12 440	12 180	- 52.1	86	- 0.15	61		
14 59	127	169	12 890	12 620	[- 53.5]	[90]	0.32	60		
	125	167	13 000	12 730	[- 53.6]	[92]			4.5	
	107	143	14 000	13 700	[- 50.8]	[113]	- 0.24			
21 44	96	128	14 710	14 400	[- 49.2]	[131]		59		
	92	123	15 000	14 680	[- 49.2]	[137]				
	78	104	16 000	15 660	[- 49.0]	[157]				
		100		**15 980**			- 0.02		4.2	
29 11	72	96	16 600	16 240	[- 48.9]	[167]		57		
	67	89	17 000	16 630	[- 49.9]	[175]				
33 16	61	81	17 690	17 310	[- 50.8]	[185]	0.18	56	4.4	
59 40	32	43	21 920	21 430				51	2.7	Ungefähre Höhenangabe.
9 07 58	42	56	20 130	19 680	[- 47.9]			48	3.6	
11 47	47	63	19 480	19 050	[- 48.3]		- 0.06	47	2.8	
21 28	69	92	17 010	16 650	[- 52.1]		- 0.15	45	4.3	
28 00	90	120	15 280	14 950	[- 48.9]		0.18	45	4.5	
32 54	113	151	13 780	13 490	[- 49.4]		- 0.03	45	5.1	
38 31	146	195	12 110	11 850	- 51.7		- 0.14		4 9	Uhr abgelaufen.

5. Mai 1926 8 a.

Instrument Bosch No. 408.
Temperaturkorrektion des Aneroids:
$$dp = -AT\ (0.103 - 0.000457\ p).$$
Zeit des Aufstiegs: 7 Uhr 34 Min. 44 Sek. a. M. E. Z.
Witterung beim Aufstieg:
a) Wind, Bewölkung, Form, Richtung und Geschwindigkeit der Wolken: C, 10^1 st.
b) Temperatur beim Aufstieg: 8.0°; relative Feuchtigkeit: 96 %.
Temperatur 2 Stunden vor dem Aufstieg: 7.6°, nach dem Aufstieg: 9.4°.
Maximum des Vortages: 11.0° um 11 Uhr 00 Min. a.
Maximum des Aufstiegtages: 13.4° um 1 Uhr 15 Min. p.
Minimum des Aufstiegtages: 7.3° um 11 Uhr 30 Min. p.
Flugrichtungen bis zum Verschwinden des Ballons: Ballon zog ab nach SE, nach 35 Sek. in st eingetreten.
Name, Seehöhe, Entfernung und Richtung des Landungsortes: Putzbrunn bei Perlach, 554 m, 22 km, N 146°.
Dauer des Aufstiegs: 36 Minuten.
Dauer der Fahrt: 1 Stunde 10 Minuten.
Grösste Höhe: 11440 m.
Tiefste Temperatur: — 52.4°.
Ventilation genügt.

Ergebnis der Registrierung.

Zeit h m s	Luftdruck mm	mbar	Seehöhe m	dyn. m	Temperatur C°	Pot. Temperatur C°	Gradient △ t/100 m	Relative Feuchtigkeit %	Vertikalgeschwindigkeit m	Bemerkungen
7 34 44	712.4	949.8	487	477	8.0	12		96		
	711	948	500	490	7.8	12				
35 20	696	928	680	660	6.2	12	0.95	100	5.3	Ballon in st.
		900		**910**						
	670	893	1 000	980	4.7	13				
	629	839	1 500	1 470	2.3	17	0.47		4.9	
38 39	617	823	1 650	1 620	1.6	17		100		
		800		**1 840**						
	591	788	2 000	1 960	- 0.3	19				
	556	741	2 500	2 450	- 2.9	21	0.53		5.3	
42 20	533	711	2 820	2 760	- 4.6	22		99		
		700		**2 880**						
	521	695	3 000	2 940	- 5.6	23	0.57		5.2	
45 03	478	637	3 660	3 590	- 9.4	27		85		Min. d. R. F.
	458	611	4 000	3 920	- 11.9	27				
46 24	452	603	4 090	4 010	- 12.7	27	0.77	90	5.3	
		600		**4 050**						
47 07	438	584	4 340	4 250	- 12.8	29	0.04	87	5.6	Isothermie.
	402	536	5 000	4 900	- 17.0	32				
50 34	378	504	5 440	5 330	- 19.9	34	0.64	89	5.4	
		500		**5 390**						
	350	467	6 000	5 880	- 24.1	36	0.72		5.3	
52 53	342	456	6 180	6 050	- 25.2	37		87		
	305	407	7 000	6 860	- 31.6	39				
		400		**6 970**					5.5	
58 08	268	357	7 900	7 740	- 38.1	42	0.78	73		
	264	352	8 000	7 840	- 38.9	42				
8 01 29	230	306	8 950	8 770	- 46.3	45		72	5.2	
	228	304	9 000	8 820	- 46.6	45				
		300		**8 900**			0.66		5.0	
04 10	203	271	9 760	9 560	- 51.6	47		70		Ende der Troposphäre.

Zeit h m s	Luftdruck mm	mbar	Seehöhe m	dyn. m	Temperatur C°	Pot. Temperatur C°	Gradient △t/100 m	Relative Feuchtigkeit %	Vertikalgeschwindigkeit m	Bemerkungen
	196	261	10 000	9 800	− 51.1	52				
07 38	178	237	10 610	10 400	− 49.7	63	− 0.22	68	4.1	
	167	223	11 000	10 770	− 48.1	72				
11 06	157	209	11 440	11 210	− 46.5	80	− 0.39	66		Höchster Punkt; Platzmarke.
14 09	184	245	10 390	10 180	− 49.9		0.32	65	5.7	
15 54	207	276	9 630	9 430	− 52.4		− 0.32	65	7.3	Wiedereintritt in die Troposphäre.
19 12	243	324	8 580	8 400	− 46.3		0.58	67	5.3	
23 16	292	389	7 330	7 180	− 36.1		0.82	70	5.1	
26 04	327	436	6 530	6 400	− 29.6		0.81	68	4.8	
30 42	386	515	5 330	5 220	− 20.6		0.75	85	4.3	
34 04	433	577	4 460	4 370	− 14.0		0.76	89		
36 21	477	636	3 720	3 650	− 10.7		0.45	90	5.4	
38 28	533	711	2 800	2 740	− 6.0		0.51	92	7.3	
41 36	621	828	1 650	1 620	0.5		0.57	100	6.1	
44 28	705	940	620	610	6.4		0.58	97	6.0	Landung.

6. Mai 1926 8 a.

Instrument Bosch No. 424.
Temperaturkorrektion des Aneroids:
$$dp = \mathcal{A}T\ (0.066 - 0.000457\ p).$$
Zeit des Aufstiegs: 7 Uhr 28 Min. 30 Sek. a. M. E. Z.
Witterung beim Aufstieg:
a) Wind, Bewölkung, Form, Richtung und Geschwindigkeit der Wolken: SW 3, 10¹ st, st-cu W m.
b) Temperatur beim Aufstieg: 9.1°; relat. Feuchtigkeit: 89 %.
Temperatur 2 Stunden vor dem Aufstieg: 7.7°, nach dem Aufstieg: 9.7°.
Maximum des Vortages: 13.4° um 1 Uhr 15 Min. p.
Maximum des Aufstiegtages: 13.1° um 2 Uhr 30 Min. p.
Minimum des Aufstiegtages: 6.5° um 12 Uhr 00 Min. mn.
Flugrichtungen bis zum Verschwinden des Ballons: Siehe Visierung.
Name, Seehöhe, Entfernung und Richtung des Landungsortes: Niederrast bei Straubing, 331 m, 101 km, N 53°.
Dauer des Aufstiegs: 48 Minuten.
Dauer der Fahrt: (1 Stunde 33 Min. ausgewertet).
Grösste Höhe: 10590 m.
Tiefste Temperatur: — 52.2°.
Ventilation genügt bis: 8430 m.
Besondere Bemerkungen: Ballon nicht geplatzt. Landung beobachtet, Instrument beschädigt.

Ergebnis der Registrierung.

Zeit h m s	Luftdruck mm	mbar	Seehöhe m	dyn. m	Temperatur C°	Pot. Temperatur C°	Gradient △t/100 m	Relative Feuchtigkeit %	Vertikalgeschwindigkeit m	Bemerkungen
7 28 30	711.4	948.4	487	477	9.1	13		89		487— 790 m S 58° W 7.5 m. p. s.
	710	947	500	490	9.0	13				
		900		**880**						
	665	887	1 000	980	5.8	16	0.63		5.1	790—1100 m S 68° W 15.0 m. p. s.
	627	836	1 500	1 470	2.8	18				1100—1400 m S 66° W 14.0 m. p. s.
31 50	626	835	1 510	1 480	2.7	18		86		
		800		**1 810**						1400—2010 m S 70° W 12.0 m. p. s.
	590	787	2 000	1 960	− 0.6	19	0.70		5.0	
34 55	558	744	2 430	2 380	− 3.7	20		92		2010—2300 m / 2300—2600 m S 74° W 13.0 m. p. s.
	553	737	2 500	2 450	− 3.7	21				
35 17	549	732	2 550	2 500	− 3.7	21	0.00	93	5.8	2600—2870 m / 14.0 m p. s.
		700		**2 850**						Ballon entschwunden.
	519	692	3 000	2 940	− 6.7	23	0.68		4.4	
37 21	512	683	3 100	3 040	− 7.4	23		81		
38 02	500	667	3 280	3 220	− 7.8	25	0.22	85	4.5	
	456	608	4 000	3 920	− 12.3	28	0.63		5.3	
40 19	455	607	4 010	3 930	− 12.4	28		90		
		600		**4 010**			0.67			
42 54	407	543	4 850	4 760	− 18.0	30		91		
	398	531	5 000	4 900	− 19.1	31			5.4	
		500		**5 350**			0.69			
45 46	359	479	5 780	5 660	− 24.4	35		91		
	348	463	6 000	5 880	− 26.4	35	0.79		5.1	
48 54	313	417	6 740	6 610	− 32.0	36				
50 13	303	404	6 990	6 850	− 32.2	40	0.08	82	3.1	
	302	403	7 000	6 860	− 32.2	40				
		400		**6 920**			0.69		3.4	
52 29	283	377	7 450	7 300	− 35.4	41		86		
54 59	262	349	8 000	7 840	− 40.0	42	0.84	94	3.7	
57 06	246	328	8 430	8 260	− 43.6	42		98	3.4	
	226	301	9 000	8 820	− 47.6	45				
		300		**8 840**			0.69		2.6	
8 01 04	224	299	9 050	8 870	[− 47.9]	[45]		98		Ventilation ungenügend.
04 34	209	279	9 510	9 310	[− 49.6]	[48]	0.37	90	2.2	Ende der Troposphäre.
07 02	197	263	9 900	9 690	[− 49.2]	[55]	− 0.12		2.6	
	195	260	10 000	9 800	[− 49.9]	[55]	0.99		2.2	
08 34	191	255	10 100	9 890	[− 51.2]	[55]				

Zeit h m s	Luftdruck mm	mbar	Seehöhe m	dyn. m	Temperatur C°	Pot. Temperatur C°	Gradient △t/100 m	Relative Feuchtigkeit %	Vertikalgeschwindigkeit m	Bemerkungen
09 59	187	249	10 240	10 030	[- 50.2]	[59]	- 0.73		1.6	
12 10	181	241	10 450	10 230	[- 50.9]	[60]	0.33			
16 29	177	236	10 590	10 370	[- 50.7]	[63]	- 0.14		0.6	Höchster Punkt.
20 55	187	249	10 230	10 020	[- 50.4]		0.08		1.3	
23 38	198	264	9 860	9 660	[- 52.2]		- 0.48		2.3	Wiedereintritt in die Troposphäre.
26 04	215	287	9 330	9 140	- 50.6		0.30		3.7	
29 43	244	325	8 490	8 320	- 45.6		0.60		3.8	
32 28	271	361	7 780	7 620	- 39.4		0.89		4.3	
35 11	297	396	7 140	7 000	- 33.4		0.94		3.9	
36 19	311	415	6 820	6 680	- 32.3		0.26		4.7	
39 49	356	475	5 850	5 740	- 24.4		0.91		4.6	
43 28	407	543	4 860	4 770	- 18.0		0.65		4.5	
48 02	473	631	3 730	3 650	- 10.1		0.69		4.2	
52 28	530	707	2 840	2 780	- 4.2		0.67		3.3	
52 46	534	712	2 780	2 730	- 4.6		- 0.69		3.2	
57 41	602	803	1 830	1 790	0.5		0.53			
9 01 38	664	885	1 040	1 020	4.8		0.54		3.3	Landung des Ballons 9 a beobachtet.

6. Mai 1926 2 p.

Instrument Bosch No. 428.
Temperaturkorrektion des Aneroids:
$$dp = -\mathcal{A}T\,(0.079 - 0.000457\ p)$$
Zeit des Aufstiegs: 2 Uhr 5 Min. 45 Sek. p. M. E. Z.
Witterung beim Aufstieg:
a) Wind, Bewölkung, Form, Richtung und Geschwindigkeit der Wolken: WSW 2, 9¹ a-st, st-cu, cu-ni i. N.
b) Temperatur beim Aufstieg: 10.7°; relative Feuchtigkeit: 67 %.
Temperatur 2 Stunden vor dem Aufstieg: 11.4°, nach dem Aufstieg: 11.8°.
Maximum des Vortages: 13.4° um 1 Uhr 15 Min. p.
Maximum des Aufstiegtages: 13.1°, um 2 Uhr 30 Min. p.
Minimum des Aufstiegtages: 6.5°, um 12 Uhr 00 Min. mn.
Flugrichtungen bis zum Verschwinden des Ballons: S. Visierung.
Name, Seehöhe, Entfernung und Richtung des Landungsortes: Salching bei Straubing, ca 360 m, 98 km, N 51°.
Dauer des Aufstiegs: 55 Minuten.
Dauer der Fahrt: 1 Stunde 49 Min.
Grösste Höhe: 13 440 m.
Tiefste Temperatur: — 53.8°.
Ventilation genügt bis: 10 850 m.
Besondere Bemerkungen: Ballon nicht geplatzt.

Ergebnis der Registrierung.

Zeit h m s	Luftdruck mm	mbar	Seehöhe m	dyn. m	Temperatur C°	Pot. Temperatur C°	Gradient △t/100 m	Relative Feuchtigkeit %	Vertikalgeschwindigkeit m	Bemerkungen
2 05 45	711.2	948.3	487	477	10.7	16		67		487— 750 m N 69° W } 2.3 m. p. s.
	710	947	500	490	10.6	16				750—1000 m N 85° W }
		900		**900**						
	668	891	1 000	980	5.6	16	0.97		4.3	1000—1260 m N 40° W 3.0 m. p. s.
08 32	652	869	1 200	1 180	3.7	16		80		1260—1520 m N 70° W 4.0 m. p. s.
	629	839	1 500	1 470	1.7	16	0.70		4.4	1520—1780 m S 88° W 5.5 m. p. s.
10 04	620	827	1 610	1 570	0.9	17		83		
		800		**1 830**						1780—1990 m } 6.5 m. p. s.
	591	788	2 000	1 960	- 0.9	18	0.47			1990—2290 m } S 78° W 9.0 m. p. s.
12 00	583	777	2 100	2 060	- 1.4	19		89	4.2	2290—2540 m } 11.0 m. p. s.
	554	739	2 500	2 450	- 2.8	21	0.59			
13 52	549	732	2 570	2 520	- 4.2	21		86		Ballon entschwunden.
		700		**2 860**						
	519	692	3 000	2 940	- 7.6	22	0.80		4.1	
16 11	509	679	3 150	3 090	- 8.8	22		91		
17 40	481	641	3 600	3 530	- 9.3	27	0.11	87	5.1	
	457	609	4 000	3 920	- 11.7	28				
		600		**4 030**			0.61		5.2	
20 06	436	581	4 350	4 270	- 13.9	29		83		
	400	533	5 000	4 900	- 17.8	32				
		500		**5 370**			0.58		5.3	
24 02	369	492	5 600	5 490	- 21.2	35		77		
	349	465	6 000	5 880	- 24.5	36	0.78		4.8	
26 47	331	441	6 390	6 260	- 27.4	37		75		
	304	405	7 000	6 860	- 31.6	39				
		400		**6 950**			0.68		5.5	
29 16	295	393	7 210	7 070	- 33.0	40		75		
	264	352	8 000	7 840	- 38.2	42	0.70			
32 07	256	341	8 200	8 030	- 39.7	43		72		
	228	304	9 000	8 820	- 45.7	46			5.7	
		300		**8 880**			0.78			
34 54	222	296	9 160	8 970	- 47.2	47		70		
	195	260	10 000	9 800	- 53.1	49	0.70		4.8	
38 04	193	257	10 070	9 860	- 53.6	49		69		Ende der Troposphäre.
41 23	171	228	10 850	10 620	- 53.7	60	0.01	70	3.9	
	167	223	11 000	10 770	[- 53.8]	[63]				Ventilation ungenügend.
		200		**11 450**						
	142	189	12 000	11 750	[- 53.8]	[79]	0.00		2.2	
	122	163	13 000	12 730	[- 53.8]	[93]				
3 01 03	114	152	13 440	13 170	[- 53.8]	[101]		73		Höchster Punkt.
13 03	169	225	10 910	10 690	[- 53.8]			63	3.5	

Zeit h m s	Luftdruck mm	mbar	Seehöhe m	dyn. m	Temperatur C°	Pot. Temperatur C°	Gradient △ t/100 m	Relative Feuchtigkeit %	Vertikalgeschwindigkeit m	Bemerkungen
15 37	192	256	10 090	9 890	- 54.7		- 0.11		5.3	Wiedereintritt in die Troposphäre.
18 53	225	300	9 060	8 880	- 49.4		0.52	65	5.2	
22 07	266	355	7 950	7 780	- 40.6		0.79	66	5.8	
25 50	323	431	6 590	6 460	- 31.8		0.65	71	6.1	
28 16	355	473	5 920	5 800	- 26.3		0.82	72	4.6	
30 10	385	513	5 330	5 220	- 21.9		0.74	75	5.3	
31 03	396	528	5 120	5 020	- 20.8		0.53	76	3.9	
34 55	442	589	4 290	4 210	- 15.1		0.69	77	3 6	
39 18	503	671	3 310	3 240	- 8.6		0.66	75	3.8	
43 22	567	756	2 370	2 330	- 5.0		0.39	89		
46 37	604	805	1 870	1 840	- 0.5		0.90	83	2.6	
47 40	624	832	1 610	1 580	- 0.2		0.11	89	4.1	
51 07	672	896	1 010	990	4.2		0.74	93	2.9	
54 45	720	960	450	440	9.7		0.97	73	2.6	Landung 4^{50} beobachtet.

6. Mai 1926 7 p.

Instrument Bosch No. 526.
Temperaturkorrektion des Aneroids:
$$dp = -\Delta T\ (0.147 - 0.000457\ p).$$
Zeit des Aufstiegs: 6 Uhr 40 Min. 22 Sek. p. M. E. Z.
Witterung beim Aufstieg:
a) Wind, Bewölkung, Form, Richtung und Geschwindigkeit der Wolken: NW 2, 10^1 ◍^{0} st, fr-st NW m, ni; 4^{35} p Durchzug einer Regenböe.
b) Temperatur beim Aufstieg: 6.8°; relative Feuchtigkeit: 91 %.
Temperatur 2 Stunden vor dem Aufstieg: 8 4°, nach dem Aufstieg: 6.6°.
Maximum des Vortages: 13.4° um 1 Uhr 15 Min. p.
Maximum des Aufstiegtages: 13.1° um 2 Uhr 30 Min. p.
Minimum des Aufstiegtages: 6.5° um 12 Uhr 00 Min. mn.
Flugrichtungen bis zum Verschwinden des Ballons: Siehe Visierung.
Name, Seehöhe, Entfernung und Richtung des Landungsortes: Herrngiersdorf bei Langquaid, 398 m, 70 km, N 32°.
Dauer des Aufstieges: (19 Minuten ausgewertet).
Dauer der Fahrt: ?
Grösste Höhe: 4 820 m
Tiefste Temperatur: — 17.3° im Aufstieg.
Ventilation genügt.
Besondere Bemerkungen: Ballon nicht geplatzt; Instrument bei der Landung schwer beschädigt, Registrierung fast vollkommen unbrauchbar.

Ergebnis der Registrierung.

Zeit h m s	Luftdruck mm	mbar	Seehöhe m	dyn. m	Temperatur C°	Pot. Temperatur C°	Gradient △ t/100 m	Relative Feuchtigkeit %	Vertikalgeschwindigkeit m	Bemerkungen
6 40 22	711.0	947.9	487	477	6.8	11				487— 720 m N 48° W 6.0 m. p. s.
	710	947	500	490	6.7	11				720— 940 m N 35° W 8.0 m. p. s.
		900		**890**						940—1170 m N 35° W 6.7 m. p. s.
	668	891	1 000	980	4.1	13			3.8	1170—1400 m N 72° W 6.2 m p. s.
	628	837	1 500	1 470	1.5	15				1400—1530 m N 70° W 6.7 m. p. s.
44 53	626	835	1 520	1 490	1.4	15	0.52			Ballon entschwunden.
		800		**1 820**						
	590	787	2 000	1 960	- 1.1	18			3.5	
	554	739	2 500	2 450	- 3.6	21				
49 47	549	732	2 560	2 510	- 4.0	21				
		700		**2 860**						
	519	692	3 000	2 940	- 6.7	23	0.60		4.1	
52 54	497	663	3 340	3 280	- 8.7	23				
	457	609	4 000	3 920	- 12.6	27				
		600		**4 020**			0.58		3.7	
59 28	409	545	4 820	4 720	-17.3	31				

7. Mai 1926 2 a.

Instrument Bosch No. 529.
Temperaturkorrektion des Aneroids:
$$dp = -\Delta T\ (0.107 - 0.000457\ p).$$
Zeit des Aufstiegs: 1 Uhr 51 Min. 50 Sek. a. M. E. Z.
Witterung beim Aufstieg:
a) Wind, Bewölkung, Form, Richtung und Geschwindigkeit der Wolken: W 2, 10^1 ◍^{1}, ni.
b) Temperatur beim Aufstieg: 5.7°; relat. Feuchtigkeit: 95 %.
Temperatur 2 Stunden vor dem Aufstieg: 6.5°, nach dem Aufstieg: 4.8°.
Maximum des Vortages: 13.1° um 2 Uhr 30 Min. p.
Maximum des Aufstiegtages: 8.8° um 2 Uhr 30 Min p.
Minimum des Aufstiegtages: 0.9° um 11 Uhr 15 Min. p.
Flugrichtungen bis zum Verschwinden des Ballons: Ballon zog ab nach E.
Name, Seehöhe, Entfernung und Richtung des Landungsortes: Untervorholzen bei Rottenburg a. d. Laber (Ndb.), 450 m, 67 km, N 34°.
Dauer des Aufstiegs: 1 Stunde.
Dauer der Fahrt: 2 Stunden 21 Minuten.
Grösste Höhe: 11 940 m.
Tiefste Temperatur: — 59.3°.
Ventilation genügt bis: 9070 m.
Besondere Bemerkungen: Ballon nicht geplatzt.

Ergebnis der Registrierung.

Zeit h m s	Luftdruck mm	mbar	Seehöhe m	dyn. m	Temperatur C°	Pot. Temperatur C°	Gradient △ t/100 m	Relative Feuchtigkeit %	Vertikalgeschwindigkeit m	Bemerkungen
1 51 50	712.4	949.8	487	477	5.7	10		95		Sehr gleichmässige Temperaturabnahme in der ganzen Troposphäre.
	711	948	500	490	5.6	10				
		900		**910**						
	669	892	1 000	980	3.7	13	0.53		4.4	
54 20	657	876	1 140	1 120	2.2	13		99		
	629	839	1 500	1 470	0.0	15				
		800		**1 830**						
	591	788	2 000	1 960	- 3.0	17	0.60		4.0	
	554	739	2 500	2 450	- 6.0	19				
2 00 48	541	721	2 680	2 630	- 7.0	20		93		
		700		**2 860**						
	519	692	3 000	2 940	- 9.0	21				
	452	603	4 000	3 920	- 15.1	26	0.61		4.3	
		600		**4 010**						
06 25	443	591	4 140	4 060	- 15.9	26		88		
	396	528	5 000	4 900	- 21.2	30				
		500		**5 340**			0.58		4.8	
12 02	360	480	5 750	5 630	- 25.2	34		83		
	348	464	6 000	5 880	- 27.3	34				
	303	404	7 000	6 860	- 35.2	36				
		400		**6 900**			0.78		4.5	
	261	348	8 000	7 840	- 42.8	39				
20 32	260	347	8 020	7 860	- 42.9	39		79		
		300		**8 800**						
	224	299	9 000	8 820	- 49.1	41	0.64		3.8	
25 06	222	296	9 070	8 890	- 49.6	41		76		
27 58	207	276	9 530	9 330	[- 51.9]	[46]	0.51		2.6	Ventilation ungenügend.
	193	257	10 000	9 800	[- 52.9]	[51]	0.22		2.8	
31 34	189	252	10 120	9 910	[- 53.2]	[52]				Ende der Troposphäre.
	165	220	11 000	10 770	[- 51.8]	[68]	- 0.16		1.9	
41 25	159	212	11 240	11 010	[- 51.4]	[72]				
		200		**11 380**			- 0.42		1.2	
47 08	149	199	11 670	11 430	[- 49.6]	[81]				
51 30	143	191	11 940	11 690	[- 49.7]	[84]	0.04			Höchster Punkt.
3 08 00	165	220	11 000	10 770	[- 49.6]		0.01		1.0	
13 25	174	232	10 660	10 430	[- 52.4]		- 0.82			
18 30	189	252	10 120	9 910	[- 54.3]		- 0.35		1.8	Wiedereintritt in die Troposphäre.
24 32	210	280	9 450	9 250	[- 53.2]		0.16		1.9	
27 08	222	296	9 090	8 900	[- 51.6]		0.44		2.3	
37 39	296	395	7 160	7 010	- 36.6		0.78	71	3.1	
50 23	426	568	4 550	4 460	- 20.4		0.62	83	3.4	
4 02 21	541	721	2 730	2 680	- 6.9		0.74	91	2.5	
08 35	631	841	1 520	1 490	- 0.2		0.55		3.2	
12 51	699	932	710	690	3.6		0.47			

7. Mai 1926 8 a.

Instrument Bosch No. 562.
Temperaturkorrektion des Aneroids:
$$dp = -\Delta T\ (0.125 - 0.000457\ p).$$
Zeit des Aufstiegs: 7 Uhr 58 Min. 54 Sek. a. M. E. Z.
Witterung beim Aufstieg:
a) Wind, Bewölkung, Form, Richtung und Geschwindigkeit der Wolken: NW 4, 10^1 st, st-cu NW r.
b) Temperatur beim Aufstieg: 4.0°; relative Feuchtigkeit: 82 %.
Temperatur 2 Stunden vor dem Aufstieg: 3.8°, nach dem Aufstieg: 5.6°.

Maximum des Vortages: 13.1° um 2 Uhr 30 Min. p.
Maximum des Aufstiegtages: 8.8° um 2 Uhr 30 Min. p.
Minimum des Aufstiegtages: 0.9° um 11 Uhr 15 Min. p.
Flugrichtungen bis zum Verschwinden des Ballons: S. Visierung.
Name, Seehöhe, Entfernung und Richtung des Landungsortes: Giggenhausen bei Freising, 468 m, 15 km, N 31°.
Dauer des Aufstiegs: 34 Minuten.
Dauer der Fahrt. 48 Minuten.
Grösste Höhe: 10410 m.
Tiefste Temperatur: — 53.7°.
Ventilation genügt.

Ergebnis der Registrierung.

Zeit h m s	Luftdruck mm	mbar	Seehöhe m	dyn. m	Temperatur C°	Pot. Temperatur C°	Gradient △ t/100 m	Relative Feuchtigkeit %	Vertikalgeschwindigkeit m	Bemerkungen
7 58 54	715.1	953.3	487	477	4.0	8		82		487— 760 m N 59° W 12.7 m. p. s.
	714	952	500	490	3.8	8				760 - 1040 m N 49° W 17.3 m. p. s.
		900		**930**						
	670	893	1 000	980	- 0.4	9	0.82		4.6	
8 02 26	632	843	1 470	1 440	- 4.1	9		98		1040—1190 m N 22° W 16.0 m. p. s. in Dunst verschwunden.
	630	840	1 500	1 470	- 4.2	9				
		800		**1 840**			0.43		5.0	
	591	788	2 000	1 960	- 6.4	12				
04 21	588	784	2 040	2 000	- 6.5	12		100		
05 22	561	748	2 400	2 360	- 7.8	15	0.36	94	6.0	
	554	739	2 500	2 450	- 7.8	16	0.00		5.6	Isothermie.
05 53	548	731	2 580	2 530	- 7.8	17		91		

Zeit h m s	Luftdruck mm	mbar	Seehöhe m	dyn. m	Temperatur C°	Pot. Temperatur C°	Gradient △ t/100 m	Relative Feuchtigkeit %	Vertikalgeschwindigkeit m	Bemerkungen
		700		**2 860**						
	519	692	3 000	2 940	− 10.4	18	0.62		5.1	
07 52	507	676	3 180	3 120	− 11.5	19		92		
08 19	500	667	3 290	3 230	− 11.5	20	0.00	92	4.0	Isothermie
	455	607	4 000	3 920	− 15.7	24				
		600		**4 010**			0.58		4.7	
11 49	438	584	4 290	4 210	− 17.3	25		94		
	398	531	5 000	4 900	− 22.1	28				
		500		**5 330**			0.65			
16 01	371	495	5 520	5 410	− 25.3	30		90		
	348	464	6 000	5 880	− 29.3	31			4.9	
	302	403	7 000	6 860	− 37.1	34	0.80			
		400		**6 880**						
22 03	289	385	7 280	7 130	− 39.4	35		83		
	260	347	8 000	7 840	− 43.5	38				
26 05	243	324	8 450	8 270	− 46.0	40	0.57	81	4.8	
		300		**8 770**						
	224	299	9 000	8 820	− 49.2	43	0.58		5.1	
28 37	216	288	9 220	9 030	− 50.5	44		78		
30 42	197	263	9 820	9 620	− 52.8	49	0.38	77	4 8	Ende der Troposphäre.
	192	256	10 000	9 800	− 52.3	53				
32 42	180	240	10 410	10 190	− 51.3	60	− 0.26	78	4.9	Höchster Punkt, Platzmarke.
33 32	201	268	9 700	9 500	− 53.7		− 0.34	76	14.1	Wiedereintritt in die Troposphäre.
34 47	227	303	8 910	8 730	− 52.2		0.19	77	10.7	
35 46	253	337	8 200	8 030	− 46.6		0.79	80	12.1	
37 18	294	392	7 170	7 020	− 41.1		0.50	81	11.2	
40 15	392	523	5 150	5 040	− 24.9		0.82	87	11.4	
43 17	550	733	2 610	2 560	− 9.4		0.61	96	13.9	
44 23	605	807	1 860	1 830	− 8 0		0.19	88	11.3	
45 23	647	863	1 340	1 320	− 4.2		0.74	90	8.4	
46 43	712	949	580	570	2.9		0.93	98	9 7	

7. Mai 1926 2 p.

Instrument Bosch No. 608.
Temperaturkorrektion des Aneroids:
$$d\,p = -\,\Delta T\ (0.154 - 0.000457\ p).$$
Zeit des Aufstiegs: 1 Uhr 24 Min. 53 Sek. p. M. E. Z.
Witterung beim Aufstieg:
a) Wind, Bewölkung, Form, Richtung und Geschwindigkeit der Wolken: NW 2, 8^1 ⊙ st-cu NW m.
b) Temperatur beim Aufstieg: 7.0°; relative Feuchtigkeit: 49%.
Temperatur 2 Stunden vor dem Aufstieg: 6.8°, nach dem Aufstieg: 8.3°.

Maximum des Vortages: 13.1° um 2 Uhr 30 Min. p.
Maximum des Aufstiegtages: 8.8° um 2 Uhr 30 Min. p.
Minimum des Aufstiegtages: 0.9° um 11 Uhr 15 Min. p.
Flugrichtungen bis zum Verschwinden des Ballons: S. Visierung.
Name, Seehöhe, Entfernung und Richtung des Landungsortes: Sixthaselbach bei Moosburg, 460 m, 42 km, N 41°.
Dauer des Aufstiegs: 47 Minuten.
Dauer der Fahrt: 1 Stunde 9 Minuten.
Grösste Höhe: 18 070 m.
Tiefste Temperatur: — 53.5°.
Ventilation genügt bis: 14 670 m.

Ergebnis der Registrierung.

Zeit h m s	Luftdruck mm	mbar	Seehöhe m	dyn. m	Temperatur C°	Pot. Temperatur C°	Gradient △ 1/100 m	Relative Feuchtigkeit %	Vertikalgeschwindigkeit m	Bemerkungen
1 24 53	716.0	954.6	487	477	7.0	11		49		487 − 790 m N 67° W 6.0 m. p. s.
	715	953	500	490	6.9	11				790—1090 m N 69° W 7.5 m. p. s.
		900		**950**						
	673	897	1 000	980	2.8	12				1090—1990 m N 69° W 8.5 m. p. s.
	632	843	1 500	1 470	− 1.1	13	0.76		5.0	
		800		**1 870**						1990—2290 m N 77° W 7.5 m. p. s.
	593	791	2 000	1 960	− 4.8	15				2290—3220 m N 68° W 7.0 m. p. s.
	556	741	2 500	2 450	− 8.3	16				
31 41	555	740	2 520	2 470	− 8.4	16		67		
32 38	536	715	2 790	2 730	− 6.6	20	− 0.67	53	4.7	Inversion.
		700		**2 890**						
	522	696	3 000	2 940	− 7.9	21				3220—3570 m N 59° W 6.0 m. p. s.
	458	611	4 000	3 920	− 13.9	25	0.58		5.8	3570—3920 m N 4° W 3.0 m. p. s.
		600		**4 050**						3920—4110 m N 10° W 4.0 m. p. s.
38 14	416	555	4 720	4 630	− 17.8	29		61		Ballon hinter Wolken verschwunden.
	401	535	5 000	4 900	− 18.3	32	0.16		5.2	Fast isotherm.
39 14	399	532	5 030	4 930	− 18.3	34		62		
		500		**5 380**						
	349	465	6 000	5 880	− 26.6	37				
	304	405	7 000	6 860	− 34.2	40				
		400		**6 950**						
	262	349	8 000	7 840	− 41.2	44	0.68		6.0	
	226	301	9 000	8 820	− 47.2	48				
		300		**8 860**						
	194	259	10 000	9 800	− 52.5	52				
53 28	191	255	10 120	9 910	− 53.0	52		56		Ende der Troposphäre.
	167	223	11 000	10 770	− 50.3	69				
		200		**11 450**			− 0.28		7.0	
	144	192	12 000	11 750	− 47.7	87				
58 47	136	181	12 350	12 090	− 46.8	97				

Zeit h m s	Luftdruck mm	mbar	Seehöhe m	dyn. m	Temperatur C°	Pot. Temperatur C°	Gradient △ t/100 m	Relative Feuchtigkeit %	Vertikalgeschwindigkeit m	Bemerkungen
	124	165	13 000	12 730	- 46.3	105				
	106	141	14 000	13 700	- 45.5	124	- 0.08		7.7	
2 03 49	96	128	14 670	14 360	- 45.0	139				
	91	121	15 000	14 680	[- 44.8]	[146]				Ventilation ungenügend.
	77	103	16 000	15 660	[- 44.1]	[168]				
		100		**15 980**						
	65	87	17 000	16 630	[- 43.6]	[192]	- 0.05		6.8	
	59	79	18 000	17 610	[- 43.3]	[205]				
12 10	58	77	18 070	17 670	[- 43.2]	[209]				Höchster Punkt, Platzmarke.
16 35	102	136	14 270	13 970	- 46.3		- 0.08		14.3	
18 49	143	191	12 030	11 780	- 47.1		- 0.04		16.7	
21 33	198	264	9 900	9 700	- 53.5		- 0.30	49	13.0	
27 12	392	523	5 180	5 080	- 21.4		0.68	61	13.9	5030—10 120 m im Aufstieg.
28 08	426	568	4 560	4 470	- 18.5		0.47	63	11.0	4720—5030 m im Aufstieg.
30 22	517	689	3 090	3 030	- 9.3		0.63	64		
31 12	556	741	2 530	2 480	- 6.4		0.50	53	11.3	
31 31	572	763	2 310	2 260	- 7.9		- 0.68	59	11.6	2520—2790 m im Aufstieg.
34 21	713	951	560	550	5.1		0.74	62	10.3	Landung. Landungshöhe nach der Karte 460 m.

8. Mai 1926 8 a.

Instrument Bosch No. 609.
Temperaturkorrektion des Aneroids:
$$dp = -\Delta T\,(0.084 - 0.000457\ p).$$
Zeit des Aufstiegs: 7 Uhr 32 Min. 50 Sek. p. M. E. Z.
Witterung beim Aufstieg:
a) Wind, Bewölkung, Form, Richtung und Geschwindigkeit der Wolken: C, 5° ⊙ ci-st, a-st ∞¹, ⌴, ab 8 a st cu-Bildung.
b) Temperatur beim Aufstieg: 2.2°; relative Feuchtigkeit: 92 %.
Temperatur 2 Stunden vor dem Aufstieg: — 1.2°, nach dem Aufstieg: + 7.2°.

Maximum des Vortages: 8.8° um 2 Uhr 30 Min. p.
Maximum des Aufstiegtages: 10.0° um 3 Uhr 15 Min. p.
Minimum des Aufstiegtages: — 2.2° um 4 Uhr 30 Min. a.
Flugrichtungen bis zum Verschwinden des Ballons: S, Visierung.
Name, Seehöhe, Entfernung und Richtung des Landungsortes: Niedermünchen bei Landshut, 439 m, 62 km, N 39°.
Dauer des Aufstiegs: 55 Minuten (41 Min. ausgewertet).
Dauer der Fahrt: 1 Stunde 47 Min.
Grösste Höhe: 9 930 m.
Tiefste Temperatur: — 54.1°.
Ventilation genügt bis: 9 050 m.
Besondere Bemerkungen: Ballon nicht geplatzt.

Ergebnis der Registrierung.

Zeit h m s	Luftdruck mm	mbar	Seehöhe m	dyn. m	Temperatur C°	Pot. Temperatur C°	Gradient △ t/100 m	Relative Feuchtigkeit %	Vertikalgeschwindigkeit m	Bemerkungen		
7 32 50	714.2	952.2	487	477	2.2	6		92		Sandgewicht 500 g.	487— 650 m N 57° W	0.7 m. p. s.
	713	951	500	490	2.0	6	1.46		2.2	Überadiabatischer Gradient.	650— 870 m N 53° E	1.1 m. p. s.
33 28	707	943	570	560	1.0	6		92				
34 48	682	909	860	840	1.1	9	- 0.03	72	3.6	Inversion.	870—1090 m N	0.5 m. p. s.
		900		**920**								
	671	895	1 000	980	0.1	10					1090—1310 m N 52° E	0.3 m. p. s.
	631	841	1 500	1 470	- 3.6	11				Sand nach 5 Minuten	1310—1750 m N 23° W	0.5 m. p. s.
		800		**1 830**						50 Sek. ausgelaufen.	1750—1980 m N 80° W	0.3 m. p. s.
	591	788	2 000	1 960	- 7.3	12	0.71		3.7		1980—2200 m S 11° W	1.6 m. p. s.
	555	740	2 500	2 450	- 10.7	14					2200—2420 m S 37° W	2.5 m. p. s.
		700		**2 840**							2420—2860 m S 62° W	3.3 m. p. s.
44 22	521	695	2 960	2 900	- 13.8	15		86			2860—3050 m S 80° W	4.9 m. p. s.
	519	692	3 000	2 940	- 13.9	16	0.15		3.2		3050—3300 m S 55° W	6.5 m. p. s.
45 03	512	683	3 090	3 030	- 14.0	16		80				
45 40	501	668	3 260	3 190	- 15.0	17	0.61	80	4.5		3300—3540 m S 41° W	5.5 m. p. s.
46 16	491	655	3 410	3 340	- 14.9	19	- 0.07	80	4.3	Stark dunstig.	3540—3770 m S 32° W	6.0 m. p. s.
	455	607	4 000	3 920	- 18.9	21					3770—4220 m S 46° W	7.4 m. p. s.
		600		**3 980**			0.66		3.8	Ballon im Dunst verschwunden.		
	397	529	5 000	4 900	- 25.3	25						
54 43	379	505	5 320	5 210	- 27.4	27		85				
		500		**5 290**								
	345	460	6 000	5 880	- 32.6	28						
		400		**6 820**			0.74		3.5			
	299	399	7 000	6 860	- 39.7	30						
8 03 10	294	392	7 070	6 950	- 40.6	31						
	257	343	8 000	7 840	- 46.9	34	0.70		3.6			
07 40	254	339	8 080	7 920	- 47.5	35						
		300		**8 690**								
	220	293	9 000	8 820	- 53.6	39	0.64		2.8			
13 30	219	292	9 050	8 860	- 53.7	39						
27 25	191	255	[9 930]	[9 720]					1.1	Ungefähre Höhenangabe.		
39 21	215	287	9 170	8 980	[- 54.1]				1.1	Ventilation ungenügend.		
43 17	238	317	8 510	8 340	- 52.4		0.26		2.8			
50 36	295	393	7 090	6 940	- 41.5		0.77	77	3.2			
59 00	393	524	5 080	4 970	- 26.3		0.76	82	4.0			
9 04 11	470	627	3 760	3 690	- 17.5		0.67	88	4.2			
06 06	502	669	3 260	3 200	- 14.8		0.54	76	4.3			
06 58	514	685	3 080	3 020			0.26	70	3.4			
08 22	533	711	2 810	2 750	- 13.6			79	3.3			
12 58	600	800	1 900	1 860	- 7.3		0.69	91				
14 34	623	831	1 600	1 570	- 4.9		0.82	91	3.1			
18 36	689	919	800	790	1.6		0.81	76	3.3			
19 54	714	952	520	510	4.2		0.90		3.7	Landung wurde um 9 Uhr 20 Min. beobachtet; Landungshöhe nach der Karte 440 m.		

11. Mai 1926 8 a.

Instrument Bosch No. 717.
Temperaturkorrektion des Aneroids:
$$dp = -\Delta T \ (0.060 - 0\,000457\ p).$$
Zeit des Aufstiegs: 7 Uhr 57 Min. a. M. E. Z.
Witterung beim Aufstieg:
a) Wind, Bewölkung, Form, Richtung und Geschwindigkeit der Wolken: C, 8^1 ⊙ a-st, a-cu W m.
b) Temperatur beim Aufstieg: 7.4°; relative Feuchtigkeit: 79 %.
Temperatur 2 Stunden vor dem Aufstieg: 2.5°, nach dem Aufstieg: 10.1°.
Maximum des Vortages: 12.8°.
Maximum des Aufstiegtages: 15.1° um 4 Uhr 00 Min. p.
Minimum des Aufstiegtages: 0.0° um 2 Uhr 30 Min. a.
Flugrichtungen bis zum Verschwinden des Ballons: S.Visierung
Name, Seehöhe, Entfernung und Richtung des Landungsortes: Irlhamer Filze bei Wasserburg a. Inn, ca 440 m, 59 km, N 106°.
Dauer des Aufstiegs: 47 Minuten.
Dauer der Fahrt: 1 Stunde 9 Minuten.
Grösste Höhe: 18 360 m.
Tiefste Temperatur: — 59.4°.
Ventilation genügt bis: 13 820 m.

Ergebnis der Registrierung.

Zeit h m s	Luftdruck mm	mbar	Seehöhe m	dyn m	Temperatur C°	Pot. Temperatur C°	Gradient △ t/100 m	Relative Feuchtigkeit %	Vertikalgeschwindigkeit m	Bemerkungen
7 57 00	713.5	951.3	487	477	7.4	11		79		Sandgewicht 500 g.
	713	951	500	490	7.4	11	1.16		6.8	
57 42	689	919	770	760	4.1	11		84		
		900		**920**						
	670	893	1 000	980	3.9	13	0.11		5.7	Störungsschicht.
58 46	659	879	1 130	1 110	3.7	15		79		
	629	839	1 500	1 470	1.2	16				
		800		**1 850**			0.63		5.4	
	592	789	2 000	1 960	- 1.8	17		77		
8 02 24	568	757	2 320	2 270	- 3.8	18				
	555	740	2 500	2 450	- 5.0	18				
		700		**2 880**			0.66		5.7	
	521	695	3 000	2 940	- 8.2	20		90		Ballon in Wolken.
06 04	481	641	3 580	3 510	- 12.1	22				
06 53	466	621	3 850	3 770	- 11.6	25	- 0.19	100	5.4	Inversion.
	457	609	4 000	3 920	- 12.0	27				
		600		**4 030**			0.32		5 8	
08 29	433	577	4 410	4 320	- 13.4	31		95		
	401	535	5 000	4 900	- 18.0	31	0.78		5.5	
10 53	390	520	5 200	5 090	- 19.5	31		93		
11 23	381	508	5 370	5 260	- 18.7	35	- 0.46	96	5.6	Inversion.
		500		**5 380**			0.56		5.7	
	350	467	6 000	5 880	- 22.2	39		88		
13 47	341	455	6 190	6 070	- 23.3	40	0.00			
14 28	329	439	6 450	6 320	- 23.3	42		77	6.4	Isothermie.
	306	408	7 000	6 860	- 25.8	46	0.48		6,1	
16 14	301	401	7 100	6 950	- 26.4	47		64		
		400		**6 980**			0.75		6 8	
17 26	281	375	7 590	7 440	- 30.1	48		59		
	265	353	8 000	7 840	- 33.2	48	0 61		5.7	
19 37	253	337	8 330	8 160	- 35.5	49		59		
	230	307	9 000	8 820	- 40.0	52				
		300		**8 950**			0.68		7.0	
21 47	222	296	9 240	9 040	- 41.7	53		57		
	198	264	10 000	9 800	- 47.9	55	0.81		6.2	
24 10	194	259	10 130	9 920	- 48.9	56		56		
26 07	173	231	10 880	10 650	- 54.0	59	0.68	56	6.5	
	170	227	11 000	10 770	- 54.5	60				
		200		**11 540**			0.39		7.0	
	145	193	12 000	11 750	- 58.4	68		56		
29 06	142	189	12 130	11 880	- 58.9	73				Ende der Troposphäre.
30 34	129	172	12 740	12 470	- 57.1	86	- 0.30	57	6.9	
	124	165	13 000	12 730	- 56.0	88	- 0.39		7.2	
33 04	109	145	13 820	13 530	- 52.9	111		56		
	106	141	14 000	13 700	[- 52.7]	[111]	- 0.09		5.7	Ventilation ungenügend.
34 54	99	132	14 440	14 140	[- 52 3]	[123]				
	90	120	15 000	14 680	[- 52.9]	[129]				
	77	103	16 000	15 660	[- 53.7]	[150]	0.09		7.2	
38 44	76	101	16 090	15 760	[- 53.8]	[151]				
		100		**15 890**						
	66	88	17 000	16 630	[- 53.2]	[170]	- 0.06		6.8	
41 50	63	84	17 350	16 980	[- 53.0]	[176]				
	57	76	18 000	17 610	[- 52.2]	[191]	- 0.13		7.2	Höchster Punkt. Platzmarke.
44 10	54	72	18 360	17 960	[- 51 7]	[199]				
48 35	109	145	13 810	13 520	- 54.0		- 0.05		17.2	
50 31	145	193	12 000	11 750	- 59.4		- 0.30		15.8	Wiedereintritt in die Troposphäre.
53 33	220	293	9 300	9 110	- 45 8		0.50		14 8	
55 18	271	361	7 890	7 730	- 36.5		0.56		13.5	
57 06	323	431	6 640	6 510	- 26.9		0.77		11.5	
57 50	350	467	6 060	5 940	- 24.7		0.38		13.3	Störungsschicht.
59 14	399	532	5 100	4 990	- 18.6		0.63		11.3	
59 29	407	543	4 950	4 850	- 19.2		- 0.41		9.8	Inversion.
9 01 19	476	635	3 770	3 700	- 12.8		0.54		10.7	
01 48	496	661	3 460	3 390	- 13.1		- 0.09		10.8	Inversion.
04 02	590	787	2 110	2 070	- 3.8		0.69		10.0	
06 25	706	941	670	650	6.9		0.74		10.1	Landung.

Bemerkungen			
	487—870 m	S 70° W	3.6 m. p. s.
	870—1210 m	S 82° W	3.0 m. p. s.
	1210—1530 m		4.0 m. p. s.
	1530—2190 m	S 86° W	6.5 m. p. s.
	2190—2530 m	W	8.0 m. p. s.
	2530—2870 m	S 84° W	12.0 m. p. s.
	2870—3560 m	S 78° W	

12. Mai 1926 8 a.

Instrument Bosch No. 723.
Temperaturkorrektion des Aneroids:
$$d\,p = -\Delta T\,(0.179 - 0.000457\,p).$$
Zeit des Aufstiegs: 7 Uhr 58 Min. a. M. E. Z.
Witterung beim Aufstieg:
a) Wind, Bewölkung, Form, Richtung und Geschwindigkeit der Wolken: SE 1, 0 ⊙ ∞[1].
b) Temperatur beim Aufstieg: 11.3°; relative Feuchtigkeit: 66 %.
Temperatur 2 Stunden vor dem Aufstieg: 0.7°, nach dem Aufstieg: 17.9°.
Maximum des Vortages: 15.1° um 4 Uhr 00 Min. p
Maximum des Aufstiegtages: 22.8° um 3 Uhr 45 Min. p.
Minimum des Aufstiegtages: — 1.5° um 4 Uhr 45 Min. a.
Flugrichtungen bis zum Verschwinden des Ballons: Siehe Visierung.
Name, Seehöhe, Entfernung und Richtung des Landungsortes: Schwand (Innkreis) Oberösterreich, 423 m, 107 km, N 94°.
Dauer des Aufstiegs: 1 Stunde 7 Min. (53 Min. ausgewertet).
Dauer der Fahrt: 2 Stunden 26 Minuten.
Grösste Höhe: ca 16 480 m.
Tiefste Temperatur: — 59.1°.
Ventilation genügt bis: 12 210 m.
Besondere Bemerkungen: Ballon nicht geplatzt.

Ergebnis der Registrierung.

Zeit h m s	Luftdruck mm	mbar	Seehöhe m	dyn. m	Temperatur C°	Pot. Temperatur C°	Gradient △t/100 m	Relative Feuchtigkeit %	Vertikalgeschwindigkeit m	Bemerkungen
7 58 00	717.0	955.9	487	477	11.3	15		66		Sandgewicht 600 g.
	716	955	500	490	11.2	15				Sand nach 1 Min.
58 52	705	940	620	610	10.0	15	0.95	66	2.6	11 Sec. ausgelaufen.
59 17	693	924	770	750	10.9	17	-0.63	62	5.7	Inversion.
59 32	687	916	840	820	10.8	18	0.14	59	4.8	
		900		**970**						
	674	899	1 000	980	9.8	18				
	635	847	1 500	1 470	6.6	20	0.64		4.9	
8 02 52	609	812	1 830	1 800	4.4	21		56		
		800		**1 910**						
	596	795	2 000	1 960	3.4	21				
	560	747	2 500	2 450	0.7	24	0.54		5.3	
05 15	554	739	2 590	2 540	0.3	25		60		
	526	701	3 000	2 940	- 2.6	26				
		700		**2 960**			0.71		5.7	
06 52	517	689	3 140	3 080	- 3.6	26		64		
08 10	491	655	3 550	3 480	- 4.5	29	0.22	57	5.2	Störungsschicht.
	464	619	4 000	3 920	- 7.0	31				
09 50	458	611	4 040	4 010	- 7.7	31	0.65	53	4.9	
		600		**4 150**			0.33		5.9	
11 57	418	557	4 800	4 710	-10.2	37		47		
	407	543	5 000	4 900	-11.8	38				
		500		**5 520**						
	358	477	6 000	5 880	-19.3	40				
17 37	329	439	6 620	6 480	-23.6	42	0.74	42	5.3	
	313	417	7 000	6 860	-26.6	43				
		400		**7 140**						
	272	363	8 000	7 840	-34.0	46				
24 34	241	321	8 820	8 640	-39.8	48		40		
	234	312	9 000	8 820	-41.3	49				
		300		**9 090**			0.73		4.9	
	202	269	10 000	9 800	-48.7	52				
31 02	181	241	10 720	10 490	-53.6	55		39		
	173	231	11 000	10 770	-55.1	57	0.53		4.2	
34 17	159	212	11 540	11 300	-58.0	61				
		200		**11 660**			0 20		5.0	Ende der Troposphäre.
35 38	149	199	11 950	11 700	-58.8	66				
	148	197	12 000	11 750	-58.8	67	0.00		4.3	Ventilation ungenügend.
36 38	143	191	12 210	11 950	-58.8	69				
37 25	141	188	12 290	12 040	[-58.3]	[72]	-0.59		1.8	
38 42	133	177	12 660	12 400	[-58.0]	[79]	-0.08		4.8	
	126	168	13 000	12 730	[-56.2]	[87]				
42 40	117	156	13 480	13 200	[-53.8]	[98]	-0.51			
	107	143	14 000	13 700	[-52.9]	[109]			3.4	
	92	123	15 000	14 680	[-51.6]	[129]	-0.14			
51 19	89	119	15 250	14 930	[-51.3]	[132]				
9 05 29	73	97	[16 480]	[16 120]					1.4	Ungefähre Höhenangabe.
21 17	117	156	13 500	13 210	[-54.0]				3.1	
23 53	130	173	12 820	12 550	[-54.2]		-0.03		4.3	
26 57	150	200	11 910	11 660	- 59.1		-0.54		4.9	Wiedereintritt in die Troposphäre.
28 10	159	212	11 540	11 300	- 58.7		0.11		5.0	
31 38	181	241	10 720	10 500	- 55.5		0.39		4.0	
39 39	241	321	8 830	8 650	- 41.5		0.74		3.9	
49 50	329	439	6 640	6 510	- 24.3		0.78		3.5	
58 05	418	557	4 850	4 750	- 11.0		0.74		3.6	
10 01 14	458	611	4 140	4 060	- 7.4		0.51		3.7	
04 10	491	655	3 600	3 530	- 4.4		0.55	42	3.1	
14 42	609	812	1 880	1 840	4.8		0.53	58	2.7	
20 02	678	904	990	970	10 9		0.69	57	2.8	
21 30	688	917	870	850	11.3		0.33	57	1.4	
24 14	720	960	490	480	14.5		0.84	54	2.3	Landung 10 Uhr 30 Min. beobachtet.

487 — 670 m	S 14° W	1.7 m. p. s.	
670 — 970 m	S 12° E	5.0 m. p. s.	
970—1270 m	S 8° W		
1270—1580 m	S 32° W	3.2 m. p. s.	
1580—1870 m	S 54° W		
1870—2190 m	N 87° W	6.2 m. p. s.	
2190—2510 m			
2510—3190 m	N 84° W	10.0 m. p. s.	
3190—4100 m	N 66° W	9.5 m. p. s.	
4100—4450 m	N 55° W	10.5 m. p. s.	
4450—5130 m	N 60° W	11.7 m. p. s.	
5130—6420 m	N 72° W	12.6 m. p. s.	
6420—7370 m	N 87° W	18 0 m p. s.	
7370—7690 m	N 85° W	17.0 m. p. s.	
7690—8010 m	N 80° W	19.0 m. p. s.	
8010—9240 m	N 84° W	18.5 m. p. s.	
9240—9830 m		20.0 m. p. s.	
9830—10410 m	N 85° W	24.5 m. p. s.	
10410—11210 m	N 79° W		
11210—12060 m	S 87° W	23 0 m. p. s.	
12060—12250 m	S 76° W		
12250—12720 m	S 84° W		
12720—14980 m	S 85° W	20.0 m. p. s.	
14980—16380 m	,,		

13. Mai 1926 8 a.

Instrument Bosch No. 724.
Temperaturkorrektion des Aneroids:
$$dp = -\Delta T \ (0.055 - 0.000457\ p).$$
Zeit des Aufstiegs: 7 Uhr 57 Min. a. M. E. Z.
Witterung beim Aufstieg:
a) Wind, Bewölkung, Form, Richtung und Geschwindigkeit der Wolken: W 2, 9^1 {a-cu / st-cu} W l.
b) Temperatur beim Aufstieg: 13.7°; relative Feuchtigkeit: 72 %.
Temperatur 2 Stunden vor dem Aufstieg: 9.8°, nach dem Aufstieg: 16.6°.
Maximum des Vortages: 22.8° um 3 Uhr 45 Min. p.
Maximum des Aufstiegtages: 17.3° um 0 Uhr 30 Min. p.
Minimum des Aufstiegtages: 8.7° um 5 Uhr 45 Min. a.
Flugrichtungen bis zum Verschwinden des Ballons: Siehe Visierung.
Name, Seehöhe, Entfernung und Richtung des Landungsortes: Grünseiboldsdorf bei Moosburg, 434 m, 33 km, N 59°.
Dauer des Aufstieges: 37 Minuten.
Dauer der Fahrt: 1 Stunde 6 Minuten.
Grösste Höhe: 10 980 m.
Tiefste Temperatur: — 52.8°.
Ventilation genügt.

Ergebnis der Registrierung.

Zeit h m s	Luftdruck mm	Luftdruck mbar	Seehöhe m	Seehöhe dyn. m	Temperatur C°	Pot. Temperatur C°	Gradient △ t/100 m	Relative Feuchtigkeit %	Vertikalgeschwindigkeit m	Bemerkungen		
7 57 00	718.3	957.6	487	477	13.7	18		72		Sandgewicht 500 g.	487— 840 m	4.5 m. p. s.
	716	955	500	490	13.5	18					W	
	675	900	1 000	980	10.3	19	0.65		5.8		840—1520 m	6.3 m. p. s.
59 55	636	848	1 500	1 470	7.1	21		86		Sand nach 2 Min. 15 Sek. ausgelaufen.	1520—2140 m S 25° W	4.5 m. p. s.
		800		**1 930**								
	599	799	2 000	1 960	4.9	23	0.46		5.1	In Wolken.	2140—2770 m S 10° E	7.0 m. p. s.
	563	781	2 500	2 450	2.6	26						
8 03 26	556	741	2 590	2 540	2.1	26		92				
04 05	542	723	2 790	2 740	2.3	29	- 0.10	87	5.4	Inversion.	2770—3000 m S 10° W	
	528	704	3 000	2 940	1.3	30	0.51		3.8		3000—3230 m S 50° W	8.0 m. p. s.
05 12	525	700	3 050	2 990	1.0	30		82			3230—3670 m S 35° W	6.2 m. p. s.
	467	623	4 000	3 920	- 4.4	35				Dunst.	3670—3890 m S 68° W	
		600		**4 190**			0.55		3.7		3890—4120 m S 55° W	8.5 m. p. s.
13 48	413	551	4 940	4 840	- 9.4	40		93			4120—4340 m S 40° W	
	409	545	5 000	4 900	- 10.0	40				Vorübergehend Dunst.	4340—4410 m W	10.0 m. p. s.
		500		**5 560**							4410—4560 m S 50° W	
	360	480	6 000	5 880	- 16.9	44	0.68		4.8		Ballon hinter Wolken.	
	316	421	7 000	6 860	- 23.5	47						
		400		**7 180**								
22 12	298	397	7 380	7 230	- 26.1	49		88				
	272	363	8 000	7 840	- 31.5	51						
	235	313	9 000	8 820	- 39.5	55						
		300		**9 160**			0.72		5.2			
	203	271	10 000	9 800	- 46.3	58						
	176	235	11 000	10 770	- 52.0	62						
34 10	173	231	11 090	10 860	- 52.8	62		78		Höchster Punkt, Platzmarke.		
34 31	176	235	10 980	10 750	- 52.3		0.45		5.1			
40 24	287	383	7 650	7 490	- 29.7		0.68		9.4			
47 04	430	573	4 650	4 550	- 9.0		0.69		7.4			
52 17	539	719	2 860	2 810	1.1		0.57		5.7			
58 13	635	845	1 550	1 520	6.4		0.40					
9 01 49	698	931	750	740	11.3		0.62		3.7			
02 49	716	955	540	530	13.2		0.89		3.5	Landung.		

14. Mai 1926 8 a.

Instrument Bosch No. 873.
Temperaturkorrektion des Aneroids:
$$dp = -\Delta T \ (0.131 - 0.000457\ p).$$
Zeit des Aufstiegs: 7 Uhr 45 Min. a. M. E. Z.
Witterung beim Aufstieg:
a) Wind, Bewölkung, Form, Richtung und Geschwindigkeit der Wolken: W 1, 10^2 ◍^{0} ni W l.
b) Temperatur beim Aufstieg: 8.6°; relative Feuchtigkeit: 94 %.
Temperatur 2 Stunden vor dem Aufstieg: 8.3°, nach dem Aufstieg: 9.2°.
Maximum des Vortages: 17.3° um 0 Uhr 30 Min. p.
Maximum des Aufstiegtages: 12.5° um 4 Uhr 00 Min. p.
Minimum des Aufstiegtages: 8.3° um 6 Uhr 00 Min. a.
Flugrichtungen bis zum Verschwinden des Ballons: Siehe Visierung.
Name, Seehöhe, Entfernung und Richtung des Landungsortes: Schambach, Post Strasskirchen bei Straubing, 328 m, 107 km, N 50°.
Dauer des Aufstiegs: 1 Stunde 4 Min. (42 Min. ausgewertet).
Dauer der Fahrt: 1 Stunde 54 Minuten.
Grösste Höhe: ca 20 430 m.
Tiefste Temperatur: — 59.0°.
Ventilation genügt bis: 12 650 m.

Ergebnis der Registrierung.

Zeit h m s	Luftdruck mm	mbar	Seehöhe m	dyn. m	Temperatur C°	Pot.-Temperatur C°	Gradient △ t/100 m	Relative Feuchtigkeit %	Vertikalgeschwindigkeit m	Bemerkungen
7 45 00	717.8	957.1	487	477	8.6	12		94		487— 770 m N 77° W 3.3 m. p. s.
	716	955	500	490	8.1	12	0.81		4.7	
46 12	689	919	820	810	5.9	12		99		770—1060 m N 79° W 2.2 m. p. s.
46 41	679	905	940	920	5.3	13	0.50	95	4.2	
		900		**970**						
	674	899	1 000	980	5.0	13	0.44		6.0	1060—1420 m S 50° W 1.6 m. p. s.
	634	845	1 500	1 470	2.9	17				1420—1720 m N 30° W 1.8 m. p. s.
48 26	628	837	1 580	1 550	2.5	17		91		
49 13	613	817	1 770	1 740	1.4	17	0.56	93	4.1	1720—1970 m S 74° W 2.9 m p. s.
49 47	602	803	1 920	1 880	1.2	19	0.14	92	4.3	Störungsschicht. 1970—2230 m N 85° W 2.1 m. p. s.
		800		**1 900**						
	598	797	2 000	1 960	1.0	19				2230—2590 m S 85° W 6.1 m. p. s.
	562	749	2 500	2 450	- 1.7	22	0.47			
	527	703	3 000	2 940	- 4.3	24				Ballon in Wolken.
		700		**2 950**						
55 10	488	651	3 580	3 510	- 6.6	27		100	5.1	
	462	616	4 000	3 920	- 9.3	30				
		600		**4 120**			0.50			
	406	541	5 000	4 900	-13.7	35				
8 00 22	397	529	5 160	5 060	-14.5	37		94		
		500		**5 480**						
	356	475	6 000	5 880	-20.6	40	0 67		5.3	
	310	413	7 000	6 860	-27.6	44				
06 36	303	404	7 160	7 020	-27.9	44		77		
		400		**7 080**						
	268	357	8 000	7 840	-35.4	47				
	232	309	9 000	8 820	-42.4	50	0.74		5.1	
		300		**9 020**						
15 12	206	275	9 800	9 560	-47.6	52		66		
	200	267	10 000	9 800	-48.6	53				
	172	229	11 000	10 770	-55.0	58	0.63		7.2	
18 52	161	215	11 390	11 160	-57.7	60				Ende der Troposphäre.
		200		**11 590**						
	145	193	12 000	11 750	-57.9	71	0.02		5.8	
22 28	132	176	12 650	12 380	-58.0	80				
	125	167	13 000	12 730	-56.5	87				
	108	144	14 000	13 700	-52.2	110	-0.42		6.2	Von hier ab Ventilation ungenügend, Temperaturen durch Strahlung gefälscht.
27 07	101	135	14 370	14 060	[-50.7]	[120]				
49 17	40	53	[20 430]	[19 980]					4.6	Höchster Punkt, Platzmarke (ungefähre Höhenangabe).
9 02 11	110	147	13 810	13 520	-50.7				8.2	
05 32	132	176	12 630	12 360	-53.4		-0.23		5.9	
09 57	164	219	11 240	11 010	-59.0		-0.40		5.2	Wiedereintritt in die Troposphäre.
11 31	180	240	10 650	10 430	-57.5		0.25		6.3	
17 38	233	311	8 970	8 790	-43.8		0.81		4.6	
21 59	277	369	7 770	7 630	-33.9					
28 10	361	481	5 870	5 750	-19.4		0.76	54	5.1	
33 20	500	667	3 380	3 320	- 6.3		0.53	95	8.0	
36 41	613	817	1 770	1 740	1.3		0.47	100		
37 13	626	835	1 600	1 570	1.4		0.06		5.3	Störungsschicht.
38 55	725	967	410	400	8.8		0.62		11.7	Landung.

15. Mai 1926 8a.

Instrument Bosch No. 874.
Temperaturkorrektion des Aneroids:
$$dp = -\Delta T\ (0.148 - 0.000457 \cdot p).$$
Zeit des Aufstiegs: 7 Uhr 43 Min. a. M. E. Z.
Witterung beim Aufstieg:
a) Wind, Bewölkung, Form, Richtung und Geschwindigkeit der Wolken: C, $10^2 \equiv 0^{-1}$ st.
b) Temperatur beim Aufstieg: 9.2°; relative Feuchtigkeit: 95 %.
Temperatur 2 Stunden vor dem Aufstieg: 9.0°, nach dem Aufstieg: 9.5°.
Maximum des Vortages: 12.5° um 4 Uhr 00 Min. p.
Maximum des Aufstiegtages: 18.1° um 3 Uhr 00 Min. p.
Minimum des Aufstiegtages: 8.7° um 5 Uhr 30 Min. a.
Flugrichtungen bis zum Verschwinden des Ballons: Ballon steigt senkrecht in die Höhe, nach 20 Sek. in Wolken verschwunden.
Name, Seehöhe, Entfernung und Richtung des Landungsortes: Pfaffenberg (Ndb.), 406 m, 76 km, N 41°.
Dauer des Aufstieges: 34 Minuten.
Dauer der Fahrt: 58 Minuten.
Grösste Höhe: 14 160 m.
Tiefste Temperatur: —64.3°.
Ventilation genügt.

Ergebnis der Registrierung.

Zeit h m s	Luftdruck mm	mbar	Seehöhe m	dyn. m	Temperatur C°	Pot. Temperatur C°	Gradient △ t/100 m	Relative Feuchtigkeit %	Vertikalgeschwindigkeit m	Bemerkungen
7 43 00	709.6	946.0	487	477	9.2	14		95		
	709	945	500	490	9.1	14	0.57		5.1	
44 09	680	907	840	820	7.2	15		100		
		900		**880**			0.27			
44 25	674	899	910	890	7.0	16		100	4.6	Kräftige Inversion.
	666	888	1 000	980	9.2	19	-2.30			
44 55	662	883	1 050	1 040	10.2	20		69		
45 13	654	872	1 160	1 140	10.5	22	-0.27	60	6.2	
46 02	634	845	1 420	1 390	9.9	24	0.23	48	5.3	
	627	836	1 500	1 470	9.3	24				
		800		**1 830**			0.64		5.5	
	590	787	2 000	1 960	6.0	26				
48 48	567	756	2 330	2 290	4.0	27		42		
	556	741	2 500	2 450	2.8	27				
		700		**2 890**			0.71		5.9	
	522	696	3 000	2 940	- 0.8	28				
51 05	512	683	3 150	3 080	- 1.8	29		55		
52 39	487	649	3 540	3 470	- 3.2	33	0.35	58	4.2	
	458	611	4 000	3 920	- 6.6	34				
		600		**4 080**			0.65		6.6	
	402	536	5 000	4 900	13.2	38				
		500		**5 450**				80		
58 08	368	491	5 700	5 590	-17.3	41				
	355	473	6 000	5 880	-19.1	42			6.9	
	310	413	7 000	6 860	-25.3	46	0.63			
8 01 43	301	401	7 180	7 030	-26.6	47		79		
		400		**7 060**			0.69		7.7	
	268	357	8 000	7 840	-32.4	50		77		
03 55	261	348	8 190	8 030	-33.6	51				
	232	309	9 000	8 820	-40.4	53	0.81		7.2	
		300		**9 030**				76		
06 56	216	288	9 500	9 310	-44.2	54				
	202	269	10 000	9 800	-48.3	55				
	174	232	11 000	10 770	-56.7	57	0.84		8.1	
11 41	151	201	11 800	11 560	-63.6	59				Ende der Troposphäre.
		200		**11 600**						
	146	195	12 000	11 750	-63.7	61	0.08		7.2	
12 34	142	189	12 180	11 930	-63.9	64				
	125	167	13 000	12 730	-57.0	88	-0.92		6.6	Starker Temperaturanstieg.
15 07	121	161	13 190	12 910	-54.7	95				
	107	143	14 000	13 700	-55.5	106	0.10		7.1	
17 23	104	139	14 160	13 860	-55.7	109				Höchster Punkt. Platzmarke.
20 56	132	176	12 630	12 370	-53.8		0.12		7.2	
22 23	157	209	11 550	11 300	-64.3		-0.97		12.5	Wiedereintritt in die Troposphäre.
26 09	226	301	9 220	9 030	-46.3		0.77	74	10.3	
28 37	279	372	7 780	7 620	-33.6		0.88		9.7	
31 12	347	463	6 210	6 090	-21.7		0.76	83	10.1	
35 21	482	643	3 710	3 640	- 6.3		0.62	91	10.0.	
36 52	541	721	2 800	2 750	- 0.1		0.69	69		
40 08	661	881	1 170	1 150	10.7		0.66	46	8.4	
40 29	675	900	1 000	980	10.5		-0.11	49	8.3	
40 46	687	916	850	830	11.0		0.34	52	8.6	
41 14	706	941	620	610	10.0		-0.44	68	8.1	Bodeninversion. Landung.

17. Mai 1926 8 a. 1304-545p

Instrument Bosch No. 875.
Temperaturkorrektion des Aneroids:
$$dp = -\Delta T\ (0.104 - 0.000457\ p).$$
Zeit des Aufstiegs: 7 Uhr 27 Min. 1 Sek. a. M. E Z.
Witterung beim Aufstieg:
a) Wind, Bewölkung, Form, Richtung und Geschwindigkeit der Wolken: NW 1, 0 ⊙, Gebirge gut sichtbar.
b) Temperatur beim Aufstieg: 10.9°; reiative Feuchtigkeit: 77 %.
Temperatur 2 Stunden vor dem Aufstieg: 5.5°; nach dem Aufstieg: 13.1°.
Maximum des Vortages: 23.9° um 1 Uhr 30 Min. p.
Maximum des Aufstiegtages: 16.1° um 0 Uhr 30 Min. p.
Minimum des Aufstiegtages: 4.7° um 5 Uhr 45 Min. a.
Flugrichtungen bis zum Verschwinden des Ballons: S. Visierung.
Name, Seehöhe, Entfernung und Richtung des Landungsortes: Forchheim (Obfr.), 265 m, 167 km, N 349°.
Dauer des Aufstiegs: 1 Stunde 23 Min. (56 Min. ausgewertet).
Dauer der Fahrt: (2 Stunden 33 Min. ausgewertet).
Grösste Höhe: ca 20 430 m.
Tiefste Temperatur: — 52.4°.
Ventilation genügt bis: 11 970 m.
Besondere Bemerkungen: Ballon nicht geplatzt. Thermogramm im Auf- und Abstieg fast spiegelbildlich.

Ergebnis der Registrierung.

Zeit h m s	Luftdruck mm	mbar	Seehöhe m	dyn. m	Temperatur C°	Pot. Temperatur C°	Gradient △ t/100 m	Relative Feuchtigkeit %	Vertikalgeschwindigkeit m	Bemerkungen
7 27 01	706.8	942.3	487	477	10.9	16		77		487— 820 m N 73° W 4.5 m. p. s.
	706	941	500	490	10.7	16	1.02		4.3	
28 26	677	903	840	830	7.2	15		83		Scharfer Knick i. Thermogramm u. Hygrogramm. 820— 990 m N 78° W 5.0 m. p. s.
		900		**850**			−0.52		4.0	Inversion.
28 59	666	888	980	960	7.9	18		75		990— 1180 m S 52° W 7.5 m. p. s.
	664	885	1 000	980	7.9	18	0.81		5.5	1180— 1570 m S 2° W
29 47	645	860	1 240	1 220	7.1	19		67		
	625	833	1 500	1 470	6.5	22	0.22		4.4	
31 41	606	808	1 750	1 720	6.0	24		50		1570— 1850 m S 6° E
		800		**1 800**						
	588	784	2 000	1 960	4.3	24				1850— 2140 m S 4° E 6.0 m. p. s.
	553	737	2 500	2 450	0.8	26	0 68		4.9	2140— 2730 m 4.8 m. p. s.
		700		**2 850**						2730— 3020 m S 5° W 7.0 m p. s.
	519	692	3 000	2 940	− 2.5	27				
36 59	499	665	3 310	3 250	− 4.6	28		45		3020— 3610 m S 11° W 7.7 m. p. s.
	456	608	4 000	3 920	− 9.6	30				3610— 3900 m S 20° W 9.5 m p. s.
		600		**4 030**			0.70		4.8	3900— 4470 m S 5° W 7.4 m. p. s.
42 14	409	545	4 840	4 750	−15.3	33		45		4470 — 4780 m 12.5 m. p. s.
	401	535	5 000	4 900	−14.5	36				4780— 5040 m S 4° E 18.5 m. p. s.
43 08	397	529	5 070	4 970	−14.2	38	− 0.49	40	4.1	Inversion. 5040— 5290 m S 17° E 18.0 m. p. s.
43 51	388	517	5 240	5 140	−14 2	39	0.00	39	4.0	
		500		**5 390**						5290— 5680 m S 8° E 23.5 m. p. s.
	351	468	6 000	5 880	−18.8	42	0.61		5.1	5680— 5900 m S 15° E 25.1 m. p. s.
46 42	345	460	6 120	6 000	−19.6	43		38		5900— 6839 m 30.5 m. p. s.
	306	408	7 000	6 860	−27.0	45	0.84		5.5	
49 46	300	400	7 140	7 000	−28.2	46		38		6830— 7230 m S 12° E 31.0 m. p. s.
	265	353	8 000	7 840	−33.7	51				7230— 7830 m S 21° E 30.0 m. p. s.
	230	307	9 000	8 820	−39.0	56	0.53		5.1	7830— 8440 m S 17° E 35.0 m. p. s.
		300		**8 970**						8440 — 9360 m 39.8 m. p. s.
58 36	203	271	9 860	9 660	−42.6	60		34		9360—10170 m Ballon hinter Turm.
	199	265	10 000	9 800	−44.5	61	0.67		3.7	10170—10620 m S 21° E 40.0 m. p. s.
8 03 32	172	229	10 940	10 720	−49.9	67				10620—12100 m 37.1 m. p. s.
	170	227	11 000	10 770	−50.0	68				
		200		**11 590**			0.23		4.4	
07 25	147	196	11 970	11 720	−52.3	78				Ende der Troposphäre.
	146	195	12 000	11 750	−52.2	80				
10 28	133	177	12 620	12 360	[−49.4]	[94]	− 0.44		3.6	Ventilation ungenügend. 12100—13080 m S 6° E 20.0 m. p. s.
	125	167	13 000	12 730	[−50.5]	[99]				
14 17	112	149	13 740	13 450	[−52.4]	[108]	0.27		4,9	13080—15050 m S 40° E 16.0 m. p. s.
	108	144	14 000	13 700	[−51.6]	[113]				
15 42	106	141	14 100	13 800	[−51.1]	[115]	− 0.36		4.2	
	93	124	15 000	14 680	[−50.0]	[133]				
22 32	84	112	15 620	15 290	[−49.4]	[145]	− 0.11		3.7	15050 – 16920 m S 15° E 14.0 m. p. s.
50 08	41	55	[20 430]	[19 980]						16920—17100 m
9 11 19	86	115	15 470	15 140	[−50.4]				2.9	17100—19190 m S 10° E 16.0 m. p. s.
14 40	106	141	14 110	13 810	[−51.1]				3.9	Höchster Punkt ungefähre Höhenangabe.
20 23	139	185	12 210	12 070	[−49.4]		− 0.05		6.7	Ballon hinter Wolken entschwunden.
23 05	153	204	11 610	11 460	[−50.9]		0.09		5.5	Entspricht 14100 m im Aufstieg.
31 06	198	264	10 000	9 790	−44.4		− 0.25		3.7	
38 35	254	339	8 290	8 120	−33.8		0.40		3.4	Wiedereintritt in die Troposphäre.
54 39	394	525	5 070	4 970	−11.3		0.62		3.8	
55 59	407	543	4 820	4 720	−11.6		0.70		3.3	
57 57	427	569	4 450	4 360	−10.4		− 0.12		3.0	Inversion.
59 45	452	603	4 010	3 930	− 9.6		0.33		3.1	
							0.18		4.1	
										Uhr abgelaufen.

18. Mai 1926 8 a.

Instrument Bosch No. 2522.
Temperaturkorrektion des Aneroids:

$$dp = -\Delta T\ (0.189 - 0.000457\ p).$$

Zeit des Aufstiegs: 7 Uhr 34 Min. 47 Sek. a. M. E. Z.
Witterung beim Aufstieg:

a) Wind, Bewölkung, Form, Richtung und Geschwindigkeit der Wolken: NW 3, 10^1 st, st-cu, ni NW m.
b) Temperatur beim Aufstieg: 6.0°; relative Feuchtigkeit: 92 %.

Temperatur 2 Stunden vor dem Aufstieg: 5.9°; nach dem Aufstieg: 6.6°.
Maximum des Vortages: 16.1^0 um 0 Uhr 30 Min. p.
Maximum des Aufstiegtages: 10.0° um 6 Uhr 00 Min. p.
Minimum des Aufstiegtages: 5.8° um 5 Uhr 30 Min. a.
Flugrichtungen bis zum Verschwinden des Ballons: Ballon zog ab nach E, nach 10 Sek. in Wolken eingetreten.
Name, Seehöhe, Entfernung und Richtung des Landungsortes: Karlskron bei Ingolstadt, 370 m, 49 km, N 341°.
Dauer des Aufstiegs: 33 Minuten.
Dauer der Fahrt: 54 Minuten.
Grösste Höhe: 10 300 m.
Tiefste Temperatur: — 51.3°.
Ventilation genügt.

Ergebnis der Registriernng.

Zeit h m s	Luftdruck mm	mbar	Seehöhe m	dyn. m	Temperatur C°	Pot. Temperatur C°	Gradient △t/100 m	Relative Feuchtigkeit %	Vertikal-Geschwindigkeit m	Bemerkungen
7 34 47	715.1	953.3	487	477	6.0	10		92		
	714	952	500	490	6.0	10				
		900		**940**			0.50		4.8	
	670	893	1 000	980	3.3	12				
37 16	655	873	1 200	1 180	2.4	13		98		
	632	843	1 500	1 470	1.6	15	0.26		4.9	Störungsschicht.
38 49	619	825	1 660	1 620	1.2	16		95		
		800		**1 870**			0.51	95	6.1	
39 38	596	795	1 950	1 920	- 0.2	19				
	592	789	2 000	1 960	- 0.3	19	0.14	92	4.4	Störungsschicht.
39 54	591	788	2 020	1 990	- 0.3	20				
	558	744	2 500	2 450	- 3.4	21				
		700		**2 900**			0.61			
	524	699	3 000	2 940	- 6.5	23		86		
46 22	462	616	3 950	3 870	- 12.1	26				
	459	612	4 000	3 920	- 12.3	27	0.26		5.0	
		600		**4 070**				79		
47 15	446	595	4 210	4 130	- 12.8	28				
	402	536	5 000	4 900	- 18.1	32				
		500		**5 410**			0.66			
	348	464	6 000	5 880	- 24.8	36		65		
54 36	327	436	6 420	6 390	- 27.3	38				
55 23	318	424	6 720	6 580	- 27.3	41	0.00	64	6.5	Isothermie.
	306	408	7 000	6 860	- 29.6	42				
		400		**6 990**			0.74		5.0	
	266	355	8 000	7 840	- 37.1	45				
8 02 29	234	312	8 860	8 680	- 43.2	48				
	228	304	9 000	8 820	- 44.2	49				
		300		**8 930**			0.55		6.1	
04 31	209	279	9 600	9 410	- 47.3	53				
	197	263	10 000	9 800	- 49.4	55	0.54		4.1	Ende der Troposphäre.
06 42	193	257	10 140	9 930	- 50.2	55				
07 28	188	251	10 300	10 080	- 50.6	56	0.26		3.4	Höchster Punkt.
08 20	195	260	10 070	9 860	- 51.3		- 0.30		4.5	Wiedereintritt in die Troposphäre.
09 55	222	296	9 210	9 020	- 47.3		0.47		8.9	
11 12	243	324	8 610	8 430	- 44.1		0.53		7.8	
13 42	304	405	7 070	6 930	- 32.7		0.74		10.2	
15 08	335	447	6 370	6 240	- 27.3		0.77	63	8.2	
15 37	342	456	6 230	6 100	- 26.9		0.28	64	5.0	
21 35	490	653	3 550	3 480	- 9.9		0.63	75	7.5	
25 01	594	792	2 030	1 990	- 0.2		0.64	86	7.4	
28 45	720	960	480	470	6.8		0.45	97	6.9	Landung.

19. Mai 1926 8 a.

Instrument Bosch No. 2526.
Temperaturkorrektion des Aneroids:
$$dp = -\Delta T \ (0.209 - 0.000457\ p).$$
Zeit des Aufstiegs: 7 Uhr 31 Min. 14 Sek. a. M. E. Z.
Witterung beim Aufstieg:
a) Wind, Bewölkung, Form, Richtung und Geschwindigkeit der Wolken: N 1, 10¹ ◎⁰, st, ni, fr-ni N l.
b) Temperatur beim Aufstieg: 6.3°; relative Feuchtigkeit: 93 %.
Temperatur 2 Stunden vor dem Aufstieg: 5.7°, nach dem Aufstieg: 8.9°.
Maximum des Vortages: 10.0° um 6 Uhr 00 Min. p.
Maximum des Aufstiegtages: 11.90 um 2 Uhr 00 Min. p.
Minimum des Aufstiegtages: 5.50 um 5 Uhr 30 Min. a.
Flugrichtungen bis zum Verschwinden des Ballons: Siehe Visierung.
Name, Seehöhe, Entfernung und Richtung des Landungsortes: Brunnen bei Schrobenhausen (Oberb.), 395 m, 46 km, Nr. 336°
Dauer des Aufstieges: (32 Minuten ausgewertet).
Dauer der Eahrt?
Grösste Höhe: 10 850 m.
Tiefste Temperatur: — 51.3°.
Ventilation genügt.
Besondere Bemerkungen: Uhr nach 32 Min. stehen geblieben.

Ergebnis der Registrierung.

Zeit h m s	Luftdruck mm	mbar	Seehöhe m	dyn. m	Temperatur C°	Pot. Temperatur C°	Gradient △t/100 m	Relative Feuchtigkeit %	Vertikalgeschwindigkeit m	Bemerkungen
7 31 14	717.4	956.5	487	477	6.3	10		93		48.7—1060 m N 15° W 4.2 m. p. s.
	716	955	500	490	6.2	10				
32 24	689	919	810	800	4.1	11	0.67	100	4.7	
		900		**960**						
	674	899	1 000	980	3.5	12	0.35		4.9	
33 28	663	884	1 130	1 110	3.0	13		94		1060—1360 m N 2.0 m. p. s.
	634	845	1 500	1 470	1.2	15				1360—1630 m N 35° E 2.5 m. p. s.
		800		**1 890**						1630—1960 m N 58° E 3.0 m. p. s.
	595	793	2 000	1 960	- 1.3	18	0.49		5.0	1960—2260 m S 85° E 3.0 m. p. s.
37 09	577	769	2 240	2 190	- 2.4	19		100		2260—2480 m S 40° E 6.5 m. p. s.
	559	745	2 500	2 450	- 3.2	21				Ballon entschwunden.
	525	700	3 000	2 940	- 4.8	24	0.31		4.9	
40 04	517	689	3 100	3 040	- 5.1	25		100		
42 12	474	632	3 780	3 710	- 8.0	29	0.43	91	5.3	
42 35	466	621	3 910	3 840	- 10.2	28	1.68	91	5.7	
	461	615	4 000	3 920	- 10.7	28				
		600		**4 100**						
	405	540	5 000	4 900	- 16.6	32	0.60			
46 58	387	516	5 320	5 220	- 18.6	33		87	5.4	
		500		**5 450**						
	354	472	6 000	5 880	- 23.4	36				
	308	411	7 000	6 860	- 30.1	40	0.69			
52 09	307	409	7 010	6 870	- 30.3	40		80		
		400		**7 030**						
	268	357	8 000	7 840	- 36.7	44	0.64		5.6	
57 59	233	311	8 920	8 740	- 42.5	47				
	230	307	9 000	8 820	- 43.2	48				
		300		**8 970**						
	198	264	10 000	9 800	- 49 6	54	0.65		6.4	
8 01 09	194	259	10 140	9 930	- 50.4	55				
02 22	182	243	10 560	10 340	- 51.3	58	0.22		5.7	
03 00	174	232	10 850	10 620	- 51.3	63	0.00		7.6	Uhr stehen geblieben.
	49	65	[20 000]							Höchster Punkt. (Ungefähre Angabe).

20. Mai 1926 8 a.

Instrument Bosch No. 2529.
Temperaturkorrektion des Aneroids:
$$d\,p = -\Delta T\ (0.055 - 0.000457\ p).$$
Zeit des Aufstiegs: 7 Uhr 40 Min, 40 Sek. a. M. E. Z.
Witterung beim Aufstieg:
a) Wind, Bewölkung, Form, Richtung und Geschwindigkeit der Wolken: W 1, 5° ⊙ { ci—cu / a—cu } E m.
b) Temperatur beim Aufstieg: 9.0°; relative Feuchtigkeit: 82%.
Temperatur 2 Stunden vor dem Aufstieg: 7.5°; nach dem Aufstieg: 12.9°.

Maximum des Vortages: 11.9° um 2 Uhr 00 Min. p.
Maximum des Aufstiegtages: 15.1° um 3 Uhr 45 Min. p.
Minimum des Aufstiegtages: 2.7° um 12 Uhr 00 Min. mn.
Flugrichtungen bis zum Verschwinden des Ballons: Siehe Visierung.
Name, Seehöhe, Entfernung und Richtung des Landungsortes: Forstenried bei München, 551 m, 18 km, N 200°.
Dauer des Aufstieges: 35 Minuten.
Dauer der Fahrt: 1 Stunde 19 Minuten.
Grösste Höhe: 12420 m.
Tiefste Temperatur: — 54.9°.
Ventilation genügt bis: 11490 m.

Ergebnis der Registrierung:

Zeit h m s	Luftdruck mm	mbar	Seehöhe m	dyn. m	Temperatur C°	Pot Temperatur C°	Gradient △t/100 m	Relative Feuchtigkeit %	Vertikalgeschwindigkeit m	Bemerkungen
7 40 40	719.3	959.0	487	477	9.0	12		82		Sandgewicht 1350 g. 487— 670 m S 82° W 1.6 m. p. s.
	717	956	500	490	8.6	12				
42 02	698	931	730	720	5.5	11	1.42	87	3.0	Überadiabatischer Gradient. 670— 930 m N 30° W 2.3 m. p. s.
	676	901	1 000	980	4.7	13				
		900		**990**			0.32		5.2	930—1570 m N 15° E 3.3 m. p. p.
43 13	667	889	1 100	1 080	4.3	13		88		
	636	848	1 500	1 470	2.3	15				Nach 4 Min. 37 Sek. Sand ausgelaufen. 1570—1900 m N 3° E 3.0 m. p. s.
		800		**1 920**			0.50		5.4	1900—2230 m N 16° E 2.0 m. p. s.
45 53	599	799	1 970	1 930	0.0	18		90		
	596	795	2 000	1 960	- 0.2	18				2230—2570 m N 30° W 1.0 m. p. s.
	560	747	2 500	2 450	- 3.6	20				2570—2900 m S 12° E 2.0 m. p. s.
	526	701	3 000	2 940	- 6.8	21	0.66		5.6	2900—3230 m W 4.0 m. p. s.
		700		**2 950**						
49 20	517	689	3 130	3 070	- 7.7	22		88		3230—3880 m S 55° E 6.5 m. p. s.
50 39	491	655	3 530	3 460	- 7.8	26	0.02	85	5.1	Fast isotherm. 3880—4220 m S 55° E 2.5 m. p. s.
	462	616	4 000	3 920	- 10.9	28				4220—4560 m S 75° E 2.0 m. p. s.
		600		**4 120**			0.63		5 7	4560—4910 m S 50° E 4.0 m. p. s.
54 56	405	540	5 000	4 900	- 17.0	32		81		4910—5170 m S 70° E

Zeit h m s	Luftdruck mm	mbar	Seehöhe m	dyn. m.	Temperatur C°	Pot. Temperatur C°	Gradient △ t/100 m	Relative Feuchtigkeit %	Vertikalgeschwindigkeit m	Bemerkungen
		500		**5 460**						5170— 6020 m S 85° E 3.7 m. p. s.
	354	472	6 000	5 880	- 24.4	35	0.72		6.2	6020— 6390 m S 65° E 2.3 m. p. s.
59 11	327	436	6 570	6 440	- 28.3	37		77		6390— 7100 m N 80° W 3.1 m. p. s.
	308	411	7 000	6 860	- 31.7	38	0.76		5.9	7100— 7450 m S 80° W 2.0 m. p. s.
		400		**7 040**						
8 02 43	274	365	7 820	7 660	- 37.7	40		75		7450— 8550 m N 23° E 3.1 m. p. s.
	266	355	8 000	7 840	- 39.1	41				8550— 8920 m N 5.5 m. p. s.
	229	305	9 000	8 820	- 45.7	46	0.64		6.2	8920— 9200 m N 15° W 11.3 m. p. s.
		300		**8 960**						9200—10340 m N 12° W 18.0 m. p. s.
07 15	213	284	9 510	9 320	- 48.6	47		73		
	197	263	10 000	9 800	- 51.2	51	0.50	72	6.5	Ende der Troposphäre im Aufstieg
09 10	190	253	10 260	10 050	- 52 3	53				nicht genau angeg. 10340 - 10890 m N 3° W 21.5 m. p. s.
	169	225	11 000	10 770	- 53.7	63	0.19	71	5.9	10890—11500 m N 10° W 15.5 m. p. s.
12 38	157	209	11 490	11 250	- 54.6	70				Von hier ab Ventilation ungenügend. 11500—12170 m N 18° W 8.0 m. p. s.
		200		**11 540**						Ballon hinter den Wolken verschwunden
	145	193	12 000	11 750	[- 53.0]	[79]	- 0.30		5.6	
15 25	136	181	12 420	12 160	[- 51.8]	[87]		71		Höchster Punkt, Platzmarke.
18 59	156	208	11 530	11 290	- 52.8		- 0.11	71	4.2	
20 09	174	232	10 820	10 600	- 54.9		- 0.30	71	10.0	Wiedereintritt in die Troposphäre.
22 04	190	253	10 260	10 050	- 52.1		0.49	71	4.9	
26 54	237	316	8 800	8 620	- 45.4		0 46	73	5.0	
31 02	282	376	7 620	7 470	- 37.0		0.71	74	4.8	
35 34	337	449	6 360	6 240	- 27.4		0.76	75	4.6	
39 36	392	523	5 260	5 150	- 19.4		0.72	75		
43 21	444	592	4 320	4 230	- 12.8		0.70	80	4.2	
46 04	482	643	3 690	3 610	- 8.5		0.68	80	3.9	
48 06	512	683	3 220	3 160	- 7.4		0.23	85	3.8	
52 54	587	783	2 140	2 100	- 1.2		0.58	85	3.7	
54 20	613	817	1 800	1 760	- 0.2		0.29	88	4.0	Entspricht im Aufstieg 3130—3530 m.
56 50	658	877	1 230	1 200	3.1		0.58	92	3.8	
59 38	698	931	750	730	7.9		1.00	85	2.9	Landung des Instruments beobachtet.

21. Mai 1926 8 a.

Instument Bosch No. 2565.
Temperaturkorrektion des Aneroids:
$$d\,p = -\Delta T\ (0.116 - 0.000457\ p.)$$
Zeit des Aufstiegs: 7 Uhr 39 Min. 49 Sek. a. M. E. Z.
Witterung beim Aufstieg:
a) Wind, Bewölkung, Form, Richtung und Geschwindigkeit der Wolken: SE 1, o ⊙, ∞ in E.
b) Temperatur beim Aufstieg: 9.8°; relat. Feuchtigkeit: 94 %.
Temperatur 2 Stunden vor dem Aufstieg: 3.9°; nach dem Aufstieg: 15.6°.
Maximum des Vortages: 15.1° um 3 Uhr 45 Min. p.
Maximum des Aufstiegtages: 18.6° um 4 Uhr 15 Min. p.
Minimum des Aufstiegtages: — 0.2° um 4 Uhr 30 Min. a.
Flugrichtungen bis zum Verschwinden des Ballons: Siehe Visierung.
Name, Seehöhe, Entfernung und Richtung des Landungsortes: Laim bei München, 520 m, 13 km, N 204°.
Dauer des Aufstiegs: 51 Minuten.
Dauer der Fahrt: 1 Stunde 9 Minuten.
Grösste Höhe: 13 850 m.
Tiefste Temperatur: — 58.4°.
Ventilation genügend bis: 11 480 m.
Besondere Bemerkungen: Fallschirm nicht geöffnet, Instrument beschädigt.

Ergebnis der Registrierung.

Zeit h m s	Luftdruck mm	mbar	Seehöhe m	dyn. m	Temperatur C°	Pot. Temperatur C°	Gradient △ t/100 m	Relative Feuchtigkeit %	Vertikalgeschwindigkeit m	Bemerkungen
7 39 49	718.1	957.3	487	477	9.8	13		94		Sandgewicht 1200 g. 487— 520 m N 57° E 5.5 m. p. s.
40 11	717	956	500	490	[9.6]	[13]	1.66	93	0.5	520— 730 m S 67° E 4.0 m. p. s.
41 03	709	945	590	580	7.9	12	1.85	96	1.8	730— 950 m S 88° E 7.0 m. p. s.
42 24	688	917	840	820	8.3	15	- 0.16	82	3.0	Inversion. 950—1210 m N 86° E 7.5 m. p. s.
	675	900	1 000	980	7.5	15				1210—1480 m 6.0 m. p. s.
	635	847	1 500	1 470	5.0	18	0.50		4.4	Sand nach 4 Minuten 1480—2290 m N 75° E 4.5 m. p. s.
46 17	606	808	1 870	1 840	3.1	20		70		55 Sek. ausgelaufen.
		800		**1 910**						
	596	795	2 000	1 960	2.1	20				2290—2570 m N 65° E 4.0 m. p. s.
	562	749	2 500	2 450	- 1.6	22	0.75			Zunahme der R. F. 2570—2850 m N 31° E
	527	703	3 000	2 940	- 5.4	23			4.6	2850—3390 m N 14° W 2.3 m. p. s.
		700		**2 960**				82		3390—4250 m N 20° E 3.2 m. p. s.
51 36	504	672	3 330	3 270	- 7.9	23				
	462	616	4 000	3 920	- 11.0	28				
54 24	456	608	4 110	4 030	- 11.4	29	0.45	67		

Zeit h m s	Luftdruck mm	mbar	Seehöhe m	dyn. m	Temperatur C°	Pot. Temperatur C°	Gradient △t/100 m	Relative Feuchtigkeit %	Vertikalgeschwindigkeit m	Bemerkungen
		600		**4 120**						
55 32	434	579	4 490	4 400	− 13.3	31	0.50	63	5.6	4250—4860 m N 50° E 4.3 m. p. s.
	407	543	5 000	4 900	− 17.3	31				4860—5420 m N 27° E 4.3 m. p. s.
		500		**5 470**						5420—5730 m N 27° E 2.5 m. p. s.
	355	473	6 000	5 880	− 24.9	33	0.76			5730—6320 m N 2.3 m. p. s.
8 01 31	345	457	6 230	6 100	− 26.6	34		55	4.9	6320—6610 m N 17° W 2.0 m. p. s.
	310	413	7 000	6 860	− 32.4	36				6610—6910 m N 7° W 2.5 m. p. s.
		400		**7 040**			0.75			6910—8070 m N 7° W 7.6 m. p. s.
	268	357	8 000	7 840	− 39.8	39				8070—8140 m N 37° W 9.5 m. p. s.
08 26	257	343	8 250	8 080	− 41.7	40		52		8140—8550 m N 18° W 7.0 m. p. s.
	231	308	9 000	8 820	− 47.6	42				8550—8940 m N 9.0 m. p. s.
		300		**8 950**			0.76		4.8	8940—9800 m N 5° E 8.0 m. p. s.
14 30	197	263	10 000	9 800	− 55.1	46				9800—10090 m N 160° W 9.5 m. p. s.
17 00	177	236	10 690	10 460	− 57.4	53	0.34		4.5	Ende der Troposphäre. 10090—11410 m N 160° W 6.0 m. p. s.
	169	225	11 000	10 770	− 57.5	57				
20 07	156	208	11 480	11 250	− 57.5	63	0.01		4.3	
		200		**11 490**						11410—12280 m S 54° E 2.5 m. p. s.
21 35	149	199	11 780	11 530	[− 55.5]	[71]	− 0.68		3.3	
	144	192	12 000	11 750	[− 55.0]	[76]				
23 01	136	181	12 360	12 100	[− 54.1]	[83]	− 0.23		?	
24 41	128	171	12 750	12 490	[− 53.9]	[89]	− 0.05		3.9	
25 32	125	167	12 910	12 640	[− 53.0]	[94]	− 0.58		3.0	12280—13750 m S 36° E 2.5 m. p. s.
	123	164	13 000	12 730	[− 53.1]	[95]				
27 58	113	151	13 550	13 270	[− 53.6]	[103]	0.09		4.4	
30 47	108	144	13 850	13 560	[− 52.4]	[113]	− 0.41		1.7	Höchster Punkt, Platzmarke.
35 39	181	241	10 550	10 330	− 58.4		− 0.18		11.3	
39 18	255	340	8 320	8 150	− 43.7		0.66	53	10.2	
44 49	463	617	4 040	3 960	− 13.0		0.72	48	12.9	
48 29	697	929	790	770	9.8		0.70	69	14.8	Landung 8 Uhr 50 Min. a beobachtet.

22. Mai 1926 8a.

Instrument: Bosch No. 2591.
Temperaturkorrektion des Aneroids:
dp = — ∫T (0.076 — 0.000457 p).
Zeit des Aufstiegs:
7 Uhr 33 Min. 24 Sek. a M. E. Z.
Witterung beim Aufstieg
a) Wind, Bewölkung, Form, Richtung und Geschwindigkeit der Wolken: C, 7^1 ⊙ a-cu, NE l, a-st.
b) Temperatur beim Aufstieg: 7.8°; relative Feuchtigkeit: 97 %.
Temperatur 2 Stunden vor dem Aufstieg; 5.2°; nach dem Aufstieg: 16.2°.
Maximum des Vortages: 18.6° um 4 Uhr 15 Min. p.
Maximum des Aufstiegtages: 20.0° um 3 Uhr 00 Min. p.
Minimum des Aufstiegtages: 2.6° um 3 Uhr 15 Min. a.
Flugrichtungen bis zum Verschwinden des Ballons: Siehe Visierung.
Name, Seehöhe, Entfernung und Richtung des Landungsortes: Blumenthal, Post Klingen bei Aichach, 460 m, 41 km, N 313°.
Dauer des Aufstieges: 38 Minuten.
Dauer der Fahrt: 1 Stunde 11 Minuten.
Grösste Höhe: 13 110 m.
Tiefste Temperatur: — 53.8°.
Ventilation genügt.

Ergebnis der Registrierung:

Zeit h m s	Luftdruck mm	mbar	Seehöhe m	dyn. m	Temperatur C°	Pot. Temperatur C°	Gradient △t/100 m	Relative Feuchtigkeit %	Vertikalgeschwindigkeit m	Bemerkungen
7 33 24	717.6	956.7	487	477	7.8	12		97		Sandgewicht 1000 g 487—690 m N 15° E 0.2 m. p. s.
	716	955	500	490	7.8	12	0.28		3.4	
34 28	699	932	700	690	7.2	13		86		690—860 m N 7° E 1.0 m. p. s.
35 26	685	913	870	850	7.8	16	− 0.37	80	2.8	860—1290 m N 1.2 m. p. s.
		900		**970**						
	674	899	1 000	980	7.2	17				1290—1510 m N 20° W 0.6 m. p. s.
	634	845	1 500	1 470	4.8	19	0.48		3.6	1510—1790 m N 3° W 2.7 m. p. s.
38 29	632	843	1 530	1 500	4.6	19				
		800		**1 910**						1790—2370 m N 30° W 2.3 m. p. s.
	596	795	2 000	1 960	1.4	21	0.66		4.8	
40 49	582	776	2 190	2 150	0.2	21		92		2370—2670 m N 87° W 0.5 m. p. s.
	560	747	2 500	2 450	− 1.6	23	0.59		5.0	2670—2980 m N 32° W 1.5 m. p. s.
43 10	532	709	2 900	2 850	− 4.0	24		94		Sand nach 8 Min. ausgelaufen. 2980—3300 m N 4° W 2.0 m. p. s.
	526	701	3 000	2 940	− 4.4	25				3300—3610 m N 10° W 2.0 m. p. s.
		700		**2 950**						3610—3930 m N 12° E 1.5 m. p. s.
	463	617	4 000	3 920	− 9.2	30	0.48		5.3	3930—4650 m N 77° E 4.8 m. p. s.
46 48	459	612	4 060	3 980	− 9.5	30		73		

Zeit h m s	Luftdruck mm	mbar	Seehöhe m	dyn. m	Temperatur C°	Pot. Temperatur C°	Gradient △ t/100 m	Relative Feuchtigkeit %	Vertikalgeschwindigkeit m	Bemerkungen
		600		**4 130**						4650—5400 m S 80° E 4.3 m. p. s.
	405	540	5 000	4 900	−15.3	35	0.59		6.2	5400—5770 m N 78° E 4.0 m. p. s.
		500		**5 480**						5770—6130 m S 78° E 8.4 m. p. s.
51 15	369	492	5 710	5 600	−19.2	37		55		6130—6490 m S 70° E 10.2 m. p. s.
	356	475	6 000	5 880	−21.0	39				6490—7210 m S 77° E 29.0 m. p. s.
	310	413	7 000	6 860	−27.8	43	0.66		6.0	
		400		**7 070**						7210—8270 m S 50° E 20.0 m. p. s.
55 46	295	393	7 340	7 190	−30.0	44		56		8270—8620 m S 58° E 35.0 m. p. s.
	269	359	8 000	7 840	−35.1	46	0.76		5.9	
59 23	246	328	8 610	8 430	−39.6	47		56		8620—8980 m S 25° E } 15.0 m. p. s.
	233	311	9 000	8 820	−42.3	49				
		300		**9 030**			0.68		6.2	8980—10770 m S 54° E }
	199	265	10 000	9 800	−49.3	53		54		
8 03 29	196	261	10 130	9 920	−50.0	54				
	171	228	11 000	10 770	−51.8	64	0.20		5.6	10770—11110 m S 34° E 18.0 m. p. s.
06 56	164	219	11 290	11 060	−52.3	68		52		Ende der Troposphäre. 11110—11450 m S 55° E } 15.0 m. p. s.
		200		**11 620**			0.01		5.7	11450—11810 m S 41° E }
	147	196	12 000	11 750	−52.4	79		51		
09 33	143	191	12 180	11 930	−52.4	81				Ballon in Wolken.
	125	167	13 000	12 730	−50.9	96	−0.17		6.9	
11 47	124	165	13 110	12 830	−50.8	98		51		
13 57	150	200	11 870	11 630	−53.8		−0.24	54	9.5	Wiedereintritt in die
16 53	180	240	10 690	10 470	−51.2		0.22	53	6.7	Troposphäre.
19 26	206	275	9 810	9 610	−49.0		0.25	54	5 8	
22 47	237	316	8 870	8 690	−41.7		0.78	56	4.7	
25 46	276	368	7 820	7 660	−33.1		0.82	59	5.9	
29 35	329	439	6 560	6 430	−23.3		0.78	57	5.5	
33 44	433	577	4 500	4 410	−10.2		0.64	59	8.3	
35 03	471	628	3 850	3 770	− 8.2		0.31	78	8.2	
36 44	518	691	3 100	3 040	− 4.2		0.54	77	7.3	
39 49	569	759	2 360	2 310	− 0.2			88	4.0	
42 14	631	841	1 530	1 500	5.1		0.64	91	5.8	
44 34	702	936	650	640	9.1		0.46	95	6.3	Landung.

24. Mai 1926 8 a. Fa 1149p

Instrument Bosch No. 2592.
Temperaturkorrektion des Aneroids:
$$d\,p = -\Delta T\ (0.081 - 0.000457\ p).$$
Zeit des Aufstiegs: 7 Uhr 38 Min. 2 Sek. a. M. E. Z.
Witterung beim Aufstieg:
a) Wind, Bewölkung, Form, Richtung und Geschwindigkeit der Wolken: W 2, 10^1 st, st-cu W l.
b) Temperatur beim Aufstieg: 10.3°; relative Feuchtigkeit: 93%.
Temperatur 2 Stunden vor dem Aufstieg: 9.9°; nach dem Aufstieg 12.1°.
Maximum des Vortages 15.3° um 11 Uhr 00 Min. a.
Maximum des Aufstiegtages: 17.6° um 3 Uhr 00 Min. p.
Minimum des Aufstiegtages: 9.6° um 5 Uhr 00 Min. a.
Flugrichtungen bis zum Verschwinden des Ballons: Ballon zog ab nach E nach 70 Sek. in Wolken eingetreten.
Name, Seehöhe, Entfernung und Richtung des Landungsortes: Vilsbiburg, 449 m, 63 km, N 70°.
Dauer des Aufstiegs: 48 Minuten.
Dauer der Fahrt: 1 Stunde 46 Minuten.
Grösste Höhe: 11 110 m.
Tiefste Temperatur: —56.2°.
Ventilation genügt bis: 9030 m.
Besondere Bemerkungen: Ballon nicht geplatzt.

Ergebnis der Registrierung:

Zeit m h s	Luftdruck mm	mbar	Seehöhe m	dyn. m	Temperatur C°	Pot. Temperatur C°	Gradient △ t/100 m	Relative Feuchtigkeit %	Vertikalgeschwindigkeit m	Bemerkungen
7 38 02	720.0	959.9	487	477	10.3	13		93		Sandgewicht 800 g.
	719	959	500	490	10.2	13	0.86		2.5	
40 09	693	924	800	790	7.6	14		100		
	676	901	1 000	980	6.7	15	0.42		4.7	
		900		**1 000**				96		
41 36	660	880	1 200	1 180	5.9	16				
	637	849	1 500	1 470	4.2	17	0.58		4.0	Sand nach 4 Min. ausgelaufen.
42 54	635	847	1 520	1 490	4.1	17		84		
		800		**1 930**			0.72			
	598	797	2 000	1 960	0.6	18				
45 30	576	768	2 300	2 250	− 1.5	19		99		
	562	749	2 500	2 450	− 2.9	20			5.0	
	527	703	3 000	2 940	− 6.3	22	0.67			
		700		**2 970**				96		
49 17	498	664	3 440	3 370	− 9.1	23				
50 58	465	620	3 970	3 890	− 9.4	29	0.06	59	5.2	
	463	617	4 000	3 920	− 9.6	29				
		600		**4 140**			0.71		5.6	
	406	541	5 000	4 900	−16.8	32				
54 20	401	535	5 090	4 990	−17.4	32		53		

Zeit h m s	Luftdruck mm	mbar	Seehöhe m	dyn. m	Temperatur C°	Pot. Temperatur C°	Gradient △ t/100 m	Relative Feuchtigkeit %	Vertikalgeschwindigkeit m	Bemerkungen
		500		**5 480**						
57 22	356	475	5 970	5 850	− 23.8	34	0.73	50	4.8	
	354	472	6 000	5 880	− 24.3	34				
8 01 06	308	411	7 000	6 860	− 32.8	35	0.87	44	4.7	
		400		**7 050**						
	267	356	8 000	7 840	− 41.1	37	0.84		4.2	
05 46	260	347	8 180	8 020	− 42.6	37		42		
	230	307	9 000	8 820	− 48.8	41	0.77		3.9	
09 22	229	305	9 030	8 840	− 49.1	41		42		
		300		**8 960**			0.57		2.9	
13 45	204	272	9 780	9 580	[− 53.4]	[45]		41		
	196	261	10 000	9 800	[− 54.0]	[48]				
	169	225	11 000	10 770	[− 56.0]	[58]	0.21		1.8	
25 58	166	221	11 110	10 870	[− 56.2]	[60]		41		
35 29	183	244	10 480	10 270				41	1.1	
43 33	233	311	8 940	8 760				43	3.2	
47 09	268	357	7 920	7 860				43	4.7	
52 28	324	432	6 710	6 580	− 30.1			42	3.8	
57 15	377	503	5 610	5 500	− 20.0		0.92	45		
9 00 44	422	563	4 760	4 670	− 14.6		0.63	48	4.1	
05 10	471	628	3 920	3 840	− 9.4		0.62	37	3.2	
07 22	497	663	3 500	3 430	− 8.2		0.29	37		
12 51	567	756	2 470	2 420	− 1.9		0.61	77	3.1	
17 22	618	824	1 780	1 750	3.0		0.71	83	2.9	
21 16	687	916	920	900	6.0		0.35	99	3.7	
24 14	716	955	580	570	9.5		1.02	97	1.9	Landung des Ballons wurde um 9½ a beobachtet.

25. Mai 1926 8 a.

Instrument: Bosch No. 2599.
Temperaturkorrektion des Aneroids:
$$d\,p = -\Delta T\ (0.036 - 0.000457\ p).$$
Zeit des Aufstiegs: 7 Uhr 48 Min. a. M. E. Z.
Witterung beim Aufstieg:
a) Wind, Bewölkung, Form, Richtung und Geschwindigkeit der Wolken: SW 1, 4 ci—cu, a—cu, st—cu..
b) Temperatur beim Aufstieg: 10.3°; relative Feuchtigkeit: 67 %.
Temperatur 2 Stunden vor dem Aufstieg: 6.9°; nach dem Aufstieg: 15.2°.
Maximum des Vortages: 17.6° um 3 Uhr 00 Min. p.
Maximum des Aufstiegtages: 18.6° um 3 Uhr 30 Min. p.
Minimum des Aufstiegtages: 4.5° um 5 Uhr 15 Min. a.
Flugrichtungen bis zum Verschwinden des Ballons: Siehe Visierung.
Name, Seehöhe, Entfernung und Richtung des Landungsortes: Höhenkirchen, 571 m, 30 km, N 158°.
Dauer des Aufstieges: (9 Min. ausgewertet).
Dauer der Fahrt: 1 Stunde 32 Minuten.
Grösste Höhe: 3220 m.
Tiefste Temperatur: —8.3°.
Ventilation genügt.
Besondere Bemerkungen: Nach 9 Min. Uhr stehen geblieben. Landung des Ballons wurde um 9 Uhr 20 Minuten a. beobachtet.

Ergebnis der Registrierung.

Zeit h m s	Luftdruck mm	mbar	Seehöhe m	dyn. m	Temperatur C°	Pot. Temperatur C°	Gradient △ t/100 m	Relative Feuchtigkeit %	Vertikalgeschwindigkeit m	Bemerkungen
7 48 00	722.6	963.4	487	477	10.3	13		67		Sandgewicht 1000 g.
	722	963	500	490	10.2	13				487— 750 m N 80° W 3.0 m. p. s.
	678	904	1 000	980	7.0	15	0.61		4.3	750—1000 m W 3.5 m. p. s.
		900		**1 030**						1000—1260 m S 85° W 6.0 m. p. s.
51 47	641	855	1 470	1 440	4.3	17		68		1260—1550 m N 80° W 6.5 m. p. s.
	638	851	1 500	1 470	4.0	17				Sand nach 3½ Min. ausgelaufen.
	601	801	2 000	1 960	0.4	18				1550—1900 m N 78° W 7.0 m. p. s
		800		**1 970**						1900—2610 m N 60° W 8.3 m. p. s
	566	755	2 500	2 450	− 3.1	20	0.72		5.9	2610—3060 m N 62° W 11.0 m. p. s
	530	707	3 000	2 940	− 6.7	21				
		700		**3 000**						
56 45	514	685	3 2.0	3 160	− 8.3	22		86		
					− 54.0					Uhr stehen geblieben. Tiefste Temperatur.
9 07 17	517	689	3 180	3 120	− 8.0			82		
11 06	572	763	2 380	2 330	− 2.1		0.74	87	2.5	
14 55	632	843	1 580	1 550	3.5		0.70	77	3.5	
15 26	638	851	1 500	1 470	3.8		0.39	81	2.5	
20 00	712	949	600	590	10.8		0.78	73	3.3	Landung um 9 Uhr 20 Minuten a. beobachtet.

26. Mai 1926 8 a.

Instrument Bosch No. 2600.
Temperaturkorrektion des Aneroids:
$$dp = -\Delta T\ (0.061 - 0.000457\ p).$$
Zeit des Aufstiegs: 7 Uhr 52 Min. a. M. E. Z.
Witterung beim Aufstieg:
a) Wind, Bewölkung, Form, Richtung und Geschwindigkeit der Wolken: C, o ⊙ ⏢.
b) Temperatur beim Aufstieg: 11.7°; relat. Feuchtigkeit: 84 %.
Temperatur 2 Stunden vor dem Aufstieg: 6.5°, nach dem Aufstieg: 17.2°.
Maximum des Vortages: 18.6° um 3 Uhr 30 Min. p.
Maximum des Aufstiegtages: 19.1° um 4 Uhr 00 Min. p.
Minimum des Aufstiegtages: 3.5° um 5 Uhr 00 Min. a.
Flugrichtungen bis zum Verschwinden des Ballons: Siehe Visierung.
Name, Seehöhe, Entfernung und Richtung des Landungsortes: Reichertshausen bei Holzkirchen, 635 m, 40 km, N 183°.
Dauer des Aufstiegs: 35 Minuten.
Dauer der Fahrt: 1 Stunde 21 Minuten.
Grösste Höhe: 12 630 m.
Tiefste Temperatur: — 59.5°.
Ventilation genügt.

Ergebnis der Registrierung.

Zeit h m s	Luftdruck mm	mbar	Seehöhe m	dyn. m	Temperatur C°	Pot. Temperatur C°	Gradient △ t/100 m	Relative Feuchtigkeit %	Vertikalgeschwindigkeit m	Bemerkungen
								84		Sandgewicht 1000 g.
7 52 00	721.5	961.9	487	477	11.7	15				487— 720 m N 20° E } 1.0 m. p. s.
	720	960	500	490	11.5	15	1.28		3.9	
53 04	700	933	740	720	8.5	15		89		720— 930 m S 65° W }
53 19	693	924	820	800	8.8	16	- 0.36	86	5.5	Inversion.
	677	903	1 000	980	8.2	17				930 — 1340 m N 73° W 1.6 m. p. s.
		900		**1 020**			0.29		5.1	
54 46	657	876	1 260	1 240	7.5	19		71		1340—1690 m N 78° W 2.0 m. p. s.
	637	849	1 500	1 470	5.7	19				1690—2040 m N 45° W 3.0 m. p. s.
	600	800	2 000	1 960	2.2	20	0.71			
	586	781	2 190	2 150	0.9	20		73	5.8	Sand nach 5 Minuten ausgelaufen. 2040—2380 m N 18° E } 4.0 m. p. s.
57 27	563	751	2 500	2 450	1.0	24				2380—2730 m N 26° E }
	557	743	2 600	2 550	1.0	25	- 0.02	62		Inversion. 2730—3440 m N 11° E 3.4 m. p. s.
58 37	529	705	3 000	2 940	- 1.4	28				
		700		**3 010**			0.56		5.9	3440—3800 m N 28° E 5.0 m. p. s.
	485	647	3 690	3 620	- 5.1	31		50		
8 01 43	474	632	3 870	3 800	- 5.1	33	0.00	46	6.2	Isothermie. 3800—4160 m N 15° E 10.5 m. p. s.
02 12	467	623	4 000	3 920	- 5.9	33				4160—4870 m } N 23° E 10.0 m. p. s.
		600		**4 190**						4870—5220 m } 12.0 m. p. s.
	410	547	5 000	4 900	- 12.4	37	0.63		5.9	5220—5920 m N 12° E }
		500		**5 560**						5920—6280 m N } 11.0 m. p. s.
	370	493	5 770	5 660	- 17.1	39		40		6280—6640 m }
07 35	358	477	6 000	5 880	- 19.1	40				6640—6990 m } N 5° W }
	312	416	7 000	6 860	- 27.0	43				6990—7260 m } 8.0 m. p. s.
							0.75		6.0	7260—8080 m } N 25° W 12.0 m. p. s.
		400		**7 160**						8080—9090 m 13.3 m. p. s.
	272	363	8 000	7 840	- 33.9	46				
	263	351	8 240	8 070	- 35.5	46				9090—9740 m } N 20° W 10.0 m. p. s.
14 25	235	313	9 000	8 820	- 42.7	47				9740—10080 m } 15.0 m. p. s.
		300		**9 120**			0.85		5.5	10080—10410 m } 12.0 m. p. s.
	202	269	10 000	9 800	- 51.1	49				10410—10770 m N 10° W 15 0 m. p. s.
21 29	185	247	10 590	10 370	- 55.5	50				
22 17	177	236	10 870	10 640	- 56.8	53	0.46		5.8	Ende der Troposphäre. 10770—11030 m N 12.0 m. p. s.
	173	231	11 000	10 770	- 56.9	55				11030—11450 m N 10° W 20.0 m. p. s.
23 04	172	229	11 050	10 820	- 56.9	56	0.03		3.9	
		200		**11 660**						11450—11890 m N } 18.0 m. p. s.
	148	197	12 000	11 750	- 58.1	68	0.12		7.4	11890—12300 m N 10° W }
	143	191	12 220	11 960	- 58.3	71				12300—12570 m N 15° E 15.0 m. p. s.
25 43	134	179	12 630	12 360	- 56.8	79	- 0.36		4.9	Höchster Punkt. Platzen des Ballons um 8 Uhr 27 Min. 15 Sek. beobachtet.
27 08	136	181	12 530	12 270	- 56.0		0.82 ?		6.9	
27 22	160	213	11 500	11 270	- 59.5		- 0.34		17.1	
28 22	182	243	10 700	10 480	- 58.6		0.11		11.7	Wiedereintritt in die Troposphäre.
29 31	200	267	10 100	9 890	- 54.9		0.62		9.1	
30 37	252	336	8 570	8 390	- 40.3		0.95		5.4	
35 20	312	416	7 070	6 930	- 27.0		0.89		4.5	
40 52	388	517	5 460	5 350	- 15.2		0.73		3.9	
47 41	480	640	3 820	3 740	- 4.4		0.66	37	4.3	
54 00	486	648	3 720	3 650	- 4.6		- 0.21	37		Inversion.
54 28	551	735	2 720	2 670	0.7		0.53	39	3.5	
59 13	576	768	2 370	2 320	0.7		0.00	43	4.3	Isothermie.
9 00 35	645	860	1 450	1 420	6.5		0.63	64	4.2	
04 14	657	876	1 300	1 270	8.0		0.99	65	4.0	
04 52	682	909	990	970	11.3		1.06	62	0.8	
11 29	704	939	720	710	13.4		0.79	57	2.3	Landung.
13 23										

27. Mai 1926 8a.

Instrument: Bosch No. 2602.
Temperaturkorrektion des Aneroids:
$dp = -\Delta T$ (0.000—0.000457 p).
Zeit des Aufstieges: 8 Uhr 00 Min. a. M. E. Z.
Witterung beim Aufstieg:
a) Wind, Bewölkung, Form, Richtung und Geschwindigkeit der Wolken: C, 2° ⊙ ci, a—cu NW. l.
b) Temperatur beim Aufstieg: 12.0°; relative Feuchtigkeit: 79%.
Temperatur 2 Stunden vor dem Aufstieg: 5.0°; nach dem Aufstieg: 19.1°.
Maximum des Vortages: 19.1° um 4 Uhr 00 Min. p.
Maximum des Aufstiegtages: 22.7 um 3 Uhr 00 Min. p.
Minimum des Aufstiegtages: 2.9 um 5 Uhr 00 Min. a.
Flugrichtungen bis zum Verschwinden des Ballons: Siehe Visierung.
Name, Sgehöhe, Entfernung und Richtung des Landungsortes: Kolbermoor bei Rosenheim, 462 m, 58 km, N 139°.
Dauer des Aufstieges: 46 Minuten.
Dauer der Fahrt: 1 Stunde 28 Minuten.
Grösste Höhe: 13770 m.
Tiefste Temperatur: —60.6°.
Ventilation genügt bis: 13040 m.

Ergebnis der Registrierung.

Zeit h m s	Luftdruck mm	mbar	Seehöhe m	dyn. m	Temperatur C°	Pot. Temperatur C°	Gradient △ t/100 m	Relative Feuchtigkeit %	Vertikalgeschwindigkeit m	Bemerkungen	
8 00 00	718.8	958.3	487	477	12.0	16		79		Sandgewicht 1000 g.	487— 660 m N 20° W 1.5 m. p. s.
	718	957	500	490	11.8	16					
00 40	712	949	570	550	10.9	16	1.41	79	2.0		
01 38	689	919	840	820	11.3	18	−0.15	68	4.7	Inversion.	660— 1140 m S 18° E 0.9 m. p. s.
	675	900	1 000	980	9.2	19					1140— 1360 m N 20° W 0.1 m. p. s.
	636	848	1 500	1 470	6.5	20	0.66		3.7		1360— 1580 m N 20° W 1.1 m. p. s.
06 35	604	805	1 920	1 880	4.2	22		66			1580— 1780 m N 55° W 3.5 m. p. s.
		800		**1 930**							1780— 2020 m N 79° W 5.0 m. p. s.
	599	799	2 000	1 960	3.9	22	0.41		4.0		
07 54	581	775	2 230	2 190	2.9	24		58		Sand n. 7½ M. ausgel.	2020— 2260 m S 86° W 3.5 m. p. s.
08 55	564	752	2 480	2 430	3.5	28	−0.25	43		Scharfer Knick im Thermo- u. Hygrogramm.	2260— 2510 m N 80° W 5.5 m. p. s.
	562	749	2 500	2 450	3.4	28					2510— 2770 m N 70° W 9.0 m. p. s.
	528	704	3 000	2 940	1.5	31					2770— 3050 m N 69° W 13.5 m. p. s.
		700		**2 990**			0.41		4.6		
11 07	523	697	3 080	3 020	1.0	31		32			3050— 3560 m N 70° W 11.5 m. p. s.
	466	621	4 000	3 920	− 5.6	33					3560— 4070 m N 67° W 13 0 m. p. s.
		600		**4 190**			0.71		4.2		4070— 4600 m N 51° W 12.5 m. p. s.
16 13	444	592	4 380	4 290	− 8.2	34		25			4600— 4880 m N 49° W 15.0 m. p. s.
	410	547	5 000	4 900	−12.0	37				Zunahme d. R. F.	4880— 5160 m N 40° W
		500		**5 560**							5160— 6010 m N 35° W 13.0 m. p. s.
	359	479	6 000	5 880	−18.0	41	0.60		4.7		
22 45	349	465	6 210	6 080	−19.2	43		49			6010— 7380 m N 40° W 14.0 m. p. s.
	313	417	7 000	6 860	−24.6	47					
		400		**7 170**							7380— 8100 m N 45° W 15.0 m. p. s.
	273	364	8 000	7 840	−30.5	51	0.62				
28 43	263	351	8 260	8 090	−31.9	52					8100— 9080 m N 48° W 17.0 m. p. s.
	238	**317**	9 000	8 820	−37.7	54			6.0		
		300		**9 150**							9080— 9800 m N 29° W 16.5 m. p. s.
	205	273	10 000	9 800	−45.2	58	0.74				9800—10160 m N 30° W 12.0 m. p. s.
36 10	177	236	10 940	10 710	−51.7	61					10160—10520 m N 35° W 15.0 m. p. s.
	175	233	11 000	10 770	−52.2	61					10520—10880 m N 45° W 20.0 m. p. s.
	150	200	12 000	11 750	−58.2	66	0.60		4.6		10880—11170 m N 32° W 18.0 m. p. s.
41 05	143	191	12 300	12 040	−59.8	68					11170—11720 m N 29° W 16.0 m. p. s.
41 53	137	183	12 570	12 300	−60.3	73	0 19		5.6	Ende der Troposphäre.	11720—12000 m N 12° W 19.0 m. p. s.
	128	171	13 000	12 730	−60.6	78	0.06				12000—12280 m N 10° W 8.0 m. p. s.
43 28	127	169	13 040	12 770	−60.6	79			5.0		12280—12900 m N 20° W 14.0 m. p. s.
44 39	120	160	13 390	13 110	[−57.8]	]90[	−0.79				12900—13490 m N 25° W 15.0 m. p. s.
45 59	112	149	13 770	13 540	[−56.9]	[99]	−0.24		4.7	Höchst Pkt. Platzm.	13490—13770 m N 55° W
48 49	130	173	12 890	12 620	−59.7		−0.32		5.2		Platzen des Ballons um 8 Uhr 45 Min. 40 Sek. beobachtet.
51 46	168	224	11 290	11 050	−58.8		0.05		9.0	Wiedereintritt in die Troposphäre.	
54 02	197	263	10 280	10 070	−49.2		0.95		7.5		
57 49	260	347	8 400	8 230	−34.3		0.79		8.3		
9 02 31	320	427	6 910	6 770	−23.9		0.69	62	5.3		
07 14	407	543	5 120	5 020	−13.5		0.58	73	6.0	Knick im Hygr.	
09 42	440	587	4 520	4 430	− 9.4		0.70	51	4.0		
18 40	568	757	2 500	2 450	3.0		0 60	33	3.7	Knick im Hygr.	
22 31	625	833	1 730	1 690	6.9		0.49	66			
28 08	721	961	540	530	14.4		0 63	66	3.5	Landung.	

28. Mai 1926 8 a. 15 30 p

Instrument Bosch No. 2604.
Temperaturkorrektion des Aneroids:
$$dp = -\Delta T\ (0.072 - 0.000457\ p).$$
Zeit des Aufstiegs: 7 Uhr 45 Min. a. M. E. Z.
Witterung beim Aufstieg:
a) Wind, Bewölkung, Form, Richtung und Geschwindigkeit der Wolken: WNW 3, 9^1 ci-st, a-st, fr-cu NW m.
b) Temperatur beim Aufstieg: 14.5°; relative Feuchtigkeit: 84 %.
Temperatur 2 Stunden vor dem Aufstieg: 11.6°, nach dem Aufstieg: 15.4°.
Maximum des Vortages: 22.7° um 3 Uhr 00 Min. p.
Maximum des Aufstiegtages: 18.1° um 3 Uhr 15 Min. p.
Minimum des Aufstiegtages: 8.3° um 5 Uhr 15 Min. a.
Flugrichtungen bis zum Verschwinden des Ballons: Siehe Visierung.
Name, Seehöhe, Entfernung und Richtung des Landungsortes: Kronau bei Ostermünchen, 507 m, 48 km, N 130°.
Dauer des Aufstieges: 52 Minuten.
Dauer der Fahrt: 1 Stunde 20 Minuten.
Grösste Höhe: 14 560 m.
Tiefste Temperatur: — 57.6°.
Ventilation genügt bis: 11350 m.

Ergebnis der Registrierung.

Zeit h m s	Luftdruck mm	Luftdruck mbar	Seehöhe m	Seehöhe dyn. m	Temperatur C°	Pot. Temperatur C°	Gradient △ t/100 m	Relative Feuchtigkeit %	Vertikalgeschwindigkeit m	Bemerkungen
								84		Sandgewicht 500 g.
7 55 00	719.2	958.9	487	477	14.5	19				487—840 m W 8.0 m. p. s.
	717	956	500	490	13.7	19				840—960 m N 84° W 11.0 m. p. s.
	676	901	1 000	980	11.0	19	0.68		3.9	960—1110 m N 75° W 9.0 m. p. s.
		900		**1 000**				97		Ballon in Wolken.
58 21	655	873	1 270	1 240	9.2	20				
	637	849	1 500	1 470	9.1	22	0.06	69	4.9	
59 32	628	837	1 620	1 580	9.0	23				Sand nach 5½ Min. ausgelaufen.
		800		**1 950**			0.80		5.6	
	599	799	2 000	1 960	5.9	24		87		
8 01 44	574	765	2 350	2 300	3.1	25				
	564	752	2 500	2 450	2.0	25	0.76	87	4.5	
02 25	561	748	2 530	2 480	1.7	25				
	529	705	3 000	2 940	- 0.4	28	0.44		6.0	
		700		**3 000**				40		
04 11	518	691	3 170	3 110	- 1.1	29				
	467	623	4 000	3 920	- 6.0	32	0.59		5.4	
		600		**4 200**				62		
07 52	445	593	4 370	4 280	- 8.2	33				
	410	547	5 000	4 900	- 11.4	37	0.51	40	5.3	
10 13	404	539	5 110	5 010	- 12.0	38				
		500		**5 560**			0.74		5.4	
	359	479	6 000	5 880	- 18.8	40		61		
15 28	322	429	6 810	6 670	- 24.5	42				
	313	417	7 000	6 860	- 26.3	43				
		400		**7 170**			0.83		5.1	
	272	363	8 000	7 840	- 34.7	45				
20 55	254	339	8 490	8 310	- 38.4	47				
	235	313	9 000	8 820	- 43.5	47	0.90		4.9	
		300		**9 120**						
25 52	204	272	9 950	9 750	- 51.6	47				
	203	271	10 000	9 800	- 51.7	47	0.55		4.7	
28 44	180	240	10 760	10 540	- 56.0	52				Ende der Troposphäre.
	174	232	11 000	10 770	- 56.0	55	0.00		4.3	
31 01	164	219	11 350	11 120	- 56.0	61				
		200		**11 670**			- 0.16		4.0	
	148	197	12 000	11 750	[- 54.9]	[73]				
36 38	133	177	12 700	12 430	[- 53.8]	[85]				
	127	169	13 000	12 730	[- 52.1]	[92]	- 0.53		2.5	
42 29	116	155	13 580	13 300	[- 49.1]	[107]				
	108	144	14 000	13 700	[- 49.1]	[115]	0.01		3.5	
47 08	100	133	14 560	14 250	[- 49.2]	[123]				Diagramm verwischt.
							- 0.29		5.3	
56 14	156	208	11 690	11 450	- 57.6					
57 55	192	256	10 380	10 160	- 57.3		0.02		13.0	
9 00 50	260	347	8 380	8 210	- 40.5		0.84		11.4	
05 01	384	512	5 590	5 480	- 17.1			62	11.1	
05 38	397	529	5 340	5 230	- 14.6		0.99	51	6.8	
09 34	522	696	3 220	3 160	- 2.4		0.58	60	9.0	
13 04	655	873	1 380	1 360	8.5		0.59	96	8.7	
14 50	716	955	640	630	13.3		0.65	70	7.0	Landung.

29. Mai 1926 8 a. 73 534-5°6

Instrument Bosch No. 2632.
Temperaturkorrektion des Aneroids:
$$dp = -\Delta T\ (0.093 - 0.000457\ p).$$
Zeit des Aufstiegs: 7 Uhr 56 Min. 26 Sek. a. M. E. Z.
Witterung beim Aufstieg:
a) Wind, Bewölkung, Form, Richtung und Geschwindigkeit der Wolken: SW_3, 10^2 ci-st, a-st, st-cu SW r.
b) Temperatur beim Aufstieg: 14.6°; relative Feuchtigkeit: 84 %.
Temperatur 2 Stunden vor dem Aufstieg: 12.6°, nach dem Aufstieg: 14.5°.
Maximum des Vortages: 18.1° um 3 Uhr 15 Min.
Maximum des Aufstiegtages: 15.0° um 8 Uhr 15 Min. a.
Minimum des Aufstiegtages: 11.5° um 11 Uhr 30 Min. p.
Flugrichtungen bis zum Verschwinden des Ballons: Ballon zog ab nach ENE, nach 3 Min. 46 Sek. in Wolken eingetreten.
Name, Seehöhe, Entfernung und Richtung des Landungsortes: Hopfenbach bei Gilgenberg Ob. Oest. 410 m, 109 km, N 101°.
Dauer des Aufstiegs: 38 Minuten.
Dauer der Fahrt: 1 Stunde 25 Minuten.
Grösste Höhe: 10790 m.
Tiefste Temperatur: — 54.2°.
Ventilation genügt bis: 10760 m.

Ergebnis der Registrierung.

Zeit h m s	Luftdruck mm	mbar	Seehöhe m	dyn. m	Temperatur C°	Pot. Temperatur C°	Gradient △t/100 m	Relative Feuchtigkeit %	Vertikalgeschwindigkeit m	Bemerkungen
7 56 26	715.8	954.3	487	477	14.6	19		84		
	715	953	500	490	14.5	19				
		900		**960**						
	673	897	1 000	980	11.4	21	0.60		4.1	
59 10	660	880	1 170	1 140	10.5	21		93		
	634	845	1 500	1 470	9.3	23				
8 01 11	626	835	1 600	1 570	9.0	24	0.11	86	3.6	In Wolken verschwunden.
		800		**1 910**						
	596	795	2 000	1 960	6.2	25				
	561	748	2 500	2 450	3.0	27	0.66		4.3	
05 48	541	721	2 790	2 740	1.1	28		98		
	527	703	3 000	2 940	0.2	29				
		700		**2 970**						
	465	620	4 000	3 920	- 4.1	34	0.43		3.5	
12 12	457	609	4 130	4 050	- 4.7	35		100		
		600		**4 170**						
	409	545	5 000	4 900	-10.0	40	0.59		4.0	
17 39	386	515	5 440	5 330	-12.4	42				
		500		**5 550**						
	358	477	6 000	5 880	-15.9	45				
	314	419	7 000	6 860	-21.2	50	0.55		5.6	
23 07	302	403	7 280	7 130	-22.6	51				
		400		**7 180**						
	273	364	8 000	7 840	-29.7	52	0.94		4.5	
28 34	246	328	8 740	8 560	-36.3	53				
	237	316	9 000	8 820	-38.7	53				
		300		**9 160**						
	204	272	10 000	9 800	-47.8	54	0.87		5.4	
34 46	182	243	10 760	10 530	-53.9	54				Ende der Troposphäre.
34 58	181	241	10 790	10 570	[-53.7]	[55]	- 0.59		3.1	Höchster Punkt, Platzmarke.
35 29	188	251	10 550	10 330	-54.2		- 0.21		7.7	
38 18	230	307	9 220	9 030	-42.6		0.87		7.9	
48 08	318	424	6 940	6 800	-23.0		0.86		3.9	
59 04	421	561	4 820	4 730	- 9.2		0.65		3.2	
9 08 36	520	693	3 160	3 100	- 0.4		0.53		2.9	
11 37	563	751	2 530	2 480	1.3		0.27		3.5	
14 09	603	804	1 970	1 930	5.7		0.79	100	3.7	
17 56	658	877	1 250	1 230	10.0		0.60	97		
21 43	718	957	530	520	14.0		0.55	85	3.2	Landung.

31. Mai 1926 8 a. 15 35m

Instrument Bosch No. 2640.
Temperaturkorrektion des Aneroids:
$$d\,p = -\Delta T\,(0.051 - 0.000457\,p).$$
Zeit des Aufstiegs: 7 Uhr 54 Min. 46 Sek. a. M. E. Z.
Witterung beim Aufstieg:
a) Wind, Bewölkung, Form, Richtung und Geschwindigkeit der Wolken: SW 2, 10^2, ◍ 1 ni,
b) Temperatur beim Aufstieg: 14.1°; relative Feuchtigkeit: 86 %.
Temperatur 2 Stunden vor dem Aufstieg: 10.5°.
Maximum des Vortages: 16.9° um 3 Uhr 00 Min. p.
Maximum des Aufstiegtages: 21.7°.
Minimum des Aufstiegtages: 8.0°.
Flugrichtungen bis zum Verschwinden des Ballons: Ballon zog ab nach NE, nach 8 Min. 18 Sek. in Wolken verschwunden.
Name, Seehöhe, Entfernung und Richtung des Landungsortes: Griesbach bei Dingolfing. 430 m, 85 km, N 61°.
Dauer des Aufstiegs: 44 Minuten.
Dauer der Fahrt: (50 Minuten ausgewertet).
Grösste Höhe: 15 970 m.
Tiefste Temperatur: — 55.7°.
Ventilation genügt bis: 15 370 m.
Besondere Bemerkungen: Uhr nach 50 Min. stehen geblieben.

Ergebnis der Registrierung.

Zeit h m s	Luftdruck mm	mbar	Seehöhe m	dyn. m	Temperatur C°	Pot. Temperatur C°	Gradient △t/100 m	Relative Feuchtigkeit %	Vertikalgeschwindigkeit m	Bemerkungen
								86		
8 02 46	715.7	954.1	487	477	14.1	18				
	715	953	500	490	14.2	18	} −0.18		} 6.5	Bodeninversion.
03 37	688	917	820	800	14.7	22		70		
		900		**960**						
	673	897	1 000	980	13.6	23	} 0.54			
	634	845	1 500	1 470	11.0	25			} 4.6	
06 44	621	828	1 670	1 640	10.1	26		64		
		800		**1 920**						
	597	796	2 000	1 960	7.7	27	} 0.71			
	562	749	2 500	2 450	4.1	28			} 4.9	
	531	708	2 950	2 890	1.0	29		81		
11 02	527	703	3 000	2 940	0.7	30				In Wolken verschwunden.
		700		**2 980**			} 0.61		} 3.9	
14 36	478	637	3 790	3 710	− 4.1	32		86		
	465	620	4 000	3 920	− 5.2	33				
		600		**4 180**			} 0.52		} 5.3	
	410	547	5 000	4 900	−10.2	38				
19 04	398	531	5 210	5 110	−11.5	39		92		
		500		**5 550**						
	359	479	6 000	5 880	−16.5	43			} 6.0	
	332	443	6 580	6 450	−20.1	46		88		
22 52	314	419	7 000	6 860	−22.9	47	} 0.63			
		400		**7 170**					} 6.6	
	274	365	8 000	7 840	−29.1	52				
	264	352	8 240	8 070	−30.6	53		83		
27 02	237	316	9 000	8 820	−36.8	55				
		300		**9 170**			} 0.77		} 6.8	
30 54	210	280	9 830	9 630	−42.8	57		79		
	204	272	10 000	9 800	−44.4	58				
	176	235	11 000	10 770	−51.8	60	} 0.74		} 6.4	
35 29	161	215	11 580	11 330	−55.7	62		77		Ende der Troposphäre.
		200		**11 780**						
	149	199	12 000	11 750	−52.9	75	} −0.54		} 6.6	
38 27	134	179	12 760	12 500	−49.3	92		76		
	129	172	13 000	12 730	−49.2	96				
	112	149	14 000	13 700	−49.2	112	} −0.01		} 6.2	
42 15	108	144	14 180	13 880	−49.1	115		73		
	95	127	15 000	14 680	−51.5	127	} 0.28			
45 37	90	120	15 370	15 040	−52.4	132		70	} 5.9	
47 28	82	109	15 970	15 630	[−51.6]	[141]	− 0.13	70	5.5	Höchster Punkt. Platzmarke.
50 18	118	157	13 590	13 310	−49.5		0.09	70	13.9	
52 54	142	189	12 370	12 120	−49.0		0.04	69	7.9	Uhr stehen geblieben.

Zusammenstellung der Ergebnisse der Maifahrten.

Datum	Grenze der Troposphäre: Aufstieg m	Aufstieg t	Abstieg m	Abstieg t	Höchster Punkt der Auswertung	Boden	1000	2000	3000	4000	5000	6000	7000	8000	9000	10 000	11 000	12 000	13 000	14 000	15 000	16 000	17 000	18 000 m	Datum
1.	13 030	– 72.2	12 910	– 72.8	14 390	9.8	**14.1**	**9.8**	**2.3**	– 5.2	– 13.0	– 19.8	– 25.6	– 32.3	– 38.3	– 46.8	– 54.5	– 64.5	– 72.0	– 62.7					1.
2.	Kein Aufstieg					18.1	15.1[1]		– 0.3[2]																2.
3.	—	—	9 920	– 47.5	12 040	11.4	8.9	4 7	– 1.0	– 7.4	– 13 5	– 20.4	– 28.8	– 36.6	– 42.5	– 47.6									3.
4.	10 770	– 50.8	—	—	17 690	8.0	6.4	2.5	– 2.8	– 10.2	– 16.4	– 21.5	– 29.2	– 35.7	– 41.1	– 46.8	– 51.0	– 52.8	– 53.6	– 50.8	– 49.2	– 49.0	– 49.9		4.
5.	9 760	– 51.6	9 630	– 52.4	11 440	8.0	4.7	– 0.3	– 5.6	– 11.9	– 17.0	– 24.1	– 31.6	– 38.9	– 46.6	– 51.1	**– 48.1**								5.
6. 8a	9 510	– 49.6	9 860	– 52.2	10 590	9.1	5.8	– 0.6	– 6.7	– 12 3	– 19.1	– 26.4	– 32.2	– 40.0	– 47.6	– 49.9									6. 8a
2p	10 070	– 53.6	10 090	– 54 7	13 440	10.7	5.6	– 0.9	– 7.6	– 11.7	– 17.8	– 24.5	– 31.6	– 38.2	– 45.7	– 53.1	– 53.8	– 53.8	– 53.8						2p
7p	—	—	—	—	4 820	6.8	4.1	– 1.1	– 6.7	– 12.6															7p
7. 2a	10 120	– 53.2	10 120	– 54.3	11 940	5.7	3.7	– 3.0	– 9.0	– 15.1	– 21.2	– 27.3	– 35.2	– 42.8	– 49.1	– 52.9	– 51.8								7. 2a
8a	9 820	– 52.8	9 700	– 53.7	10 410	4 0	– 0.4	– 6.4	– 10.4	– 15.7	– 22.1	– 29.3	– 37.1	– 43.5	– 49.2	– 52.3									8a
2p	10 120	– 53.0	9 900	– 53.5	18 070	7.0	2.8	– 4.8	– 7.9	– 13.9	– 18.3	– 26.6	– 34.2	– 41.2	– 47.2	– 52.5	– 50.3	– 47.7	– 46.3	– 45.5	– 44.8	– 44.1	– 43.6	– 43.3	2p
8. 8a	—	—	—	—	9 050	2.2	0.1	– 7.3	– 13 9	– 18.9	– 25.3	– 32.6	– 39.7	– 46.9	– 53 6										8. 8a
9.	Kein Aufstieg					2.7	1.0[1]		– 10.3[2]																9.
10.	Instrument nicht gefunden					6.5	2.0[1]		– 7.7[2]																10.
11.	12 130	– 58.9	12 000	– 59.4	18 360	7.4	3.9	– 1.8	– 8.2	– 12.0	– 18.0	– 22.2	– 25.8	– 33.2	– 40.0	– 47.9	– 54.5	– 58.4	– 56.0	– 52.7	– 52.9	– 53.7	– 53.2	– 52.2	11.
12.	11 950	– 58.8	11 910	– 59.1	15 250	11.3	9.8	3.4	– 2.6	– 7.0	– 11.8	– 19.3	– 26.2	– 34.0	– 41.3	– 48.7	– 55.1	– 58.8	– 56.2	– 52.9	– 51.6				12.
13.	—	—	—	—	10 980	13.7	10.3	4.9	1.3	– 4.4	**– 10.0**	– 16.9	– 23.5	– 31.5	– 39.5	– 46.3	– 52.0								13.
14.	11 390	– 57.7	11 240	– 59.0	14 370	8.6	5.0	1.0	– 4.3	– 9.3	– 13.7	– 20.6	– 27.6	– 35.4	– 42.4	– 48.6	– 55.0	– 57.9	– 56.5	– 52.2					14.
15.	11 800	– 63.6	11 550	– 64.3	14 610	9.2	9.2	6.0	– 0.8	– 6.6	– 13.2	– 19.1	– 25.3	– 32.4	– 40 4	– 48.3	– 56.7	– 63.7	– 57.0	– 55.5					15.
16.	Kein Aufstieg					15.3	13.0[1]		– 0.7[2]																16.
17.	11 970	– 52.3	11 610	– 50.9	15 620	10.9	7.9	4.3	– 2.5	– 9.6	– 14.5	– 18.8	– 27.0	– 33.7	– 39.0	– 44.5	– 50 0	**– 52.2**	– 50.5	– 51.6	– 50.0				17.
18.	10 140	– 50.2	10 070	– 51.3	10 300	6.0	3.3	– 0.3	– 6.5	– 12.3	– 18.1	– 24.8	– 29.6	– 37.1	– 44 2	– 49.4									18.
19.	10 560	– 51.3	—	—	10 850	6.3	3.5	– 1.3	– 4.8	– 10.7	– 16.6	– 23.4	– 30.1	– 36.7	– 43.2	– 49.6									19.
20.	10 260	– 52.3	10 820	– 54.9	12 420	9.0	4.7	– 0.2	– 6.8	– 10.9	– 17.0	– 24.4	– 31.7	– 39.1	– 45.7	– 51.2	– 53 7	– 53.0							20.
21.	10 690	– 57.4	10 550	– 58.4	13 850	9.8	7.4	2.1	– 5.6	– 11.0	– 17.6	– 25.0	– 33.0	– 40.1	– 47.8	– 55.1	– 57.5	– 55.0	– 53.1						21.
22.	11 290	– 52.3	11 870	– 53.8	13 110	7.8	7.2	1.4	– 4.4	– 9.2	– 15.3	– 21.0	– 27.8	– 35.1	– 42.3	– 49.3	– 51.8	– 52.4	– 50.9						22.
23.	Kein Aufstieg					12.7	7.0[1]		– 4 3[2]																23.
24.	—	—	—	—	11 110	10.3	6.7	0.6	– 6.3	– 9.6	– 16.8	– 24.3	– 32.8	– 41.1	– 48,8	– 54.0	– 56.0								24.
25.	—	—	—	—	3 220	10.3	7.0	0.4	– 6,7																25.
26.	10 870	– 56.8	10 700	– 58.6	12 630	11.7	8.2	2.2	– 1.4	– 5.9	– 12.4	– 19.1	– 27.0	– 33.8	– 42.7	– 51.1	– 56.9	– 58.1							26.
27.	12 300	– 59.8	11 290	– 58.8	13 770	12.0	9.2	3.9	1.5	– 5.6	– 12.0	– 18.0	– 24.6	– 30.5	– 37.7	– 45.2	– 52.2	– 58.2	– 60.6						27.
28.	10 760	– 56.0	10 380	– 57.3	14 560	14.5	11.0	5.9	– 0.4	– 6.0	– 11.4	– 18.8	– 26.3	– 34.7	– 43.5	– 51.7	– 56.0	– 54.9	– 52.1	**– 49.1**					28.
29.	10 760	– 53.9	10 550	– 54.2	10 790	**14.6**	11.4	6.2	0.2	**– 4.1**	**– 10.0**	**– 15.9**	**– 21.2**	– 29.7	– 38.7	– 47.8									29.
30.	Kein Aufstieg					11.8	8.8[1]		– 0.7[2]																30.
31.	11 580	– 55.7	—	—	15 970	14.1	13.6	7.7	0.7	– 5.2	– 10.2	– 16.5	– 22.9	**– 29.1**	**– 36.8**	**– 44.4**	– 51.8	– 52.9	**– 49.2**	– 49.2	– 51.5				31.
Temperaturmittel						9.60	7.15	1.95	– 3.82	– 9.20	– 15.21	– 21.76	– 28.62	– 35.87	– 43.04	– 49.02	– 53.69	– 56.62	– 55.64	– 52.96	– 51.04				
Zahl der Fälle						25	25	25	25	24	24	24	24	24	24	23	17	14	12	9	5				
Mittl. Temperatur Gradient							0.52	0.58	0.54	0.60	0.66	0.69	0.73	0.72	0.60	0.47	0.29	– 0.10	– 0.27	– 0.19					
Absolute Schwankung						12.4	14.5	17.1	16.2	14.8	15.3	16.7	18.5	17.8	16.8	10.7	9.4	12.6	22.8	13.6					
Mittl. Temperaturveränderlichkeit							2.27	2.41	2.74	2.30	2.17	2.65	3.17	3.49	3.80										

Die Mittelbildungen und sonst hier angegebenen Werte beziehen sich nur auf die **8 a**-Aufstiege.

Anmerkung: [1]) Temperaturwerte Hohenpeissenberg 994 m [2]) Temperaturwerte Zugspitze 2962 m.

NB: Die folgenden Aufstiege fanden in München—Oberwiesenfeld statt.

26. Juni 1927.

Die Fahrt wurde veranstaltet anlässlich der Sprengversuche in Jüterbog zum Studium der Schallausbreitung in der Atmosphäre.

Instrument Bosch No. 2641.
Temperaturkorrektion des Aneroids:
$$dp = -\alpha T\ (0.163 - 0.000457\ p).$$
Zeit des Aufstiegs: 5 Uhr 11 Min. 5 Sek. p. M. E. Z.
Witterung beim Aufstieg:
a) Wind, Bewölkung, Form, Richtung und Geschwindigkeit der Wolken: N 3, 6^1 a-cu st-cu WNWm. Sicht 20 km.
b) Temperatur beim Aufstieg: 13.5°; relative Feuchtigkeit: 59 %.
Temperatur 2 Stunden vor dem Aufstieg: 14.0°, nach dem Aufstieg: 12.8°.
Maximum des Vortages: 11.6° um 3 Uhr 00 Min. p.
Maximum des Aufstiegtages: 14.8° um 4 Uhr 30 Min. p.
Minimum des Aufstiegtages: 5.2° um 3 Uhr 00 Min. a.
Flugrichtungen bis zum Verschwinden des Ballons: Vgl. Visierung.
Name, Seehöhe, Entfernung und Richtung des Landungsortes: Markt Schwaben, 507 m, 22.5 km, N 83°.
Dauer des Aufstieges: 27 Minuten.
Dauer der Fahrt: 58 Min.
Grösste Höhe 8 480 m.
Tiefste Temperatur: — 38.5°.
Ventilation genügt.
Besondere Bemerkungen: Ballon nicht geplatzt.

Ergebnis der Registrierung.

Zeit h m s	Luftdruck mm	Luftdruck mbar	Seehöhe m	Seehöhe dyn. m	Temperatur C°	Pot. Temperatur C°	Gradient △ t/100 m	Relative Feuchtigkeit %	Vertikalgeschwindigkeit m	Bemerkungen
5 11 5	722.3	963.0	507	497	13.5	17		59		507— 780 m N 11° W 11.5 m. p. s.
	680	907	1 000	980	9.8	18				780—1060 m N 21° W 6.3 m. p. s.
		900		**1 050**			0.74		4.6	1060—1340 m N 23° W } 2.5 m. p. s.
	640	853	1 500	1 470	6.2	19				1340—1620 m N 50° W }
15 20	626	835	1 690	1 660	4.8	19		71		1620—1900 m N 58° W 3.0 m. p. s.
	604	805	2 000	1 960	2.7	19				1900—2180 m N 50° W 4.3 m. p. s.
		800		**1 990**			0.70		4.7	2180—2460 m N 73° W 6.0 m. p. s.
	568	757	2 500	2 450	- 0.8	21				2460—2760 m N 70° W 6.3 m. p. s.
19 07	548	731	2 760	2 700	- 2.7	21		76		2760—3060 m N 65° W 4.5 m. p. s.
	531	708	3 000	2 940	- 4.2	23				3060—3380 m N 79° W 4.3 m. p. s.
		700		**3 030**			0.57		5.3	3380—3700 m N 73° W 2.5 m. p. s.
22 19	481	641	3 780	3 700	- 8.5	26		74		3700—4010 m S 89° W 4.3 m p. s.
	468	624	4 000	3 920	- 8.6	29	0.04		5.2	4010—4330 m N 75° W 4.5 m. p. s.
23 04	467	623	4 010	3 930	- 8.6	29		67		4330—4640 m } 4.8 m. p. s.
		600		**4 210**			0.67			4640—4960 m } N 77° W 6.3 m. p. s.
25 28	423	564	4 760	4 670	-13.7	32		56	5.3	4960—5280 m } 7.8 m. p. s.
	410	547	5 000	4 900	-15.1	33	0.61			5280—5580 m N 86° W 6.6 m. p. s.
27 58	381	508	5 550	5 440	-18.5	35		50		5580—5870 m S 85° W 8.3 m. p. s.
		500		**5 560**						5870—6160 m N 87° W 11.5 m. p. s.
	359	479	6 000	5 880	-21.6	36	0.71		4.8	6160—6420 m S 84° W 12.0 m. p. s.
31 31	333	444	6 540	6 410	-25.5	37		46		6420—6720 m S 80° W } 14.2 m. p. s.
	313	417	7 000	6 860	-28.7	40				6720—7020 m S 68° W }
		400		**7 140**			0.75		5.1	7020—7980 m S 76° W 14.3 m. p. s.
34 35	291	388	7 510	7 360	-32.7	42		44		7980—8300 m S 45° W 16.0 m. p. s.
	272	363	8 000	7 840	-35.2	43	0.60		5.3	
37 38	253	337	8 480	8 310	-38.5	45		42		
42 24	329	439	6 640	6 510	-29.4		0.49	46	6.4	
46 48	381	508	5 580	5 460	-21.7		0.72	43	4.0	
50 50	435	580	4 580	4 490	-14.4		0.74	43	4.1	
53 35	471	628	3 980	3 900	-10.4		0.66	40	3.7	
54 55	487	649	3 720	3 650	- 9.5		0.35	54	3.2	
59 11	544	725	2 860	2 800	- 3.9		0.65	73	3.4	
6 02 30	601	801	2 070	2 030	0.8		0.60	81	4.0	
06 01	663	884	1 270	1 250	5.8		0.63	72	3.8	
09 17	721	961	580	570	11.1		0.76	57	3.5	Landung.

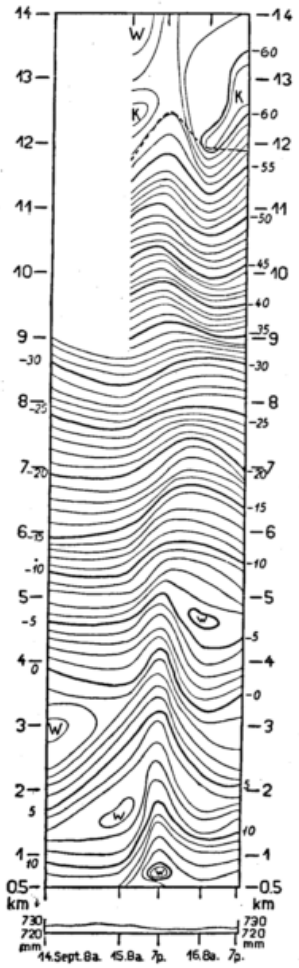

Serienaufstieg vom 14. bis 16. September 1926.

Das Instrument vom 14. 7 p wurde nicht gefunden.

Am 14. morgens verläuft eine schmale Zunge hohen Druckes vom Azorenmaximum ausgehend über Frankreich nach Süddeutschland; über unserem Gebiet liegt eine Stratusschicht von geringer vertikaler Mächtigkeit; ihre untere Grenze liegt nach der Visierung in 2000 m, ihre obere Grenze in 2230 m; die Schätzung des Beobachters auf der Zugspitze lautet auf 2200 m; unmittelbar über der Stratusschicht finden wir eine sehr kräftige Inversion und starke Abnahme der relativen Feuchtigkeit. Am 15. finden wir diese Inversion etwas tiefer in 1670 m; im Laufe des 15. kommt unser Gebiet in Abhängigkeit von einer über Schottland gelegenen Depression; die in der Höhe bereits vorhandene Westströmung nimmt an Stärke zu, die Temperatur steigt an. Am 16. morgens liegt die Depression über der Ostsee; auf ihrer Rückseite werden polare Luftmassen nach dem Kontinent verfrachtet, bis zur Höhe von 5000 m reicht der Temperaturrückgang. In den beiden Aufstiegen vom 16. 8 a und 7 p lassen sich folgende Störungsschichten identifizieren: Um 8 a beträgt die untere Grenze der St-Wolken nach der Visierung 2070 m, die obere Grenze ist durch den Knick im Thermogramm und Hygrogramm in 2550 m gekennzeichnet; diese Unstetigkeit finden wir abends in gleicher Höhe. Eine zweite Inversionsschicht liegt morgens in 4460—4680 m, abends in 4440—4710 m Höhe. Die Landungsorte sämtlicher Ballone lagen im Südostquadranten; die mittlere Luftversetzung war also gleichmässig Nordwest.

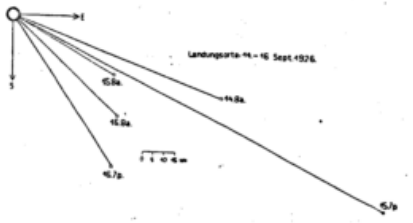

14. September 1926 8 a.

Instrument Bosch No. 408.
Temperaturkorrektion des Aneroids:
$$dp = -\mathcal{A}T\ (0.122 - 0.000457\ p).$$
Zeit des Aufstiegs: 7 Uhr 57 Min. a. M. E. Z.
Witterung beim Aufstieg:
a) Wind, Bewölkung, Form, Richtung und Geschwindigkeit der Wolken: SW 3, 9^1 a-st, a-cu SW m.
b) Temperatur beim Aufstieg: 11.8°; relative Feuchtigkeit: 89 %.
Temperatur 2 Stunden vor dem Aufstieg: 6.9°, nach dem Aufstieg 15.3°.
Maximum des Vortages: 20.0° um 11 Uhr 15 Min. a.
Maximum des Aufstiegtages: 19.8° um 1 Uhr 45 Min. p.
Minimum des Aufstiegtages: 6.9° um 6 Uhr 00 Min. a.
Flugrichtungen bis zum Verschwinden des Ballons: Siehe Visierung.
Name, Seehöhe, Entfernung und Richtung des Landungsortes: Wimmern bei Teisendorf, 515 m, 102 km, N 110°.
Dauer des Aufstiegs: 45 Minuten, (38 Minuten ausgewertet).
Dauer der Fahrt: 1 Stunde 29 Minuten.
Grösste Höhe: 9350 m.
Tiefste Temperatur: — 35.4°.
Ventilation genügt.
Besondere Bemerkungen: Ballon nicht geplatzt.

Ergebnis der Registrierung.

Zeit	Luftdruck		Seehöhe		Temperatur	Pot Temperatur	Gradient	Relative Feuchtigkeit	Vertikalgeschwindigkeit	Bemerkungen			
h m s	mm	mbar	m	dyn. m.	C°	C°	Δt/100 m	%	m				
7 57 00	725.2	966.9	507	497	11.8	15		89		Sandgewicht 500 g.	507— 720 m	S 85° W	3.0 m. p. s.
	684	912	1 000	980	9.6	18	0.44		3.6		720— 940 m	S 80° W	4.0 m. p. s.
59 19	681	908	1 030	1 010	9.5	18		80			940—1210 m	S 58° W	4.5 m. p. s.
		900		**1 080**							1210—1480 m	S 80° W	7.0 m. p. s.
	644	859	1 500	1 470	6.2	19	0.70		4.4	Sand nach $3^1/_2$ Min. ausgelaufen.	1480—1750 m	S 88° W	8.5 m. p. s.
8 01 11	641	855	1 530	1 500	6.0	19		82			1750—2020 m	S 84° W	9.5 m. p. s.
	605	807	2 000	1 960	3.2	21					Ballon in Wolken.		
		800		**2 020**			0.58		4.5				
03 47	588	784	2 230	2 180	1.9	22		100					
	569	759	2 500	2 450	2.2	25							
	534	712	3 000	2 940	3.1	31	- 0.15		4.7	Inversion.			
06 49	529	705	3 080	3 020	3.2	32		45					
		700		**3 080**			0.38		4.0				
09 48	484	645	3 800	3 720	0.5	37		31					
	472	629	4 000	3 920	- 0.8	37							
		600		**4 290**			0.66		4.3				
	416	555	5 000	4 900	- 7.6	41							
14 32	414	552	5 030	4 930	- 7.7	41		37					

Zeit h m s	Luftdruck mm	mbar	Seehöhe m	dyn. m	Temperatur C°	Pot. Temperatur C°	Gradient △ t/100 m	Relative Feuchtigkeit %	Vertikalgeschwindigkeit m	Bemerkungen
		500		**5 680**						
17 53	372	496	5 850	5 740	− 14.3	43	0.80	37	4.1	
	364	485	6 000	5 880	− 15.2	44	0.53	31	4.0	
22 35	320	427	6 980	6 840	− 20.3	49				
	319	425	7 000	6 860	− 20.6	49				
		400		**7 300**			0.65		3.0	
	278	371	8 000	7 840	− 26.9	52		31		
28 47	274	365	8 110	7 950	− 27.6	52				
	242	323	9 000	8 820	[− 33.0]	[58]	0.61	31	2.3	
35 23	241	321	9 030	8 840	[− 33.2]	[58]		31	0.8	Höchster Punkt, ungefähre Höhenangabe.
42 00	230	307	[9 350]	[9 160]				31	1.6	
46 38	245	327	8 910	8 730	[− 35.4]			33	4.4	
50 17	281	375	7 940	7 780	− 29.8		0.58	34	3.3	
54 43	317	423	7 070	6 930	− 23.1		0.77	36	4.5	
58 48	368	491	5 960	5 850	− 16.5		0.60	40	4.2	
9 02 22	414	552	5 070	4 970	− 9.9		0.74	41	3.0	
05 40	447	596	4 470	4 380	− 5.5		0.63	26	3.4	
10 11	502	669	3 550	3 480	0.3		0.41	22		
12 52	538	717	3 000	2 940	2.6		− 0.49	26	4.0	Inversion.
13 34	549	732	2 830	2 780	1.8		0.43	38	2.9	
16 04	581	775	2 400	2 330	3.7		− 0.70	54	3.5	Inversion.
16 53	592	789	2 220	2 180	2.5		0.55	80	2.9	
19 23	625	833	1 780	1 750	4.9		0.56	81	3.1	Landung um 9 Uhr 35 Min. a beobachtet.
22 39	673	897	1 180	1 160	8.3		0.60	84		
26 25	732	976	480	470	12.5					

15. September 1926 8a.

Instrument Bosch No. 2529.
Temperaturkorrektion des Aneroids:
$$d\,p = -\Delta\Gamma \quad (0.055 - 0.000457\ p).$$
Zeit des Aufstiegs: 8 Uhr 5 Min. a. M. E. Z.
Witterung beim Aufstieg:
a) Wind, Bewölkung, Form, Richtung und Geschwindigkeit der Wolken: C, 3° ⊙ a-cu, ci im SSE, ∞¹.
b) Temperatur beim Aufstieg: — 12.2°; rel. Feuchtigk.: 87 %.
Temperatur 2 Stunden vor dem Aufstieg: 6.1°, nach dem Aufstieg. 17.8°.
Maximum des Vortages: 19.8° um 1 Uhr 45 Min. p.
Maximum des Aufstiegtages: 22.8 um 5 Uhr 15 Min. p.
Minimum des Aufstiegtages: 5.8° um 6 Uhr 30 Min. a.
Flugrichtungen bis zum Verschwinden des Ballons: Siehe Visierung.
Name, Seehöhe, Entfernung und Richtung des Landungsortes: Holzhausen, Post Griesstätt a. Inn, 472 m, 53 km, N 117°.
Dauer des Aufstiegs: 41 Minuten.
Dauer der Fahrt: 1 Stunde.
Grösste Höhe: 15060 m.
Tiefste Temperatur: — 59.1°.
Ventilation genügt bis: 13680 m.

Ergebnis der Registrierung.

Zeit h m s	Luftdruck mm	mbar	Seehöhe m	dyn. m	Temperatur C°	Pot. Temperatur C°	Gradient △ t/100 m	Relative Feuchtigkeit %	Vertikalgeschwindigkeit m	Bemerkungen		
8 05 00	725.8	967.6	507	497	12.2	15		87		Sandgewicht 500 g.	507—770 m	N 37° E 1.5 m. p s.
	685	913	1 000	980	9.7	17	0.50	75	4.3		770—1020 m	S 57° E 1.0 m. p. s.
07 13	677	903	1 090	1 060	9.3	17					1020—1320 m	S
		900		**1 090**							1320—1630 m	N 70° W 2.0 m. p. s.
	645	860	1 500	1 470	7.7	20	0.40	79	5.0	Sand nach 3 Minut.		
09 08	631	841	1 670	1 630	7.0	21				11 Sek. ausgelaufen.	1630—1920 m	S 85° W 6.0 m. p. s.
10 13	607	809	1 980	1 950	7.5	25	− 0.16	47	4.9		1920—2160 m	N 60° W 2.5 m. p. s.
	606	808	2 000	1.960	7.4	25					2160—2890 m	N 83° W 7.3 m. p. s.
		800		**2 040**			0.44		5.3			
	570	760	2 500	2 450	5.3	28		33			2890—3220 m	N 78° W 7.5 m. p. s.
11 52	569	759	2 510	2 460	5.2	28					3220—3550 m	8.5 m. p. s.
	536	715	3 000	2 940	3.2	31	0.40	32	5.5		3550—3870 m	N 85° W 9.0 m. p. s.
		700		**3 100**							3870—4240 m	9.5 m. p. s.
16 03	480	640	3 880	3 810	− 0.3	37					4240—4610 m	10.5 m. p. s.
	473	631	4 000	3 920	− 1.1	37					4610—4980 m	N 80° W 12.5 m. p. s
		600		**4 310**			0.66		6.2		4980—5360 m	
	416	555	5 000	4 900	− 7.7	40		27			5360—6150 m	N 74° W 11.5 m. p. s.
19 53	400	533	5 310	5 210	− 9.7	41						
		500		**5 690**			0.67		6.6		6150—6550 m	13.0 m. p. s.
	366	488	6 000	5 880	− 14.4	44		41			6550—6950 m	N 65° W 15.0 m. p. s.
23 38	329	439	6 800	6 660	− 19.6	48					6950—7370 m	
	321	428	7 000	6 860	− 20.9	48					7370—8200 m	N 60° W 16.0 m. p. s.
		400		**7 320**			0.70		7.0		8200—8630 m	
	280	373	8 000	7 840	− 28.0	52		41			8630—9050 m	N 52° W 18.0 m. p. s.
27 08	269	359	8 260	8 090	− 29.9	53					9050—9480 m	N 45° W 21.0 m. p. s.
	243	324	9 000	8 820	− 35.3	55					9480—9880 m	N 52° W 24.0 m. p. s
		300		**9 310**			0.73		7.1		9880—10280 m	N 60° W 20.0 m p. s.
30 18	222	296	9 600	9 400	− 39.7	57		38			10280—10690 m	N 54° W 18.0 m. p. s.
	210	280	10 000	9 800	− 43.2	58					10690—11090 m	24.0 m. p. s.
	181	241	11 000	10 770	− 51.8	59	0.87	36	6.7		11090—11500 m	N 50° W 25.0 m. p. s.
34 29	172	229	11 290	11 060	− 54.5	59					11500—11920 m	20.0 m. p. s.
35 38	160	213	11 750	11 510	− 57.1	62	0.56	36		Ende der Troposphäre.		

Zeit h m s	Luftdruck mm	mbar	Seehöhe m	dyn. m	Temperatur C°	Pot. Temperatur C°	Gradient △ t/100 m	Relative Feuchtigkeit %	Vertikalgeschwindigkeit m	Bemerkungen
	155	207	12 000	11 750	- 57.6	64				11920—12580 m N 62° W 25.0 m. p. s.
		200		**11 910**			0.27		5.9	12580—12890 m N 75° W
37 46	142	189	12 510	12 250	- 59,1	71		37		12890—13200 m N 70 °W 28.0 m. p. s.
	132	176	13 000	12 730	- 57.6	81				13200—13520 m N 65° W 25.0 m. p. s.
41 33	118	157	13 680	13 390	- 55.4	97	- 0.32	36	5.2	13520—13830 m N 70° W 23.0 m. p. s.
	114	152	14 000	13 700	- 55.7	100				13830—14150 m N 65° W
	98	131	15 000	14 680	- 57.2	112	0.15		5.4	14150—14470 m 20.0 m. p. s.
45 46	95	127	15 060	14 740	[- 57.4]	[116]		35		Höchster Punkt. 14470—14800 m N 73° W 23.0 m. p. s.
48 50	118	157	13 680	13 390	- 56.2		0.09	35	7.5	
50 22	158	211	11 830	11 590	- 58.1		- 0.10	35	20.1	Wiedereintritt in die Troposphäre.
52 18	222	296	9 610	9 410	- 43.1		0.68	35	. 19.2	Ballon geplatzt ?
56 22	314	419	7 170	7 030	- 23.2		0.82	43	10.0	
58 26	402	536	5 320	5 210	- 11.6		0.63	47	14.9	
9 01 33	498	664	3 640	3 570	0.5		0.72	40	9.0	
03 31	608	811	2 020	1 980	8.7		0 50	31	13.8	
03 50	629	839	1 740	1 700	7.7		- 0.36	35	14.6	
05 22	727	969	540	530	10.9		0.27	68	13.0	Landung.

15. September 1926 7 p.

Instrument Bosch No. 2532.
Temperaturkorrektion des Aneroids:
$$d\,p = -\mathcal{A}T\,(0.149 - 0.000457\ p).$$
Zeit des Aufstiegs: 7 Uhr 6 Min. 30 Sek. p. M. E. Z.
Witterung beim Aufstieg:
a) Wind, Bewölkung, Form, Richtung und Geschwindigkeit der Wolken: C, 4° ci, ci-st.
b) Temperatur beim Aufstieg: 13.8°; rel. Feuchtigkeit: 77 %.
Temperatur 2 Stunden vor dem Aufstieg: 22.5°, nach dem Aufstieg: 12.0°.
Maximum des Vortages: 19.8° um 1 Uhr 45 Min. p.
Maximum des Aufstiegtages: 22.8° um 5 Uhr 15 Min. p.
Minimum des Aufstiegtages: 5.8° um 6 Uhr 30 Min. a.
Flugrichtungen bis zum Verschwinden des Ballons: S. Visierung.
Name, Seehöhe, Entfernung und Richtung des Landungsortes: Moosheim bei Gröbming (Steiermark) 670 m, 191 km, N 114°.
Dauer des Aufstiegs: (1 Stunde 20 Min. ausgewertet).
Dauer der Fahrt: ?
Grösste Höhe: 15 970 m.
Tiefste Temperatur: — 57.4°.
Ventilation genügt bis: 9 430 m.
Besondere Bemerkungen: Ballon nicht geplatzt.

Ergebnis der Registrierung.

Zeit h m s	Luftdruck mm	mbar	Seehöhe m	dyn. m	Temperatur C°	Pot. Temperatur C°	Gradient △ t/100 m	Relative Feuchtigkeit %	Vertikalgeschwindigkeit m	Bemerkungen
7 06 30	722.7	963.5	507	497	13.8	17		77		
07 20	705	940	710	700	16.5	22	- 1.32	55		Bodeninversion. 507— 730 m N 77° W 2.0 m. p. s.
	681	908	1 000	980	14.8	23				730— 980 m N 85° W 3.8 m. p. s.
		900		**1 050**			0.59		4.1	980—1230 m S 78° W 5.2 m. p. s.
	642	856	1 500	1 470	12.0	25				1230—1720 m 10.0 m. p. s.
11 43	620	827	1 780	1 750	10.3	26		51		Ballon entschwunden.
	604	805	2 000	1 960	9.6	27				
		800		**2 010**						
	569	759	2 500	2 450	8.0	31	0.33			
	536	715	3 000	2 940	6.4	34				
17 46	529	705	3 090	3 030	6.0	35			3.6	
		700		**3 090**						
	474	632	4 000	3 920	1.2	40	0.53			
22 57	460	613	4 220	4 130	0.0	41				
		600		**4 300**			0.65		3.7	
26 19	419	559	4 960	4 860	- 4.8	43				
	418	557	5 000	4 900	- 4.8	44	0.26		3.9	Störungsschicht.
27 07	409	545	5 150	5 040	- 5.3	46				
		500		**5 710**					3.1	
31 25	369	492	5 950	5 830	- 11.0	47				
	367	489	6 000	5 880	- 11.4	47	0.71			
	322	429	7 000	6 860	- 18.5	51			3.5	
37 28	312	416	7 210	7 070	- 20.0	52				
		400		**7 350**						
	281	375	8 000	7 840	- 26.0	54	0.77		3.0	
43 50	266	355	8 370	8 210	- 28.9	55				
	245	327	9 000	8 820	- 33.4	57				
49 05	229	305	9 430	9 240	- 36.9	58	0.76		3.3	
		300		**9 360**						
	212	283	10 000	9 800	- 41.5	58	0.86		3.1	
55 40	191	255	10 660	10 440	[- 47.5]	[59]				
	183	244	11 000	10 770	[- 49.5]	[60]				
8 01 16	162	216	11 730	11 490	[- 54.5]	[64]	0.65		3.2	
	157	209	12 000	11 750	[- 55.2]	[67]				
		200		**11 970**			0.33		3.0	
05 30	144	192	12 480	12 220	[- 57.0]	[73]				Ende der Troposphäre.
	134	179	13 000	12 730	[- 57.2]	[80]				
	116	155	14 000	13 700	[- 57.4]	[84]	0.02		3.2	
14 09	111	148	14 130	13 830	[- 57.4]	[99]				
	99	132	15 000	14 680	[- 57.4]	[111]				
19 59	95	127	15 130	14 810	[- 57.4]	[116]	0.00		2.9	
26 40	83	111	15 970	15 630	[- 57.3]	[131]	- 0.01		2.1	Ballon schwimmt.

16. September 1926 8 a.

Instrument Bosch No. 2664.
Temperaturkorrektion des Aneroids:
$$d\,p = -\Delta T\ (0.187 - 0.000457\ p).$$
Zeit des Aufstiegs: 8 Uhr 9 Min. 55 Sek. a. M. E. Z.
Witterung beim Aufstieg:
a) Wind, Bewölkung, Form, Richtung und Geschwindigkeit der Wolken: W SW 3, 8^1 ⊙ ci–cu, a–cu st W m.
b) Temperatur beim Aufstieg: 14.7°; relative Feuchtigkeit: 73 %.
Temperatur 2 Stunden vor dem Aufstieg: 11.5°, nach dem Aufstieg: 16.6°.

Maximum des Vortages: 22.8° um 5 Uhr 15 Min. p.
Maximum des Aufstiegtages: 18.0° um 4 Uhr 00 Min. p.
Minimum des Aufstiegtages: 9.6° um 3 Uhr 00 Min. a.
Flugrichtungen bis zum Verschwinden des Ballons: S. Visierung.
Name, Seehöhe, Entfernung und Richtung des Landungsortes: Fading, Post Törwang b. Rosenheim, 700 m, 65 km, N 131°.
Dauer des Aufstiegs: 46 Minuten.
Dauer der Fahrt. 1 Stunde.
Grösste Höhe: 14460 m.
Tiefste Temperatur: — 62.1°.
Ventilation genügt bis 11110 m.

Ergebnis der Registrierung.

Zeit h m s	Luftdruck mm	mbar	Seehöhe m	dyn. m	Temperatur C°	Pot. Temperatur C°	Gradient △ t/100 m	Relative Feuchtigkeit %	Vertikalgeschwindigkeit m	Bemerkungen			
										Sandgewicht 500 g.	507— 730 m	W	6.7 m. p. s.
8 09 55	723.4	964.4	507	497	14.7	18		73			730—1320 m	N 84° W	10.0 m. p. s.
10 59	703	937	750	730	13.8	19	0.38	70	3.8				
	683	911	1 000	980	12.1	20							
		900		**1 070**			0.68		4.7	Sand nach 2 Min. 44 Sek. ausgelaufen.	1320—1570 m	S 84° W	11.7 m. p. s.
	643	857	1 500	1 470	8.7	22							
	617	823	1 830	1 790	6.5	23		93			1570—2070 m	N 84° W	11.2 m. p. s.
14 51	607	809	1 960	1 920	6.4	23	0.08	95	6.7	Störungsschicht.			
15 11	605	807	2 000	1 960	6.2	24							
		800		**2 020**			0.46		4.4				
	568	757	2 500	2 450	3.9	27							
	565	753	2 550	2 500	3.7	27		94					
17 24	555	740	2 690	2 640	3.6	29	0.07	85	5.4	Störungsschicht.			
17 51	534	712	3 000	2 940	1.6	30							
		700		**3 080**			0.61		4.9				
	475	633	3 930	3 850	– 4.0	33		97					
22 06	471	628	4 000	3 920	– 4.0	34	0.00		5.9	Störungsschicht.			
22 29	467	623	4 070	3 990	– 4.0	35		93					
		600		**4 270**			0.33		4.9				
	444	592	4 460	4 380	– 5.3	38		89					
23 50	435	580	4 620	4 530	– 5.0	40	– 0.19	80	8.0	Inversion.			
24 10	432	576	4 680	4 590	– 4.9	41	– 0.18	77	3.7				
24 25	415	553	5 000	4 900	– 6.4	42	0.48		5.3				
	403	537	5 220	5 120	– 7.5	43		70					
26 08	393	524	5 420	5 310	– 7.6	46	0.05	68	5.8				
26 42		**500**		**5 660**			0.57		5.5				
	364	485	6 000	5 880	– 11.1	49		59					
	336	448	6 620	6 490	– 14.4	53							
30 21	320	427	7 000	6 860	– 17.5	54							
		400		**7 320**			0.78		6.1				
	279	372	8 000	7 840	– 25.4	56		53					
	256	341	8 620	8 440	– 29.9	57							
35 48	242	323	9 000	8 820	– 34.2	57							
		300		**9 330**			0.98		6.2				
	207	276	10 000	9 800	– 45.0	57							
	180	240	11 000	10 770	– 53.3	57							
	177	236	11 110	10 880	– 54.3	57		50					
42 32	155	207	11 950	11 700	[– 62.1]	[57]	0.93		4.3	Ende der Troposphäre.			
45 48	154	205	12 000	11 750	[– 61.2]	[61]	– 1.56		3.2				
	152	203	12 070	11 820	[– 60.2]	[63]							
46 26		**200**		**11 900**			– 0.88		3.9				
	146	195	12 320	12 070	[– 58.0]	[71]							
47 30	131	175	13 000	12 730	– 58.7	80	0.10		5.2				
	121	161	13 510	13 220	– 59.2	87							
51 17	116	155	13 770	13 480	– 57.7	94	– 0.57		5.7				
52 03	112	149	14 000	13 700	[– 58.3]	[97]	0.26		3.1	Höchster Punkt, Platzmarke.			
	104	139	14 460	14 150	[– 59.5]	[101]							
55 48	106	141	14 340	14 040	[– 57.9]		1.38		4.3				
56 15	109	145	14 170	13 870	– 59.5		– 0.90		5.5				
56 47	125	167	13 300	13 020	– 55.7		0.44	49	17.7				
57 36	139	185	12 630	12 360	– 61.0		– 0.79	47	21.0	Wiedereintritt in die Troposphäre.			
58 08	270	360	8 180	8 010	– 28.4		0.73	54	23.1				
9 01 21	336	448	6 570	6 440	– 16.7			55	16.4				
02 59	384	512	5 560	5 450	– 10.1		0.65	58	15.6				
04 04	434	579	4 610	4 510	– 4.5		0.59	56	13.6				
05 14	444	592	4 430	4 340	– 4.4		0.06	56	13.8				
05 27	472	629	3 940	3 860	– 3.0		0.29	60	13.9				
06 02	480	640	3 810	3 730	– 3.2		– 0.15	63	14.7				
06 11	523	697	3 130	3 070	0.1		0.48	70	13.4				
07 02	528	704	3 050	2 990	0.1		0.00	63	9.4				
07 10	547	729	2 770	2 710	2.3		0.77	80	12.4				
07 33	561	748	2 560	2 510	2.3		0.00	73	12.6	Isothermie entspricht 2550—2690 m im Aufstieg.			
07 49	646	861	1 420	1 390	8.0		0.50	75	13.0				
09 17	713	951	600	580	14.1		0.74	69	11.4	Landung.			
10 29													

16. September 1926 7 p.

Instrument Bosch No. 2665.
Temperaturkorrektion des Aneroids:
$$d\,p = -\mathcal{A}T\ (0.148 - 0.000457\ p).$$
Zeit des Aufstiegs: 6 Uhr 53 Min. 15 Sek. p. M. E. Z.
Witterung beim Aufstieg:
a) Wind, Bewölkung, Form, Richtung und Geschwindigkeit der Wolken: WSW 2, 8^1 ci-st, st-cu W m.
b) Temperatur beim Aufstieg: 13.1°; relative Feuchtigkeit: 92%.
Temperatur 2 Stunden vor dem Aufstieg: 16.2°, nach dem Aufstieg: 12.0°.

Maximum des Vortages: 22.8° um 5 Uhr 15 Min. p.
Maximum des Aufstiegtages: 18.0° um 4 Uhr 00 Min. p.
Minimum des Aufstiegtages: 9.6° um 3 Uhr 00 Min. a.
Flugrichtungen bis zum Verschwinden des Ballons: S. Visierung.
Name, Seehöhe, Entfernung und Richtung des Landungsortes: Kufstein, 503 m, 81 km, N 144°.
Dauer des Aufstiegs: 41 Minuten.
Dauer der Fahrt: 1 Stunde 18 Minuten.
Grösste Höhe: 13 020 m.
Tiefste Temperatur: — 61.8°.
Ventilation genügt.

Ergebnis der Registrierung.

Zeit h m s	Luftdruck mm	Luftdruck mbar	Seehöhe m	Seehöhe dyn. m	Temperatur C°	Pot. Temperatur C°	Gradient △ 1/100 m	Relative Feuchtigkeit %	Vertikalgeschwindigkeit m	Bemerkungen
6 53 15	724.3	965.6	507	497	13.1	16		92		Sandgewicht 500 g.
54 07	712	949	650	640	15.0	20	- 1.32	78	2.8	Bodeninversion.
	683	911	1 000	980	12.7	21				Sand nach 2 Minuten 45 Sek. ausgelaufen.
		900		**1 080**			0.66			
56 49	650	867	1 410	1 390	10.0	22		65		
	644	859	1 500	1 470	9.4	22			4.7	
	605	807	2 000	1 960	5.7	24				
		800		**2 030**			0.73			
7 00 00	583	777	2 300	2 260	3.5	24		85		
00 41	569	759	2 500	2 450	2.2	24	0.66	85	4.8	
	535	713	3 000	2 940	1.3	29				Störungsschicht, st Abnahme der R. F.
		700		**3 080**			0.17		4.3	
03 49	514	685	3 320	3 250	0.8	32		44		
	471	628	4 000	3 920	- 3.2	35				
		600		**4 280**			0.57		4.7	
07 51	446	595	4 440	4 350	- 5.6	36		51		
08 51	431	575	4 710	4 620	- 5.6	39	0.00	49	4.5	Isothermie.
	415	553	5 000	4 900	- 7.4	41	0.61		4.4	
10 32	407	543	5 160	5 050	- 8.3	42		48		
10 55	399	532	5 310	5 200	- 8.4	44	0.06	48	6.7	Störungsschicht.
		500		**5 670**						
	365	487	6 000	5 880	- 12.4	47	0.59		5.0	
14 04	353	471	6 250	6 120	- 13.9	48		42		
	320	427	7 000	6 860	- 19.2	51				
		400		**7 310**			0.68		5.5	
	279	372	8 000	7 840	- 25.9	54				
20 17	268	357	8 280	8 120	- 27.8	55		37		
	241	321	9 000	8 820	- 34.9	56				
		300		**9 320**						
	208	277	10 000	9 800	- 44.0	57	0.90		5.4	
27 52	187	249	10 750	10 530	- 49.9	57				
30 45	180	240	11 000	10 770	- 51.3	59				
	158	211	11 840	11 590	- 56.5	64	0.61		6.3	Überleitung zur Substratosphäre.
	154	205	12 000	11 750	- 57.3	66				
		200		**11 910**			0.52		5.5	
33 35	136	181	12 780	12 510	- 61.4	72				
	132	176	13 000	12 730	- 61.7	74				
34 16	131	175	13 020	12 740	- 61.8	75	0.17		5.7	Höchster Punkt, Platzmarke.
36 41	158	211	11 850	11 610	- 61 8		0.00		8.0	
37 05	164	219	11 620	11 380	- 61.6		0.09		9.6	Wiedereintritt in die Troposphäre.
43 17	248	331	8 900	8 720	- 36.3		0.93	42	7.3	
50 02	350	467	6 400	6 270	- 15.0		0.85	39	6.2	
52 25	388	517	5 610	5 500	- 10.3		0.60		5.5	
56 23	452	603	4 430	4 340	- 4.6		0.48	44	5.0	
57 05	462	616	4 250	4 170	- 4.5		0.06	47	4.1	
59 30	497	663	3 670	3 600	- 0.9		0.62	51	4.0	St. Zunahme der R. F. entspricht im Aufstieg 3320 m.
9 00 12	511	681	3 450	3 380	- 1.4		- 0.23	63	5.3	
01 37	537	716	3 060	3 000	0.4		0.46	86	4.6	
02 16	550	733	2 860	2 810	0.4		0.00	92	4.9	
03 37	573	764	2 540	2 490	2.5		0.64	91	4.0	
04 56	593	791	2 260	2 210	4.9		0.86	99	3.5	
07 19	626	835	1 820	1 780	7.2		0.52	98	3.1	
11 30	726	968	580	570	15.0		0.63	77	4.9	Landung.

507— 830 m	N 71° W	6.0 m. p. s.
830— 970 m	N 60° W	
970—1540 m		11.0 m. p. s.
1540—1820 m	N 74° W	
1820—2100 m	N 78° W	13.5 m. p. s.
2100—2230 m	W	14.0 m. p. s.

Das Stationsnetz zur Untersuchung der bodennahen Luftschichten.

Vierter Jahresbericht 1926

von

Rudolf Geiger und Hans Amann.

1. Die Stationen und die Beobachtungsmethode.

Die Beobachtungen erfolgten wie im vergangenen Jahre vom 1. April bis 31. Oktober. Ausgeschieden ist die Station Peiting, seit August 1926 neu hinzugekommen Fürth, wo an der meteorologischen Station der Flugwetterwarte auch in der bodennahen Luftschicht beobachtet wurde. An mehreren Stationen musste der Beobachter wechseln; die Tabelle 1 gibt den Stand des Netzes zu Ende 1926. Allen Beobachtern sei auch an dieser Stelle für ihre uneigennützigen Dienste warmer Dank ausgesprochen.

Die grösste Veränderung gegenüber dem Jahre 1925 ist die Einführung eines neuen Beobachtungssystemes. Die bisher verwendete „gemischte Aufstellung" bestand aus Alkohol-Minimumthermometern, welche in 5 cm Höhe mit einem Budigschirm, in grösserer Höhe mit dem im 1. Jahresbericht beschriebenen und abgebildeten Schutzdache gegen die unmittelbare Strahlung geschützt waren. Diese Aufstellung hatte, wie im 2. Jahresbericht gezeigt, zwar für die nächtlichen Minima homogene Werte geliefert d. h. der verschiedene Strahlungsschutz in den verschiedenen Höhen hatte auf die Minimumtemperaturen den gleichen Einfluss ausgeübt. Bei Bestimmung der Temperaturen am Tage, vor allem bei Sonnenschein, versagte aber die Aufstellung.

Tabelle 1.

Stationen 1926, von N nach S geordnet.

Nr.	Station	Beobachter	Lage			Ort der Instrumenten-Aufstellung	Beobachtungs-beginn
			Breite	Länge	Höhe		
1.	Fürth i. B.	Flugwetterwarte	49° 30′	10° 59′	302	Verwilderter Garten	1. Aug. 1926
2.	Donaumoos	Bayerische Moorwirtschaftsstelle Johann Stempfle	48° 41′	11° 18′	376	Garten im Moor	7. Febr. 1924
3.	Ludwigsmoos	Bayerische Moorwirtschaftsstelle J. Reindl	48° 39′	11° 12′	383	Wiese im Moor	14. Febr. 1924
4.	Scheyern	P. Ulrich Ahr O. S. B.	48° 30′	11° 27′	474	Garten im Klosterhof	12. März 1924
5.	Freienried	Lehrer Hans Meisenhälter	48° 20′	11° 8′	530	Gartenwiese	21. März 1925
6.	Badersfeld b. Schleissheim	Bayerische Moorwirtschafsstelle Stefan Stirnweiss	48° 16′	11° 31′	478	Wiese im Moor	3. April 1925
7.	Schleissheim	Bayerische Moorwirtschaftsstelle. Josef Schiessl	48° 15′	11° 31′	480	Garten im Moor	11. Juli 1924
8.	Eichenlohe	Bayerische Moorwirtschaftsstelle Ben. Schamberger	48° 15′	11° 47′	487	Wiese im Moor	28. Febr. 1925
9.	Haspelmoor	Bayerische Moorwirtschaftsstelle Karl Fröschl	48° 13′	11° 6′	541	Wiese im Moor	11. März 1925
10.	Nederling	Landesanstalt für Pflanzenbau und Pflanzenschutz, C. Rothbauer	48° 10′	11° 31′	511	Gartenwiese	23. Febr. 1924
11.	Grafrath-Jesenwang	Förster Barth. Volkart	48° 9′	11° 9′	567	Wiese (Waldlichtung)	6. März 1925
12.	Grafrath-Bahnhof	Oberstleutnant v. Müller	48° 8′	11° 9′	585	Garten	27. Juni 1925
13.	München-Bonifaz	Bayer. Landeswetterwarte	48° 9′	11° 34′	526	Garten	22. Sept. 1922
14.	Anzinger Sauschütte	Forstwart Hans Schmid	48° 8′	11° 53′	527	Wiese (Waldlichtung)	26. Febr. 1924
15.	Hubertus	Forstverwalter Willib. Ennerst	48° 7′	11° 56′	550	Wiese (Waldlichtung)	24. April 1925
16.	Unterdill	Förster F. Neuhauser	48° 5′	11° 29′	569	Gartenwiese	19. Febr. 1924
17.	Hofolding	Forstmeister W. Eisele	47° 59′	11° 43′	608	Wiese	1. März 1924
18.	Seeburg	Torfmeister Mock	47° 56′	11° 21′	600	Wiese im Moor	20. März 1924

In der Praxis, in erster Linie in der Forstwirtschaft, besteht ein zunehmendes Interesse für die Maximumtemperaturen im Bereiche der bodennahen Luftschicht. Die pflanzenphysiologische Wirkung extrem hoher Temperaturen ist genugsam bekannt; aber erst die Temperaturmessungen von Münch[1]) zeigten, dass unter Bedingungen, welche für die Forstwirtschaft als normal bezeichnet werden müssen, exzessiv hohe Temperaturen um Mittag aufzutreten pflegen, welche bis zur Tötung des Cambiums junger Kiefernpflänzchen führen.

Weil nun systematische Beobachtungsreihen über die Tagesmaxima in der bodennahen Luftschicht nicht vorhanden sind, verband sich der Wunsch, auch hierin mit unserem Sondernetz der Praxis dienstbar zu sein, mit der Absicht, die Nachteile der „gemischten Aufstellung" zu vermeiden und veranlasste so die Einführung eines neuen Instrumentariums, das noch in den Herbstmonaten 1925 von dem unermüdlichen Beobachter in der Anzinger Sauschütte, Herrn Hans Schmid, ausprobiert wurde und mit dem Beobachtungsbeginne 1926 allgemein zur Anwendung kam. Diese Neueinführung erlaubte zugleich, einige weitere Verbesserungen einzuführen, die sich im Laufe der Zeit als wünschenswert erwiesen hatten. Erstens erhielten die neuen Thermometer eine vergrösserte Teilung zur Erhöhung der Ablesegenauigkeit, zweitens wurden die von den Beobachtern lästig empfundenen und schwer kontrollierbaren häufigen Thermometervergleiche vermieden; endlich konnte der Fehler des Überdestillierens, der bei gewöhnlichen Alkohol-Minimas offenbar unvermeidlich, durch die Zufälligkeit seines Auftretens besonders unangenehm ist und nur von den aufmerksamsten Beobachtern in seinen Anfängen schon entdeckt wird, ganz vermieden werden.

Die neuen Thermometer sind Maximum-Minimum-Thermometer nach der Konstruktion Six. Der verwendete Typ ist von der Firma Gebr. Fritz & H. Lindenlaub (Schmiedefeld in Thüringen) geliefert und ist dadurch gekennzeichnet, dass Maximum- und Minimum-Schenkel in eine einzige Glasröhre mit ovalem Querschnitt eingeschmolzen sind. Die hierdurch erreichte gedrungene Bauart und die Vermeidung der sonst üblichen Befestigungsbretter bezw. Glastafeln macht sie besonders geeignet für die Beobachtung in der bodennahen Luftschicht. Die Thermometer wurden mit ihrem Halter an einem senkrechten Pfahl befestigt und zwar fast wagrecht liegend, wie Fig. 1 für das unterste Thermometer andeutet, um sich der horizontalen Temperaturschichtung über dem Boden anzupassen. Sie blieben ohne jeden künstlichen Strahlungsschutz. Der eigentliche temperaturempfindliche Körper (A) kam bei dieser Befestigungsweise in etwa 30 cm Abstand vom Pfahle, so dass eine Beeinflussung der Temperaturen durch Strahlungswärme des Holzes oder durch den am Pfahl bei Tage aufsteigenden Luftstrom kaum in Frage kommt.

Alle Thermometer erhielten die Celsiusteilung mit neuer Bezifferung, welche die Verwendung negativer Temperaturen vermeidet (s. 2. Jahresbericht S. 3). Diese Einrichtung, die sich bisher wohl bewährte, war bei den Sixthermometern umso notwendiger, als die Teilung an den beiden Skalen (Maximum und Minimum) schon in entgegengesetzter Richtung läuft, also die Ablesung innerhalb ein und derselben Skala vom Nullpunkt aus nach zwei Richtungen hin (+ und —) eine erneute Gelegenheit für fehlerhafte Ablesungen bietet. Solche müssen aber im Betriebe eines Stationsnetzes auf das sorgfältigste vermieden werden. Die Beschriftung jeder der 2 Skalen brauchte dann nicht, wie üblich, teils rot, teils schwarz (+ und —) gemacht werden, sondern Maximum- und Minimum-Skala wurden jedes als ganzes mit einer Farbe beschrieben (Max. rot, Min. schwarz) und dadurch klar unterschieden. Die Beobachtungstabellen zeigten daher, soweit überhaupt feststellbar, ein Mindestmass von Fehlern.

Leider brachte die fast liegende Stellung der Sixthermometer eine merkliche Nullpunktsverschiebung. Die Thermometer haben in A (Fig. 1) ihren eigentlichen temperatur-empfindlichen Körper; das Gefäss A ist ganz mit Alkohol (oder Toluol oder einer anderen Flüssigkeit) gefüllt. Das Gefäss B auf der anderen Seite des sperrenden Quecksilberfadens Q ist nur teilweise gefüllt; der freie Raum dortselbst ist durch Alkoholdampf von einem der in B herrschenden Temperatur entsprechenden Druck gefüllt. In A und B herrscht nicht immer genau gleiche Temperatur. Ist die Temperatur in A etwas höher als in B, so ist der in B vorhandene Dampfdruck für die in A herrschende Temperatur zu niedrig; der in A befindliche Alkohol ist bestrebt, nach B überzutreten. Bei senkrechter Stellung des Thermometers verhindert die 8—10 cm hohe Quecksilbersäule h den Übertritt vollkommen. Ist aber das Thermometer wie in Fig. 1 befestigt, so muss der Alkohol nur einen der Höhe h' entsprechenden Quecksilberdruck überwinden. Deshalb „schlürft" im Laufe der Zeit die Flüssigkeit zwischen Quecksilber und Kapillarwandung von A nach B hinüber, wie übrigens eine Betrachtung des Thermometers bei entsprechender Beleuchtung direkt erkennen lässt.

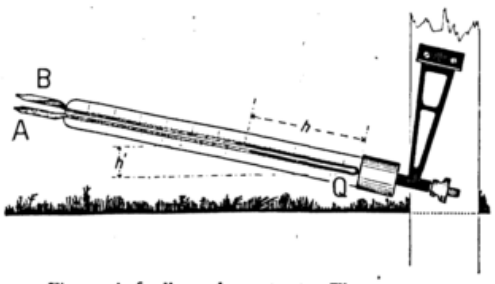

Fig. 1. Aufstellung des untersten Thermometers.

Weil die umgekehrte Bewegung von B nach A nicht möglich ist, zeigt das Thermometer allmählich zu tiefe Temperaturen an; der Quecksilberfaden wandert in der Richtung von B nach A. Auf diese Weise ging der Nullpunkt der Thermometer stetig um rund $^1/_{10}{}^0$ C. im Monat zurück.

Weil dieser Fehler sich erst nachträglich herausstellte, können die nachfolgenden Ergebnisse im absoluten Betrage um wenige Zehntel gefälscht sein. Die relativen Werte, auf denen ja das Hauptgewicht der Untersuchung liegt, sind hierdurch nicht beeinflusst, weil das geschilderte Hinüberschlürfen des Alkohols sehr gleichmässig bei allen Instrumenten erfolgte. Ausserdem wurde die Reihenfolge der Thermometer jedes halbe Monat zyklisch vertauscht.

Die Ablesung erfolgte einmal täglich zu einer dem Beobachter passenden Morgenstunde. Die Augenblickstemperatur wurde hierbei auch abgelesen, um eventuell auftretenden Thermometerfehlern in den Beobachtungstabellen später noch nachgehen zu können.

---

[1]) Münch, Hitzeschäden an Waldpflanzen, Naturwiss. Zeitschr. f. Land- und Forstw. 1914, S. 169.

Die veränderte Beobachtungsmethode beeinflusst auch die Beobachtungsergebnisse. Es gilt daher, durch Kenntnis des systematischen Unterschiedes beider Beobachtungsmethoden die heurigen Beobachtungen (1926) an diejenigen der vergangenen Jahre anzuschliessen. Um dies zu ermöglichen, wurde an der Station München-Bonifaz 1926 nebeneinander mit dem alten und dem neuen Beobachtungsgerät beobachtet.

Nackte Thermometer, wie wir sie von 1926 ab verwendeten, tauschen den Vorteil homogener Aufstellung gegen den Nachteil eines grösseren Strahlungsfehlers ein. Hierbei ist unter Strahlungsfehler derjenige Temperaturwert zu verstehen, um den das nackte Thermometer bei Tage über, bei Nacht unter der wahren Lufttemperatur steht, weil es direkt Wärmestrahlung absorbiert bezw. frei aussendet. Dieser Fehler ist aber bei den verwendeten Sixthermometern sehr gering und fällt für praktische Zwecke wenig ins Gewicht; denn die Pflanzen haben auch ihren Strahlungsfehler, der eine Abweichung der Pflanzentemperatur von der wahren Lufttemperatur im gleichen Sinne wie beim nackten Thermometer bewirkt, den wir allerdings kaum in seiner Grössenordnung kennen.

Bei Nacht liegen die Minimumtemperaturen, für die wir allein Vergleichsreihen haben, an den frei ausstrahlenden Sixthermometern tiefer als am geschützten Alkoholthermometer. Die Differenz: Minimumtemperatur am Alkoholthermometer minus Minimumtemperatur am Sixthermometer = Δt ist also positiv; sie betrug im Mittel der Beobachtungsperiode Mai bis September (151 Tage):

in der Höhe:	1.5 m	1.0 m	0.5 m	0.05 m
Δt	0.51	0.47	0.49	0.34 ° C.

Während die 3 oberen Thermometer annähernd den gleichen Wert von rund einem halben Grad C. aufweisen, ist die Differenz am Boden geringer. Ursache hierfür ist die Vegetation, die in unmittelbarer Umgebung der Station nur 30 cm Höhe erreichte, also nur dem untersten Thermometer einen natürlichen Strahlungsschutz bot, weniger wohl der andere Schutz des Alkoholthermometers am Boden. Δt wechselt ausserordentlich stark mit den Witterungsverhältnissen, im Einzelfalle zwischen -0.5 und $+1.0$ °C., so dass die Reduktion eines Einzelwertes mit grosser Unsicherheit behaftet ist. Die Abhängigkeit der Differenz Δt von der Bewölkung ist folgende:

Nächtliche Bewölkung: (Mittel aus der 7a und 9p = Beobachtung)	0	1—3	4—6	7—9	10
Δt (°C.)	0.434	0.412	0.409	0.448	0.480
Zahl der Fälle	*93*	*63*	*87*	*180*	*180*

Die Reihe zeigt einen Maximalwert bei wolkenlosem und einen zweiten stärkeren bei ganz bedecktem Himmel. Der erste erklärt sich durch die vermehrte Ausstrahlung bei heiterem Himmel, welche nur das Sixthermometer direkt beeinflusst; der zweite aus dem Einfluss von Regen und Feuchtigkeit. Je bewölkter der Himmel, desto wahrscheinlicher bringt die Wetterlage Regenfälle oder es ist die Vegetation noch von vorausgegangenem Regen nass. Die Alkoholthermometer bleiben unter dem Schirm trocken, das Sixthermometer aber wird zum »feuchten Thermometer«. Wir kennen den Zustand des Thermometers zur Zeit des Minimums nicht, wohl aber zur Zeit der nicht lange darnach erfolgenden Morgenbeobachtung. Legen wir diese Aufzeichnungen zugrunde, so hat, wenn die Thermometer trocken waren, Δt den Wert 0.43 (*431* Fälle), wenn sie nass waren, dagegen 0.50 (*172* Fälle), wohl ein Beweis für die Richtigkeit des Gesagten.

2. Vertikales Temperaturgefälle bei Tag und Nacht.

Die heurigen Untersuchungen brachten erstmals Beobachtungsreihen der Tagestemperatur-Maxima. Das vertikale Temperaturgefälle ist in der bodennahen Luftschicht bei Tage erheblich grösser als bei Nacht. Fassen wir zunächst alle Stationen während der ganzen Beobachtungszeit (Mai – Oktober) zusammen, so ergibt sich für die Tagesmaxima ein Temperaturunterschied von 3.4 °, für die Minima ein Unterschied von 1.0 ° C. zwischen 5 und 150 cm über dem Boden. Dieser Wert von 3.4° C., welcher die durchschnittliche mittägliche Temperaturabnahme mit der Höhe unter den im praktischen Leben überall auftretenden Verhältnissen darstellt, überschreitet die Grenze der bei stabiler thermodynamischer Lage noch möglichen Temperaturabnahme um das 235 fache und liefert dadurch wiederum einen Beweis, dass die thermodynamischen Stabilitätsgesetze, welche in der freien Atmosphäre dank der dort gegebenen Beweglichkeit der Luftmassen gelten, für die bodennahe Luftschicht ohne Bedeutung sind.

Das grosse Temperaturgefälle ist bei Tage noch ausschliesslicher auf die dem Boden unmittelbar anliegende Luftschicht beschränkt, als bei Nacht; dies erklärt sich leicht durch die Tatsache, dass die Überhitzung der bodennahen Luftschicht auf erhöhten vertikalen Austausch im Sinne Wilhelm Schmidts [1]) hindrängt, dass aber in der dem Boden unmittelbar anliegenden Luftschicht die mechanische Möglichkeit zur Entwicklung eines erhöhten Austausches am geringsten ist, in besonderem Masse bei den Verhältnissen in unserem Stationsnetz, in welchem die natürliche, alle Luftbewegung hemmende Vegetationsdecke erhalten ist. Daher entfallen $^4/_5$ des oben genannten Wertes des vertikalen Temperaturgefälles von insgesamt 3.4° auf die Luftschicht zwischen 5 und 50 cm, nämlich 2.7°, dagegen auf die Schicht zwischen 50 und 100 cm bezw. 100 und 150 cm nur 0.4 bezw. 0.3°. Bei Nacht dagegen nimmt die Schicht 5—50 cm nur etwas über die Hälfte nämlich 0.6° (genauer: 0.58), des ganzen Gefälles von 1.0° auf.

[1]) Wilhelm Schmidt, Der Massenaustausch in freier Luft und verwandte Erscheinungen. Probleme der kosm. Physik VII. Hamburg 1925.

Je intensiver die Einstrahlung bei Tage ist, je stärker somit die Wärmeabsorption seitens der Boden- bezw. Vegetationsoberfläche ist, desto grösser wird naturgemäss das Temperaturgefälle. Ordnet man die sehr sorgfältigen Nederlinger Beobachtungen nach der Bewölkung, so findet man folgende Zahlen:

Tabelle 2.

Temperaturgefälle um Mittag 150—5 cm. Nederling 1926.

Bewölkung	10	9—7	6—4	3—1	0
Gesamtgefälle 150—5 cm	−3.0	−4.5	−5.6	−5.9	−5.6
Einzelschichten 150—100 cm . .	−0.5	−0.4	−0.7*	−0.6	−0.3
Einzelschichten 100—50 cm . .	+0.1	−0.6	−0.6	−0.7*	−0.5
Einzelschichten 50—5 cm . .	−2.6	−3.5	−4.2	−4.5	−4.8*
Zahl der Tage	*51*	*48*	*26*	*27*	*32*

Betrachten wir zunächst das ganze Temperaturgefälle 5—150 cm. Sobald die Einstrahlung zunimmt, steigt das Gefälle rasch an. Aber schon von mittleren Bewölkungsgraden an scheint sich das Temperaturgefälle einem Grenzwert zu nähern. Betrachten wir diese Tatsache unter dem Gesichtspunkt des Schmidt'schen Austauschbegriffes. Erhöhte Wärmeabsorption seitens der Oberfläche, wie sie mit abnehmender Bewölkung bei Tage stattfindet, kann zweierlei zur Folge haben: entweder eine Zunahme des Temperaturgefälles, soferne die Austauschgrösse A gleich bleibt, oder eine Vergrösserung des Austauschwertes A und damit ein Gleichbleiben des Temperaturgefälles in der bodennahen Luftschicht; im ersten Falle bleibt die Erwärmung in ihrer Wirkung auf die bodennahe Luftschicht beschränkt, im zweiten Falle wird sie durch die Scheinleitung auf die höheren Luftschichten übergeführt.

Die obigen Zahlen deuten nun darauf dahin, dass bei stärker bedecktem Himmel der erste Fall vorliegt, die Austauschgrösse sich also mit abnehmender Bewölkung zunächst wenig verändert; die zunehmende Erwärmung kommt in der raschen Änderung des Temperaturgefälles innerhalb der bodennahen Luftschicht zum Ausdruck.

Nimmt aber die Bewölkung weiter ab, so erzwingt das zunächst zunehmende Temperaturgefälle eine Vergrösserung des Austausches; damit werden die höheren Luftschichten mehr in Mitleidenschaft gezogen und das Temperaturgefälle nimmt in der bodennahen Luftschicht mit weiter abnehmender Bewölkung nicht mehr wesentlich zu.

Betrachten wir nunmehr die 3 einzelnen Luftschichten 5—50, 50—100 und 100—150 cm, so zeigt die unterste Schicht (5 – 50 cm) das Maximum des Gefälles (in der Tabelle 2 mit* bezeichnet) erst am Ende der Reihe d. h. bei heiterstem Himmel; unmittelbar über dem Boden ist nämlich, wie bereits erwähnt, der Spielraum für vertikale Austauschbewegung am geringsten; der Vergrösserung von A sind enge Grenzen gezogen; die erhöhte Erwärmung wirkt sich immer in erster Linie in einer Erhöhung des Temperaturgefälles aus.

Je höher wir aber hinaufgehen (50—100, 100—150 cm), desto leichter stellt sich mit dem vergrösserten Temperaturgefälle erhöhter Austausch ein, der seinerseits wieder das Gefälle verringert und die Erwärmung nach oben schafft. Daher wird das Maximum des Temperaturgefälles in den Reihen der Tab. 2 umso früher erreicht, je höher die betrachtete Luftschicht liegt.

Der Leser der früheren Jahresberichte wird sich hierbei der Betrachtungen über den „Wendepunkt" in der Kurve des nächtlichen Temperaturgefälles in Abhängigkeit von der Bewölkung erinnern[1]) und hier eine Erweiterung der dort gefundenen Gesetzmässigkeiten auf die Verhältnisse bei Tage finden.

Durch das starke Temperaturgefälle bei Tage nimmt die Tagesschwankung der Temperatur mit der Annäherung an den Boden ausserordentlich stark zu. Im extremsten Falle, nämlich bei der Station Anzinger Sauschütte, beträgt die Zunahme von 150 auf 5 cm im Mittel der Monate Mai bis Oktober 6.45 °, im extremsten Monat, dem sonnigen August 1926, 7.92 ° C. Es bedarf kaum der Erwähnung, welch gewaltige Klimaverschlechterung diese Zahlen für die jungen Pflanzen am Boden verdeutlichen. Aber selbst der niedrigste Wert, welcher im geschützten Stadtgarten der Münchner Station angetroffen wurde, ist noch 1.43 ° C, eine für das Vegetationsleben gewiss noch sehr spürbare Grösse.

In der nachfolgenden Tabelle 3 sind die Stationen nach der Grösse des Temperaturgefälles zur Zeit des Mittagsmaximums im Mittel der Monate Mai bis Oktober geordnet. Die Werte für den heuer so heiteren Augustmonat sind beigefügt. Die Verteilung des Temperaturgefälles bei Tag und Nacht auf die einzelnen Schichten (5—50 cm usw.) ist an allen Stationen die gleiche (Durchschnittswerte siehe oben). Die Tab. 3 zeigt nun aber, dass einem hohen Temperaturgefälle bei Tage keineswegs auch ein hohes Temperaturgefälle bei Nacht entsprechen muss. Massgebend hierfür sind allein die örtlichen Verhältnisse.

Greifen wir als Beispiele die zwei gegensätzlichen Stationen Freienried und Badersfeld heraus. Die Freienrieder Beobachtungsstation liegt im Obstgarten; in der Gartenwiese fängt sich die Sonne; Bäume und Häuser verhindern die Luftbewegung; daher bestehen um Mittag starke vertikale Temperaturunterschiede. Bei Nacht dagegen bieten die benachbarten Bäume Strahlungsschutz; die Mauern in der Nähe haben die Tageshitze aufgespeichert und geben dieselbe nachts wieder an die umgebende Luft ab. Die Ausstrahlung und das Temperaturgefälle sind daher äusserst gering. Die Station in Badersfeld liegt auf einer offenen Wiese im weiten Schleissheimer Moor. Im Gras werden auch dort mittags hohe Temperaturen erreicht, wenn auch infolge des besseren Luftaustausches in dem freien Gelände ein niedrigerer Wert als

[1]) Siehe 2. Jahresber. S. 9 und 3. Jahresber. S. 2.

in Freienried. Dagegen ist bei Nacht durch die starke Spitzenausstrahlung der Grasfläche und die beim Moorboden fehlende Wärmezufuhr von unten das Temperaturgefälle der Minima ausserordentlich hoch.

Tabelle 3.

Mittleres Temperaturgefälle 150—5 cm. 1926.

Tagesmaxima		Station	Tagesminima		Zunahme der Tagestemperatur-schwankung
Mittel Mai/Oktober	August		Mittel Mai/Oktober	August	
− 4.62	− 7.08	Ludwigsmoos	1.39	1.59	6.01
− 4.61	− 1.64	Nederling	1.71	2.36	6.32
− 4.60	− 4.52	Hubertus	1.46	1.30	6.06
− 4.39	− 5.74	Anzinger Sauschütte	2.06	2.18	6.45
− 4.35	− 3.36	Freienried	0.13	− 0.62	4.48
− 4.27	− 4.59	Grafrath-Jesenwang	1.99	2.03	6.26
− 4.04	− 5.15	Haspelmoor	1.06	1.51	5.10
− 4.00	− 5.49	Schleissheim	0.82	0.87	4.82
− 3.83	− 4.74	Unterdill	0.68	0.91	4.51
− 3.46	− 3.09	Eichenlohe	0.85	1.02	4.41
− 3.12	− 4.59	Donaumoos	0.88	1.70	4.00
− 3.09	− 1.92	Hofolding	0.64	0.25	3.73
− 3.05	− 2.48	Badersfeld	1.55	1.59	4.60
− 2.36	− 3.20	Grafrath-Bahnhof	0.59	0.93	2.95
− 1.98	− 2.61	Scheyern	0.14	0.08	2.12
− 1.18	− 2.47	Seeburg	0.62	0.68	1.80
− 0.85	− 0.19	München-Bonifaz	0.68	1.14	1.43

3. Die Spät- und Frühfröste 1926.

Das heurige Jahr war charakterisiert durch den schweren Schadenfrost vom 9. auf 10. Mai. Im allgemeinen waren sonst die Fröste nicht erheblich häufiger oder schwerer als im vergangenen Jahre. Einen Überblick über die letzen drei Jahre gibt Figur 2 nach den Beobachtungen in der Anzinger Sauschütte. Die schraffierten Minimumwerte beziehen sich auf die Beobachtungen in 1.5 m Höhe, die ausgefüllten Verlängerungen geben die Frostzunahme in 5 cm über dem Boden gegenüber 1.5 m, so dass die Figur auch die Zunahme der Frosthäufigkeit mit der Annäherung an den Boden erkennen lässt. Zur Erzielung einer strengen Vergleichbarkeit wurde wegen des veränderten Beobachtungsinstrumentariums zu den Minimumtemperaturen des Jahres 1926 eine Korrektur von 0,3° für die Beobachtungen in 5 cm, von 0.5° für diejenigen in 150 cm hinzugefügt. Die Begründung hierfür ist im 1. Abschnitt zu finden.

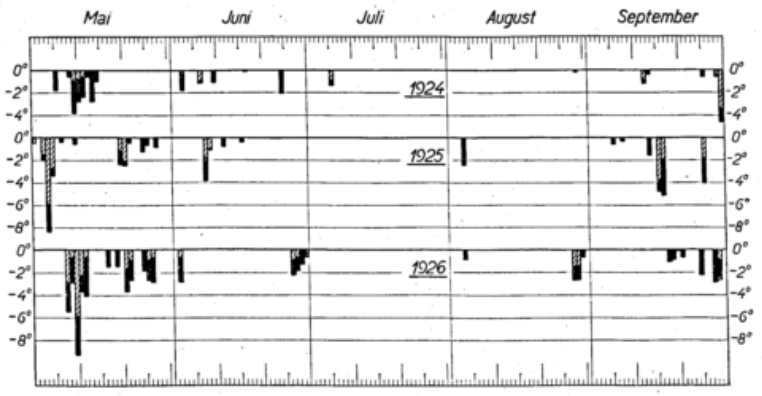

Fig. 2. Spät- und Frühfröste 1924 bis 26 in der Anzinger Sauschütte.

Die Besprechung der Spät- und Frühfröste des heurigen Jahres beginnen wir bei dem ersten Maifrost, welcher im Stationsnetz vom 8. bis 13. Mai Temperaturen unter Null brachte. Dieser Maifrost gehört seiner Entstehung nach nicht zum Normaltyp der „Kälterückfälle im Mai" und bietet besonderes Interesse.

Die hohen Temperaturen der ersten Maitage wurden durch kühlere Witterung abgelöst, als vom 3. Mai ab das polare System zur Herrschaft gelangte. Aus einer um Island gelegenen polaren Antizyklone strömten Kaltluftmassen südwärts auf der Rückseite eines in Zentraleuropa gelegenen Tiefdruckgebietes. Dieses Tiefdruckgebiet war ausserordentlich seicht und gehörte einer von Norwegen über die Ostsee bis zur Adria und den Balkanländern verlaufenden flachen Rinne an. Der Vorstoss der Kaltluftmassen erfolgte daher nicht mit der bei den Kälterückfällen des Mai und überhaupt bei Rückseitenwetterlage üblichen Energie. Was aber der Kaltluft an Stosskraft fehlte, ersetzte sie durch die Dauer ihrer Wirkung: der Zustrom währte ohne nennenswerte Unterbrechung vom 3. bis 9. Mai. Die Winde kamen aus nordwestlichen Richtungen, über dem Kontinente und insbesondere im Bereiche unseres Stationsnetzes bis zu südwestlichen Richtungen abgelenkt. Die Temperaturerniedrigung war soweit fortgeschritten, dass bei zeitweisem Aufklaren am Morgen des 8. Mai die ersten Fröste auftraten, welche noch dem Typus I A[1]) zugeordnet werden können.

Dann erfolgte eine Umbildung der Wetterlage. Überraschend schnell hatte sich eine bei Island am 9. erkennbare Druckstörung zum Sturmfeld entwickelt und damit den Zustrom polarer Luft aus Norden abgeriegelt. Deutschland gewann den Anschluss an das äquatoriale System; es stellte sich heiteres Hochdruckwetter ein.

[1]) Vergl. die Klassifikation im 2. Jahresber. S. 12.

In der Fig. 3 sind die Witterungsbeobachtungen vom Morgen, Mittag und Abend des 3.—12. Mai in der Anzinger Sauschütte skizziert. Bedeckter Himmel und Regen (schraffiert) charakterisiert die zyklonale Wetterlage bis zum Abend des 9. Der heitere Himmel der folgenden Tage brachte bei der schon hochstehenden Sonne die bei Hochdruckwetterlage in dieser Jahreszeit eintretende Hebung des allgemeinen Temperaturniveaus (s. die untere Kurve) und damit die Beendigung der Fröste. Nun aber wurde es zum Verhängnis, dass in unserem Gebiete der Umschwung der Wetterlage gerade auf den Spätnachmittag fiel. Bis zum Mittag des 9. Mai ging noch Regen nieder und um 1 Uhr traten die letzten für das Rückseitenwetter charakteristischen Graupel- und Schneeschauer auf. Dann klarte es auf. Das Hochdruckwetter begann also seine Wirkung mit der nachteiligen erhöhten nächtlichen Abkühlung und sein Vorteil der verstärkten Wärmeeinstrahlung bei Tage kam erst am folgenden Tage zur Wirkung, als der Schadenfrost seine Wirkung getan hatte.

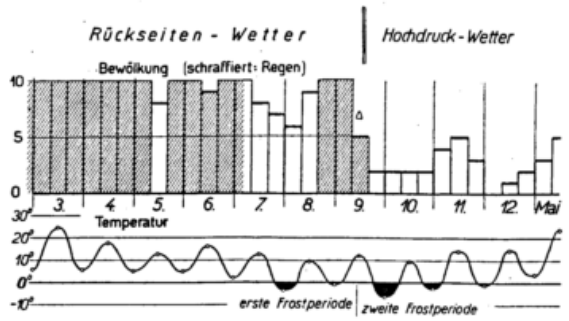

Fig. 3. Zum Schadenfrost vom 10. Mai 1926.

Man kann mit grosser Sicherheit behaupten, dass wir vor diesem einzigen schweren Schadenfrost des heurigen Jahres (9./10.) verschont geblieben wären, würde der Umschwung der Wetterlage auf einen Vormittag gefallen sein. Die erwärmende Tageswirkung des Hochdruckwetters, welche an allen Stationen aus dem Vergleich des 10. und 11. Mai zu rund 5 °C bestimmt werden kann, hätte hingereicht, dass die Vegetation die erste klare Nacht ohne wesentlichen Schaden überdauert hätte. Dieser Maifrost ist daher zugleich ein Beispiel für den grossen Einfluss der Zufälligkeit im Wetter. Es findet die Ansicht von A. Schmauss erneute Bestätigung, dass nicht nur die unvollkommene Erkenntnis der physikalischen Vorgänge in der Athmosphäre die Wettervorhersage so unsicher macht, sondern dass wie in einem labilen System kleine Ursachen zu grossen Wirkungen führen, man also mit Recht von einer „Zufälligkeit" des Wetters sprechen kann und damit von einer Berechnung des Wetters auch als einem fernen Ziele absehen muss.

Schon der Frost vom 7. auf 8. Mai hatte Schaden gebracht, vor allem an den Obstblüten und dem Gemüse. Am 10. sind die Schadenmeldungen allgemein. Er wurde besonders spürbar, weil das Frühjahr sich so zeitig eingestellt hatte. Die Thermometer sind dick bereift. Das Eis muss teilweise vor der Ablesung erst abgeschabt werden, um die Teilungen sichtbar zu machen. Die Fichtentriebe sind getötet und das junge Laub der Buchen und Eichen bis zu 10 m Höhe erfroren (Anzinger Forst). Die Temperaturen am Boden gingen in dieser Nacht bis — 10 °C herab. Sie sind in der Tab. 4 für die einzelnen Stationen aufgeführt.

Unmittelbaren Zustrom polarer Luftmassen aus N und NW, also den typischen Kälterückfall des Mai, erhielt unser Gebiet erst am 16. Mai. Die Jahreszeit war aber schon so weit fortgeschritten, dass trotz nächtlichen Aufklarens vom 16. auf 17. Mai nur an 10 von 17 Stationen noch Frost in 5 cm Höhe eintrat. Die tiefste Temperatur beobachtete Haspelmoor mit — 2.1 °C.

Über die weiteren Fröste innerhalb der Vegetationsperiode finden sich in der beifolgenden Tab. 4 die nötigen Angaben. Es sind alle Tage angeführt, an denen wenigstens an einer Station die Temperatur in 5 cm Höhe unter 0°C ging.

4. Beobachtungen auf den Anzinger Kahlflächen.

Auch im heurigen Jahre wurden die Temperaturbeobachtungen auf der im letzten Bericht beschriebenen Frostfläche des Anzinger Forstes bei München fortgesetzt. Die Beobachtungen geschahen im Juni als dem schadenbringendsten Monat. Leider beeinträchtigte der fast ununterbrochen niedergehende Regen die Versuche so stark, dass hier die Ergebnisse, welche die methodischen Grundlagen für die erweiterte Fortsetzung der Versuche im Jahre 1927 lieferten, nur kurz angedeutet werden können.

Um die Übereinstimmung mit den Stationsnetzbeobachtungen zu wahren, wurden ebenfalls Sixthermometer verwendet. Sie wurden diesmal nicht nur in 5 cm, sondern auch in 1 m Höhe aufgestellt, um den Gegensatz der bodennächsten Luftschichten zu den Verhältnissen in der Höhe besser zu erfassen, in Frostnächten also auch einen Anhalt über die erreichte „Frosthöhe" zu gewinnen. Ferner wurden zur Erfassung des täglichen Temperaturganges am kältesten Punkt Nr. 26 (vgl. Fig. 4 auf S. 8 des 3. Jahresberichtes) zwei Thermographen in 5 und 100 cm Höhe aufgestellt.

Der Beobachtungsbereich wurde endlich ausgedehnt auf die angrenzenden Bestandsränder und eine benachbarte Dickung. Hierfür wurden folgende Punkte ausgewählt:

1. Ein Punkt innerhalb der unmittelbar im Norden an die Frostfläche angrenzenden Fichtendickung, 20 m vom Bestandsrande entfernt,

2. Je ein Punkt am Ost- und Westrande des Fichten-Birken-Jungholzes, das die ausgedehnte Kahlfläche von Nord nach Süd in einer Breite von etwa 60 m unterbricht und

3. je ein Punkt am Süd- und Nordostrande des Fichtenstangenholzes, welches die Kahlfläche im Norden und Südwesten abriegelt.

Es berührt scherzhaft, dass bei diesen »Frost«untersuchungen, bei welchen infolge des anhaltenden Regenwetters der Frost ausblieb, die Temperaturmaxima das grösste Interesse verdienen. Die mikroklimatischen Unterschiede haben uns hinsichtlich der Tagesmaxima die gleiche Überraschung gebracht, wie seinerzeit die nächtlichen Minima. Es seien hier beispielsweise die Temperaturmaxima am 13. Juni 1926 angeführt:

Punkt:	in der Dickung	auf der Kahlfläche	am Ostrand
in 1 m Höhe	20.9	27.1	28.6 °C.
in 5 cm Höhe	18.8	32.7	40.3

An diesem Tage, dessen Vormittag sonnig war, indessen am Nachmittag Gewitter und Hagel auftrat, konnte die Morgensonne am Ostrande zur vollen Wirkung kommen; höchste Temperaturen und starkes Temperaturgefälle charakterisieren die dortigen Beobachtungen. Auch auf der Kahlfläche geht die Temperatur bis 32.7 0 hinauf. In die Fichtendickung aber dringt die Wärme nur durch Luftaustausch mit der anschliessenden Kahlfläche ein; es geht dies aus dem umgekehrt gerichteten Temperaturgefälle hervor: am feuchten Boden der Dickung ist es kälter als zwischen den beasteten Stangen. Analoge Verhältnisse herrschen bei Nacht: in der Dickung ist es am Boden wärmer als in der Höhe, weil die Kaltluft von aussen eindringt.

Recht deutlich treten die Unterschiede zwischen den verschiedenen Punkten in Erscheinung, wenn wir die mittlere Tagestemperaturschwankung (Differenz Tagesmaximum-minimum) ins Auge fassen. Nach dem Gesagten ist erklärlich,

Tabelle 4.

Übersicht der Spät- und Frühfröste 1926.

Frostperiode	Datum	Nächtliches Temperaturminimum in 5 cm über dem Boden																	
		1. In geschützter Lage					2. Moorstationen							3. Forstliche Stationen					
		Scheyern	München-Bonifaz	Freienried	Unterdill	Nederling	Haspelmoor	Schleissheim	Badersfeld	Eichenlohe	Seeburg	Donaumoos	Ludwigsmoos	Grafrath-Bahnhof	Grafrath-Jesenwang	Hofolding	Hubertus	Anzinger Sauschütte
Mai																			
8.—9. Mai (Örtliches Aufklaren bei einem Kaltlufteinbruch, I A)	8.	− 2.1	− 1.0	− 2.2	− 2.0	− 3 0	− 4.7	− 2.4	− 6.0	− 3.1	− 4.2	− 3.4	− 6.1	− 2.0	− 4.5	− 4.1	− 4.8	− 5.8
	9.	.	.	− 0.6	− 1.8	− 2.4	− 1.1	− 1.2	− 2.2	− 2.3	− 5.0	− 1.8	− 1.1	− 1.0	− 1.7	− 3.1	− 3.2	− 3.2
10.—13. Mai (Strahlungsfrost im Hochdruckgebiet nach vorangegangenem Kaltlufteinbruch, II A)	10.	− 3.3	− 2.3	− 4.6	− 4.0	− 5.6	− 7.9	− 5.0	− 9.6	− 5.5	− 7.0	− 5.2	− 7.1	− 3.8	− 6.9	− 7.9	− 8.0	− 9.6
	11.	.	.	− 0.8	− 2.4	− 1.6	− 1.1	− 1.8	− 3.8	[−2.5]	− 2.8	− 0.6	.	− 0.4	− 3.5	− 3.1	− 3.6	− 4.0
	12.	.	.	− 0.2	.	− 0.4	.	− 3.2	− 6.2	− 2.1	− 4.2	− 3.0	− 2.7	.	− 2.1	− 4.1	− 4.2	− 4.4
	13.	.	.	.	.	.	.	.	.	.	.	.	.	.	.	.	− 1.0	.
17.—19. Mai (Vorstoss von Kaltluftmassen auf der Rückseite eines über der Ostsee gelegenen Tiefdruckgebietes, I A)	17.	.	.	.	− 0.1	.	− 2.1	.	− 1.0	− 0.5	− 1.8	?	− 1.9	.	− 1.3	− 1.0	− 2.1	− 1.8
	18.	.	.	.	.	.	− 2.3	.	.	.	.	.	.	.	.	.	.	.
	19.	.	.	.	.	.	.	.	.	.	.	.	.	.	.	.	− 0.3	− 1.8
21.—22. Mai (Strahlungsfrost, II A)	21.	.	.	.	− 1.7	.	− 1.5	− 1.0	− 2.2	− 1.9	− 2.2	− 0.8	− 1.7	.	− 2.1	− 2.0	− 2.1	− 4.0
	22.	.	.	.	− 0.3		− 0.5	.	− 2.0	.	− 1.1	.	− 1.3	.	− 1.1	− 1.0	− 0.3	− 3.0
24.—27. Mai (Strahlungsfrost in mitteleuropäischem Hochdruckgebiet, II A)	24.	.	.	.	.	.	− 1.9	.	.	.	.	.	.	.	.	.	.	.
	25.	.	.	.	.	.	− 1.9	.	.	.	.	.	.	.	− 1.5	.	− 0.1	− 2.2
	26.	.	.	.	.	.	− 1.9	.	− 2 2	.	− 2.0	.	− 0.7	.	− 1.9	− 1.0	− 1.9	− 3.0
	27.	.	.	.	.	.	− 3.3	.	− 2.0	.	− 1.6	.	− 1.7	.	− 1.1	− 0.6	− 1.9	− 3.2
Juni																			
2. Juni (Aufklaren nach einem Kaltluftvorstoss, II B)	2.	.	.	.	.	.	− 1.8	[−0.5]	− 2.3	.	− 1.7	.	− 0.7	.	− 0.1	.	− 1.3	− 3.2
27. Juni—1. Juli (Strahlungsfrost in einem mitteleuropäischen Hochdruckgebiet, II A)	27.	.	.	.	.	.	− 1.6	.	− 0.2	.	− 0.2	.	− 0.1	.	.	.	− 1.3	− 2.8
	28.	.	.	.	.	.	− 1.0	.	.	.	.	.	.	.	.	.	− 0.8	− 2.2
	29.	.	.	.	.	.	.	.	.	.	.	.	.	.	.	.	− 0.2	− 1.6
	30.	.	.	.	.	.	.	.	.	.	− 0.1	.	.	.	.	.	.	− 1.0
Juli	1.	.	.	.	.	.	.	.	.	.	.	.	.	.	− 0.1	.	.	.
August																			
3.—4. August (Strahlungsfrost, II A)	3.	.	.	.	.	.	.	.	.	.	.	.	.	.	.	.	− .	− 0.2
	4.	.	.	.	.	.	.	.	.	.	.	.	.	.	.	.	.	− 1.2
28.—31. August (Strahlungsfrost in einem ausgedehnten mitteleuropäischen Hochdruckgebiet, II A)	28.	.	.	.		− 0.3	− 1.4	− 1.1	− 2.2	.	− 0.3	− 1.8	− 1.1	.	.	− 0.2	− 1.0	− 3.0
	29.	.	.	.	− 0.6	− 0.1	− 1.2	− 1.9	− 3.2	.	− 0.9	− 1.0	− 1.7	.	.	− 0.8	− 0.8	− 3.0
	30.	.	.	.	.	− 0.1	− 0.4	− 1.3	− 2.4	− 2.1	.	− 0.2	− 1.9	.	.	.	.	− 1.0
	31.	.	.	.	.	.	.		− 0.2		.	.	?	.	.	.	.	.
September																			
14.—15. September (Aufklaren nach einem starken Kaltlufteinbruch aus Norden, I A)	14.	.	.	.	.	.	.	.	− 1.0	.	.	.	.	.	.	.	.	.
	15.	.	.	.	.	.	.	.	− 0.8	.	.	.	− 0.1	.	.	.	.	− 0.2
18.—22. September (Strahlungsfrost in einem mitteleuropäischen Hochdruckgebiet, II A)	18.	.	.	.	.	.	.	.	− 2.0	.	.	− 0.6	− 1.3	.	− 0.2	.	− 0.1	− 1.4
	19.	.	.	.	.	.	.	.	− 2.8		.	.	− 1.1	.	.	.	.	− 1.2
	20.	.	.	.	.	.	.	.	− 1.8		.	.	.	.	.	.	.	− 0.4
	21.	.	.	.	.	.	.	.	.	.	.	.	.	.	.	.	.	− 1.0
	22.	.	.	.	.	.	.	.	− 0.2		.		.	.	.	.	.	.
25.—30. September (Mehrere Staffeln Kaltluftmassen mit eingelagerten Zwischenhochs, welche durch heiteres Wetter die Fröste [28. 29.] verstärken, I A, II B)	25.	.	.	.	.	.	.	− 1.2	− 3.8	− 0.7	.	− 1.2	− 1.3	.	.	.	− 0.3	− 2.6
	26.	.	.	.	.	.	.	.	.	.	.		− 0.1	.	.	.	.	.
	27.	.	.	.	.	.	.	.	.	− 2.5	− 1.8		.	.	.	.	.	.
	28.	.	.	.	.	− 1.0	− 2.7	− 2.0	− 3.4	− 0.7	− 1.2	− 1.2	− 2.1	.	− 2,0	.	− 2.1	− 3.2
	29.	.	.	.	− 0.7	− 2.2	− 4.1	− 2,0	− 3.4	− 0.5	.	− 3.4	− 4.1	.	− 1.0	− 0.2	− 2.3	− 3.0
	30.	.	.	.	.	.	.	.	.	.	.	.	.	.	− 3.0	.	.	.

dass in der Dickung die Tagesschwankung gegen den Boden hin abnimmt und zwar im Mittel einiger relativ heiterer Tage um 1.6° (die folgenden Zahlen haben nur relativen Wert). Die Temperaturen bewegen sich also im Laufe des Tages zwischen den Stangen in einem grösseren Bereiche, als am beschatteten kühlen Boden. Auch am Nordrande, der ausser der unmittelbaren Sonnenwirkung steht, ist noch Abnahme vorhanden (0.2 °, also fast Isothermie). An allen anderen Punkten nimmt wie normal die Temperaturschwankung gegen den Boden hin zu. Diese Zunahme ist am geringsten am Südrande (1.8 °), welcher voll unter der Sonnenwirkung steht und bei welchem der Bestandsrand selbst durch die Wärmeabsorption auch die höheren Luftschichten unmittelbar erhitzt. Dann folgt die Kahlfläche mit 6.0 °. Am stärksten ist die Zunahme am Ost- und Westrande, die beide nur zeitweise der Sonne ausgesetzt sind, und beträgt hier 9.2 und 10.0 °, ein überaus hoher Wert; er ist vorwiegend durch die Zunahme des Temperaturmaximums um Mittag, weniger durch die Abnahme des Temperaturminimums bei Nacht verursacht.

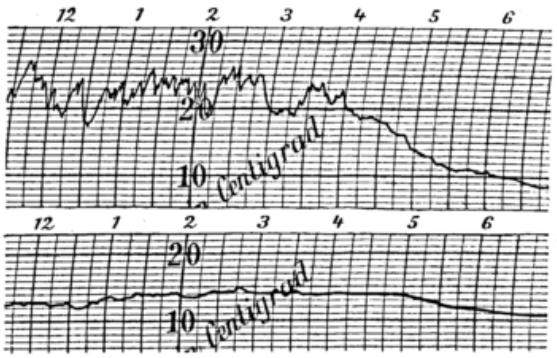

Fig. 4. Registrierung der Temperatur auf Kahlfläche (1 m Höhe) und in Fichtendickung (5 cm). 11. Juni 1926.

Die Fig. 4 gibt noch zwei Originalregistrierungen von dem gleichen Tage, dem 11. Juni 1926, wieder, welche geeignet sind, die grossen mikroklimatischen Unterschiede zu zeigen. Die Korrekturen der 2 Thermographen, welche die Kurven schrieben, sind nur geringfügig, so dass auch die absoluten Werte vergleichbar sind. Die ausserordentlich hohen Temperaturen selbst in 1 m Höhe auf der Kahlfläche — in 5 cm Höhe noch extremer; die Registrierung ist aber zu unscharf für die Reproduktion — sind grossenteils eine Wirkung der unmittelbaren Sonnenstrahlen-Absorption durch den Thermographen, eine Wirkung, der aber auch die Pflanzen in gleichem Sinne unterworfen sind. Die Temperatur steigt auf der Kahlfläche bis 27 ° (in 5 cm Höhe bis 33) und erleidet Schwankungen bis maximal 10° C (am Boden bis 15°). In der Dickung dagegen ist der Temperaturverlauf ruhig und erreicht kaum 15° C.

Wir hoffen, im kommenden Jahre weiteres hierüber berichten zu können.

Temperaturanstiege und -Maxima bei Nacht als regelmässige Erscheinungen des Temperaturverlaufes

Von
Anton Huber

Inhaltsverzeichnis

	Seite
I. Das Auftreten nächtlicher Temperaturanstiege.	
A. Einleitung	1
B. Die nächtlichen Maxima im Allgemeinen	2—5
1. Mögliche Ursachen für das Auftreten der Nachtmaxima	2
2. Die Nachtmaxima, insbesondere von Bergstationen und ihre Erklärung	2
3. Nachtmaxima im Flachland	2
4. Beiträge zum Beweise der Realität der nächtlichen Maxima	3
5. Weiteres Tatsachenmaterial und Erklärungsversuche	4
C. Nächtliche Temperaturanstiege im Zugspitzgebiet	5—6
II. Der tägliche Temperaturgang und seine harmonische Zerlegung.	
A. Der mittlere Temperaturverlauf an bestimmten Tagen	6—14
1. Heitere Tage	7
2. Trübe Tage	7
3. Tage mit Luftdruckmaximum	7
4. Tage mit Luftdruckminimum	12
5. Der Temperaturgradient Hohenpeissenberg-Zugspitze	12
6. Tage mit Nebelmeer und Temperaturumkehr	13
B. Die harmonische Analyse	14—18
1. Heitere Tage	15
2. Trübe Tage	16
3. Tage mit Luftdruckmaximum	17
4. Tage mit Luftdruckminimum	17
5. Tage mit Nebelmeer und Temperaturumkehr	18
III. Die Häufigkeit positiver Temperaturveränderungen von Stunde zu Stunde.	
A. Allgemeines	19—27
1. Methode der Untersuchung	19
a) Erklärung des Begriffes „Tendenz"kurve	19
b) Der mittlere wahrscheinliche Fehler	21
c) Ein instrumenteller Fehler	21
2. Möglichkeiten der Beeinflussung der „Tendenz"kurve	22
a) Durch die Hüttenaufstellung	22
α) Mangelhafter Strahlungsschutz	22
β) Beeinflussung durch die Masse der Hütte	23
γ) Schlechter Temperaturausgleich	23
b) Durch meteorologische Ursachen	23
α) Die Luftunruhe	23
β) Einfluss des Windes	23
γ) Einfluss der Bewölkung (Kondensation, Nebel)	24
δ) Verminderte Ausstrahlung	25
ε) Gegenstrahlung	25
ζ) Staubgehalt	26
B. Spezieller Teil: Diskussion	27—45
1. Der Einfluss verschiedener Klimate	27
a) Hochgebirgsklima (Talorte und Gipfelstationen)	27
b) Kontinentalklima	30
α) Gemässigte Zone	30
β) Tropenzone	31
c) Maritimes Klima	33
α) Gemässigte Zone	33
β) Passatregion	33
γ) Tropenzone	35
d) Polarklima	35
α) Arktis	35
β) Antarktis	37
2. Der Einfluss des Wetters	38
a) Der Verlauf der Häufigkeitskurve an bestimmten Tagen auf der Zugspitze und an ihren Basisorten	38
α) Trübe Tage	38
β) Tage mit Temperaturumkehr	39
γ) Gang der barometrischen Mitteltemperatur	40
b) Der Einfluss der Wetterlage	40
c) Vorstösse aus der Äquatorial„front"	42
3. Die Häufigkeits(Tendenz)kurve und ihre Beziehung zu den Luftdruckwellen	43
IV. Zusammenfassung	45

I. Das Auftreten nächtlicher Temperaturanstiege.

A. Einleitung.

Der Kurvenzug der Lufttemperatur, wie er von einem Thermographen aufgezeichnet wird, ist äusserst selten völlig glatt. Die Einstrahlung bei Tag und die Ausstrahlung bei Nacht gehen zwar im grossen und ganzen genommen gleichmässig und stetig vor sich; dem idealen Temperaturverlauf sind aber viele Unregelmässigkeiten aufgesetzt. Es möge vorerst ganz abgesehen werden von den grossen Störungen, ja Umkehrungen, welche das „Wetter" mit sich bringt, es soll nur hingewiesen werden auf die vormittags an einem klaren Strahlungstage auftretenden turbulenten Durchmischungsvorgänge bei der eingetretenen Konvektion, welche dem Kurvenverlauf eine ausgesprochene „Aktivität" verleihen.

Wir wollen aber unser Augenmerk vorzugsweise dem nächtlichen Temperaturgang schenken und hiebei das scheinbar Ungesetzmässige, die Anstiege der Temperatur betrachten.

B. Die nächtlichen Maxima im Allgemeinen.

1. Mögliche Ursachen für das Auftreten der Nachtmaxima.

Temperaturanstiege sind zur Nachtzeit auf verschiedene Ursachen zurückführbar.

Es können folgende Gründe vorhanden sein:

1. Adiabatische Erwärmung bei absteigender Bewegung der Luft (allgemeine Föhnlage, lokaler Föhn eines Tales, anticyklonaler Föhn).
2. Wärmezufuhr durch Strahlung, Leitung oder Kondensation.
3. horizontaler Wärmetransport (Westwetter im Winter, sciroccale Ostwinde, Warmsektor einer Depression, Aequatorialfrontvorstoss).
4. Behinderung der nächtlichen Ausstrahlung durch aufkommende Bewölkung (Nebel bei Ausstrahlung, Bewölkungsschirm einer Depression).
5. örtliches Abfliessen oder „Auflecken“[1]) kalter Luft, hernach Erwärmung nach Nr. 1.
6. Wellenbewegungen in der Atmosphäre (allgemeine Schwingungen, Wellen an Grenzflächen).

Es kann sich hiebei um langandauernde Wärmeperioden handeln, die nachts am fühlbarsten auftreten und wie wir sehen werden mit grosser Regelmässigkeit zu bestimmten Nachtstunden einzusetzen pflegen, es kann sich aber auch bloss um kleinere nur einige Grad betragende Anstiege von kurzer Dauer handeln, die dem normalen Abfall der Temperaturkurve aufgesetzt sind und ihn so auch nachts durch eine bestimmte „Aktivität“ charakterisieren. Dieses Auftreten sekundärer Maxima ist eine besondere Merkwürdigkeit des Temperaturganges bei Nacht, vorzugsweise im Winter und da besonders im Gebirge.

2. Die Nachtmaxima, insbesondere von Bergstationen und ihre Erklärung.

Den direkten Anlass zu vorliegender Arbeit gaben uns die Nachtmaxima auf der Zugspitze.

Das Auftreten eines Temperaturmaximums bei Nacht auf einem Alpengipfel überhaupt hat als erster Maurer[2]) nachgewiesen; als Erklärung für diese Erscheinung führt er an: „Wenn in den Nachtstunden die Täler erkalten, wenn der Bergwind zu wehen beginnt, dann muss sich an den Gipfeln ein absteigender Luftstrom entwickeln. Es ist das umgekehrte Phänomen, wie es sich am Tage abspielt und in den Nebelhauben der Berggipfel sichtbar hervortritt. Sobald der Zustand der Ruhe der Luft in den des Absteigens übergeht, wird sich als natürliche Folge auch eine höhere Temperatur einstellen; wenn sich aber der Zustand des Absteigens vollkommen etabliert hat, wenn sich bereits jene Temperaturabnahme mit der Höhe eingestellt hat, die dem Absteigen der Luft entspricht, dann fehlt natürlich jeder weitere Grund zur Erwärmung und es zeigt sich nur noch die regelmässige Abkühlung der Luft, die ja auch bei der absteigenden Bewegung längs der ganzen Luftsäule infolge der Ausstrahlung eintreten muss. Diesem Umtande ist es wohl zuzuschreiben, dass sich nur kurze Zeit ein Ansteigen der Temperaturkurve zeigt, das schon zwischen 10 hp m und 12 hp m wieder in das regelmässige Absteigen übergeht.“

Trabert[3]) fügt dieser Erklärung Maurers noch an, dass diese Erscheinung auf dem Sonnblick gar nicht oder doch nur unmerklich eintritt und dass das wohl dem Umstande zuzuschreiben sei, dass bei dem beständigen Luftaustausch auf dem Gipfel selbst ein ruhiges Absinken der Luft überhaupt nicht zu Stande kommen könne. Dieser Einwand kann aber nicht stichhaltig sein, denn die Windgeschwindigkeit ist auf den Berggipfeln nachts meistens ein Maximum. Wir werden später sehen, dass überhaupt keine Abhängigkeit vom Wetter besteht. Für den Obir ist ebenfalls nächtlicher Temperaturanstieg festzustellen.

A. Defant[4]) schreibt:

„Der Herbst zeigt in der Nacht einen unregelmässigen Wärmegang mit mehreren sekundären Maxima und Minima zwischen 11 p und 6 a. Diese Unregelmässigkeit ist, wie bereits v. Hann hervorhebt, durch eigentümliche Anomalien des Wärmeganges im Oktober und November verursacht“ und an anderer Stelle[5]) heisst es: „. . . . der tägliche Temperaturgang ist im Herbst, namentlich in den Monaten Oktober und November während der Nachtzeit auch noch in den Mittelwerten gestört, derart, dass das Minimum der Temperatur knapp vor Mitternacht erreicht wird, worauf die Temperatur noch um 0.2° bis 0,3° bis 4a ansteigt, um nach einem kurzen Fall gegen 7a, vor Sonnenaufgang, ein zweites aber sekundäres Minimum zu erreichen.“

Als Ursache wird die an heiteren Tagen als Wärmequelle auftretende absteigende Bewegung der Luft angegeben, die auf Bergen als Folge der Ausstrahlung der Berghänge einsetzt.

3. Nachtmaxima im Flachland.

In der oben angeführten Arbeit Maurer's ist darauf hingewiesen worden, dass früher schon Hellmann[6]) dieses Maximum für Norddeutschland nachgewiesen habe. Das Auftreten des Nachtmaximums im Flachland war aber mit

---

[1]) Die hiedurch bedingten äusserst turbulenten Mischungsvorgänge wollen wir hier nicht in Betracht ziehen. Vergl. H. v. Ficker: Vertikale Temperaturgradienten im Gebirge. Tätigkeitsbericht des Preuss Meteor. Inst. 1925, Seite 45.

[2]) Vierteljahrsschrift der Züricher naturforschenden Gesellschaft Bd. 31 (1886) Seite 76.

[3]) Der tägliche Gang der Temperatur und des Sonnenscheins auf dem Sonnblickgipfel. LIX Bd. der Denkschriften der Kais. Akademie der Wissenschaften Wien 1892, Seite 23.

[4]) Der tägliche Gang der Temperatur auf dem Obirgipfel (Hannwarte 2141 m). Met. Zeitschrift 1912 Seite 264.

[5]) Seite 266.

[6]) G. Hellmann: Die tägliche Veränderung der Temperatur der Atmosphäre in Norddeutschland. Berlin 1875.

obiger Erklärung nicht in Einklang zu bringen. Wild[1]) glaubte nicht an die Realität des Maximums und sah in ihm lediglich ein Ergebnis des Interpolationsverfahrens.

Hellmann[2]) weist diesem und einem anderen Einwand (Karstens) gegenüber daraufhin, dass die Ansicht, die nächtlichen Maxima seien nur Anomalien, die als Rechenergebnis der Interpolation für Nachtbeobachtungen entstehen, irrig sei. Er kann beweisen, dass dieses sekundäre Maximum der Temperatur „in der Natur wirklich vorhanden ist und auf die Monate November, Dezember, Januar und Februar beschränkt bleibt und im Mittel aller Fälle auf 2h Nachmitternacht fällt!" Die Gründe für dieses Maximum, das selbst im Mittel noch zu erkennen ist, glaubt Hellmann jedoch in der Himmelsbedeckung und in Luftströmungen finden zu können, von denen die erstere die Ausstrahlung verhindert, die zweiten advektive Erwärmung veranlassen. Auch sei indirekt die Wirkung des nachts in der Höhe wehenden Seewindes zu bemerken.

Dass besonders der Winter die Jahreszeit ist, in der diese Erscheinung am häufigsten und zugleich markantesten auftritt, wird in folgender Weise erklärt:

„Im Winter, wo die tägliche Temperaturschwankung am kleinsten ist, kann es sich am ehesten ereignen, dass sekundäre Einflüsse, welche neben der Ausstrahlung auf die Gestalt der nächtlichen Temperaturkurve bestimmend wirken", durch häufiges Eintreten ein solches Übergewicht erlangen, dass sie selbst im Mittel vieler Jahre noch sichtbar sind.

Es liessen sich noch viele Beispiele aus der Literatur über die Existenz dieses Nachtmaximums und Erklärungsversuche anführen; obige Zitate mögen jedoch vorerst genügen; bei Erklärungsversuchen werden wir später noch auf verschiedene einschlägige Arbeiten zurückkommen müssen.

4. Beiträge zum Beweise der Realität der nächtlichen Maxima.

Dass diese nachts auftretenden Maxima wirklich reell sind und nicht nur ein blosses Rechenergebnis darstellen, ergibt sich aus allen Betrachtungen des nächtlichen Temperaturganges. Im Mittelwert treten sie oft deutlich hervor, manchmal sind sie nur schwach angedeutet, ja sie äussern sich im Mittel auch nur durch die Verminderung des Temperaturabfalles. Dass sie reell sind, hätte sich unter anderem auch auf rein statistischem Wege ergeben, z. B. aus der Arbeit Mazelles besonders an der Stelle, an der für Triest für einzelne Temperaturgruppen Wahrscheinlichkeitswerte (in ‰) nach einzelnen Monaten und Stunden geordnet, mitgeteilt sind; hier seien nur die für Dezember berechneten Werte zitiert.[3])

Temperatur zwischen	6p	8p	10p	12p	2a	4a	6a	8a
7.0 bis 7.9	**122**	**109**	96	88	77	78	69	75
6.0 „ 6.9	111	104	98	88	84	91	81	88
5.0 „ 5.9	95	99	106	108	108	99	98	88
4.0 „ 4.9	81	97	**107**	**116**	**129**	103	**104**	94
3.0 „ 3.9	64	85	94	98	110	**106**	**104**	**106**
2.0 „ 2.9	48	61	78	86	80	98	95	97

Man erkennt aus der Verteilung der Wahrscheinlichkeitswerte ganz deutlich das Abwandern der Maxima von höheren Temperaturstufen zu niedrigeren. Von 10p bis 2a aber liegen die Maxima immer in der gleichen Stufe, zwischen 4.9 und 4.0°. Hier muss also irgendeine Störung vorhanden sein. Auffällig ist auch die Tatsache, dass zwischen 3° und 5° die grösste Häufigkeitszahl um 2a liegt. Es lässt sich also auch rein statistisch die Existenz der Störung nachweisen.

Auch aus einer anderen Arbeit desselben Verfassers[4]) kann auf das allgemeine Auftreten der nächtlichen Störung geschlossen werden: Der tägliche Gang der Veränderlichkeit der Temperatur weist eine Doppelwelle auf; die Maxima liegen nachts (morgens) und vormittags (mittags), die Minima morgens (vormittags) und nachmittags (abends). Die hier eingeklammerten Werte beziehen sich auf Frühjahr und Sommer.

Das hier in der Veränderlichkeit auftretende Maximum kann nur durch das Vorhandensein einer eindrucksvollen Störung erklärt werden.

Auf Grund der Erfahrungstatsachen, die wir an unseren Gebirgsstationen machten, sind wir zu der Ansicht gekommen, dass die Zeit zwischen 12 mn und 2 a, besonders aber 2 a selbst, für das Auftreten nächtlicher Maxima die geeignetste Zeit ist und dass um diese Zeit die Maxima am ausgesprochensten sind. Diese Behauptung finden wir auch sonst in der Literatur bestätigt.

Es handelt sich, wie wir schon hervorheben konnten, nicht um eine im Gebirge lokal auftretende Erscheinung, sondern sie kommt auch im Flachland vor, ja wir können behaupten, dass wir es mit einer auf der ganzen Erde vorkommenden regelmässigen Störung des nächtlichen Temperaturganges zu tun haben.

Nur ein Beispiel aus anderen Klimaten sei noch zur Erhärtung angeführt: Aus dem Polargebiet ($\varphi = 77°$ N, $\lambda = 104°$ E „Maud" 10.–13. Dez. 1918) wird ein schönes Diagramm veröffentlicht[5]), das den charakteristischen Einsatz der Erwärmung zur frühen Morgenstunde zeigt. Dort sehen wir bei der unter hohem Druck einsetzenden (und beim Auftreten der Depression fortdauernden) Erwärmung eine besonders starke Erhebung um 2—3 a der Temperaturkurve aufgesetzt.

---

[1]) „Die Temperaturverhältnisse des russischen Reiches" im Suppl. Band zum Repertorium für Meteorologie. St. Petersburg 1881.

[2]) l. c. Seite 16—18.

[3]) E. Mazelle: Beziehungen zwischen den mittleren und wahrscheinlichsten Werten der Lufttemperatur. Denkschriften der Wiener Akademie 1895 Band LXII Seite 31.

[4]) E. Mazelle: Beitrag zur Bestimmung des täglichen Ganges der Veränderlichkeit der Lufttemperatur. Sitzungsberichte der Wiener Akademie 1895 Band CIV Seite 1021.

[5]) H. K. Sverdrup: Maud expeditionens videnskabelige Arbeide 1918—19, SA. aus „Naturen" Bergen 1922 Seite 31.

5. Weiteres Tatsachenmaterial und Erklärungsversuche.

Wir haben zwar eben die Behauptung aufgestellt, dass es sich um eine allgemeine Erscheinung handelt. Wir müssen aber trotzdem auf verschiedene Erklärungsversuche, die eine rein lokale Temperaturstörung in den Nachtmaximas sehen, eingehen, um ev. Einwände entkräften zu können.

Wir haben schon einige Entstehungsursachen oben kennen gelernt: Das Absinken der höheren Luftschichten (Maurer, Trabert) und die Behinderung der nächtlichen Ausstrahlung infolge auftretender Bewölkung (Hellmann).

Im Einzelfall kann dies richtig sein, im allgemeinen aber ist die Behauptung nicht richtig. Die Veränderung des Bewölkungsgrades[1]) während der Nacht zeigt im täglichen Gange so wenig Veränderung, dass sie nicht als Ursache der Temperatursteigerung um Mitternacht gelten kann.

Über das Vorkommen der Nachtmaxima auf dem Obirgipfel sagt Defant[2]) folgendes:

„Es ist bereits früher bemerkt worden, dass im Herbst, namentlich in den Monaten Oktober und November, der tägliche Temperaturgang während der Nachtzeit auch noch in den Mittelwerten gestört erscheint, derart, dass das Minimum der Temperatur knapp vor Mitternacht erreicht wird, worauf die Temperatur noch um 0.2 bis 0.3° bis 4 a (im Mittel! Anmerk.) ansteigt, um nach einem kurzen Fall gegen 7 a, vor Sonnenaufgang ein zweites, aber sekundäres Minimum zu erreichen." Und an einer anderen Stelle heisst es dort: „Diese Unregelmässigkeit — das Auftreten der sekundären Maxima — ist wie bereits v. Hann hervorhebt, durch eigentümliche nächtliche Anomalien des Wärmeganges im Oktober und November verursacht."

Und J. v. Hann schreibt in der Originalarbeit über den Obir[3]) nach Erklärung des Vorganges der sich bildenden Temperaturumkehr:

„Es scheint mir nun nicht unwahrscheinlich zu sein, dass in diesem nächtlichen Herabsinken sich erwärmender Luft aus der Höhe die Ursache der relativ höheren Temperatur des Obirgipfels in den Nachtstunden des Winterhalbjahres liegen könnte."

Dem Ausspruche Hann's können wir nichts entgegenhalten. Wie sind aber die auch bei der relativ hohen Temperatur auftretenden sekundären Maxima zu erklären? Darüber haben wir noch keinen Aufschluss erhalten.

Aber nicht nur auf Berggipfeln, wo das Absinken der Luftmassen als Ursache angeführt werden kann, oder in Tälern, wo die kalte Luft abfliesst oder „aufgeleckt" wird, treten die Nachtmaxima auf, sondern auch in vollkommen abgeschlossenen Lagen. Z. B. zeigt der Thermograph im Garten der hiesigen forstlichen Versuchsanstalt diese nächtlichen Erhebungen sehr deutlich an, obwohl hier bei der Behinderung durch grosse ringsum stehende Häusermassen sicher keine Luft abfliessen kann oder Luftaustausch möglich wäre. Es sei diese Tatsache besonders deswegen ausdrücklich erwähnt, weil man vielfach nur im Wind die Ursache der nächtlichen Maxima suchen zu müssen glaubt.

Die Art und Weise, wie sich die nächtlichen Temperaturanstiege hier äussern, ist kurz folgende: Sowohl an wolkenlosen als auch an trüben Tagen ist dem regelmässigen Temperaturabfall in der Zeit von 10p bis 5a, mit grösster Häufigkeit gegen 2a ein kleines etwa 1—2° betragendes Maximum aufgesetzt, das etwa zwei Stunden lang die Temperatur über den normalen Gang erhebt.

Nochmal sei hervorgehoben, dass hier der freie Luftaustausch sehr behindert ist.

Interessante Beiträge zum Auftreten der eigenartigen Störungen während der Nacht bringt eine Abhandlung von K. Knoch,[4]) in der er die in Potsdam auftretenden Temperatursteigerungen bespricht, nachdem er schon an anderer Stelle[5]) darauf hingewiesen hatte. Aus diesen Arbeiten sei folgendes zitiert:

Windwechsel ist nicht die Ursache des raschen Temperaturwechsels. Sein Auftreten ist an die Existenz eines Hochdruckgebietes gebunden; in sämtlichen Fällen war Inversion vorhanden. An der Grenzfläche der alleruntersten Bodeninversionen treten Schwankungen der Luftmassen auf; eine wärmere Oberströmung geht einer kommenden Depression voraus. Am Schlusse der Abhandlung bemerkt Knoch:

„Die eben angeführten Erklärungsversuche können in Frage kommen, sie brauchen aber nicht für alle Fälle zutreffend zu sein. Der Verfasser muss selbst leider eingestehen, dass er wenigstens für die Sommertypen die letzte Ursache nicht mit Sicherheit anzugeben vermag."

Bei diesen eben angeführten Fällen aber ist das Auftreten der sekundären Nachtmaxima an das Bestehen anticyklonaler Wetterlage mit der für diese typischen Erscheinung der Temperaturumkehr bzw. Bodeninversion verbunden. Auf diese Weise ist jedoch das Auftreten der Nachtmaxima bei schlechtem Wetter oder im Sommer oder an Talorten nicht zu erklären. Wir haben es eben, wie schon einmal gesagt, mit einer allgemeinen Störung des nächtlichen Temperaturganges zu tun.

Wir müssen aber trotz dieser Feststellung noch weiteres Tatsachenmaterial und Erklärungen anführen, um auf die Abweichungen von unserer Ansicht a priori hinweisen zu können.

---

[1]) J. Liznar: Über den täglichen Gang der Bewölkung. Meteor. Z. 1885 Seite 241.

[2]) A. Defant: Der tägliche Gang der Temperatur auf dem Obirgipfel. Meteor. Z. 1912 Seite 263.

[3]) J. Hann: Der tägliche Gang der Temperatur auf dem Obirgipfel (2140 m) und einige Folgerungen aus demselben. Sitzungsberichte der Wiener Akademie 1893, Bd. CII Seite 734.

[4]) K. Knoch: Lebhafte Schwankungen der Temperatur an der Grenzfläche der untersten Bodeninversionen. Tätigkeitsbericht des K. Preuss. Meteor. Institutes 1909 Seite 113.

[5]) K. Knoch: Ein Beitrag zur Kenntnis der Temperatur- und Feuchtigkeitsverhältnisse in verschiedener Höhe über dem Erdboden. Abhandlungen der K. Preuss. Met. Inst. Bd. III. No. 2 Seite 23

Eine der wichtigsten einschlägigen Arbeiten stammt von E. Barkow[1]); er schreibt:

„Zunächst sei hervorgehoben, dass der Temperaturverlauf niemals ganz gleichmässig ist, sondern immer kurzdauernde Schwankungen stattfinden. Die Grösse der Schwankungen dagegen wechselt auch in kürzeren Zeiten sehr stark. Gelegentlich beträgt die grösste Amplitude der Schwankungen stundenlang immer wenige hundertstel Grad. In anderen Zeiten sind sie recht beträchtlich und können wohl gelegentlich im Stundenmittel einen ganzen Grad erreichen. Die bisher beobachtete absolut grösste Änderung war etwa 1 1/2 Grad in vier bis fünf Sekunden. Bezeichnender Weise fällt dieser Temperatursprung, der nur unter vielen anderen ähnlich grossen der grösste ist, auf die Nachtstunden von 1 bis 2 Uhr, wo irgend welche Temperaturerhöhung durch Strahlung gänzlich ausgeschlossen ist".

Wenn es sich auch hier um etwas anderes handelt als um das, was wir besprechen wollen, so ist doch auffällig, dass gerade zwischen 1 und 2a auch Barkow bei der Untersuchung der Mikrostruktur des Windes, wie wir sagen können, die grösten Ausschläge fand. Andererseits müssen wir aber auch dazu bemerken, dass die Beeinflussung der Temperatur durch den Winddruck, also schliesslich durch Turbulenzbewegungen bei unseren nächtlichen Temperatursteigerungen nicht als Ursache in Betracht kommen kann, da es sich hier um stündliche Veränderungen, dorthingegen um sekundliche Schwankungen handelt. Wir sehen das Fehlen der Abhängigkeit vom Winde ja ganz deutlich beim Vergleich zwischen dem Temperaturgang auf einem Berg und dem im Tale. An beiden Punkten sind die Nachtmaxima gleichzeitig etwa um 2a, obwohl die Periode der Windgeschwindigkeit gleichzeitig im Tale ein Minimum, auf dem Berg ein Maximum aufweist.

C. Nächtliche Temperaturanstiege im Zugspitzgebiet.

Die — wie wir behaupten allgemeine — Erscheinung der nächtlichen Maxima zeigt sich naturgemäss auch an den im Zugspitzgebiet liegenden Wetterwarten mehr oder minder deutlich.

In Betracht gezogen wurden ausser der Hochstation Zugspitze (2962.2 m) selbst, ihre Basisorte Hohenpeissenberg (994.1 m), Partenkirchen (716.8 m) und Mittenwald (915.7 m).

Jeder dieser Orte hat eine individuelle topographische Lage:

Die Zugspitze, eine fast 3000 m erreichende Gipfellage mit einer relativen Höhe von rund 2250 m.

Der Hohenpeissenberg, ein dem Alpenkamm vorgelagerter aus der Hochebene isoliert aufragender Bergrücken von ca 450 m relativer Höhe.

Partenkirchen ist ausgesprochene Tallage, es ist in einem weiten Talkessel gelegen, der nach Norden durch das Loisachtal entwässert.

Mittenwald ist ebenfalls eine ausgesprochene Hochgebirgstallage, jedoch wesentlich anderer Art wie Partenkirchen. Für Mittenwald ist massgebend der von S nach N gerichtete Lauf des Isartales, das hier zwischen Wetterstein und Karwendel durchbricht.

Für die Entstehung der nächtlichen Temperaturanstiege sind an diesen vier Stellen jeweils verschiedene Ursachen besonders ausschlaggebend (vergl. Seite 2).

Für die Zugspitze kommen in Betracht . . . Nr. 1,
„ Hohenpeissenberg . . . . . „ 1, 3, 5 und besonders 6,
„ Partenkirchen . . . . . „ 1, 3, 5,
„ Mittenwald . . . . . besonders Nr. 1.

Es ist ganz auffällig, dass trotz der an den verschiedenen Stellen besonders gelagerten Verhältnisse auch hier, wie eine genaue Auszählung ergab, die Mitternacht nahen Stunden, insbesondere die Zeit 2 a bevorzugt war. Es müssen offenbar allgemeine Ursachen in der Atmosphäre vorhanden sein, welche die lokalen Erscheinungen auslösen.

An anderer Stelle[2]) haben wir darauf hingewiesen, dass „diese unvermittelte, rasche Temperatursteigerung in Mittenwald für die Mitternacht nahen Stunden typisch ist". Hier in Mittenwald haben wir es mit einem typischen Föhntal zu tun. Aber nicht nur auf allgemeinen Föhn spricht Mittenwald ausgezeichnet an, sondern sehr oft stellt sich lokaler Föhn dort ein; oft ist es auch nichts anderes als das Abfliessen kalter Luft, was wir mit diesem Ausdrucke bezeichnen. Die nächtlichen Temperaturerhöhungen in Mittenwald sind wegen ihrer Häufigkeit und Stärke für diesen Ort[2]) zu einem wichtigen Klimafaktor geworden.

Charakteristisch sind auch die Verhältnisse auf dem Hohenpeissenberg[3]), der im Winter (und im Sommer!) in die bodennahe Inversion ragt oder an der Grenzfläche der Kaltluft liegt.

Partenkirchen, als eine ziemlich abgeschlossene Tallage, spricht viel seltener auf die Nachtmaxima an als andere Orte.

Endlich die Zugspitze, die an allen Schwingungen der Atmosphäre teil hat, spricht auch auf die Nachtmaxima kräftig an.

Die auftretenden Maxima im nächtlichen Temperaturgang weisen verschiedene Formen auf. Wir müssen uns die Einschränkung auferlegen, nur eine kurze Beschreibung zu geben und müssen auf die Wiedergabe von Bildern, die an anderer Stelle[2]) schon geschehen ist, verzichten.

Die Maxima weisen verschiedene Formen auf: Unvermittelte, mehrere Grad starke Anstiege, die sich 2 –3 Stunden halten; ein andermal ein wellenartiger, „sägenartiger" Verlauf der Temperaturkurve an der Grenzfläche zweier Schichten,

---

[1]) E. Barkow: Über die thermische Struktur des Windes, Met. Zeitschrift 1915, Seite 104.
[2]) A. Huber: Temperaturunterschiede zwischen Partenkirchen und dem Föhnorte Mittenwald. Deutsches Met. Jahrbuch Bayern 1920 Seite A 9 u. ff.
[3]) A. Huber: Die Änderung der Temperatur mit der Höhe im Bayerischen Alpengebiet. Deutsches Meteor. Jahrbuch Bayern 1917 Anhang C.

oder ein starker Temperaturanstieg setzt ein, der aber anhält; oft finden sich nur ganz kleine Aufsätze von $^1/_2$—2 Grad Mächtigkeit auf dem Abfall der Temperaturkurve. Soweit es sich um föhnartige Einschläge handelt, haben wir ja immer das inverse Kurvenbild der relativen Feuchtigkeit; oft aber lässt beim Temperaturanstieg die Feuchtigkeit nichts erkennen.

Besonders eindrucksvoll sind die Nachtmaxima und Anstiege in heiteren Nächten; sie kommen aber auch in trüben Nächten ebenfalls vor. Was aber wieder betont werden muss, ist die Tatsache, dass bestimmte Stunden zur Nachtzeit besonders bevorzugt sind und dass der Einfluss des Wetters gering ist.

Wenn nun wirklich bestimmte Stunden hauptsächlich für den Eintritt der Maxima bevorzugt sind, so muss sich dies auch noch im Mittelwert äussern. Wenn auch der Mittelbildung immer das Odium des Verwischens der charakteristischen Eigenschaften anhaftet, so haben wir kein anderes Hilfsmittel, der Sache zunächst näher zu kommen.

Es muss sich aus den Mittelwerten Wellen ableiten lassen, die uns Aufschluss über das Auftreten dieser nächtlichen Maxima geben.

Wenn auch über die halbtägige Welle der Temperatur und auch über die dritteltägige Welle mehrere Arbeiten und Erklärungsversuche vorliegen[1]), die wir hier nur den Namen nach anführen wollen, so ist es doch wichtig hierauf an dieser Stelle einzugehen, da für die Bergobservatorien diese Frage noch nicht als erledigt gelten kann.

Lediglich auf die Arbeit von Reger müssen wir hier näher eingehen. Bereits an anderer Stelle[2]) hatten wir Gelegenheit hierauf hinzuweisen, da uns das 2a Maximum nicht genügend begründet schien. Aus der Reger'schen Arbeit wollen wir nur die wichtigsten Ergebnisse zitieren:

„Innerhalb kleinerer Schichten tritt im Laufe eines Tages eine doppelte Schwankung in der Gradientgrösse ein.

Die tägliche Erwärmung der Atmosphäre soweit sie überwiegend durch Konvektion vom Boden aus erfolgt, reicht im allgemeinen nicht mehr als 1000 m hoch.

Nicht nur Wolkenoberflächen, sondern auch Inversionsschichten geben in der freien Atmoshäre Anlass zu einer stärker ausgeprägten einfachen täglichen Temperaturschwankung. Im Jahresdurchschnitt beginnt der einfache tägliche Temperaturgang in 2000 m Höhe zu verschwinden. Der Einfluss der einfachen täglichen Temperaturwelle auf den Gesamttemperaturgang wird mit zunehmender Höhe immer geringer, bis sich letzterer schliesslich als Doppelwelle darstellt.

Die nächtliche Erwärmung der Atmosphäre ist eine natürliche Folge der Wärmeabsorption bei Tage und der Wärmeausstrahlung bei Nacht und steht im engsten Zusammenhange mit dem nächtlichen Druckminimum."

Ob wir alle oben angeführten Punkte restlos anerkennen, sei späterer Diskussion vorbehalten.

Es ist eine Notwendigkeit auf die Temperaturwellen auf den Alpengipfeln ebenso intensiv einzugehen, wie es Reger für die freie Atmosphäre über Lindenberg tat, um zu sehen, ob hier die Verhältnisse andere sind wie dort. Ein Vorteil erwächst uns noch aus der Materie selbst: An den Bergobservatorien sind alle Stundenwerte gleich häufig vertreten. Reger hatte für 2a nur 7 Aufstiege aus 2000 m Höhe, während er für 9 oder 10a 60, für 3p fast 70 Aufstiege zur Verfügung hatte. Wir dürfen annehmen, dass diese ungleiche Verteilung eine gewisse Unsicherheit in die Arbeit bringt, die wir nach unserem langjährigen Material nicht in Kauf nehmen mussten.

Wir wollen nun im nächsten Abschnitt den täglichen Temperaturgang von Hohenpeissenberg, Zugspitze, Säntis, und Sonnblick im Mittelverlauf untersuchen, hernach den Kurvengang harmonisch analysieren, um auf diese Weise Anschluss an die oben angeführten Abhandlungen von J. Reger und H. Hergesell, welche die Verhältnisse in der freien Atmosphäre besprechen, zu gewinnen. Im übernächsten Teil soll dann der tägliche Temperaturgang, hauptsächlich der bei Nacht, auf besondere Art untersucht werden.

II. Der tägliche Temperaturgang und seine harmonische Zerlegung.

A. Der mittlere Temperaturverlauf an bestimmten Tagen.

Ehe wir auf den speziellen Teil, den nächtlichen Temperaturgang eingehen, ist es nötig den ganzen Temperaturverlauf zu besprechen.

Es wurde vermieden, auf Allbekanntes hinzuweisen, daher wurde auch von einer allgemeinen Zusammenfassung[3]) abgesehen und nur besondere Tage zur Untersuchung herangezogen. Zuerst wurden untersucht die heiteren und trüben Tage der Beobachtungsreihe 1911—15, wobei unter ersteren Tage verstanden wurde, an denen das Tagesmittel der

[1]) Angot. Annales du Bureau central 1890—94.
K. Goodmann. Ueber den täglichen Gang der Temperatur und Feuchtigkeit in Pawlowsk an heiteren und trüben Tagen. St. Petersburg 1891.
Bigelow. Studies of the diurnal periods in the lower strata of the atmosphere. Monthley Weather Review. Febr. March 1905 (vergl. auch Annals Astr. Obs. Harvard College LVIII 1. Seite 27.)
Clayton. The diurnal and annual periods up to 4 km at Blue Hill. Annals Harvard College LVIII. 1904.
Wundt. Die tägliche Schwankung der Temperatur in der freien Atmosphäre. Meteor. Z. 1908 Seite 337 u. 1909 Seite 84.
Blair. Free air data at Mount Weather Bulletin of Mt Weather 1912 Vol. 4 Seite 334.
K. Wegener. Ueber den Anteil der direkten Strahlung an der Temperaturperiode. Meteor. Z. 1912 Seite 130.
H. Hergesell. Der tägliche Gang der Temperatur in der freien Atmosphäre über Lindenberg. Arbeiten des Preuss. aeron. Obs. bei Lindenberg. XIV. Bd. 1922.
Braak. Kon. Magn. en Meteor. Observat. te Batavia. Verhandelingen Nr. 4 1916 Seite XXXIX.
J. Reger. Der tägliche Temperaturgang in der freien Atmosphäre und doppelte Luftdruckschwankung (Arbeiten des K. Preuss. aeronautischen Observatoriums bei Lindenberg 1912).

[2]) A. Huber. Das Klima der Zugspitze. Deutsch. Meteor. Jahrb. Bayern 1913 Seite L 55.

[3]) Ueber den allgemeinen Temperaturverlauf siehe A. Huber, Klima der Zugspitze. Deutsch. Meteor. Jahrbuch Bayern 1913 Seite L 49—55 usw. und: Die Änderung der Temperatur mit der Höhe im Bayerischen Alpengebiete ebendort 1917 Seite C 18—19.

Bewölkung unter $^2/_{10}$ der vollen Bedeckung blieb, während als letztere nur Tage genommen wurden, deren Bewölkungsmittel $^{10}/_{10}$ war. Hieran schliessen sich dann die Tage mit Luftdruckmaximum und -Minimum an, für deren Auswahl jeweils der höchste bezw. tiefste Monatswert massgebend war. Um den jahreszeitlichen Einfluss der Erwärmung zum Ausdruck zu bringen, wurde die Unterabteilung in die Jahreszeiten beibehalten. Wir beschränkten uns hierbei auf die Bergstationen: Als Basis gilt der Hohenpeissenberg (994.1 m) als Hochstationen folgen Säntis (2500.0 m), die Zugspitze (2962.2 m) und der hohe Sonnblick (3106.0m). Von der Zugspitze folgt noch eine besondere Untersuchung über den Temperaturverlauf bei Nebelmeer, wobei der Temperaturverlauf für sechs verschiedene Seehöhen der Nebelmeere (700, 1000, 1500, 2000, 2500 und 2800 m) gesondert untersucht wurde. Hieran anschliessend folgen die Tage mit Temperaturumkehr, für die auch die barometrische Mitteltemperatur analysiert wurde.

Die Temperaturregistrierungen der oben angeführten typischen Tage wurden vom unperiodischen Gange befreit in der Weise, dass nach Art des Vorgehens Lamonts[1]), der die störende Änderung als progressiv fortschreitend annahm, eine von Anfang bis Ende des Tages sich gleichmässig verteilende Korrektion angewandt wurde. Wir wichen hiervon insofern ab als wir die Korrektion nicht um Mitternacht beginnen und enden liessen, sondern die Zeit des Sonnenunterganges des Vortages und des Nachtages, rund 6p, als Ausgangspunkte wählten um, die Temperaturwerte um Mitternacht nicht durch eine zu grosse Korrektion zu belasten und um nicht gerade diese für die Untersuchung des nächtlichen Temperaturganges wichtige Zeit unsicher zu machen. (Siehe Tabellen S. 8 bis 11.)

Wir wollen zunächst den allgemeinen Temperaturgang besprechen.

1. Heitere Tage.

Das Maximum der Temperatur tritt je nach der Jahreszeit zwischen 1^h p und 5^h p auf, das Minimum zwischen 4^h a und 7^h a. Im Tagesverlauf ist nichts aussergewöhnliches zu erwähnen; Frühjahr, Sommer und Herbst lassen auch im nächtlichen Temperaturgang im Mittel keine Sonderheiten erkennen.

Der nächtliche Temperaturverlauf im Winter hingegen lässt schwächere Abfälle, meist aber auch deutlich sekundäre Maxima erkennen; so z. B. finden wir sie besonders bei

Hohenpeissenberg . . .	um	4 a,
Säntis	„	3 a,
Zugspitze	„	1 a,
Sonnblick	„	12 p, 1 a.

Wenn auch zugegeben werden muss, dass im Mittel der heiteren Tage (im Winter 82) der absolute Wert etwas gedrückt wird, so ist doch die Regelmässigkeit der Erscheinung so deutlich, dass das Maximum nachts immer auftritt. Wenn auch nicht durch relative Erhebung, so äussert es sich, wie in anderen Jahreszeiten, besonders im Herbst wenigstens durch Bremsung des Temperaturabfalls.

2. Trübe Tage.

Die Tagesmaxima liegen meist um 1p oder 2p, die Eintrittszeiten der Minima sind unregelmässig, meist fallen sie in die Morgenstunden 4 und 5 Uhr. In Einzelfällen liegen sie auch um 6p oder 10 – 11p.

Auch hier, bei den trüben Tagen, wo man mit grossen aperiodischen Störungen im Temperaturgang auch nach Eliminierung des für trübe Tage typischen Ganges zu rechnen hat, tritt an einzelnen Bergstationen im Winter ein Nachtmaximum auf, das allerdings manchmal nur sehr schwach ist. Würde die Ausgleichung der Kurve nach der Lamont'schen Methode von 12 mn bis 12 mn erfolgt sein, so würde man unbedingt diese schwachen Maxima als Resultat der Korrektion betrachten müssen. In dem Falle unserer weitergehenden Ausgleichung fällt jedoch der Einwand als nicht stichhaltig weg.

Maxima haben im Winter:

Hohenpeissenberg um	9p
Säntis	10p
Zugspitze	11p

Auf dem Sonnblick, der vielfach Abweichungen vom Temperaturgang der Berge am Nordrande der Alpenkette zeigt, ist zur obigen Zeit an trüben Wintertagen kein sekundäres Maximum festzustellen.

3. Tage mit Luftdruckmaximum.

Nach der Untersuchung des Temperaturganges an heiteren und trüben Tagen, die gewissermassen die infolge der Einstrahlung bedingten Temperaturextreme vertreten, erwies sich noch als lohnend auf die Tage mit extrem hohen und extrem niederen Luftdruck also auf die dynamisch extremen Tage einzugehen. Ausgewählt wurden die Tage mit dem jeweiligen Monatsmaximum und -Minimum in der Zeit von 1911—15.

Es ist auch hier der aperiodische Gang der Temperatur in derselben Weise wie im Vorhergehenden eliminiert.

Das Tagesmaximum liegt meist um 2 bis 3p, das Minimum in der Zeit von $3-6^h$ a.

Hier treten während der Nacht im Winter ebenfalls deutliche Temperaturmaxima auf, so am

Hohenpeissenberg um	4a
Zugspitze	8p und 10p
Sonnblick	12 mn

[1]) Lamont, Annalen der Münchener Sternwarte, Supplementband VI 1868.

	1ª	2ª	3ª	4ª	5ª	6ª	7ª	8ª	9ª	10ª
Heitere Tage.										
Hohenpeissenberg.										
Winter (74 Tage)	-1.36	-1.54	-1.46	-1.37	-1.53	-1.65	-1.80	-1.71	-1.50	-1.15
Frühjahr (58 Tage)	4.85	4.68	4.45	4.23	4.06	4.17	4.44	4.99	5.86	6.58
Sommer (81 Tage)	13.52	13.37	13.18	13.00	13.05	13.64	14.40	14.48	15.10	15.85
Herbst (69 Tage)	5.81	5.69	5.63	5.48	5.37	5.28	5.32	5.80	6.46	7.06
Säntis.										
Winter (82 Tage)	-8.09	-8.13	-8.07	-8.12	-8.14	-8.23	-8.21	-8.10	-7.81	-7.41
Frühjahr (34 Tage)	-6.38	-6.34	-6.55	-6.58	-6.56	-6.21	-5.68	-5.43	-5.22	-5.10
Sommer (17 Tage)	4.08	4.09	3.88	3.70	3.79	4.36	5.07	5.21	5.61	5 91
Herbst (71 Tage)	-0.66	-0.67	-0.70	-0.72	-0.67	-0.68	-0.45	-0.19	0.25	0.66
Zugspitze.										
Winter (80 Tage)	-10.17	-10.18	-10.29	-10.35	-10.44	-10.46	-10.46	-10.15	-9.95	-9.76
Frühjahr (43 Tage)	-9.65	-9.78	-9.97	-10.16	-10.34	-10.21	-10.02	-9.43	-9.45	-9.26
Sommer (27 Tage)	1.56	1.39	1.22	1.16	1.26	1.74	2.11	2.32	2.44	2.43
Herbst (69 Tage)	-4.77	-4.83	-4.84	-4.83	-4.80	-4.90	-4.83	-4.42	-4.24	-3.86
Sonnblick.										
Winter (78 Tage)	-12.43	-12.48	-12.53	-12.53	-12.56	-12.59	-12.40	-12.13	-11.87	-11.75
Frühjahr (30 Tage)	-11.46	-11.58	-11.73	-11.88	-11.94	-11.51	-10.85	-10.79	-10.50	-10.38
Sommer (21 Tage)	-0.45	-0.51	-0.58	-0.84	-0.84	-0.54	-0.10	0.01	0.14	0.22
Herbst (57 Tage)	-6.07	-6.19	-6.19	-6.21	-6.25	-6.10	-5.98	-5.51	-5.32	-5.33
Trübe Tage.										
Hohenpeissenberg.										
Winter (126 Tage)	-2.58	-2.57	-2.54	-2.53	-2.49	-2.63	-2.69	-2.60	-2.48	-2.27
Frühjahr (101 Tage)	3.00	3.00	2.86	2.78	2.75	2.82	2.79	3.09	3.80	3.92
Sommer (74 Tage)	10.21	10.08	10.07	10.08	9.93	10.04	10.28	10.43	10.92	11.60
Herbst (108 Tage)	3.80	3.73	3.62	3.53	3.53	3.53	3.48	3.53	3.77	4.13
Säntis.										
Winter (76 Tage)	-8.91	-8.93	-8.90	-8.90	-8.89	-8.90	-8.97	-8.94	-8.83	-8.75
Frühjahr (125 Tage)	-6.25	-6.24	-6.18	-6.25	-6.22	-6.17	-6.01	-5.84	-5.58	-5.23
Sommer (120 Tage)	0.34	0.27	0.24	0.19	0.12	0.20	0.40	0.53	0.85	1.04
Herbst (85 Tage)	-4.92	-5.02	-5.03	-4.99	-4.97	-5.01	-4.94	-4.82	-4.63	-4.42
Zugspitze.										
Winter (79 Tage)	-11.90	-11.87	-11.77	-11.80	-11.77	-11.79	-11.77	-11.65	-11.66	-11.59
Frühjahr (130 Tage)	-8.03	-8.08	-8.17	-8.28	-8.30	-8.29	-7.97	-7.78	-7.58	-7.31
Sommer (145 Tage)	-1.97	-2.07	-2.14	-2.20	-2.19	-2.06	-1.88	-1.52	-1.36	-1.15
Herbst (86 Tage)	-6 98	-7.01	-7.04	-7.15	-7.25	-7.20	-7.10	-6.85	-6.81	-6.59
Sonn blick.										
Winter (104 Tage)	-13.28	-13.27	-13.25	-13.22	-13.20	-13.19	-13.14	-13.11	-12.98	-12.84
Frühjahr (175 Tage)	-9.24	-9.28	-9.39	-9.40	-9.41	-9.38	-9.22	-9.22	-8.73	-8.41
Sommer (147 Tage)	-2.20	-2.30	-2.36	-2.41	-2.41	-2.31	-2.15	-1.96	-1.63	-1.39
Herbst (127 Tage)	-7.34	-7.36	-7.36	-7.39	-7.42	-7.39	-7.30	-7.21	-7.02	-6.79

11ᵃ	12ᵐ	1ᵖ	2ᵖ	3ᵖ	4ᵖ	5ᵖ	6ᵖ	7ᵖ	8ᵖ	9ᵖ	10ᵖ	11ᵖ	12mn
Heitere Tage.													
Hohenpeissenberg.													
-0.49	-0.18	0.23	**0.52**	0.40	-0.05	-0.30	-0.63	-0.79	-0.84	-0.87	-0.91	-1.11	-1.17
7.51	8.30	9.08	9.61	**9.71**	9.49	9.00	8.22	7.19	6.45	5.96	5.65	5.43	5.29
16.74	17.43	18.08	18.52	**18.64**	18.62	18.34	17.82	16.76	15.73	15.08	14.47	14.07	13.82
7.70	8.34	8.91	**9.29**	9.02	8.69	8.12	7.43	6.84	6.48	6.23	6.13	5.85	5.79
Säntis.													
-7.39	-7.22	**-7.06**	-7.19	-7.33	-7.50	-7.67	-7.76	-7.87	-7.90	-7.92	-7.96	-7.99	-8.06
-4.84	-4.49	-4.22	**-4.19**	-4.34	-4.42	-4.60	-4.90	-5.23	-5.49	-5.78	-5.96	-6.02	-6.05
6.02	6.34	7.05	**7.11**	7.09	7.03	6.83	6.52	6.04	5.24	4.70	4.39	4.02	4.00
0.84	1.10	**1.25**	1.22	1.10	0.82	0.55	0.18	-0.16	-0.29	-0.46	-0.53	-0.57	**-0.65**
Zugspitze.													
-9.56	-9.32	**-9.09**	**-9.09**	-9.27	-9.48	-9.68	-9.90	-9.96	-9.95	-9.98	-10.10	-10.12	-10.22
-8.69	-8.44	-8.17	-7.81	-7.75	-7.60	**-7.55**	-7.95	-8.32	-8.70	-8.87	-9.03	-9.28	-9.49
2.71	2.88	3.38	3.64	3.88	3.92	**4.00**	3.60	2.91	2.39	1.93	1.92	1.67	1.62
-3.57	-3.16	-3.08	-2.75	-2.69	**-2.64**	-3.03	-3.44	-3.81	-4.06	-4.10	-4.21	-4.43	-4.62
Sonnblick.													
-11.63	-11.48	-11.40	**-11.37**	-11.40	-11.27	-11.39	-11.48	-12.06	-12.15	-12.22	-12.32	-12.39	-12.43
-10.39	-10.22	-9.95	-9.63	-9.46	-9.27	**-8.82**	-9.76	-10.16	-10.47	-10.72	-10.98	-11.23	-11.33
0.21	0.49	0.87	1.13	**1.31**	1.24	1.21	**1.32**	0.99	0 56	0.25	-0.01	-0.14	-0.29
-5.23	-5.12	-5.00	-4.80	-4.64	**-4.58**	-4.77	-5.06	-5.37	-5.53	-5.62	-5.79	-5.90	-6.00
Trübe Tage.													
Hohenpeissenberg.													
-1.98	-1.74	**-1.41**	-1.51	-1.68	-1.91	-2.05	-2.22	-2.30	-2.31	**-2.29**	-2.37	-2.36	-2.51
4.32	4.60	4.97	**5.20**	5.17	4.99	4.84	4.35	3.89	3.67	3.43	3.39	3.22	3.08
12.03	12.38	12.82	**13.17**	13.16	13.01	12.68	12.39	11.65	11.21	10.52	10.29	10.28	10.28
4.34	4.66	4.92	**4 99**	4.90	4.77	4.63	4.47	4.47	4.25	4.16	4.03	3.90	3.77
Säntis.													
-8.74	-8.74	**-8.62**	-8.78	-9.03	-9 19	-9.25	-9.26	-9.20	-9.04	-9.03	**-8.94**	-9.00	-8.98
-5.06	-4.84	**-4.56**	-4.61	-4.77	-5.02	-5.18	-5.39	-5.60	-5.74	-5.96	-6.00	-6.10	-6.16
1.22	1.48	1.71	1.71	**1.76**	1.74	1.64	1.52	1.15	0.87	0.65	0.58	0.49	0.41
-4.36	-4.23	**-4.05**	-4.11	-4.22	-4.38	-4.44	-4.51	-4.59	-4.64	-4.73	-4.76	-4.81	-4.97
Zugspitze.													
-11.50	-11.56	-11.45	**-11.34**	-11.48	-11.69	-11.87	-11.94	-12.05	-12.09	-12.07	-12.07	**-11.89**	-11.91
-6.98	-6.60	-6.40	**-6.30**	-6.32	-6.51	-6.72	-6.99	-7.18	-7.37	-7.67	-7.72	-7.87	-7.97
-0.86	-0.61	-0.37	**-0.19**	**-0.19**	-0.36	-0.47	-0.81	-1.06	-1.31	-1.52	-1.69	-1.77	-1.93
-6.39	-6.27	-6.11	**-6.03**	-6.14	-6.21	-6.39	-6.52	-6.68	-6.81	-6.83	-6.86	-6.85	-6.96
Sonnblick.													
-12.67	-12.53	**-12.48**	-12.52	-12.70	-12.87	-13.12	-13.33	-13.31	-13.32	-13.28	**-13.34**	**-13.34**	-13.33
-8.03	-7.75	-7.59	**-7.53**	-7.65	-8.09	-8.07	-8.37	-8.69	-8.86	-8.96	-9.06	-9.13	-9.21
-1.08	-0.83	-0.64	**-0.53**	-0.56	-0.74	-0.88	-1.09	-1.35	-1.54	-1.70	-1.86	-2.00	-2.14
-6.57	-6.39	-6.19	**-6.18**	-6.42	-6.56	-6.76	-6.90	-7.07	-7.15	-7.25	-7.26	-7.33	-7.36

Tage mit Barometermaximum (je 15 Tage).

	1ª	2	3	4	5	6	7	8	9	10
Hohenpeissenberg.										
Winter	−0.71	−0.90	−0.79	**−0.70**	−0.71	−0.81	−0.96	−0.93	−0.69	−0.43
Frühjahr	4.89	4.63	4.46	4.28	4.10	4.14	4.24	4.66	5.40	5.90
Sommer	11.50	11.28	10.97	10.90	10.86	10.75	10.29	11.77	12.64	13.16
Herbst	4.99	4.83	4.65	4.66	4.81	4.98	4.84	5.05	5.54	6.01
Säntis.										
Winter	−5.31	−5.50	−5.54	−5.56	−5.48	−5.60	**−5.42**	−5.57	−5.09	−4.48
Frühjahr	−1.77	−1.70	−1.63	−1.78	−1.79	−1.51	−1.31	−1.05	−0.76	−0.62
Sommer	5.12	4.99	4.92	4.86	4.89	5.36	5.98	6.29	6.56	6.88
Herbst	0.70	0.75	0.72	0.86	0.99	1.19	1.67	1.87	2.10	2.39
Zugspitze.										
Winter	−8.04	−8.02	−8.29	−8.44	−8.50	−8.87	−8.86	−8.48	−8.11	−7.82
Frühjahr	−4.17	−4.31	−4.31	−4.49	−4.62	−4.49	−4.21	−3.87	−3.80	−3.61
Sommer	2.12	1.96	1.99	1.83	1.96	2.31	2.68	3.16	3.26	3.60
Herbst	−2.54	−2.57	−2.69	−2.67	−2.59	−2.45	−2.41	−2.04	−2.00	−1.69
Sonnblick.										
Winter	−9.48	−9.64	−9.57	−9.65	−9.84	−9.93	−9.82	−9.87	−9.73	−9.44
Frühjahr	−5.11	−5.06	−5.21	−5.19	−5.20	−4.87	−4.58	−4.42	−4.13	−3.89
Sommer	0.74	0.71	0.65	0.55	0.62	1.11	1.74	2.10	2.42	2.61
Herbst	−3.16	−3.23	−3.27	−3.32	−3.28	−3.25	−3.21	−2.90	−2.58	−2.49

Tage mit Barometerminimum (je 15 Tage).

Hohenpeissenberg.										
Winter	1.20	1.46	**1.65**	1.60	1.31	0.92	0.82	0.93	0.92	1.16
Frühjahr	3.09	**3.23**	3.19	3.05	3.18	3.15	3.49	3.84	4.68	5.07
Sommer	10.84	10.77	10.86	10.85	10.88	11.24	12.01	12.05	12.57	12.87
Herbst	6.09	6.15	6.02	5.84	6.06	6.16	6.14	6.29	6.58	6.50
Säntis.										
Winter	−9.99	−9.87	**−9.85**	−9.88	−10.26	−10.33	−10.31	−10.16	−9.98	−9.75
Frühjahr	−6.98	−7.03	−7.01	−6.71	−6.52	−6.39	−6.22	−5.86	−5.52	−5.16
Sommer	0.09	−0.06	−0.03	0.01	0.03	0.15	0.48	0.74	1.08	1.44
Herbst	−4.51	−4.59	−4.74	−4.48	−4.46	−4.47	−4.20	−4.14	−4.13	−3.86
Zugspitze.										
Winter	−12.42	−12.42	**−12.35**	−12.53	−12.63	−12.76	−12.83	−12.67	−12.77	−12.74
Frühjahr	**−9.85**	**−9.85**	−9.92	−10.11	−10.39	−10.66	−10.53	−10.23	−10.00	−9.63
Sommer	−2.29	−2.50	−2.65	−2.58	−2.76	−2.50	−2.24	−2.02	−1.87	−1.57
Herbst	−7.34	**−7.31**	−7.38	−7.43	−7.41	−7.30	−7.03	−6.72	−6.54	−6.21
Sonnblick.										
Winter	−14.24	−14.19	**−14.14**	−14.33	−14.37	−14.45	−14.65	−14.62	−14.29	−14.17
Frühjahr	−11.82	−11.99	−11.98	−11.94	−11.94	−11.84	−11.56	−11.28	−10.93	−10.87
Sommer	−3.75	−3.93	−3.99	−4.05	−4.10	−3.95	−3.64	−3.35	−3.16	−2.82
Herbst	−7.90	−7.83	−7.71	−7.65	−7.65	−7.60	−7.58	−7.44	−7.26	−7.09

11	12m	1p	2	3	4	5	6	7	8	9	10	11	12mn

Tage mit Barometermaximum (je 15 Tage).

Hohenpeissenberg.

0.24	0.59	0.79	**1.33**	1.21	0.81	0.49	0.26	0.33	0.25	0.00	-0.17	-0.53	-0.70
6.60	7.20	7.91	8.45	**8.62**	8.53	8.30	7.78	7.00	6.37	5.89	5.47	5.29	5.06
13.81	14.47	15.14	**15.38**	15.37	15.22	14.99	14.47	13.92	13.20	12.73	12.30	11.88	11.77
6.31	6.83	7.31	**7.54**	7.34	7.02	6.67	6.33	5.97	5.85	5.77	5.52	5.29	5.17

Säntis.

-4.42	-4.22	-4.00	-3.95	**-3.93**	-4.03	-4.25	-4.64	-4.61	-4.72	-4.89	-4.95	-4.97	-5.10
-0.38	-0.24	0.20	0.14	**0.22**	0.18	-0.08	-0.37	-0.83	-1.11	-1.44	-1.56	-1.72	-1.75
7.00	7.40	7.79	**7.94**	7.90	7.90	7.47	7.17	6.71	6.23	5.86	5.48	5.35	5.25
2.43	2.51	**2.61**	2.54	2.43	2.14	1.96	1.57	1.19	0.96	0.74	0.59	0.49	0.54

Zugspitze.

-7.19	-7.24	**-7.02**	-7.12	-7.23	-7.41	-7.54	-7.81	-7.85	**-7.75**	-7.92	**-7.85**	-7.94	-7.97
-3.17	-2.82	-2.81	-2.64	-2.54	**-2.44**	-2.46	-2.80	-3.30	-3.67	-3.82	-3.91	-3.95	-4.05
3.94	4.29	4.82	**5.22**	5.14	4.83	4.66	4.45	3.97	3.30	2.75	2.48	2.41	2.25
-1.37	-1.16	-0.78	**-0.67**	**-0.67**	-0.69	-0.95	-1.30	-1.36	-2.06	-1.95	**-1.98**	-2.09	-2.51

Sonnblick.

-9.15	-9.04	-8.87	-8.94	-8.75	-8.81	-8.83	-9.02	-9.13	-9.17	-9.23	-9.51	-9.45	**-9.34**
-3.71	-3.37	-3.14	**-3.07**	-3.20	-3.36	-3.48	-3.76	-4.24	-4.46	**-4.32**	-4.60	-4.75	-4.93
2.64	2.82	2.94	3.14	**3.40**	3.28	3.01	2.52	2.23	1.86	1.66	1.31	1.09	0.87
-2.37	**-2.35**	-2.38	-2.37	-2.45	-2.32	-2.53	-2.86	-2.92	-2.88	-3.11	**-2.86**	**-2.86**	-2.93

Tage mit Barometerminimum (je 15 Tage).

Hohenpeissenberg.

1.19	1.75	**1.89**	**1.89**	1.22	0.85	0.39	0.09	0.26	0.29	0.41	0.77	0.83	0.91
5.56	5.95	6.45	**6.63**	6.10	5.35	4.86	4.56	3.89	3.81	3.69	3.56	3.64	3.48
13.12	13.68	**14.25**	14.11	13.90	13.38	13.05	12.77	12.50	12.45	11.18	10.88	**11.06**	10.94
6.90	7.43	7.60	**7.95**	7.57	7.21	6.67	5.93	5.82	5.85	5.94	6.05	**6.39**	6.09

Säntis.

-9.68	-9.56	**-9.44**	-9.61	-9.92	-10.23	-10.29	-10.46	-10.65	-10.54	-10.37	-10.25	-10.18	-10.07
-4.99	-4.96	**-4.67**	-4.70	-4.78	-4.99	-5.35	-5.86	-6.09	-6.45	-6.63	-6.62	-6.85	-6.86
1.60	1.68	**1.92**	1.79	1.43	1.43	1.50	1.40	1.09	0.84	0.59	0.37	0.32	0.25
-3.68	-3.58	**-3.43**	-3.47	-3.47	-3.73	-4.01	-4.28	-4.42	**-4.38**	-4.40	**-4.29**	-4.47	-4.54

Zugspitze.

-12.72	-12.84	-12.56	**-12.42**	-12.78	-13.08	-13.50	-13.45	-12.98	-12.92	-12.74	-12.60	-12.54	**-12.36**
-9.35	-9.00	-8.79	-8.81	-8.74	**-8.73**	-8.89	-9.12	-9.31	-9.55	-9.82	-9.99	-10.05	-10.14
-1.37	-1.15	-0.96	-0.76	**-0.64**	-0.74	-0.97	-1.17	-1.45	-1.48	-2.04	-2.22	**-2.08**	-2.25
-6.16	-6.07	-5.93	**-5.92**	-6.13	-6.26	-6.80	-6.95	-7.00	-7.02	-7.03	-7.32	-7.39	-7.45

Sonnblick.

-13.99	-13.88	-13.68	**-13.59**	-13.73	-14.00	-14.63	-14.96	-14.78	-14.77	-14.62	-14.70	-14.58	-14.37
-10.54	-10.49	-10.34	**-10.28**	-10.40	-10.65	-10.89	-11.05	-11.25	-11.36	-11.40	**-11.45**	**-11.41**	-11.59
-2.50	-2.31	**-2.15**	-2.28	-2.33	-2.44	-2.56	-2.79	-3.22	-3.38	-3.58	-3.62	-3.67	-3.75
-6.73	-6.48	**-6.46**	-6.75	-7.18	-7.34	-7.58	-7.79	-7.78	-7.73	-7.86	**-7.95**	-7.84	-7.89

Auffälligerweise zeigt sich auf dem Säntis zu den Stunden, an denen das Maximum sonst einzutreten pflegt, nur ein verminderter Temperaturabfall. Hingegen sind in diesem Spezialfalle ausser dem Winter auch noch andere Jahreszeiten beteiligt.

Im Herbst haben Nachtmaxima

Zugspitze um . . . . . 9 und 10p
Sonnblick „ . . . . . 10—11 p

Letzterer hat auch noch im Frühjahr ein Maximum um 9h p.

Nach den bis jetzt gemachten Feststellungen treten die nächtlichen Maxima fast ausschliesslich auf im Winter und an Tagen mit Luftdruckmaximum; die Ursache scheint also hier dynamische Erwärmung bei anticyklonalem Föhn zu sein. Wir werden später noch eingehender hierauf eingehen müssen.

Es drängt sich nun die Frage auf:

Wie verhält sich nun der Temperaturgang an Tagen mit niederem Druck, also an Tagen an dem von anticyklonalem Föhn keine Rede sein kann.

4. Tage mit Luftdruckminimum.

Ausgewählt sind auch hier die Tage mit dem tiefsten Luftdruck der (nach Jahreszeiten zusammengefassten) Monate der Jahre 1911—15.

Wider alles Erwarten treten nun auch hier nächtliche Temperaturmaxima auf.

Es haben Nachtmaxima:

Hohenpeissenberg: im Winter um 3 a,
„ Frühjahr „ 2 a,
„ Sommer „ 11 p,
„ Herbst „ 11 p.
Säntis: im Winter um 3 a,
„ Herbst „ 8 u. 9 p.
Zugspitze: im Winter um 12 mn u. 3 a,
„ Frühjahr „ 1 u. 2 a,
„ Sommer „ 11 p,
„ Herbst „ 2 a.
Sonnblick: im Winter um 3 a,
„ Frühjahr „ 11 p (?)

An der Realität dieser nächtlichen Maxima, die je nach der Jahreszeit verschieden stark auftreten, ist nicht mehr zu zweifeln. Wenn sie im Mittel noch erkennbar sind, dann sind sie immer beachtenswerter im Einzelfalle. Im vorhergehenden Abschnitt, in welchem wir von den Verhältnissen im Hochdruckgebiet handelten, war die Erklärung einfach: Dynamische Erwärmung bei Anticyklonal-Föhn. Wie denkt man sich aber die Entstehungsursache für die Nachtmaxima im Tiefdruckgebiet? Ist Wind die Ursache?

A priori scheidet eine nur für das Tiefdruckgebiet charakteristische Ursache aus. Es kann zwar wohl angenommen werden, dass sich zu einer bestimmten Stunde[1]) bestimmte Phasen der Entwicklung der Depression z. B. besonders starker Barometerfall einstellen, es ist hingegen aber nicht anzunehmen, dass in der geringen Anzahl der Fälle bei der doch so grossen Aperiodizität beim Vorbeigang einer Depression etwa immer um die Mitternacht nahen Stunden die Tendenz zur Ausbildung eines, wenn auch nur schwachen Nachtmaximums gegeben ist.

Der Grund liegt offenbar wo anders. Wir haben auch an den Tagen mit niederem Luftdruck im Alpengebiet mit Ausbildung eines schwachen lokalen Hochdruckgebietes zu rechnen. Es ist dies gerade, wenn nach starker Luftdurchmischung wieder Ruhe in der Atmosphäre einzutreten beginnt und die Niveauflächen sich infolge der Ausstrahlung senken können immer mit dynamischer Erwärmung zu rechnen. Diese Behauptung wird nicht nur für den Winter, sondern auch für den Sommer zutreffen. Im Winter wird das Tiefdruckgebiet im warmen Sektor sehr hohe Temperaturen haben, ist der tiefste Luftdruck verzeichnet und der Luftdruck nach der Böenlinie im Ansteigen begriffen, so tritt abends im Alpengebiet vielfach diese rasche Ausbildung eines Teilhochs auf. Auch im Sommer, wo die Depression statt Erwärmung Abkühlung bringt, sind die Verhältnisse für die nächtliche sekundäre Hochdruckbildung im Alpengebiet gegeben.

5. Der Temperaturgradient Hohenpeissenberg—Zugspitze.

Bilden wir für die oben untersuchten besonderen Tage die Temperaturgradienten oder der Übersichtlichkeit halber nur die Temperaturdifferenzen zwischen Hohenpeissenberg und Zugspitze, so finden wir hier im Gebirge das gleiche auffallende Resultat wie Reger[2]) in der freien Atmosphäre über Lindenberg und Grossborstel: eine „doppelte Oszillation im täglichen Gange der Wärmeabnahme."

Die Verhältnisse im Gebirge sind bei den dort eigenartigen vertikalen Strömungen naturgemäss wesentlich andere als bei den Drachenaufstiegen in der Ebene und es ist daher nicht verwunderlich, wenn die Eintrittszeit der Extreme eine andere ist. Wir wollen auch nicht verkennen, dass die Ausschläge ziemlich gering sind. Was jedoch vorliegende Arbeit

[1]) Vergl. A. Schmauss: Die Lebensdaten der mitteleuropäischen Depressionen I und II. Deutsches Meteor. Jahrbuch Bayern 1923.

[2]) J. Reger Täglicher Temperaturgang in der freien Atmosphäre und doppelte Luftdruckschwankung. Arbeiten des k. preuss. Aeronautischen Observatoriums bei Lindenberg. 1913. Seite 13.

gegen Regers Untersuchungen voraus hat, ist die Länge der Beobachtungsreihe; Reger hatte für grosse Höhen nur vereinzelte Zahlenwerte zur Berechnung, hier hingegen sind für alle Stunden die gleich grosse Anzahl der Werte zur Verfügung gestanden.

Nachstehende Tabelle bringt die berechneten Temperaturdifferenzen (Höhendifferenz: 1968 m).

Temperaturdifferenzen Hohenpeissenberg—Zugspitze.

	1ª	2	3	4	5	6	7	8	9	10	11	12m	1ᵖ	2	3	4	5	6	7	8	9	10	11	12mn
Heitere Tage.																								
Winter . . .	8.81	8.64	8.83	**8.98**	8.91	8.81	8.66	8.44	8.65	8.61	9.07	9.14	9.31	9.61	**9.67**	9.43	9.38	9.27	9.17	9.11	9.11	9.19	9.01	9.05
Frühjahr . .	14.50	14.46	14.42	14.39	14.40	**14.38**	14.46	14.42	15.41	15.84	16.20	16.74	17.25	17.42	17.46	**18.09**	16.55	16.17	15.51	15.15	14.83	14.68	14.71	14.78
Sommer . .	11.96	11.98	11.96	11.84	**11.79**	11.90	12.29	12.16	12.66	13.42	14.03	14.55	14.70	**14.88**	14.76	14.70	14.34	14.22	13.85	13.34	13.15	12.55	12.40	12.20
Herbst . . .	10.56	10.52	10.47	10.31	10.17	10.18	**10.15**	10.22	10.70	10.92	11.27	11.50	11.99	**12.04**	11.71	11.33	11.15	10.87	10.65	10.54	10.33	10.34	10.28	10.41
Trübe Tage.																								
Winter . . .	9.32	9.32	9.23	9.27	9.28	9.16	9.08	9.05	9.18	9.32	9.52	9.82	**10.04**	9.83	9.80	9.78	9.82	9.72	9.75	9.68	9.78	9.70	9.53	9.40
Frühjahr . .	12.92	12.71	12.63	12.56	12.40	12.43	**12.21**	12.44	12.98	13.21	13.58	13.80	14.31	14.75	14.94	**15.04**	15.02	14.77	14.18	13.74	13.56	13.19	13.16	13.03
Sommer . .	12.18	12.15	12.21	12.28	12.12	12.10	12.16	11.95	12.28	12.75	12.89	12.99	13.19	13.36	13.35	**13.37**	13.15	13.20	12.71	12.52	12.04	**11.98**	12.05	12.21
Herbst . . .	10.78	10.74	10.66	10.68	**10.78**	10.73	10.58	10.38	10.08	10.72	10.73	10.93	11.03	**11.12**	11.04	10.98	11.02	10.99	**11.15**	11.06	10.99	10.89	10.35	10.73
Tage mit Barometermaxmimum.																								
Winter . . .	7.33	**7.12**	7.50	7.74	7.79	**8.06**	7.90	7.55	7.42	**7.39**	7.43	7.83	7.81	**8.45**	8.44	8.22	8.03	8.07	8.18	8.00	7.92	7.68	7.41	7.27
Frühjahr . .	9.06	8.94	8.77	8.77	8.72	8.63	**8.45**	8.55	9.20	9.51	9.77	10.02	10.72	11.09	**11.18**	10.97	10.76	10.58	10.30	10.04	9.71	9.38	9.24	9.11
Sommer . .	9.38	9.32	8.98	9.07	8.90	8.44	**7.61**	8.61	9.38	9.56	9.87	10.18	10.32	10.16	10.23	**10.39**	10.33	10.02	9.95	9.90	9.98	9.82	9.47	9.52
Herbst . . .	7.53	7.40	7.34	7.33	7.40	7.43	7.25	**7.09**	7.54	7.70	7.68	7.99	8.09	**8.21**	8.01	7.71	7.62	7.63	**7.33**	**7.91**	7.72	7.50	7.38	7.68
Tage mit Barometerminimum.																								
Winter . . .	13.62	13.88	14.00	**14.13**	13.94	13.68	13.65	**13.60**	13.89	13.90	13.91	**14.59**	14.45	14.31	14.00	13.93	13.89	13.53	13.24	13.21	**13.15**	13.37	**13.37**	13.27
Frühjahr . .	**12.94**	13.08	13.11	13.16	13.57	13.81	14.02	14.07	14.68	14.70	14.91	14.95	15.24	**15.44**	14.84	14.08	13.75	13.68	**13.20**	13.36	13.51	13.55	**13.69**	13.62
Sommer . .	13.13	13.27	13.51	13.43	13.64	13.74	14.25	14.07	14.44	14.44	14.49	14.83	**15.21**	14.87	14.54	14.12	14.02	13.94	13.95	13.93	13.22	**13.10**	13.14	13.19
Herbst . . .	13.43	13.46	13.40	13.27	13.47	13.46	13.17	13.01	13.12	**12.71**	13.06	12.50	13.53	**13.87**	13.70	13.47	13.47	12.88	**12.82**	12.87	12.97	13.37	**13.78**	13.54

Die heiteren Tage zeigen die Doppelwelle im Gradienten nur im Winter; an trüben Tagen tritt sie deutlich im Herbst hervor. Tage mit Luftdruckmaximum weisen eine Doppelwelle deutlich im Winter, schwach noch im Frühjahr auf. Die Tage mit Luftdruckminimum lassen — mit Ausnahme des Sommers — die Doppelwelle kräftig erkennen.

6. Tage mit Nebelmeer und Temperaturumkehr.

Wiederholt wurden bei diesen Untersuchungen Zwischenstationen vermisst. In gewissem Sinne können wir im Zugspitzgebiet einen Ersatz dafür finden, indem wir den Temparaturgang an Tagen mit Nebelmeer für verschiedene Höhen des Nebelmeeres untersuchen.

Im allgemeinen werden wir ja immer Nebelmeer an Tagen mit Temparaturumkehr haben; überdies wird sich über dem Nebelmeer (Inversionsschicht) der Tageseinfluss der Temperatur stärker geltend machen.

Nachstehende Tabelle gibt den Temperaturverlauf auf der Zugspitze bei verschiedenen Höhen des Nebelmeeres.

Tage mit Nebelmeer in verschiedener Höhe.

Zugspitze	1ª	2	3	4	5	6	7	8	9	10	11	12m	1ᵖ	2	3	4	5	6	7	8	9	10	11	12mn
700 m (30 Tage)	-7.82	-7.91	-7.89	-8.06	**-8.11**	-8.06	-8.03	-7.83	-7.67	-7.52	-7.35	-7.14	-6.80	**-6.45**	-6.62	-6.90	-6.94	-7.22	-7.42	-7.52	**-7.48**	-7.54	-7.59	-7.73
1000 m (42 Tage)	**-5.79**	-5.83	-5.88	-5.91	-5.97	-6.02	-5.84	-5.70	-5.51	-5.36	-5.05	-4.64	**-4.44**	-4.49	-4.52	-4.66	-4.92	-5.24	-5.35	-5.50	-5.50	-5.70	-5.80	-5.81
1500 m (50 Tage)	-7.45	-7.49	-7.48	-7.55	**-7.59**	-7.51	-7.37	-6.96	-6.81	-6.67	-6.27	-5.95	**-5.69**	-5.62	-5.70	-5.86	-6.04	-6.41	-6.66	-6.89	-7.08	-7.20	-7.22	-7.41
2000 m (64 Tage)	**-8.12**	-8.22	-8.32	-8.25	**-8.41**	-8.32	-8.05	-7.67	-7.47	-7.07	-6.72	-6.28	**-5.92**	-5.94	-5.98	-6.15	-6.55	-7.08	-7.53	-7.80	-7.96	-8.04	-8.08	-8.14
2500 m (38 Tage)	-8.29	**-8.21**	-8.29	-8.32	**-8.36**	-8.11	-7.92	-7.86	-7.69	-7.35	-7.11	-6.75	-6.43	-6.35	**-5.94**	-6.22	-6.40	-6.71	-7.01	-7.35	-7.57	-7.74	-7.89	-8.03
2800 m (20 Tage)	-3.28	-3.37	**-3.52**	**-3.44**	-3.51	-3.62	-3.41	-3.00	-2.88	-2.62	-2.02	-1.93	-1.66	-1.37	-1.40	**-1.22**	-1.35	-1.38	-1.52	-1.98	-2.32	-2.62	-3.01	-3.20

Tage mit Temperaturumkehr.

(62 Tage)	-7.41	-7.37	**-7.31**	**-7.31**	-7.44	-7.45	-7.39	-7.10	-6.98	-6.76	-6.53	**-5.99**	-6.25	-6.35	-6.50	-6.74	-7.09	-7.36	-7.83	-7.45	-7.36	-7.45	-7.44	-7.46
Barometrische Mitteltemperatur an diesen Tagen der Schichte Hohenpeissenberg-Zugspitze.																								
	-3.23	-3.27	-3.30	-3.45	-3.50	-3.55	-3.60	-3.59	-3.50	-3.37	-3.33	-3.31	**-3.22**	**-3.22**	-3.23	-3.29	-3.32	-3.38	-3.39	-3.27	-3.19	-3.25	-3.22	**-3.18**

Je höher das Nebelmeer liegt, desto grösser ist die Tagesschwankung auf der Zugspitze, desto höher liegt aber im allgemeinen auch die Temperatur.

Uns interessiert vor allem das Auftreten nächtlicher Maxima; wir finden bei

Nebelmeerhöhe	sek. Maximum	
700 m	9 p	sehr schwach
1000 m	1 a	
1500 m	3 a	
2000 m	1 a	
2500 m	2 a	
2800 m	4 a	

Wir müssen nochmals darauf hinweisen, dass die Maxima nachts manchmal nur sehr schwach auftreten und dass wir oft besser nur von einer Hemmung des Temperaturabfalles sprechen würden. Die Ursache hiefür liegt vielfach in der hier unvermeidlichen, zu viel ausgleichenden Mittelbildung.

An Tagen mit Temperaturumkehr, die ja im allgemeinen im Winter mit den heiteren bezw. Hochdrucktagen identisch sein werden, kommt deutlich ein Maximum um 3 a und 4 a zum Ausdruck.

Berechnet man für diese Tage die barometrische Mitteltemperatur der Luftsäule Hohenpeissenberg-Zugspitze, so sehen wir analog den Resultaten der Arbeit Regers eine deutliche Doppelwelle selbst im Mittel auftreten.

Maxima treten ein um 1 und 2 p, und 12 mn
Minima „ „ „ 7 a und 7 p.

Der Unterschied zwischen dem grösseren Nachtmaximum und dem Tagesmaximum ist nur unbedeutend.

B. Die harmonische Analyse.

Nachdem wir in den vorhergehenden Abschnitten das Auftreten der nächtlichen Temperaturmaxima aus direkten Beobachtungswerten und an besonderen Tagen selbst noch im Mittelwerte — mehr oder minder stark — auftreten sahen, wollen wir die in letzterem Falle erhaltenen Temperaturkurven in ihre Unterschwingungen zerlegen.

Es handelt sich hier zunächst darum, anolog den Resultaten der Arbeit von Reger [1]) auch für die Hochstationen den Nachweis einer kräftigen zweiten Temperaturwelle zu erbringen, ev. auch noch nachzuweisen, dass eine dritte Welle sich noch entsprechend geltend macht, wie sie kürzlich auch Hergesell [2]) nachgewiesen hat.

Reger hat als sechsten Satz der Zusammenfassung seiner wiederholt zitierten Arbeit aufgestellt:

„Der Einfluss der einfachen täglichen Temperaturwelle auf den Gesamttemperaturgang wird mit zunehmender Höhe immer geringer, bis sich letztere schliesslich als Doppelwelle darstellt."

Wir wollen diese Behauptung zunächst nicht anzweifeln, sondern vorerst nur untersuchen, ob dieser Satz auch für die Bergstationen Gültigkeit besitzt, d. h. ob ev. die nächtlichen Maxima auf dieser zweiten Welle beruhen können.

[1]) l. c. Seite 20. [2]) l. c. diese Arbeit Seite 6.

Heitere Tage						12 mn = o			Trübe Tage					12 mn = o		
	a_0	a_1	a_2	a_3	$\frac{a_2}{a_1}$	A_1	A_2	A_3	a_0	a_1	a_2	a_3	$\frac{a_2}{a_1}$	A_1	A_2	A_3
Winter.																
Hohenpeissenberg	−0.89	0.87	0.40	0.20	0.46	215.5	26.7	206.8	−2.25	0.43	0.23	0.13	0.53	228.9	46.6	219.8
Säntis	−7.80	0.44	0.21	0.07	0.48	239.0	67.7	263.7	−8.95	0.15	0.14	0.08	0.93	278.7	92.0	238.6
Zugspitze	−9.91	0.52	0.24	0.05	0.46	231.1	59.4	232.3	−11.77	0.25	0.13	0.04	0.52	286.4	41.3	152.2
Sonnblick	−12.01	0.63	0.11	0.09	0.17	233.1	33.3	37.7	−13.07	0.35	0.18	0.07	0.51	266.9	58.2	215.0
Frühjahr.																
Hohenpeissenberg	6.47	2.60	0.68	0.13	0 26	220.7	27.1	83.6	3.75	1.14	0.31	0.05	0.27	226.0	33.6	75.9
Säntis	−5.44	1.10	0.11	0.11	0.10	235.2	68.4	96.2	−5.62	0.77	0.20	0.06	0.26	239.9	51.4	250.4
Zugspitze	−9.00	1.21	0.16	0.14	0.32	208.5	18.7	46.9	−7.43	0.92	0.22	0.02	0.24	225.9	42.4	137.3
Sonnblick	−10.63	1.14	0.13	0.27	0.11	221.2	288.7	67.8	−8.69	0.80	0.28	0.04	0.35	230.9	51.5	246.3
Sommer.																
Hohenpeissenberg	15.57	2.76	0.50	0.13	0.18	224.2	358.3	66.3	11.23	1.57	0.42	0.09	0.27	228.2	12.9	22.8
Säntis	5.35	1.69	0.21	0 .21	0.17	233.9	335.6	62.1	0.88	0.80	0.14	0.06	0.18	225.0	24.2	32.9
Zugspitze	2.42	1.23	0.23	0.26	0.18	225.5	317.3	79.7	−1.32	0.94	0.16	0.03	0.17	227.8	33.7	97.9
Sonnblick	0.24	0.95	0.12	0.13	0.12	213.4	289.2	69.3	−1.59	0.91	0.17	0.01	0.18	225.8	48.7	167.5
Herbst.																
Hohenpeissenberg	6.78	1.71	0.65	0.05	0.38	228.7	35.4	88.3	4.12	0.67	0.20	0.07	0.30	214.3	39.8	242.4
Säntis	0.02	0.96	0.29	0.01	0.30	245.3	56.5	343.2	−4.65	0.42	0.11	0.04	0.26	234.0	72.7	241.7
Zugspitze	−4.00	1.04	0.24	0.06	0.23	223.3	27.6	133.9	−6.71	0.48	0.17	0.01	0.35	228.7	51.8	67 .0
Sonnblick	−5.52	0.73	0.05	0.14	0.07	227.9	4.5	74.0	−7.00	0.50	0.20	0.05	0.40	238.8	49.9	228.4

Tage mit Barometermaximum						12 mn = 0			Tage mit Bar.-Minimum					12 mn = 0		
	a_0	a_1	a_2	a_3	$\frac{a_2}{a_1}$	A_1	A_2	A_3	a_0	a_1	a_2	a_3	$\frac{a_2}{a_1}$	A_1	A_2	A_3
Winter.																
Hohenpeissenberg	−0.11	0.92	0.28	0.22	0.30	214.3	21.2	219.4	1.03	0.41	0.54	0.25	1.32	325.3	43.7	240.3
Säntis	−4.84	0.76	0.22	0.04	0.30	220.3	61.0	204.2	−10.07	0.25	0.34	0.07	1.36	301.9	61.8	280.5
Zugspitze	−7.89	0.59	0.39	0.10	0.66	214.3	68.9	294.9	−12.70	0.25	0.31	0.11	1.24	31.5	79.1	202.8
Sonnblick	−9.34	0.47	0.17	0.04	0.36	203.2	33.1	314.0	−14.32	0.26	0.40	0.08	1.54	281.6	44.4	204.0
Frühjahr.																
Hohenpeissenberg	6.05	2.11	0.51	0.10	0.24	214.2	14.9	54.7	4.31	1.50	0.55	0.12	0.37	243.3	61.7	188.6
Säntis	−0.94	1.00	0.18	0.08	0.18	238.2	4.9	58.1	−5.97	1.14	0.15	0.06	0.13	252.4	45.8	133.1
Zugspitze	−3.59	0.96	0.19	0.13	0.20	220.9	22.0	56.1	−9.65	0.84	0.34	0.15	0.41	215.8	26.6	336.4
Sonnblick	−4.25	0.96	0.14	0.08	0.15	234.8	60.1	133.0	11.22	0.75	0.20	0.06	0.27	238.8	91.9	153.0
Sommer.																
Hohenpeissenberg	12.91	2.23	0.39	0.08	0.17	220.1	34.7	22.3	12.18	1.59	0.19	0.01	0.12	242.9	33.8	249.0
Säntis	6.30	1.49	0.11	0.15	0.08	235.2	14.3	81.3	0.84	0.91	0.12	0.08	0.13	237.8	107.7	339.7
Zugspitze	3.31	1.55	0.21	0.12	0.14	230.1	357.0	84.9	−1.76	0.90	0.13	0.08	0.14	222.4	26.5	73.3
Sonnblick	1.92	1.31	0.03	0.12	0.02	237.3	195.3	72.2	3.22	0.88	0.21	0.06	0.24	236.9	64.4	44.3
Herbst.																
Hohenpeissenberg	5.80	1.23	0.32	0.15	0.26	224.6	44.6	187.1	6 47	0.69	0.47	0.25	0.68	259.9	47.5	155.5
Säntis	1.50	1.04	0.11	0.07	0.11	263.5	42.0	53.4	−4.16	0.50	0.16	0.10	0.32	251.0	61.4	166.5
Zugspitze	−1.80	0.95	0.16	0.09	0.17	225.4	24.6	136.9	−6.83	0.73	0.19	0.04	0.26	252.0	79.8	169.2
Sonnblick	−2.83	0.44	0.17	0.07	0.39	237.7	266.7	73.5	−7.46	0.56	0.24	0.15	0.43	273.5	70.9	246.4

Tage mit Nebelmeer (Zugspitze)										Tage mit Temperaturumkehr (62)							
Höhe bis	Tages-Anzahl	a_0	a_1	a_2	a_3	$\frac{a_2}{a_1}$	A_1	A_2	A_3	a_0	a_1	a_2	a_3	$\frac{a_2}{a_1}$	A_1	A_2	A_3
700 m	(30)	−7.48	0.61	0.22	0.14	0.36	117.5	41.2	45.8	−7.10	0.54	0.34	0.08	0.63	262.0	62.1	218.1
1000 m	(42)	−5.39	0.68	0.24	0.05	0.36	230.8	39.9	206.0								
1500 m	(50)	−6.79	0.90	0.22	0.03	0.25	231.3	36.8	133.8	**Barometrische Mitteltemperatur der Luftsäule Hohenpeissenberg-Zugspitze.**							
2000 m	(64)	−7.42	1.14	0.38	0.07	0.23	137.3	37.7	109.7								
2500 m	(38)	−7.41	1.04	0.20	0.08	0.19	122.5	1.5	126.7	−3.34	0.12	0.12	0.01	1.00	157.5	72.4	153.4
2800 m	(20)	−2.48	1.17	0.10	0.08	0.08	111.3	336.9	321.0								

Zuerst noch einige Worte zur Zerlegung in die harmonischen Konstituenten überhaupt! Die Zerlegung in die einzelnen Wellen darf nicht um ihrer selbst willen geschehen, d. h. lediglich um ein Rechenresultat zu erhalten, sondern nur einzig aus dem Grunde um physikalisch verwertbare und deutbare Resultate zu erhalten. Scheidet dieser Gesichtspunkt aus, so ist die harmonische Analyse ebenso wie das „Mittel" nur geeignet, das Richtige zu verdecken oder auf Abwege zu bringen.

Wenn wir hier trotzdem die Entwicklung nach Fourierschen Reihen heranziehen, ist dies z. B. für die zweite Welle durchaus berechtigt, da ihre Existenz tatsächlich nachgewiesen wurde.

Auch die dritte Welle erreicht manchmal eine Amplitude, die dieselbe Grössenordnung hat wie diejenige der zweiten; dass die dritte Welle reell ist unterliegt keinem Zweifel[1]), wie sie aber einwandfrei zu deuten ist, ist noch eine offene Frage.

Die auch hier noch berechnete vierte Welle hat meist eine so kleine Amplitude, dass ihr Einfluss — auch wenn sie reell sein sollte — sehr gering ist. Manchmal ist sie so klein, dass es sich erübrigt darauf einzugehen, da sie kleiner als der Fehler ist. Von der Mitteilung der a_4 und A_4 wurde daher abgesehen.

1. Heitere Tage.

Die Entwicklung in Fourier'sche Reihen ergibt folgendes:

Im allgemeinen zeigt sich bei a_1 die regelmässige Abnahme mit der Seehöhe, jedoch sind lokale und regionale Einflüsse unverkennbar.

a_1 vom Säntis ist im Winter, Frühjahr und Herbst kleiner als ihm in der Stellung zwischen Hohenpeissenberg und Zugspitze zukommt.

[1]) Vergl. auch H. Hergesell l. c.
A. Huber: Der Südostwind der Zugspitze Vortrag auf der 14. Versammlung der Deutschen Meteorologischen Gesellschaft Berlin 1923. Auszug Met. Zeit. 1923 Seite 368.

a_1 vom Sonnblick ist im Winter zu hoch, offenbar eine Einwirkung der Kontinentalität der Lage.

a_2 nimmt in der Regel mit der Höhe ab, auch hier zeigen sich die eben bei a_1 festgestellten Abweichungen. Die Grösse von a_2 ist wider Erwarten beträchtlich.

Sie beträgt: im Winter $^1/_2$ von a_1,
„ Frühjahr $^1/_4$ „ a_1,
„ Sommer $^1/_5$ „ a_1,
„ Herbst $^1/_3$ „ a_1,

nur der Sonnblick macht eine Ausnahme, das Verhältnis $\frac{a_2}{a_1}$ schwankt zwischen 0.07 und 0.17, der Einfluss der zweiten Welle ist also hier nur ganz gering.

Ganz besonders auffällig ist das auf dem Sonnblick geringe a_2 im Winter, während alle anderen Bergstationen ein grosses a_2 haben.

a_2 erreicht im Winter fast die Hälfte von a_1; sein Einfluss macht sich somit noch deutlich im täglichen Temperaturgang bemerkbar. Wir dürfen hiebei auch auf die Werte der Registrierungen auf Seite 8—11 hinweisen, aus denen selbst im nächtlichen Temperaturgang diese Eigentümlichkeit bemerkbar ist.

Die Eintrittszeit der Maxima der 2. Welle liegt im Winter zwischen 1 a und 2 a (Phasenzeit A_2: 67.7 u. 26.7) bzw. 1 p und 2 p, die Minima fallen auf 7 a und p und 8 a und p.

Im Frühjahr haben Hohenpeissenberg und Zugspitze eine günstiges Verhältnis $\frac{a_2}{a_1}$; auf dem Säntis und dem Sonnblick beträgt a_2 nur $^1/_{10}$ a_1. Die Eintrittszeiten der Maxima der Doppelwelle sind 2 a und 2 p, die der Minima 8 a und 8 p; auf dem Säntis tritt eine Verfrühung auf rund 1 a und 1 p (bezw. 7 a und 7 p) ein, auf dem Sonnblick hingegen eine Verspätung auf 5 a und 5 p bei Maximum, bei Minimum auf 11 a und 11 p.

Im Sommer ist das Verhältnis $\frac{a_2}{a_1}$ am kleinsten. a_2 selbst ist von derselben Grössenordnung wie im Winter, hingegen ist a_1 wesentlich grösser geworden. Die einfache Welle unterdrückt die Doppelwelle fast vollständig, auch die Phasenzeiten sind im Sommer gegenüber denen der anderen Jahreszeiten wesentlich verändert.

Hohenpeissenberg, Säntis und Zugspitze haben die Maxima um 3 a und 3 p; der Sonnblick hingegen um 5 a und 5 p.

Der Herbst zeigt wieder dieselben Verhältnisse wie der Winter und das Frühjahr; $\frac{a_2}{a_1}$ ist etwa $^1/_3$, nur ist auffälligerweise auf dem Sonnblick a_2 wieder sehr klein. Die Eintrittszeiten der Extreme sind wieder die gewohnten der kalten Jahreszeit: 2 a und 2 p für die Maxima, 8 a und 8 p für die Minima. Am Sonnblick tritt eine einstündige Verspätung ein.

Zusammenfassend können wir sagen: Die zweite Welle der Temperatur ist an heiteren Tagen ein wesentlicher Bestandteil des Temperaturverlaufes, im Winter ist $a_2 = {}^1/_2\, a_1$. Im Sommer unterdrückt a_1 das Hervortreten von a_2 und verschiebt den Eintritt der Extreme. Auf dem Sonnblick ist im Herbst und Winter a_2 durch lokale Verhältnisse stark vermindert.

Was die dritteltägige Welle betrifft, so ist im allgemeinen festzustellen, dass a_3 meist sehr klein ist, die a_3 aber in den einzelnen Jahreszeiten meist wenig voneinander abweichen. a_3 ist auffälligerweise vereinzelt sehr gross.

Z. B. Winter	Hohenpeissenberg	$\frac{a_3}{a_1}$ = 0.23	$\frac{a_3}{a_2}$ = 0.50
	Frühjahr Sonnblick	„ = 0.17	„ = 1.00
	Sommer Säntis	„ = 0.24	„ = 2.07
	„ Zugspitze	„ = 0.21	„ = 1.01

Die Eintrittszeiten für die Extreme in diesen für a_3 sehr starken Fällen sind folgende:

	Max.	Min.
Winter Hohenpeissenberg	5 a, 1 p, 9 p	9 a, 5 p, 1 a
Frühjahr Sonnblick	1 a, 9 a, 5 p	5 a, 1 p, 9 p
Sommer Säntis	1 a, 9 a, 5 p	5 a, 1 p, 9 p
Zugspitze	12 mn, 8 a, 4 p	4 a, 12 m, 8 p

Wir wollen vorerst über die dritte Welle nichts weiter anführen, wir müssen auf das nächste Kapitel verweisen, in welchem wir den nächtlichen Temperaturgang besonders untersuchen.

2. Trübe Tage.

Wir werden davon absehen, auch hier eine eingehende Besprechung der Tabelle vorzunehmen, es möge genügen, auf das Wichtigste hinzuweisen.

Die Amplitude der 1. Welle ist relativ klein am Säntis, relativ gross am Sonnblick.

a_2 erreicht im Winter auch an trüben Tagen grossen Einfluss; $\frac{a_2}{a_1}$ wird = 0.50.

Das grosse Verhältnis 0.93 auf dem Säntis ist nur auf die Kleinheit der a_1 zurückzuführen. Die Eintrittszeiten des 1. Maximums der Doppelwelle sind zwischen Mitternacht und 2 a gelegen.

Im Frühjahr ist $\frac{a_2}{a_1}$ immer noch = $^1/_4$; die Eintrittszeiten der Extreme variierten in den 4 Stationen nur sehr wenig; das 1. Maximum liegt um 1 a oder 2 a. Im Sommer ist es ähnlich. Gross ist a_2 am Hohenpeissenberg. Im allgemeinen ist $\frac{a_2}{a_1}$ etwa $^1/_5$; das 1. Maximum liegt ebenfalls um 1 a oder 2 a.

Im Herbst ist eine Zunahme des a_2 festzustellen. Die Eintrittszeiten des 1. Maximums sind ebenfalls um 1a oder 2a.

Die dritteltägige Welle hat meist nur eine sehr kleine Amplitude, (ebenso die 4. Welle). Lediglich am Hohenpeissenberg tritt im Winter a_3 kräftiger auf; $\frac{a_3}{a_1}$ ist 0.30, eine ganz beachtenswerte Grösse!

3. und 4. Tage mit Luftdruckmaximum und -Minimum.

Im grossen und ganzen werden wir hier die gleichen Resultate zu erwarten haben wie bei den heiteren und trüben Tagen, nur in stärkerem Masse.

Wenn der Wind eine Rolle bei der Ausbildung nächtlicher Maxima spielt, so müssen besonders die Tage mit Barometerminimum Aufschluss geben.

a_0 und a_1, also die Konstante, die durch den täglichen Gang der Temperatur bedingt werden, sind an Tagen mit Minimum kleiner als an Tagen mit Maximum. Auch die Abnahme mit der Höhe ist deutlich vorhanden.

Anders ist es mit der Amplitude a_2. Im Winter ist im Maximum $\frac{a_2}{a_1} = {}^1/_3$, nur auf der Zugspitze ${}^2/_3$. Im Minimum hingegen ist $\frac{a_2}{a_1}$ immer > 1. Bei trüben Tagen hatten wir grössere Werte des a_2 festzustellen, hier aber übertrifft die Amplitude der halbtägigen Temperaturwelle die der ganztägigen.

Die Eintrittszeiten der Maxima der 2. Welle sind gelegen zwischen 12 mn und 2a bezw. 12 m und 2p.

Reger[1]) hat ebenfalls das überraschende Resultat gefunden, dass in Lindenberg in höheren Schichten die Amplitude der Doppelwelle häufig die der einfachen übertrifft. Mit zunehmender Seehöhe verschwindet allmählich die einfache vom Boden beeinflusste Welle; schliesslich ergibt sich, analog dem Luftdruckgang, eine doppelte Welle der Temperatur.

Wenn wir auch schon bei den heiteren Tagen im Winter ein grosses a_2 feststellten, so müssen wir uns doch über die Grösse des Verhältnisses $\frac{a_2}{a_1}$ wundern; a_2 ist an trüben Tagen an unseren Bergstationen nicht grösser als an heiteren, jedoch ist der Natur der Sache nach a_1 herabgedrückt. Das Überwiegen der zweiten Welle ist also nicht auf ein absolutes Überwiegen der zweiten Welle, sondern auf eine Dämpfung der ersten Welle zurückzuführen.

Dies ist aber nur zum Teil richtig beim Temperaturgang an Tagen mit Barometer-Maximum und -Minimum. Hier tritt noch — meist nur im Winter — auch noch die Tatsache hinzu, dass $a_2 > a_1$ wird.

Eine verzerrende Beeinträchtigung durch die Lamont'sche Korrektion beim Kurvenausgleich ist aus früher schon erörternden Gründen ausgeschlossen. Bei den Tagen mit Luftdruckminimum, d.h. also Tagen, die kälter enden als wie sie begonnen, wäre sogar bei der gewöhnlichen Art der proportionalen Verteilung, die von 12 mn an beginnt, der Anfang des Tages mit einer herabsetzenden Korrektion belastet. Bei unserer weiter ausgreifenden, von 6p–6p berechneten Korrektion ist auch hierauf Rücksicht genommen worden; es ist der ev. Fehler durch Anbringung der Korrektion gerade zu den Eintrittszeiten der Extreme ein Minimum.

Die Bedingungen zum Auftreten der zweiten Welle sind offenbar im Winter bei allen Witterungsverhältnissen gegeben. An heiteren Tagen und besonders im Sommer, wann die Tagesamplitude grösser wird und die Konvektion im Gebirge stark auftritt, ist a_2 klein.

Dies ist im Gebirge anders als in Lindenberg. Dort ist nach Reger für die tägliche Erwärmung der Atmosphäre, soweit sie überwiegend durch Konvektion vom Boden aus erfolgt, im allgemeinen keine grössere Reichweite als bis 1000 m festzustellen.

Im Gebirge sind die Verhältnisse wesentlich anders als in der freien Atmosphäre. Der Berg als gehobene Ländermasse gibt immer zu Störungen Anlass, und diese Störungen sind in erster Linie an heiteren Tagen gegeben.

Was die Eintrittszeit der Extreme der Doppelwelle betrifft, so gehen Säntis und Zugspitze zeitlich am besten zusammen. Die Maxima fallen dort auf

1 a beim Hochdruck und
1 a „ Tiefdruck,

bei den anderen Bergstationen tritt eine etwa 1—2stündige Verspätung ein. Von der Besprechung in den anderen Jahreszeiten kann wohl abgesehen werden.

Auf die physikalische Bedeutung der halbtägigen Temperaturwelle wollen wir hier nicht eingehen. Hier sollte vor allem für das Gebirge die Grösse der Amplitude, die Regelmässigkeit besonders im Winter und die Analogie mit Lindenberg, aber auch der z. T. auftretende prinzipielle Unterschied hervorgehoben werden.

Wir haben schon wiederholt Gelegenheit gehabt, auf die Grösse von a_3 hinzuweisen. Die dritte Welle ist reell und nicht nur ein Rechenresultat; welches aber ist ihre physikalische Bedeutung? Wenn auch die letzte Frage noch nicht beantwortet werden kann, so mag ein Erklärungsversuch ihrer Entstehung genügen.

a_3 bleibt, wie wir schon ausführten, meist klein, nur gelegentlich nimmt es aber die Grössenordnung von a_2 an.

Welches sind nun die Eintrittszeiten der Maxima? Wir wollen uns auf den Winter als die störungsfreie Jahreszeit beschränken und vorerst auch nur den Tabellen Hohenpeissenberg und Zugspitze entnehmen:

Heitere Tage: Hohenpeissenberg 5a, 1p, 9p,
Zugspitze 5a, 1p, 9p,

[1]) l. c. Seite 17.

Trübe Tage	Hohenpeissenberg	5a, 1p, 9p,
	Zugspitze	7a, 3p, 11p,
Hochdruck-Tage	Hohenpeissenberg	5a, 1p, 9p,
	Zugspitze	2a, 10a, 6p,
Tiefdruck-Tage	Hohenpeissenberg	5a, 1p, 9p,
	Zugspitze	6a, 2p, 10p,
Tage mit Temperaturumkehr	Zugspitze	5a, 1p, 9p.

In einzelnen dieser hier herangezogenen Fälle ist a_3 klein, in anderen wieder $^1/_4$ von a_1. Es fällt die grosse Regelmässigkeit auf, mit der auf 5a das 1. Maximum der dritteltägigen Welle fällt. Das 2. Maximum um 1p lässt sich durch den Tageseinfluss, das Maximum 9p durch dynamische Erwärmung erklären. Ist für 5a der Grund in einer Art „Wärmedämmerung" zu suchen?

Wir hatten früher Gelegenheit darauf hinzuweisen, dass nach der bereits öfter zitierten Arbeit Reger's in der freien Atmosphäre über Lindenberg die einfache Temperaturwelle mit zunehmender Höhe in die Doppelwelle übergeht.

Die hier im Alpengebiet gefundene dritteltägige Temperaturwelle ist kein blosses Rechenergebnis; auf welche Ursache sie zurückzuführen ist, werden wir erst etwas später anführen. Zunächst wollen wir darauf hinweisen, dass vor Kurzem — ohne vorliegende Arbeit zu beeinflussen — Hergesell[1]) auch für Lindenberg nach den Drachenaufstiegen der Jahre 1917—1919 eine dritte Welle nachgewiesen hat, „deren Gipfelpunkt in den ersten Nachmittagstunden liegt, die sich mit zunehmender Seehöhe verspätet, in 2500m jedoch eine so grosse Amplitude hat, dass man sie wohl noch als die grösste Welle ansprechen kann."

Es würde zu weit führen auf Übereinstimmendes oder nicht Übereinstimmendes in den beiden Arbeiten hinzuweisen.

Es möge genügen anzuführen, dass auch für die freie Atmosphäre die dritte Welle nachgewiesen ist und dass wir sie auch im Gebirge wieder finden[2]). Letztere Feststellung der dritteltägigen Welle, wie sie aus Stundenwerten einer laufenden Temperaturregistrierung gewonnen wurde, möge zum Beweise der Realität, der auf nicht so dichtem Material begründeten Welle der freien Atmosphäre beitragen.

5. Tage mit Nebelmeer und Temperaturumkehr.

Die Amplitude der ersten Welle nimmt, wie zu erwarten stand, mit zunehmender Höhenlage des Nebelmeeres zu; a_2 hingegen nimmt — wenn auch nicht regelmässig — ab.

Es scheint die obere Grenze des Nebelmeeres dieselben Einflüsse auf a_2 auszuüben, wie der erwärmte Erdboden. Das Verhältnis $\frac{a_2}{a_1}$ nimmt also mit steigendem Nebelmeer ab.

Der Einfluss der zweiten Temperaturwelle ist am grössten bei tiefliegendem Nebelmeer; bei H=700 und 1000 m beträgt $\frac{a_2}{a_1}=0.36$!

An Tagen mit Temperaturumkehr steigt das Verhältnis $\frac{a_2}{a_1}$ sogar bis 0.63. Hier ist also a_2 besonders stark ausgebildet.

Zerlegt man auch die Barometrische Mitteltemperatur der Luftsäule Hohenpeissenberg-Zugspitze in die einzelnen Wellen, so sehen wir hier $a_2 = a_1$ werden, die zweite Welle wird also ebenso einflussreich wie die erste.

Die Maxima fallen

bei der ersten Welle auf: 7p,
zweiten „ „ : 1p und 1a.

Die harmonische Analyse hat uns zur Beantwortung der Frage nach den Eintrittszeiten der Extreme und der Grösse der Amplitude der einzelnen Wellen verholfen, in die wir den komplexen Temperaturgang zerlegten. Wir sahen, dass vor allem die halbtägige Temperaturwelle eine grosse Amplitude erreicht, die wesentlichen Einfluss auf den nächtlichen Temperaturgang gewinnen kann. Während für gewöhnlich a_2 nur $^1/_8$ oder höchstens $^1/_4$ von a_1 ist, erreicht es hier die Grösse von a_1 selbst. Wieweit die dritteltägige Temperaturwelle bei den nächtlichen Maximalwerten teilhat, ist bei der meist geringen Amplitude noch fraglich; ihre Existenz scheint aber gesichert zu sein.

Der harmonischen Analyse haftet, wenn sie uns auch einen raschen Einblick in die atmosphärischen Wellenvorgänge gestattet, doch immer der Fehler an, der allen Arbeiten mit Mittelwerten gemeinsam ist.

In nachfolgendem Abschnitt wollen wir uns ein Bild der Wellenbewegungen in der Atmosphäre auf andere Weise zu verschaffen suchen.

---

[1]) Der tägliche Gang der Temperatur in der freien Atmosphäre über Lindenberg: in Arbeiten des Preuss. aeronaut. Observat. XIV. Bd. bes. Seite 10—11.

[2]) Vergl. auch A. Huber. Der Südostwind der Zugspitze. Meteor. Z. 1923. Seite 368.

III. Die Häufigkeit positiver Temperaturveränderungen von Stunde zu Stunde.

A. Allgemeines.

1. Methode der Untersuchung.

Temperaturmittel haben ihrer Entstehungsweise entsprechend die Eigenschaft, alle Sonderheiten im täglichen Gang der meteorologischen Elemente mehr oder weniger abzuschwächen oder gar auszulöschen. Wenn ein beim nächtlichen Temperaturverlauf auch nur schwach auftretendes Maximum im Mittelwert noch als solches erkennbar ist, so ist es entsprechend hoch einzuschätzen. Die andere Methode der Darstellung des Temperaturganges, die Zerlegung in die harmonischen Konstituenten, lässt vielfach aus dem Rechenergebnis die physikalische Bedeutung nicht mehr ersehen.

Wir wählten nun von diesem Gesichtspunkte der Unzulänglichkeit der Mittelbildung und der der harmonischen Analyse ausgehend zur Untersuchung des Temperaturganges — insbesondere des nächtlichen — einen neuen Weg.

Aus den Auswertungen der Temperaturregistrierungen (in vereinzelten Fällen auch direkt aus den Diagrammen selbst) wurde ermittelt, wie oft von einer Stunde zur nachfolgenden die Temperatur steigt und zwar ohne Rücksicht auf die Grösse der Temperatursteigerung.

Die hier angewandte Methode (der Häufigkeitsverteilung) eignet sich hauptsächlich für die Behandlung quantitativer Messungen, in bestimmten Ausnahmefällen aber wie z. B. dem vorliegenden ist sie nach Yule[1]) auch auf rein qualitative Feststellungen mit Erfolg anwendbar. Wir wollen daher auf die Grösse der Temperaturänderung nicht eingehen. Es ist überdies, von Einzelfällen abgesehen, sehr fraglich, ob man auf jene Weise ein charakteristisches Bild der stündlichen Veränderung der Temperatur gewinnen kann. Ein untersuchter Fall hat ergeben, dass die dann unvermeidliche Mittelbildung sich nur entstellend geltend machen würde.

Auf den ersten Blick wird man geneigt sein, anzunehmen, dass man nur den normalen Temperaturgang erhält, wir werden aber im nächsten Teil sehen, dass dies nicht der Fall ist.[2])[3])[4].)

a) Erklärung des Begriffes „Tendenz"-Kurve.

Wir haben uns durch die Untersuchung der Häufigkeit der von Stunde zu Stunde wechselnden positiven Temperaturänderung von einer Mittelbildung, zu der uns die quantitative Festlegung wieder geführt hätte freigemacht. Statt der Veränderung der Mittelwerte, aus der nichts zu ersehen wäre, untersuchen wir also das Mittel der Veränderungen der Einzelwerte.

Die Häufigkeitszahlen also, die uns das Auftreten der Temperaturanstiege von Stunde zu Stunde angaben, wurden zunächst durch Auszählung gewonnen. Ergab sich von einer Stunde zur nächsten keine Veränderung, so wurde dies mit halbem Gewicht vermerkt[5]). Schliesslich wurden für jedes Stundenintervall die Monatssummen der + Veränderungen gebildet. Wir haben vielfach auch eine jahreszeitliche Zusammenfassung vorgenommen, dabei aber immer auf Normalmonatslänge (30 Tage) reduziert.

Die auf diese Weise erhaltene Häufigkeitskurve zeigt einen interessanten täglichen Gang. Wir werden sehen, dass wir geradezu von einer „Tendenz" zum Temperaturanstieg sprechen dürfen. Der Einfachheit halber wollen wir diesen Ausdruck für diese Häufigkeitskurve einführen.

Was hat es nun für einen Sinn, festzustellen wie oft im Monat die Temperatur im Tagesverlauf von einer Stunde zur nächsten steigt?

Betrachten wir einmal einen ungestörten Temperaturgang beispielsweise an einem idealen heiteren Sommertage. (Fig. 1.) In der Regel tritt das Temperaturminimum morgens 5 Uhr, das Maximum nachmittags 3 Uhr ein. Wir dürfen also in diesem Falle annehmen, dass zwischen 5 a bis 3 p die Temperatur von jeder Stunde zur nächsten steigt, und umgekehrt in jeder Stunde zwischen 3 p und 5 a fällt. Fassen wir die Stundenwerte der Temperatur zum Monatsmittel, die Veränderung von Stunde zu Stunde nach Häufigkeitswerten zusammen, so erhalten wir für diese idealen Verhältnisse nebenstehendes Bild.

In Wirklichkeit ist der Kurvenverlauf ein ganz anderer. Wenn auch bei der Temperatur selbst nur kleinere Umgestaltungen und Verschiebungen der Extreme usw. sich geltend machen, so treten in der Häufigkeitskurve wesentliche Veränderungen auf, hier machen sich die durch das Wetter oder sonstwie bedingten „aperiodischen" Störungen geltend.

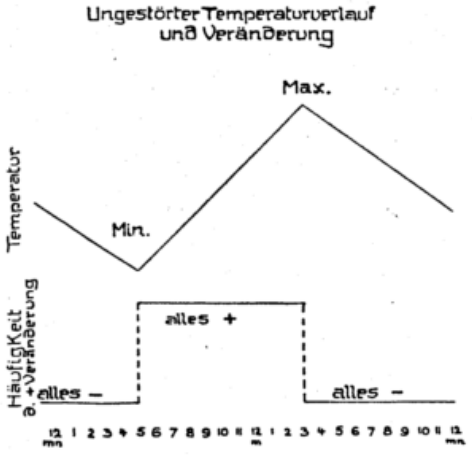

Fig. 1

[1]) G. Udny Yule. An introduction of the theory of Statistics. London 1919 Seite 8 und 75.

[2]) Vergl. auch Mazelle. Die stündliche Veränderlichkeit der Temperatur im Tagesverlaufe und die tägliche Periode der Temperatur. Denkschriften der Wiener Akademie 1913 Bd. XC.

[3]) H Hergesell und V. Bjerknes Nachruf auf Robert Wenger. Beiträge zur Physik der freien Atmosphäre. Bd. X Heft 2 und 3 Seite VII.

[4]) R. Wenger. Über methodische Fehler der aerologischen Beobachtungen. Veröffentlichungen des geophysikalischen Institutes der Universität Leipzig II. Serie. 1. Bd. Seite 228.

[5]) Ein Temperaturanstieg kann auch der Ausgleich einer vorhergehenden Abkühlung sein. Ein schönes Beispiel hiefür ist zu ersehen in A. Schmauss. Eine Miniaturpolarfront. Met. Zeitschrift 1925 Seite 196 (advektiver Frost und nachfolgende Ausstrahlung). Derartige Fälle sind aber so selten, das sie das Gesamtbild nicht stören.

Ohne weiteres steht zu erwarten, dass untertags in der Regel infolge der Einstrahlung die positiven Veränderungen gegenüber den negativen überwiegen und dass nachts das Gegenteil der Fall ist. Wir werden sehen, dass sowohl bei Tag als auch ganz besonders bei Nacht Störungen auftreten, die den Verlauf völlig umkehren können, die aber keine zufälligen Erscheinungen sind, sondern die gesetzmässig auftreten; es zeigt sich auch hier bei diesen „aperiodischen" Störungen eine gewisse Periodizität.

Der Orientierung halber wollen wir sogleich ein Beispiel[1]) vorführen: die Häufigkeitszahlen der + Veränderungen der Monate Januar und Juli der Jahre 1911—15 von Hohenpeissenberg.

	$12^{mn}-1^{a}$	1-2	2-3	3-4	4-5	5-6	6-7	7-8	8-9	9-10	10-11	$11-12^{m}$	$12^{m}-1^{p}$	1-2	2-3	3-4	4-5	5-6	6-7	7-8	8-9	9-10	10-11	$11-12^{mn}$
Januar .	14.5	13.5	15.4	11.5	13.3	11.1	13.8	16.6	20.3	23.5	**25.6**	24.0	21.5	18.2	8.7	6.8	9.4	9.6	12.0	12.9	12.9	13.2	13.9	13.3
Juli . .	11.2	10.6	13.1	12.0	17.4	21.9	25.5	25.0	26.2	27.9	**28.3**	27.0	25.5	22.9	18.0	12.7	9.2	7.8	2.9	4.0	5.1	9.5	9.7	13.4

Diese Zahlenwerte sind nicht ausgeglichen. Die Häufigkeitswerte beziehen sich auf Monatslänge (Normalmonat von 30 Tagen). Die Ordinate 15 stellt also die Mittellinie dar; liegt die Kurve oberhalb, so überwiegen die positiven Temperaturveränderungen, liegt sie unterhalb, so sind sie in der Minderheit. Das Erstere wird immer der Fall sein untertags zur Zeit der Einstrahlung, das Letztere nachts. Es ist keine „Willkür" für die Temperaturänderungen von Stunde zu Stunde massgebend, sondern ein physikalisches Gesetz.

Fassen wir die Temperaturkurve T als Funktion der Zeit t auf, so ist unsere Häufigkeitskurve bis auf einen Faktor c gleich der Kurve $\frac{d\,f\,(T)}{dt}$, wobei das dt ein Stundenintervall ist. So sind auch die Beziehungen zwischen der Temperaturkurve und der Häufigkeitskurve festgelegt.

Betrachten wir nach diesen informatorischen Sätzen kurz die in Fig. 4 Seite 28 gezeichneten Kurven auf ihren Verlauf, so finden wir:

	Januar	Juli
1. Mitteldurchgang	ca. 7—8 a	ca. 4—5 a
Maximum	„ 10 11 a	„ 10—11 a
2. Mitteldurchgang	„ 1—2 p	„ 2—3 p
Minimum	„ 3—4 p	„ 6—7. p

Die Zeit des ersten Mitteldurchganges der Häufigkeitskurve ist naturgemäss durch den Sonnenaufang festgelegt. Von dieser Zeit bis 11 Uhr vormittag überwiegen die positiven Tendenzen, ferner hat jede Stunde eine grössere Tendenz als die vorhergehende. Die Stunde von 10—11a hat in diesem gewählten Beispiel (Hohenpeissenberg) die meiste Häufigkeit für die positive Veränderung im Januar 25,6, im Juli 28,3 von 30 möglichen (des Normalmonats). Nach 11^{h} a überwiegen zwar die positiven Tendenzen noch immer, nehmen aber von Stunde zu Stunde ab, bis schliesslich im Januar zwischen 1^{h}p und 2^{h}p, im Juli zwischen 2^{h}p – 3^{h}p der Durchgang durchs Mittel stattfindet d. h. positive und negative Veränderungen gleich häufig sind. Im Temperaturgang würde dieser Punkt dem Temperaturmaximum entsprechen; es ist also die Tendenz zum Zurücktreten der positiven Veränderungen gegeben. Die negativen Veränderungen treten naturgemäss hervor; jede spätere Stunde hat positive Veränderungen, die sowohl absolut als auch relativ abgenommen haben. Den tiefsten Stand erreicht die Häufigkeitszahl von 3—4p im Januar, im Juli von 6 –7 p, also etwa zur Zeit des Sonnenunterganges. Man sollte nun erwarten, dass von den Abendstunden ab, wo die nächtliche Ausstrahlung einzusetzen beginnt, bis zum Wiedereintritt der Einstrahlung die positiven Veränderungen Null erreichen und die ganze Nacht durch die negativen Veränderungen überwiegen; statt dessen tritt folgende unerwartete Veränderung ein:

Vom tiefsten Punkt an bleibt zwar die Häufigkeit der positiven Veränderungen unter dem Mittel, bleibt aber nicht konstant, sondern steigt nachts wieder langsam an. Es braucht damit noch kein im Mittelwert des Temperaturverlaufes auftretendes Maximum verbunden sein; dies wird erst der Fall sein, wenn die Häufigkeitskurve die Mittellinie schneidet.

Auf eine physikalische Deutung dieses eigenartigen nächtlichen Anstieges werden wir noch zurückkommen. Wir werden nun, nachdem wir die Methode klarlegten, auf weiteres Beobachtungsmaterial eingehen, vorher aber noch über einzelne Eigentümlichkeiten und die Genauigkeit dieser Häufigkeitswerte uns verbreiten.

Um einen Überblick zu gewinnen, ob die Untersuchung des nächtlichen Temperaturverlaufes sich überhaupt lohnt, wurden zuerst nach Art der Forderungen des Helmert'schen Kriteriums[2]) die Vorzeichenfolgen und -wechsel untersucht. Diese nichts weniger als anregende Arbeit wurde zur Orientierung an den stündlichen Temperaturwerten des Januar 1911 auf der Zugspitze durchgeführt. Hierbei ergab sich:

	Tag (6a—6p)	Nacht (6p—6a)
a) + Folgen	171	161
b) — Folgen	152	138
c) — zu + Wechsel	64	79
d) + zu — Wechsel	70	73
also: Folgen	323	299
gegen Wechsel	134	152

[1]) Die graphischen Darstellungen dieser Werte möge Seite 28 Fig. 4 eingesehen werden.

[2]) Helmert: Über die Genauigkeit der Kriterien des Zufalls bei Beobachtungsreihen (Sitzungsberichte der K. Preuss. Akademie d. Wiss. 1905 I. S. 594).

Unterzieht man obige Zahlen, die hier aus einem Einzelmonat gewonnen sind, der Prüfung[1]) durch das Helmertsche Kriterium, so ergibt sich als Differenz Folgen – Wechsel (f-w) 1. Tag 189
2. Nacht 147;
da $2n = 24 \times 31 = 744$ ist, so ergibt sich für den mittleren Fehler $\sqrt{n-1} = 19$. Da (f-w) in beiden Fällen wesentlich grösser ist als $\sqrt{n-1}$ „so hat man Anlass zu der Vermutung, dass die Abweichungen nicht rein zufällig angeordnet sind, sondern dass ein systematischer Einfluss der Zeit vorliegt."

Für den Tag ist die grosse Anzahl der +Folgen und für die Nacht die der —Folgen selbstverständlich. Sehr gross ist bei Nacht die Anzahl der +Folgen (161) und der Wechsel von — zu + (79).

Soviel zur ersten Orientierung über die nächtlichen Temperaturanstiege, die keine „zufälligen" Erscheinungen sind, sondern die auf einen „systematischen Einfluss" zurückzuführen sind.

Die Wahrscheinlichkeit, dass bei einer „blindlings" erfolgten Temperaturänderung eine positive (oder eine negative) Veränderung auftritt ist 0,5 und zwar ist diese Wahrscheinlichkeit im Blindlingsfalle für jede Tagesstunde gleich gross. Erst dadurch, dass die Temperatur von Stunde zu Stunde physikalischen Gesetzen (z. B. Einstrahlung und Ausstrahlung) unterworfen ist, können wir von einem täglichen Gang der Veränderung von Stunde zu Stunde sprechen.

b) Der mittlere wahrscheinliche Fehler.

Um ein Urteil über die Brauchbarkeit der „Häufigkeitskurve" zu erhalten, ist es notwendig, den „mittleren wahrscheinlichen Fehler" zu bestimmen. Wir haben die stündlichen positiven Veränderungen für die einzelnen Jahreszeiten nach den fünfjährigen Ablesungen der Zugspitze zugrunde gelegt und dabei ein sehr günstiges Resultat gefunden.

Der mittlere wahrscheinliche Fehler

$$E = \pm \sqrt{\frac{s}{n(n-1)}} = \frac{\varepsilon}{\sqrt{n}}$$

ergab sich wie nachstehende Tabelle zeigt.

Mittlerer wahrscheinlicher Fehler Zugspitze 1911—15.
(Monatslänge!)

	12^{mn-1}	1-2	2-3	3-4	4-5	5-6	6-7	7-8	8-9	9-10	10-11	$11-12^{m}$	12^{m-1p}	1-2	2-3	3-4	4-5	5-6	6-7	7-8	8-9	9-10	10-11	$11-12^{mn}$
Frühjahr	0.45	0.54	0.51	0.68	0.94	1.09	1.10	1.09	0.99	0.84	0.76	0.72	0.60	0.56	0.65	0.99	0.90	0.80	0.91	**1.12**	0.76	0.76	0.51	0.65
Sommer	0.53	0.76	**0.93**	0.45	0.70	0.54	0.65	0.57	0.80	0.76	0.52	0.46	0.41	0.77	0.92	0.71	0.78	0.73	0.64	0.83	0.67	0.68	0.71	0.77
Herbst	0.58	0.53	0.63	0.37	0.83	0.61	1.01	0.88	**1.23**	0.93	0.62	0.64	0.65	0.67	1.03	0.74	0.70	0.79	1.00	0.92	1.03	0.67	0.77	0.93
Winter	0.66	0.61	0.61	0.46	0.85	0.59	0.51	0.76	0.46	0.73	0.47	0.78	0.87	0.58	0.80	0.79	0.58	0.87	0.68	0.59	0.69	0.86	0.51	**0.90**

Die Maxima der Fehler in den einzelnen Tagesstunden sind fett gedruckt; wir sehen, dass der mittlere wahrscheinliche Fehler höchstens beträgt im Frühjahr 1.12 = 3.6 %
„ Sommer 0.93 = 3.0 %
„ Herbst 1.23 = 4.1 %
„ Winter 0.90 = 3.0 %

Im extremsten Fall erreicht der mittlere wahrscheinliche Fehler (Sommer) 1.4 % als Minimum, als Maximum Herbst 4.1 %, so dass die „Häufigkeitskurve" der positiven Temperaturveränderung hinreichend genau ist. Wir werden auch späterhin uns auf die Diskussion nur jahreszeitlicher Werte beschränken und in den Fällen, in denen Monatswerte von Bedeutung sind, auf diese hinweisen.

Ehe wir weiter in die Besprechung der „Tendenzkurve", wie wir die oben definierte Kurve der Einfachheit halber heissen, eingehen, wollen wir zur weiteren Kritik auf einen wichtigen Punkt hinweisen, der sich im Laufe der Verarbeitung zeigte.

c.) Ein instrumenteller Fehler.

Zuerst wurde die Tendenz für die Zugspitze in den Jahren 1906—16 untersucht. Später aber aus Gründen der Vollständigkeit und der Homogenität mit anderen Wetterwarten, vor allem mit der Basisstation Hohenpeissenberg, die Beschränkung auf die Jahre 1911—15 vorgenommen.

Eine kritische Betrachtung des Materiales ergab folgendes, leicht zu einem Fehlschluss führendes Resultat:

In der Stunde von 8 bis 9 Uhr früh war selbst im Mittel noch eine weit geringere positive Tendenz vorhanden als in den Stunden von 7 bis 8a oder von 9 bis 10a. Greifen wir willkürlich einen Monat z. B. Juli heraus, betrachten aber wie es sich als vorteilhaft erwies, die Jahre 1906—11, 1912—16 und getrennt, so erhielten wir folgende „Tendenz" in %

	1906—1911	1912—1916
7— 8a	80 %	80 %
8— 9a	82 %	68 %
9—10a	83 %	78 %.

[1]) Vergl. noch F. Baur: Kriterien des Zufalls für langjährige meteorologische Beobachtungen. Meteorologische Zeitschrift 1923, Seite 19.

Die Veränderung der positiven „Tendenz" im Zeitraum 1906—11 entspricht dem erwarteten normalen Tagesverlauf. Die im Zeitraum 1912—16 auftretende Abminderung von 80 % auf 68 % hat ihre Ursache lediglich in der Instrumentenbedienung. Auf der Zugspitze werden die Registrierapparate mit Tagesstreifen bezogen. In den Jahren 1906—11 wurde der Streifenwechsel um 10a vorgenommen, im September 1911 jedoch auf 7a verlegt; dieser Umstand hatte einen wesentlichen Einfluss auf die Registrierung selbst und auf den Stundenwert um 9a. Um 7a wird der Apparat gewechselt, um 8a eine Kontrollablesung gemacht, eine weitere erfolgt um 10a. Der 9a-Wert wird durch Interpolation der Korrektion gewonnen. Die Annahme einer linear nach der Zeit erfolgenden Korrektionsänderung von 8a bis 10a ist unrichtig. Bei der Trägheit des Registrierapparates und den grossen Temperaturgegensätzen zwischen Instrumentenzimmer und Aufstellung (oft 25—30°) hat sich der Registrierapparat von 7a bis 8a noch nicht richtig eingestellt. Um 8a zeigt der Apparat noch zu hoch. Die für diese Stunde festgelegte Korrektion ist also (absolut) zu gross. Bis 10a wird die Einstellung im allgemeinen erfolgt sein; die Korrektion um 10a entspricht der wirklichen Differenz zwischen den Temperaturen des Registrierapparates und des Quecksilberthermometers. Der 9a-Wert der Registrierung erhält eine zu häufige und auch zu grosse negative Korrektion, wird also im Mittel zu niedrig sein; die Häufigkeit der positiven Tendenzen von 8—9a wird also geringer werden.

Es ist aus diesem Grunde nötig, eine Kritik der Einstellungsträgheit des Thermographen einzuschalten.

Ein Beispiel[1]) charakterisiert die grosse thermische Trägheit des Thermographen hinreichend.

Auf der Zugspitze wird folgendermassen verfahren: Der Thermograph wird täglich ausgewechselt; der Apparat, der einen Tag arbeitete, kann den nächsten Tag im Zimmer abtauen, er wird also innerhalb dieser Zeit Zimmertemperatur — im Winter etwa um 0° — annehmen. Wird der Apparat am anderen Morgen wieder in die Hütte gesetzt, so haben wir jedesmal einen intensiven „Kälteeinbruch" registriert. Nachfolgende Zahlenwerte benötigen keine weitere Erklärung:

Zugspitze 13. April 1912

		Stations-Therm. A.	Thermograph R.	Correkt.
Zimmertemperatur		−3	− 3.4	0
Aussentemperatur	7^{00}	**−20.6**	− 3.4	−17.2
	7^{15}	(−20.3)	−17.4	(−2.9)
	7^{30}	(−20.1)	−18.1	(−2.0)
	7^{45}	(−19.8)	−18.7	(−1.1)
	8^{00}	**−19.6**	−18.9	−0.7
	8^{15}	(−19.5)	−18.8	(−0.7)
	8^{30}	(−19.3)	−19.0	(−0.3)
	8^{45}	(−19.2)	−19.0	(−0.2)
	9^{00}	**−19.1**	−19.1	0.0
	9^{15}	(−19.0)	−19.0	(0.0)
	9^{30}	(−18.9)	−18.9	(0.0)
	9^{45}	(−18.7)	−18.7	(0.0)
	10^{00}	**−18.6**	−18.6	0.0

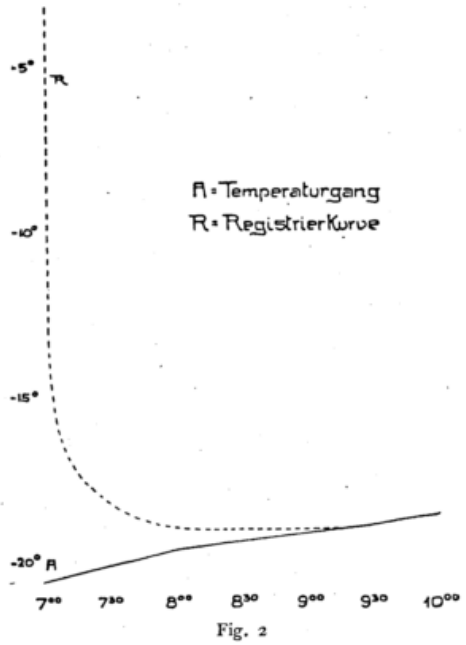

Fig. 2

Die nach einer Exponentialfunktion erfolgende Einstellung auf die um 17° niedrigere Aussentemperatur dauerte genau 2 Stunden. (Fig.2) Würden wir denWert für 8a durch Interpolation zwischen 7a und 9a gewinnen, so würde dies einen um 0.7° zu hohen Wert ergeben.

Erst um 9a folgt der Thermograph dem leichten Temperaturanstieg der Luft. Für die Einstellungsgeschwindigkeit war noch die am 13. April 1912 genügende Ventilation durch N 4 sehr günstig. Durch die grosse thermische Trägheit des Thermographen beim täglichen Wechsel erklären sich auch die unreellen Extreme in den Häufigkeitskurven der Zugspitze um 8a (früher um 11a), die wir dort nicht ausgeglichen haben.

Die meisten Wetterwarten nehmen den Streifenwechsel an den Apparaten nur einmal in der Woche vor; dann ist fürs erste der Temperaturunterschied unbedeutend, fürs zweite würde ein auftretender Fehler sich nur einmal wöchentlich bemerkbar machen, aber keinen Einfluss auf den Verlauf der Häufigkeitskurve ausüben.

2. Möglichkeiten der Beeinflussung der Tendenzkurve.

a) Durch die Hüttenaufstellung.

α) Mangelhafter Strahlungsschutz.

Da wir mit der Häufigkeitskurve oder „Tendenz-"kurve einen neuen Begriff einführten, so müssen wir alle Fehler, die das Resultat oder das Zustandekommen des grundlegenden Zahlenmateriales beeinflussen könnten, kritisch beleuchten.

[1]) Einer noch nicht vollendeten Arbeit entnommen.

Es könnte wohl möglich sein, dass bei verschiedenen Beobachtungsorten die abgelesenen Werte beeinflusst sind. „Es ist aber auch mehr als wahrscheinlich, dass auch die Temperaturregistrierungen nicht nur an Gehängestationen, sondern auch an manchen Bergobservatorien etwas zu hohe Werte geben; die üblichen Thermometerhütten schützen durchaus nicht vollständig gegen Strahlungseinfluss; und selbst bei Fensteraufstellung auf der Nordseite eines Hauses ist nach meinen Erfahrungen an vielen Stationen, insbesondere morgens und abends, ein merklicher Strahlungseinfluss festzustellen.“[1]) Ganz allgemein kann der Strahlungseinfluss nicht zugegeben werden; aber bei der einen oder anderen Wetterwarte, auch bei Flachlandstationen, die hier verwendet wurden, wird diese Behauptung zutreffen können. Für unsere vorliegende Untersuchung hat dies aber keine prinzipielle Bedeutung, da hier ja nicht der Temperaturgang sondern die stündliche Veränderung besprochen wird. Sollte sich wirklich Strahlungseinfluss geltend machen z. B. bei der Zugspitze mit der N-Seitenaufstellung, so müsste sich deutlich ein Abfall der Kurve bei Ausschaltung des ev. Strahlungseinflusses geltend machen. Beim Säntis ist die Beeinflussung der „Tendenz-“kurve durch Strahlung Tatsache, sie lässt sich aber leicht eliminieren. Der eigenartige Verlauf der Tendenz ist aber, wie wir zeigen können, immer vorhanden, auch an trüben Tagen und, wie wir sehen werden, besonders ausgeprägt bei Nacht.

β) Beeinflussung durch die Masse der Hütte.

Es könnte der Einwand gemacht werden, dass die Temperaturveränderung des in einer Hütte aufgestellten Thermometers oder Thermographen durch die Temperaturverhältnisse der Hüttenwände selbst wesentlich beeinflusst werde. Die Hütte erwärmt sich mehr als die Luft, andererseits kühlt sie sich auch stärker ab. Die so entstandenen Differenzen Hüttenwand und Luft werden erst allmählich nach Sonnenuntergang bezw. -aufgang auf kurze Zeit wieder ausgeglichen werden. Die genauesten Untersuchungen über das thermische Verhalten der Wild'schen Normalhütte hat Assmann[2]) angestellt, als er den Nachweis für die Leistungen seines Aspirations-Thermometers erbrachte. Die dort auf Seite 205—211 veröffentlichten Vergleichsresultate zwischen Hütte und Aspirationsthermometer lassen keine Abweichung des Sinnes der Veränderung der Temperatur von Stunde zu Stunde innerhalb und ausserhalb der Hütte erkennen, selbst die dort mitgeteilten Beobachtungen im Intervall von 10 zu 10 Minuten, je 5 Minuten, ergeben fast ausschliesslich den gleichen Sinn der Veränderung, die ungleich weniger von dem thermischen Verhalten der Hütte beeinflusst wird wie die abgelesenen Temperaturwerte selbst, die zur Zeit der Ausstrahlung noch lange durch den tagsüber aufgespeicherten Wärmevorrat zu hoch ausfallen. Die meist im Gebrauch befindliche englische Hütte besitzt eine wesentlich geringere Holzmasse, ihre thermische Trägheit ist also geringer.

γ) Schlechterer Temperaturausgleich.

Der Umstand, dass die Registrierapparate in einer Hütte aufgestellt sind, äussert sich auch in der thermischen Trägheit derselben. Wenn man die Bruchteile der Temperaturdifferenz[3]), welche in einer Minute ausgeglichen sind, für die freie Exposition und für eine Hütte bestimmt, so verhalten sich diese wie 0.78:0.53. Für unsere Untersuchung spielt diese Einstellungsträgheit auf Temperaturschwankungen keine Rolle, da es sich um die grosse Zeitdifferenz von einer Stunde handelt. Meist ist auch die Ventilation so gross, dass auch dieser Punkt wenigstens qualitativ ausscheiden dürfte.

b) Durch meteorologische Ursachen.

α) Die Luftunruhe.

Es liegt der Gedanke sehr nahe, dass der Luftaustausch[4]), der im wesentlichen durch die Uebererwärmung des Erdbodens gesteigert wird, diese Temperaturzunahme mit verursacht. Auf Grund des Tagesverlaufes der Luftunruhe[5]) von Lindenberg wurde die am ähnlichsten, für obige Behauptung also günstigste, Tendenzkurve (Moskau Sommer) mit ihr verglichen und sowohl für die ganze Tageskurve als wie für die einzelnen 6 Stunden-Intervalle der Korrelationsfaktor berechnet.

Es beträgt		die Gesamtkorrelation	0.38
„	„	der K. F. für das Intervall 12 mn– 6a	–0.11
„	„	„ „ „ „ „ „ 6a –12 m	–0.16
„	„	„ „ „ „ „ „ 12 m – 6 p	0.16
„	„	„ „ „ „ „ „ 6 p –12 mn	–0.09

Der Fehler, also die Unsicherheit des Korrelationsfaktors, ist für die Gesamtbeziehung ± 0.12, hat also den grossen Wert von 1/3 des K-Faktors. In den einzelnen Intervallen sind Fehler und Korrelationsfaktor von der gleichen Grössenordnung. Bei der Kleinheit des Faktors und der Grösse des Fehlers ist also nach den Wahrscheinlichkeitsprinzipien das Fehlen jeglicher Beziehung mit der „Aktivität“, dem Spiel der auf- und absteigenden Luftströme, erwiesen.

β) Einfluss des Windes.

Wir haben schon im 1. Teil auf die thermische Struktur des Windes[6]) hingewiesen. Dort handelt es sich um das Auftreten einzelner nächtlicher Maxima, hier wollen wir überlegen, ob der thermische Einfluss des Windes in seiner Veränderlichkeit Einfluss auf die Tendenzkurve haben kann. Wir konnten keine gegenseitige Beziehung feststellen.

---

[1]) A. Wagner. Luftdruckgradient und Windstärke über Mitteleuropa bis 16 km Höhe. Meteor. Zeitschr. 1923 Seite 295.

[2]) Das Aspirations-Psychrometer. Abhandlungen des K. Preuss. Meteor. Institut. Bd. I Nr. 5 Seite 117—270.

[3]) Nach W. Schmidt. Bestimmung der Einstellungsträgheit von Thermometern. Meteor. Z. 1910 Seite 400. Vergl. auch R. Geiger über die Registrierung von Kälteeinbrüchen. Meteor. Z. 1924 Seite 207.

[4]) W. Schmidt: Der Massenaustausch in freier Luft und verwandte Erscheinungen. Hamburg 1925 Seite 102.

[5]) M. Robitzsch: Untersuchungen über kurzperiodische Schwankungen der Lufttemperatur. Ergebnisse der Arbeiten des Preuss. Aeronat. Observ. Lindenberg 13. Bd. 1917 pag 95.

[6]) E. Barkow. Ueber die thermische Struktur des Windes. Met. Zeitschr. 1915 Seite 104.

Die nächtliche Abkühlung ist besonders gross, wenn Windstille herrscht; bei Luftbewegung werden immer wärmere oder kältere Luftmassen herbeigeschafft. Wie Defant[1]) feststellt, ist aber nur in sehr wenigen Fällen die Luftbewegung Ursache der Abkühlung; im Gegenteil sie bedingt immer relative Erwärmung der unteren Luftschichten. Die Durchmischung der unteren, sonst bei Windstille stagnierenden, Luftmassen mit den oberen, wärmeren scheint schon bei einer Windstärke von der Stufe 3 (Beaufort) genügend zu sein, um einen Temperaturausgleich der beiden verschieden temperierten Luftmassen herbeizuführen. Die Luftbewegung verzögert in den ersten vier Stunden nach Sonnenuntergang die nächtliche Abkühlung. Nach W. Schmidt[2]) veranlasst diese ungeordnete Bewegung in der Horizontalen einen Massenaustausch der neben und über einander strömenden Luftmassen; bei einer bestimmten vertikalen Temperaturverteilung wandert ein gewisser Energiebetrag gegen den Erdboden. Hierin erblicken wir gerade grundsätzlich andere Tatsachen als wie diejenigen, die unserer „Tendenz" zugrunde liegen. Hier sind wir nicht an die Nähe des Erdbodens gebunden, sondern haben eine auch in der Höhe vorkommende und, wie wir sehen werden, vom meteorologischen Einflusse unabhängige Erscheinung vor uns; vor allem ist die Existenz von Inversionen und von Wind nicht nötig.

Der Wind kann noch in dritter Hinsicht eine Rolle spielen. Für das Alpengebiet d. h. Gebirgslagen überhaupt und da in erster Linie im Winter, muss man immer an „Ausstrahlungswinde" im Sinne Sandströms[3]) denken. Nach anderweitigen Untersuchungen[4]) findet sowohl morgens und abends als auch nachmittags ein Abströmen der Luft gegen die Ebene statt und zwar nicht nur im Winter. Im Einzelfall kann ein Maximum wohl dynamisch erklärt werden. Diese Feststellung genügt aber nicht für Erklärung bei Orten ausserhalb des Gebirges, auch nicht für die nachts ständig ansteigende Tendenz und auch nicht für das Auftreten von Häufigkeitsmaxima zu ganz bestimmten Nachtstunden.

γ) Einfluss der Bewölkung (Kondensation, Nebel).

Es lassen sich gegen die „Tendenz"-Kurve allerlei Einwände erheben; hauptsächlich ist daran zu denken, dass periodisch ablaufende Vorgänge in der Atmosphäre sich in der „Tendenz"-Kurve direkt oder invers bemerklich machen.

So ist vor allem die Möglichkeit der Beeinflussung durch die Bewölkung, die ja einen typischen täglichen Gang aufweist, zu erwägen. Der Einwand, dass in den Abendstunden einsetzende Bewölkung, die ja auf die Ausstrahlung hemmend wirkt, sich hier ungünstig bemerkbar macht, kann auf Grund stündlicher Bewölkungsbeobachtungen widerlegt werden. Bedauerlicherweise sind stündliche Wolkenbeobachtungen nur sehr spärlich vorhanden; uns bekannt und erreichbar werden lediglich die Stundenwerte von Biberach[5]), die wir zusammengefasst mitteilen:

	12mn-1a	1-2	2-3	3-4	4-5	5-6	6-7	7-8	8-9	9-10	10-11	11-12m	12m-1p	1-2	2-3	3-4	4-5	5-6	6-7	7-8	8-9	9-10	10-11	11-12mn
Winter .	7.5	7.5	7.5	7.6	7.9	8.0	8.2	**8.3**	8.2	8.1	8.0	8.0	7.8	7.8	7.8	7.8	7.8	7.6	**7.4**	7.4	7.5	7.6	7.6	7.6
Sommer .	5.7	**5.6**	5.8	6.0	6.5	6.7	6.6	6.5	6.5	6.6	6.8	**7.0**	6.9	6.9	6.9	6.8	6.7	6.6	6.5	6.6	6.6	6.1	5.9	5.6

Aus dem Tagesverlauf sehen wir folgende für uns wichtige Tatsache: die Bewölkung nimmt im Mittel ab 5p ab; im Sommer tritt wegen der periodisch deutlich ausgeprägten Auflösung der Tagesbewölkung der Abfall während der Nacht besonders deutlich hervor. Das Minimum der Bewölkungsziffer liegt zwischen 1 und 2a, im Winter zwischen 12 mn und 1a. Es ist also nicht, wie vielfach als Grund für die Nachtmaxima angeführt wurde (Hellmann u. a.), der vermehrte Schutz gegen die Ausstrahlung vorhanden; im Gegenteil zur Zeit der „kritischen Stunden" hat die Bewölkung ein Minimum. Es ist nicht ein für uns günstiges durch lokale Verhältnisse in Biberach verursachtes Zufallsergebnis. Auch andere[6]), so z. B. die für Vierteljahre mitgeteilten[7]) Stundenwerte der Bewölkung von Strassburg, Wien und Crefeld zeigen denselben Tagesverlauf; für Orte ausserhalb des mitteleuropäischen Klimagebiets waren keine Stundenwerte der Bewölkung zu erhalten, sie hätten auch sicher kein anderes Resultat ergeben.

Es könnte auch daran gedacht werden, dass die in heiteren Nächten zu einer bestimmten Stunde einsetzende Nebelbildung sowohl wegen des dann auftretenden Schutzes gegen die Ausstrahlung als auch wegen des Freiwerdens der Kondensationswärme Einfluss auf die Tendenz hat.

Bei Untersuchungen über das Frostproblem[8]) weist A. Ångström mit folgenden Worten hierauf hin:

„An interesting feature is the maximum often occurring a couple of hours before sunrise, especially on clear night. It is probably caused by mist or fog in the morning and is charakteristic for valley regions in this part of the country."

Vor allem ist hier nur auf das lokale Auftreten des nächtlichen Maximums und nicht auf die allgemeine Tatsache des „Tendenz"-Anstieges Rücksicht genommen, die ja beständig wächst; diese obige Bemerkung muss uns aber doch veranlassen das Auftreten von Nebel und die Einwirkung der Kondensation zu untersuchen.

Es ist quantitativ schwer einzusehen, dass die Kondensation die dauernde Zunahme der Häufigkeitswerte bedingen kann; was nun das Auftreten nächtlicher Temperaturmaxima betrifft, so haben wir meist die gegenteilige Tatsache fest-

---

[1]) A. Defant. Die nächtliche Abkühlung der untersten Luftschichten bei bewegter Luft. Annalen der Hydr. und mar. Met. 1919 Seite 224.

[2]) W. Schmidt l. c.

[3]) J. W. Sandström. Eine meteorologische Forschungsreise in dem schwedischen Hochgebirge. Abhandl. der K. Schwed. Akad. der W. Bd. 50 Nr. 9 pg. 5 u. ff.

[4]) A. Defant. Die Windverhältnisse im Gebiete der ehemaligen Oesterr.-Ungarischen Monarchie. Anhang zum Jahrbuch der Zentralanst. für Met. u. Geod. 1920 Seite 4.

[5]) Entnommen den Württembergischen Meteorologischen Jahrbüchern 1911—15.

[6]) A. Defant. Ausstrahlung, nächtliche Abkühlung und Bewölkung. Stockholm. Geografiska Annaler 1922 Heft 1 Seite 99.

[7]) E. Alt. Klimatologie von Süddeutschland III. Teil: Die Bewölkungsverhältnisse. Deutsches Met. Jahrb. f. Bayern 1916 Seite D 18.

[8]) A. Ångström Studies of the frost problem III Geografiska Annaler 1923 Heft 4 Seite 409.

zustellen, dass mit Verschwinden des Nebels die Temperatur anstieg. Hier beeinflusste nicht der Nebel die Temperatur, sondern die Temperatur stieg aus dynamischen Gründen, die zugleich die Auflösung des Nebels verursachte.

Eine reine statistische Untersuchung der Fälle, in denen auf der Zugspitze oder dem Hohenpeissenberg die Feuchtigkeit $< 100\%$ war und nachher Nebelbildung eintrat, ergab folgenden gleichzeitigen Temperaturverlauf: Entweder fiel die Temperatur beständig, oder sie stieg beständig, vielfach war sie bald steigend, bald fallend. Besonders in letzterem Falle waren Temperaturanstiege nach der Sättigung relativ selten zu verzeichnen.

Die Untersuchung des Verlaufes der „Tendenz"-Kurve an Tagen, an denen abends Nebel einfiel (30 Tage der Monate Oktober und November 1911—15 in München) bot nichts wesentlich neues: Vormittags von 11—12^h traten noch 28 + Veränderungen auf, von 4—5p nur mehr 2, dann erfolgte in gewohnter Weise der steile Anstieg. Maxima sind angedeutet von 7—8p, 12mn—1a und 2—3a. Wir wollen diesen aber kein zu grosses Gewicht beilegen, da sie wohl bei längerer Reihe verschwinden werden. Uns interessiert nur die Tatsache, dass wir auch an Nebeltagen mit gleichmässig ansteigender Tendenzkurve rechnen müssen. Dass es sich hiebei aber nicht um freiwerdende Kondensationswärme handelt, erhellt aus der Tatsache, dass im Allgemeinen — wie zu erwarten steht — die Veränderungen der relativen Feuchtigkeit die inversen Kurvenbilder der Veränderung der Temperatur sind. Wenn einer +-Temperaturänderung eine negative der Feuchtigkeit entspricht, so kann es sich nur um dynamische Vorgänge handeln.

Der Verlauf der Tendenzkurve der Feuchtigkeit wurde auch noch für die Januarmonate der Jahre 1911—15 für Hiroshima untersucht, wobei sich folgendes Endresultat ergab: Von 10a ab nimmt die Feuchtigkeitstendenz beständig zu bis 6p; von 6p ab fällt dann dieselbe beständig bis 10a! Es kann sich also nur um dynamische Vorgänge in der Atmosphäre handeln, tagsüber um die Streckung, nachts um die Schrumpfung der Atmosphäre.

δ) Verminderte Ausstrahlung.

Verschiedene Ursachen scheinen nächtlichen Temperatursteigerungen günstig zu sein, die, wenn sie auch scheinbar unbeträchtlich sind, sich dennoch in unserer „Tendenz"kurve bemerkbar machen können. Vor allem ist an die Strahlung zu denken: Die wärmeschützende Wirkung der Atmosphäre gegen Ausstrahlung ist nachts grösser als tagsüber, da die Durchlässigkeit für dunkle Strahlen durch die direkte Sonnenstrahlung erhöht wird. Einen treffenden Beitrag zur Bestätigung dieser Tatsache lieferte die Beobachtung[1]) der totalen Sonnenfinsternis im August 1914: Das Ausstrahlungsmaximum trat nicht während, sondern vor und nach der totalen Phase der Finsternis ein.

An zitierter Stelle ist ein für den nächtlichen Strahlengang charakteristisches Diagramm von Neapel (5. bis 6. September 1908) nach Lo Surdo beigegeben, das um 1 Uhr nachts ein typisches Minimum der Ausstrahlung aufweist.

Weiter auf die Abhängigkeit der Strahlungsveränderungen der Atmosphäre[2]) bei Beleuchtung einzugehen, hat im Rahmen dieser Arbeit keine Berechtigung. Eine Beeinflussung sowohl der Temperaturanstiege als auch der Tendenzkurve durch die Mondstrahlung dürfte nicht zu sehr ins Gewicht fallen, da wir ja nur bei fehlender Mondstrahlung und Wolkenfreiheit günstige Bedingungen feststellen können. Wir haben lediglich der Vollständigkeit halber diesen Punkt angeführt.

ε) Gegenstrahlung.

Es kann beispielsweise eine beständige Temperaturzunahme von Stunde zu Stunde durch folgende Situation bedingt werden: Am Boden liege eine Luftschicht mit einer Temperatur von -5^0 (15.—16. Januar 1925) darüber befinde sich eine Inversion von 3^0. Dieser Zustand kann, da er stabil ist, sich wochenlang erhalten. An oben genanntem Tage trat nun der Bewölkungsschirm einer im Norden vorbeiziehenden Depression auf, ohne dass jedoch der warme Sektor derselben unser Gebiet erreicht hätte. Es trat trotzdem am Boden Erwärmung auf: Die Temperatur von -5^0, die wir in den unteren Luftschichten massen, ist die Bilanz zwischen Einstrahlung und Ausstrahlung; untertags überwiegt erstere, nachts letztere. Wird nun nachts, wie oben durch auftretende Bewölkung, die Ausstrahlung unmöglich, so überwiegt die von der Inversionsschichte ausgehende Erwärmung: Die Bodenluftschichte wird schliesslich durch Strahlung bis zur Inversionstemperatur erwärmt.

Solche Fälle sind also möglich, unter gewissen Umständen werden sie also die „Tendenz"-kurve beeinflussen können. Von einer wesentlichen Beeinträchtigung kann aber in unserer Breite wegen der geringen Häufigkeit ihres Auftretens nicht gesprochen werden; im Polargebiet, wo dauernd Inversionen vorhanden sind, wird dieser Punkt unter Umständen wesentlich werden.

Kann nicht überhaupt immer die Gegenstrahlung der Atmosphäre[3]) die nächtliche Zunahme der Tendenz verursachen? Wir werden diese Frage verneinen müssen. Solche Einzelfälle wie der obige sind zu selten und überdies nur im Winter möglich. Wir haben die nächtliche Tendenzsteigerung im allgemeinen und besonders um 2a auf Bergen, während im Tale infolge der Abkühlung die Tendenz wenig sich ändert; die Tendenzzunahme zur Nachtzeit haben wir auch im Sommer, also zu der Zeit, in der die untersten Bodenluftschichten am wärmsten sind. Sofort nach Sonnenuntergang beginnt die Tendenz anzusteigen, zu dieser Zeit sind aber die oberen Schichten noch kälter wie die unteren. Ferner tritt diese Tendenzsteigerung ganz markant nicht nur an heiteren, sondern auch an völlig trüben (Sommer-)Tagen auf. Die oben angeführte Möglichkeit stärkerer Beeinflussung in der Winternacht der Polarregion setzt Luftruhe voraus, ein Fall der selten auftreten wird.

---

[1]) Anders Ångström. Die effektive Ausstrahlung während der totalen Sonnenfinsternis am 21. August 1914. Meteor. Zeitschrift 1916 Seite 56.

[2]) Vergl. besonders: Lo Surdo Nuovo Cimento Serie 5 Band 15. 1908.
Exner F. Met. Zeitschrift 1903 Seite 409.
E. von Bahr. Ann. der Physik. 1910 Seite 598.

[3]) Vergl. auch Hann-Süring, Lehrbuch der Meteorologie. 4. Aufl. Seite 45.

Wir mussten wiederholt auf diese Punkte zu sprechen kommen; denn die Strahlung des Himmels ist nicht so gering einzuschätzen, wie man es früher tat. In 50° Breite kann im Januar durch die Strahlung der Atmosphäre dem Erdboden 2—3 mal soviel Wärme zugeführt werden wie durch die Sonnenstrahlen[1]).

Es wäre auch ferner von einem anderen Gesichtspunkte aus möglich, dass die nächtlichen Temperaturanstiege auf Strahlung zurückzuführen wären:

Über die nächtliche Abkühlung[2]) schreibt Defant folgendes:

„Dass der nächtliche Temperaturabfall überhaupt nicht rascher und intensiver erfolgt, wird allgemein der schützenden Hülle der Erdatmosphäre zugeschrieben; die Gegenstrahlung der Atmosphäre verhindert eine kräftigere Ausstrahlung des Erdbodens und der unteren Luftschichten. Die atmosphärische Strahlung hängt zunächst vom Absorptionsvermögen der Erdatmosphäre für dunkle Strahlung ab. Diese ist aber in erster Linie durch den Gehalt der Atmosphäre an Wasserdampf bedingt. Je grösser der Wasserdampfgehalt der Atmosphäre, desto grösser ist demnach die Gegenstrahlung der letzteren, die „Strahlung der Luft"."

Nach Emden[1]) ist ferner anzunehmen, dass jede Luftschichte proportional ihrem Gehalt an Wasserdampf absorbiert und emittiert. Es muss sich also zur Zeit der Ausstrahlung des Erdbodens und des Beginnes des Temperaturrückgangs der Luft die Strahlung der Atmosphäre dementsprechend bemerkbar machen müssen. Je grösser z. B. also an heiteren Tagen der Wasserdampfgehalt der Luft ist, desto sanfter wird der nächtliche Temperaturrückgang sein müssen, er wird um so schroffer sein, je geringer der Wasserdampfgehalt der Luft ist.

Wir untersuchten nun auf Grund der Zugspitzbeobachtungen und Registrierungen der Jahre 1911—1915, in wiefern die von Stunde zu Stunde wechselnde Häufigkeit der positiven Temperaturänderung von der schützenden Hülle der Atmosphäre, vom Wasserdampfgehalt abhängig ist. Wir trafen für diese Untersuchung die Auswahl, dass nur Nächte herangezogen wurden, in denen um 9hp folgende Bedingungen erfüllt waren:

1. Bewölkungsziffer $\leq$ 3/10
2. Windstärke $\leq$ 3 m/sec

Hernach wurde die Temperaturveränderung von 6—9 p und von 9 p—12 mn der Grösse und dem Sinne nach bestimmt. Es ergab sich folgendes Resultat:

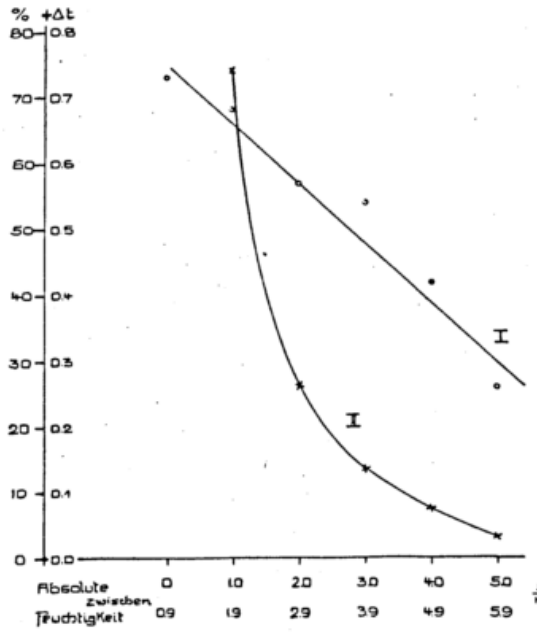

Fig. 3

Absolute Feuchtigkeit	I. Mittlere Temperatur-Zunahme	II. Proz. Häufigkeit der +Veränderung
bis 0.9 $\frac{g}{m^3}$	(0.73°	zu selten)
zwischen 1.0 und 1.9 „	0.68°	74%
„ 2.0 und 2.9 „	0.57°	26%
„ 3.0 und 3.9 „	0.54°	13%
„ 4.0 und 4.9 „	0.42°	8%
über 5.0 „	0.26°	3%

Nebenstehende Figur 3 lässt die Zusammenhänge deutlicher erkennen.

Kurve I zeigt uns die mit wachsendem Wasserdampfgehalt linear abnehmende Grösse des mittleren Temperaturanstieges, während Kurve II die im gleichen Sinne, aber rascher erfolgende Häufigkeitsveränderung angibt. Wir können hieraus folgern:

Je geringer (grösser) abends die absolute Feuchtigkeit ist, desto grösser (geringer) ist die Temperatursteigerung und die Häufigkeit derselben.

Nach obigem Resultat ist also eine durch die Feuchtigkeit bestimmte Gegenstrahlung der Atmosphäre nicht von Einfluss. Wir werden auch hier wie früher schon bei dem eventuellen Einfluss der Kondensation auf die Annahme dynamischer Vorgänge hingewiesen.

ζ) Staubgehalt.

Die geringere nächtliche Abkühlung höher gelegener Luftschichten ist durch ihre grössere Entfernung vom erkaltenden Erdboden und ihrer Staubfreiheit[1]) [3]) bedingt.

Diese für die Theorie der nächtlichen Abkühlung sehr wichtigen Überlegungen, die auf einem Gegensatz zwischen den höheren und niedrigeren Luftschichten basieren, gestatten keine Erklärung für die — wie wir später eingehend sehen

[1]) R. Emden. Über Strahlungsgleichgewicht und atmosphärische Strahlung. Sitzungs-Bericht der Bayer. Akademie der W. 1913, Februar, Seite 136—141 u. 55.

[2]) A. Defant. Die nächtliche Abkühlung der unteren Luftschichten und der Erdoberfläche in Abhängigkeit vom Wasserdampfgehalt der Atmosphäre. (Der Einfluss der Strahlung der Atmosphäre auf den nächtlichen Temperaturgang von Boden und Luft.) Sitzungsberichte der Wiener Akademie 1916, Bd. 125 Seite 1540.

[3]) A. Defant. Über die nächtliche Abkühlung der untersten staubbeladenen Luftschichten. Annalen der Hydrographie und maritimen Meteorologie 1919. Seite 93—105.

werden — in verschiedenen Niveaus und bei jeder Situation auftretende Tendenz der mit fortschreitender Nacht zunehmenden Temperatursteigerungen. Wir haben diese im allgemeinen feststellen können in den zwei unteren Schichten[1]) der Staubtrübung, der ersten bis 1 km und der zweiten, wesentlich leichteren zwischen 3 und 4 km Höhe und zwar in beiden Zonen in unverändertem Masse, sodass also zu ersehen ist, dass die Einwirkung verschiedener Staubgehalte sich nicht geltend macht, obwohl die Unterschiede zwischen den Erdboden nahen Schichten und den höheren Lagen z. B. 2000 m (Patscherkofel[2]) sehr gross sind, hier oft 0 Staubteile, dort 10^5 pro cm ^{3}.

B. Spezieller Teil: Diskussion.

1. Der Einfluss verschiedener Klimate.

a) Hochgebirgsklima (Talorte und Gipfelstationen).

Wir wollen nun zur Diskussion der „Tendenzkurve" selbst übergehen und zunächst die aus dem Beobachtungsmateriale von Hohenpeissenberg und von der Zugspitze abgeleiteten Werte[3]) betrachten.

Häufigkeitsmittel der Temperaturzunahme.

1. Hohenpeissenberg.

1911–1915	12mn–1	1–2	2–3	3–4	4–5	5–6	6–7	7–8	8–9	9–10	10–11	11–12 m	12–1	1–2	2–3	3–4	4–5	5–6	6–7	7–8	8–9	9–10	10–11	11–12 mn
Januar	14.5	13.5	15.4	11.5	13.3	11.1	13.8	16.6	20.3	23.5	**25.6**	24.0	21.5	18.2	8.7	6.8	9.4	9.6	12.0	12.9	12.9	13.2	13.9	13.3
Februar	11.2	11.4	11.5	13.2	12.3	11.6	13.2	16.2	21.8	23.4	22.4	23.7	23.3	20.3	10 3	7.8	3.1	4.0	6.8	7.9	10.2	13.5	13.3	12.1
März	14.8	15.1	12.9	12.3	12.7	12.4	16.3	24.1	**27.5**	25.6	25.5	27.3	24.8	22.3	15.6	10.5	5.9	3.5	4.0	5.4	8.2	10.2	12.0	11.0
April	9.5	11.1	12.0	9.2	10.1	14.6	19.8	24.4	26.3	26.9	**27.7**	25.6	25.2	23.2	18.3	11.1	5.4	4.0	1.7	2.7	3.9	7.4	11.6	12.1
Mai	11.8	12.2	12.2	11.9	15.9	23.4	24.9	25.7	**28.1**	27.3	25.4	25.7	25.3	24.0	15.9	14.1	8.2	3.6	3.3	2.9	4.1	8.2	9.6	13.3
Juni	10.7	13.2	10.1	14.4	21.2	22.9	24.5	25.1	**25.7**	25.0	24.1	23.5	21.4	19.2	16.3	11.2	9.7	8.4	4.9	5.9	5.9	8.9	9.6	12.8
Juli	11.2	10.6	13.1	12.0	17.4	21.9	25.5	25.0	26.2	27.9	**28.3**	27.0	25.5	22.9	18.0	12.7	9.2	7.8	2.9	4.0	5.1	9.5	9.7	13.4
August	13.3	11.2	13.7	12.5	14.0	20.8	23.3	24.4	25.5	26.8	**27.3**	25.2	24.3	23.5	18.1	11.7	6.4	6.4	3.3	4.5	4.7	9.5	9.9	11.9
September	12.1	11.3	12.8	11.2	12.8	15.1	18.9	24.6	25.6	**26.5**	25.2	23.9	25.1	23.8	15.4	9.2	4.7	3.4	3 3	5.9	7.1	10.3	10.4	9.9
Oktober	13.8	13.5	13.0	13.1	15.9	13.5	13.5	24.1	**27.0**	25.6	26.4	26.9	23.8	21.8	10.9	5.7	3.2	4.3	6.6	8.7	11.2	11.4	13.3	11.7
November	12.3	11.9	13.0	15.1	12.5	11.6	14.2	18.9	21.5	**22.7**	**22.7**	**22.7**	22.0	20.5	9.8	6.5	7.5	8.5	11.8	11.4	13.8	10.3	11.8	11.0
Dezember	14.4	15.3	14.5	15.9	14.0	13.6	14.9	18.4	20.5	21.9	**24.9**	23.1	21.4	18.4	11.1	7.1	8.4	11.9	13.4	14.0	14.9	15.4	13.0	15.1
Winter	13.4	13.4	13.8	13.5	13.2	12.1	14.0	17.1	20.9	22.9	**24.3**	23.6	22.1	19.0	10.0	7.2	7.0	8.5	10.7	11.6	12.7	14.0	13.4	13.5
Frühjahr	12.0	12.8	12.4	11.1	12.9	16.8	20.3	24.7	**27.3**	26.6	26.2	26.2	25.1	23.2	16.6	11.9	6.5	3.7	3.0	3.7	5.4	8.6	11.1	12.1
Sommer	11.7	11.7	12.3	13.0	17.5	21.9	24.4	25.1	25.8	**26.6**	**26.6**	25.2	23.7	21.9	17.5	11.9	8.4	7.5	3.7	4.8	5.2	9.3	9.7	12.7
Herbst	12.7	12.2	12.9	13.1	13.7	13.4	15.5	22.5	24.7	**24.9**	24.8	24.5	23.6	22.0	12.0	7.1	5 1	5.4	7.2	8.7	10.7	10.7	11.8	10.9

2. Zugspitze.

1911–1915	12mn–1	1–2	2–3	3–4	4–5	5–6	6–7	7–8	8–9	9–10	10–11	11–12 m	12–1	1–2	2–3	3–4	4–5	5–6	6–7	7–8	8–9	9–10	10–11	11–12 mn
Januar	12.0	13.8	14.0	13.7	14.6	15.6	14.7	**20.0**	16.6	**20.0**	**20.0**	18.8	17.9	15.7	12.4	11.3	8.5	11.0	12.4	13.9	13.5	13.7	12.1	13.6
Februar	12.2	11.1	11.7	12.0	11.0	13.4	13.6	20.0	18.0	18.9	**20.5**	18.3	18.8	16.0	13.2	12.3	8.2	8.3	11.4	12.3	11.4	12.3	13.3	9.5
März	11.2	10,9	12.2	10.2	12.5	15.3	18.3	21.9	20.7	23.1	**24.4**	22.9	21.8	20.7	15.9	13.3	9.6	7.3	9.4	12.7	12.6	12.0	11.8	13.0
April	10.5	9.6	10.9	10.8	12.4	19.7	21.8	23.6	19.7	21.9	**24.5**	22.6	22.1	21.4	18.0	12.9	11.3	6.9	4.3	8.6	9.3	8.1	9.5	11.3
Mai	11.4	10 4	11.3	12.2	17.3	22.3	24.7	**26.7**	23.4	22.4	25.3	25.8	21.9	22.7	17.2	14.9	10.2	7.2	4.9	6.5	6.7	10.0	9.0	9.8
Juni	10.5	9.2	10.7	11.7	19.5	22.9	23.6	**24.3**	20.5	23.5	24.1	23.3	22.2	19.4	15.5	12.9	11.9	10.0	7.3	3 4	3.8	7.0	7.7	8.2
Juli	11.7	10.3	11.6	12.4	18.2	24.1	23.3	**25.2**	21.2	23.4	22.7	24.7	21.5	18.5	17.7	13.2	12.4	11.9	6.7	6.0	6.2	9.8	9.9	9.8
August	11.0	10.2	11.9	11.7	14.3	21.4	23.2	**24.9**	20.8	23.2	**24.9**	24.2	23.4	22.4	16.3	14.3	10.9	7.8	5.5	6.5	7.5	10.0	10.6	11.2
September	9.4	11.0	10.0	12.4	12.6	15.1	21.8	**23.7**	18.6	22.6	23.1	23.1	23.0	20.0	17.9	15.1	7.9	4.4	5.5	6.9	9.0	8.4	8.5	10.0
Oktober	9.8	11.9	12.4	12.6	13.5	14.3	18.2	23.9	22.4	**24.0**	23.3	23.0	21.8	17.3	13.9	11.2	6.6	7.5	8.3	10.9	14.9	12.4	9.7	9.5
November	11.4	12.2	13.8	13.0	13.0	13.9	14.1	20.9	14.5	**21.9**	20.5	19.8	18.6	15.9	10.2	10.1	7.9	9.7	13.2	13.6	15.5	11.5	12.7	12.5
Dezember	12.6	13.6	13.5	12.5	14.5	14.3	14.2	20.6	15.4	**22.1**	18.2	17.4	19.8	15.7	10.2	10.1	10.2	13.1	12.5	13 5	15.5	14.2	13.2	13.7
Winter	12.3	12.8	13.1	12.7	13.4	14.4	14.2	20.2	16.7	**20.3**	19.6	18.2	18.8	15.8	11.9	11.2	9.0	10.8	12.1	13.2	13.5	13.4	12.9	12.3
Frühjahr	11.0	10.3	11.5	11.1	14.1	19.1	21.6	24.1	21.3	22.5	**24.7**	23.8	21.9	21.6	17.0	13.7	10.4	7.1	6.2	9.3	9.5	10.0	10.1	11.4
Sommer	11.1	9.9	11.4	11.9	17.3	22.8	23.4	24.8	20.8	23.4	23.6	**24.1**	22.4	20.1	16.5	13.5	11.7	9.9	6.5	5.3	5.8	8.9	9.4	9.7
Herbst	10.2	11.7	12.1	12.7	13.0	14.4	18.0	22.8	18.8	**22.8**	22.3	22.0	21.1	17.7	14.0	12.1	7.5	7.2	9.0	10.5	13.1	10.8	10.3	10.7

[1]) Humphreys. Dust layers in the Atmosphere. Bulletin of the Mount Weather Observatory 1912 Seite 397.

[2]) H. von Ficker und A. Defant. Über den täglichen Gang der elektrischen Zerstreuung und des Staubgehaltes auf dem Patscherkofel. Sitzungsberichte der Wiener Akademie 1905 Bd. 114 Seite 161.

3) auf Normalmonat reduziert.

Wir müssen uns zunächst mit dem täglichen Gang der „Häufigkeitskurven" etwas beschäftigen, obwohl bereits, wenn auch kurz, in der Einleitung darauf schon hingewiesen wurde.

Zur Zeit des Sonnenaufganges erhebt sich die Kurve über die Mittellinie (Häufigkeitswert = ½ Anzahl der Monatstage). Das Maximum wird aber nicht zur Zeit der höchsten Temperatur erreicht, sondern bereits 1—3 Stunden vorher. Man sollte erwarten, dass die Erwärmung von Stunde zu Stunde näher an das Maximum, mindestens aber näher an die Mittagsstunde heranrücken sollte; dass die Häufigkeitskurve aber bereits ab 9 Uhr vormittags wieder zu fallen beginnt, ist eine charakteristische Erscheinung, die aus dem Temperaturgang nicht zu ersehen ist. Offenbar wirkt hier der vertikale Luftaustausch bei der einsetzenden Konvektion abkühlend.

Im allgemeinen gehen Hohenpeissenberg und Zugspitze schön zusammen; es kann wohl auf die Tabellen und die folgenden Kurven verwiesen werden. (Die Einsenkung bei den Zugspitzkurven ist, wie Seite 22 angeführt wurde, nicht reell!)

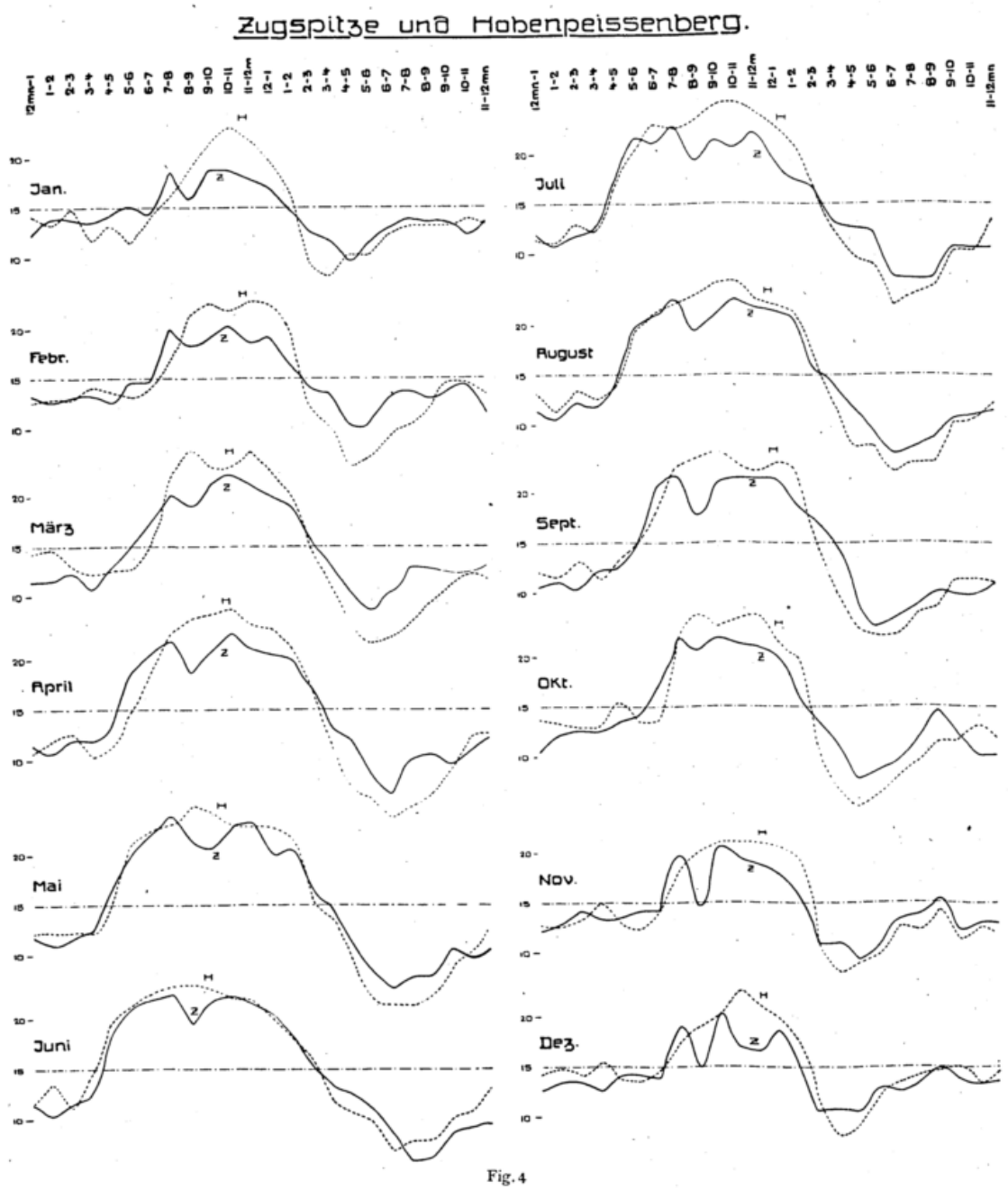

Fig. 4

Die Abnahme der positiven Häufigkeitszahlen tritt also schon vor Mittag ein. Zur Zeit des Temperaturtagesmaximums sind positive und negative Veränderungen gleich häufig. Die geringste Anzahl der positiven Veränderungen von Stunde zu Stunde fällt auf die Zeit des Sonnenunterganges; vom November—Januar tritt das Minimum von 3—4 p^h ein und rückt im Sommer bis auf 7—8 p^h hinaus.

Von 4p im Winter und 8p im Sommer nimmt nun die Möglichkeit positiver Temperaturänderungen (ohne Rücksicht auf die Stärke, mindestens aber 0.1°!) beständig zu bis Sonnenaufgang, um dann in die durch die Einstrahlung bedingte Kurve überzugehen.

Nachstehende Kurven[1]) (Fig. 5) geben den Verlauf der „Tendenz“ im Winter und Sommer auf der Zugspitze. Besonders charakteristisch ist die Tatsache, dass nachts nie „Null“ erreicht wird und dass auch der Anstieg nicht störungsfrei ist.

Es erübrigt nun noch, nach der Besprechung des Zugspitz- und Hohenpeissenbergmaterials, auch auf die Nachbarhochstationen der Zugspitze Säntis[2]) und Sonnblick einzugehen. Wir beschränken uns zur Vermeidung von Wiederholungen und wegen der geringen Fehlerquellen auf die Diskussion nur von Winter und Sommer. (Fig. 6 und 7)

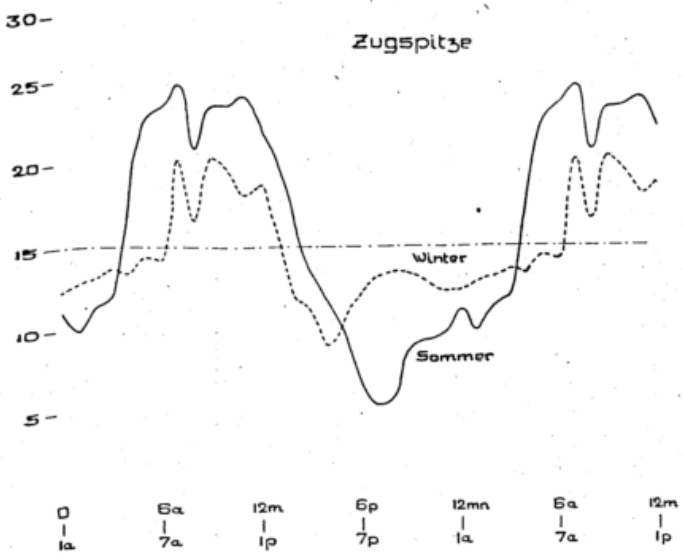

Fig. 5

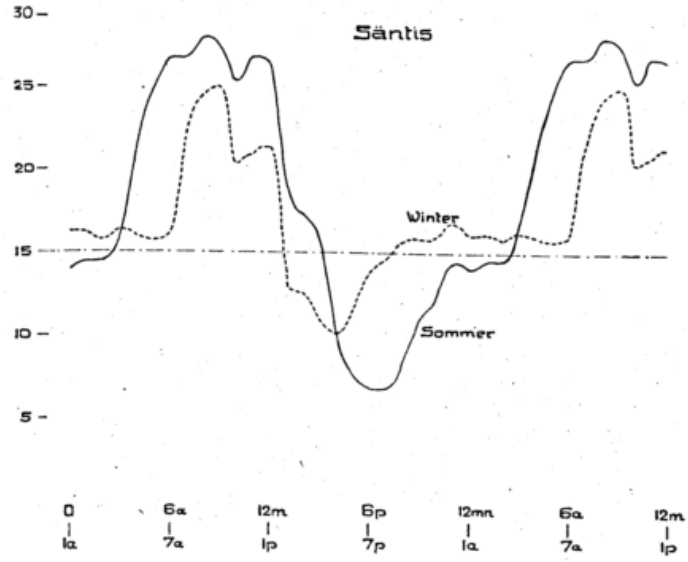

Fig. 6

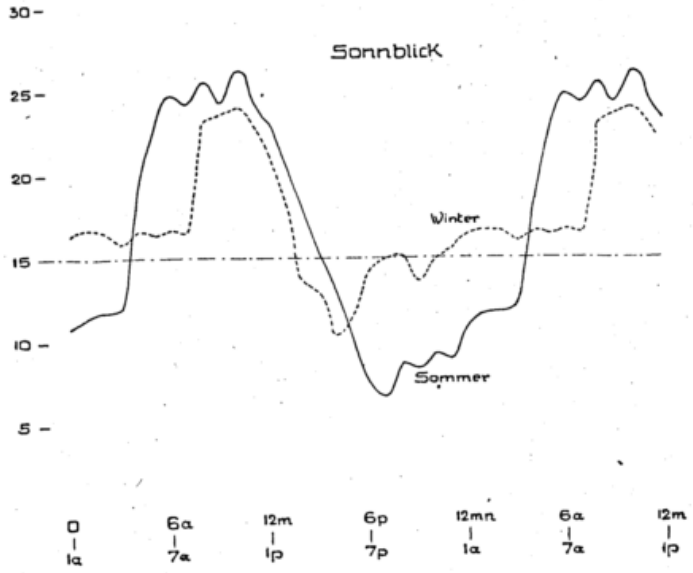

Fig. 7

Säntis.

	12mn–1a	1–2	2–3	3–4	4–5	5–6	6–7	7–8	8–9	9–10	10–11	11–12m	12m–1	1–2	2–3	3–4	4–5	5–6	6–7	7–8	8–9	9–10	10–11	11–12mn
Winter .	14.2	14.1	13.7	14.4	14.0	13.7	14.0	19.7	22.6	**23.0**	18.5	19.0	19.4	10.8	10.5	9.0	8.1	10.3	11.9	12.7	13.9	14.0	14.0	14.9
Sommer .	11.9	12.5	12.5	14.0	18.4	22.8	24.7	24.7	**26.0**	25.6	23.4	24.9	24.7	17.3	15.4	13.8	8.1	5.7	4.7	4.7	6.0	9.1	10.1	12.4

Sonnblick.

Winter .	14.4	14.9	14.6	13.9	14.6	14.5	14.7	14.5	21.1	21.5	**22.0**	21.2	19.5	16.4	11.8	11.0	8.4	9.5	12.3	12.9	13.3	11.6	12.8	13.5
Sommer .	8.9	9.6	9.8	9.9	16.1	20.7	22.9	22.4	23.6	22.3	22.8	**24.2**	22.9	21.3	15.9	13.9	11.2	7.9	5.4	4.5	6.7	6.3	7.2	6.9

[1]) Es sind 1 1/2 Tage aneinandergezeichnet, um so den wichtigen nächtlichen Verlauf nicht trennen zu müssen!

[2]) Die Senkung von 10—11 a auf dem Säntis ist nur durch vorübergehende Beschattung der Aufstellung und durch den Streifenwechsel um 10 a zu erklären.

Im grossen und ganzen zeigt sich zwischen beiden Stationen kein wesentlicher Unterschied. Ganz besonders erwähnenswert ist die Tatsache, dass im Winter auf dem Sonnblick die Häufigkeit der nächtlichen Temperaturzunahme grösser ist als auf dem Säntis. Die Ursache dürfte in der grösseren „Kontinentalität" des Sonnblickgipfels liegen, die gerade für das Tauerngebiet die für Ausbildung der Temperaturumkehr nötige Luftruhe mit sich bringt und damit auch weiterhin zur nächtlichen Erwärmung in der Höhe Veranlassung gibt. Erwähnenswert für die nächtliche Tendenz ist die Tatsache, dass nach raschem Anstieg bis Mitternacht auf beiden Bergen von 12 ab bis Sonnenaufgang die Tendenzkurve zwischen 14 und 15, d. h. zwischen 47 % und 50 % bleibt.

Die Kurven Seite 29 mögen das Weitere erhärten.

Wir sind nach der Abschweifung, zu der uns die Erklärung der „Tendenzkurve" überhaupt veranlasste und nach Schilderung des täglichen Verlaufes wieder zu dem eigentlichen Thema, den nächtlichen Temperaturanstiegen, zurückgekommen.

Wenn eine Erscheinung so regelmässig im Gebirge auftritt wie die Zunahme der positiven Temperaturänderung zur Nachtzeit, so liegt ein Erklärungsgrund sehr nahe, nämlich die Veranlassung durch den Bergwind, in höheren Lagen wie z. B. Zugspitze auch von dynamischer Erwärmung absinkender Luft. Wir werden später auf diese Erklärungsversuche, die zum Teil und unter bestimmten Voraussetzungen richtig sind, noch zurückkommen. Vorerst jedoch ist es notwendig, die Tendenzkurve unter anderen meteorologischen Bedingungen als wie im Spezialfalle des Gebirges kennen zu lernen.

Wenn diese Erscheinung der sekundären Nachtmaxima und schliesslich auch des Ansteigens der „Tendenzkurve" nur auf Gipfelstationen auftreten würde, könnte man sich schliesslich mit der Seite 2 zitierten Erklärung Maurer's und Defant's zufriedengeben.

Wir sehen aber, dass diese Erscheinung nicht auf Berge allein beschränkt ist, sondern allgemein vorkommt.

Für die weiteren Feststellungen haben wir nun Orte in verschiedenen klimatischen Gegenden der Erde untersucht; hiebei musste allerdings auf die Homogenität der Reihen verzichtet werden, da vielfach, besonders von Expeditionen, das Beobachtungsmaterial sich auf nur kurze Zeit erstreckt. Immer wurde jedoch angestrebt, genügend lange Reihen zu erhalten; vielfach mussten statt der Jahreszeitenwerte Monatswerte genommen werden.

Es wurden, die bereits besprochenen Fälle mitgerechnet, als Vertreter
des Hochgebirgsklimas . . . . . Zugspitze mit Basis Hohenpeissenberg, Säntis und Sonnblick,
des kontinentalen Klimas gemässigt: Moskau, Wien, Hamburg,
Tropen: Asunçion, Bogota,
des maritimen Klimas . gemässigt: Hiroshima,
Passatregion: Izaña,
Tropen: Samoa,
des Polarklimas . . . . . Arktis: Spitzbergen, Framexpedition,
Antarktis: Laurie-Insel, Mc Murdo Sund, Kerguelen- und „Gauss"-Station, Eisstation der „Deutschland"

gewählt.

Die Gebirgsstationen haben wir schon kennengelernt, wir können sogleich zu dem zweiten Klimatyp, dem kontinentalen, übergehen.

b) Kontinentales Klima.

α) Gemässigte Zone.

Als Vertreter-Typus dieser Region wählten wir Moskau; die aus den Temperaturregistrierungen der Jahre 1898 bis 1901 abgeleiteten Häufigkeitszahlen sind folgende:

Moskau.

	$12^{mn}-1^{a}$	1–2	2–3	3–4	4–5	5–6	6–7	7–8	8–9	9–10	10–11	$11-12^{m}$	$12^{m}-1^{p}$	1–2	2–3	3–4	4–5	5–6	6–7	7–8	8–9	9–10	10–11	$11-12^{mn}$
Winter Ausgegl.	12.9	13.3	13.3	13.2	13.7	14.3	15.1	17.0	20.9	24.6	**25.5**	23.8	20.9	17.1	11.9	8.5	8.6	10.3	11.7	12.2	12.2	11.7	11.7	12.3
Sommer Ausgegl.	4.0	4.7	5.5	9.1	17.4	25.4	28.6	**28.9**	28.3	26.8	24.7	21.5	19.2	19.6	18.6	14.0	8.9	5.6	3.5	2.3	1.9	1.9	2.3	3.2

Es wurde hier von der Mitteilung der „Tendenz"-Werte einzelner Monate abgesehen, sondern lediglich die mit einem wesentlich geringerem mittleren wahrscheinlichen Fehler behafteten Jahreszeitenwerte für Sommer und Winter mitgeteilt. Überdies erwies sich eine Glättung der Kurve nach der Formel $^1/_4\,(a+2\,b+c)$ als erwünscht.

Der Verlauf der Häufigkeitszahl bewegt sich in Moskau im Sommer zwischen 28.9 und 1.9 d. h. zwischen 94.2 % und 6.2 %, im Winter nur zwischen 25.5 und 8.5, also zwischen 85 % und 3 (2.8) %.

Im Sommer tritt das Minimum zwischen 8 und 10p ein, also sehr spät; eine geringe kontinuierliche Zunahme der positiven Veränderungen um 10p bis 4a ist unverkennbar, mit Sonnenaufgang setzt in gewohnter Weise eine rasche Zunahme der positiven Veränderungen ein, die jedoch ihr Maximum schon sehr früh bereits von 7 bis 8a erreicht.

Im Winter liegen die Verhältnisse im ausgesprochen kontinentalen Klima folgendermassen:

Das Maximum tritt erst zwischen 10 und 11a ein, der nachfolgende Abstieg führt von 3—4p zum Minimum. Die Extreme sind im Winter weniger mächtig als im Sommer. Der Anstieg der Häufigkeitskurve von 4p an bis zum

Einsetzen der Sonnenwirkung am Morgen ist sehr deutlich im Anstieg der Kurve zu erkennen, der erst in dem Moment in ein anderes Tempo übergeht, in dem die Sonne aufgeht. (Fig. 8)

Zum Vergleich mit dem fast rein kontinentalen Type seien nur kurz die Häufigkeitszahlen (je 5 Jahre 1911—15) von 2 weiter westlich gelegenen Orten, Wien und Hamburg, wenigstens für einen Wintermonat (Januar) mitgeteilt.

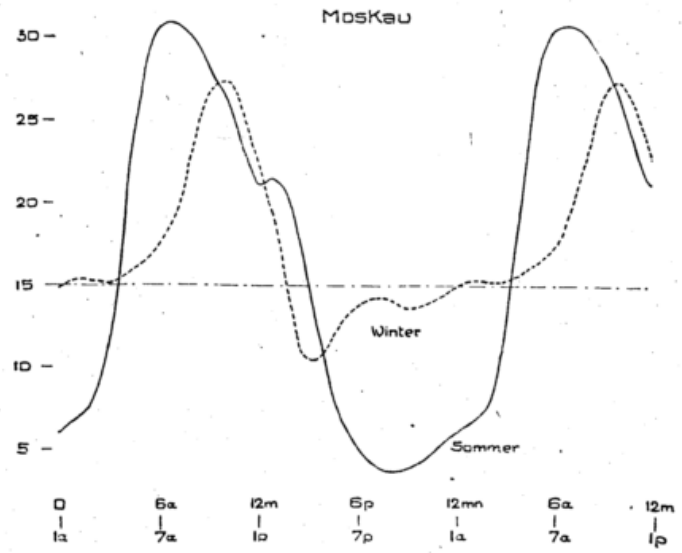

Fig. 8.

Auch hier zeigt sich deutlich die langsame Zunahme der positiven Häufigkeitszahlen in den Nachtstunden; ob die bei Moskau, Wien und Hamburg nachts auftretenden Hebungen reell sind oder ob sie eventuell bei einer längeren Reihe verschwinden, wollen wir zunächst nicht entscheiden, wir kommen später noch darauf zurück. Zunächst seien zum Schlusse hier noch die Werte der Jahre 1911—15 von Wien und Hamburg mitgeteilt. (Fig. 9 und 10.)

Januar	12–1 mn	1–2	2–3	3–4	4–5	5–6	6–7	7–8	8–9	9–10	10–11	11–12m	12m–1	1–2	2–3	3–4	4–5	5–6	6–7	7–8	8–9	9–10	10–11	11–12 mn
Wien	9.8	10.5	11.3	11.5	11.7	12.8	13.8	16.0	21.2	25.2	**26.2**	26.0	25.2	21.8	16.4	11.2	8.5	8.4	9.5	10.7	10.9	10.0	9.7	9.8
Hamburg . . .	11.6	12.6	11.2	14.4	14.9	15.9	17.0	17.8	19.8	21.7	**26.0**	25.9	23.9	20.9	16.1	11.0	8.7	8.7	9.3	9.9	9.8	9.5	10.2	10.9

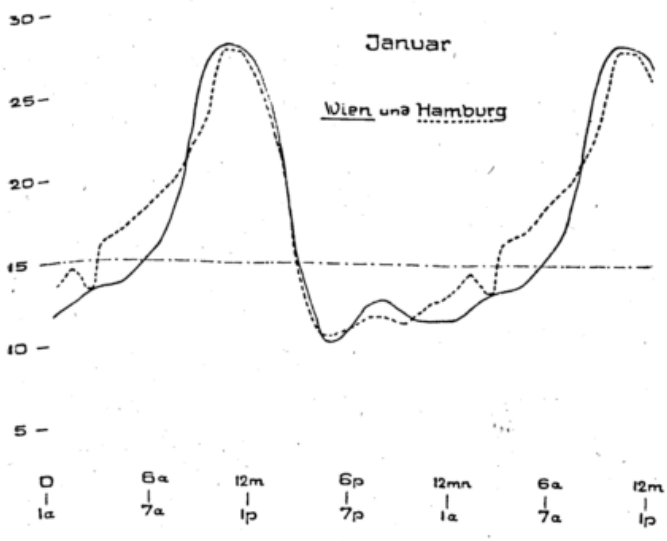

Fig. 9.

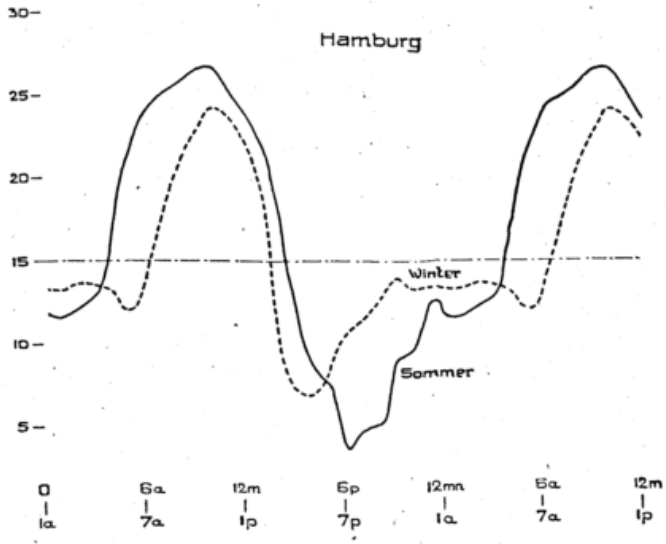

Fig. 10.

β) Tropenzone.

Von weiteren kontinental gelegenen Orten wählten wir nun solche aus den Tropen; als erste wollen wir Asunçion ($\varphi = 25^\circ$ 17'Süd, $\lambda = 57^\circ$ 40'West, H = 180 m) für (Süd) Sommer und Winter getrennt kennen lernen; lange Beobachtungsreihen fehlen, es war nur das Jahr 1893/94 vorhanden.

Asuncion.

	12mn–1a	1–2	2–3	3–4	4–5	5–6	6–7	7–8	8–9	9–10	10–11	11–12m	12m–1p	1–2	2–3	3–4	4–5	5–6	6–7	7–8	8–9	9–10	10–11	11–12mn
Som. 1894 Ausgegl.	3.1	3.3	5.2	6.9	10.3	18.3	25.7	**27.8**	27.4	27.4	26.8	25.4	23.9	20.9	15.2	9.8	6.5	3.7	2.0	2.6	3.7	3.7	3.5	3.6
Wint. 1894 Ausgegl.	7.5	7.5	7.1	7.2	8.9	14.1	18.1	25.2	**29.0**	28.9	27.9	26.7	25.8	24.0	16.9	6.9	1.4	0.6	1.9	4.6	7.3	**8.8**	8.6	7.8

Das Maximum der „Tendenz" tritt im Sommer bereits von 7—8a ein; die Werte der Stunden bis etwa 11a sind nur wenig geringer. Der erreichte Höchstwert ist 27.8 = 93 %, der niedrigste 2.0 = 7 %, der von 6—7 p eintritt. Die nächtliche Zunahme ist anfangs sehr gering, erst ab 3a setzt ein stärkeres Ansteigen der Kurve an (Fig 11.)

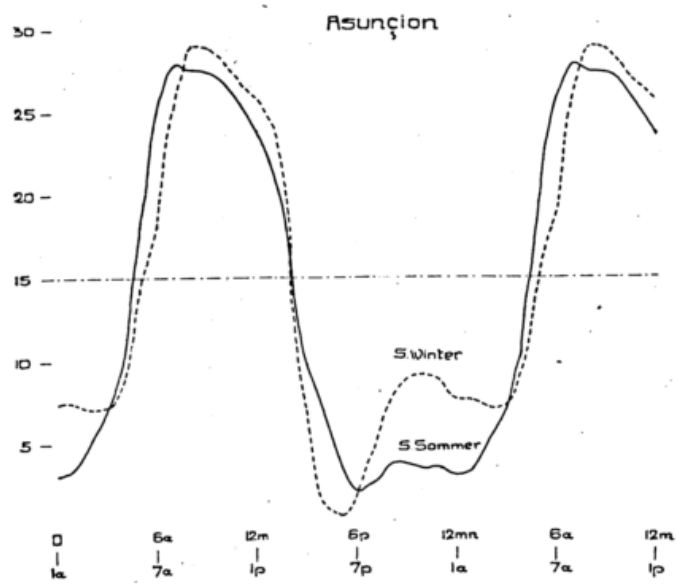

Fig. 11

Im Winter ist der Gang viel besser ausgeprägt, die Extreme sind noch stärker ausgebildet wie im Sommer, der uns schon im Vergleich zu unseren Gegenden durch die grossen Ausschläge überraschte. Das Maximum erreicht von 8—9a 29.0 = 95 %, das Minimum von 5—6p 0.6 = 2 %. In den folgenden Nachtstunden tritt von Stunde zu Stunde eine merkliche Zunahme ein, ja wir erkennen deutlich das „Aufsatzstück" der Kurve, wie wir es schon früher deutlich bei den Bergstationen sahen. Ein kräftiges sekundäres Maximum liegt abends von 9—10 Uhr, die Einsenkung von 2—3a ist nur von relativer Bedeutung.

Stündliche Temperaturwerte aus der inneren Tropenzone standen mir zunächst nicht zur Verfügung; es war daher zu begrüssen, als ich kurz vor Vollendung der Arbeit noch Originalstreifen [1]) der Temperaturregistrierung aus Bogota ($\varphi = 4^0\,35'$ N, $\lambda = 74^0\,14'$ W, H = 260 m) erhielt.

Um einen Überblick — um mehr kann es sich ja vorerst noch nicht handeln —, zu gewinnen, genügen bei den tropischen Verhältnissen schon einige Monate; es wurden zusammengefasst die Monate Januar und Februar 1923 als Vertreter der Trockenzeit und als Repräsentant der Regenzeit die Monate April, Mai und Juni 1923. Die untenstehenden Zahlen sind des Vergleiches halber auf 1 Monat reduziert.

Bogota.

	12mn–1a	1–2	2–3	3–4	4–5	5–6	6–7	7–8	8–9	9–10	10–11	11–12m	12m–1p	1–2	2–3	3–4	4–5	5–6	6–7	7–8	8–9	9–10	10–11	11–12mn
Trockenzeit	13.5	13.0	14.0	14.0	17.5	18.0	21.0	28.0	**30.0**	**30.0**	29.5	26.0	26.0	17.5	16.5	15.5	6.0	1.5	6.5	6.0	11.0	5.5	13.0	10.5
Regenzeit	11.3	13.7	12.7	15.7	16.3	18.3	26.3	29.0	28.7	**29.7**	28.7	25.7	20.3	20.3	12.7	14.0	15.3	3.0	2.0	6.0	8.3	9.3	8.7	15.7

Wie wir auch aus der (ausgeglichenen) Kurve ersehen, ergibt sich zwischen Trocken- und Regenzeit kein Unterschied, wie es eigentlich zu erwarten gewesen wäre. Erwähnenswert ist aber auch hier das Auftreten grösserer Häufigkeitswerte in den ersten Nachtstunden, wie wir es an allen Stationen wiederholt sahen (Fig 12.)

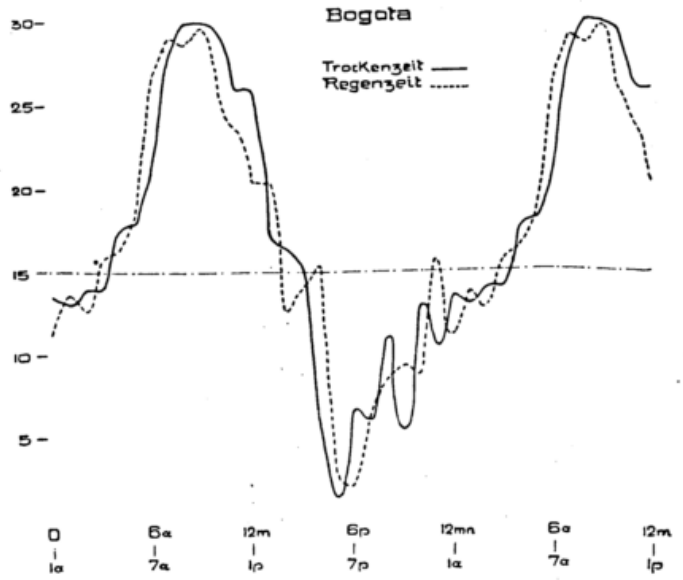

Fig. 12

[1]) Freundlichst überlassen von der Sociedad Colombo-Alemana de Transportes aéreos in Bogota.

c) Maritimes Klima.

α) Gemässigte Zone.

Als Vertreter des reinen Seeklimas wurde die japanische Station Hiroshima ($\varphi = 34^0\,23'$ N, $\lambda = 132^0\,27'$ E, H = 2m) gewählt. Es wurden lediglich die Januar- und Julimonate der Jahre 1911—15 nach dem Häufigkeitsgang untersucht.

	12^{min}–1	1–2	2–3	3–4	4–5	5–6	6–7	7–8	8–9	9–10	10–11	11–12^m	12^m–1^p	1–2	2–3	3–4	4–5	5–6	6–7	7–8	8–9	9–10	10–11	11–12^{mn}
Hiroshima.																								
Januar .	9.5	8.8	10.0	11.8	12.7	12.7	11.6	24.2	28.7	**29.8**	28.8	26.2	25.5	19.6	16.9	7.1	1.1	1.2	1.5	3.2	4.1	4.7	5.7	5.5
Juli . . .	3.5	4.2	3.8	5.3	6.9	20.5	29.0	29.1	**29.8**	28.6	27.5	25.3	23.6	21.6	17.5	12.6	8.0	4.3	1.1	0·3	1.9	2.4	1.4	2.0

Was vor allem auffällt, ist die starke fast bis zum möglichen sich erstreckende Amplitude sowohl im Sommer wie im Winter. Im Januar ist die Häufigkeit eines Temperaturanstieges von 9—10a 29.8 von 31 also 96 %; die eines solchen von 4.5 p nur 1.1 d. h. 4 %. Im Juli liegen die Grössenordnungen ebenso. Die häufigste Erwärmung tritt ein von 8—9a mit der Häufigkeitszahl 29.8 = 96 %; die geringste von 7—8 p mit 0.3 = 1 %.

Bei keiner untersuchten, hier wegen Raummangels nicht mitgeteilten Station wurde eine derartige Schwankung fast zwischen 0 und 100 % gefunden.

Wir wollen vor allem unser Augenmerk auf den nächtlichen Gang richten. Von 4—5 p im Winter und von 7—8 p im Sommer an könnte jede positive Temperaturveränderung bis zum Sonnenaufgang ausgeschaltet sein. Wir finden aber nicht, dass die Häufigkeit für die positive Temperaturveränderung gleich oder nahezu gleich Null bleibt, sondern es ergibt sich ein leichter Anstieg bis zu der, das Mittel bereits übersteigenden Häufigkeitszahl beim Sonnenaufgang (im Sommer von 5—6a.) Wesentlich stärker ist die Häufigkeitskurve im Januar als im Juli ausgeprägt. Das Minimum wird von 4—5 p erreicht. Der dem Sonnenaufgang entsprechende Anstieg tritt erst von 7—8a ein. Fast jede Nachtstunde hat eine grössere Häufigkeitszahl als wie ihre Vorgängerin, zwischen 2 und 3a beträgt dieselbe 10.0 d. h. 32 %. Von allen Temperaturveränderungen, die nachts zwischen 2 und 3 Uhr eintreten, sind also rund 1/3 positiv! In den letzten Nachtstunden steigt die Häufigkeit sogar noch an.

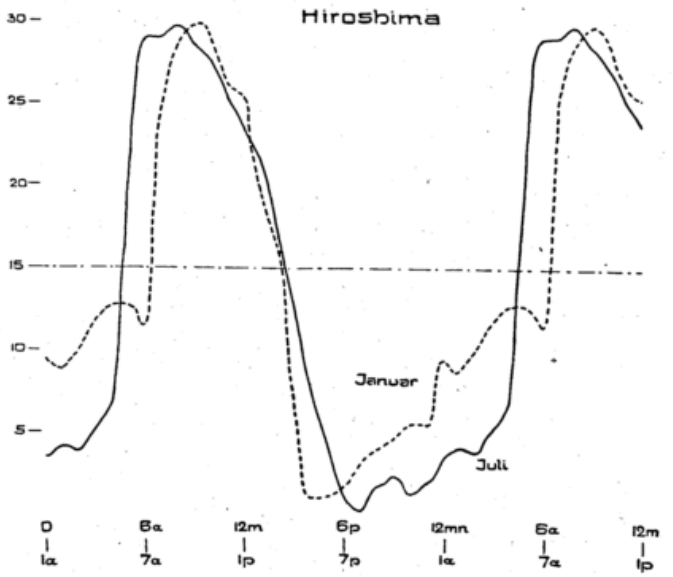

Fig. 13

Es wäre in erster Linie an den Einfluss eines periodisch wehenden Windes, eines Landwindes, der bei einer gebirgigen Insel zugleich mit den dynamischen Eigenschaften des Bergwindes ausgestattet ist, zu denken. Nun ist diese Erscheinung zwar auch im Sommer, wo normalerweise infolge der starken Einstrahlung die periodischen Winde stark ausgeprägt sind, hier vertreten, ihre grösste Mächtigkeit erreicht sie aber, wie oben dargelegt wurde, im Winter, also gerade in der Jahreszeit, in der das System der Berg- und Tal-, Land- und Seewinde am wenigsten deutlich ist und wo überdies nächtlicher Landwind advektiv aus dem Hinterland der Insel erkaltete Luft zum Ufer bringen müsste.

Zurückblickend können wir kurz feststellen:

Von Sonnenuntergang bis Sonnenaufgang steigt die Häufigkeit der positiven Temperaturzunahme

um 6.6 = 21 % im Sommer

und um 10.5 = 34 % im Winter,

um hernach sogleich in eine mit Temperatursteigerung verbundene, durch die Einstrahlung bedingte grössere Häufigkeit überzugehen.

β) Passatregion.

Wie verhält sich die zwischenstündliche Temperaturveränderung in der Passatregion? Zur Klärung dieser Frage wurde die auf Las Palmas gelegene Hochstation Izaña[1]) ($\varphi = 28^0\,19'$ N

$\lambda = 1^0\,6$ m W

H = 2367 m) gewählt.

Eine am Meere gelegene Station mit Stundenwerten der Temperatur war nicht zu erhalten; wir wählten daher diese Hochstation. In dem System des beständig wehenden Passats ist keine Möglichkeit gegeben, dass sich wie im

[1]) Beobachtungen der Temperatur sind entnommen dem annuario del observatorio central meteorólogico suplemento al tomo II.

Alpengebiet auf den Hochstationen sekundäre Maxima der Temperatur oder gehäufte Anstiege zur Nachtzeit aus dynamischen Gründen einstellen, da die Passatströmung ein ruhiges Absinken der Luft nicht gestattet.

Folgende Tabelle gibt die monatlichen Häufigkeitszahlen für Izaña:

Izaña.

Jahr 1916	$12^{mn}-1^{a}$	1–2	2–3	3–4	4–5	5–6	6–7	7–8	8–9	9–10	10–11	$11-12^{m}$	$12^{m}-1^{p}$	1–2	2–3	3–4	4–5	5–6	6–7	7–8	8–9	9–10	10–11	$11-12^{mn}$
Winter .	14.3	14.7	14.5	13.7	16.2	16.5	20.8	**28.0**	27.8	27.0	23.3	21.8	14.2	15.5	4.5	5.2	3.3	4.0	11.7	7.8	13.2	14.2	15.3	13.5
Frühjahr .	11.5	12.5	13.0	13.2	13.5	20.5	22.7	**25.8**	24.7	24.2	21.3	19.5	15.2	13.5	5.2	2.3	2.2	2.3	2.3	5.5	8.3	8.8	11.3	14.2
Sommer .	15.8	15.0	14.5	13.5	15.3	24.5	29.9	**30.0**	29.3	28.5	24.2	20.5	17.0	18.3	5.3	3.7	4.8	1.3	1.2	2.5	4.8	9.7	15.2	12.7
Herbst .	13.5	14.0	14.0	14.3	16.0	14.5	24.7	28.3	**28.8**	25.7	24.5	20.2	14.5	12.8	4.0	5.8	1.8	3.2	7.2	12.0	10.2	15.2	11.8	13.7

Es sei auch hier nur auf die wichtigsten Punkte hingewiesen. Im Winter wird das Häufigkeitsmaximum der +Veränderung mit dem hohen Monatswert 28 bereits von 7—8 Uhr frei erreicht; im Frühjahr wird es mit 26, im Sommer sogar mit dem Höchstwert 30 notiert. Nur im Herbst liegt das Maximum mit 29 eine Stunde später. Das Minimum tritt in der Regel von 4—5 Uhr nachmittags auf, nur im Sommer ist es auf 6—7 Uhr hinausgerückt. Zur Zeit des Minimums sind positive Temperaturveränderungen äusserst selten, im Monatsdurchschnitt höchstens 3.3, 2,2, 1.8 oder nur 1.2! Die Kurve bewegt sich also fast ganz bis zu den möglichen Grenzwerten 0 und 30. Den Grund hiefür dürfen wir wohl in der Einwirkung des Azorenhochs und der dadurch verursachten Abriegelung von den aperiodischen (Wetter-) Störungen der höheren Breiten suchen.

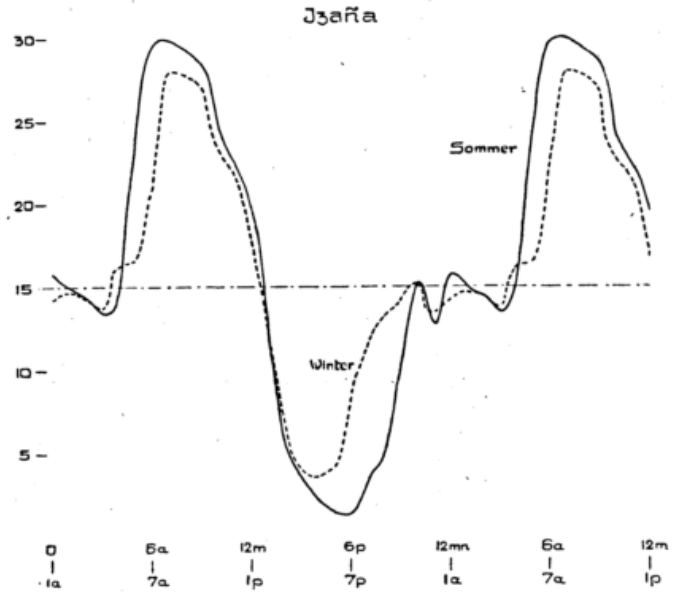

Fig. 14

Uns soll vor allem der Anstieg der Häufigkeitskurve nach dem abendlichen bzw. nachmittägigen sehr tiefen Minimum beschäftigen. Es ist eigentlich nicht ohne weiteres einzusehen, dass die Kurve nicht auf 0 bleibt, sondern rasch ansteigt. Der bald nach Sonnenuntergang einsetzende Anstieg überschreitet, mit Ausnahme des Frühjahrs, von 9—10p, spätestens von 10—11p die Mittellinie 15; die Anzahl der Erwärmungen überwiegt also die Anzahl der Abkühlungen zur Nachtzeit; die Temperatur verzeichnet also ein sekundäres Maximum.

Dass Bewölkung oder Windrichtungsänderung keinen Einfluss auf die Tendenz zum Temperaturanstieg ausüben, erhellt hier auf Izaña am besten aus der Tatsache, dass gerade die Schicht zwischen 2 und 4 km Seehöhe in der subtropischen Passatgegend zu den windveränderlichsten Gebieten der Erde gehören[1]), und trotzdem diese Erscheinung so unglaublich regelmässig auftritt. Die auftretenden, oft bis zu Sturmstärke anwachsenden NW-Winde, die als linksgedrehte Passate anzusehen sind, haben ebenfalls keine Einwirkung auf die Regelmässigkeit der „Tendenz" ausüben können. Wir haben den in obiger Tabelle mitgeteilten, in der Zeichnung nur für Sommer und Winter wiedergegebenen Kurvengang in allen Monaten, sowohl in den heiteren, niederschlagsfreien Monaten Januar, Februar, Mai und August, als auch in den Monaten März, April, September und Dezember, in denen Regen auftritt, sowie bei nebeligem Wetter und stürmischer Luftbewegung gefunden.

Es ist aber für den „Tendenz"verlauf bei Nacht nicht ausser Acht zu lassen, dass unter Umständen der Bergwind[2]) eine Rolle spielen könnte, wenn auch anzunehmen ist, dass ihn der Passat meist unterdrückt; beim Eingehen in Einzelheiten sehen wir jedoch diesen Punkt ausscheiden.

Der Passat ist auch Ursache, dass das Maximum bereits vor 8a auftritt, seine abkühlende Wirkung macht sich ab 8a schon sehr deutlich bemerkbar. Auf eine wichtige Tatsache sei noch besonders hingewiesen, auf sekundäre Maxima der Häufigkeitskurve, welche eintreten

im Frühjahr von 11—12 p
„ Sommer „ 10—11 p
„ Herbst „ 9—10 p
„ Winter „ 6— 7 p.

[1]) A. Peppler. Die Windverhältnisse im nordatlantischen Passatgebiet. Beiträge zur Physik der freien Atmosphäre. Bd. IV Seite 43 und 51.

[2]) Auch die orographischen Verhältnisse könnten gelegentlich mitspielen. Die erkaltete Luft kann die flache Mulde von Cañadas bis zur Höhe der abschliessenden Schwellen anfüllen und hernach über diese hin abfliessen. Vergl. B. Tzschirner, Der Temperaturgang in drei Höhenstationen auf Teneriffa. Beiträge zur Physik der freien Atmosphäre. Bd. X Seite 23.

γ) Tropenzone.

Von Samoa sind bedauerlicherweise nur zwei Monate mit stündlichen Temperaturwerten zur Verfügung gestanden, nämlich nur die Monate September und November 1906, deren „Tendenzkurve" im Nachstehenden mitgeteilt werden soll, obwohl naturgemäss ein Monat keinen Anspruch auf klimatologische Genauigkeit erheben kann.

Interessant ist aber, dass, trotzdem es sich hier um einen willkürlich herausgegriffenen Monat handelt, die Tatsache, dass bald nach Sonnenaufgang im September 1906 die Häufigkeitskurve 100 % erreicht und dass sie abends fast bis

Samoa.

	$12^{mn}-1^a$	1–2	2–3	3–4	4–5	5–6	6–7	7–8	8–9	9–10	10–11	$11-12^m$	12^m-1^p	1–2	2–3	3–4	4–5	5–6	6–7	7–8	8–9	9–10	10–11	$11-12^{mn}$
September	10.5	8	7	10.5	13	13	27.5	**30**	**29.5**	28	24.5	21	23.5	9	5.5	9	3.5	3	1.5	0.5	5	7	6.5	10.5
November	8.5	9	8.5	9.5	16.5	27	26	**28**	**28**	22.5	17	14	11	13	12	6.5	2.5	6.5	4.5	4.5	6.5	6	8	8

auf 0 herabgeht. Nachts erfolgt — hier allerdings etwas unausgeglichen — der Anstieg der positiven Häufigkeiten von 0.5 bis 13 also um 12.5 d. h. um 42 %. Im anderen Monat, November 1906, liegen die Verhältnisse weniger günstig, es ist dies offenbar dem Übergang in den Südsommer zuzuschreiben.

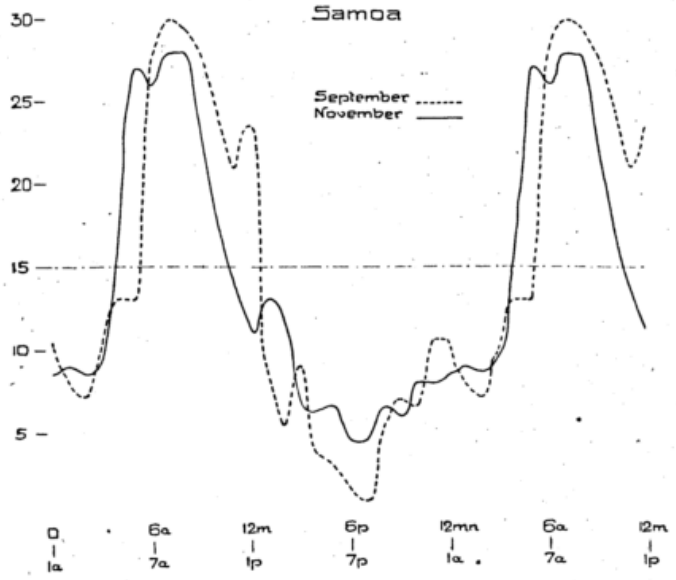

Fig. 15

Mit fortschreitender Jahreszeit, in der Land- und Seewind kräftiger werden, scheint auch hier, ähnlich wie auf Hiroshima, die Tendenz der nächtlichen positiven Häufigkeiten schwächer zu werden.

d) Polarklima.

α) Arktis.

Eigenartige und wichtige Resultate sind von stündlichen Aufzeichnungen der Temperatur aus dem Polargebiet zu gewinnen. Hier, wo im Sommer die Sonne monatelang über dem Horizont bleibt und wo im Winter ebenso lange Nacht herrscht, dürfen wir einen besonderen Gang der „Tendenzkurve" erwarten; wir können Zeiten mit dauernder und solche mit vollständig fehlender Einstrahlung miteinander vergleichen.

Von Green Harbour standen nur die drei Monate des Sommers 1920 und die des Winters 1920/21 zur Verfügung. Auf die Übergangsjahreszeiten einzugehen, hat sich im Rahmen dieser Arbeit nicht gelohnt, da es sich doch vorerst um die Festlegung der im Polargebiet auftretenden Extreme handelt.

Vom gleichen Gesichtspunkte ausgehend, wurden ebenfalls nur Sommer- und Winterbeobachtungen der „Fram" [1]) aus den Jahren 1894–1896 verwendet. Wenn auch hier mehrere Sommer und Winter vorlagen, so war doch auch bei „Fram" wie bei Green Harbour noch eine Kurvenglättung (nach der Formel $^1/_4$ (a + 2 b + c) nötig.

Im grossen und ganzen sind im Polarsommer die Verhältnisse wenig verändert gegen diejenigen einer Station mit nur zeitweiser Einstrahlung. Die Extreme sind in ihren Ausschlägen normal, lediglich der Abstand Maximum bis

[1]) The norwegian North polar expedition 1893—96. Vol VI by Fridtjof Nansen. XVII. Meteorology by H. Mohn.

Minimum ist wesentlich grösser: nämlich statt wie gewöhnlich nur 7 hier 16 Stunden. Ferner sind die Eintrittszeiten verschoben. Das Maximum der Häufigkeit tritt verfrüht auf und zwar von 6—7a, das Minimum ist verspätet und findet erst von 10—11p statt. Die positiven Veränderungen von Stunde zu Stunde überwiegen von 3a bis 2p.

	12mn–1a	1–2	2–3	3–4	4–5	5–6	6–7	7–8	8–9	9–10	10–11	11–12m	12m–1p	1–2	2–3	3–4	4–5	5–6	6–7	7–8	8–9	9–10	10–11	11–12mn
Green Harbour.																								
Sommer 1920 Ausgegl. . .	8.0	10.6	14.3	17.6	20.5	23.5	**25.5**	24.8	22.4	21.0	20.0	19.2	18.6	16.8	14.4	11.9	10.4	10.2	9.1	8.4	8.1	6.9	6.0	6.5
Winter 1920/21 Ausgegl. . .	12.8	13.1	13.5	14.2	14.5	14.2	14.5	15.4	**15.5**	15.1	14.9	13.8	13.7	15.2	15.3	14.5	14.9	16.1	**16.2**	14.6	13.7	13.2	12.7	12.6
Fram.																								
Sommer 1894/95 Ausgegl. . .	14.6	15.3	16.4	18.2	19.9	20.6	20.7	20.2	19.8	20.1	**20.2**	19.3	17.9	16.1	14.8	13.6	11.9	10.6	10.7	10.8	11.0	11.7	12.9	14.0
Winter 1895/96 Ausgegl. . .	15.6	15.0	13.9	13.1	13.9	14.6	14.0	13.6	14.2	15.0	15.2	**15.3**	14.9	14.7	14.9	14.4	14.1	14.5	14.6	14.9	15.5	15.8	16.2	**16.3**

Wesentlich anders ist das Verhalten der Häufigkeitskurve der Temperaturzunahme in der Polarnacht[1]).

Die Differenz Maximum—Minimum ist nur gering, nur 12%. Ferner treten trotz der geringen Amplituden und der geringen Anzahl von Beobachtungsmonaten deutlich 2 Maxima und 2 Minima auf. Das erste Maximum mit 15. 5(= 52%) tritt auf von 8—9a, das erste Minimum mit 13.7 (= 46%) von 12 m—1p. Das Hauptmaximum der Häufigkeit 16.2 (= 54%) liegt in dem Intervall 6—7p, das Hauptminimum 12.6 (= 42%) tritt ein von 11p—12 mn.

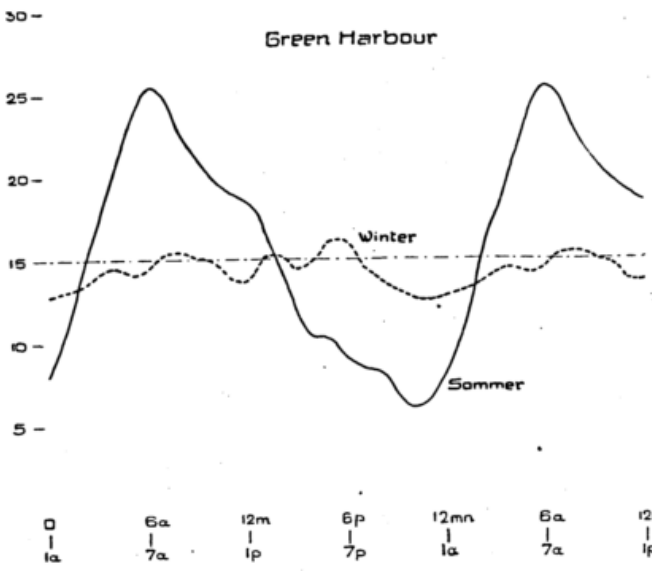

Fig. 16

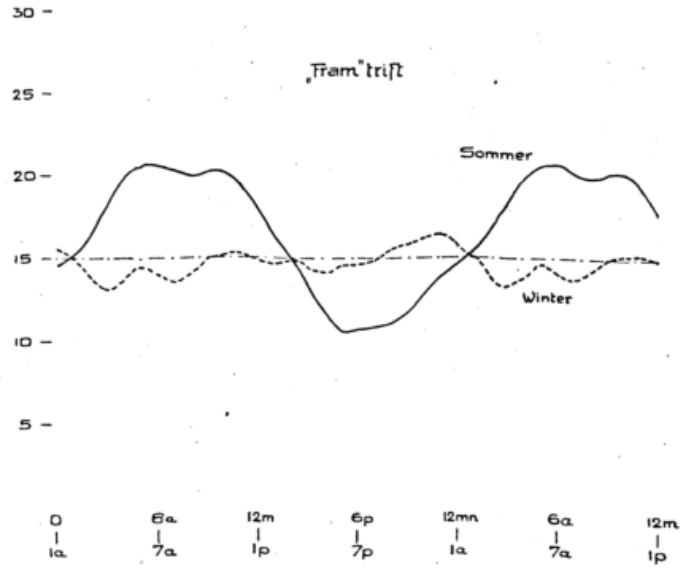

Fig. 17

Da die beiden Maxima der Häufigkeit die Mittellinie schneiden, so entsprechen ihnen auch verspätet auftretende Maxima der Temperatur, eine Tatsache, die sich nur aus der Untersuchung von einzelnen Fällen, bei dem raschen Wechsel der Witterungsverhältnisse im Polargebiet aber nur höchst selten aus den Mittelwerten ableiten lässt.

Sehen wir, was die Beobachtungsreihe von Nansens Fram ergibt:

Im Sommer übersteigt die Häufigkeitskurve für die positive Temperaturveränderung die Mittellinie bereits in der Stunde von 1—2a und bleibt darüber bis 2p. Das Maximum mit 20.2 (=66%) wird später als wie in Spitzbergen, erst von 10—11a erreicht, das Minimum jedoch mit 10.6 (= 35%) früher als dort nämlich bereits von 5—6p.

In der Polarnacht, die sich hier auf die Beobachtungen von drei Wintern (1893—96) erstreckt, finden wir wie oben bei Green Harbour im Verlauf der Häufigkeitskurve eine Doppelwelle. Das erste Maximum fällt auf die Zeit von 11—12m mit 15.3 (= 50%), das Nachmittagsminimum mit 14.1 (=46%) auf die Stunde von 4—5p. Das Hauptmaximum tritt zwischen 11p und 12mn mit 16.3 (= 53%), das Hauptminimum mit 13.1 (=43%) von 3—4a ein.

Die aus obigen Daten abgeleiteten Werte entbehren wegen Kürze der Beobachtungsreihe nicht einer noch ziemlichen Unsicherheit. Nichtsdestoweniger ist an der Existenz der Doppelwelle der Häufigkeit und damit der Doppelwelle

[1]) Bei aufkommenden Winden nimmt die Temperatur immer zu. Es handelt sich in diesen Fällen um turbulente Mischung der kalten auf dem Eise aufliegenden Schichten mit den wärmeren darüber liegenden, die ihre Wärme der Konvektion oder direkten Absorption verdanken. Ein so regelmässig erfolgender Windwechsel wie er zur Tendenzerklärung notwendig wäre, ist nicht vorhanden und ist auch (nach Scott) bei dieser thermisch äusserst stabilen Lage nicht möglich. Es müssen also andere Ursachen gegeben sein. Vergl. H. U. Sverdrup The north-polar cover of cold air (Preliminary results from the Maud-Expedition), Monthly Weather Review. Nov. 1925 Seite 471.

der Temperatur, wie sie sowohl nach Green Harbour als der Framtrift ersichtlich ist, nicht zu zweifeln. Die kalte Polarkalotte stellt offenbar ein schwingungsfähiges System dar, in dem mit Deutlichkeit diese doppelte Welle hervortritt.

Die Vermutung, dass noch andere Schwingungen beispielsweise von nur 6 und 8 Stunden Dauer auftreten, lässt sich auf Grund der Untersuchungen wohl aufstellen. Der Beweis für ihre Existenz ist aber mit dem zur Verfügung stehenden Material noch nicht mit der nötigen Sicherheit zu führen, abgesehen davon, dass wir zu sehr vom vorliegenden Thema abgedrängt werden würden. Nur die Andeutung möge hier genügen. Die Untersuchung einzelner Monate lässt sogar auf ganz kurz dauernde Schwingungen der polaren Luftkalotte von nur 3 Stunden schliessen.

β) Antarktis.

Wir wollen nun zu den Vertretern der Antarktis übergehen und untersuchen, ob sich hier ähnliche Resultate ergeben wie in der Arktis.

	12mn–1a	1–2	2–3	3–4	4–5	5–6	6–7	7–8	8–9	9–10	10–11	11–12m	12m–1p	1–2	2–3	3–4	4–5	5–6	6–7	7–8	8–9	9–10	10–11	11–12mn
Laurie Insel.																								
S.-Sommer 1904 Ausgegl.	13.6	14.3	15.7	16.5	17.1	18.8	20.0	20.2	20.6	**20.9**	19.9	18.2	17.8	16.6	13.5	10.9	10.1	10.1	9.6	9.0	10.1	12.1	12.8	13.0
S.-Winter 1904 Ausgegl.	15.3	15.7	15.9	15.6	15.1	15.3	16.2	16.9	17.5	18.4	**19.3**	**19.3**	17.7	15.7	14.4	14.4	14.3	**13.3**	13.6	14.3	13.8	14.9	**16.4**	15.9
Kerguelen.																								
S.-Sommer 1902/03 Ausgegl.	13.5	13.8	13.4	14.5	18.1	21.4	23.1	24.1	**24.2**	23.8	22.3	19.4	17.6	15.9	12.8	9.5	6.8	4.9	**4.5**	5.4	7.2	9.8	11.9	12.9
S.-Winter 1902 Ausgegl.	14.4	14.7	14.8	14.2	14.4	14.2	**13.7**	15.4	19.5	22.6	**22.7**	20.9	18.7	15.3	11.4	**9.5**	9.7	11.3	12.8	12.7	11.8	11.9	14.1	**15.1**
„Gauß"-Station.																								
S.-Sommer 1902/03 Ausgegl.	10.1	11.8	14.4	18.3	21.9	23.9	25.0	**25.4**	**25.4**	24.1	22.4	21.5	21.3	19.7	15.9	12.1	9.7	7.9	6.3	**5.9**	6.7	7.5	8.2	9.1
S.-Winter 1902 Ausgegl.	14.2	14.8	14.3	**14.2**	14.5	15.2	15.7	15.9	16.6	16.5	16.4	**16.8**	16.2	15.1	**14.8**	15.0	15.0	14.9	**15.3**	14.9	14.2	14.7	14.6	13.7
„Deutschland" Eisstation.																								
S.-Winter 1912 Ausgegl.	15.0	15.5	16.4	17.1	**17.4**	17.2	16.2	15.8	15.7	15.7	15.4	15.4	16.3	**16.4**	15.3	15.1	15.2	15.0	14.9	14.9	14.5	13.7	13.3	14.0

Die sommerlichen Verhältnisse zeigen an allen Stationen die einfache Welle der Häufigkeitskurve, wie sie offenbar durch die tägliche Einstrahlung im grossen und ganzen bedingt wird. Wir wollen uns hiebei nicht unnötig aufhalten und auf den interessanten Gang im (Süd-)Winter eingehen.

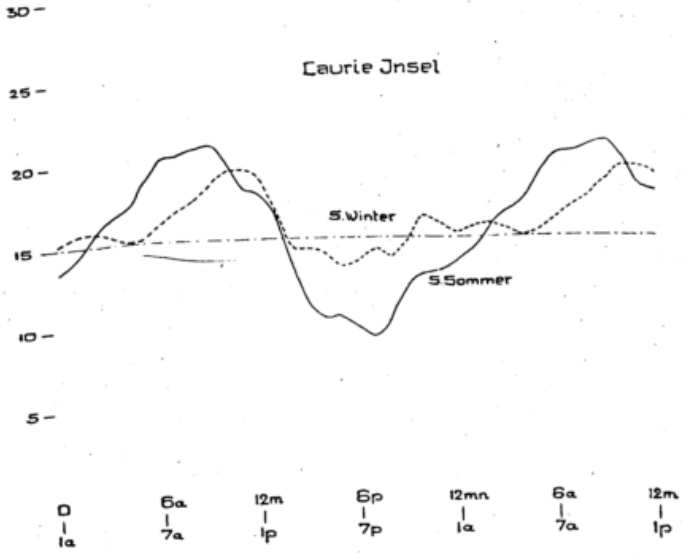

Fig. 18

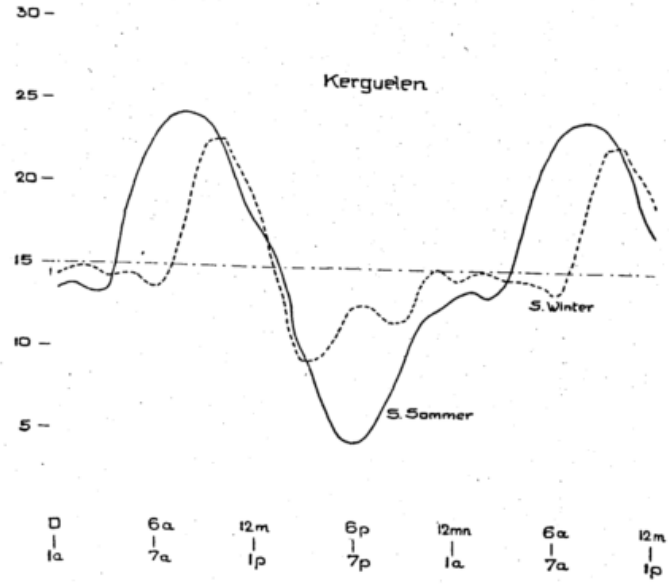

Fig. 19

An allen Stationen der südlichen Polarkalotte finden wir wie bei denen der Arktis im Gang der Häufigkeitskurve deutlich zwei Maxima und zwei Minima ausgeprägt. Über die Eintrittszeiten und die Grösse der Extreme selbst lässt sich wohl bei dem von Expeditionen herstammenden, nur kurzen Beobachtungsmaterial wenig sagen. Umsomehr muss auffallen, dass selbst in der kurzen Zeit der doppelte tägliche Gang zum Ausdruck kam.

Ähnlich wie die Luftmassen der nördlichen Polargebiete führen auch die der südlichen gewisse periodische Schwingungen aus. Die bei der „Deutschland"-Eisstation auftretende Doppelwelle ist sehr deutlich. Dass noch überdies andere Wellen vorhanden sind, beispielsweise von 8, 6 oder nur 3 Stunden[1]) Dauer sehen wir selbst aus den Jahreszeiten-

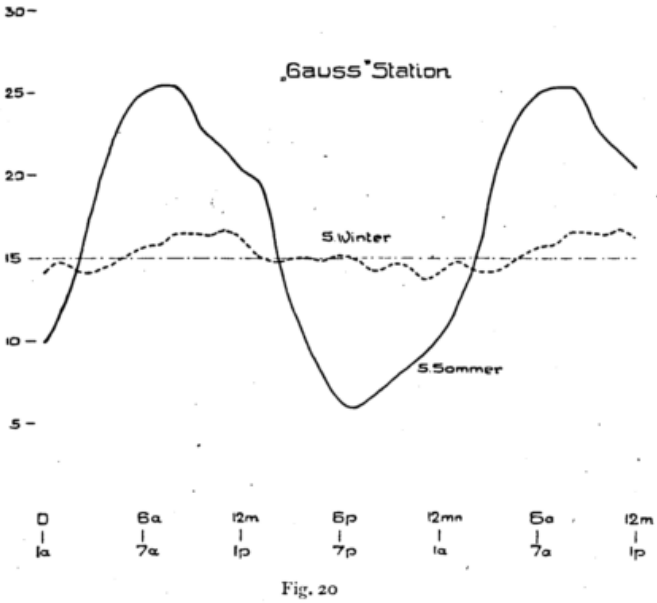

Fig. 20

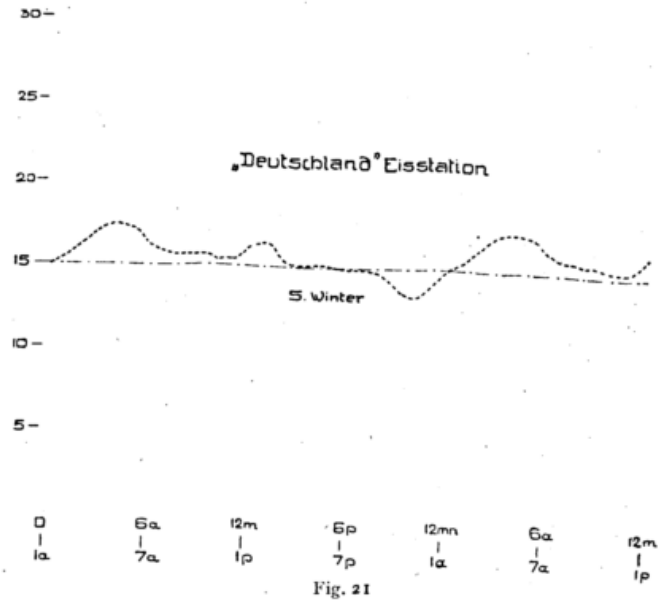

Fig. 21

(-Winter)werten der Gauss-Station und von der Laurie-Insel. Für die nächtlichen Tendenzanstiege sind aber ganz charakteristisch die Kurven von den Kerguelen. Da sie nicht an der Polarnacht Teil haben, so ist das Tagesmaximum relativ hoch; der schroffe Anstieg in den Nachtstunden im Sommer sowohl als auch die Wellen im Winter lassen die Verhältnisse dieser, in der homogenen Wasserfläche der Südhemisphäre liegenden Insel besonders instruktiv erscheinen, zumal wenn man bedenkt, dass gerade hier die ausgeprägteste Sturmzone (der „roaring forties", „Braven Westwinde") liegt.

2. Der Einfluss des Wetters.

a) Der Verlauf der Häufigkeitskurve an bestimmten Tagen auf der Zugspitze und an ihren Basisorten.

Wir haben im vorstehenden den Gang der positiven Temperaturveränderung von einer Stunde zur nächsten, insbesondere den nächtlichen Verlauf, unter verschiedenen klimatischen Verhältnissen kennengelernt, jetzt wollen wir auf Grund des Beobachtungsmaterials des Zugspitzobservatoriums und verschiedener Basisstationen den Einfluss des Wetters auf unsere „Tendenz" zum Temperaturanstieg untersuchen.

Die allgemeinen Verhältnisse lernten wir ja schon früher kennen; wir wollen jetzt bestimmte Wetterlagen unter suchen. Als solche wählten wir aus der Reihe 1911/1915

α) die trüben Tage, d. h. hier Tage, an denen den ganzen Tag über volle Bedeckung herrschte (nicht wie sonst definiert Tage mit Bewölkungsmittel >8),

β) die Tage mit Temperaturumkehr zwischen Partenkirchen und der Zugspitze.

Massgebend war bei der Auswahl die Temperaturdifferenz morgens um 7h zwischen Berg und Tal, als Abendstunden kommen diejenigen der vorhergehenden Nacht in Frage, also die Zeit, in der die Temperaturumkehr zur Ausbildung kam. Der Natur der Sache nach kamen hier nur Wintertage in Betracht. Oben angeführte 2 Typen decken sich im grossen und ganzen auch mit den Tagen mit Windbewegung bezw. mit völliger Luftruhe.

Zugspitze.

1911–1915	12mn–1a	1–2	2–3	3–4	4–5	5–6	6–7	7–8	8–9	9–10	10–11	11–12m	12m–1p	1–2	2–3	3–4	4–5	5–6	6–7	7–8	8–9	9–10	10–11	11–12mn
Trübe Tage (ausgegl.)																								
Winter .	14.8	14.7	15.0	15.5	16.4	16.5	17.1	18.5	18.3	**18.6**	18.2	17.1	17.4	15.9	13.4	11.9	**11.7**	12.8	13.8	14.5	15.6	16.4	15.9	15.3
Frühjahr .	9.9	9.9	9.6	9.9	12.6	15.9	18.6	20.0	19.6	20.3	**21.9**	21.8	20.6	18.7	15.3	11.1	7.9	6.9	7.7	9.6	10.4	9.5	9.2	9.7
Sommer .	9.8	9.8	10.3	12.1	15.4	19.1	22.0	23.1	22.2	22.3	**23.5**	23.4	21.9	19.9	16.2	12.9	10.9	9.9	7.9	6.6	7.3	8.6	8.7	9.1
Herbst .	9.9	9.7	9.8	11.5	13.7	14.9	16.8	17.5	16.2	16.9	18.2	**18.6**	18.2	14.9	10.9	8.8	7.1	6.1	6.6	8.1	9.9	10.2	9.7	9.9
Tage mit Temperaturumkehr. (ausgegl.)																								
	15.1	15.6	**17.5**	17.3	**15.7**	16.4	19.2	21.9	21.8	21.4	22.4	**22.5**	20.5	17.1	15.2	13.3	9.6	9.2	13.3	16.6	**17.2**	16.3	15.1	**14.9**

[1]) Um eine weitere Bestätigung der Realität dieser 3stündlichen Welle zu erhalten, wurden die stündlichen Temperaturveränderungen der Monate Mai—Juli der Jahre 1911—12 von Cape Evans ($\varphi = 77^1/_2$ S, $\lambda = 167°$ W) nach „British antarctic Expedition 1910—13 Meteorology Vol III by G. C. Simpson" untersucht. Eine eingehende Diskussion dieser wichtigen Schwingungen der Luft im Polarwinter würde den Rahmen der Arbeit und das Thema selbst überschreiten, sie sei daher einer besonderen Bearbeitung vorbehalten.

Wie beim Temperaturverlauf die Amplitude an trüben Tagen kleiner ist, so sind auch die Häufigkeitszahlen der Temperaturanstiege geringer.

Im allgemeinen ist in den einzelnen Jahreszeiten der Gang fast derselbe. Vom Maximum, das etwa gegen 11a erreicht wird, fällt die Kurve ab zum Minimum etwa um 6p, hernach findet ein schwacher aber unruhiger Anstieg bis Sonnenaufgang statt, der sich durch einen stärkeren Anstieg bemerkbar macht.

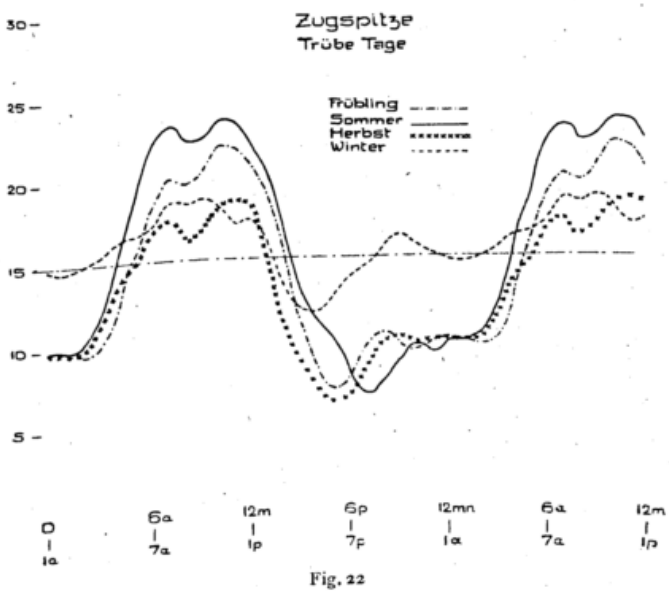

Fig. 22

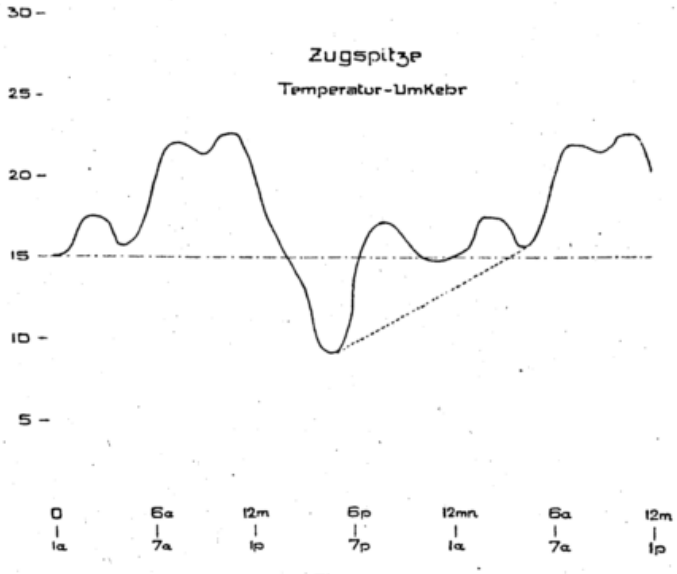

Fig. 23

Lediglich der Winter nimmt eine Sonderstellung ein. Die in den anderen Jahreszeiten durch ihren Verlauf in der Nacht kenntliche Unruhe kommt hier deutlich als schwach ausgeprägtes Maximum von 9—10p zur Geltung. Der Anstieg vom Nachmittagsminimum um 4—5p bis zum raschen Anstieg um 7—8a ist relativ gering.

Ganz eigenartig ist der Verlauf der Häufigkeitskurve an den Tagen mit Temperaturumkehr auf der Zugspitze; die Werte sind in der letzten Zahlenreihe mitgeteilt. Von 10—12m tritt das Maximum ein, von 5—6p das Minimum. Während beispielsweise der Anstieg vom Minimum bis 9^h p an trüben Wintertagen nur 3.9 d. h. 13% beträgt, haben in derselben Zeit die Temperatursteigerungen an den Tagen mit Temperaturumkehr um 8,0 das ist 27% zugenommen. Auch von 2—3a ist ein zweites sekundäres Maximum in der Häufigkeitskurve zu erkennen. Ein drittes Maximum liegt um 8p.

Verbindet man in der beigegebenen Kurve den tiefsten Punkt 9.2 (von 5—6p) mit dem Punkt 16.4 (von 5—6a) mit einer geraden Linie, die annäherend dem normalen Tendenzenverlauf in den Nachtstunden entspricht, so sehen wir deutlich, welcher Beitrag an der Häufigkeitskurve speziell an den Tagen mit Temperaturumkehr zur Nachtzeit noch geleistet wird.

Die Häufigkeitskurve schneidet wiederholt die Mittellinie, die Temperaturkurve wird also selbst im Mittelwerte nächtliche Maxima aufweisen, von denen das eine schon auf Mitternacht, das andere kurz vor Sonnenaufgang fallen wird.

Der Kurvenverlauf an Temperaturumkehrtagen in Partenkirchen und Mittenwald ist ebenfalls sehr interessant. Nachstehende Tabelle gibt die — auf Normalmonat reduzierten — Häufigkeitswerte:

	12^m–1^a	1–2	2–3	3–4	4–5	5–6	6–7	7–8	8–9	9–10	10–11	11–12^m	12^m–1^p	1–2	2–3	3–4	4–5	5–6	6–7	7–8	8–9	9–10	10–11	11–12^{mn}
Tage mit Temperaturumkehr ausgegl. (auf Normalmonat reduziert).																								
Partenk.	8.8	10.8	11.8	11.3	11.3	13.8	16.8	19.4	24.0	25.9	28.9	**29.0**	27.4	21.6	12.1	4.4	**2.0**	3.3	5.9	7.5	7.8	7.6	7.6	7.8
Mittenwald	14.9	15.3	14.8	13.1	11.3	10.0	11.3	16.9	23.0	26.3	**28.3**	28.0	25.5	21.0	11.9	3.3	0.4	1.8	6.1	11.5	14.4	14.3	13.6	14.0

An den beiden Basisorten der Zugspitze ist der Kurvenverlauf untertags nahezu identisch. Das Maximum der Häufigkeit wird zwischen 10a und 12m erreicht und zwar mit 29.0 und 28.3 d. h. mit 97% und 94%. Das Minimum tritt gleichzeitig von 4—5p mit 2.0 bezw. 0.4 das ist 7% bezw. 10% ein. Ein zweites Minimum tritt morgens ein in Partenkirchen von 3—5a, in dem durch höhere bezw. nähere Berge abgeschlossenen Mittenwald von 5— a. Von abend bis morgen erfolgt nun ein kräftiger Anstieg,

in Partenkirchen von 7% auf 38%
„ Mittenwald „ 1% „ 33%.

Der gewohnte nachts erfolgende Anstieg ginge, vom Nachmittagsminimum ausgehend, an beiden Orten parallel vor sich bei Sonnenaufgang, der tatsächlich hier gezeichnete Kurvenverlauf liegt aber an beiden Orten weit über dem „normalen" glatten Anstieg. In Mittenwald übersteigt sogar nachts von 1—2 Uhr die Häufigkeitskurve den Wert 50%. Sowohl Partenkirchen als wie Mittenwald weisen in der allgemeinen nächtlichen Hebung der Kurve zwei Maxima auf, das erste von 8—9p

das zweite, grössere von 2—3a bezw. 1—2a. Hier sei vorerst nur die Tatsache erwähnt; auf Erklärungsversuche werden wir erst später eingehen.

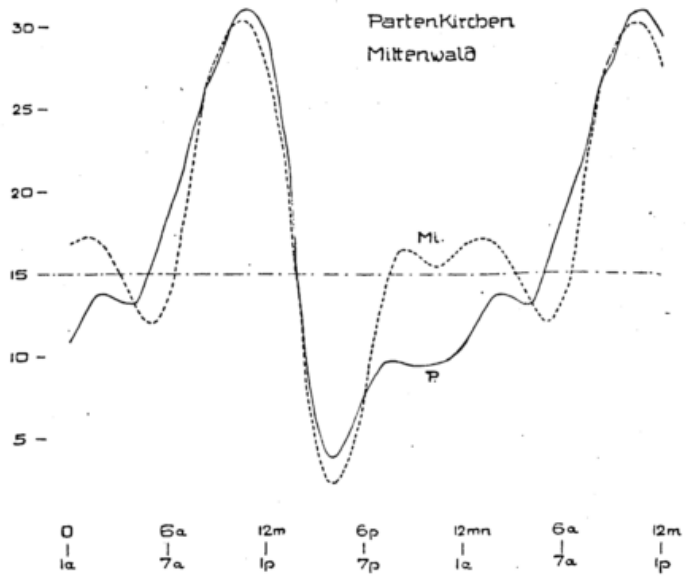

Fig. 24

γ) Der Gang der barometrischen Mitteltemperatur.

An den Tagen, an denen in der Luftschichte Hohenpeissenberg-Zugspitze Temperaturumkehr auftritt, zeigt sich eine kräftig ausgebildete Doppelwelle der Mitteltemperatur. Nachstehende Werte sind aus 63 Tagen der Jahre 1911 bis 1915 abgeleitet.

Barometrische Mitteltemperatur.

1a	2	3	4	5	6	7	8	9	10	11	12m	1p	2	3	4	5	6	7	8	9	10	11	12mn
-3.23	-3.27	-3.30	-3.45	-3.50	-3.55	-3.60	-3.59	-3.50	-3.37	-3.33	-3.31	**-3.22**	**-3.22**	-3.23	-3.29	-3.32	-3.38	-3.39	-3.27	-3.19	-3.23	-3.22	**-3.18**

Tendenz (ausgegl. auf Normalmonat reduziert).

12mn-1a	1-2	2-3	3-4	4-5	5-6	6-7	7-8	8-9	9-10	10-11	11-12m	12m-1p	1-2	2-3	3-4	4-5	5-6	6-7	7-8	8-9	9-10	10-11	11-12mn
8.0	7.8	7.5	7.3	**7.1**	8.6	10.0	**10.1**	9.8	9.9	9.6	9.2	9.4	**9.6**	9.2	8.5	8.0	7.9	8.1	**9.1**	9.0	8.4	8.1	8.2

Die barometrische Mitteltemperatur zeigt eine deutliche Doppelwelle. Das eine Maximum liegt um 1 bis 2p, das zweite von gleicher Grösse um 12mn. An der Realität des Nachtmaximums kann nicht gezweifelt werden. Es ist auch nicht — wie vielfach auch mit Recht — behauptet wurde, ein blosses Rechenergebnis. Von der Beigabe von Kurven wurde abgesehen, es mögen die stündlichen Zahlenwerte genügen.

Einen interessanten Gang weist die für die einzelnen Tage ermittelte „Tendenz" auf. Es sei aber vorausgeschickt, dass die hier mitgeteilten Zahlenwerte wegen der geringen Anzahl (63) der Tage noch mit grossem Fehler behaftet sind. Aber trotzdem sieht man hier deutlich das Auftreten dreier Extreme.

Maxima treten auf von 7—8a, 1—2p und 7—8p
Minima „ „ „ 4—5a, 11—12m „ 5—6p.

Ob es sich hiebei um eine dritteltägige Welle oder um eine vierteltägige mit unterdrücktem 4. Maximum von 2a handelt, kann nicht entschieden werden.

Trotz der Geringfügigkeit der Amplituden sei es trotzdem gestattet, auf das nun wiederholt festgestellte Auftreten von Wellen von kurzer Dauer, insbesondere auf das Vorkommen der dritteltägigen Schwingungen[1]) hinzuweisen, deren Existenz sicher zu sein scheint.

b) Der Einfluss der Wetterlage.

Anstiege der Temperatur treten nachts sowohl bei cyklonaler als auch bei anticyklonaler Wetterlage auf, erstere sind auf thermische Ursachen, letztere auf dynamische zurückzuführen. Von Föhndurchbrüchen im Gebirge wollen wir absehen.

[1]) Vergl. H. Hergesell l. c.

Wie zu erwarten war, sind die hauptsächlichsten und bemerkenswertesten Fälle der abendlichen Zunahme der Temperatur dann eingetreten, wann über dem Kontinent sich ein Hochdruckgebiet ausbildete. Für das Gebirge waren naturgemäss sekundäre Druckmaxima über den Alpen massgebend; in solchen Fällen tritt die typische Zunahme der Temperatur mit der Höhe, mit oder ohne Ausbildung eines Nebelmeeres ein, in der Höhe selbst tritt anticyklonaler Föhn auf, der vielfach zu sekundären Nachtmaxima Anlass gibt.

Aber auch bei rein cyklonalem Wetter treten sehr oft nächtliche Temperaturanstiege auf, sowohl kleinere als grössere Anstiege von kurzer Dauer, als auch die Ansätze durchgreifender Temperatursteigerung. Nächtliche Temperaturzunahme wird bei gleicher Einzugstemperatur nachts viel stärker sich geltend machen wie tagsüber, da der relative Unterschied grösser ist. So kann unter Umständen auch in der Höhe sonst abkühlend wirkender Föhn dort nachts auch Erwärmung bringen.

Am interessantesten ist wohl die Tatsache, dass auch bei Zwischenhoch oder sogar bei ausgesprochener Depressionsrückseite, also bei typischen Kälteeinbrüchen. in der Höhe bereits Temperaturanstieg eintritt. Hier haben wir es wieder mit dynamischer Erwärmung zu tun. Die Luftmassen, die advektive Kälte besitzen, kühlen sich in der Aufklarungszone der Böenfront durch Ausstrahlung weiter ab und beginnen sich auszubreiten; die Folge ist anticyklonaler Föhn oder besser gesagt dynamische Erwärmung in der Höhe; eine Lage, die sich besonders nachts geltend macht.

Von besonderer Bedeutung ist auch die Situation, die bei Mittelmeerdepressionen sich einstellt, wenn ihr warmer Sektor über den Alpenkamm herüberzugreifen beginnt. Auch hier scheinen die Nachtstunden zum Übertritt der Kurslinie nach Norden bevorzugt zu sein, sodass nachts die am Nordrande der Alpen bestehende Temperaturumkehr noch eine Verstärkung erfährt. Zur Nachtzeit scheinen eben hiefür in der Höhe die Bedingungen günstiger zu sein als am Tage.

Bei der Untersuchung der nächtlichen Temperatursteigerungen in den Jahren 1911—15 hat sich auch einmal der Fall einer typischen „Wärmewelle" (12. Mai 1912) als besonders interessant erwiesen. Auch hier sahen wir gerade die Abend- und Nachtstunden als Eintrittszeiten besonders hervorgehoben. Das Übergreifen des warmen Sektors einer nördlichen Depression findet mit Vorliebe in den Abendstunden statt, gerade in dieser Zeit ist der Temperaturanstieg am augenfälligsten. Es ist noch die allgemeine Frage offen: Ist die Erwärmung so intensiv, weil die Differenz der ankommenden Temperaturwelle gegen die am Ort durch Ausstrahlung abgekühlte Luft am Abend am grössten ist, ist also der Temperaturanstieg nur relativ bedeutend oder sind überhaupt die Nachtstunden, wie behauptet wird, von Erwärmungen besonders bevorzugt?

So hat z. B. auch Schmauss in einer eingehenden Arbeit[1]) gefunden, dass der Einsatz einer Depression nicht mit der gleichen Wahrscheinlichkeit zu jeder Stunde des Tages erfolgt, sondern dass es hiefür „kritische Bereiche" gibt.

Bringen wir nun die Tendenzkurve in Beziehung zu den „kritischen Bereichen" von Schmauss, so sehen wir sofort folgende Beziehungen:

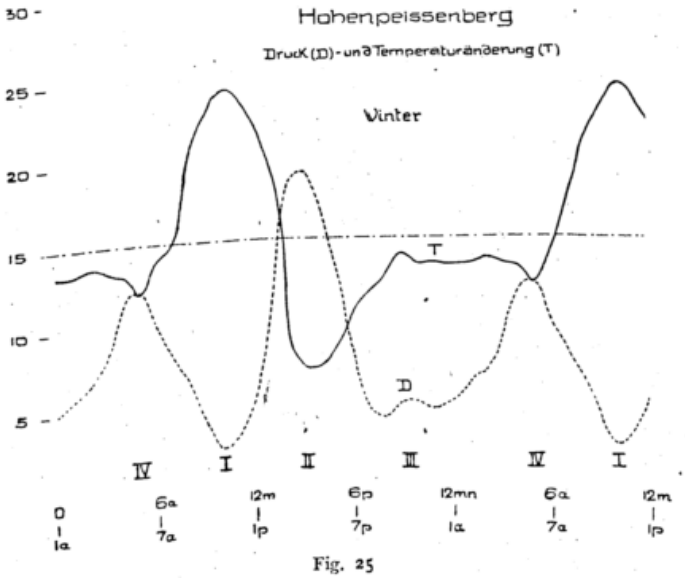

Fig. 25

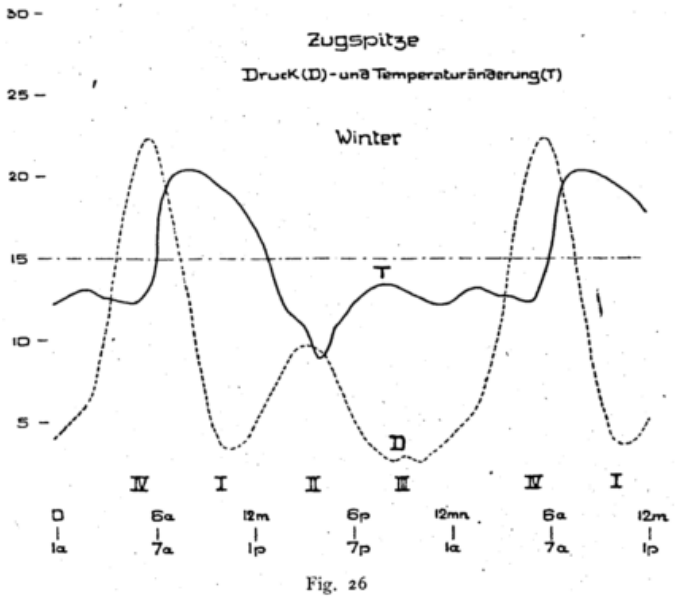

Fig. 26

Die Extreme I—IV decken sich und zwar ist die Beziehung eine inverse.

Von I bis II steigt die Druckzunahme
fällt die Tendenz
von II bis III fällt die Druckzunahme
steigt die Tendenz

[1]) A. Schmauss. Die Lebensdaten der mitteleuropäischen Depressionen I. u. II. Deutsch. Meteor. Jahrbuch für Bayern 1923 bes. Seite B 3 u. E 1.

von III bis IV steigt die Druckzunahme
steigt die Tendenz
von IV bis I fällt die Druckzunahme
steigt die Tendenz.

Zwischen Zugspitze und Hohenpeissenberg-München ergeben sich, wie die Kurven[1]) zeigen, keine wesentlichen Unterschiede.

Den Kurvenverlauf von IV bis I, also der Zeit von 4a—10a, in der infolge der rasch einsetzenden täglichen Erwärmung der Druck fällt, können wir so leicht erklären. Von I bis II, also von 9a bis 3p zur Zeit der relativ hohen Tagestemperaturen entspricht einer Steigerung der Druckzunahme eine Abnahme der Temperatursteigerung. Dass diese auf so verschiedene Art gewonnenen Kurvenzüge so leicht in umgekehrte Beziehung treten, ist doch höchst merkwürdig. An anderer Stelle[2]) habe ich früher auf eine derartige Beziehung schon hingedeutet; „dass offenbar gerade in dieser Zeit für starke Barometeranstiege und Temperaturstürze, also für kräftige Rückseitenwirkung, sehr günstige Bedingungen gegeben sind." Es scheint das Vordringen der Polarfront besonders häufig und kräftig in der Zeit von 9a bis 3p einzutreten.

Am wichtigsten scheint der Verlauf der beiden Kurven in der Zeit von 3p bis 4a (II bis IV) zu sein. Für die Tendenzkurve wollen wir einen gleichmässigen Anstieg voraussetzen, das sekundäre Maximum bei III bleibe zunächst ausser Acht. Wir haben zwei Abschnitte in der Kurve zu unterscheiden: von II bis III fällt die Druckkurve und steigt die Tendenzkurve. Wir können an den in den ersten Abendstunden im Winter auftretenden anticyklonalen Föhn denken, also an einen Schrumpfungsvorgang. Von III bis IV, also von 8p—4a wächst das Bestreben der Druckzunahme gleichzeitig mit dem der Temperatursteigerung und zwar, wie wir aus anderen Beispielen sehen, in der Höhe ebenso wie im Tale. Zur Zeit der stärksten nächtlichen Ausstrahlung kann dieser Vorgang wohl nicht anders erklärt werden als durch eine Häufung der Äquatorialfrontvorstösse im Substratosphären-Niveau gerade in diesem hiefür kritischen Bereich.

c) Vorstösse aus der Äquatorial„front".

Im nachfolgenden wurde der Verlauf der Tendenz nur für solche Tage festgelegt, an denen charakteristische Ausbrüche aus der Äquatorialfront eintreten und die von anderen Gesichtspunkten aus A. Schmauss[3]) diskutierte.

Es möge genügen, den Kurvenverlauf der Tendenz (ausgeglichen und hier in % berechnet) für diese 15 Tage ohne Mitteilung der Zahlenwerte vorzuführen. Die Kurve erstreckt sich auf je zwei aufeinanderfolgende Tage. Es lässt sich deutlich erkennen, dass von einem Tag zum nächsten mit dem von 11p—2a einsetzenden Vorstoss aus dem äquatorialen System (Erwärmung und Druckanstieg) Störungen auftreten, die ihr Maximum (mit mehr als 50%) von 12 mn—1a erreichen. Hier liegt offenbar der „Kritische Bereich". (Wenn nachts Druckanstieg mit gleichzeitiger Temperaturzunahme erfolgt, so

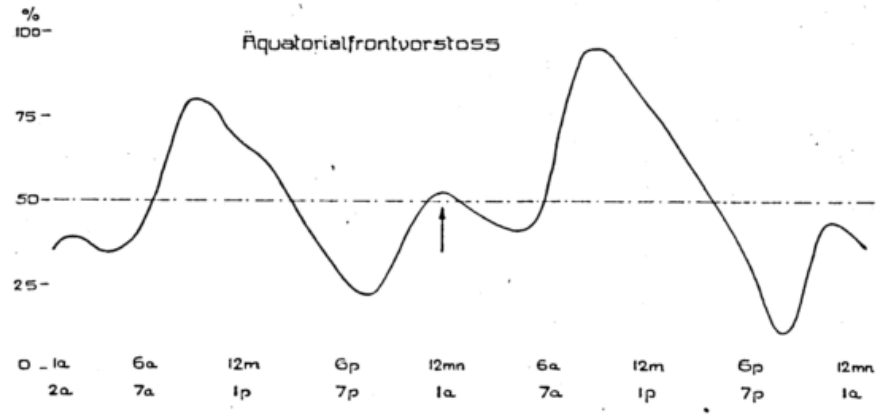

Fig. 27

braucht dies kein Vorstoss aus der Äquatorialfront (Substratosphäre) zu sein. Es tritt oft der Fall ein, dass im Winter eine Böenlinie vorbeizieht, der ein Polarluftvorstoss zugehört, dessen Temperatur am warmen Meere wesentlich erhöht wurde, ehe er den überdies noch durch Ausstrahlung erkalteten Kontinent erreichte. Es ist also sehr leicht möglich, dass auch ein Polarluftvorstoss Temperatur- und Drucksteigerung bringt; solche Fälle sind hier unter Beachtung der nötigen Kritik

[1]) Die beiden Druckveränderungskurven lassen einen Schluss auf die halbtägige Luftdruckschwankung zu:

Um 10a und 10p (I und III) hat diese ein Maximum. Von 10—11a und 10—11p wird also der Druck mit grösster Häufigkeit fallen. Die Minima der D-Kurve sind für Hohenpeissenberg und Zugspitze gleich tief. Diese zwei Extreme der halbtägigen Luftdruckwelle sind durch Tageseinflüsse am wenigsten gestört.

Anders ist es mit den Minimas um 4a und 4p (IV und II). Auf die Minima der Druckwelle folgt von 4—5a und 4—5p ein Maximum der Druckzunahme, dieses ist im Falle

IV auf der Zugspitze gross
II auf dem Hohenpeissenberg gross.

Das Minimum der halbtägigen Luftdruckwelle ist auf der Zugspitze zur Zeit der tiefsten Temperatur am deutlichsten ausgebildet, auf dem Hohenpeissenberg hingegen um 4p, wo durch Hebung der Niveauflächen in der Höhe Luft abfloss, das Luftdruckminimum also stärker auftrat, als es der halbtägigen Welle nach sein sollte.

[2]) A. Huber. Das Klima der Zugspitze. Deutsches Meteor. Jahrbuch für Bayern 1913 Seite 60 und 61.

[3]) A. Schmauss. Druckanstiege aus der Äquatorialfront. Deutsches Meteor. Jahrbuch für Bayern 1922. E 1—6.

ausser Acht gelassen worden. Ebenso war auf den nächtlichen und daher sehr eindrucksvollen Durchzug von Tiefdruckausläufern zu achten.)

Auch ein Einzelfall, der sich gerade bei Abfassung des Manuskriptes einstellte, soll vom Gesichtspunkte der kritischen Stunden noch kurz angedeutet sein. In der Nacht vom 7.—8. Mai 1924 zeigte die Temperaturregistrierung in München (forstliche Versuchsanstalt) eine Störung im nächtlichen Abfall: Von $^1/_2$10 bis $^1/_2$12 hp war ein Maximum von 2—3° Temperaturerhöhung aufgesetzt. Die relative Feuchtigkeit zeigt während dieser Zeit den entsprechenden inversen Gang; der Luftdruck beginnt rasch und stark anzusteigen. Die Wetterlage an diesem Tage war folgende: Es herrschte am 7. Mai noch cyklonales Wetter; eine Depression reichte von England über Frankreich ins westliche Mittelmeer. Von Norden stand sogar ein Austropfen aus der Polarfront zu erwarten. Für die Alpenländer wurde aber der rasche Druckanstieg von Südwesten her ausschlaggebend.

Dieser Einzelfall erwies sich als charakteristisch für Vorstösse aus der Äquatorialfront und die kritische Zeit ihres Auftretens.

Es bedürfen noch weitere hier einschlägige Punkte der Erörterung.

Die Witterung spielt an den Tagen mit Äquatorialfrontvorstössen nur eine untergeordnete Rolle: Vielfach herrscht am Vortag noch trübes Wetter und Niederschlag, nachts tritt dann rasches Aufklaren ein, sodass aus anderen Gründen (antizyklonaler Föhn, Schrumpfung) die Tendenz zur Erwärmung erklärlich ist. Aber ebenso häufig sind an den herangezogenen Tagen die Fälle, in denen das schlechte Wetter auch noch am Nachtage andauert, also an dem Tage, an dem der Druckanstieg erfolgt. Ein Einfluss des Wetters scheint demnach nicht vorhanden zu sein; selbst in klaren Nächten wird in diesem Falle keine Senkung der Niveauflächen eintreten, da der horizontale Luftaustausch nie unterbrochen, manchmal sogar gesteigert wird.

Der tägliche und der jährliche Gang der meteorologischen Elemente zeigen einen gewissen Parallelismus: Dem Tag entspricht der Sommer, die Nacht dem Winter. Wir haben als „kritische Bereiche", die Stunden von 11 p bis 2 a kennen gelernt, also die Mitternacht, wir dürfen den Analogieschluss machen, dass Äquatorialluftvorstösse mit grösster Häufigkeit und Wirksamkeit im Hochwinter zu erwarten sind.

Es sei bei dieser Gelegenheit auch darauf Bezug genommen, dass G. Guilbert[1]) auf die Tatsache hingewiesen hat, „dass die Cyklonen sich vorwiegend zwischen Sonnenuntergang und -Aufgang bilden, dass die Mehrzahl der atmosphärischen Störungen während der Stunde der „nächtlichen Calmen" eine wesentliche Verstärkung erfahren und dass die Geschwindigkeit der Stürme während der Nacht grösser als während des Tages ist." Besonders ist hiebei auf den Umstand hingewiesen, dass dieselben stündlichen Oscillationen der Windstärke sogar in Fällen von sehr tiefen barometrischen Störungen genau wie beim Luftdruck auftreten. Guilbert sucht hierin einen Beweisgrund für die von ihm behauptete Vertiefung der Depressionen während der Nacht. Wir führen diese Tatsache hier lediglich aus dem Grunde an, weil hierin das auslösende Moment für den in der Höhe der Substratosphäre erfolgenden „primären" Druckanstieg an der Vorderseite eines Tiefdruckgebietes liegen kann.

Auch an anderer Stelle[2]) und in ganz anderem Zusammenhang ist auf das Vorstossen des Westkeiles zu bestimmten Stunden hingewiesen. Wolf hat bei Untersuchung der Gewitter in Niederösterreich gefunden, dass das Hauptmaximum des täglichen Ganges der Gewitterhäufigkeit zur Zeit der höchsten Tagestemperatur und ein sekundäres Maximum morgens auftritt: „Zur Ursache der Morgengewitter (Eintrittszeit etwa 5^{h}a) wurde ermittelt, dass in den meisten Fällen, wo dieselben ausgebreitet auftraten, ein Einströmen der kalten Luft von Westen entlang der Nordkette der Alpen stattfand also bei einer Westkeilsituation."

Wir legen hier bei diesem Zitat nur Gewicht auf die Festlegung eines „kritischen Bereiches".

3. Die Häufigkeitskurve und ihre Beziehung zu den Luftdruckwellen.

Die auffällige Tatsache, dass die Maxima im nächtlichen Temperaturverlaufe annähernd zu einer bestimmten Stunde auftreten, ferner die im 2. Abschnitt festgelegte Tatsache, dass die halbtägige Temperaturwelle oftmals die eintägige in der Grösse der Amplitude erreicht und schliesslich die scheinbar bizarre Feststellung der „Tendenz"zunahme bei Nacht lassen die Vermutung nicht unberechtigt erscheinen, dass es sich um Wellenbewegung in der Atmosphäre handelt.

Die Beziehung der Tendenzkurve zur ursprünglichen Temperaturkurve ist ohne weiteres durch den Umstand festgelegt, dass sie bis auf einen Faktor identisch ist mit der Veränderung der Temperatur mit der Zeit; also mit $\frac{dT}{dt}$. Die Häufigkeitskurve der stündlichen Temperaturzunahme unterliegt sowohl thermischen als auch dynamischen Ursachen.[3]) Die wichtigste ist die tägliche Einstrahlung und die hiedurch bewirkte Erwärmung der Luft. Hebung und Senken der Niveauflächen, das Strecken und Schrumpfen der Atmosphäre, sowie seitliche Advektion, ferner Veränderungen des Luftdrucks, wenigstens soweit sie periodisch erfolgen, können nicht ohne Einfluss sein.

---

[1]) Auszug aus der Originalarbeit: „Über eine Beziehung zwischen den Veränderungen des Luftdrucks und den nächtlichen Calmen." Met. Zeitschrift 1912 Seite 335.

[2]) Dr. E. R. Wolf. Über den Zusammenhang der Gewitter mit der Wetterlage. Jahrbücher der K. K. Zentralanstalt für Met. u. Geodyn. 1912 Seite 45.

[3]) Vergl. auch H. Hergesell. Der tägliche Gang der Temperatur in der freien Atmosphäre über Lindenberg. Ergebnisse der Arbeiten des Preuss. aer. Obs. Lindenberg XIV. Band.

Wie äussern sich diese Einwirkungen bei der Tendenzkurve?

Wir wollen, um der Beantwortung dieser Frage näher zu kommen, die „Tendenzkurve" harmonisch analysieren und sehen, ob die Konstituenten irgendwelche Bedeutung haben.

Harmonische Konstituenten.

	1. Häufigkeitskurve (12 mn = 0)								2. Luftdruckkurve (12 mn = 0)							
	a_0	a_1	a_2	a_3	$\frac{a_2}{a_1}$	A_1	A_2	A_3	a_0	a_1	a_2	a_3	$\frac{a_2}{a_1}$	A_1	A_2	A_3
Winter.																
Hohenpeissenberg	14.7	4.9	4.7	1.2	0 96	325.7	145.2	328.0	675.39	0.02	0.17	0.08	8.55	149.0	146.3	349.1
Zugspitze	14.8	3.1	2.4	0.8	0.80	323.3	164.7	309.2	525.33	0.10	0.14	0.08	1.40	164.3	130.6	343.4
Frühjahr.																
Hohenpeissenberg	15.0	10.1	4.7	1.4	0.46	320.6	130.0	165.8	675.24	0.08	0.23	0.03	2.88	13.8	139.5	175.3
Zugspitze	15.1	7.8	2.0	1.6	0.26	314.8	139.2	338.3	527.02	0.28	0.16	0.04	0.57	178.9	118.3	347.6
Sommer.																
Hohenpeissenberg	15.7	10.1	2.8	1.5	0.27	323.9	133.2	186.9	678.14	0.05	0.23	0.03	4.60	46.5	165.1	186.9
Zugspitze	15.2	8.9	1.8	1.6	0.19	319.2	160.0	189.8	533.05	0.09	0.14	0.04	0.49	185.9	111.8	145.6
Herbst.																
Hohenpeissenberg	14.6	7.5	4.8	1.2	0.64	322.8	143.4	300.7	676.84	0.05	0.19	0.08	3 80	186.5	143.7	301.4
Zugspitze	14.4	6.0	2.9	0.9	0.48	317.3	156.7	209.8	529.15	0.20	0.15	0.07	0.75	174.1	128.1	270.4
Hiroshima																
Januar	15.0	11.8	5.5	1.3	0.46	317.5	135.9	339.9	767.04	0.30	0.52	0.24	1.40	28.6	171.0	354.1
Juli	14.9	14.8	3.1	2.7	0.21	310.5	183.3	136.9	757.26	0.50	0.39	0.07	0.78	6.0	154.3	180.0

a_0 stellt den Mittelwert dar, ist also gleich der halben Anzahl der Monatstage. (Die Jahreszeiten sind auf Monatslänge reduziert.)

a_1 ist naturgemäss vom täglichen Temperaturgang beeinflusst, erreicht also im Winter ein Minimum und steigt zu einem Maximum im Frühjahr und Sommer; a_1 ist auf dem Hohenpeissenberg grösser als auf der Zugspitze.

a_2 nimmt ebenfalls mit der Seehöhe ab; es ist jedoch sehr auffällig, dass — mit alleiniger Ausnahme des Sommers — a_2 nahezu konstant ist. a_3 ist das ganze Jahr über wenig verschieden.[1]) Das Verhältnis $a_2 : a_1$ ist besonders gross im Winter, wo es auf der Zugspitze 0.8, auf dem Hohenpeissenberg fast den Wert 1 erreicht. Auch der Herbst mit 0.5 bezw. 0.6 erscheint bemerkenswert. Die halbtägige Tendenzwelle ist ohne Zweifel von grossem Einfluss.

Bei den Phasenzeiten ist vor allem festzustellen, dass die A_1 nur sehr wenig von einander verschieden sind; die Eintrittszeiten der Maxima schwanken nur zwischen $8^1/_4$a und 9a; der Einfluss der täglichen Einstrahlung ist unverkennbar.

Die A_2 sind in den einzelnen Jahreszeiten und auch örtlich wenig von einander verschieden. Die Differenzen der Eintrittszeiten der Extreme betragen höchstens 35° also rund eine Stunde; die Maxima treten ein um 10a und 10p, die Minima um 4a und 4p.

Wir haben also bei der zweiten Welle der Häufigkeitskurve dieselben Eintrittszeiten der Extreme wie bei der halbtägigen Luftdruckschwankung. Auch haben wir dort fast keine Veränderung des a_2, (das die Anzahl von Tagen bedeutet), feststellen können.

Vergleichen wir einmal im Einzelnen die A_2 der Häufigkeitskurve und die A_2 der Luftdruckkurve (linker und rechter Teil obiger Tabelle), so fällt beim Hohenpeissenberg besonders A_2 im Winter und Herbst auf; es ist zwischen den A_2 kein Unterschied! Überdies ist im Winter $a_2 = a_1$.

Im Frühjahr ist auf dem Hohenpeissenberg der Unterschied $9^1/_2{}^0$ also rund 20 Minuten, im Sommer 32° also rund 1 Stunde; A_2 der Tendenzkurve zeigt gegen die Luftdruckschwankung eine Verspätung.

Auf der Zugspitze sind die Abweichungen der beiden A_2 voneinander grösser; es tritt eine Phasenverschiebung (Verfrühung) von 48° = $1^1/_2$ Stunden ein; diese Verfrühung entspricht jedoch auch in der Grössenordnung der Verfrühung des A_2 der Luftdruckwelle auf dem Hohenpeissenberg gegen die Zugspitze mit 54°.

Als Vertreter einer anderen Klimazone sind noch die Januar- und Juliwerte von Hiroshima angegeben, auch hier zeigen sich die bei a_2 und A_2 oben mitgeteilten Eigenschaften.

Zum Schlusse noch ein paar Worte über die dritteltägigen Schwingungen.

Die Amplitude a_3 ist nur sehr klein, aber ganz besonders auffällig ist auch hier die Tatsache, dass A_3 der Tendenzkurve nur sehr wenig von A_3 der Luftdruckkurve abweicht, es ist auffallend konstant.

[1]) Die Kleinheit der a_3 gegen a_1 gibt ihm nur den Wert einer „Korrektion". Bedeutung erlangt es aber durch die Konstanz der Phasenzeit.

Diese eigenartige Beziehung zwischen der „Tendenzkurve“ und der Luftdruckkurve regt zu der Frage an: Was ist das Primäre, was das Sekundäre?

Die Tendenzkurve ist, um zu wiederholen, keine Kurve, welche den Verlauf eines meteorologischen Elementes angibt, sondern sie gibt uns den Verlauf der Häufigkeiten wieder, mit der von Stunde zu Stunde positive Temperaturveränderungen auftreten; die „Tendenzkurve“ ist eine komplexe Erscheinung, bei der thermische und dynamische Ursachen sich überlagern. Das erste Glied der Welle ist durch die tägliche Erwärmung bestimmt, in ihr spiegelt sich das „Strecken“ und „Schrumpfen“ der Atmosphäre wieder. Für die zweite und dritte Welle sind andere Ursachen massgebend. Es erscheint sehr fraglich, ob die Temperaturwelle die halbtägige Luftdruckwelle auslöst oder anregt. [1]) Wir können nicht annehmen, dass die „Tendenz“-Kurve den Luftdruckgang beeinflusst sondern umgekehrt. Die halb- und dritteltägigen „Tendenz“-Wellen werden durch die Luftdruckwellen gleicher Phase bedingt. Die Luftdruckwellen von halb- oder dritteltägiger Dauer sind die Schwingungen der Atmosphäre, welche sich in den Tendenzwellen wiederspiegeln; durch diese Luftdruckwellen wird — wenn auch oft nur in geringem Masse oder doch mit wenigverschobener Phase — der Anstoss zum nächtlichen Temperaturanstieg gegeben.

Die nächtlichen Temperatursteigerungen sind also keine zufälligen, lokalen Erscheinungen, sondern sie sind eine Folge des „Pulsschlages der Atmosphäre.“

Wenn wir nochmals kurz wiederholen, so stellten wir fest:

1. Die ganztägige Welle der Tendenz ist, wie ohné weiteres ersichtlich, von dem täglichen Temperaturverlauf abhängig. Die Einstrahlung bedingt die Streckung [2]), die Ausstrahlung die Schrumpfung der Atmosphäre. Letztere ist mit dynamischer Erwärmung der Atmosphäre verbunden, die den nächtlichen Gang der „Tendenz“ bedingt. Wir haben es hier mit einer Gravitationswelle zu tun.

2. Die halbtägige Welle der Tendenz, deren enge Beziehung zur halbtägigen Luftdruckwelle nachgewiesen wurde, ist offenbar durch diese bedingt! Die halbtägige Luftdruckschwingung, die ja selbst vom Wetter unabhängig ist, schafft so die günstigen Bedingungen für nächtliche Temperaturanstiege. Die halbtägige Tendenzwelle ist die Folge einer Luftdruckwelle.

Wenn wir von diesem allgemeinen Gesichtspunkte aus den Gang der „Tendenz“ im Winter oder in der Polarnacht, also zu Zeiten, in denen die Einstrahlung nur ganz gering oder überhaupt Null, ist betrachten, so werden wir die eigenartige Zunahme bei Nacht oder die kurzdauernden Schwingungen der Polarkalotte [3]) von einem anderen Gesichtspunkte aus ansehen. Im Polargebiet haben wir es in der Polarnacht mit einem schwingungsfähigen System zu tun, dessen Luftdruckschwankungen zu gering sind, um in die Erscheinung zu treten, deren Auswirkung sich aber deutlich im Gange der „Tendenz“ zeigte. Ein ähnlich schwingungsfähiges System stellen auch die Kaltluftmassen dar, die unser Gebiet im Winter bedecken, auch sie sind eine „Polarkalotte“ kleinen Stiles.

Wir können, wenn wir eine derartig allgemeine Endursache für die jetzt mit Berechtigung so genannte „Tendenz“-Kurve gefunden haben, auch die Unabhängigkeit vom Wetter erklären.

Wir verstehen darum auch die Tatsache, dass bestimmte Tage oder Nachtstunden für Ereignisse, so z. B. für die Vorstösse aus der Äquatorialfront besonders geeignet sind. Durch die Schwingungen der Atmosphäre werden dann zur bestimmten Zeit die Bedingungen geschaffen, durch die Vorgänge, die bis in die Substratosphäre sich erstrecken, ausgelöst werden.

IV. Zusammenfassung.

1. Die auf Berggipfeln auftretenden nächtlichen Temperaturanstiege oder unvermittelt auftretenden Maxima lassen sich restlos nicht durch die vom Bergwind begleitete Senkung der höheren Luftschichten erklären.
2. Die an den alpinen Talstationen auftretenden Nachtmaxima sind meist, aber nicht immer, Folge lokalen Föhns.
3. Nächtliche Maxima treten auch in der Ebene auf. Hier sind sehr selten lokale Verhältnisse massgebend.
4. Nachtmaxima treten besonders häufig zu den Mitternacht nahen Stunden auf, besonders bevorzugt ist 2 h a.
5. Anticyklonale Wetterlage und Bodeninversionen, besonders im Winter, sind besonders für das Auftreten der Nachtmaxima geeignet.
6. Sie treten aber auch sonst ohne Abhängigkeit vom Wetter auf.
7. Auch eine Abhängigkeit vom Wind ist nicht festzustellen.
8. Für alle Fälle ist auch die Wellenbewegung an der Grenzfläche verschieden temperierter Luftschichten nicht ausschlaggebend.
9. Die Häufigkeit des Auftretens der Nachtmaxima ist so gross, dass sie selbst durch statistische Methoden feststellbar sind.
10. Eine Erklärung der Bedingungen des Auftretens der Nachtmaxima war bis jetzt wohl für den Winter, aber nicht für den Sommer vorhanden.

---

[1]) Aus einer brieflichen Mitteilung von Kollegen Bartels an Prof. Schmauss über eine bis jetzt noch nicht erschienene Arbeit, entnehme ich die Tatsache, dass der Katmaiausbruch 1912—16 keine Rückwirkung auf die halbtägige Schwankung hatte.

[2]) Vergl. A. Schmidt. Schrumpfen und Strecken in der freien Atmosphäre. Beiträge zur Physik der freien Atmosphäre. VII. Seite 103.
H. Hergesell. Die täglichen Druck- und Temperaturwellen der Atmosphäre und die mit ihnen zusammenhängenden Vertikalbewegungen. Beiträge zur Physik der freien Atmosphäre. VIII. Seite 192.

[3]) Weitere Untersuchungen über die Schwingungen der Polarkalotte sind in Vorbereitung.

11. Die Nachtmaxima erweisen sich als allgemeine Erscheinungen im Temperaturgang.
12. Die halbtägige Temperaturwelle ist zu bestimmten Jahreszeiten und an bestimmten Tagen besonders ausgeprägt. Das Verhältnis $a_2 : a_1$ ist im Winter am grössten.
13. Besonders an Tagen mit Nebelmeer und an solchen mit Temperaturumkehr ist auf den Bergen die halbtägige Temperaturwelle sehr deutlich ausgeprägt.
14. An Tagen mit Temperaturumkehr ist die halbtägige Welle ein wesentlicher Bestandteil der Temperaturkurve.
15. An Tagen mit Barometerminimum wird $a_2 > a_1$, da a_1 sehr klein wird.
16. Die Amplitude der dritteltägigen Temperaturwelle ist sehr klein, hingegen sind ihre Phasenzeiten in den einzelnen Jahreszeiten auffallend wenig veränderlich.
17. Die Häufigkeit positiver Temperaturveränderungen von Stunde zu Stunde hat einen ausgesprochenen täglichen Gang („Tendenz"kurve).
18. Der mittlere wahrscheinliche Fehler dieser Häufigkeitswerte ist sehr gering.
19. Die Genauigkeit dieser Untersuchungsmethode ist sehr gross, alle Veränderungen an einer Beobachtungsstelle so z. B. auf andere Stunden verlegte Beschickung der Apparate mit Registrierstreifen, ist ohne weiteres ersichtlich.
20. Von etwa 5 Uhr nachmittags an erfolgt die ganze Nacht hindurch von Stunde zu Stunde eine Zunahme der Häufigkeit der positiven Temperaturveränderungen.
21. In den Stunden um Mitternacht, vorzugsweise um 2 ha, sind dem normal vor sich gehenden Anstieg der „Tendenz"kurve kräftige sekundäre Häufigkeitsmaxima aufgesetzt.
22. Dieses eigenartige Verhalten der Häufigkeitskurve — Anstieg bei Nacht — finden wir in allen Klimaten.
23. Die stärksten Extreme weisen die Inselstationen auf. Landwind ist keine genügende Erklärung hiefür.
24. Die Polargebiete weisen zur Zeit der dauernden oder zeitweisen Einstrahlung den gewohnten Verlauf der „Tendenz"kurven auf. Besonders im Polarsommer zeigt sich deutlich der Einfluss der täglichen Erwärmung.
25. Aber auch zur Zeit der Polarnacht macht sich ein ausgesprochener Gang der Häufigkeitskurve nächtlicher Anstiege geltend.
26. In der Polarnacht ist die „Tendenz"kurve durch Wellenbewegungen der schwingenden Polarluftkalotte bedingt. Hier treten mehrere Wellen kürzerer Dauer hervor.
27. Wie die regelmässigen Luftdruckschwingungen, so ist auch das Verhalten der„ Tendenzkurve" völlig unabhängig vom „Wetter".
28. Äquatorialluftvorstösse treten wie die „Tendenz" zeigt, vorzugsweise Nachts auf.
29. Die „Tendenzkurve" steht in engstem Zusammenhange mit der halbtägigen Luftdruckschwankung.
30. Die erste Welle der „Tendenz"kurve ist eine Gravitationswelle. Sie spiegelt das Strecken und Schrumpfen der Atmosphäre wieder.
31. Die zweite Welle der Tendenz hat dieselben Phasenzeiten wie die halbtägige Luftdruckschwankung.
32. Wir dürfen annehmen, dass sie eine von dieser veranlassten Welle ist.
33. Wie bei der halbtägigen Welle, so stimmt auch bei der dritteltägigen Welle der „Tendenz"kurve die Phasenzeit mit der der Luftdruckwelle überein.

Luftelektrische Studien auf der Zugspitze.

Erster Bericht

von Peter Lautner.

1. Vorbemerkung.

Jaufmann[1]) führte in der Zeit vom 1. 9. 05 bis 31. 8. 06 die ersten luftelektrischen Messungen auf der Zugspitze aus. Sein Augenmerk war damals besonders auf die radioaktiven Eigenschaften der den Gipfel umspülenden Luft gerichtet. Durch Anwendung der Elster-Geitelschen Aktivierungsmethode gelang es ihm, ein Bild der Emanationsführung der Gipfelluft zu entwerfen, in dem die Zerfallsprodukte des Radiums und die Vorgänge der Bodenatmung in Abhängigkeit vom Gang der meteorologischen Elemente kennzeichnend auftraten. Weiter lieferten orientierende Versuche mit dem Elster-Geitelschen Zerstreuungsapparat eine gegenüber der Luft über dem Flachlande erhöhte Ionenführung unter anderem als Folge der sich unter dem Erdfeldeinfluss ständig verstärkenden aktiven Schichte, die den exponierten Hochgipfel bedeckt.

Inzwischen ist nun die luftelektrische Messtechnik so wesentlich fortgeschritten, dass es mir wünschenswert erschien, Jaufmanns Arbeit in einer dem gegenwärtigen Stande der luftelektrischen Forschung entsprechenden Weise fortzusetzen, liegt es doch auf der Hand, von einer erschöpfenden luftelektrischen Erforschung des Zugspitzgipfels wesentliche Erkenntnisse zu erwarten. Zur Erlangung fester Grundlagen für Bilanzbetrachtungen wäre es z. B. erstrebenswert, fortlaufend alle luftelektrischen Elemente zu registrieren, wie es in der Literatur[2]) wiederholt gefordert wird. Da aber der Zugspitzbeobachter in erster Linie seine umfangreiche rein meteorologische Arbeit zu leisten hat und nebenbei auch seinen gesamten Haushalt besorgen muss, kann er nicht gleichzeitig noch eine so umfassende luftelektrische Tätigkeit entfalten, zumal luftelektrische Untersuchungen in Zugspitzhöhe notwendig mit besonderen Erschwernissen verbunden sind. Die luftelektrische Erforschung des Zugspitzgipfels kann daher nur so vorgenommen werden, dass eine ganze Folge von Beobachtern nacheinander Einzelfragen erledigt. So wären etwa nach Klarlegung der Verhältnisse bei den üblichen luftelektrischen Elementen interessantere Studien über Nebel- und Niederschlagselektrizität, Elmsfeuermessungen usw. die erwünschte Fortsetzung.

Die Vorbereitung zur Wiederaufnahme der luftelektrischen Messungen auf der Zugspitze fiel in die Zeit der Inflation. Von überall her musste das Instrumentarium zusammengetragen werden. An dieser Stelle sei in erster Linie Herrn Direktor A. Schmauss für die stetige Unterstützung der Sache, die noch fortdauert, gedankt. Ferner sei Dank gesagt: dem Potsdamer Institut für zwei Benndorfelektrometer, den Herren Professor Wigand und Gerdien für je einen Wulfschen Strahler, Herrn Prof. Fajans für die Lösung zu den Poloniumpräparaten, den Herren Vorständen der Physikalischen Institute der Universität und der Technischen Hochschule für die Gelegenheit zu Eichungen aller Art und zum Bau von Apparateteilen, und nicht zuletzt den Herren Prof. Lutz und Kähler für wertvollen Rat.

So verfügte ich schliesslich über ein Instrumentarium:

1. zur Messung der durchdringenden Strahlung,
2. zur Registrierung des Spannungsgefälles,
3. zur Messung der Leitfähigkeit,
4. zur Messung der Raumladung und
5. zu verschiedenen orientierenden Vorversuchen.

Damit wurde in der Zeit vom 1. 8. 24 bis 1. 8. 26 auf der Zugspitze gearbeitet und nun sei über Methoden und Ergebnisse genauer berichtet[3]).

2. Durchdringende Strahlung.

a) Instrumentelles: Der von Prof. Wigand zur Verfügung gestellte Wulfsche Strahler 3777[4]) ergab die ersten drei Beobachtungsmonate so hohe Werte, dass ich noch ein zweites Instrument für erforderlich hielt und auch von Herrn

---

[1]) D. Met. Jahrb. Bayern 1907 Anh. C 1—38.

[2]) Enzyklopädie VI, I B, 250, 1918. Graetz Handb. d. Elektr. u. d. Magnet. III, 271, 1923. V. F. Hess, Leitfähigkeit Sammlung Vieweg 84/85, 149, 1926.

[3]) Hinsichtlich der orographischen und geologischen Verhältnisse der Zugspitze sei auf das Met. Jahrb. Bayern 1907 p. C 4 und 1913 p. L 11 verwiesen, wo sich auch eine Beschreibung des Turmes findet.

[4]) Abh. d. Naturf.-Ges. z. Halle 1914 Nr. 4 III und Wigand, Phys. Zeitschr. 25, 445, 1924.

Gerdien bekam. Beim ersten Trägertransport auf die Zugspitze war aber das Fadensystem dieses Wulfschen Strahlers 4211[5]), den Kolhörster schon in Waniköi benutzt hatte, gerissen, so dass er nochmals zu Günther und Tegetmeyer geschickt werden musste, was den Beginn der Beobachtung mit 4211 bis Juli 1925 hinausschob. Ab Oktober 1925 erwiesen sich beide Strahler brauchbar, jedoch versagte 3777 am 23. 4. 26 endgültig durch einen inneren Schaden an der Aufladevorrichtung. Beide Instrumente waren mit Luft von rund Atmosphärendruck gefüllt. Die Werte von 3777 betrugen im Mittel das 1.236 fache des Strahles 4211. Mit 4211 glückte nach abgeschlossener Messungsreihe im Oktober 1926 ein Unterwasserversuch in 8 m Tiefe im Staffelsee bei Murnau.

b) Aufstellung, Beobachtungsverfahren, Auswertung: Beide Instrumente standen unverändert auf einem Brett an der Südostwand des Turmes im tagsüber geheizten Beobachterzimmer etwa 4 m über dem natürlichen Felsboden (ca. 2960 m ü. N.N.). Eine bessere Aufstellung, wie z. B. auf dem Obir[6]) oder in Waniköi war leider unmöglich. Daher musste die Feststellung einer täglichen Periode der durchdringenden Strahlung unterbleiben. Von vorneherein war es auf den Jahresgang abgesehen und es wurde wie folgt beobachtet: Um 7a wurde durch Pinseln des Ladeknopfes das Fadensystem negativ aufgeladen und dann sich selbst überlassen; das Elektrometergefäss war stets geerdet. 8a, 9a und 10a M.E.Z. fanden dann täglich die Hauptablesungen statt; nach Mitteleuropäischer Zeit deshalb, weil die ganzen Stunden nach Ortszeit schon durch meteorologische Dienstverrichtungen belegt waren. Somit wurde stets im selben Bereiche bei fast gänzlichem Sättigungsstrome gemessen; auch die Zimmertemperatur war wohl immer ungefähr die gleiche (7^{30} a Beginn des Heizens). An Hand der den Apparaten beigegebenen Eichkurven wurden die jeweils abgelesenen Skalenteile in Volt übertragen und dann die Ionisierungsstärke q in Ionenpaaren in 1 ccm in 1 sec nach der üblichen Formel [7]) berechnet:

$$q = \frac{C}{300 \cdot \varepsilon \cdot L} \cdot \frac{V_o - V_t}{t},$$

wo C die Kapazität des Strahlers, $\varepsilon = 4.77.10^{-10}$ E.S.E. das Elementarquantum, L der Rauminhalt des Gefässes, V_o das Potential bei der einen Ablesung und V_t das bei der um die Zeit t späteren anderen Ablesung bedeuten. Für 3777 war C = 1.31 cm und L = 3566 ccm, für 4211 waren dieselben Werte 1.55 cm bzw. 3416 ccm; t war stets eine Stunde. Hatte 3777 z. B. 21.86 Volt stündlichen Verlust, so betrug er bei 4211 nur 17.69 Volt; aber beide Instrumente ergaben dann dasselbe q = 15.58 Ionenpaare in 1 ccm in 1 sec.

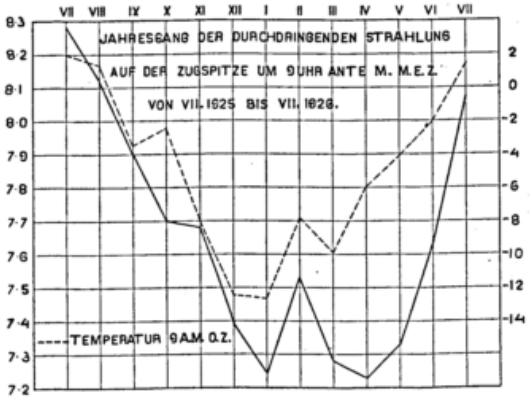

Fig. 1.

Die Ordinatenskala links gibt die Ionenpaare ccm/sec. an, die Skala rechts bezeichnet Celsiusgrade.

c) Ergebnis: Es wurden täglich zwei q=Werte erhalten und monatlich wurden die Mittel gebildet. Nach Abzug der Reststrahlung plus Isolationsverlust, die sich für 4211 zu 7.94 Ionenpaaren in 1 ccm und 1 sec feststellen liess (s. weiter unten), und die für die ganze Messzeit als konstant betrachtet wurde, ergab sich die folgende Tabelle 1, die auch Fig. 1 bildlich zeigt und also den Jahresgang der durchdringenden Strahlung (Erdstrahlung plus Luftstrahlung plus Höhenstrahlung + Sekundärstrahlung jeder Art) auf der Zugspitze vom Juli 1925 bis Juli 1926 für 9a M.E.Z. wiedergibt:

Tabelle 1.

		Juli	August	September	Oktober	November	Dezember	1925	Januar	Februar	März	April	Mai	Juni	Juli	1926
Durchdringende Strahlung 9a M. E. Z.	Ionenpaare in 1 ccm in 1 sec.	8.28	8.12	7.90	7.70	7.68	7.39	.	7.24	7.53	7.28	7.23	7.33	7.63	8.07	.
Zahl der Werte	n	30	62	58	124	120	124	.	122	105	118	106	49	54	48	.
Temperatur 9a O. Z.	°C	1.97	1.36	-3.44	-2.44	-8.01	-12.42	.	-12.64	-7.86	-9.86	-5.94	-4.09	-2.09	1.38	.

In die Tabelle und in die Figur wurde auch das Temperaturmittel für 9a Ortszeit aus den Auswertungen der Temperaturregistrierung eingetragen.

Man sieht nun eine Kurve mit einfacher Jahresschwingung, die ganz ähnlich zum zugehörigen Temperaturgang verläuft, das Maximum tritt im Sommer, das Minimum im Winter auf. Wie aber schon Kolhörster[7]) und auch Hess und Kofler[9]) für ihre Messungen hervorhoben, besteht auch für meine Beobachtungsreihe kein direkter Einfluss der Lufttemperatur, weil der Gang der Einzelwerte von q im Tag wie im Monat mit dem der entsprechenden Temperaturen sich ohne Zusammenhang erwies.

Im Hinblick auf die zusammenfassenden Darstellungen [7]) unterliegt es mir keinem Zweifel, dass der gefundene ausgeprägte Jahresgang auch auf der Zugspitze fast gänzlich von der Erdstrahlung diktiert wird. Trotz der exponierten

[5]) Zeitschr. f. Phys. 11, 379, 1922 und Kolhörster, Zeitschr. f. Instr. Kunde 44, 347, 1924.

[6]) Phys. Zeitschr. 18, 585, 1917.

[7]) V. F. Hess d. elektr. Leitf. d. Atmos. u. ihre Ursachen. Sammlung Vieweg Heft 84/85, 104, 1926 und W. Kolhörster, d. durchdr. Str. Bd. V d. Probl. d. kosm. Phys., Hamburg 1924, dort befindet sich auch ein sehr vollständiges Literaturverzeichnis über durchdringende Strahlung.

[7]) p. 43. [9]) p. 595.

Lage des Zugspitzgipfels können der durch das besonders starke Erdfeld bewirkte radioraktive Niederschlag und die in der Luft befindlichen Emanationen nicht wesentlich beteiligt sein, weil sowohl die unten folgenden Leitfähigkeits- wie Raumladungsmessungen im Mittel auf keinem hinreichend grossen Überschuss positiver Ionen hinweisen.

Somit bildet die gewonnene Kurve mit einem Maximum im Juli zu 8.1 und dem Minimum im Januar zu 7.24 bzw. im April zu 7.23, also der Jahresamplitude 0.9, d. i. 11.8% des Mittelwertes 7.64, eine wegen bester Übereinstimmung gute Ergänzung zu den Messreihen von Gockel[8]), Hess und Kofler[9]), Kähler[10]) und Kolhörster[5]).

Aus diesen Messungen kann leider nichts über das Verhalten des interessantesten Anteiles der durchdringenden Strahlung, der Höhenstrahlung, ausgesagt werden, wohl aber können die folgenden Beobachtungen, die beim Abtransport des Instrumentes 4211 angestellt wurden, eine Unterlage für eine wenigstens grössenordnungsmässige Schätzung des Anteils der Höhenstrahlung auf der Zugspitze abgeben.

Am 18. und 19. 10. 26 lieferten sieben einstündige Messungen auf der Zugspitze in der schon beschriebenen Aufstellung (2964 m) den Mittelwert 7,83 Ionenpaare in 1 ccm in 1 sec.

Am 19. 10. 26 ergaben fünf einstündige Messungen auf dem Platz vor der Seilbahntalstation Obermoos in 1230 m Seehöhe 1 m über dem Boden das Mittel 4.73 Ionenpaare in 1 ccm in 1 sec.

Schliesslich erbrachten vierzehn einstündige Beobachtungen auf dem Landungssteg des Strandhotels am Staffelsee in Murnau in 650 m Seehöhe, 1.5 m über dem Wasserspiegel am 20. und 21. 10. 26 den Mittelwert 4.17 Ionenpaare in 1 ccm in 1 sec. Somit zeigte sich:

mit der Erhebung von 650 m auf 1230 m eine Zunahme der Ionisation um 0.56 Ionenpaare ccm/sec,
„ „ „ „ 1230 „ „ 2964 „ „ „ „ „ „ 3.10 „ „ „
„ „ „ „ 650 „ „ 2964 „ „ „ „ „ „ 3.66 „ „ „*)

Wenn man nun berücksichtigt, dass die Höhenstrahlung an den Werten von Obermoos und Murnau mitbeteiligt ist, vielleicht schon mit mehr als 2 Ionenpaaren ccm/sec. ([7]) Hess p. 120, 128), dass ferner die Erdstrahlung auf der Zugspitze nicht sehr viel mehr betragen wird als in Obermoos und Murnau, so ist ein Anteil der Höhenstrahlung von rund der Hälfte des auf der Zugspitze erhaltenen Mittelwertes, also 3 bis 4 Ionenpaare ccm/sec. wohl eher zu niedrig geschätzt.

Die Erforschung der Höhenstrahlung auf der Zugspitze könnte daher durch Anwendung sehr umfangreicher, kostspieliger Abschirmmittel schon mit Erfolg betrieben werden, aber viel besser eignet sich dazu doch ein Ort wie das Jungfraujoch[11]) mit der naturgegebenen Eisabschirmung mächtiger Gletscher, die auf der Zugspitze eben fehlen.

Da alle angeführten Ionisationswerte die „Reststrahlung plus Isolationsverlust" nicht mehr enthalten, sei noch mitgeteilt, dass sich diese Grösse am 21. 10. 26 zu 7.94 Ionenpaare ccm/sec bestimmen liess. Dazu wurde das Instrument 4211 an einer 17 bis 18 m tiefen uferfernen Stelle des Staffelsees auf die Dauer von zwei Stunden 8 m tief versenkt**). Vor und nach diesem Versuche fanden die oben erwähnten vierzehn einstündigen Messungen auf dem Landungsstege statt. Da ich dasselbe Instrument zur Verfügung hatte, bei dem Kolhörster ([7]) p. 35) sechs Jahre hindurch keine Änderung der Reststrahlung beobachtete, und zumal ich diesen Strahler 4211 niemals anderweitig verwendete, so habe ich für die Zeit meiner Beobachtungsreihe diese Grösse wohl als Konstante betrachten dürfen.

3. Spannungsgefälle.

a) Batterien, Kollektoren: Das Zugspitzobservatorium verfügt leider über keine elektrische Energiequelle; zu Anfang meiner Beobachtungszeit gab es weiter noch keine Anodenbatterien im Handel. Daher hatte ich mir zur Schaffung der Elektrometerhilfsladungen zwei Bittersalzbatterien zu je 200 Volt gebaut, deren einzelne Zellen durch paraffiniertes Holz getrennt in mit Paraffin ausgekochten Kästen untergebracht waren. Schon Damien[12]) hatte solche Batterien sorgfältigst untersucht und ihre Geeignetheit in der luftelektrischen Praxis erwies sich immer dort, wo die selbstredend überlegenen Akkumulatorenbatterien nicht vorhanden waren. Da nun der obere Raum des Turmes, in dem die Potentialgefällregistrierung untergebracht werden musste, nicht heizbar ist, war es ausgeschlossen, ihn stets über Null Grad zu halten. Unter dem Eispunkt froren die Batterien aber ein, wobei sich ihre Spannung so erheblich minderte, dass sie nicht weiter gebraucht werden konnten. Eine im geheizten Wohnzimmer aufgestellte Batterie trocknete in längstens 10 Tagen gänzlich ein, was auch eine Vaselinölschicht auf der Lösuug nicht verhüten konnte. Die so häufige Neufüllung gestaltete sich bei der jedesmal nötigen Reinigung und den sonstigen Vorsichtsmassregeln sehr zeitraubend und so ist es klar, dass niemand mehr als ich die sogenannten Anodenbatterien begrüsste, die der Handel für Rundfunkzwecke herausbrachte. Diese handlichen Batterien bewährten sich ganz vorzüglich solange sie frisch waren. Dagegen gestalteten sich Messungen mit sterbenden Batterien sehr umständlich, wegen der vor und nach jedem Versuche erforderlichen Eichungen. Neu geliefert hatten sie aber noch den Vorteil, dass ihre Spannungen und Teilspannungen mit einem geeichten Hitzdrahtvoltmeter geprüft werden konnten, an das ich als meinem Hauptinstrumente alle Elektrometereichkurven anschliessen musste. Endlich sei nicht übergangen, dass auch die Versorgung des Observatoriums mit Anodenbatterien schwer war; einige verschwanden wochenlang auf dem Transport, andere brachten Bergsteiger gänzlich aufgeweicht und erschöpft herauf. Dies erklärt die Lücken in den Registrierungen. Die neue Seilbahn wird solche Vorkommnisse künftig ausschalten.

---

[8]) Phys. Zeitschr. 16, 345, 1915; Met. Zeitschr. 33, 15, 1916; Neue Denkschr. d. Schweiz; Naturf.-Ges. Freiburg 54, 1917.
[9]) Phys. Zeitschr. 18, 585, 1917. [10]) Phys. Zeitschr. 21, 324, 1920.
*) Die in Met. Zeitschr. 1926 p. 488 mitgeteilten Zahlen sind nach dieser endgültigen Auswertung zu berichtigen.
[11]) Kolhörster, Sitzber. d. Preuss. Akad. d. Wiss. 34, 366, 1923.
**) Hier sei Frl. Kraus, Murnau, für die gütige Assistenz bei diesem Versuche bestens gedankt.
[12]) La Lumière électrique 18, 361, 1885.

Als Sonden dienten mir selbsthergestellte Poloniumkollektoren. Blanke Kupferscheiben von 5 cm Durchmesser wurden in eine Radiobleinitratlösung, die mir Prof. Fajans herstellen liess, getaucht und unter reichlichem Rühren 24 Stunden darin gelassen [13]). Die Wirksamkeit und Reinheit des Poloniumbelages wurde dann mit einem Blättchenelektroskop nachgeprüft. Die Aktivierung der Sonden erfolgte alle zwei Monate.

b) Aufstellung, Bedienung, Auswertung: Wie schon angedeutet, mussten die Benndorfelektrometer im 2. Stockraum aufgestellt werden, in dem sonst noch alle meteorologischen Instrumente und der Jahresproviant untergebracht waren. Die Kollektoren wurden an Mannesmannrohrstangen geschraubt, mit einem Rauhreifschutzdach versehen und frei durch zwei Öffnungen, die die Südwestwand des Turmes von einer Funkeinrichtung her noch besass, in den Bereich des elektrischen Erdfeldes geführt. Die Kollektorstangen wurden von zwei Haltern, die durch Hartgummi isoliert in Messingbüchsen steckten, gehalten. Diese Art der Innenisolation hat sich einzig bewährt. Es ist eine meiner Haupterfahrungen, dass Aussenisolationen gänzlich zu vermeiden sind bei allen Messanordnungen. Die Kollektoren waren verstellbar, jedoch wurde für die Registrierung selbstverständlich eine bestimmte Lage dauernd beibehalten. Zunächst zeigte sich derselbe Tagesgang zwischen beiden Kollektoren (Sonde 1 an der Elektrometernadel, Sonde 2 am Gehäuse des isoliert stehenden Elektrometers) und zwischen irgendeiner der Sonden gegenüber der Blechhaut des Turmes. Somit konnte für die Registrierung der dicht unter dem Dache befindliche Kollektor allein in 20 cm Entfernung von der Turmwand in Nadelschaltung genommen werden, während das Elektrometergehäuse sowie die Turmhaut geerdet wurden. Die mittlere Spannungsdifferenz betrug dann rund 250 Volt. Die Isolation des Systems wurde ständig überwacht und täglich von 7^{15} a bis 7^{30} a M.E.Z. in der Nullage eine Zeitmarke gemacht. Wegen der geringen Feuchtigkeit im Turm und der grossen Luftreinheit war ein Wechsel der Schwefelsäure nur selten notwendig. Die Registrierung versagte nur bei heftigem Schneetreiben. Es wurde dabei nicht nur die Sonde vom Schnee getroffen, sondern dieser drang durch die Kollektoröffnungen in die Isolierbüchsen und bei jedem Ablesetermin durch das Skreenfenster in Massen in den Raum, alles mit einer Schichte überziehend. Ferner erschüttern heftige Windstösse den Turm derart, dass die Elektrometernadeln schwingen. Da ich keine automatische Sprung'sche Umschaltevorrichtung für grossen und normalen Messbereich besass, gelangten extreme Spannungen nicht mehr zur Aufzeichnung.

Im übrigen wurde täglich etwa 1 m Registrierung in der üblichen Weise gewonnen. Diejenigen Streifen, die einen ausgeprägten Gang aufwiesen, wurden dann ausgewertet, indem in Abständen zu einer Stunde von der Nullinie aus die Ordinaten in Millimetern ausgemessen wurden. Auf eine Übertragung in Volt musste verzichtet werden, weil die Empfindlichkeit nicht streng überprüft werden konnte, mangels genügend hoher Batteriespannungen und eines entsprechenden Normalvoltmeters (ein oft miteingeschaltetes Saitenelektrometer konnte nur ungefähre Angaben bis 400 Volt liefern, auf Grund 4 hintereinandergeschalteter Anodenbatterien). Auserdem wurde eine Reduktion auf die Ebene oder die freie Atmosphäre in Zugspitzhöhe wegen ihres zweifelhaften Wertes gar nicht erstrebt.

Tabelle 2.

Weltzeit	1	2	3	4	5	6	7	8	9	10	11	12
Vormittags	19.2	18.2	18.2	18.5	19.2	20.1	21.7	22.9	23.0	22 9	23.7	24.8
Nachmittags . . .	26.6	27.9	29.1	28.7	28.1	27.7	27.5	27.3	26.2	24.3	22.4	20.7

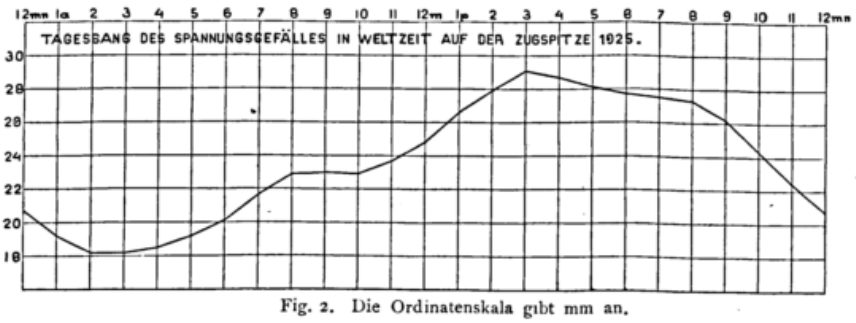

Fig. 2. Die Ordinatenskala gibt mm an.

c) Ergebnisse: Die Auswertung aller Streifen mit ausgeprägtem Gang ergab die folgende Tabelle 2 und die Figur 2. Die 99 vom Jahre 1925 in Betracht gekommenen Streifen verteilen sich folgendermassen über die einzelnen Monate: Januar 15, Februar 2, März 5, April 5, Juli 6, August 18, September 13, Oktober 23 und November 12.

Die Ordinaten der Gefällskurve wurden in Millimetern angegeben (s. o.). Dazu lieferte eine harmonische Analyse folgenden Ausdruck für den Tagesgang des Spannungsgefälles auf der Zugspitze in Weltzeit für 1925:

$$23.7 + 4.934 \sin(209^0 + x) + 0.876 \sin(232^0 + 2x) + \\ + 0.668 \sin(156^0 + 3x) + 0.442 \sin(305^0 + 4x) + \ldots$$

Die wenigen Streifen ergaben also eine vorherrschende einfache Welle mit 24-stündiger Periode, ähnlich den Winterkurven vieler Stationen [14]), mehr aber vom Typ der bekannten in Kremsmünster, Triest und auf Samoa erhaltenen

[13]) Meyer, Schweidler Radioaktivität p. 357—367 mit Angabe der Arbeiten von Paneth und Hevesy. Teubner 1916.
[14]) Hann, Lehrb. d. Met., 4. Aufl. 757, 1926.

Kurven[15]). Weiter fügt sie sich zwanglos in die Zusammenstellung K. Hoffmanns[16]) über die universalzeitliche Übereinstimmung der Extreme der arktischen und antarktitchen Kurven.

Bezüglich der gestörten Verhältnisse wurden in der Hauptsache die üblichen Feststellungen gemacht, dass etwa Nebel das Potentialgefälle beträchtlich erhöht, Föhn es meist sehr erniedrigt, dass sich Böen durch typische Frontwirkung auszeichnen und dergleichen mehr.

Hervorhebenswert ist aber wohl die aus folgender Tabelle 3 hervorgehende klare Tatsache, dass 1. auf der Zugspitze alle Niederschläge, also ◍, ✳, △ und vielleicht auch ▲ mit einer Feldumkehr einhergehen, die 2., was mir zahlreiche Augenbeobachtungen lehrten, in allen Fällen bis zum Ende des Niederschlags anhält, soferne sich der Gipfel mitten oder in grosser Nähe der Kondensationszone befindet.

Flachlandbeobachtungen, z. B. in Potsdam, können natürlich keinen so einfachen Sachverhalt liefern[17]), was sich durch den Abstand von der Kondensationszone und all dem, was zwischen dieser und dem Erdboden noch vor sich gehen kann, befriedigend erklären lässt. Der einzige Ausnahmefall meiner 304 Beispiele, der Regen am 12. 8. 25 muss auch so gedeutet werden.

Schliesslich erscheint ein so eindeutiger Effekt nur möglich, wenn die Verhältnisse in der Luftsäule über dem Gipfel ziemlich homogen oder von nur mehr untergeordnetem Einflusse sind.

Tabelle 3.

Datum	Art des Niederschlags	Vorzeichen des Potentialgef.	Zahl der Fälle	Bemerkung	Datum	Art des Niederschlags	Vorzeichen des Potentialgef.	Zahl der Fälle	Bemerkung
15. 7. 25	◍ △ ✳	—	6		20. 8. 25	◍ ✳	—	10	
16.	◍ ✳	—	5		21.	✳	—	12	
17.	◍ △	—	7	Frontzacke	23.	✳	—	6	
18.	△	—	5	Frontzacke	25.	◍ △ ✳	—	7	
19.	◍ △	—	6	Frontzacke	28.	◍ ✳	—	5	
20.	◍	—	2		2. 9. 25	◍	—	7	
23.	◍ △ ▲	—	6		4.	✳	—	5	
24.	◍ △ ✳	—	7		5.	✳	—	4	
25.	◍ ✳	—	4		7.	✳	—	3	
26.	◍	—	14		12.	✳	—	2	
27.	◍ △ ✳	—	6		13.	✳	—	5	Frontzacke
30.	◍	—	8		14.	✳	—	7	Frontzacke
31.	◍	—	15		17.	✳	—	7	
1. 8. 25	◍ ✳	—	10		18.	◍ ✳	—	10	
2.	◍ △ ✳	—	6	Frontzacke	21.	◍	—	1	
4.	◍	—	1	Frontzacke	22.	◍	—	4	
5.	◍ △ ✳	—	10		24.	◍ ✳	—	7	
6.	△ ✳	—	19	Frontzacke	28.	✳	—	11	
11.	◍ △	—	4		8. 10. 25	△ ✳	—	9	
12.	✳	—	10		3. 11. 25	✳	—	3	
12.	◍	+	1	2^{25} p–6^{35} p ◍$^{0.2}$ ≡^{2}	4.	✳	—	4	
15.	◍ △	—	6	Frontzacke	5.	✳	—	5	
19.	◍ △	—	6		6.	✳	—	6	

In Ergänzung hierzu ist die Vermutung bestechend, dass der ausfallende Niederschlag jeder Art in analog klarer Weise positiv geladen sein könnte[18]). Ein Vorversuch nach der Gschwendschen Methode[19]) bei ruhigem Schneefall zeigte dies; leider liegt nur diese einzige, wenig sagende Probe vor. Während meines 3. Zugspitzjahres wird nun selbstredend die Potentialgefällregistrierung weitergeführt und dazu mit einer Metallbürste nach Weissscher[20]) Art das Niederschlagsvorzeichen bestimmt. Eine quantitative Erforschung der Niederschlagselektrizität ist aber wohl allein schon eine reichliche Aufgabe für einen der folgenden Beobachter.

4. Leitfähigkeit.

a) Messanordnung, Verfahren, Auswertung: Die elektrische Leitfähigkeit der Luft wurde nach der Schering schen[21]) Methode bestimmt. Folgende vier Anordnungen der Zerstreuungskörper und ihrer Käfige lieferten gleichwertige Ergebnisse: 1. Ein 2 mm dicker und 4 m langer Bronzedraht in der Mitte eines Blechstreifenkäfigs von 1 qm Querschnitt und 5 m Länge auf dem Turmdache. 2. Eine gleiche Anordnung von 11 m Länge auf dem Dache des Münchner Hauses. 3. Ein Zylinderkäfig von 2 m Länge und 0.5 m Durchmesser, in dessen Achse sich ein Mannesmannrohr von 11 mm Radius als Zerstreuungskörper befand. 4. Die meist benützte, weil bequemste Anordnung, eine hartgummiisoliert aufgehängte Messing-

[15]) Graetz, Handb. d. El. u. d. Magnet. III 245, 247, 1923.
[16]) Beitr. z. Phys d. fr. Atmos. XI, 1, 1924. Einen beachtlichen Erklärungsversuch bringt Wigand, Phys. Zeitschr. 28, 68, 1927.
[17]) Kähler, Elektr. d. Gew., Sammlung Borntraeger 3, 57, 1924.
[18]) Hess im Phys. Handwörterbuch, Berlin, Springer 1924 p. 525 und Schindelhauer, Veröffentl. d. Preuss. Met. Inst. Nr. 263, 1913.
[19]) Jahrb. d. Radioaktivität 17, 62, 1920.
[20]) Sitzber. d. Wiener Akad. 115, 1285, 1906.
[21]) Göttinger Nachr. 1908 p. 201. Diss. Gött. 1904.

kugel von 10 cm Halbmesser, inmitten eines mit engmaschigem Drahtnetze bespannten Würfelkäfigs von 2 m Kante an der Südwestwand des Turmes auf dem Dache des angebauten sogenannten Motorenhäuschens.

Diese Zerstreuungskörper wurden auf dem Wege geringsten Kapazitätszusatzes mit der Saite eines Lutzschen Elektrometers neuer Form[22]) verbunden, das in Influenzschaltung in der Regel für einen Messbereich von 100 Volt geeicht war, während die Käfige samt dem Elektrometergehäuse und der eine Pol der zur Aufladung des Systems dienenden Anodenbatterie an Erde lagen. Mit einer Stechuhr wurde die Zeit des Ladungsverlustes zwischen etwa 80 und 30 Volt, also im gesicherten Bereiche „freien" Stromes bestimmt, was im Mittel 2 bis 3 Minuten dauerte. Alle Kapazitäten wurden mit ganz besonderer Sorgfalt, weil von erheblichem Einfluss auf die Genauigkeit der ganzen Messungen, mit einem Harmsschen[23]) Normalzylinderkondensator durch Ladungsteilung bestimmt.

Es wurde immer gemessen, solange eine einwandfreie Isolation in der Freiluft erhalten werden konnte. Die Übung brachte es mit sich, dass man ohne weiteres auch eine sogenannte Halbleitfähigkeit des Isoliermittels erkennen konnte. Diese Erscheinung schloss eine einwandfreie Registrierung der Leitfähigkeit aus. Für den Fall, dass eine solche einmal durchgeführt werden sollte, ist die Sorge für eine dauernde Überprüfung der Isolatoren unerlässlich; am besten vermeidet man auch hier jegliche Aussenisolation. Es ist zu erwägen, ob es sich nicht lohnen würde, für solche Messungen auf der Zugspitze, besonders im Hinblick auf eine Erweiterung (Ionenzählungen, Beweglichkeitsbestimmungen) geeignete Aspirationsverfahren auszubilden[24]).

Nachdem jeweils eine lange alternierende Folge von Abklingungen beobachtet worden war, wurden die polaren Leitfähigkeiten $\lambda+$ und $\lambda-$ nach folgendem Ausdrucke berechnet, dem keine Korrektion wegen Isolationsverlustes eingefügt zu werden brauchte, da dieser bei dem geschilderten Ableseverfahren stets unmerklich blieb:

$$\lambda = \frac{Z + C}{Z} \cdot \frac{1}{4\pi} \text{ log. nat. } \frac{V_o}{V_t} \cdot \frac{1}{t},$$

wo Z die Kapazität des Zerstreuungskörpers, C die Kapazität aller angeschlossenen Teile (einschl. Elektrometer), V_o die Anfangs-, V_t die Endspannung nach der Expositionszeit t bedeuten[25]). Unter den 3163 ausgeführten Augenbeobachtungen befinden sich nur verhältnismässig wenige Nachtmessungen.

b) Ergebnisse: Alle so gewonnenen Werte wurden zu Tagesmitteln vereinigt. Daraus wurde mit Rücksicht auf das Gewicht des einzelnen Tages das Gesamtmittel errechnet und in Vergleich mit den Potsdamer Werten gesetzt[26]). In der folgenden Tabelle 4, aus der man die Schwankungsbreite der Mittel ersehen kann, sind alle diese Werte enthalten.

Tabelle 4.

Datum	× 10⁻⁵ E.S.E./sec. $\lambda+$	$\lambda-$	Δ	$q = \frac{\lambda+}{\lambda-}$	Anzahl der Messungen n	Bemerkung
22. 12. 24	48.18	11.94	60.12	3.89	2	gemessen auf dem Dache (ca 4 m Messdraht im Blechstreifenkäfig von 1 qm Querschnitt).
23.	59.03	21.87	80.90	2.64	37	
24.	73.85	44.50	118.35	1.64	33	
25.	51.81	35 53	87.34	1.44	30	
26.	49.41	35.29	84.70	1.39	18	
27.	53.08	40.39	93.47	1.30	30	
28.	50.96	31.53	82.49	1.60	18	
4. 1. 25	60.53	45.59	106.12	1.32	17	
11.	49.39	34.67	84.06	1.41	71	
12.	54.05	31.43	85.48	1.70	57	
13.	52.63	22.10	74.73	2.34	58	
14.	44.18	22.42	66.60	1.94	55	
15.	48.99	32.41	81.40	1.49	55	
13. 8. 25	30.55	26.12	56.67	1.17	57	gemessen an der Südwestwand des Turmes in Wohnzimmerhöhe (1. Stock). (Messingkugel von 10 cm Radius im Würfelkäfig von 2 m Kantenlänge.)
14.	33.17	35.58	68.75	0.93	53	
17.	39.25	38.39	77.64	1.02	47	
18.	34.13	33.62	67.75	1.02	71	
19.	65.92	60.84	126.76	1.08	28	
21.	33.76	30.51	64.27	1.11	32	
22.	39.34	38.96	78.30	1.01	78	
24.	35.28	35.79	71.07	0.99	63	
31.	30.01	27.89	57.89	1.076	117	
1. 9. 25	31.68	30.42	62.10	1.041	144	
3.	29.53	26.71	56.24	1.11	37	
8.	21.53	15.69	37.22	1.37	55	
9.	21.38	17.04	38.42	1.25	55	
10.	28.57	24.65	53.22	1.16	31	
16.	22.58	14.21	36.79	1.59	80	
17.	24.22	19.09	43.31	1.27	43	
20.	31.27	26.38	57.65	1.19	55	
22.	57.25	54.11	111.36	1.058	19	
26.	34.19	30.36	64.55	1.126	19	
1. 10. 25	41.12	38.13	79.25	1.078	80	gemessen an der Südwestwand des Turmes in Wohnzimmerhöhe (1. Stock). (Messingkugel von 10 cm Radius im Würfelkäfig von 2 m Kantenlänge).
2.	41.26	39.49	80.75	1.045-	85	
3.	44.14	45.14	89.28	0.97.8	92	
4.	50.58	57.76	108.34	8.876	39	
5.	54.36	56.19	110.55	0.967	38	
6.	52.57	50.05	102.62	1.050	24	
7.	48.44	58.23	106.67	0.832	100	
10.	41.29	46.18	87.47	0.894	142	
11.	55.36	61.50	116.86	0.900	20	
12.	39.30	41.17	80.47	0.955	64	
13.	63.12	58.11	121.23	1.086	21	
15.	39.74	42.66	82.40	0.932	42	
16.	43.80	43.81	87.61	0.9997	84	
21.	47.37	36.38	83.75	1.302	35	
22.	37.53	33.43	70.96	1.123	80	
27.	32.75	29.57	62.32	1.108	90	
28.	30.94	25.59	56.53	1.209	90	
29.	33.98	30.16	64.14	1.127	70	
30.	35.48	33.54	69.02	1.058	22	
16. 11. 25	33.16	30.95	64.11	1.071	20	
17.	31.05	22.63	53.68	1.372	30	
18.	24.43	19.38	43.81	1.261	12	
19.	27.62	21.44	49.06	1.288	40	
20.	31.39	25.85	57.24	1.214	70	
21.	31.66	26.65	58.31	1.188	30	
22.	36.25	33.68	69.93	1.076	30	
23.	35.90	35.50	71.40	1.011	40	
18. 7. 26	43.18	23.49	66.67	1.837	75	gem. auf d. Dache (2 m Rohr v. 11 mm Radius i. Zylinderkäfig von 50 cm Durchmesser).
19.	43.51	16.85	60.36	2.583	34	
23.	25.03	8.29	33.32	3.020	9	
Gesamtmittel	40.19	32.83	73.02	1.224	3163	
Mittel 1. Stock	37.20	34.22	71.42	1.087	2564	
Mittel Dach	51.00	28.57	79 57	1.785	599	
Potsdam	5.30	4.46	9.69	1.25		Markgraf, Met. Zeitschrift 1924 p. 66.

[22]) Phys. Zeitschr. 24, 166, 1923.

[23]) Phys. Zeitschr. 5, 47, 1907 d. Met. Jahrb. Bayern 1907 p. C 10.

[24]) R. Münz Diss. Kiel 1913.

[25]) z. B. Kähler, Veröffentl. d. Preuss. Met. Inst. Nr. 223, 1910 oder [7]) Hess, Leitfähigkeit p. 19.

[26]) Markgraf, Met Zeitschr. 1924 p. 66.

Gegenüber Potsdam haben wir also sieben bis achtfach erhöhte Absolutwerte erhalten, was für Zugspitzhöhe ohne weiteres einleuchtet. Auffallend ist der Unterschied der q=Werte im 1. Stocke gegenüber den auf dem Turmdache erhaltenen. Da die Zerstreuungskörper selbst ausreichend erdfeldgeschützt waren, erklärt er sich durch die verschiedene Aufstellung. Der Käfig im 1. Stock war an und für sich schon an einer verhältnismässig aufgelockerten Stelle des Erdfeldes am Turme befestigt, während sich die Dachaufstellung, besonders Nr. 3 an einem Orte der grössten Intensität befand. Hier muss dann natürlich die erdfeldgebundene Wolke positiver Ionen im wesentlichen zur Beobachtung gelangen. Die grössten q=Werte im Verein mit kleiner Leitfähigkeit wurden bei geringem Winde beobachtet. Der Swannsche[27]) Einwand, dass dabei zu kleine Leitfähigkeitswerte gemessen werden, wegen gestörter Ionenverteilung durch die Erdfeldwirkung ausserhalb des geerdeten Käfigs, dürfte hier noch nicht belangreich in Kraft treten, weil bei allen Messungen die Luftbewegung weit über 1 m/sec betrug.

Diese örtliche Eigenschaft des Gipfels kommt naturgemäss bei antizyklonalen Wetterlagen am stärksten zum Ausdruck, während sie bei stürmischen zyklonalen Strömungen vollständig ausgelöscht werden kann; bei grösseren Absolutwerten der Leitfähigkeit ergeben sich die q=Werte zu nur sehr wenig über 1. Überdies lehrt die Beobachtung, dass Luftkörpern verschiedener Herkunft auch merklich verschiedene Leitfähigkeitswerte zukommen. Z. B. ist der Übertritt von der Vorderseite auf die Rückseite eines Ausläufers mit einer deutlichen Abnahme verbunden, die bereits mit dem Zusammenbruche eines etwa vorausgegangenen Föhnsturmes einsetzt[28]). Ferner zeigt die dauernde Augenbeobachtung der Elektrometersaite eindrucksvoll folgende Beschaffenheit der atmosphährischen Leitfähigkeit: Je nach Art des betreffenden Luftkörpers, scheint ihr Betrag in mehr oder weniger stark ausgeprägten Schlieren den Luftraum zu erfüllen, genau so, wie sich die Mikrostruktur der Luftdichte in der Nähe einer Bunsenflamme erweist. Einzelheiten zu diesen Bemerkungen behalte ich einer späteren Studie vor. Durch eine geeignetere Messvorrichtung müssen zur völligen Klärung der gestörten Verhältnisse erst Beobachtungen auch im Nebel möglich sein; bis jetzt konnte gerade erst der Beginn einer starken Abnahme bei Nebeleinfall festgestellt werden; das rasche Versagen der Aussenisolation beendete dann stets die Beobachtung. Während die Festlegung des Tagesganges der Leitfähigkeit bis auf eine Registriermöglichkeit aufgespart werden muss, wird sich der jährliche Gang anlässlich einer Arbeit mit dem Wilsonapparat[29]) erbringen lassen, an dem in meinem bevorstehenden Beobachterjahr zu 3 festen Tagesterminen beobachtet werden soll.

5. Raumladung.

a) Messanordnung, Verfahren, Auswertung: Nachdem man heute über ausgezeichnete Saitenelektrometer verfügt, erschien mir für die Messung der Raumladung auf der Zugspitze die Lord Kelvinsche Methode die gegebene. Demzufolge wurde vor das Südostfenster des Wohnraumes, etwa 4 m über dem gewachsenen Fels, ein Würfelkäfig von 1 m Kante aus verzinkten Eisenblechstreifen fest aufgehängt. Durch eine Bohrung im Fensterstock ragte frei ein Kollektorträger aus Messing, der genau in der Käfigmitte einen kleinen Poloniumkollektor (Kupferscheibchen) mit Rauhreifkappe trug. Ein Wandbrett im Zimmer trug das Stativ, in das hartgummiisoliert der Sondenträger eingespannt war, ferner das Lutzelektrometer, die Hilfsbatterien, die Messbrücke, Eichelemente und die sonstigen Teile des Aufbaues.

Der Käfig, das Elektrometergehäuse, die Mitte der Hilfsbatterie, deren Enden an die Elektrometerschneiden geklemmt waren, das eine Ende der Messbrücke und ein Pol des Eichelementes lagen stets an Erde. Die Sonde war an die Saite geschaltet, das System Kollektor-Saite konnte jederzeit geerdet werden.

Als geeignetste Elektrometerempfindlichkeit für diese Beobachtungen erwies sich 0.04 Volt für 1 Okularskalenteil, was je nach der Individualität der verwendeten Saite mit einer Hilfsspannung von $\pm$ 20 bis $\pm$ 50 Volt stabil erzielt werden konnte. Je nach dem Zustande der Hilfsbatterien war es sogar notwendig vor und nach jeder Messung die Empfindlichkeit nachzuprüfen (s. das in § 3 über Batterien Gesagte). Das Vorzeichen des Saitenausschlages wurde mit einem geriebenen Hartgummistab bestimmt.

Die Beobachtung geschah so, dass eine ganze Reihe von Differenzen vor und nach Erdung des Kollektorsystems zu bestimmten Terminen abgelesen wurde. Für die Auswertung wurden diese Differenzen in Volt übertragen und in folgendem Ausdrucke eingesetzt:

$$\varrho = \frac{1.41}{a^2} \cdot V,$$

der nach Daunderer[30]) für einen Würfel mit der Kante a gilt. Da ϱ in E.S.E. angegeben und sich auf den Raum eines Kubikmeters beziehen sollte, lautete schliesslich obige Beziehung $\varrho = 0.47 \cdot V$ E.S.E. in. 1 m³.

b) Ergebnis: Von den Fehlerquellen der Anordnung kamen die Influenzwirkung des Erdfeldes, die Fälschung der natürlichen Verhältnisse durch die negativ aufgeladene Käfighülle und die Einwirkung der Niederschläge nicht wesentlich in Betracht, was oft geprüft werden konnte. Jedoch ist der von Benndorf[31]) hervorgehobene Voltaeffekt unter Umständen von der Grössenordnung der gesuchten Raumladungswirkung. Leider konnte seine Grösse noch nicht festgestellt werden, da der Käfig zurzeit abgebaut ist. Es seien deshalb in der folgenden Tabelle 5 die ϱ = Mittelwerte aus 2400 Messungen mitgeteilt, die diesem Voltaeffekt noch mitenthalten.

---

[27]) Torr. Magn. 19, 23, 1914 und [5]) Hess, Leitf. p. 19.

[28]) Markgraf, Met. Zeitschr. 1924 p. 314.

[29]) Sitzber. d. Bay. Akad. d. Wissensch. Math. Phys. Kl. 1911 p. 329 ff.

[30]) Kähler, Met. Zeitschr. 1923 p. 204. Daunderer, Diss. Techn. Hochsch. München 1908.

[31]) Phys. Zeitschr. 27, 576, 1926, s. auch die soeben erschienene Arbeit von Kähler, Met. Zeitschr. 1927, p. 1 ff.

Tabelle 5.

Beobachtungen Nummer:	Ausschlag in Skalenteilen	Raumladung + Voltaeffekt in E.S.E. in 1 m³	Datum der Beobachtungen
1— 100	20.31	+ 0.382	30. 8. 24— 7. 9. 24
101— 200	11.25	+ 0.212	8. 9. 24—13. 9. 24
201— 300	30.52	+ 0.574	8. 1. 26—14. 1. 26
301— 400	10.56	+ 0.199	14. 9. 24—21. 9. 24
401— 500	21.51	+ 0.404	21. 9. 24— 3. 10. 24
501— 600	30.61	+ 0.575	4. 10. 24—11. 10. 24
601— 700	33.91	+ 0.638	12. 10. 24—19. 10. 24
701— 800	27.56	+ 0.518	20. 10. 24—27. 10. 24
801— 900	29.25	+ 0.550	28. 10. 24—14. 11. 24
901—1000	22.80	+ 0.429	15. 11. 24—21. 11. 24
1001—1100	17.61	+ 0.331	22. 11. 24—28. 11. 24
1101—1200	29.18	+ 0.549	29. 11. 24— 5. 12. 24
1201—1300	20.40	+ 0.384	6. 12. 24—13. 12. 24
1301—1400	26.99	+ 0.507	14. 12. 24—20. 12. 24
1401—1500	26.42	+ 0.497	21. 12. 24—25. 12. 24
1501—1600	24.96	+ 0.479	26. 12. 24— 5. 1. 25
1601—1700	46.10	+ 0.867	6. 1. 25—22. 1. 25
1701—1800	31.27	+ 0.588	23. 1. 25—23. 3. 25
1801—1900	17.91	+ 0.337	24. 3. 25— 7. 4. 25
1901—2000	22.21	+ 0.418	10. 7. 25—21. 7. 25
2001—2100	26.75	+ 0.503	21. 7. 25—31. 7. 25
2101—2200	24.78	+ 0.466	1. 8. 25—14. 8. 25
2201—2300	25.85	+ 0.486	16. 8. 25— 2. 9. 25
2301—2400	21.03	+ 0.395	3. 9. 25— 4. 10. 25
Gesamtmittel	24.99	+ 0.470	—

Sowohl die niedrigsten als auch die höchsten Mittel ergaben sich bei gestörten Verhältnissen; die niedrigen hauptsächlich dann, wenn viele Niederschläge auftraten. Bei Schauern, Böen, hörbarer elektrischer Ausstrahlung (Elmsfeuer) und Gewittern schwankte die Raumladung bisweilen heftig in kürzesten Zeiten im Bereiche von ± 4 E.S.E. pro m³ hin und her. Im übrigen waren schon Beträge des doppelten mittleren Ausschlages (25 Skalenteile entsprechend ca. 1 Volt) äusserst selten.

Mehr ins einzelne gehende Studien müssen bis zur Klarlegung des Voltaeffektes aufgehoben werden. Sollte dieser nicht konstant sein, so wäre auf der Zugspitze eine Aspirationsmethode zur Ermittelung der gesamten Ionendichte beiderlei Vorzeichens trotz ihrer Kompliziertheit und der umfangreichen Hilfsapparatur, wie sie Gockel in der Schweiz benützte[32]), nicht zu umgehen (s. § 4).

6. Schlussbemerkung.

Aus Vorstehendem erhellen deutlich die mannigfachen Schwierigkeiten luftelektrischer Messungen auf der Zugspitze. Am fühlbarsten treten bei allen Untersuchungen der Mangel einer Energiequelle (einige 100 Volt Akummulatorenspannung) und das Fehlen ausreichenden Raumes für zweckentsprechende Unterbringung von Registrieraufbauten für alle luftelektrischen Elemente auf, eines Raumes, der überdies dauernd über dem Gefrierpunkt gehalten werden könnte. Weiter besteht zurzeit noch keine Möglichkeit, Niederschlagsteilchen aller Art einwandfrei zum Zwecke der Beobachtung ihrer Ladung aufzufangen. Aber das leidige Hindernis der Versorgungsstockung z. B. mit Anodenbatterien scheint durch die Zugspitzbahn nunmehr gebannt zu sein. Da alle anderen Wünsche erst in einer ferneren Zukunft verwirklicht werden können, ist für mein 3. Beobachtungsjahr in der Hauptsache eine Arbeit mit dem Wilsonapparat zur Vervollständigung obiger Beobachtungen geplant. Ein solches als Fenstereinsatz gebautes Instrument dürfte in allen Wetterlagen Messungen gestatten und so ist es dann in erster Linie auf den jährlichen Gang der folgenden vier damit bestimmbaren Elemente abgesehen: des Vertikalstromes, der Oberflächenladung und damit auch des Spannungsgefälles und der Leitfähigkeit. Die täglichen Augenbeobachtungen sind auf die 3 Termine 8a—9a, 1p—2p und 8p—9p festgesetzt. Ein zweiter, transportabler Wilsonapparat wird zur Erkundung der engeren und weiteren Umgebung des Gipfels dienen. Im Verein mit Studien über die meteorologischen Abhängigkeiten der luftelektrischen Elemente ist die Erforschung des Gipfels in üblichem Sinne dann zu einem gewissen Abschlusse gebracht und dann ist es Zeit, die interessanten Spezialaufgaben anzugreifen, über die Elektrizität der Nebel- und Niederschlagsteilchen, über Elmsfeuer und Blitze, für die die Zugspitze wie kaum ein anderer Platz sich eignet. Ein Blick auf ihre meteorologischen Daten lehrt dies eindringlich.

[32]) Neue Denkschr. d. Schweiz. Naturf.-Ges. 54, 1, 1917.

Föhn in Partenkirchen.

Von A. Schmauss.

Der Föhn richtet in unserem Alpenvorlande gelegentlich schwere Verwüstungen an. Bemerkenswerterweise sind es im allgemeinen nicht die nach Süden laufenden Täler, welche die höchste Föhnwirkung aufweisen, sondern Gebiete, welche eigentlich gegen den Föhn als abgeschirmt gelten müssen, wie der Königssee, der Kochelsee, das Partenkirchen-Garmischer Becken usw. Es ist das verständlich, wenn man bedenkt, dass in Föhntälern wie dem oberen Isartal alles auf diesen Wind erzogen ist, während er für die ausserhalb der normalen Bahnen gelegenen Orte ein aussergewöhnliches Phänomen darstellt, welches die Menschen und die Natur unvorbereitet trifft.

Im folgenden möchte ich einige bemerkenswerte Föhnfälle von Partenkirchen besprechen. Wenn Partenkirchen Föhn bekommt, kann es sich nur um einen Ast handeln, welcher den hohen Wettersteinhauptkamm überstiegen hat und dem Reintal gefolgt ist[1]). In Luftlinie nur 13 km entfernt liegt der nach Süden hin offene Einschnitt Mittenwald-Seefeld, die gerne gegangene Zugstrasse des Föhns, welche aus den Innsbrucker Föhnstudien H. von Fickers bekannt ist.

19. und 21. November 1926.

Die ganze erste Hälfte des November 1926 stand unter Föhneinfluss, so dass man oft vom „Novembersommer 1926" sprach. Entsprechend der langen Dauer der Föhnwetterlage spielte sich die Luftzirkulation über dem grössten Teile Europas so ein, dass sich der Zustrom subtropischer Luftmassen auf der Vorderseite des westlichen Tiefdruckgebiets allmählich steigerte, bis es am 19. und 21. November zu den gewaltigen Föhnstürmen des Alpenvorlandes kam, welche namentlich in der Gegend des Kochelsees verheerende Wirkung hatten. Wie so häufig, rückten die abschliessenden polaren Luftmassen in Etappen vor; einem Vorläufer am 19. folgte der Hauptstrom am 21., welcher, die Depression umfassend, zu ihrem allmählichen Absterben führte. Die typische „Okklusion" prägt sich in dem Fortbestehen der Südströmung in der Höhe aus.

Noch mehr als bei anderen Föhnkatastrophen blieb die Wirkung auf das unmittelbarste Alpenvorland beschränkt. Schon in Wielenbach wurden weder am 19. noch am 21. Windstärken über 2—3 gemessen.

Verfolgen wir das Thermogramm von Partenkirchen ab 18. November.

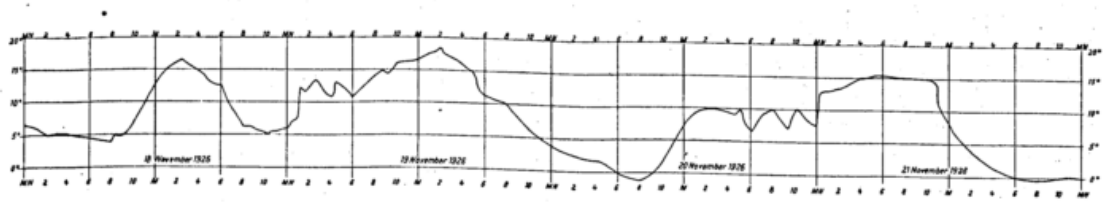

Figur 1

Während in Mittenwald der Föhn den ganzen Tag über wehte, kam Partenkirchen nur von 9 a bis 6 p in die Südströmung. Die Abhebung um 6 p ist sehr deutlich; ihr folgte die normale Temperaturabnahme im ersten Teile der Nacht. Erst am 19. um 1 a zeigte sich der erneute Einsatz, der zu einer Art Schwingung von etwa 2stündiger Dauer (ohne Reaktion des Barometers) führte. Das Maximum wurde ca 2 p erreicht. Um 5 p traf der erste Schwall polarer Luftmassen ein, der auch nach Mittenwald vordrang und an beiden Orten bis zum 20. 8 a seine Herrschaft behauptete. Dann setzte der Föhn wieder ein, in Mittenwald mit einem sofortigen Temperaturanstieg um 10°, in Partenkirchen beanspruchte die volle Ausbildung etwa 5 Stunden. Wieder stellten sich Schwingungen ein, drei auf 7 Stunden, im Mittel also von 2,3 stündiger Dauer, denen wieder keine Wellen im Barogramme entsprachen! Die Windstärke ging nicht über 2 hinaus, während in Mittenwald der Föhn mit stetig wachsender Stärke die ganze Nacht anhielt. Erst am 21. ca 0 a wurde auch Partenkirchen voll erfasst und blieb im Strome bis zum Einsetzen des Hauptschwalls der von Norden hereindrängenden polaren Luftmassen, welche sich um 11 a bis Partenkirchen, um 1 p bis Mittenwald durchgearbeitet haben.

[1]) Vgl. A. Huber, Bayer. Jahrbuch 1917, C 14.

Die Terminbeobachtungen ergeben:

	19. XI. 26						20. XI. 26						21. XI. 26					
	7 a		2 p		9 p		7 a		2 p		9 p		7 a		2 p		9 p	
Mittenwald . . .	S 9	14.7°	S 9	16.6°	S 4	10.6°	E 2	0.2°	SW 6	9.9°	S 9	10.6°	**S 11**	14.0°	S 3	5.7°	E 2	0.7°
Partenkirchen .	S 4	16.8	S 8	18.8	NW 6	11.0	C	1.5	S 2	12.6	S 2	11.6	**S 10**	17.0	C	7.6	C	1.9
Hohenpeissenberg	SW 4	13.2	SW 4	15.7	W 6	5.3	NW 2	2.6	S 4	9.8	SW 6	10.1	S 5	12.5	W 5	0.7	**SE 7**	2.2
Zugspitze . . .	SE 10	−3.0	S 10	−0.8	SW 3	−4.2	S 4	−9.2	S 9	−6.5	SE 11	−4.3	SE 11	−3.3	SE 4	−4.6	WNW 3	−8.4
Gradient P—Z		0.88		0.87		0.68		0.48		0.85		0.71		**0.91**		0.54		0.46
Gradient Hp—Z		0.82		0.84		0.48		0.60		0.84		0.73		0.80		0.28		0.54

Zur Zeit der höchsten Machtentfaltung des Föhns in Partenkirchen wurde fast der volle Föhngradient erreicht; man hatte es also mit Luftmassen zu tun, welche die hohen Umrandungsberge überstiegen hatten und ungeschwächt in das Partenkirchener Becken hinabstürzten. Schon der Hohenpeissenberg war, wie man auch den Windstärken entnehmen kann, nicht mehr in den ungeschwächten Föhnstrom einbezogen.

Dass der Föhndurchbruch nach Partenkirchen nicht eine selbstverständliche Folge der Föhnstärke überhaupt ist, zeigt Figur 2.

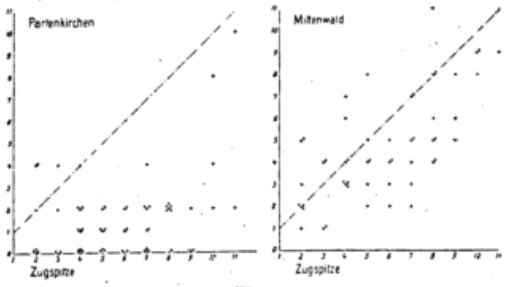

Figur 2

Ich habe für den an Föhn überreichen November 1926 auf der Ordinatenachse die Windstärke aus SE bis SW für Partenkirchen und Mittenwald eingetragen, wenn auf der Zugspitze die auf der Abszissenachse angegebenen Windstärken in Richtung zwischen SE und SW herrschten. Der Unterschied der beiden Orte tritt deutlich hervor. Mittenwald hat nicht selten stärkeren Süd als die Zugspitze, reagiert aber auf starke Südwinde in der Höhe unbedingt mit starkem Föhn. Partenkirchen hat auch gelegentlich bei schwachem Föhn in der Höhe etwas höhere Windstärken (Abfluss kalter Luft aus dem Raintal), bleibt aber im allgemeinen bei höheren Windstärken auf der Zugspitze weit darunter. Von 8 Fällen der Zugspitze über 8 Beaufort ergaben nur 2 ein entsprechendes Mitgehen in Partenkirchen; 3mal wurde sogar C registriert.

24./25. April 1926.

Ein eigenartiger, nicht häufiger Föhnfall ergab sich am Abend des 24. April 1926. Es hatte sich eine sehr tiefe Mittelmeerdepression gebildet, welche, senkrecht zu dem über Mitteleuropa bestehenden Temperaturgefälle ziehend, in der Nacht vom 24. zum 25. April die Alpen überstrich. Zur Abendbeobachtung bestand zwar in Partenkirchen noch Windstille, die kommenden Ereignisse gaben sich aber bereits kund durch die Beendigung der normalen nächtlichen Temperaturabnahme um 8 p. Um 10 p setzte der erste Föhnstoss ein, wurde rasch wieder vom Boden abgehoben, bis um 11 p der Föhn in voller Stärke durchbrach. Die Temperatur stieg sofort zum Maximum an; in diesem Zeitpunkte betrug die Temperaturdifferenz Partenkirchen-Zugspitze fast 20°, was einem Temperaturgradienten von 0.89 entsprach. Mit dem Nachlassen des Sturmes, den noch um 7 a der Beobachter mit SE 10 schätzte, ging die Temperatur bis 6 a langsam zurück, dann einem ganz normalen täglichen Temperaturgange Platz machend.

Der Zugspitzbeobachter meldete um 7 a „Plattumrandung in Wolken", also Föhnmauer an den vom Föhn überstürzten Plattspitzen. Der Föhn fand nicht den sonst üblichen Abschluss durch einen Polarluftvorstoss, sondern flaute langsam ab in dem Masse, als das Tiefdruckgebiet in süd-nördlicher Richtung weiterzog.

Von Interesse ist das Barogramm dieses Tages im Vergleich mit dem vom Hohenpeissenberg und dem Thermogramm von Partenkirchen.

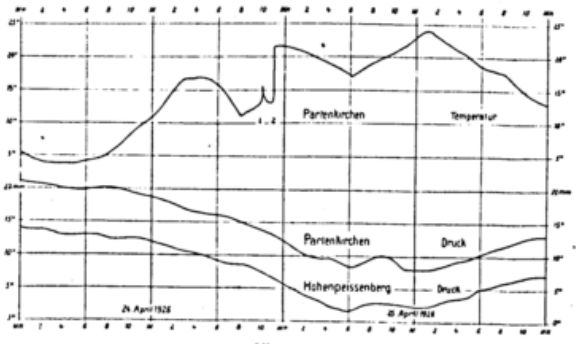

Figur 3

Um 6 a begann der Druck zu steigen, just mit dem normalen Temperaturanstieg. Das mittägliche Minimum, auf dem Hohenpeissenberg nur schwach angedeutet, ist in Partenkirchen gut herausgearbeitet, wie auch das 6 a Minimum dort wohl wegen des Föhns eine tiefere Einsenkung ergeben hatte.

19./20. Dezember 1925.

Die Zugspitze hatte am 19. 9 p S 8; in der Nacht wuchs der Föhn an und blieb während des ganzen 20. auf Stärke 10—11. Mittenwald antwortete mit Stärke 10—12, in Partenkirchen kam sie nicht über 6, auch als um 8 a der Föhn anscheinend besser durchkam.

Von grossem Interesse ist der Vergleich der Registrierungen der beiden Orte: Das trotz der hohen Windstärke ruhige Diagramm von Mittenwald, der dauernde Kampf zwischen dem Föhn und den Föhnpausen in Partenkirchen.

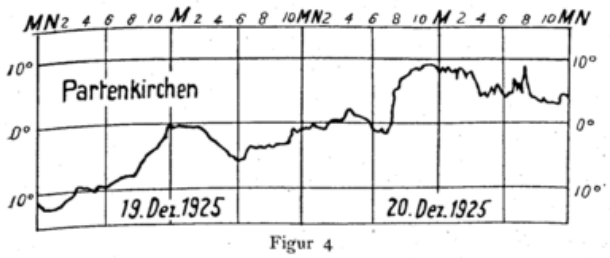

Figur 4

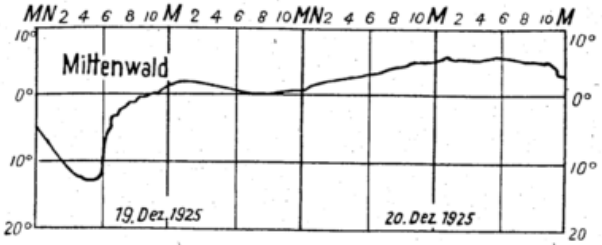

Figur 5

22./23. Oktober 1925.

Im Laufe des 22. Oktober verstärkte sich der Föhn auf der Zugspitze zur Stärke 10, mit der er während der ganzen Nacht anhielt. Mittenwald machte mit SE 6—8 mit; Partenkirchen behielt im allgemeinen Windstille, doch ersieht man aus dem Diagramm die wiederholten Versuche des Föhns, auch dort zum Durchbruch zu kommen. Am erfolgreichsten war der Vorstoss zwischen 2 und 4 Uhr morgens, aber auch da handelt es sich nur um Föhnbeimischungen, da, der Zugspitztemperatur entsprechend, die Temperatur auf 20—25° hätte gehen müssen. Ein Rhythmus der Vorstösse war diesmal nicht zu erkennen. Vielleicht lag es an der kurzen Dauer der Föhnlage, welche bereits um 9a ihren Abschluss fand, dass ein Durchbruch in das Talbecken nicht erfolgte.

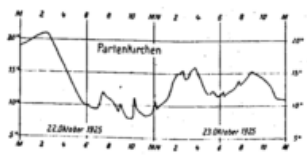

Figur 6

15. Februar 1925.

Der Föhnsturm vom 15. Februar 1925 stellt den Abschluss einer länger dauernden Föhnlage dar, welche sich bis zum 10. Februar zurückverfolgen lässt. Die ersten darauf ansprechenden Stationen waren Mittenwald, das 9p bereits SE 4 meldete, und der Hohenpeissenberg, über welchem die Temperatur um 9p zu steigen begann. Die nächste Station, welche in den Föhn einbezogen wurde, war Kochel, das am 11. II. 1a einen momentanen Temperaturanstieg um 7° erfuhr; der Temperaturanstieg hielt mit einigen kurzen Unterbrechungen bis 8a durch, dann wurde in Kochel der Föhn wieder abgehoben. In der Nacht vom 11. zum 12. hielt der Föhn durch in Tölz, Krünn, Mittenwald, Kochel, auch auf dem Hohenpeissenberg. Sehr interessant war das Verhalten der Temperatur in Partenkirchen in dieser Nacht: Die verschiedenen Versuche des Föhns, durchzubrechen, welche am besten die Figur 7 erläutert. In „5 Wellen" von zusammen 13 Stunden, im Mittel also 2.6stündiger Dauer, spielte sich die Vorbereitung des Durchbruchs ab. Es muss sich um seichte Vorgänge gehandelt haben, da das Barogramm auf diese Wellen nicht entsprechend reagierte.

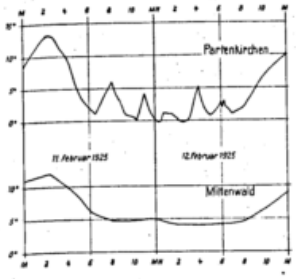

Figur 7

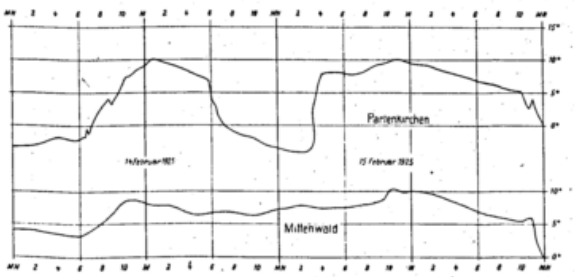

Figur 8

In Mittenwald, Krünn, Kochel, Tölz, Füssen ging der Föhn die ganze Nacht hindurch; auf dem Hohenpeissenberg herrschte bis Mitternacht normale Temperaturabnahme, dann setzte auch dort der Föhn wieder ein, während draussen im Flachlande (Wielenbach) der Föhn erst am Vormittag wieder auflebte.

In der Nacht zum 13. Februar erlosch der Föhn überall, sogar in Mittenwald, das am Morgen Windstille und —1.1° meldete; erst um 9^{30}a setzte der Föhn ein, welcher die Temperatur sofort um mehr als 10° hinaufrückte.

In der Nacht zum 14. Februar hielt an den meisten Orten der Föhn durch; in Kochel, das bis 10p normale Temperaturabnahme hatte, brach er um diese Stunde wieder unvermittelt durch. Auch in Partenkirchen war ab 10p ein langsamer Temperaturanstieg zu verfolgen. Weiter ab vom Gebirge, wie in Wielenbach, dagegen blieb der Föhn während der ganzen Nacht abgehoben.

Am Nachmittag des 14. Februar erfolgte ein Partialvorstoss des polaren Sektors der über den britischen Inseln gelegenen Depression, welche für die Föhnlage verantwortlich war: in München um 2p, in Kochel und Partenkirchen gegen 6p, auf dem Hohenpeissenberg um 2p mit Winden aus NW. Wie stark der Schwall in die Innentäler hereindrückte, sagt uns die Windbeobachtung Partenkirchen 9p, N 8. Im Isartal kam der Kälteeinbruch nur schwer voran; er langte in Krünn erst um 8p an, war aber dort um 10p bereits erledigt und erneut durch heftigen Föhn abgelöst; bis Mittenwald vermochte er überhaupt nicht mehr vorzudringen. In Krünn und Mittenwald blieb die Temperatur im weiteren Verlaufe

der Nacht auf der Höhe des Vortages, stieg sogar noch leicht an, während die Vorlandstationen nach dem Temperaturabfall, den der Vorläufer der polaren Luftmassen brachte, zunächst normale weitere Temperaturabnahme registrierten.

Erst um 3 a setzte in Partenkirchen der Föhn unvermittelt wieder ein und erreichte dann auch bald seine höchste Stärke; in Kochel dauerte es bis 5 a, in Tölz bis 6 a, bis der Föhn auch dort sich durchsetzte. Ganz anders war der Übergang auf dem Hohenpeissenberg. Auch dort setzte der Föhn zwar schon um 3 a ein, statt aber, wie an den Innenorten, sofort zu voller Herrschaft zu gelangen, spielten sich dort offenbar Mischungsvorgänge zwischen den Luftmassen polarer Herkunft und dem Föhn ab, wie man sowohl an der Windrichtung 7 a W 4 wie besonders am Thermogramme erkennt, das erst um 12 Uhr Mitag die volle Föhnhöhe erreichte. An dem nördlicher gelegenen Wielenbach setzte der Föhn 9 a unvermittelt ein mit einem Temperaturanstieg über 10°, dem ein langsamerer folgte, so dass auch dort um die Mittagsstunde das Maximum erreicht wurde. Um 2 p meldet Hohenpeissenberg den bei intensiven Föhnlagen für diesen isolierten Vorberg so charakteristischen E 7, der wohl auf ein Umfliessen an Stelle eines Überfliessens hinweist.

Über die Ereignisse untertags unterrichtet am besten eine kleine Zusammenstellung der Terminbeobachtungen:

25. Februar 1925	7 a		2 p		9 p		
	t	Wind	t	Wind	t	Wind	Max.
Mittenwald	9.6°	**S 12**	11.4°	S 10	7.2°	NW 4	12.2°
Partenkirchen	13.6	**SE 12**	12.7	SE 10	10.6	S 10	14.9
Hohenpeissenberg	7.4	W 4	12.4	**E 7**	9.3	**S 9**	13.7
Zugspitze	-6.8	**SE 11**	-6.4	S 8	-7.0	SE 8	-5.6
Gradient P—Z	**0.91**		0.85		0.78		(0.91)
Gradient Hp—Z	0.72		**0.96**		0.83		(0.98)

Wie man sieht, ist die Temperaturdifferenz Partenkirchen-Zugspitze sehr nahe an den Föhngradienten herangekommen: ein für den Kenner der Topographie bemerkenswertes Phänomen. Man begreift die verheerende Wirkung solcher, dem Gelände angeschmiegter Fallwinde in den Gebieten, über welchen sich der Übergang von vertikaler zur horizontaler Bewegung vollzieht.

Sehr interessant war der Abschluss des Föhns: Am ersten machte er sich in Mittenwald bemerklich. Dort wehte schon um 9 p NW 4, sicher ein lokaler Wind, denn die polaren Luftmassen, welche den Abschluss der grossartigen Föhnlage brachten, langten auf der Linie Hohenpeissenberg—München erst um 10 p an. Hohenpeissenberg hatte um 9 p noch S 9, also nicht mehr abgelenkten Föhn, München SE 3. Während auf dem Hohenpeissenberg die Temperatur sofort um fast 10° sank, und der Kälteeinbruch in voller Stärke auftrat, brauchte es in Partenkirchen und im obersten Isartal erheblich länger, bis sich die kalten Luftmassen den Raum eroberten. Auf der Zugspitze begann der Temperaturrückgang erst am 16. Februar 0^{30} a und zog sich bis 6 a hin.

Einer Erscheinung muss noch besonders gedacht werden: des Luftdruckganges vom Hohenpeissenberg im Gegensatz zu dem von Mittenwald, Partenkirchen und Zugspitze (Fig. 9).

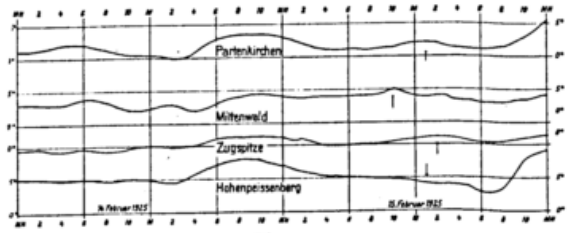

Figur 9

Während über dem Vorlande der Luftdruck nach dem kurzen Anstieg in der zweiten Hälfte des 14. Februar, welcher ein Ausdruck des Vorläufers der Rückseite war, ab 8—10 p bis zum Antreten der Rückseite am 15. Februar dauernd abnahm, lassen die Diagramme der Gebirgsstationen einen vorübergehenden Druckanstieg im Föhn erkennen.

Da der Druckanstieg schon auf dem Hohenpeissenberg fehlte, versagt die naheliegende Deutung durch einen Vorgang aus grösseren Höhen: es handelt sich um eine lokale Erscheinung, also vielleicht einen Stauungsvorgang, der auf die Gebirgsstationen beschränkt blieb. Es ist noch zu bemerken, dass der Luftdruckgang auf dem Hohenpeissenberg mit dem von München vollkommen übereinstimmte, dass also der Unterschied gegenüber den drei anderen Stationen nicht als eine Besonderheit des isolierten Hohenpeissenberg gedeutet werden kann.

24./25. Dezember 1924.

Ausgezeichnet ist die Reaktion Partenkirchens auf das Antizyklonalstadium des Föhns, wie es z. B. vom 22. bis 28. Dezember 1924 herrschte. Wir ersehen die Einzelheiten an der Registrierung vom 24. zum 25. Dezember.

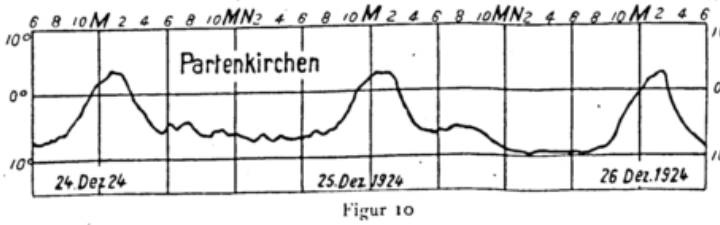

Figur 10

In der Nacht zunächst starker Temperaturrückgang bis ca 6 p, dann setzte der Abfluss der Luftmassen ein mit S 4, während die Zugspitze SW 3 und Temperaturumkehr hat. Der Abfluss vollzieht sich rhythmisch, von im Mittel 2stündiger Dauer. Man darf daraus entnehmen, dass die auch sonst festgestellten Föhnrhythmen in Partenkirchen nicht etwa durch den Föhn in der Höhe angeregt

sind, sondern dass sie eine Eigentümlichkeit der dortigen Geländeeinflüsse darstellen. Auch Mittenwald hatte in dieser Nacht keinen kontinuierlichen Abfluss, doch waren die Schwankungen ganz anderer Art, wie man an Figur 11 erkennt.

Bei der Betrachtung des Diagramms von Partenkirchen wird man an die Überlegungen von N. Shaw erinnert, die er über die Glazialantizyklone angestellt hat [1]). Das beschneite Gebirge gibt Anlass zu solchen Abflüssen, welche sich in Rhythmen vollziehen, die durch das Gelände vorgeschrieben sind. An allen Tagen vom 22. bis 28. Dezember stellten sich diese Störungen des nächtlichen Temperaturganges in Partenkirchen gegen 6p ein, viel regelmässiger als in Mittenwald.

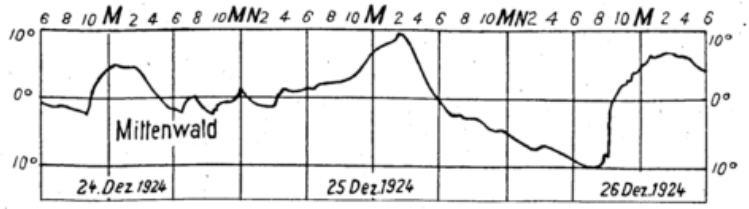

Figur 11

Dass nicht jede Nacht solch gut ausgeprägte Schwingungen hat wie die vom 24./25., zeigt die darauffolgende Nacht; dass diese sich auch sonst anders verhielt, ersehen wir an dem Diagramm von Mittenwald, wo der Föhn sogar zum Erlöschen kam (7a C und —6.0°), um erst gegen 9a wieder aufzuleben.

21. April 1923.

Ein hübsches Beispiel dafür, dass nicht immer Mittenwald den stärksten Föhn zu haben braucht. An diesem Tage ging eine von Südwesten kommende, nach Mitteleuropa strebende Depression über die Alpen. Die Terminbeobachtungen ergaben:

	7 a		2 p		9 p	
Partenkirchen	**C**	7.8°	**S 10**	18.6°	S 4	13.2°
Mittenwald	SW 7	10.4	SE 7	14.4	SE 7	10.2
Hohenpeissenberg . .	S 7	5.7	SE 7	15.0	W 8	10.0
Zugspitze	SE 8	−4.4	SE 10	−2.3	S 4	−3.2
Gradient P—Z		0.54		**0.90**		0.74
Gradient M—Z . . .		0.72		0.82		0.66
Gradient Hp—Z . . .		0.51		0.88		0.67

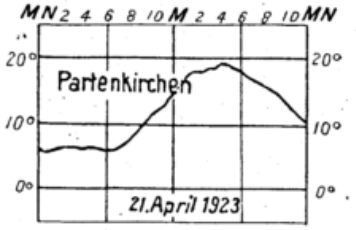

Figur 12

Partenkirchen begann den Tag noch mit Windstille; das Anwachsen des Föhns, der bald nach 7a einsetzte, war im Gegensatz zu den meisten anderen Fällen stetig, wie vor allem das Thermogramm auswies, das nicht den sonst gewohnten plötzlichen vollen Temperaturanstieg brachte, sondern einen langsamen Anstieg bis zum Maximum um 4 p mit 19.0°, dem eine ebenso langsame, der Windabnahme adäquate Abnahme folgte bis zum Minimum am nächsten Tage um 7 a, so dass man ein „Schönwetterdiagramm" eines Sommertages vor sich zu haben glaubte. Der Gradient um 2 p würde sich gleich dem adiabatischen ergeben, wenn man zu seiner Ableitung eine Station auf den etwas niedrigeren Kämmen zur Verfügung hätte, über welche der Föhn in das Raintal hinabbrauste. Unter der Annahme eines Temperaturgradienten der an dieselben herangeführten Luft von 0.6, welcher der Wirklichkeit nahe kommen dürfte, berechnet sich die Höhe aus welcher der Föhn nach Partenkirchen herabkam, zu ca 2600 m, das ist die mittlere Höhe des Wettersteinkammes.

1./2. November 1921.

Ein eigenartiger, auf ein geringes Gebiet beschränkter Föhnfall. Wetterlage: Am 1. November Alpengebiet unter hohem Druck, Schwerpunkt im Osten. Über Skandinavien eine tiefe Depression, also keine eigentliche Föhnlage. Die Zugspitze hatte während des ganzen Tages NW 3—5, woraus man in der Höhe auf hohen Druck im Westen schliessen musste. In der Nacht zum 2. November vollzog sich auch im Meeresniveau die Umstellung: wir finden am Morgen die nach Finnland weitergezogene Depression gegen Mitteleuropa vorfühlend, hohen Druck über der Biskayasee.

Diese Umstellung, die in den Barogrammen nicht weiter zum Ausdrucke kam, löste in Mittenwald und Partenkirchen in der Nacht mehrstündigen Föhn aus. Bis 7 p war an beiden Orten die Temperaturabnahme normal, entsprechend die Zunahme der RF. Dann setzte Föhn ein: in Partenkirchen stieg die Temperatur bis 10p um 7°, gleichzeitig sank die Feuchtigkeit von 91 % auf 26 %. Der Föhn dauerte bis 2a und hielt in Partenkirchen offenbar nicht mit der vollen Stärke durch, denn die Temperatur sank um einen halben Grad, die Feuchtigkeit stieg auf 38 %. Um 2a war die Föhnlage beendet, die Temperatur nahm langsam bis zum Morgenminimum ab, die Feuchtigkeit näherte sich rascher ihrem Maximum.

In Mittenwald waren die zeitlichen Verhältnisse dieselben, nur war dort das Maximum der Temperatur und das Minimum der Feuchtigkeit am Ende des Föhns, beide etwas schwächer ausgebildet als in Partenkirchen; die Feuchtigkeit sank nicht unter 40 %.

Am nahen Hohenpeissenberg war von dem ganzen Vorgang nur eine schwache Temperaturerhöhung um 10p zu bemerken, worauf eine verlangsamte Temperaturabnahme einsetzte.

Auf der Zugspitze äusserte sich der Vorgang in einem schwachen Temperaturrückgang, die Windrichtung blieb aber NW.

---

[1]) Vgl. z. B. die Naturwissenschaften 1926 S. 13.

Es scheint mir sehr beachtlich, dass diese kurze, nur für die unteren Luftmassen gegebene Föhnlage in dem nach Süden hin abgeriegelten Partenkirchen so gut zum Ausdruck kam. Es kann sich nur um ein partielles Abfliessen aus dem Gebirge handeln, wie man es z. B. von Grönland kennt (A. Wegener) aus einer Art „glazialer Antizyklone" (N. Shaw).

14. Januar 1920.

Von H. von Ficker ist nachgewiesen worden, dass der Föhn in Scharnitz nur selten von Seefeld herabkommt, sondern meist aus dem südlichsten der Isarzuflusstäler, dem Gleirschtal[1]). Dass das in vielen Einzelfällen auch für Mittenwald zutrifft, hat A. Huber nachgewiesen[2]).

An dem Föhnfall am 14. Januar 1920 lässt sich zeigen, dass auch Partenkirchen sein Einzugsgebiet für lokalen Föhn hat. Es herrschte an diesem Tage durchaus keine typische Föhnlage. Am Morgen des 13. verliefen die Isobaren über Europa westöstlich; das Maximum lag im Südwesten und entsandte einen Keil hohen Druckes über das Alpengebiet. Die Abendwetterkarte lässt die Ausbildung eines schwachen Ausläufers der nördlichen Depression über Frankreich erkennen, welcher im Laufe der Nacht zum 14. Januar über unser Gebiet hinwegzog. Dass es sich dabei um einen seichten Vorgang handelt, lehren die Beobachtungen vom Hohenpeissenberg und der Zugspitze. H. hatte SW 8, Z. NW 3 während der ganzen Nacht. Da setzte am Morgen nach 4 a in Partenkirchen, um 6 a in Mittenwald lokaler Föhn ein, der mit dem Hereinbrechen der Rückseite des Tiefdruckausläufers zwischen 8 und 9 a sein rasches Ende fand.

Die Grundlage solcher lokaler Föhne lässt sich am besten aus dem Vergleich mit Thermogrammen des Vorlandes erkennen.

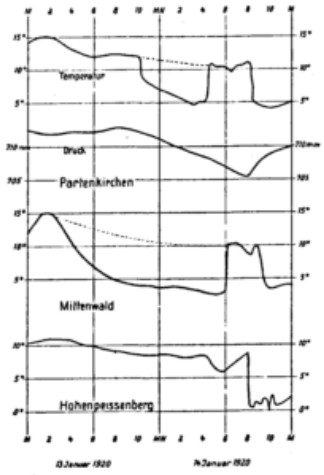

Figur 13

Der Temperaturgang der Innentäler von Partenkirchen und Mittenwald unterschied sich von dem an den Vorlandstationen, für welche Hohenpeissenberg als Vertreter gelten darf, dadurch, dass dort eine annähernd normale nächtliche Temperaturabnahme stattfand. Mittenwald war diesmal früher daran, von 2 p bis 6 a nahm die Temperatur gleichmässig ab, in Partenkirchen machte sich der Vorlandeinfluss darin bemerklich, dass erst um 10 p der nächtliche Rückgang einsetzte. Auf dem Hohenpeissenberg — ähnlich lagen die Verhältnisse in Füssen und Wielenbach — hinderte die starke Luftbewegung (SW 8) den nächtlichen Temperaturrückgang.

Es standen also am Morgen des 14. Januar kalte Luftmassen in den Innentälern warmen des Vorlandes gegenüber, welche in Partenkirchen um 4 a, in Mittenwald erst um 6 a zu einem gewaltsamen Abfluss führten, dem aus den zugehörigen Nährgebieten Luft in Form von Föhn folgte. Der Temperaturanstieg betrug in Partenkirchen 6°, die Feuchtigkeit sank entsprechend bis 35 %.

Der Föhn wurde beendigt durch die Rückseite des Tiefdruckausläufers, in Partenkirchen entsprechend früher als in Mittenwald. Es scheint mir beachtlich, dass die Temperaturstufe weder in P. noch in M. unter die Temperatur hinabführte, welche dort vor dem Ausbruch des Föhns geherrscht hatte. Solche „kurze Zykeln" (Emden) pflegen, wie namentlich an dem Gang der meteorologischen Elemente bei Sommergewittern bekannt ist, etwaige Anomalien durch normale Verhältnisse abzulösen. Die punktierten Linien geben an, welches der Temperaturverlauf von P. und M. gewesen wäre, wenn sie an der Aussenzirkulation teilgenommen hätten.

Ein ganz ähnlicher Fall trat am Morgen des 20. Januar 1920 ein: Hochdruck im Südwesten, Tiefdruck im Nordosten. Hohenpeissenberg SW 4 Zugspitze NW 6. Ausläufer der nordöstlichen Depression löst von 1 bis 4 a Föhnstoss aus, etwas schwächer als am 14. Januar, aber etwas weiter hinaus in das Flachland zu verfolgen.

Für den praktischen Wetterdienst wichtige Erkenntnis, dass lokale, auf unser Alpengebiet beschränkte Föhnstösse auch bei „Westwetter" möglich sind, was uns gelegentlich bestritten wird.

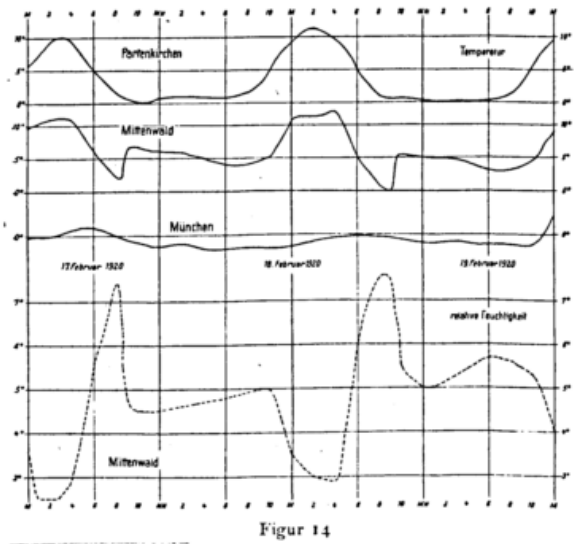

Figur 14

16. bis 20. Februar 1920.

Ein hübsches Beispiel dafür, dass Partenkirchen bei schwacher Föhnlage untertags gut mitgeht, nachts heraustritt.

Es herrschte während der ganzen Zeit eine stationäre Föhnlage: hoher Druck im Osten mit einem nach den Alpen vorspringenden Keil, Tief über den britischen Inseln. Die Gradienten waren mässig; auf der Zugspitze schwankte die Windstärke in der ganzen Zeit um Beaufort 3—5; im Flachlande herrschte zumeist Windstille oder schwacher E bis NE; nur das unmittelbare Alpenvorland lag im Föhn. Dementsprechend reicht die Nebeldecke, unter der München zumeist begraben war, bis an den Alpenrand, wo prachtvolles, klares Wetter folgte.

Wie die Figur zeigt, hatten Partenkirchen und Mittenwald einen ihrem geringen Bewölkungsgrad entsprechenden täglichen Temperaturgang im Gegensatze zu München, das erst am 19. um die Mittagsstunde in die Aufklarungszone einbezogen wurde. In M. wurde jeweils gegen 9 p die Temperaturabnahme sistiert; es kam wieder in den Föhn hinein, während P. herausfiel. Doch machte

[1]) H. von Ficker, Innsbrucker Föhnstudien IV S. 16.

[2]) A. Huber, Bayer. Met. Jahrbuch 1920 Anhang A.

sich auch dort der über die ruhige, bodennahe Atmosphäre strömende Föhn bemerklich, vor allem im Gange der relativen Feuchtigkeit.

Interessant ist es, zu sehen, dass auch in der Föhnströmung Mittenwalds sich der Einfluss der Nacht in einer langsamen Temperaturabnahme bis gegen 7a geltend machte. Konform damit war der Gang der RF.: zunächst Zunahme von 4p bis 9p von ca 30% auf 75%, dann Abnahme auf 45 um 10p, Zunahme bis 50% um 7a, darauf erneute Abnahme im sich wieder verstärkenden Föhn.

Eine Besonderheit sei noch erwähnt: die sehr schön geschriebene doppelte Barometerwelle in Partenkirchen im Gegensatze München, ein Dokument für die grosse Abhängigkeit dieser Erscheinung von der Temperatur, aber auch für die lokale Beschränktheit dieses Phänomens.

Ähnlicher Fall: 11. 12. III. 1919.

16. Januar 1917.

Wie viel leichter der Föhn sich in Mittenwald durchsetzt als in P., zeigen die Registrierungen vom 16. Januar 1917[1]), die wir mit keinem Kommentar zu belegen brauchen, die aber den klimatischen Reiz von Partenkirchen wieder einmal recht deutlich machen: nachts und morgens ruhige Atmosphäre, Ausstrahlung, Morgentemperatur —6.4°; in der Zeit der Besonnung Durchbruch des Föhns, Temperaturanstieg bis zu 9.2°; mit dem Weggang der Sonne wieder erfrischender Temperaturrückgang ab 3p.

Man muss solche Tage erlebt haben, um das ganze Glücksgefühl begreifen zu können, welches dabei auf Gesunde und Kranke überströmt (Föhnpatienten natürlich ausgenommen).

Ähnliche Fälle 6. XII. 16, 15. XII. 16, 10. XI. 15.

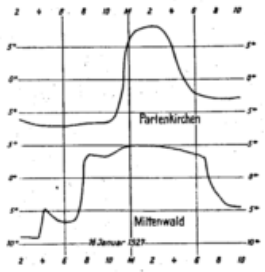

Figur 15

4./5. November 1916.

Ein hübsches Beispiel rhythmischer Unterbrechungen des Föhns in P., während M. den Föhn während der ganzen Nacht in unverminderter Stärke hatte.

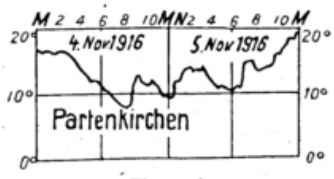

Figur 16

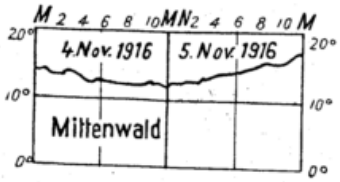

Figur 17

Die Zugspitze hatte während der ganzen Nacht S 10; in solchen Nächten hält es doch sehr schwer, P. ganz vom Föhn freizuhalten. Die drei Maxima der Temperatur lagen ca um 9p, 2a, 7a und Mittag, hatten also ca 5stündigen Abstand; ob das Zufall ist oder der Ausdruck einer Gesetzmässigkeit, vermag ich nicht zu entscheiden.

Ähnlicher Fall 30. XI./I. XII. 1912.

30./31. Oktober 1914.

Ein schönes Beispiel dafür, dass der nächtliche Föhn sich in P. nur sehr schwer durchsetzt. M. lag vom 30. X. 6a bis 31. X. 6p unverändert in starkem Föhn S 5 bis 6, entsprechend dem stürmischen Föhn auf der Zugspitze SE 9 und S 10.

In P. kam der Föhn am 30. X. erst gegen 9a richtig durch; bald nach 2p (S 4) setzte mit dem Verschwinden der Sonne hinter den hohen Bergen normale Temperaturabnahme ein, die bis 8p währte. Dann begannen die Versuche des Föhns, erneut durchzustossen, wie die Figur zeigt.

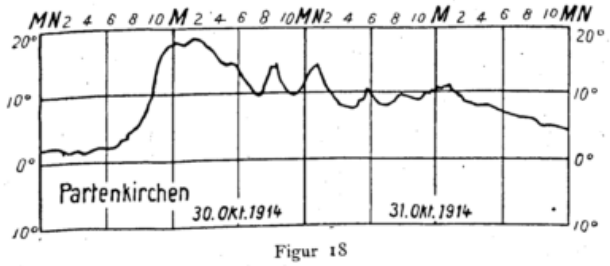

Figur 18

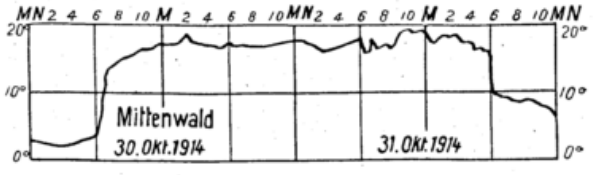

Figur 19

21. bis 23. November 1911.

Es ist häufig zu beobachten, dass P. am Beginn einer Föhnlage nachts leichter aus dem Föhn herausfällt als im späteren Verlaufe. So war es z. B. in den Tagen vom 21. bis 23. November 1911. In der Nacht vom 21. zum 22. hielt der Föhn in M. durch, P. hatte normale Temperaturabnahme bei Windstille. Dagegen blieb es in der folgenden Nacht, wenn auch mit den üblichen wellenartigen Schwankungen im Föhn. Der Grund für das verschiedene Verhalten ist in der

[1]) Im Diagramm ist irrtümlich 1927 eingetragen.

Bewölkung zu suchen: in der ersten Nacht war es wolkenlos, in der zweiten hemmte ein ci-st-Schirm die Ausstrahlung. Daneben mag auch ein gewisses „Einspielen" des Föhns dafür sorgen, dass er sich im späteren Verlaufe einer Föhnlage besser behauptet.

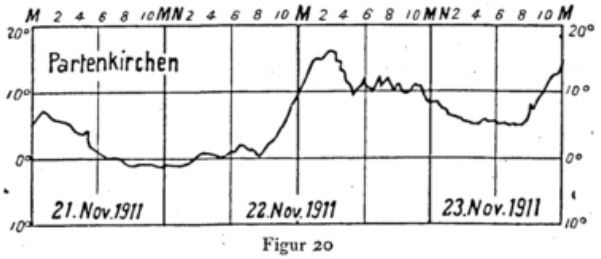

Figur 20

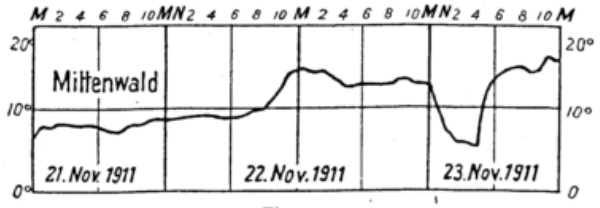

Figur 21

Schlussbemerkung. Ich habe die vorliegende Studie angestellt einmal, weil es mich interessierte, wie der Föhn in einem nach Süden abgeriegelten Vorlande, wie es das Garmisch-Partenkirchener Becken ist, zustande kommt aber auch mit der Absicht, zu prüfen, ob man dem Phänomen der Föhnverwüstungen nicht prognostisch beikommen kann. Diese Hoffnung musste ich aufgeben. Es geht da wie mit den lokalen Hochwässern: man kann zwar die Wetterlage für dieselben angeben, die Gegend, welche von ihnen besonders betroffen wird, kennt man aber nicht im voraus. Es sind mehr Zufallsgründe, wenn bald dieser, bald ein anderer schmaler Strich des Alpenvorlandes an die Reihe kommt.

Luftlawinen in Alpentälern.

Von A. Schmauss.

Gelegentlich der Durchsicht der Thermo- und Hygrogramme von Partenkirchen anlässlich der vorangehenden Studie fielen mir die häufigen, kurzen Temperaturanstiege auf, welche während der Nacht, recht oft um die Mitternachtstunden, dort eintraten, ohne den normalen Gang der Temperatur in seinem weiteren Verlaufe zu stören. Ihnen entsprachen ebenso rasch verlaufende Absenkungen der relativen Feuchtigkeit.

Das nähere Studium zeigte, dass es sich dabei nicht etwa um ein zeitweises Durchgreifen von Föhn handelte, da solche Temperaturanstiege auch in Nächten auftraten, die keiner Föhnlage angehörten. Es handelt sich vielmehr um abgegrenzte Luftmassen, welche sich aus dem im Süden von Partenkirchen anstehenden Reintal, vielleicht auch aus dem Höllental, ablösend nach dem Loisachtale vordrangen. Man geht nicht fehl in der Annahme, dass in heiteren Nächten die durch die Talschlüsse zunächst zurückgehaltenen, durch höhere Ausstrahlung unter die Temperatur der Talstation erkalteten Luftmassen lawinenartig sich in Bewegung setzen.

Für solche Vorgänge sind, je nach dem Temperaturgradienten und der Überkaltung die in der Fig. 1 dargestellten Fälle möglich.

a) Die Luftlawinen bringen Erwärmung; hiezu ist notwendig, dass sie genügend Schuss haben, um sich nicht etwa in der Höhe H über die kalte Talluft auszubreiten, sondern diese zu verdrängen.

b) Die Luftlawine bringt trotz der in ihr stattfindenden adiabatischen Erwärmung keine Temperaturerhöhung; Kenntnis erhalten wir dann lediglich vom Hygrogramm, da uns Windregistrierungen leider nicht zur Verfügung stehen.

c) Wir erhalten eine Temperaturstufe nach unten (Bora).

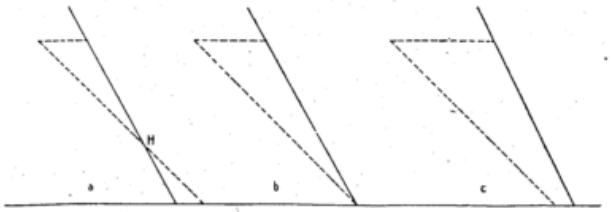

Fig. 1.

Die nach dem Loisachtal überführten Luftmassen der Luftlawine werden sich im weiteren Verlaufe dem dort zuständigen Temperaturgange anzupassen haben; in den Fällen a) im besonderen wird ihr Temperaturüberschuss rasch abgegeben werden.

Für alle 3 Fälle sind in den Figuren 2 bis 7 Beispiele beigebracht, welche einer weiteren Erläuterung nicht bedürfen.

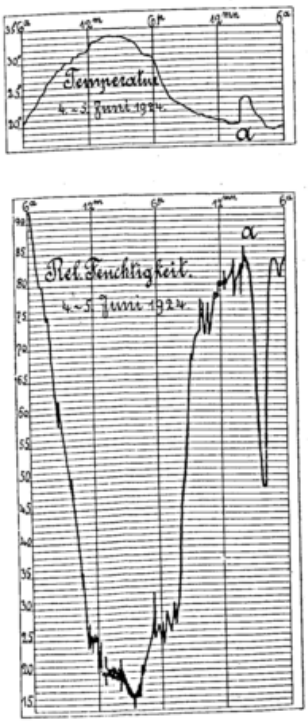

Fig. 2.

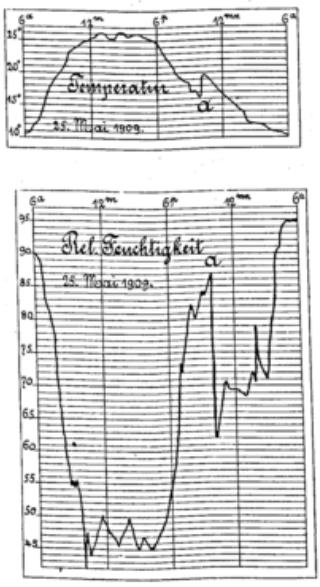

Fig. 3.

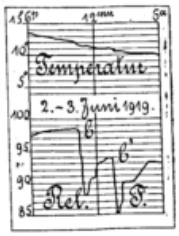

Fig. 4.

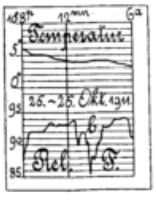

Fig. 5.

In manchen Nächten gehen mehrere Luftlawinen ab. Im Winter beobachtet man auch untertags solche Vorgänge, die dann wohl durch die Auflockerung der Luft des Talbodens erleichtert sind. Diese Luftlawinen sind natürlich nichts Neuartiges: sie stellen nur Partialabgänge dar, wie man sie im grossen im Antizyklonalstadium des Föhns beobachtet (H. v. Ficker).

Fig. 6.

Fig. 7.

Es schien mir noch interessant, eine Statistik der einzelnen Nachtstunden aufzustellen. Zu diesem Zwecke wurden für die Jahre 1907—1926 alle deutlichen Luftlawinen registriert, wobei Föhnlagen ausgeschlossen wurden. Zum Vergleich wurde die gleiche Auszählung für Mittenwald vorgenommen; diese Aufgabe war schwieriger, da Mittenwald sehr viel Föhnnächte hat.

Eine besondere Gewähr, aber auch ein interessantes Moment scheint mir zu sein, dass beide Orte fast nie gleichzeitig, nicht einmal in derselben Nacht, solche Luftabschübe erlebten, womit der lawinenartige Charakter besonders dargetan und die Unabhängigkeit von einer Föhnlage erwiesen ist.

	8–9	9–10	10–11	11–12	12–1	1–2	2–3	3–4	4–5	S
Partenkirchen	32	30	**63**	52	37	26	20	16	14	290
Winter	17	17	24	**29**	20	15	10	9	11	
Sommer	15	13	**39**	23	17	11	10	7	3	
Mittenwald	20	31	64	**82**	50	49	40	13	17	366
Winter	11	12	27	**33**	20	15	10	5	9	
Sommer	9	19	37	**49**	30	34	30	8	8	

Trotz des Ausschlusses aller föhnverdächtigen Nächte hatte Mittenwald in dem gleichen Zeitraum eine erheblich grössere Zahl solcher Luftlawinen, worin wieder die leichtere Reaktion auf Föhn an diesem Orte zum Ausdruck kommt. Anderseits sind die Luftlawinen von Partenkirchen viel schöner ausgebildet als die von Mittenwald.

Solche kurz dauernden, nächtlichen Temperaturanstiege müssen in allen Gebirgstälern zu beobachten sein. Ich möchte annehmen, dass auch die mir gerade erinnerlichen Anstiege an der Möhne-Talsperre, welche F. Mierdel[1]) beschrieben hat, solche Luftlawinen darstellen, in denen sich nach ihrem Abgange der normale nächtliche Temperaturgang fortsetzt. Bei „Föhnlage“ können sie das Herabkommen des Föhns im Gefolge haben: in dieser Hinsicht stellt die Untersuchung eine Ergänzung der vorangegangenen Studie dar, welche das Zufallsmässige des Durchbruchs des Föhns in den nach Süden abgeschlossenen Gebirgstälern ergeben hat.

Die Feststellung, dass auch in gegen Föhn geschützten Gebieten der Föhn gelegentlich durchkommen kann, hat eine praktische Bedeutung für die Auswahl von Sanatoriumsgelände: man wird die Hoffnung, ein vollkommen windsicheres Gelände im Gebirge zu finden, aufgeben müssen. Da der Föhn in der Höhe ein kalter Wind ist, wird die, wenn auch temporäre Belästigung um so fühlbarer, je höher man der Strahlungswirkung wegen hinaufgeht.

[1]) F. Mierdel, Met. Zeitschr. 1923 S. 178.

Flugzeugaufstiege der Flugwetterwarte Fürth 1925/26.

Von Walter Stöbe.

Flugzeugaufstiege sind an Flugplätzen das einzige Mittel, um Temperatur und Feuchtigkeit in der freien Atmosphäre zu messen, da ja Drachen und Fesselballonaufstiege sich aus Sicherheitsgründen von selbst verbieten.

Die hiesige Sport-G. m. b. H. stellte eine alte LVG-Maschine zur Verfügung und die Herren Theo Croneiss und W. Mayer führten die Flüge aus.

Da die Maschine sowohl alt, als auch reichlich viel repariert war, wurden Flüge nur bei einwandfreiem, meist wolkenlosem Wetter unternommen, und damit an Höhe gewonnen wurde, kam nicht immer ein Beobachter mit.

Im ganzen wurden ungefähr 10 Aufstiege gemacht, von denen aber hier nur die letzten 5 veröffentlicht werden, da die ersten nur versuchsweise und nur bis in geringe Höhen ausgeführt wurden, um die Aufhängung zu erproben.

Da das Flugzeug ein Doppeldecker war, wurde der Bosch-Drachen-Meteorograph — den Lindenberg zur Verfügung gestellt hatte — nach der Wigandschen Vorschrift an den inneren Stielen im oberen Drittel ausserhalb des Propellerstrahls angebracht. Die Uhrentrommel lag wagrecht, so dass die Federn durch ihr eigenes Gewicht auflagen. Die erzielten Registrierungen waren, ohne dass die Federn etwa zu hart anlagen, vollkommen scharf, nur die Feuchtigkeitskurve liess immer zu wünschen übrig.

Leider starb im Juli der Flugzeugführer Herr Mayer, der die Höhenflüge sehr verständnisvoll ausgeführt hatte, und um dieselbe Zeit ging die Maschine zu Bruch und wurde dann verkauft, wodurch die Höhenflüge zeitweise eingestellt werden mussten. Da jedoch die Notgemeinschaft Mittel genehmigt hat, um die Höhenflüge weiterzuführen, wird versucht werden, irgendwie wieder eine Maschine für diese Zwecke zu bekommen.

Wenn auch mit den paar Messungen keinesfalls irgendwelche grösseren Untersuchungen angestellt werden können, so erfolgt doch die Veröffentlichung, weil im allgemeinen solche Messungen noch recht spärlich sind und die Fürther Messungen teilweise an internationalen Termintagen erfolgten.

Als praktisches Ergebnis kann aber schon gesagt werden, dass Flugzeugaufstiege mindestens in der Anfangszeit ausserordentlich viel Mühe und Zeit beanspruchen und dass schon grosse Erfahrungen und eine sorgfältige Organisation vorhanden sein müssen, damit der Erfolg die verhältnismässig grossen Kosten rechtfertigen kann.

Für die Veröffentlichung wurde das Lindenberger Schema benutzt, da ja auch die Auswertungen nach der Lindenberger Methode (Adiabaten-Papier) vorgenommen wurde. Die Windmessungen sind annähernd gleichzeitig ausgeführten Höhenwindmessungen entnommen.

Nr. 1. 2. Juli 1925. ↑ 5^{35} a—6^{19} a.

Seehöhe m	Luftdruck mm	Temperatur °C	Relative Feuchtigkeit %	Wind- Richtung	Wind- Geschw. m/sec.	Bemerkungen
303	731.1	9.4	88	N	1	5^{30}a 8° ci; Sicht 5 km
500	713	11.7	80	ENE	4	∞; 7^{00}a 2° ci, 1° cu; Sicht 5 km
1000	671	12.0	73	ESE	4	
1500	632	7.8	79	E	3	
2000	595	3.4	83	E	3	
2500	560	3.9	47	NE	3	
3000	526	3.0	40	C	0	
3500	493	− 1.8	39	ENE	1	
4000	464	− 4.9	37	E	2	
4500	435	− 7.7	35	ENE	3	
4880	414	− 9.4	35	ENE	2	

h	790	1930	2150	2420	3010	3380	4470 m
t	14.0	4.0	2.5	4.0	3.0	− 1.0	− 7.0
R.F.	70	83	83	48	40	40	36 %

mbar	1000	900	800	700	600
Geop.	89	943	1893	2955	4154

Lage im Hochdruckrücken, Zyklone am Kanaleingang, Tiefdruckgebiet über Südrussland.
Der Pilotballon platzte in 14 km Höhe; Windgeschwindigkeit bis zu dieser Höhe nur 4—5 m/sec.

Nr. 2. 14. Januar 1926. ↑ 11^{01}a—11^{45}a.

Seehöhe m	Luftdruck mm	Temperatur °C	Relative Feuchtigkeit %	Wind- Richtung	Wind- Geschw. m/sec.	Bemerkungen
303	728.8	− 0.1	66	E	3	5° ci, Sicht 5 km
500	711	− 2.6	*)	E	3	
1000	668	− 6.0		SE	14	
1500	626	− 2.2		SSE	18	
2000	588	− 2.4		SSE	13	
2500	550	− 5.8		SE	11	
3000	517	− 6.5		a-str in 2900 m		
3500	485	− 8.7				
4000	454	−12.6				
4500	425	−16.7				

h	730	1210	1300	1900	2130	2300	2540	3030	3260	3470 m
t	− 6.8	− 5.4	− 2.5	− 2.0	− 3.0	− 3.5	− 6.4	− 6.5	− 9.0	− 8.5
R.F.	versagt.									

mbar	1000	900	800	700	600
Geop.	71	888	1797	2825	3991

Hoch über Russland, Tief über Spanien, starker Druck- und Temperaturanstieg über Süddeutschland, verbunden mit kräftiger SE-Luftströmung.

*) Die Feuchtigkeitskurve zeigt fast eine gerade Linie.

Nr. 3. 10. Mai 1926. ↑ 8^{30}a—9^{25}a.

Seehöhe m	Luftdruck mm	Temperatur °C	Relative Feuchtigkeit %	Wind- Richtung	Wind- Geschw. m/sec.	Bemerkungen
303	732.1	8.0	56	SSE	1	2° fr-cu, a-cu, cu, ∞°, Sicht 5 km
500	716	6.7	*)	SSW	1	
1000	672	3.3		W	4	
1500	633	0.0		W	3	Während des Abstieges zeigen sich in 1400 m einige cu.
2000	595	− 3.2		WSW	3	
2500	557	− 6.7		W	8	
3000	522	−10.0		NW	8	
3500	489	−12.2		NW	8	
4000	458	−14.1		N	11	
4500	428	−16.2		NNW	7	
4650	420	−17.0	60	NNW	7	

h	1340	1420	1530	2950	3130	3530	3630	4080	4220 m
t	1.0	0.0	0.0	−10.0	−10.0	−12.2	−12.2	−14.5	−14.5
R.F.	50	50	50	60	60	60	60	60	60 %

mbar	1000	900	800	700	600
Geop.	100	946	1870	2892	4047

Hoher Druck im SW; kräftige Zyklone über dem Rigaschen Meerbusen und über Island.

*) Feuchtigkeitskurve auch in diesem Aufstieg schlecht geschrieben.

Nr. 4. 12. Mai 1926. ↑ 7^{55}a—8^{50}a.

Seehöhe m	Luftdruck mm	Temperatur °C	Relative Feuchtigkeit %	Wind- Richtung	Wind- Geschw. m/sec.	Bemerkungen
303	733.3	12.0	62	SSE	7	2^0 ci, ∞^2. Sicht 10 km
500	715	13.0	61	SSW	5	
1000	674	11.8	60	SSW	9	Von W heranziehende ci.
1500	634	7.4	59	SSW	8	
2000	597	3.0	63	SW	10	
2500	560	− 1.1	66	WSW	8	
3000	527	− 1.5	66	WSW	13	
3500	493	− 4.0	50	W	13	
4000	464	− 7.0	48	W	12	
4500	436	− 9.7	46	W	13	
4680	425	−11.5	45	WNW	15	

h	730	2200	2300	2420	3100	3300	4020	4240 m
t	14.0	1.3	1.3	− 1.0	− 1.5	− 2.5	− 7.0	− 7.0
R.F.	60	57	67	66	50	47	46	45 %

mbar	1000	900	800	700	600
Geop.	111	974	1926	2974	4162

Eine spanische Antizyklone schickt ihre Ausläufer über das Alpen- und Karpathengebiet bis nach dem Baltikum. Ein kräftiges Tiefdruckgebiet über NW-England.

Nr. 5. 21. Mai 1926. ↑ 8^{42}a—9^{26}a.

Seehöhe m	Luftdruck mm	Temperatur °C	Relative Feuchtigkeit %	Wind- Richtung	Wind- Geschw. m/sec.	Bemerkungen
303	735.7	16.8	74	C	0	1^0 cu, ∞^1, Sicht 10 km
500	720	14.2	72	NE	1	
1000	677	10.6	60	ENE	5	In 3000 m stark böig
1500	637	7.4	61	NE	5	
2000	600	4.1	62	ENE	5	
2500	563	0.7	63	NE	7	
3000	529	− 2.3	65	ENE	3	
3500	496	− 4.1	60	ENE	5	
4000	466	− 7.4	61	ENE	4	
4280	450	− 9.0	63	NE	4	

h	530	680	2980	3050	3140 m	
t	13.4	13.0	− 2.5	− 2.0	− 2.0	
R.F.	70	60	65	60	60 %	

mbar	1000	900	800	700	600
Geop.	136	1006	1956	3006	4192

Lage ohne eigentliches Aktionszentrum; ganz Mitteleuropa durchwegs heiter.

Pilotballonmessungen der Flugwetterwarte Fürth 1926.

Von Walter Stöbe.

Die Veröffentlichung erfolgt genau in der gleichen Weise wie im vorigen Jahrbuch. Es wird Richtung und die Geschwindigkeit für die Höhenintervalle von 500 m gegeben und die Änderungen zwischen diesen Höhen durch Angabe der Schichtgrenzen (in Meereshöhen) gekennzeichnet. Die Schichtgrenzen wurden wie früher auf Grund der vorliegenden Pausen der Bahnkonstruktionen bestimmt, und zwar wurden die Punkte ausgewählt, deren Änderung entweder in der Richtung oder in der Geschwindigkeit leicht zu erkennen war.

Die Gesamtzahl der Messungen im Jahre 1926 betrug 360, davon erreichten 3 km und mehr 111 Visierungen, 10 km und mehr nur 10. Als maximale Höhe wurde am 1. 9. über 22 km erreicht.

Bei einer Verwertung der veröffentlichten Messungen muss immer im Auge behalten werden, dass es sich gerade bei den hohen Piloten fast ausschliesslich um „Schönwettermessungen" handelt und dass man ja an und für sich nur bei abnorm ruhigem Zustand der Atmosphäre mit den üblichen Pilotballons von 150 bis 200 m Steiggeschwindigkeit in die höheren Schichten kommt. Die verhältnismässig geringen vorkommenden Windgeschwindigkeiten sind auch unter diesem Gesichtspunkt zu betrachten, und gelten also nur als Fälle einer mehr oder weniger speziellen Wetterlage.

An Bemerkungen sind angeführt: Bew. = Bewölkung, Steigg. = Steiggeschwindigkeit, E hinter der Steiggeschwindigkeit bedeutet Pilotballon englischer Herkunft, C von Continental Hannover. Die Steiggeschwindigkeit ist in Meter/Minute, die Windgeschwindigkeit in Meter/Sekunde angegeben. Alle Höhenangaben sind Meereshöhe. Die Meereshöhe von Fürth ist 303 m.

1926	Boden	500	1 000	1 500	2 000	2 500	3 000	3 500	4 000	4 500	5 000	5 500	6 000	6 500	7 000 Meter
		7 500	8 000	8 500	9 000	9 500	10 000	10 500	11 000	11 500	12 000	12 500	13 000	13 500	14 000
		14 500	15 000	15 000	16 000	16 500									
11. 1. 9^{34} a	C	N 1	ESE 6	ENE 7	NE 10	NE 14	NNE 16	NNE 19							
		a-cu 3700 Bew. 7^0 st, ci-cu, a cu; $\equiv^1$ Sicht 0.7 km; Steigg. 200; Schichtgrenzen: 500, 1100, 1900, 2700, 3300.													
14. 1. 1^{40} p	ENE 3	E 7	SE 11	SSE 19	SSE 11	S 17									
		a-st Bew. 10^1 ci-st, a-st, cu-ni; ∞^1; Steigg. 200 (E); Schichtgrenzen: 700, 900, 1300, 1700, 2100.													
2. 2. 9^{34} a	SSE 4	SSE 6	S 8	SW 8	SW 13	SW 12	WSW 13	WSW 13	WSW 13						
		a-cu 4200, Bew. 7^0 ci-cu, ci-st, a-cu, ∞^1; Steigg. 200 (E); Schichtgrenzen: 500, 1200, 3200.													
3. 2. 3^{05} p	ENE 2	ESE 6	S 9	S 8	SSW 7	SSW 13	SSW 8	SSW 10							
		ausser Sicht; a-st, a-cu 4500; Bew. 9^2 ci-st, a-st, a-cu; Steigg. 150; Schichtgrenzen: 500, 800, 1700, 2100, 2700.													
4. 2. 9^{41} a	S 4	SSW 4	W 14	W 16	W 5	SW 9	SW 10								
		a-cu 3100: Bew. 9^0 a-cu, a-st; Steigg. 200 (C); föhniges Aufklaren; Schichtgrenzen: 500, 700, 1900, 2100.													
11. 2. 9^{46} a	ESE 2	SE 3	S 2	SSW 3	SSW 3	SW 2	S 7								
		a-cu 3300; Bew. 9^1 a-cu, ∞^1; Steigg. 200 (C); Schichtgrenzen: 500, 700, 1200, 1900, 2700.													
23. 2. 10^{26} a	ESE 2	SSW 2	WSW 6	W 7	WNW 7	WNW 8	WNW 8	NW 11	NNW 11	NNW 15					
		ausser Sicht; Bew. 3^0, ci-cu, ci-st, $\equiv^1$ Sicht 1 km; Steigg. 250; Schichtgrenzen: 500, 1500, 3300.													
26. 2. 11^{02} a	ENE 1	ESE 3 E 13	SE 4 E 13	ESE 5 geplatzt.	E 5	E 5	ESE 10	ESE 7	ESE 8	ESE 7	ESE 6	ESE 5	E 5	E 9	E 11
		Bew. 2^0 a-cu; Sicht 2 km; Steigg. 200; Schichtgrenzen: 700, 900, 1700, 2100, 2900, 5700.													
27. 2. 9^{25} a	SE 4	SE 6	S 3	SSE 6	NNE 2	NNW 4	N 8	N 7	N 10	N 8	N 10	NNE 12	N 17		
		in ∞; Bew. 4^0 ci, ∞^1; Sicht 5 km; Steigg. 200 (C); Schichtgrenzen: 500, 700, 1200, 1900, 2500, 2700, Linkskehre bei 1900.													
11. 3. 10^{36} a	WNW 5	WNW 8	NW 10	NW 10	N 11	N 12	NW 13	NNW 17							
		hinter st-cu: Bew. 4^0, ⊙, a-cu, cu, st-cu, fr-cu; Sicht 20 km; Steigg. 200 (E); Schichtgrenzen: 500, 700, 1500, 1900, 2500.													
17. 3. 9^{10} a	NNE 1	NE 2	E 4	NE 3	NNE 7	NNW 8	N 9	N 8	NNW 9	NNW 13	NNW 15	NNW 17			
		in ∞; Bew. 0 ⊙, ∞^1; Sicht 3 km; Steigg. 200 (E); Schichtgrenzen: 500, 1300, 1500, 2100, 3500.													
17. 3. 9^{44} a	NNE 1	NE 2	ENE 6	NE 3	NNE 7	NNW 7	NNW 11	NNW 11	NNW 9	NNW 9	NNW 15	NNW 15	NW 18	NW 20	NNW 17
		ausser Sicht; Bew. 1^1 cu; Sicht 5 km; Steigg. 200 (E); Schichtgrenzen: 500, 1300, 1500, 2300, 3900.													
17. 3. 2^{40} p	NE 2	NNW 1	NE 3	NNW 1	NNW 6	NNW 7	NW 7	NW 10	NW 14	NW 17	NW 16	NW 18	WNW 17		
		ausser Sicht; Bew. 1^0 a-cu. cu ⊙; Sicht 30 km; Steigg. 150 (E); Schichtgrenzen: 500, 900, 1400, 1500, 3000.													

1926	Boden	500	1 000	1 500	2 000	2 500	3 000	3 500	4 000	4 500	5 000	5 500	6 000	6 500	7 000 Meter
		7 500	8 000	8 500	9 000	9 500	10 000	10 500	11 000	11 500	12 000	12 500	13 000	13 500	14 000
		14 500	15 000	15 500	16 000	16 500									
17. 3. 3^{28} p	C	C	NE 1	WNW 3	NNW 6	NNW 6	N 6	NW 9	NW 19						
							Bew. 1^0 a cu, Sicht 30 km; Steigg. 150 (C); Schichtgrenzen: 900, 1100, 1400, 1500, 2700.								
17. 3. 4^{03} p	C	N 3	NE 2	ESE 2	NW 5	NNW 7	NW 7	NNW 8							
						geplatzt.	Bew. 3^0 ci-st, a-cu; Sicht 30 km; Steigg. 200 (E); Schichtgrenzen: 700, 1100, 1500, 1700, 1900.								
19. 3. 9^{25} a	E 2	ENE 4	ESE 5	E 6	E 5	ESE 3	SSW 1	NE 1	NNW 3	NW 6	WNW 6	NW 3	W 2	NW 4	WNW 5
		WNW 6	WNW 7	WNW 9	WNW 11	geplatzt.	Bew. o, ⊙, ∞²; Sicht 4 km; Steigg. 200 (E); Schichtgrenzen: 700, 1100, 2500 bis 4100 Linkskehre, 5500, 6300, 6900.								
23. 3. 9^{21} a	ESE 5	ESE 6	ESE 6	ESE 9	ESE 9	E 8	ESE 6	E 7	NE 5	ENE 5	ENE 4	N 2	NE 7	NNE 4	ENE 8
		ENE 10	E 6	ENE 9	NE 8	ENE 7	NNE 8	NE 8	N 4	N 6	NW 6				
					geplatzt.	Bew. o, ⊙; Sicht 20 km; Steigg. 200 (C); Schichtgrenzen: 2100, 3700, 5100, 5500, 10 300, 11 500.									
23. 3. 1^{20} p	E 3	E 6	E 6	ESE 7	ESE 7	ESE 7	SE 1	E 4	E 6	ENE 7	E 11	E 10	ENE 13	ENE 13	
						ausser Sicht; Bew. o ⊙; Sicht 30 km; Steigg. 200 (C); Schichtgrenzen: 2700, 3300, 3700, 4700, 5900.									
23. 3. 4^{32} p	E 4	ESE 7	E 8	E 7	E 7	ESE 8	ESE 4	N 1	E 6	E 7	E 8	E 10	E 13	E 15	E 17
		E 16	E 19		hinter Gebäude.	Bew. 1^0, ⊙, ci-st; Steigg. 200 (C); Schichtgrenzen: 500, 1300, 2900 bis 3500, 5500, 7100.									
24. 3. 9^{28} a	ESE 4	E 3	SE 10	ESE 7	ESE 7	SE 4	ESE 11	ESE 10	E 8	ESE 12	ESE 13	ESE 14			
							ausser Sicht; Bew. o ⊙; Sicht 10 km; Steigg. 200 (C); Schichtgrenzen: 500, 2300, 2700.								
24. 3. 1^{22} p	ENE 3	E 3	ESE 5	SE 5	ESE 4	SE 7	SE 5	ESE 8							
							verloren; Bew. 2^0 ci-st; Sicht 30 km; Steigg. 150 (E); Schichtgrenzen: 500, 800, 3000.								
24. 3. 1^{58} p	E 3	E 3	E 5	SE 5	SE 4	SSE 4	SE 6	ESE 7	ESE 9	ESE 9	ESE 12	ESE 10	E 9	E 6	E 6
		ESE 6	E 7	ESE 9	ausser Sicht.			Bew. 2^0 ci-st; Sicht 30 km; Steigg. 150 (E); Schichtgrenzen: 800, 900, 1100, 3100.							
25. 3. 9^{33} a	E 1	ESE 2	ESE 5	SSE 2	WSW 3	WSW 4	SSW 5	SSW 6	S 5	S 7	S 7	SSW 8	SSW 11		
					ausser Sicht; Bew. 9^0 ci-st, ≡⁰; Sicht 1.8; Steigg. 200 (C); Schichtgrenzen: 1100, 1500, 2700, 3900, 4700, 5700.										
26. 3. 9^{38} a	N 1	E 2	SE 6	ESE 5	E 4	ESE 4	SE 8	SE 5	S 5	SSE 8	SSE 8	SSE 8	SSE 8	SE 8	SSE 9
		SE 9	SE 8	SE 6	SSE 6	S 7	geplatzt.								
							Bew. 2^0 ⊙ ci, ci cu, ∞¹; Sicht 2 km; Steigg. 250 (C); Schichtgrenzen: 600, 1300, 2600, 4000, 8300.								
26. 3. 2^{35} p	ENE 1	NE 4	E 3	ESE 2	SE 3	SE 3	SSE 2								
							Bew. 6^0 ⊙ ci, ci-cu, a-cu; Sicht 30 km; Steigg. 150 (E); Schichtgrenzen: 1100, 1500, 1800, 2700.								
26. 3. 3^{03} p	ENE 2	NNE 4	ENE 4	ESE 3	SE 3	ESE 4	SSE 2	S 4	SSE 4						
						a-cu; Bew. 7^0 ci, ci-cu, a-cu; Sicht 30 km; Steigg. 150 (C); Schichtgrenzen: 600, 800, 1100, 1500, 2100, 2900.									
26. 3. 3^{52} p	ENE 1	ENE 3	ENE 2	SSE 2	ESE 2	SSW 2	SSE 3	SSE 4							
						ausser Sicht; Bew. 6^0 ci-cu, a-cu; Sicht 30 km; Steigg. 120 (E); Schichtgrenzen: 1100, 2100, 2400, 2900.									
27. 3. 8^{29} a	SSE 3	SSE 3	S 6	S 9	SSW 8	SSW 10	SSW 8	SSW 8	S 7						
							ausser Sicht; Bew. o ⊙, Sicht 5 km; Steigg. 200 (C); Schichtgrenzen: 500, 900, 1100, 2300.								
1. 4. 9^{38} a	S 1	ESE 2	E 3	NE 2	NNW 3	N 1	NNW 1	WNW 3	NNW 4	N 6	NNW 10	NNW 8			
				verloren.	Bew. 1^0 ⊙ ci, ∞²; Sicht 3 km; Steigg. 250; Schichtgrenzen: 600, 1300, 1800, 2300, 3100, 3500, 3800, bei 2500 Schleife.										
7. 4. 9^{20} a	ESE 1	SSE 1	W 4	W 4	W 3	W 7	W 2	S 2	WSW 4						
					ausser Sicht; Bew. 5^0 ci; Sicht 5 km; Steigg. 150 (C); Schichtgrenzen: 500, 600, 2500, 2900, 3000, 3300, Kehre, 3800, 3900.										
7. 4. 1^{40} p	SW 4	WSW 5	WSW 8	WSW 8	WSW 9	W 9	W 10	W 14	W 12	WSW 10	WSW 12				
						ausser Sicht; Bew. 9^1 ci-st, fr-cu, cu; Sicht 30 km; Steigg. 150 (E); Schichtgrenzen: 900, 1200, 4200.									
12. 4. 6^{31} a	C	E 5	ESE 10	ESE 10	ESE 5	ESE 4	ESE 3	ENE 4	NE 7	NE 8	NNE 9	NE 9	NE 12	NE 11	NE 12
		NNE 10	NNE 10	NNE 12	N 15		ausser Sicht; Bew. o ⊙; Sicht 5 km; Steigg. 200 (C); Schichtgrenzen: 1900, 2500, 3500, 7100.								
13. 4. 6^{35} a	C	E 2	E 6	ENE 7	SSE 1	C	NW 1	N 2	NNE 4	NNE 6	NE 4	N 4	NNE 4	NE 6	NE 7
		NE 8	NE 8	NE 8	ENE 9	NE 10	NE 10	geplatzt.							
							Bew. o ⊙, ⌙⁰; Sicht 5 km; Steigg. 200 (C); Schichtgrenzen: 500, 1300, 1500 Linkskehre bis 3300, 3900, 5100, 5900, 7900.								
13. 4. 1^{45} p	NWE 3	C	ESE 1	E 1	NE 1	NNW 1	N 2	N 2	NNE 3	N 3	NNW 4	N 4	N 4	NNW 3	NNW 3
		NNE 5	NNE 4	N 6	NNE 5	NNE 6	NE 6	NE 7	NE 7	NE 4	N 5	NW 6	NW 6	NW 6	NW 6
		NW 7	NW 7	WNW 8	WNW 10	NW 12	geplatzt. Bew. o ⊙; Sicht 30 km; Steigg. 250 (C); Schichtgrenzen: 800, 1300, 2100, 2500, 3600, 4300, 7100, 8300, 10 000, 12 000.								
14. 4. 6^{34} a	C	SE 2	E 1	E 1	N 1	N 2	N 1	N 1	NW 2	NW 3	NW 3	NNW 2	NNE 2	ENE 1	ENE 4
		NE 5	ENE 5	ENE 5	ENE 5	ENE 6	NE 6	NE 7	NNE 6	NNE 4	NNE 6	NE 8	NNE 5	N 7	NW 6
		NNW 8	geplatzt.		Bew. o, ∞¹; Sicht 5 km; Steigg. 250 (C); Schichtgrenzen: 600, 800, 1600, 2100, 3600, 6000, 6300, 12 800, 13 800.										
15. 4. 6^{33} a	S 1	SSW 4	SSW 5	SSW 6	SW 5	SW 4	SSW 4	S 3	N 2	N 3	SSW 3	SW 2	S 2	NE 2	ESE 1
		SE 4	E 5	E 8	E 8	E 10	ESE 8	ESE 10	E 9	ENE 7	ENE 10	ENE 16	ENE 10	NE 7	N 11
		N 8	geplatzt.		Bew. o ⊙; Sicht 5 km; Steigg. 250 (C); Schichtgrenzen: 500, 3000 bis 6800 Schleife, 7800, 11 300, 13 800.										
16. 4. 6^{44} a	SSE 2	SW 3	W 8	WSW 9	WSW 10	SW 8	SW 8	SW 9	in ∞;						
							Bew. 3^0 ⊙ a-cu; Sicht 5 km; Steigg. 200 (C); Schichtgrenzen: 500, 1100, 2300.								
22. 4. 8^{09} a	SE 4	SW 3	SW 5	SW 8	WSW 10	SW 10	WSW 12	WSW 11	SW 15	SW 13	WSW 15				
							geplatzt. Bew. 4^0 ci, ci-st; Sicht 15 km; Steigg. 200 (C); Schichtgrenze: 1100.								
23. 4. 1^{47} p	NNW 3	NW 1	SSE 1	NE 1	N 1	SSE 2	S 4								
					in a-st, ci-st.	Bew. 10^1 a-st, cu-ni; Sicht 15 km; Steigg. 150 (C); Schichtgrenzen: 500 Kehre bis 800, 1000, 1200, 2100, 2300, 2700.										
28. 4. 8^{39} a	ESE 1	ESE 3	E 4	E 2	SSE 7	SSW 2	SW 5	SSW 3	S 4	SSW 3					
							ci-cu; Bew. 3^0 ⊙; ∞²; Sicht 3 km; Steigg. 250 (C); Schichtgrenzen: 500, 1600, 2300, 3000.								

1926	Boden	500	1 000	1 500	2 000	2 500	3 000	3 500	4 000	4 500	5 000	5 500	6 000	6 500	7 000 Meter
		7 500	8 000	8 500	9 000	9 500	10 000	10 500	11 000	11 500	12 000	12 500	13 000	13 500	14 000
		14 500	15 000	15 500	16 000	16 500									

29. 4. 7^{32} a — ESE 2 | SSE 4 | S 5 | SW 3 | SW 5 | WSW 6 | WNW 11 | WNW 10
verloren; Bew. 2^0 a-cu, ∞²; Sicht 5 km; Steigg. 250 (C); Schichtgrenzen: 500, 1300, 2100.

29. 4. 7^{57} a — SE 2 | S 3 | SSW 4 | SW 3 | WSW 5 | WNW 7 | WNW 11 | WNW 8 | NW 8 | W 8 | W 10 | WSW 11
ausser Sicht; Bew. 1^0 ⊙ a-cu, ∞²; Sicht 5 km; Steigg. 200 (C); Schichtgrenzen: 1300, 1800, 4100.

29. 4. 3^{47} p — SSW 2 | SSW 3 | S 4 | S 6 | SSW 6 | WSW 5 | WSW 4 | WSW 4 | WSW 4 | W 4 | W 7 | WSW 9 | WSW 7 | WSW 9 | WSW 10
ci-st; Bew. 10^1 ci-st, a-st, cu; Sicht 30 km; Steigg. 250 (C); Schichtgrenzen: 2100, 4300.

30. 4. 7^{48} a — C | SE 5 | SSE 7 | SSE 4 | WNW 3 | W 6 | WNW 13 | W 15 | W 18 | W 14 | WNW 14
in ∞ 7^0 ⊙ ≡⁰; Sicht 2 km; Steigg. 200 (C); Schichtgrenzen: 1700, 1900, 2500.

1. 5. 8^{16} a — WSW 1 | SE 3 | SE 11 | SE 11 | SE 10 | SE 10 | SE 11 | SE 9 | SSE 8 | S 5 | SSW 4 | SSW 7 | SSW 10
ausser Sicht; Bew. 10^1 a-cu, a-st; Sicht 2 km; Steigg. 200 (C); Schichtgrenzen: 4300, 5100.

8. 5. 8^{05} a — C | S 1 | W 2 | WSW 4 | WSW 2 | WNW 3 | SSW 2 | SSW 3 | S 4
ausser Sicht; Bew. 10^0 ≡⁰; Sicht 1.5 km; Steigg. 150 (C); Schichtgrenzen: 500, 1100, 2400, 2700, 3000, 3500.

10. 5. 9^{21} a — NE 1 | | NNW 1 | W 3 | W 5 | W 5 | W 6 | W 9
ausser Sicht; Bew. 3^0 ⊙ fr-cu, cu; Sicht 5 km; Steigg. 200 (C); Schichtgrenzen: 2500, 2900.

11. 5. 9^{17} a — SSE 1 | SSW 1 | W 4 | W 3 | WSW 3 | W 8 | NW 8 | NW 8 | N 11 | NNW 7 | NNW 8 | NW 6
ausser Sicht; Bew. 1^0 cu; Sicht 10 km; Steigg. 250 (C); Schichtgrenzen: 500, 2800, 4100.

12. 5. 8^{13} a — SSE 2 | SSW 5 | SSW 9 | SSW 8 | SW 10 | WSW 8 | WSW 13 | W 13 | W 12 | W 13
geplatzt. Bew. 2^0 ⊙ ci; Sicht 10 km; Steigg. 250 (C); Schichtgrenzen: 1800, 2600, 3300.

20. 5. 7^{39} a — NNW 1 | N 1 | NNE 3 | N 2 | WSW 1 | S 1 | S 2 | S 5 | S 6
hinter st-cu; Bew. 9^0 a-cu, cu, st-cu; Sicht 5 km; Steigg. 150 (C); Schichtgrenzen: 900, 1200, 1700, 1800, 2100, 2200, 3000.

20. 5. 2^{12} p — N 2 | NNW 1 | ENE 3 | E 2 | SE 3 | SSE 3 | S 4
a-cu; Bew. 10^1 a-cu, cu; Sicht 20km; Steigg. 150 (C); Schichtgrenzen: 600, 1200, 1800, 2300.

21. 5. 9^{00} a — C | NE 1 | ENE 5 | NE 5 | ENE 5 | NE 7 | ENE 3 | ENE 5 | ENE 4 | NE 4 | ENE 4 | NE 2 | NE 6 | NNE 6 | NNE 7
NNE 8 | N 8 | NNE 9 | NNE 7 | NNE 7 | NNE 6
ausser Sicht; Bew. 1^0 ⊙ cu; Sicht 10 km; Steigg. 250 (C); Schichtgrenzen: 1800, 4000, 5300, 6300.

21. 5. 3^{50} p — ENE 1 | ENE 2 | NE 4 | NNE 6 | NNE 6 | NNE 4 | ENE 3 a cu; Bew. 9^0 a-cu, cu; Sicht 30 km; Steigg. 200 (C); Schichtgrenzen: 2300, 2900.

25. 5. 1^{58} p — WNW 5 | W 4 | NW 4 | NW 6 | NW 8 | NW 8 | NW 7 | NW 9 | NNW 8 | NW 8 | NNW 8 | NNW 6
verloren; Bew. 2^0 ⊙ a-cu; Sicht 30 km; Steigg. 200 (C); Schichtgrenzen: 500, 4300, 4900.

26. 5. 8^{52} a — ENE 2 | N 2 | E 4 | ENE 5 | ENE 2 | NW 2 | N 6 | N 8 | N 8 | N 8 | N 10 | N 11 | NNW 10 | N 11 | NNW 12
NNW 12 | N 17 | ausser Sicht. | Bew. 1^0 cu; Sicht 10 km; Steigg. 200 (C); Schichtgrenzen: 500, 1100, 2100, 2300, 2700.

26. 5. 2^{38} p — NW 1 | N 2 | N 2 | E 3 | NNW 1 | N 4 | NNW 6 | NNW 7
hinter cu; Bew. 3^0 ⊙ cu; Sicht 30 km; Steigg. 150 (E); Schichtgrenzen: 800, 1100, 1200, 1500 bis 2100 Kehre, 2300.

27. 5. 4^{13} p — NNE 3 | NNE 4 | NNW 8 | NW 2 | NNW 7 | WNW 8 | WNW 6 | NW 8 | NW 13 | NNW 9 | NNW 12 | NW 13 | NNW 18 | NNW 18 | NNW 18
NNW 16 | NW 17 | Bew. 4^0 ci, cu, fr-cu; Sicht 30 km; Steigg. 200 (E); Schichtgrenzen: 1300, 1700, 2300, 3100, 3700.

22. 6. 9^{23} a — SSE 2 | SSE 2 | S 5 | SSW 4 | WSW 4 | WSW 4 | W 6 | WSW 6 | WSW 7
abgebrochen; Bew. 4^0 ⊙, a-cu, cu; Sicht 10 km; Steigg. 150 (E); Schichtgrenzen: 800, 1400, 2100, 3300.

23. 6. 9^{14} a — NNW 2 | N 2 | NNW 2 | WNW 4 | W 4 | WSW 8 | WSW 10
a-cu; Bew. 8^0 ⊙, ci-st, a-cu; Sicht 20 km; Steigg. 200 (E); Schichtgrenzen: 900, 1100, 2100, 2300.

24. 6. 9^{10} a — W 3 | W 3 | SSE 3 | SE 1 | S 1 | S 1 | SW 5 | a-st 3300
Bew. 10^2 a-st, fr-cu, ▨tr.; Sicht 7 km; Steigg. 150 (C); Schichtgrenzen: 500, 600, 1200, 1400, 2100, 2700, 2900.

28. 6. 9^{43} a — NNE 1 | | NNE 1 | NNE 1 | NNW 1 | SWW 1 | W 1 | NNE 4 | NNW 1 | WNW 4 | W 3 | W 6 | WSW 7 | WSW 9 | SW 9
hinter a-st Bew. 3^0 ⊙ cu, cu-ni; Sicht 20 km; Steigg. 200 (C); Schichtgrenzen: 1500, 1700 bis 3300 Linksschleife. 4100, 4700, 5100, 6700.

7. 7. 9^{07} a — NW 2 | NNW 1 | ENE 4 | E 3 | SE 5 | SE 6 | SSE 8 | SE 6 | SSE 8 | SSE 10 | SSW 10 | SSW 9
a-cu; Bew. 8^0 ⊙ a-cu, st; Sicht 5 km; Steigg. 200 (C); Schichtgrenzen: 500, 1300, 1700, 3500, 4700.

14. 7. 9^{10} a — E 2 | E 3 | ESE 7 | ESE 13 | ESE 14 | ESE 11 | ESE 12 | ESE 14 geplatzt. Bew. 0 ⊙; Sicht 30 km; Steigg. 250; Schichtgrenzen: 800, 2300.

15. 7. 9^{39} a — NE 1 | | NE 4 | ESE 5 | E 5 | ESE 5 | SSE 4 | SE 4
geplatzt. Bew. 2^0 ⊙ ci-cu, a-cu; Sicht 10 km; Steigg. 200 (C); Schichtgrenzen: 1100, 1300, 2500.

17. 7. 9^{01} a — C | NNW 2 | NNW 2 | ENE 5 | N 2 | NNE 2 | NNW 2 | N 4 | NNW 3 | NNW 4
abgebrochen. Bew. 0; Sicht 10 km; Steigg. 150 (E); Schichtgrenzen: 600, 1100, 1400, 1800, 3000.

19. 7. 9^{16} a — SSE 4 | S 6 | SSW 9 | SW 6 | WSW 8 | W 9 | W 11 | W 11 | W 12
a-cu; Bew. 8^0 ci-st, ci-cu, a-cu; Sicht 15 km; Steigg. 150 (C); Schichtgrenzen: 600, 1200, 1800, 2100.

24. 7. 9^{02} a — SE 3 | SSE 4 | S 5 | SSW 6 | SW 4 | SW 7 | SW 9 | SW 9 | SW 8 | WSW 7 | W 8 | W 8 | W 10 | W 12 | W 14
W 15 | W 15 | W 15 | W 15 | W 15 | W 14 | W 15
ausser Sicht. Bew. 2^0 ⊙ ci, ci-st; Sicht 15 km; Steigg. 200 (C); Schichtgrenzen: 700, 1100, 1700, 2100, 4900, 5100.

26. 7. 9^{22} a — W 6 | W 8 | W 11 | W 10 | W 11 | W 17 | W 14 | a-cu; Bew. 7^1 cu, st-cu, fr-cu; Sicht 30 km; Steigg. 150 (C); Schichtgrenzen: 900.

3. 8. 9^{27} a — SSE 1 | ESE 1 | SSE 1 | E 3 | E 3 | E 2 | E 1
verloren 3300; Bew. 3^1, ≡⁰ auflösend; Sicht 1.5 km; Steigg. 120 (E); Schichtgrenzen: 800, 1100, 2200, 2600, 3000.

4. 8. 9^{19} a — NNW 1 | N 1 | ENE 4 | ENE 5 | ENE 5 | ENE 5 | ENE 4 | ESE 2 | E 3 | ENE 4 | E 3 | NE 2 | NE 2 | E 1 | SW 2
SW 3 | abgebrochen. | Bew. 8^0 ⊙ ci-st; Sicht 10 km; Steigg. 150; Schichtgrenzen: 900, 3000, 4300, 5100, 5700 bis 7000 Rechtskehre.

1926	Boden	500	1 000	1 500	2 000	2 500	3 000	3 500	4 000	4 500	5 000	5 500	6 000	6 500	7 000 Meter
		7 500	8 000	8 500	9 000	9 500	10 000	10 500	11 000	11.500	12 000	12 500	13 000	13 500	14 000
		14 500	15 000	15 500	16 000	16 500	17 000	17 500	18 000	18 500	19 000	19 500	20 000	20 500	21 000
		21 500	22 000												
5. 8. 9^{10} a	N 2	N 2	ESE 6	ENE 3	NE 4	ENE 3	ENE 4	ENE 3	ENE 4	ENE 2	ENE 3	ESE 2	ESE 2	C	WSW 3
		W 2	WSW 2	WSW 2 abgebrochen. Bew. 1^0 ⊙ cu, a-cu; Sicht 10 km; Steigg. 150 (E); Schichtgrenzen: 500, 800, 1200, 2300, 3300, 4300, 5300, 5700 bis 6900 Rechtskehre.											
6. 8. 9^{24} a	C	ESE 2	E 5	ENE 4	NNW 2	NNW 1	WNW 3	W 3							
							geplatzt. Bew. 9^0 ci-st; Sicht 10 km; Steigg. 150 (E); Schichtgrenzen: 1100, 1500, 2700.								
11. 8. 8^{58} a	SSE 4	SSE 5	SSW 7	SSW 8	WSW 8	WSW 11	WSW 16								
						ausser Sicht; Bew. 9^0 ci-st, ci-cu; Sicht 10 km; Steigg. 150 (E); Schichtgrenzen: 500, 600, 800, 1500, 2100.								
16. 8. 9^{17} a	SSE 1		W 9	W 10	W 11	WNW 7	WNW 16								
						geplatzt. Bew. 1^0 ci-st, a-cu; Sicht 10 km; Steigg. 200 (C); Schichtgrenzen: 600, 2100, 2500, 3100.								
24. 8. 8^{48} a	SSW 1	WSW 2	WSW 8	W 10	NW 10	NW 14	NNW 14	NNW 14	NNW 15	NNW 14	NNW 14	NNW 15	NNW 17		
						ausser Sicht; Bew. 0 ⊙; Sicht 10 km; Steigg. 200 (C); Schichtgrenzen; 400, 1500, 1900, 2700, 3300.									
30. 8. 9^{05} a	E 3	SE 6	SE 10	SE 5	SE 4	ESE 4	E 2	NE 1	NNE 2	N 3	WSW 2	WNW 2	W 3	WSW 6	SW 5
		SW 6	SSW 7	SW 7	SW 8	WSW 8	WSW 10	WSW 11	W 12	W 11	W 11	WNW 19	WNW 15	WNW 15	NW 15
		Bew. 0 ⊙; Sicht 15 km; Steigg. 150 (E); Schichtgrenzen: 2400, 3000, 3300, 4800, 5500, 6300, 6600, 9300, 10 800, 11 700, 12 300.													
31. 8. 9^{21} a		SE 2	SSE 4	SSW 2	SW 5	ESE 4	SSE 1	SW 2	NE 1						
				verloren. Bew. 0 ⊙; Sicht 15 km; Steigg. 120 (E); Schichtgrenzen: 800, 1100, 2000, 2500, 2800 bis 3300 Rechtskehre.												
31. 8. 1^{16} p	SE 3	SSE 6	ESE 4	SSW 3	W 5	SW 4	S 4	NW 1	N 2	N 2	SW 2	SE 4	NE 3	NNE 2	NNE 2
		NNE 3	NNE 4	NNE 3	N 3 geplatzt. Bew. 0 ⊙; Sicht 30 km; Steigg. 150 (E); Schichtgrenzen: 1200, 1800, 2400, 2700 bis 6300 Doppelschleife, 8400.												
1. 9. 8^{50} a	SE 1	SE 2	SSE 1	W 2	WNW 5	W 1	ENE 4	S 3	S 3	SW 2	ESE 3	ESE 2	C	SE 1	SSE 1
		E 2	E 2	SSE 3	SSW 3	SSW 3	WSW 5	W 7	W 9	W 10	WNW 8	SSW 2	WSW 6	WSW 7	W 7
		WSW 6	WSW 8	WNW 5	WNW 3	WNW 3	SW 7	SW 7	WSW 7	WNW 6	W 11	W 11	WSW 12	WSW 16	WSW 12
		W 9	W 9	abgebrochen. Bew. 0 ⊙; Sicht 5 km; Steigg. 150 (E); Schichtgrenzen: 1200, 1700. 2300 bis 3500 Rechtsschleife, 4800, 5900 bis 6900 Kehre, 7800 bis 10 200 Rechtskehre.											
2. 9. 9^{05} a	S 2	SE 2	E 1	NNE 4	WNW 2	W 2	NW 2	SW 4	S 3	WSW 1	WSW 2	SSW 4	SW 3	SSW 3	ESE 1
		WNW 1	N 2	WSW 0	SSW 2	SW 3	SSW 3	S 4	verloren.						
		Bew. 0 ⊙; Sicht 5 km; Steigg. 150 (E); Schichtgrenzen: 800, 900, 1200, 2000, 3000, 4400, 5300, 6800 bis 9000 Kehren.													
10. 9. 9^{07} a	SE 1	SSE 2	S 5	S 3	SSE 2	SE 2	SE 2	W 5	W 7	W 9	W 8	WNW 11	W 13	WNW 14	NW 9
		WNW 9	WNW 12	geplatzt.			Bew. 1^0 ci, ∞^{2}; Sicht 3 km; Steigg. 150 (C); Schichtgrenzen: 2000, 2300, 3200, 5500, 6900.								
17. 9. 8^{58} a	NW 2	SSE 3	W 2	WNW 3	NW 6	NNW 12	NW 11	verloren.							
							Bew. 0, ∞^{2}, ≡^{1}; Sicht 2 km; Steigg. 120 (E); Schichtgrenzen: 800, 1300, 2100.							
17. 9. 4^{10} p	N 2	NNE 2	C	WNW 1	WNW 5	NNW 7	WNW 6	WNW 9	NW 8	NW 9	NW 10				
								Bew. 0 ⊙; Sicht 15 km; Steigg. 120 (E); Schichtgrenzen: 900, 1400, 2000, 3000.							
20. 9. 9^{25} a	NW 1	SE 2	NE 2	WSW 4	W 8	E 6	ENE 6	NE 4	NE 4						
							Bew. 0 ⊙; Sicht 1.5 km; Steigg. 120 (E); Schichtgrenzen: 500, 800, 1300, 2200, 2700.							
21. 9. 2^{45} p	N 5	NNW 3	NNE 2	N 3	NNW 7	NNE 12	N 16	N 12							
					a-st. Bew. 6^1 a-cu, st-cu, fr-cu; Sicht 12 km; Steigg. 120 (E); Schichtgrenzen: 800, 1100, 1400, 2100, 2700.								
22. 9. 8^{50} a	NW 2	NNW 3	NW 6	WNW 5	NW 3	NW 5	NNW 8	NW 10	NW 13						
								in ∞, 1^1 ⊙, st-cu; Sicht 5 km; Steigg. (E) 120; Schichtgrenzen: 900, 3000.							
24. 9. 8^{45} a	W 2	N 2	NNW 4	NNW 8	NW 15	NW 9	NW 12	a-cu 3300							
								Bew. 6^0 ci, ci-st; Sicht 10 km; Steigg. 120 (E): Schichtgrenzen: 400, 900, 1300.							
24. 9. 3^{30} p	C	NE 1	W 2	W 4	NW 7	NW 6	NW 6	NW 8	NW 9						
							in ci-st. Bew. 6^1 ci-cu, cu; Sicht 15 km; Steigg. 120 (E); Schichtgrenzen; 500, 700, 900, 1600.							
27. 9. 2^{55} p	WSW 10	W 8	WSW 14	WSW 12	W 15	W 18	W 20								
							in cu. Bew. 5^0 cu, fr-cu; Sicht 30 km; Steigg. 120 (E); Schichtgrenzen: 1800, 2200.							
4. 10. 2^{45} p	NE 10	ENE 6	ENE 6	E 7	ENE 7	ENE 8	ENE 7	ENE 7							
								Bew. 6^1 st-cu; Sicht 15 km; Steigg. 120 (E); Schichtgrenzen: 1000, 1700, 2000.							
6. 10. 2^{46} p	SSE 4	S 6	SE 4	SSW 3	SSW 3	S 3	SSW 8	SSW 6							
								ausser Sicht; Bew. 0 ⊙; Sicht 10 km; Steigg. 120 (E); Schichtgrenzen; 800, 1100, 1600, 2300.							
8. 10. 2^{50} p	S 5	S 6	SW 6	SW 8	WSW 6	SW 4	WSW 6								
								ausser Sicht; Bew. 1^1 a-st, cu; Sicht 20 km; Steigg. 120 (E); Schichtgrenzen: 700, 1300, 2600.							
20. 10. 10^{21} a	SSE 2	SSW 1	SW 3	W 1	WSW 3	WNW 8	WNW 14	WNW 14							
								in ∞. Bew. 5^1 ci-st, ∞^{1}; Sicht 5 km; Steigg. 120 (E); Schichtgrenzen: 1300, 1500, 2100.							
20. 10. 2^{45} p	C	S 1	SE 1	S 2	W 4	W 8	W 15								
								in ∞. Bew. 8^1 st-cu; Sicht 10 km; Steigg. 120 (E); Schichtgrenzen: 400, 900, 1500, 2000							
26. 10. 9^{05} a	SE 6	SSW 9	SW 11	W 13	WSW 10	WSW 17	WSW 23	WSW 24							
								in ci-st. Bew. 8^2 st-cu, st; Sicht 10 km; Steigg. 120 (E); Schichtgrenzen: 400, 900, 1500.							
3. 11. 9^{40} a	C	ESE 3	NE 3	ESE 2	S 8	S 8	SSW 7	SSW 9	SSW 11	SSW 14					
								in a-st. Bew. 10^2 a-st; Sicht 1 km; Steigg. 120; Schichtgrenzen: 400, 900, 1400, 1500, 2100.							
3. 11. 3^{00} p	NW 4	N 3	NE 4	ENE 6	SE 2	S 7	S 7	a-st 3200							
								Bew. 4^2 a-st, cu; Sicht 7 km; Steigg. 120 (E); Schichtgrenzen: 500, 1100, 2000.							

1926	Boden	500	1000	1500	2000	2500	3000	3500	4000	4500	5000	5500	6000	6500	7000 Meter
8. 11. 9^{20} a	C	ESE 3	WSW 1	SW 6	SSW 8	WSW 5	SW 13	WSW 16							
							in Dunst. Bew. 1^1 st; Sicht 5 km; Steigg. 120; Schichtgrenzen: 700, 800, 900, 1000, 2400.							
10. 11. 2^{16} p	SE 2	ESE 1	SW 4	SW 6	SW 9	WSW 9	WSW 8	WSW 10	WSW 9						
							ausser Sicht. Bew. 1^1 st; Sicht 8 km; Steigg. 120; Schichtgrenzen: 800, 1100, 1900, 2700.							
11. 11. 2^{50} p	ESE 2	ESE 4	SE 7	SE 5	SSE 5	SSE 4	SW 5	SW 11							
							ausser Sicht. Bew. 5^1 ci, ci-st; Sicht 30 km; Steigg. 150 (E); Schichtgrenzen: 1800, 2700.							
11. 11. 3^{20} p	SE 3	ESE 6	SE 7	SE 5	SSE 6	S 3	SW 4	SW 9	SW 10	SW 12	SW 11				
							ausser Sicht. Bew. 6^1 ci, ci-st; Sicht 30 km; Steigg. 120 (E); Schichtgrenzen; 900, 2300, 3000, 3400.							
12. 11. 3^{00} p	C	SE 4	SSE 9	SSW 7	SW 10	SW 14	SW 14	a-st 300							
							Bew. 9^2 ci-st, a-st; Sicht 6 km; Steigg. 120 (E); Schichtgrenzen: 900, 1500.							
16. 11. 2^{27} p	WSW 3	WSW 4	WNW 6	WNW 7	W 14	W 23	W 16	WNW 21	WNW 21	WNW 24	WNW 25				
							ausser Sicht. Bew. 8^2 ci-st, a-cu, a-st; Sicht 20 km; Steigg. 120 (E); Schichtgrenzen: 500, 900.							
17. 11. 9^{27} a	ESE 1	S 7	SW 8	WSW 7	WSW 9	WSW 9	W 10	a-st 2800							
							Bew. 9^1 a-st; Sicht 0.8 km; Steigg. 120 (E); Schichtgrenzen: 400, 800, 1500, 2500.							
18. 11. 9^{22} a	E 1	SSE 7	WSW 4	WSW 8	SW 8	SSW 14	SSW 16								
							ausser Sicht. Bew. 6^1 ci, a-st, st; Sicht 1.5 km; Steigg. 120 (E); Schichtgrenzen: 800, 900, 1500, 2100.							
18. 11. 2^{27} p	E 1	ESE 4	ESE 7	SSE 10	SSW 10	SSW 8	SW 10	WSW 13	WSW 14	SW 10					
							ausser Sicht. Bew. 8^1 ci-st, a-st; Sicht 8 km; Steigg. 120 (E); Schichtgrenzen: 400, 700, 1100, 1600, 3500.							
22. 11. 2^{49} p	E 2	SE 5	ESE 8	SE 6	SSE 8	SSE 4	S 6	S 10							
							Bew. 10^2 a-st; Sicht 5 km; Steigg. 120 (E); Schichtgrenzen: 400, 900, 1900, 3800.							
23. 11. 3^{10} p	S 3	S 5	SW 7	SW 7	WSW 10	SW 12	SW 12	SW 12							
							ausser Sicht. Bew. 9^1 a-st, st; Sicht 8 km; Steigg. 120 (E); Schichtgrenzen: 700, 1300, 1600.							
24. 11. 1^{30} p	S 3	WSW 3	W 3	WSW 4	SW 8	SSW 10	SSW 9	SSW 7	SW 10						
							a-st. Bew. 8^1 a-st; Sicht 8 km; Steigg. 120 (E); Schichtgrenzen: 500, 1000, 1600.							
29. 11. 3^{00} p	E 2	E 4	ESE 4	S 6	W 4	WSW 5	WSW 4	WSW 8	WNW 8						
							ausser Sicht. Bew. 1^1 ci; Sicht 9 km; Steigg. 120 (E); Schichtgrenzen: 500, 1100, 1500, 2000, 3100. 3300, 3500.							
27. 12. 3^{15} p	NE 1	NE 2	SE 4	ESE 3	ESE 4	SE 1	ESE 3	E 1	SSE 2	WNW 2	SW 5	W 3	NW 3		
							ausser Sicht. Bew. 2^1 ci-st; Sicht 8 km; Steigg. 200; Schichtgrenzen; 700, 1300, 2100, 3900 bis 4500 Schleife, 4900, 5300, 5500.							